

ALEXANDRU CIȘMAN

# FIZICĂ GENERALĂ

I

EDITURA TEHNICĂ

## INTRODUCERE

§ 1. **Obiectul fizicii.** Denumirea de *physikos* vine de la *physis*, care înseamnă pe grecește *natură* și se crede că a fost introdusă, pentru prima dată, de *Aristotel*, cu 400 de ani înainte de era noastră, ca titlu pentru anumit domeniu de preocupare filozofică.

*Desprinsă din trupul filozofiei antice, fizica e o știință a naturii, care cercetează anumite fenomene, legate de structura și de manifestările materiei în general, împreună cu interdependența lor cauzală.*

Ea se ocupă, de obicei, cu procesele care privesc materia *moartă*, dar legile deduse și stabilite se aplică tot așa de bine la materia *vie*.

O definiție mai cuprinzătoare nu se poate da chiar de la început. Ea se va desprinde mai târziu și treptat, din însuși studiul disciplinei și al metodelor ei de cercetare.

Domeniul imediat vecin este *chimia*, care cercetează combinațiile atomilor și transformările moleculare, dar o delimitare de atribuții, care să precizeze unde se termină una și unde începe cealaltă, nu mai este posibilă, de când chimiștii au adoptat o mare parte din metodele fizicianului, ca să creeze așa-numita *chimie fizică*, sau de când problema structurii atomului preocupă, în egală măsură și pe fizician și pe chimist.

Spre deosebire de viața curentă, unde noțiunile îmbracă uneori o formă oarecum elastică, fizica, la fel cu celelalte științe, nu poate opera decât cu noțiuni și mărimi definite cât mai precis, adesea cu ajutorul unui vocabular special.

Odată fixate noțiunile și mărimile, se caută o formulare cantitativă a interdependenței fenomenelor și a desfășurării lor, în funcție de anumiți factori, prin relații matematice, pe care le numim *legi fizice*.



Aceste legi fizice nu trebuie să fie considerate ca o enunțare dogmatică și definitivă a *legilor naturale* căutate, ci doar ca simple *aproximații*, care să cuprindă toate faptele cunoscute în prezent, în legătură cu fenomenele respective și în limita erorilor experimentale inevitabile.

Dacă, ulterior, perfecționarea metodelor de lucru duce la rezultate cantitative care impun introducerea unor termeni de corecție, sau dacă noi fapte descoperite nu se mai încadrează în legea fizică formulată, o vom completa sau modifica în așa fel ca să ne apropiem cât mai mult cu putință de legea naturală căutată.

**Legile fizicii tind, prin apropieri succesive, către o formulare din ce în ce mai apropiată de legile naturale.**

Edificiul fizicii se clădește încet și tocmai în această apropiere, pas cu pas, de adevăr, prin adaptarea și folosirea continuă a relațiilor cantitative, constă superioritatea metodelor ei de cercetare.

**§ 2. Capitolele fizicii.** Lumea exterioară, adică *materia*, care constituie o realitate obiectivă, independentă de noi, se oglindește în conștiința noastră cu ajutorul simțurilor.

Din punctul de vedere al organelor de simț afectate de fenomenele studiate, s-a păstrat *prin tradiție* următoarea împărțire a fizicii, în capitole principale:

1. *Mecanica*, în care studiem echilibrul și mișcarea corpurilor, de care ne dăm seama prin simțul tactil sau muscular.
2. *Căldura*, unde fenomenele se grupează în jurul noțiunii de temperatură, legată de simțul caloric.
3. *Acustica*, în care clasăm fenomenele ce interesează simțul auzului, sau altele înrudite cu ele.
4. *Optica*, în care ne referim la fenomene analoge cu lumina, care afectează simțul văzului.
5. *Electricitatea și magnetismul*, în care fenomenele nu afectează simțurile decât indirect, prin consecințele lor.

Vom vedea mai târziu că aceste capitole clasice se interpătrund acum în așa măsură, încât o delimitare precisă nu mai este

cu putință și că, totodată, domeniile atribuite s-au extins cu mult peste limitele de percepție ale simțurilor corespunzătoare.

Dealtfel o atare clasificare, legată deadreptul de simțuri, nu este decît o rămășiță a trecutului.

În dezvoltările ulterioare, vom vedea în ce măsură ea poate fi legată de formele mișcării materiei.

La ele fizica modernă a mai adăugat un capitol special:

6. *Fizica atomului*, în care studiem structura intimă a particulelor elementare ce intră în compunerea corpurilor, și fenomenele conexe.

Gustul și mirosul corpurilor pot să aducă oarecare indicații chimistului, dar nu interesează pe fizician. El nu se ocupă nici de senzații, luate ca atare, fiindcă țin de domeniul fiziologiei, ci se servește de ele numai ca să-și facă o idee obiectivă cît mai clară, despre lumea exterioară.

§ 3. **Metodele fizicii.** La baza oricărei cercetări fizice stă așa-numitul *principiu al cauzalității*, după care *nu poate să existe acțiune fără obiect, nici obiect fără acțiune*.

La baza cercetărilor fizice stă principiul cauzalității.

Aceasta înseamnă că orice fenomen (*obiectul*) implică o cauză (*acțiune*) și că nici un corp, sau sistem de corpuri, nu poate să dezvolte o acțiune, dacă nu are asupra cui să o exercite.

A găsi adevărata cauză a unui fenomen constituie adesea o problemă foarte greu de rezolvat, fiindcă impune izolarea treptată și sistematică a tuturor acțiunilor ce ar putea să intervie simultan.

De aceea, cercetarea fizică nu mai recurge acum decît foarte rar la observarea *directă* a fenomenelor complexe care se produc spontan în natură.

Ea se servește de *laborator*, în care, cu ajutorul unor aparate sau instalații speciale, de multe ori construite anume și sub o formă particulară convenabilă, se pot reproduce după voie aceste fenomene, la adăpost de factorii perturbatori, pentru ca să fie

apoi studiate în condiții mult mai avantajoase de precizie și sensibilitate <sup>1)</sup>.

Aceasta este *metoda experimentală*.

Cercetătorul pune naturii o serie de întrebări, în condițiile cele mai favorabile pentru dînsul, și caută răspunsul cuvenit, ca să descopere legea fenomenului cercetat.

**Metodele de cercetare în fizică sînt:** experiența de laborator, experiența mintală și calculul matematic, urmat de verificarea experimentală.

Alte ori, folosindu-se de date experimentale și de legi deja cunoscute, el recurge la calculul matematic și urmărește nu numai o interpretare mai adîncă a faptelor, dar și descoperirea, pe cale *deductivă*, a altor fenomene, pe care în-

cearcă apoi să le caute și experimental.

Se înțelege însă de la sine că singură verificarea experimentală poate să decidă, în ultimă instanță, dacă anumite *ipoteze* sau *reprezentări*, folosite în cursul raționamentului, pot fi considerate ca valabile și suficiente pentru a fundamenta o *teorie fizică*.

De multe ori, calculul matematic se sprijină și pe așa-numita *experiență mintală*, care nu se execută în realitate, fiindcă se referă la condiții ideale. O alegem însă în așa fel încît rezultatele să poată fi prevăzute, din legile deja cunoscute.

Matematica este, pentru fizician, un instrument de lucru tot atît de prețios ca și laboratorul, iar capitolele importante ale ei s-au creat nu independent, ci din nevoia de a reprezenta fenomenele fizice.

**Matematica este, pentru fizician, un instrument de lucru și nu un scop în sine.**

*E însă de la sine înțeles că fizicianul nu trebuie să vadă în formulele matematice numai simple simboluri abstracte, ci un rezumat în forma cea mai clară și mai precisă, a desfășurării fenomenelor.*

**§ 4. Măsurile fizice.** Ca să putem formula o lege fizică printr-o relație cantitativă, trebuie să exprimăm întîi *mărimile* care intră în această relație și apoi să le *măsurăm*.

<sup>1)</sup> În laboratoarele moderne de fizică, existența unui atelier de precizie, în stare să construiască pe loc aparatele și dispozitivele noi, necesare cercetărilor, trebuie să intre pe primul plan al preocupărilor de organizare.

A măsura o mărime, înseamnă a determina de câte ori este mai mare decât o unitate aleasă convențional.

A măsura o mărime, înseamnă a determina de câte ori este mai mare decât altă mărime, de aceeași specie, aleasă convențional ca unitate.

Rezultatul măsurării se exprimă printr-un număr, urmat obligatoriu de numele sau de specificația unității alese.

De pildă, dacă lungimea unui metru (m) intră de 7,25 ori în drumul parcurs de un mobil, vom spune că acel drum are 7,25 m.

Exprimat în această formă, rezultatul măsurării reprezintă o mărime fizică: lungimea drumului parcurs.

Dar dacă nu indicăm unitatea folosită, rezultatul 7,25 nu are sens fizic, ci reprezintă doar un număr aritmetic abstract.

Un număr, alături de care nu se indică unitatea de măsură, este abstract și nu are semnificație fizică.

Tot număr abstract este și raportul a două mărimi de aceeași specie, dacă nici una din ele n-a fost aleasă ca unitate de măsură.

De pildă, lungimea de 6 m. raportată la lungimea de 3 m, duce

la numărul abstract 2, care nu este decât rezultatul unei împărțiri și deci nu reprezintă o mărime fizică.

*Măsurări directe și indirecte.* În unele cazuri, măsurarea unei mărimi se poate face *direct*, prin simpla comparație cu unitatea aleasă.

De cele mai multe ori însă, măsurările nu pot fi executate direct, ci apar ca rezultat al unui calcul, în care intră alte mărimi ce au fost măsurate.

Măsurările fizice pot fi directe sau indirecte.

De pildă, ca să cunoaștem volumul unei camere, trebuie mai întâi să-i măsurăm lungimea, lățimea și înălțimea.

Spunem atunci că am executat o măsurare *indirectă* sau o *determinare*.

**§ 5. Erori de măsurare.** Din cauza imperfecțiunii simțurilor, a aparatelor și a metodelor folosite, orice măsurare fizică implică erori, ce pot fi, eventual, micșorate, dar nu pot fi suprimate cu totul.

Aceste erori sînt de două feluri: *sistematice și accidentale*.

Orice măsurare fizică, directă sau indirectă, implică erori sistematice și accidentale.

*Erorile sistematice* se datoresc unei defectuoase etalonări a aparatelor de măsură, unor acțiuni exterioare permanente, de care nu s-a ținut seamă <sup>1)</sup>, precum și anumitor cauze subiective, care constituie

așa-numitul *factor personal* al cercetătorului.

Dacă le cunoaștem, sau le putem cunoaște, vom încerca să le reducem sau să le corectăm și *după aceea convenim să nu mai ținem seamă de ele*.

*Erorile accidentale* apar independent de erorile sistematice și pot fi micșorate prin perfecționarea metodelor sau aparatelor folosite.

Studiul lor amănunțit este o problemă de matematică, destul de complicată, care a fost rezolvată de *Gauss* <sup>2)</sup>.

Ea iese din cadrul cărții de față și de aceea ne vom limita doar la cîteva noțiuni elementare, pe bază de exemple:

Cînd măsurăm, de pildă, lungimea unei camere, se poate să găsim, în patru operații consecutive, rezultatele:

6,44 m; 6,43 m; 6,46 m și, în sfîrșit, 6,45 m.

Aceasta nu înseamnă că, între timp, s-a schimbat lungimea camerei sau a instrumentului de măsură și, totuși, experiența ne arată că rezultatele sînt *apropiate*, dar nu și *concordante*. Eventualele concordanțe nu ar fi decît o *simplă întîmplare*.

În aceste condiții, fiindcă nu putem decide care din datele obținute reprezintă *adevărata* lungime *l* a camerei, *obișnuim să luăm, ca rezultat final, media aritmetică a rezultatelor* și vom spune că:

$$l = \frac{6,44 + 6,43 + 6,46 + 6,45}{4} = 6,44 \text{ m.}$$

<sup>1)</sup> Unele măsurări pot fi deranjate de schimbarea temperaturii sau a presiunii atmosferice, altele de influențe magnetice sau electrice și chiar de fenomene necunoscute. Cauzele de eroare sistematică sînt cu atît mai greu de găsit și de înlăturat, cu cît precizia dorită este mai mare.

<sup>2)</sup> *Carl Friedrich Gauss* (1777—1855) fizician german, fost profesor la Göttingen.

Acest număr nu reprezintă lungimea de măsurat mai exact decât oricare din datele obținute experimental, dar ne permite să le considerăm laolaltă ca egal de valabile și să nu favorizăm pe nici una din ele.

**Media aritmetică a mai multor măsurări consecutive duce la un rezultat cu atât mai probabil exact, cu cât numărul de determinărilor este mai mare.**

Dacă facem cât mai multe determinări, avem din ce în ce mai multe șanse ca erorile comise *în plus ori în minus*, față de valoarea *reală* de măsurat, să se compenseze reciproc.

Neglijînd erorile sistematice, *media aritmetică reprezintă atunci un rezultat cu atât mai probabil exact, cu cât numărul de determinărilor este mai mare.*

Să considerăm acum o mărime  $a$ , pe care vom presupune că o cunoaștem *exact* și să luăm, la întîmplare, unul din rezultatele  $a'$ , obținute în cursul măsurărilor făcute.

**Dacă  $a$  este mărimea exactă și  $a \pm \Delta a$  rezultatul unei singure măsurări,  $\Delta a$  reprezintă eroarea absolută individuală, iar  $\Delta a/a$  eroarea relativă.**

Prin definiție, diferența între  $a$  și  $a'$ , pe care o vom nota cu  $\Delta a$ , reprezintă *eroarea absolută individuală* a măsurării efectuate, iar raportul  $\Delta a/a$  *eroarea relativă corespunzătoare*<sup>1)</sup>.

În realitate nu cunoaștem însă valoarea exactă  $a$  și de aceea nu putem cunoaște nici pe  $\Delta a$ .

Teoria erorilor ne permite însă ca, după un număr cât mai mare de determinări, să cunoaștem, dacă nu eroarea absolută  $\Delta a$ , cel puțin *eroarea probabilă*  $\delta a$ <sup>2)</sup>, comisă după ce facem media aritmetică a rezultatelor, precum și *eroarea relativă probabilă*  $\delta a/a$ , care definește, de fapt, *gradul de precizie* al măsurărilor.

În aceste condiții, dacă media aritmetică a rezultatelor parțiale ar fi  $a_m$ , putem afirma că valoarea *exactă*, dar necunoscută,  $a$ , este cuprinsă între limitele  $a_m - \delta a$  și  $a_m + \delta a$  și vom scrie că

$$a = a_m \pm \delta a.$$

<sup>1)</sup>  $\Delta$  = literă mare a alfabetului grecesc. Se citește *delta*.

<sup>2)</sup>  $\delta$  = literă mică grecească, corespunzătoare lui  $\Delta$ .

Noțiunile simple de mai sus duc la unele consecințe practice deosebit de folositoare, și anume:

1) *Este absurd ca, în expresia unui rezultat numeric experimental, să păstrăm mai multe zecimale decât implică precizia determinării făcute.*

*Exemplu:* În calcularea mediei aritmetice a rezultatelor parțiale, obținute din măsurarea lungimii camerei, am dat mai sus rezultatul final 6,44 m, fiindcă nu ar avea nici un sens ca, prin continuarea împărțirii, să dăm rezultatul 6,445, cită vreme și a doua zecimală este nesigură.

Precizia sau eroarea relativă a acestei măsurări este deci cuprinsă între 0,01/6,44 și 0,01/6,45, adică de ordinul a 1,5/1 000.

În măsurările fizice, precizia depășește 1/1 000 numai în cazuri excepționale. Cu această precizie, presupunând că anumite măsurări și calcule au dus la rezultatul final 496,8433, va trebui să scriem numai 496,8 fiindcă nesiguranța apare chiar de la cifra a patra.

2) *Felul de a scrie rezultatul unei măsurări trebuie să conțină implicit gradul ei de precizie.*

*Exemplu:* Dacă scriem că rezultatul final este 14,43 arătăm implicit că eroarea probabilă este de ordinul a 0,01 și eroarea relativă mai mică decât 1/1 000. Dacă am fi scris 14,4300 însemna că eroarea probabilă este de ordinul a 0,0001 și eroarea relativă mai mică decât 1/100 000.

3) La măsurile indirecte calculul riguros al erorii probabile depășește cadrul acestui manual.

Menționăm numai că *precizia rezultatului final nu poate fi mai mare decât a măsurărilor intermediare, din care-l deducem.*

4) În operațiile aritmetice pe care le facem, obținem însă de multe ori un număr prea mare de zecimale, ceea ce implică o muncă inutilă. La întrebarea — *cite zecimale trebuie să păstrăm?*, se poate răspunde cu următoarea regulă simplă:

*Ca să putem da rezultatul final cu  $n$  cifre semnificative, trebuie să păstrăm  $n+2$ , în calculele intermediare.*

*Exemplu:* Dimensiunile unui paralelipiped fiind 4,35 cm, 6,43 cm și 6,11 cm, rezultatul final, în calculul volumului, nu poate să depășească gradul de precizie al datelor, adică trei cifre semnificative. În calculele intermediare va trebui deci să păstrăm cinci.

Prin urmare:

$$V = 4,35 \cdot 6,43 \cdot 6,11 = 27,970 \cdot 6,11 = 171 \text{ cm}^3$$

și ar fi fost inutil să scriem că  $V = 170,8967 \text{ cm}^3$ , numai ca să respectăm toate zecimalele din calcul.

§ 6. **Stabilirea legilor fizice.** Dacă valoarea unei mărimi  $a$  depinde de alte mărimi  $x, y, z$  etc., spunem că  $a$  este o *funcție* de aceste mărimi, pe care le numim *variabile independente* și scriem, simbolic,

$$a = f(x, y, z, \dots).$$

De pildă, știind că presiunea  $p$  a unui gaz depinde de volumul  $V$  și de temperatura  $t$ , vom scrie că:

$$p = f(V, t).$$

A cerceta o lege fizică înseamnă a căuta relația de interdependență dintre  $a$  și variabilele respective specificate.

Pentru simplificare, separăm de obicei problema în *etape* și admitem, rînd pe rînd, că toate variabilele se mențin constante, afară de una. De pildă, în cazul gazului, păstrăm întii *temperatura* constantă și studiem relația:

$$p = f(V),$$

apoi menținem *volumul* constant și cercetăm relația:

$$p = f(t).$$

Dacă lucrăm experimental, obținem, pentru fiecare serie de măsurări, cite o *tabelă de date*, care cuprinde, într-o coloană, valorile funcției, iar în alta valorile date variabilei.

Trecem apoi la o *reprezentare grafică*, prin axe de coordonate, de obicei rectangulare și luînd pe abscisă segmente proporționale cu variabila independentă, iar pe ordonată segmente proporționale cu valorile respective ale funcției, avem o serie de puncte  $A, B, C, D$  etc., prin care trăsăm *curba reprezentativă* a fenomenului (fig. 1).

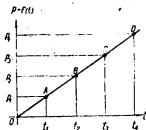


Fig. 1. Variația presiunii unui gaz în funcție de temperatură.

Odată curba trasată, dispunem de o primă indicație, ca bază de plecare, pentru interpretarea și înțelegerea mai aprofundată a desfășurării proceselor, pentru veri-



ficarea unei teorii existente sau pentru elaborarea unor interpretări teoretice care, la rîndul lor, implică alte verificări experimentale.

În practică, din pricina erorilor de măsurare, punctele figurative nu se înșiră niciodată

cu regularitatea ideală din fig. 1, așa că sîntem nevoiți să trasăm curba nu *peste ele*, ci *printre ele*, așa cum arată fig. 2.

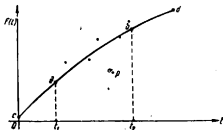


Fig. 2. Curba experimentală a relației  $y=f(t)$ .

Probabilitatea ca o asemenea curbă, corectată, să reprezinte cît mai fidel aspectul fenomenului depinde de gradul de precizie atins și de numărul sau desimea punctelor figurate.

Cu toată incertitudinea traseului, ea prezintă totuși următoarele avantaje:

1. Ne permite să avem o vedere de ansamblu asupra fenomenului.

2. Scoate în evidență unele particularități sau ne atrage atenția asupra măsurărilor defectuoase.

De pildă punctul  $p$ , care se abate de la traseu mai mult decît celelalte, ne spune că sau a intervenit o eroare, sau că este vorba de anumite fapte particulare, ce trebuiesc urmărite prin repetarea și îndesirea măsurărilor.

3. Ne permite să aflăm, prin *interpolare* (punctele  $a$  și  $b$ ) sau prin *extrapolare* (punctul  $c$ ) valori ale funcției care nu figurează în tabela datelor experimentale<sup>1)</sup>.

<sup>1)</sup> Extrapolarea este mai puțin precisă decît interpolarea, fiindcă se sprijină pe ipoteza, încă necontrolată, că forma generală a curbei se menține și în afara limitelor între care a fost cercetată. De aceea nu recurgem la extrapolare decît în cazuri cu totul excepționale.

## MĂRIMI FUNDAMENTALE

§ 7. **Lungimea.** Progresele vieții economice au impus, de timpuriu, fixarea unor unități de lungime, sau *etalioane*, care se păstrau în temple, în palatele regilor sau în locuri anumite, cunoscutе numai de inițiați.

Alegerea lor s-a făcut arbitrar, prin comparație cu dimensiunile corpului omenesc: *pas, picior, deget, cot* etc., fiindcă, în timpurile și mai vechi, aceste dimensiuni erau, probabil, efectiv întrebuințate în tranzacțiile comerciale<sup>1)</sup>.

Aceste unități de măsură s-au păstrat încă și astăzi, prin tradiție, dar aceleași nume se referă adesea la lungimi care diferă de la o țară la alta și chiar în cuprinsul aceleiași țări.

Pentru a pune capăt acestei nepotriviri, o conferință internațională, întrunită la *Paris*, în 1889, a statornicit, ca unitate definitivă de lungime, *distanța*, la 0°C, între două linii fine, trase pe o riglă de platină iridiată<sup>2)</sup>.

**Metrul-etalon internațional** se păstrează la Sèvres și reprezintă distanța, măsurată la 0°C, între două trăsături fine, pe o riglă metalică de platină iridiată.

Această riglă a rămas în păstrarea biroului internațional de măsuri și greutateți de la Sèvres, lângă Paris, și reprezintă *metrul-etalon internațional*.

Forma ei, studiată așa ca să opună maximum posibil de rezistență la îndoire, cu minimum de material, se prezintă așa cum arată fig. 3.

<sup>1)</sup> Se pare că, totuși, babilonienii și alte popoare cu care aveau relații de comerț adoptaseră, printr-un fel de acord tacit, ca unitate comună de lungime, latura unui cub care putea să conțină un *talant* de apă, adică 26,2 kg.

<sup>2)</sup> Iridiul este cel mai dur dintre metale. Aliajul din care s-a făcut metrul-etalon conține 10% iridiu și 90% platină.

După această riglă s-au făcut copii, ce au fost distribuite tuturor țărilor care au aderat la convenție.

Problema alegerii cit mai rațională a etalonului de lungime a fost îndelung dezbătută, fiindcă, în principiu, trebuia legată de un fenomen natural, care să poată fi reprodus oricând și măsurat cit mai precis.

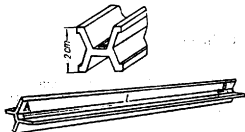


Fig. 3. Metrul etalon internațional.

această definire indirectă a unității de lungime nu este avantajoasă și a propus ca ea să fie aleasă prin comparație cu meridianul care trece prin Paris.

Aceeași comisie a mai propus ca împărțirea cercului să nu se mai facă în  $360^\circ$ , ci în  $400^\circ$ , iar gradul să aibă 100 de minute și minutul 100 de secunde.

Cercul complet ar fi avut, prin urmare, 4 000 000 de secunde, iar unitatea de lungime, numită *metru*, trebuia să aibă lungimea unui arc de meridian de 0,1 secunde.

Noua împărțire a cercului, deși mult mai rațională, n-a intrat în uz, așa că a rămas mai departe vechea împărțire *sexagesimală*, moștenită tocmai de la sumerieni.

Totuși, pe baza ei, metrul a fost definit ca a zecea milioana parte din sfertul lungimii meridianului care trece prin Paris.

Legarea etalonului de lungime de dimensiunile globului pămîntesc a fost justificată și de marile progrese pe care le făcuse mecanica cerească în acea epocă.

A urmat o serie de determinări geodezice ale lungimii meridianului, de la Dunkerque la Barcelona, care au durat mai mulți ani și apoi s-a construit o riglă de platină, pe care Adunarea Națională a legiferat-o, în 1799, ca *metru adevărat și definitiv*. Pe dînsa era gravat: „*pentru toate timpurile și pentru toate popoarele*”.

Determinări mai precise, făcute ulterior de Bessel<sup>1)</sup>, au arătat însă că, față de „metrul adevărat”, care se păstra pe atunci la arhivele din Paris, lungimea sfertului de meridian este de 10 000 856 m<sup>2)</sup>.

<sup>1)</sup> Friedrich Wilhelm Bessel (1784—1846), astronom și matematician de vază, fost profesor la universitatea din Königsberg (în prezent Kalinin-grad).

<sup>2)</sup> 10 001 846 m. după cele mai recente determinări.

Dar cum nu avea nici un sens ca etalonul, o dată stabilit, să tot fie modificat la fiecare determinare, mai precisă decît cele anterioare, și nici nu este probabil ca dimensiunile globului să rămînă strict invariabile cu timpul, el a fost menținut mai departe și, totuși, considerat ca definitiv.

De la 1840, metrul-etalon și sistemul metric au devenit obligatorii în Franța. Apoi, diferite conferințe internaționale de metrologie au dus, treptat, la convenția înființării, în 1875, a unui *birou internațional de măsuri și greutăți*, cu sediul la Sèvres lângă Paris și cu misiunea de a construi prototipuri, de a pune cîte o copie la dispoziția statelor aderente, de a controla periodic aceste copii și de a perfecționa metodele de comparație.

Rigla de platină, veche de aproape 100 de ani, a fost înlocuită cu alta, de aceeași lungime, dar făcută dintr-un material mai dur și sub o formă mai rezistentă la indoire.

*Ratificarea definitivă a prototipurilor construite s-a făcut la amintita conferință internațională, întrunită la Paris, în 1889.*

Țara noastră a aderat, încă din 1881, la convenția metrului și a primit copia respectivă.

La controlul făcut în 1921, s-a constatat că toate copiile făcute sînt exacte, cu o eroare de cel mult  $\pm 0,5 \mu^1$ .

Fiindcă nu știm încă dacă nu cumva metalele, după o depozitare foarte îndelungată, nu-și modifică dimensiunile geometrice, în urma fenomenelor lente de cristalizare internă, și pentru a evita complicațiile ce ar putea să intervină prin deteriorarea accidentală a etalonului de la Sèvres, s-a căutat un mijloc de a-l reconstitui, la nevoie.

Fizicienii *Fabry* și *Pérot*<sup>2)</sup> au găsit o metodă deosebit de precisă pentru determinarea lungimii de undă a liniei roșii din spectrul cădmiului.

În aer uscat, la presiunea normală și temperatura de  $0^\circ\text{C}$ , ea este de  $0,643\,850\,3 \mu$ .

În același scop mai folosim acum și o anumită linie verde din spectrul mercurului de masă atomică 198. Lungimea de undă a acestei linii este de  $0,546\,075\,3 \mu$ .

În situația de față, reconstituirea metrului-etalon este oricînd posibilă, cu o eroare de cel mult  $\pm 0,01 \mu$ .

Așa s-a îndeplinit, în sfîrșit, condiția, pusă chiar de la început, ca etalonul de lungime să fie legat de o constantă naturală, pe care să o putem determina destul de precis.

<sup>1)</sup>  $\mu$  = literă mică a alfabetului grăcesc. Se citește *micron* și reprezintă miimea de milimetru.

<sup>2)</sup> *Charles Fabry* (născut în 1867), fost profesor la universitatea din Paris.

*Alfred Pérot* (născut în 1863), fost profesor la școala politehnică din Paris.

Metrul are diferiți multipli și submultipli, dintre care următorii sînt cei mai obișnuiți:

<i>kilometrul</i> (km)	$= 10^3$	$m = 10^5$	cm
<i>centimetrul</i> (cm)	$= 10^{-2}$	m	
<i>milimetrul</i> (mm)	$= 10^{-3}$	$m = 10^{-1}$	cm
<i>micronul</i> ( $\mu$ )	$= 10^{-6}$	$m = 10^{-4}$	cm
<i>millimicronul</i> (m $\mu$ )	$= 10^{-9}$	$m = 10^{-7}$	cm
<i>ångström</i> (Å) <sup>1)</sup>	$= 10^{-10}$	$m = 10^{-8}$	cm (în spectroscopie)
<i>micromicronul</i> ( $\mu\mu$ )	$= 10^{-12}$	$m = 10^{-10}$	cm
<i>unitatea X</i> (U.X)	$= 10^{-13}$	$m = 10^{-11}$	cm (în razele X).

Cu ajutorul unităților de lungime se definesc apoi unitățile

de *arie*:            km<sup>2</sup>,        m<sup>2</sup>,        cm<sup>2</sup>        etc.  
și de *volum*:        m<sup>3</sup>,        dm<sup>3</sup>,        cm<sup>3</sup>        etc.

Submultiplii mai mici decît milimetrul nu se întrebunează în cazul acesta<sup>2)</sup>.

Tot cu unitățile de lungime putem exprima și *unghiurile la centru*:

Dacă  $r$  este raza cercului și  $l$  lungimea arcului respectiv, avem unghiul la centru

$$\alpha^3) = \frac{l}{r}.$$

El rezultă din raportul a două lungimi și este deci un *număr abstract*.

Raportul dintre arc și rază ne dă unghiul în radiani. Cercul complet are  $2\pi$  rad, iar 1 rad are  $57^{\circ}17'45''$ .

Cînd arcul este egal cu raza cercului,  $\alpha = 1$  și vom spune că unghiul la centru are un *radian* (rad).

Pentru cercul complet, vom avea deci:

$$\alpha = \frac{2\pi r}{r} = 2\pi \text{ rad.}$$

<sup>1)</sup> După numele fizicianului suedez *Anders J. Ångström* (1814—1874).

<sup>2)</sup> Nu putem spune un *micron cub* sau un *ångström pătrat*.

<sup>3)</sup>  $\alpha$  = prima literă a alfabetului grec. Se citește *alfa*.

Este ușor de calculat că un radian reprezintă  $57^{\circ}17'45''$ .

Normele STAS, din 1949, admit împărțirea cercului în 400 de grade. Unghiul drept are, prin această împărțire, 100 de grade centesimale, care se divid în câte 100 de minute, iar minutul în 100 de secunde. Notările respective pentru acestea sînt:  $1^g$ ,  $1^c$  și  $1^{cc}$ , iar gradul centesimal are  $\pi/200$  radiani.

**§ 8. Măsurarea lungimilor și a unghiurilor.** Măsurarea unei lungimi se poate face prin comparație cu orice riglă gradată, fie cu ochiul liber, fie cu instrumente măritoare.

Cînd precizia urmărită nu depășește milimetrul, ne vom servi de o riglă gradată în milimetri; dacă este nevoie de o precizie mai mare, ne servim de *vernier*, de *șuruburi micrometrice*, de *calibre*, de *comparatoare* sau de alte instrumente speciale.

*Vernierul* este o mică rigletă, care lunecă în lungul riglei principale. Pe această rigletă, lungimea a  $n-1$  diviziuni de pe rigla principală este împărțită în  $n$  diviziuni egale.

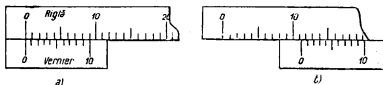


Fig. 4. Vernierul.

Rezultă că fiecare diviziune de pe vernier este cu  $1/n$  mai mică decât diviziunile de pe riglă, socotite că au lungimea-unitate.

Pentru a înțelege mai lesne principiul funcționării, să ne referim la fig. 4 a, în care lungimea a 9 diviziuni de pe riglă este împărțită în 10 părți pe vernier.

Aici diviziunile vernierului sînt cu  $1/10$  mm mai mici decât ale riglei, așa că numai începutul și sfîrșitul lor coincid cu diviziunile de pe riglă. Dacă am vrea să coincidă altă diviziune, de pildă a patra, ar trebui să-l mutăm spre dreapta cu 4 zecimi de milimetru, iar pentru a noua, cu 9 zecimi.

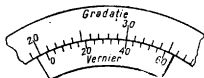


Fig. 5. Vernierul circular.

Se înțelege acum ușor de ce, în fig. 4 b, evaluăm deplasarea vernierului spre dreapta la 11,3 mm.

Acest vernier ne permite deci să apreciem zecimea de milimetru.

Există și alte combinații posibile, dintre care dăm numai câteva exemple:

Lungimea vernierului	Numărul diviziunilor	Precizia
19 mm	20	$1/20=0,05$ mm
49 mm	50	$1/50=0,02$ mm
18 mm	20	$1/10=0,1$ mm.

Precizia nu poate depăși limita de la care ochiul nu mai poate distinge care este adevărata diviziune a vernierului, în coincidență cu alta de pe riglă.

*Vernierul circular* este construit pe același principiu și ne permite să apreciem fracțiunile de grad sau minut (fig. 5).

Iată câteva din combinațiile posibile:

Gradația scalei în	Lungimea vernierului	Numărul diviziunilor	Precizia dată
grade	5 diviziuni	6'	10 min
grade	29 diviziuni	30	2 min
$1/2$ grad = 30'	29 diviziuni	30	1 min
$1/6$ grad = 10'	29 diviziuni	30	20 sec.

*Șurubul micrometric* (fig. 6) este format dintr-un șurub cu pasul cunoscut, la care este adaptat un *tambur gradat*, ce se poate roti în fața unui reper *R*. Dacă pasul șurubului este de 1 mm, și tamburul este divizat în *n* părți egale, rotirea lui cu o diviziune face șurubul să înainteze cu  $1/n$  mm.

De obicei se dă șurubului fie pasul de 1 mm, fie acela de 0,5 mm, iar tamburul se gradează, după cât e diametrul de mare, în 50, 100 sau 500 de părți.

*Calibrul conic sau triunghiular* servește pentru măsurarea diametrelor interioare.

Un con de oțel, sau o piesă triunghiulară poartă o serie de diviziuni, care arată grosimea în punctul respectiv (fig. 7).

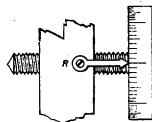


Fig. 6. Șurubul micrometric.

Principiul este prea simplu ca să mai aibă nevoie de o explicație amănunțită.

Precizia este cu atât mai mare, cu cât unghiul de la vîrf este mai mic, dar practic nu este chiar atât de mare, fiindcă, dacă



Fig. 7. Calibru triunghiular.

unghiul este prea mic, forța laterală de apăsare devine atât de mare, încît poate să dea naștere la deformări ale conturului de măsurat.

Singurul avantaj real constă numai în simplitatea și rapiditatea operației de măsurare.

*Calibrele fixe* se întrebuintează în industrie pentru controlul rapid al pieselor metalice fabricate și asigură o precizie mai mare de 1/1 000 mm.

Fig. 8 reprezintă unul din modelele curente.

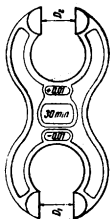


Fig. 8. Calibru industrial fix.

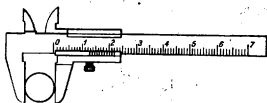


Fig. 9. Șublerul.

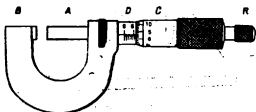


Fig. 10. Micrometrul.

*Șublerul* (sau compasul cu culisă) este construit așa cum arată fig. 9 și funcționează pe principiul vernierului.



Pe o riglă gradată în milimetri, făcută din oțel dur și terminată cu o talpă dreaptă, lunecă un cursor care poartă vernierul, și o a doua talpă, ce se mișcă o dată cu dînsul.

Piesa de măsurat se introduce între cele două tălpi, apoi o stringem ușor apropiindu-le și citim diviziunile de pe riglă și vernier.

Părțile superioare ale tălpilor, care lunecă una peste alta, servesc la măsurarea diametrelor interioare.

*Micrometrul* (sau palmerul) este construit așa cum arată fig. 10 și funcționează pe principiul șurubului micrometric.

Obiectul de măsurat se introduce între virful tamburului *A* și piesa de reazem *B*.

Piesa cilindrică *D* poartă diviziuni în milimetri, iar tamburul *C* este divizat în sutimi.

Rozeta *R*, care se rotește o dată cu șurubul, dar nu este legată rigid de dînsul, ne permite să evităm erorile ce ar proveni din forțarea șurubului. La un efort prea mare, ea începe să lunece.

*Sferometrul* servește, după cum arată și numele, la determinarea razei sferelor sau calotelor sferice, dar poate fi întrebuințat și la măsurarea directă a grosimilor.

El este construit așa cum arată fig. 11, și se bazează pe principiul șurubului micrometric.

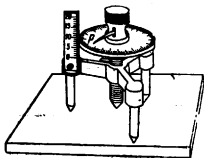


Fig. 11. Sferometrul.

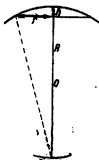


Fig. 12. Raza unei calote sferice.

Cînd picioarele sînt așezate pe o suprafață plană, iar șurubul ajunge în contact cu dînsa, tamburul arată diviziunea zero.

Dacă se introduce sub șurub grosimea de măsurat, scala verticală ne dă milimetrii sau jumătățile de milimetru, după cum este pasul șurubului, iar tamburul gradat ne dă fracțiunile, în unele modele până la  $1/1\,000$  mm.

Ca să putem evita erorile ce ar putea să provină dintr-o eventuală forțare a șurubului, o pîrghie  $P$  este așa fel articulată, încît începe să se ridice automat cînd vârful ascuțit ajunge în contact cu obiectul de sub el.

Tot așa se procedează cînd vrem să măsurăm raza unei calote sferice, de pildă a unei lentile concave sau convexe.

Referindu-ne la fig. 12, dacă notăm cu  $r$  raza cercului care trece prin cele trei picioare, cu  $h$  înălțimea calotei astfel delimitată și cu  $R$  raza sferei din care a provenit, avem

$$r^2 = h(2R - h),$$

sau, dacă dezvoltăm și apoi neglijăm termenul  $h^2$ , în comparație cu  $2Rh$ , găsim că:

$$R \approx \frac{r^2}{2h},$$

iar aproximația făcută este cu atît mai bună, cu cît raza de măsurat a calotei este mai mare.

**§ 9. Forța.** Noțiunea de forță ( $F$ ) o căpătăm din viața de toate zilele, prin simțul muscular.

Cînd ridicăm un obiect, exercităm o forță și simțim cum obiectul apasă în palmă cu altă forță, pe care o numim *greutate*.

Cînd sprijinim cotul de masă, de asemenea dezvoltăm o forță, la care masa opune altă forță, pe care o numim *rezistență* sau *reacțiune*.

La fel se întîmplă dacă apăsăm palma dreaptă pe palma mîinii stîngi: fiecare mînă dezvoltă atunci o forță și simte opunerea celeilalte.

Dacă încercăm să întindem un resort, sau dacă îndoim o riglă de lemn, simțim și aici o rezistență, cu atît mai mare cu cît împingem deformarea mai departe.

În sfîrșit, cînd vrem să oprim un vehicul, sau un corp care se mișcă, or dacă încercăm să-l deviem din drumul lui, sau să-l facem să se miște din ce în ce mai repede, după ce l-am scos din repaus, *adică să-i modificăm, într-un fel oarecare, starea lui de mișcare*, întîmpinăm totdeauna o rezistență și trebuie să dezvoltăm un efort muscular.

Din exemplele date, noțiunea de forță apare deocamdată ca *subiectivă*, fiindcă se referă la efortul muscular și la senzația de rezistență întâmpinată.

Ea devine însă *obiectivă*, imediat ce observăm că acțiuni analoge cu efortul muscular există și în lumea exterioară, ca însușiri ale materiei.

Sub acțiunea greutății proprii; care e tot o forță, vehiculul se oprește de la sine, cînd urcă o pantă, sau pornește din ce în ce mai repede la vale; iar ca să întindem resortul sau să îndoim rigla nu e neapărată nevoie de un efort muscular. Putem atârna de ele o greutate și aplicăm astfel o forță, la care corpul deformat răspunde, ca și mai înainte, cu altă forță. Acțiunile noastre proprii sînt astfel înlocuite cu acțiunile altor corpuri, la care devenim simpli *observatori*.

Principiul cauzalității ne obligă atunci să admitem că orice deformare și orice schimbare a stărilor de mișcare se datoresc unor forțe și dau naștere altor forțe opuse.

Forțele sînt acțiuni analoge cu efortul muscular și tind să producă deformări sau să modifice mișcarea corpurilor. Ele apar pe perechi, în acțiunea reciprocă dintre două corpuri.

*Vom numi deci forță orice acțiune capabilă să deformeze corpurile sau să le modifice mișcarea, cit și orice rezistență la aceste schimbări.*

Mai trebuie să adăugăm că *nici o forță nu poate să existe singură.*

Forțele apar totdeauna *pe perechi*, între două corpuri diferite, sau între două părți diferite ale aceluiași corp.

Tot principiul cauzalității ne obligă să admitem că, pe lângă schimbarea dimensiunilor geometrice ale corpurilor, deformarea implică și o schimbare a structurii lor interne, capabilă să le comunice însușirea de a dezvolta forțe de opunere.

Vom spune că un corp deformat se găsește într-o *stare de tensiune* și că înaintea deformării se găsea în *stare de relaxare*.

Starea de tensiune dispare o dată cu deformarea, dar poate să dispară și printr-un fenomen de *relaxare internă*, care se face într-un timp mai lung sau mai scurt. Corpul păstrează atunci, parțial sau total, deformarea suferită și nu mai tinde să revie la forma inițială (v. § 83).

Aceasta se întîmplă mai ales la corpurile așa-zise *moi* sau *plastice*: smoala, ceara, parafina, plumbul etc., dar proprietatea este generală și toate corpurile cunoscute sînt mai mult sau mai puțin *plastice*, dacă le deformăm peste măsură, sau timp îndelungat.

Deocamdată, în cele ce urmează, nu vom ține seamă de aceste fenomene.

§ 10. **Măsurarea forțelor.** Fenomenele de deformare ne dau mijlocul cel mai simplu de a măsura forțele, adică de a le compara cu o unitate aleasă arbitrar.

**Kilogramul-forță** reprezintă aproximativ greutatea unui decimetru cub de apă luat la  $+4^{\circ}\text{C}$ , la nivelul mării și la latitudinea de  $45^{\circ}$ .

Vom conveni ca această unitate să fie, deocamdată, **kilogramul-forță**, adică greutatea aproximativă a unui decimetru cub de apă distilată, la temperatura de  $+4^{\circ}\text{C}$ , la nivelul mării și latitudinea de  $45^{\circ}$ .

Kilogramul-forță se notează cu *kgf*.

Mai târziu vom reveni asupra definiției de față și vom vedea că în fizică mai folosim și alte unități de forță.

Aparatele cu care măsurăm forțele se numesc *dinamometre* și tipul cel mai simplu constă dintr-un resort elicoidal de oțel *r*, prevăzut cu un cîrlig și cu o gradație în lungime (fig. 13 a).

De acest resort se atîrnă mai întîi greutateți cunoscute și se notează alungirile corespunzătoare cu  $\Delta l$ .



Fig. 13 a.  
Principiul  
dynamometru-  
lui.

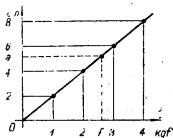


Fig. 13 b. Curba de etalonare a  
unui dinamometru.

Cu ajutorul datelor experimentale obținute, se trasează apoi *curbă de etalonare*, așa cum arată fig. 13 b.

Această curbă este, de obicei, o dreaptă, care trece prin originea coordonatelor și alungirile  $\Delta l$  sînt direct proporționale cu greutatea atîrnate, dacă evităm supraîncărcarea resortului.

Dacă acum, sub acțiunea unei forțe necunoscute, resortul capătă alungirea  $a$  interpolarea pe curbă ne permite să aflăm intensitatea  $p$  a acelei forțe.

De obicei, gradarea dinamometrelor se face direct în kilograme-forță și li se dă, între altele, aspectele din fig. 14.

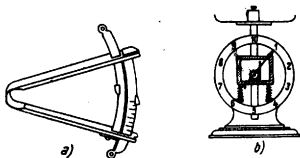


Fig. 14. Dinamometre.

Sub această formă ele sînt adesea întrebuintate în gospodării, la cîntărit<sup>1)</sup>.

Greutatea unui corp dat, adică forța cu care-l atrage Pămîntul, depinde, între altele, de latitudinea geografică a locului în care ne găsim. Ea scade de la poli spre ecuator, din cauza turtirii globului sau a mișcării lui diurne de rotație și este mai mare la nivelul mării decît pe munte, din pricina diferenței de depărtare, față de centrul Pămîntului.

Peste aceste cauze de variație, se mai suprapun și altele, despre care vom discuta mai tîrziu.

Dacă am defini kilogramul-forță numai prin greutatea unui anume volum de apă, fără specificarea locului de observație, am avea o unitate variabilă cu locul, care n-ar mai putea fi admisă ca etalon. Acesta e motivul pentru care a trebuit să se aleagă, pentru referință, latitudinea de  $45^\circ$  și nivelul mării.

De aici apare însă o nouă complicație: un dinamometru gradat la această latitudine va indica, pentru unul și același obiect, greutăți diferite, la latitudini sau înălțimi diferite, așa că va trebui să facem cuvenita corecție a erorilor sistematice.

<sup>1)</sup> Folosirea lor în comerț nu este permisă, din cauza eventualelor deformări permanente ale resortului și fiindcă greutatea variază cu locul de observație.

În măsurările obișnuite, asemenea erori nu au prea multă importanță pentru țara noastră, fiindcă diferența de latitudine, față de  $45^\circ$ , e destul de mică. La București ele ating abia  $1/10\,000$ , în valoare relativă.

Afară de kilogramul-forță, putem folosi multiplii și submultiplii lui, în special *tona-forță* (tf), *gramul-forță* (gf) și *miligramul-forță* (mgf).

§ 11. **Masa.** Dacă transportăm un corp oarecare, dintr-un loc în altul, greutatea lui poate să varieze o dată cu atracția Pământului, *dar corpul însuși nu suferă nici o schimbare cantitativă, cîlă vreme nu adăugăm nici nu scoatem nimic material din el.*

Va trebui deci ca la orice corp să deosebim două mărimi

Masa rămîne invariabilă și depinde de cantitatea de materie, pe cînd greutatea variază cu locul.

1. *Una care rămîne cantitativ constantă și se numește masă (m).*

2. *Alta, care variază cu locul și se numește greutate (G).*

Masa depinde de cantitatea de materie pe care o conține corpul, iar greutatea este forța cu care Pământul atrage această masă.

În general, două corpuri date au mase diferite, cînd, în același loc de observație, unul din ele este mai greu decît celălalt.

Masele sînt direct proporționale cu greutateile și pot fi comparate prin cîntărire.

*Masele sînt, în acest caz, direct proporționale cu greutateile relative.*

Cînd corpurile sînt deopotrivă de grele, masele sînt egale, chiar dacă volumele ar fi diferite.

Odată cu greutateile, masele pot fi comparate prin simplă cîntărire.

Spre deosebire de noțiunile de forță și greutate, de care oamenii s-au servit încă din timpuri foarte îndepărtate, noțiunea de masă își face apariția în fizică abia în a doua jumătate a veacului al XVII-lea, prin lucrările lui Newton<sup>1)</sup> care, pentru prima dată, a înțeles că orice corp trebuie caracterizat printr-o anumită mărime fizică, proporțională cu greutatea, dar diferită de greutate.

<sup>1)</sup> Isaac Newton (1642—1727). Vestit matematician, astronom și fizician englez, considerat ca fondatorul mecanicii clasice, numită și newtoniană. A descoperit legile atracției universale, care stau la baza astronomiei moderne, a inventat calculul diferențial și s-a ilustrat, între altele, prin cercetări fundamentale asupra luminii.

Totuși, el nu izbuteste să dea o definiție corectă acestei mărimi, cînd scrie că masa este *cantitatea de materie* a unui corp, *exprimată prin produsul dintre volum și densitate*.

Prima greșeală este că masa nu e chiar cantitatea de materie, pe care nu o putem evalua, ci depinde numai, într-un fel oarecare, de cantitatea de materie aglomerată.

A doua greșeală este o *tautologie*<sup>1)</sup> fiindcă, deși masa e, în adevăr, dată de produsul dintre volum și densitate, acest produs nu o poate defini, știind că densitatea, la rîndul ei, se exprimă doar prin masa unității de volum.

În cap. III *Dinamica*, vom da o definiție mai corectă. Menționăm însă, de la început, că atît noțiunea de masă, cît și aceea de forță, sînt în realitate mult mai complexe.

**§ 12. Conservarea masei.** *Masa unui corp, sau a unui sistem de corpuri este constantă, cîtă vreme nu intervin nici un fel de schimburi materiale cu exteriorul.*

Această lege, a *conservării masei*, a fost întrevăzută de *M. V. Lomonosov*<sup>2)</sup> în 1748 și completată mai tîrziu de *Lavoisier*<sup>3)</sup>, prin cunoscutele lui cercetări asupra fenomenelor de oxidare.

În fizică, orice sistem care satisface condiția de a nu suferi schimburi materiale cu exteriorul se numește *sistem izolat* sau *sistem închis*.

Legea conservării masei a fost verificată prin cercetări meticuloase, în cele mai variate cazuri posibile, și cu metode de cîntărire ce merg pînă la precizia de  $1/10^9$  din masa totală.

Nici schimbările de stare, nici reacțiile chimice oricît de violente, nu au permis încă să constatăm o variație de masă mai mare decît acelea care se încadrează în erorile experimentale.

Anumite procese, ce se petrec în lumea atomilor, principiul relativității și legătura dintre masă și energie, despre care vom discuta mai tîrziu, ne vor arăta în ce măsură această lege trebuie completată.

<sup>1)</sup> În logică, se numește *tautologie* sau *cerc vișios* orice raționament în care se dă ca dovadă tocmai ceea ce trebuie demonstrat.

<sup>2)</sup> *Mihail Vasilievici Lomonosov* (1712—1765) este părintele școalei ruse de fizică și chimie. În fizică s-a ilustrat mai ales prin concepțiile lui înaintate asupra structurii materiei și prin cercetări fundamentale în căldură, optică și electricitate.

<sup>3)</sup> *Antoine Laurent Lavoisier* (1743—1794). Fizician și chimist francez, considerat ca unul din principalii fondatori ai chimiei moderne. A fost ghilotinat în timpul revoluției.

De remarcat că, aproape cu 1000 de ani înaintea lui Lavoisier, fenomenele de ardere au fost interpretate corect de alchimistul chinez *Mao-Hoa*

Deocamdată o vom considera ca perfect valabilă, sub forma enunțată, în toate fenomenele ce decurg la scara și în condițiile obișnuite, adică în tot domeniul așa-numitei *mechanici clasice* sau *newtoniene*.

§ 13. Etalonul de masă, ratificat prin convenția de la Paris, odată cu etalonul de lungime, adică în 1889, este un cilindru de platină iridiată, cu marginile rotunjite și se numește kilogram internațional (kg).

Etalonul internațional de masă se numește kilogram și se păstrează la Sèvres. El reprezintă aproximativ masa unui decimetru cub de apă distilată, la  $+4^{\circ}\text{C}$  și este un cilindru de platină iridiată.

El se păstrează la Sèvres și reprezintă aproximativ masa unui decimetru cub de apă distilată, luat la temperatura de  $+4^{\circ}\text{C}$ .

Copii după acest etalon au fost repartizate tuturor țărilor care au aderat la sistemul metric.

Kilogramul are diferiți multipli și submultipli, dintre care cei mai curenți în practică sînt:

tona (t)	= 1 000 kg = $10^6$ g
decagramul (dag)	= $10^{-2}$ kg = 10 g
gramul (g)	= $10^{-3}$ kg
decigramul (dg)	= $10^{-4}$ kg = $10^{-1}$ g
centigramul (cg)	= $10^{-5}$ kg = $10^{-2}$ g
miligramul (mg)	= $10^{-6}$ kg = $10^{-3}$ g
microgramul ( $\gamma$ ) <sup>1)</sup>	= $10^{-9}$ kg = $10^{-6}$ g (în analize chimice).

Odată lămurită problema etalonului de masă, îmi rămîn de făcut unele precizări și anume:

1. Unitatea de masă (kilogramul) și unitatea de forță (kilogramul-forță) poartă nume asemănătoare.

Ca să nu rezulte confuzii, nu trebuie să uităm că, în timp ce kilogramul reprezintă masa etalonului de la Sèvres, kilogramul-forță reprezintă greutatea aceluia etalon, dacă l-am duce la nivelul mării și la latitudinea de  $45^{\circ}$ .

2. În lungul acestor paralele geografice, masa și greutatea unui corp se exprimă prin același număr, dar, la alte latitudini

<sup>1)</sup>  $\gamma$  = literă mică grecească. Se citește *gama*.



sau înălțimi, valorile lor numerice vor fi diferite. Faptul se datorește numai modului special în care am ales unitatea de forță, iar egalitatea numerică nu implică nicicum o egalitate fizică, ci doar o simplă proporționalitate, în care raportul este 1.

3. Pentru a nu mai folosi aceeași denumire, s-a propus, pentru kilogramul-forță (kgf) numele de *kilopond* (kp), iar în U.R.S.S. acela de *kilograv* (kv). Nici una din aceste propuneri n-a fost încă adoptată legal, cu toate că sînt perfect justificate.

4. Cu ajutorul etalonului de masă, putem defini corect *unitatea de capacitate volumetrică*, numită *litru*.

Un litru de apă distilată are, la  $+4^{\circ}\text{C}$ , exact masa de un kilogram.

*Un litru este volumul de apă distilată care, la temperatura de  $+4^{\circ}\text{C}$ , are exact masa de un kilogram.* El nu reprezintă decît decit

*aproximativ* capacitatea unui decimetru-cub.

5. Alegerea etalonului de masă a mers în paralel cu a unității de lungime, de care trebuia să fie direct legată, dacă se putea realiza condiția ca el să aibă exact masa unui decimetru-cub de apă distilată, la  $+4^{\circ}\text{C}$ .

În faptă, etalonul de la Sèvres are cu 27 mg mai puțin, după ultimele determinări făcute, așa că definirea lui prin masa unui anumit volum de apă nu mai este decît aproximativă. Altfel ar fi fost mereu legată de perfecționarea metodelor de măsură.

§ 14. *Noțiunea de timp. Timpul ( $t$ ) este o mărime fizică ce caracterizează succesiunea fenomenelor materiale.*

Timpul caracterizează succesiunea fenomenelor materiale.

El se exprimă în diferite unități: mileniu, secol, an, zi etc., dar unitatea științifică este *secunda* (s).

*O secundă reprezintă 1/86 400 din durata unei zile solare mijlocii.*

Anul tropic are 365,242 zile solare mijlocii și fiecare din ele cuprinde cîte 86 400 s.

Cum în cursul unui *an tropic*, adică în timpul unei revoluții complete în jurul Soarelui, Pămîntul se rotește de 365,242 ori în

jurul axei lui, înțelegem prin *zi solară mijlocie* 1/365,242 din durata anului tropic.

Nu trebuie să confundăm ziua solară mijlocie, astfel definită, pe care o mai numim și *zi civilă*, cu *ziua solară adevărată*, definită prin intervalul de timp dintre două treceri consecutive ale Soarelui, la meridianul locului.

Din cauza rotației neuniforme a Pământului pe orbită, care se suprapune peste rotația diurnă, aceste treceri nu se mai produc la intervale riguros egale, așa că *ziua solară adevărată variază cu anotimpul, pe cînd ziua civilă e constantă*.

Pentru măsurarea timpului, ne putem servi de pendul, ale cărui oscilații se repetă după intervale egale, de cronometre, de diapazoane, care dau un număr cunoscut de vibrații pe secundă și, în genere, de orice fenomene cu durată știută.

Succesiunea și repetarea periodică a zilelor și nopților, precum și a fenomenelor climatologice, au dat omului, încă din timpuri străvechi, o primă noțiune despre scurgerea timpului.

O indicație mai precisă a venit apoi din observarea mișcării aparente a Soarelui și a stelelor, pe bolta cerească, de unde, treptat, s-a născut *astrologia* și apoi *astronomia*.

*Herodot* ne spune că împărțirea zilei în 24 de ore vine de la sumerieni și că tot ei au inventat primele ceasuri, cu care timpul se putea evalua prin cantitatea de apă ce curgea dintr-un vas găurit. Grecii le-au numit *clepsidre*.

În timpul babilonienilor apare apoi *ceasul solar*, pe care-l numim *gnomom*.

Aici ora poate fi cunoscută fie prin direcția, fie prin lungimea umbrei unui baston vertical (fig. 15 a).

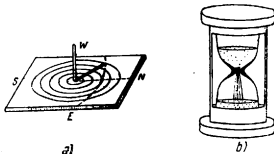


Fig. 15. Gnomom și clepsidră.

Se pare că obeliscurile din Egipt nu erau simple monumente fără utilitate practică. Ele serveau ca imense ceasuri de soare și, cînd unele din ele au fost aduse în Europa, li s-a dat aceeași întrebuințare.

Gnomomul și clepsidra, uneori sub forme deosebit de ingenioase, au rămas, pînă prin veacul al XVII-lea, singurele ceasuri cunoscute. Nici astăzi

n-au fost parăsite cu totul, fiindcă mai găsim încă ceasuri de soare iar clepsidrele sînt adesea folosite în gospodărie, numai că apa este înlocuită cu nisip (fig. 15 b).

Prima metodă comodă și precisă de măsurare a timpului apare odată cu lucrările lui *Galileu*<sup>1)</sup> asupra oscilațiilor pendulului și datează de la sfîrșitul veacului al XVI-lea.

În fine, pe la 1657, *Huyghens*<sup>2)</sup> construiește părintele ceasurilor de astăzi, făcînd ca oscilațiile pendulului să fie întreținute prin căderea lentă a unei greutăți.

Tehnica orologeriei s-a dezvoltat apoi rapid, odată cu perfecționarea mijloacelor de prelucrare mecanică fină și, în prezent, grație aliajelor speciale cu dilatare foarte mică la încălzire, pendulele astronomice obișnuite asigură o precizie de cîteva zecimi de secundă pe lună.

Cronometrele obișnuite, de buzunar, ne permit să măsurăm zecimea de secundă, dar există și cronometre electrice, cu care putem aprecia miimea de secundă și chiar milionimea.

În sfîrșit, folosind vibrațiile unei lame de cuarț, menținută la temperatură constantă, putem construi ceasuri speciale, care asigură precizia de  $\pm 0,003$  s pe lună, iar în ultimul timp chiar această precizie a fost depășită de ceasurile cu substanțe radioactive.

De unde, altă dată, mișcarea stelelor ne permitea să reglăm ceasornicele, sîntem astăzi în măsură să controlăm această mișcare, cu ajutorul ceasornicelor.

## UNITĂȚI FUNDAMENTALE DE MĂSURĂ

§ 15. **Sisteme de unități.** Exprimarea cantitativă a mărimilor fizice implică, de la început, alegerea unui *sistem de unități*.

Ar fi cu totul incomod să avem cîte o unitate particulară, pentru fiecare mărime în parte, definită independent de celelalte și este mult mai simplu ca, folosind anumite *relații cantitative*, să le exprimăm pe toate cu ajutorul unui număr cît mai restrîns de *unități fundamentale*.

De pildă, ca să măsurăm volumele și suprafețele, am putea să alegem arbitrar, ca unități independente, volumul unui pahar și suprafața unei farfurii anumite, dar este mult mai comod să

<sup>1)</sup> *Galileo Galilei* (1564—1642). Fizician și astronom, fost profesor la Pisa și la Padova. A descoperit legile căderii corpurilor, legile pendulului și o seamă de fenomene fundamentale în mecanică; a demonstrat existența greutății aerului, a construit prima lunetă astronomică și a dat principiul termometrului.

A fost persecutat de inchiziție și obligat să abjure teoria heliocentrică. enunțată de *Copernic*, după care Pămîntul se rotește în jurul Soarelui.

<sup>2)</sup> *Christian Huyghens* (1629—1695). Fizician și matematician olandez, unul dintre fondatorii teoriei ondulatorii a luminii. A studiat și formulat, pentru prima dată legile pendulului compus.

Juăm un cub și un pătrat, cu latura egală cu unitatea de lungime, considerată ca fundamentală.

Metrul-cub și metrul-pătrat, astfel definite, nu mai sînt unități *independente*, ci unități *derivate*.

Unitățile fizice pot să derive din unitățile fundamentale de lungime, timp și masă sau forță. Cu ajutorul lor definim sistemele CGS, MKS și MKFS.

*Folosind această metodă, se constată că toate unitățile fizice pot să derive din trei unități fundamentale, dintre care primele două sînt lungimea și timpul, iar a treia masa sau forța.*

Rezultă astfel trei sisteme de unități fundamentale.

1. *Sistemul fizic CGS, în care unitățile de bază sînt metrul, gramul și secunda.*
2. *Sistemul practic MKS, cu unitățile de bază metrul, kilogramul-masă și secunda.*

Acestea trei sînt suficiente în mecanică, dar în alte capitole de fizică, din motive pe care le vom arăta la timpul lor, se mai adaugă și cîte o a patra unitate specială, pentru temperatura absolută, intensitatea de curent electric, sau intensitatea luminoasă.

3. *Sistemul tehnic MKFS, în care unitățile fundamentale sînt metrul, kilogramul-forță și secunda.*

Folosirea acestui sistem este limitată numai în domeniul ingineresc al mecanicii și construcțiilor.

Denumirile celor trei sisteme vin de la inițialele unităților fundamentale respective.

Sistemul CGS a fost propus încă din 1861 și adoptat prin rezoluția congresului electricienilor, din 1881.

*El este bine încheiat și s-a impus, mai ales în cercetările științifice.*

La același congres au fost alese și așa-numitele *unități practice*, care au primit numele de *volt, amper, ohm* etc. Ele nu formau, propriu-zis, un sistem complet, ci se defineau numai ca multipli sau submultipli ai unităților fundamentale CGS.

Ulterior, electricienii s-au îndreptat mai ales către unitățile practice, pe care le-au mai completat, iar mecanicienii au creat, pentru uzul lor, sistemul tehnic MKFS.

În dorința de a se găsi o soluție convenabilă pentru toți, s-a propus mai tirziu adoptarea generală a sistemului MKS.

Cei ce se opuneau erau mai ales fizicienii, pentru cari sistemul CGS avea numeroase avantaje. Ei au cedat însă, în principiu, la o conferință internațională din 1948 și, în prezent, se studiază posibilitățile de generalizare a sistemului MKS, pe baza unor propuneri făcute de Giorgi, încă din 1901.

Această alegere lasă nemodificate vechile unități practice din electrificitate și le schimbă numai definiția.

În proiectul de standard, alcătuit în 1949, s-a propus:

1. Introducerea în R.P.R. a sistemului MKS, ca sistem practic general.
2. Aplicarea obligatorie a acestui sistem, în redactarea manualelor și textelor *tehnice*, de la ianuarie 1950.
3. Utilizarea în paralel a sistemelor CGS și MKS în cărțile și lucrările *științifice*.
4. Folosirea temporară a sistemului MKfS, ca sistem tolerat, cu aplicații restrinse numai în mecanică.

§ 16. **Dimensiuni și ecuații de dimensiuni.** Într-un sistem dat de unități, unele mărimi pot fi măsurate prin simpla comparație cu unitățile fundamentale, iar altele implică folosirea unităților derivate.

De pildă, în sistemele CGS și MKS, masa, lungimea și timpul se măsoară cu unitățile fundamentale, iar *forța* implică o unitate derivată, pe când în sistemul MKfS ne servim de unitățile de lungime, timp și forță, ca să definim o unitate derivată pentru *masă*.

Unitățile derivate se definesc prin mărimile fundamentale, cu ajutorul ecuațiilor de dimensiuni.

*Definirea unităților derivate depinde numai de felul în care am ales unitățile fundamentale și se poate face cu ajutorul așa-numitelor ecuații de dimensiuni fizice.*

Vom lua ca exemplu sistemele în care mărimile fundamentale sînt *lungimea, masa și timpul*, iar unitățile respective le vom nota cu  $L$ ,  $M$  și  $T$ .

Dacă, într-un asemenea sistem, o unitate derivată  $D$  depinde de puterea  $x$  a lungimii, de puterea  $y$  a masei și de puterea  $z$  a timpului, vom scrie *simbolic* și vom numi *ecuație de dimensiuni*, relația:

$$[D] = L^x M^y T^z.$$

Vom spune atunci că unitatea derivată are dimensiunile  $x$ ,  $y$  și  $z$ , în raport cu unitățile fundamentale din sistemul ales.

Dimensiunile unei unități ne arată modul în care derivă din unitățile de bază ale sistemului.

*Dimensiunile unei unități oarecare ne arată deci în ce mod această unitate derivă din unitățile de bază ale sistemului ales.*

În vorbirea curentă se poate spune, subînțelegînd același

lucru, că însăși mărimea exprimată prin unitatea  $D$  are dimensiunile  $L^x M^y T^z$  față de mărimile fundamentale din sistem.

**Numerele abstracte nu au dimensiuni fizice.** *Numerele abstracte, ce apar în diferitele relații cantitative, nu au semnificație fizică, nici unități de măsură și de aceea nu li se atribuie dimensiuni.*

Ecuațiile de dimensiuni au deosebită importanță în fizică, deoarece:

1) *Ne arată în ce mod o unitate derivată depinde de unitățile fundamentale alese.*

*Exemplu.* Să presupunem că, din studiul unui fenomen fizic, aplicând sistemul CGS, constatăm că o mărime dată  $X$ , variază direct proporțional cu suma a două mase  $m$  și  $m'$ , tot direct proporțional cu produsul a două lungimi  $l$  și  $l'$  și invers proporțional cu pătratul timpului  $t$ .

Legea cantitativă a fenomenului va fi, în cazul acesta,

$$X = K \frac{m+m'}{t^2} l \cdot l',$$

unde  $K$  este un factor numeric de proporționalitate, fără dimensiuni fizice.

Suma celor două mase va fi tot o masă și o vom scrie simbolic  $[m+m'] = M$ .

Produsul celor două lungimi va avea dimensiunile:

$$[l \cdot l'] = L \cdot L = L^2.$$

Dimensiunile mărimii  $X$  vor fi deci:

$$[X] = \frac{L^2 M}{T^2} = L^2 M T^{-2}$$

și unitatea derivată, în care o măsurăm, se va numi centimetru-pătrat gram pe secundă-pătrat, sau mai simplu,  $\text{cm}^2 \cdot \text{g} \cdot \text{s}^{-2}$ .

2) *Ne permit să trecem cu ușurință de la un sistem de unități la altul.*

Exemple numeroase vom găsi mai târziu, în cursul dezvoltării diferitelor capitole viitoare.

3) *Pot să ne dea o primă indicație, cu privire la eventuale greșeli pe care le-am făcut în stabilirea unei legi fizice.*

O relație fizică ne-omogenă în dimensiuni este cu siguranță greșită.

Relația este atunci *neomogenă* în dimensiuni și *cu siguranță greșită*.

*Exemplu.* Studiind căderea corpurilor, Galileu a plecat întâi de la ipoteza că viteza este direct proporțională cu spațiul parcurs.

Relația cantitativă ar fi trebuit să fie atunci

$$v = Ks,$$

unde  $K$  este un factor numeric de proporționalitate.

Experiența nu a verificat această ipoteză; dar dacă Galileu ar fi cunoscut ecuațiile de dimensiuni, ar fi trebuit să observe de la început că viteza fiind, prin definiție, un spațiu (adică o lungime), raportat la un timp, ecuația de dimensiuni capătă forma:

$$\frac{L}{T} = L \quad \text{sau} \quad L = LT$$

și, nefiind omogenă, duce la o absurditate, fiindcă nu putem compara unitatea de lungime, cu unitatea de lungime înmulțită cu timpul.

4) *In sfârșit, tot cu ajutorul ecuațiilor de dimensiuni, putem stabili „a priori” forma probabilă a unei legi fizice, în cazul cînd anumite ipoteze, făcute inițial, ar fi justificate.*

*Exemplu.* Să presupunem că nu cunoaștem încă legile căderii corpurilor și că plecăm de la ipoteza că spațiul ar fi direct proporțional cu accelerația  $g$  și cu timpul  $t$ .

Am avea atunci, prin ipoteză, legea cantitativă:

$$s = Kgt.$$

Dar dimensiunile lui  $g$  în sistemul CGS sînt  $LT^{-2}$  și ecuația de dimensiuni capătă forma:

$$L = L T^{-2} T.$$

Ea nu este omogenă și, ca să devină, trebuie să punem  $T^2$ , în locul lui  $T$ . Spațiul nu poate fi deci direct proporțional cu timpul, ci cu *pătratul timpului* și forma probabilă a relației căutate impune ca

$$s = Kgt^2.$$

Experiența o verifică, arătîndu-ne totodată că valoarea numerică a lui  $K$  este  $1/2$ .

Exemplul dat pare foarte simplu, dar se cunosc numeroase cazuri, în care ecuațiile de dimensiuni au dat indicații prețioase, în formularea unor legi mult mai complicate.

## NOȚIUNI ELEMENTARE ASUPRA VECTORILOR

### § 17. Mărimi vectoriale și mărimi scalare.

Există în natură unele mărimi, de pildă forța și viteza, la care, pe lângă valoarea numerică, leosebim un *sens* și o *direcție* de acțiune.

Asemenea mărimi, numite *dirijate* sau *vectoriale*, pot fi reprezentate convențional printr-un segment de dreaptă  $Oa$  (fig. 16), orientat în spațiu după direcția respectivă și terminat cu o săgeată, ce arată sensul în care acționează.

Lungimea acestui segment, numit *vector*, este proporțională, la o scară aleasă arbitrar, cu mărimea considerată, iar punctul  $O$  este *originea* lui sau *punctul de aplicație*<sup>1)</sup>.

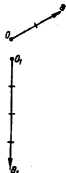


Fig. 16. Vectori

Mărimile dirijate pot fi reprezentate prin vectori, iar cele nedirijate sînt mărimi scalare.

în raport cu unitatea corespunzătoare și se numesc *mărimi scalare*.

Există însă și *mărimi nedirijate*, cum ar fi masa, timpul sau temperatura. Ele nu pot fi reprezentate prin vectori, se exprimă printr-o simplă indicație numerică,

în raport cu unitatea corespunzătoare și se numesc *mărimi scalare*.

§ 18. Definiție. Valoarea numerică a unui vector se scrie sau între linii verticale (de exemplu  $|\vec{V}|$ ), sau fără nici o altă indicație (de exemplu  $V$ ) și se numește *modulul* vectorului.

În funcție de alegerea punctului de aplicație, vectorii se împart în trei categorii:

Vectorii legați au originea într-un punct anumit.

acționează asupra unui corp de dimensiuni foarte mici<sup>2)</sup>.

1. *Vectorii legați*, la care originea este precizată de la sine. În această situație s-ar găsi, de pildă, vectorul ce reprezintă o forță, care

Vectorii glisanți pot fi mutați după voie, în prelungirea lor.

2. *Vectorii alunecători sau glisanți*<sup>3)</sup>. Ca exemplu am putea să considerăm cazul unei forțe, care întinde un fir  $xy$  (fig. 17 A).

<sup>1)</sup> Simbolic, o mărime vectorială se notează prin valoarea ei numerică, barată cu o săgeată sau cu o linioară, de exemplu,  $\vec{V}$  sau  $\overline{V}$ .

<sup>2)</sup> Un astfel de corp reprezintă un *punct material*.

<sup>3)</sup> *Glisser* (franc.) = a aluneca.



Vectorul va fi atunci orientat în lungul firului, dar punctul de aplicație nu este dinainte hotărît și-l putem face să alunece după voie pe direcția dată.

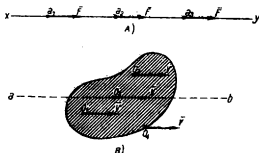


Fig. 17. Vectori alunecători și vectori liberi.

3. *Vectorii liberi* au hotărîtă numai orientarea, iar punctul de aplicație poate fi ales oriunde, în cuprinsul unui sistem dat.

Vectorii liberi pot să aibă originea oriunde, în cuprinsul unui sistem dat.

Vectorii egali, paraleli și de același sens îi numim *echipolenți*.

De pildă, în cazul unui corp ce se mișcă după o direcție  $ab$  (fig. 17, B), oricare dintre vectorii aplicați în  $O_1, O_2$  etc. poate să reprezinte viteza. Asemenea vectori, de aceeași lungime, paraleli și de același sens îi numim *echipolenți*.

§ 19. **Operații cu vectori.** Noțiunea de vector, introdusă pentru prima dată de *Stevin*<sup>1)</sup>, cu privire la forță, și extinsă apoi la celelalte mărimi vectoriale, a impus dezvoltarea unui capitol special de matematică, numit *calcul vectorial*.

Nu putem intra în amănunte, în cadrul manualului de față, dar trebuie să menționăm de la început că toate noțiunile și toate principiile de bază ale acestei discipline matematice sînt legate de fapte experimentale, derivă în mod natural din însușirile mărimilor vectoriale și nu trebuie să fie privite ca simple considerații abstracte.

<sup>1)</sup> *Simon Stevin* (1548—1620) matematician și fizician olandez. A descoperit legile compunerii forțelor (regula paralelogramului) și le-a aplicat la studiul planului înclinat.

În cele ce urmează, ne vom limita doar la câteva reguli elementare, legate de cele patru operații clasice.

**Suma geometrică (sau rezultantă)** a doi vectori reprezintă ca direcție, sens și mărime, diagonala paralelogramului construit pe ei, ca laturi.

1. **Suma geometrică** a doi vectori  $\vec{V}_1$  și  $\vec{V}_2$ , cu punctul de aplicație comun, este un vector  $\vec{R}$ , la care sensul, direcția și mărimea sînt date de diagonala paralelogramului, construit pe ei ca laturi<sup>1)</sup> (fig. 18, A).

Operația sumării geometrice se mai numește și *compunere*. Ea ne dă mijlocul de a înlocui două mărimi vectoriale, de aceeași specie, numite *componente*, printr-o a treia, echivalentă cu ele, numită *rezultantă*.

În locul metodei paralelogramului, putem folosi procedeul arătat în fig. 18 B, care, în fond, este analog: la extremitatea vectorului  $\vec{V}_2$  trasăm un vector echipotent cu  $\vec{V}_1$  și suma geometrică este vectorul  $\vec{R}$ .

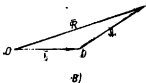
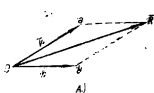


Fig. 18. Suma geometrică.

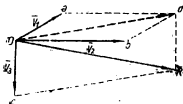


Fig. 19. Suma geometrică a mai multor vectori.

Tot regula paralelogramului ne permite să *descompunem* un vector  $\vec{R}$ , în alți doi vectori,  $\vec{V}_1$  și  $\vec{V}_2$ , după direcții date.

<sup>1)</sup> Vectorii liberi și cei glisanți pot fi aduși totdeauna într-un punct comun de aplicație, dacă se găsesc în același plan, dintr-un sistem dat.

Cînd avem de sumat mai mulți vectori, putem compune întii doi luați oricum, apoi rezultanta lor cu al treilea și așa mai departe, unul după altul.

E însă mult mai comod să aplicăm procedeul din fig. 19 și să trasăm, cap la cap, în orice ordine am dori, o serie de vectori echipolenți cu termenii de sumat.

Rezultanta va fi vectorul  $\bar{R}$ , figurat punctat, care închide poligonul, și vom scrie că

$$\bar{R} = \bar{V}_1 + \bar{V}_2 + \bar{V}_3 + \dots$$

**Diferența geometrică a doi vectori concurenți este un vector de sens convenabil, care unește extremitățile lor.**

2. *Diferența geometrică.* A scădea geometric un vector  $\bar{V}_2$  din altul  $\bar{V}_1$  înseamnă a găsi un al treilea vector  $\bar{V}_3$ , care adunat cu  $\bar{V}_2$  să ne dea pe  $\bar{V}_1$ .

Din fig. 18 *B* se vede imediat că diferența dintre  $\bar{R}$  și  $\bar{V}_2$  este vectorul  $\bar{V}_1$ , care unește extremitățile lor.

**Produsul unui vector cu un scalar este tot un vector, la care sensul este dictat de semnul scalarului.**

3. *Produsul unei vector  $\bar{V}$  cu un scalar  $a$  este tot un vector. El are modulul  $Va$  și direcția lui  $\bar{V}$ .*

Dacă  $a < 0$ , sensul inițial se inversează, iar dacă  $a > 0$  sensul rămîne neschimbat.

4. *Împărțirea unui vector cu un scalar ne dă tot un vector.*

Păstrînd notațiile de la produs, citul are modulul  $V/a$ , iar sensul vectorului este dictat de aceeași regulă.

**Produsul scalar a doi vectori este un scalar și se scrie sub forma**

$$\bar{V}_1 \cdot \bar{V}_2 = V_1 V_2 \cos \alpha.$$

5. *Produsul scalar a doi vectori este un scalar și reprezintă, prin definiție, produsul dintre mărimea unuia și proiecția celuilalt, pe direcția lui.*

Vom avea deci (fig. 20),

$$\bar{V}_1 \cdot \bar{V}_2 = V_1 V_2 \cos \alpha.$$

Punctul, intercalat între cei doi factori din membrul întii, ne arată, prin convenție, că este vorba de o înmulțire scalară.

Produsul scalar este *comutativ*, adică ordinea factorilor nu are importanță. Va fi, prin urmare, indiferent dacă proiectăm pe  $\vec{V}_1$  pe direcția lui  $\vec{V}_2$  sau invers.

**Produsul vectorial a doi vectori are modulul**

$$V_1 V_2 \sin \alpha.$$

**și reprezintă un vector orientat după regula șurubului.**

6. *Produsul vectorial* a doi vectori este, prin definiție, tot un vector, de modul

$$V = V_1 V_2 \sin \alpha,$$

orientat perpendicular pe planul lor (fig. 21 a).

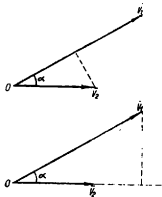


Fig. 20. Produsul scalar a doi vectori.

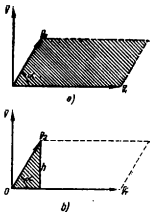


Fig. 21. Produsul vectorial.

*Prin convenție, acest vector are sensul în care ar înainta un șurub ce s-ar înfișe în plan, dacă l-am răsuci de la  $\vec{V}_1$  spre  $\vec{V}_2$ , când ordinea factorilor este  $\vec{V}_1 \vec{V}_2$ .*

Rezultă că acest produs *nu este comutativ* și că, prin schimbarea ordinii factorilor, se schimbă implicit și sensul lui  $\vec{V}$ , așa că

**Produsul vectorial nu este comutativ.**

$$\vec{V}_1 \times \vec{V}_2 = -\vec{V}_2 \times \vec{V}_1.$$

Semnul  $\times$  arată, tot prin convenție, că ne referim la un produs vectorial și nu la unul scalar.

Din triunghiul dreptunghic, hașurat în fig. 21 *b*, se vede imediat că înălțimea  $h$  a paralelogramului, construit pe  $\vec{V}_1$  și  $\vec{V}_2$  este:

$$h = V_2 \sin \alpha.$$

*Rezultă astfel că modulul produsului vectorial,  $V_1 V_2 \sin \alpha$ , este egal cu aria acestui paralelogram.*

În desfășurarea capitolelor viitoare, vom avea necontenit ocazia să constatăm în ce măsură aceste noțiuni asupra vectorilor și operațiilor vectoriale apar ca o consecință directă a fenomenelor fizice.

## BAZELE FIZICE ALE MECANICII

## Generalități

§ 20. **Repausul și mișcarea.** *În mecanică, vom spune că un corp este mobil, sau în mișcare, când își schimbă neconținut poziția relativă, față de alte corpuri, considerate ca fixe și că este în repaus, când nu o mai schimbă.*

Un călător, care merge cu trenul, poate să fie în repaus, față de vagon, dar este în mișcare, față de obiectele din afară.

Dacă trenul se oprește, el continuă să se miște în spațiu, odată cu Pământul.

§ 21. **Sisteme de referință.** Nu putem concepe un corp care să fie în repaus absolut și de aceea nu sîntem în stare să observăm

Mișcarea și repausul  
sînt relative și nu pot fi  
definite decît în raport  
cu un sistem de referință, ales arbitrar.

decît *mișcările relative*, față de un sistem de referință, pe care-l alegem arbitrar și-l considerăm ca fix, chiar dacă, de fapt, se află și el în mișcare<sup>1)</sup>.

În practica zilnică luăm, de obicei, ca sistem de referință, Pământul sau anumite obiecte de pe suprafața lui: case, copaci, pereți, mobilier etc.

Mișcarea planetelor se studiază în raport cu Soarele, iar mișcarea sistemului solar în spațiu are ca sistem de referință anumite stele depărtate, pe care le considerăm, prin convenție, ca fixe.

În mecanică, sistemele de referință sînt axele de coordonate, de obicei rectangulare, dar adesea, pentru comoditatea raționamentului, folosim și sisteme de coordonate oblice, sau coordonatele polare.

§ 22. **Echilibrul.** Experiența ne arată că o forță, ce acționează asupra unui obiect oarecare, poate fie să-l deformeze, fie să-l mo-

<sup>1)</sup> Față de alte sisteme de referință pe care, de asemenea, le considerăm convențional ca fixe.

difice starea de repaus ori de mișcare relativă, față de un sistem de referință dat.

**Forțele care-și anulează reciproc efectele sînt în echilibru.**

Dacă acționează mai multe forțe simultan, orientate în diferite direcții, se poate întîmpla ca efectele lor să se anuleze reciproc.

*Vom spune atunci că acele forțe sînt în echilibru.*

**§ 23. Capitolele mecanicii.** Din punct de vedere sistematic, mecanica se împarte în trei capitole principale:

I. **Statica**, în care studiem sistemele în repaus relativ, sub acțiunea forțelor ce-și anulează reciproc efectele.

II. **Cinematica**, sau studiul diferitelor feluri de mișcări, fără considerații asupra cauzelor ce pot să le producă sau să le modifice.

III. **Dinamica**, în care ne ocupăm de efectele forțelor asupra mișcării corpurilor.

În succesiunea de tratare a acestor capitole vom urmări, pe cît posibil, ordinea istorică de dezvoltare a cunoștințelor de mecanică, în cursul vremurilor.

## CAPITOLUL I

### STATICA

#### A. Noțiuni generale

**§ 24. Condiții generale de echilibru.** Cel mai simplu caz de echilibru este acela în care, asupra unui corp, acționează simultan două forțe egale și direct opuse (fig. 22).

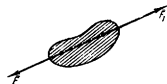


Fig. 22. Două forțe în echilibru.

Analog, va exista echilibru cînd mai multe forțe, unele de un sens, altele de sensul contrar, acționează pe aceeași dreaptă, în așa fel, ca suma lor algebrică să fie nulă, dacă socotim unul din sensuri ca pozitiv, iar celălalt ca negativ (fig. 23).

Numeroasele verificări, pe care le facem în viața de toate zilele, confirmă în totul aceste concluzii.

Situația devine însă ceva mai complicată când forțele nu acționează pe aceeași direcție.

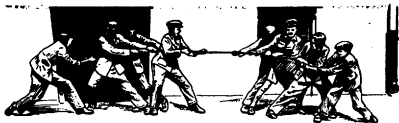


Fig. 23. Forțe coliniare în echilibru.

Pe direcții diferite, un sistem de forțe nu poate fi în echilibru decât dacă efectul fiecăreia în parte este anulat de al celorlalte.

*E totuși ușor de înțeles de ce mai multe forțe, ce acționează pe direcții diferite, nu pot fi în echilibru decât dacă efectul fiecăreia este anulat de celelalte.*

În adevăr, dacă vreuna din forțe ar rămâne necompensată de celelalte luate împreună, ea și-ar putea exercita liber acțiunea și sistemul nu ar mai fi în echilibru.

**§ 25. Principiul acțiunii și reacțiunii.** Să considerăm un corp oarecare, atârnat de un resort  $r$  și să presupunem că greutatea lui este  $\vec{F}$  (fig. 24).

Acțiunea gravitației, aplicată corpului, caută să întindă resortul care, la rândul lui, se opune deformării și trage în sens contrar, cu o forță de reacțiune  $\vec{R}$ , ce crește odată cu deformarea.

Echilibrul se va stabili, evident, la poziția pentru care aceste două forțe opuse devin egale.

Tot așa, greutatea unui obiect, așezat pe masă, apasă asupra suportului, îl deformează și-l face să dezvolte o forță egală, dar opusă.

Când o bucată de fier este atrasă de un magnet, măsurările directe, pe care le putem face cu două dinamometre, ne arată că și fierul atrage magnetul, cu o forță egală.

Aceste fapte, cît și numeroase altele analoge, ne obligă să admitem că:



Fig. 24. Acțiunea și reacțiunea.



Oriunde există o acțiune, apare o reacțiune, egală și de sens contrar.

*Dacă un corp exercită o acțiune asupra altuia, acesta răspunde cu o forță de reacțiune, egală și de sens contrar.*

Acest principiu al *acțiunii* și *reacțiunii* a fost enunțat de *Newton*.

Deocamdată ne vom servi de dînsul în studiul problemelor de statică, dar vom vedea mai tîrziu că el se extinde la orice fel de acțiuni ale forțelor.

## B. Compunerea forțelor

A *compune* mai multe forțe, înseamnă a găsi o altă forță, numită *rezultantă*, în stare să le înlocuiască, cu același efect.

Rezultanta unor forțe date le poate înlocui cu efect echivalent.

Diferite reguli, deduse din experiență, ne dau mijlocul să compunem două sau mai multe forțe, în diferitele cazuri posibile.

§ 26. **Compunerea forțelor coliniare.** Dacă forțele acționează în lungul unei drepte date, vom alege prin convenție un sens pozitiv și unul negativ.

Rezultanta forțelor coliniare are sensul și mărimea dictate de suma algebrică a componentelor și este coliniară cu ele.

*Rezultanta va avea atunci sensul și mărimea dictate de suma algebrică a componentelor și va fi de asemenea orientată în lungul dreptei date.*

§ 27. **Compunerea forțelor concurente.** Este evident că două forțe care acționează simultan, într-un punct dat, sau care pot fi aduse în această situație, prin alunecare, nu pot fi în echilibru dacă au direcții diferite.

Două forțe concurente nu pot fi în echilibru iar ca să fie, trebuie să existe o a treia, egală și opusă rezultantei lor.

*Ca să existe echilibru, trebuie neapărat să intervină și o a treia forță, egală și direct opusă rezultantei lor.*

Cu această observație, cel mai simplu mijloc de a găsi rezultanta este să căutăm forța care să o echilibreze

Dispozitivul experimental din fig. 25, în care două greutateți cunoscute, legate cu sfori care trec peste niște scripeți, sînt echilibrate de o a treia, ne permite să găsim regula de compunere.

Constatăm astfel că, dacă reprezentăm cele două forțe prin vectori orientați în lungul sforilor, vectorul ce reprezintă rezultanta este orientat după diagonala paralelogramului construit pe acești vectori, ca laturi, și are modulul numeric egal cu lungimea ei.

**Rezultanta a două forțe concurente are sensul, direcția și mărimea relativă a diagonalei paralelogramului construit pe vectorii cari le reprezintă.**

*Prin urmare: rezultanta a două forțe concurente are sensul, direcția și mărimea relativă a diagonalei paralelogramului construit pe vectorii care le reprezintă, ca laturi.*

La compunerea forțelor se aplică deci regula cunoscută de sumare geometrică a vectorilor.

Dacă avem mai multe forțe concurente, le vom compune succesiv, sau vom aplica regula poligonului, arătată în § 19.

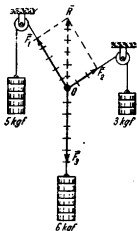


Fig. 25. Verificarea legii de compunere a forțelor concurente.

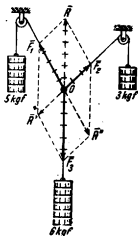


Fig. 26. Trei forțe în echilibru.

Aceeași experiență ne permite să verificăm concluzia, deja formulată, că fiecare componentă este egală și direct opusă rezultantei celorlalte, cînd sistemul mai multor forțe concurente se află în echilibru.

Fig. 26 reprezintă rezultantele  $\bar{R}$ ,  $\bar{R}'$  și  $\bar{R}''$ , în opoziție cu forțele  $\bar{F}_3$ ,  $\bar{F}_2$  și  $\bar{F}_1$ .

O altă concluzie, care se impune de la sine, este că *la orice sistem în echilibru, rezultanta forțelor care acționează simultan este nulă.*

La un sistem în echilibru, rezultanta forțelor este nulă. Reciproca nu e totdeauna valabilă.

Reciproca nu e însă totdeauna valabilă, fiindcă, după cum vom vedea mai tirziu, există și cazuri

în care o rezultantă nulă izbuteste totuși să miște un sistem, în anumite condiții speciale.

În sfârșit, mai trebuie să remarcăm că forțele coplanare, aplicate unui sistem dat, pot fi aduse în concurență, fixându-le punctul de aplicație oriunde, în prelungirea direcției de acțiune, fiindcă vectorii sînt, în cazul acesta, supuși alunecării.

Pe această cale, găsim că rezultanta forțelor  $\bar{F}_1$  și  $\bar{F}_2$ , din fig. 27, este  $\bar{R}$ .

După cum putem *compune* mai multe forțe, ca să le găsim rezultanta, tot așa putem *descompune* o forță dată, în două sau mai multe componente, după direcții date sau alese după voie, aplicînd aceeași regulă a paralelogramului.

Ca exemplu, fig. 28 ne arată cum se poate descompune forța  $\bar{R}$ , fie în componentele  $\bar{F}_1$  și  $\bar{F}_2$ , fie în componentele  $\bar{F}'_1$  și  $\bar{F}'_2$  după direcții date.

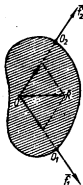


Fig. 27. Compunerea a două forțe coplanare.

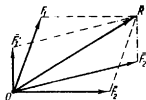


Fig. 28. Descompunerea unei forțe.

La rîndul lor, acestea pot fi descompuse mai departe, după alte direcții.

§ 28. **Compunerea forțelor paralele.** Această operație poate fi redusă la o simplă variantă a compunerii forțelor concurente.

Vom deosebi două cazuri particulare:

1. *Forțele sînt de același sens.* Presupunem că, la capetele unei bare rigide  $ab$ , acționează două forțe paralele și de același sens,  $\bar{F}_1$  și  $\bar{F}_2$  (fig. 29).

Fiindcă forțele egale și opuse nu modifică situația unui sistem, vom mai presupune că aplicăm, în prelungirea barei, forțele suplimentare  $\bar{f}_1$  și  $\bar{f}_2$ , care se echilibrează reciproc.

Forțele  $\bar{f}_1$  și  $\bar{F}_1$  au atunci rezultanta  $\bar{r}_1$ , iar forțele  $\bar{f}_2$  și  $\bar{F}_2$  au, ca rezultantă,  $\bar{r}_2$ .

Mutăm apoi aceste rezultante în prelungirea lor, ca să le dăm un punct de aplicație comun  $C$  și pe urmă le descompunem la loc în componentele inițiale.

În punctul de concurență acționează atunci forțele  $\bar{f}_1$  și  $\bar{f}_2$ , care se echilibrează și nu modifică nimic în situația sistemului, împreună cu rezultanta căutată, a cărei intensitate se vede imediat că este  $F_1 + F_2$  și al cărei punct de aplicație poate fi readus pe bară, în punctul  $O$ .

Rămîne să găsim distanțele  $l_1$  și  $l_2$  cuprinse între  $O$  și extremitățile barei.

Figura ne arată că triunghiurile hașurate la fel sînt asemenea și din ele rezultă că

$$\frac{CO}{F_2} = \frac{l_2}{F_2}$$

și că

$$\frac{CO}{F_1} = \frac{l_1}{F_1};$$

iar dacă împărțim aceste relații și ținem seamă că  $f_1 = f_2$ , obținem:

$$\boxed{\frac{F_1}{F_2} = \frac{l_2}{l_1}} \quad (28.1)$$

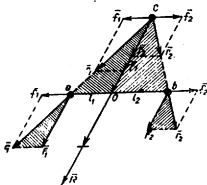


Fig. 29. Compunerea forțelor paralele.

În concluzie:

*La forțele paralele și de același sens, rezultanta este paralelă cu componentele, are sensul lor și intensitatea egală cu suma intensităților.*

Rezultanta a două forțe paralele și de același sens are sensul componentelor și sumează numeric intensitățile lor. Ea împarte distanța dintre originile componentelor în segmente invers proporționale cu intensitățile respective.

*Ea împarte distanța dintre punctele de aplicație ale componentelor în segmente invers proporționale cu intensitățile respective ale forțelor.*

Verificarea experimentală se poate face cu dispozitivul reprezentat în fig. 30.

O riglă de lemn, cu secțiunea constantă, este atârnată de un fir, legat la mijlocul ei, așa ca să poată sta orizontal și în echilibru, când nu atârnam de dînsa nici o greutate suplimentară.

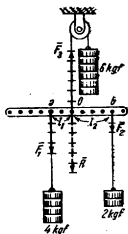


Fig. 30. Verificarea legii de compunere a forțelor paralele și de același sens.

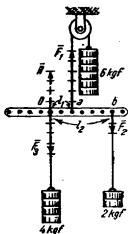


Fig. 31. Verificarea legii de compunere a forțelor paralele și de sensuri contrare.

După aceea legăm greutățile  $F_1$  și  $F_2$ , la distanțe invers proporționale cu mărimea lor, măsurate pe riglă, până la punctul de suspensie  $O$  și constatăm că echilibrul persistă.

Cu același dispozitiv, după ce trecem firul de suspensie peste un scripete, mai putem constata că ambele greutateți adăugate pot fi echilibrate de o a treia greutate  $F_3$ , egală cu suma lor și opusă rezultantei  $R$ .

**2. Forțele sînt de sens contrar.** Raționamentul poate fi repetat exact ca mai sus, după ce adăugăm iarăși forțele egale și opuse, la capetele barei.

*De astă dată prelungirea direcției rezultantei nu mai taie bara între componente, ci în afara lor și anume de partea componentei celei mai mari, iar intensitatea ei nu mai este egală cu suma, ci cu diferența componentelor.*

Pe de altă parte, triunghiurile asemenea care se formează ne vor arăta că, între intensitățile forțelor  $\bar{F}_1$  și  $\bar{F}_2$  și distanțele lor, măsurate pe riglă, pînă la punctul de intersecție cu direcția rezultantei, avem și de astă dată relația de proporționalitate inversă:

$$\frac{F_1}{F_2} = \frac{l_2}{l_1}. \quad (28.1)$$

Verificarea experimentală se poate face cu același dispozitiv, legind greutatețile pe riglă așa cum arată fig. 31.

Rezultanta  $\bar{R}$  este atunci echilibrată de greutatea  $\bar{F}_3$ , egală cu diferența forțelor  $\bar{F}_1$  și  $\bar{F}_2$  și aplicată la distanța calculată.

Aceeași figură ne arată că, în situația de echilibru, fiecare dintre cele trei forțe care acționează asupra barei este egală și direct opusă rezultantei celorlalte două.

Dacă avem mai multe forțe paralele, vom compune întii două dintre ele, apoi rezultanta lor cu a treia și așa mai departe.

Vom găsi astfel o rezultantă egală, ca semn și mărime, cu suma algebrică a componentelor și orientată paralel cu dîsele.

Punctul ei de aplicație se numește *centrul forțelor paralele*.

**§ 29. Principiul independenței acțiunii forțelor.** Experiența, cît și metodele vectoriale de compunere folosite, ne arată că *sen-*

*sul, direcția și mărimea unei forțe care acționează într-un sistem dat, nu sînt modificate de prezența altor forțe, așa că acțiunea fiecăreia decurge independent de celelalte.*

**Forțele care acționează într-un sistem dat își desfășoară acțiunile independent unele de altele.**

Acest principiu al independenței acțiunilor se aplică tuturor mărimilor vectoriale și a fost descoperit de *Galileu*.

*Exemple numerice.* 1) Patru forțe, dirijate după aceeași dreaptă, au valorile de 3,5; 4,8; -2 și -6 kgf. Se cere intensitatea rezultantei.

$$R = 3,5 + 4,8 - 2 - 6 = +0,3 \text{ kgf.}$$

2) Două forțe, cu intensitățile de 14 și 16 kgf, fac între ele un unghi de  $120^\circ$ . Să se calculeze intensitatea rezultantei.

Două dintre unghiurile paralelogramului fiind de câte  $120^\circ$ , celelalte două vor avea câte  $60^\circ$ . Dacă le notăm cu  $\alpha$ , vom avea

$$R^2 = F_1^2 + F_2^2 - 2F_1F_2 \cos \alpha,$$

sau

$$R^2 = 196 + 256 - 448 \cdot 0,5 = 228.$$

Prin urmare

$$R \approx 15,1 \text{ kgf.}$$

3) Două forțe paralele și de același sens acționează la capetele unei bare și au intensitățile de 18 și 9 kgf. Ce intensitate are rezultanta și în ce raport împarte bara?

Intensitatea rezultantei este

$$R = F_1 + F_2 = 18 + 9 = 27 \text{ kgf,}$$

iar bara este împărțită în raportul  $1/2$ .

## C. Centrul de greutate

§ 30. **Definiție.** Dacă ne închipuim un corp ca format dintr-o infinitate de particule foarte mici, gravitația exercită asupra fiecăreia din ele câte o forță verticală, orientată spre centrul pământului.

**Centrul de greutate** este punctul de aplicație al rezultantei forțelor gravitaționale.

iar punctul ei de aplicație se numește *centru de greutate*. Vom vedea că acest punct este bine definit și nu depinde de orientarea corpului.

Gravitația atrage corpurile ca și cum toată masa lor ar fi concentrată în centrul de greutate.

Rezultanta acestor forțe, pe care le putem considera ca paralele, pentru corpurile de dimensiuni obișnuite, este egală cu suma lor, potrivit regulii de compunere și reprezintă greutatea totală a corpului.

Existența lui ne dovedește că forța gravitației atrage corpurile ca și cum ar fi aplicată într-un punct anumit, cu toate că vectorul-forță este alunecător.

*Totul se petrece deci ca și cum întreaga masă a corpului dat ar fi concentrată în centrul său de greutate.*

§ 31. **Poziția centrului de greutate.** Dacă atîrnăm un corp oarecare, cu un fir flexibil, acesta se întinde și ia direcția în care îl trage rezultanta forțelor gravitației.

Prin urmare centrul de greutate nu poate fi decît pe prelungirea firului.

Această observație ne sugerează o metodă practică, prin care putem determina poziția centrului de greutate al unui corp oarecare.

Atîrnăm corpul de un fir, așteptăm să ia poziția de echilibru și prelungim direcția firului (fig. 32).

Apoi schimbăm poziția punctului de suspensie și repetăm operația. Centrul de greutate, care se găsește totdeauna în prelungirea firului nu este decît punctul de intersecție  $O$  al acestor direcții prelungite.

Experiența ne arată că, indiferent de poziția punctului de suspensie, intersecția cade mereu în același loc.

**Poziția centrului de greutate, nu se schimbă cu orientarea corpului în spațiu.**

Centrul de greutate la un corp omogen, se găsește la întretaiera axelor de simetrie.

de simetrie, se va găsi în punctul lor de intersecție.

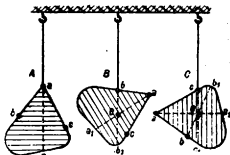


Fig. 32. Găsirea experimentală a centrului de greutate.

Avem astfel dovada experimentală că *poziția centrului de greutate este caracteristică unui corp dat și nu se schimbă cu orientarea corpului în spațiu.*

La corpurile omogene, cu formă geometrică regulată, care au o *axă de simetrie*, centrul de greutate se găsește totdeauna pe această axă, iar dacă există mai multe axe

Așa ne arată experiența și tot așa rezultă și din calcul.

De aceea centrul de greutate al unei sfere se confundă cu centrul geometric: la un cilindru îl găsim pe mijlocul axei, la un cub



la întretăierea diagonalelor, la triunghi pe întretăierea medianelor și așa mai departe <sup>1)</sup>).

Calcularea poziției centrului de greutate, la corpurile neomogene, sau de formă neregulată, nu este posibilă decât în cazurile, cu totul speciale, când corpul poate fi descompus în porțiuni de formă regulată și de structură omogenă.

Altfel vom recurge la metoda experimentală, descrisă mai sus, iar pentru corpurile de dimensiuni foarte mari, vom face o *machetă*, adică o reproducere la scară mai mică.

### D. Momentele forțelor

§ 32. **Definiție.** Să considerăm un corp rigid, pe care o forță  $\vec{F}$  tinde să-l rotească în jurul unei axe  $a$ , perpendiculară pe planul figurii (fig. 33).

Momentul unei forțe se exprimă prin produsul dintre intensitatea ei și distanța pînă la axa de rotație.

*Prin definiție, produsul dintre intensitatea forței considerate și distanța ei, pînă la axa de rotație, reprezintă „momentul” ( $M$ ) acestei forțe.*

Pe baza definiției date, vom putea scrie deci că



Fig. 33. Momentul unei forțe.

$$M = F \cdot d \quad (32.1)$$

iar lungimea  $d$  a perpendicularei care unește axa cu forța, sau cu prelungirea ei, va fi numită *brațul forței* sau *brațul momentului*.

Această distanță are caracterul unei mărimi dirijate care-și modifică orientarea odată cu forța. Ea este un *vector* cu punctul de aplicație pe axă.

Momentul unei forțe se exprimă astfel cu ajutorul unui *produs vectorial*.

<sup>1)</sup> La o sferă găunoasă, la un inel și în numeroase alte cazuri, centrul de greutate nu se găsește în cuprinsul substanței corpurilor.

Momentul forței se reprezintă printr-un vector, orientat în lungul axei.

*El va putea fi deci reprezentat printr-un vector, perpendicular pe planul forței și al brațului, care se va orienta în lungul axei de rotație.*

Sensul acestui vector va fi dictat de cunoscută regulă a șurubului (§ 19.6).

Relația de definiție ne spune că dimensiunile momentului sînt ale unei forțe, înmulțită cu o lungime.

În sistemul MKfS, unitatea respectivă se va numi deci *metru · kilogram-forță* și se va scrie prescurtat *m · kgf*.

În celelalte sisteme, denumirile unităților corespunzătoare vor fi date mai târziu.

**§ 33. Semnul momentelor.** Vom admite, prin convenție, că momentele forțelor sînt *pozitive*, cînd sistemul tinde să capete o rotație *în sensul acelor ceasornicului* și le vom da semnul  $+$ . În cazul contrar le vom considera ca *negative*.

Convențional, momentele sînt pozitive sau negative, după cum rotația urmărește acele ceasornicului sau sensul invers.

Transmisă vectorului ce reprezintă momentul, aceeași convenție va face ca un observator care privește în lungul axei și

aplică regula șurubului, ce se rotește de la  $\vec{F}$  spre  $d$ , să-l considere ca *pozitiv*, dacă este orientat în sensul privirii, și ca *negativ*, în cazul contrar (fig. 34).

Această convenție de semn, atît în privința sensului rotației, cît și a sensului vectorului, este numai facultativă și poate fi schimbată după voie, dar cu condiția ca schimbarea să nu intervină în cursul aceluiași raționament.

De asemenea, trebuie să privim sistemul neconținut din același capăt al axei, fiindcă altfel toate semnele se inversează.

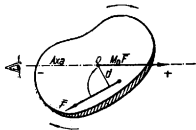


Fig. 34. Sensul pozitiv convențional al momentului unei forțe, ce acționează într-un plan perpendicular pe axa de rotație.

§ 34. **Legea momentelor.** Pentru toate forțele care, aplicate rînd pe rînd unui sistem dat, ar satisface condiția ca

$$F_1 d_1 = F_2 d_2 = F_3 d_3 = \dots = F_n d_n,$$

momentele sînt egale, iar vectorii respectivi, orientați în lungul axei, au aceeași lungime și același semn.

**Acțiunile forțelor cu momente egale sînt echivalente.**

*locui unele pe altele, fără să apară vreo schimbare în situația sistemului.*

Rămîne să verificăm experimental această concluzie, deocîndată la sistemele în echilibru, care fac obiectul staticii. Extinderea la corpurile în mișcare va veni mai tîrziu, cînd vom trece la studiul dinamicii.

Pentru experimentare ne putem servi de un disc de lemn sau de carton, prin centrul căruia trece o axă rigidă, de pildă un cui, bătut într-o scîndură verticală (fig. 35).

Un resort elicoidal  $r$ , legat cu un capăt de masă, ori de un suport rigid, are celălalt capăt fixat la periferia discului.

Experiența ne arată că, în adevăr, fiecare din greutatețile  $\vec{F}_1, \vec{F}_2, \vec{F}_3$  etc., care tind să rotească sistemul, imprimă rînd pe rînd aceeași alungire resortului, dacă momentele forțelor aplicate sînt egale și de același semn.

Din cele arătate, se mai desprind următoarele consecințe:

1. Acțiunea unei forțe, asupra unui sistem așezat pe o axă rigidă, depinde nu numai de intensitatea ei, dar și de momentul respectiv, adică de lungimea brațului. În practică, diferite scule folosite în muncă: șurubelniță, cheie fixă, cheie fran-

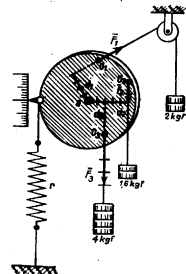


Fig. 35. Verificarea experimentală a echivalenței momentelor egale.

ceză, șfredel etc., caută să aducă forța activă cît mai departe de punctul de rotație, ca să-i dea o eficacitate cît mai mare.

2. O forță, oricît de intensă, nu va izbuti să rotească un sistem, dacă prelungirea ei întilnește axa, fiindcă momentul este nul. Ea tinde numai să o îndoieie și, dacă nu o rupe, va fi anulată de rigiditatea ei.

3. Două forțe cu momente egale, dar de semne contrarii, aplicate simultan unui sistem așezat pe o axă rigidă, îl lasă în repaus, fiindcă acțiunile se anulează reciproc. Acesta e cazul, de pildă, la forțele din fig. 35, echilibrate de tensiunea resortului.

§ 35. **Compunerea momentelor.** Să presupunem că, asupra unui sistem așezat pe o axă, aplicăm simultan mai multe forțe, care tind să-l rotească, unele într-un sens, altele în sensul contrar (fig. 36) <sup>1)</sup>.

Momentele lor

$$F_1d_1, F_2d_2, F_3d_3, \dots$$

pot fi reprezentate prin vectorii

$$\vec{M}_1, \vec{M}_2, \vec{M}_3, \dots$$

orientați în lungul axei de rotație, după regula de semn convenită.

Dacă sumăm algebric valorile numerice ale acestor vectori, găsim sensul și mărimea unui alt vector  $\vec{M}$ , ce reprezintă un *moment resultant*, pe care, dacă l-am atribui unei forțe unice, această forță ar putea să înlocuiască echivalent pe toate celelalte, aplicate simultan sistemului.

Există, evident, o infinitate de forțe, ce ar putea să aibă momentul  $\vec{M}$ , fiindcă, oricare ar fi intensitatea lor, e destul să alegem lungimea brațului pentru care

$$M = F_n \cdot d_n.$$

Dar, fiindcă rezultanta unor forțe cu acțiune simultană este, prin definiție, o forță în stare să le înlocuiască, înseamnă că bra-

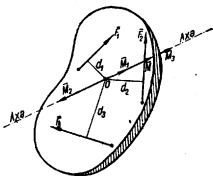


Fig. 36. Momentul resultant este egal cu suma momentelor componentelor.

<sup>1)</sup> Pentru simplificare, vom presupune că toate forțele acționează în plane perpendiculare pe axa de rotație.

țul ei va trebui să aibă lungimea pentru care momentul capătă aceeași valoare  $M$ .

Dacă o notăm cu  $R$ , vom avea deci:

$$M = R \cdot d_r.$$

Iar dacă ținem seamă că vectorul  $\bar{M}$  provine din însumarea tuturor momentelor din sistem, putem scrie că:

$$M = \pm F_1 d_1 \pm F_2 d_2 \pm F_3 d_3 \pm \dots,$$

sau că

$$\boxed{M = \sum F \cdot d} \quad ^1) \quad (35.1)$$

**Momentul rezultantei este egal cu suma algebrică a momentelor componentelor.**

Raționamentul făcut ne duce astfel la concluzia că *momentul rezultantei este egal cu suma algebrică a momentelor componentelor*.

Aceasta este *teorema lui Varignon* <sup>2)</sup>.

Pentru cei ce nu sint încă familiarizați cu noțiunea de produs vectorial, ceva mai greu de sesizat decît noțiunea de sumă geometrică, vom da mai jos o justificare cu totul elementară: să presupunem că sistemul așezat

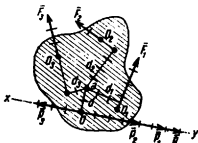


Fig. 37. Componerea momentelor

pe o axă  $a$ , perpendiculară pe planul fig. 37, este solicitat simultan de forțele  $\bar{F}_1, \bar{F}_2, \bar{F}_3$  etc., care acționează în planul figurii, sau pot fi transportate în acest plan.

Este evident că, din punctul de vedere al rotației, situația sistemului nu suferă nici o schimbare, dacă înlocuim forțele date prin altele  $\bar{P}_1, \bar{P}_2, \bar{P}_3$  etc., cu aceleași momente, dar alese așa ca să aibă o singură direcție  $xy$  și un singur punct de aplicație  $O$ .

Rezultanta acestor forțe va trebui să aibă aceeași acțiune asupra sistemului ca și rezultanta forțelor înlocuite, prin urmare același moment.

<sup>1)</sup> Litera grecească  $\Sigma$  (sigma mare), pusă înaintea unei cantități, se citește *sumă de...* și ne arată că trebuie să însumăm toate cantitățile similare cu cantitatea de sub semnul  $\Sigma$ .

<sup>2)</sup> Pierre Varignon (1654—1722), matematician francez.

Prin construcție, avem, dacă ținem seamă de semnele convenționale,

$$F_3 d_3 = P_3 d; \quad -F_2 d_2 = -P_2 d; \quad -F_1 d_1 = -P_1 d.$$

Aceste relații, adunate algebric membru cu membru, ne dau

$$F_3 d_3 - F_2 d_2 - F_1 d_1 = d (P_3 - P_2 - P_1).$$

Dar cantitatea dintre paranteze reprezintă intensitatea rezultantei  $\bar{R}$  a forțelor  $\bar{P}_1$ ,  $\bar{P}_2$  și  $\bar{P}_3$ , al cărei moment este egal cu al rezultantei forțelor substituie  $\bar{F}_1$ ,  $\bar{F}_2$  și  $\bar{F}_3$ .

Rezultă că

$$F_3 d_3 - F_2 d_2 - F_1 d_1 = R \cdot d.$$

sau

$$M = \sum F \cdot d. \quad (35.1)$$

**§ 36. Momentele forțelor în echilibru.** Să ne închipuim că mai multe forțe tind să rotească un sistem, în jurul unei axe, perpendiculară pe planul lor de acțiune.

Prin definiție, rezultanta lor le poate înlocui.

La sistemele în echilibru pe o axă dată, momentul rezultantei, ca și suma momentelor componentelor, sînt nule.

Potrivit celor arătate mai sus, pentru ca forțele să nu rotească sistemul, este necesar și suficient ca momentul rezultantei să fie nul, sau — ceea ce e tot una — ca suma momentelor componentelor să fie nulă.

Este evident că momentul rezultantei nu poate fi nul decît cu condiția ca, sau ea însăși să fie nulă, sau brațul ei să fie nul.

*Exemple numerice.* 1) Patru forțe, cu intensitățile de 1, 5, 7 și 2,5 kgf au brațele respective de 1,5 m; 4 m, 2 m și 3 m.

Primele două forțe tind să rotească sistemul într-un sens, iar celelalte două în sens contrar.

Să se calculeze momentul rezultantei.

Avem, prin sumarea momentelor,

$$M = -1 \cdot 1,5 - 5 \cdot 4 + 7 \cdot 2 + 2,5 \cdot 3 = -21,5 + 21,5 = 0$$

și rezultă că forțele lasă sistemul în repaus pe axă.

2) Să se afle momentele de rotație ale forțelor aplicate sistemului din fig. 38 și să se calculeze momentul rezultantei.

Se va constata că momentul rezultantei este nul, așa că forțele lasă sistemul în repaus pe axă.

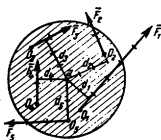


Fig. 38. Aplicație la compunerea momentelor.

## E. Mașini simple

Înțelegem prin denumirea de *mașini simple* diverse dispozitive, ce permit fie o amplificare a forțelor, fie utilizarea lor în condiții cât mai avantajoase pentru noi.

În cele ce urmează, vom studia câteva exemple tipice.

§ 37. **Pirghia.** Se numește *pirghie* orice corp rigid, mobil în jurul unei axe, pe care mai multe forțe tind să-l rotească, împotriva altor forțe de opunere.

Redusă la cea mai simplă expresie, *pirghia* este o bară dreaptă sau cotită, pe care două forțe tind să o rotească, în sensuri diferite, în jurul unui punct de sprijin  $a$  (fig. 39).

Ca să deosebim aceste forțe, una de alta, vom păstra numele de *forță* pentru aceea care izbuteste să miște sistemul și o vom nota cu  $F$ , iar pe cealaltă o vom numi *rezistență* și o vom nota cu  $\bar{R}$ .

Brațele respective poartă atunci numele de *brațul forței* și *brațul rezistenței*.

Teoria momentelor ne arată că sistemul este în echilibru când suma algebrică a momentelor este nulă, sau — ceea ce e tot una — când

$$F \cdot d = R \cdot d_1,$$

în care distanțele  $d$  și  $d_1$  sînt perpendiculare pe direcțiile forțelor.

Dar se știe că, odată cu suma momentelor, se anulează și momentul rezultantei și cum rezultanta a două forțe, care nu sînt egale și direct opuse, nu poate fi nulă, înseamnă că, *la echilibru punctul ei de aplicație trebuie să coincidă cu punctul de sprijin al pirghiei*, ca să poată fi anulată de reacțiunea acestuia.

Pirghiile au numeroase întrebuințări practice, mai ales la amplificarea forțelor.

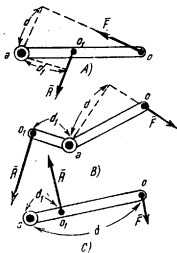


Fig. 39. Pirghii diverse.

Astfel, dacă brațele pirghiei din fig. 39 C ar fi, între ele, în raportul 1/20, de pildă, putem învinge cu o forță de 1 kgf o rezistență de 20 kgf.

Le putem folosi și pentru amplificarea mișcărilor.

Aceeași figură ne arată că, dacă păstrăm raportul 1/20 între lungimile brațelor, punctul  $O$  parcurge un arc de 20 cm, în timp ce punctul  $O_1$  nu parcurge decât 1 cm.

După felul cum se inserează forța și rezistența, față cu punctul de sprijin, pirghiile pot fi clasificate în trei categorii, schițate în fig. 40 a și 40 b și numite

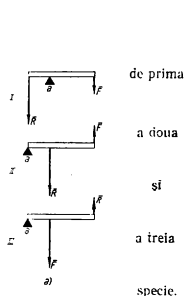


Fig. 40 a.

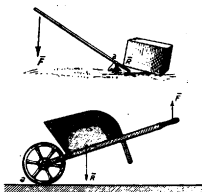


Fig. 40 b.

Dar această clasificare (după specii) a rămas în mecanică numai prin tradiție și se folosește din ce în ce mai rar, fiindcă



este inutilă, câtă vreme teoria momentelor înglobează toate cazurile posibile.

Pîrghia este, probabil, cea dintîi mașină simplă de care s-a servit omul preistoric.

Filozofii greci din antichitate cunoșteau relația de amplificare a forțelor sau a mișcărilor și au izbutit să o interpreteze corect.

Pe principiul pîrghiei funcționează numeroase dispozitive și instrumente de muncă: cleștele, pedala tocilei sau a mașinii de cusut, cheia de la ușă, manivela, cumpăna fîntîinii și chiar oasele scheletului sînt pîrghii de diferite specii.

*Roata fîntîinii* sau *vîrtejul* este o variantă a pîrghiei și se compune dintr-o roată cu manivelă, care se învîrte în jurul unei axe orizontale, în același timp cu un cilindru de rază mai mică, pe care se deapănă o frînghie (fig. 41).

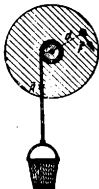


Fig. 41. Roata fîntîinii.

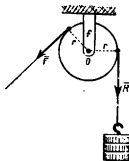


Fig. 42. Scripetele fix.

La echilibru, momentele fiind egale, relația dintre forțe și brațe va fi

$$Rr = Fd \quad \text{sau} \quad \frac{R}{F} = \frac{d}{r},$$

și forța este amplificată în raportul  $d/r$ . În schimb, mîna care învîrte manivela va trebuie să parcurgă un arc de  $d/r$  centimetri, ca să depeze un singur centimetru de frînghie.

*Scripetele fix*, o altă variantă a pîrghiei, se compune dintr-un disc de lemn sau de metal, mobil în jurul unei axe prinsă într-o furcă  $f$ , pe care o înșurubăm într-o grindă sau o legăm de un suport.

Discul are pe margine un șanț, prin care trece o frînghie (fig. 42).

Experiența ne arată că o forță  $\bar{F}$ , care trage de un capăt al frînghiei, echilibrează o rezistență  $\bar{R}$ , de intensitate egală, care trage de celălalt capăt, iar teoria momentelor prevede că, în adevăr, la echilibru

$$F \cdot r = R \cdot r,$$

unde  $r$  este raza discului, ceea ce implică egalitatea celor două forțe.

Cu toate că scripetele fix nu amplifică forța, el este de multe ori avantajos, fiindcă ne permite să schimbăm direcția ei, după cum ne convine mai bine.

*Scripetele mobil* este tot o variantă a pîrghiei, dar în loc să fixăm scripetele pe un suport, îl putem dispune așa cum arată fig. 43 a.

O forță  $\bar{F}$ , care trage de frînghie, ridică în același timp și scripetele și greutatea atîrnată de dînsul.

Cînd sistemul este în echilibru, acțiunea rezistenței  $\bar{R}$  este compensată, de o parte de tensiunea  $\bar{F}_1$  a frînghiei, iar de altă parte de forța  $\bar{F}$ .

Raza scripetelui fiind  $r$ , condiția de echilibru este ca

$$F \cdot r = F_1 \cdot r.$$

Prin urmare, forțele  $\bar{F}$  și  $\bar{F}_1$  sînt egale.

Rezultanta lor  $\bar{R}'$ , echilibrează greutatea  $\bar{R}$  atîrnată de scripete și trebuie să fie deci egală cu dînsa.

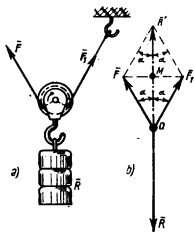


Fig. 43. Scripetele mobil.

Fig. 43 b, în care am reprezentat prin vectori forțele care acționează asupra sistemului, ne arată că

$$OM = F \cdot \cos \alpha = \frac{R}{2},$$

de unde deducem că

$$F = \frac{R}{2 \cos \alpha} \quad (37.1)$$

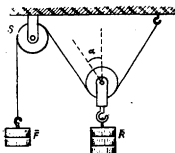


Fig. 44. Verificarea experimentală a formulei scripetelui mobil.

Verificarea experimentală se poate face ușor, cu dispozitivul din fig. 44.

La capătul liber al frînghiei, trecută pe scripetele fix  $S$ , atârnam o greutate  $\bar{F}$ , care echilibrează rezistența  $R$ . Măsurând unghiul  $\alpha$ , putem constata că satisface relația dedusă.

Din aceeași relație putem trage o serie de concluzii, cu privire la folosirea practică a sistemului descris:

1. Dacă forțele  $\bar{F}$  și  $\bar{F}_1$  sînt paralele (fig. 45 a),  $\alpha = 0$  și  $\cos \alpha = 1$ . Rezultă că

$$F = \frac{R}{2},$$

și putem echilibra o greutate  $\bar{R}$  cu o forță de două ori mai mică, aplicată la capătul liber al frînghiei.

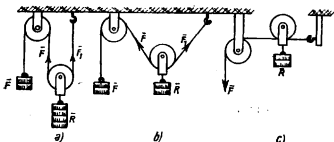


Fig. 45. Echilibrul scripetelui mobil în diferite situații particulare.

2. Dacă  $\alpha = 60^\circ$ ,  $\cos \alpha = 0,5$  și relația (37.1) ne dă

$$F = R.$$

Forța aplicată devine atunci egală cu rezistența de echilibru (fig. 45 b).

3. În sfârșit, dacă scripetele este dispus așa cum arată fig. 45 c,  $\cos \alpha = 0$  și rezultă că este nevoie de o forță infinită, ca să echilibrăm o greutate oricât de mică.

Aceste considerații sînt cu deosebire importante la transportul greutăților de-a lungul cablurilor întinse la înălțime, între două suporturi (*funiculare*).

Ele ne previn că, pe măsură ce săgeata<sup>1)</sup> cablului de suspensie devine mai mică, intensitățile componentelor  $F$  și  $F_1$ , care acționează în lungul lui și tind să-l rupă, cresc mereu și tind către infinit, cînd săgeata tinde către zero (fig. 46).

Ca să evităm folosirea unui cablu de grosime exagerată, va trebui deci să-i lăsam o anumită săgeată, cînd îl întindem.

Muftele și palanurile, de care ne servim la ridicarea greutăților mari, sînt construite dintr-un număr mai mare de scripeti, grupați așa cum arată fig. 47.

Forța este atunci amplificată de atîtea ori, cîți scripeti am grupat împreună (în cazul figurii de șase ori).

În schimb, drumul parcurs de forța aplicată va fi de tot atîtea ori mai mare decît acela parcurs de greutatea de ridicat.

Pe același principiu funcționează angrenajele, macaraua, cabestanul, ericul și numeroase alte dispozitive, folosite în practică.

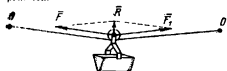


Fig. 46. Funicularul.

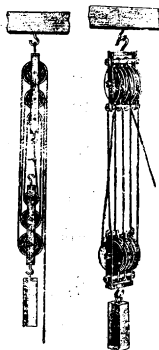


Fig. 47. Palan și mufă

<sup>1)</sup> Se numește *săgeată* distanța maximă cu care cablul se abate de la linia dreaptă.

Ele nu sînt decît aplicații ale pîrghiilor.

Echilibrul dintre forța aplicată și rezistența de învins este și aici dictat de legile momentelor.

Aceste mașini sînt destul de bine cunoscute, din viața de toate zilele, și nu le mai descriem în amănunte.

§ 38. **Planul înclinat.** Se numește *plan înclinat* orice suprafață plană și rigidă, înclinată de un unghi oarecare față de orizontală.

El ne permite, ca și pîrghia, să realizăm o amplificare a forței.

Să presupunem că, pe un asemenea plan, la care unghiul de înclinație ar fi  $\alpha$ , se găsește un corp, care tinde să se rostogolească la vale, fără frecări (fig. 48 a).

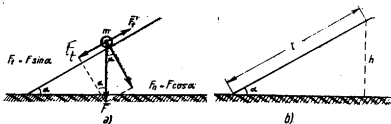


Fig. 48. Echilibrul pe plan înclinat.

Forța  $\bar{F}$  ce reprezintă greutatea corpului, poate fi descompusă în două componente:

— una din ele are intensitatea  $F_n$  și, fiindcă apasă perpendicular pe suprafața de susținere va fi anulată de rigiditatea suportului;

— cealaltă forță,  $\bar{F}_t$ , reprezintă, de fapt, *componenta activă*, căreia i se datorește rostogolirea sau alunecarea corpului.

Intensitatea ei este

$$F_t = F \cdot \sin \alpha \quad \text{pe cînd} \quad F_n = F \cdot \cos \alpha.$$

Ca să menținem corpul imobil va trebui deci să aplicăm o forță  $\bar{F}_t$ , egală și opusă componentei  $\bar{F}_t$ .

Rezultă că raportul dintre greutatea corpului și forța necesară ca să împiedice rostogolirea sau alunecarea este

$$\boxed{\frac{F}{F_t} = \frac{1}{\sin \alpha}} \quad (38.1)$$

Planul înclinat amplifică forța în raportul  $1/\sin \alpha$ .

Prin urmare, *planul înclinat amplifică forțele în raportul  $1/\sin \alpha$ .*

Acest raport de amplificare devine cu atât mai avantajos, cu cât planul se apropie mai mult de orizontală, și va fi egal cu unitatea, când planul ia poziția verticală.

Fig. 48 b ne arată că, dacă dintr-un punct oarecare al planului înclinat, coborîm verticala  $h$ , obținem un triunghi dreptunghi, în care

$$\frac{1}{\sin \alpha} = \frac{l}{h}.$$

Factorul de amplificare este dat de lungimea drumului parcurs, împărțită cu diferența de nivel.

Rezultă că *factorul de amplificare al forțelor este egal cu raportul dintre lungimea drumului parcurs în lungul planului și variația de înălțime a corpului, față de punctul de plecare.*

*Șurubul* este o aplicație a planului înclinat (fig. 49).

Dacă tăietura ghevindului face un unghi  $\alpha$  cu planul de rotație al șurubului, atunci forța  $\vec{F}$ , care caută să-l răsucească în piuliță, poate fi descompusă în două componente:

Una dintre ele  $\vec{F}_2$ , caută să rupă dinții șurubului.

Cealaltă componentă,  $\vec{F}_1$ , dirijată în lungul lui, îl apasă pe piesa rigidă, care s-ar găsi în calea înaintării.

Triunghiurile dreptunghice din figură ne arată că

$$\frac{F_1}{F} = \frac{1}{\tan \alpha}, \text{ și că } \frac{F_2}{F} = \frac{1}{\sin \alpha}.$$

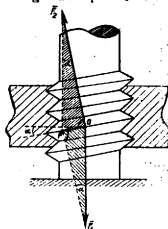


Fig. 49. Principiul șurubului.

Inseamnă că atât  $F_1$ , cât și  $F_2$  vor fi cu atât mai mari, în raport cu  $F$ , cu cât unghiul  $\alpha$  este mai mic.

*Pana de despicat* este altă variantă a planului înclinat.

Forța de împingere  $\bar{F}$  poate fi aici descompusă în componentele  $\bar{F}_1$  și  $\bar{F}_2$ , egale între ele și perpendiculare pe fețele laterale (fig. 50).

Triunghiurile dreptunghice din figură ne arată că

$$F_1 = F_2 = \frac{F}{2} \cdot \frac{1}{\sin \alpha}.$$

Aceste forțe vor fi cu atât mai mari, în raport cu  $F$ , cu cât unghiul  $2\alpha$  de la vârful penei va fi mai mic.

Aceeași figură ne arată că un cuțit, ca să taie mai ușor, trebuie să fie nu numai bine ascuțit, dar să aibă totodată și unghiul dintre cele două fețe cât mai mic.

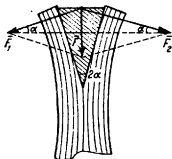


Fig. 50. Principiul penei de despicat.

**§ 39. Cuplu de forțe.** Să presupunem că asupra unui sistem, prin care trece o axă de rotație, sînt aplicate două forțe  $\bar{F}$  și  $\bar{F}_1$ , egale, paralele și de sens contrar (fig. 51).

Aceste forțe constituie ceea ce numim un *cuplu*, iar distanța dintre ele, pe care o vom nota cu  $l$ , este *brațul cuplului*.

Regula cunoscută, de compunere a forțelor paralele, ne arată că, în cazul de față, *rezultanta are intensitatea nulă*.

Totuși, experiența dovedește că sistemul capătă o mișcare de rotație, în sensul săgeții.

*Așadar, cu toate că rezultanta este nulă, forțele unui cuplu nu sînt în echilibru.*

Această aparentă contradicție se lămurește imediat, cînd aplicăm legea momentelor.

Brațele celor două forțe, față de axa de rotație, fiind  $d$  și  $d_1$ , dacă scriem că momentul rezultantei este egal cu suma momentelor componentelor, avem

$$M = F \cdot d + F_1 \cdot d_1.$$

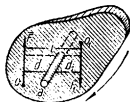


Fig. 51. Cuplu de forțe.

Sau, pentru că

$$F = F_1 \quad \text{și} \quad d + d_1 = l,$$

urmează că

$$M = F \cdot l \quad (39.1)$$

Deși rezultanta este nulă, momentul unui cuplu este diferit de zero. Valoarea lui nu depinde de poziția axei de rotație.

Această relație, în care cantitatea  $F \cdot l$  se numește *momentul cuplului*, ne arată că *sistemul se rotește fiindcă momentul rezultantei nu este nul*.

Ea ne mai arată că *acest moment depinde numai de distanța dintre forțe, indiferent de poziția axei de rotație*.

Totodată este evident ca două cupluri cu momentele egale *sint echivalente* și deci se pot înlocui unul pe altul, fără ca în situația sistemului să mai apară și altă schimbare <sup>1)</sup>.

**Observații:** 1) Momentul rezultantei forțelor fiind egal cu momentul cuplului, dacă notăm brațul ei cu  $L$ , vom avea

$$F \cdot l = R \cdot L.$$

În această relație, membrul întâi reprezintă o cantitate diferită de zero, cu toate că, în membrul al doilea,  $R=0$ .

Pentru ca ea să poată fi satisfăcută, va trebui deci ca

$$L = \infty.$$

Rezultanta unui cuplu este nulă, dar are punctul de aplicație la infinit.

Prin urmare *sistemul se rotește fiindcă rezultanta forțelor, deși este nulă, are punctul de aplicație la infinit*.

2) Mai multe cupluri care acționează simultan, în plane paralele, asupra unui sistem dat, se pot înlocui cu unul singur, numit *cuplu rezultat*.

3) Experiența ne arată că un cuplu care acționează asupra unui sistem, la care nu există o axă fixă de rotație, *își alege de la sine axa care trece prin centrul de greutate al corpului*.

<sup>1)</sup> În viața de toate zilele întâlnim numeroase exemple de cupluri: surubelnița, tirbușonul, pedala bicicletelor, volanul automobilului, motorul electric etc., sint mișcate de cupluri.



## F. Echilibrul corpurilor solide

§ 40. Echilibrul sub acțiunea gravitației. Ne propunem să cercetăm condițiile de echilibru ale unui corp solid, când asupra lui nu acționează decât greutatea proprie.

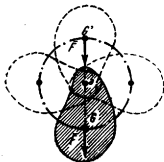


Fig. 52. Echilibrul pe o axă orizontală.

Pentru aceasta, vom examina întâi câteva cazuri particulare, din care vom trage pe urmă o concluzie generală.

1. *Corpul are o axă de rotație orizontală.* Vom presupune că această axă este perpendiculară pe planul fig. 52.

Teoria momentelor cere ca, la echilibru, momentul forței  $\bar{F}$  să fie nul; dar la un corp al cărui centru de greutate nu se confundă cu axa, condiția de față nu poate fi satisfăcută decât în cazul când punctul acesta s-ar găsi pe aceeași verticală cu axa, fie în  $G$ , fie în  $G'$ .

Experiența ne arată că, în adevăr, avem echilibru în ambele cazuri, dar că, totuși, există o diferență între ele:

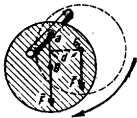


Fig. 53. Revenirea la poziția de echilibru.

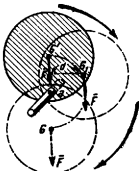


Fig. 54. Echilibru labil.

a) Dacă centrul de greutate se află în  $G$ , în poziția cea mai joasă pe care o permite legătura cu axa, și dacă îndepărtăm

corpul din această situație, forța  $F$  capătă un moment  $F \cdot d$ , care-l aduce înapoi (fig. 53).

Vom spune atunci că *echilibrul este stabil*.

Un exemplu tipic de echilibru stabil poate fi observat la orice corp atârnat cu un fir flexibil.

b) Dacă centrul de greutate se află în  $G'$ , în situația *cea mai înaltă* pe care o permite legătura cu axa, cea mai mică deviere a corpului din această poziție face să apară un moment de răsturnare (fig. 54).

*Echilibrul este atunci nestabil*, fiindcă sistemul nu poate să revină de la sine în poziția părăsită, ci tinde către cealaltă poziție, cu centrul de greutate sub axă.

c) Dacă axa de rotație trece chiar prin centrul de greutate, momentul forței  $\bar{F}$  va fi neconținut nul, oricare ar fi orientarea corpului.

Sistemul rămâne atunci în *echilibru indiferent*, pentru toate orientările ce i s-ar da, fără nici o preferință (fig. 55).

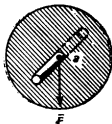


Fig. 55. Echilibru indiferent.

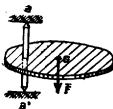


Fig. 56. Echilibrul pe o axă verticală.

În această situație s-ar găsi, de exemplu, o roată de bicicletă bine centrată.

De astă dată, *înălțimea centrului de greutate rămâne aceeași*, oricare ar fi orientarea corpului în jurul axei.

**2. Corpul are o axă de rotație verticală.** Forța gravitației, aplicată în  $G$ , nu poate roti corpul, fiindcă acțiunea ei se exercită perpendicular pe planul de rotație (fig. 56).

Dacă nu poate nici să devieze axa, ca să o aducă în poziție oblică, această forță lasă sistemul în echilibru indiferent.

Mai trebuie să menționăm, că și de astă dată *situația de echilibru indiferent corespunde unei înălțimi constante a centrului de greutate*.



Fig. 57. Echilibrul stabil, pe un vîrf.

Sistemul reprezentat în fig. 57 întrunește simultan cele două cazuri particulare de mai sus.

Centrul de greutate se află sub vîrf, acului așa că, la orice deviere într-un plan vertical, echilibrul *stabil* implică revenirea la poziția inițială.

În schimb, pentru orice rotație în planul orizontal, poziția centrului de greutate nu-și modifică înălțimea și echilibrul apare ca *indiferent*.

3. *Corpul stă pe un plan orizontal*. Presupunînd că el atinge planul în mai multe puncte, poligonul care unește aceste puncte reprezintă, prin definiție, *baza de susținere*. Această bază poate fi tot o suprafață plană, cum este cazul corpurilor din fig. 58.

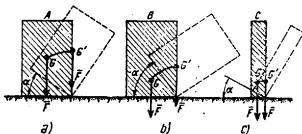


Fig. 58. Condiția de echilibru pe un plan orizontal.

*Experiența ne arată că există echilibru, cînd verticala centrului de greutate cade în interiorul poligonului de bază.*

*El este cu atît mai stabil, cu cît baza e mai mare și centrul de greutate mai aproape de dînsa.*

În fig. 58 corpurile notate cu A și B au aceeași bază, dar centrele de greutate sînt la înălțimi diferite. Primul este în echilibru mai puțin stabil decît al doilea, fiindcă unghiul  $\alpha$ , cu care trebuie să-l rotim în jurul unei muchii, ca să-l putem răsturna, este mai mic.

Corpurile B și C au centrele de greutate la aceeași înălțime, dar bazele sînt diferite. Din aceeași cauză, B se răstoarnă mai greu decît C.

La limita de răsturnare, centrul de greutate ocupă cea mai înaltă poziție permisă de legături, și echilibrul este *nestabil*.

Verificarea acestor fapte o putem face și prin experiența zilnică.

Dacă vrem să ne păstrăm echilibrul cât mai bine, trebuie să depărtăm picioarele, ca să mărim baza de susținere, iar când purtăm o greutate ne aplecăm în partea opusă, ca să menținem verticala centrului de greutate în interiorul bazei.

Tot experiența ne arată că un car încărcat se răstoarnă cu atât mai ușor, cu cât centrul de greutate se află mai sus.

Fig. 59 reprezintă vestitul turn înclinat de la Pisa, care nu se răstoarnă, fiindcă verticala centrului de greutate nu iese din cuprinsul poligonului de bază.

Uneori baza de susținere se reduce la un punct sau la o dreaptă.

De pildă, corpul oval din fig. 60 are o poziție de echilibru stabil, în *a* și alta de echilibru nestabil, în *b*, după cum centrul de greutate ocupă cea mai joasă or cea mai înaltă poziție, față de punctul de sprijin.

Același lucru se petrece cu o sferă, pe care am îngreuiat-o cu o bucată de plumb, situată excentric (fig. 61). O asemenea sferă poate sta în echilibru stabil chiar pe un plan înclinat.

Dacă sfera este omogenă echilibrul ei pe un plan orizontal este indiferent, fiindcă înălțimea centrului de greutate nu mai variază cu orientarea.

Același lucru se întâmplă cu un con sau cu un cilindru, culcate pe o generatoare.

Pentru echilibrul nestabil se aplică adesea și denumirea de *echilibru labil*.

De asemenea se folosește denumirea specială de *echilibru metastabil* pentru echilibrul de stabilitate mică, în care sistemul revine la poziția inițială numai când este foarte puțin deviat, dar

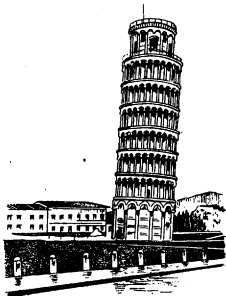


Fig. 59. Turnul din Pisa.

se răstoarnă la devierile mai mari, ca să ocupe altă poziție de echilibru, mai stabilă.

Exemplul tipic ni-l dau așa-numitele *castele de cărți*, dar tot metastabil este și echilibrul unui bolovan, care stă într-o mică adâncitură, pe coasa unui deal, sau echilibrul unui creion, așezat vertical, pe capătul neascuțit.

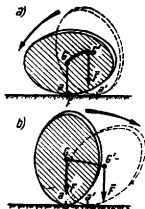


Fig. 60. Corp oval în echilibru pe un plan orizontal.

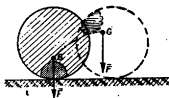


Fig. 61. Echilibrul stabil al unui disc sau al unei sfere neomogene.

În concluzie: *echilibrul poate fi labil, stabil sau indiferent, după cum centrul de greutate ocupă o poziție de înălțime maximă, minimă sau constantă, față de punctul de sprijin.*

Echilibrul este labil, stabil sau indiferent, după cum înălțimea centrului de greutate este maximă, minimă sau constantă.

*Condiția ca verticala centrului de greutate să întâlnească baza de susținere este suficientă, dar nu întotdeauna și necesară (cazul axei verticale).*

## G. Balanța

§ 41. Principiu și descriere. Partea principală a balanței este o pîrghie, cu brațe egale sau neegale, pe care două greutăți, aplicate la capete, o mențin orizontal în echilibru. Pîrghia este făcută, de obicei, din metal.

Aplicarea legii momentelor ne permite să comparăm aceste greutăți și, odată cu ele, să comparăm și masele respective, cu care sînt proporționale.

Există diferite tipuri de balanțe, dintre care nu vom descrie decît pe cele mai obișnuite.

1. *Balanța cu brațe egale.* Pîrghia este sprijinită la mijloc pe un cutit triunghiular  $C_1$ , care stă pe o placă de oțel sau de agat (fig. 62).

La capetele ei sînt alte două cutite  $C_2$ , așezate cu muchia în sus, iar pe dinsele se sprijină două talgere, pe care punem greutățile de comparat.

Un dispozitiv special, adaptat la unele balanțe, ridică pîrghia și talgerele de pe cutite, ca să nu se uzeze fără folos, cînd nu ne servim de ele.

Dacă brațele sînt în adevăr egale, greutățile de comparat vor fi de asemenea egale, dar această condiție nu poate fi îndeplinită practic, decît în limita preciziei permise de tehnica fabricării.

*Cutia de greutăți.* Pentru cîntărit, ne servim de greutăți etalonate, în formă de trunchiuri de piramidă hexagonală sau de cilindru și de bucăți de tablă, cu formă geometrică regulată (fig. 63). Ele sînt dispuse, de obicei, pe serii, în cutii speciale, așa

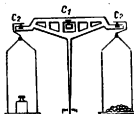


Fig. 62. Principiul balanței cu brațe egale.



Fig. 63. Modele de greutăți marcate.

îel ca fiecare dintre ele să poată fi înlocuită prin celelalte mai mici, care urmează după dînsa.

Dacă, de pildă, cea mai mare dintre greutatețile din cutie are masa de 500 g, celelalte sînt dispuse astfel:

grame:	500 ...	200 ...	200 ...	100
	50 ...	20 ...	20 ...	10
	5 ...	2 ...	2 ...	1
decigrame:	5 ...	2 ...	2 ...	1
centigrame:	5 ...	2 ...	2 ...	1

Fig. 64 reprezintă o cutie de greutateți de precizie, specială pentru cercetările de laborator.

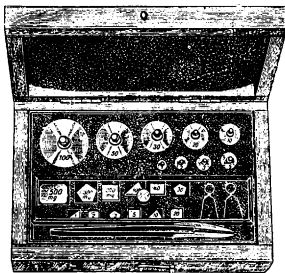


Fig. 64. Cutie cu greutateți pentru balanțe de precizie.

Ele sînt făcute din alamă platinată, aurită sau cromată, ca să nu fie atacată de urmele de vapori sau de gaze corozive.

Din același motiv, manipularea lor nu este permisă decît cu o pensetă specială, cu vîrfuri de os, înții fiindcă transpirația mîinii este de asemenea corozivă, apoi fiindcă balanțele moderne sînt foarte bine cantitățile mici de substanță, pe care le lasă atingerea cu mîna.

În practică se folosesc două metode de cîntărire:

**Cîntărirea simplă.** Punem în unul dintre talgere corpul de cîntărit, iar în celălalt greutateți etalonate, pînă cînd un ac indi-

ator ne arată că pîrghia stă orizontal. Dacă brațele balanței sînt egale, greutateile din talgere vor fi de asemenea egale.

Această metodă de cîntărire nu este avantajoasă, fiindcă, peste erorile de etalonare a greutăților, se mai adaugă și erorile sistematice, provenite din neegalitatea riguroasă a lungimii brațelor.

*Cîntărirea dublă* (sau prin substituire). Punem corpul în unul din talgere și-l echilibrăm cu greutateți adăugate în celălalt.

Apoi luăm corpul și refacem echilibrul, punînd în locul lui greutateți etalonate.

Prin această metodă, orice eroare, provenită din neegalitatea riguroasă a brațelor, este eliminată <sup>1)</sup>.

Condițiile pe care trebuie să le îndeplinească o balanță sînt următoarele:

a) *Condiția de stabilitate*. Insuși principiul cîntăririi cere ca pîrghia să stea orizontal, în echilibru *stabil*.

Balanța este stabilă dacă centrul de greutate propriu al pîrghiei se află sub punctul ei de sprijin.

Această condiție nu poate fi îndeplinită decît dacă, prin construcție, *centrul de greutate propriu al pîrghiei se află sub punctul ei de sprijin*.

Altfel, echilibrul nu ar pute să fie decît nestabil, sau indiferent.

b) *Condiția de justețe*. Aceasta impune ca *greutăți egale, puse în talgere, să aducă pîrghia în poziție orizontală*.

Balanța este justă dacă are brațele egale.

Aceasta implică o egalitate, dacă nu riguroasă, cel puțin relativă a lungimii brațelor, așa ca să nu apară erori sistematice, mai

marilor decît precizia cu care au fost etalonate greutatețile folosite.

Controlul de justețe se poate face prin mutarea, de pe un talger pe altul, a greutăților echilibrate. Dacă balanța este, în adevăr, justă, pîrghia trebuie să rămînă mai departe în poziția orizontală.

<sup>1)</sup> Metoda cîntăririi prin substituire a fost imaginată de matematicianul francez Jean Charles Borda (1733—1799).



c) *Condiția de sensibilitate.* Se definește *sensibilitatea absolută a unei balanțe prin valoarea celei mai mici greutateți pe care o poate aprecia.*

Orice balanță are o sensibilitate absolută și alta relativă.

Ea depinde, în primul rând, de finețea cuțitelor de sprijin, dar experiența ne arată că obținem o creștere de sensibilitate, dacă facem pîrghia cît mai ușoară și cît mai lungă și dacă îi aducem centrul de greutate cît mai aproape de cuțitul de sprijin.

Explicația teoretică o vom da mai tîrziu. Deocamdată trebuie să menționăm că, pe măsură ce încărcăm talgerele cu greutateți din ce în ce mai mari, *pîrghia se curbează și centrul ei de greutate se lasă mai jos*, iar cuțitele suferă și ele o turtire a muchiilor.

Ca urmare, *sensibilitatea absolută a unei balanțe încărcate devine mai mică decît a balanței neîncărcate.*

De aceea, în practică, ne interesează raportul dintre sensibilitatea absolută și încărcarea ce a putut fi cîntărită cu această sensibilitate.

În aceste condiții, dacă balanța simte o variație  $\Delta P$  a unei greutateți  $P$  care a fost cîntărită, raportul  $\Delta P/P$  definește așa-numita *sensibilitate relativă* a ei.

De exemplu, dacă am presupune că balanța ne permite să cîntărim greutatea maximă de 1000 g, cu aproximația de 0,001 g, sensibilitatea ei absolută ar fi de 1 mg, iar sensibilitatea relativă se va exprima prin raportul

$$\frac{0,001}{1000} = 10^{-6},$$

care ne spune că putem aprecia pînă la o milionime din valoarea încărcării maxime.

Dacă încercăm să mărim sensibilitatea absolută, făcînd pîrghia cît mai lungă, mărim implicit greutatea ei și pierdem într-o parte ceea ce am cîștigat în altă parte. Totodată, o pîrghie prea lungă rezistă mai puțin la indoire și reduce sensibilitatea relativă.

Aceste considerații ne arată, din capul locului, că problema construcției balanțelor de precizie prezintă complicații deosebite, pe care numai puține case constructoare specializate au izbutit să le înlăture.

Se cere mai ales o judicioasă folosire a materialelor, care să dea pîrghiei maximum de rezistență, cu minimum de greutate și o precizie deosebită în execuție.

Balanțele folosite obișnuit în laboratoare ne permit să apreciem zeceimea sau sîmnea de miligram, cînd le încărcăm cu 100—200 g.

Fig. 65 reprezintă modelul clasic al balanței de analiză chimică.

Se construiesc însă și *microbalanțe*, cu care putem aprecia miimea de miligram, la încărcarea de 10—20 g.

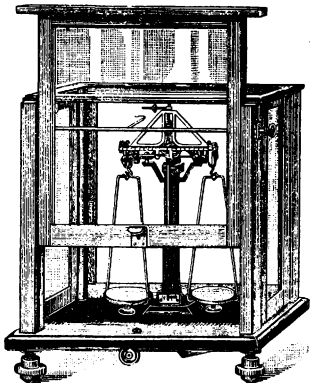


Fig. 65. Balanță de precizie sensibilă la 0,0001 g.

Cintărirea devine, în aceste condiții, o operație delicată și cere anumite măsuri de precauție, fiindcă variațiile de temperatură, curenții de aer sau vibrațiile solului pot să falsifice rezultatele.

Pentru anumite cercetări de radioactivitate, s-au construit balanțe speciale, cu pirghia făcută din fire de cuarț, care funcționează în vid și ne permit să cîntărim o fracțiune de gram cu aproximația de  $10^{-6}$  g.

Aceasta pare să fie limita sensibilității absolute a balanțelor, în condițiile tehnice de astăzi.

**1. Cavalerul.** Pentru miligrame, sau fracțiunile de miligram, nu avem nevoie de greutăți speciale, care de altfel ar fi prea mici, ca să poacă fi manevrate cu destulă ușurință.

Ele pot fi apreciate, mișcînd în lungul pîrghiei, cu un dispozitiv special, un cîrlig de sîrmă, care cîntărește un *centigram* și se numește *cavaler*. Între cuțitul median și capătul care suportă platanul, brațul balanței este divizat în zece părți egale, iar acestea în altele zece, așa că, dacă așezăm cavalerul pe diviziunea 4,3 este ca și cum am pune în platan 0,43 cg.

2. *Balanța lui Roberval*. Această balanță se întrebuițează în comerț și în gospodărie.

Se compune din două pîrghii cu brațele egale, mobile în jurul unor cuțite mediane (fig. 66).

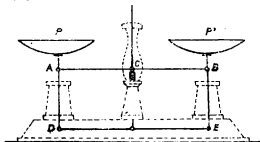


Fig. 66. Principiul balanței Roberval.

La capetele pîrghiei sînt articulate două bare verticale, pe care stau talgerele.

Tipul acesta de balanță este comod și ușor de transportat, dar cele șase puncte de frecare îi micșorează mult sensibilitatea.

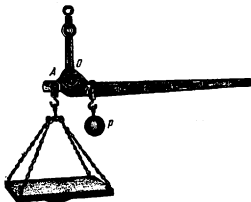


Fig. 67. Balanța romană.

3. *Balanța romană*. Este formată dintr-o pîrghie cu brațele neegale, mobilă în jurul axei O (fig. 67).

La capătul brațului scurt, atîrnăm corpul de cîntărit, iar pe brațul lung mișcăm o greutate  $P$ , pînă ce sistemul stă orizontal.

Momentul greutății corpului este atunci egal cu momentul greutății  $P$ . Etalonarea o facem atîrnînd în  $A$  greutăți cunoscute.

4. *Balanța zecimală*, (bascula). Ea servește la cîntărirea corpurilor mari și grele.

Se compune din două pîrghii  $AC$  și  $FG$ , cu axele respective în  $O$  și în  $G$  (fig. 68).

O a treia pîrghie  $DE$  este înălș platforma, pe care așezăm corpul de cîntărit.

Primele două pîrghii sînt legate între ele prin bara articulată  $CF$ , iar platforma se sprijină în  $E$  pe pîrghia  $FG$  și este legată în  $D$  la bara articulată  $DB$ .

Poziția cuțitelor și lungimile brațelor sînt astfel calculate, încît o greutate  $P$  să poată echilibra o altă greutate  $Q$  de zece ori mai mare, pusă pe platformă.

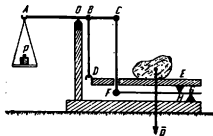


Fig. 68. Principiul balanței zecimale.

Nu vom insista asupra metodei de calcul, care nu este decît o aplicație a legii momentelor.

Rezultatul la care ajungem este că, oriunde s-ar găsi o greutate pe platformă, ea și cum ar fi atîrnată direct în  $B$ .

De aceea, cînd balanța este construită așa ca o greutate  $P$  să echilibreze greutatea  $Q$ , de zece ori mai mare, avem relația

$$\frac{OA}{OB} = \frac{O}{P} = 10.$$

§ 42. *Teoria elementară a balanței cu brațe egale*. Vom reprezenta schematic balanța numai prin pîrghia ei, cu punctul de sprijin în  $O$  și de lungime  $2l$  (fig. 69).

Respectînd condiția de stabilitate, vom presupune că centrul de greutate al pîrghiei se găsește în  $C$ , la distanța  $h$  de punctul de sprijin și că această pîrghie cîntărește  $\pi$  gf.

Dacă la un capăt al pîrghiei, acționează o forță  $\bar{F}$  și la celălalt capăt forța  $\bar{F} + \bar{f}$ , reprezentate prin greutățile puse pe platforme, brațele deviază, de la orizontală, cu un unghi  $\alpha$ , centrul de greutate se mută în  $C'$  și echilibrul se stabilește cînd suma momentelor este nulă.

Vom avea atunci, ținind seamă de semnele convenționale și de triunghiurile dreptunghice hașurate în figură:

$$Fl \cos \alpha + \pi h \sin \alpha - (F + f) l \cos \alpha = 0,$$

sau

$$\pi h \sin \alpha = fl \cos \alpha,$$

sau încă

$$\boxed{\operatorname{tg} \alpha = \frac{fl}{\pi h}} \quad (42.1)$$

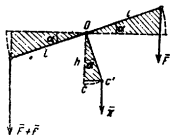


Fig. 69. Deducerea sensibilității unei balanțe.

Această relație ne confirmă cele arătate în capitolul precedent, ca rezultate ale studiului experimental, și ne arată că *sensibilitatea absolută a balanței*, definită prin tangenta unghiului de deviație  $\alpha$ , este *direct proporțională cu lungimea brațului*, *invers proporțională cu greutatea lui* și *tot invers proporțională cu distanța dintre punctul de sprijin și centrul de greutate*.

Dacă micșorăm distanța  $h$ , sensibilitatea crește, dar stabilitatea echilibrului scade. Brațul oscilează atunci foarte lent și cântărirea devine dificilă.

Dacă micșorăm distanța  $h$ , sensibilitatea crește, dar stabilitatea echilibrului scade. Brațul oscilează atunci foarte lent și cântărirea devine dificilă.

Cînd centrul de greutate coincide cu punctul de sprijin,  $h=0$  și tangenta unghiului devine infinită. Brațul se înclină deci la  $90^\circ$ , pentru cea mai mică supragreutate  $f$ .

În sfîrșit, cînd centrul de greutate se găsește deasupra punctului de sprijin, momentul se inversează și  $\operatorname{tg} \alpha$  capătă o valoare negativă.

Balanța se răstoarnă atunci peste cap, iar în laboratoare se spune că o astfel de balanță este *ne bună*.

În expresia (42.1) nu apare valoarea greutății  $F$ , cu care am încărcat platanul. Disparația ei din calcul este o consecință a faptului că am considerat pirghia ca *infiniț de rigidă*, adică absolut nedeformabilă la încărcare.

În realitate, această deformare crește cu  $F$ , punctul de sprijin se depărtează de centrul de greutate, care se lasă mai jos, distanța  $h$  crește și sensibilitatea absolută scade.

## H. Dezvoltarea istorică a staticii

Fără a intra în amănunte, va trebui să menționăm de la început că echilibrul forțelor a fost prima problemă atacată cu succes de filozofii antichității.

*Archimede*<sup>1)</sup> a studiat echilibrul pîrghiilor. Fraza cunoscută, ce i se atribuie, „*dați-mi un punct de sprijin și voi răsturna Pămîntul*” ne arată în ce măsură a înțeles aceste fenomene. El cunoștea raportul invers de proporționalitate dintre forțe și brațele respective, pe care l-a dedus din principiul simetriei.

Tot Archimede a introdus noțiunea de *centru de greutate* și a încercat să-i calculeze poziția, în câteva cazuri speciale.

*Aristotel*<sup>2)</sup>, care a trăit cu un secol înaintea lui Archimede, privea problema pîrghiilor mai ales din punctul de vedere al mișcărilor. El a observat că o forță rezistă cu atît mai mult la deplasarea pîrghiei, cu cît e aplicată mai departe de punctul de sprijin și că arcul de cerc parcurs, ca să ajungă la echilibru, este direct proporțional cu lungimea brațului, dar invers proporțional cu forța.

Deosebirea dintre concepțiile acestor doi filozofi constă în aceea că Archimede privește problema numai din punctul de vedere al echilibrului, pe cînd Aristotel o leagă de mișcare, iar ideile lui au dus, cu sute de ani mai tîrziu, la clarificarea noțiunii de lucru mecanic.

De la *Euclid*<sup>3)</sup>, aproape contemporan cu Archimede, autorii arabi ne-au transmis unele considerații asupra balanței, dar nu se știe sigur dacă sînt autentice.

În cursul evului mediu nu s-au înregistrat progrese însemnate în mecanică. Există numai un manuscris al lui *Jordanus de Nemore*, descoperit acum 50 de ani, în care se întrevide o înțelegere a noțiunii de lucru mecanic și se deduc legile pîrghiilor, cu ajutorul ei.

Nu cunoaștem naționalitatea autorului. Știm numai că a trăit în veacul al XIII-lea.

Un alt manuscris, care datează din veacul al XIV-lea, tratează corect condiția de echilibru pe planul înclinat și arată înțelegerea noțiunii de moment static al forțelor. Și acest manuscris a fost descoperit abia în ultimele decenii, iar numele autorului nu este cunoscut.

<sup>1)</sup> *Archimede* (287—212 î.e.n.), filozof, geometru și constructor hidromecanic al antichității, a fost omorît de un soldat roman, în timpul războaielor punice. A descoperit principiul de hidrostatică ce-i poartă numele.

<sup>2)</sup> *Aristotel* (384—322 î.e.n.), a fost prietenul și profesorul lui Alexandru Macedonul. De la el ne-au rămas numeroase tratate de logică, istorie naturală, filozofie și politică. Influența ideilor lui a fost covârșitoare în tot cuprinsul evului mediu.

<sup>3)</sup> *Euclid* (306—283 î.e.n.) este cel mai de seamă reprezentant al școlii de la Alexandria și creatorul geometriei așa-zise euclidiene.

*Lionardo da Vinci*<sup>1)</sup>, care a fost nu numai un artist genial și un inginer multilateral, s-a ocupat de asemenea și cu probleme de mecanică.

El a încercat, între altele, să rezolve și problema echilibrului pe planul înclinat, prin descompunerea forțelor, dar nu a putut să găsească soluția corectă.

Am văzut că această problemă a fost rezolvată mai tirziu de *Stevin*.

Primul tratat științific de statică se datorește lui *Galileu* și apare în 1634. Este interesant să cităm din el câteva pasagii:

„Cea mai mică forță din lume poate să transporte orice greutate vrem. Dar nu se poate spune la sfârșit că am transportat o sarcină mare cu o forță mică, fiindcă ea a fost totdeauna egală cu fiecare parte a sarcinii, așa că nu câștigăm nimic cu instrumentele și că, dacă aplicăm o forță mică unei sarcini mari, ne trebuie timp mai mult, iar dacă vrem să o transportăm în timp scurt, ne trebuie o forță mare”.

„Greutatea unui corp este înclinația naturală ce o are să se miște, ca să meargă spre centrul Pământului. Momentul este înclinația aceluiași corp, cînd e considerat în legătură cu situația pe brațul unei pîrghii, sau unei balanțe și această situație face că el apasă în raport cu distanța față de centrul balanței”.

Iată deci enunțată destul de clar definiția momentului. În problema planului înclinat, *Galileu* remarcă greșeala lui *Pappus* din *Alexandria*, care credea că este nevoie de o forță, chiar pentru a întreține mișcarea pe un plan orizontal. Aceasta nu-i decît o enunțare, încă neclară dar totuși corectă, a principiului inerției.

Odată cu *Galileu* începe adevărata dezvoltare științifică a mecanicii, pe bază de teorie, îmbinată cu experiența.

De aici înainte, după o dezvoltare uimitor de rapidă, care a culminat către mijlocul veacului al XIX-lea, lucrările lui *Newton*, *Euler*<sup>2)</sup>, *d'Alembert*<sup>3)</sup>, *Laplace*<sup>4)</sup>, *Lagrange*<sup>5)</sup>, *Poisson*<sup>6)</sup>, *Kirchhoff*<sup>7)</sup>, și alții, unite cu

<sup>1)</sup> *Lionardo da Vinci* (1452—1519), născut la Vinci, lângă Florența și mort în Franța, la Amboise. S-a ilustrat în toate ramurile artei și ale științei. În manuscrisele rămase de la el, cunoscute sub numele de *Codice Atlantico*, găsim descrise numeroase mașini, principiul submarinului, cercetări asupra zborului, proiecte de fortificații și arme de foc, cercetări de anatomie umană și chiar primele interpretări juste ale prezenței fosilelor, în straturile geologice.

<sup>2)</sup> *Leonhard Euler* (1701—1783) născut la Basel. A fost membru al Academiei din Petersburg.

<sup>3)</sup> *Jean Le Rond d'Alembert* (1711—1783). născut la Paris. Este unul din autorii Enciclopediei, cunoscut prin ideile lui revoluționare.

<sup>4)</sup> *Pierre Simon Laplace* (1749—1827) matematician și astronom francez.

<sup>5)</sup> *Joseph Louis Lagrange* (1736—1813) matematician francez. A fost membru al Academiei din Berlin.

<sup>6)</sup> *Raymond Poisson* (1781—1840) matematician francez.

<sup>7)</sup> *Gustav Robert Kirchhoff* (1824—1887) matematician și fizician german. Este unul din descoperitorii analizei spectrale.

progresele de calcul analitic și vectorial, au dus treptat capitolul staticii până la o încheiere aproape completă.

Aceste lucrări au și o importanță practică deosebită, pentru că au servit ca bază de plecare inginerilor, în calcularea, pe baze științifice, a rezistenței construcțiilor.

## CAPITOLUL II

### CINEMATICA <sup>1)</sup>

#### A. Noțiuni generale

§ 43. **Noțiuni de bază.** Un corp, sau un punct material în mișcare, constituie *un mobil*, iar drumul urmat se numește *traiectorie*.

Prin definiție, vom numi *viteză* ( $v$ ) spațiul parcurs în unitatea de timp. Viteza se exprimă deci printr-o lungime, raportată la un timp și are dimensiunile

$$[v] = LT^{-1}.$$

După unitățile alese, viteza se exprimă:

*în centimetri pe secundă*, în sistemul CGS, și  
*în metri pe secundă*, în sistemele MKS și MKfS.

În viața de toate zilele, mai folosim și alte unități, de pildă km/s sau km/h.

Prin caracterul ei, viteza ne apare ca o mărime dirijată, iar experiența confirmă că, în adevăr, *se pot aplica vitezelor toate regulile cunoscute ale operațiilor vectoriale*.

Viteza se exprimă printr-o lungime, raportată la un timp și este o mărime vectorială.

Cînd e constantă, mișcarea este uniformă, iar dacă variază cu timpul, mișcarea este neuniformă sau variată.

Dacă viteza este neconstantă, mișcarea se numește *uniformă*, iar dacă se schimbă cu timpul, mișcarea este *neuniformă* sau *variata*.

Este ușor de înțeles că, la mișcarea rectilinie, vectorul ce reprezintă viteza se confundă cu direcția traiectoriei, pe cînd la mișcarea curbilinie se menține tangent la traiecotrie (fig. 70).

<sup>1)</sup> Cuvîntul derivă din limba greacă, de la *Kinēma-Atos* = mișcare.



**Mișcarea curbilinie nu poate fi uniformă, fiindcă vectorul-viteză își schimbă neconținut orientarea, ca să rămână tangent la traiectorie.**

Rezultă că o *mișcare curbilinie nu poate fi niciodată uniformă*, fiindcă viteza, chiar dacă nu variază numeric, își schimbă neconținut direcția.

Variația  $\vec{v}_2 - \vec{v}_1$  a vitezei, între două puncte  $a$  și  $b$  ale traiectoriei curbe, poate fi cunoscută ca sens, mărime și direcție, dacă

facem diferența geometrică a vectorilor  $\vec{v}_2$  și  $\vec{v}_1$ , așa cum arată fig. 70 *b*.

Să considerăm acum o mișcare *rectilinie și neuniformă* și să presupunem că viteza variază cu timpul, după o lege încă necunoscută.

În cazul acesta, chiar dacă am cunoaște legea variației spațiului, nu putem scrie necondiționat că, după un timp oarecare,

$$\text{viteza} = \frac{\text{spațiu}}{\text{timp}},$$

fiindcă, neexistând o proporționalitate între spațiu și timp, viteza se schimbă de la un moment la altul.

Fig. 70. Vectorul-viteză în mișcarea rectilinie și în cea curbilinie.

*Soluția problemei nu poate fi deci găsită prin metodele obișnuite de calcul aritmetic sau algebric.*

A trebuit, prin urmare, să se recurgă la alte procedee matematice și astfel s-a născut *analiza* cu ajutorul citimilor infinit de mici, numită *calcul diferențial* sau *calcul infinitesimal*.

Aceste metode speciale de calcul se aplică la toate fenomenele în care o mărime dată nu variază după o lege de proporționalitate simplă, directă sau inversă. Ele sînt impuse de însăși natura acestor fenomene, așa că nu trebuie să fie considerate ca simple abstracții matematice.

În cele ce urmează, vom da numai cîteva principii de bază, în forma cea mai simplă cu putință, evitînd orice incursiune în domeniile de amănunte <sup>1)</sup>.

§ 44. **Noțiunea de derivată.** Să considerăm, de pildă, cazul cînd un mobil, care a plecat din repaus, descrie o traiectorie rectilinie, pe care spațiul crește proporțional cu pătratul timpului după legea

$$s = a \cdot t^2$$

și, pentru ca exemplul să fie cît mai simplu, să presupunem că studiul experimental al acestei mișcări ne-a dus la concluzia că factorul de proporționalitate  $a$  este egal cu unitatea, cînd exprimăm spațiul în centimetri și timpul în secunde.

Din punct de vedere *pur numeric*, vom putea scrie atunci legea cercetată sub forma

$$s = t^2 \quad (44.1)$$

și astfel pătratul numărului care exprimă timpul va fi egal cu numărul care exprimă spațiul respectiv, în centimetri.

Cu toate că nu cunoaștem legea vitezelor, ne propunem, totuși, să găsim viteza *instantanee* sau *momentană*, după 3 secunde de la pornire.

Cum procedeele obișnuite de calcul nu permit o rezolvare suficient de exactă a acestei probleme, va trebui să recurgem la *aproximații*.

Pentru aceasta vom admite că, într-un interval de timp foarte scurt  $\Delta t$ , adăugat la cele 3 s, viteza nu suferă decît variații neglijabile, așa că poate fi considerată ca *aproximativ* constantă <sup>2)</sup>.

În aceste condiții, viteza este dată, evident, de raportul

$$v_m = \frac{\text{spațiul după } (3 + \Delta t) \text{ secunde} - \text{spațiul după 3 secunde}}{\text{intervalul de timp } \Delta t}$$

pe care-l putem scrie simbolic sub forma

$$v_m = \frac{\Delta s}{\Delta t}$$

și care se numește *viteză mijlocie*, în intervalul de timp  $\Delta t$ .

Este de asemenea evident că această viteză mijlocie se va apropia cu atît mai mult de viteza instantanee căutată, cu cît  $\Delta t$  va fi mai mic. Astfel:

$$\text{dacă } \Delta t = 0,1 \text{ s, avem } v_m = \frac{\Delta s}{\Delta t} = \frac{3,1^2 - 3^2}{0,1} = \frac{9,61 - 9}{0,1} = 6,1 \text{ cm/s;}$$

<sup>1)</sup> Acestor noțiuni de calcul infinitesimal recomandăm să li se dea o atenție specială, fiindcă, altfel nu se vor putea înțelege capitolele viitoare.

<sup>2)</sup> Simbolul  $\Delta$ , pus înaintea unei cantități, reprezintă convențional diferența dintre două valori ale acelei cantități. El se citește împreună cu mărimea la care se referă, în cazul de față *delta t*.

dacă  $\Delta t = 0,01$  s, avem  $v_m = \frac{9,0601 - 9}{0,01} = 6,01$  cm/s;

dacă  $\Delta t = 0,001$  s, avem  $v_m = \frac{9,006001 - 9}{0,001} = 6,001$  cm/s.

Prin urmare, pe măsură ce  $\Delta t$  și  $\Delta s$  devin din ce în ce mai mici, viteza medie calculată prin acest proces de aproximație, se apropie de *valoarea-limită* 6 cm/s, pe care sîntem îndreptățiți a o considera ca reprezentînd *viteza instantanee*, după cele 3 secunde.

Repetînd operația, s-ar putea calcula viteza și pentru alte valori ale timpului, dar procedeul este lung și cu totul incomod.

Ar fi, desigur, mult mai avantajos dacă am găsi o *relație generală simplă*, care să ne dea viteza numai prin înlocuirea valorii numerice a timpului, iar munca de aproximație să fie făcută o singură dată, pentru toate cazurile posibile.

Cu această intenție, să ne întoarcem deci la relația inițială

$$s = t^2. \quad (44.1)$$

Spațiul parcurs după timpul  $t$  fiind  $s$ , vom avea, după timpul  $t + \Delta t$ ,

$$s + \Delta s = (t + \Delta t)^2 = t^2 + 2t \cdot \Delta t + (\Delta t)^2;$$

iar dacă scădem de aici relația precedentă, obținem:

$$\Delta s = 2t \cdot \Delta t + (\Delta t)^2.$$

Viteza medie va fi, prin urmare,

$$v_m = \frac{\Delta s}{\Delta t} = \frac{2t \cdot \Delta t + (\Delta t)^2}{\Delta t} = 2t + \Delta t.$$

Dacă facem acum pe  $\Delta t$  să tindă către zero, obținem tocmai relația generală căutată, adică *formula vitezei instantanee*:

$$\boxed{v = 2t} \quad (44.2)$$

Pentru  $t = 3$  s, găsim astfel că  $v = 6$  cm/s, adică tocmai valoarea calculată la început.

Pentru  $t = 0$  s, rezultă că  $v = 0$ , ceea ce ne arată că mobilul a pornit din repaus.

Pentru  $t = 5$  s, obținem  $v = 10$  cm/s,

și așa mai departe, pentru orice valoare numerică a lui  $t$ .

Scopul urmărit, de a deduce viteza instantanee dintr-o relație generală, este deci atins, dar, totodată, am ajuns în situația de a putea defini o noțiune matematică nouă: aceea de *derivată*, pe care, de fapt, am introdus pe nesimțite.

În adevăr, cînd am pus condiția ca diferența  $\Delta t$  să tindă către zero, raportul

$$v_m = \frac{\Delta s}{\Delta t}$$

a căpătat o *valoare-limită*, egală cu viteza instantanee  $v$  și ne-a dus la relația:

$$v = 2t, \quad (44.2)$$

adică la o nouă funcție de timp, care se notează simbolic:

$$v = f'(t)$$

și care *derivă* din funcția primitivă:

$$s = t^2 = f(t). \quad (44.1)$$

Ca să arătăm că diferența  $\Delta t$  nu are o valoare fixă, chiar dacă este foarte mică și trebuie să tindă către zero, vom scrie în locul ei simbolul  $dt$ , iar în locul lui  $\Delta s$  vom scrie  $ds$ .

În acest fel:

$$v = f'(t) = \lim_{\Delta t \rightarrow 0} \frac{\Delta s}{\Delta t} = \frac{ds}{dt}.$$

Diferențialele pot să devină oricît am dori de mici, iar raportul lor reprezintă derivata funcției în raport cu variabila.

Cantitățile  $ds$  și  $dt$ , care pot să devină oricît de mici am dori, se numesc *diferențiale*, iar cîtul lor reprezintă *derivata* funcției primitive  $s$ , în raport cu variabila  $t$ .

Noțiunea de derivată, introdusă de Newton, așa cum am făcut și noi, din nevoia de a studia mișcarea neuniformă poate fi extinsă și generalizată pentru orice funcțiune

$$y = f(x).$$

Dacă notăm derivata fie cu  $y'$ , fie cu  $f'(x)$ , avem, prin definiție,

$$y' = f'(x) = \lim_{\Delta x \rightarrow 0} \frac{\Delta y}{\Delta x} = \frac{dy}{dx}. \quad (44.3)$$

Derivata este limita raportului  $\Delta y/\Delta x$ , cînd  $\Delta x$  tinde către zero.

Derivata reprezintă deci, prin definiție, limita raportului dintre creșterea funcției și creșterea variabilei independente, cînd creșterea variabilei independente tinde către zero.

Tot așa cum am dedus că derivata funcției primitive

$$s = t^2 \quad (44.1)$$

este

$$\frac{ds}{dt} = 2t, \quad (44.2)$$

se poate demonstra că funcțiile primitive de mai jos au derivatele următoare:

funcția	derivata
$y = ax^n$	$y' = nax^{n-1}$
$y = 1/x$	$y' = -1/x^2$
$y = \ln x$	$y' = 1/x$
$y = \sin x$	$y' = \cos x$
$y = \cos x$	$y' = -\sin x$
$y = \operatorname{tg} x$	$y' = 1/\cos^2 x$
$y = \operatorname{ctg} x$	$y' = -1/\sin^2 x$
$y = a \cdot \sin nx$	$y' = na \cdot \cos nx$
$y = a \cdot \cos nx$	$y' = -na \cdot \sin nx$

Dacă funcția este înmulțită cu un coeficient numeric sau cu o constantă, acestea se păstrează și la derivată.

De pildă, derivata funcției  $y = (a+b)x^4$  este  $y' = 4(a+b)x^3$ .

Dacă funcția constă dintr-o sumă finită de termeni, derivata ei este egală cu suma derivatelor.

Derivata cantităților constante este nulă, iar derivata variabilei independente este 1.

Nu este cazul să intrăm în amănunte ca să arătăm cum se deduc aceste derivate. Cunoașterea lor la cele câteva exemple citate, ne va fi de mare folos și suficientă pentru înțelegerea capitolelor viitoare.

Este bine ca aceste derivate să fie memorate, dar la nevoie pot fi căutate și în tabela de mai sus.

Uneori, în locul derivatei, se cere să cunoaștem *diferențiala*  $dy$  a unei funcții.

Din relația (44.3) de mai sus rezultă imediat că:

$$dy = f'(x) dx. \quad (44.4)$$

**Diferențiala unei funcții este derivata înmulțită cu diferențiala variabilei independente.**

Prin urmare, putem calcula *diferențiala unei funcții, dacă înmulțim derivata ei cu diferențiala variabilei independente.*

§ 45. Noțiunea de pantă. Să presupunem că, reprezentînd grafic o funcție oarecare:

$$y = f(x),$$

am găsit curba din fig. 71.

Vom alege pe această curbă:

— un punct de plecare  $m$ , în care variabila are valoarea  $x$ , iar funcția valoarea  $y$ ;

— un alt punct vecin  $n$ , în care variabila independentă a crescut cu  $\Delta x$ , iar funcția cu  $\Delta y$ .

Triunghiul dreptunghic hașurat ne arată că raportul diferențelor  $\Delta y$  și  $\Delta x$  este:

$$\frac{\Delta y}{\Delta x} = \operatorname{tg} \alpha,$$

în care  $\alpha$  este unghiul cuprins între secanta  $mn$  și partea pozitivă a axei absciselor.

Dacă facem ca  $\Delta x$  să tindă către zero, punctul  $n$  se apropie de  $m$  și tinde să se confunde cu dînsul, iar secanta  $mn$  devine, la limită, tangenta la curbă în  $m$ <sup>1)</sup>.

În acest caz, diferențele  $\Delta x$  și  $\Delta y$  pot fi înlocuite cu diferențialele  $dx$  și  $dy$ , iar unghiul  $\alpha$  prin  $\alpha$  și avem.

$$f'(x) = \lim_{\Delta x \rightarrow 0} \frac{\Delta y}{\Delta x} = \frac{dy}{dx} = \operatorname{tg} \alpha.$$

Pentru o valoare dată a variabilei, derivata capătă valoarea numerică a pantei.

Prin definiție,  $\operatorname{tg} \alpha$  reprezintă panta curbei, în punctul considerat, așa că, pentru o valoare numerică dată a variabilei independente, derivata funcției are valoarea numerică a pantei.

Este de la sine înțeles că, dacă alegem alt punct pe curbă în locul lui  $m$  panta și derivata își schimbă valoarea.

Derivata ne dă luateala de variație a funcției în raport cu variabila independentă.

Dar panta fiind o măsură a înclinării curbei față de axa absciselor, este și o măsură pentru creșterea sau descreșterea funcției, în vecinătatea punctului  $m$ .

Rezultă că derivata ne arată cît de repede variază funcția în raport cu variabila independentă.

Importanța calcului diferențial reiese acum din următoarele observații:

1) Raportul diferențelor  $\Delta y/\Delta x$  ia, într-un punct dat, valori diferite, după cum alegem pe  $\Delta x$ . Din contra, raportul diferențialelor  $dy/dx$ , adică derivata în acel punct, are o valoare constantă.

2) Derivatele ne permit să studiem procese complexe care nu decurg uniform fiindcă, într-un interval infinit de mic, putem exprima aceste procese prin relații simple de proporționalitate.

<sup>1)</sup> Cazurile speciale, de excepții, nu interesează aici.

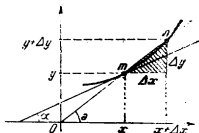


Fig. 71. Semnificația geometrică a derivatei.

În adevăr, relația

$$dy = f'(x) dx. \quad (44.4)$$

ne arată că *diferențiala oricărei funcții este proporțională cu diferențiala variabilei independente, iar factorul de proporționalitate este însăși valoarea constantă a derivatei, în punctul considerat al curbei reprezentative.*

**Diferențiala unei funcții este proporțională cu diferențiala variabilei, iar derivata este factorul de proporționalitate.**

Această simplificare considerabilă face din calculul diferențial un instrument

indispensabil în studiul fenomenelor mai complexe.

**§ 46. Noțiunea de integrală.** În cele de mai sus am văzut cum se poate analiza un fenomen, descompunându-l în domenii sau elemente diferențiale, infinit de mici; dar, deoarece observațiile și experiențele se pot executa numai cu cantități finite, trebuie să căutăm și mijlocul de a trece, în sensul invers, de la o diferențială dată:

$$dy = f'(x) dx, \quad (44.4)$$

la funcția primitivă din care a provenit

$$y = f(x).$$

Această operație, inversă diferențierii, se notează simbolic:

$$y = \int dy = \int f'(x) dx.$$

**Integrarea este operația inversă diferențierii.**

*Diferențierea și integrarea fiind operații inverse, lasă funcția neschimbată, tot așa cum înmulțirea și împărțirea unui număr cu aceeași cantitate*

*il lasă neschimbat, sau cum extragerea unei rădăcini anulează ridicarea la aceeași putere.*

Adesea, căutarea funcției primitive, din care a provenit o diferențială dată, este o operație dificilă și uneori chiar imposibilă.

Fără a ne ocupa de aceste cazuri complicate, este evident că în ce privește funcțiile simple, trecute în tabela din § 44, putem afla integralele citind tabela în sens invers.

Trebuie să observăm însă că, de fiecare dată, problema admite o infinitate de soluții fiindcă dacă adăugăm, la funcția primitivă, o constantă arbitrară  $C$ , derivata și diferențiala ei sînt nule.

Vom avea deci întotdeauna:

$$\int f'(x) dx = f(x) + C.$$

Constanta  $C$  se numește *constantă de integrare*. De obicei, valoarea ei este impusă de condițiile în care se desfășoară fenomenul.

Tabela de mai jos conține integralele funcțiilor elementare, menționate și în § 44:

$$\int x^n dx = \frac{x^{n+1}}{n+1} + C;$$

$$\int \cos x \cdot dx = \sin x + C;$$

$$\int \frac{1}{x} dx = \ln x + C;$$

$$\int a \cdot \sin ax \cdot dx = -\cos ax + C;$$

$$\int \frac{1}{x^2} dx = -\frac{1}{x} + C;$$

$$\int a \cdot \cos ax \cdot dx = \sin ax + C;$$

$$\int \sin x \cdot dx = -\cos x + C;$$

$$\int \frac{1}{\sin^2 x} dx = -\operatorname{ctg} x + C;$$

$$\int \frac{1}{\cos^2 x} dx = \operatorname{tg} x + C.$$

Am trecut în această tabelă numai tipurile de integrale de care vom avea nevoie în capitolele viitoare.

§ 47. Semnificația geometrică a integralei. Vom pleca și de această dată de la un exemplu cât mai simplu și vom considera cazul particular al funcției

$$y = 3x.$$

Dacă dăm variabilei  $x$  valorile numerice succesive

$$1, 2, 3, \dots$$

funcția  $y$  ia valorile următoare:

$$3, 6, 9, \dots$$

Iar dacă înregistrăm aceste valori, la o scară arbitrară, pe două axe de coordonate rectangulare, obținem în plan punctele  $A, B, C$  etc., care se înscriu pe o dreaptă (fig. 72).

Să considerăm acum trapezul hașurat din această figură și cuprins între  $2-4-B-D$ .

Aria lui este

$$\frac{6+12}{2} \cdot 2 = 18,$$

și se exprimă luind ca unitate de măsură dreptunghiul hașurat mărunț, ale cărui laturi sînt egale cu unitățile arbitrare de lungime, alese pe cele două axe de coordonate.

Același rezultat poate fi obținut și pe altă cale.

Să alegem pe figură un alt trapez, delimitat între abscisa 2, ca și precedentul și între o abscisă oarecare  $x$  (hașurat dublu).



Aria acestui trapez depinde de abscisa  $x$  și este, prin urmare, o funcție de  $x$ .

În interiorul ei, vom figura o serie de fâșii dreptunghiulare, de lățime  $\Delta x$  și lungime  $y$ .

Știind că  $y=3x$ , un astfel de dreptunghi elementar are suprafața:

$$\Delta S = y \cdot \Delta x = 3x \cdot \Delta x \quad (47.1)$$

Dacă  $\Delta x$  tinde către zero, dreptunghiurile noastre vor fi din ce în ce mai numeroase, iar, la limită, suma lor va fi egală cu aria totală a trapezului ales.

Se pune întrebarea: cum putem calcula, cu ajutorul unei formule generale, suma tuturor acestor arii elementare  $\Delta S$ ?

Dacă  $\Delta x$  tinde către zero,  $\Delta S$  tinde de asemenea către zero și vom putea scrie, în locul lor, diferențialele  $dS$  și  $dx$ , așa că

$$dS = y \cdot dx = 3x \cdot dx, \quad (47.2)$$

sau, ceea ce e tot una:

$$\frac{dS}{dx} = y = 3x.$$

Aceasta înseamnă că aria  $S$  este chiar *primitiva*, din care funcția  $y=3x$  a provenit ca derivată.

Ca s-o calculăm, n-avem decît să integrăm expresia (47.2).

Rezultă astfel că:

$$S = \int dS = \int 3x \cdot dx = \frac{3}{2} x^2 + C. \quad (47.3)$$

Constanta de integrare  $C$  se poate determina ușor, observînd că, dacă  $x=2$ , aria trapezului se reduce la zero.

Avem deci:

$$0 = \frac{3}{2} \cdot 2^2 + C \quad \text{sau} \quad C = -6.$$

Prin urmare, vom putea scrie relația (47.3) sub forma finală

$$S = \frac{3}{2} x^2 - 6.$$

Am găsit astfel o *formulă generală* care însumează toate ariile elementare  $dS$  și ne permite să calculăm aria  $S$ , pentru orice valoare numerică a lui  $x$ .

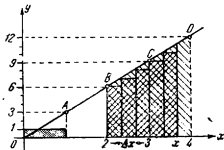


Fig. 72. Semnificația geometrică a integralei.

În adevăr: dacă  $x=4$ , avem  $S=18$ , cum am găsit și din calculul geometric de mai sus;

dacă  $x=3$ , avem  $S=7,5$ ;

dacă  $x=2$ , avem  $S=0$  și așa mai departe, pentru toate valorile posibile ale lui  $x$ . Verificarea geometrică este simplă.

Faptul că integrala însumează un număr infinit de mare de cantități infinite de mici, justifică simbolul de  $S$  alungit, care indică această operație.

**Integrala este limita unei sume de cantități infinite de mici, în număr infinite de mare.**

*In concluzie:*  $\int 3x \cdot dx$  reprezintă aria cuprinsă între axa  $x$ , între linia dreaptă a cărei ecuație este  $y=3x$  și între două perpendiculare pe axa  $x$ , din care una este fixă (de exemplu la abscisa 2) și alta oarecare, la abscisa  $x$ .

Ca să precizăm aceasta, scriem:

$$S = \int_2^x 3x \cdot dx = \frac{3}{2}x^2 - 6.$$

Această integrală este *nedefinită*, fiindcă  $x$  poate să capete orice valoare numerică am dori; ea reprezintă o relație generală, adică o funcție de  $x$ , care cuprinde toate cazurile particulare.

**Integrala nedefinită este o formulă generală a ariei cuprinsă între curba reprezentativă și axa absciselor, iar integrala definită o delimitează.**

Dacă suprafața este delimitată între două abscise date, de exemplu între  $x=2$  și  $x=4$ , vom scrie, ca să arătăm limitele de integrare,

$$S = \int_2^4 3x \cdot dx = \frac{3}{2} \cdot 4^2 - 6 = 18.$$

O asemenea integrală, între două limite fixe, exprimă un număr și se numește *integrală definită*.

**Integrala nedefinită exprimă o lege generală, iar integrala definită o valoare particulară.**

*Cu ajutorul integralelor nedefinite vom formula deci o lege generală, iar integrala definită reprezintă numai o valoare numerică particulară.*

Se poate demonstra că aceleași concluzii rămân valabile și dacă, în locul dreptei  $y=3x$ , am avea o curbă oarecare, iar limitele ar fi  $a$  și  $b$ .

Se cere numai ca această curbă să nu aibă întreruperi și să nu treacă sub axa absciselor.<sup>1)</sup>

<sup>1)</sup> În Analiza matematică se definesc și arii algebrice pentru cazul când curba  $y=f(x)$  este situată oricum față de axa  $Ox$ .

Cu această condiție, aria  $S$  este dată de expresia

$$S = \int_a^b f(x) dx.$$

Ca exemplu, vom calcula integrala definită:

$$y = \int_a^2 (3x+1) dx.$$

Integrala nedefinită este

$$\int 3x \cdot dx + \int dx = \frac{3}{2}x^2 + x + C.$$

Înlocuind succesiv  $x=2$  și  $x=0$ , integrala definită este egală cu diferența valorilor numerice obținute. Așadar

$$y = \frac{3}{2} \cdot 2^2 + 2 + C - C = 8,$$

de unde se vede cum *constanta de integrare se elimină la integralele definite*.

## B. Mișcarea rectilinie

§ 48. **Mișcarea uniformă.** *În mișcarea uniformă, viteza este, prin definiție, constantă.*

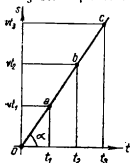


Fig. 73. Variația spațiului cu timpul în mișcarea uniformă.

Relația

$$\boxed{s = vt}, \quad (48.1)$$

ne dă valoarea spațiului parcurs într-un timp  $t$ , și este *ecuația* acestei mișcări.

Pentru diferite valori succesive ale timpului

$$t_1, t_2, t_3, \dots,$$

spațiile parcurse vor fi, evident,

$$vt_1, vt_2, vt_3, \dots$$

Aceste date, înregistrate pe două axe de coordonate rectangulare, ne dau în plan punctele  $a, b, c, \dots$ , care se înșiră pe o

linie dreaptă, care face cu axa absciselor un unghi  $\alpha$  (fig. 73). Vom spune deci că, în mișcarea uniformă, spațiul crește liniar cu timpul.

Pe de altă parte, relația (48.1) ne dă imediat, prin derivare

In mișcarea uniformă  
spațiul crește liniar cu  
timpul.

$$\frac{ds}{dt} = v.$$

Viteza este deci derivata spațiului, în raport cu timpul și are valoarea numerică a pantei curbei din figură.

Așadar

$$v = \operatorname{tg} \alpha$$

(48.2)

§ 49. **Mișcarea neregulată.** Dacă viteza variază fără nici o regulă precisă, mișcarea este, prin definiție, neregulată.

În cazul acesta, spațiul parcurs într-un timp oarecare, împărțit prin durata parcursului, ne dă viteza mijlocie  $v_m$ , iar dacă admitem că, într-un timp foarte scurt  $\Delta t$ , mobilul parcurge spațiul  $\Delta s$  cu viteză aproximativ constantă, raportul

$$\lim_{\Delta t \rightarrow 0} \frac{\Delta s}{\Delta t} = v = \frac{ds}{dt}$$

ne dă viteza instantanee la momentul  $t$ .

Mai jos dăm vitezele mijlocii, sau vitezele constante, în câteva cazuri mai interesante.

Omul în mers, aprox.	1,5 m/s	Avionul, până la	650 m/s <sup>1)</sup>
Sportivul, alergând aprox.	6,0 m/s	Glonțul de infanterie,	
Calul, la trap aprox.	3,4 m/s	aprox.	840 m/s
Calul de curse, până la	25 m/s	Pământul, pe orbită	29 600 m/s
Ogarul, până la	25 m/s	Luna, în jurul Pământului	1 000 m/s
Rindunica, până la	60 m/s	Soarele, în spațiu	20 000 m/s
Biciclistul, până la	17 m/s	Sunetul, în aer	340 m/s
Frenul accelerat, aprox.	50 m/s	Lumina, în vid	300 000 km/s
Automobilul, până la	120 m/s		

<sup>1)</sup> Limită atinsă în 1954.

§ 50. **Mișcarea uniform accelerată.** *Cînd viteza crește mereu, cu cantități egale în timpuri egale, mișcarea este uniform accelerată.*

Mișcarea este uniform accelerată cînd viteza crește cu cantități egale în timpuri egale. Creșterea ei în unitatea de timp se numește accelerație.

Creșterea vitezei, în unitatea de timp, se numește *accelerație*<sup>1)</sup>.

Dacă notăm accelerația cu  $a$ , se înțelege ușor că un mobil, care ar pleca din repaus, are la sfîrșitul primei secunde viteza  $a$ , iar după  $t$

secunde viteza lui devine de  $t$  ori mai mare. Rezultă că

$$v = at$$

(50.1)

Această relație formulează *legea vitezelor* și ne arată că, în mișcarea uniform accelerată, viteza este direct proporțională cu timpul și că accelerația reprezintă factorul de proporționalitate.

În mișcarea uniform accelerată viteza se exprimă prin produsul dintre timp și accelerație.

Ne propunem acum să găsim spațiul parcurs, într-un timp

dat, de un mobil care se mișcă uniform accelerat.

Mobilul, care presupunem că pleacă din repaus cu viteza zero, capătă, după timpul  $t$ , viteza  $at$ , conform relației (50.1) și parcurge în acest timp spațiul  $s$ .

Dacă ne închipuim că același mobil, în loc să se miște accelerat, s-ar mișca *uniform*, cu o viteză egală cu media aritmetică a vitezelor inițială și finală, așadar cu o *viteză mijlocie*,

$$v_m = \frac{0 + at}{2} = \frac{at}{2},$$

este evident că el ar parcurge, tot în timpul  $t$ , aceeași distanță  $s$ .

Avem astfel mijlocul să înlocuim o mișcare accelerată prin alta uniformă și să deducem spațiul parcurs, cu ajutorul ecuației cunoscute a mișcării uniforme

$$s = vt,$$

<sup>1)</sup> Ca exemplu am putea să ne închipuim că un mobil ar avea după 1, 2, 3, ... s vitezele respective 10, 20, 30... m/s. Viteza crescînd regulat cu cite 10 m/s, vom numi această creștere accelerație.

În care nu mai rămâne decât să înlocuim pe  $v$  prin viteza mijlocie  $v_m$ . Găsim astfel

$$s = \frac{at}{2} \cdot t$$

Sau

$$s = \frac{1}{2} at^2 \quad (50.2)$$

În mișcarea uniform accelerată spațiul se exprimă prin jumătatea produsului dintre accelerație și pătratul timpului.

Această relație formulează *legea spațiilor* în mișcarea uniform accelerată.

Din ea rezultă că *spațiul este direct proporțional cu pătratul timpului întrebuițat pentru a-l străbate și că jumătatea accele-*

*rației joacă rolul factorului de proporționalitate.*

**Observație.** Relația (50.2), în care facem  $t=1$  s, ne arată că *spațiul parcurs în prima unitate de timp este*

$$s_1 = \frac{1}{2} a,$$

de unde deducem

$$a = 2s_1 \quad (50.3)$$

Accelerația este dublul spațiului parcurs în prima secundă și are caracterul unei mărimi vectoriale.

Așadar, *accelerația se exprimă numeric prin dublul spațiului parcurs în prima secundă, de un mobil care pleacă din repaus.*

Este evident că, fiind o mărime *dirijată*, o putem reprezenta

*printr-un vector*, numeric egal cu creșterea vitezei în unitatea de timp.

**1. Unitatea de accelerație.** Relația (50.2), din care deducem valoarea lui  $a$ , ne dă

$$a = \frac{2s}{t^2}.$$

De aici rezultă că dimensiunile accelerației sînt

$$[a] = \frac{L}{T^2} = LT^{-2}.$$

Așadar, *unitatea de accelerație derivă dintr-o lungime, raportată la pătratul unui timp.*

**Dimensiunile accelerației, în toate sistemele legale de unități, sînt  $LT^{-2}$ .**

În sistemul CGS se va exprima deci în *centimetri pe secundă la pătrat*, iar în sistemele MKS și MKfS unitatea respectivă se va numi *metru pe secundă la pătrat*.

S-a propus, pentru unitatea CGS de accelerație, numele de *gal*, în onoarea lui Galileu, dar deocamdată această denumire nu s-a generalizat decît în cercetările seismologice.

**2. Relațiile dintre spațiu, viteză și accelerație.** Viteza fiind exprimată prin valoarea la limită a raportului  $\Delta s / \Delta t$ , avem

$$v = \lim_{\Delta t \rightarrow 0} \frac{\Delta s}{\Delta t} = \frac{ds}{dt}.$$

În adevăr, prin derivarea expresiei  $s = \frac{1}{2} at^2$  rezultă:

$$\frac{ds}{dt} = \frac{2at}{2} = at.$$

**Viteza este derivata spațiului, iar accelerația derivata vitezei în raport cu timpul.**

Analog, accelerația fiind exprimată prin valoarea la limită a raportului  $\Delta v / \Delta t$ , avem

$$a = \lim_{\Delta t \rightarrow 0} \frac{\Delta v}{\Delta t} = \frac{dv}{dt},$$

și dacă derivăm expresia  $v = at$ , obținem

$$\frac{dv}{dt} = a.$$

Pe cale inversă, dacă recurgem la integrare și căutăm funcțiile primitive, obținem

$$\int a \cdot dt = at + C = v \quad \text{și} \quad \int at \cdot dt = \frac{1}{2} at^2 + C' = s,$$

în care  $C$  și  $C'$  sînt constante de integrare.

Dacă mobilul pleacă din repaus și presupunem că la  $t=0$ ,  $s=0$ , se vede imediat că aceste constante sînt nule.

Vom avea deci

$$v = at \quad \text{și} \quad s = \frac{1}{2} at^2.$$

**3. Reprezentarea grafică în mișcarea uniform accelerată.** Legea spațiilor este

$$s = \frac{1}{2} at^2 \quad (50.2)$$

din care, dînd lui  $t$  valorile succesive

$$0; 1; 2; 3; \dots$$

obținem pentru  $s$  valorile respective

$$0; 0,5a; 2a; 4,5a; \dots$$

Variația spațiului în funcție de timp, la mișcarea uniform accelerată, se reprezintă grafic printr-un arc de parabolă.

Într-un sistem de axe de coordonate rectangulare, însemnăm pe axa absciselor segmente proporționale cu timpurile, iar pe ordonată, segmente proporționale cu spațiile respective.

Obținem astfel curba din fig. 74, care este un arc de parabolă.

Pe această curbă reprezentativă a spațiului, tangenta geometrică, într-un punct oarecare, formează cu axa absciselor un unghi  $\alpha$  a cărui tangentă trigonometrică este numeric egală cu viteza instantanee, în momentul ales.

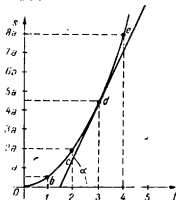


Fig. 74. Variația spațiului cu timpul în mișcarea uniform accelerată.

Procedînd la fel pentru legea vitezelor,

$$v = at \quad (50.1)$$

și dînd lui  $t$  valorile succesive

$$0; 1; 2; 3; \dots$$

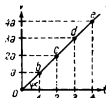


Fig. 75. Variația vitezei cu timpul în mișcarea uniform accelerată.



obținem pentru  $v$  valorile respective

$$0; a; 2a; 3a; \dots$$

Variația vitezei în funcție de timp la mișcarea uniform accelerată, se reprezintă grafic printr-o dreaptă, care trece prin origine și face cu abscisa un unghi  $\alpha$ , a cărui tangentă trigonometrică este numeric egală cu accelerația  $a$ .

pe care, dacă le înscriem pe două axe de coordonate rectangulare, căpătăm linia dreaptă din fig. 75.

Oricare dintre triunghiurile dreptunghice, care se formează între această dreaptă și axa absciselor ne arată că, în general,

$$v = t \operatorname{tg} \alpha,$$

de unde

$$\operatorname{tg} \alpha = \frac{v}{t} = a.$$

Așadar accelerația este numeric egală cu tangenta trigonometrică a unghiului  $\alpha$ , pe care-l face dreapta figurativă *oe* cu axa absciselor.

§ 51. **Mișcarea oscilatorie.** Să presupunem că un mobil  $M$  pleacă din  $M_0$  și se mișcă în sensul săgeții, pe un cerc de rază  $a$ , parcurgând arce egale, în timpuri egale (fig. 76).

Dacă el descrie cercul complet, adică  $2\pi$  rad, în timpul  $T$ , atunci unghiul la centru, măsurat într-o secundă de raza vectoare  $a$ , este

$$\omega^1) = \frac{2\pi}{T} \text{ rad/s},$$

iar după  $t$  secunde acest unghi devine

$$\omega t = \frac{2\pi}{T} t \text{ rad}.$$

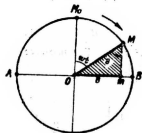


Fig. 76. Pentru deducerea ecuației mișcării oscilatorii.

se plimbă, cind într-un sens, cind în altul, între capetele diametrului considerat.

Dacă proiectăm punctul  $M$  pe un diametru al cercului, pe care din motive de simetrie îl vom alege perpendicular pe direcția  $OM_0$ , se vede imediat că, în timp ce mobilul se învîrte pe cerc, proiecția lui, care se găsește momentan în  $m$ ,

<sup>1)</sup> Literă mică a alfabetului grec. Se citește *omega*.

O asemenea mișcare alternativă, între două limite  $+a$  și  $-a$  simetrice față cu un punct de plecare  $O$ , se numește *mișcare oscilatorie simplă*, sau mai scurt *mișcare oscilatorie*.

Din triunghiul dreptunghic hașurat în figură, se vede imediat că

$$e = a \sin \omega t, \quad (51.1)$$

sau, ceea ce e tot una,

$$e = a \sin \frac{2\pi}{T} t \quad (52.2)$$

Oricare din aceste două relații ne permite să calculăm distanța  $e$ , la care punctul  $m$  s-ar găsi, față de centrul  $O$ , în momentul  $t$ .

Sub o formă sau sub alta, ele formulează *ecuația mișcării oscilatorii*, pe care o mai numim și *sinusoidală*; din cauza prezenței unui *sinus*, în expresia funcției de timp.

Asemenea mișcări se întâlnesc la tot pasul în natură: oscilațiile unui pendul, clătinarea copacilor în bătaia vântului, vibrația unei strune, trepidațiile solului etc., sînt fenomene ce decurg aproximativ după legile mișcării sinusoidale.

În relațiile (51.1 și 51.2) vom numi:

Ecuația mișcării oscilatorii este

$$e = a \sin \omega t,$$

în care:

$e$  = *elongația*;

$a$  = *amplitudinea*;

$$\omega = \frac{2\pi}{T} = \text{pulsajla (rad/s)}$$

$T$  = *perioada*;

$$f = \frac{1}{T} = \text{frecvența};$$

$$\omega t = \frac{2\pi}{T} t = \text{faza.}$$

*elongație*, valoarea distanței  $e$ , la un moment dat;

*amplitudine* sau *elongație maximă*, distanța maximă afinsă de punctul oscilant, față de poziția de repaus  $O$ ;

*pulsajla*, valoarea raportului  $\frac{2\pi}{T} = \omega$  (rad/s).

*perioadă*, timpul  $T$  al unei rotații complete pe cerc, adică

timpul după care punctul oscilant  $m$ , plecat dintr-o poziție inițială arbitrară, ajunge iarăși la punctul de plecare, după ce atinge ambele extremități ale traiectoriei;

*frecvență*, numărul  $f$  de oscilații pe secundă. Ea este dată de raportul  $1/T$ , adică de inversul perioadei și se exprimă în *cicli pe secundă* sau în *perioade pe secundă*.

Unitatea internațională de frecvență se numește *hertz* (Hz)<sup>1)</sup>.

Ca multipli, întrebuițăm de obicei:

*kilociclu pe secundă* = *kilohertz* (kHz) =  $10^3$  Hz, și

*megaciclu pe secundă* = *megahertz* (MHz) =  $10^6$  Hz.

În sfârșit, vom numi *fază*, cantitatea  $\frac{2\pi}{T} t = \omega t$ . Ea exprimă valoarea unghiului la centru, după timpul  $t$ .

Cu ajutorul acestui unghi, pe care-l numim și *unghi de fază*, putem defini, în orice moment, poziția razei  $OM$ , care ia caracterul unei mărimi dirijate și se numește *vector de poziție*.

*Viteza în mișcarea oscilatorie* poate fi dedusă prin derivarea uneia din expresiile (51.1 sau 51.2) în raport cu timpul.

Viteza în mișcarea oscilatorie este

$$v = a\omega \cos \omega t,$$

și reprezintă derivata elongației, în raport cu timpul.

Tabela derivatelor din § 44 ne dă imediat

$$v = a\omega \cos \omega t \quad (51.3)$$

Prin urmare, viteza este tot o funcție trigonometrică de timp, în care amplitudinea devine  $a\omega$ .

*Accelerația mișcării oscilatorii* poate fi dedusă pe aceeași cale, derivând expresia vitezei (51.3), în raport cu timpul.

Dacă ținem seamă că produsul  $a\omega$  este constant, avem din tabela derivatelor:

Accelerația în mișcarea oscilatorie are valoarea

$a_n = -a\omega^2 \sin \omega t$  și este derivata vitezei în raport cu timpul.

$$a_n = -a\omega^2 \sin \omega t \quad (51.4)$$

în care  $a\omega^2$  este amplitudinea.

Semnul — ne arată că vectorul ce reprezintă accelerația este dirijat întotdeauna către centrul de oscilație  $O$ , oricare ar fi sensul în care se mișcă mobilul.

<sup>1)</sup> *Heinrich Rudolf Hertz* (1857—1894). Fizician german, cunoscut mai ales prin lucrările lui fundamentale asupra undelor electromagnetice, numite și *unde herziene*.

Prin urmare, viteza tinde să crească, de câte ori mobilul se îndreaptă spre poziția inițială de repaus și să scadă când se îndepărtează de dînsa.

1. *Reprezentarea grafică.* Să reluăm expresiile (51.2, 3 și 4), ținînd seamă că

$$\omega = \frac{2\pi}{T},$$

și să dăm succesiv timpului  $t$  valorile  $T/4$ ,  $2T/4$ ,  $3T/4$  etc., corespunzătoare unui multiplu al sfertului de perioadă.

Rezultă astfel datele de mai jos, în care am notat, pe aceeași linie orizontală, valorile corespunzătoare ale funcțiilor respective:

$t =$	0	$T/4$	$2T/4$	$3T/4$	$4T/4$
$e = a \sin \frac{2\pi}{T} t =$	0	$a$	0	$-a$	0
$v = a\omega \cos \frac{2\pi}{T} t =$	$a\omega$	0	$-a\omega$	0	$a\omega$
$a_n = -a\omega^2 \sin \frac{2\pi}{T} t =$	0	$-a\omega^2$	0	$a\omega^2$	0

Cu aceste date, înregistrate pe două axe de coordonate, obținem curbele reprezentative din fig. 77, care ne vor permite să urmărim în paralel variația elongației, vitezei și accelerației, în funcție de timp.

Din examinarea acestor curbe, care au toate forma sinusoidală, se constată următoarele:

a) viteza capătă valoarea numerică maximă, de câte ori mobilul trece prin poziția inițială de repaus și se anulează la capetele cursei.

Aceste maxime apar cu un sfert de perioadă mai devreme decît maximele de același semn ale elongației;

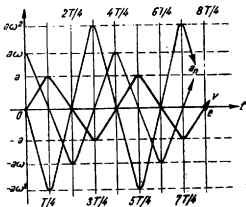


Fig. 77. Reprezentarea grafică a variației și defazajului elongației, vitezei și accelerației în mișcarea oscilatorie sinusoidală.

b) acceleraŃia este, din contra, maximă în valoare absolută la capetele cursei și nulă în dreptul poziŃiei de repaus.

*Maximele sînt atinse cu două sferturi de perioadă mai devreme decît maximele de același semn ale elongaŃiei.*

Aceste constatări pot fi controlate și experimental, urmărind oscilaŃiile unui pendul.

**2. Defazajul vectorilor de poziŃie.** Dacă Ńinem seamă de faptul că vectorul de poziŃie din fig. 76 parcurge unghiul la centru de  $\pi/2$  rad, într-un sfert de perioadă, și că:

$$\begin{aligned}\cos x &= \sin \left( x + \frac{\pi}{2} \right) \\ -\sin x &= \sin \left( x + \frac{2\pi}{2} \right),\end{aligned}$$

putem scrie relaŃiile ce exprimă elongaŃia, viteza și acceleraŃia mișcării oscilatorii, sub forma:

$$\begin{aligned}e &= a \sin \omega t; \\ v &= a\omega \sin \left( \omega t + \frac{\pi}{2} \right); \\ a_n &= a\omega^2 \sin \left( \omega t + \frac{2\pi}{2} \right),\end{aligned}\tag{51.5}$$

sau sub forma:

$$\begin{aligned}e &= a \sin \frac{2\pi}{T} t; \\ v &= a\omega \sin \frac{2\pi}{T} \left( t + \frac{T}{4} \right); \\ a_n &= a\omega^2 \sin \frac{2\pi}{T} \left( t + \frac{T}{2} \right).\end{aligned}\tag{51.6}$$

Sub forma (51.6) aceste relaŃii ne spun același lucru ca și curbele din fig. 77, anume că viteza capătă valoarea maximă cu un sfert de perioadă mai devreme decît elongaŃia, și acceleraŃia cu două sferturi de perioadă.

Totul se petrece aici ca și cînd am face să pornească, în paralel, trei fenomene diferite, după trei ceasornice diferite, din care al doilea înaintează cu  $T/4$  s față de primul, iar al treilea cu  $T/2$  s.

Aceleași relații, scrise sub forma (51.5), permit o reprezentare vectorială deosebit de instructivă.

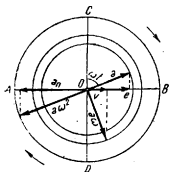


Fig. 78. Diagrama vectorială a mișcării oscilatorii sinusoidale.

Elongația, viteza și accelerația mișcării oscilatorii pot fi reprezentate prin proiecțiile, pe direcția traiectoriei, a trei vectori de lungimi  $a$ ,  $a\omega$  și  $a\omega^2$ , cu unghiurile de fază

$\omega t$ ,  $\omega t + 90^\circ$  și  $\omega t + 180^\circ$ .

Știind că:

elongația are amplitudine  $a$  și unghiul de fază  $\omega t$ ;

viteza are amplitudinea  $a\omega$  și unghiul de fază  $\omega t + \pi/2$ , și că

accelerația are amplitudinea  $a\omega^2$  și unghiul de fază  $\omega t + 2\pi/2$ , putem proceda ca în fig. 76, reprezentând aceste trei mărimi prin *proiecțiile*, pe diametrul  $AB$ , a trei vectori de poziție, din care primul are lungimea  $a$ , al doilea  $a\omega$  și al treilea  $a\omega^2$  (fig. 78).

Acești vectori, legați rigid unul de altul, se rotesc în același sens și păstrează neconținut, față de  $\bar{a}$ , unghiurile  $\pi/2$  și  $2\pi/2$ , numite *unghiuri de defază*.

Vectorul  $\bar{e}$  reprezintă și de astă dată valoarea elongației, în momentul în care viteza este reprezentată, ca sens și mărime, prin vectorul  $\bar{v}$ , iar accelerația prin vectorul  $\bar{a}_n$ .

De câte ori, în timpul rotației, vectorul de poziție  $\bar{a}$  se suprapune peste diametrul  $AB$ , elongația și accelerația capătă valorile maxime, de sens contrar,  $a$  și  $a\omega^2$ , iar viteza devine nulă, o dată cu proiecția vectorului  $\bar{a}\omega$ .

Dacă, rotindu-se mai departe, vectorul  $\bar{a}$  se orientează momentan după direcția  $CD$ , mobilul trece prin poziția de repaus, elongația și accelerația se anulează, iar viteza capătă valoarea maximă  $a\omega$ .

În studiul fizic al fenomenului, va trebui să ținem seama că, în realitate, numai vectorul  $\bar{e}$  are originea permanent în centrul cercului, fiindcă originea comună a vectorilor *viteză* ( $\bar{v}$ ) și *accelerație* ( $\bar{a}_n$ ) este legată de punctul oscilant și se mută neconținut, odată cu dînsul.

Această reprezentare, prin vectori de poziție rotitori, ne va fi de un folos deosebit în lămurirea unei serii întregi de fenomene și, între altele, pentru explicarea fenomenelor specifice curenților electrici alternativi.

3. *Compunerea mișcărilor.* Un vîslaș care, încercînd să treacă un rîu, vislește de-a dreptul către malul opus, este luat de curentul apei și ajunge mai la vale de unde ar fi dorit să ajungă. Ca să taie direct spre mal, el trebuie să vislească oblic, în contra curentului.

Vom încerca să aplicăm acestui caz metodele cunoscute de reprezentare vectorială.

Să presupunem că am putea opri cursul apei și am vîsli, în timpul acesta, cu viteza uniformă  $\vec{v}_1$  (fig. 79). Barca ar ajunge după o secundă în  $a$ .

Oprim aici vislitul și o lăsăm în voia curentului de viteză  $\vec{v}_2$ .

De astă dată barca ajunge, după o secundă, în  $b$ .

La fel s-ar întîmpla dacă, procedînd invers, ne-am lăsa în voia curentului pînă în  $c$  și oprind aici cursul apei, am vîsli pînă în  $b$ .

Și într-un caz și în altul, barca ajunge în punctul în care ar fi fost dusă simultan, timp de o secundă, și de vîsle și de curent, adică în  $b$ .

Viteza ei poate fi deci reprezentată prin diagonala  $\vec{Ob}$ .

De aici putem trage două concluzii importante.

— Dat fiind că această experiență poate fi realizată oricînd, bunăoară într-un canal prevăzut cu ecluze, înseamnă că regulile de compunere a vectorilor sînt încă o dată confirmate.

— A doua concluzie la care ajungem, este următoarea:  
*cînd un mobil suferă mai multe mișcări, este indiferent, din punctul de vedere al rezultatului final, dacă aceste mișcări se execută simultan ori separat, într-o ordine arbitrară.*

**Mișcările simultane, pe care le poate executa un mobil, decurg independent una de alta, fără influență reciprocă.**

*Deducem că diferitele mișcări, efectuate simultan de un mobil, decurg independent una de alta, fără vreo influență reciprocă.*

Acesta este *principiul independenței mișcărilor*, fundamental în mecanică <sup>1)</sup>:

<sup>1)</sup> Principiul independenței mișcărilor a fost enunțat de Galileu.

Ținând neconținut seamă de dinsul, vom considera separat compunerea mișcărilor ce decurg după aceeași direcție, de compunerea mișcărilor ce decurg după direcții deosebite, cu toate că direcția comună nu este decât un caz particular al direcțiilor concurente.

**§ 52. Compunerea mișcărilor uniforme.** Să presupunem că un mobil execută simultan mai multe mișcări uniforme:

$$s_1 = v_1 t,$$

$$s_2 = v_2 t,$$

$$\dots$$

$$s_n = v_n t.$$

Este evident că, dacă aceste mișcări decurg după aceeași direcție, vom avea prin simplă adunare:

$$\pm s_1 \pm s_2 \pm \dots \pm s_n = (\pm v_1 \pm v_2 \pm \dots \pm v_n) t,$$

în care semnele algebrice  $+$  și  $-$ , alese convențional, ne arată sensul mișcărilor considerate, după direcția dată.

Dacă notăm

$$\pm s_1 \pm s_2 \pm \dots \pm s_n = s$$

și

$$\pm v_1 \pm v_2 \pm \dots \pm v_n = v$$

obținem relația finală

$$s = vt.$$

Prin urmare, din compunerea mai multor mișcări uniforme ce decurg după aceeași direcție, rezultă tot o mișcare uniformă al cărei sens este dictat de semnul sumei algebrice a componentelor.

Dacă mișcărilor nu au aceeași direcție, regula de adunare-vectorială ne permite să găsim sensul, direcția și mărimea vitezei rezultante și ajungem tot la o mișcare uniformă.

**§ 53. Compunerea mișcărilor rectilinii uniform accelerate.** Să considerăm și de astă dată mai multe mișcări ce decurg simultan, după aceeași direcție, având un mobil comun și ecuațiile



$$s_1 = \frac{1}{2} a_1 t^2,$$

$$s_2 = \frac{1}{2} a_2 t^2,$$

$$\dots$$

$$s_n = \frac{1}{2} a_n t^2.$$

Prin adunare, obținem:

$$\pm s_1 \pm s_2 \pm \dots \pm s_n = \frac{1}{2} (\pm a_1 \pm a_2 \pm \dots \pm a_n) t^2,$$

sau

$$s = \frac{1}{2} a t^2, \quad (50.2)$$

in care caz

$$v = at. \quad (50.1)$$

Rezultanta este deci tot o mișcare uniform accelerată, dirijată în sensul dictat de semnul algebric al sumei vitezelor.

**Mal multe mișcări uniform accelerate rectilinii dau împreună tot o mișcare uniform accelerată rectilie.**

La aceleași concluzii ajungem cînd se compun mai multe mișcări uniform accelerate rectilinii, aplicate concomitent unui mobil dat.

Traectoria urmează atunci sensul și direcția rezultantei vitezelor obținute prin sumarea geometrică a componentelor.

**§ 54. Mișcarea uniform accelerată, compusă cu mișcarea uniformă.** Presupunem întii că aceste două mișcări decurg după aceeași direcție și au ecuațiile:

$$s_1 = v_0 t, \quad (48.1)$$

și

$$s_2 = \frac{1}{2} at^2. \quad (50.2)$$

Prin sumare obținem:

$$s = s_1 \pm s_2 = v_0 t \pm \frac{1}{2} at^2,$$

în care semnele + și — ne arată dacă mișcările sînt de același sens ori de sensuri contrarii.

Analog, obținem pentru viteză:

$$v = v_0 \pm at.$$

**1. Mișcarea uniform încetinită.** Cazul cel mai interesant este acela în care mișcările uniformă și accelerată au sensuri contrarii.

Avem alunci, după timpul  $t$ ,

$$s = v_0 t - \frac{1}{2} at^2 \quad (54.1)$$

$$v = v_0 - at. \quad (54.2)$$

Aceste două ecuații definesc *mișcarea uniform încetinită*, la care viteza scade în fiecare unitate de timp cu cantitatea constantă  $a$ , pe care o putem reprezenta printr-un vector de sens contrar vitezei și o mai numim *încetinire, frînare sau accelerație negativă*.

În mișcarea uniform încetinită, mobilul se oprește după timpul  $t = v_0/a$ , în care parcurge spațiul  $s = v_0^2/2a$ . Rezultă că  $v_0 = \sqrt{2as}$ .

Din relația (54.2) se vede imediat că mobilul se oprește, ca să schimbe sensul mișcării, în momentul în care:

$$v = v_0 - at = 0,$$

adică după timpul,

$$t = \frac{v_0}{a}.$$

Această valoare, înlocuită, fie în (54.1), fie în ecuația mișcării accelerate (50.2), dă pentru spațiul respectiv:

$$s = \frac{v_0^2}{2a}. \quad (54.3)$$

De aici deducem:

$$v_0 = \sqrt{2as}. \quad (54.4)$$

Această relație, cunoscută sub numele de *formula lui Galileu*, ne permite să calculăm fie viteza inițială  $v_0$ , cu care trebuie să plece un mobil ca să poată parcurge uniform încetinit o distanță dată  $s$ , fie viteza finală pe care o capătă după ce a parcurs aceeași distanță, uniform accelerat. Ea ne arată, de asemenea, că viteza este direct proporțională cu rădăcina pătrată a spațiului parcurs.

2. *Compunerea după direcții diferite.* Să presupunem că mișcarea uniformă decurge după direcția  $Ox$ , iar cea accelerată după direcția  $Oy$  (fig. 80) și că spațiile respective sînt:

Compunerea unei mișcări uniforme cu alta accelerată, după direcții diferite, duce la o traiectorie parabolică.

$$x = v_0 t \quad \text{și} \quad y = \pm \frac{1}{2} at^2,$$

în care semnele algebrice arată sensul mișcării. În aceste relații dăm timpului valorile succesive

$$t = 0, 1, 2, 3 \dots$$

și obținem pentru spații valorile de mai jos:

$$x = 0; v_0; 2v_0 \dots$$

și

$$y = 0; \pm 0,5a; \pm 2a; \pm 4,5a; \pm 8a; \dots$$

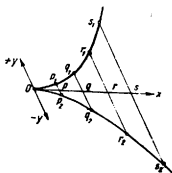


Fig. 80. Compunerea mișcării uniforme cu mișcarea uniform accelerată, după direcții inclinate.

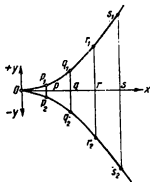


Fig. 81. Compunerea mișcării uniforme cu mișcarea uniform accelerată, după direcții perpendiculare.

Dacă mișcarea uniformă ar fi singură, ar duce mobilul după  $Ox$  și ar parcurge, secundă cu secundă, distanțele:

$$Op = v_0; Oq = 2v_0; Or = 3v_0; Os = 4v_0 \dots$$

Dar fiindcă există și o mișcare accelerată suprapusă, mobilul va fi deviat, paralel cu  $Oy$ , într-un sens or în altul, cu spațiile corespunzătoare valorilor lui  $y$  date mai sus.

După semnul algebric al lui  $y$ , traiectoria mișcării compuse va fi unul din arcele de parabolă  $p_1 q_1 r_1 s_1$  sau  $p_2 q_2 r_2 s_2$ .

În cazul special, cînd cele două direcții  $Ox$  și  $Oy$  sînt perpendiculare una pe alta, este ușor de văzut că aceste arce de parabolă devin simetrice față de axa  $Ox$  (fig. 81).

Vom reveni asupra compunerii mișcărilor accelerate și uniforme cînd vom studia traiectoria corpurilor aruncate cu viteză inițială, în cîmpul atracției pămîntului.

**§ 55. Compunerea mișcărilor oscilatorii.** Vom considera și de astă dată întîi mișcările ce decurg după aceeași direcție, apoi pe acelea ce decurg după direcții perpendiculare.

1. *Mișcări oscilatorii cu direcție comună.* Dacă două mișcări sinusoidale acționează împreună asupra unui mobil, după o direcție comună, este evident că *elongația rezultantă va fi egală cu suma algebrică a elongațiilor individuale.*

Vom presupune deocamdată că aceste două mișcări înaintează, una față de alta, cu timpul  $\theta$ <sup>1)</sup>, că au aceeași perioadă  $T$  și, eventual, amplitudini diferite  $a_1$  și  $a_2$ .

Ecuatiile lor vor fi atunci:

$$e_1 = a_1 \sin \frac{2\pi}{T} t$$

și

$$e_2 = a_2 \sin \frac{2\pi}{T} (t + \theta).$$

Din ele putem calcula elongația rezultantă  $e_1 + e_2$ , adunîndu-le membru cu membru. Dezvoltarea matematică, deși simplă în principiu, este lungă, incomodă și insuficient de intuitivă.

De aceea vom recurge mai curînd la un procedeu de *compunere grafică*.

Față de două axe de coordonate, reprezentăm, prin două curbe, variațiile elongațiilor  $e_1$  și  $e_2$ , în funcție de timp, ținînd seamă că una din oscilații, și anume prima, pornește cu timpul  $\theta$  mai tirziu decît cealaltă (fig. 82).

<sup>1)</sup>  $\theta$  = literă mică grecească. Se citește *theta*.

Adunăm apoi, din loc în loc, elongațiile de același semn, citite pe aceste curbe și scădem pe cele de semne contrarii. Obținem

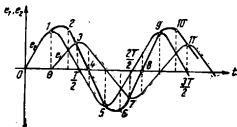


Fig. 82. Compunerea a două mișcări oscilatorii coliniare.

nem astfel succesiv punctele notate în figură cu 1, 2, 3... prin care putem trasa curba reprezentativă a oscilației rezultante.

Din examinarea ei se constată că

Din compunerea a două oscilații de aceeași perioadă, pe o direcție comună, rezultă tot o mișcare oscilatorie, de aceeași perioadă.

a) mișcarea rezultantă este tot o mișcare oscilatorie, de perioadă  $T$ , ca și componentele ei;

b) curba reprezentativă taie axa timpului între cele două componente;

c) amplitudinea ei depinde de situația relativă a maximelor componentelor, adică de unghiul de defazaj corespunzător întârzierii  $\theta$ .

În adevăr, dacă întârzierea  $\theta$  dispăre, componentele sînt în fază și ecuațiile respective se pot scrie:

$$e_1 = a_1 \sin \frac{2\pi}{T} t = a_1 \sin \omega t$$

și

$$e_2 = a_2 \sin \frac{2\pi}{T} t = a_2 \sin \omega t$$

iar elongația rezultantei va fi

$$e = e_1 + e_2 = (a_1 + a_2) \sin \frac{2\pi}{T} t.$$

De aici se vede imediat că *amplitudinea mișcării compuse va fi dată de suma amplitudinilor individuale.*

Fig. 83 ne arată situația reciprocă a curbelor reprezentative și compunerea lor grafică.

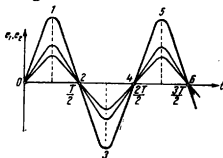


Fig. 83. Compunerea mișcărilor oscilatorii coliniare sincrone și în fază.

Dacă una din oscilații întârzie față de cealaltă cu o jumătate de perioadă  $T/2$ , apare între ele o diferență de fază de  $\pi$  rad, iar ecuațiile respective devin:

$$e_1 = a_1 \sin \omega t$$

și

$$e_2 = a_2 \sin (\omega t + \pi) = -a_2 \sin \omega t,$$

în care semnul — ne arată că cele două componente sînt în *opoziție de fază*.

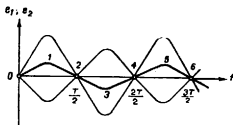


Fig. 84. Compunerea mișcărilor oscilatorii coliniare sincrone și în opoziție de fază.

Situația reciprocă a curbelor reprezentative se prezintă atunci așa cum arată fig. 84, iar *amplitudinea rezultantei este*

egală cu diferența amplitudinilor individuale, fiindcă

La oscilațiile în fază, amplitudinea rezultantă este egală cu suma amplitudinilor, iar la oscilațiile în opoziție de fază, cu diferența lor.

$$e = e_1 + e_2 = (a_1 - a_2) \sin \omega t.$$

În cazul special cînd  $a_1 = a_2$  amplitudinea rezultantă este nulă, ca și elongația, fiindcă cele două mișcări tind neconținut să ducă

mobila în sensuri contrarii, la distanțe egale.

Vom spune atunci că ele *interferează*, sau că oscilație adăugată la oscilație, duce la repaus.

Deosebit de interesant este cazul cînd cele două oscilații, care se compun pe o direcție comună, au perioadele  $T_1$  și  $T_2$  puțin diferite una de alta, indiferent dacă amplitudinile sînt sau nu egale.

Dacă, în locul perioadelor, considerăm frecvențele respective

$$f_1 = \frac{1}{T_1} \quad \text{și} \quad f_2 = \frac{1}{T_2}$$

ecuațiilor celor două oscilații sînt:

$$e_1 = a_1 \sin 2\pi f_1 t$$

și

$$e_2 = a_2 \sin 2\pi f_2 t,$$

iar dacă notăm:

$$f_2 - f_1 = \Delta f,$$

le mai putem scrie și sub forma:

$$e_1 = a_1 \sin 2\pi f_1 t$$

și

$$e_2 = a_2 \sin 2\pi (f_1 + \Delta f) t,$$

în care unghiurile de fază  $\omega t$  au valorile:

$$\varphi_1 = 2\pi f_1 t$$

și

$$\varphi_2 = 2\pi (f_1 + \Delta f) t = 2\pi f_1 t + 2\pi \Delta f \cdot t.$$

Prin urmare, *diferența de fază*  $\varphi_2 - \varphi_1$ , presupusă inițial nulă, *variază cu timpul și cele două oscilații se defazează treptat.*

Ca să ajungă iarăși în fază, trebuie ca:

$$\varphi_2 - \varphi_1 = 2\pi \text{ (sau un multiplu de } 2\pi),$$

așadar ca

$$2\pi f_1 t + 2\pi \cdot \Delta f \cdot t - 2\pi f_1 t = 2\pi \text{ (sau un multiplu de } 2\pi), \text{ deci ca}$$

$$\Delta f \cdot t = 1 \text{ (sau un număr întreg),}$$

1)  $\varphi$  = literă mică grecească. Se citește fi.

Deducem că

$$t = \frac{1}{\Delta f} = \frac{1}{f_2 - f_1}.$$

Evident, *coincidența de fază* se va repeta după timpurile  $2t$ ,  $3t$ ,  $4t$  etc., când *amplitudinea rezultantă va atinge valorile maxime*, egale cu suma amplitudinilor individuale.

Între aceste intervale, după timpurile  $t/2$ ,  $3t/2$ ,  $5t/2$  etc., oscilațiile se află, din contra, *în opoziție de fază*, iar *amplitudinea rezultantă devine minimă* și egală cu diferența amplitudinilor.

Prin urmare, maximele și minimele se succed astfel:

$t = 0$	$t/2$	$2t/2$	$3t/2$	$4t/2$	...
$a = \vec{a}_1 + \vec{a}_2$	$a_1 - a_2$	$a_1 + a_2$	$a_1 - a_2$	$a_1 + a_2$	...
max.	min.	max.	min.	max.	

Oscilația rezultantă suferă deci variații ale amplitudinii cu perioada

$$t = \frac{1}{f_2 - f_1},$$

Frecvența bătailor este dată de diferența dintre frecvențele componentelor.

cu atât mai lungă, cu cât diferența  $f_2 - f_1$  este mai mică.

Frecvența respectivă, exprimată prin inversul perioadei, va fi

$$\boxed{\Delta f = \frac{1}{t} = f_2 - f_1} \quad (55.1)$$

Aceste variații periodice ale amplitudinii rezultantei se numesc *bătăi*.

Desfășurarea lor poate fi urmărită și din compunerea grafică, prin procedeul cunoscut, al curbelor reprezentative ale componentelor (fig. 85).

*Exemplu numeric.* Dacă se suprapun două oscilații de frecvențe:

$$f_1 = 500 \text{ Hz și } f_2 = 504 \text{ Hz.}$$

frecvența bătailor va fi

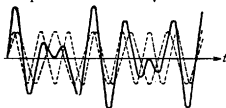
$$\Delta f = 504 - 500 = 4 \text{ Hz.}$$

Fenomenul bătailor are o importanță practică deosebită nu numai în mecanică, la studiul oscilațiilor unui sistem solicitat



simultan, cu două frecvențe deosebite (clădiri, vehicule, poduri etc.) dar și în alte capitole ale fizicii și tehnicii.

Vom reveni asupra lui în acustică și în radiocomunicații.



a)



b)

Fig. 85.

a -- formarea bătilor; b -- curba rezultată, înregistrată fotografic.

## 2. Compunerea oscilațiilor pe direcții perpendiculare. Să considerăm un sistem de axe rectangulare

(fig. 86) și să presupunem că, în lungul fiecăreia dintre ele, un mobil urmează simultan mișcările în fază și de aceeași perioadă:

$$x = a \sin \omega t$$

și

$$y = b \sin \omega t.$$

Cînd spunem că sînt *în fază*, înțelegem că cele două mișcări încep în același moment, din poziția de repaus  $O$ .

Este ușor de văzut că, prin acțiunea lor suprapusă, mobilul se

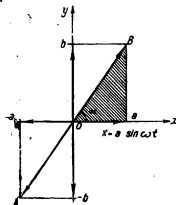


Fig. 86. Oscilații în fază, după direcții perpendiculare.

va duce după direcția  $AB$  și va executa tot o mișcare oscilatorie, în fază cu componentele și de aceeași perioadă.

Triunghiul dreptunghic hașurat ne arată că elongația acestei mișcări poate fi dedusă din relația

Suprapunerea a două mișcări oscilatorii în fază și de aceeași perioadă, pe direcții perpendiculare, dă tot o mișcare oscilatorie, în fază cu ele și de aceeași perioadă.

$$e^2 = a^2 \sin^2 \omega t + b^2 \sin^2 \omega t,$$

care ne dă

$$e = \sqrt{a^2 + b^2} \sin \omega t.$$

De altă parte, tot din figură se vede că *înclinația* noii traiectorii, față de direcția axei  $Ox$  este dată de

$$\operatorname{tg} \alpha = \frac{b \sin \omega t}{a \sin \omega t} = \frac{b}{a},$$

adică *de raportul celor două amplitudini*.

*Dacă mișcărilor oscilatorii rectangulare nu sînt în fază*, compunerea lor nu mai duce la o traiectorie rectilinie.

Vom considera, ca exemplu, cazul particular, în care două oscilații, *de aceeași perioadă și aceeași amplitudine*, sînt defazate cu unghiul  $\pi/2$ .

Aceasta înseamnă că una din ele aduce mobilul în poziția de repaus  $O$ , exact în momentul cînd cealaltă atinge elongația maximă.

Ținînd seamă de direcțiile traiectoriilor individuale, putem scrie, pentru cele două mișcări, ecuațiile

$$x = a \sin \omega t$$

și

$$y = a \sin \left( \omega t + \frac{\pi}{2} \right),$$

sau

$$y = a \cos \omega t.$$

Două mișcări oscilatorii rectangulare, de aceeași amplitudine și aceeași perioadă, defazate cu  $\pi/2$ , dau ca rezultată o mișcare circulară, cu raza egală cu amplitudinea componentelor.

Dacă luăm pe axa  $Ox$  un segment egal cu  $a \sin \omega t$  și pe axa  $Oy$ , alt segment, egal, cu  $a \cos \omega t$ , fig. 87 ne arată că, în momentul  $t$ , ambele mișcări suprapuse vor

duce mobilul în punctul  $m$ , la distanța  $r$  față de centrul  $O$ .

Tot din figură se vede că:

$$r^2 = x^2 + y^2,$$

sau că

$$r^2 = a^2 \sin^2 \omega t + a^2 \cos^2 \omega t,$$

de unde

$$r^2 = a^2 (\sin^2 \omega t + \cos^2 \omega t) = a^2.$$

Cum această expresie nu depinde de timp, înseamnă că, oricum am alege momentul  $t$ , mobilul se găsește întotdeauna la distanță constantă, față de centrul  $O$ , și punctul va fi obligat să descrie o *traietorie circulară* de rază  $a$ , în jurul punctului  $O$ .

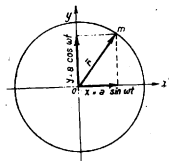


Fig. 87. Oscilații în cuadratură, după direcții perpendiculare.

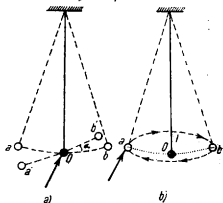


Fig. 88. Demonstrarea experimentală a compunerii oscilațiilor pe direcții perpendiculare.

Se poate demonstra că, dacă  $a \neq b$ , cercul acesta se turtește și capătă forma unei *elipse*.

Putem verifica experimental aceste concluzii în felul următor:

a) punem un pendul să oscileze și, în momentul când trece prin poziția de repaus, îi dăm o lovitură scurtă, laterală, perpendiculară pe direcția traiectoriei (fig. 88 a).

Suprapunem astfel, peste oscilația inițială, o a doua oscilație în fază și perpendiculară pe aceasta. Constatăm atunci că planul de oscilație deviază cu un unghi  $\alpha$ , ca să ia orientarea impusă de mișcarea rezultantă;

b) dăm lovitură laterală în momentul când pendulul ajunge la capătul cursei, în  $a$  sau în  $b$  și suprapunem o oscilație defazată cu  $\pi/2$ , față de cea inițială (fig. 88 b).

Pendulul capătă atunci o mișcare circulară sau eliptică, în jurul punctului  $O$ .

Traietoriile eliptice și mai ales cele circulare, ce rezultă din suprapunerea oscilațiilor rectangulare, defazate cu  $\pi/2$ , vor găsi o aplicație imediată în capitolul următor, iar mai târziu vor servi pentru explicarea funcționării motoarelor de curent electric alternativ și pentru lămurirea unor fenomene optice.

### C. Mișcarea circulară

§ 56. **Viteze și accelerații.** Să considerăm un mobil care se mișcă pe un cerc și să presupunem că, în timpul foarte scurt  $\Delta t$ , raza vectoare  $r$  mătură unghiul la centru  $\Delta\alpha$ , iar extremitatea ei parcurge arcul  $\Delta l$  (fig. 89).

Prin definiție, se numește *viteză unghiulară* și se notează cu  $\omega$

$$\lim_{\Delta t \rightarrow 0} \frac{\Delta\alpha}{\Delta t} = \frac{d\alpha}{dt} = \omega.$$

Tot prin definiție, se numește *viteză liniară* sau *periferică* și se notează cu  $v$

$$\lim_{\Delta t \rightarrow 0} \frac{\Delta l}{\Delta t} = \frac{dl}{dt} = v.$$

Ea poate fi reprezentată prin vectorul  $\vec{v}$  tangent la cerc, în punctul considerat; de aceea se mai numește și *viteză tangențială*.

Ca la orice mișcare curbilinie, acest vector își schimbă necontenit orientarea, o dată cu deplasarea mobilului.

Din această cauză, din punctul de vedere al vitezei tangențiale, mișcarea circulară nu poate fi considerată ca uniformă.

Se poate întâmpla însă ca viteza unghiulară  $\omega$  să fie constantă. În acest caz, și din acest punct de vedere, mișcarea circulară se numește uniformă.

Raza vectoare parcurge atunci unghiuri la centru egale, în timpuri egale. Iar dacă unghiul parcurs în timpul  $T$ , numit perioadă, este de  $2\pi$  rad, putem scrie că viteza unghiulară este

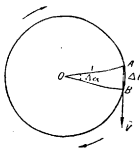


Fig. 89. Viteza tangențială în mișcarea circulară.

$$\omega = \frac{2\pi}{T} \text{ rad/s.} \quad (56.1)$$

În mișcarea circulară uniformă, viteza unghiulară este

$$\omega = \frac{2\pi}{T} \text{ rad/s,}$$

Iar viteza tangențială are valoarea

$$v = \omega r \text{ cm/s.}$$

Evident, după timpul  $t$ , unghiul la centru va fi

$$\alpha = \omega t = \frac{2\pi}{T} t \text{ rad.}$$

În ce privește *arcul de cerc*, parcurs într-o secundă, care definește modulul vitezei liniare, se vede

imediat că, dacă mobilul parcurge drumul  $2\pi r$  în timpul  $T$ , drumul parcurs într-o secundă va fi:

$$v = \frac{2\pi r}{T} = r\omega \quad (56.2)$$

Să considerăm acum două poziții succesive, ocupate de mobil pe cerc și vectorii  $\vec{v}_1$  și  $\vec{v}_2$ , ce reprezintă vitezele tangențiale în aceste puncte (fig. 90).

Diferența lor vectorială este vectorul  $\overline{\Delta v}$ , orientat către interiorul cercului. El reprezintă variația vitezei, în timpul  $\Delta t$ , necesar pentru deplasarea mobilului, între punctele alese.

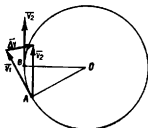


Fig. 90. Variația vitezei tangențiale în mișcarea circulară uniformă.

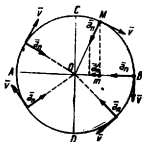


Fig. 91. Viteza tangențială și accelerația centripetă în mișcarea circulară uniformă.

Dacă presupunem că  $\Delta t$  devine din ce în ce mai mic, este ușor de văzut că vectorul  $\overline{\Delta v}$  se orientează către *centrul cercului*.

În acest caz

$$\lim_{\Delta t \rightarrow 0} \frac{\overline{\Delta v}}{\Delta t} = \vec{a}_n$$

reprezintă *accelerația* mișcării, care, fiindcă este îndreptată către centrul cercului, se numește *accelerație centripetă*. Valoarea ei numerică este *constantă*, oricare ar fi poziția mobilului pe cerc.

Considerînd mai multe poziții succesive, vom reprezenta deci vitezele tangențiale prin vectorii  $\vec{v}$  și accelerațiile centripete prin vectorii  $\vec{a}_n$  (fig. 91).

Ne propunem acum să găsim modulul accelerației.

Pentru aceasta să ne închipuim că am considera nu numai mișcarea mobilului pe cerc, dar și mișcarea oscilatorie a proiecției lui pe diametrul  $AB$ .

Dacă mobilul se găsește în  $M$ , proiecția lui se află în  $m$  și mișcarea oscilatorie are în acest moment accelerația  $a'_n$  dată de componenta vectorului  $\vec{a}_n$  pe direcția oscilației.

Cînd mobilul ajunge în  $B$  sau în  $A$ , vectorii  $\vec{a}_n$  și  $\vec{a}'_n$  se confundă și au aceeași lungime; dar, în acest caz, accelerația mișcării oscilatorii, ajunsă la elongația maximă  $r$ , are valoarea cunoscută:

$$a'_n = -r\omega^2. \quad (51.4)$$

Prin urmare și accelerația centripetă va avea tot valoarea

$$\boxed{a_n = -r\omega^2}, \quad (56.3)$$

**Accelerația centripetă are valoarea**

$$a_n = -r\omega^2$$

**la care semnul — arată orientarea către centrul cercului a vectorului respectiv.**

în care semnul — arată că vectorul respectiv este orientat către centrul cercului.

Dacă mobilul continuă mișcarea pe cerc, accelerația mișcării oscilatorii a proiecției lui capătă neconținut alte valori, pe cînd acce-

lerația mișcării circulare păstrează mai departe valoarea numerică, dar își modifică orientarea în plan.

Acest fel de tratare a problemei se justifică prin faptul că, după cum am arătat mai înainte, mișcarea circulară poate fi considerată ca rezultanta suprapunerii a două mișcări oscilatorii defazate cu  $\pi/2$ , după direcții rectangulare.

De cîte ori oscilația după  $AB$  atinge capetele cursei, rămîne momentan singură fiindcă, în aceeași clipă, oscilația după  $CD$  trece prin poziția de repaus.

De altfel, aceeași figură ne arată că, dacă mobilul trece prin  $C$ , sau prin  $D$ , vectorul  $\vec{v} = \vec{\omega} \vec{r}$  se orientează paralel cu  $AB$  și dă, prin proiecție, tocmai viteza oscilației, la trecerea prin poziția de repaus.

1. *Compunerea mișcării circulare cu o mișcare rectilinie.* Este ușor de văzut că, dacă o mișcare circulară se combină cu alta de translație, perpendiculară pe planul ei, traiectoria rezultantă va fi o *elice*. Asemenea mișcări, numite *elicoidale* pot fi întâlnite foarte des în natură, de pildă la corpurile cerești sau chiar la căderea liberă a semințelor de pe anumiți copaci.

În tehnică, le găsim la șurub și la elicele avioanelor sau vapoarelor.

2. *Exemple numerice asupra cinematicii.* 1) *Viteza unui mobil este de 50 m/s. Care va fi spațiul parcurs în 3,25 s?*

Inlocuind datele în formula (48,1) obținem

$$s = 50 \cdot 3,25 = 162,5 \text{ m.}$$

2) *Care este viteza unui mobil, care parcurge uniform 18 cm în 3 s?*  
 Aceeași formulă ne dă

$$18 = v \cdot 3,$$

de unde

$$v = \frac{18}{3} = 6 \text{ cm/s.}$$

3) *Un mobil are viteza de 5 m/s. În cât timp va parcurge 4 km?*

Distanța, exprimată în metri, reprezintă 4 000 m.

Formula cunoscută ne dă

$$4\,000 = 5 \cdot t,$$

d. unde

$$t = \frac{4\,000}{5} = 800 \text{ s.}$$

4) *Un biciclist aleargă cu 17 m/s după un pieton, care merge cu 1,5 m/s și se găsește la 2 000 m înaintea lui.*

*În cât timp și la ce distanță de punctul de plecare îl va ajunge?*

Fie  $t$  acest timp.

Distanța parcursă de biciclist, pînă la întâlnire, va fi

$$s = 17 t.$$

În timpul acesta pietonul parcurge distanța

$$s' = 1,5 t.$$

În momentul întâlnirii vom avea

$$1,5t + 2\,000 = 17t,$$

de unde deducem

$$t = \frac{2\,000}{15,5} = 129 \text{ s.}$$

Locul întâlnirii va fi deci la distanța de

$$17 \cdot 129 = 2\,193 \text{ m}$$

față de punctul de plecare.

5) Să se calculeze spațiul parcurs în 20 s de un mobil care pornește din repaus cu accelerația de  $900 \text{ cm/s}^2$ .

Înlocuind datele în formula (50.2) avem

$$s = \frac{1}{2} 900 \cdot 400 = 180\,000 \text{ cm.}$$

6) Ce accelerație trebuie să aibă un mobil care pornind din repaus să poată parcurge  $3\,000 \text{ cm}$  în  $10 \text{ s}$ ?

Acceași formulă ne dă

$$a = \frac{2s}{t^2} = \frac{6\,000}{100} = 60 \text{ cm/s}^2.$$

7) În cât timp va fi parcursă distanța de  $2\,000 \text{ cm}$  de un mobil care pleacă din repaus cu accelerația de  $40 \text{ cm/s}^2$ ?

Formula (50.2) ne dă

$$t = \sqrt{\frac{2s}{a}} = \sqrt{\frac{2 \cdot 2\,000}{40}} = 10 \text{ s.}$$

8) Mișcarea unui mobil este încetinită cu  $200 \text{ cm/s}^2$ . Presupunind că mobilul are inițial viteza de  $4\,000 \text{ cm/s}$  care-i viteza lui după  $3 \text{ s}$ , după cât timp se oprește și ce distanță parcurge?

a) Înlocuind datele în formula

$$v = v_0 - at, \quad (54.2)$$

avem viteza după  $3 \text{ s}$ :

$$v = 4\,000 - 200 \cdot 3 = 3\,400 \text{ cm/s.}$$

b) Formula

$$t = \frac{v_0}{a},$$

ne dă durata mișcării. Așadar

$$t = \frac{4\,000}{200} = 20 \text{ s.}$$



c) Formula

$$s = \frac{v_0^2}{2a} \quad (54.3)$$

ne permite să calculăm distanța parcursă

$$s = \frac{1}{2} \cdot \frac{4\,000^2}{400} = 20\,000 \text{ cm.}$$

9) *Un mobil are viteza inițială de 2 000 cm/s și frînarea de 50 cm/s<sup>2</sup>. După cât timp viteza lui se reduce la jumătate?*

Formula (54.2) ne dă imediat

$$t = \frac{v_0 - v}{a},$$

$$t = \frac{2\,000 - 1\,000}{50} = 20 \text{ s.}$$

10) *Cu ce viteză inițială trebuie să plece un mobil, ca să se oprească după ce a parcurs 100 m, cu frînarea de 2 m/s<sup>2</sup>?*

Formula (54.4) ne dă

$$v_0 = \sqrt{2as} = \sqrt{400} = 20 \text{ m/s.}$$

11) *Perioada unei mișcări oscilatorii este de 4 s, iar amplitudinea de 2 cm. Să se scrie ecuația mișcării.*

Aplicînd relația (51.2), găsim:

$$e = 2 \sin \frac{2\pi}{4} t$$

sau

$$e = 2 \sin \frac{\pi}{2} t.$$

12) *Să se calculeze elongația acestei mișcări, după 3,5 s.*

Dacă facem  $t=3,5$  s în ecuația de mai sus, rezultă:

$$e = 2 \sin \frac{3,5\pi}{2} = -2 \sin 45^\circ \approx -1,4 \text{ cm.}$$

13) *Care-i ecuația vitezei la această mișcare și ce valoare va căpăta după 3,5 s?*

Relația (51.3) ne dă:

$$v = 2 \frac{2\pi}{4} \cos \frac{2\pi}{4} t = \pi \cos \frac{\pi}{2} t,$$

din care, dacă facem  $t=3,5$  s, obținem:

$$v = \pi \cos 315^\circ = \pi \cos 45^\circ = 2,2 \text{ cm/s.}$$

14) *Aceeași întrebare, pentru accelerație, după 3 s*

Relația (51.4) ne dă

$$a_n = \frac{39,44}{16} 2 \sin \frac{3\pi}{2} = -4,9 \text{ cm/s}^2.$$

15) *Pulsafia unei mișcări oscilatorii fiind 5 000 rad/s, să se calculeze frecvența ei.*

Avem

$$f = \frac{\omega}{2\pi} = \frac{5\,000}{6,28} \approx 800 \text{ Hz.}$$

16) *Un mobil execută 20 rot/s. Care este viteza unghiulară?*

$$\omega = \frac{2\pi}{T} = 2\pi \cdot 20 = 125,6 \text{ rad/s.}$$

17) *Dacă raza de girație este de 1 m, care este accelerația centripetă și viteza liniară, în cazul precedent?*

$$v = r\omega = 100 \cdot 125,6 = 12\,560 \text{ cm/s;}$$

$$a_n = r\omega^2 = 100 \cdot (125,6)^2 \approx 1,6 \cdot 10^6 \text{ cm/s}^2.$$

## D. Dezvoltarea istorică a cinematicii

Cinematica, în forma definită la începutul capitolului, adică numai ca studiu abstract al mișcării în sine, independent de mase și de forțe, este o creație destul de nouă, în comparație cu statica, și se apropie mai mult de geometrie, de care diferă doar prin introducerea unui element nou:  *timpul* .

Ca și în geometrie, condițiile de plecare sînt ideale, pentru că sînt fixate de noi și nu de fenomenele naturale.

Cînd este vorba despre un anumit fel de mișcare, de exemplu despre cea uniform accelerată, nu se admite nici o abatere de la definiția dată inițial: viteza trebuie să crească riguros proporțional cu timpul.

În natură găsim însă mișcări adevărate, nu mișcări abstracte și de aceea va trebui să căutăm neconținut aproximațiile cu care le putem apropia de mișcările ideale.

Numele *cinematică* a fost introdus de *Ampère*<sup>1)</sup>.

<sup>1)</sup> *André Marie Ampère* (1775—1836) matematician și fizician francez, cunoscut mai ales prin cercetări fundamentale asupra electromagnetismului și electrodinamicii.

Filozofii antici au considerat adesea mișcarea mai mult din punct de vedere metafizic, deci fără o fundamentare matematică, legată de vreun fenomen natural.

Evident, se cunoșteau, cine știe de cînd, legile mișcării uniforme și se folosea noțiunea de viteză mijlocie, dar nimeni nu a imaginat o mișcare accelerată.

Mișcarea circulară era considerată ca perfectă, din cauza formei rotunde a tractoriei.

Școala din Atena, fondată la 388 î.e.n. și *Dialogurile lui Platon*<sup>1)</sup> vorbeau despre mișcarea elicoidală și spuneau că ea rezultă din suprapunerea unei mișcări de rotație peste alta de translație.

Galileu a fost primul care a ajuns în adevăr la o idee clară despre mișcarea accelerată sau întârziată și despre legile ei.

Newton și Leibnitz<sup>2)</sup>, independent unul de altul, au creat calculul infinitezimal, unde se introduc noțiunile de derivată, diferențială și integrală.

Această metodă de calcul, impusă de nevoia practică a studiului mișcării neuniforme, s-a generalizat apoi în toate cazurile în care funcția nu depinde liniar de variabila independentă. Am văzut cum, prin derivarea expresiei spațiului în raport cu timpul, se obține viteza instantanee și legea ei de variație, iar printr-o nouă derivare se trece la expresia accelerației.

La mișcările unde accelerația variază și ea cu timpul, putem continua derivarea și obținem așa-numitele *accelerații de ordin superior*, dar acestea nu au întrebuințare curentă în fizică.

Newton s-a servit de calculul infinitezimal numai cu oarecare timiditate și abia mai târziu Hermann (1678—1733) a cercetat sistematic mișcările variate, cu ajutorul lui.

Noțiunea de *vector*, introdusă de Stevin, a fost aplicată la început numai la forțe. Euler a extins-o apoi la celelalte mărimi dirijate, cum sînt viteza și accelerația, și a creat calculul vectorial.

Tot el a introdus cel dintîi, în studiul mișcărilor, noțiunea de *punct material* (*Theoria Motus* — 1775).

De ideile lui, cu toate că nu-l citează, s-a servit apoi Lagrange în *Mecanica analitică* (1777), considerată ca un tratat de bază în tot studiul mecanicii.

De aici înainte progresele au venit mai încet și, după prima jumătate a veacului trecut, cercetările puteau fi considerate ca practic încheiate, în spiritul mecanicii newtoniene.

Prin 1917, Einstein<sup>3)</sup> adaugă la cele trei dimensiuni ale spațiului a patra, care este legată de timp și pune bazele teoriei relativității generalizate despre care vom discuta mai târziu, fiindcă este vorba de o concepție nouă și deosebit de fructuoasă a *mecanicii relativiste*, unde legile mecanicii newtoniene nu mai sînt valabile.

<sup>1)</sup> Platon (429—347 î.e.n.) filozof grec, elev a lui Socrate și profesor al lui Aristotel.

<sup>2)</sup> Gottfried Wilhelm Leibnitz (1664—1716), filozof și savant german, născut la Leipzig.

<sup>3)</sup> Albert Einstein (1879—1955), născut la Ulm și decedat în Statele Unite ale Americii, fost profesor la Berlin și titular al premiului Nobel (1921).

## CAPITOLUL III

## DINAMICA

Dinamica este capitolul din mecanică, în care se studiază stările reale de mișcare ale corpurilor și cauzele ce pot să le impună sau să le modifice.

Cum repaus absolut nu există în natură, vom vorbi despre mișcare și repaus *numai în sensul relativ*, față de un sistem de referință ales prin convenție, pe care-l considerăm ca fix.

Alegerea sistemului de referință, în majoritatea cazurilor, se impune de la sine, prin situația corpurilor înconjurătoare, ce pot să permită folosirea unui sistem de *axe de coordonate*.

## A. Principii fundamentale

**§ 57. Principiul inerției.** Experiența ne arată că nici un corp nu poate părăsi o stare de repaus, dacă nu intervine o cauză exterioară.

Tot experiența ne mai arată că, în condițiile obișnuite, mișcarea unui corp, o dată scos din repausul relativ, nu durează la infinit și că trebuie să o întreținem ca să continue.

O bilă, aruncată pe asfalt, se rostogolește și parcurge o traiectorie rectilinie, pînă cînd se oprește, din cauza frecărilor.

Dacă o aruncăm pe iarbă, sau pe o alee de nisip, distanța parcursă este mai mică, fiindcă și frecările sînt mai mari.

Fără intervenția unei forțe, un corp oarecare nu poate decît sau să stea în repaus sau să se miște rectiliniu și uniform.

Se poate prevedea că, *dacă am fi în stare să suprimăm orice frecare, bila s-ar mișca la nesfîrșit, rectiliniu și uniform.*

Dar frecările nu pot fi anulate și, de aceea, oricît ar fi de mici, tot vor ajunge s-o oprească.

Frecarea sau orice altă cauză în stare să oprească bila, ca și efortul muscular cu care am pus-o în mișcare, sînt *forțe*.

Prin generalizare, numeroase fapte analoge ne permit să enunțăm o lege, fundamentală în dinamică, numită *principiul inerției*:

1. *Un corp material, asupra căruia nu acționează nici o forță din afară, nu poate decât or să stea în repaus relativ, or să se miște rectiliniu și uniform.*

Principiul inerției, întrevăzut de *Galileu*, sau de alții înaintea lui, și enunțat în formă precisă de *Newton*, se impune ca un *adevăr primar*, care nu poate fi susținut altfel, decât printr-o mulțime nesfârșită de fapte de observație, ce nu au fost încă niciodată contrazise.

De aceea, el constituie ceea ce se numește în logică un *postulat*.

Se numește forță:

- a) orice cauză în stare să producă deformări;  
b) orice cauză în stare să modifice mișcarea unui corp sau să-l scoată din starea de repaus relativ.

După felul în care își manifestă acțiunea, putem, deci, numi forță:

- a) *orice cauză, în stare să producă o acțiune statică de deformare, apăsare sau tracțiune;*  
b) *orice cauză, în stare să exercite o acțiune dinamică, prin care să modifice starea de mișcare sau de repaus relativ a unui corp, deci a unei mase.*

În cele ce urmează vom discuta și lămurii, caz cu caz, aceste acțiuni dinamice ale forțelor.

§ 58. **Acțiunea unei forțe constante asupra unei mase constante.** Amintim că forța, fiind o mărime vectorială, ca să poată fi considerată constantă va trebui să-și păstreze neschimbate intensitatea, sensul și direcția.

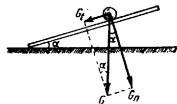


Fig. 92. Mișcarea unui corp sub acțiunea unei forțe constante.

Studiul fenomenului nu poate fi făcut decât experimental și există diferite dispozitive, de care ne putem folosi.

Dintre toate, vom alege unul cu importanță istorică deosebită: *planul înclinat*, fiindcă de el s-a servit și *Galileu* când a cercetat pentru prima dată legile mișcării corpurilor în cădere.

Să considerăm deci un plan înclinat și o bilă care se rostogolește la vale (fig. 92).

Greutatea  $G$  a bilei poate fi descompusă în componentele *normală*,  $G_n$  și *longitudinală*,  $G_t$  pe care de astă dată o vom nota cu  $F$ .

Componenta normală fiind anulată de rigiditatea suprafeței de sprijin, singura forță care mișcă bila este componenta activă  $F$ , ce poate fi calculată din relația cunoscută:

$$F = G \sin \alpha$$

și căreia, *dacă schimbăm înclinația planului*, putem să-i dăm orice valoare, cuprinsă între zero și  $G$ .

a) Păstrăm deocamdată înclinația planului constantă, *ca să menținem constantă și forța activă*, apoi măsurăm distanțele

$$s_1, s_2, s_3, \dots,$$

parcursе de bila în rostogolire, după timpurile:

$$t_1, t_2, t_3, \dots$$

În limitele erorilor experimentale, datorite mai ales frecărilor inevitabile, constatăm atunci, din datele numerice obținute, că:

$$\frac{s_1}{t_1^2} = \frac{s_2}{t_2^2} = \frac{s_3}{t_3^2} = \dots = \frac{s}{t^2} = \text{constantă.}$$

Prin urmare, *spațiile sînt direct proporționale cu pătratele timpurilor respective* și dacă notăm:

$$\text{constantă} = \frac{1}{2} a$$

ajungem la ecuația mișcării uniform accelerate

$$s = \frac{1}{2} at^2. \quad (50.2)$$

**O forță constantă imprimă unei mase date o mișcare uniform accelerată.**

*În concluzie: sub acțiunea unei forțe constante, o masă dată capătă o mișcare uniform accelerată.*

b) În a doua serie de determinări, *vom căuta legătura dintre forțe și accelerațiile pe care sînt în stare să le imprime unei mase date.*

Vom schimba deci înclinația planului, ca să dăm forței accelerațoare  $F$  valorile succesive:

$$F_1 = G \sin \alpha_1; F_2 = G \sin \alpha_2; F_3 = G \sin \alpha_3 \dots$$

și, repetind experiențele de mai sus, vom găsi de fiecare dată câte o mișcare accelerată, iar valorile numerice obținute ne vor arăta că, între forțe și accelerațiile respective, avem relațiile:

$$\frac{F_1}{a_1} = \frac{F_2}{a_2} = \frac{F_3}{a_3} = \dots = \frac{F}{a} = K$$

Accelerația este direct proporțională cu forța care acționează asupra unui corp dat.

unde  $K$  este o constantă de proporționalitate.

De aici rezultă că:

$$F = Ka, \quad (58.1)$$

și putem enunța, tot ca postulat, un al doilea principiu fundamental în dinamică, descoperit de *Newton*:

II. *Accelerația pe care o capătă o masă dată este direct proporțională cu forța care acționează asupra ei și orientată în același sens și pe aceeași direcție cu dînsa.*

În ce privește semnificația constantei de proporționalitate  $K$ , vom reveni asupra ei într-un capitol viitor.

§ 59. **Principiul acțiunii și reacțiunii.** Cu gândul la principiul inerției, și știind că forțele nu pot să apară decît pe perechi din acțiunile reciproce a două corpuri, este ușor de înțeles că, dacă

Acțiunea este totdeauna egală și opusă reacțiunii. Ele apar totdeauna simultan.

un anumit corp ar exista singur în tot universul, nu ar fi capabil să-și modifice starea de mișcare sau de repaus.

Am enunțat mai de mult, în cap. I. *Statica*, principiul acțiunii și reacțiunii.

*Newton*, după ce l-a verificat prin experiență, l-a generalizat și în dinamică, formulîndu-l astfel:

III. „*Acțiunea este totdeauna egală și opusă reacțiunii, adică acțiunile a două corpuri, unul asupra celuilalt, sînt întotdeauna egale și de sensuri contrarii*”.

În rezumat: principiile fundamentale ale dinamicii, pe care *Newton* le consideră ca axiome, sînt următoarele:

- I. *Principiul inerției.*
- II. *Principiul proporționalității dintre forțe și accelerațiile pe care le imprimă unei mase date.*
- III. *Principiul acțiunii și reacțiunii.*

§ 60. **Aplicație-Căderea corpurilor.** Un corp în cădere se află sub acțiunea greutății proprii, adică a forței cu care-l atrage pămîntul. Această forță poate fi considerată aproximativ constantă, într-un loc dat, cînd spațiul parcurs în cădere nu este prea mare.

Din legile dinamicii rezultă atunci că mișcarea de cădere trebuie să fie uniform accelerată și că, dacă notăm accelerația cu  $g$ , vom avea pentru spațiu și viteză relațiile cunoscute:

$$s = \frac{1}{2} g t^2 \quad (50.2)$$

și

$$v = g t \quad (50.1)$$

cu toate consecințele arătate în capitolul despre mișcarea uniform accelerată.

De asemenea, vom aplica relația:

$$h = \frac{v_0^2}{2g}, \quad (54.3)$$

care ne dă înălțimea maximă  $h$ , atinsă la o aruncare în sus, după verticală, cu viteza inițială  $v_0$ , cît și

$$v = \sqrt{2gh}, \quad (54.4)$$

care ne permite să calculăm viteza de cădere de la înălțimea  $h$ , sau viteza inițială, necesară ca să atingă această înălțime.

În realitate, aceste relații nu sînt valabile decît la căderea în vid, unde nu există o rezistență de frecare, din partea păturilor de aer străbătute, iar ca să le verificăm experimental, cu suficientă precizie, trebuie numai decît să înlăturăm această rezistență.



Există diferite metode posibile, din care cea mai simplă este *metoda înregistrării fotografice*.

Intr-un tub de sticlă, lung de câțiva metri, din care am scos aerul, cade o bilă lucioasă de metal (fig. 93).

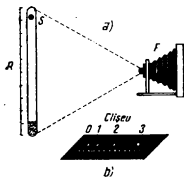


Fig. 93. Înregistrarea cronofotografică a mișcării uniform accelerate.

Pe fundul tubului punem o bucată de vată, care împiedică bila să-l spargă, iar alături așezăm o riglă gradată.

Luminăm tubul cu o serie de scînteii electrice, care se succed la intervale regulate și cunoscute, apoi îl fotografiem în această lumină.

Pe clișeu, după dezvoltare, apar mai multe imagini ale bilei, ce corespund pozițiilor în care se găsea în momentele în care a fost luminată, alături de imaginea riglei gradate.

Constatăm astfel că spațiile parcurse în cădere sînt proporționale cu pătratele timpurilor, iar din datele măsurărilor putem scrie ecuația mișcării accelerate și calcula accelerația ei.

Vom descrie mai târziu alte metode și, mai precise, pentru determinarea indirectă a accelerației gravitației, care au dus la rezultatele următoare:

Pentru accelerația gravitației se ia de obicei valoarea aproximativă  
 $g = 981 \text{ cm/s}^2$ .

Lîngă București (Comuna Roșu)

$$g = 980,551 \text{ cm/s}^2,$$

iar la latitudinea de  $45^\circ$  și nivelul mării,

$$g = 980,665 \text{ cm/s}^2,$$

care reprezintă așa-numita *valoare normală*.

Pentru nevoile curente, vom adopta însă, o dată pentru totdeauna, valoarea *aproximativă*:

$$g = 981 \text{ cm/s}^2 \text{ în sistemul CGS}$$

$$g = 9,81 \text{ m/s}^2 \text{ în sistemele MKS și MKFS.}$$

În aer, fenomenul este mai complicat, fiindcă *frecarea depinde atât de viteză, cât și de forma sau dimensiunile geometrice ale corpului în mișcare*<sup>1)</sup>.

Dacă o notăm cu  $R$ , atracția pământului, reprezentată prin greutatea  $G$ , nu mai acționează singură și corpul se găsește în realitate sub acțiunea rezultantei

$$F = G - R,$$

dar cum, în orice caz,

$$F < G,$$

înseamnă că accelerația mișcării, cât și viteza după un timp dat vor fi mai mici decât în vid.

Dacă avem două corpuri, de aceeași formă și aceleași dimensiuni, dar de greutăți diferite, de pildă o sferă de plută și alta de plumb, rezistența aerului va fi aceeași pentru amândouă, dar diferența  $G - R$  se va apropia cu atât mai mult de  $G$ , cu cât corpul este mai greu, iar pentru corpurile destul de grele, ajunge practic egală cu  $G$ .

Urmează că, în aer, legea căderii, pentru asemenea corpuri, va fi mai apropiată de formulele clasice (50.1 și 50.2) decât la corpurile ușoare.

Pe de altă parte, cercetări experimentale și teoretice, de care vom vorbi mai târziu, au arătat că *rezistența aerului crește*, la vitezele mijlocii pe care le întâlnim obișnuit, *cu pătratul vitezei*.

Înseamnă că, pentru un corp dat, rezultanta:

$$F = G - R$$

tinde să scadă pe măsură ce crește viteza și se anulează când  $G = R$ . Forța acceleratoare dispare atunci și corpul continuă mișcarea mai departe, *uniform*, în virtutea inerției, *păstrând această viteză limită atinsă*.

Experiența verifică în totul aceste concluzii. Le verificăm de altfel și în viața zilnică, de pildă la picăturile de ploaie care, dacă n-ar fi rezistența aerului și limitarea vitezei, ar ajunge la pământ cu viteza unui glonte de revolver.

Existența acestor fenomene complexe, la căderea în aer, a rămas multă vreme neînțeleasă, și de aceea filozofii antichității credeau că fiecare corp cade după o lege particulară.

**Problema balistică.** Cu ajutorul cunoștințelor căpătate pînă acum din cinematică și dinamică, putem examina mișcarea unui corp, aruncat în vid, cu viteza inițială  $\vec{v}_0$ , care face unghiul  $\alpha$  cu orizontala, așa cum arată fig. 94 a.

În virtutea inerției, această viteză trebuie să rămână constantă. Ea se poate descompune în componentele:

$$v_0 \cos \alpha, \text{ după orizontală și } v_0 \sin \alpha \text{ după verticală.}$$

Pe verticală se mai suprapune însă și viteza de cădere  $gt$ , așa că:

$$v_y = v_0 \sin \alpha - gt \text{ și } v_x = v_0 \cos \alpha.$$

<sup>1)</sup> Este ușor de constatat, că altfel cade o foaie de hîrtie mototolită, decât una plană.

Potrivit celor știute, mobilul va descrie atunci o parabolă, așa cum arată fig. 94 b, atingând o înălțime maximă  $h$ , când viteza de urcare pe verticală devine egală cu viteza de cădere, așadar când

$$v_y = v_0 \sin \alpha - gt = 0,$$

de unde găsim timpul de urcare

$$t = \frac{v_0 \sin \alpha}{g}.$$

De aici înainte, mobilul începe să coboare și revine pe pământ după timpul

$$t_1 = 2t = \frac{2v_0 \sin \alpha}{g}.$$

Potrivit relației cunoscute (54.3) și ținând seamă că, după verticală, viteza inițială este  $v_0 \sin \alpha$ , găsim că

$$h = \frac{v_0^2 \sin^2 \alpha}{2g}. \quad (60.1)$$

Pe de altă parte, dacă n-ar fi existat decât mișcarea uniformă inițială, spațiul parcurs pe direcția  $OA$ , în timpul  $t_1$ , ar fi fost

$$D = v_0 t_1 = \frac{2v_0^2 \sin \alpha}{g},$$

căruia îi corespunde pe orizontală distanța:

$$d = D \cos \alpha = \frac{v_0^2 \cdot 2 \sin \alpha \cos \alpha}{g},$$

sau

$$d = \frac{v_0^2 \sin 2\alpha}{g}. \quad (60.2)$$

Această distanță, sau *bătaie*, va fi evident maximă când

$$\sin 2\alpha = 1, \quad \text{așadar când } \alpha = 45^\circ.$$

În realitate, când intervine și frecarea cu aerul, mișcările cu viteze mai mari sînt frîmate mai repede decît acelea cu viteză mică.

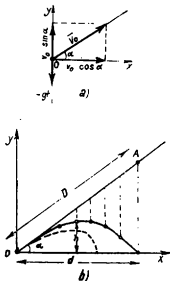


Fig. 94. Aruncarea oblică.

De aceea, fiindcă viteza inițială  $v_0$  este mult mai mare decât viteza de cădere, proiectilul, în loc să urmeze traiectoria parabolică, se abate de la dînsa ca să descrie traiectoria trasată punctat (fig. 94 b).

§ 61. **Unitățile de forță și masă.** În diferitele sisteme de unități, despre care s-a vorbit anterior, au rămas încă nedefinite unitatea de masă, în sistemul MKFS și unitatea de forță în sistemele CGS și MKS asupra cărora sîntem acum în stare să discutăm pe alte baze.

1. *Unitatea de forță CGS.* Să reluăm relația experimentală

$$F = K \cdot a. \quad (58.1)$$

Fiindcă nu am definit încă unitatea de forță în sistemul CGS și nici nu ne-am sprijinit pe dînsa în capitolele precedente, nimic nu ne împiedică să o alegem acum așa fel ca, în relația de față, constanta  $K$  să exprime masa în grame, cînd accelerația este dată în  $\text{cm/s}^2$ .

Cu această convenție, putem scrie că

$$F = m \cdot a, \quad (61.1)$$

iar dacă ne referim la cazul special cînd

$$m = 1 \text{ g}$$

și

$$a = 1 \text{ cm/s}^2$$

găsim că

$$F = 1 \text{ unitate CGS.}$$

Unitatea CGS de forță este dyna (dyn), care poate să imprime masei de 1 g, accelerația de  $1 \text{ cm/s}^2$ .

*Această unitate se numește dynă (dyn) și reprezintă forța în stare să imprime unei mase de 1 g, accelerația de un centimetru pe secundă la pătrat.*

Ținînd seamă de dimensiunile cunoscute ale unităților de masă și accelerație, aceeași relație (61.1) ne spune că dimensiunile forței, în sistemul CGS sînt:

$$[F] = \text{LMT}^{-2}.$$

2. *Unitatea de forță MKS.* Facem aceeași convenție, în privința constantei  $K$  și, recurgînd la unitățile de masă și de accelerație ale sistemului, rezultă, tot din relația (61.1), că dacă

$$m = 1 \text{ kg},$$

și

$$a = 1 \text{ m/s}^2,$$

atunci

$$F = 1 \text{ unitate MKS.}$$

**Unitatea MKS de forță se numește newton (N) și poate să imprimă masei de 1 kg accelerația de 1 m/s<sup>2</sup>.**

*Această unitate se numește newton (N) și reprezintă forța în stare să imprime masei de 1 kg accelerația de un metru pe secundă la pătrat.*

Fiindcă, în sistemul MKS, dimensiunile masei și accelerației sînt aceleași ca în sistemul CGS, vom avea și de astă dată:

$$[F] = \text{LMT}^{-2}.$$

Prin urmare, din punctul de vedere al dimensiunilor, nu există nici o diferență între aceste două sisteme.

**Raportul dintre unitățile CGS și MKS este numai numeric.**

*De aici putem trage concluzia importantă că unitățile MKS reprezintă numai un simplu multiplu numeric al unităților CGS, de care nu*

*se deosebesc, din punctul de vedere al derivării din unitățile fundamentale.*

*Aceasta înseamnă că ecuațiile de dimensiuni pot să rămînă omogene, dacă, din eroare, am folosit în aceeași relație unități din ambele sisteme, dar atunci rezultatele numerice nu mai sînt corecte.*

3. *Unitatea de masă MKS.* Reluînd expresia:

$$F = m \cdot a \tag{61.1}$$

la care am ajuns în cazurile precedente, vom căuta mijlocul să o adaptăm sistemului de față.

Dacă un corp de un kilogram-masă cade liber, sub acțiunea greutății proprii, atunci

$$F = 1 \text{ kgf}$$

și

$$a = 9,81 \text{ m/s}^2.$$

Aceste date, introduse mai sus, ne-ar duce la relația numerică, evident imposibilă,

$$1 = 1 \cdot 9,81.$$

Prin urmare trebuie să alegem altă unitate de masă, în locul kilogramului. În adevăr, dacă admitem că:

$$9,81 \text{ kg} = 1 \text{ unitate de masă MKfS},$$

acelerația scade în proporție, ca să devină  $1 \text{ m/s}^2$  și relația (61.1) poate fi satisfăcută, fiindcă

$$1 = 1 \cdot 1.$$

Unitatea de masă MKfS reprezintă  $9,81 \text{ kg}$  și este capabilă ca, sub acțiunea forței de  $1 \text{ kgf}$  să capete accelerația de  $1 \text{ m/s}^2$ . Dimensiunile ei sînt  $[m] = L^{-1} FT^2$ .

Prin urmare, unitatea MKfS de masă echivalează cu  $9,81 \text{ kg}$  și este capabilă ca, sub acțiunea unui kilogram-forță, să capete accelerația de un metru pe secundă la pătrat.

Această unitate nu are nume special și de aceea o denumim numai prin inițialele MKfS, puse după valoarea numerică respectivă.

În ce privește dimensiunile ei, tot relația (61.1) ne spune că ele sînt:

$$[m] = L^{-1} FT^2.$$

**4. Caracterul absolut al unităților de forță.** În statică, am definit kilogramul-forță prin greutatea masei de un kilogram internațional, sub anumită latitudine geografică și la nivelul mării.

Astfel definită, această unitate era legată de un fenomen local: atracția Pământului și nu putea fi considerată ca absolută, decît în ipoteza că nu variază în timp.

Din momentul în care am fixat, pe cale dinamică, unitatea de masă a sistemului MKfS și am ajuns în stare să aplicăm relația

$$F = m \cdot a, \quad (61.1)$$

definiția kilogramului-forță nu mai este legată de un loc anumit, fiindcă el reprezintă forța în stare să comunice masei de 9,81 kg, accelerația de  $1 \text{ m/s}^2$ , oriunde ne-am găsi în univers.

Aceeași calitate o au de altfel, în baza definițiilor dinamice, și unitățile de forță CGS și MKS.

Toate pot fi considerate ca *absolute*, fiindcă rămân valabile oricând și oriunde.

Raportul numeric al unităților de forță poate fi calculat dacă, în cei doi membri ai relației

$$F = m \cdot a, \quad (61.1)$$

folosim unități din două sisteme diferite, de pildă.

- a) Deoarece, sub acțiunea unui kilogram-forță, masa de 1 000 g capătă accelerația de  $981 \text{ cm/s}^2$ , rezultă că

$$\begin{array}{ll} 1 \text{ kgf reprezintă} & 1 \text{ kgf} = 981\,000 \text{ dyn} \\ 981\,000 \text{ dyn sau } 9,81 \text{ N.} & \text{și} \\ & 1 \text{ gf} = 981 \text{ dyn.} \end{array}$$

- b) Deoarece, sub acțiunea unui kilogram-forță, masa de 1 kg capătă accelerația de  $9,81 \text{ m/s}^2$  rezultă că:

$$1 \text{ kgf} = 9,81 \text{ N}$$

și

$$1 \text{ gf} = 0,009\,81 \text{ N.}$$

- c) Din comparația datelor de mai sus, urmează că:

$$\begin{array}{ll} \text{Un newton reprezintă} & 1 \text{ kgf} = 981\,000 \text{ dyn} = 9,81 \text{ N} \\ 10^5 \text{ dyn.} & \text{și că } 1 \text{ N} = 10^5 \text{ dyn.} \end{array}$$

§ 62. Semnificația dinamică a masei. Din cele discutate în capitolul precedent, relația

$$F = m \cdot a$$

(61.1)

ne apare ca fundamentală și valabilă în orice sistem de unități.

De aceea ne vom folosi de dînsa ori unde va fi vorba de acțiunea dinamică a unei forțe, asupra unei mase. În ea se găsesc rezumate atît principiul inerției, cît și principiul proporționalității dintre forță și accelerație, iar mai tîrziu vom vedea cum poate fi aplicată la principiul acțiunii și reacțiunii.

În adevăr, de la prima examinare se vede că:

- a) dacă forța este nulă, accelerația este de asemenea nulă și corpul nu-și poate schimba starea de repaus relativ, ori de mișcare uniformă;
- b) în relația dintre forță și accelerație, masa intervine ca factor de proporționalitate;
- c) accelerația, imprimată de o forță, este invers proporțională cu masa.

Masa este o mărime fizică legată de inerția corpurilor, și le dă putința să reziste la variația stării de mișcare.

Aceasta înseamnă că *un corp rezistă cu atît mai bine la variația stării de mișcare, cu cît are masa mai mare.*

De aceea masa definește *inerția corpurilor* și ne spune în ce măsură un corp dat este mai inert decît altul.

Pentru o mai bună înțelegere, să considerăm un corp de masă  $m$ , în cădere liberă. El este atras de pămînt cu o forță  $G$  și capătă accelerația  $g$ .

Dar principiul acțiunii și reacțiunii ne spune că și corpul atrage pămîntul cu aceeași forță  $G$ . Prin urmare, pămîntul trebuie să capete, la rîndul lui, accelerația  $a$ , în direcția corpului, și dacă  $M$  este masa lui, urmează că

$$mg = Ma = G,$$

dar masa enormă a pămîntului îi dă o inerție atît de mare, încît această mișcare nu poate fi evidențiată.

Putem însă reproduce în mic o situație similară, legînd între ele două corpuri de mase diferite, cu un fir de gumă pe care-l întindem.

*Sub acțiunea tensiunilor din fir, cele două mase, lăsate libere, se mișcă una spre alta cu accelerații totdeauna invers proporționale cu mărimea lor.*



§ 63. **Forțe de inerție.** Principiul acțiunii și reacțiunii ne spune că masele răspund oricărei acțiuni, cu reacțiuni egale și direct opuse.

De altă parte, relația

$$F = m \cdot a,$$

ne dă

$$F - ma = 0,$$

în care termenul —  $ma$  reprezintă tocmai reacțiunea care tinde să se opună forței acceleratoare  $F$ .

În relația  $F - ma = 0$ , cantitatea —  $ma$  reprezintă forța de inerție.

Într-un sistem de mase date, suma algebrică a forțelor active și de inerție este nulă.

De aceea o vom numi *forța de inerție* și, ca să respectăm principiul acțiunii și reacțiunii, vom spune că:

*Într-un sistem de mase date, cu acțiuni reciproce, suma algebrică a forțelor active și de inerție este nulă.*

Această teoremă, enunțată de *d'Alembert*, ne permite să considerăm problemele dinamicii în lumina unor probleme de echilibru între forțe egale și contrarii, adică să le rezolvăm prin metodele cunoscute ale staticii.

Vom putea deci să vorbim de *echilibru dinamic*, tot așa cum vorbim despre echilibru static.

Metoda nu e însă totdeauna eficace, fiindcă ne duce uneori la relații matematice, pe care nu știm cum să le interpretăm, dacă nu ne vină și experiența în ajutor.

Unele tratate de mecanică teoretică privesc forțele de inerție ca *fictive*, pentru că nu se exercită din afară, nici nu izbutesc să anuleze acțiunile acceleratoare.

Această calificare, legată de convențiile pe care le putem face în definiții, nu este decît pur *formală*, fiindcă experiența zilnică ne arată realitatea lor obiectivă:

Un muncitor, care manevrează un vagon pe linie, simte forțele de inerție și la frinare și la demaraj, iar intensitatea lor devine cu atît mai mare, cu cît el vrea să efectueze munca mai grăbit.

Cînd trenul pleacă prea repede din stație, sau se oprește prea repede, accelerațiile fiind prea mari, forțele de inerție pot să răstoarne bagajele din rețeaua vagonului.

Dacă oprirea se face peste măsură de repede, bunăoară în cazul unei ciocniri de trenuri, tot forțele de inerție distrug vagoanele și produc nenorociri.

Devierea unui corp de la o traiectorie rectilinie, implică de asemenea o variație a vitezei, deci apariția unei forțe de inerție.

*În concluzie: Forțele de inerție apar la orice schimbare de viteză a unei mase și sînt cu atît mai mari, cu cît accelerația impusă este mai mare, sau masa mai mare.*

## B. Forțe centrale

§ 64. **Mișcarea centrală.** În cinematică, am arătat că devierea unui mobil de la traiectoria rectilinie, implică apariția unei accelerații, orientată spre partea concavă a traiectoriei descrise.

De asemenea am stabilit că, la mișcarea circulară uniformă, această accelerație are valoarea absolută

$$a_n = \omega^2 r = \frac{4\pi^2}{T^2} r \quad (56.3)$$

și am numit-o *centripetă*, fiindcă este orientată mereu spre centrul traiectoriei.

Dacă ne închipuim că mobilul este un corp de masă  $m$ , principiul inerției ne spune că, fără intervenția unei forțe, mișcarea nu poate fi decît rectilinie și uniformă.

Devierea de la linia dreaptă implică deci existența unei forțe care trage mobilul spre centru, adică a unei legături oarecare cu axa de rotație.

Această forță o numim *centripetă*, ca și accelerația respectivă.

Odată cu ea, trebuie să apară însă și o *forță de inerție*, direct opusă și egală, pe care o numim *forță centrifugă*.

Putem constata existența lor, dacă legăm un corp cu o sfoară și-l rotim ca o praștie, în jurul unui punct fix (fig. 95).

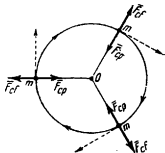


Fig. 95. Forțele centripetă și centrifugă.

Sfoara capătă o *tensiune*, care trage mobilul spre centru, dar în același timp mîna simte acțiunea forței centrifuge, care trage în sensul opus. Dacă le notăm cu  $F_{cf}$  și  $F_{cp}$ , relația

$$F = m \cdot a, \quad (61.1)$$

în care înlocuim pe  $a$  prin valoarea sa  $a_n$  de mai sus, ne arată că

$$F_{cf} = m \omega^2 r = F_{cp}, \quad (64.1)$$

iar un dinamometru, intercalat pe fir, ne permite să verificăm experimental această concluzie.

**Forța centripetă, egală și opusă forței centrifuge de inerție, are intensitatea**

$$F_{cp} = m \omega^2 r$$

Prin urmare: *forța centripetă, egală și opusă forței centrifuge de inerție, este direct proporțională cu masa corpului, cu raza de rotație<sup>1)</sup> și cu pătratul vitezei unghiulare.*

Dacă înmulțim și împărțim membrul al doilea al relației de mai sus cu  $r$  și ținem seama că  $v = \omega r$ , o putem scrie și sub forma:

$$F_{cf} = m \frac{v^2}{r} = F_{cp}, \quad (64.2)$$

în care  $v$  reprezintă viteza tangențială.

Dacă sfoara, sau legătura cu centrul de rotație se rupe, ambele forțe dispar simultan și mobilul continuă mișcarea după tangentă, rectiliniu și uniform, în virtutea inerției.

Mișcarea circulară uniformă nu este decît un caz particular al așa-numitei *mișcări centrale*, în care mobilul descrie o traiectorie curbilinie, respectînd condiția ca vectorul  $\vec{a}$ , care reprezintă accelerația mobilului, să fie orientat neconținut către un punct fix  $O$  (fig. 96).

Această mișcare decurge deci sub acțiunea unor *forțe centrale*, determinate de legătura cu punctul considerat.

Un exemplu de mișcare centrală ar fi, între altele, acela în care un corp, legat cu un fir elastic, se rotește ca o praștie, cu viteză unghiulară variabilă. Accelerația își schimbă atunci necon-

<sup>1)</sup> Prin raza de rotație înțelegem distanța față de axa de rotație

tenit valoarea numerică, iar firul, supus la tensiuni variabile, se lungeste sau se scurtează, de unde rezultă o nouă schimbare de accelerație.

Forma traiectoriei depinde de legea după care decurge această variație a distanței față de centru.

Într-o asemenea mișcare, vectorul ce reprezintă viteza tangențială nu-și mai păstrează lungimea constantă. De aceea trebuie să introducem aici noțiunea de *accelerație tangențială*, reprezentată de raportul la limită

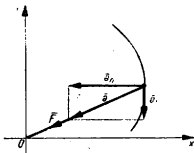


Fig. 96. Mișcarea centrală.

$$a_t = \frac{\Delta v}{\Delta t} = \frac{\text{variația modului vitezei tangențiale}}{\text{creșterea respectivă a timpului}}$$

Accelerația tangențială este un vector, tangent la traiectorie, în punctul considerat.

Pe de altă parte, variația în timp a vitezei unghiulare  $\omega$  impune noțiunea de *accelerație unghiulară*, a cărei valoare va fi dată de raportul la limită:

$$\epsilon = \frac{\Delta \omega}{\Delta t} = \frac{\text{variația vitezei unghiulare}}{\text{creșterea timpului}}$$

La o mișcare circulară, aceste accelerații sînt, evident, nule, cînd e uniformă, dar ele apar și acolo, dacă viteza unghiulară variază cu timpul.

Un caz particular al mișcării centrale este revoluția planetelor, care descriu elipse în jurul Soarelui.

O vom studia mai tîrziu, în capitolul despre legile atracției universale.

Efectele forțelor centrifuge se manifestă la tot pasul, în viața curentă și pot să aibă numeroase consecințe, unele folositoare, altele perturbatoare.

Vom cita numai cîteva exemple:

1) *Devierea firului cu plumb*. În principiu, un fir cu plumb ar trebui să se orienteze după verticala locului, cu direcția, spre centrul Pămîntului.

Fig. 97 ne arată însă că masa  $m$ , atârnată de un fir, se găsește sub acțiunea combinată a două forțe:

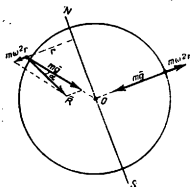


Fig. 97. Devierea firului cu plumb din cauza rotației diurne a Pământului.

— greutatea proprie  $mg$ ;

— forța centrifugă de intensitate  $m\omega^2 r$ , unde  $r$  reprezintă depărtarea locului față de axa  $NS$ .

În loc să se orienteze după verticală, firul va lua direcția rezultantei acestor două forțe și va devia de un unghi  $\alpha$ . Devierea este nulă la poli, unde nu există forța centrifugă și la ecuator, unde cele două forțe devin direct opuse și se orientează anihel după verticală.

Chiar la latitudinile intermediare, unghiul  $\alpha$  este destul de mic și poate fi neglijat în determinările curente, dar în măsurătorile de precizie va trebui să ținem seamă de dinsul și să facem corecția necesară.

2) *Turtirea Pământului*, ca și a tuturor corpurilor cerești în rotație, se datorește de asemenea forțelor centrifuge, care sînt maxime la ecuator și nule la poli.

3) Tot forța centrifugă ne permite să rotim într-un plan vertical, un vas cu apă, fără ca apa să curgă din el. Condiția necesară și suficientă este ca viteza de rotație să fie atât de mare, încît forța centrifugă să depășească greutatea apei.

Pe același principiu, acrobații execută cu bicicleta la circuri figura cunoscută sub numele de *roata morții*.

4) *Se construiesc mașini centrifuge* pentru separarea smîntîinii din lapte, pentru extragerea mierii din faguri, pentru uscarea rapidă a rufelor ude etc.

În laboratoarele de chimie și bacteriologie, aceste mașini centrifuge perfecționate funcționează la cîteva mii de rotații pe minut și permit o precipitare foarte rapidă a suspensiilor din lichide.

Centrifuge speciale, numite *ultracentrifuge*, pot să ajungă la peste 100 000 rot/min. Cu ajutorul lor s-au putut face în laborator cercetările care au dus la sinteza unor produse macromoleculare, de pildă a cauciucului artificial.

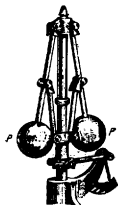


Fig. 98. Regulatorul mașinii cu vapor.

5) *Reglajul automat al admisiei vaporilor la mașini* se bazează tot pe acțiunea forței centrifuge.

Dacă mașina se învîrte prea repede, două sfere metalice  $P$  (fig. 98) se ridică, îndepărtîndu-se de axă și mișcă o pîrghie, care închide robinetul de legătură cu cazanul.

6) *Pompele centrifuge* sînt construite după schema din fig. 99. O roată cu aripi se învîrte într-un carter  $c$ . Pompa stă cufundată în lichid, care pătrunde printr-o deschidere practică în lungul axei de rotație și este dat afară prin tubul  $e$ , sub o presiune care depinde de raza părții rotative și de pătratul vitezei unghiulare.

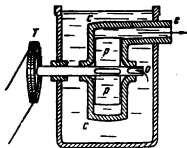


Fig. 99. Principiul pompei centrifuge.

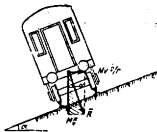


Fig. 100. Inclinația șinelor de cale ferată la curbe.

7) *Șinele de cale ferată sau șoselele speciale pentru automobile* sînt inclinate la curbe. Unghiul de inclinație trebuie calculat astfel, încît greutatea vehiculului  $Mg$  și forța centrifugă  $Mu^2/r$  aplicate amîndouă în centrul de greutate, să dea o rezultantă  $\bar{R}$  perpendiculară pe planul drumului, ca să evite lunecările laterale (fig. 100).

Din triunghiul dreptunghi hașurat, se vede că această condiție va fi îndeplinită cînd

$$\operatorname{tg} \alpha = \frac{Mu^2/r}{Mg} = \frac{v^2}{rg}.$$

Așadar tangenta unghiului de inclinație depinde de raza curbei și de pătratul vitezei liniare, dar nu depinde de masa vehiculului.

8) *În aviație*, unde vitezele sînt mult mai mari, existența forței centrifuge deschide probleme foarte greu de rezolvat.

Valoarea ei fiind

$$F_{cf} = m \frac{v^2}{r},$$

urmează că, la raze de girație egale, devine de 64 de ori mai mare, cînd viteza trece de la 100 km/h la 800 km/h.

Atît materialul, cît și pilotul, au de suportat, prin urmare, forțe de inerție care pot să depășească limita rezistenței, dacă raza virajului este prea mică.

## C. Principiul mecanic al relativității

§ 65. **Sisteme inerțiale și neinerțiale.** În toate capitolele precedente am considerat numai mișcările *relative*, în raport cu un *sistem de referință*, presupus imobil.

Rămîne să cercetăm dacă legile formulate cu această convenție mai rămîn valabile și în cazul cînd sistemul de referință ar avea, în realitate, o mișcare proprie, uniformă sau accelerată.

Să considerăm deci, pentru fixarea ideilor, un observator închis într-un vagon, care se mișcă uniform accelerat, față de un sistem de referință fix (fig. 101).

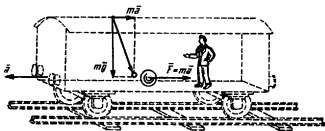


Fig. 101 Observator izolat, în sistem neinerțial.

Vagonul este astfel suspendat, încît nici o trepidație sau smucitură să nu apară în timpul mersului.

Dacă observatorul nu poate să vadă afară, și nu are nici vre-o legătură cu exteriorul, dar încearcă să studieze legile dinamicii, va fi obligat să aleagă ca sistem de referință pereții vagonului.

Să presupunem că el privește o bilă de masă  $m$ , care se găsește pe dușumea.

Dacă accelerația vagonului, față de sistemul fix, este  $a$ , bila va fi supusă forței de inerție

$$\vec{F} = m \cdot \vec{a}$$

și se va rostogoli din ce în ce mai repede, în sensul opus acestei accelerații.

În cazul cînd observatorul cunoaște dinainte legile dinamicii, va putea să calculeze accelerația sistemului, măsurînd cu dinamometrul forța  $\vec{F}$  și cu balanța masa  $m$ .

Dacă nu le cunoaște, *principiul inerției va fi pentru dînsul inexistent* și va trage numai concluzia că bila se mișcă de la sine, dezvoltînd o forță de proveniență necunoscută.

**Intr-un sistem de referință neinerțial, principiul inerției nu este valabil, pentru un observator izolat.**

Pentru acest observator, o serie de fenomene se vor petrece altfel decît în exterior.

De exemplu, căderea liberă a unei mase decurge, în aparență, tot după direcția verticală, dar această direcție, arătată de firul cu plumb, va fi în realitate deviată, prin acțiunea forței  $\bar{F}$ . Totodată, el va găsi, pentru accelerația căderii, o valoare care, în realitate, nu este decît rezultanta accelerațiilor  $\bar{a}$  și  $\bar{g}$ .

Asemenea sisteme de referință, care se mișcă accelerat și în care un observator izolat nu ar putea să descopere principiul inerției, se numesc *sisteme neinerțiale*.

Pentru acest observator, legile dinamicii apar modificate.

Să presupunem acum că vagonul s-a oprit, sau că se mișcă uniform față de sistemul fix.

Accelerația  $\bar{a}$  dispare atunci și, o dată cu ea, forța  $\bar{F}$ .

Totul se petrece atunci în vagon, ca și cînd ar fi perfect imobil față de sistemul fix și toate legile găsite în interior vor fi valabile în exterior.

Observatorul nostru va descoperi cu ușurință principiul inerției, ca și celelalte legi ale dinamicii.

**Legile dinamicii sînt valabile fără modificări, în oricare sistem inerțial.**

Mai mult încă: dacă alt observator, ce se găsește izolat în alt vagon, care se mișcă cu altă viteză constantă față de sistemul

fix, ar întreprinde cercetări analoge, ar găsi aceleași rezultate.

Asemenea sisteme de referință fixe, sau în mișcare uniformă, față de un sistem fix, le numim *sisteme inerțiale*. Legile dinamicii apar identice, în oricare din ele.

Există, evident, o infinitate de sisteme inerțiale posibile, după viteza cu care se mișcă, față de sistemul fix.



Nici o experiență mecanică nu poate arăta unui observator izolat mișcarea unui sistem inerțial, dacă se găsește în interiorul lui.

Galileu este primul care a înțeles această însușire a sistemelor inerțiale. El a enunțat un principiu general, ce apare acum ca evident și este cunoscut sub numele de *principiul mecanic al relativității*.

*Prin nici o experiență mecanică, efectuată în interiorul unui sistem inerțial închis, nu se poate decide dacă acel sistem este în repaus, ori în mișcare uniformă, față de un sistem fix.*

Einstein generalizează acest principiu, ajungind la concluzia că nu putem găsi nici un fenomen, electric, luminos, magnetic etc. care, petrecându-se într-un sistem inerțial, ne-ar permite să evidențiem mișcarea lui uniformă, față de un sistem fix.

Mai rămâne să căutăm răspunsul la două întrebări, ce decurg în mod logic, din cele arătate mai sus:

1. *Cu ce aproximație putem considera Pământul ca un sistem de referință inerțial?*

2. *Este posibil un sistem practic, în stare să satisfacă aceste definiții?*

Pământul are o mișcare diurnă de rotație, din care apare o accelerație centripetă și mai are o mișcare în spațiu, în special aceea de revoluție, unde de asemenea există o accelerație.

Aceste mișcări au însă viteze unghiulare destul de mici și, de aceea, în observațiile curente, putem neglija perturbațiile produse de accelerațiile respective.

În adevăr, viteza liniară a Pământului

la ecuator fiind	464 m/s
și raza lui fiind	$6 \cdot 10^6$ m
urmează că accelerația centripetă la ecuator atinge	
abia	0,35 cm/s <sup>2</sup> .

În asemenea condiții, nu vom introduce corecții, decât în măsurările care implică o precizie deosebită.

Pe scară mare, se observă însă, la fenomenele naturale, abateri vădite de la principiile dinamicii, datorite caracterului ne-inerțial al Pământului, luat ca sistem de referință.

Vom cita numai câteva exemple tipice:

1) Din cauza rotației diurne, vânturile nu circulă în linie dreaptă, ci descriu spirale, în jurul centrelor de presiune sau de presiune atmosferică. Același fenomen se observă și la curenții marini.

2) Apele curgătoare sînt deviate spre dreapta, în emisferul nordic și spre stînga, în emisferul sudic.

3) O piatră care cade într-o fîntînă adîncă este deviată de la traiectoria normală, paralelă firului cu plumb.

4) Apa ce curge dintr-o pîlnie, capătă uneori o mișcare de vîrtej, care în emisfera nordică urmează sensul invers acelor ceasornicului, dacă nu au intervenit alte perturbații, care să impună sensul contrar.

Ca să avem un sistem de referință inerțial, cît mai apropiat de condițiile impuse prin definiție, putem alege așa-numitul *sistem heliocentric*, în care originea coordonatelor este Soarele, iar axele sînt orientate către anumite stele, foarte îndepărlate, pe care le considerăm ca fixe fiindcă, aparent, își păstrează neschimbată poziția reciprocă, pe bolta cerească.

Intr-un astfel de sistem, legile dinamicii se aplică practic fără nici o restricție; totodată el ne permite să cunoaștem legile mișcării Pămîntului și să calculăm corecțiile ce trebuie introduse cînd îl luăm ca sistem de referință.

#### D. Forțe cu acțiune temporară

§ 66. **Impuls și cantitate de mișcare.** Se întîmplă adesea ca o forță constantă sau variabilă să acționeze un timp oarecare asupra unei mase, ca apoi să-și întrerupă acțiunea.

Masa capătă astfel o accelerație și viteza crește pînă la o valoare cu care continuă mișcarea mai departe, rectiliniu și uniform, după ce forța încetează să mai acționeze.

Pentru simplificare, vom considera cazul unei forțe constante  $\vec{F}$ , ce acționează asupra masei  $m$  și dispare după timpul  $t$  sau, dacă persistă, nu o urmărim mai departe.

Legile dinamicii ne spun că, atîta vreme cît o asemenea forță există, corpul se mișcă uniform accelerat și că

$$\vec{F} = m\vec{a}, \quad (61.1)$$

iar legile mișcării accelerate ne dau

$$\vec{a} = \frac{\vec{v}}{t}.$$

Prin urmare

$$\boxed{\vec{F}t = m\vec{v}} \quad (66.1)$$

și ne permite să calculăm viteza atinsă după timpul  $t$ .

*Newton* a numit produsul  $m\vec{v}$  *cantitate de mișcare*, iar produsul  $\vec{F}t$  reprezintă, prin definiție, *impulsul* forței  $\vec{F}$ , în timpul  $t$ .

**Impulsul  $\vec{F}t$  este egal cu cantitatea de mișcare  $m\vec{v}$ .**

**Prin impulsuri egale, mase egale capătă cantități de mișcare egale.**

Pentru altă masă  $m_1$ , asupra căreia acționează o forță de aceeași intensitate  $\vec{F}$ , vom avea, tot după timpul  $t$ ,

$$\vec{F}t = m_1\vec{v}_1 = m\vec{v}.$$

*In concluzie: impulsul este egal cu cantitatea de mișcare, iar la impulsuri egale, mase diferite capătă cantități de mișcare egale.*

Relația (66.1) de mai sus conține, în ambii membri, cîte o mărime vectorială, înmulțită cu un scalar. Cum un asemenea produs este tot o mărime vectorială, înseamnă că *atît impulsul cît și cantitatea de mișcare sînt mărimi*

**Impulsul și cantitatea de mișcare sînt mărimi vectoriale.**

*dirijate, care pot fi reprezentate prin vectori și supuse operațiilor cunoscute din calculul vectorial.*

Sensul și direcția lor sînt indicate de sensul și direcția forței sau vitezei.

1. *Unități și dimensiuni.* Din însuși felul în care au fost definite, se vede imediat că:

în sistemele CGS și MKS, impulsul și cantitatea de mișcare au dimensiunile

$$[Ft] = [mv] = \text{LMT}^{-1}$$

și se vor exprima:

în *dyne-secundă* sau *newtoni-secundă*, pentru impuls și  
 în *grame-centimetru pe secundă* sau *kilograme-metri pe secundă*, pentru cantitatea de mișcare;  
 în sistemul MKfS

$$[Ft] = [mv] = FT.$$

Impulsul se exprimă aici în *kilograme-forță-secundă*, iar cantitatea de mișcare în *unități de masă-metri pe secundă*, ținând seamă că, de astă dată, unitatea de masă reprezintă 9,81 kg.

2. *Conservarea cantității de mișcare.* Deoarece forțele nu pot să existe singure, ci presupun interacțiuni egale și de sens contrar, între cel puțin două mase distincte, înseamnă că, dacă una din mase primește impulsul  $\vec{F}t$ , cealaltă capătă, din partea primei, un impuls de sens contrar —  $\vec{F}t$ . Prin urmare, cantitățile de mișcare vor fi de asemenea egale și de sens contrar, așa că suma lor algebrică este nulă, ca și suma geometrică.

Intr-un sistem izolat  
 $\sum m\vec{v} = \text{const.}$

Vom scrie deci că

$$m_1 \vec{v}_1 + m_2 \vec{v}_2 = 0.$$

Iar, în general, într-un sistem de mai multe mase cu interacțiune reciprocă, dar fără legătură cu exteriorul, așadar într-un sistem izolat, suma geometrică a cantităților de mișcare va fi de asemenea nulă, așa că

$$\sum m\vec{v} = 0.$$

Dacă masele ar fi avut inițial o cantitate de mișcare  $\sum (m\vec{v})_0$ , primită de la un impuls exterior, acțiunea suprapusă a impulsurilor interne nu o poate modifica, fiindcă rezultanta lor e nulă.

Vom scrie deci că

$$\sum m\vec{v} - \sum (m\vec{v})_0 = \text{constantă.}$$

În concluzie: într-un sistem izolat, suma geometrică a cantităților de mișcare inițiale nu poate fi modificată de interacțiunile interne și se menține constantă.

Interacțiunile interne nu pot să modifice starea de mișcare a centrului de greutate, într-un sistem izolat.

Este ușor de înțeles de ce vectorul ce reprezintă rezultanta impulsurilor, are ca punct de aplicație centrul de greutate comun, al întregului sistem de mase, considerat ca un tot unitar.

Legea de mai sus poate fi deci completată astfel:

*Într-un sistem izolat, impulsurile datorite interacțiunilor interne nu pot să modifice starea de mișcare sau de repaus a centrului de greutate comun.*

Oricare dintre aceste două variante formulează un principiu fundamental, descoperit de *Newton* și cunoscut sub numele de *principiul conservării cantității de mișcare*.

Felul în care l-am dedus ne arată că el nu este decît o consecință a principiului acțiunii și reacțiunii.

Experiența îl confirmă în toate cazurile observate, din care vom cita numai cîteva exemple.

1) Un glonte de masă  $m$  care pleacă cu viteza  $V$ , dintr-o armă de masă  $M$ , îi dă un impuls de sens contrar, așa fel încît

$$mV = Mu$$

și arma ne izbește în umăr.

2) O gîză, ce merge pe un pai așezat pe apă dă paiului un impuls egal și de sens contrar, așa fel încît centrul de greutate comun rămîne pe loc sau își urmează mai departe o eventuală mișcare inițială.

Același lucru se întîmplă dacă mergem în lungul unei bărci, sau încercăm să sărim afară pe mal.

3) Dacă stăm pe un cîntar, cu un obiect în mînă și facem gestul de a-l arunca în sus, primim din partea obiectului un impuls care ne apasă mai tare pe platforma cîntarului. Impulsul se inversează, dacă aruncăm obiectul în jos.

4) Dacă un corp ceresc se rotește în jurul altuia, de exemplu Luna în jurul Pămîntului, centrul de greutate comun, care se găsește în  $G$ , pe dreapta care le unește, nu-și poate schimba poziția (fig. 102).

Drept consecință, ambele corpuri vor descrie o mișcare de rotație în jurul acestui punct din spațiu, așa că vor lăsa nemodificate mișcările lui proprii.

Cercetările astronomice au arătat exactitatea acestei deducții.

5) Dacă o granată aruncată, explodează pe traiectorie în mai multe bucăți, fiecare bucată primește cîte o cantitate de mișcare, așa fel încît suma geometrică să fie nulă.

Centrul de greutate comun urmează atunci mai departe mișcarea inițială pe curba balistică, pe care explozia o lasă nemodificată, indiferent de direcția în care sar bucățile.

Iată acum și altă serie de exemple, în legătură cu relația fundamentală

$$\overline{Ft} = m\overline{v}. \quad (66.1)$$

a) Cînd aruncăm un obiect, de exemplu o piatră, și vrem să ajungă cît mai departe, trebuie să-i facem *vînt*, adică să lăsăm forța mușchilor să acționeze timp cît mai îndelungat, pentru ca și viteza să poată fi cît mai mare.

Sportivii cunosc foarte bine, din practică, această legătură dintre viteză și timpul de acțiune.

b) O armă cu țeava mai lungă bate mai departe decît o carabină cu țeavă scurtă, fiindcă forța expansiunii gazelor acționează un timp mai îndelungat.

c) Un corp tare, care ne lovește, dezvoltă o forță

$$F = \frac{mv}{t},$$

în care  $t$  este timpul necesar să se oprească.

Lovitura va fi cu atît mai simțită, cu cît produsul  $mv$  va fi mai mare și timpul de frînare mai scurt. Așa se explică de ce ne doare mai tare, cînd ne lovește în cap.

d) Un pieton în mers formează, împreună cu pămîntul, un sistem izolat. Fiecare pas făcut imprimă pămîntului cîte un impuls înspre spate, la care pămîntul răspunde cu alt impuls, egal și de sens contrar, care permite înaintarea.

Dacă suprafața pe care merge este lunecoasă, legătura pieton-pămînt este mai șubredă și impulsurile vor scădea în consecință.

Pe o suprafață perfect lucie, mersul este imposibil, fiindcă legătura dispare și pietonul devine el însuși un sistem izolat, în care suma impulsurilor nu poate fi decît nulă. Dacă el nu găsește alte puncte de susținere, legate de o masă mai mare, cu care să formeze un sistem, nu se poate mișca din loc, iar dacă primește un impuls din afară nu se mai poate opri.

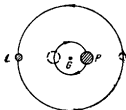


Fig. 102. Conservarea poziției centrului de greutate al sistemului Lună-Pămînt.

## E. Corpuri în rotație

§ 67. **Momentul de inerție.** Să considerăm un punct material de masă  $m$ , legat rigid la o axă de rotație  $xy$  (fig. 103) și să presupunem că o forță tangențială îi dă un impuls  $Ft$ , în stare să-l comunice o mișcare de rotație cu viteza liniară  $v$ .

Avem atunci

$$Ft = mv. \quad (66.1)$$

Dar forța, în cazul rotației, acționează prin *momentul* ei și, ca să-l introducem, vom înmulți în ambii membri cu  $r$ .

Rezultă astfel

$$Frt = mrv$$

și dacă ținem seamă că  $v = \omega r$ , ajungem la relația finală

$$Frt = mr^2\omega, \quad (67.1)$$

Fig. 103. Pentru explicarea impulsului de rotație.

în care membrul întâi reprezintă, prin definiție, *impulsul de rotație* al forței cu momentul  $Fr$ .

Comparînd-o cu relația (66.1), constatăm că, dacă trecem de la mișcarea de translație, la mișcarea de rotație,

în locul forței  $F$ , apare momentul de rotație  $Fr$ ;

în locul impulsului  $Ft$ , intră impulsul de rotație  $Frt$ ;

în locul vitezei liniare  $v$ , apare viteza unghiulară  $\omega$  și

în locul masei  $m$ , intervine cantitatea  $mr^2$ .

Prin definiție, *această cantitate, reprezentată prin produsul dintre masă și pătratul razei de girație, se numește moment de inerție al masei punctiforme considerate, față cu axa de rotație aleasă.*

**Momentul de inerție** îndeplinește în rotație rolul masei, din mișcarea de translație și are valoarea  $i = mr^2$ .

Aceeași comparație ne mai arată imediat că *momentul de inerție îndeplinește, în mișcarea de rotație, același rol ca și masa, în mișcarea de translație.*

Dacă-l notăm cu  $i$ , relația (67.1) se mai poate scrie sub formă

$$Frt = i\omega$$

$$(67.2)$$

și exprimă astfel egalitatea dintre impulsul de rotație și cantitatea respectivă de mișcare, în jurul axei considerate.

Pe de altă parte, relația cunoscută

$$F = ma \quad (61.1)$$

se va scrie, în cazul rotației, sub forma

$$Fr = i \frac{\Delta \omega}{\Delta t} = i \epsilon^1). \quad (67.3)$$

Inseamnă că masele în rotație rezistă cu atât mai bine la schimbările vitezei unghiulare, cu cât sînt mai depărtate de axă, fiindcă momentul de inerție depinde de pătratul razei.

**1. Momentul de inerție al unui corp oarecare.** Să considerăm un corp, de o formă oarecare și să presupunem că o forță  $F$  îi comunică impulsul de rotație  $Frt$ , în jurul axei  $O$ , perpendiculară pe planul fig. 104.

Acest corp este format dintr-o infinitate de mase punctiforme elementare, a căror sumă reprezintă, evident, masa totală  $M$ .

Din cauza distanțelor diferite față de axă, momentele de inerție ale acestor mase vor fi de asemenea diferite, ca și cantitățile respective de mișcare, pe care va trebui să le însumăm, ca să găsim cantitatea de mișcare totală.

Știind că viteza unghiulară este aceeași pentru toate, vom avea deci

$$Frt = \omega (m_1 r_1^2 + m_2 r_2^2 + m_3 r_3^2 + \dots),$$

care se mai poate scrie sub forma

$$Frt = \omega \sum mr^2,$$

unde  $\sum mr^2$  se notează cu  $I$  și reprezintă suma infinității de momente de inerție ale maselor elementare, ce constituie masa totală a corpului, adică *momentul de inerție total*, față de axa de rotație aleasă.

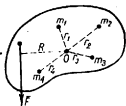


Fig. 104. Pentru deducerea momentului de inerție al unui corp.

<sup>1)</sup> Se știe că, la limită, raportul  $\Delta \omega / \Delta t$  reprezintă accelerația unghiulară.



**Momentul de inerție total este**

$$J = \sum mr^2,$$

**cu care**

$$FRt = J\omega$$

**și**

$$FR = J\varepsilon.$$

**El depinde de forma corpului și de poziția axei de rotație.**

In aceste condiții, relațiile (67.2) și (67.3) de mai sus devin

$$FRt = J\omega \quad (67.2 a)$$

și

$$FR = J\varepsilon. \quad (67.3 a)$$

Momentul de inerție  $J$  depinde de forma corpului, de neomogenitățile interioare și de felul în care alegem axa de rotație. El este, de asemenea, o funcție de masa corpului.

Valoarea lui nu poate fi calculată decât la corpurile omogene, cu formă geometrică regulată și atunci numai în unele cazuri particulare, ca de exemplu:

1) la un cilindru gol, fără capace, cu peretele destul de subțire, ce se rotește în jurul axei de simetrie, masele elementare sînt repartizate la distanțe practic egale, față de această axă, ceea ce implică și egalitatea momentelor de inerție.

În cazul acesta, se vede imediat că, dacă masa totală este  $M$  și raza  $R$ , avem

$$J = \sum mr^2 = MR^2,$$

iar valoarea găsită va fi cu atît mai exactă, cu cit pereții vor fi mai subțiri;

2) pe cale ceva mai complicată, se poate calcula că, pentru un cilindru masiv,

$$J = \frac{1}{2} MR^2,$$

de asemenea față de axa de simetrie;

3) analog, la o sferă masivă, momentul de inerție, față de o axă ce trece prin centru, este

$$J = \frac{2}{5} MR^2;$$

4) la o bară, de lungime  $l$ , cînd axa o taie perpendicular pe mijloc

$$J = \frac{1}{12} Ml^2.$$

Pentru corpurile de formă neregulată și, în general, pentru toate cazurile în care nu putem calcula momentul de inerție, aplicăm o metodă experimentală, pe care o vom descrie mai tîrziu.

2. *Unități și dimensiuni.* Relațiile de definiție

$$I = mr^2 \quad \text{sau} \quad J = \sum mr^2$$

ne arată că, în sistemele CGS și MKS,

$$[J] = L^2 M.$$

Il vom exprima deci în  $g \cdot \text{cm}^2$  sau în  $\text{kg} \cdot \text{m}^2$ , iar în sistemul MKfS,

$$[J] = \text{LFT}^2$$

și se exprimă în  $\text{kgf} \cdot \text{m} \cdot \text{s}^2$ .

În ce privește celelalte mărimi, care intervin în impulsul de rotație, se vede imediat că:

*momentul de rotație*, în sistemele CGS și MKS, are dimensiunile

$$[Fr] = L^2 MT^{-2}$$

și se exprimă în *dyne-centimetri* sau în *newtoni-metri*, iar în sistemul MKfS, după cum am arătat în § 32, unitatea va fi *kilogram-metrul* cu dimensiunile

$$[Fr] = \text{LF};$$

*impulsul de rotație* are, deci, în sistemele CGS și MKS, dimensiunile

$$[Frt] = L^2 MT^{-1}$$

și se va exprima în *dyne-centimetri-secunde* sau în *newtoni-metri-secunde*, iar în sistemul MKfS,

$$[Frt] = \text{LFT};$$

iar unitatea se va numi *kilogram-metru-secundă*;

*cantitatea de mișcare* se exprimă, de obicei, în aceleași unități ca și impulsul de rotație respectiv.

Cît despre *viteza unghiulară*,

$$[\omega] = \left[ \frac{2\pi}{T} \right] = T^{-1};$$

am arătat în § 51 că ea se exprimă în *radiani pe secundă* (rad/s).

Observație. În expresia

$$Frt = J\omega, \quad (67.2)$$

~~α și înmulțim ambii membri cu sin α, putem scrie~~

$$Frt = mvr,$$

se întrebuințează adesea, în locul denumirilor de *impuls de rotație* și *cantitate de mișcare*, acelea de

*moment unghiular*

sau de

*moment al impulsului*, pentru  $Frt$ ,

precum și aceea de

*moment al cantității de mișcare*, pentru termenul  $J\omega = mvr$ , fiindcă, de fapt, ele provin din înmulțirea impulsului liniar și al cantității de mișcare liniară, cu distanța  $r$ , pînă la axa de rotație.

3. *Impulsul de rotație ca vector*. Am atras la timp atenția că, în mișcarea de translație, atât impulsul cit și cantitatea de mișcare sînt mărimi vectoriale.

Rămîne să cercetăm, din acest punct de vedere, și mișcarea de rotație.

Relația de definiție

$$Frt = J\omega \quad (67.2)$$

conține, în membrul înții, momentul de rotație  $FR$  al forței, înmulțit cu scalarul  $t$ .

Dacă unghiul dintre vectorul  $\vec{F}$  și vectorul de poziție  $\vec{R}$  este  $\alpha$  și înmulțim ambii membri cu  $\sin \alpha$ , putem scrie

$$Frt \sin \alpha = J\omega \sin \alpha,$$

unde cantitatea  $FR \sin \alpha$  ne apare astfel ca modulul *produsului vectorial* dintre vectorul-forță și vectorul de poziție (fig. 105).

Cînd acești vectori sînt perpendiculari unul pe altul,  $\sin \alpha = 1$ , de unde rezultă că, numeric,

$$FR = |\vec{F} \times \vec{R}|,$$

așa că, de astă dată, produsul vectorial are aceeași valoare ca și produsul numeric.

Se știe însă că orice produs vectorial este tot un vector, perpendicular pe planul vectorilor-factori.

Sensul rotației fiind impus, în cazul de față, de sensul forței, regula șurubului ne duce la concluzia că vectorul ce reprezintă *momentul*  $FR$  se va orienta după cum arată figura.

Din motive de simetrie, îi vom alege punctul de aplicație în  $O$  și-l vom pune să acționeze în lungul axei.

Dacă acest vector îl înmulțim cu scalarul  $t$ , obținem vectorul de intensitate  $Frt$ , ce reprezintă *impulsul de rotație*.

Să trecem acum la *cantitatea de mișcare*: relația de egalitate

$$Frt = J\omega,$$

în care membrul întâi reprezintă o mărime vectorială, impune ca și membrul al doilea să fie tot o mărime vectorială. Dar fiind că momentul de inerție, care joacă rolul masei, este un scalar, înseamnă că acest caracter vectorial apare din cauza vitezei unghiulare, care trebuie considerată ca o mărime dirijată.

Ea este orientată de asemenea în lungul axei și, dacă o înmulțim cu scalarul  $J$ , trebuie să obținem un vector de aceeași lungime ca și impulsul de rotație.

**Momentul de rotație, impulsul de rotație, viteza unghiulară și cantitatea de mișcare de rotație se reprezintă prin vectori orientați în lungul axei.**

Toate aceste reprezentări vectoriale, aplicate mișcării de rotație, ne vor ajuta să înțelegem și să interpretăm o serie de fenomene mecanice, din care unele vor fi descrise în capitolul următor.

Ele ne vor ajuta, de asemenea, în studiul anumitor fenomene magnetice și al unor procese care se petrec în interiorul atomului.

**4. Consecințe și aplicații.** 1) Pe o platformă rotativă (*scaunul lui Iukovski*), la care frecările sînt destul de mici, așezăm o persoană și-i cerem să-și imprime singură o mișcare de rotație (fig. 106).

Încercările dau greș, fiindcă la orice mișcare, scaunul răspunde cu alta de sens contrar, pe baza legii conservării impulsului.

2) Dăm persoanei să țină în fiecare mână câte o masă de câteva kilograme și-i comunicăm, din afară, un impuls de rotație (fig. 107). Dacă ea apropie masele de corp, momentul de inerție scade și relația de conservare a cantității de mișcare

$$J\omega = \text{const},$$

impune o creștere a vitezei unghiulare, iar dacă, din contra, îndepărtează

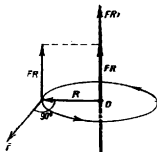


Fig. 105. Vectorul impulsului de rotație.

masele de corp, viteza unghiulară scade, fiindcă după încetarea impulsului exterior, persoana și platforma formează împreună un sistem izolat.

Această experiență ne va face să înțelegem ușor o serie de fapte, pe care le cunosc toți sportivii, de pildă:



Fig. 106. Scaunul lui Jukovski.



Fig. 107. Conservarea impulsului de rotație.



Fig. 108. Executarea piruetei.

3) Un patinator stă aplecat, cu corpul orizontal și brațele întinse (fig. 108). Cu unul din picioare el își imprimă, în această poziție, o mișcare de rotație cât mai rapidă în jurul virfului patinei de la celălalt picior, apoi se ridică drept, răsucește picioarele unul pe altul și lipește mâinile de corp, sau le ridică vertical. Momentul de inerție scade și viteza de rotație crește de la sine.

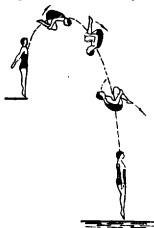


Fig. 109. Saltul în apă de la înălțime.

4) Un înotător sare în apă de pe o platformă înaltă și, în momentul când sare, își imprimă o mișcare de rotație într-un plan vertical (fig. 109).

Dacă în timpul căderii el îndoaie genunchii, așa ca raza de rotație să devină cât mai mică, momentul de inerție scade și viteza de rotație crește, iar dacă e destul de abil, poate astfel să-și modifice după voie această viteză, ca să intre în apă cu capul sau cu picioarele.

Dacă nu cunoaște metoda, cade pe burtă sau pe spate, și figura devine cu totul năplăcută.

Pisica izbuteste totdeauna să cadă în picioare, chiar dacă nu are inițial un impuls de rotație, fiindcă răsucește coada într-un sens și obligă astfel corpul să se rotească în sens contrar.

5) Reluăm experiențele cu platforma rotativă și dăm persoanei să țină în mână o roată de bicicletă, prevăzută cu minere în lungul axei așa cum arată fig. 110.

Dacă roata stă orizontal și persoana îi dă o mișcare de rotație, platforma cu totul capătă altă mișcare de rotație, în sens contrar, impusă de conservarea impulsului, în sistemul izolat.

6) Dăm roții o mișcare de rotație și, așa rotindu-se, o trecem persoanei de pe platformă. Sistemul izolat a primit astfel, din afară, un impuls inițial  $\vec{P}_0$ , orientat în lungul axei roții, pe care trebuie să-l conserve.

Să presupunem că această axă are, la început, poziția verticală.



Fig. 110.  
Conservarea  
impulsului de  
rotație.

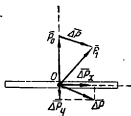


Fig. 111. Variațiile im-  
pulsurilor de rotație în  
sisteme izolate.

Dacă cerem persoanei să o încline (fig. 110), constatăm că întregul sistem primește de asemenea o mișcare de rotație, care încetează când roata revine la orientarea inițială.

Interpretarea fenomenului este următoarea:

Când vectorul impuls  $\vec{P}_0$  trece din poziția inițială în poziția  $\vec{P}_1$ , ca să acționeze mai departe tot în lungul axei apare o diferență vectorială  $\Delta \vec{P}$  ce reprezintă de asemenea un impuls, care intervine în interiorul sistemului izolat și se datorește acțiunii persoanei de pe platformă.

Dacă-i fixăm punctul de aplicație în  $O$ , el dă naștere la o componentă  $\Delta \vec{P}_y$ , orientată în lungul axei platformei, și la componenta  $\Delta \vec{P}_x$  orientată în planul ei (fig. 111).

Urmarea este că prima componentă rotește platforma cu totul, așa cum ne arată și experiența, iar cealaltă tinde să răstoarne persoana, rotind-o în planul vertical.

Experiența trebuie făcută cu atenție, fiindcă această răsturnare neașteptată poate să producă accidente.

7) Să presupunem că un disc masiv se rotește în jurul unei axe, înclinate pe planul lui (fig. 112).

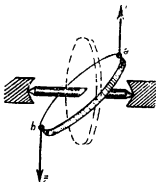


Fig. 112. Redresarea unui disc înclinat pe axă.

În regiunile *a* și *b* forțele centrifuge egale creează atunci un cuplu, ce tinde să aducă discul în poziția perpendiculară pe axă.

Dacă legătura cu axa este rigidă, discul nu se poate îndrepta și axa *bate*. Dacă, din contra, legătura e destul de liberă, cuplul izbutește să-l îndrepte. Regiunile *a* și *b* se îndepărtează atunci de axă și momentul de inerție al sistemului crește.

Următoarea experiență foarte simplă demonstrează un fapt analog: un inel de sîrmă este legat cu un fir de ață, pe care-l răsucim între degete<sup>1)</sup>.

Constatăm atunci că, în timpul rotației pe care o capătă, inelul își schimbă poziția din verticală, în orizontală (fig. 113).

Așadar, ca și în cazul precedent, masele distribuite pe inel caută să ia poziția cea mai depărtată de axă, ca să capete momentul de inerție maxim.



Fig. 113. Axa liberă stabilă de rotație a unui inel.

**Corpurile în rotație tind să ia orientarea cu moment de inerție maxim.**

Deoarece momentul de inerție îndeplinește în rotație rolul masei, deducem că, o dată cu creșterea lui, *corpurile tind să opună rezistența maximă, la orice variație a vitezei unghiulare.*

Acesta nu este decît principiul inerției, aplicat la mișcarea de rotație.

<sup>1)</sup> Se poate întrebuița, la nevoie, o verighetă sau un inel de chei.

5. *Giroscopul*. Tipul cel mai comun de giroscop este *sfirleaza* cu care se joacă copiii. Il putem construi dintr-un disc de metal, cu momentul de inerție cât mai mare, prin care trece o axă perpendiculară, și-l punem în rotație prin metoda prea bine cunoscută: cu *sfoara* (fig. 114).

Oricine știe că un asemenea disc își menține *invariabilă* orientarea axei, dacă este *verticală* și capătă o mișcare de *precesie*, adică de rotație lentă, descriind o suprafață conică, cu vârful în jos, dacă e *încălțată*.



Fig. 114. Sfirleaza.

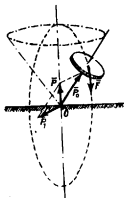


Fig. 115. Precesia unui giroscop încalțat.

Interpretarea unei asemenea abateri aparente de la legile gravitației nu este însă posibilă, decât cu ajutorul legilor impulsului de rotație.

Încercînd să le aplicăm, vom presupune întîi că *axa de rotație stă înclinată* și se sprijină cu vârful într-o adîncitură, care împiedică lunecările laterale (fig. 115).

Sistemul se află atunci sub acțiunea a două impulsuri de rotație suprapuse:

- unul din ele este impulsul inițial  $\bar{P}_0$ , orientat în lungul axei discului;
- celălalt este  $\bar{P}_1$  și provine din faptul că greutatea proprie  $\bar{F}$ , încearcă să-l răstoarne, rotindu-l într-un plan vertical.

Rezultanta lor este vectorul  $\bar{P}$ , care-și schimbă mereu orientarea și obligă axa giroscopului să descrie o mișcare de precesie, după o pinză de con cu vârful în jos.

Cînd axa este verticală, momentul de răsturnare al forței  $F$  este practic nul, precesia nu mai apare atunci și axa se menține verticală, cită vreme frecările nu au ajuns încă să frineze rotația.

O ușoară atingere a axei, cu tendința de a o înclina, face să apară precesia, dar simțim atunci cum sistemul dezvoltă o forță de reacțiune, ce



se opune înclinării, fiindcă aceasta implică o variație a impulsului de rotație.

Cînd capătul de jos poate să lunece liber, pe o suprafață lucie, sistemul fuge lateral și axa rămîne mai departe verticală.

Dacă repetăm experiențele cu un giroscop, construit așa fel încît vârful axei să se găsească în centrul de greutate, acțiunea de răsturnare a forței  $\vec{F}$  dispăre și sistemul stă în echilibru indiferent, sub orice orientare (fig. 116).

Dacă-l facem să se rotească, nici o acțiune din afară nu mai intervine ca să modifice impulsul și axa își păstrează neconținut orientarea inițială, fără să mai sufere o mișcare de precesie, chiar dacă răsucim suportul ei.

Această însușire a giroscopului, de a tinde să se opună schimbărilor de orientare a axului și de a o păstra cînd nu intervine un impuls din afară, are numeroase aplicații practice, din care vom cita numai cîteva exemple.

1) Toți bicicliștii observă din capul locului că nu pot să-și mențină echilibrul, cînd stau pe loc. Cel ce vrea să știe de ce este cu totul altfel în mers, n-are decît să întoarcă bicicleta pe spate și să dea roțile din față o rotație suficient de rapidă.

Încercînd să întoarcă ghidonul, va simți atunci cum roata, care joacă rolul de giroscop, se opune devierii, cu atît mai tare, cu cît se învîrte mai repede.

2) Unii acrobați izbutesc să învîrtă o farfurie, așezată orizontal într-un vîrf de băț, fără ca ea să cadă.

O menține în această poziție tot efectul stabilizator al rotației.

3) Torpilele marine au în interior un giroscop care le permite să reziste acțiunii de deviere a valurilor.

4) Avioanele moderne de transport se conduc automat, fără o intervenție continuă a pilotului. Un mic giroscop, rotit cu viteză mare de un motor electric, are pe axă o serie de contacte electrice, care comandă servomotoarele cîrmelor de direcție și înălțime. Giroscopul păstrîndu-și orientarea inițială, orice deviere de pe direcția fixată este imediat compensată. În lipsa comandai automate, tot axa unui giroscop arată pilotului devierile de la direcția de urmat și-i permite să piloteze fără vizibilitate.

5) În locul busolei magnetice, supusă la numeroase perturbații, mai ales navigația submarină folosește o busolă specială, în care un giroscop, rotit de un motor electric, plutește pe o cuvă de mercur și își menține orientarea, oricare ar fi direcția urmată de navă.

6) Tot pe acțiunea stabilizatoare a giroscopului s-a încercat să se introducă în practică vehicule care să meargă pe o singură șină.

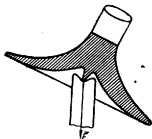


Fig. 116. Punctul de sprijin al giroscopului coincide cu centrul de greutate.

7) La scară astronomică, efectul giroscopic menține constantă orientarea axei Pământului pe ecliptică, la înclinarea de  $23^{\circ}27'$ .

8) În sfârșit, la proiectile, mișcarea de rotație imprimată la trecerea prin ghinturile țevii, asigură stabilitatea pe traiectorie și mersul cu virful înainte. Ea întârzie totodată încovolarea traiectoriei spre pământ și mărește bătaia gurilor de foc.

## F. Mase sub acțiunea forțelor elastice

§ 68. **Forțe elastice.** Dacă, sub acțiunea unor forțe din afară, un corp oarecare *dezvoltă reacțiuni direct proporționale cu deformațiile suferite*, vom spune, prin definiție, că aceste reacțiuni sînt *forțe elastice*.

Forțele elastice sînt direct proporționale cu deformațiile, iar factorul de proporționalitate este constanta elastică.

Între forța deformantă  $F$  și forța elastică vom avea deci relația, impusă de principiul acțiunii și reacțiunii:

$$\boxed{F = -Kx} \quad (68.1)$$

în care  $x$  reprezintă variația de lungime sub acțiunea forței deformante  $F$ , iar  $K$  este factorul de proporționalitate, pe care-l numim *constantă elastică*. Valoarea lui este caracteristică fiecărui corp în parte.

Semnul — este convențional și arată că este vorba de o reacțiune.

În mod tacit, am folosit în § 9 proporționalitatea dintre forțe și deformații, ca să etalonăm dinamometrele.

**Unități și dimensiuni.** Relația de mai sus ne arată că dimensiunile constantei elastice sînt:

În sistemele CGS și MKS,

$$[K] = \left[ \frac{F}{x} \right] = \text{MT}^{-2},$$

iar unitatea de măsură se va numi *dynă pe centimetru* (dyn/cm) sau *newton pe metru* (N/m).

În sistemul MKfS,

$$[K] = \text{L}^{-1}\text{F},$$

iar unitatea va fi *kilogram-forță pe metru* (kgf/m).

Prin urmare, *constanta elastică nu este un simplu număr abstract, ci o mărime fizică.*

### § 69. Acțiunea dinamică a forțelor elastice. Un raționament

Forța elastică imprimă unei mase libere o mișcare oscilatorie sinusoidală.

foarte simplu ne arată că, *dacă o masă liberă execută o mișcare oscilatorie sinusoidală, această mișcare se datorește acțiunii unei forțe elastice.*

În adevăr, cunoscuta relație fundamentală a acțiunilor dinamice

$$\text{Forța} = \text{masa} \cdot \text{acclerația}, \quad (61.1)$$

în care introducem accelerația unei mișcări oscilatorii

$$a_n = -a\omega^2 \sin \omega t \quad (51.4)$$

ne dă, pentru o masă oarecare  $m$ ,

$$F = -m a \omega^2 \sin \omega t.$$

Se știe însă că elongația mișcării oscilatorii, pe care de astă dată o vom nota cu  $x$ , este

$$x = a \sin \omega t. \quad (51.1)$$

Rezultă deci că

$$\boxed{F = -m\omega^2 x} \quad (69.2)$$

În mișcarea oscilatorie a unei mase, constanta elastică are valoarea  $K = m\omega^2$ , iar perioada oscilației este

$$T = 2\pi \sqrt{\frac{m}{K}}.$$

Astfel, ajungem imediat la relația de definiție a forței elastice

$$F = -Kx, \quad (68.1)$$

fiindcă

$$m\omega^2 = \text{const} = K. \quad (69.3)$$

Mișcarea sinusoidală implică deci, în adevăr, intervenția unei forțe elastice și raționamentul ne mai arată că, în cazul acesta, *constanta elastică poate fi exprimată prin produsul dintre masă și pătratul pulsației.*

Dacă ținem acum seama că  $\omega = \frac{2\pi}{T}$ , deducem că perioada mișcării oscilatorii este

$$T = 2\pi \sqrt{\frac{m}{K}}, \quad (69.4)$$

adică *direct proporțională cu rădăcina pătrată a masei și invers proporțională cu rădăcina pătrată a constantei elastice.*

1. *Pendulul elastic.* Verificarea experimentală a concluziilor de mai sus o putem face cu un resort, la capătul cărui legăm un corp de masă  $m$ , așa cum arată fig. 117.

Dacă întindem resortul, apare o forță elastică, sub acțiunea căreia corpul execută o serie de oscilații, pe direcția verticalei.

Acesta este *pendulul elastic*.

Incepem prin a încărca resortul cu o greutate  $mg$  cunoscută și așteptăm să ia poziția de repaus. Lungimea lui crește cu  $x$  centimetri și relația de definiție

$$K = \frac{F}{x} = \frac{mg}{x} \quad (68.1)$$

ne dă valoarea numerică a constantei elastice.

Măsurăm apoi cu cronometrul perioada de oscilație  $T$  și constatăm că, în limita erorilor experimentale, datele numerice obținute verifică relația

$$T = 2\pi \sqrt{\frac{m}{K}}, \quad (69.4)$$

cu condiția ca masa  $m$  să nu fie prea mare și *amplitudinea oscilațiilor să fie destul de mică*, pentru a nu se depăși limita de elasticitate.

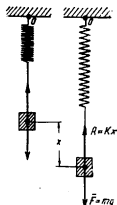


Fig. 117. Pendulul elastic.

La amplitudini mici, oscilațiile pendulului elastic sînt izocrone.

*amplitudine și vom spune că oscilațiile sînt izocrone.*

Vom vedea mai departe că această lege a izocronismului se aplică și altor tipuri de pendul <sup>1)</sup>.

**2. Pendulul de torsiune.** Experiența ne arată că, dacă răsucim un fir de diametru  $2r$ , fixîndu-i un capăt și aplicînd

Tot experimental mai putem constata că, dacă respectăm aceste condiții, *perioada nu depinde de*

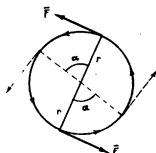


Fig. 118. Cuplul și unghiul de torsiune.



Fig. 119. Pendulul de torsiune.

la celălalt capăt un cuplu de forțe, cu momentul  $2Fr$ , firul dezvoltă alt cuplu de opunere, proporțional cu unghiul de torsiune  $\alpha$  (fig. 118).

Avem atunci, pe baza experienței,

$$2Fr = - D\alpha$$

(69.5)

unde  $D$  este factorul de proporționalitate între momentul cuplului de torsiune și unghiul  $\alpha$ , măsurat în radiani.

<sup>1)</sup> Cuvîntul *izocron* derivă din limba greacă și înseamnă *în timpuri egale*.

La deformațiile prin torsiune, forțele elastice se manifestă prin momentul cuplului, direct proporțional cu unghiul.

El reprezintă, prin definiție, *modulul de torsiune* al firului.

Reacțiunile sînt, prin urmare, proporționale cu deformațiile, ca și în cazul alungirilor. Ele implică

*aparitia unor forțe elastice, care se manifestă prin momentele lor.*

Cu aceste noțiuni preliminare foarte simple, vom încerca să tratăm cazul în care un corp, legat de un fir vertical, execută, sub acțiunea unui cuplu de torsiune, oscilații de rotație în planul orizontal (fig. 119).

Dacă ținem seama că, în cazul rotației, masa trebuie înlocuită prin momentul de inerție  $J$  și că, de astă dată, în locul constantei elastice trebuie să introducem modulul de torsiune  $D$ , relația cunoscută

$$T = 2\pi \sqrt{\frac{m}{K}} \quad (69.4)$$

devine

$$T = 2\pi \sqrt{\frac{J}{D}} \quad (69.6)$$

și ne permite să calculăm perioada *pendulului de torsiune*.

Perioada pendulului de torsiune este dată de relația

$$T = 2\pi \sqrt{\frac{J}{D}}$$

Experiența ne arată că și *aceste oscilații sînt izocrone, dacă au amplitudinea destul de mică.*

Pendulul de torsiune are diferite aplicații practice, din care vom cita numai două:

1) *Regulatorul ceasului de buzunar*, care este un mic volant  $O$ , numit *balanțier*, ce oscilează izocron, sub acțiunea unui resort în spirală, numit *păr*, fiindcă la primele ceasuri era făcut din păr de porc (fig. 120).

De fapt, acest resort nu suferă o deformare de torsiune, ci numai una de strîngere sau desfacere a spiralei, dar el răspunde, ca și firul torsat, cu o forță elastică, al cărei moment rotește volantul.

Balanțierul, așezat pe o axă perpendiculară pe planul figurii, mișcă o *ancoră*  $A$  și permite roții dințate  $R$  să înainteze cu cîte un dinte, la fiecare bătaie.

El primește astfel mici impulsuri, provenite de la o *coardă*, care-l întreține oscilația. Altfel s-ar opri din cauza frecărilor.

Șuruburile notate în figură cu  $S$  au rolul să limiteze mișcările ancorei.

Perioada de oscilație o putem regla, căutînd lungimea cea mai potrivită a părului. Cu cît acesta este mai scurt, cu atît bătăile se vor succede mai repede.

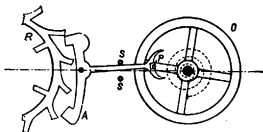


Fig. 120. Regulatorul ceasului de buzunar.

2) *Determinarea momentului de inerție* se poate face la corpurile de orice formă, prin metoda experimentală a oscilațiilor de torsiune, în felul următor:

Legăm întii cu un fir de lungime și grosime convenabile, un corp de formă regulată al cărui moment de inerție  $J_1$  poate fi calculat, îl punem să oscileze și măsurăm cu cronometrul perioada  $T_1$ .

Avem atunci

$$T_1 = 2\pi \sqrt{\frac{J_1}{D}}$$

Repetăm experiența cu același fir, dar pentru corpul cu moment de inerție necunoscut  $J_2$  și găsim de astă dată

$$T_2 = 2\pi \sqrt{\frac{J_2}{D}}$$

Aceste relații, împărțite membru cu membru, ne dau

$$\frac{T_1}{T_2} = \sqrt{\frac{J_1}{J_2}}$$

unde toate cantitățile sînt cunoscute, afară de  $J_2$ .

### 3. *Pendulul matematic și pendulul fizic.*

Cînd un corp se poate roti în jurul unei axe care nu trece prin centrul de greutate, singura lui poziție de echilibru stabil este aceea în care verticala centrului de greutate întilnește axa.

Orice corp care oscilează pe o axă orizontală este un pendul fizic. La pendulul matematic, un punct material oscilează la capătul unui fir inextensibil și fără greutate.

Dacă-l îndepărtăm din această poziție, corpul execută o serie de oscilații în planul vertical, până ce frecările îl readuc în poziția de repaus, prin scăderea treptată a amplitudinii.

Orice corp suspendat în felul acesta constituie un *pendul fizic*.

În cele ce urmează ne vom ocupa însă mai întâi de un caz ideal, în care un punct material oscilează la capătul unui fir inextensibil și fără greutate (fig. 121).

Acesta este *pendulul simplu* sau *pendulul matematic*.

Să considerăm un asemenea pendul de lungime  $l$ , deviat de un unghi  $\alpha$  față de poziția de repaus.

Greutatea  $m\vec{g}$  a punctului material oscilant, care acționează după verticală, se poate descompune în două componente:

a) una este  $\vec{F}_n$  și se orientează în lungul firului, așa că este anulată de reacțiunea lui;

b) cealaltă,  $\vec{F}_t$ , este tangentă la traiectoria urmată și tinde să readucă sistemul în poziția de repaus.

La amplitudini de oscilație destul de mici, putem confunda arcul cu coarda și admite că elongația momentană a punctului material este  $x$  și că forța  $\vec{F}_t$  acționează tot pe această direcție.

Totodată, faptul că sistemul oscilează ne îndreptățește să o considerăm ca o *forță elastică*.

În aceste condiții și cu această aproximație vom avea, în valoarea absolută,

$$F_t = mg \sin \alpha = Kx. \quad (68.1)$$

Dar, în triunghiul dreptunghi ce se formează,

$$x = l \sin \alpha.$$

Prin urmare,

$$mg = Kl \quad \text{și} \quad K = \frac{mg}{l}.$$

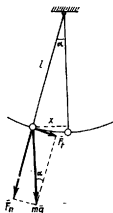


Fig. 121. - Deducerea perioadei pendulului simplu.



## Relația cunoscută

$$T = 2\pi \sqrt{\frac{m}{K}} \quad (69.4)$$

devine atunci

$$T = 2\pi \sqrt{\frac{l}{g}} \quad (69.7)$$

și ne permite să calculăm perioada pendulului matematic.

Perioada  
simplu este

$$T = 2\pi \sqrt{\frac{l}{g}}$$

și nu depinde de masa  
punctului oscilant.

*Ea ne spune că această perioadă este direct proporțională cu rădăcina pătrată a lungimii, invers proporțională cu rădăcina pătrată a accelerației gravitației în locul experienței și nu depinde de masa punctului oscilant.*

Comparind-o cu relațiile corespunzătoare (69.4) și (69.6), constatăm că, spre deosebire de pendulul matematic, perioada pendulului elastic și de torsiune depinde de masă sau de momentul de inerție, dar nu depinde de accelerația gravitației, așa că se menține constantă, indiferent de poziția geografică a locului.

Realizarea practică a pendulului matematic, în sensul strict al definiției, nu este posibilă.

Ne putem apropia însă foarte mult de condițiile ideale, dacă legăm o sferă masivă destul de grea, cu un fir de oțel destul de lung.

Greutatea sferei ne permite atunci să neglijăm greutatea firului, iar poziția centrului acestei sfere fixează punctul de aplicație al forțelor gravitației. Raza ei va trebui, deci, adăugată la lungimea firului.

La amplitudini mici, oscilațiile unui pendul matematic sînt izocrone.

Putem astfel verifica, în limita erorilor experimentale, relația (69.7) și constata totodată că oscilațiile de amplitudine mică sînt și de astă dată izocrone, ca la toate tipurile de pendule.

Dacă amplitudinea este mai mare, aproximația pe care am făcut-o cînd am confundat arcul cu coarda ne îndepărtează prea

mult de situația reală. În cazul acesta, relația (69.7) nu mai este valabilă, nici oscilațiile nu mai sînt izocrone, fiindcă proiecția forței tangențiale  $F_t$  pe direcția  $x$  devine din ce în ce mai mică, o dată cu creșterea amplitudinii, iar perioada se lungeste.

În practică, abaterile de la valoarea teoretică a perioadei încep să devină apreciable, cînd amplitudinea depășește cîteva grade. Limita maximă admisă depinde numai de gradul de precizie urmărit și, în măsurările curente, putem lucra și cu amplitudini ceva mai mari.

Dacă trecem la *pendulul fizic*, acolo masele pot fi repartizate oricum la jurul centrului de oscilație și vom avea o infinitate de pendule matematice, care oscilează împreună.

Din acest motiv, pendulul fizic se mai numește și *pendul compus*.

Calculul și experiența ne arată că perioada unui astfel de pendul este dată de relația

$$T = 2\pi \sqrt{\frac{J}{mga}}, \quad (69.8)$$

în care  $J$  reprezintă momentul de inerție față de centrul de oscilație, iar  $a$  distanța lui pînă la centrul de greutate al sistemului (fig. 122).

Comparînd această relație cu aceea care ne dă perioada pendulului simplu, constatăm că lungimea  $l$  este înlocuită prin cantitatea

$$l = \frac{J}{ma},$$

care definește *lungimea redusă a pendulului compus*.

În aceste condiții, relația (69.8) se poate scrie și sub forma

$$T = 2\pi \sqrt{\frac{L}{g}}. \quad (69.8a)$$

Lungimea redusă poate fi determinată experimental, dacă punem un pendul fizic să oscileze alături de un pendul simplu, realizat așa cum am arătat mai sus.

Avem atunci

$$T_1 = 2\pi \sqrt{\frac{L}{g}} \quad \text{și} \quad T_2 = 2\pi \sqrt{\frac{l}{g}},$$

care, împărțite membru cu membru, ne dau:

$$\frac{T_1}{T_2} = \sqrt{\frac{L}{l}}.$$

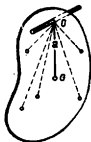


Fig. 122. Pendulul fizic.

4. *Pendulul reversibil.* Există o metodă mult mai precisă, prin care putem determina lungimea redusă.

Teoria prevede și experiența confirmă că dacă un pendul fizic oscilează cu perioada  $T$ , în jurul unui punct oarecare  $O$  (fig. 123), există pe linia  $OG$ , de cealaltă parte a centrului de greutate  $G$ , un alt punct  $O'$ , în jurul căruia pendulul poate oscila cu aceeași perioadă.

În prelungirea liniei care unește centrul de oscilație  $O$  cu centrul de greutate  $G$  există un punct  $O'$ , în jurul căruia pendulul fizic poate oscila cu aceeași perioadă.

Distanța  $OO'$  este lungimea pendulului redus.

Perpendicular pe o bară metalică rectilinie sînt fixate două cuțite  $O$  și  $O'$  cu muchiile față în față.

Prin încercări succesive, potrivim poziția maselor mobile  $M$  și  $M'$  de-a lungul barei, pînă cînd constatăm că schimbarea axei din  $O$  în  $O'$  nu mai modifică perioada de oscilație.

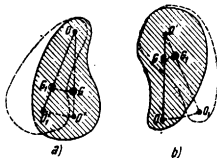


Fig. 123. Pendulul reversibil.

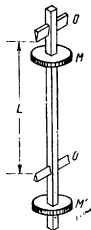


Fig. 124. Pendulul lui Kater

Distanța dintre cuțite este atunci egală cu lungimea pendulului redus. Acest pendul servește pentru determinarea accelerației gravitației, cea mai precisă metodă cunoscută.

Măsurîndu-i perioada și lungimea între cuțite, relația (69.8 a) ne dă

$$g = 4\pi^2 \frac{L}{T^2}.$$

Determinările făcute pe teren au arătat că:

<i>La ecuator</i> (nivelul mării) . . . . .	$g=978,030 \text{ cm/s}^2$ .
<i>La pol</i> (probabil) . . . . .	$g=983,216 \text{ cm/s}^2$ .
<i>La 45°</i> (nivelul mării) . . . . .	$g=980,665 \text{ cm/s}^2$ .
<i>La 45°</i> (nivelul mării) . . . . .	$g=980,943 \text{ cm/s}^2$ .
<i>La Moscova</i> . . . . .	$g=981,523 \text{ cm/s}^2$ .
<i>La Leningrad</i> . . . . .	$g=981,908 \text{ cm/s}^2$ .
<i>La București</i> (comuna Roșu) . . . . .	$g=980,551 \text{ cm/s}^2$ .

5. *Amortizarea oscilațiilor.* Frecările inevitabile, fie cu aerul, fie în interiorul sistemului oscilant, frânează treptat oscilațiile oricărui pendul, reducându-i amplitudinea.

Fenomenul se numește *amortizare*.

Experiența ne arată că, de cele mai multe ori, scăderea amplitudinii în timp decurge așa cum se vede în fig. 125, unde maximele sînt limitate de linia punctată, care este o *curbă exponențială*.

În aceste condiții, ecuația oscilației care, fără amortizare, era

$$E=a \sin \omega t,$$

capătă forma

$$E=ae^{-\delta t} \sin \omega t, \quad (69.9)$$

unde amplitudinea este reprezentată prin  $ae^{-\delta t}$ .

Mărimea  $\delta$  se numește *amortizare*, iar  $e$  este baza sistemului de logaritmi neperieni.

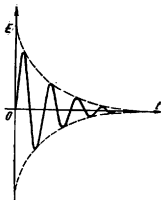


Fig. 125. Oscilații amortizate.

6. *Pendulul și măsurarea timpului.* Legile pendulului, descoperite de *Galileu* și aplicate la ceasuri de *Huyghens*, au permis o măsurare a timpului mult mai precisă și mai comodă decât vechile clepsidre.

Se poate calcula ușor că lungimea unui pendul care bate secunda într-un loc dat este

$$l=g \frac{T^2}{4\pi^2},$$

în care vom considera pe  $T=2$  s. Aceasta rezultă din formula cunoscută a pendulului simplu.

*La București, lungimea acestui pendul este de aproximativ 99,4 cm.*

Ca să întrețină oscilația, Huyghens a inventat dispozitivul arătat în fig. 126.

O greutate sau un resort mișcă direct sau prin angrenaje o roată dințată, pe care o *ancoră*, legată de pendul, o lasă să înainteze cu cite un dinte, la fiecare bătaie.

Pendulul primește astfel impulsurile periodice necesare ca să compenseze amortizările.

Cum perioada depinde de lungime, trebuie să facem așa ca ea să fie cit mai puțin sensibilă la variațiile temperaturii ambiante. Aliajele mo-



Fig. 126. Intreținerea oscilațiilor pendulului.

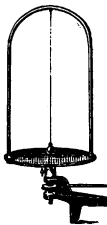


Fig. 127. Păstrarea planului de oscilație.

derne de fier și nichel, cu dilatare foarte mică (numite *invar*) au permis o rezolvare comodă și satisfăcătoare a acestei probleme.

**7. Pendulul lui Foucault.** Experiența ne arată că un pendul, ca orice corp în rotație, caută să-și păstreze neschimbat planul în care oscilează.

Ne putem convinge de acest lucru dacă rotim în jurul unei axe verticale dispozitivul din fig. 127. Constatăm atunci că planul de oscilație al pendulului nu urmărește rotația suportului.

Pornind de la această observație, *Foucault*<sup>1)</sup> a imaginat o experiență, prin care poate fi evidențiată rotația Pământului.

Interpretarea ei riguroasă depășește cadrul acestui manual. Amintim numai că faptele constatate se datoresc accelerațiilor care apar în sistemul neinertial, care este Pământul.

<sup>1)</sup> *Léon Foucault* (1819—1866), fizician francez, care s-a ilustrat prin cercetări fundamentale, mai ales în Optică și Electricitate.

**Rotația aparentă a planului de oscilație al pendulului se datorește faptului că Pământul nu este un sistem inerțial de referință.**

La alte latitudini, timpul acesta devine mai lung, pe măsură ce ne apropiem de ecuator. De exemplu, la București, rotația decurge în aproximativ 34 de ore.

Experiența a fost făcută pentru prima dată la Paris, sub bolta Pantheonului, în condiții deosebit de spectaculoase, cu un pendul de 79 m lungime. Masa oscilantă cântărea 25 kg și era prevăzută cu un vîrf ascuțit, care scrijela pe un jgheab circular cu nisip urma planului de oscilație, după fiecare perioadă.

Intr-o sală mai mică experiența se poate repeta cu dispozitivul reprezentat în fig. 128.

**8. Exemple numerice asupra dinamicii.** 1) La capetele unei sfori, trecută pe un scripete, se leagă două corpuri de mase  $m_1=100$  g și  $m_2=105$  g. Care este forța acceleratoare, ce accelerație capătă sistemul și care-i ecuația mișcării, presupunind că  $g=981$  cm/s<sup>2</sup>.

Diferența dintre  $m_1$  și  $m_2$  este de 5 g. Forța acceleratoare va fi deci

$$G=mg=5 \cdot 981=4\,905 \text{ dyn},$$

adică aproximativ 4 900 dyn.

Sub acțiunea acestei forțe, sistemul, a cărui masă este

$$m'=m_1+m_2=205 \text{ g},$$

capătă accelerația

$$a=\frac{G}{m'}=\frac{4\,905}{205}=23,9 \text{ cm/s}^2.$$

Să ne închipuim că un pendul oscilează la pol. Planul de oscilație rămîne același, dar un observator care se învîrtește o dată cu Pământul va avea impresia că acest plan se rotește în sensul invers mișcării globului și că execută o rotație completă în 24 ore.

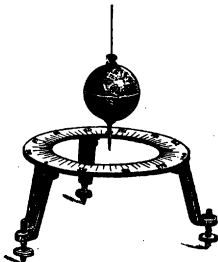


Fig. 128. Pendulul lui Foucault.

Ecuatia mișcării este

$$s = \frac{1}{2} at^2$$

de unde

$$s = \frac{1}{2} \cdot 23,9 t^2.$$

2) Sub acțiunea unei forțe de 6 gf un corp de masă necunoscută capătă o accelerație de 40 cm/s<sup>2</sup>. Care-i valoarea acelei mase?

Cele 6 gf reprezintă

$$6 \cdot 981 = 5\,886 \text{ dyn.}$$

Masa este deci

$$m = \frac{F}{a} = 147 \text{ g.}$$

3) Asupra unui corp cu masă de 1 000 g acționează o forță de 4 000 dyn. Să se formuleze legea spațiilor și a vitezelor mișcării.

Mișcarea va fi uniform accelerată. Din relația

$$F = ma$$

deducem

$$a = \frac{4\,000}{1\,000} = 4 \text{ cm/s}^2.$$

Ecuatiile căutate sînt deci

$$s = \frac{1}{2} \cdot 4 t^2$$

și

$$v = 4t.$$

4) Un corp cade, străbătînd în prima secundă 489 cm. Să se calculeze accelerația gravitației în acel loc și spațiul parcurs în 4 s.

Accelerația fiind numeric egală cu dublul spațiului parcurs în prima secundă, avem

$$g = 2 \cdot 489 = 978 \text{ cm/s}^2$$

și spațiul parcurs în 4 s va fi

$$s = \frac{1}{2} gt^2 = \frac{1}{2} \cdot 978 \cdot 16 = 7\,824 \text{ cm.}$$

5) Care va fi viteza de cădere, în cazul corpului de mai sus, după 3 s?

$$v = gt = 978 \cdot 3 = 2\,934 \text{ cm/s.}$$

6) Cu ce viteză inițială trebuie să aruncăm acest corp în sus, după verticală, ca să ajungă la înălțimea de 40 m?

După formula lui Galileu, avem

$$v = \sqrt{2gh} = \sqrt{2 \cdot 978 \cdot 4\,000} \approx 2\,800 \text{ cm/s.}$$

7) De la ce înălțime trebuie să cadă corpul, ca să ajungă la Pământ cu viteza de 10 m/s?

Aceeași formulă a lui Galileu ne dă, printr-o transformare simplă

$$h = \frac{v^2}{2g} = \frac{1\,000\,000}{2 \cdot 978} = 512 \text{ cm.}$$

8) În cât timp cade un corp dintr-un turn înalt de 44 m?

Din relația

$$s = \frac{1}{2}gt^2$$

deducem

$$t = \sqrt{\frac{2s}{g}} = \sqrt{\frac{8\,800}{981}} \approx 3 \text{ s.}$$

9) Un corp este aruncat în sus cu viteza inițială de 3 000 cm/s. La ce înălțime se găsește după 2 s și ce viteză are în acel moment?

Avem:

$$s = -v_0t + \frac{1}{2}gt^2,$$

deci

$$s = -3\,000 \cdot 2 + \frac{1}{2} \cdot 981 \cdot 4$$

$$s = 4\,038 \text{ cm,}$$

iar viteza o deducem din

$$v = -v_0 + gt,$$

$$v = -3\,000 + 1\,962$$

$$v = 1\,038 \text{ cm/s.}$$

10) Un avion care zboară la înălțimea de 3 000 m, cu o viteză de 360 km/h, aruncă o bombă. După câte secunde ajunge bomba pe Pământ și la ce distanță de punctul de lansare? Se neglijează frecarea cu aerul.

Viteza de zbor orizontal este de 100 m/s.

Relația

$$s = \frac{1}{2}gt^2$$

ne dă

$$t = \sqrt{\frac{2s}{g}} = \sqrt{\frac{2 \cdot 3\,000}{9,81}} = 25 \text{ s.}$$



Distanța față de punctul de lansare este

$$D = 100 \cdot 25 = 2\,500 \text{ m.}$$

11) Un corp este aruncat sub un unghi de  $45^\circ$ , cu o viteză inițială de 300 m/s. Ce înălțime și ce distanță pe orizontală atinge?

Relația

$$h = \frac{v_0^2 \sin^2 \alpha}{2g}$$

ne dă

$$h = \frac{300^2 \cdot 0,7^2}{2 \cdot 9,81} = 2\,250 \text{ m.}$$

Relația

$$D = \frac{v_0^2 \sin 2\alpha}{g} = \frac{300^2 \sin 90^\circ}{9,81} = 9\,150 \text{ m.}$$

ne dă

$$D = \frac{300^2}{9,81} = 9\,150 \text{ m.}$$

12) După câte secunde revine pe Pământ corpul din exemplul precedent?

Relația

$$t = \frac{2v_0 \sin \alpha}{g}$$

ne dă

$$t = \frac{2 \cdot 300 \cdot 0,7}{9,81} = 43 \text{ s.}$$

13) Să se calculeze de câte ori este mai intensă forța centrifugă decât gravitația, într-o mașină centrifugă care face 7 200 rot/min și are raza de 30 cm?

Numărul de rotații pe secundă este

$$\frac{7\,200}{60} = 120 \text{ rot/s.}$$

Așadar,

$$\omega = \frac{2\pi}{T} = 2\pi \cdot 120 = 753 \text{ rad/s.}$$

Accelerația centripetă este

$$a_n = \omega^2 r = 753^2 \cdot 30 \approx 17 \cdot 10^6 \text{ m/s}^2.$$

Accelerația gravitației fiind

$$g = 981 \text{ cm/s}^2,$$

raportul între accelerații ne dă raportul între forțele care se exercită asupra unei mase date.

Avem, deci.

$$\frac{F_c}{F_g} = \frac{a_n}{g} = \frac{17 \cdot 10^6}{981} \approx 17 \cdot 10^3$$

Prin urmare, în cazul de față, forța centrifugă este de 17 000 de ori mai intensă decât gravitația și atinge 17 kgf pentru o masă de un gram.

14) *Un vas cu apă este legat cu o sfoară lungă de un metru și învîrțit într-un plan vertical.*

*Cîte rotații trebuie să facă pe secundă, pentru ca apa să nu poată curge din el?*

Fie  $m$  masa apei. Ca să nu poată curge, trebuie ca forța centrifugă să fie cel puțin egală cu greutatea ei.

Așadar,

$$mg = m \omega^2 r,$$

sau

$$\omega = \sqrt{\frac{g}{r}},$$

din care, înlocuind datele, obținem

$$\omega = \sqrt{\frac{981}{100}} = 3,13 \text{ rad/s.}$$

Dar se știe că

$$\omega = \frac{2\pi}{T}.$$

Prin urmare, durata unei rotații trebuie să fie mai mică decât

$$T = \frac{2\pi}{\omega} = \frac{6,28}{3,13} \approx 2 \text{ s.}$$

Acest rezultat depinde de lungimea sforii, dar nu depinde de masa apei din vas.

15) *Asupra unei corp de masă 2 kg acționează timp de 5 s o forță de  $3 \cdot 10^6$  dyn. Să se calculeze viteza căpătată.*

În unități CGS masa are 2 000 g. Deducem că

$$\frac{Ft}{m} = \frac{3 \cdot 10^6 \cdot 5}{2000} = \frac{15 \cdot 10^3}{2} = 7500 \text{ cm/s.}$$

16) *Sub același impuls, două mase diferite capătă vitezele respective de 100 cm/s și 150 cm/s. Prima masă are 30 g. Cît are cealaltă?*

$$30 \cdot 100 = m_1 \cdot 150,$$

de unde

$$m_1 = \frac{3000}{150} = 20 \text{ g.}$$

17) Să se calculeze forța necesară ca să imprime în 8 s viteza de 2 000 cm/s unei mase de 40 g.

$$F = \frac{mv}{t} = \frac{40 \cdot 2\,000}{8} = 10\,000 \text{ dyn.}$$

18) Un cilindru masiv are diametrul de 6 cm și masa de 7 000 g. El se poate roti fără frecări pe o axă care-l străbate simetric din cap în cap. O forță tangențială de 40 000 dyn acționează la periferie timp de 60 s.

Ce viteză unghiulară capătă cilindru?

Momentul de inerție este

$$J = \frac{1}{2} MR^2 = 3\,500 \cdot 9 = 31\,500 \text{ g} \cdot \text{cm}^2.$$

Relația

$$FRt = J\omega$$

ne dă

$$\omega = \frac{FRt}{J} = \frac{40\,000 \cdot 3 \cdot 60}{31\,500} = 228 \text{ rad/s.}$$

19) Un resort se întinde cu 5 cm sub acțiunea unei greutăți de 100 g. Care-i constanta lui elastică?

Neglijând semnele, avem:

$$K = \frac{F}{x} = \frac{mg}{x} = \frac{100 \cdot 981}{5} = 19\,600 \text{ dyn/cm.}$$

20) De resortul din exemplul precedent se atâră o masă de 300 g. Care-i perioada de oscilație?

$$T = 2\pi \sqrt{\frac{m}{K}} = 6,28 \sqrt{\frac{300}{19\,600}} = 0,75 \text{ s.}$$

21) Un resort oscilează cu perioada de 0,5 s dacă atârăm de acesta o masă de 100 g; să se calculeze constanta elastică.

$$K = m \frac{4\pi^2}{T^2},$$

sau înlocuind datele numerice,

$$K = 100 \frac{39,43}{0,25} = 15\,772 \text{ dyn/cm.}$$

22) Care-i perioada unui pendul simplu de un metru lungime, la pol, știind că accelerația gravitației este 983 cm/s²?

$$T = 2\pi \sqrt{\frac{l}{g}} = 6,28 \sqrt{\frac{100}{983}} = 2,03 \text{ s.}$$

23) Dacă un pendul simplu de 99,09 cm lungime are perioada de două secunde, care-i accelerația gravitației în locul de observație?

$$g = 4\pi^2 \frac{l}{T^2} = 39,44 \frac{99,09}{4} = 978 \text{ cm/s}^2.$$

24) Ce perioadă capătă pendulul din exemplul 23, într-un ascensor care se mișcă în sus cu accelerația  $a=2 \text{ m/s}^2$ ?

Accelerarea în sus dezvoltă în masa pendulului o forță de inerție ce tinde să-i dea o accelerație egală și opusă lui  $a$ .

Prin urmare,

$$T = 2\pi \sqrt{\frac{l}{g+a}} = 6,23 \sqrt{\frac{99,09}{978+200}} = 1,82 \text{ s.}$$

Așadar, perioada devine mai scurtă. Contrariul s-ar fi întâmplat dacă ascensorul era accelerat în jos.

25) Ce se întâmplă cu pendulul din exemplul precedent dacă ascensorul cade liber, cu accelerația gravitației?

Am avea atunci

$$T = 2\pi \sqrt{\frac{l}{g-g}} = \infty$$

și pendulul n-ar mai putea să oscileze.

26) Un observator sare de pe o platformă, cu o raniță de 10 kgf în spate. Mai simte greutatea raniței în timpul căderii?

Nu o simte, fiindcă forța de inerție se opune forței acceleratoare și o anulează. Avem deci

$$F - ma = 0.$$

27) Observatorul ajunge la Pământ cu viteza de 2 m/s și acțiunea de frinare a mușchilor îl oprește în 0,5 s. Cu ce forță îl apasă ranița în acest timp?

Admițând că frinarea este uniformă, accelerația ei este

$$a = \frac{v}{t} = \frac{2}{0,5} = 4 \text{ m/s}^2$$

și ranița îl apasă cu forța

$$F = m(g+a) = \frac{10}{9,81} (9,81+4) = 14 \text{ kgf.}$$

28) O persoană de 60 kg cade accidental de la etaj, cu un sac de nisip în brațe. Dacă sacul are 30 kg și înălțimea de cădere ar fi de 10 m, ce s-ar putea face pentru ca viteza de întâlnire cu pământul să fie cât mai mică?

În mod normal, această viteză ar trebui să fie

$$v = \sqrt{2gh} = \sqrt{2 \cdot 9,81 \cdot 10} = 14 \text{ m/s.}$$

Dacă persoana, în momentul când este gata să atingă pământul, izbuște să arunce sacul în jos cu viteza (să zicem) de 2 m/s, legea conservării impulsului în sistemul izolat ne dă

$$mv = Mv',$$

sau

$$30 \cdot 2 = 60 v'$$

de unde

$$v' = 1 \text{ m/s.}$$

Centrul de greutate al sistemului persoană-sac urmează mai departe legea normală de cădere, dar, față de pământ, viteza relativă a persoanei devine de 13 m/s.

29) *De ambele părți ale unui scripete, pe care trece o funie, stau agățate două maimuțe, la aceeași înălțime. Una din ele o chinuiește pe cealaltă care, ca să scape, încearcă să se cațere mai sus. Izbutește să se depărteze de asupritor?*

Legea conservării impulsului ne spune că nu poate, fiindcă ea comunică funiei un impuls de sens contrar și ridică pe asupritor odată cu dînsa.

## G. Dezvoltarea istorică a dinamicii

Ideile filozofilor antici despre acțiunile dinamice ale forțelor erau cu totul vagi și rudimentare, supuse unor concepții fundamentale greșite și de multe ori în dezacord cu faptele.

*Aristotel credea că orice corp tinde către locul lui natural și de aceea corpurile grele merg în jos, iar cele ușoare se ridică în aer.*

Cu excepția acestor mișcări *naturale*, orice altă mișcare este *violentă* și nu poate fi întreținută decît de o cauză motoare. Dacă un corp aruncat își păstrează totuși un timp oarecare mișcarea violentă, aceasta se datorește faptului că aerul năvălește în urma lui și-l împinge înainte.

Observația că orice corp în mișcare se oprește cîndva corespunde, în adevăr, cu situația reală obișnuită; dar, este greșit să se atribue aerului un rol motor, cînd el nu face decît să *frîneze* mișcările.

Aristotel și-a pus totuși întrebarea: *Ce s-ar întîmpla dacă n-ar fi aerul?* Aici răspunsul pe care-l dă este corect, fiindcă el scrie:

*„Ar fi cu neputință să spunem că în vid, un corp în mișcare s-ar opri undeva.*

*De ce să se oprească într-un loc și nu în altul?*

*Prin urmare, acel corp va sta în mod necesar în repaus, iar dacă este în mișcare, înfinită va fi această mișcare, cîtă vreme nu găsește un obstacol care să-l oprească”.*

Iată deci principiul inerției perfect înțeles, dar Aristotel persistă în ideea greșită că *natura are oroare de vid* și scolastica evului mediu, adoptând această concepție, a oprit pe loc orice dezvoltare științifică a problemei, până către sfârșitul veacului al XVI-lea.

În ce privește mișcările astrelor, nimeni nu și-a dat seama că ele se conduc după legile obișnuite ale mișcărilor de pe Pământ.

Primul pas important îl face *Galileu*, cu tratatul despre mecanica mișcărilor, apărut în 1638. L-a publicat în Olanda, de frica Inchiziției, care totuși a găsit mijlocul să-l persecute.

El e considerat ca fondatorul metodei de cercetare științifică experimentală.

Încă de la vârsta de 20 de ani, observând oscilațiile unui candelabru atârnat de bolta catedralei din *Pisa* și întrebându-l pulsul arterial ca mijloc de măsurare a timpului, a descoperit legea izocronismului și apoi celelalte legi ale pendulului.

Aruncind corpuri diferite, din clopotnița înclinată a aceleiași catedrale, *Galileu* constată că numai rezistența aerului este de vină că nu cad cu aceeași viteză.

El cercetează apoi căderea pe planul înclinat și descoperă legile căderii libere, deși pe atunci nu avea la dispoziție, pentru măsurarea timpului, decât vechile clepsidre și o balanță rudimentară, cu care putea să cîntărească apa scursă, într-un interval anumit.

Trecînd la problema balistică, el observă forma parabolică a traiectoriei și formulează principiul independenței mișcărilor.

În sfîrșit, trecînd la mișcarea în plan orizontal, spune clar că, dacă n-ar exista frecările, *această mișcare ar fi uniformă și ar dura la infinit*, fără să aibă nevoie de întreținere, adică enunță în formă precisă *principiul inerției*.

Lăsînd la o parte încercări mai puțin fructuoase, făcute de *Leibnitz* sau *Descartes*<sup>1)</sup>, va trebui să amintim că *Torricelli*<sup>2)</sup>, elevul lui *Galileu*, are deja o idee vagă despre conservarea mișcării centrului de greutate, în sistemul izolat, cînd scrie:

*„Două corpuri legate împreună nu se pot mișca de la sine decît dacă mișcarea coboară centrul de greutate comun”.*

*Huyghens*, pe la 1673, aplică pendulul la ceasuri și-i întreține oscilația prin căderea unei greutăți.

Tot el rezolvă problema pendulului compus, atacată fără succes de *Leibnitz*, și calculează forța centrifugă, în mișcarea de rotație. În aceste lucrări pune indirect noțiunea de moment de inerție, introdusă mai tîrziu, în formă definitivă de *Euler*.

De asemenea are, pentru prima dată, ideea folosirii pendulului în determinarea accelerației gravitației și propune chiar ca, pe această cale, să se instituie un etalon de lungime.

<sup>1)</sup> *René Descartes* (1596—1650), filozof, geometru și fizician francez renumit, fondatorul metodei de cercetare *cartesiene*, care tinde să elimine ideile preconcepționale.

<sup>2)</sup> *Evangelista Torricelli* (1608—1647) cunoscut mai ales ca inventator al barometrului. A descoperit legea de curgere a lichidelor prin orificii.

Moartea lui Galileu, în 1642, coincide cu nașterea lui *Newton*, care continuă opera începută și pune bazele definitive ale dinamicii.

El publică, în 1687, vestită operă, „*Philosophiae naturalis principia mathematica*”, unde enunță, în formă lapidară și precisă, toate legile de bază ale dinamicii, precum și o serie de consecințe și corolari.

Bazele fizice ale mecanicii fiind astfel așezate, de aici înainte intervin calculul matematic, din care s-a dezvoltat, în următorii 150 de ani, așa-numita *mechanica analitică*, ce nu face obiectul manualului de față.

Succesele realizate de studiul matematic au creat și justificat o filozofie materialistă, după care totul în lume se reduce la probleme de mecanică.

La începutul veacului trecut, *Laplace* era convins că un *calculator* ce ar cunoaște toate elementele de situație în Univers la un moment dat, ar fi în stare să prevadă și să calculeze orice situație viitoare.

Acest *materialism vulgar*, pur contemplativ, a fost adoptat ca doctrină filozofică a revoluției burghize din 1789.

Când noile descoperiri științifice, apărute în ultimii 60—70 de ani, au dat peste fenomene ce nu puteau fi interpretate prin legile mecanicii clasice, newtoniene, fenomene ce se petrec în lumea atomică sau la viteze foarte mari, au apărut și multiple „fundamentări” ale idealismului, întoarceri tendențioase la misticismul și scolastica medievală, cu pretenție de justificare științifică.

Vom discuta mai târziu despre aceste fenomene și vom vedea că ele se încadrează pe deplin în concepția *materialismului dialectic* despre lume și materie, ca realitate obiectivă.

## CAPITOLUL IV

# LUCRUL MECANIC, ENERGIA MECANICĂ ȘI PUTEREA

## A. Lucrul mecanic și energia mecanică

§ 70. **Lucrul mecanic.** Munca ce trebuie s-o efectuăm, ca să ne urcăm pe un munte, să ridicăm o greutate sau să deplasăm un corp, împotriva unei forțe de opunere pe o distanță oarecare, cît și oboseala ce o simțim după aceea ne dă noțiunea de *lucru mecanic* sau *travaliu*.

Această noțiune, deocamdată *subiectivă*, devine *obiectivă* cînd constatăm, ca simpli spectatori, că aceeași operație poate fi executată de orice forță naturală.

Prin definiție, lucrul mecanic se exprimă prin produsul scalar dintre forță și deplasare.

Prin definiție, *lucrul mecanic*, pe care-l notăm de obicei cu *A*

sau cu *W*, se exprimă prin produsul dintre intensitatea forței și lungimea drumului parcurs, cu condiția ca deplasarea să decurgă chiar în direcția forței (fig. 129).

Avem deci

$$A = Fl \quad (70.1)$$

Se poate întâmpla însă ca un corp să aibă o traiectorie impusă de anumite legături, pe care n-o poate părăsi. În asemenea situație ar fi, de exemplu, un vagonet așezat pe o linie  $ab$  (fig. 129).

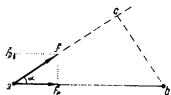


Fig. 129. Noțiunea de lucru mecanic.

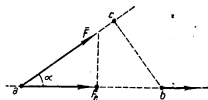


Fig. 130. Proiecția drumului și proiecția forței.

Dacă forța este înclinată față de direcția drumului, o vom descompune în componenta perpendiculară

$$F_p = F \sin \alpha,$$

care este anulată de rigiditatea traiectoriei și deci nu execută lucru mecanic, și în componenta activă

$$F_e = F \cos \alpha,$$

care acționează efectiv în direcția deplasării.

Lucrul mecanic se va exprima, în acest caz, prin relația generală

$$A = Fl \cos \alpha \quad (70.2)$$

și apare ca *produsul scalar* între forță și deplasare.

Dacă  $\alpha = 0$ , regăsim relația (70.1), iar dacă  $\alpha = 90^\circ$ , lucrul mecanic este nul.

**În concluzie, lucrul mecanic se exprimă prin produsul scalar dintre forță și drumul parcurs.**



În membrul al doilea al relației (70.2) putem grupa factorii după voie și scrie

$$A = l(F \cos \alpha), \text{ sau } A = F(l \cos \alpha).$$

Rezultă că *putem exprima lucrul mecanic fie prin produsul dintre lungimea drumului și proiecția forței, pe direcția lui, fie prin produsul dintre forță și proiecția drumului, pe direcția forței.*

De exemplu, în cazul fig. 130, vom avea sau

$$A = F_e \cdot \text{distanța } ab,$$

sau

$$A = F \cdot \text{distanța } ac.$$

Această observație ne poate fi de folos în cazul unei traiectorii de o formă oarecare.

În fig. 131, toate traiectoriile care încep în  $O$  și se termină într-un punct oarecare de pe dreapta  $AB$ , de exemplu în  $O'$ , au aceeași proiecție pe direcția forței și corespund *aceluiași* lucru mecanic.

Rezultă că *lucrul mecanic nu depinde de forma traiectoriei, ci numai de proiecția ei, pe direcția forței.*

În cazul special când ridicăm o greutate pe un povârniș, împotriva forțelor gravitației, lucrul mecanic nu depinde de înclinarea povârnișului, ci numai de poziția punctelor de plecare și de sosire, adică de proiecția traiectoriei pe direcția verticalei.

Lucrul mecanic nu depinde de forma traiectoriei, ci numai de proiecția ei pe direcția forței.

Lucrul mecanic nu depinde de înclinarea povârnișului, ci numai de poziția punctelor de plecare și de sosire,

**1. Unități și dimensiuni.** *Lucrul mecanic, definit prin produsul scalar dintre forță și drumul parcurs, este el însuși o mărime scalară.*

Relația de definiție

$$A = Fl \quad (70.1)$$

ne arată că dimensiunile lui, în sistemele CGS și MKS, sînt:

$$[A] = L^2MT^{-2}.$$

Unitățile respective au nume speciale și aceeași relație ne arată că:

CGS:  $\text{dyn} \cdot \text{cm} = \text{erg}$ ,

MKS:  $\text{N} \cdot \text{m} = \text{J}$ ,

MKS:  $\text{kgm}$ .

1) *Unitatea CGS, care se numește „erg”<sup>1)</sup>, reprezintă lucrul mecanic al forței de o dynă, deplasată cu un centimetru în prelungirea ei (erg).*

2) *Unitatea MKS, care se numește „joule”<sup>2)</sup>, reprezintă lucrul mecanic al forței de un newton, deplasată cu un metru (J).*

3) În sistemul MKS, dimensiunile lucrului mecanic vor fi:

$$[A] = LF,$$

iar unitatea respectivă se numește „kilogrammetru” (km).

1  $\text{kgm} = 9,81 \text{ J}$ ,

$= 9,81 \cdot 10^7 \text{ erg}$ ,

1  $\text{J} = 10^7 \text{ erg}$ .

În ce privește raportul numeric de transformare, se vede imediat că:

$$1 \text{ kgm} = 9,81 \cdot 10^5 \cdot 10^2 = 9,81 \cdot 10^7 \text{ erg},$$

$$1 \text{ J} = 10^5 \cdot 10^2 = 10^7 \text{ erg},$$

$$1 \text{ kgm} = 9,81 \text{ J}.$$

**2. Lucrul mecanic motor și rezistent.** În unele cazuri, un sistem dat este capabil să execute un lucru mecanic, împotriva unor forțe de rezistență.

De exemplu, un motor electric poate să ridice un ascensor, o greutate în cădere poate să urnească altă greutate, un resort care se destinde poate să poarte un mecanism, împotriva frecărilor etc.

În toate aceste cazuri, ca și în altele similare, vom spune că

Lucrul mecanic poate fi eliberat (+) sau absorbit (-).

lucrul mecanic este *util, motor sau eliberat*, și-i vom da, prin convenție, semnul +.

Alte ori, din contra, un sistem are nevoie de un lucru mecanic executat din afară.

<sup>1)</sup> Numele vine de la cuvîntul grecesc *érgon* = acțiune, faptă.

<sup>2)</sup> În onoarea fizicianului englez *James Prescott Joule* (1818—1889) care s-a ilustrat prin cercetări fundamentale în domeniul căldurii și electricității.

Ridicarea unei greutăți, comprimarea forțată a unui resort, deformarea unui corp, împotriva forței de reacțiune, sînt numai cîteva exemple.

În cazurile acestea vom spune că lucrul mecanic este *absorbit*, *rezistent* sau *cheltuit* și-i vom da semnul —.

§ 71. **Conservarea lucrului mecanic.** Ne propunem să evaluăm lucrul mecanic absorbit sau produs, în cazul cîtorva mașini simple.

1. *Pîrghia.* Am văzut că două forțe  $\vec{F}_1$  și  $\vec{F}_2$ , aplicate la capetele unei pîrghii, își fac echilibrul cînd momentele lor sînt egale (fig. 132), așadar cînd

$$F_1 l_1 = F_2 l_2.$$

Dacă  $l_1 > l_2$ , putem realiza cu pîrghia noastră o amplificare a forței, fiindcă atunci  $F_2 > F_1$ .

Cînd pîrghia se ro-  
două forțe execută lucrul  
tește cu un unghi  $\alpha$ , cele  
mecanic

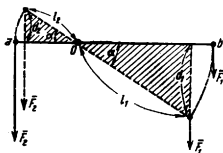


Fig. 132. Conservarea lucrului mecanic la o pîrghie.

$$A_1 = F_1 d_1 \quad \text{și} \quad A_2 = F_2 d_2.$$

Dar, din triunghiurile dreptunghice hașurate, rezultă că

$$d_1 = l_1 \sin \alpha \quad \text{și} \quad d_2 = l_2 \sin \alpha$$

și relațiile precedente, în care substituim aceste valori, devin

$$A_1 = F_1 l_1 \sin \alpha \quad \text{și} \quad A_2 = F_2 l_2 \sin \alpha.$$

De aici, ținînd seamă de prima relația, deducem că

$$A_1 = A_2,$$

ceea ce înseamnă că lucrul mecanic efectuat de una din forțe este absorbit în întregime ca să învingă rezistența celeilalte.

Prin urmare, *pîrghia ne permite să amplificăm forțele, dar nu ne permite să amplificăm lucrul mecanic.*

2. *Planul înclinat.* Să considerăm un corp de masă  $M$ , așezat pe un plan înclinat de un unghi  $\alpha$  față de orizontală (fig. 133).

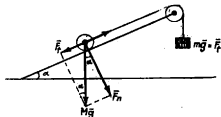


Fig. 133. Lucrul mecanic pe planul înclinat.

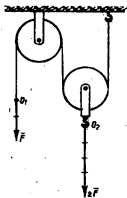


Fig. 134. Lucrul mecanic la scripete.

În această situație se știe că greutatea  $M\vec{g}$  a corpului poate fi echilibrată de altă greutate mai mică  $m\vec{g}$ , egală cu  $\vec{F}_t$ . Avem deci:

$$mg = Mg \sin \alpha.$$

Cînd greutatea  $mg$  parcurge în cădere o distanță  $l$ , cealaltă greutate parcurge de-a lungul planului aceeași distanță  $l$ .

Cele două greutăți execută atunci lucrurile mecanice respective

$$A_1 = mgl \quad \text{și} \quad A_2 = Mgl \sin \alpha$$

și, ținînd seama de relația precedentă, rezultă că

$$A_1 = A_2.$$

Ca și pîrghia, planul înclinat ne permite deci să amplificăm forța, dar nu și lucrul mecanic.

3. *Scripetele mobil.* În situația reprezentată în fig. 134, o forță  $\vec{F}$  permite să se echilibreze forța  $2\vec{F}$ . Experiența ne

arată însă că, dacă forța  $2\bar{F}$  parcurge distanța  $l$ , forța  $\bar{F}$  parcurge o distanță dublă.

Rezultă astfel că lucrul mecanic al uneia din forțe va fi absorbit în întregime de cealaltă.

Așadar, *nici cu scripetele mobil nu putem realiza o amplificarea a lucrului mecanic.*

Examinarea pe aceeași cale a tuturor mașinilor simple posibile, cât și a mașinilor mai complicate, compuse din pârghii, scripeti, angrenaje etc., a dus la concluzia că *nu putem amplifica o forță, fără să reducem în proporție drumul respectiv.*

Nu putem amplifica forța, fără să reducem în proporție drumul.

concluzia că *nu putem amplifica o forță, fără să reducem în proporție drumul respectiv.*

De aceea, *lucrul mecanic nu poate fi amplificat și nici o mașină, oricum ar fi construită, nu e în stare să producă un lucru mecanic mai mare decât acela pe care l-a absorbit.*

Lucrul mecanic se conservă și nici o mașină nu-l poate amplifica.

*în stare să producă un lucru mecanic mai mare decât acela pe care l-a absorbit.*

Acesta este *principiul conservării lucrului mecanic.*

4. *Principiul traverării virtual.* O altă consecință importantă, ce decurge evident din felul în care am examinat cazul mașinilor simple, este că *la un sistem în echilibru, o mică deplasare virtuală<sup>1)</sup>, permisă de legăturile organelor mobile, implică un lucru mecanic motor  $+\Delta A$ , egal cu lucrul mecanic rezistent  $-\Delta A$ .*

La orice sistem în echilibru

$$\sum \Delta A = 0.$$

Prin urmare,

$$\sum \Delta A = 0$$

(70.3)

oricare și oricâte forțe ar acționa asupra sistemului.

Acest *principiu al traverării virtual*, enunțat de Lagrange, ne aduce un ajutor prețios în cercetarea condițiilor de echilibru la sistemele mai complicate.

<sup>1)</sup> Ii zicem *virtuală*, pentru că este numai închipuită. Ea trebuie să fie deajuns de mică, fiindcă altfel ar putea, în unele cazuri, să implice situații finale ce nu mai corespund condiției de echilibru.

### 5. Mișcarea perpetuă. Mintea omenească s-a chinuit,

Legea conservării lucrului mecanic exclude posibilitatea de realizare a oricărei mașini cu mișcare perpetuă.

multe veacuri în șir, să caute o mașină care să producă lucru mecanic și, odată pusă în mișcare, să nu se mai oprească niciodată.

Principiul conservării lucrului mecanic arată clar că asemenea mașină, numită *perpetuum mobile*, nu este cu putință, chiar dacă n-ar exista frecările care s-o frâneze, fiindcă un lucru mecanic nu se poate produce din nimic și implică absorbția altui lucru mecanic, în cantitate egală.

6. *Exercițiu.* Un inventator a imaginat un tip de *perpetuum mobile*, compus din două plane înclinate, pe care se sprijină un lanț închis cu un șirag de bile, așa cum arată fig. 135.

Partea mai lungă a lanțului urmează, după concepția inventatorului, să tragă după ea partea mai scurtă și lanțul s-ar mișca neconținut în sensul săgeții. Să se arate că nu-i așa.

Problema poate fi cercetată în două feluri:

a) Greutatea lanțului pe unitatea de lungime fiind  $p$ , se va evalua greutatea porțiunilor  $a$  și  $b$ , și se va constata că ele sînt în echilibru.

b) Lucrul mecanic consumat, cînd o porțiune  $l$  de lanț urcă pe planul  $b$ , este egal cu acela ce se produce, cînd altă porțiune, de aceeași lungime  $l$ , coboară pe planul  $a$ .

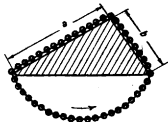


Fig. 135. Încercare de *perpetuum mobile*.

§ 72. **Noțiunea de energie.** Observația ne arată că un arc întins, o greutate care cade, vîntul, căderile de apă, căldura, curentul electric, substanțele explozibile etc. sînt capabile să producă lucru mecanic.

Energia unui sistem se exprimă prin lucrul mecanic pe care-l poate produce.

În general, vom spune că orice sistem care posedă facultatea de a produce lucru mecanic posedă energie și vom evalua această energie prin însuși lucrul mecanic pe care-l poate produce.

**Unități și dimensiuni.** Din felul în care am definit-o, rezultă că energia are aceleași dimensiuni și se exprimă în aceleași unități ca și lucrul mecanic.

Așadar, o vom evalua în *ergi* (CGS), în *jouli* (MKS) sau în *kilogrammetri* (MKFS).

În cele ce urmează, pentru a face totuși o distincție între *facultatea de a produce* lucru mecanic și *lucrul mecanic* însuși, vom prefera ca, între cele două notații admise,  $A$  și  $W$ , să rezervăm notația  $W$  pentru energie, fără a uita, bine înțeles, că de fapt

$$[A] = [W].$$

**§ 73. Energia potențială.** Când ridicăm un corp, de greutate  $mg$ , la o înălțime oarecare  $h$ , se absoarbe un lucru mecanic, pe care-l exprimăm prin relația cunoscută

$$A = mgh, \quad (70.1)$$

adică prin produsul dintre forță și deplasare.

Acest lucru mecanic se conservă și corpul poate să cadă înapoi, de la înălțimea  $h$ , ca să producă, la rîndul lui, un lucru mecanic egal cu cel absorbit, pe care-l putem folosi ca să ridicăm altă greutate sau să purtăm un mecanism oarecare.

Un corp ridicat la o înălțime oarecare înmagazinează energie potențială.

Așadar, prin faptul ridicării corpului s-a înmagazinat o energie mecanică

$$W_p = mgh.$$

dar această energie, deși există, nu se poate manifesta, cîtă vreme corpul rămîne în repaus, la înălțimea  $h$ .

Ea este o energie înmagazinată, o energie în rezervă, care se numește *energie potențială*.

Tot așa, cînd întindem un resort sau cînd comprimăm un gaz, înmagazinăm energie potențială, care nu se manifestă decît în momentul cînd lăsăm gazul să se destindă sau resortul să revină la lungimea inițială.

Energia potențială o mai numim și energie de situație.

Energia potențială se datorește deci unei situații anumite, în care aducem un sistem dat, și de aceea o mai numim și *energie de situație*.

**§ 74. Energia cinetică.** Să ne închipuim că asupra unui corp de masă  $m$  acționează o forță  $F$ , constantă ca mărime, sens și direcție.

Această forță imprimă corpului o mișcare uniform accelerată, îl transportă în timpul  $t$  la distanța  $s$  și execută astfel lucrul mecanic

$$A = F \cdot s. \quad (70.1)$$

Acest lucru mecanic este absorbit în întregime, ca să accelereze masa  $m$ , împotriva forței de inerție.

Știind că

$$F = ma$$

și că în mișcarea accelerată

$$s = \frac{1}{2} \cdot at^2$$

relația inițială (70.1) devine

$$A = \frac{1}{2} ma^2 t^2$$

și ținând seama că  $a = v/t$ , ajungem așa la relația finală

$$A = \frac{1}{2} mv^2 \quad (74.1)$$

Această relație ne arată că *lucrul mecanic absorbit, când se imprimă viteza  $v$  unei mase  $m$ , plecată din repaus, este egal cu jumătatea produsului dintre masă și pătratul vitezei.*

Lucrul mecanic absorbit ca să accelereze o masă  $m$ , pînă la viteza  $v$ , apare ca energie cinetică

Cantitatea

$$W_c = A = \frac{1}{2} mv^2$$

$$W_c = \frac{1}{2} mv^2.$$

se numește energie cinetică sau energie de mișcare.

Observația zilnică ne arată că, în adevăr, orice masă în mișcare cedează energia cinetică și produce lucru mecanic, îndată ce încercăm s-o frîmăm. Astfel, ciocanul poate să înfigă un cui, împotriva forțelor de frecare și străpungere, o piatră aruncată poate să spargă sau să înlăture un obstacol și așa mai departe.

*Variația energiei cinetice.* Dacă un corp de masă  $m$  pleacă din repaus și atinge viteza  $v_1$ , se absoarbe energia

$$W_1 = \frac{1}{2} mv_1^2. \quad (74.1)$$



Tot așa, dacă viteza crește de la zero la  $v_2$ , avem:

$$W_2 = \frac{1}{2} m v_2^2.$$

Prin urmare, dacă viteza ar crește de la  $v_1$  la  $v_2$ , variația energiei cinetice ar fi

Cînd viteza unui corp crește de la  $v_1$  la  $v_2$ , energia cinetică variază cu

$$\Delta W = \frac{1}{2} m (v_2^2 - v_1^2).$$

$$\Delta W = W_2 - W_1 = \frac{1}{2} m (v_2^2 - v_1^2).$$

Dacă, din contra, viteza scade de la  $v_2$  la  $v_1$ , corpul *cedează* această energie sistemului ce-l frînează.

**§ 75. Conservarea energiei mecanice.** Din cele arătate mai sus, rezultă că energia mecanică poate să aibă două aspecte: *potențială sau de situație și cinetică sau de mișcare.*

Cum energia se exprimă prin lucrul mecanic, decurge ca urmare logică, și nu mai este nevoie de altă justificare, că, în trecerea de la prima la a doua formă, sau invers, ea se supune aceleiași legi de conservare, ca și lucrul mecanic.

**Intr-un sistem dat, suma energiilor cinetice și potențiale este constantă.**

Prin urmare, *intr-un sistem dat, suma energiilor cinetice și potențiale este constantă, dacă nu*

*apar și alte transformări sau schimburi cu exteriorul.*

Principiul conservării energiei mecanice este un *postulat*, adică o lege care nu poate fi demonstrată, dar se impune din toate faptele de observație cunoscute.

Ca exemplu, vom examina două cazuri particulare:

**1. Conservarea energiei în cîmpul gravitației.** Să considerăm un corp de masă  $m$ , în repaus la înălțimea  $h$  (fig. 136). Avem atunci

energia potențială . . . . .  $W_p = mgh$

și energia cinetică . . . . .  $W_c = 0$

asa că energia totală va fi  $W_t = W_p + W_c = mgh$

Lăsăm corpul să cadă liber. Forța gravitației îl accelerează și, după o distanță  $h_1$ , viteza de cădere dată de formula lui *Galileu* va fi

$$v_1^2 = 2gh_1.$$

În punctul  $O_1$  de pe traiectorie vom avea deci:

energia potențială . . . . .  $W_p = mgh_2$

și energia cinetică . . . . .  $W_c = \frac{1}{2}mv_1^2 - mgh_1$

iar *energia totală* va fi  $W_t = W_p + W_c = mg(h_2 + h_1) = mgh$ .

Cînd corpul ajunge la pămînt, viteza devine

$$v_2^2 = 2gh;$$

energia potențială este . . . . .  $W_p = 0$

și energia cinetică . . . . .  $W_c = \frac{1}{2}mv_2^2 = mgh$

iar *energia totală* va fi . . . . .  $W_t = W_p + W_c = mgh$ .

Raționamentul ne arată deci că, în timpul căderii, *energia potențială se transformă treptat în energie cinetică și că, în orice punct al traiectoriei, energia totală păstrează constantă valoarea inițială a energiei potențiale mgh.*

Este evident că ceea ce se petrece cu un corp care cade s-ar petrece, în sens invers, cu un corp aruncat vertical în sus.

Energia cinetică inițială se transformă treptat în energie potențială și se anulează cînd corpul se oprește. Apoi procesul continuă, inversîndu-se din nou, prin cădere.

**2. Conservarea energiei elastice.** Să presupunem că un resort se întinde sub acțiunea unei forțe deformante  $F$ .

Dacă notăm alungirea cu  $x$ , vom avea, în valoare absolută,

$$F = Kx. \quad (68.1)$$

Ca să execute deformarea, forța  $F$  trebuie să lupte împotriva forței elastice, egală și de sens contrar, pe distanța  $x$ , iar *lucrul mecanic efectuat se înmagazinează în resort, ca energie potențială.*

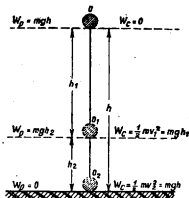


Fig. 136. Conservarea energiei în timpul gravitației.

Dar forța elastică nu e constantă, fiindcă

pentru resortul nedeformat  $F_0=0$ ,  
iar pentru deformarea  $x$   $F_x=Kx$ .

Vom lua deci valoarea medie, fiindcă  $F$  este direct proporțional cu  $x$ ;

$$F_m = \frac{0+Kx}{2} = \frac{1}{2} Kx.$$

Această forță medie, acționînd pe distanța  $x$ , înmagazinează în resort energia

$$W_p = F_m x = \frac{1}{2} Kx^2 \quad (75.1)$$

egală cu lucrul mecanic executat de forța variabilă  $F$ .

**Energia potențială a unui resort deformat este**

$$W_p = \frac{1}{2} Kx^2.$$

Cînd resortul se destinde, dacă a fost comprimat, sau revine la lungimea inițială, dacă a fost întins, el poate să comunice unui corp de masă  $m$  o energie cinetică egală cu energia potențială cedată.

Ne putem convinge că-i așa, dacă așezăm pe resort un corp oarecare și, lăsîndu-l să se destindă, îl facem să-l impuște vertical, în sus.

Corpul se ridică la înălțimea  $h$ , iar experiența ne arată că

$$mgh = \frac{1}{2} Kx^2.$$

De aici putem calcula și viteza de aruncare, fiindcă

$$mgh = \frac{1}{2} mv_0^2.$$

Cu aceste noțiuni preliminare, să considerăm cazul unui *pendul elastic* ce oscilează.

Cînd el atinge elongația maximă  $a$ , viteza e nulă și toată energia este acumulată sub formă potențială.

Avem atunci, potrivit relației (75.1):

$$W_p = \frac{1}{2} Ka^2.$$

Cînd masa oscilantă trece prin poziția de repaus, *energia potențială se anulează*.

Viteza are atunci valoarea cunoscută

$$v = a\omega \quad (51.3)$$

și trece prin maxim, iar energia cinetică va fi

$$W_c = \frac{1}{2}mv^2 = \frac{1}{2}ma^2\omega^2.$$

Dar se știe că la oscilațiile sinusoidale, produse de forțele elastice,

$$m\omega^2 = K. \quad (69.3)$$

Prin urmare energia cinetică maximă este

$$W_c = \frac{1}{2}Ka^2$$

*și regăsim astfel valoarea inițială a energiei potențiale.*

*Același lucru se întâmplă cu orice pendul.* Cînd atinge maximum de elongație, are și maximum de energie potențială, iar energia cinetică este nulă.

Cînd trece prin poziția de repaus, nulă devine energia potențială, ca să treacă integral în energie cinetică.

Facem, bineînțeles, abstracție de orice frecare.

Deocamdată ne-am referit numai la energia mecanică. Vom vedea însă mai tirziu, că principiul conservării este general și că există și alte feluri de energii: calorică, electrică, magnetică, luminoasă etc., care se transformă una în alta, respectînd aceeași lege de conservare.

**3. Zero convențional de energie.** Prin convenție facilă, am admis că energia potențială a unui corp, la suprafața Pămîntului, este nulă. Acest zero de energie potențială e însă cu totul relativ, pentru că, dacă corpul ar cădea mai departe, într-o groapă, am obține un supliment de lucru mecanic.

**Energia se manifestă obișnuit prin variațiile ei și zero de energie se alege convențional.**

Tot așa, la un resort am atribuit poziției de repaus energia potențială nulă. Resortul ar putea totuși să se mai destindă în urma unor transformări interne, așa că și de astă dată zero este relativ.

Trecînd la energia cinetică, trebuie să observăm de asemenea că o evaluăm numai în funcție de *viteza relativă* a unei mase, față de un sistem de referință, fiindcă nu putem cunoaște viteza ei absolută de mișcare în spațiu.

*În concluzie, nu putem aprecia, în mod absolut, energia totală a unui corp sau a unui sistem. Tot ce putem cunoaște sînt variațiile acestei energii, față de un zero relativ, ales prin convenție.*

**4. Energia unui corp în rotație.** La corpurile în rotație, momentul de inerție îndeplinește rolul masei, iar viteza unghiulară ia locul vitezei liniare.

Energia cinetică a unui corp în rotație este

$$W_c = \frac{1}{2} J \omega^2.$$

Energia cinetică se va exprima deci prin relația

$$\boxed{W_c = \frac{1}{2} J \omega^2} \quad (75.2)$$

Corpul înmagazinează această energie cînd este accelerat pînă la viteza unghiulară  $\omega$  și o cedează cînd e frînat.

Un asemenea proces are loc, între altele, în volantul regulator al unei mașini: cînd mașina are de făcut un efort mai mic, viteza unghiulară crește și volantul acumulează energie cinetică; dar dacă, la un moment dat, e nevoie de un efort mai mare, volantul este frînat și cedează din energia acumulată.

Acțiunea regulatoare va fi cu atît mai eficace, cu cît momentul de inerție va fi mai mare.

**5. Aplicație la echilibrul corpurilor.** Revenind asupra problemei statice a echilibrului, se vede ușor că *poziția unui corp, sau a unui sistem oarecare, devine cu atît mai stabilă,*

Orice echilibru stabil implică minimum de energie potențială permisă de legăturile existente.

*cu cît energia potențială este mai mică, fiindcă orice altă orientare, permisă de legăturile existente implică o absorbție de lucru mecanic.*

Această însușire, de a tinde către situația cu energie potențială minimă, este generală și se aplică atît energiei mecanice, cît și celorlalte specii de energie.

## B. Puterea

§ 76. **Noțiunea de putere.** În practică, un lucru mecanic anumit poate fi absorbit sau produs uneori într-un timp mai scurt, alteori într-un timp mai îndelungat.

Noțiunile de *lucru mecanic* și de *timp*, legate între ele, duc astfel la o noțiune nouă: aceea de *putere*.

Lucrul mecanic în unitatea de timp reprezintă puterea.

*Prin definiție, vom numi cășadar putere și vom nota cu  $P$ , lucrul mecanic produs ori absorbit în unitatea de timp.*

Prin urmare,

$$P = \frac{A}{t}$$

(76.1)

1. **Unități și dimensiuni.** Relația de definiție (76.1) ne arată că, în sistemele CGS și MKS,

$$[P] = \left[ \frac{F \cdot l}{t} \right] = L^2 M T^{-3}$$

și se exprimă în *ergi pe secundă* sau în *jouli pe secundă*.

CGS: unitatea este *erg/s*,  
MKS: unitatea este *J/s*,  
MKFS: unitatea este *kgm/s*.

Unitatea CGS (*erg/s*) nu are nume special, dar unitatea practică MKS, reprezentată prin lucrul mecanic de un joule, executat într-o

secundă, se numește *watt* ( $W$ )<sup>1)</sup>.

Ea are ca multipli: *hectowatul* ( $hW$ ) = 100  $W$ , *kilowatul* ( $kW$ ) = 1 000  $W$  și *megawatul* ( $MW$ ) = 1 000 000  $W$ .

În sistemul MKFS, dimensiunile puterii sînt:

$$[P] = \left[ \frac{F \cdot l}{t} \right] = L F T^{-1}$$

și se exprimă în *kilogrammetri pe secundă* ( $kgm/s$ ).

Ținînd seamă că

$$1 \text{ kgm} = 9,81 \text{ J} = 9,81 \cdot 10^7 \text{ erg},$$

se vede imediat că

$$1 \text{ kgm/s} = 9,81 \text{ W} = 9,81 \cdot 10^7 \text{ erg/s}.$$

<sup>1)</sup> De la numele lui *James Watt* (1736—1819), mecanic englez care a perfecționat mașina cu vapor.

$$1 \text{ kgm/s} = 9,81 \text{ W} = \\ = 9,81 \cdot 10^7 \text{ erg/s}, \\ 1 \text{ CP} \approx 736 \text{ W}.$$

Cînd mașinile au început să înlocuiască forța animală în industrie, s-a simțit nevoia de a ști cîți

cai pot fi înlocuiți de o mașină dată.

Măsurările directe au arătat că *un cal voinic poate să efectueze, în mijlociu, 75 kgm/s.*

Această putere a rămas, prin tradiție, ca unitate industrială și s-a numit *cal-putere* (CP).

Ea nu mai are utilitatea de pe vremuri și tinde să fie părăsită. Se vede imediat că

$$1 \text{ CP} \approx 736 \text{ W} = 736 \cdot 10^7 \text{ erg/s}.$$

În sfîrșit, tot în industrie, se întrebîntează și este adoptată oficial o unitate specială de lucru mecanic sau energie, derivată din unitatea de putere.

Ea se numește *wattsecundă* (Ws) și are ca multipli mai obișnuți *kilowattora* (kWh) și *hectowattora* (hWh).

În adevăr, ecuația de dimensiuni

$$[P] = \left[ \frac{A}{t} \right] = L^2 M T^{-3},$$

derivată din însăși relația de definiție a puterii, ne arată că, dacă înmulțim puterea cu timpul, ajungem înapoi la lucrul mecanic.

Este ușor de văzut că

$$1 \text{ kWh} = 10 \text{ hWh} = 1\,000 \cdot 3\,600 \text{ Ws} = 36 \cdot 10^5 \text{ Ws} = 36 \cdot 10^5 \text{ J}.$$

**2. Exemplu comparativ.** Munca fizică a omului, cînd lucrează continuu, dezvoltă o putere destul de mică, de ordinul a 70—100 W. Numai în eforturi de durată foarte scurtă, ea poate să atingă, excepțional, valori de zece ori mai mari. Aceasta ne arată limpede avantajul mașinii, mai ales cînd ne gîndim că, pentru o simplă lampă electrică de birou, este nevoie de cel puțin 40 W.

**3. Acțiunea.** În fizica modernă folosim adesea o mărime specială numită *acțiune*. Ea se definește ca produsul dintre energie și timp. În sistemul CGS, o vom exprima în *ergi-secundă*, cu dimensiunile  $L^2 M T^{-1}$ .

**4. Exemple numerice.** 1) Să se calculeze lucrul mecanic necesar ca să ridicăm un corp cu masa de 100 g, la înălțimea de 3 m.

Forța fiind

$$G = mg = 100 \cdot 981 = 98\,100 \text{ dyn},$$

lucrul mecanic este

$$A = 98\,100 \cdot 300 = 29\,430\,000 \text{ erg}.$$

sau

$$A = \frac{29\,430\,000}{10^7} = 2,943 \text{ J},$$

sau încă

$$A = \frac{2,943}{9,81} = 0,3 \text{ kgm}.$$

2) Să se evalueze în jouli energia necesară ca să imprimăm unei mase de 20 g viteză de 100 m/s.

În sistemul MKS, masa dată reprezintă 0,02 kg. Rezultă că

$$W_c = \frac{1}{2} mv^2 = 0,01 \cdot 10\,000 = 100 \text{ J}.$$

3) Un resort de oțel, cu constanta elastică de  $3 \cdot 10^6$  dyn/cm, comprimat cu 5 cm, aruncă vertical un corp de masă de 20 g. Să se calculeze înălțimea maximă atinsă.

Energia potențială a resortului comprimat este

$$W_p = \frac{1}{2} Kx^2 = 1,5 \cdot 25 \cdot 10^6 = 3,75 \cdot 10^7 \text{ erg}.$$

Cu această energie corpul se va ridica la înălțimea

$$h = \frac{W_p}{mg} = \frac{3,75 \cdot 10^7}{20 \cdot 981} \approx 1\,920 \text{ cm}.$$

4) Cu ce viteză inițială pleacă corpul de mai sus?

Formula lui Galileu ne dă

$$v = \sqrt{2gh} = \sqrt{2 \cdot 981 \cdot 1\,920} \approx 1\,945 \text{ cm/s}.$$

5) Un alpinist antrenat urcă în 4 h pe un munte de 2 000 m și are greutatea de 70 kgf.

Costul tarifar al energiei industriale fiind de 0,50 lei kilowattora, se va calcula puterea dezvoltată și valoarea lucrului mecanic ce s-a produs. Lucrul mecanic produs este

$$A = mgh = 70 \cdot 9,81 \cdot 2\,000 \text{ J} = \frac{70 \cdot 9,81 \cdot 2\,000}{1\,000 \cdot 3\,600} = 0,38 \text{ kWh}.$$

Prețul acestei energii este de

$$0,38 \cdot 0,50 = 0,19 \text{ lei}.$$

Puterea dezvoltată a fost

$$P = \frac{A}{t} = \frac{0,38}{4} = 0,095 \text{ kW}.$$



### C. Scurtă privire istorică

Energia mecanică, prin manifestările ei naturale sau prin aplicațiile practice rezultate: mori de apă, acțiunea motoare a vântului etc. era cunoscută din timpuri străvechi, dar se confunda cu noțiunea de forță.

Primul care a întrevăzut o deosebire a fost *Aristotel*, fiindcă observația lui că, la o pîrghie în echilibru, deplasările capetelor sînt invers proporționale cu forțele, conține în germen atît noțiunea de lucru mecanic, cît și principiul traviului virtual.

Scolastica evului mediu, cu toate că se referea neconținut la opera lui *Aristotel*, cunoscută din traduceri arabe, a pierdut cu totul firul conducător al observației directe și, încălcîndu-se în considerații metafizice, n-a izbutit să facă nici un pas mai departe.

Singura excepție o găsim în manuscrisul lui *Jordanus de Nemore*, descoperit acum 50 de ani, în care se face iarăși, sub vădita influență a lui *Aristotel*, o legătură între forță și deplasare.

Un început de clarificare vine abia cu lucrările lui *Galileu*, care a observat că la planul înclinat și la celelalte mașini simple avem echilibru, cînd o deplasare permisă de legăturile mobile nu modifică poziția centrului de greutate comun, iar *Torricelli* completează această observație cu constatarea că un echilibru stabil implică cea mai joasă poziție posibilă a centrului de greutate.

Pe de altă parte, *Descartes*, contemporan cu *Galileu*, introduce pentru prima dată ideea de forță cu două dimensiuni, înțelegînd prin aceasta o forță care se deplasează, dar concluziile la care ajunge mai departe sînt cu totul greșite.

Pînă aici toată discuția se învîrte în jurul cazului particular al forțelor datorite gravitației; noțiunea de lucru mecanic pare să fi fost înțeleasă, dar nu se vorbește de energie.

Prima enunțare clară se datorește lui *Jean Bernoulli*<sup>1)</sup> și datează din 1717:

*„În orice echilibru de forțe, oricum ar fi aplicate și după orice direcție ar acționa reciproc, fie direct, fie indirect, suma energilor afirmative va fi egală cu suma energilor negative, luate afirmativ”.*

Iar mai departe se definește energia ca produsul dintre forță și deplasarea luată în direcția forței.

La clarificarea problemei au contribuit în mare parte și încercările nereușite pentru realizarea unui *perpetuum mobile*, fiindcă insuccesele se cereau interpretate.

Trebuia găsit răspunsul la întrebarea: *de ce o asemenea mișcare nu poate fi realizată pe Pămînt, printr-un dispozitiv mecanic?*

În problema energiei cinetice, lămurirea a venit mult mai tîrziu, fiindcă aici era nevoie de noțiunea de masă, pe care *Newton* a introdus-o abia în 1687.

<sup>1)</sup> *Bernoulli*. Familie de matematicieni, de origină olandeză, care au trăit la *Basel*. Cei mai cunoscuți sînt *Jacques* (1645—1705), *Jean* (1667—1748) și *Daniel* (1700—1782), care a locuit în Rusia, între 1725 și 1733.

Problema balistică a unui corp aruncat cu viteză inițială a fost îndelung cercetată fără succes, fiindcă noțiunea de energie se confunda cu noțiunea de forță, care, în cazul de față, căpătase numele misterios de *impetu*.

Aici trebuie să cităm din nou pe *Lionardo da Vinci* și pe *Galileu*, care au făcut unele încercări, dar nu le-au putut interpreta.

Abia în 1696, *Leibnitz*, în urma unei controverse cu *Descartes*, observă că ideea de conservare, aplicată lucrului mecanic și cantității de mișcare, luate împreună, duce la concluzia că accelerarea unui corp implică de asemenea un lucru mecanic.

Păstrind vechea expresie de *forță*, aplicată pe vremea lui la aceste fenomene, el numește produsul  $mv^2$  *forță vie*, iar *Huyghens*, în studiile lui despre pendulul compus, adaugă coeficientul  $\frac{1}{2}$  și descopere legea conservării energiei mecanice, reprezentată prin suma energiilor potențială și cinetică.

Mai menționăm că *Stevin*, încercînd să realizeze un perpetuum mobile de felul aceluia din fig. 135 și constatînd insuccesul, a reușit să lămurească problema echilibrului corpurilor pe planul înclinat.

## CAPITOLUL V

### ATRACTIA UNIVERSALĂ

§ 77. **Legile lui Kepler.** Pe baza tuturor observațiilor cunoscute pe vremea lui, completate și cu observații proprii, *Kepler*<sup>1)</sup>

1) Planetele descriu elipse, cu Soarele într-un focar.

2) Razele vectoriale mătură arii egale în timpuri egale.

3)  $T^2/R^3 = \text{const.}$

a enunțat, în 1619, următoarele trei legi, cu privire la mișcarea planetelor în jurul Soarelui:

1) *Traietoriile descrise sînt elipse, cu Soarele într-un focar* (fig. 137).

2) *Razele vectoriale mătură arii egale, în timpuri egale.*

3) *Pătratele timpurilor de revoluție sînt direct proporționale cu cuburile distanțelor mijlocii, față de Soare.*

Așadar, pentru orice planetă

$$\frac{T^2}{R^3} = C, \quad (77.1)$$

unde  $C$  este constanta de proporționalitate.

<sup>1)</sup> *Johann Kepler* (1571—1630), ilustru astronom german, unul din fondatorii astronomiei moderne. A fost profesor la *Graz*, la *Linz*, apoi la *Praga*.

Kepler a descoperit legile arătate, dar n-a izbutit să le dea o explicație. Aceasta a venit abia cu 63 de ani mai târziu, odată cu lucrările lui *Newton*.

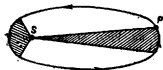


Fig. 137. Legea ariilor.

**§ 78. Legea atracției universale.** Faptul că orice planetă se menține pe o anumită orbită, care nu este rectilinie, înseamnă că rotația în jurul Soarelui are o accelerație centrală, datorită unei forțe centrale.

Newton admite că această forță provine dintr-o atracție a Soarelui asupra planetei.

Ideea existenței unei astfel de atracții nu era nouă pe vremea lui. Noi sint concluziile la care ajunge, interpretarea legilor lui Kepler, legea finală descoperită și generalizarea ei.

Vom considera, pentru simplificare, orbita unei planete ca aproximativ circulară, ceea ce corespunde în multe cazuri cu realitatea. Masa planetei fiind  $m$ , principiul acțiunii și reacțiunii va impune relația

$$F_c = m\omega^2 r = m \frac{4\pi^2}{T^2} r,$$

prin care se egalează forța centrală de atracție cu forța centrifugă, la distanța  $r$ .

Legea a treia a lui Kepler ne spune însă că

$$T^2 = Cr^3$$

și făcând înlocuirea găsim:

$$F_c = \frac{4\pi^2}{C} \cdot \frac{m}{r^2} = K \frac{m}{r^2},$$

unde  $K$  este o nouă constantă.

Raționamentul ne duce așa la o primă concluzie importantă:

Forța centrală este direct proporțională cu masa planetei și invers proporțională cu pătratul razei orbitei.

*Forța centrală de atracție a Soarelui este direct proporțională cu masa planetei și invers proporțională cu pătratul razei orbitei descrise.*

Dar atracția dintre Soare și planetă fiind reciprocă, forța trebuie să fie proporțională și cu masa Soarelui  $M$ .

Înlocuind iarăși constanta  $K$  prin alta  $\kappa$  (se citește *kapa*), pentru a păstra egalitatea, vom avea deci

$$F_c = \kappa \frac{M \cdot m}{r^2}.$$

*Newton extinde și generalizează această relație, admitînd că rămîne valabilă oricînd și oriunde s-ar găsi două mase oarecare  $m_1$  și  $m_2$ , la o distanță  $r$  una de alta.*

El enunță astfel o lege universală, sub forma:

Corpurile se atrag cu forțe direct proporționale cu masele și invers proporționale cu pătratul distanței.

*In orice situație, două corpuri date se atrag cu forțe direct proporționale cu masele respective și invers proporționale cu pătratul distanței, măsurată între centrele lor de greutate.*

Așadar,

$$F = \kappa \frac{m_1 m_2}{r^2}.$$

(73.1)

Aceasta este *legea atracției universale*.

Newton o verifică în următoarea situație:

Orbita Lunii fiind practic circulară, accelerația centripetă, datorită atracției Pămîntului, este

$$a_n = \frac{4\pi^2 r}{T^2}.$$

Datele numerice din această relație se cunosc. Ele sînt:

$$r = 384 \cdot 10^6 \text{ m},$$

$$T = 236 \cdot 10^4 \text{ s}.$$

Rezultă că

$$a_n = 0,0027 \text{ m/s}^2.$$

La distanța Lunii, un corp de masă  $m$  ar fi deci atras de Pămînt cu forța

$$F_1 = m a_n = m \cdot 0,0027 \text{ N}.$$

Pe Pămînt, același corp ar fi atras de gravitație cu forța

$$F_2 = m g = m \cdot 9,81 \text{ N}.$$

Conform legii stabilite, aceste forțe ar trebui să fie invers proporționale cu pătratul distanțelor. Știind că raza orbitei lunare este de 60 de ori mai mare decât raza Pământului, se vede imediat că, în adevăr,

$$\frac{mg}{ma_n} = \frac{m \cdot 9,81}{m \cdot 0,0027} = \frac{60^2}{1^2}.$$

Atracția gravitației pentru corpurile de la suprafața Pământului apare deci ca un caz particular al legii de atracție universală.

Masele se atrag ca și cum ar fi concentrate în centrele de greutate.

Faptul că, în expresia forței de atracție, distanțele se măsoară între centrele de greutate, ne arată că

masele se atrag ca și cum ar fi concentrate în centrele de greutate respective.

### 1. Semnificația constantei $\kappa$ . În relația

$$F = \kappa \frac{m_1 m_2}{r^2}, \quad (78.1)$$

factorul de proporționalitate  $\kappa$  se numește *constanta atracției universale*.

În sistemele CGS și MKS ea are dimensiunile

$$[\kappa] = \frac{\text{MLT}^{-2}\text{L}^2}{\text{M}^2} = \text{L}^3\text{M}^{-1}\text{T}^{-2}$$

și se exprimă în  $\text{cm}^3/\text{g} \cdot \text{s}^2$  sau în  $\text{m}^3/\text{kg} \cdot \text{s}^2$ .

Dacă presupunem că  $m_1 = m_2 = 1$  și că  $r = 1$ , rezultă

$$F = \kappa.$$

Constanta  $\kappa$  reprezintă deci numeric forța cu care s-ar atrage două mase-unitate, la unitatea de distanță.

2. *Determinarea constantei  $\kappa$* . Newton era convins că determinarea directă a constantei  $\kappa$  nu este posibilă, fiindcă, pentru corpurile de pe Pământ, forțele de atracție sînt prea mici ca să poată fi măsurate.

Totuși, la numai 70 de ani după moartea lui, Cavendish<sup>1)</sup> a izbutit să facă această determinare. Metoda folosită are numai

<sup>1)</sup> Henry Cavendish (1731—1810), fizician și chimist englez. A descoperit hidrogenul.

o valoare istorică, fiindcă de atunci încoace s-au ivit altele mai bune <sup>1)</sup>. Dintre toate, vom descrie pe cea mai precisă.

De brațele unei balanțe foarte sensibile se atârână, cu fire subțiri de metal, două mase de plumb, de câte un kilogram (fig. 138).

Între aceste mase, notate cu  $A$  și  $B$ , se interpune o masă de plumb, prevăzută cu două canale, care cîntărește câteva zeci de mii de kilograme și le atrage.

Întîi se echilibrează balanța, apoi se mută masele  $A$  și  $B$  în pozițiile  $A'$  și  $B'$ .

Forțele de atracție din interiorul sistemului se inversează atunci și balanța nu mai este în echilibru, iar ca s-o readucem la orizontală, trebuie să adăugăm în talgere greutăți etalonate.

Masele și forțele fiind astfel cunoscute, relația (78.1) ne permite să calculăm valoarea lui  $\kappa$ .

Exprimată în unități CGS, avem, după datele cele mai precise de pînă acum,

$$\kappa = 6,67 \cdot 10^{-8} \text{ CGS},$$

ceea ce înseamnă că două mase de câte un gram, puse la distanța de un centimetru, se atrag cu o forță de  $6,67 \cdot 10^{-8}$  dyn, adică aproximativ  $7 \cdot 10^{-11}$  gf.

Constanta atracției universale este în adevăr foarte mică!

**3. Determinarea masei globului.** La suprafața Pămîntului, masa de un gram este atrasă cu forța de 981 dyn. Dacă o egalăm cu forța calculată din formula lui Newton, avem, din punct de vedere numeric,

$$F = 981 = 6,67 \cdot 10^{-8} \frac{M}{R^2},$$

unde  $M$  este masa globului și  $R$  este raza Pămîntului.

<sup>1)</sup> Valoarea găsită de Cavendish, pentru constanta  $\kappa$  este totuși destul de apropiată de aceea pe care o admitem în prezent.

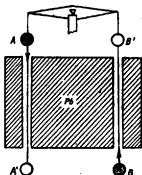


Fig. 138. Determinarea constantei atracției universale.

Știind că  $R \approx 6 \cdot 10^8$  cm, găsim că masa globului este

$$M \approx 6 \cdot 10^{27} \text{ g} = 6 \cdot 10^{21} \text{ t},$$

de unde rezultă densitatea mijlocie

$$\rho^1) = 5,5 \text{ g/cm}^3.$$

Cum păturile superficiale au aproximativ densitatea  $2,6 \text{ g/cm}^3$ , deducem că, în adâncime, densitatea trebuie să fie mai mare decât cea mijlocie. Această densitate ridicată se atribuie prezenței fierului. Contribuie, de sigur, și presiunea enormă dezvoltată de păturile superficiale.

O dată cunoscută masa Pământului, tot relația lui Newton ne permite să calculăm masa Soarelui și a celorlalte planete.

Legile lui Kepler și legea lui Newton au dus la dezvoltarea unui capitol fundamental de astronomie, numit *mecanica cerească*, în care se studiază, în legătură cu legile dinamicii, mișcările corpurilor cerești.

Nu este cazul să intrăm în amănunte. Totuși, vom cita câteva rezultate deosebit de importante.

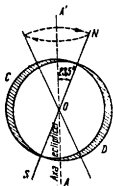


Fig. 139. Precesia axei pământului.

1) Acțiunile reciproce de atracție dintre planete turbură, în oarecare măsură, mișcarea lor în jurul Soarelui. Din studiul unor astfel de perturbări, ce apar la planeta *Uranus*, *Leverrier*<sup>2)</sup> a dedus în 1846, că trebuie să existe o planetă importantă, încă necunoscută, și i-a calculat dinainte poziția în care ar fi situată pe cer, la un moment dat.

Această planetă a fost apoi descoperită exact în locul prevăzut și a fost numită *Neptun*.

2) Tot unei acțiuni perturbatoare, de astă dată chiar din partea Soarelui, se datorește mișcarea de precesie a axei globului.

Se știe că Pământul își menține constantă înclinația de  $23,5^\circ$  față cu orbita, din cauza efectului giroscopic. Pământul fiind însă turtit la poli, apare o disimetrie, fiindcă porțiunea hașurată C (fig. 139) este mai aproape de Soare, și deci atrasă mai tare decât porțiunea opusă D.

<sup>1)</sup>  $\rho$  = literă grecească mică; se citește *ro*.

<sup>2)</sup> *Urbain-Jean-Joseph Leverrier* (1811—1877), astronom francez, fost director al observatorului din Paris.

Această acțiune disimetrică tinde să rotească axa Pământului, în planul figurii, ca s-o aducă pe direcția  $AA'$ . Ca orice giroscop, sistemul capătă atunci o mișcare de precesie și axa  $NS$  descrie un con cu două pînze.

Perioada precesiei este de 25 800 de ani. Astfel se explică în parte schimbările de climat în cursul erelor geologice, cît și o foarte lentă deplasare aparentă a stelei polare, astfel că peste 12 000 de ani, locul ei îl va lua steaua *Vega*, din constelația *Lyrei*.

3) În sfîrșit, mai trebuie să menționăm că, tot pe baza legii atracției universale, Newton însuși a clădit o *teorie a mareelor*, care se datoresc în cea mai mare parte atracției Lunii asupra oceanului, peste care se suprapune altă atracție mai slabă, datorită Soarelui.

*Corectarea legilor căderii libere.* În studiul legilor căderii libere, în timpul gravitației, am admis că greutatea unui corp în cădere se menține constantă și de aceea mișcarea este uniform accelerată.

Această aproximație se justifică prin faptul că, obișnuit, înălțimea de la care cade un corp este foarte mică, în comparație cu raza Pământului.

Legea lui Newton ne arată însă că, pentru înălțimi de cădere mai mari, forța de atracție a Pământului poate să varieze simțitor și mișcarea nu mai este uniform accelerată.

Accelerația crește, în acest caz, proporțional cu pătratul distanței parcurse, după aceeași lege ca și forța.

De asemenea, dacă mișcarea de cădere se petrece în apropierea unui corp de masă foarte mare, de pildă la poalele unui munte, apare o forță mutuală de atracție, care deviază traiectoria lateral.

Aceeași deviație o suferă, de altfel, și direcția firului cu plumb. Topometriei trebuie să țină seama de dînsa cînd fac ridicări pe teren, în regiunile muntoase.

*Prospecțiuni geologice.* Cunoașterea cît mai precisă a valorii lui  $g$ , care reprezintă nu numai accelerația gravitației într-un loc dat, ci și valoarea numerică a forței cu care Pământul atrage unitatea de masă, are o importanță practică deosebită. O modificare de textură a straturilor geologice, o îngrămădire de substanțe mai dense sau mai puțin dense decît păturile vecine, de exemplu o pungă de gaz metan, un zăcămint de sare sau de petrol, prezența unor minereuri în cantitate mare, pot să modifice sensibil densitatea mijlocie a scoarței Pământului, în regiunea respectivă și, o dată cu aceasta, forța de atracție newtoniană față de corpurile de la suprafață.

Oscilațiile unui pendul vor fi, de aceea, mai rapide într-o regiune cu pături de densitate mai mare, decît în alta cu densități mai mici.

Determinînd valorile accelerației gravitației putem deci să ne dăm seamă dacă subsolul conține pături de densitate neobișnuită și să nu mai căutăm acolo unde știm dinainte că nu vom găsi nimic deosebit.

Fizicianul maghiar *Eötvös* a construit pe acest principiu un aparat special, cu care se pot face asemenea cercetări, în condiții deosebite de precizie<sup>1)</sup>.

<sup>1)</sup> *Roland Eötvös* (1848—1919), fost profesor la universitatea din Budapesta. Aparatul este cunoscut sub numele de *balanșa lui Eötvös*.



4. *Masa inertă și masa gravitațională.* Legea atracției universale ne arată că masele se manifestă nu numai prin *inerția* lor față de acțiunea forțelor exterioare, dar și prin însușirea de a dezvolta, prin ele însele, forțe de atracție, față de alte mase.

Noțiunea de masă poate fi astfel definită pe două căi, cu totul independente:

O dată din relația

$$F = ma, \quad (61.1)$$

unde apare sub forma *inerțială*, iar a doua oară din relația

$$F = \gamma \frac{m_1 m_2}{r^2}, \quad (78.1)$$

unde apare sub forma *gravitațională*.

Masa inertă și masa gravitațională sînt una și aceeași mărime fizică.

Newton și-a pus de la început întrebarea dacă nu cumva cele două definiții se referă, în realitate, la mărimi fizice diferite, care devin egale numeric numai în anumite cazuri particulare.

Experiențele făcute, în care o masă dată era lăsată să se manifeste întii gravitațional și apoi inerțial, au arătat că *masa gravitațională și masa inertă sînt, în fond, una și aceeași mărime fizică*.

Teoria gravitației, elaborată de *Einstein*, confirmă acest punct de vedere, așa că în prezent nu se mai face nici o deosebire.

§ 79. *Acțiunea la distanță.* Newton se abține de la orice fel de ipoteze, cu privire la cauza intimă a fenomenelor de atracție a maselor, dar scrie textual:

*„A admite că un corp ar putea să acționeze la distanță asupra altuia, prin vid, fără ceva intermediar care să transmită această acțiune, mi se pare o absurditate”.*

Am reprodus acest pasaj, fiindcă ne va servi ca bază de plecare pentru a lămuri, în oarecare măsură, ce rol joacă mediul separator în transmiterea forțelor newtoniene.

Pentru fixarea ideilor, presupunînd că Pămîntul este o sferă omogenă, să considerăm cîmpul lui de atracție, definit prin spațiul în care își exercită acțiunea.

Teoretic, spațiul acesta se întinde la infinit, dar practic existența cîmpului nu se mai face simțită, de la o distanță oarecare înainte.

Dacă facem abstracție de influența mișcării diurne de rotație și mai admitem că Pămîntul este o sferă perfectă și omogenă, firul cu plumb ne arată că direcția forței gravitaționale se confundă cu verticala locului de observație. Iar dacă urmăm, din aproape în aproape, această direcție, depărtîndu-ne în spațiu, drumul parcurs va fi o linie dreaptă.

Pentru totalitatea punctelor de pe suprafața globului, materializăm astfel o infinitate de drepte, ce converg în centrul Pămîntului, se resfiră în spațiu și reprezintă, ceea ce numim, *liniile de forță* ale cîmpului pămîntesc (fig. 140).

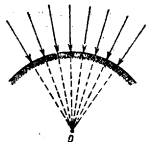


Fig. 140. Liniile de forță ale Pămîntului.

Complicînd situația, să presupunem că ne aflăm în apropierea unui corp de masă mare, de pildă la poalele unui munte.

De astă dată, firul cu plumb nu se mai orientează după verticală, fiindcă acțiunea muntelui îl deviază cu atît mai tare, cu cît l-am duce mai aproape de centrul lui de greutate.

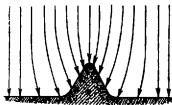


Fig. 141. Masa unui munte deviază liniile de forță ale Pămîntului.

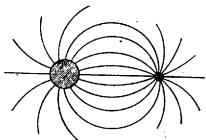


Fig. 142. Liniile de forță între două mase.

Iar dacă urmărim, din aproape în aproape, această direcție, depărtîndu-ne în spațiu, constatăm că *liniile de forță, la care atît firul, cît și forțele cîmpului se mențin mereu tangente, sufăr*

o *deformare* de ansamblu și capătă o formă curbată, așa cum arată fig. 141.

Ele nu revin la forma rectilinie și la direcția verticală, decît la distanțele pentru care atracția muntelui devine practic neglijabilă.

O masă suplimentară, într-un cîmp newtonian, deformează liniile de forță.

Prin urmare, *liniile de forță ale unui cîmp newtonian se deformează și iau o formă curbată, cînd în acel cîmp mai există și alte mase* (fig. 142).

Făcînd un pas mai departe, să considerăm acum două mase situate la distanță în spațiu, de pildă Luna și Pămîntul (fig. 142).

Liniile de forță ale cîmpului pămîntesc vor fi atunci deformatе de acțiunea Lunii și invers.

Ele se curbează și leagă cele două mase, prin trăsături continue, iar vectorul cîmpului, în orice punct al spațiului, se va menține tangent la aceste linii de forță.

*Prin urmare, atracțiile newtoniene se transmit la distanță numai din aproape în aproape, după liniile de forță ce leagă continuu masele în prezență.*

Aspectul acestor linii de forță boltite amintește forma unei bare de oțel îndoită și astfel e ca și cum în mediul separator, chiar cînd e vidul interplanetar, s-ar produce unele tensiuni, de ordin *cuasielastic*.

Prin ipoteză, am putea să admitem că există o substanță cu însușiri speciale, care umple întregul spațiu și să o numim „*eter universal*”.

Cînd masele ce se atrag se apropie una de alta, de pildă cînd un corp cade spre Pămînt, energia potențială scade, odată cu scurtarea liniilor de forță, iar ca urmare tensiunile din eter tind spre minimum posibil.

În fond, această ipoteză, a eterului universal, nu ne duce prea departe fiindcă, de fapt, nu cunoaștem încă nici mecanismul de transmitere, nici originea fenomenelor gravitaționale.

De aceea interpretarea proceselor energetice, prin accentuarea sau slăbirea tensiunilor *cuasielastice* din eter, trebuie să fie considerată mai mult ca o imagine mecanică intuitivă, decît ca un fapt fizic, în stare să fundamenteze o teorie.

Tot ce putem afirma, pe bază experimentală, este că există un cîmp gravitațional, care transmite interacțiunile maselor, din

aproape în aproape și ale cărui modificări sînt însoțite de absorbție sau liberare de energie mecanică.

**Cîmpul gravitațional** reprezintă o formă specială a materiei.

*Acest cîmp reprezintă o formă specială a materiei, despre care informațiile noastre, în starea de față*

a cunoștințelor, sînt încă foarte limitate.

Este probabil că acțiunile gravitaționale se propagă în spațiu cu o viteză finită, egală cu a luminii în vid, însă determinarea experimentală nu s-a putut face pînă acum.

**§ 80. Potențialul gravitațional.** Să considerăm un cîmp gravitațional, figurat prin liniile de forță, pe care săgețile arată sensul în care ar fi atrasă o masă oarecare (fig. 143).

Prin definiție, se numește *diferență de potențial gravitațional* valoarea numerică a lucrului mecanic implicat, cînd unitatea de masă ar fi transportată între două puncte date,  $a$  și  $b$ , în cuprinsul cîmpului.

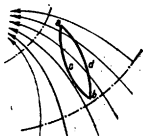


Fig. 143. Diferența de potențial newtonian nu depinde de forma traiectoriei.

Vom nota simbolic această mărime cu  $V_a^b$ .

**Diferența de potențial gravitațional** se exprimă numeric prin lucrul mecanic al transportului unității de masă între două puncte date, dintr-un cîmp newtonian.

Acest lucru mecanic este absorbit sau produs, după cum transportul se execută împotriva forțelor cîmpului sau în sensul lor.

Dacă transportul unei mase oarecare  $m$  implică lucrul mecanic  $A$ ,

vom avea, evident, pentru unitatea de masă,

$$V_a^b = \frac{A}{m}.$$

(80.1)

Diferența de potențial, fiind legată de mărimile scalare *masă* și *lucru mecanic*, este de asemenea o mărime scalară. După siste-

mul de unități ales, o vom exprima în *ergi pe gram*, în *jouli pe kilogram* sau în *kilogrammetri pe unități de masă MKIS*.

Se vede ușor că *ea nu depinde de forma sau lungimea drumului parcurs, ci numai de poziția punctelor alese în câmp*.

În adevăr, dacă ar depinde, am putea să ducem o masă din *b* în *a* pe un drum *bca* și să consumăm lucrul mecanic *A*. După aceea am lăsa forțele câmpului s-o aducă înapoi pe drumul *adb* și să producă un lucru mecanic

$$A_1 > A.$$

În felul acesta, la sfârșitul operației am avea un câștig de lucru mecanic, deci o abatere de la principiul conservării, și am putea realiza un *perpetuum mobile*.

**Diferența de potențial nu depinde de forma sau lungimea drumului parcurs în câmp.**

**Orice traiectorie sau suprafață perpendiculară pe liniile de forță este echipotențială.**

Din fig. 143 se vede de asemenea că transportul unei mase după o traiectorie perpendiculară pe liniile de forță nu implică nici un lucru mecanic, prin urmare nici o diferență de potențial.

De aceea, *orice suprafață perpendiculară pe liniile de forță ale câmpului se numește echipotențială*.

În câmpul atracției Pământului, suprafețele echipotențiale sînt sfere concentrice, care, într-o regiune limitată, pot fi considerate ca plane orizontale.

Aceasta justifică denumirea de *suprafețe de nivel* care se dă obișnuit suprafețelor echipotențiale.

Pe măsură ce ne depărtăm de o masă dată, forța newtoniană devine din ce în ce mai mică, așa că nu putem calcula lucrul mecanic direct din relația

$$A = Fl. \quad (70.1)$$

Dacă transportul se face însă pe o distanță foarte mică  $\Delta l$ , putem admite cu aproximație că totuși forța se menține constantă.

În cazul acesta vom avea, între două puncte foarte apropiate, diferența de potențial

$$\Delta V = \frac{F \cdot \Delta l}{m}.$$

În apropierea Pământului, câmpul gravitațional este aproximativ constant, așa că între două puncte situate la înălțimile  $h_1$  și  $h_2$ , diferența de potențial este

$$\Delta V = F \frac{h_2 - h_1}{m} = mg \frac{h_2 - h_1}{m} = g (h_2 - h_1).$$

*Prin convenție, putem considera potențialul la nivelul solului ca nul.* În cazul acesta putem spune că potențialul la înălțimea  $h$  este

$$V_h = gh$$

și dacă înmulțim în ambii membri cu  $m$ , regăsim expresia energiei potențiale  $mgh$ .

Vom reveni asupra noțiunii de potențial la studiul câmpurilor electrice.

*Exemplu numeric.* Ce valoare capătă greutatea unui corp care are o masă de un gram, cînd îl ridicăm la 8000 m?

La nivelul mării, forța newtoniană pentru unitatea de masă este

$$F_0 = \kappa \frac{M}{R^2}, \quad (78.1)$$

unde  $M$  este masa Pământului și  $R$  raza lui.

La înălțimea  $h$ , avem

$$F_h = \kappa \frac{M}{(R+h)^2}.$$

Aceste două relații, împărțite membru cu membru, ne dau

$$\frac{F_h}{F_0} = \frac{R^2}{(R+h)^2},$$

de unde

$$F_h = F_0 \frac{R^2}{(R+h)^2}.$$

Raza Pământului are 6370 km. Prin urmare, la înălțimea de 8 km, greutatea unui gram devine

$$F_h = 981 \left( \frac{6370}{6378} \right)^2 = 977 \text{ dyn} = 0,996 \text{ gf},$$

adică cu 4 mgf mai mică decît la nivelul mării.

În aceste condiții, atracția gravitației poate fi considerată ca practic constantă, în limitele la care ne putem ridica deasupra Pământului.

## CAPITOLUL VI

### CORPURI DEFORMABILE

#### A. Noțiuni generale

§ 81. **Proprietățile și structura corpurilor.** Observația zilnică ne arată că există în natură corpuri *solide, lichide și gazoase* și că unul și același corp, de exemplu apa, se poate prezenta sub toate trei formele, pe care le numim *stări de agregare*.

În natură există trei stări de agregare, dar trecerea de la una la alta nu este totdeauna categorică.

*Solidele* se caracterizează prin formă și volum fixe.

*Lichidele* au volum fix, dar iau forma vasului în care le punem.

*Gazele* sînt expansibile și compresibile, de aceea nu au fixe nici forma, nici volumul.

Uneori, prin variația temperaturii sau presiunii, trecerea de la o stare la alta se face brusc. Alteori, această trecere nu este categorică, ci parcurge o serie de stări intermediare.

De exemplu, ceara, smoala sau sticla se moale treptat cînd le încălzim și devin *păstoase*.

Vom vedea mai tîrziu că asemenea treceri treptate pot să apară și între starea lichidă și cea gazoasă.

Definițiile de mai sus ale stărilor de agregare sînt numai aproximative și dictate de limbajul curent.

În faptă, *ele se deosebesc prin rezistența pe care o opun la deformare sau comprimare*, mai mare la solide, mai mică la lichide și, comparativ, extrem de mică la gaze.

Ca să putem lămuri originea acestor deosebiri, va trebui să facem înții o descriere sumară a structurii interne a corpurilor.

1. *Divizibilitate.* Experiența ne arată că putem divide corpurile în particule foarte mici, fără să intervină o schimbare de proprietăți fizice sau chimice.

Prin curentul electric se pot depune pături metalice continue de cîteva sutimi de micron.

Apa, în picăturile de ceață, ajunge de asemenea într-o stare de divizare foarte înaintată, dar tot apă rămîne.

Un alt exemplu îl găsim la unele substanțe mirositoare; de exemplu prezența a  $2 \cdot 10^{-14} \text{ cm}^3$  de mercaptan, la litrul de aer, încă se mai face simțită.

**2. Atomi și molecule.** O cercetare mai amănunțită ne arată că totuși divizarea nu poate merge oricât de departe.

De pildă, o picătură de ulei pusă pe apă se răspîndește într-o pătură, a cărei grosime, cînd este continuă, reprezintă o limită inferioară, de la care înainte se rupe, dar nu se mai subțiază. Aceeași constatare o putem face și cu un balon de săpun.

Numeroase experiențe de același fel, unite cu observațiile chimiștilor, au impus treptat o concepție structurală, întrevăzută de filozofii antici și fundamentată științific de *Lomonosov*, după care corpurile sînt formate din particule numite *atomi*. Acestea sînt indivizibile din punct de vedere chimic și pot să se unească între dînsese, ca să formeze alte particule mai complexe, numite *molecule*.

Elementele chimice sînt formate din atomi de același fel.

Uneori acești atomi se leagă cîte doi sau cîte trei, ca să formeze molecula de  $\text{H}_2$ ,  $\text{N}_2$ ,  $\text{O}_2$ ,  $\text{O}_3$  etc.

În alte cazuri, de pildă la gazele nobile, atomii nu se leagă între dînșii, ci rămîn separați. Molecula este atunci *monoatomică*.

Legarea atomilor de specii diferite formează moleculele substanțelor compuse. Uneori această grupare poate să strîngă la un loc mai multe sute de mii de atomi, ca să formeze așa-numitele *macromolecule* (cauciuc, albumine, rășini etc.).

Microscoapele electronice moderne permit să distingem aceste macromolecule și să ne convingem de existența lor.

Ca dimensiuni geometrice, ordinul de mărime al razei atomilor este de aproximativ  $10^{-8} \text{ cm}$  și depinde, bineînțeles, de natura lor.

Masa atomilor și moleculelor se exprimă obișnuit prin comparație cu  $1/16$  din masa atomului de oxigen.

Exprimate în această unitate, masele atomice sînt:

$$\text{O} = 16; \text{H} = 1,008; \text{N} = 14,008; \text{S} = 32,07; \dots \text{ etc.}$$

Aceste valori sînt *relative*, fiindcă rezultă dintr-o simplă comparație.

Se folosesc de asemenea și denumirile de *atom-gram* și *moleculă-gram* sau *mol*.



Aceste cantități reprezintă, prin definiție, tot atâtea grame de substanță cât este masa atomică sau moleculară respectivă.

De pildă, un atom-gram de oxigen are 16 g, iar o moleculă-gram de apă reprezintă 18,016 g.

3. *Legea lui Avogadro*. Studiind combinațiile chimice ale gazelor, Avogadro<sup>1)</sup> a ajuns la următoarea concluzie:

La temperaturi și presiuni egale, volume egale de gaze diferite conțin același număr de molecule.

*In aceleași condiții de presiune și de temperatură, volume egale de gaze diferite conțin același număr de molecule.*

În cazul particular, când este vorba de *volumul molecular*, adică de volumul unei molecule-gram  $V_m$ , determinările directe au arătat că, la temperatura de 0 °C și presiunea normală

Volumul molecular al tuturor gazelor, la 0 °C și presiunea normală, este

$$V_m = 22\,341 \text{ cm}^3$$

$$V_m = 22\,341 \text{ cm}^3$$

și conține

și numeroase metode de cercetare au dus concordant la rezultatul că acest volum de gaz conține

$$N = 6,02 \cdot 10^{23}$$

molecule.

$$N = 6,02 \cdot 10^{23} \text{ molecule.}$$

Această constantă se notează totdeauna cu  $N$  și este cunoscută sub numele de *numărul lui Avogadro*.

Vom arăta mai târziu cum s-a putut ajunge la determinarea numărului  $N$ . Deocamdată trebuie să mai menționăm că, din înșuși felul în care am definit molecula-gram, rezultă că:

Pentru toate corpurile, molecula-gram conține același număr  $N$  de molecule.

*Pentru toate corpurile, molecula-gram conține  $N = 6,02 \cdot 10^{23}$  molecule, chiar dacă starea de agregare și volumul molecular sînt diferite.*

Cunoașterea numărului lui Avogadro și a maselor moleculare sau atomice relative ne permite să aflăm masa absolută în grame.

<sup>1)</sup> Amadeo Avogadro (1776—1856), fizician italian, fost profesor la Torino.

Astfel, dacă masa relativă a atomului de hidrogen este 1,008, masa în grame va fi

$$H = \frac{1,008}{6,02 \cdot 10^{23}} = 1,67 \cdot 10^{-24} \text{ g,}$$

iar pentru oxigen,

$$O = \frac{16}{6,02 \cdot 10^{23}} = 2,66 \cdot 10^{-23} \text{ g.}$$

4. *Structura atomului.* Amănuntele vor fi studiate mult mai pe larg în alte capitole.

Pentru nevoile momentane menționăm numai că:

- 1) Edificiul atomic este destul de complex. El are un *nucleu*, format dintr-o aglomerare de particule de masă aproape egală cu a atomului de hidrogen.

Unele din aceste particule sînt încărcate cu electricitate *pozitivă* și se numesc *protoni*, iar altele sînt *neutre* și se numesc *neutroni*.

- 2) În jurul nucleului, al cărui diametru este de ordinul a  $10^{-12}$  cm gravitează, la distanță de 10 000 de ori mai mare, niște particule satelite, încărcate negativ, care se numesc *electroni*.

Masa electronului este de aproape 2 000 de ori mai mică decît a celorlalte particule, iar sarcina lui electrică este egală, în valoare absolută, cu a protonului.

- 3) În mod normal, atomul are tot atîția protoni cîți electroni. Numărul lor dictează caracterul chimic al elementului și depinde de poziția lui în tabela lui Mendeleev. El variază între 1, pentru hidrogen, și 92, pentru uraniu.
- 4) În condiții speciale, un atom poate să piardă unul sau mai mulți electroni sateliți și rămîne cu surplusul sarcinii pozitive a protonilor. El devine atunci un *ion pozitiv*. Alteori poate să-și atașeze un electron satelit supranumerar și devine un *ion negativ*.

În mod normal, încărcările protonilor și electronilor fiind egale, atomul este *neutru* din punct de vedere electric.

- 5) Masa electronului fiind foarte mică, aproape întreaga masă a atomului este concentrată în nucleu.

5. *Forțe intermoleculare.* Forțele chimice, care se manifestă prin *valențele* ce leagă atomii dintr-o moleculă, sînt

adesea de natură electrică, deci analoge cu acele care mențin electronii sateliți în jurul nucleului.

În combinațiile chimice, un atom de o specie oarecare poate să cedeze din electronii sateliți altui atom de specie diferită, ca să devină el însuși un *ion pozitiv*, iar celălalt un *ion negativ*.

De exemplu, în combinația NaCl, ionul pozitiv este *sodiul*, iar ionul negativ este *clorul*.

Ionii contrari se atrag, dar *totodată apare și o respingere*, datorită interacțiunii de ansamblu a celor două sisteme de electroni sateliți ai atomilor.

Legea echilibrului ne spune că distanța lor se va stabili la valoarea pentru care suma energiilor potențiale, în cele două cîmpuri contrarii, este minimă. Urmează că orice deplasare, într-un sens or în altul, implică o creștere a energiei potențiale, deci o tendință de revenire la situația inițială.

**Acțiunile simultane de atragere și respingere duc la o situație de echilibru cu minimum de energie potențială.**

Asemenea fenomene suprapuse, de atracție și respingere, cu tendința de stabilizare a distanțelor, apar și între molecule, mai ales la solide și (în măsură mai redusă) la lichide.

Așa se explică atât *rezistența la comprimare sau dilatare*, cât și apariția *forțelor de coeziune*.

La gaze, distanțele intermoleculare sînt incomparabil mai mari. De aceea, forțele electrice nu se mai pot manifesta, iar coeziunea devine practic nulă.

Forțele de atracție pot să apară și între suprafețele de contact a două corpuri diferite, cînd sînt foarte apropiate una de alta. În cazul acesta rezultă o *adeziune*: apa se lipește de sticlă, creta de tablă, cositorul de alte metale și așa mai departe.

**6. Agitația termică.** O serie de fapte experimentale și teoretice au dus la concepția că moleculele unui corp sufăr o mișcare neîntreruptă de agitație, care se intensifică o dată cu ridicarea temperaturii.

La solide, moleculele ocupă anumite poziții stabile de echilibru, pe care nu le pot părăsi și, în jurul cărora, agitația termică se limitează la simple oscilații de amplitudine mică.

Dacă le încălzim pînă la o anumită temperatură, viteza de agitație crește și, o dată cu dînsa, și energia cinetică a moleculelor, care izbutesc să scape din poziția fixată, îndepărtîndu-se unele de altele.

La solide, agitația termică este o simplă oscilație în jurul poziției de echilibru.

Ea capătă o libertate mai mare la lichide și aproape totală la gaze.

*Corpul trece atunci în starea lichidă, coeziunea scade și moleculele pot să lunece unele peste altele, fără ca totuși să se despartă.*

De aceea, lichidele pot să curgă și să ia forma vasului în care le punem.

Continuând cu încălzirea, energia cinetică va crește mai departe, moleculele scapă de sub atracția reciprocă, se despart și lichidul se vaporizează.

La starea gazoasă, agitația termică se desfășoară cu totul haotic. Aici coeziunea fiind practic nulă, moleculele tind să se împrăștie în tot volumul disponibil.

În timpul agitației, moleculele se ciocnesc și de pereții vasului și între ele.

*Ciocnirea de pereți dă naștere unei presiuni, iar ciocnirea reciprocă nu interesează nucleeele, fiindcă forțele de respingere ale învelișului de electroni sateliți fac imposibilă o apropiere prea mare, în condițiile obișnuite.*

**7. Corpuri cristaline și amorse.** În starea lor naturală, corpurile solide apar uneori sub forme geometrice regulate, mărginite de fețe plane, ce formează între ele unghiuri bine determinate și caracteristice.

Această constanță a formei și mai ales a unghiurilor definește starea cristalină.

Forma cristalelor depinde de natura corpului și uneori de condițiile în care s-au format. Ea poate fi romboedrică, hexagonală, cubică etc. și face obiectul de studiu al *cristalografiei*.

Starea cristalină se caracterizează prin forme regulate și unghiuri fixe între fețe.

Cercetările făcute cu razele X au dus la concluzia că *simetria externă se datorește simetriilor interioare*, impuse de forțele de inter-

acțiune, de numărul, de forma sau de mărimea particulelor constituente.

Fig. 144 arată structura internă a unui cristal cubic de clorură de sodiu.

În cazul acesta, particulele constituente nu sînt molecule de NaCl, ci ioni de  $\text{Na}^+$  și de  $\text{Cl}^-$ , pe care i-am reprezentat prin cercuri negre și albe.

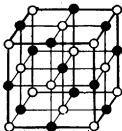
Atracția între dinșii asigură stabilitatea edificiului cristalin, în aceeași măsură în care asigură și stabilitatea moleculei, așa că întregul cristal poate fi privit ca o moleculă uriașă de  $(\text{NaCl})_n$ .

Dispoziția pe *plane reticulare* echidistante și paralele ne arată, pe de o parte, simetria repartizării forțelor interne, iar pe de altă parte, fixitatea poziției fiecărei particule.

Regularitatea cristalină se datorește simetriilor interne, care impun o structură reticulară.

Nu totdeauna rețelele cristaline sînt ionice. Există și *rețele atomice*,

de pildă la diamant, după cum există *rețele moleculare*, mai ales la substanțele organice.



● - Na      ○ - Cl

Fig. 144. Rețeaua ionică a cristallului de clorură de sodiu.

Peste tot pozițiile sînt fixe și agitația termică se limitează la simple oscilații, în jurul lor.

Tot structura reticulară ne explică proprietatea corpurilor cristaline cunoscută sub numele de *clivaj*, adică de despicare după anumite plane particulare.

Uneori, starea cristalină nu poate fi observată decît la microscop. Aceasta se întîmplă adesea la metale. Putem obține însă, în condiții speciale, cristale metalice mari, numite *monocristale*, ale căror proprietăți le vom descrie mai departe.

*Starea amorfă* nu implică forme regulate și este opusul stării cristaline. Cercetările cu raze X au arătat că, fără a fi lipsite cu totul de regularitate structurală, corpurile amorfe nu au simetria internă a cristalelor.

Corpurile amorfe nu au structură regulată și fac tranziția între starea lichidă și cea cristalină.

De aici apare, o dată cu o scădere a stabilității interne, o libertate relativă de alunecare a moleculelor, care permite acestor corpuri să fie

*plastice*, adică să capete deformații permanente. Chiar sticla, cît e de dură, rămîne curbată, după o îndoire îndelungată.

Spre deosebire de cristale, topirea lor se face numai treptat și trece prin *starea păstoasă*.

Toate aceste particularități ne fac să considerăm corpurile amorfe ca o tranziție între starea lichidă și starea solidă, reprezentată eminemant prin forma cristalină.

O altă tranziție o fac așa-numitele *cristale lichide*. Unele substanțe în stare lichidă, de pildă *oleatul de amoniu*, pot să capete forma regulată a unor cristale moi și microscopice, pe care le putem îndoi sau face să treacă unul prin altul (fig. 145).

Aceste cristale prezintă aceeași structură internă regulată ca oricare altele.

Uneori același corp se poate prezenta fie cristalizat, fie amorf. Un exemplu tipic este *sulfur*. Dizolvat în sulfură de carbon, cristalizează în forma rombică; răcit încet după topire, cristalizează în formă de ace; răcit brusc, din starea topită, devine moale și amorf, iar condensat din starea de vapori ne dă floarea de sulf, de asemenea amorfă (fig. 146).

Aceste stări diferite se datoresc unei aranjări diferite a moleculelor și însușirea se numește *polimorfism*.

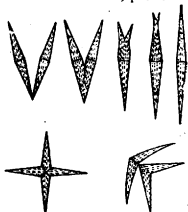


Fig. 145. Cristale lichide.

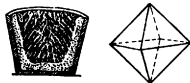


Fig. 146. Aspecte polimorfice la sulf.

**8. Izotropie și anizotropie.** Proprietățile fizice ale cristalelor variază în raport cu orientarea după anumite direcții fixe, numite *axe cristaline*.

În lungul acestor axe, dilatarea la încălzire, transmiterea căldurii prin conducere, propagarea luminii, rezistența

la tracțiune, proprietățile elastice sau electrice sînt cu totul diferite decît în alte direcții.

Această schimbare a proprietăților fizice, după direcția orientării, datorită lipsei de omogenitate, se numește *anizotropie*.

O găsim nu numai la cristale, dar și la alte corpuri cu structură internă orientată, de pildă la o bucată de lemn, unde proprietățile sînt altele în lungul fibrelor, decît în latul lor. De asemenea, o întîlnim la corpurile amorfe, cînd le supunem unei deformări care dă naștere la tensiuni interne.

Lichidele, gazele și toate corpurile amorfe *omogene* sînt *izotrope*. Aici proprietățile fizice nu se schimbă cu orientarea.

Cu ajutorul acestor noțiuni, foarte succinte și elementare, despre structura internă a corpurilor, sîntem acum în măsură să cercetăm cîteva fenomene particulare, legate de deformările plastice sau elastice, impuse unui corp oarecare.

## B. Frecarea

§ 82. **Forțele de frecare.** Să considerăm un corp care alunecă pe suprafața altui corp.

Cele două suprafețe în contact, oricît ar fi de bine lustruite, mai au încă asperități, pe care, dacă nu le vedem cu ochiul liber, le putem vedea la microscop.

Asperitățile acestea constituie tot atîtea piedici și corpul, dacă nu e în stare să le sară, să le rupă sau să le îndoiaie, va rămîne în repaus.

Forța de frecare acționează tangențial și se opune alunecării unui corp, pe o suprafață dată.

este evident egală și opusă acestei frecări.

Este de asemenea evident că, atîta vreme cît forța de frecare este exact compensată de forța exterioară aplicată, corpul nu se poate mișca decît uniform, o dată scos din repaus.

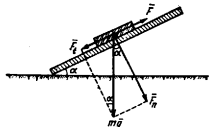


Fig. 147. Dispozitiv pentru cercetarea legilor frecării.

Alunecarea întîmpină deci o *forță de opunere*, pe care o numim *frecare*, și forța tangențială minimă, în stare să scoată corpul din repaus,

Dacă forța exterioară depășește frecarea, diferența lor va servi ca să accelereze mișcarea.

Legile frecării pot fi cercetate cu dispozitivul experimental din fig. 147, unde o sanie de greutate cunoscută poate să alunece pe un plan înclinat.

Dacă mărim treptat înclinația planului, pînă cînd sania se mișcă uniform la vale, realizăm condiția ca forța tangențială  $\bar{F}_t$ , care apare prin descompunerea greutății proprii a corpului, să fie egală cu forța opusă de frecare  $\bar{F}$ .

Pe de altă parte, corpul apasă pe plan cu forța normală  $\bar{F}_n$  și din figură se vede imediat că raportul dintre intensitățile forței de frecare și forței normale este

$$\frac{F}{F_n} = \operatorname{tg} \alpha$$

și poate fi determinat prin măsurarea directă a unghiului de înclinație.

Experiența ne arată că *acest raport nu depinde nici de greutatea corpului care alunecă, nici de mărimea suprafețelor de contact, însă depinde de natura și de gradul de șlefuire al acestor suprafețe.*

Pentru suprafețe de aceeași natură și același grad de șlefuire

$$\frac{F}{F_n} = \mu,$$

unde  $\mu$  este coeficientul de frecare.

Pentru toate suprafețele de aceeași natură și cu același grad de șlefuire, raportul constant

$$\frac{F}{F_n} = \operatorname{tg} \alpha = \mu$$

reprezintă, prin definiție, coeficientul de frecare.

Pe o suprafață orizontală, forța normală este însăși greutatea corpului pe care, ca să-l mișcăm uniform, va trebui să aplicăm o forță tangențială, egală cu forța de frecare.

Dacă notăm această greutate cu  $P$ , vom avea evident

$$\boxed{F = \mu P} \quad (82.1)$$

Coeficientul de frecare, definit prin raportul a două forțe, apare deci ca o *simplică cantitate numerică* și ne arată cu cât trebuie să înmulțim greutatea unui corp, ca să aflăm forța necesară să-l miște uniform pe o suprafață orizontală dată.

Se dau mai jos valorile coeficientului de frecare, în câteva cazuri speciale

Stejar pe stejar, șlefuit (fibre paralele) . . . . .  $\mu = 0,6$

Stejar pe stejar, șlefuit (fibre perpendiculare) . . .  $\mu = 0,5$

Fier pe fier, șlefuit . . . . .  $\mu = 0,16$

Fier pe gheață . . . . .  $\mu = 0,03$

Aceste date sînt, bineînțeles, numai aproximative, fiindcă depind de gradul de șlefuire.



O cercetare mai amănunțită ne arată că relația de definiție

$$F = \mu P \quad (82.1)$$

corespunde numai unei prime aproximații, fiindcă de fapt *coeficientul de frecare depinde și de viteza relativă a mișcării*, pe suprafața dată.

Coeficientul de frecare depinde de viteza relativă a mișcării. El este mai mare la pornire, sau la viteze mari.

*El este mai mare în momentul când corpul părăsește poziția de repaus, apoi scade când viteza crește, ca să crească iarăși la vitezele mari.*

De aceea, în practică va trebui să facem o deosebire între *frecarea de pornire* (sau de demaraj) și *frecarea de mișcare*.

Experiența zilnică ne arată, în adevăr, că este mai greu să urnim un corp din repaus, decât să-l obligăm să alunece pe o suprafață orizontală, o dată ce a pornit.

Pe de altă parte, creșterea frecării cu viteza ne face să înțelegem de ce o piatră de polizor se tocește mult mai repede la vitezele mari.

În toate fenomenele descrise, am făcut abstracție de cazurile în care greutatea proprie a corpului ce alunecă este așa de mare, încât ajunge să-l cufunde în suprafața de sprijin, fiindcă atunci nu mai poate fi vorba de *frecare*, ci de un proces de *rupere*, în care forțele puse în joc sînt incomparabil mai mari.



Putem patina pe gheață, dar nimeni nu se gîndește să patineze pe zăpada moale. Acolo folosim skiurile, tocmai ca să evităm cufundarea.



În altă ordine de idei, o experiență milenară a arătat omenirii că *frecarea de rostogolire a unui corp rotund este mult mai mică decât frecarea de alunecare*.

Oricine știe că este mult mai ușor să deplasăm un corp greu, cînd punem sub el niște drugi rotunzi de lemn.

Așa s-a născut ideea *rulmenților cu bile*, pe care tehnica modernă îl folosește pe scară mare la mașini și vehicule (fig. 148).

Fig. 148. Frecarea de rostogolire și rulment cu bile.

Frecările devin atunci de câteva sute de ori mai mici decît la o simplă alunecare.

Eficacitatea rulmenților este cu atît mai mare, cu cît oțelul din care sînt făcuți este mai dur, fiindcă deformările prin cufundare sînt atunci reduse la minimum.

Din cele arătate mai sus, frecarea se manifestă ca o acțiune de frinare, ce se opune alunecării sau rostogolirii.

Existența forțelor de frecare implică, deci o *absorbție de lucru mecanic* și experiența ne arată că, în schimb, *apare o cantitate de căldură* care este tot o formă de energie.

**Frecarea absoarbe energie mecanică și o transformă în căldură.**

Evident, această transformare nu poate fi decît supărătoare, cînd sustrage folosinței noastre o parte din energia mecanică, pe care avem interesul s-o folosim integral.

Cu toate aceste inconveniente, frecarea mai are totuși avantaje practice vădite, fiindcă dacă n-ar exista, orice vehicul sau pleton ar deveni un sistem izolat, incapabil să se miște din loc sau să se oprească, o dată pus în mișcare.

Am interpretat apariția forțelor de frecare prin acțiunea de frinare a asperităților de pe suprafețele în contact.

Se pune întrebarea: *ce s-ar întâmpla dacă, printr-o șlefuire cît mai bună, am căuta să suprimăm aceste asperități?*

Aici tot experiența ne arată că frecarea, în loc să scadă, începe să crească, dacă împingem șlefuirea prea departe.

Aceasta se datorește intervenției fenomenelor de *adeziune*, adică de atracție reciprocă dintre moleculele celor două suprafețe în contact, care, prin reducerea asperităților, au ajuns unele în cîmpul de acțiune al celorlalte.

La un grad de șlefuire destul de înaintat, două plăci de oțel aderă una pe alta în așa măsură, încît e nevoie de o forță de câteva zeci de kilograme pe centimetrul pătrat, ca să le putem dezlipi.

Apăsarea crescînd, va crește și forța de frecare.

**Frîna lui Prony.** Absorbția de lucru mecanic prin frecare ne permite să construim un dispozitiv special, numit *frîna lui Prony*, cu care putem determina puterea unui motor oarecare.

Două tălpi de lemn  $T$  și  $T'$ , prevăzute cu buloane de stringere, sînt aplicate pe roata de transmisie a motorului (fig. 149).

Pe una din ele se fixează o pîrghie  $P$ , la capătul căreia se atîrnă un platan pentru greutateți etalonate.

Variînd aceste greutateți și stringînd treptat buloanele, facem așa ca pîrghia să stea orizontal, cînd mașina se rotește cu viteza unghiulară prescrisă. În cazul acesta, puterea debitată de mașină este integral absorbită de frecările frînei.

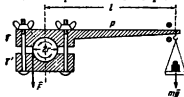


Fig. 149. Frîna lui Prony.

Răza roții de transmisie fiind  $r$ , momentul forței de frecare  $\bar{F}$  va fi egal cu momentul greutateii  $mg$  de pe platan.

Vom avea deci

$$rF = mgl,$$

sau

$$F = \frac{mgl}{r}.$$

Dacă mașina face  $f$  rotații pe secundă, drumul parcurs de forța  $F$  este  $2\pi rf$ , în unitatea de timp.

De aici deducem puterea debitată

$$P = 2\pi rfF = 2\pi fmg l \quad (82.2)$$

pe care o exprimăm în wați, când celelalte mărimi sînt exprimate în unități MKS.

Prin frecare, frina se încălzește puternic. De aceea, trebuie stropită mereu cu apă.

### C. Elasticitatea

§ 83. Deformări elastice. În § 68 am denumit *forță elastică* reacțiunea dezvoltată de un corp deformat, în cazul cînd este direct proporțională cu deformația.

Această definiție ne-a dus la relația de bază

$$F = -Kx, \quad (68.1)$$

unde coeficientul de proporționalitate  $K$  reprezintă *constanta elastică*.

Ne propunem să cercetăm în ce condiții se aplică relația de față, cunoscută sub numele de *legea lui Hooke*<sup>1)</sup>, la diferitele feluri de deformări, pe care le poate suferi un corp.

1. Cazul cel mai simplu este al unei bare, de lungime  $L$ , fixată la unul din capete, pe care o forță  $\bar{F}$ , aplicată la capătul liber, tinde să o lungească (sau să o scurteze) (fig. 150).



Fig. 150. Alungirea elastică a unei bare cilindrice.

<sup>1)</sup> Robert Hooke (1635—1703), fizician, matematician și astronom englez.

Experiența ne arată că, atâta vreme cît variația de lungime  $\Delta L$  nu depășește o limită maximă, care depinde de natura materialului, avem relația

$$\boxed{\frac{\Delta L}{L} = \alpha \frac{F}{S}} \quad (83.1)$$

În această relație, raportul  $\Delta L/L$  reprezintă *variația relativă a lungimii*, adică variația lungimii fiecărui centimetru liniar al barei;  $\alpha$  este un factor de proporționalitate, care se numește *coeficient de elasticitate*, iar  $S$  este aria secțiunii barei.

Raportul  $F/S$  reprezintă forța exercitată pe fiecare centimetru pătrat și se numește *efort unitar*.

Alungirea relativă este direct proporțională cu forța și invers proporțională cu aria secțiunii, iar factorul de proporționalitate se numește coeficient de elasticitate.

Prin urmare, *variația relativă a lungimii este direct proporțională cu forța și invers proporțională cu secțiunea, iar factorul de proporționalitate este coeficientul de elasticitate*.

În locul coeficientului de elasticitate, se folosește obișnuit cantitatea inversă  $1/\alpha$ , care se notează cu  $E$  și se numește *modul de elasticitate sau modulul lui Young*<sup>1)</sup>.

În aceste condiții, relația precedentă devine

$$\boxed{\frac{\Delta L}{L} = \frac{1}{E} \cdot \frac{F}{S}} \quad (83.2)$$

Rezultă, astfel, că

$$\alpha = \frac{\Delta L/L}{F/S} \quad (83.1 \text{ a})$$

și

$$E = \frac{F/S}{\Delta L/L} \quad (83.2 \text{ a})$$

Prin urmare, *coeficientul de elasticitate este egal cu alungirea relativă, raportată la efortul unitar  $F/S$ , iar modulul de elasticitate este efortul unitar, raportat la alungirea relativă*.

<sup>1)</sup> Thomas Young (1773—1829), medic și fizician englez.

În practică se întrebuițează mai mult expresia (83.2), care conține *modulul* și nu coeficientul de elasticitate.

**Unități și dimensiuni.** Deoarece alungirea relativă, rezultată din raportul a două lungimi, nu are dimensiuni fizice și este un simplu număr abstract, se vede imediat că dimensiunile lui  $E$ , în sistemele CGS și MKS, sînt:

$$[E] = \left[ \frac{F}{S} \right] = L^{-1}MT^{-2}$$

și se exprimă în *dyne pe centimetru pătrat* sau în *newtoni pe metru pătrat*.

În sistemul MKfS,

$$[E] = \left[ \frac{F}{S} \right] = L^{-2}F$$

și se exprimă în *kilograme-forță pe metru pătrat*.

Obișnuit, fiindcă toate sistemele curente de unități duc la valori numerice prea mari, se folosește în practică unitatea specială  $\text{kgf/mm}^2$ .

Tabela de mai jos dă valorile numerice ale modulului de elasticitate, exprimate în  $\text{kgf/mm}^2$ , în câteva cazuri speciale, precum și limitele de elasticitate și de rezistență.

Datele sînt, bineînțeles, aproximative și depind nu numai de natura materialelor, ci și de tratamentele mecanice sau termice la care au fost supuse.

**Tabela 1**

Materialul	$E$	Limita de elasticitate, în $\text{kgf/mm}^2$	Limita de rezistență, în $\text{kgf/mm}^2$
Plumb . . . . .	1 700	0,25	2
Aluminiu . . . . .	7 500	2,80	7—11
Argint . . . . .	7 900	—	16
Cupru moale . . . . .	10 000	3	20
Oțel ordinar . . . . .	20 000	33	75
Oțel cu molibden . . . . .	22 000	60	150
Fier moale . . . . .	19 000	5	35
Iridiu . . . . .	53 000	—	—
Sticlă, aproximativ . . . . .	6 000	—	27
Cauciuc vulcanizat . . . . .	0,1	—	—

**Energia elastică.** În § 75 am văzut că energia potențială a unui resort comprimat sau întins este

$$W_p = \frac{1}{2} Kx^2, \quad (75.1)$$

unde  $x$  reprezintă variația lungimii, iar constanta  $K$  avea, prin definiție, valoarea  $F/x$ .

Pe de altă parte, în cazul alungirii sau comprimării unei bare, am avut

$$\frac{\Delta L}{L} = \frac{1}{E} \cdot \frac{F}{S} \quad (83.2)$$

și cum, de astă dată, variația  $x$  a lungimii am notat-o cu  $\Delta L$ , rezultă că

$$\frac{F}{\Delta L} = \frac{SE}{L} = K.$$

Înlocuind în relația (75.1) obținem astfel, pentru energia potențială a barei deformată,

$$W_p = \frac{SE}{2L} \cdot x^2. \quad (83.3)$$

2. Un alt caz tipic de deformare este *flexiunea sau îndoirea*.

O bară de lungime  $l$ , fixată la un capăt, este solicitată lateral de o forță  $\bar{F}$  (fig. 151).

Amplitudinea deformării, sau *săgeata*, pe care o notăm cu  $x$ , depinde de materialul barei, precum și de forma sau de dimensiunile ei geometrice.

Experiența ne arată că, dacă nu se depășește o limită maximă, ea este direct proporțională cu forța și deci urmează legea lui Hooke.

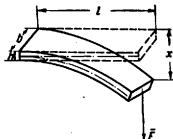


Fig. 151. Deformarea la îndoire a unei bare încastate.

Determinările au dus la concluzia că, pentru o bară cu secțiunea dreptunghiulară avem:

$$x = \frac{4F}{E} \cdot \frac{l^3}{bh^3} \quad (83.4)$$

unde  $E$  este cunoscutul modul de elasticitate, iar  $b$  și  $h$  sînt baza și înălțimea secțiunii drepte.

Din examinarea figurii se vede imediat că porțiunile din bară aflate deasupra suprafeței mediane, reprezentată punctat, sînt întinse, iar cele de sub ea sînt comprimate.

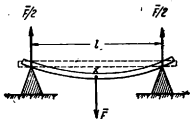


Fig. 152. Deformarea la îndoire a unei bare sprijinită la capete.

*Flexiunea este deci o comprimare, combinată cu o întindere, și în felul acesta se explică prezența modulului de elasticitate  $E$  în relația formulată.*

3. O variantă a situației precedente o avem la o bară așezată liber pe două reazeme și solicitată la mijloc de o forță  $\bar{F}$ , așa cum este arătat în fig. 152.

În cazul acesta, totul se petrece ca și cum fiecare jumătate de bară  $l/2$  ar fi îndoită de forța  $\bar{F}/2$ , dezvoltată prin reacțiune de cele două reazeme.

Ca să aflăm săgeata, nu rămîne decît să înlocuim în relația (83.4) pe  $F$  prin  $F/2$  și pe  $l$  prin  $l/2$ . Găsim astfel că

$$x = \frac{F}{4E} \cdot \frac{l^3}{bh^3} \quad (83.5)$$

Problema flexiunii barelor și a grinzilor stă la baza tuturor construcțiilor moderne, unde se urmărește maximum de rezistență cu minimum de material.

Rezolvarea ei este în funcție atît de materialul folosit: fier, oțel, beton etc., cît și de forma profilelor adoptate.

Grinzilor de fier li se dă obișnuit profilul în dublu T, fiindcă au atunci maximum de rezistență la îndoire.

Aceeași însușire o au țevile metalice, cînd raportul dintre diametrul interior și exterior este de 8 : 11. O aplicație curentă o găsim la cadrul bicicletelor, dar este interesant să menționăm că aceeași condiție o îndeplinesc și tulpinile păioaselor, penele păsărilor și oasele tubulare ale scheletului animalelor.

4. Un alt aspect al deformării elastice este *forfecarea*. Un paralelipiped, fixat la bază, este supus unei forțe  $\vec{F}$ , aplicată tangențial în planul suprafeței superioare (fig. 153).

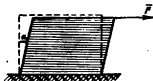


Fig. 153. Forfecarea.

Această *forță de forfecare* tinde să imprime suprafețelor laterale o înclinație  $\alpha$ , care, dacă nu depășește o limită maximă, este direct proporțională cu forța.

Experiența ne arată că

$$\alpha = \frac{F}{N \cdot S}, \quad (83.6)$$

în care  $S$  este aria secțiunii superioare, iar  $N$  un factor de proporționalitate, care se numește *modul de forfecare*.

Cum unghiurile nu au dimensiuni fizice, se vede imediat că dimensiunile lui  $N$  rezultă din raportul unei forțe, la o suprafață.

Il vom exprima deci în  $\text{dyn/cm}^2$ , în  $\text{N/m}^2$ , în  $\text{kgf/m}^2$  sau în unitatea specială  $\text{kgf/mm}^2$ .

Unitățile și dimensiunile sînt, prin urmare, aceleași ca ale modului de elasticitate, dar aceasta nu implică egalitatea valorilor numerice.

Pentru majoritatea corpurilor omogene, izotrope, modulul de forfecare este aproximativ 0,4 din valoarea numerică a lui  $E$ .

*Forfecarea este un rezultat al alunecării straturilor succesive, paralel cu ele însele*, în sensul forței care acționează, de aceea modulul de forfecare se mai numește și *modul de alunecare*.

5. O situație analogă o întîlnim la răsucire sau torsiune, despre care am dat primele noțiuni în § 69.

Am arătat atunci că, dacă nu se depășește o limită maximă a deformării, unghiul de torsiune  $\alpha$ , exprimat în radiani, este direct proporțional cu momentul cuplului, așa că

$$2Fr = -D\alpha, \quad (69.5)$$



unde factorul de proportionalitate  $D$  reprezintă *modulul de torsiune*.

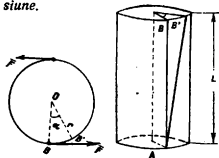


Fig. 154. Deformarea prin torsiune.

Revenind, să considerăm o bară cilindrică, de rază  $r$  și lungime  $L$ , fixată la un capăt și torsată de un unghi  $\alpha$  la celălalt capăt (fig. 154).

Răsucirea face ca păturile succesive să alunece una pe alta, așa că o generatoare  $AB$  ocupă, după deformare, poziția înclinată  $AB'$ , ca și la forfecare.

Experiența ne arată că, în funcție de dimensiunile geometrice ale barei, modulul de torsiune are valoarea

$$D = \frac{\pi N}{2} \cdot \frac{r^4}{L} \quad (83.7)$$

în care  $N$  este cunoscutul *modul de forfecare*.

Această valoare, înlocuită în (69.5), ne dă

$$2Fr = -\frac{\pi N}{2} \cdot \frac{r^4}{L} \alpha$$

și rezultă că *momentul cuplului de opunere este direct proporțional cu unghiul de torsiune și cu puterea a patra a razei și invers proporțional cu lungimea barei*.

În laborator, această relație finală are aplicații deosebit de prețioase, când avem interesul să determinăm cupluri de rotație foarte mici, fiindcă, pentru un cuplu dat, unghiul de torsiune al unui fir de 1/100 mm este de 100 000 000 de ori mai mare decât la un fir de 1 mm.

Determinarea experimentală a modulului  $D$  al unui fir se poate face prin metoda cunoscută a oscilațiilor de torsiune.

Legăm la un capăt un corp cu momentul de inerție cunoscut, determinăm perioada și aplicăm relația

$$T = 2\pi \sqrt{\frac{J}{D}} \quad (69.6)$$

O dată cunoscută valoarea lui  $D$ , formula (83.7) ne permite să calculăm pe  $N$ .

§ 84. Deformări plastice. Proportionalitatea dintre deformare și acțiunea deformantă, caracteristică fenomenelor elastice și exprimată prin legea lui Hooke, poate fi constatată, în limita erorilor experimentale, numai la deformările mici și de durată scurtă.

Legea lui Hooke se aplică numai la deformările mici și de durată scurtă.

Deformările mai mari depășesc domeniul de elasticitate și introduc diferite complicații suplimentare, pe care cunoștințele actuale despre structura internă și despre forțele de legătură interatomice nu ne permit încă să le interpretăm în mod satisfăcător.

În cele ce urmează, ne vom limita numai la câteva fapte *experimentale* caracteristice, fără a intra în amănunte.

Să considerăm cazul particular al deformării unei bare prin tracțiune.

Dacă determinăm eforturile unitare  $\sigma^1) = F/S$ , capabile să producă alungirile relative  $\epsilon = \Delta L/L$  și, cu ajutorul datelor experimentale obținute, reprezentăm variația funcției

$$\sigma = f(\epsilon),$$

rezultă o curbă de felul aceleia din fig. 155, pe care deosebim trei porțiuni caracteristice:

a) În prima porțiune, *Or*, efortul este direct proporțional cu alungirea relativă și întreruperea lui readuce bara la lungimea inițială.

Acesta este domeniul deformărilor elastice, în care se aplică legea lui Hooke.

b) În porțiunea *rs* materialul devine *plastic* și cedează mult mai lesne la deformare. Dacă efortul dispare, el nu mai revine la lungimea inițială, ci păstrează o *alungire remanentă*  $\epsilon_r$ , la care ajunge după curba reprezentată punctat.

Fenomenul deformării, care la început era *reversibil*, devine acum *irreversibil*, prin depășirea limitei de elasticitate.

c) Urmează apoi o porțiune *st*, în care bara, deși întinsă, deci subțiată, capătă o rezistență la tracțiune mai mare decât la înce-

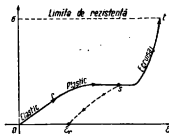


Fig. 155. Curba de deformare la întindere.

<sup>1)</sup>  $\sigma$  = literă mică grecească; se citește *sigma*.

put. Acest fenomen de întărire se numește, în limbajul ingineresc, *ecruisaj*.

Mărind efortul mai departe, atingem în sfârșit *limita de rezistență* și bara se rupe.

Lungimea porțiunilor de pe curba de întindere depinde mult de natura materialului, cât și de condițiile deformării.

La unele materiale, cum e de pildă oțelul călit, limita de elasticitate este foarte aproape de limita de rezistență, iar bara se rupe brusc, fără să mai sufere deformările plastice.

La altele, cum ar fi plumbul, domeniul plastic ocupă cea mai mare parte din lungimea curbei.

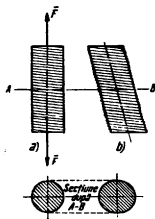
Deformarea trece succesiv de la elastic la plastic și ruperea este precedată de fenomenul *ecruisajului*.

face foarte repede. Când e foarte înceată, ruperea întârzie și deformarea devine *fluidă*.

Un exemplu tipic îl avem la gheață: lovită brusc se sparge, iar apăsată cu încetul se îndoaie. Așa se explică de ce gheațarii pot să curgă prin fundul văilor, întocmai ca râurile.

În limbajul curent spunem că oțelul este *casant*, iar plumbul este *moale*.

Corpurile plastice pot să devină casante dacă întinderea se



Deformările repetate pot să ducă la *obosirea* materialului și să-i micșoreze limita de rezistență. De foarte multe ori aceasta se datorește unui fenomen lent de cristalizare internă, mai ales la metale. De aceea, construcțiile metalice trebuie verificate din timp în timp și în special când sunt supuse la vibrații sau trepidații. Se cunosc exemple de poduri metalice care s-au prăbușit într-o bună zi, după ce zeci de ani au rezistat la trecerea tuturor trenurilor.

Un caz deosebit de interesant îl găsim la monocristale. Forfecarea împinsă dincolo de limita de elasticitate face ca planele reticulare să alunece unul pe altul, ca monezile dintr-un fișic.

Aceeași alunecare se produce dacă supunem la tracțiune o bară monocristalină, ale cărei plane reticulare nu sunt perpendiculare pe lungimea ei. Alungirea transformă atunci secțiunea din circulară, în eliptică (fig. 156).

Fig. 156. Alunecarea plărilor unui cristal la întindere.

Teoria rețelelor ionice ne permite să calculăm limita de rezistență la tracțiune, după o direcție perpendiculară pe planul lor. Ajungem astfel la rezultatul că, pentru un cristal de NaCl, ea trebuie să fie de ordinul a 300 kgf/mm<sup>2</sup>, adică aproape de două ori mai mare decât la cele mai bune oțeluri.

În realitate, aceasta nu se întâmplă, atât din cauza neregularităților interne, cât și din cauza micilor crăpături superficiale, care amorsează ruperea.

Ca să suprimă aceste crăpături, profesorul A. F. Ioffe de la Leningrad introduce cristalul în apă, îl supune unei tracțiuni și lasă dizolvarea lentă să-l aducă treptat pînă la secțiunea corespunzătoare limitei de rezistență, pe care o găsește, în cazul acesta, de peste 150 de kgf/mm<sup>2</sup>.

Rezistența la tracțiune a corpurilor policristaline, de pildă a metalelor, depinde de mărimea, forma și aranjarea internă a microcristalelor.

Tratamentele termice sau mecanice: *călire, forjare, laminare* etc. schimbă aceste date și de aceea modifică proprietățile elastice.

**§ 85. Ciocnirea corpurilor.** Să presupunem, pentru simplificare, că o sferă de masă  $m_1$ , care se mișcă cu viteza  $\bar{u}_1$ , ajunge din urmă și ciocnește central altă sferă de masă  $m_2$ , care se mișcă pe aceeași direcție, cu viteza  $\bar{u}_2$  (fig. 157).

În cele ce urmează vom vedea că problema se pune la fel dacă cele două sfere vin una împotriva celeilalte.

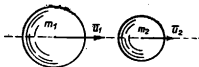


Fig. 157. Ciocnirea a două sfere.

Tot pentru simplificare vom considera două cazuri limită:

**1. Ciocnirea elastică.** Dacă sferele sînt considerate *perfect elastice*, deformarea este reversibilă și absoarbe o energie potențială, pe care o restituie integral după ciocnire.

Cele două sfere, după ce mai întîi se turtesc, revin la forma inițială și se resping una pe alta, în sensuri contrarii.

Din această cauză, vitezele la sfîrșitul procesului vor deveni  $\bar{v}_1$  și  $\bar{v}_2$ , în loc de  $\bar{u}_1$  și  $\bar{u}_2$ .

În ciocnirea elastică se conservă atât cantitatea de mișcare, cât și energia mecanică.

În aceste condiții, fenomenul fiind de natură pur mecanică, principiul conservării cantității de mișcare, în sistemul izolat, împreună cu principiul conservării energiei mecanice, duc la relațiile:

$$m_1 u_1 + m_2 u_2 = m_1 v_1 + m_2 v_2$$

și

$$\frac{1}{2} m_1 u_1^2 + \frac{1}{2} m_2 u_2^2 = \frac{1}{2} m_1 v_1^2 + \frac{1}{2} m_2 v_2^2.$$

Avem astfel un sistem de două ecuații, în care necunoscutele sînt vitezele finale  $\bar{v}_1$  și  $\bar{v}_2$ . Rezolvarea lui <sup>1)</sup> duce la soluțiile

$$v_1 = 2 \frac{m_1 u_1 + m_2 u_2}{m_1 + m_2} - u_1 \quad (85.1)$$

și

$$v_2 = 2 \frac{m_1 u_1 + m_2 u_2}{m_1 + m_2} - u_2. \quad (85.1 a)$$

Dacă cele două sfere vin una împotriva celeilalte, vitezele sînt de sens contrar și, în relațiile de față, va trebui să schimbăm semnul lui  $u_1$  sau  $u_2$ .

**Discuție.** Dacă masele sînt egale,  $m_1 = m_2 = m$ , obținem atunci  $v_1 = u_2$  și  $v_2 = u_1$ , ceea ce înseamnă că ele își schimbă reciproc vitezele.

Dacă sferele au mase egale și sfera ciocnită se găsea în repaus,  $u_2 = 0$ . Găsim atunci că, la sfîrșitul ciocnirii,  $v_1 = 0$  și  $v_2 = u_1$ .

Aceasta înseamnă că sfera care ciocnește se oprește și transmite celeilalte viteza ei.

Verificarea experimentală se poate face cu o serie de bile de fildeș, suspendate așa cum arată fig. 158.

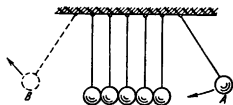


Fig. 158. Transmiterea ciocnirii elastice.

Dacă ciocnirea o face bila A, atît ea cît și toate celelalte rămîn în repaus, afară de bila ultimă B.

Fenomenul este cunoscut de toți muncitorii care fac manevrele vagoanelor în stații. Locomotiva ciocnește primul vagon, iar ultimul continuă mișcarea, transmisă prin elasticitatea tamponurilor.

<sup>1)</sup> Pentru rezolvare, se grupează separat termenii în  $m_1$  și  $m_2$ , care se scoț în factor comun. Se împart apoi relațiile membru cu membru și se obține o ecuație de gradul întâi, pe care o combinăm cu prima ecuație a sistemului.

Dacă o sferă ciocnește elastic un perete fix,  $m_2 = \infty$  și  $u_2 = 0$ ; obținem atunci  $v_1 = -u_1$ , ceea ce înseamnă că sfera se întoarce înapoi cu aceeași viteză cu care a venit.

**2. Ciocnirea moale.** Dacă sferele sînt considerate *perfect moi*, deformarea prin ciocnire devine permanentă. Ea absoarbe o parte din energia cinetică și o transformă în căldură, așa că nu mai putem aplica principiul conservării energiei mecanice.

După ciocnire, cele două sfere se lipesc una de alta și experiența ne arată că ele continuă mișcarea cu o viteză comună  $v$ .

Scriind că, în sistemul izolat, cantitatea de mișcare se conservă avem:

$$m_1 u_1 + m_2 u_2 = v(m_1 + m_2),$$

de unde deducem viteza finală comună

$$v = \frac{m_1 u_1 + m_2 u_2}{m_1 + m_2}. \quad (85.2)$$

**Discuție.** Dacă sfera de masă  $m_1$  ciocnește moale un perete fix,  $m_2 = \infty$  și  $u_2 = 0$ , găsim atunci că  $v = 0$ , ceea ce înseamnă că bila rămîne în repaus.

Dacă sferele au mase egale și una este inițial în repaus, viteza comună după ciocnire este  $v = \frac{u_1}{2}$ .

În fine, dacă cele două sfere de mase egale vin una împotriva alteia cu viteze egale, viteza finală este nulă.

**Absorbția de energie cinetică.** Înainte de ciocnire, energia cinetică totală era

$$W_1 = \frac{m_1 u_1^2}{2} + \frac{m_2 u_2^2}{2},$$

iar după o ciocnire perfect moale devine

$$W_2 = \frac{v^2 (m_1 + m_2)}{2}.$$

Cantitatea de energie cinetică transformată în căldură în urma deformării plastice va fi deci  $W_1 - W_2$ . Experiența ne arată că, în adevăr, sferele se încălzesc după ciocnire.

**3. Ciocnirea reală.** Cazurile tratate mai sus reprezintă numai situații limită ideale, pe care nu le întâlnim în prac-

tică, fiindcă nu există corpuri perfect elastice, nici corpuri perfect moi.

De aceea, în ciocnirile reale, absorbția de energie cinetică este mai mare decât zero și mai mică decât valoarea calculată mai sus.

Din relațiile (85.1) și (85.2) se vede ușor că, la ciocnirea perfect elastică

$$\frac{v_1 - v_2}{u_2 - u_1} = 1,$$

indiferent de masa corpurilor, iar la ciocnirea perfect moale acest raport este nul, fiindcă  $v_1 = v_2$ .

Inseamnă că, în toate cazurile intermediare întâlnite în practică

$$0 < \frac{v_1 - v_2}{u_2 - u_1} < 1.$$

Raportul  $\frac{(v_1 - v_2)}{(u_2 - u_1)}$  definește, prin urmare, calitatea ciocnirii. El se notează de obicei cu  $k$  și se numește *coeficient de restituire*.

Raportul	Experimental găsim următoarele valori aproximative ale coeficientului de restituire:
$(v_1 - v_2) / (u_2 - u_1)$	
reprezintă coeficientul de restituire și este cuprins între 0 și 1.	<i>Lemn tare</i> . . . . . $k=0,5$
	<i>Oțel</i> . . . . . $k=0,6-0,8$
	<i>Fildes</i> . . . . . $k=0,9$
	<i>Sticlă</i> . . . . . $k=0,94$

4. *Exemple numerice.* 1) O bară de oțel de un metru lungime, cu secțiunea de  $2 \text{ mm}^2$ , este supusă unei tracțiuni de  $20 \text{ kgf}$ . Să se calculeze alungirea știind că  $E=20\,000 \text{ kgf/mm}^2$ .

Din relația (83.2) rezultă

$$\Delta L = \frac{LF}{ES},$$

iar dacă înlocuim datele numerice, găsim

$$\Delta L = \frac{1\,000}{20\,000} \cdot \frac{20}{2} = 0,5 \text{ mm}.$$

2) Să se calculeze săgeata de flexiune a unei bare de oțel cu secțiunea dreptunghiulară, la care  $b=2 \text{ cm}$  și  $h=0,3 \text{ cm}$ , iar lungimea  $0,5 \text{ m}$ . Se va lua pentru forța deformantă  $10 \text{ kgf}$ , iar  $E=20\,000 \text{ kgf/mm}^2$ .

Introducând valorile numerice în relația (83.5), găsim:

$$x = \frac{10 \cdot 500^3}{4 \cdot 20\,000 \cdot 20 \cdot 3^3} = 28,9 \text{ mm.}$$

3) Să se calculeze unghiul de torsiune al unui fir de oțel cu raza de 0,01 mm și lungimea de 20 cm, supus unui cuplu de 0,02 dyn·cm.

Se va lua  $N=0,4$  și  $E=8\,000 \text{ kgf/mm}^2$ .

Din relația cunoscută

$$2Fr = -\frac{\pi N r^4}{2L} \alpha,$$

în care produsul  $2Fr$  este egal cu momentul cuplului aplicat, rezultă, în valoare absolută,

$$\alpha = \frac{2Fr \cdot 2L}{\pi N r^4},$$

unde urmează să introducem datele numerice ale problemei.

În unități CGS avem:

$$2Fr = 0,02 \text{ dyn} \cdot \text{cm},$$

$$L = 20 \text{ cm},$$

$$N = 8\,000 \text{ kgf/mm}^2 = 8\,000 \cdot \frac{9,81 \cdot 10^5}{10^{-2}} = 8 \cdot 9,81 \cdot 10^{10} \text{ dyn/cm}^2,$$

$$r = 10^{-3} \text{ cm.}$$

Rezultă că

$$\alpha = \frac{0,02 \cdot 2 \cdot 20}{3,14 \cdot 8 \cdot 9,81 \cdot 10^{10} \cdot 10^{-12}} = 0,324 \text{ rad};$$

$$\alpha = 18^\circ 36'.$$

4) O masă de plumb de 15 kg este atârnată de un fir lung de 2 m. Se împușcă în ea, după orizontală, un glonte de 10 g cu viteza de 50 m/s, care rămâne înăuntru.

Să se calculeze unghiul de deviație al firului (v. fig. 159).

Ciocnirea glontelui cu masa de plumb fiind presupusă perfect moale, viteza finală comună va fi

$$v = \frac{m_1 u_1 + m_2 u_2}{m_1 + m_2}, \quad (85.2)$$

în care  $u_1 = 0$ . Rezultă că

$$v = \frac{0,01 \cdot 500}{15,01} = 0,33 \text{ m/s.}$$

Energia cinetică a ansamblului masă de plumb-glonte

$$W_c = \frac{m_1 + m_2}{2} v^2$$

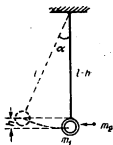


Fig. 159.



se transformă în energia potențială

$$W_p = (m_1 + m_2) gh,$$

unde înălțimea  $h$  este dată de

$$h = l - l \cos \alpha = l (1 - \cos \alpha),$$

de unde, egalând energiile  $W_c$  și  $W_p$ , obținem

$$\frac{m_1 + m_2}{2} v^2 = l (m_1 + m_2) \cdot (1 - \cos \alpha) g,$$

sau

$$\cos \alpha = \frac{2gl - v^2}{2lg} = \frac{2 \cdot 9,81 \cdot 2 - 0,33^2}{2 \cdot 9,81 \cdot 2} = 0,997.$$

Prin urmare,

$$\alpha = 4^\circ 19'.$$

5) Să se evalueze pierderea de energie cinetică, în cazul de mai sus. Energia cinetică înainte de ciocnire era

$$W_1 = \frac{m_1 u_1^2 + m_2 u_2^2}{2},$$

iar după ciocnire

$$W_2 = \frac{m_1 + m_2}{2} v^2.$$

Cu ajutorul datelor numerice găsim

$$W_1 - W_2 = \frac{0,01 \cdot 500^2}{2} - \frac{15,01 \cdot 0,33^2}{2} \approx 1\,249 \text{ J}.$$

6) Două sfere elastice de 4 kg și 6 kg se ciocnesc central, venind din direcții opuse cu vitezele respective de 12 m/s și 8 m/s.

Să se calculeze vitezele finale.

Relațiile (85.1) și (85.1 a), în care introducem valorile numerice, ne dau, ținând seamă de semnul vitezelor,

$$v_1 = 2 \frac{4 \cdot 12 - 6 \cdot 8}{4 + 6} - 12 = -12 \text{ m/s}$$

și

$$v_2 = 2 \frac{4 \cdot 12 - 6 \cdot 8}{4 + 6} + 8 = 8 \text{ m/s}.$$

Rezultă că masele își schimbă reciproc vitezele.

## MECANICA CORPURILOR FLUIDE

CAPITOLUL VII  
HIDROSTATICA <sup>1)</sup>

## A. Noțiuni generale

§ 86. **Lichide reale și lichide ideale.** Sub numele de *lichid perfect* sau *lichid ideal* înțelegem:

1) *un corp ale cărui părți sînt capabile să alunece încet una pe alta fără frecare, deci fără absorbție de lucru mecanic și*

**Lichidele ideale sînt incompresibile și lipsite de vîscozitate.**

2) *al cărui volum nu poate fi schimbat prin comprimare, adică un corp incompresibil.*

Experiența ne arată că lichidele obișnuite, sau *reale*, sînt totuși compresibile și că orice mișcare înfrînă, în interiorul lor, o frecare, datorită *viscozității*, care tinde să se anuleze abia la viteze foarte mici.

Vom neglija însă, în primă aproximație, aceste proprietăți și le vom considera pe toate ca incompresibile și fără vîscozitate.

O consecință imediată a lipsei de frecări, la vitezele foarte mici, este faptul că lichidele iau cu ușurință forma vasului în care le punem; o altă consecință este că suprafața liberă a unui lichid nu poate fi decît orizontală, cînd el se găsește în starea de echilibru.

**Din cauza lipsei de frecări interne, lichidele curg, iar la echilibru suprafața liberă este orizontală.**

În adevăr, dacă ar fi înclinată, greutatea  $mg$  a unei particule superficiale din lichid ar da naștere unei componente tangențiale  $F$  care, oricît ar fi de mică, ar face-o

să lunece în sensul ei (fig. 160).

<sup>1)</sup> Denumirea vine de la cuvîntul grecesc *hydor*, care înseamnă apă. Hidrostatica este studiul lichidelor în echilibru.

Lichidul ar curge atunci la vale și echilibrul se va stabili numai cînd suprafața liberă s-ar dispune perpendicular pe direcția forței verticale  $mg$ , fiindcă numai astfel componenta ei tangențială dispăre.

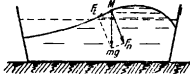


Fig. 160. Suprafața liberă a unui lichid în echilibru nu poate fi decât orizontală.

Același lucru se întîmplă dacă, în loc de un singur lichid, am avea mai multe lichide care nu se amestecă unul cu altul, de pildă ulei, apă și mercur.

Toate suprafețele de separație se vor dispune atunci orizontal.

## B. Presiunea hidrostatică

§ 87. Presiune, unitatea de presiune. Prin definiție, se numește presiune raportul dintre intensitatea unei forțe și suprafața pe care se exercită perpendicular.

Forța normală, raportată la suprafață, definește presiunea.

Este ușor de înțeles de ce, cînd forța face un unghi  $\alpha$  cu normala la suprafața considerată, va trebui să luăm, în locul ei, proiecția pe direcția normalei, care reprezintă componenta activă.

Dacă notăm presiunea cu  $p$ , vom avea deci

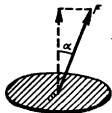


Fig. 161. Componenta normală a apăsării pe o suprafață.

$$p = \frac{F}{S} \cos \alpha, \quad (87.1)$$

care se reduce la  $F/S$  cînd forța devine normală (fig. 161).

Din însuși felul în care a fost definită ca mărime orientată presiunea poate fi reprezentată vectorial.

1. Unități și dimensiuni. Relația de definiție ne arată că, în sistemele CGS și MKS,

$$[p] = \left[ \frac{F}{S} \right] = \text{MLT}^{-2}\text{L}^{-2} = \text{L}^{-1}\text{MT}^{-2}.$$

Unitatea CGS, pe care o numim *barye*, reprezintă deci o *dynă pe centimetru pătrat*.

Mai ales în meteorologie se folosește de obicei un multiplu al ei, care se numește *bar* și reprezintă  $10^6$  baryi, precum și *milibar*, adică  $10^3$  baryi.

O barye = o dynă pe centimetru pătrat, iar un newton pe metru pătrat reprezintă 10 baryi.

1 bar =  $10^6$  baryi.

1 kgf/cm<sup>2</sup> = 981 000

dyn/cm<sup>2</sup> (atmosferă tehnică).

În sistemul MKS, unitatea este *newton pe metru pătrat*.

Ea reprezintă zece baryi și nu are nume special.

Trecând la sistemul MKfS, dimensiunile presiunii sînt

$$[p] = \left[ \frac{F}{S} \right] = FL^{-2},$$

iar unitatea respectivă este kgf/m<sup>2</sup>. În practica industrială se folosește însă de obicei kgf/cm<sup>2</sup>, adică o unitate de 10 000 de ori mai mare. Ea reprezintă 981 000 dyn/cm<sup>2</sup> și se numește *atmosferă tehnică*, fiindcă este aproape egală cu presiunea atmosferică normală.

**2. Observație.** În interiorul unui lichid în echilibru, fiecare pătură servește ca suport pentru cele de deasupra ei și de aceea suferă o presiune cu atît mai mare, cu cît e mai departe de suprafața liberă. Ne propunem să cercetăm cum acționează

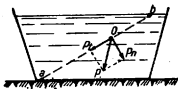


Fig. 162. Presiunea se exercită normal pe orice suprafață înclinată de un lichid în echilibru.

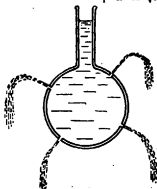


Fig. 163. Presiunile într-un lichid sînt normale pe pereții vasului.

aceste presiuni hidrostatice și ce intensitate au, la diferite adîncimi.

Este evident că, în situația unui lichid în echilibru, nimic nu se schimbă dacă, mintal, am privi unele părți ale lui ca solidificate.

Fie deci o suprafață  $ab$  (fig. 162) sub care vom considera lichidul ca solidificat și să admitem, pînă la proba contrarie, că presiunea  $p$ , într-un punct oarecare al acestei suprafețe, ar acționa înclinat.

În acest caz, am putea-o descompune în componentele *normală*, notată cu  $p_n$  și *tangențială*, notată cu  $p_t$ , sub acțiunea căreia particulele de lichid aflate în  $O$  ar tinde să lunece, după direcția  $ab$ .

S-ar naște atunci, de la sine, curenți în masa lichidului, care n-ar mai putea fi în echilibru și același fenomen s-ar petrece dacă presiunea ar fi orientată oblic, pe suprafața pereților vasului.

**Presiunile în interiorul unui lichid în echilibru se exercită normal pe orice suprafață întilnită.**

Prin urmare, *presiunile din interiorul unui lichid în echilibru nu pot să acționeze decît normal, atît pe suprafața pereților, cît și pe orice altă suprafață întilnită.*

Verificarea experimentală se poate face cu un vas găurit.

Constatăm atunci că lichidul care țîșnește prin găuri urmează, în primul moment, direcțiile perpendiculare pe suprafața pereților, în punctele respective (fig. 163).

Aceeași constatare o putem face cînd lichidul pătrunde de la exterior, spre interiorul vasului gol.

**§ 88. Expresia presiunii hidrostatice.** Să ne închipuim că, într-un lichid în echilibru, am solidifica mintal un cilindru drept  $ab$ , cu baza de un centimetru pătrat, așezat orizontal (fig. 164).

Cum presiunile pe suprafața laterală a acestui cilindru sînt normale și nu pot să dea naștere la componente în sensul lungimii, înseamnă că, deoarece el nu se mișcă pe această direcție, presiunile pe cele două baze sînt egale și direct opuse.

**La un nivel dat, presiunile hidrostatice au valoare constantă.**

Prin urmare, *într-un lichid în echilibru, presiunile hidrostatice la același nivel sînt egale.*

Verificarea experimentală se poate face cufundînd un tub de sticlă, închis la capătul de sus, într-un vas cu apă (fig. 165).

Presiunea hidrostatică ridică lichidul în tub și comprimă aerul închis acolo, iar dacă mișcăm tubul, menținîndu-i capătul de jos la aceeași adîn-

cime, constatăm că înălțimea coloanei lichide  $ab$  rămâne constantă, semn că presiunea nu variază.

Să considerăm acum ca virtual solidificat un cilindru vertical, în cuprinsul unui lichid în echilibru (fig. 166).

Cum acest cilindru stă în repaus, înseamnă că rezultanta forțelor ce acționează simultan asupra lui este nulă.

Iar dacă baza lui este de un centimetru pătrat, forțele ce acționează normal pe cele două capete opuse au aceeași valoare numerică pe care o au și presiunile respective.

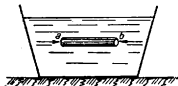


Fig. 164. Presiunea hidrostatică la un nivel dat.

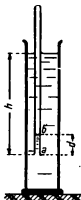


Fig. 165. Presiunea hidrostatică la diferite nivele.

Aceste două forțe vor fi deci reprezentate numeric prin:

- 1) presiunea verticală  $p_1$ , normală pe baza  $a$ ;
- 2) presiunea verticală  $p_2$ , normală pe bază  $b$ ;

iar la ele se adaugă:

- 3) greutatea proprie  $p$  a cilindrului aplicată în centrul de greutate  $G$  și

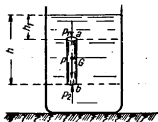


Fig. 166. Deducerea legii fundamentale a hidrostaticii.

- 4) acțiunea presiunilor normale pe suprafața laterală, ce dau naștere la forțe care, din motive de simetrie, se anulează reciproc.

Ținând seamă de sensul orientării și scriind că rezultanta tuturor forțelor în prezență este nulă, avem

$$p_2 - p_1 + p = 0$$

și deducem că diferența presiunilor ce se exercită pe cele două baze are valoarea

$$\Delta p = p_2 - p_1 = p.$$

*Ea este, deci, numeric egală cu greutatea proprie a cilindrului considerat.*

Cum secțiunea acestui cilindru este de un centimetru pătrat, iar cele două baze se găsesc la nivelele  $h$  și  $h_1$ , rezultă că

$$\Delta p = p = V \rho g = (h - h_1) \rho g,$$

unde  $V$  este volumul cilindrului,  $\rho$  densitatea lichidului și  $g$  accelerația gravitației.

Am arătat că, într-un lichid în echilibru, toate punctele unui plan orizontal dat suportă presiuni egale.

Urmează că oricum și oriunde am trece de la nivelul  $h$  la nivelul  $h_1$ , sau invers, presiunea hidrostatică variază cu cantitatea

$$\Delta p = (h - h_1) \rho g \quad (88.1)$$

În cazul special, cînd capătul de sus al cilindrului se găsește la suprafața lichidului,  $h_1 = 0$ , iar presiunea la adîncimea  $h$  va fi dată de relația

$$p_h = h \rho g \quad (88.2)$$

La adîncimea  $h$ , presiunea hidrostatică este  $h \rho g$  și se exercită normal pe orice suprafață întîlnită.

Prin urmare, *intensitatea presiunii hidrostatice, la o adîncime  $h$ , este egală cu greutatea unei coloane verticale de lichid, cu secțiunea de un centimetru pătrat și înălțimea  $h$ .*

Ea se orientează normal pe orice suprafață.

Considerînd acum o suprafață oarecare  $S$ , este evident că presiunile hidrostatice vor dezvolta forța totală

$$F = S h \rho g \quad (88.3)$$

Relațiile deduse mai sus nu se aplică decît cu condiția ca diferitele puncte ale suprafeței considerate, în contact cu lichidul, să fie măcar aproximativ la același nivel.

Pentru suprafețele care nu sînt orizontale, va trebui deci să considerăm porțiuni de întindere cît mai mică sau să adoptăm valoarea medie a presiunii, în centrul de greutate.

**Forțele și presiunile hidrostatice depind de adîncime, dar nu și de forma vasului.**

Aceleași relații ne mai arată că, deoarece la un lichid în echilibru *forțele și presiunile nu depind decît de adîncimea  $h$ , forma vasului este indiferentă.*

Prin urmare, pe fundul celor două vase reprezentate în fig. 167, presiunea hidrostatică este aceeași, iar forțele sînt egale.

Verificarea experimentală a acestei concluzii se poate face cu dispozitivul din fig. 168.

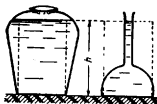


Fig. 167. Pe fundul celor două vase, presiunile hidrostatice sînt egale.



Fig. 168. Presiunea hidrostatică depinde numai de înălțimea coloanei lichide.

La capătul de jos al unui tub de sticlă este adaptat un inel metallic  $e$ , pe care apasă un disc, legat de brațul unei balanțe.

Punem apă în tub pînă la un reper  $l$  și încărcăm celălalt braț al balanței, atît cît este necesar ca discul să oprească curgerea apei.

Înlocuind apoi tubul prin altele:  $b$ ,  $c$ ,  $d$  etc., de aceeași suprafață la bază dar de forme diferite, constatăm că forța care apasă asupra discului nu variază, cîtă vreme înălțimea coloanei este aceeași.

*Prin urmare, presiunea nu depinde de forma tubului.*

Pe aceeași cale putem verifica experimental că *presiunea crește proporțional cu înălțimea coloanei și cu densitatea lichidului.*

De asemenea, ne putem servi de cîteva tuburi de forme diferite, deschise la ambele capete (fig. 169).

Astupăm unul din capete cu un carton, îl cufundăm în apă pînă la o adîncime dată și constatăm că:

a) Presiunea din exterior lipește cartonul de gura tubului și nu lasă apa să intre înăuntru.



b) Adîncimea de cufundare fiind aceeași, ca să desprindem cartonul trebuie să turnăm apă în toate tuburile pînă la aceeași înălțime, indiferent de forma lor.

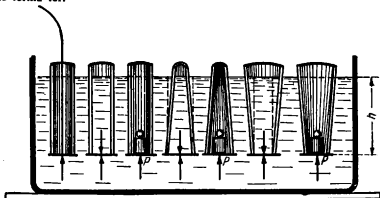


Fig. 169. Apăsarea de jos în sus este aceeași la toate vasele din această figură.

§ 89. **Principiul lui Pascal.** Să presupunem că un lichid este închis într-un rezervor, prevăzut cu două pistoane mobile, de arii  $S_1$  și  $S_2$  (fig. 170).

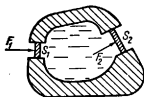


Fig. 170. Principiul lui Pascal.

Neglijînd greutatea proprie a pistoanelor și eventuale frecări, este evident că, dacă o forță oarecare  $F_1$  împinge unul din pistoane, pe suprafața celuilalt apare o altă forță  $F_2$ , care-l mișcă în așa fel încît variația de volum dintr-o parte să fie compensată de cealaltă parte.

Prin urmare, distanțele parcurse de pistoane vor fi invers proporționale cu ariile respective, așa că:

$$\frac{d_2}{d_1} = \frac{S_1}{S_2}.$$

Totodată, principiul conservării lucrului mecanic impune condiția ca

$$F_1 d_1 = F_2 d_2$$

și rezultă astfel că

$$\frac{F_1}{S_1} = \frac{F_2}{S_2}$$

(89.1)

Prin urmare, *forțele care acționează pe cele două pistoane sînt direct proporționale cu suprafețele respective.*

Dar cum forța, raportată la suprafață, reprezintă prin definiție presiunea, înseamnă că:

**Presiunile executate din exterior asupra unui lichid se transmit integral în toată masa lichidului.**

*Orice presiune exercitată din afară asupra unui lichid se transmite integral și cu intensitate constantă asupra oricărei suprafețe în contact cu lichidul.*

În ce privește *orientarea* acestor presiuni, condiția de echilibru cere ca ele să acționeze perpendicular pe orice suprafață înțîlnită.

Acesta este *principiul lui Pascal* <sup>1)</sup>.

Verificarea experimentală se poate face cu dispozitivul din fig. 171, în care două pistoane de suprafețe  $S_1$  și  $S_2$  pătrund păsuit în doi cilindri metalici, plini cu ulei, care comunică pe la partea inferioară.

Experiența ne arată că sistemul este în echilibru cînd aceste pistoane sînt încărcate cu greutăți direct proporționale cu suprafețele lor.

*Presă hidraulică* este o aplicație directă a principiului lui Pascal (fig. 172).

Ea se compune dintr-o pompă, cu cilindrul de secțiune mică, legată cu alt cilindru de secțiune mai mare.

Forțele fiind direct proporționale cu suprafețele pistoanelor, se vor amplifica după raportul respectiv  $S/s$ .

Ventilele  $V_1$  și  $V_2$  împiedică întoarcerea apei înapoi spre pompă.

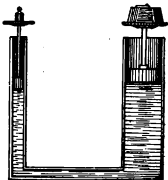


Fig. 171. Verificarea principiului lui Pascal.

<sup>1)</sup> *Blaise Pascal* (1623—1662), celebru matematician și fizician francez.

Presele hidraulice au numeroase aplicații practice, între altele la extragerea uleiului din semințe, la comprimarea în baloturi a lînii, a paicilor sau bumbacului, la forjarea metalelor, în monetării etc.

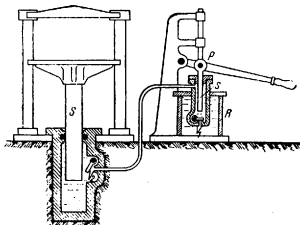


Fig. 172. Presa hidraulică.

*Ecuția generală a hidrostaticii.* Este evident că dacă o pătură de lichid, aflată la o adîncime  $h$ , este supusă nu numai apăsării păturilor superioare, dar și unei presiuni exercitate din afară, această presiune se adună la presiunea hidrostatică și va da presiunea totală

$$p_t = h\rho g + p_0 \quad (89.2)$$

în care  $p_0$  este presiunea exterioară suplimentară.

În consecință, o suprafață  $S$ , aflată la adîncimea  $h$  va fi supusă forței

$$F_t = S(h\rho g + p_0) \quad (89.2 a)$$

Relația (89.2) este cunoscută sub numele de *ecuția generală a hidrostaticii*. Ea ne spune

Presiunea totală este suma presiunilor exterioare și hidrostatice.

că *presiunea totală într-un lichid, la o adîncime  $h$ , este egală cu suma presiunii hidrostatice și a presiunii exterioare.*

§ 90. **Principiul vaselor comunicante.** Este evident că echilibrul unui lichid într-un vas n-ar suferi nici o schimbare dacă s-ar solidifica o pătură verticală, care să împartă conținutul vasului în două, sau dacă în această pătură am practica diferite găuri (fig. 173).

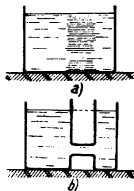


Fig. 173. Principiul vaselor comunicante.



Fig. 174. Lichide diferite în vase comunicante.

Avem astfel două mase lichide, care comunică între ele și al căror nivel de ambele părți ale peretelui despărțitor se menține la poziția inițială de echilibru, în același plan orizontal.

Acest raționament simplu ne explică faptul constatat experimental că: *nivelul unui lichid în două sau mai multe vase comunicante se fixează la aceeași înălțime, adică în același plan orizontal.*

**În vase comunicante, nivelul unui lichid în echilibru se fixează la aceeași înălțime.**

În cazul particular cînd în două vase comunicante punem lichide de densități diferite, care nu se amestecă între ele, de pildă apă și mercur, experiența ne arată că, dacă lăsăm la o parte porțiunea de lichid aflată sub nivelul  $OO'$ , *înălțimile coloanelor în echilibru sînt invers proporționale cu densitățile respective* (fig. 174).

Prin urmare

$$\frac{\rho_1}{\rho_2} = \frac{h_2}{h_1}$$

(90.1)

La lichide diferite, înălțimile coloanelor în vase comunicante sînt invers proporționale cu densitățile.

Explicația este următoarea: presiunea exercitată de coloana de înălțime  $h_2$  este:

$$p_2 = h_2 \rho_2 g.$$

Cealaltă coloană dezvoltă presiunea:

$$p_1 = h_1 \rho_1 g.$$

Echilibrul se stabilește cînd presiunile sînt egale, așadar cînd

$$h_2 \rho_2 g = h_1 \rho_1 g,$$

de unde ajungem la relația (90.1), găsită experimental.

Dacă măsurăm înălțimile coloanelor și cunoaștem densitatea unuia dintre lichide, putem determina pe a celuilalt.

Această metodă de determinare a densității este comodă, dar nu din cele mai precise.

**Aplicații practice.** Ne vom limita numai la cîteva exemple:

1) *Nivela cu apă.* Ea servește inginerilor topometri, la ridicările de teren. Se compune dintr-un tub metallic, la capetele căruia sînt fixate două tuburi de sticlă (fig. 175).

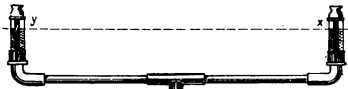


Fig. 175. Nivela cu apă.

Aparatul se umple cu apă colorată și se așază orizontal pe un trepied.

Nivelele în cele două vase comunicante, fiind pe aceeași orizontală, nu rămîne decît să vizăm după linia  $xy$ , ca să ne dăm seama de înclinația terenului.

2) *Fîntîni arteziene.* Uneori, cînd săpăm o fîntînă pe o coastă de deal sau în fundul unei văi, apa țîșnește pînă la o înălțime oarecare.

Asemenea fîntîni se numesc *arteziene*, fiindcă există în număr mare în regiunea Artois din Franța.

Explicația fenomenului este următoarea: În pămînt există straturi permeabile pentru apă, cum sînt prundișul sau nisipul și straturi impermeabile, cum e argila. Dacă un strat permeabil este cuprins între două straturi impermeabile, sistemul se comportă ca vasele comunicante și apa țîșnește pînă aproape de înălțimea la care se găsește în pătura de pe coastă (fig. 176).

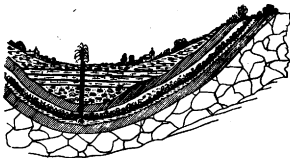


Fig. 176. Explicarea formării fntnilor arteziene.

3) *Apeductele*. Orașele sînt alimentate de apeducte care trec de multe ori peste văi și dealuri, ca apoi să ajungă pînă la ultimele etaje ale clădirilor.

Principiul vaselor comunicante ne arată că nu se cere decît condiția ca izvoarele captate să se afle la un nivel mai ridicat decît înălțimile de trecut, ținînd seamă, bineînțeles și de anumite pierderi de presiune pe drum.

**§ 91. Principiul lui Archimede.** Este evident că, în situația unui lichid în echilibru, nimic nu se schimbă dacă, mintal, am considera ca solidificată o porțiune oarecare, de greutate  $F$  (fig. 177).

Cum această porțiune nu se cufundă mai departe în lichidul rămas, trebuie să admitem că forțele hidrostactice care se exercită din toate părțile pe suprafața ei au o rezultantă egală și direct opusă greutății  $F$ .

Să presupunem că extragem acum porțiunea solidificată și apoi introducem, în locul ei, un corp oarecare, de aceeași formă și același volum, dar de greutate  $F_1$ .

Asupra acestui corp se va exercita mai departe aceeași forță  $F$ , opusă greutății, așa că forța  $R$  care-l trage la fund va fi, de astă dată

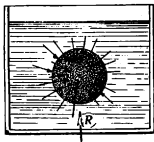


Fig. 177. Principiul lui Archimede.

$$R = F_1 - F$$

(91.1)

în care  $F$  reprezintă, cum am văzut mai sus, greutatea unui volum egal de lichid.

Prin urmare, corpul cufundat va părea mai ușor decât în aer.

Un corp cufundat este împins de jos în sus cu o forță egală cu greutatea volumului de lichid dezlocuit.

*În concluzie: orice corp cufundat este împins de jos în sus cu o forță egală cu greutatea volumului de lichid pe care-l dezlocuiește.*

Acesta este *principiul lui Archimede*.

Verificarea experimentală se face de obicei cu *balanța hidrostatică*, reprezentată în fig. 178. De unul din talgere atârnăm un cilindru gol, de

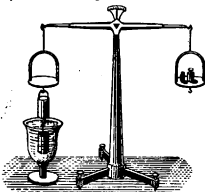


Fig. 178. Verificarea experimentală a principiului lui Archimede.

tablă, și sub el un al doilea cilindru plin, care are același volum și poate să intre exact în primul.

Echilibrăm întâi balanța, apoi cufundăm în apă cilindrul plin și constatăm că:

1) pârghia balanței se înclină ca și cum cilindrul cufundat ar fi devenit mai ușor;

2) ca să restabilim echilibrul e destul să umplem cu apă cilindrul gol.

Așadar, *pierderea aparentă de greutate a cilindrilor cufundați este în adevăr egală cu greutatea volumului de apă dezlocuit.*

*Î. Reciproca principiului lui Archimede.*

Principiul acțiunii și reacțiunii prevede că, deoarece lichidul împinge corpul

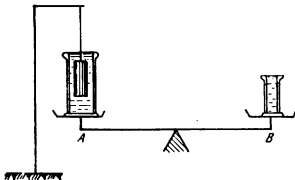


Fig. 179. Reciproca principiului lui Archimede.

cufundat de jos în sus, la rîndul lui, corpul trebuie să exercite asupra lichidului o forță egală, orientată de sus în jos.

Această deducție o putem verifica tot cu balanța, în felul următor.

Punem pe un talger un vas cu apă, iar pe celălalt talger cilindrul gol din experiența precedentă. După ce stabilim echilibrul, ațrîm cilindrul plin de un suport și-l cufundăm în vasul cu apă.

Constatăm atunci că balanța se apleacă în *A* și ne arată că cilindrul cufundat apasă asupra ei, iar echilibrul se restabilește dacă umplem cu apă cilindrul gol din *B* (fig. 179).

**Corpul cufundat dezvoltă prin reacțiune o forță de sus în jos egală cu greutatea lichidului dezlucuit.**

*Prin urmare, corpul cufundat dezvoltă prin reacțiune o forță orientată de sus în jos, egală cu greutatea volumului de lichid dezlucuit.*

Aceasta este *reciproca principiului lui Archimede*.

**Centrul de apăsare.** Punctul de aplicație al forței cu care lichidul împinge de jos în sus un corp cufundat se numește *centru de apăsare* sau de *împingere*.

Punctul de aplicație al forței cu care lichidul tinde să împingă un corp cufundat este centrul de apăsare sau de împingere.

El se confundă cu centrul de greutate al volumului dezlucuit, iar în cazul special al corpurilor omogene, se află chiar în centrul de greutate al porțiunii de corp cufundate.

## 2. Plutirea corpurilor. Relația

$$R = F_1 - F, \quad (91.1)$$

care exprimă principiul lui Archimede, ne arată că:

1) Dacă greutatea corpului cufundat este mai mare decît a lichidului dezlucuit, așadar dacă

$$F_1 > F,$$

rezultanta *R* îl trage la fund.

2) Dacă

$$F_1 = F,$$

rezultanta *R* este nulă și corpul, ne mai fiind solicitat de nici o forță verticală, rămîne în repaus la orice adîncime.

După cum apăsarea lichidului este mai mică, mai mare sau egală cu greutatea corpului, acesta se duce la fund, se ridică la suprafață sau plutește între două ape.



3) Dacă, în sfârșit,

$$F_1 < F,$$

corpul plutește, fiindcă rezultanta  $R$  îl duce la suprafață. În acest caz echilibrul se stabilește în momentul când porțiunea cufundată cântărește exact atîta cît și lichidul dezlocuit.

Numeroase fapte practice sînt o consecință directă a acestor considerații. Iată cîteva exemple:

a) Un ou proaspăt, pus în apă curată se duce la fund. Un ou stricat plutește însă, fiindcă putrefacția dezvoltă gaze care scapă afară prin coajă și-l ușurează.

În apă sărată, putem potrivi concentrația soluției așa ca oul să stea în echilibru indiferent, la orice adîncime.

b) Cînd plămîinii sînt plini cu aer, corpul omenesc este ceva mai ușor decît apa dezlocuită și tinde să plutească, dacă-i cufundat aproape complet.

Cînd scoatem capul din apă, ca să respirăm, dezlocuim lichid mai puțin și gravitația ne trage la fund. Ca să ne menținem la suprafață, trebuie atunci să *înotăm*, adică să facem anumite mișcări ordonate, cu mîinile sau cu picioarele.

Cel ce nu le cunoaște nu poate scoate capul afară și atunci, obligat să tragă în plămîni apă, în loc de aer, se îneacă și se duce la fund, de unde nu-l mai scot la suprafață decît gazele de putrefacție, care-l umflă.

c) Se cunoaște sub numele de *Ludion* dispozitivul următor:

O păpușă de porțelan, atîrnată de un balon de sticlă plin cu aer și găurit la partea inferioară, este introdusă într-un vas cu apă, astupat cu o membrană de cauciuc (fig. 180).

Dacă apăsăm pe membrană, apa intră în balon, îl îngreuiază și îl trage la fund. Cînd apăsarea încetează, presiunea aerului din balon alungă apa și păpușa se ridică la suprafață.

Această experiență simplă ne lămurește principiul *submarinelor*, va-poare de formă lungăreață, care pot să circule pe sub apă.

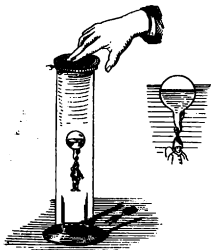


Fig. 180. Ludionul.

Invelișul lor, făcut din tablă groasă de oțel, este dublu și, în spațiul acesta, pompe speciale, purtate de motoare electrice, introduc fie apă — ca să îngreueze vasul și să-l ducă spre adânc, fie aer — ca să-l ușureze și să-l ridice la suprafață.

3. *Echilibrul unui corp cufundat.* Să considerăm un corp solid, cufundat cu totul într-un lichid (fig. 181).

Asupra lui acționează, după cum am văzut, două forțe verticale și opuse: una este greutatea proprie a corpului,  $F_1$ , aplicată în centrul de greutate  $G$ , iar cealaltă este forța de împingere în sus  $F$ , aplicată în centrul de apăsare  $O$ .

1) Când corpul este omogen, cele două puncte  $G$  și  $O$  se confundă. Orientarea lui este atunci indiferentă, fiindcă în orice poziție, forțele  $F$  și  $F_1$  sînt opuse și nu pot să dea naștere unei

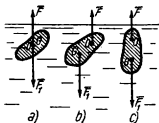


Fig. 181. Echilibrul unui corp cufundat.

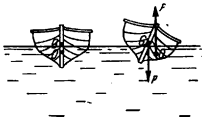


Fig. 182. Echilibrul unei bărci este asigurat de profilul ei.

mișcări de rotație sau răsturnare, ci doar unei mișcări verticale de cufundare sau ridicare.

2) Dacă corpul nu este omogen, punctele de aplicație ale forțelor  $F$  și  $F_1$  sînt diferite. Sub acțiunea lor suprapusă, el suferă,

**Echilibrul unui corp cufundat parțial sau total este stabil dacă centrul de greutate se află sub centrul de împingere și pe aceeași verticală cu dînsul.**

pe lângă o eventuală mișcare verticală, o mișcare de rotație care tinde să-l aducă în poziția de echilibru stabil, în care centrul de greutate se află sub centrul de împingere și pe aceeași verticală cu dînsul.

3) Aceleași considerații se aplică și corpurilor care plutesc. De aceea vapoarele se încarcă totdeauna cu greutatea mari la fund.

Se poate întâmpla însă ca echilibrul să fie stabil și când centrul de greutate s-ar găsi deasupra centrului de împingere.

De pildă, profilul bărcilor este așa fel studiat, încît orice înclinare să mărească volumul apei dezlocuite (fig. 182).

Cum variația de volum cufundat este asimetrică față cu linia mediană, centrul de împingere se mută lateral și rezultă astfel un cuplu care tinde să readucă barca la poziția inițială.

### C. Densitatea. Greutatea specifică

Experiența ne arată că, sub volum egal, corpuri diferite au în genere mase și greutate diferite.

De asemenea, o substanță dată poate, *sub același volum*, să aibă masa și greutate variabilă, după condițiile de temperatură sau presiune, după tratamentele mecanice pe care le-a suferit, după starea internă de cristalizare etc.

§ 92. *Densitatea. Prin definiție, se numește densitate sau masă specifică masa unității de volum.*

Masa unității de volum  
se numește densitate sau  
masă specifică.

După standardul legal, ea se  
notează cu litera grecească  $\rho$ .

Vom avea deci, prin definiție,

$$\rho = \frac{\text{masă}}{\text{volum}} = \frac{m}{V} \quad (92.1)$$

1. *Unități și dimensiuni.* Relația de definiție ne arată că, în sistemele CGS și MKS, dimensiunile densității sînt:

$$[\rho] = L^{-3}M,$$

iar unitățile respective vor fi  $g/cm^3$  sau  $kg/m^3$ .

În sistemul MKfS, știind că:

$$[m] = L^{-1}FT^2$$

vom avea

$$[\rho] = L^{-4}FT^2,$$

iar unitatea va fi  $\text{kgf} \cdot \text{s}^2/\text{m}^4$ .

**2. Determinarea densității.** Masa specifică (sau densitatea), definită cu ajutorul unităților absolute de masă și volum este tot o mărime absolută.

Cunoașterea ei, pentru un material dat, implică determinarea prealabilă a masei, prin cântărire și a volumului, printr-o măsurare directă sau indirectă.

La corpurile cu forma geometrică regulată: cub, sferă, cilindru etc., volumul se poate calcula cu ajutorul dimensiunilor geometrice.

La lichide, această operație se simplifică, fiindcă lichidul ia forma vasului, pe care-l putem grada în volume.

Cînd e vorba de un corp solid, cu forma neregulată, îl cufundăm într-un vas gradat, plin cu apă sau cu un lichid oarecare și citim direct creșterea de volum. Această operație nu e însă totdeauna posibilă, din cauza dizolvării sau impregnării corpului. Recurgem atunci la alte metode indirecte, pe care nu este cazul să le mai descriem în amănunte.

**§ 93. Greutatea specifică.** Prin definiție, se numește greutatea specifică greutatea unității de volum.

Greutatea specifică este greutatea unității de volum.

După standardul de stat, ea se notează cu litera grecească  $\gamma$ .

Vom avea deci, prin definiție

$$\gamma = \frac{\text{greutate}}{\text{volum}} = \frac{F}{V}. \quad (93.1)$$

**Unități și dimensiuni.** Relația de definiție ne arată că, în sistemele CGS și MKS,

$$[\gamma] = L^{-2}MT^{-2},$$

iar unitățile vor fi  $\text{dyn}/\text{cm}^3$  sau  $\text{N}/\text{m}^3$ .

Pe de altă parte, se vede imediat că deoarece greutatea este

$$F = mg,$$

greutatea specifică rezultă din înmulțirea densității cu accelerația gravitației.

Așadar,

$$\gamma = \rho g.$$

În sistemul MKfS

$$[\gamma] = L^{-3}F,$$

și unitatea va fi  $\text{kgf/m}^3$ .

**§ 94. Densitatea relativă.** Prin definiție, se numește densitate relativă raportul dintre densitatea unui corp și densitatea apei la  $+4^\circ\text{C}$ .

Densitatea relativă este raportul dintre densitatea unui corp și densitatea apei la  $+4^\circ\text{C}$ . Ea este un simplu număr abstract.

Dacă o notăm cu  $d$ , vom avea deci prin definiție

$$d = \frac{\text{densitatea corpului}}{\text{densitatea apei la } +4^\circ\text{C}} = \frac{\rho}{\rho_0}.$$

Astfel definită, densitatea relativă apare ca rezultatul împărțirii a două mărimi similare. De aceea, spre deosebire de masa și greutatea specifică, ea nu are dimensiuni fizice și reprezintă un simplu număr abstract.

Pe de altă parte, dacă considerăm un volum de apă egal cu volumul  $V$  al unui corp dat, vom avea evident:

$$d = \frac{\rho}{\rho_0} = \frac{m/V}{m_0/V} = \frac{m}{m_0}. \quad (94.1)$$

Densitatea relativă rezultă din raportul numeric între masa corpului și masa unui volum egal de apă distilată, la  $+4^\circ\text{C}$ .

Prin urmare, densitatea relativă rezultă din raportul numeric al masei corpului și masa unui volum egal de apă distilată, la temperatura de  $+4^\circ\text{C}$ .

Totodată, fiindcă masele sînt proporționale cu greutatea, este evident că același rezultat numeric îl putem obține din împărțirea greutății corpului cu greutatea volumului corespunzător de apă distilată, la temperatura prescrisă.

Din felul special în care s-a făcut alegerea etalonului internațional de masă, 1 cm<sup>3</sup> de apă distilată la +4° C cântărește aproximativ 1 g.

Inseamnă că, în limita erorilor experimentale, densitatea apei la această temperatură este egală cu unitatea.

Relația (94.1) de mai sus ne arată atunci că, *din punct de vedere numeric, densitățile absolute și relative sînt egale.*

Din punct de vedere numeric, densitățile absolute și relative sînt egale.

Fără a confunda sensurile fizice, putem scrie deci relația numerică:

$$d = \rho = \frac{m}{m_0} = \frac{mg}{m_0g} = \frac{\gamma}{\gamma_0} \quad (94.2)$$

Cu ajutorul ei, determinarea densității absolute  $\rho$  se reduce la determinarea raportului între masa sau greutatea unui corp și masa sau greutatea unui volum egal de apă distilată, la temperatura de +4° C.

Rezultatul, înmulțit cu accelerația gravitației, ne dă apoi valoarea greutății specifice.

**Observație.** La temperatura de +25° C densitatea apei este 0,997 07 g/cm<sup>3</sup>, adică numai cu aproximativ 0,003 mai mică decît la +4° C.

În măsurările curente vom admite deci, cu eroare neglijabilă, că densitatea apei la temperatura camerei este practic egală cu unitatea și nu vom mai face corecțiile de temperatură, decît în cazuri cu totul speciale.

**1. Determinarea densității relative.** Dăm mai jos cîteva din metodele curente, fără a insista asupra complicațiilor eventuale sau asupra corecțiilor de făcut.

a) *Metoda flaconului* (picnometrul) se aplică atît la lichide, cît și la corpurile solide.

Picnometrele pentru lichide au aspectul din fig. 183, sînt făcute din sticlă și poartă un reper *a* pe un tub capilar. Uneori, pentru măsurări mai precise, au și un termometru.

Dacă masa flaconului gol se notează cu *m*, masa flaconului umplut cu apă este *M*<sub>0</sub> și masa flaconului plin cu lichid este *M*, vom avea, evident

$$d = \frac{M - m}{M_0 - m}.$$

Picnometrele pentru solide au deschiderea ceva mai largă, și în ea pătrunde un dop șlefuit, care se continuă cu un tub capilar (fig. 184).

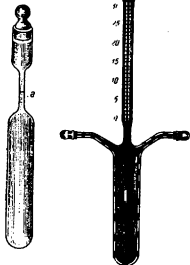


Fig. 183. Picnometre pentru lichide.

— Cântărim întâi corpul și găsim, de pildă, masa  $m$ .

— Cântărim din nou corpul, alături de flaconul plin cu apă, pînă la reper și găsim de astă dată masa  $M_0$ .

— Introducem corpul în flaconul plin cu apă, pînă la reper și repetăm cîntărirea.

Dacă, de astă dată, masa este  $M_1$ , diferența  $M_0 - M_1$  reprezintă masa apei dezlocuite.

Rezultă atunci că densitatea relativă a corpului este

$$d = \frac{m}{M_0 - M_1}.$$

Metoda flaconului este cea mai precisă din toate metodele cunoscute. Celelalte metode se bazează pe principiul lui Archimede.

b) *Metoda cîntăririi în apă* se aplică, de asemenea, atât la solide cît și la lichide.

Dacă este vorba de un corp solid, îl cîntărim întâi în aer și găsim, de exemplu, greutatea  $F$ , exprimată în grame-forță.

Atîrnăm apoi corpul sub talgerul unei balanțe hidrostatice, cu un fir subțire, îl cufundăm în apă și-l cîntărim în această situație (fig. 185).

De astă dată găsim o greutate mai mică,  $F_1$ .



Fig. 184. Picnometru pentru solide.

Cum diferența  $F - F_1$  reprezintă greutatea apei dezlocuite, vom avea, evident

$$d = \frac{F}{F - F_1}.$$

Pentru a reduce la minimum erorile, trebuie să folosim un fir de suspensie cât mai subțire și să evităm depunerea bulelor de aer, pe corpul cufundat.

Aceeași metodă se poate aplica la corpurile lichide, în felul următor:

— Atârnam de un talger al balanței un corp oarecare, îl cufundăm în apă distilată și-l cîntărim. Găsim astfel greutatea aparentă  $F$ .

— Cufundăm același corp în lichidul de densitate necunoscută și-l cîntărim din nou. Găsim de astă dată greutatea aparentă  $F_1$ .

— Cîntărim corpul în aer și găsim greutatea  $F_0$ . Densitatea lichidului va fi atunci:

$$d = \frac{F_0 - F_1}{F_0 - F}.$$

Metoda se simplifică, dacă dispunem de un corp solid cu forma geometrică regulată, al cărui volum poate fi calculat:

— Cîntărim corpul în aer și găsim greutatea  $F_0$ .

— Cîntărim același corp, cufundat în lichid și găsim greutatea aparentă  $F_1$ .

Volumul corpului fiind  $V$ , vom avea:

$$d = \frac{F_0 - F_1}{V}.$$

fiindcă diferența  $F_0 - F_1$  reprezintă greutatea în grame, deci numeric masa în grame a lichidului dezlocuit.

2. *Densimetre cu imersiune.* Principiul este următorul:

Un tub de sticlă, îngreuiat la capătul de jos cu alice de plumb, se cufundă în lichid și ia poziția de echilibru pentru care greutatea proprie este egală cu greutatea volumului de lichid dezlocuit (fig. 186).

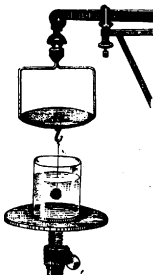


Fig. 185. Determinarea densității prin cufundare



Dacă  $M$  este masa densimetrului,  $\rho$  este densitatea lichidului și  $V$  este volumul porțiunii cufundate, vom avea:

$$M = \rho V,$$

iar pentru alt lichid

$$M = \rho' V'.$$

Rezultă că

$$\frac{V}{V'} = \frac{\rho'}{\rho}.$$

Volumul porțiunii cufundate este invers proporțional cu densitatea lichidului.

Prin urmare, volumul porțiunii cufundate este invers proporțional cu densitatea lichidului.

Gradația o putem face cufundând aparatul în diverse lichide de densitate cunoscută.



Fig. 186. Densimetre cu imersiune.

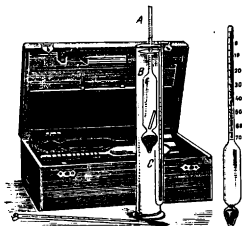


Fig. 187. Areometrul Beaumé.

Areometrul Beaumé este un densimetru de aceeași specie, dar cu o gradație arbitrară. (fig.187).

El se cufundă aproape complet în apa distilată, iar punctul respectiv de pe tubul de sticlă se notează cu zero.

Introducem apoi areometrul într-o soluție care conține 15 g de sare de bucătărie la 85 g apă și notăm cu 15 nivelul pînă la care se cufundă.

Distanța între 0 și 15 se împarte apoi în 15 părți egale, numite *grade Beaumé*.

Obișnuit, scara gradată se prelungește pînă dincolo de diviziunea 66, care corespunde punctului de cufundare în acidul sulfuric concentrat.

Experiența ne arată că, dacă un lichid are  $n$  grade Beaumé, densitatea lui este

$$\rho = \frac{144}{144 - n}.$$

Deși gradat arbitrar, areometrul Beaumé se mai întrebuințează încă în industrii, mai ales pentru siropuri, acizi etc.

**3. Areometre speciale.** Pe aceleași principii se construiesc areometre și densimetre cu destinații speciale, pentru determinat calitatea laptelui (lactodensimetre), concentrația alcoolului amestecat cu apă (alcoolimetre) etc.

Gradația lor se face prin comparație, cufundîndu-le în lichide cu concentrații sau proprietăți cunoscute.

**Balanța Mohr-Westphal** este o modificare a balanței hidrostatice și se întrebuințează la determinarea rapidă a densității lichidelor (fig. 188).

Pirghia balanței se sprijină cu cutitul pe un suport. La un capăt se atîrnă un plutitor de sticlă, iar la celălalt capăt se află o contragreutate care îl echilibrează.

De partea plutitorului, brațul este împărțit în zece părți egale, prin tot atîtea creștături.

Dacă cufundăm plutitorul într-un lichid el suferă o pierdere aparentă de greutate și, ca să restabilim echilibrul, trebuie să punem pe brațul balanței o serie de *cavaleri* de sîrmă. Fiecare din ei cîntărește 1/10 din precedentul.

Cel mai mare echilibrează balanța cînd îl atîrnăm la capătul extrem al pirghiei și cufundăm plutitorul în apă distilată.

Dacă, pentru alt lichid, condiția de echilibru ar cere să-l punem, bunăoară, pe a opta diviziune, densitatea lichidului ar fi 0.8.

Cu ajutorul celorlalți cavaleri mai mici, perfectăm echilibrul și adăugăm treptat zecimalele corespunzătoare.

De exemplu, în cazul figurii, densitatea lichidului este 1,37.

O asemenea balanță, cînd este de bună calitate, poate să ne dea rezultatul cu patru zecimale exacte.

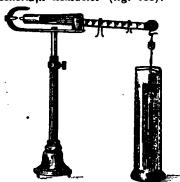


Fig. 188. Balanța Mohr-Westphal.

Dăm mai jos valorile medii ale densităților pentru câteva corpuri uzuale, în  $\text{g/cm}^3$ :

Platină . . . . .	21,40	Sulf . . . . .	2,0
Aur . . . . .	19,3	Sticlă ordinară . . . . .	2,4—2,6
Mercur . . . . .	13,59	Gheață . . . . .	0,92
Plumb . . . . .	11,34	Lemn de stejar . . . . .	0,7
Argint . . . . .	10,5	Lemn de brad . . . . .	0,5
Cupru . . . . .	8,94	Alcool . . . . .	0,79
Fier . . . . .	7,86	Petrol . . . . .	0,8
Aluminiu . . . . .	2,71	Oxygen lichid . . . . .	1,14
Magneziu . . . . .	1,74	Hidrogen lichid . . . . .	0,07
Potasiu . . . . .	0,86	Bioxid de carbon solid . . . . .	1,53

## D. Elasticitatea lichidelor

§ 95. **Compresiunea lichidelor.** În toate capitolele precedente am considerat lichidul ideal ca incompresibil. În aceste condiții, părțile inferioare ale unei coloane de lichid nu-și modifică volumul, sub apăsarea părților superioare, ceea ce face posibilă aplicarea ecuației generale a hidrostaticii (89.2), unde densitatea este considerată constantă, în toată masa lichidului.

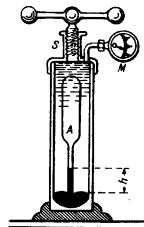


Fig. 189. Piezometrul.

În realitate, lichidele nu sînt cu totul incompresibile și concepția unui lichid ideal reprezintă numai o aproximație.

Studiul compresibilității lichidelor se face cu *piezometrul*, reprezentat schematic în fig. 189.

Lichidul de studiat se introduce într-un rezervor de sticlă, terminat cu un tub capilar, care se cufundă într-un vas cu mercur.

Tot sistemul se introduce apoi în alt rezervor mai mare, cu pereții de sticlă groasă, care se umple complet cu apă.

Șurubul *S* ne permite să variem presiunea, care se transmite lichidului din *A*, prin intermediul mercurului.

În felul acesta, rezervorul *A*, fiind supus unei presiuni exterioare egală cu cea interioară, nu suferă nici o deformare.

Cunoscînd secțiunea tubului capilar, înălțimea  $h$  la care se urcă mercurul și volumul total al rezervorului  $A$ , putem determina variația relativă de volum și constatăm atunci că:

$$\boxed{\frac{\Delta V}{V} = - \frac{p}{\chi}} \quad (95.1)$$

sau

$$\boxed{\frac{\Delta V}{V} = - \frac{F}{\chi S}} \quad (95.1 a)$$

unde  $p$  reprezintă presiunea ( $F/S$ ) și  $\chi^1$  un factor de proporționalitate, numit *modul de compresibilitate*.

Inversul acestei cantități se numește *coeficient de compresibilitate*.

Variația relativă de volum este direct proporțională cu presiunea.

Prin urmare, variația relativă de volum este direct proporțională cu presiunea.

Regăsim deci o lege analogă cu legea lui Hooke, pe care am studiat-o la comprimarea corpurilor solide.

La comprimarea lichidelor nu există deformare remanentă.

Coeficientul de compresibilitate nu este constant decît la presiuni care nu trec peste o limită maximă, dar experiența nu ne

arată nici un fel de remanență la lichidele comprimate, oricare ar fi presiunea și, dacă acțiunea de comprimare încetează, lichidul revine la volumul inițial, ceea ce nu era cazul la corpurile solide.

Ca și la modulul de elasticitate, valoarea modulului de compresibilitate se exprimă de obicei în  $\text{kgf/cm}^2$ .

Mai jos dăm valorile coeficientului de compresibilitate  $1/\chi$  pentru câteva lichide, la temperatura normală:

<i>Apă</i>	0,000 047	<i>Eter</i>	0,000 14
<i>Alcool</i>	0,000 089	<i>Mercur</i>	0,000 003 5.

Ca ordin de mărime, lichidele sînt cam de zece ori mai compresibile decît solidele.

<sup>1)</sup>  $\chi$  —literă grecească mică. Se citește *Khi*.

De pildă, un litru de apă, supus presiunii de o atmosferă, adică de  $1 \text{ kgf/cm}^2$ , își reduce volumul cu aproximativ  $0,05 \text{ cm}^3$ , așa că este nevoie de o presiune de 20 at, pentru ca volumul să scadă cu  $1 \text{ cm}^3$ .

1. *Ultrapresiuni.* În ultimul timp s-au realizat la gaze și mai ales la lichide presiuni de aproape 100 000 at.

Dispozitivul experimental, cu care se pot obține aceste *ultrapresiuni*, derivă din principiul cunoscut al preseii hidraulice și este reprezentat schematic în fig. 190.

Se înțelege ușor că dacă, sub pistonul mare, ar exista o presiune de  $p$  at, deasupra pistonului mic am avea presiunea:

$$P = p \frac{S}{s},$$

unde  $S$  și  $s$  sînt suprafețele acestor pistoane. Cu chipul acesta, presupunînd că:

$$p = 500 \text{ at};$$

$$S = 10 \text{ cm}^2;$$

$$s = 0,2 \text{ cm}^2,$$

vom avea, deasupra pistonului mic, o presiune de 25 000 at.

Dificultățile constau în realizarea unei păsuiri cît mai perfecte a pistoanelor și în procurarea materialului care să reziste la aceste presiuni enorme, pentru că un lichid, bunăoară uleiul, comprimat în asemenea grad, străbate prin metale ca un cuțit.

Iată cîteva din rezultatele cercetărilor:

1) S-a constatat că gazele pot fi comprimate pînă ce densitatea lor întrece pe a solidelor. Ele rămîn totuși în stare gazoasă, cîtă vreme nu le răcim sub anumită temperatură.

2) La 25 000 at, apa își reduce volumul aproape la jumătate. Dincolo de această limită, volumul nu se mai poate reduce, pentru că spațiile intermoleculare dispar și moleculele însăși nu mai sînt compresibile.

3) Sub acțiunea ultrapresiunilor se pot realiza unele reacții chimice, care nu se petrec la temperatura normală decît în condiții cu totul speciale și cu foarte mare încetineală.

4) Unele corpuri își schimbă cu totul proprietățile fizice: de pildă, fosforul devine bun conducător de căldură și electricitate.

5) Este de sigur interesantă și observația că unele bacterii rezistă perfect la presiuni de peste 17 000 at timp îndelungat.

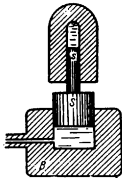


Fig. 190. Realizarea ultrapresiunilor.

6) Școala sovietică de biochimie de la *Leningrad*, sub conducerea lui *Bresler* a izbutit să realizeze la 5 000—10 000 at presiune, resintetizarea moleculelor de proteine, care au fost în prealabil distruse prin fermentare.

Aceasta constituie un pas important în studiul trecerii de la materia moartă, la materia vie.

2. *Exemple numerice.* 1) În vecinătatea coastelor Japoniei, Oceanul Pacific atinge adâncimea de 8 800 m.

Dacă 1 cm<sup>3</sup> de apă marină cântărește 1,03 g, care-i presiunea hidrostatică la această adâncime, socotind apa ca incompresibilă?

Știind că  $p = \rho gh$ , avem

$$p = 880\,000 \cdot 1,03 \cdot 981 \approx 89 \cdot 10^7 \text{ baryi}$$

adică aproximativ 900 at.

2) Ce forță totală s-ar exercita, la această adâncime, pe suprafața unei sfere cu raza de 10 cm?

Aria sferei fiind

$$S = 4\pi R^2 = 4 \cdot 3,14 \cdot 100 = 1\,256 \text{ cm}^2,$$

forța totală va fi:

$$F \approx 900 \cdot 1\,256 = 1\,129\,400 \text{ kgf},$$

adică  $\approx 1\,129$  tf.

3) Cu cât scade volumul unui litru de apă, supus acestei presiuni?

Coeficientul de compresibilitate al apei fiind aproximativ 0,000 05, scăderea relativă de volum va fi:

$$\frac{\Delta V}{V} = \frac{p}{\chi} = 900 \cdot 0,000\,05 = 0,045,$$

care, pentru volumul de 1 000 cm<sup>3</sup>, reprezintă 45 cm<sup>3</sup>.

4) O bucată de metal dezlocuiește 43 cm<sup>3</sup> de apă și cântărește 382,7 g. Să i se calculeze densitatea relativă.

Avem

$$d = \frac{382,7}{43} = 8,9.$$

5) Un cub cu latura de 3 cm are masa de 102 g. Care este masa specifică?

Volumul cubului este de 27 cm<sup>3</sup>, așa că densitatea absolută va fi:

$$\rho = \frac{102}{27} = 3,77 \text{ g/cm}^3.$$

6) Să se calculeze densitatea absolută a unui corp care cântărește 4,4 g în aer și 1,2 g când este cufundat într-un lichid cu densitatea 1,7.

Greutatea lichidului dezlocuit este

$$F = 4,4 - 1,2 = 3,2 \text{ gf.}$$

Iar volumul lui este

$$V = \frac{3,2}{1,7} = 1,8 \text{ cm}^3.$$

Prin urmare, densitatea absolută va fi, ținând seamă de egalitatea numerică dintre gramul-masă și gramul-forță,

$$\rho = \frac{m}{V} = \frac{4,4}{1,8} = 2,4 \text{ g/cm}^3.$$

7) Un corp cântărește 35 gf cînd e cufundat în apă și 28 gf cînd e cufundat într-un alt lichid.

Să se afle densitatea relativă a aceluși lichid, știind că greutatea corpului în aer este de 60 gf.

Greutatea corpului fiind  $F$ , avem:

$$d = \frac{F - 28}{F - 35} = \frac{32}{25} = 1,28.$$

8) Un aliaj de aur și argint are densitatea absolută 18. Care-i proporția dintre cele două metale?

Masa specifică a aurului este  $19,3 \text{ g/cm}^3$ , iar a argintului  $10,5 \text{ g/cm}^3$ .

Să considerăm  $1 \text{ cm}^3$  de aliaj. Volumele de aur și argint cuprinse în el fiind  $V_1$  și  $V_2$ , vom avea:

$$1 = V_1 + V_2,$$

iar masa acestui centimetru cub este:

$$18 = V_1 \cdot 19,3 + V_2 \cdot 10,5.$$

Din prima relație obținem:

$$V_1 = 1 - V_2,$$

care, introdusă în a doua, ne dă:

$$18 = (1 - V_2) 19,3 + V_2 \cdot 10,5.$$

Prin urmare

$$V_2 = \frac{1,3}{8,8} \approx 0,15 \text{ cm}^3.$$

Acest volum de argint cântărește

$$M_2 = 0,15 \cdot 10,5 \approx 1,58 \text{ g.}$$

Volumul de aur este

$$V_1 \approx 1 - 0,15 = 0,85 \text{ cm}^3$$

și cântărește

$$M_1 = 0,85 \cdot 19,3 \approx 16,41 \text{ g.}$$

## CAPITOLUL VIII

### STATICA GAZELOR

#### A. Noțiuni generale

§ 96. **Proprietăți generale.** Coeziunea neglijabilă, împreună cu mișcarea dezordonată de agitație termică, dau gazelor însușirea caracteristică a *expansiunii*, care le face să ia nu numai *forma*, dar și *volumul* pe care-l au la dispoziție.

Pe de altă parte, distanțele mult mai mari între atomi sau molecule permit gazelor să-și micșoreze volumul prin comprimare, adică să fie mult mai *compresibile* decât lichidele sau solidele.

Prin comprimare, gazele dezvoltă o *presiune*, care se datorește neconținutelor ciocniri, exercitate de moleculele în agitație, asupra pereților vasului în care sînt închise.

Experiența ne arată că *această presiune urmează, ca și la lichide, principiul lui Pascal*, adică se transmite integral, în toată masa gazului și, la echilibru, se exercită perpendicular pe orice suprafață întîlnită.

- Gazele comprimate dezvoltă o presiune, care se transmite integral și normal pe orice suprafață întîlnită. Această presiune se datorește agitației termice. Ea crește cu temperatura și cu micșorarea de volum.

De altă parte, știind că viteza de agitație termică devine mai mare, cînd se ridică temperatura, urmează că *presiunea exercitată de un gaz, închis într-un volum dat, va crește o dată cu încălzirea*.

Este de asemenea ușor de înțeles că, deoarece o *dată cu reducerea volumului*, același număr de molecule se îngrămădesc într-un spațiu mai mic, numărul de ciocniri pe o suprafață dată va fi mai mare și astfel va rezulta, de asemenea, o *creștere de presiune*.

Presiunea unui gaz depinde, prin urmare, de două variabile: *volumul și temperatura*.

- Izocor = volum constant
- Izobar = presiune constantă
- Izoterm = temperatură constantă

În studiul acestor fenomene se întrebuintează obișnuit și se extind și altor domenii, următoarele denumiri:

- Izocor*, pentru procesele ce decurg sub *volum constant*.
- Izobar*, cînd *presiunea este constantă*.
- Izoterm*, dacă *temperatura rămîne invariabilă*.



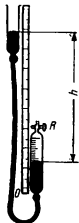


Fig. 191. Verificarea legii lui Boyle-Mariotte.

*În cele ce urmează, ne vom ocupa deocamdată numai de fenomenele izoterme.*

§ 97. **Comprimarea izotermă.** Cercelarea experimentală aproximativă se poate face cu dispozitivul simplu, reprezentat în fig. 191.

Un tub cilindric de sticlă, gradat în volume, are un robinet la partea superioară și este legat la partea inferioară cu un rezervor, printr-un tub flexibil de cauciuc.

Se deschide robinetul, se toarnă mercur în rezervor și se potrivește înălțimea lui astfel ca mercurul să ajungă la un reper de plecare 0.

Ridicînd apoi treptat rezervorul, după ce închidem robinetul, aerul este comprimat și diferența de nivel,  $h$ , la care se adaugă presiunea atmosferică, ne permite să evaluăm presiunea.

Experiența ne arată că, *dacă evităm variațiile de temperatură, presiunea gazului variază invers proporțional cu volumul.*

La comprimarea izotermă a gazelor, volumul variază invers proporțional cu presiunea.

Aceasta este legea lui Boyle-Mariotte <sup>1)</sup>.

Dacă notăm volumele cu  $V$  și presiunile măsurate cu  $p$ , vom avea deci

$$\frac{V_1}{V_2} = \frac{p_2}{p_1}.$$

Obișnuit, această relație se scrie sub forma

$$p_1 V_1 = p_2 V_2 = \text{constantă},$$

sau, în general,

$$pV = \text{const.}$$

(97.1)

<sup>1)</sup> Robert Boyle (1626—1691) fizician și chimist englez.

Edmé Mariotte (1620—1684) fizician francez.

Legea enunțată a fost descoperită de ambii, independent.

La comprimarea izotermă, produsul dintre volum și presiunea corespunzătoare este constant, dar legea nu este decât aproximativă.

Aceasta înseamnă că, dacă am reprezenta variația produsului  $pV$ , în funcție de presiune, ar trebui să rezulte o dreaptă, paralelă cu axa absciselor, pe care am reprezentat-o punctat în fig. 192.

Cercetările mai amănunțite, făcute în domenii largi de presiune, au arătat însă că, în general, la presiunile mici sau mijlocii, gazele sînt mai compresibile decât prevede legea de mai sus și produsul  $pV$  scade, pe cînd la presiunile mari ele rezistă din ce în ce mai bine la comprimare și produsul  $pV$  crește.

Numai hidrogenul face excepție și arată o creștere continuă a acestui produs.

Explicația este următoarea:

a) Atracția dintre moleculele gazului, care nu este cu totul neglijabilă nici la presiunea normală, crește în prima fază a comprimării, din cauza îngrămădirii lor într-un spațiu mai restrîns. Apar astfel forțe care creează o presiune suplimentară, ce se adaugă la presiunea exterioară și de aceea gazul se comprimă mai tare, iar produsul  $pV$  scade.

b) În faza următoare, la presiunile mari, îngrămădirea excesivă suprimă spațiile intermoleculare și, fiindcă moleculele înseși nu sînt compresibile, gazul rezistă micșorării de volum, iar produsul  $pV$  crește.

Prin urmare, legea lui Boyle-Mariotte este numai aproximativă și nu se aplică decât la variațiile mici de presiune, cînd este vorba de un gaz real.

Prin urmare, la comprimarea izotermă, produsul dintre volumul și presiunea corespunzătoare a unui gaz este constant.

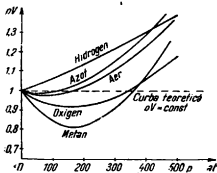


Fig. 192. La gazele reale, legea lui Boyle-Mariotte este numai aproximativă.

1. *Gazul ideal.* Pentru simplificare, vom admite că totuși există un gaz, pe care îl vom numi *perfect* sau *ideal*, unde această lege se aplică fără restricție, în ori și ce condiții.

Gazul ideal nu are nici coeziune, nici volum propriu al moleculelor, pe care le considerăm ca puncte geometrice.

*Acest gaz va trebui să fie cu totul lipsit de coeziune, iar moleculele lui vor fi considerate ca simple puncte geometrice, fără volum propriu, care să limiteze comprimarea.*

Curba reprezentativă a variației volumului, în funcție de presiune, după legea lui Boyle-Mariotte, are aspectul din fig. 193 și este un arc de hiperbolă echilateră, raportată la asimptotele ei.

Ea reprezintă o *izotermă* a gazului perfect, corespunzătoare unei temperaturi date.

Pentru exemplificare, am ales un caz arbitrar, când volumul gazului ar fi de  $180 \text{ cm}^3$ , la presiunea inițială de  $100 \text{ at}$ .

2. *Modulul de compresibilitate.* Să considerăm un gaz, la presiunea inițială  $p$ , sub volumul  $V$  și să-l supunem unei comprimări, în urma căreia presiunea variază cu  $\Delta p$ , iar volumul cu  $\Delta V$ , la temperatură constantă.

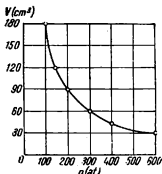


Fig. 193. Izoterma unui gaz perfect.

Aplicînd legea lui Boyle-Mariotte, vom avea:

$$pV = (p + \Delta p) \cdot (V + \Delta V),$$

sau

$$pV = pV + p \cdot \Delta V + V \cdot \Delta p + \Delta p \cdot \Delta V.$$

Dacă variațiile de volum și presiune sînt foarte mici, produsul lor va fi și mai mic, așa că poate fi neglijat în comparație cu ceilalți termeni.

Obținem astfel relația finală:

$$\boxed{\frac{\Delta V}{V} = - \frac{\Delta p}{p} = - \frac{\Delta F}{pS}} \quad (97.2)$$

unde  $\Delta F$  reprezintă variația forței de expansiune a gazului, pe o suprafață oarecare  $S$ .

Ea este analogă cu legea cunoscută a lui Hooke și ne spune că *modulul de compresibilitate al gazului comprimat izoterm este egal cu presiunea exercitată asupra lui.*

**Modulul de compresibilitate al gazelor este egal cu presiunea.**

Ca și la lichide, comprimarea gazelor nu implică deformări remanente și volumul revine la valoarea inițială, o dată cu presiunea.

Este evident că, prin comprimare, gazul înmagazinează energie potențială, pe care o restituie prin deslindere, ca orice corp elastic.

**§ 98. Densitatea gazelor.** Putem arăta ușor că gazele au greutate, ca orice corpuri materiale, cântărind un balon de sticlă înainte și după ce am scos aerul dintr-însul (fig. 194).

Constatăm astfel că, la temperatura de  $0^\circ\text{C}$  și presiunea atmosferică normală, masa unui decimetru cub de aer este 1,293 g, adică de 773 de ori mai mică decât a unui volum egal de apă.

De altfel, faptul că atmosfera Pământului, deși expansibilă, nu se împrăștie în spațiu, dovedește că aerul are masă și este atras de Pământ.

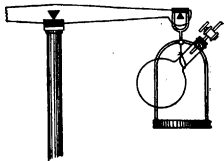


Fig. 194. Cântărirea aerului.

Dar greutatea unui gaz este atât de mică, încît nu-i în stare să exercite presiuni apreciabile, în genul presiunilor hidrostatice, decît sub diferențe de nivel mult mai mari.

De aceea, într-un vas închis, presiunea se datorește practic numai forței elastice de expansiune.

În adevăr, un calcul simplu ne arată că e nevoie de o coloană de aer înaltă de aproape 10 m, ca să rezulte la baza ei o presiune de numai 1 g/cm<sup>2</sup>.

Tabela de mai jos cuprinde densitățile citorva gaze mai obișnuite, exprimate în g/cm<sup>3</sup>, la temperatura de 0°C și presiunea de 76 cm coloană de mercur.

Uneori, pentru a evita valorile numerice prea mici, se iau densitățile relative față de aer, oxigen sau hidrogen.

Tabela 2

Gazul	Masa specifică	Densitatea față de aer	Densitatea față de hidrogen
Aer . . . . .	0,001 293	1,000	14,445
Azot . . . . .	0,001 251	0,975	14,022
Oxigen . . . . .	0,001 429	1,105	15,964
Hidrogen . . . . .	0,000 089	0,069	1,000
Bloxiid de carbon . . . . .	0,001 977	1,529	21,950

1. *Principiul lui Archimede* fiind o consecință a greutății proprii a fluidelor, se aplică la gaze întocmai ca și la lichide.

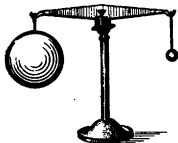


Fig. 195. Baroscopul.

Verificarea se face obișnuit cu *baroscopul*, care este o mică balanță cu brațe egale, la extremitățile cărora sînt atîrnate două sfere care-și fac echilibru în aer (fig. 195).

Una din ele este *plină* și deci are volumul mai mic decît cealaltă, care este *goală* la interior.

Experiența ne arată că, sub un clopot de sticlă din care scoatem aerul, această balanță se înclină de partea sferei goale, care dezlăcuiește un volum mai mare.

Dacă, în loc să facem vidul, mărim presiunea sub clopot sau introducem bioxid de carbon, balanța se înclină, din contra, de partea sferei pline.

Prin urmare:

Un corp cufundat într-un gaz este apăsat de jos în sus cu o forță egală cu greutatea gazului dezlocuit.

Un corp cufundat într-un gaz suferă o împingere de jos în sus, egală cu greutatea gazului dezlocuit.

**2. Consecințe și aplicații.** Dintre numeroasele aplicații posibile, vom cita numai următoarele:

a) *Baloane.* O consecință imediată a principiului lui Archimede la gaze este că un corp mai ușor decât aerul dezlocuit se ridică în atmosferă pînă la înălțimea la care găsește o pătură de aer de aceeași densitate ca și dinsul.

Forța de împingere, numită *forță ascensională* este, evident, egală cu diferența dintre greutatea proprie și greutatea aerului dezlocuit.

Pe acest principiu se construiesc *baloanele* umplute cu hidrogen, cu heliu, cu gaz de iluminat sau cu aer cald, care sînt mai puțin dense decât aerul, la presiunea normală.

Primul balon, construit de frații *Montgolfier* la 1783, era făcut din hirtie și umplut cu aer cald.

Baloanele moderne se fac din pînză de mătase cauciucată și se umplu cu hidrogen sau cu heliu, care are avantajul că nu se poate aprinde.

Fiindcă presiunea atmosferică scade cu înălțimea, balonul nu se umple complet și se lasă o deschidere, la partea inferioară, care să permită expansiunea și să evite o explozie a învelișului.

O rețea de sfoară susține o *nacelă* cît mai ușoară, făcută din nule sau din aluminiu, în care iau loc *aeronauții*, împreună cu aparatele de bord.

Urcarea și coborîrea se obțin fie aruncînd afară *lestul*, adică niște saci cu nisip, fie deschizînd o *supapă*, aflată la partea superioară, prin care o parte din gaz scapă în aer.

Fig. 196 reprezintă un balon, construit special pentru ascensiunile la înălțimi cît mai mari, în regiunile stratosferice, adică la peste 10 000 m.

În armată se întrebuintează, pentru observații și supravegherea frontului de luptă, *baloane captive*, legate cu o funie rezistentă, care pot fi înălțate sau coborîte după voie.

Asemenea baloane, înălțate în timpul nopții, ca și funiile lor, prezintă, pentru avioanele de bombardament inamice, pericolul enorm al unui obstacol neprevăzut și de aceea se folosesc pentru apărarea orașelor.

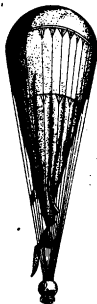


Fig. 196. Balon pentru ascensiuni stratosferice.

În meteorologie, pentru explorarea regiunilor mai înalte ale atmosferei, se întrebuințează *baloane-sondă*, adică baloane libere, care transportă cu ele aparate înregistratoare și chiar mici posturi automate de radioemisie.

Ca să evităm distrugerea acestor aparate prin cădere, baloanele—sondă se leagă de obicei câte două la un loc. Unul din ele, umflat mai tare, crapă când ajunge sus, iar celălalt servește ca să încetineze căderea.

Cu asemenea baloane s-au atins înălțimi de peste 30 000 m.

b) *Reducerea cântărilor la vid.* Din cauza împingerii de jos în sus, două corpuri de mase egale, dar de volume diferite par neegal de grele în aer. Rezultatul unei cântări va fi deci cu atât mai neexact, cu cât volumul unui corp va fi mai mare, față cu al greutăților etalonate de comparație.

Ca să eliminăm asemenea erori, cântărirea trebuie corectată, prin *reducere la vid*.

Dacă:  $m$  este greutatea *aparentă* a corpului, adică valoarea greutăților etalonate cu care-l echilibrăm pe balanță;

$a$  — densitatea aerului;

$c$  — densitatea corpului și

$e$  — densitatea greutăților etalonate,

greutatea corpului este, în realitate,

$$M = m \left( 1 + \frac{a}{c} - \frac{a}{e} \right).$$

În adevăr, știind că volumul corpului este  $V = M/c$  și că volumul greutăților etalonate este  $V_1 = m/e$ , pierderea aparentă de greutate va fi:

$$\text{pentru corp} \quad aV = aM/c$$

$$\text{și pentru greutăți} \quad aV_1 = am/e.$$

Deoarece, prin cântărire, greutățile păreau egale, înseamnă că

$$M \left( 1 - \frac{a}{c} \right) = m \left( 1 - \frac{a}{e} \right),$$

de unde rezultă tocmai formula de corecție arătată mai sus.

Ca exemplu numeric, se poate calcula că eroarea ce o facem cântărind cu greutăți de alamă un kilogram de apă, *fără reducere la vid*, este de aproximativ un gram, adică 1/1 000, în valoare relativă.

Ea este mult mai mare decât gradul de precizie atins de balanțele de laborator și de aceea corecția se impune, la orice cântărire mai precisă.

§ 99. **Presiunea atmosferică.** Faptul că aerul este greu implică existența unei presiuni, pe care atmosfera o exercită asupra corpurilor, tot așa cum lichidele dezvoltă o presiune hidrostatică asupra unui corp cufundat.

La echilibru, această presiune nu poate fi decât normală pe orice suprafață înțilinită, din aceleași motive ca la lichide.

Primul care a evidențiat existența presiunii atmosferice și a izbutit să o determine a fost *Torricelli*<sup>1)</sup>, printr-o experiență devenită clasică în fizică:

Umplem cu mercur un tub de sticlă, închis la un capăt și lung de 80—100 cm, avînd grijă să nu rămînă aer înăuntru, îl astupăm cu degetul și-l cufundăm într-un vas cu mercur, așa cum arată fig. 197.

Dacă luăm degetul, constatăm că mercurul se coboară, sub acțiunea gravitației și, după cîteva oscilații, se fixează la o înălțime de aproximativ 76 cm, deasupra nivelului din cuvă.

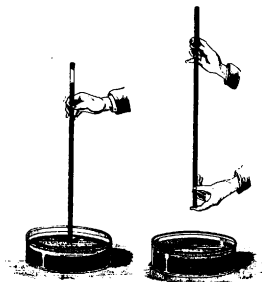


Fig. 197. Experiența lui Torricelli.

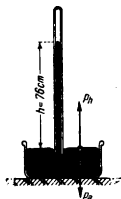


Fig. 198. Presiunea atmosferică echilibrează greutatea coloanei de mercur.

Această diferență de nivel suferă mici variații, după loc și timp, dar nu depinde nici de forma tubului, nici de diametrul lui, dacă-i destul de larg ca să putem neglija unele fenomene secundare.

<sup>1)</sup> *Evangelista Torricelli* (1608—1647) fizician italian, fost elev al lui *Galileu*. Experiența descrisă datează din 1643.



Explicația este următoarea: presiunea hidrostatică, de intensitate  $p_h$ , datorită coloanei din tub, se transmite integral în toată masa lichidă și perpendicular pe orice suprafață întâlnită.

Sub acțiunea ei, nivelul din vasul exterior ar trebui să crească, dacă mercurul ar putea să curgă din tub (fig. 198).

Pe de altă parte, presiunea atmosferică de intensitate  $p_a$  apasă în sens invers pe aceeași suprafață și tinde s-o coboare, ca să împingă mercurul înapoi în tub.

Echilibrul se stabilește când cele două acțiuni contrarii se compensează reciproc. În acest moment, presiunea hidrostatică și presiunea atmosferică au, evident, aceeași intensitate.

În fundul tubului, la partea superioară, rămîne un spațiu gol, pe care-l numim *vid barometric*. În el domnește doar presiunea foarte mică a vaporilor de mercur, cu totul neglijabilă, la temperatura normală.

**Presiunea atmosferică normală este capabilă să echilibreze o coloană de mercur de 76 cm înălțime.**

Experiența lui Torricelli duce, prin urmare, la concluzia că *presiunea atmosferică este capabilă să echilibreze o coloană de mercur înaltă de aproximativ 76 cm.*

Cu alte cuvinte, *o coloană de aer, înaltă pînă unde se isprăvește atmosfera Pămîntului, dezvoltă la baza ei aceeași presiune ca și o coloană de mercur înaltă de 76 cm.*

Este ușor de înțeles că, dacă repetăm experiența lui Torricelli cu alt lichid, în loc de mercur, înălțimea coloanei echilibrate va fi de atîtea ori mai mare, de cîte ori densitatea lichidului va fi mai mică decît a mercurului.

Prin urmare, dacă notăm densitățile cu  $d$  și înălțimile respective ale coloanelor cu  $h$ , vom avea relația de proporționalitate inversă:

$$\frac{h_1}{h_2} = \frac{d_2}{d_1}.$$

De pildă, știind că densitatea mercurului este aproximativ 13,6 înălțimea unei coloane de apă echilibrată de presiunea atmosferică ar fi

$$13,6 \cdot 76 = 1\,033 \text{ cm},$$

adică aproximativ 10 m. Verificarea acestei deducții a fost făcută de *Pascal*: (nu cu apă, ci cu vin roșu, ca să se vadă mai bine).

**1. Intensitatea presiunii atmosferice.** Prin definiție, intensitatea unei presiuni se exprimă prin forța, raportată la mărimea suprafeței.

Ca să exprimăm intensitatea presiunii atmosferice, va trebui deci să evaluăm intensitatea forței, pe unitatea de suprafață, sau, ceea ce e tot una, să calculăm greutatea unei coloane de mercur, cu secțiunea de  $1 \text{ cm}^2$ , înaltă de 76 cm.

Vom avea deci

$$p_a = 76 \cdot 13,6 = 1\,033 \text{ gf/cm}^2 = 1,033 \text{ kgf/cm}^2,$$

adică aproximativ (v. § 87):

$$\begin{aligned} 1\,033 \cdot 981 &= 10^6 \text{ baryi} \\ &= 1 \text{ bar.} \end{aligned}$$

În fizică se întrebuințează, de asemenea, ca unitate de presiune la gaze, *milimetrul de mercur*, adică *presiunea care echilibrează o coloană de mercur înaltă de un milimetru*. Această unitate se numește *torr*, în onoarea lui Torricelli.

$$\begin{aligned} 1 \text{ torr} &= 1 \text{ mm Hg} \\ &= 1\,300 \text{ } \mu\text{bar} \\ &= 1,3 \text{ mbar} \end{aligned}$$

Ea reprezintă aproximativ:

$$\frac{10^6}{760} = 1\,300 \text{ baryi } (\mu\text{bar}).$$

În meteorologie se folosește obișnuit, pentru exprimarea presiunii atmosferice, unitatea numită *bar* și submultiplul  $1/1\,000$  bar, adică *milibarul*, care se notează cu mbar.

Din cele arătate mai sus, se vede imediat că:

$$760 \text{ mm Hg} = 760 \text{ torr} = 1\,000 \text{ mbar}.$$

Presiunea atmosferică normală, de  $1,033 \text{ kgf/cm}^2$ , reprezintă *atmosfera fizică* (At).

Am arătat în § 87 că, pentru nevoile industriale, se rotunjește această valoare la  $1 \text{ kgf/cm}^2$ , care se ia ca unitate de măsură și se numește *atmosfera tehnică* (at).

Existența presiunii atmosferice poate fi demonstrată calitativ nu numai cu tubul lui Torricelli, dar și prin numeroase alte dispozitive experimentale; dintre care vom cita numai câteva exemple:

1) Astupăm cu o membrană impermeabilă gura unui flacon și scoatem aerul din el. Presiunea atmosferică apasă membrana spre interior și poate chiar s-o spargă (fig. 199).

Ventuzele sînt o variantă prea bine cunoscută a acestei experiențe<sup>1)</sup>.

<sup>1)</sup> Aici vidul parțial apare prin contractarea aerului care se răcește, două ce a fost încălzit.

2) Umplem cu apă un pahar. îl astupăm cu o foaie de hîrtie și-l întoarcem cu gura în jos (fig. 200). Presiunea atmosferică ține hîrtia lipită de gura paharului și apa nu poate să curgă.

Pe acest principiu se bazează dispozitivul numit *pipetă*, de care ne servim în laborator, ca să transvazăm o cantitate dată de lichid, după ce am supt-o cu gura pe la partea superioară (fig. 201).



Fig. 199. Presiunea atmosferică sparge membrana.



Fig. 200. Presiunea atmosferică împiedică apa să curgă din pahar.



Fig. 201. Pipetă.

3) În sfîrșit, o a treia experiență, importantă ca valoare istorică, este a *emisferelor de Magdeburg*.

Două emisfere metalice, goale în interior, se adaptează una pe alta și se lipesc așa de tare, încît e nevoie de o forță considerabilă, ca să le desfacă.

Această experiență a fost realizată pentru prima dată în 1654 la Magdeburg, de *Otto de Gericke*<sup>1)</sup>, pe atunci primarul orașului, într-o formă deosebit de spectaculoasă.

Fig. 202 o reproduce după o gravură a timpului.

Emisferele aveau diametrul de aproape 50 cm și se poate calcula ușor că presiunea atmosferică dezvoltă pe suprafața lor o forță totală de peste 6 500 kgf.

În aceste condiții, se explică de ce cîte opt cai, înhămați de o parte și de alta, nu puteau să le desfacă.

<sup>1)</sup> *Otto de Gericke* (sau *Guericke*) fizician german (1601—1686).



Fig. 202. Experiența emisierelor de la Magdeburg după o gravură a timpului.

Această experiență ne face să ne gândim, prin legătură de idei, la forța totală pe care o exercită presiunea atmosferică pe suprafața corpului omenesc.

Dacă socotim această suprafață la  $1,5 \text{ m}^2$ , se poate calcula imediat că suportăm o forță totală de peste 15 000 kgf, pe care nu o simțim fiindcă este compensată de contrapresiunea lichidelor din organism.

**2. Variațiile presiunii atmosferice.** Torricelli a observat, din capul locului, că presiunea atmosferică suferă variații continue, în jurul unei valori mijlocii.

Din studiul meteorologiei se știe că aceste variații sînt legate de mișcările ciclonilor și anticiclonilor atmosferici, precum și de influențe locale, sau climatologice.

Pe de altă parte, presiunea atmosferică fiind o consecință a greutateii aerului, este evident că trebuie să scadă cu altitudinea locului de observație, așa cum scade și presiunea hidrostatică, pe măsură ce ne ridicăm către suprafața unui lichid.

Experiența verifică această deducție, dar ne arată că, spre deosebire de lichide, scăderea nu este proporțională cu variația de înălțime.

**Presiunea atmosferică scade cu altitudinea locului, dar nu proporțional.**

Pentru altitudinile mici, variația este aproximativ uniformă de 9 mm Hg la 100 m.

Deosebirea se datorește faptului că lichidele sînt practic incompresibile, deci uniforme în toată masa lor, pe cînd aerul se comprimă sub apăsarea păturilor superioare și devine din ce în ce mai dens, pe măsură ce ne apropiem de pămînt.

*Valoarea dată, de 76 cm de mercur, este o medie, valabilă numai pentru nivelul mării, la temperatura de  $0^\circ\text{C}$ .*

Pentru altitudinile mici, putem admite însă cu aproximație că densitatea aerului nu variază apreciabil. În aceste condiții, presiunea atmosferică scade aproape uniform, cam cu 9 mm, pentru fiecare sută de metri înălțime.

Există formule de calcul și pentru variații mai mari de altitudine. Vom discuta problema într-un capitol viitor.

Deocamdată, dăm mai jos numai cîteva date numerice, valabile la temperatura de  $0^\circ\text{C}$ .

Înălțimea în km	Presiunea în milimetri de mercur	Variația presiunii în milimetri de mercur pe kilometru
0	760	— 89
1	671	— 79
2	592	— 70
3	522	— 61
4	461	— 54
5	407	

Cu ajutorul acestor date, se poate trasa o curbă a presiunii, în funcție de înălțime, pe care găsim, prin interpolare, datele intermediare.

3. *Barometrele*. Acestea sînt aparate cu care putem determina presiunea atmosferică și observa schimbările ei.

Există diverse tipuri de barometre, pe care le vom grupa în două categorii:

a) *Barometrul cu mercur* este o variantă a tubului lui Torricelli, adaptată nevoilor practice.

Pentru ca indicațiile lui să poată fi exacte, se impune în primul rînd ca mercurul să fie bine purificat, fiindcă mercurul impur tinde să adere la pereții tubului.

De asemenea trebuie să evităm prezența bulelor de aer sau a vaporilor de apă.

Umplerea tubului barometric este o operație delicată și se face de obicei condensînd în el vaporii de mercur, prin distilare în vid.

Presiunea atmosferică o citim fie prin comparație, pe o riglă gradată alăturată, fie de la distanță, cu o lunetă specială.

Tubul este cufundat într-o *cuvă*, care trebuie să fie destul de largă, pentru ca nivelul mercurului dintr-însa să nu varieze simțitor, cînd coloana se urcă sau se coboară.

La barometrele de mare precizie, așa-zise *normale*, diametrul tubului trebuie să fie de cel puțin 2 cm, ca să evite fenomenele de capilaritate.

Există și barometre cu mercur transportabile. Modelul imaginat de *Fortin* este unul din cele mai obișnuite. Fundul cuvei este făcut din piele de căprioară și poate fi ridicat sau coborît, cu un șurub *S*, pe care-l strîngem în timpul transportului, așa ca mercurul să umple complet și tubul și rezervorul (fig. 203).

Cînd vrem să facem observații, așezăm aparatul vertical, pe un suport, și coborîm fundul, pînă cînd nivelul mercurului din cuvă ajunge tangent la un reper dat.

Tubul barometric este închis într-o teacă de alamă, prevăzută cu o fereastră, pe marginea căreia se găsește o gradație cu vernier.

b) *Barometrul metalic* este mai puțin precis, dar mult mai robust și ușor de transportat. Fig. 204 îl reprezintă în secțiune.

O cutie metalică *M*, cu pereții subțiri și ondulați, în care s-a făcut vidul, se turtiște sau se umflă, sub acțiunea variațiilor de presiune din exterior.

O lamă elastică *L* împiedică turtirea completă. Mișcarea ei se transmite unei pîrghii, care trage de un fir, depănat pe un tambur și deplasează un ac indicator, în fața unei scale gradate.

Etalonarea aparatului se face prin comparație cu un barometru cu mercur.

Uneori gradația este făcută în funcție de altitudine. Asemenea barometre speciale se numesc *altimetre*.

Le găsim obișnuit pe avioane și sînt, de asemenea, întrebuințate de alpiniști.

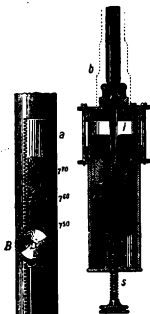


Fig. 203. Barometrul Fortin.

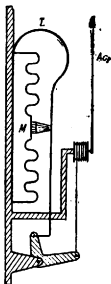


Fig. 204. Principiul barometrului metalic.

În stațiunile meteorologice, se folosesc barometre metalice, la care acul indicator poartă o peniță cu cerneală, în fața unui cilindru, pe care se înfășoară o bandă de hirtie (fig. 205).

Cilindrul este purtat de un mecanism de ceasornicărie și face o rotație completă în 8 zile sau în 24 de ore.

Asemenea barometre înregistratoare se numesc *barografe*.

**4. Corecții barometrice.** Presiunea atmosferică fiind o funcție de altitudinea locului de observație, pentru a putea compara determinările făcute simultan, în locuri diferite, se impune ca rezultatele să fie reduse la nivelul mării, adică aduse la valoarea pe care ar trebui s-o aibă la altitudinea zero.

Pe de altă parte, dilatarea coloanei de mercur, la o temperatură dată, fiind alta decât a riglei gradate de comparație, rezultă erori de citire, care nu pot fi evitate decât calculând lungimile respective la temperatura de  $0^{\circ}\text{C}$ .

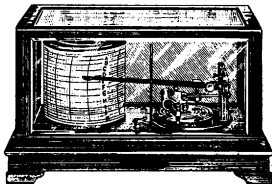


Fig. 205. Barograf.

Obișnuit, la barometrele cu mercur scala gradată e făcută din alamă. În cazul acesta, folosim obișnuit formula de corecție:

$$h_0 = h (1 - 0,00016124 t),$$

în care  $h_0$  este înălțimea coloanei, corectată la  $0^{\circ}\text{C}$  și  $h$  înălțimea citită la temperatura  $t$ .

5. *Manometre*. Aparatele cu care măsurăm presiunile în gaze sau lichide se numesc *manometre*. Forma și construcția lor depinde de condițiile de funcționare și de gradul de precizie urmărit.

Vom descrie numai câteva din numeroasele modele cunoscute.

a) *Manometrul cu aer liber*. Un tub de sticlă, curbat în formă de U, comunică prin A cu atmosfera și prin B cu recipientul în care se găsește gazul sau lichidul a cărui presiune vrem s-o determinăm (fig. 206).

În tubul acesta se toarnă mercur.

Dacă nivelul mercurului este același, deoparte și de alta, înseamnă că presiunea din recipient este egală cu presiunea atmosferică. Imediat ce apare o diferență, mercurul se urcă în ramura cu presiune mai mică, pînă se stabilește un echilibru.

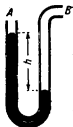


Fig. 206.  
Manometru  
cu aer liber.



Să presupunem că mercurul s-a urcat în  $A$  și că diferența de nivel este  $h$  milimetri.

În ramura deschisă, pe lângă presiunea atmosferică, acționează atunci presiunea  $h$ , pe când în  $B$  acționează numai presiunea  $p$  din recipient.

La echilibru, avem atunci, în milimetri de mercur,

$$p = 760 + h.$$

Dacă avem de măsurat presiuni foarte apropiate de presiunea atmosferică, putem mări sensibilitatea aparatului, înlocuind mercurul cu apă. În cazul acesta, o diferență de nivel de 13,59 mm echivalează cu un milimetru de mercur.

b) *Manometrul cu aer comprimat.* La presiuni mai mari, manometrul cu aer liber ar trebui să aibă o lungime exagerată.

Putem înlătura inconvenientul, dacă închidem capătul  $A$  și introducem în el o cantitate de aer, la presiunea atmosferică.

În cazul acesta, când ramura  $B$  rămâne deschisă, mercurul stă la același nivel de ambele părți.

O presiune mai mare, care s-ar exercita în  $B$ , respinge mercurul, stabilește o diferență de nivel  $h$ , comprimă aerul din  $A$  și-i reduce volumul într-un raport carecare  $1/n$  din valoarea inițială (fig. 207).

Legea lui Boyle-Mariotte ne arată că presiunea aerului din ramura închisă este atunci de  $n$  atmosfere, adică de  $n \cdot 760$  mm de mercur.

Dacă  $p$  este presiunea de măsurat, vom avea deci

$$p = n \cdot 760 + h \text{ mm Hg.}$$

Calculul se face o dată pentru totdeauna la etalonare, iar tubul se gradează direct în presiuni.

c) *Manometrul metalic.* Acesta se bazează pe deformarea la presiune a unui tub metalic în spirală (fig. 208).

Gradația se face prin comparație cu un manometru cu mercur sau cu alt aparat, deja etalonat.

Dacă presiunea în cazanul unei mașini ar fi egală cu presiunea atmosferică, n-am putea obține lucru mecanic.

De aceea, manometrele industriale se gradează având ca punct de plecare presiunea atmosferică normală, care se notează cu zero.

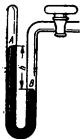


Fig. 207. Manometru cu aer comprimat.

d) *Manometre pentru gaze rarefiate.* Cînd avem de măsurat presiuni ce reprezintă o fracțiune relativ mică din presiunea atmosferică, ne servim de manometre speciale, construite așa cum arată fig. 209.



Fig. 208. Principiul manometrului metalic.

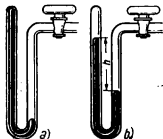


Fig. 209. Manometru pentru vid.

Ramura închisă a tubului are 10—15 cm lungime și se umple în întregime cu mercur.

Cînd vidul e de ajuns de înăunțat, mercurul se desprinde și se lasă în jos, iar diferența de nivel  $h$  ne arată presiunea de măsurat.

O cauză importantă de eroare poate să provină din prezența unui rest de aer în ramura închisă. De aceea se cere o grijă deosebită la umplerea ei cu mercur.

Cu asemenea manometru, dacă ar fi să măsurăm, bunăoară, o presiune de 10 mm Hg, cu o eroare absolută de  $\pm 0,5$  mm, eroarea relativă este de ordinul a  $\pm 5\%$ , așa dar destul de mare. Ea devine însă și mai mare pentru presiunile mai mici decît aceea luată ca exemplu.

Pentru a mări gradul de precizie, la presiunile foarte mici s-au imaginat și construit numeroase alte tipuri de manometre speciale, din care vom descrie pe cel mai simplu.

*Manometrul lui MacLeod* este construit așa fel încît ne permite să separăm, din gazul a cărui presiune trebuie măsurată, o porțiune de volum dat, pe care apoi o comprimăm într-un spațiu închis, pînă la presiunea ce poate fi măsurată cu eroare mai mică (fig. 210).

El se compune dintr-un balon de sticlă, terminat cu un tub capilar închis și care comunică prin A cu spațiul în care domnește presiunea de măsurat.

În C se leagă, printr-un tub de cauciuc cu pereții destul de groși, lung de 80—90 cm, un rezervor cu mercur, pe care-l putem ridica sau coborî.

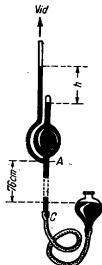


Fig. 210. Manometrul lui MacLeod.

La început îl coborîm atîta încît deschiderea  $A$  să fie liberă.

Apoi îl ridicăm și, coloana de mercur, după ce izolează în balon un volum de gaz cunoscut  $V$ , îl comprimă mai departe în capilară pînă la volumul  $V_1$ .

Presiunea porțiunii de gaz izolate va fi atunci dată de diferența de nivel a mercurului, notată în figură cu  $h$ , iar legea lui Boyle-Mariotte ne spune că presiunea gazului înaintea comprimării, pe care o avem de măsurat, este:

$$p = \frac{V_1 h}{V} \text{ mm Hg.}$$

Manometrul descris funcționează în condiții destul de bune, pînă la presiuni de ordinul a  $10^{-5}$  mm Hg. Pentru presiuni mai mici ne servim de alte aparate, bazate pe principii cu totul diferite.

*6. Exemple numerice.* 1) Un manometru cu aer liber este umplut cu apă, care se ridică în ramura deschisă cu 54,4 mm mai sus decît în cealaltă.

Să se evalueze, în diferite unități, presiunea totală în recipientul la care e adaptat acest manometru.

Făcînd raportul densităților, găsim că 54,4 mm de apă echivalează cu 4 mm de mercur.

Presiunea totală în recipient va fi deci:

$$p = 760 + h = 764 \text{ mm Hg.}$$

Știînd că 760 mm Hg înseamnă 1,033 kgf/cm<sup>2</sup>, avem

$$p \approx 1,04 \text{ kgf/cm}^2.$$

ceea ce face, în baryi

$$p = 1,04 \cdot 9,81 \cdot 10^5 = 1,02 \cdot 10^6 \text{ baryi,}$$

sau

$$p = 1,02 \text{ bar.}$$

2) Volumul de aer, închis într-un manometru cu aer comprimat, este redus la 1/5 din valoarea inițială, iar diferența de nivel a mercurului este de 30 mm. Care este presiunea?

Relația cunoscută (§ 99)

$$p = n \cdot 760 + h,$$

ne dă

$$p = 5 \cdot 760 + 30 = 3\,830 \text{ mm Hg,}$$

adică

$$p = 1,033 \cdot \frac{3\,830}{760} \approx 5,22 \text{ kgf/cm}^2.$$

3) *Greutatea moartă, la un balon umplut cu hidrogen, este de 200 kgf. Ce volum trebuie să aibă, ca să poată urca un om de 75 kgf cu o forță ascensională de 20 kgf?*

Fie:  $V$  = volumul balonului;

$d$  = greutatea gazului pe metru cub;

$d'$  = greutatea unui metru cub de aer;

$p$  = greutatea moartă (învețiș, nacelă, lest);

$p'$  = greutatea persoanei;

$F$  = forța ascensională.

Avem, evident, în baza principiului lui Archimede,

$$F = Vd' - Vd - p' - p$$

și fiindcă 1 m<sup>3</sup> de aer cântărește 1,3 kgf,

$$F = V(1,3 - d) - (p + p'),$$

în care, introducând valorile numerice, obținem:

$$F = V(1,3 - 0,089) - (200 + 75),$$

unde 0,089 este greutatea pe metru cub a hidrogenului, la presiunea normală și 0°C.

De unde,

$$V \approx 244 \text{ m}^3.$$

4) *Ce eroare absolută și relativă facem, cîntărind cu greutăți de aluminiu 1,5 kg dintr-o soluție apoasă de densitate 1,2, fără reducere la vid? Se va lua densitatea aluminiului 2,7 g/cm<sup>3</sup>.*

Relația cunoscută din (§ 98)

$$M = m \left( 1 + \frac{a}{c} - \frac{a}{e} \right),$$

în care  $a = 0,0013$ , ne dă, introducând valorile numerice

$$m \approx 1,4991, \text{ în loc de } 1,5.$$

Eroarea absolută este deci 0,9 g, iar eroarea relativă este 0,6/1000.

## B. Scurtă privire istorică asupra staticii fluidelor

Fenomenele de echilibru la lichide au fost, evident, observate din cele mai vechi timpuri. Totuși ele nu au devenit decît relativ tîrziu obiectul unor preocupări speciale.

Primele indicații le găsim la *Aristotel*, dar concepțiile lui sînt greșite. Între altele, școala lui susținea că de aceea se ridică apa, cînd e suptă printr-o țevă, fiindcă se lîpește de aer.

Găsim de asemenea în scrierile lui, părerea că apa este compresibilă, ceea ce corespunde realității, dar afirmația nu e decît metafizică, fiindcă nu se sprijină pe fapte concrete.

O eroare fundamentală o comite când afirmă că aerul ocupă orice spațiu liber și că *natura are oroare de vid*.

Primele concepții corecte le găsim la școala din Alexandria, fondată de *Ptolomei*, după întinderea helenismului în Egipt, precum și la unul dintre cei mai străluciți elevi ai acestei școli: *Archimede* din *Syracusa*.

Se știe că el a scris chiar un tratat despre plutirea corpurilor, dar acesta n-a ajuns pînă la noi, decît prin relatările altora și cu totul incomplet.

*Vitruvius*, arhitectul roman care a trăit în timpul imperiului, povestește în celebrul lui tratat de arhitectură, anectoda, bine cunoscută acum de toți școlarii, cu coroana de aur a regelui Hieron din *Syracusa*, în care *Archimede* a izbutit să determine, prin cîntărire în apă, cantitatea de aur sustrasă de făurar și înlocuită cu argint.

Dar între *Archimede* și *Vitruvius* au trecut aproape 200 de ani, așa că povestea cu alergatul gol pe stradă, sub emoția descoperirii, poate fi crezută sau nu, dar nu prezintă nici o garanție de autenticitate.

În tot cazul, concepțiile lui *Archimede* despre apă, ca lichid practic incompresibil și capabil să exercite o împingere verticală asupra corpurilor cufundate, sînt în perfect acord cu faptele și cu vederile noastre de astăzi.

Juste sînt, de asemenea, atît interpretarea fenomenului, cît și explicațiile relative la plutirea corpurilor. El nu se ocupă însă de condițiile de stabilitate a echilibrului.

Noțiunea de *densitate* apare tot din opera lui *Archimede*, în legătură directă cu principiul enunțat.

Se cunoaște, de asemenea, un tip special de pompă pentru irigații în care apa se ridică din rîu prin rotația unei țevi în spirală, așezată înclinat. Ea se numește *șurubul lui Archimede*.

Cu 100 de ani mai tîrziu, trăiește la Alexandria filozoful *Heron*. El nu se alătură vreunei școli filozofice a timpului, dar înființează, în anul 133 î.e.n., vestita *Politehnică*, școală de nivel înalt, în care se predau, de o parte științele cu caracter teoretic, de altă parte aplicațiile lor practice.

*Heron* este unul dintre cele mai luminate capete ale timpurilor, spirit revoluționar și inventiv care depășește cu mult epoca în care a trăit. Din nefericire, opera lui n-a ajuns pînă la noi decît fragmentar și pe cale indirectă, mai ales prin școlile arabe.

Lăsînd la o parte preocupările lui de mecanică, în care se întrevide o înțelegere a compunerii vitezelor sau ideea de moment la forțe, alături de concepția că nici o mașină nu poate să amplifice munca, deși amplifică forța, amintim numai unele invenții practice ca presa cu șurub pentru fructe, angrenajele și diverse modele de pompe. Mai menționăm că a construit, sub formă rudimentară, prima turbină cu vapor din lume, din păcate pe vremuri cînd munca sclavilor o făcea nedorită pentru stăpînitori.

În *Pneumatica* vorbește despre compresibilitatea și expansiunea aerului și le interpretează prin existența spațiilor pe care noi astăzi le numim *intermoleculare*. De asemenea explică destul de corect originea vînturilor și cîteva fenomene meteorologice.

Prin încălzirea aerului dintr-un recipient, îl face să arunce apa, ca o fîntînă țîșnitoare și aplică procedeul la deschiderea automată a ușilor templului, o dată cu aprinderea focului pe altar.

*Heron* este ceea ce numim astăzi un *inventator*.

Nu este cazul să intrăm în amănunte prea multe, dar trebuie să reamarcăm că el reprezintă punctul culminant al științei helenice, de la care înainte începe decăderea.

Cînd, în secolul al XVI-lea, o dată cu *Renașterea*, s-a reluat firul întrerupt al cercetării științifice experimentale, nici lucrările lui Archimede, nici aplicațiile practice ale lui Heron n-au fost înțelese în adevărata lor lumină.

Pergamentele *palimpseste*<sup>1)</sup> ale evului mediu și distrugerea bibliotecii din Alexandria, o dată de armatele romane, a doua oară de fanatismul arab, au fost lovituri grele pentru transmiterea culturii antice.

De aceea multe lucruri au trebuit să fie luate de la capăt.

Principiul lui Archimede a primit o nouă demonstrație, prin care *Stevin* introduce, pentru prima dată, procedeul *solidificării virtuale* a unei părți din lichid, de care ne-am folosit și noi, în capitolul *Hidrostatica*. El fundamentează condiția de echilibru pe imposibilitatea unui *perpetuum mobile*.

*Galileu* reia o veche problemă, atacată pe vremuri de Heron și încearcă să demonstreze principiul vaselor comunicante, pornind de la ideea că oricare ar fi diametrul acestor vase, ridicarea coloanei în unul din ele transportă aceeași cantitate de lichid ca și mișcarea inversă în celălalt, așa că nu se modifică poziția centrului de greutate comun.

Un raționament analog l-a dus pe *Pascal* pe calea descoperirii cunoscutului principiu al transmiterii presiunii prin lichide.

Pînă către mijlocul veacului al XVIII-lea se credea că lichidele ar fi cu totul incompresibile, iar primele experiențe precise au fost făcute abia după 1800 de *Oersted*<sup>2)</sup>, care a inventat piezometrul și a găsit mijlocul de a elimina erorile datorite deformării recipientului.

Dependența presiunii hidrostatica numai de înălțimea coloanei lichide pare să fi fost înțeleasă pentru prima dată de *Pascal*, care a și făcut o experiență, ca să arate că un butoi poate să crape sub presiunea dezvoltată de o coloană de apă foarte îngustă, dar destul de înaltă.

În ce privește *statica gazelor*, am văzut că Heron le considera compresibile și că a interpretat corect aceste fenomene.

Tot Heron descrie și experiențele înaintașilor, între altele funcționarea sifonului sau mecanismul de prindere al ventuzelor.

Chiar *Anaxagoras*<sup>3)</sup>, care a trăit cu 300 de ani înaintea lui, își dădea seama că aerul este material, fiindcă împiedică apa să pătrundă într-un vas, cufundat cu gura în jos.

Cu toate acestea, ideile despre natura materială și proprietățile aerului au rămas pînă tirziu destul de obscure.

Doar atît că, în 1610, un chimist olandez, *Van Helmont*, a inventat un cuvînt nou și i-a zis „gaz”.

Pe vremea lui Galileu, aspirația pompelor și lipirea ventuzelor erau interpretate în sensul aristotelian, prin oroarea de vid. El a rămas uimit

<sup>1)</sup> *Palimpsest*—manuscris antic, de pe care s-a șters textul „păgîn”. ca să servească la transcrierea textelor creștine.

<sup>2)</sup> *Oersted Johann Christian* (1777—1851) fizician danez, cunoscut mai ales prin descoperirea acțiunii curenților asupra magnetilor.

<sup>3)</sup> *Anaxagoras* (mort în 428 î.e.n.) filozof al școlii ioniene, fost profesor al lui *Socrate* și *Pericle*.

cînd un fîntînar din Florența i-a spus că niște pompe, noi construite, nu ridică apa mai sus de 10 m, dar fiindcă ajunsese să-și dea seama de existența greutății aerului, a bănuit că faptul trebuie să fie în legătură cu presiunea atmosferei.

*Torriceili* este, în adevăr, acela care a imaginat experiența cu tubul barometric, dar nu el a realizat-o pentru prima dată, ci *Viviani*, în 1643.

Urmează apoi descoperirea legii lui *Boyle-Mariotte* și realizarea de către *Gerike* a unei pompe de vid practice, cu care a putut să înfăptuiască experiența de la Magdeburg, în 1654.

Prin scolastica medievală, ideea ororii de vid prinsese rădăcini atât de adînci și era ocrotită de autoritatea lui Aristotel în așa măsură, încît aceste experiențe au stîrnit în masele largi o senzație, tot atât de mare ca, de pildă, radioactivitatea în zilele noastre. Ele au dat un impuls nebănuit cercetării științifice și eliminării tuturor ideilor preconcepute.

Cu toate greutățile și nesiguranța unei călătorii, pe acea vreme, spectacolul experiențelor de la Magdeburg a atras peste zece mii de participanți, între care și pe împăratul Ferdinand III.

Pînă atunci se credea că aerul nu ar fi decît *emanația* corpurilor sau *mirosul* lor, pe care nu-l simțim fiindcă sîntem deprinși de la naștere cu dinsul. După aceea, multă vreme nu s-a știut că mai există și alte gaze. Abia în 1765 *Black* descoperă *bioxidul de carbon*, care s-a numit *aer fix* iar în 1776 *Cavendish* descoperă hidrogenul, care s-a numit *aer inflamabil*.

Urmează apoi, către sfîrșitul veacului al XVIII-lea, primele ascensiuni cu balonul, nu mai puțin senzaționale, după care cercetarea științifică asupra echilibrului fluidelor intră pe făgașul progresului încet, dar continuu, care a dus treptat la cunoștințele noastre teoretice și practice de astăzi.

În capitolul al XVIII-lea *Termodinamica*, vom reveni asupra proprietăților legate de mișcarea moleculară de agitație termică.

## CAPITOLUL IX DINAMICA FLUIDELOR

### A. Proprietăți generale

Lipsa de formă proprie, datorită posibilității de alunecare a păturilor succesive, dă gazelor și lichidelor *însușirea comună de a curge*. De aceea, clasăm aceste două stări de agregare sub numele general de *fluide*.

Atît gazele, cît și lichidele au însușirea de a curge și de aceea se numesc *fluide*.

Curgerea gazelor, dintr-un vas în altul, este mascată adesea de fenomene secundare, de pildă *di-fuziunea*, care tinde să le amestece,

mai ales cînd au densități apropiate. Aceasta e o consecință directă a mișcării de agitație termică.

Ne putem convinge totuși că un gaz poate fi turnat într-un vas, la fel ca lichidele, dacă umplem un pahar mare cu bioxid de carbon și-l răsturnăm încet în altul, în care am pus un cărbune aprins. Constatăm atunci că bioxidul de carbon înlocuiește aerul, și cărbunele se stinge.

La fel se întâmplă în unele peșteri, în care degajarea naturală de anhidridă carbonică face irespirabile numai păturile din imediata apropiere a solului și omoară numai animalele mici.

Curgerea unui fluid întâmpină totdeauna o *rezistență de frecare*, datorită *viscozității*.

Această rezistență se face simțită mai ales la lichidele așa numite *viscoase*: uleiuri grele, siropuri, glicerină etc., precum și la vitezele mai mari de curgere.

Totuși, în cele mai multe cazuri, ea poate fi neglijată, în primă aproximație, mai ales la vitezele mici.

Deocamdată vom considera deci numai *fluidul ideal*, făcând abstracție și de frecările interne și de compresibilitate.

La gaze însă, ca să evităm erorile prea mari, sau formulele de corecție prea complicate, va trebui să ne limităm la vitezele de curgere care nu depășesc 50—60 m/s și la presiunile statice ale coloanelor de cel mult 100 m înălțime, fiindcă altfel comprimările produse ar aduce schimbări apreciabile de densitate.

La curgerea fluidelor apar două faze distincte: una *tranzitorie* și alta *staționară*.

La curgerea fluidelor apare o fază inițială de tranziție, urmată de alta staționară.

De pildă, când se dă drumul apei printr-o conductă goală, în faza tranzitorie se umple conducta, iar în faza staționară, cită apă intră printr-un capăt al conductei, tot atîta iese prin celălalt capăt, primenindu-se continuu, printr-un proces de echilibru dinamic.

Studiul fazei tranzitorii este mult prea complicat pentru nivelul manualului de față, așa că *ne vom ocupa numai de faza staționară*.

Mișcarea gazelor face obiectul *aerodinamicii*, iar a lichidelor se studiază în *hidrodinamică*.

Un subcapitol al hidrodinamicii este *hidraulica*, în care, cu ajutorul unor ipoteze simplificatoare, se studiază, din punct de vedere practic, circulația apei prin conducte și canale.



§ 100. **Linii de curent.** Într-un fluid care curge, fiecare moleculă descrie o traiectorie anumită.

Traectoriile particulelor sînt continue și definesc liniile de curent, iar în mănunchi liniile de curent formează tuburi de curent.

Aceste traiectorii reprezintă cîte o *linie de curent*, iar un fascicul de linii de curent, luate împreună, formează un *tub de curent*, care se limitează la suprafața laterală închisă ce le înfășoară.

Fiindcă liniile de curent nu se întrerup cîtă vreme particula respectivă nu dispare din fluid, este evident că toate secțiunile transversale ale unui tub de curent, cu suprafețele  $S_1$ ,  $S_2$ ,  $S_3$  etc., vor fi străbătute, în timpuri egale, de cantități egale de fluid (fig. 211).

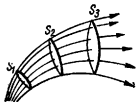


Fig. 211 Tub de curent.

Prin definiție, cantitatea de fluid care trece, în unitatea de timp, printr-o secțiune dată, se numește *debit*.

Dacă viteza de curgere, prin secțiunea considerată, este  $v$ , se vede imediat că debitul va fi

$$q = Sv,$$

asa că, în diferite secțiuni

$$S_1 v_1 = S_2 v_2 = S_3 v_3 = \dots$$

iar în general,

$$Sv = \text{constant}$$

$$(100.1)$$

În toate secțiunile transversale ale unui tub de curent, debitul este același, iar viteza de curgere este invers proporțională cu aria secțiunii.

proporțională cu aria secțiunii considerate.

Această relație formulează principiul fundamental al *continuității* și ne spune că, în *regim staționar*, debitul este același în toate secțiunile unui tub de curent, iar viteza de curgere este invers proporțională cu aria secțiunii considerate.

§ 101. **Ecuția lui Bernoulli.** Să considerăm un tub de curent, într-un lichid de densitate  $\rho$  (fig. 212).

Forma lui este indiferentă și eventual poate fi limitat lateral prin pereți rigizi, dar aceasta nu e absolut necesar.

Lichidul curge sub acțiunea unei presiuni inițiale, la care se adaugă presiunea hidrostatică, pe care orice pătură o exercită asupra altora inferioare.

Pentru simplificare, vom considera însă numai acțiunea unei porțiuni a coloanei, limitată între secțiunile drepte  $S$  și  $S_1$ .

La nivelul secțiunii  $S$  acționează atunci presiunea inițială  $p$  și presiunea hidrostatică  $\rho gh$ , iar forța totală, pe suprafața ei, va fi

$$F = (\rho gh + p) S.$$

Dacă, în dreptul acestei secțiuni, coloana suferă o deplasare  $\Delta l$ , destul de mică pentru ca forța să nu varieze sensibil în lungul ei, se produce lucru mecanic și energia potențială variază cu

$$\Delta W_1 = (\rho gh + p) S \cdot \Delta l = \rho gh \cdot \Delta V + p \cdot \Delta V^1).$$

Totodată, porțiunea lichidă de masă  $\rho \Delta V$  capătă viteza  $v$ , deci energia cinetică

$$\Delta W_2 = \frac{1}{2} \rho v^2 \cdot \Delta V.$$

Principiul conservării energiei ne spune că suma acestor energii, în tubul de curent considerat ca sistem izolat, trebuie să fie constantă.

Prin urmare, cantitatea:

$$\Delta W_1 + \Delta W_2 = p \cdot \Delta V + \rho gh \cdot \Delta V + \frac{1}{2} \rho v^2 \cdot \Delta V$$

este constantă sau, ceea ce e tot una,

$$p + \rho gh + \frac{1}{2} \rho v^2 = \text{constant}$$

(101.1)

Această relație, fundamentală în hidrodinamică, este cunoscută sub numele de *ecuația lui Daniell Bernoulli*.

<sup>1)</sup> În raționamentul de față, volumul a fost notat cu  $V$  și viteza cu  $v$ , consecvent notărilor anterioare.

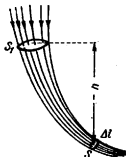


Fig. 212. Pentru demonstrarea ecuației lui Bernoulli.

Se poate vedea imediat că termenul

$$\frac{1}{2} \rho v^2$$

are, ca și ceilalți termeni ai sumei, dimensiunile unei presiuni, pe care o numim *presiune hidrodinamică*, fiindcă se datorește mișcării fluidului.

Ecuatia lui Bernoulli ne spune deci că, *la presiunile inițială  $p$  și hidrostatică  $\rho gh$ , mișcarea lichidului adaugă o presiune hidrodinamică, reprezentată prin jumătatea produsului dintre densitate și pătratul vitezei de curgere.*

La presiunile statice, mișcarea unui lichid adaugă presiunea hidrodinamică  $\frac{1}{2} \cdot \rho \cdot v^2$ .

În cazul particular, când secțiunile  $S$  și  $S_1$  se află pe același nivel, presiunea hidrostatică dispare și ecuația lui Bernoulli capătă forma simplificată:

$$p + \frac{1}{2} \rho v^2 = \text{constantă} \quad (101.1 a)$$

Este evident că, atât în relația de față, cât și în relația precedentă, *constanta din membrul al doilea trebuie să aibă de asemenea dimensiunile unei presiuni*. Ea reprezintă, de aceea, *presiunea totală*.

La gaze, presiunea datorită greutateii proprii a coloanei, analogă presiunii hidrostactice, poate de asemenea să fie neglijată.

La gaze, presiunea datorită greutateii coloanei se neglijează, iar la presiunea inițială se adaugă o presiune aerodinamică.

În condițiile obișnuite și relația (101.1a) se aplică întocmai ca la lichide, dacă viteza de curgere nu depășește o limită maximă, ce depinde de natura gazului.

Presiunea datorită mișcării se numește atunci *presiune aerodinamică*.

*Aplicații ale ecuației lui Bernoulli* apar în toate cazurile în care se mișcă fie un fluid oarecare, fie un corp cufundat în el.

Vom considera numai câteva cazuri particulare:

1) *Formula lui Torricelli.* Să presupunem că într-un vas cu diametru mare, punem un lichid, care curge printr-o deschidere mică, deasupra căreia coloana are înălțimea  $h$  (fig. 213).

Dacă vasul este destul de larg, putem admite că lichidul păstrează, timp destul de îndelungat, nivelul inițial, așa că viteza de coborîre a suprafeței libere poate fi considerată ca practic nulă.

La nivelul deschiderii acționează alunci, din interior, presiunea atmosferică  $b$ , care apasă pe suprafața liberă a lichidului și presiunea hidrostatică a coloanei de înălțime  $h$ .

De cealaltă parte a deschiderii, găsim iarăși presiunea atmosferică, la care se adaugă presiunea hidrodinamică de curgere.

După ecuația lui Bernoulli, suma presiunilor trebuie să fie aceeași de ambele părți. Prin urmare

$$b + \rho gh = b + \frac{1}{2} \rho v^2,$$

De aici deducem viteza de curgere:

$$v = \sqrt{2gh}.$$

(101.2)

Această relație, cunoscută sub numele de *formula lui Torricelli*, care a dedus-o empiric, ne arată că:

**Viteza de curgere a unui lichid fără viscozitate nu depinde de natura lui și are valoarea**

$$v = \sqrt{2gh}.$$

a) *Viteza de curgere a lichidului dintr-un vas nu depinde de densitatea sau de natura lui, cu condiția să putem neglija frecările interne.*

b) *Ea este aceea pe care ar căpăta-o un corp în cădere liberă, după ce a parcurs o distanță egală cu înălțimea coloanei.*

Din aceeași relație cunoscând suprafața  $S$  a deschiderii, putem calcula imediat debitul

$$q = Sv = S \cdot \sqrt{2gh}. \quad (101.2 a)$$

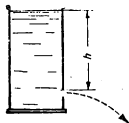


Fig. 213. Pentru deducerea formulei lui Torricelli.

Experiența ne arată însă că acest calcul dă, în general, valori mai mari decât cele reale. Aceasta se datorește faptului că, la ieșirea din vas vîna suferă o contracție și totul se petrece ca și cînd orificiul ar fi ceva mai mic.

Contracția provine de acolo că liniile de curent marginale nu atacă deschiderea perpendicular pe suprafața ei.

Toricelii, care bineînțeles, cunoștea formula lui Galileu de la căderea corpurilor, a ajuns la aceleași rezultate, pe calea unui raționament foarte simplu.

Dacă vîna de lichid care curge din vas ar fi orientată în sus, printr-o tubulură adaptată la deschidere, ar trebui să se ridice pînă la nivelul din interior, după principiul vaselor comunicante (fig. 214).

Dacă, după aceea, ar cădea înapoi, ar trebui să atingă, la nivelul orificiului, viteza unei căderi libere de la înălțimea  $h$ .

De aici apare și similitudinea totală dintre formula lui Torricelli și formula lui Galileu.

Se înțelege de la sine că nu se ține seama de frecări.

2) Să presupunem că într-un tub de curent se află un obstacol rigid (fig. 215 a).

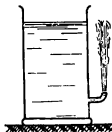


Fig. 214. Lichidul țîșnește cu viteza cu care ar cădea de la nivelul suprafeței libere.

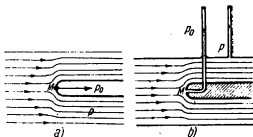


Fig. 215. Obstacol în calea liniilor de curent.

În punctul frontal  $M$  curgerea este împiedicată, liniile de curent sînt deviate tangențial și presiunea hidrodinamică este nulă.

Acolo apare deci numai o presiune statică  $p_0$ .

În alte regiuni ale fluidului, domnește altă presiune hidrostatică  $p$ , la care se adaugă presiunea hidrodinamică.

După formula lui Bernoulli, suma presiunilor trebuie să fie aceeași în toate punctele.

Prin urmare,

$$p_0 = p + \frac{1}{2} \rho v^2,$$

sau

$$p_0 - p = \frac{1}{2} \rho v^2.$$

Presiunile  $p$  și  $p_0$  pot fi determinate cu orice manometru și din diferența lor calculăm viteza de curgere.

Fig. 215 *b* ne arată unul din dispozitivele obișnuit întrebuințate la lichide. El poate fi aplicat și la gaze, sub forma arătată în fig. 216. Deschiderea laterală  $O$  face legătura cu a doua ramură a manometrului.

Dispozitivul se numește *tubul lui Pitot* și are numeroase întrebuințări practice, între altele pentru măsurarea vitezei avioanelor.

3) Un caz deosebit de interesant este acela în care un fluid circulă printr-un tub, unde o gîtuitură este urmată de o porțiune mai largă, așa cum arată fig. 217.

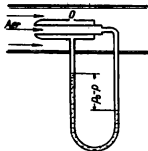


Fig. 216. Tubul lui Pitot.

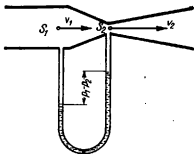


Fig. 217. Tubul lui Venturi.

În dreptul gîtuiturii, viteza de curgere fiind mai mare, presiunea hidrodinamică va crește, pe socoteala presiunii statice.

Egalind presiunile totale, în secțiunile  $S_1$  și  $S_2$ , vom avea deci, după formula lui Bernoulli:

$$p_1 + \frac{1}{2} \rho v_1^2 = p_2 + \frac{1}{2} \rho v_2^2.$$

Pe de altă parte, legea continuității ne spune că:

$$v_1 S_1 = v_2 S_2$$

și eliminând pe  $v_2$  între aceste două ecuații, ajungem la relația finală

$$p_1 - p_2 = \frac{1}{2} \rho v_1^2 \left( \frac{S_1^2}{S_2^2} - 1 \right). \quad (101.3)$$

Cu ajutorul ei putem determina viteza  $v_1$ , fiindcă celelalte cantități pot fi măsurate direct.

Procedeeul se aplică atât la gaze, cât și la lichide, iar figura reprezintă realizarea practică numită *tubul lui Venturi*.

Din cauza termenului din paranteze, sensibilitatea este mai mare decât la tubul lui Pitot. Aplicațiile sînt aceleași.

4) Scăderea de presiune statică ce apare în dreptul unei strangulări a coloanei fluide produce o acțiune de sugere, care poate fi aplicată în numeroase dispozitive practice.

Fig. 218 reprezintă cunoscuta *trompă cu apă*, folosită curent în laboratoare.

Acțiunea de sugere apare la trecerea prin porțiunea strangulată și vîna lichidă trage după dînsa gazele sau aerul dintr-un recipient.

Vidul obținut se limitează la presiunea vaporilor lichidului întrebuințat, corespunzătoare temperaturii respective.

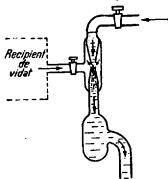


Fig. 218. Trompă cu apă.

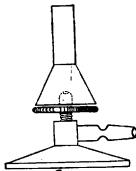


Fig. 219. Becul de gaz Teclu.

La apă, sub temperatura normală, se pot atinge 12-14 mm Hg, dar dacă înlocuim apa cu mercurul, putem ajunge, în aceleași condiții, la viduri mult mai înaintate.

Pe același principiu funcționează becurile de gaz, inventate de Bunsen<sup>1)</sup> și perfecționate de Teclu<sup>2)</sup> (fig. 219).

<sup>1)</sup> Robert Bunsen (1811—1899) fizician și chimist german, unul din fondatorii analizei spectrale.

<sup>2)</sup> Nicolae Teclu (1839—1916) chimist român, fost profesor la Viena și membru al Academiei Române.

Gazul trece printr-un mic orificiu, într-un tub mai larg și trage cu el, printr-o deschidere inelară reglabilă, cantitatea de aer necesară unei bune combustii.

Tot pe acțiunea de sugere a unui curent gazos funcționează *vaporizatorul* pentru lichide, reprezentat în fig. 220.

Sub forma cea mai simplă, îl putem construi cu două tuburi de sticlă, trase la vîrf și înfipite într-un dop de plută.

Dacă împlîntăm tubul *c* în lichid și suflăm cu putere prin *a*, lichidul se urcă pînă în *b*, unde curentul de aer îl prefăce în picături mărunte.

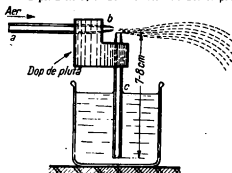


Fig. 220. Principiul vaporizatorului.

Pe scară mai mare, vaporizatorul are numeroase întrebuințări curente în industrie, între altele la injectoarele de combustibil lichid, folosite la cazane și calorifere, precum și la motoarele Diesel.

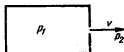


Fig. 221. Curgerea unui gaz.

5) Dacă închidem un gaz, într-un rezervor, la presiunea  $p_1$  și-l lăsăm să iasă afară, la presiunea  $p_2$  printr-o deschidere mică, practică în perete, avem în interior numai presiunea statică, iar la ieșire se adaugă presiunea dinamică (fig. 221).

Potrivit ecuației lui Bernoulli,

$$p_1 - p_2 = \frac{1}{2} \rho v^2,$$

iar pentru alt gaz, între aceleași presiuni statice,

$$p_1 - p_2 = \frac{1}{2} \rho' v'^2$$

Împărțind aceste relații membru cu membru, rezultă că

$$\boxed{\frac{v}{v'} = \sqrt{\frac{\rho'}{\rho}} = \frac{q}{q'}} \quad (101.4)$$

unde  $q$  și  $q'$  reprezintă debitele, care sînt direct proporționale cu vitezele.



Între două presiuni statice date, vitezele de curgere ale gazelor sînt invers proporționale cu rădăcina pătrată a densităților.

Putem deci compara densitățile gazelor, prin simpla măsurare a debitelor sau vitezelor de curgere.

Cum densitățile sînt, la rîndul lor, direct proporționale cu greutatea moleculară, dispunem astfel de o metodă simplă și comodă pentru determinarea lor, prin comparație directă cu oxigenul, luat ca termen de bază cu masa atomică 16.

Această relație formulează *legea lui Bunsen* și ne spune că: *Între două presiuni statice date, vitezele de curgere a gazelor, printr-un orificiu dat, ca și debitele respective, sînt invers proporționale cu rădăcina pătrată a densităților.*

## B. DINAMICA FLUIDELOR VISCOASE

§ 102. **Curgerea laminară.** Ecuația lui Bernoulli devine cu totul aproximativă, atunci cînd fluidul circulă prin tuburi de secțiune mică.

Luînd ca exemplu apa care circulă printr-o conductă, pătura lichidă în contact cu pereții *aderă la suprafața lui și experiența ne arată că nu se mișcă din loc.*

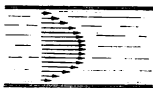


Fig. 222. Curgerea laminară.

dului s-ar face prin pături pe alta, ca filele unei cărți.

Curgerea se numește atunci *laminară*.

Dacă injectăm, în curentul de apă, cu un tub foarte subțire, o soluție colorată, putem măsura viteza de curgere, la distanțe

La vitezele mici, curgere este laminară, din cauza frecărilor interne și adeziunii la perete.

La asemenea viteze, curgere, din laminară, devine *turbulentă*.

Curgerea laminară se datorește *viscozității* fluidului care, ca să treacă de la viteza nulă, la vitezele mai mari ale păturilor depărtate de pereți, are de învins o *frecare internă*.

Pe măsură ce ne depărtăm de perete, viteza de curgere devine din ce în ce mai mare și abia de la o distanță oarecare înainte rămîne invariabilă (fig. 222).

Aceasta ne obligă să admitem că, în apropierea pereților, mișcarea lichidelor este prin

Forța de frecare, la curgerea laminară, este direct proporțională cu suprafața și cu gradientul vitezei, iar factorul de proporționalitate este coeficientul de viscozitate.

Experiența ne arată că, între două plăți vecine, care vin în contact prin suprafața  $S$ , forța de frecare este dată de relația simplă

$$F = \eta \cdot S \cdot \frac{dv}{dx} \quad ^1), \quad (102.1)$$

În care derivata  $dv/dx$  a vitezei, în raport cu distanța  $x$ , măsurată perpendicular pe direcția ei, reprezintă, prin definiție, *gradientul* vitezei de curgere, iar factorul de proporționalitate  $\eta$  se numește *coeficient de viscozitate*.

În cazul particular, când viteza crește direct proporțional cu distanța, gradientul poate fi exprimat și prin raportul cantităților finite  $\Delta v$  și  $\Delta x$ . În cazul acesta:

$$F = \eta S \frac{\Delta v}{\Delta x} \quad (102.1 a)$$

La gaze, agitația termică transformă foarte repede curgerea laminară în turbulentă, iar liniile de curent se încleșcă.

Fenomenul poate fi observat de oricine privește fumul care se ridică dintr-o țigară, în aer liniștit. Firele de curent sînt, la început, paralele, iar după o distanță destul de mică apare turbulența.

Gazele au și ele o viscozitate, care se exprimă prin relația teoretică-verificată experimental,

$$\eta = \frac{1}{3} \rho v \lambda, \quad ^2)$$

în care  $\rho$  este densitatea:

$v$  — viteza mijlocie de agitație termică;

$\lambda$  — distanța medie dintre molecule.

Nu este cazul să intrăm în amănunte. Am dat numai rezultatul final. Însă relația de mai sus ne permite să calculăm pe  $\lambda$ , cu ajutorul coeficientului de viscozitate, care poate fi măsurat experimental.

**1. Unități și dimensiuni.** Relația (102.1) ne dă, pentru coeficientul de viscozitate, valoarea:

$$\eta = \frac{F}{S} \cdot \frac{dx}{dv}$$

<sup>1)</sup>  $\eta$  — literă grecească mică; se citește *eta*.

<sup>2)</sup>  $\lambda$  — literă grecească mică; se citește *lambda*.

De aici rezultă că, în sistemele CGS și MKS, el are dimensiunile

$$[\eta] = \frac{MLT^{-2}}{L^2} \cdot \frac{L}{LT^{-1}} = \frac{MLT^{-2}}{L^2T^{-1}} = L^{-1}MT^{-1},$$

iar unitățile vor fi:  $\text{dyn} \cdot \text{s}/\text{cm}^2$  care se numește *poise*<sup>1)</sup> și  $\text{N} \cdot \text{s}/\text{m}^2$ , care nu are nume special.

Obișnuit nu se aplică sistemul MKfS la aceste fenomene.

**2. Legea lui Poiseuille.** În 1839, *Poiseuille* a calculat volumul de lichid care poate curge, într-un timp dat, printr-un tub îngust, de lungime  $l$  și rază  $r$ .

El a ajuns la relația

$$V = \frac{\pi r^4}{8\eta l} (p_1 - p_2)t, \quad (102.2)$$

în care  $p_1$  și  $p_2$  sînt presiunile la intrarea și ieșirea din tub, iar  $t$  este timpul de curgere.

Volumul de lichid care trece printr-un tub îngust este direct proporțional cu timpul, cu diferența de presiune și cu puterea a patra a razei tubului și invers proporțional cu lungimea și cu coeficientul de viscozitate.

Prin urmare: *volumul de lichid care trece prin tub este direct proporțional cu timpul, cu diferența presiunilor și cu puterea a patra a razei. El este invers proporțional cu lungimea și cu coeficientul de viscozitate.*

Relația de față nu se aplică decît la lichidele care udă pereții tubului și pentru o curgere destul de înceată, ca să păstreze caracterul laminar.

Dacă notăm cu:

$I = \frac{V}{t}$  și numim acest raport *intensitatea curentului lichid* și cu

$R = \frac{p_1 - p_2}{I} = \frac{8\eta l}{\pi r^4}$  și numim această cantitate *rezistența la curgere*

a tubului, legea lui Poiseuille se mai poate scrie sub forma

$$p_1 - p_2 = I \cdot R, \quad (102.3)$$

care ne spune că *diferența de presiune este egală cu intensitatea curentului, înmulțită cu rezistența.*

<sup>1)</sup> De la numele lui *Poiseuille* (1799—1869), care a studiat fenomenele de viscozitate și a formulat legea de curgere prin tuburi subțiri.

O relație analogă apare la trecerea curentului electric prin fire conductoare, unde este cunoscută sub numele de legea lui *Ohm*.

Curgerea lichidelor prin tuburi subțiri ne permite să determinăm experimental viscozitatea lor, prin comparație cu alt lichid, bunăoară cu apa.

Printre numeroasele dispozitive care funcționează pe acest principiu, vom descrie numai viscosimetrul lui *Ostwald*<sup>1)</sup>.

Aparatul este construit din sticlă și are forma din fig. 223.

Un tub capilar *ab* face legătura între un mic rezervor *ae* și un tub mai larg *c*, cu alt rezervor, la partea inferioară.

Se introduce înăuntru o cantitate fixă de lichid, pînă la reperul *r* și se aspiră prin *d* pînă ce lichidul se urcă la nivelul *e*.

Lăsăm apoi lichidul să curgă prin capilară, sub acțiunea greutateii proprii și măsurăm timpul necesar ca nivelul să coboare pînă în *a*.

Repetăm operația cu lichidul pe care l-am ales ca termen de comparație și relația

$$\frac{\eta_1}{\eta_2} = \frac{\rho_1 t_1}{\rho_2 t_2},$$

în care am notat cu  $\rho$  densitățile și cu  $t$  timpurile de curgere, ne permite să comparăm viscozitățile.

Tabela 3 dă cîteva date, exprimate în poise, sau în raport cu apa la 0°C.



Fig. 223.  
Viscosimetrul lui *Ostwald*.

Tabela 3

Substanța	Viscozitatea la 0°C		Viscozitatea la 20°C	
	absolută	relativă	absolută	relativă
apă	0,0179	1,000	0,0100	0,561
acetonă	0,0039	0,217	0,0033	0,184
alcool	0,0170	0,949	0,0119	0,664
benzen	0,0090	0,502	0,0064	0,357
cloroform	0,0070	0,391	0,0056	0,315
mercur	0,0170	0,949	0,0157	0,877
toluen	0,0077	0,429	0,0058	0,327
aer	—	—	0,00018	—
hidrogen	—	—	0,000093	—
oxigen	—	—	0,00021	—

<sup>1)</sup> *Wilhelm Ostwald* (1853—1932) chimist german, fost profesor la Leipzig, premiu Nobel (1909).

Din examinarea datelor numerice, rezultă că, de obicei, viscozitatea lichidelor scade cînd crește temperatura, dar regula nu este generală.

Scăderea viscozității prin încălzire este deosebit de mare la uleiurile vegetale sau minerale, chiar pentru variații destul de mici ale temperaturii.

Un fenomen de importanță științifică deosebită poate fi constatat la heliul lichid.

Experiența ne arată că, în anumite condiții de temperatură și presiune, el apare sub două forme, deosebite ca proprietăți fizice, pe care le numim *heliu I* și *heliu II*.

La  $-271^{\circ}\text{C}$ , heliul II devine suprafluid.

Fizicianul sovietic *P. L. Kapița* a descoperit că, la  $-271^{\circ}\text{C}$ , heliul II capătă o viscozitate practic nulă și devine *suprafluid*, adică se manifestă aproape ca un fluid ideal.

Teoria fenomenului, dezvoltată de profesorul sovietic *L. L. Landau*, depășește nivelul manualului de față, așa că nu putem să insistăm asupra ei.

Curgerea laminară a lichidelor viscoase joacă un rol important în *procesele de ungere*.

Cînd o pătură de ulei se interpune între două suprafețe care 'unecă una pe alta, uleiul aderă și se fixează pe dinsele.

Ungerea micșorează frecarea, fiindcă alunecarea interesează numai păturile de ulei.

În cazul acesta, *frecarea devine mult mai mică, fiindcă alunecarea nu mai interesează piesele solide, ci păturile de ulei aderente, care se manifestă prin viscozitatea lor.*

Condițiile de ungere se studiază în așa fel, încît pătura de ulei să nu poată fi smulsă ori întreruptă, prin eforturi excesive <sup>1)</sup>.

<sup>1)</sup> Unii șoferi de automobile au nefastul obicei să ambaleze motorul, adică să-l supui la variații rapide și repetate ale turației, pînă la viteza maximă.

Pe lângă ruperea păturii de ungere, care duce la uzura rapidă a suprafețelor de frecare, organele motorului sînt supuse unor accelerații care implică forțe de inerție mult mai mari decît acelea pentru care au fost dimensionate.

În acest domeniu, cităm lucrările lui *N. P. Petrov*, care a studiat experimental și sistematic grosimea și calitățile optime ale păturii lubrifiante.

Studiul teoretic al ungerii este destul de complex. Rezultatele la care s-a ajuns au nu numai o importanță tehnică deosebită, dar și una științifică, fiindcă sînt legate de structura moleculară a păturilor subțiri.

### 3. Pierderea de presiune. Revenind la relația

$$p_1 - p_2 = l \cdot R, \quad (102.3)$$

în care

$$l = \frac{V}{t}, \quad \text{și} \quad R = \frac{8\eta l}{\pi r^4},$$

să considerăm un lichid real, care curge printr-un tub orizontal, unde adaptăm o serie de manometre (fig. 224).

Experiența ne arată că presiunea hidrostatică nu este constantă, ci suferă o cădere linară, care se accentuează în porțiunile de secțiune mai mică.

Aceasta se datorește faptului că mișcarea lichidului, făcînd să apară forțe de frecare internă, duce la transformarea în căldură a unei părți din energia disponibilă și că, totodată, presiunea statică trece parțial în presiune dinamică.

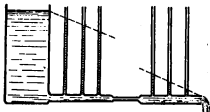


Fig. 224. Căderea de presiune statică, la un lichid care curge.

În lungul unei conducte, presiunea statică a unui lichid care curge nu este constantă, ci scade în funcție de debit și de dimensiunile conductei.

depinde nu numai de dimensiunile conductei, dar și de cantitatea de lichid, care trebuie să treacă, într-un timp dat.

Concluziile sînt valabile, în aceeași măsură, și la gaze.

**4. Trecerea gazelor prin pereți poroși.** Dacă închidem un gaz, sub o presiune oarecare, într-un vas cu pereții poroși, de pildă într-un vas de porțelan nesmălțuit, putem conștata că gazul difuzează, trece prin pori și scapă la exterior.

Viteza de difuziune a gazelor, prin pereți poroși, este direct proporțională cu diferența de presiune și variază invers proporțional cu rădăcina pătrată a densității.

Experiența ne arată că viteza de difuziune este direct proporțională cu diferența presiunilor, de o parte și de alta a peretelui și invers proporțională cu rădăcina pătrată a densității gazului.

Fenomenul se datorește mișcării de agitație termică.

Dacă avem un amestec de gaze, moleculele fiecăruia ciocnesc pereții și probabilitatea de trecere prin pori va fi mai mare la moleculele mai mici.

*Raportul cantitativ al celor două gaze din vas va crește decît treptat, în avantajul gazului de densitate mai mare.*

Difuziunea fracționată permite separarea treptată a gazelor, dacă densitățile sînt diferite.

Repetînd operația de mai multe ori, putem astfel separa gaze de densități diferite.

Acest procedeu de difuziune fracționată are aplicații vaste, pe scară industrială <sup>1)</sup>.

El dă rezultate nu numai la gazele de densități foarte diferite, cum ar fi aerul și hidrogenul, dar și la gaze de densități foarte apropiate.

Se folosesc atunci o serie de difuzii succesive, prin pereți de suprafață foarte mare.

Calitativ, fenomenele de difuziune la gaze de densități diferite pot fi arătate experimental cu dispozitivul din fig. 225.

În *a* apa se urcă în tub, fiindcă iese mai mult hidrogen din vasul poros, decît aerul care pătrunde în el.

În *b* situația se inversează și creșterea de presiune aruncă apa afară.

În *c* presiunea din vasul poros tinde să scadă, fiindcă aerul difuzează mai repede decît bioxidul de carbon.

**§ 103. Curgerea turbulentă.** Cînd viteza relativă dintre un fluid și un obstacol întîlnit este destul de mare, sau cînd fluidul

<sup>1)</sup> În ultimul timp, la universitatea din Cluj, defunctul profesor Aurel Ionescu, împreună cu V. Mercea, au pus la punct o serie de dispozitive practice, pentru difuziunea fracționată. Folosind analogia dintre curgerea gazelor și curentul electric, ei au izbutit să aplice în aceste fenomene procedee analoge cu cele din măsurările electrice, ca să determine diferențe mici de presiune sau de viteză de curgere.

depășește anumită viteză de curgere printr-un tub, se formează *virtejuri* și curgerea, din laminară, devine *turbulentă*.

Frecările interne devin atunci mai mari și ascultă de alte legi decât acelea stabilite mai sus.

Rezistența întâmpinată depinde în cazul acesta nu numai de forma obstacolului, dar și de pătratul, cubul sau altă putere a vitezei, după cum vom vedea mai departe.

Virtejurile se formează în spatele obstacolului, sau la trecerea bruscă, dintr-o porțiune mai îngustă, în alta mai largă a unei conducte. (fig. 226 *a* și *b*). De asemenea, le găsim acolo unde conducta formează o cotitură; ele sînt o consecință directă a viscozității, adică a frecărilor interne, care întîrzie pătrunderea fluidului în regiunile respective, atunci cînd viteza

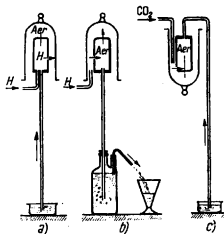


Fig. 225. Difuziunea gazelor prin pereți poroși.

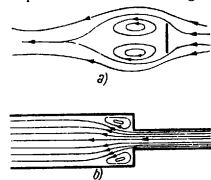


Fig. 226. Formarea virtejurilor.

depășește o limită dată.

Formarea lor implică, evident, un consum de energie mecanică, transformată în căldură.

Totodată, în aceste regiuni apare scăderea de presiune, urmată de o năvălire de ansamblu a păturilor vecine<sup>1)</sup>.

La vitezele destul de mari, scăderea de presiune poate să producă un vid mai înaintat, în care năvălirea fluidului devine deosebit de violentă.

<sup>1)</sup> Bicicliștii profită de aceste fenomene de sugere și pedalează uneori în urma unui automobil sau motocicletă. Viteza atinsă este atunci mai mare decât în condițiile obișnuite.



Fenomenul acesta, cunoscut sub numele de *cavitație*, are drept urmare o coroziune rapidă a obstacolului, în regiunea opusă celei frontale, foarte dăunătoare la turbine sau la elicele vapoarelor.

La viteze destul de mari apar vîrtejurile, iar la viteze și mai mari apare cavitația.

O formă deosebit de interesantă a vîrtejurilor este cea *inelară*. Ea apare, în condiții speciale, atît la gaze, cît și la lichide. O cunosc toți fumătorii care știu să facă colaci de fum.

În cele ce urmează, vom cerceta trei cazuri deosebite:

1. *Rezistența proporțională cu viteza*. La vitezele mici, vîrtejurile și turbulența nu apar încă, iar trecerea fluidului pe lîngă obstacol păstrează cunoscuta formă laminară.

În regimul laminar, rezistența nu depinde de densitatea fluidului.

Viscozitatea creează atunci o rezistență la mișcare, proporțională cu viteza, care depinde de forma,

mărimea sau orientarea corpului, în raport cu sensul și direcția mișcării, dar nu depinde de densitatea fluidului.

Considerînd o suprafață plană  $S$ , înclinată de un unghi  $\alpha$  față cu direcția mișcării, experiența ne arată că, în acest regim fără vîrtejuri, rezistența întîmpinată este

$$R = K\eta Sv \sin \alpha,$$

unde  $K$  este un factor de proporționalitate, iar  $v$  viteza (fig. 227).

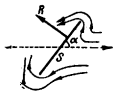


Fig. 227. Asimetria liniilor de curent.

Tot experiența ne mai arată că punctul de aplicație al acestei rezistențe se găsește deplasat către marginea anterioară a planului, numită *margin de atac*.

Drept urmare, corpul nu-și păstrează orientarea inițială, ci suferă o *legănare*, pe care o putem vedea ușor, observînd o frunză, care cade în aerul calm, ori un ban, care se duce spre fundul unui vas cu apă.

Fenomenul se datorește, după cum arată figura, disimetriei liniilor de curent.

Un interes practic deosebit îl prezintă mișcarea lentă a unei sfere, într-un mediu vîscos.

Experiența ne arată atunci că, dacă raza sferei este  $r$ , rezistența întâmpinată are valoarea

$$R = 6\pi r\eta v. \quad (103.1)$$

Relația de față este cunoscută sub numele de *legea lui Stokes*<sup>1)</sup>.

$R = 6\pi r\eta v$  și viteza se limitează la valoarea pentru care forța acceleratoare devine egală cu rezistența de frecare.

Vom vedea îndată cum, cu ajutorul ei, se poate determina viscozitatea unui lichid, în care lăsăm să cadă liber o mică sferă de rază și densitate cunoscute și cum efectul

viscozității limitează viteza de cădere.

**Viteza-limită.** Să considerăm un corp care se mișcă în interiorul unui lichid vâcos, sub acțiunea unei forțe date și să presupunem că viteza este destul de mică, pentru ca să nu apară vârtejuri.

Corpul capătă o mișcare accelerată și, de la o vreme, viteza crescând, ajungem în situația ca rezistența să egaleze forța acceleratoare.

De aici înainte, mișcarea continuă cu viteză constantă și vom spune că s-a atins *viteza-limită*.

Ca exemplu, să considerăm o sferă de rază  $r$  ce cade liber într-un lichid, sub acțiunea gravitației.

Ținând seamă de forțele lui Archimede și notînd cu  $\rho$  densitatea sferei și cu  $\rho'$  pe a lichidului, forța acceleratoare este:

$$F = \frac{4}{3} \pi r^3 (\rho - \rho') g,$$

iar cînd s-a atins viteza-limită, legea lui Stokes ne spune că

$$\frac{4}{3} \pi r^3 (\rho - \rho') g = 6\pi r\eta v,$$

de unde rezultă că această viteză-limită este

$$v = \frac{2}{9} \frac{r^2}{\eta} (\rho - \rho') g. \quad (103.2)$$

<sup>1)</sup> George Gabriel Stokes (1819—1903) fizician și matematician englez, fost profesor la Cambridge.

**Ca aplicație**, dacă punem un lichid vâscos, de pildă ulei, într-un tub vertical și lăsăm să cadă în el o sferă ușoară de aluminiu, mișcarea este destul de lentă, ca să putem determina comod viteza-limită, cu o riglă gradată și cu un cronometru. După aceea calculăm coeficientul de viscozitate.

Metoda este curent folosită în industrie, cu singura diferență că cilindrul este înconjurat cu o manta lichidă, care permite să lucrăm la temperatura dorită.

Limitări analoge ale vitezei apar nu numai în regimul laminar, dar și în alte regimuri. Ca să le putem calcula, e destul să cunoaștem relația dintre viteză și rezistența de frecare. Vom cerceta și aceste cazuri, la timpul lor.

**2. Rezistență proporțională cu pătratul vitezei.** Când viteza creștând, atinge o valoare critică, la care încep să apară vârtejurile, fenomenele se complică, iar teoria lor este de domeniul matematicilor superioare.

Ne vom limita deci doar la câteva fapte experimentale de bază.

În primul rînd, se constată că rezistența care se opune mișcării poate fi exprimată prin relația fundamentală

$$R = K \rho S v^2 \quad (103.3)$$

în care, de astă dată, intervine *pătratul vitezei și densitatea mediului  $\rho$* .

$K$  este o constantă de proporționalitate, caracteristică formei corpului și orientării lui față de direcția și sensul mișcării, iar suprafața  $S$  este aceea sub care se vede *conturul* corpului, cînd îl privim în lungul traiectoriei.

Odată cu apariția vârtejurilor

$$R = K \rho S v^2.$$

În cazul unui plan, înclinat cu un unghi  $\alpha$  față de direcția mișcării, această relație devine

$$R = K \rho S v^2 \sin \alpha \quad (103.3 a)$$

Fig. 228 reprezintă diferite tipuri de profile, în dreptul cărora este notată valoarea experimentală aproximativă a constantei  $K$ . Vârtejurile se formează în spatele corpului.

Această constantă nu are dimensiuni fizice și este un simplu număr abstract, a cărui valoare se păstrează în toate sistemele coerente de unități.

Ultimul din figură este așa-numitul *profil aerodinamic*.

Cu el se poate atinge cea mai mică valoare a constantei  $K$ , prin urmare cele mai mici rezistențe în regimul turbulent, când e orientat cu partea teșită înainte.

Tehnica modernă l-a adoptat la avioane, dirijabile, automobile, locomotive și în genere la toate vehiculele de viteză mare.

Corpul păsărilor și al peștilor se apropie de asemenea foarte mult de această formă.

Fig. 229 reprezintă o locomotivă modernă *carenată*, adică îmbrăcată într-un înveliș de formă aerodinamică.

Locomotivele electrice *carenate* nu putut să atingă astfel, de curînd, viteze de peste 300 km/h.

Studiul profilelor se face de obicei pe *machete*, adică pe modele reduse, în canale *hidrodinamice* și în *tuneluri aerodinamice*, unde vitezele și forțele dezvoltate pot fi măsurate și controlate cu precizia dorită.

Fig. 230 reprezintă două fotografii ale vîrtejurilor produse în urma unei plăci și a unui profil aerodinamic.

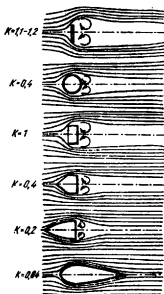


Fig. 228. Constanta aerodinamică la diferite profile

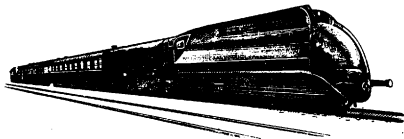


Fig. 229. Locomotivă modernă *carenată*.

Din comparație, se vede imediat avantajul profilului aerodinamic. Fotografiiile au fost luate într-un curent de apă, unde vîrtejurile au fost evidențiate cu o suspensie de pulbere de aluminiu.



Fig. 230. Efectul profilului asupra vîrtejurilor.

O aplicație practică imediată a rezistenței întîmpinate la profilele de forme diferite o găsim la *anemometre*, cu care se măsoară viteza vîntului, în stațiunile meteorologice.

Patru cupe semisferice, dispuse așa cum arată fig. 231, formează împreună o morișcă, pe care vîntul o face să se învîrtă, cu partea convexă înainte, fiindcă partea concavă opune o rezistență mult mai mare.



Fig. 231. Anemometru.

Pe același principiu se construiesc și aparate speciale pentru măsurarea vitezei apei în conducte mari și în canale.

1) *Efectul Magnus*<sup>1)</sup>. Toți jucătorii de tenis și de fotbal știu că o minge, lovită așa ca să capete o mișcare de rotație, deviază de la forma obișnuită a traiectoriei.

Acest fenomen, caracteristic mișcării în mediile viscoase, poartă numele de *efectul Magnus* și explicația lui este următoarea:

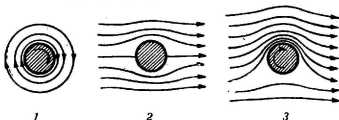


Fig. 232 a. Originea efectului Magnus.

<sup>1)</sup> *Gustav Magnus* (1802—1870), fizician și chimist german.

Rotația simplă a mingii, fără translație, antrenează, prin viscozitate, păturile de aer vecine și formează linii de curent circulare și concentrice (fig. 232 a, 1).

Pe de altă parte, mișcarea de înaintare dă naștere liniilor de curent reprezentate în fig. 232 a, 2 și astfel, prin suprapunerea celor două mișcări, aceste linii capătă forma din fig. 232 a, 3.

Ca urmare, păturile fluide se răresc, în regiunea cu linii de curent mai distanțate și sînt comprimate de cealaltă parte, iar diferența de presiune dă naștere devierii.



Fig. 232 b. Efectul Magnus.

Fig. 232 b reprezintă o fotografie a liniilor de curent, obținute pe această cale, într-un canal hidrodinamic.

Efectul Magnus joacă un rol important în balistică, la gurile de foc, unde proiectilul iese din țeavă cu rotația imprimată de ghinturi. De altfel aici a și fost observat și cercetat, pentru prima oară.

Prin 1924 s-a încercat o aplicație practică interesantă a efectului Magnus, la propulsia bărcilor, cu ajutorul unui cilindru vertical, de dimensiuni mari, pe care un motor îl rotește în jurul axei de simetrie.

Orice vînt lateral imprimă atunci bărcii o mișcare înainte sau înapoi, după sensul rotației cilindrului.

Teoretic, sistemul acesta, imaginat de *Flettner*, ar fi trebuit să fie mai eficace decît pînzele obișnuite, dar încercările n-au fost încurajatoare, din cauza dificultăților tehnice de realizare.

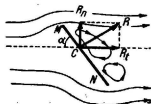


Fig. 233. Placă subțire într-un fluid ce se mișcă în regim turbulent.

2) *Aripa de avion*. Să considerăm o placă subțire, cu fețe plane, situată într-un fluid, care se mișcă în sensul săgeților, cu regim turbulent (fig. 233).

Experimental, constatăm că vîrtejurile capătă aproximativ aspectul din figură, cînd planul este înclinat pe direcția curentului.

Distribuția lor nesimetrică, în dosul plăcii, face ca rezistența întîmpinată să se încline, așa cum arată vectorul respectiv și, din aceleași motive, punctul ei de aplicație se găsește deplasat în  $C$ , către marginea de atac  $M$ .

Oricare ar fi situația, forța  $R$  poate fi descompusă în două componente, așa ca una dintre ele,  $R_n$  să fie orientată perpendicular, iar cealaltă,  $R_t$ , să fie paralelă cu direcția curentului.

Între altele, acesta e și cazul unei aripi de avion, în mișcare relativă față de păturile de aer.

Componenta  $R_t$  reprezintă atunci o rezistență la înaintare, iar componența  $R_n$  tinde să ridice avionul și asigură susținerea lui, în timpul zborului.

**Raportul  $R_n/R_t$  reprezintă finețea unei aripi de avion.**

Prin definiție, raportul  $R_n/R_t$  reprezintă ceea ce numim **finețea** unui profil de aripă.

Siguranța zborului cere, între altele, ca raportul acesta să fie cît mai mare și totodată ca rezistența la înaintare să fie cît mai mică.

Pe vremuri, aripile de avion erau plane, făcute din pînză întinsă pe un cadru rigid.

Cu asemenea procedee nu se putea depăși finețea maximă 7, așa că, la orice moment, avionul risca să se prăbușească și pilotajul era o adevărată acrobație.



Fig. 234. Profilul Jukovski.

Situația s-a schimbat fundamental, de cînd *Jukovski*<sup>1</sup> a pus bazele științifice ale aviației și a calculat forma optimă de profil, reprezentată în fig. 234, adoptată la toate avioanele moderne.

Pe lingă că este aerodinamică, această formă, numită *profilul lui Jukovski* are însușirea remarcabilă că asigură susținerea avionului nu numai cînd linia  $ab$  este orizontală, dar și cînd este înclinată pînă la  $-5^\circ$ , cu marginea de atac în jos.

Fig. 234 a reprezintă vîrtejurile formate, în poziția normală de zbor. Ele sînt practic neglijabile.

La o înclinare prea mare, vîrtejurile capătă aspectul din fig. 234 b. În cazul acesta rezistența la înaintare crește și este aproximativ de 100 de ori mai mare.

Profilul Jukovski atinge finețea 26—27, aproape de patru ori mai mare decît aripile plane.

Tot lui Jukovski îi datorăm teoria modernă a elicei de avion, așa că dezvoltarea uimitoare a aviației de astăzi este legată, în primul rînd, de numele lui.

<sup>1</sup>) *Nikolai Egorovici Jukovski* (1847—1921), fost profesor la universitatea și la școala superioară tehnică din Moscova.

Tot el a organizat și primul institut științific de aerodinamică de la *Kucino*, lângă Moscova, în 1902.

3) *Viteza-limită în regimul turbulent.* Dacă o forță motoare  $F$  accelerează un corp, într-un mediu viscos, pînă la regimul de turbulență,

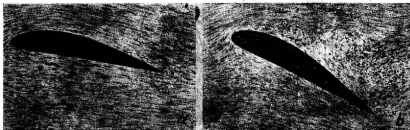


Fig. 234 a, b. Virtejurile produse de profilul Jukovski.

viteza atinsă se va limita, evident, la valoarea pentru care această forță devine egală cu rezistența întâmpinată  $R$ .

Vom avea atunci

$$F = R = K \rho S v^2. \quad (103.3)$$

Prin urmare viteza-limită depinde de forma corpului, care dictează asupra valorii constantei  $K$ , de suprafața lui, de densitatea mediului și de forța acceleratoare.

În cazul particular, cînd un corp de masă  $m$  cade în aer, sub acțiunea greutății proprii, putem neglija forțele lui Archimede, dacă densitatea lui este mult mai mare decît a aerului.

Vom avea atunci

$$mg = K \rho S v^2.$$

Știînd că densitatea aerului este aproximativ  $0,0013 \text{ g/cm}^3$ , se poate calcula ușor că viteza-limită a unei picături sferice de ploale, de 3 mm diametru, este de ordinul metrilor pe secundă.

Dacă nu ar exista limitarea, aceeași picătură de ploaie, plecată dintr-un nor, de la 1000 m înălțime, ar ajunge la pămînt cu viteza unui glonte de revolver.

O aplicație practică, deosebit de interesantă, o găsim la *parașută*, umbrelă imensă de mătase ușoară, care se deschide singură, sub acțiunea rezistenței aerului (fig. 235).

Viteza de cădere se limitează atunci la cîtiva metri pe secundă, indiferent de înălțimea de la care s-a pornit.

3. *Rezistența în regimul supersonic.* La vitezele care se apropie de viteza sunetului, în mediul considerat, rezistența întâmpinată nu mai crește cu pătratul, ci cu *cubul* vitezei.



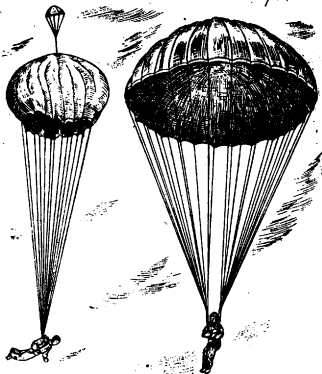


Fig. 235. Parașute deschise.

Aproape de viteza sunetului, rezistența crește cu cubul vitezei. La viteze supersonice, redevine proporțională cu pătratul vitezei, dar fenomenele nu mai sînt aceleași.

fig. 236 o reproduce după o fotografie instantanee, în cazul unui glonte ce trece prin aer. În urma glontelui se vede o diră, datorită vîrtejurilor.

O dată această limită depășită, creșterea redevine proporțională cu pătratul vitezei.

Greutatea principală este deci de a o depăși.

În aceste regimuri supersonice, fenomenul se schimbă cu totul și se formează așa-numita undă de șoc, pe care

Pentru asemenea viteze, profilul aerodinamic nu mai este avantajos și se cere, din contra, ca proiectilul să aibă vârful ascuțit.

Viteza sunetului în aer, la presiunea și temperatura normală, este de aproximativ 340 m/s adică de 1 220 km/h.

Asemenea viteze au fost atinse și chiar depășite de rachete și de avioanele speciale, purtate de motoare cu reacție, pe care le vom descrie sumar, numai în ce privește principiul de bază.

a) *Racheta*, cunoscută cu sute de ani în urmă, era întrebuințată la început numai în focurile de artificii. Principiul este următorul:

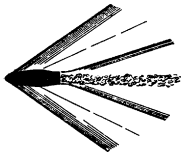


Fig. 236. Unda de șoc a unui glonte la viteză supersonică.



Fig. 237. Principiul rachetei.

Într-o cameră de ardere se introduce un amestec ce conține praf de pușcă, iar într-un orificiu de la fund se introduce un fitil, căruia îi dăni ioc (fig. 237).

Sub acțiunea presiunii dezvoltate, gazele de ardere ținesc afară cu viteză mare, iar dacă această viteză este  $V$  și masa lor este  $m$ , racheta, de masă  $M$ , se va mișca în sens contrar, cu viteza  $v$ , după principiul conservării cantității de mișcare, așa că

$$m \cdot V = M \cdot v.$$

Funcționarea rachetei este posibilă și în vid, cu condiția ca în amestecul explozibil să fie înglobate substanțele care să producă oxigenul necesar pentru ardere, fără să-l mai scoată din aer. Praful de pușcă îndeplinește această condiție.

Inventatorul rus *K. E. Tjolkovski*<sup>1)</sup> este primul care a avut ideea folosirii rachetei la propulsia vehiculelor și chiar la locomoția interplanetară.

El a formulat, încă din 1897, ecuațiile de bază, pentru aceste sisteme de propulsie<sup>2)</sup>.

Pentru studiul teoretic și practic al rachetelor și pentru încercările de folosire pe scară largă, cităm de asemenea lucrările, deosebit de importante, ale lui *Franz Oberth*, fost profesor la liceul din *Mediaș*, executate de la 1925 încoace.

Vestitele *Katiușa* sovietice, cît și proiectilele *V*, folosite de armatele hitleriste, în timpul războiului de agresiune, se bazează pe același principiu.

Cu aceste proiectile s-a putut atinge, de curind, înălțimea de peste 400 km. Inzestrate cu aparate înregistratoare și folosite în scopuri pașnice, ele pot să ne dea indicații prețioase asupra păturilor superioare ale atmosferei, despre care cunoștințele noastre sînt acum foarte limitate.

b) *Motoarele cu reacție*, întrebuintate pe avioanele moderne, funcționează după un principiu asemănător, cu deosebire că aerul necesar combustiei este luat din exterior.

El intră prin *A* și, printr-un sistem de supape *D*, este comprimat în camera de ardere *B*, în care se injectează treptat benzină, prin deschiderile laterale, arătate schematic în fig. 238.

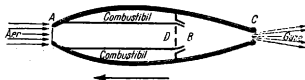


Fig. 238. Principiul motorului cu reacție.

Gazele de ardere țișnesc apoi afară prin *C*. Masa lor, cît și viteza de ieșire depășește cu mult masa și viteza aerului care a intrat, iar diferența cantităților de mișcare se compensează prin deplasarea înainte a întregului sistem.

<sup>1)</sup> *Konstantin Eduardovici Tjolkovski* (1857—1935), fost învățător într-o școală primară din regiunea Kaluga, nu și-a văzut recunoscute meritele decît după Marea Revoluție Socialistă din Octombrie.

<sup>2)</sup> Tot în Rusia, pe la 1881, *N. I. Kibalciți* a elaborat proiecte analoge dar, condamnat la moarte de regimul țarist, pentru activitate revoluționară, n-a avut răgazul să le continue.

## C. Pompe. Sifonul

§ 104. **Pompe pentru lichide.** După scopul urmărit, modelele diferă numai prin amănunțele de construcție. Principiul de bază este același la toate.

a) *Pompa aspiratoare* este construită așa cum arată fig. 239.

Mișcarea pistonului în sus produce un vid parțial, în care presiunea atmosferică ridică lichidul, iar supapele notate cu  $S_1$

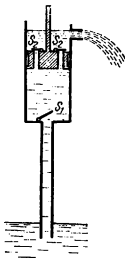


Fig. 239. Pompa aspiratoare.

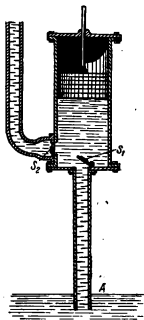


Fig. 240. Pompa aspiratoare-respingătoare.

și  $S_2$  care se deschid în sensul curentului, împiedică întoarcerea lui înapoi.

Cu aceste pompe, coloana lichidă poate să atingă cel mult înălțimea echilibrată de presiunea atmosferică: ceva mai puțin de zece metri, în cazul apei.

b) *Pompa aspiratoare-respingătoare* se întrebuințează pentru pomparea la înălțime mai mare și amănuntele de construcție sînt arătate de fig. 240.

Mișcarea pistonului în sus ridică lichidul, iar mișcarea în jos închide ventilul  $S_1$ , deschide pe  $S_2$  și trimite mai departe lichidul în sus.

În unele cazuri, pompa stă cufundată cu cilindru cu tot în lichid și coloana de aspirație se suprimă, devenind astfel o *pompă respingătoare*.

§ 105. **Pompe pentru gaze.** La gaze se pot folosi aceleași tipuri de pompe ca și la lichide, doar atît că se cere o păsuire mult mai exactă a pistoanelor și a ventilelor.

Fig. 241 arată schema de principiu a unei pompe, care scoate aerul din rezervorul  $R_1$  și-l comprimă în  $R_2$ .

Ventilele cu capac, de tipul arătat în fig. 241 b, nefiind avantajoase, folosim aici, de preferință, ventilele conice (fig. 241, a), la care închiderea se face mult mai bine.

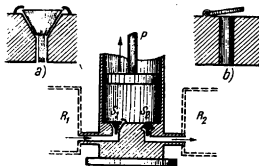


Fig. 241. Pompă pentru gaze.

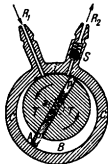


Fig. 242. Principiul pompei rotative cu palet.

Există diferite variante ale acestei pompe, între care și *mașina pneumatică*, folosită pe vremuri în laboratoarele de fizică.

În prezent, ea nu mai contează decît ca piesă de muzeu, așa că este inutil să o mai descriem.

Toate aceste pompe au inconvenientul că lasă în fundul cilindrului, cînd pistonul ajunge la capătul cursei, un mic spațiu, din

care gazul nu mai poate fi evacuat cu totul și nici pistonul însuși nu poate fi destul de bine pășuit.

De aceea nu putem atinge cu ele un vid prea înaintat.

Pompele moderne sînt construite pe cu totul alte principii și, pentru exemplificare, vom descrie două tipuri:

1. *Pompa rotativă cu palete*, inventată de *Gaede*<sup>1)</sup> și reprodusă în secțiune, în fig. 242, se compune dintr-un cilindru de oțel *C*, pe perețele căruia se sprijină un tambur *T*, care se rotește excentric.

Două paletе *P* lunecă într-o tăietură a tamburului și un resort le apasă neconținut în pereții cilindrului.

Tamburul și paletеle au aceeași lungime ca și cilindrul, ale cărui capete sînt închise cu două discuri, înșurubate ermetic.

Întregul sistem este umplut cu ulei mineral și stă cufundat într-o cuvă cu ulei, care asigură ungerea și corectează toate defectele de ajustare.

Un motor electric imprimă tamburului cîteva sute de rotații pe minut și, în timpul fiecărei rotații, volumul cavității *A* crește, pe cînd al cavității *B* scade, iar gazul pompat este aruncat afară, prin supapa *S*.

În felul acesta, putem obține, într-un recipient oarecare, fie *vidul*, dacă e legat în *R*<sub>1</sub>, fie *presiune*, dacă este legat în *R*<sub>2</sub>.

Limita vidului atins cu această pompă este de ordinul a 0,002 mm col. Hg, dar, dacă legăm două pompe în serie, așa ca una să ajute pe cealaltă, putem atinge 0,00001 mm col. Hg, cu condiția ca uleiul folosit să aibă o tensiune de vapori cît mai mică la temperatura de funcționare.

2. *Pompa cu vapori de mercur*, inventată tot de *Gaede* și perfecționată de *Langmuir*<sup>2)</sup> are avantajul că evită folosirea organelor mecanice.

Ea este făcută din sticlă sau din oțel și nu poate funcționa decît asociată cu o pompă ajutătoare, capabilă să facă un vid preliminar de ordinul milimetrului de mercur.

Această pompă este legată în *R*<sub>2</sub> (fig. 243).

În *A* fierbe, sub presiune redusă, o cantitate de mercur, pe care o încălzim cu o flacără sau cu o sobă electrică.

Vaporii cari se degajă trec prin tubul *B*, în tubul mai larg *C*, răcit cu apă, iar picăturile formate curg înapoi în *A*, prin tuburile notate cu *f*.

Executăm astfel o simplă distilare a mercurului, în ciclu închis, dar vaporii care trec prin *B* iau cu dînsii gazul dintr-un recipient legat în *R*<sub>1</sub> și-l transportă în *C*, ca să-l treacă pompei ajutătoare (preliminare).

Prin răcirea cu aer lichid, în care cufundăm rezervorul *R*, urmele de vapori de mercur din canalizare sînt condensate și astfel putem atinge vidul final de ordinul a  $10^{-6}$  mm Hg.

La pompele de construcție mai recentă, mercurul se înlocuiește cu uleiuri speciale, cu tensiune de vapori foarte mică, sau chiar cu parafină.

<sup>1)</sup> *Wolfgang Gaede* (născut în 1867), fizician german, fost profesor la Marburg.

<sup>2)</sup> *Irving Langmuir* (născut în 1881), fizician american.

• Limita vidului realizabil cu asemenea pompe, depășește  $10^{-10}$  mm col. Hg, dar tehnica acestor viduri înaintate este deosebit de dificilă, fiindcă implică numeroase precauții suplimentare.

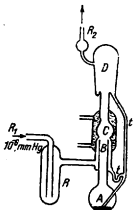


Fig. 243. Pompă de difuziune.

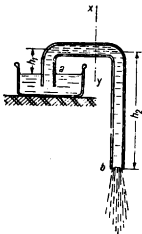


Fig. 244. Sifonul.

§ 106. **Sifonul** este un dispozitiv simplu, format dintr-un tub curbat, cu ramurile neegale și ne servește ca să transvazăm un lichid, peste marginea vasului în care se află (fig. 244).

Ca să funcționeze, trebuie să-l *amorsăm*, adică să aspirăm prin capătul mai lung pînă cînd lichidul începe să curgă. După aceea curgerea continuă de la sine.

Explicația este următoarea: să considerăm o secțiune transversală, după direcția  $xy$  (fig. 244).

Pe această secțiune acționează, deoparte, presiunea atmosferică  $b$ , din care se scade presiunea hidrostatică a coloanei de înălțime mai mică  $h_1$ .

De cealaltă parte a aceleiași secțiuni acționează tot presiunea atmosferică, din care se scade presiunea hidrostatică a coloanei mai lungi  $h_2$ .

Stabilind, prin convenție, un sens pozitiv (și altul negativ), suma lor algebrică este

$$p = b - \rho g h_1 - b + \rho g h_2 = \rho g (h_2 - h_1).$$

Apare astfel o presiune care împinge lichidul în sensul ramurii mai lungi.

Sifonul nu funcționează în vid, nici la înălțimi prea mari ale coloanelor.

Este ușor de înțeles de ce sifonul nu poate să funcționeze în vid, nici dacă înălțimea coloanelor depășește posibilitățile de sus-

ținere, din partea presiunii atmosferice.

### D. Energia apei și a vântului

§ 107. **Turbine hidraulice.** Apa dintr-un rezervor, așezat la o înălțime oarecare, conține o energie potențială, care poate fi transformată în lucru mecanic.

Dacă, în fiecare secundă, curg  $m$  kg de apă și ajung la pământ cu viteza de  $v$  m/s, puterea debitată va fi, evident,

$$P = \frac{1}{2} mv^2 \text{ (W)}.$$

Cînd apa cade în voie, ca o cascadă, viteza de cădere este limitată de rezistența aerului, dar dacă o facem să curgă prin tuburi, frecările sînt aproape neglijabile.

Viteza atinge atunci aproape valoarea teoretică

$$v = \sqrt{2gh},$$

dată de formula lui *Torricelli*.

Puterea disponibilă va fi astfel practic egală cu energia potențială a cantității de apă debitată într-o secundă.

Prin urmare

$$P = mgh \text{ (W)},$$

unde  $h$  este înălțimea, exprimată în metri, iar  $g$  se exprimă în metri pe secundă la pătrat.

*Puterea depinde așadar de debit și de înălțimea de cădere.*

Puterea unei căderi de apă este proporțională cu debitul și cu înălțimea.

Dacă debitul e prea mic, va trebui deci să căutăm o înălțime mai mare.

De aceea se construiesc *baraje*, în dosul cărora se formează lacuri artificiale de *acumulare*, de unde apa curge prin tuburi, pînă la uzina din vale.



Aceste lacuri mai au și rolul de a regulariza debitul, ca să-l facă independent de fluctuațiile naturale.

La unele hidrocentrale, înălțimea de cădere atinge peste 1 500 m. Rezultă astfel, la capătul de jos al conductei, o presiune statică de peste 150 at.

La fluviile cu debit mare, barajele ating uneori dimensiuni spectaculoase, cum este cazul cunoscutei hidrocentrale de la *Dnieprostroi*, care produce 750 000 CP și mai ales a uzinelor de la *Stalingrad* și *Kuibîșev*, pe Volga, din care cea de a doua este cea mai mare din lume și produce peste 3.000 000 CP.

Cele mai primitive forme de turbine le găsim la morile de apă. Ele sînt de două tipuri: *cu cupe* și *cu aripi* (fig. 245).

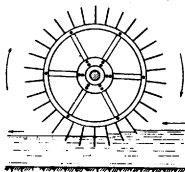


Fig. 245 a. Roata cu aripi.

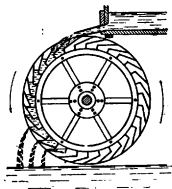


Fig. 245 b. Roata cu cupe.

Principiul funcționării este simplu și nu mai e nevoie de explicații suplimentare.

Randamentul e însă destul de mic, atît din cauza frecărilor, cît și mai ales din pricină că apa, după ce s-a scurs din cupe sau a trecut pe sub roată, mai păstrează încă o energie cinetică apreciabilă, pe care o lăsam nefolosită.

La tipul cu palete, el atinge cel mult 35%, iar la cel cu cupe se poate ridica, excepțional, pînă la 75% din energia totală.

Pe scară mare și cu randamente mult mai bune, folosim turbinele, care se clasează în trei tipuri principale:

1. *Turbina cu vîină liberă* sau turbina *Pelton* servește la căderile de apă de la înălțime mare.

Principiul ei se vede destul de clar din fig. 246. Apa intră cu viteză mare prin deschiderea *D* și lovește într-o roată cu cupe,

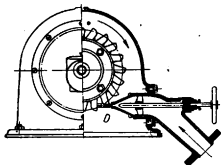


Fig. 246. Turbina Pelton.



Fig. 247. Rotorul unei turbine Pelton.

calculată așa fel, încît energia cinetică a curentului să ajungă aproape nulă, la ieșire.

Fig. 247 reprezintă rotorul unei turbine Pelton.

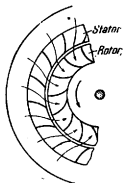


Fig. 248. Principiul turbinei cu reacție.

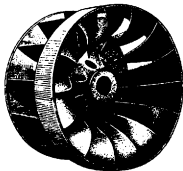


Fig. 249. Rotorul unei turbine cu reacție.

2. *Turbina cu reacție* sau turbina *Francis* este întrebuințată la debite mari și înălțime de cădere mică.

Partea fixă, numită *stator* are o serie de canale, curbate așa cum arată fig. 248, iar rotorul o serie de palete, curbate în sens invers.

Schimbarea direcției curentului face să apară forțe de reacțiune, care obligă rotorul să se învârtască în sens invers curentului de apă, care iese dintr-însul.

Fig. 249 reprezintă rotorul unei astfel de turbine.

Apa intră pe la periferie și iese în lungul axei, dar se poate adopta și soluția inversă.

**3. Turbina Kaplan** are avantajul unei viteze mai mari de rotație.



Fig. 250. Rotorul unei turbine Kaplan.

Rotorul are forma unei elice de vapor, cu pasul reglabil și cu mai multe palete, așa cum arată fig. 250.

Randamentul turbinelor moderne depășește 80% la unitățile mici și chiar 90%, la unitățile mari.

Uzina hidroelectrică de la Kuibisev dispune de 20 de turbine a câte 165 000 CP<sup>1)</sup>.

**§ 108. Turbine eoliene.** Tipul inițial este vechea moară de vânt, care acum tinde să dispară în regiunile noastre.

Sub forma modernă, ea are aspectul din fig. 251 și se orientează automat după direcția vântului.

Turbinele eoliene sînt foarte răspîndite în Europa apuseană, unde vecinătatea oceanului asigură o permanență a vînturilor.

De asemenea în *Crimeia*, Uniunea Sovietică dispune de un grup de turbine, în stare să producă peste 2 000 000 kWh anual, numai cu ajutorul vîntului.

În țară la noi, vînturile fiind foarte neregulate, folosirea turbinelor eoliene nu este avantajoasă decît în nord-estul Moldovei, în regiunea Buzău și pe litoral.

<sup>1)</sup> Amintim că Institutul Politehnic din Timișoara se mîndrește cu laboratorul cel mai bine instalat din sud-estul Europei, pentru studiul profilor și turbinelor hidraulice.

În special în Dobrogea, o singură turbină de 6 m diametru ar putea să producă peste 5 000 kWh anual <sup>1)</sup>, în stare să deservască oricare gospodărie agricolă, cu cheltuială minimă.

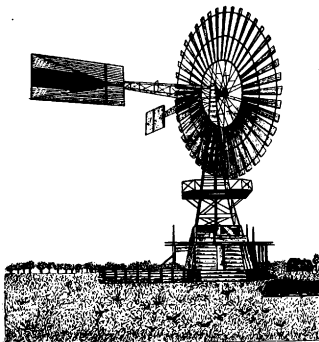


Fig. 251. Turbină eoliană.

*Exemple numerice.* 1) Să se calculeze viteza inițială și cantitatea de apă ce curge în 3 s, printr-o deschidere de 4 cm<sup>2</sup>, practică în fundul unui butoi plin, înalt de 150 cm.

Formula lui Torricelli (101.2) ne dă

$$v = \sqrt{2 \cdot 981 \cdot 150} \approx 543 \text{ cm/s},$$

iar cantitatea de apă care se scurge va fi:

$$Q = Stv = 4 \cdot 3 \cdot 543 = 6516 \text{ cm}^3.$$

<sup>1)</sup> Un studiu complet al posibilităților de folosire a energiei vântului în țara noastră a fost făcut de A. Cișman și colaboratorii.

2) Să se calculeze rezistența aerului, în regim turbulent, pe o suprafață de  $1,5 \text{ m}^2$ , care se mișcă cu  $20 \text{ m/s}$ , sub înclinația de  $30^\circ$ .

Se va lua  $K=0,6$  și  $\rho=0,0013 \text{ g/cm}^3$ .

Formula (103.3 a) ne dă:

$$R=0,6 \cdot 0,0013 \cdot 15\,000 \cdot 2\,000^2 \cdot 0,5 = 23,4 \cdot 10^6 \text{ dyn} = 24 \text{ kgf.}$$

3) O parașută cu raza de  $3 \text{ m}$ , are forma unei calote sferice, cu concavitatea în jos.

Greutatea proprie fiind  $4 \text{ kgf}$  și a parașutistului de  $70 \text{ kgf}$ , să se calculeze viteza-limită.

Se va lua  $K=0,96$  și densitatea aerului  $0,0013 \text{ g/cm}^3$ .

Masa totală este de  $74 \text{ kg} = 74 \cdot 10^3 \text{ g}$ .

Din relația

$$mg = K\rho S v^2,$$

avem

$$v = \sqrt{\frac{mg}{K\rho\pi r^2}},$$

sau

$$v = \sqrt{\frac{74 \cdot 10^3 \cdot 981}{0,96 \cdot 0,0013 \cdot 3,14 \cdot 300^2}};$$

$$v \approx 455 \text{ cm/s.}$$

4) O sferă de rază  $1,2 \text{ cm}$  și densitate  $1,4 \text{ g/cm}^3$  cade liber, într-un ulei de densitate  $0,909 \text{ g/cm}^3$ , cu viteza-limită de  $20,6 \text{ cm/s}$ .

Să se calculeze viscozitatea uleiului.

Legea lui Stokes ne dă, ținând seamă de forțele lui Archimede:

$$\tau_i = \frac{2}{9} \cdot \frac{r^2}{v} (\rho - \rho') g,$$

sau

$$\tau_i = \frac{2}{9} \cdot \frac{1,2^2}{20,6} (1,4 - 0,909) 981 = 9 \text{ P (poise).}$$

5) Un tub Venturi are raportul între cele două secțiuni egal cu  $1/1,4$ . El este legat de un avion în zbor și manometrul arată o diferență de presiune de  $7,6 \text{ cm col. Hg}$ .

Să se calculeze viteza avionului.

Relația (101.3) ne dă imediat

$$v = \sqrt{\frac{2(p_1 - p_2)}{\rho \left( \frac{S_1^2}{S_2^2} - 1 \right)}}.$$

Pe de altă parte

$$p_1 - p_2 = 7,6 \text{ cm Hg} = 1,015 \cdot 10^5 \text{ dyn/cm}^2.$$

Densitatea aerului fiind  $0,0013 \text{ g/cm}^3$ , vom avea:

$$v = \sqrt{\frac{2 \cdot 1,015 \cdot 10^5}{0,0013 (1,4^2 - 1)}},$$

sau

$$v = 12\,750 \text{ cm/s adică } 459 \text{ km/h.}$$

## E. Scurtă privire istorică asupra dinamicii fluidelor

Intinsele rețele de irigații ale Egiptului și Babilonului, precum și vastele instalații de apeducte, lăsate de vechea civilizație cretană, dispărută acum 3000 de ani, arată cunoștințe destul de înaintate despre curgerea lichidelor, la popoarele vechi.

Cu toate acestea, problema n-a intrat în preocupările filozofilor greci, care s-au limitat numai la condițiile de echilibru.

Afară de unele speculații greșite ale lui Aristotel, care credea că nici apa, nici aerul nu apasă asupra pământului și că natura are oroare de vid, urmate de observațiile juste ale lui *Heron* din *Alexandria*, despre curgerea treptată a apei dintr-un vas și despre înglobarea de aer în vîna lichidă, nu mai găsim aproape nimic, în literatura antică.

Abia în anul I al erei noastre, arhitectul roman *Vitruvius*, în celebrul lui tratat de arhitectură, vorbește despre vechile lucrări de irigație ale trecutului și despre instalațiile de apeducte care, în vremea lui, ajunseseră la un grad înaintat de dezvoltare.

Tot aici găsim pentru prima dată amintite, morile de apă care, cu siguranță, erau mult mai vechi.

Cît despre morile de vînt, ele apar în Europa abia după cruciade, însă erau cunoscute, probabil, înainte de arabi.

Evul Mediu, pînă în secolul al XVI-lea, adică pînă dincolo de începuturile Renașterii, n-a mai adus nimic nou, iar încercările lui *Bacon*<sup>1)</sup>, de a combate ca eronate părerile lui Aristotel, i-au adus zece ani de închisoare, pentru erezie.

Primele lucrări științifice de hidrodinamică se datoresc lui *Lionardo da Vinci*. Ele au rămas multă vreme necunoscute și păstrate numai sub formă de manuscrise. În acestea găsim o serie de desene precise și admirabil executate, alături de un text cu litere mărunte, scrise cu mîna stîngă, ca să nu poată fi citite decît în oglindă.

<sup>1)</sup> *Roger Bacon* (1214—1294) învățat englez și creatorul metodei de cercetare experimentală.

Tratatul lui *Despre mișcarea și măsurarea apei* vorbește de mișcarea valurilor, despre vârtejurile ce se formează la coturi sau în dosul unui obstacol, studiază căderile de apă, morile și curgerea prin tuburi, alături de aplicații practice deosebit de ingenioase.

De asemenea, observă fenomenele de propagare, de reflexie și de interferență a valurilor, înțelege legea continuității și ajunge să-și dea seamă de rolul pe care-l joacă forma unui obstacol care se mișcă într-un fluid.

Cercetările lui culminează cu descoperirea *profilului aerodinamic*, exact în forma adoptată și astăzi, cu descrierea *parașutei* și cu *primele încercări de zbor*, cunoscute în istorie.

Din păcate, manuscrisele lui n-au fost publicate decât în 1826, după ce *Venturi* a izbutit să atragă atenția asupra lor.

Începînd cu *Galileu*, metoda experimentală se generalizează în fizică, înlocuind metoda speculativă aristoteliană, cu toată opoziția bisericii.

Contribuția lui, la studiul proprietăților aerului, înlătură definitiv credința greșită că nu ar fi un corp material.

Bătrîn și orb, el sugerează lui *Torricelli* cunoscuta experiență cu tubul barometric, precum și legea de curgere a lichidului dintr-un vas.

Această lege a rămas multă vreme contestată, prin autoritatea lui *Newton*, care ajunsese experimental la concluzia că viteza este egală cu rădăcina pătrată din  $gh$ , în loc de  $2gh$ .

Tot *Newton* a descoperit însă și a explicat corect contracția vinei lichide.

Cu secolul al XVII-lea, începe o perioadă de cercetări sistematice pentru adunarea datelor experimentale, fără de care nu se putea porni la o interpretare matematică. Această perioadă continuă și astăzi fiindcă teoria încă nu este satisfăcătoare și completă.

Studiul liniilor de curent începe de la *Huyghens* (1681), care încearcă să le urmărească, folosind bucățele de ceară, ca *trasori*.

Primele încercări de calcule, la roțile de apă și la morile de vînt, au fost făcute de *Mariotte*. Complate de *Euler*, într-o lucrare celebră, apărută în 1754, ele au dus la ideea turbinelor de apă, în forma lor modernă.

Denumirea de *turbină* apare în literatura inginerescă abia în 1824, dar *Euler* este de fapt inventatorul ei.

Tubul lui *Pitot* datează din 1732 și deschide, pentru prima dată, drumul măsurărilor mai precise ale vitezelor de curgere.

Cît despre tubul lui *Venturi*, care datează din 1797, teoria lui a fost făcută cu 90 de ani mai târziu de *Herschell*<sup>1)</sup>.

Inginerul american *Francis* a imaginat modelul de rotor în 1845, dar războiul de secesiune care a urmat a împiedicat aplicarea practică pe scară mai mare<sup>2)</sup>.

<sup>1)</sup> *William Herschell* (1738—1822) matematician și astronom, născut la Hanovra și mort în Anglia. A descoperit planeta Uranus.

<sup>2)</sup> *Războiul de secesiune*, între nordul și sudul Statelor-Unite, a izbucnit în urma alegerii președintelui *Lincoln*, care decretase abolirea sclavajului negrilor. El s-a terminat cu victoria nordului, urmată de asasinarea lui *Lincoln*, de către un fanatic sclavagist, în 1865.

Abia în 1891, cu ocazia unei expoziții la Frankfurt pe Mein, inginerul rus *Dolivo-Dobrovolski*<sup>1)</sup> construiește prima centrală hidroelectrică din lume și izbuteste să transporte la distanță mare curentul electric trifazat, de înaltă tensiune (25 000 V).

Această centrală nu avea decît 200 CP, dar data marchează începutul dezvoltării prodigioase, de mai tîrziu a rețelelor electrice.

Rămîne acum să vorbim despre problema rezistenței la înaintare, în medii viscoase.

Începuturile acestor cercetări se leagă de numele lui *Galileu*, *Mariotte* și *Newton*. Pe ceilalți îi lăsăm la o parte.

Galileu a făcut primele experiențe și a studiat amortizarea oscilațiilor unui pendul și căderea liberă a corpurilor, în aer sau în apă, ajungînd la concluzia că rezistența depinde de viteză și de densitatea mediului, fără să poată formula o relație cantitativă.

Mariotte recurge la determinări directe, cu balanța, și demonstrează că rezistența la înaintare a unei plăci drepte, într-un lichid, este proporțională cu pătratul vitezei și cu densitatea. El dă și o valoare destul de apropiată a coeficientului de proporționalitate.

Newton, între 1713 și 1726, confirmă rezultatele acestea, le extinde la corpuri de alte forme și încearcă să intre mai adînc în miezul problemei.

Lăsînd la o parte unele concluzii greșite, cu privire la influența formei obstacolului, el introduce concepția curgerii laminare și a rezistenței proporționale cu gradientul vitezei, de care ne servim și astăzi.

Începînd cu secolul al XVIII-lea, mărirea tonajului la corăbiile cu pînze a impus o cercetare mai amănunțită, atît a mișcării în aer, cît și a rezistenței în apă.

Metodele de experimentare au devenit din ce în ce mai precise și mai ingenioase, iar în 1775 Academia Franceză a instituit o comisie, din care făcea parte și *d'Alembert*, pentru studiul profilelor la corăbii.

Cu această ocazie s-au construit și primele canale hidrodinamice, pentru studiul machetelor.

Aceste cercetări, împreună cu acelea făcute, între alții, de *Ch. Hutton*, au dus la concluzia că vederile lui Newton nu sînt exacte, decît în regimul neturbulent și că vîrtejurile au influență incomparabil mai mare decît simpla lunecare a păturilor.

Totodată s-a stabilit în ce măsură forma obstacolului împiedică sau favorizează aceste vîrtejuri.

Cercetările făcute sînt atît de variate și de numeroase, încît nu mai e posibil să le menționăm pe fiecare în parte. Ele s-au întins pe tot lungul veacului trecut.

Dezvoltarea navigației cu abur și începuturile aviației le-au dat un nou imbold și astfel s-a creat metoda modernă de cercetare cantitativă, au

<sup>1)</sup> *Mihail Osipovici Dolivo-Dobrovolski*, născut în 1862, a fost eliminat din Institutul Politehnic de la Riga, de către guvernul autocrat țarist, pentru activitate revoluționară, și a plecat în străinătate, ca emigrant politic, unde a devenit unul din cei mai străluciți ingineri ai timpului. Tot el a inventat și motorul de curent alternativ trifazat, în forma care se păstrează și astăzi.



apărut metode noi de calcul și s-au construit an de an tunele aerodinamice și canale hidraulice din ce în ce mai perfecționate.

Am amintit în altă parte despre contribuția fundamentală a lui Jukovski, în domeniul aviației și al aerodinamicii.

Cît privește studiile de hidrodinamică, experimentale sau teoretice, rezultatele practice apar de la sine, prin dezvoltarea prodigioasă a turbinelor hidraulice moderne.

Grație unor studii migăloase și extrem de dificile, avioanele au depășit mai mult de două ori viteza sunetului în aer, iar descoperirea energiei nucleare ne face să întrevădem de pe acum justetea ideilor lui *Tiolkovski* asupra folosirii rachetei ca vehicul.

Cu titlu de informație, cele două tabele de mai jos ne arată cum a crescut viteza avioanelor și cît de repede s-au dezvoltat tunelele aerodinamice.

Tabela 4 a

## Viteza avioanelor

Anul	1906	1910	1913	1920	1934	1955
Viteza maximă (km/h) . . . . .	41	106	204	302	709	2 000

Nu avem informații asupra vitezei maxime atinse de rachete.

Tabela 4 b

## Tunele aerodinamice

Constructorul	Anul	Diametrul, în m	Viteza curentului, în m/s
Phipipps . . . . .	1884	0,25	18
La Cour . . . . .	1890	0,50	?
Renard . . . . .	1896	0,50	?
Stanton . . . . .	1903	0,60	9
Ribișușinski <sup>1)</sup> . . . . .	1906	1,20	6,50
Hiram Maxim . . . . .	1909	0,52	22
Rateau . . . . .	1909	0,70	35
Eiffel <sup>2)</sup> . . . . .	1909	2,00	20/12
Prandtl . . . . .	1909	1,96	10

Anul 1909 a adus aviației succesul trecerii peste Canalul Mincii (*Blériot*). De aici înainte tunelele aerodinamice au devenit așa de numeroase, încît nu mai pot fi menționate separat.

<sup>1)</sup> Construit în institutul lui Jukovski de la *Kucino*, lângă Moscova.

<sup>2)</sup> *Gustave Eiffel* (1832—1923), inginer francez, constructorul cunoscutului turn de la Paris și al primelor poduri metalice din lume.

Viteza curentului de aer a crescut mereu, ca să permită studiul mașetelor pentru avioane din ce în ce mai rapide. Nu avem datele tehnice asupra tunelelor de construcție recentă, dar se pare că în unele dintre ele se atinge viteza de 4000 km/h.

În legătură cu începuturile aviației, amintim cu mândrie succesele românilor *Aurel Vlaicu* și *Traian Vuia*.

Actualmente Institutul Politehnic din București este înzestrat cu un tunel aerodinamic modern, în care se fac cercetări sub conducerea Profesorului *E. Carafoli*, cunoscut ca specialist de o valoare deosebită, în domeniul aerodinamicii.

În hidrodinamică, cităm lucrările profesorului *Victor Vilcovici* făcute la Universitatea din Iași, apoi la Politehnica din Timișoara, asupra gîturii vinelor și antrenării fluidelor de către corpurile în rotație, precum și lucrările teoretice mai recente ale profesorului *Calus Iacob*, de la București.

În sfîrșit, mai amintim că Institutul Politehnic din Timișoara dispune de unul din cele mai complete laboratoare de mașini hidraulice din Sud-Estul Europei, organizat de profesorul *Aurel Birglăzan* și de colaboratorii lui.

## CAPITOLUL X

### FENOMENE MOLECULARE ÎN LICHIDE

§ 109. **Structura internă a lichidelor.** În § 81 am arătat că starea păstoasă și corpurile amorfe reprezintă o tranziție de la starea solidă, la cea lichidă.

Tot acolo am văzut că, în vreme ce la cristali poziția ionilor, atomilor sau moleculelor este dictată de o structură reticulară, care nu permite decît mișcări de vibrație de amplitudine mică, în jurul unei poziții de echilibru, la corpurile amorfe structura este mult mai labilă, de unde rezultă însușirile *plastice*.

Trecînd la lichide, studiul fenomenelor de difuziune, mult mai lente decît la gaze, cît și curgerea laminară, au dus la concluzia că și acolo există o regularitate relativă de structură internă, care dă totuși moleculelor o libertate mai mare de mișcare, decît la solide, dar mult mai mică decît la gaze.

**Lichidele fac tranziția între solide și gaze, iar moleculele lor se află în stări sedentare.**

După concepțiile profesorului *I. I. Frenkel* de la Leningrad, agitația termică în lichide se face astfel, încît fiecare moleculă vibrează, un timp limitat, în jurul unei poziții de echilibru provizoriu, ca după aceea să se mute, ca să continue vibrația în jurul altei poziții vecine. El numește o asemenea situație provizorie *stare sedentară*.

Desfășurarea acestor fenomene este consecința unei coeziuni, de sigur mai mici decât la solide, dar totuși destul de mare, în comparație cu gazele.

De aceea, *lichidele pot fi considerate ca o tranziție între starea solidă și cea gazoasă.*

Vom vedea mai târziu că, în anumite condiții de presiune și temperatură, trecerea unui lichid la starea gazoasă poate fi tot așa de continuă ca și trecerea unui solid, prin forma păstoasă, la starea lichidă.

În tot cazul, moleculele unui lichid nu rămân singulare, ci se leagă mai multe împreună, ca să formeze *asociații*, a căror mărime depinde de natura lichidului și de condițiile în care se află.

**Obișnuit, moleculele lichidelor formează asociații.**

Aceste asociații nu sînt definitive, fiindcă orice moleculă poate să părăsească, prin efectul agitației termice, grupul din care face parte, ca să treacă la grupul vecin, sau invers.

Pentru studiul acestor asociații moleculare trebuie să cităm și lucrările făcute la noi în țară de profesorul *Petru Bogdan*<sup>1)</sup>.

§ 110. **Ecuția lui Van-der-Waals.** Vorbind despre comprimarea izotermă a gazelor, am arătat, în § 97, că legea lui Boyle-Mariotte

$$pV = \text{const} \quad (97.1)$$

este numai aproximativă, dacă o aplicăm la gazele reale.

Abaterile constatate le-am interpretat prin acțiunea *coeziunii*, care ajută presiunea exterioară în procesul de comprimare, și prin existența *volumului propriu al moleculelor*, care, din contra, împiedică comprimarea, cînd a fost împinsă prea departe.

Abateri analoge apar și la comprimarea lichidelor și se datoresc aceluiași cauze.

<sup>1)</sup> *Petru Bogdan* (1873—1944), fost profesor la Universitatea din Iași, a introdus, pentru prima dată la noi în țară, studiul chimiei fizice. În dezvoltarea științei românești, el a jucat un rol important atît prin valoroasele lucrări proprii, cît și prin grupul de cercetători pe care l-a condus și animat.

De aceea, relațiile cunoscute

$$\frac{\Delta V}{V} = -\frac{p}{\chi} \quad (95.1)$$

și

$$\frac{\Delta V}{V} = -\frac{\Delta p}{p}, \quad (97.2)$$

în care intră modulii de compresibilitate  $\chi$ , pentru lichide, și  $p$ , pentru gaze, *nu sînt valabile decît în domenii restrinse de presiune*, fiindcă numai astfel acești moduli păstrează valori aproximativ constante.

În cele ce urmează vom căuta să stabilim o relație de interdependență a presiunii și volumului, care să fie valabilă în domenii mai largi, atît la gaze, cît și la lichide.

Să considerăm, deci, o moleculă care se găsește înglobată în interiorul fluidului (fig. 252). Ea este atrasă simultan de celelalte molecule dinprejur, dar rezultanta acestor atracții este nulă, din motive de simetrie.

Cu totul altă este situația pentru moleculele de la *periferia* fluidului, fiindcă aici nu mai există simetria și forțele de atracție tind să le tragă spre interior.

Ca urmare, *păturile superficiale exercită spre interior o presiune suplimentară  $\pi$ , care se adaugă la presiunea  $p$ , exercitată prin simpla comprimare.*

Este ușor de înțeles că această presiune suplimentară este direct proporțională cu numărul de molecule de pe unitatea de suprafață care *sufăr* atracția spre interior. Cum acest număr scade, cînd fluidul se destinde, presiunea este invers proporțională cu volumul.

Pe de altă parte, va trebui să considerăm și numărul de molecule care *exercită* această atracție și care de asemenea este invers proporțional cu volumul.

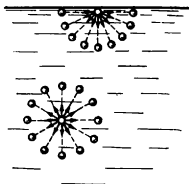


Fig. 252. Moleculele superficiale sînt atrase către interiorul lichidului.

Ca urmare, presiunea  $\pi$  fiind legată de două cantități invers proporționale cu volumul, va fi invers proporțională cu pătratul volumului, fiindcă aceste cantități intervin prin produsul lor.

Vom putea scrie, deci, că presiunea totală  $P$  este

$$P = p + \pi = p + \frac{a}{V^2},$$

unde  $a$  este un factor de proporționalitate, care depinde de natura fluidului.

Pe de altă parte, știind că moleculele sînt incompresibile și că au un volum propriu  $b$ , care nu participă la comprimare, va trebui să introducem și această corecție.

*Van-der-Waals* demonstrează că totul se petrece ca și cum moleculele ar interveni cu de patru ori volumul lor propriu, și această cantitate se numește covolum.

Comprimarea unui mol interesează, deci, numai volumul  $V - 4b$ .

Să ne întoarcem acum la legea lui Boyle-Mariotte. Experiența ne arată că, dacă ne servim de așa-numita scară absolută a temperaturilor, pe care le notăm cu  $T$ , produsul  $pV$ , care este constant la o temperatură dată, variază direct proporțional cu temperatura absolută<sup>1)</sup>.

În cazul particular, cînd cantitatea de gaz reprezintă o moleculă-gram, constanta de proporționalitate se notează cu  $R$  și avem

$$\boxed{pV = RT} \quad (110.1)$$

Cînd procesul este izoterm, temperatura fiind constantă, produsul  $RT$  este de asemenea constant.

Relația de față, cunoscută sub numele de *ecuația lui Mendeleev-Clapeyron*, formulează deci, implicit, și *legea lui Boyle-Mariotte*, pentru o moleculă-gram de gaz, la o temperatură dată.

$$pV = RT.$$

Din motive cunoscute, ea nu este valabilă decît cu aproximație

și în domeniul restrîns de presiune.

<sup>1)</sup> Amintim că scara absolută a temperaturilor începe la  $-273^\circ\text{C}$ .

Ca să o extindem la domenii mai largi, vom introduce corecțiile arătate mai sus și ajungem astfel la o expresie mai generală

$$\left( p + \frac{a}{V^2} \right) \cdot (V - 4b) = RT \quad (110.2)$$

Prin corecțiile făcute, care țin seama atât de presiunea suplimentară,

$$\left( p + \frac{a}{V^2} \right) (V - 4b) = RT$$

în care  $a/V^2$  reprezintă presiunea suplimentară,  $b$  este volumul moleculelor, iar  $4b$  covolumul.

datorită coeziunii, cât și de volumul real al moleculelor, această relație, cunoscută sub numele de *ecuația lui Van-der-Waals*<sup>1)</sup>, este valabilă atât la lichide cât și la gaze.

Domeniul ei de aplicare este mult mai larg decât al legii lui Boyle-Mariotte, dar și ea nu constituie decât altă aproximație, care ne apropie ceva mai mult de realitatea faptelor experimentale.

Presiunea suplimentară  $a/V^2$ , aplicată pe toată suprafața fluidului, dă naștere la forțe, pe care le numim *forțele lui Van-der-Waals*.

La gaze, în condiții normale, această presiune moleculară este foarte mică și practic neglijabilă. Dar dacă gazul trece în starea lichidă, aceeași cantitate de substanță se îngămădește într-un spațiu mult mai redus și forțele lui Van-der-Waals pot să atingă valori enorme.

La apă, de pildă, unde constanta

$$a = 5,47 \frac{\text{at} \cdot \text{l}^2}{\text{mol}}$$

și

$$V = 18 \text{ cm}^3 = 0,018 \text{ l.}$$

găsim că

$$\pi = \frac{a}{V^2} = \frac{5,46}{0,018^2} \approx 17\,000 \text{ at.}$$

Presiunile pe care poi le exercităm, obișnuit, asupra lichidelor sînt aproape neglijabile, în raport cu presiunile moleculare. De aceea, lichidele ne par atât de puțin compresibile.

<sup>1)</sup> *Johannes Dietrich Van-der-Waals* (1837--1923), fizician olandez, fost profesor la *Amsterdam*, apoi la *Berlin*. Este titular al premiului Nobel.

§ 111. **Tensiunea superficială.** Comprimarea pe care o exercită forțele moleculare, prin pătura superficială, asupra unui lichid. implică, evident, existența unei *energii potențiale*.

**Energia potențială** minimă impune ca o picătură de lichid să ia forma sferică, de stabilitate maximă.

Dacă lichidul este izolat în spațiu, sub formă de picături, *condiția de echilibru stabil impune ca aceste picături să ia forma sub care energia potențială atinge cea mai mică valoare posibilă.*

Dar cum presiunea moleculară depinde de numărul de molecule de la suprafață, înseamnă că suprafața însăși trebuie să tindă către valoarea minimă.

Dintre toate corpurile geometrice, sfera are, la un volum dat, cea mai mică suprafață. De aceea, și *picăturile vor tinde către forma sferică.*

Experiența confirmă în totul această concluzie, nu numai la picăturile mici, dar și la masele enorme ale corpurilor cerești, indiferent dacă sînt în stare lichidă sau gazoasă.

Cînd o cantitate mai mare de lichid se sprijină pe un suport rigid, acțiunea greutății proprii nu mai permite forma de echilibru sferică și lichidul curge sau ia forma vasului.

În aceste condiții, nici picăturile nu mai păstrează forma sferică, ci se turtesc sau aderă și se întind pe suprafața de sprijin.

Dacă le punem în alt lichid, de densitate egală, ales așa ca să nu le dizolve, rămîn mai departe sferice.

Verificarea o putem face cu picături de untdelemn, într-un amestec de apă și alcool.

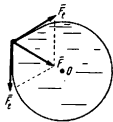


Fig. 253. Tensiunea superficială acționează tangențial.

Să ne închipuim acum că o forță exterioră deformează suprafața unei picături și îndepărtează de centru un grup de molecule (fig. 253).

Imediat ce acțiunea deformantă încetează, forța moleculară  $\bar{F}$ , prin componentele tangențiale  $\bar{F}_t$  tinde să restabilească forma inițială.

Totul se petrece, deci, ca și cînd lichidul ar fi îmbrăcat într-o membrană sub tensiune care, prin contracție, tinde să ia suprafața cea mai mică posibilă și a cărei deformare face să apară forțe tangențiale de opunere.

**Tensiunea superficială** este rezultanta pe unitatea de lungime a forțelor tangențiale la suprafața lichidului. Ea se exprimă în dyne pe centimetru.

Următoarele experiențe învederează destul de clar acțiunea tensiunii superficiale:

1) Dacă introducem un cadru de sîrmă într-o soluție apoasă de săpun, amestecată cu glicerină, constatăm, cînd îl scoatem afară, că în interiorul lui s-a format o lamă subțire de lichid (fig. 254).

Un fir de ață, legat cap la cap și aruncat pe această lamă, se lipește de dînsa, prin adeziune, și formează o figură cu conturul neregulat. Dar, spargem lama, porțiunea exterioară caută să-și reducă suprafața la minimum și se contractă, iar firul ia forma circulară.

Este evident că, deoarece lama are două fețe, tensiunea superficială acționează deopotrivă pe amîndouă.

2) Un balon de săpun, format la capătul unui tub, se contractă și expulzează aerul din el, sub acțiunea tensiunii superficiale, care și de astă dată se exercită pe ambele fețe.

3) O vîină foarte subțire de apă, care curge încet de la robinet, nu rămîne cilindrică, ci se strînge în picături, tot ca să-și reducă suprafața la minimum.

4) Bulele de aer care se ridică spre suprafața unui lichid, adesea nu izbutesc să se degaje, fiindcă presiunea din ele nu este suficientă ca să spargă membrana superficială. Așa se explică formarea spumei.

5) Din același motiv, putem face să plutească ace de cusut pe suprafața apei, dacă le așezăm cu băgare de seamă, și unele insecte ușoare se plimbă pe suprafața lacurilor, fără să se cufunde.

**1. Lucrul mecanic al tensiunii superficiale.** Prin definiție, am numit tensiune superficială rezultanta forțelor tangențiale, care acționează perpendicular pe unitatea de lungime, la suprafața unui lichid.

*Aceste forțe, totalizate pe unitatea de lungime, reprezintă tensiunea superficială, care se notează obișnuit cu  $\gamma$  și se exprimă în dyn/cm.*

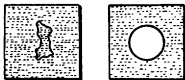


Fig. 254. Pelicule lichide.

**Tensiunea superficială** reprezintă energia absorbită cînd suprafața unui lichid ar crește cu un centimetru pătrat.

Aceasta înseamnă că, pe o lungime oarecare  $l$ , forța superficială va fi

$$F = \gamma l \quad (111.1)$$



Să presupunem acum că o cauză exterioară a mărit suprafața lichidului, așa fel încît porțiunea marginală, de lungime  $l$ , s-a deplasat paralel cu ea însăși, pe distanța  $\Delta x$  (fig. 255).

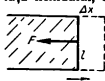


Fig. 255. Tensiunea superficială definită prin lucrul mecanic.

Se absoarbe atunci lucru mecanic, și energia potențială a sistemului crește cu cantitatea

$$\Delta W = F \cdot \Delta x = \gamma l \cdot \Delta x = \gamma \cdot \Delta S,$$

unde  $\Delta S$  reprezintă creșterea ariei.

De aici rezultă că

$$\boxed{\gamma = \frac{\Delta W}{\Delta S}} \quad (111.2)$$

Această relația ne arată că *tensiunea superficială este egală cu creșterea energiei potențiale, când suprafața unui lichid s-ar mări cu un centimetru pătrat.*

**Tensiunea superficială se poate exprima și în  $\text{erg/cm}^2$ .**

Rezultă că *tensiunea superficială poate fi exprimată nu numai în  $\text{dyn/cm}$ , dar și în  $\text{erg/cm}^2$ .*

Este ușor de constatat că dimensiunile ambelor unități sînt aceleași.

A doua unitate este avantajoasă numai în cazurile cînd vrem să cunoaștem variațiile de energie legate de variațiile suprafeței.

Obișnuit, se întrebuițează mai mult unitatea statică  $\text{dyn/cm}$ .

Faptul că energia potențială crește, cînd se mărește suprafața, ne duce la concluzia că pulverizarea unui lichid în picături mărune implică o absorbție de energie, care se face pe socoteala căldurii proprii, iar, ca urmare, lichidul se răcește.

Contrariul se întîmplă dacă mai multe picături mărune se unesc în una mare. Eliberarea de energie potențială duce atunci la o situație mai stabilă decît înainte.

**2. Influența mediului vecin.** În cele discutate pînă acum am considerat lichidul ca izolat, făcînd abstracție de mediul care vine în contact cu suprafața lui.

**Presiunea moleculară și tensiunea superficială depind de natura mediului în contact cu suprafața lichidului.**

Ca urmare, după mărimea și gradul de îndesire a moleculelor din exterior, *atît presiunea moleculară, datorită forțelor lui Van-der-Waals, cît și tensiunea superficială a lichidului, trebuie să sufere o scădere.*

Experiența confirmă în totul această concluzie și de aceea valorile numerice trebuie să fie totdeauna însoțite de specificarea mediului de contact.

**3. Determinarea tensiunii superficiale.** Dintre metodele cunoscute vom descrie numai două:

1) **Metoda balanței.** Sub talgerul unei balanțe atîrnăm un fir subțire și rectiliniu de metal, cu capetele îndoite în jos, așa cum arată fig. 257.

După ce echilibrăm balanța, aducem firul în contact cu lichidul, pe toată lungimea lui, și dacă încercăm să-l ridicăm se formează sub el o membrană lichidă.

Încercînd balanța de cealaltă parte cu greutateți etalonate  $mg$ , membrana se va rupe în momentul cînd

$$2\gamma l = mg,$$

unde  $l$  este lungimea firului, pe care am luat-o de două ori, fiindcă membrana are două fețe.

2) **Metoda picăturilor** este folosită mai ales în laboratoarele de biologie. Ea ne permite să comparăm o tensiune superficială cunoscută, cu alta necunoscută și se bazează pe următorul principiu:

Intr-o pipetă introducăm un volum cunoscut de lichid și-l lăsăm să curgă picătură cu picătură (fig. 258).

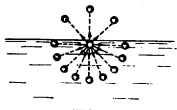


Fig. 256. Mediul vecin modifică tensiunea superficială.

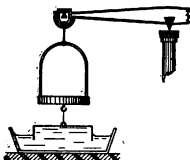


Fig. 257. Determinarea tensiunii superficiale cu balanța.

Fiecare din aceste picături se rupe și cade în momentul cînd greutatea proprie  $mg$  ajunge să egaleze acțiunea tensiunilor superficiale, care se desfășoară pe toată periferia  $2\pi r$  a orificiului de curgere.

Vom avea, deci,

$$2\pi r\gamma = mg$$

și pentru alt lichid

$$2\pi r'\gamma' = m'g.$$

Aceste relații, împărțite membru cu membru, ne dau

$$\frac{\gamma}{\gamma'} = \frac{m}{m'}.$$

Masele picăturilor se pot calcula ușor, dacă înmulțim volumul pipetei cu densitatea lichidului și împărțim prin numărul lor total.

Totul se reduce, deci, la numărarea picăturilor care se formează dintr-un volum cunoscut de lichid.

Metoda este puțin precisă, fiindcă picăturile de lichide diferite se gîtuie neegal, în momentul detașării de la gura tubului.

Biologii numesc acest aparat *stalagmometru*. Este mai simplu să-l zicem *numărător de picături*.

Tabela de mai jos dă tensiunile superficiale la cîteva lichide, față de medii diferite, la temperatura de  $+20^{\circ}\text{C}$ .

Datele sînt exprimate în dyne pe centimetru.

Tabela 5

Lichidul	Mediul	Tensiunea superficială
Apă	Aer	73,5
Apă	Benzen	33,6
Apă	Cloroform	29,5
Apă	Eter	12,2
Apă	Untdelemn	20,6
Mercur	Aer	540
Mercur	Alcool	399
Untdelemn	Aer	aproximativ 34
Eter	Aer	29,4
Glicerină	Aer	65

§ 112. **Presiunea sub o suprafață curbă de lichid.** Să considerăm o porțiune limitată din suprafața liberă a unui lichid, care poate fi convexă sau concavă, și să facem abstracție de suprafețele vecine (fig. 259).

Acțiunea tensiunilor superficiale tinde să reducă această suprafață la minimum posibil permis de situație și, dacă poate, o va aduce pînă la forma plană.

După sensul în care se orientează aceste tendințe, vor apare pe suprafața dată *forțe normale*, care apasă asupra lichidului, sau trag spre exterior, așa cum arată figura.



Fig. 259. Presiunea pe suprafața curbă a lichidului.

*La o suprafață convexă, ele vor da naștere unei presiuni suplimentare, iar la una concavă se va produce, din contra, o depresiune, care se vor adăuga algebric la orice altă presiune ce ar exista în lichid.*

Sub o suprafață convexă apare o presiune asupra lichidului, iar sub una concavă, o depresiune.

Să considerăm acum cazul cel mai simplu, cînd lichidul se mărginește cu o calotă sferică, de exemplu convexă, din care vom izola o porțiune de rază  $r$ , destul de mică pentru ca suprafața ei să poată fi confundată cu a cercului de bază (fig. 260).

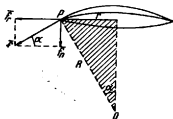


Fig. 260. Pentru calcularea presiunii suplimentare pe suprafața curbă a lichidelor.

După însăși definiția tensiunii superficiale, pe fiecare centimetru liniar al conturului acestei mici calote acționează o forță tangențială  $\bar{f}$ , numeric egală cu  $\gamma$ .

Această forță dă naștere la o componentă  $\bar{f}_r$ , care trage în lungul razei  $r$ , și unei a doua componente,  $\bar{f}_n$ , de valoare numerică

$$f_n = f \sin \alpha = \gamma \sin \sigma,$$

orientată normal pe baza calotei și care contribuie la formarea presiunii suplimentare.

Pe întregul contur vom avea, deci, forța normală

$$F_n = 2\pi r \gamma \sin \alpha.$$

Pe de altă parte, triunghiul hașurat ne arată că

$$\sin \alpha = \frac{r}{R}.$$

în care  $R$  este raza sferei din care face parte calota.

Rezultă că

$$F_n = \frac{2\pi r^2 \gamma}{R}.$$

pe care, dacă o raportăm la aria  $\pi r^2$ , găsim presiunea suplimentară:

$$\boxed{p = \frac{2\gamma}{R}}. \quad (112.1)$$

Ea ne arată că *lichidul suferă o presiune sau depresiune cu atât mai mare, cu cât raza de curbură a suprafeței este mai mică, iar în cazul când suprafața poate să atingă forma plană, această presiune se anulează.*

Presiunea suplimentară este invers proporțională cu raza de curbură a suprafeței.

Menționăm că aici este vorba numai de o *presiune suplimentară, legată de forma suprafeței libere*, pe care nu trebuie să o confundăm cu presiunile exercitate de forțele lui Van-der-Waals, care sînt incomparabil mai mari.

Pentru exemplificare, dacă ne raportăm la cazul unei picături de apă, cu raza de 0,2 cm și tensiunea superficială 73 dyn/cm, găsim presiunea suplimentară

$$p = \frac{2\gamma}{R} = \frac{2 \cdot 73}{0,2} = 730 \text{ baryi.}$$

Un control experimental calitativ se poate face cu două baloane de săpun, formate la capetele unui tub.

Contrar de ce ne-am aștepta, la o simplă examinare superficială, presiunea aerului dinăuntru baloanelor nu este aceeași, iar *balonul mai mic se descarcă în cel mare.*

**§ 113. Adeziunea lichidelor, capilaritate.** În hidrostatică, am considerat suprafața liberă a unui lichid, într-un vas, ca orizontală, fiindcă nu am ținut seamă de forțele moleculare ce pot să apară între pereții vasului și lichid.

O examinare mai atentă ne arată însă că, în imediata vecinătate a pereților, foarte rar se întâmplă ca suprafața lichidului să rămână plană. Obişnuit, ea se curbează și capătă fie o formă *convexă*, fie una *concavă*.

Vom spune atunci că s-a format un *menisc* (fig. 261).

Tot observația directă ne arată că *meniscul este concav la lichidele care udă pereții* (de pildă la apă, în vas de sticlă, sau la mercur în vas de cositor) și *convex la lichidele care nu-i udă* (de pildă la apă, în vas de parafină, sau la mercur, în vas de sticlă).

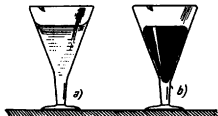


Fig. 261. Meniscul concav și meniscul convex.

Fenomenul se datorește acțiunii combinate a forțelor de *coeziune*, adică de atracție dintre moleculele lichidului, și de *adeziune*, adică de atracția exercitată de moleculele pereților.

Pentru o mai bună înțelegere, să considerăm forma suprafeței libere, în imediata apropiere a peretelui (fig. 262).

La lichidele care udă pereții, meniscul este concav, iar la celelalte convex. Faptul se datorește acțiunii suprapuse a coeziunii și adeziunii.

Din motive de simetrie, rezultanta forțelor de coeziune, îndreptată spre *interior*, se va orienta după bisectoarea unghiului format între suprafață și perete.

Pe figură am notat-o cu  $\bar{F}_c$ .

Ea se compune cu rezultanta forțelor de adeziune  $F_a$ , perpendiculară pe perete, orientată spre *exterior*.

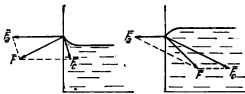


Fig. 262. Formarea meniscului.

Din compunere rezultă forța totală  $\bar{F}$ , față de care, la echilibru, suprafața lichidului trebuie să ia poziția perpendiculară.

Totul depinde, prin urmare, de raportul de forțe dintre cele două acțiuni contrare.

1. *Lichidele în tuburi capilare.* O consecință imediată a acestor fenomene o constituie abaterea de la principiul vaselor comunicante, ce o putem constata la tuburile de diametru mai mic, pe care le numim *capilare*.

În astfel de tuburi, cufundate într-un lichid care *udă pereții*, meniscul se urcă *mai sus* decât în exterior.

*Contrariul* se întâmplă, când lichidul *nu udă pereții* (fig. 263).



Fig. 263. Lichide în tuburi capilare.

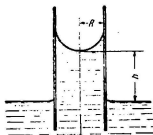


Fig. 264. Pentru deducerea legii lui Jurin.

Să luăm ca exemplu *un lichid care udă pereții* și, pentru simplificare, să admitem că raza  $R$  a tubului este așa de mică, încât meniscul să capete forma unei semisfere concave, reprezentată în fig. 264.

Relația (112.1) ne spune că, în acest caz, lichidul suferă o *depresiune*, care tinde să-l ridice în tub, pînă la înălțimea  $h$ , la care presiunea hidrostatică a coloanei ajunge să echilibreze această depresiune.

Vom avea deci

$$\rho g h = \frac{2\gamma}{R}, \quad (113.1)$$

iar pentru alt tub, de rază  $R_1$ , și *același lichid*,

$$\rho g h_1 = \frac{2\gamma}{R_1}.$$

Aceste două relații, împărțite membru cu membru, ne dau

$$\frac{h}{h_1} = \frac{R_1}{R} \quad (113.2)$$

Această relație simplă exprimă *legea lui Jurin*<sup>1)</sup> și ne spune

Pentru un lichid dat, denivelarea este invers proporțională cu raza tubului capilar.

că, pentru unul și același lichid, diferența de nivel a meniscului, față cu exteriorul, este invers proporțională cu raza tubului capilar.

Ea se mai poate scrie și sub forma

$$Rh = \text{const.} \quad (113.2 a)$$

iar dacă reprezentăm variația diferenței de nivel  $h$  în funcție de raza tubului, căpătăm o ramură de hiperbolă echilaterală, raportată la asimptotele ei.

Experiența ne arată, în adevăr, că, prin cufundarea în lichid a două lame de sticlă plane, care fac între ele un unghi destul de mic, putem să materializăm această hiperbolă, fiindcă meniscul capătă forma arătată în fig. 265.

Mai menționăm că relația scrisă mai sus

$$\rho gh = \frac{2\gamma}{R}$$

ne permite să determinăm tensiunea superficială din simpla măsură a razei tubului și a denivelării  $h$ .

În viața de toate zilele, întâlnim numeroase manifestări ale capilarității: urcarea umezelii prin pereți, ridicarea sevei în plante, pătrunderea cernelii în hîrtia sugativă, trecerea singelui prin vasele capilare sînt numai cîteva exemple.

Rața nu-și udă penele, fiindcă sînt grase și apa nu intră în ele. Dar dacă o punem să înnoate pe apă cu săpun, sau pe apă cu fiere de bou, se duce la fund, fiindcă grăsimea se dizolvă.

Experiența este deosebit de amuzantă pentru noi, dar cît se poate de surprinzătoare pentru rața.

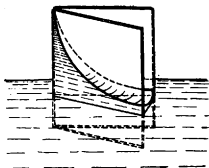


Fig. 265. Înălțimea coloanei este invers proporțională cu distanța plăcilor.

<sup>1)</sup> James Jurin (1684—1750), medic și matematician englez.



**2. Flotația minereurilor.** Industria metalurgică folosește un procedeu deosebit de ingenios pentru separarea minereurilor: *flotația* cu care se tratează anual milioane de tone.

Sistemul se bazează pe fenomenele de *adeziune selectivă*.

Flotația permite separarea minereurilor și se bazează pe adeziunea selectivă.

Unele minereuri, de pildă sulfurile, manifestă o adeziune mai mare pentru uleiuri decât pentru apă. Altele, cum ar fi silicații, aderă mai bine la apă acidulată.

Un amestec de sulfuri și silicați, pus în ulei și supus barbotării, printr-un curent de aer, formează o spumă care plutește și cară la suprafață numai sulfurile.

Obişnuit se foloseşte uleiul extras din acele de pin.

**3. Adsorbția** este un caz particular de adeziune al gazelor sau vaporilor, pe suprafețele solide. Pătura adsorbită are o grosime de dimensiuni moleculare.

Adsorbția este un fenomen molecular de fixare a gazelor și vaporilor pe suprafețele solide.

Fenomenul are aplicații numeroase, între altele la măștile de gaz cu cărbune activ. Ele au fost inventate în 1915, de către chimistul rus

N. D. Zelinski <sup>1)</sup> și adoptate în toată lumea, pentru apărarea populației civile și a trupelor împotriva atacurilor cu gaze.

Cărbunele activ este un cărbune vegetal, provenit din cojile de nucă și supus unui tratament special, la 800—900 °C, cu clorură de zinc sau cu acid fosforic, în vapori de apă.

Granulele devin atunci foarte poroase și capătă o suprafață enormă, iar adsorbția poate să fixeze pînă la un litru de clor gazos, pentru fiecare gram de cărbune.

Aceste fenomene au și aplicații vaste, pe scară industrială, mai ales la decolorări, fiindcă moleculele substanței colorante sînt adsorbite ca și moleculele gazoase.

Se foloseşte atunci, de preferință, cărbune de oase.

În vopsirea fibrelor textile, procesul este în totul analog.

*Adsorbția este un fenomen de suprafață, pe care nu trebuie să-l confundăm cu absorbția, care se petrece în adîncime.*

<sup>1)</sup> Nikolai Dmitrievici Zelinski (1861—1953), fost profesor de chimie organică la Universitatea din Moscova.

4. *Pături monomoleculare.* Dacă răspîndim, pe suprafața unui lichid, un alt lichid care plutește, tensiunea superficială este dictată de pătura superioară.

Putem face însă ca această pătură să devină atît de subțire, încît să conțină un singur strat de molecule. De aici înainte, dacă o întindem mai departe, găsim tensiunea superficială a lichidului-suport.

Determinarea acestei limite ne permite astfel să măsurăm dimensiunile moleculelor, fiindcă grosimea păturii poate fi calculată cînd cunoaștem volumul substanței răspîndite și suprafața ocupată.

Această metodă, folosită la acizii grași de către *Langmuir*<sup>1)</sup>, a dus la rezultate în perfectă concordanță cu concepțiile chimiștilor despre structura moleculară a acestor substanțe.

Pe de altă parte, *Jean Perrin*<sup>2)</sup>, studiind colorațiile ce apar pe lame lichide foarte subțiri, cum sînt baloanele de săpun, a stabilit că aceste lame sînt formate din pături monomoleculare suprapuse și trec prin salturi, de la o grosime la alta.

Aceasta i-a permis de asemenea o determinare directă a măririi moleculelor.

---

<sup>1)</sup> *Irving Langmuir* (n. 1881), fizician și chimist american, cunoscut mai ales pentru cercetarea fenomenelor în vidul înalt.

<sup>2)</sup> *Jean Perrin* (1870—1942), fost profesor la Facultatea de Științe din Paris, titular al premiului Nobel. S-a distins prin cercetări fundamentale asupra dimensiunilor atomului și a evidențierii lui directe, pe cale fizică. A cercetat de asemenea structura razelor catodice.

# PARTEA A TREIA

## CĂLDURA ȘI TERMODINAMICA

---

### CAPITOLUL XI

#### TERMOMETRIE, DILATARE

##### A. Fenomene fundamentale

§ 114. **Noțiunea de temperatură.** Cînd pipăim corpurile din jurul nostru ne dăm seama că unele sînt mai calde și altele mai reci. Căpătăm astfel noțiunea de *temperatură* și zicem că această temperatură este cu atît mai ridicată, cu cît corpul pare mai cald.

Noțiunea de temperatură izvorăște din senzația de cald și rece.

Dar aprecierea temperaturii, prin simplă atingere directă, nu se poate face exact, fiindcă, de fapt, apreciem numai diferența față de

temperatura mîinii, care poate să varieze.

De altfel, cînd un corp este fie prea cald, fie prea rece, nu ne mai putem da seama de temperatura lui, fiindcă frigul intens, ca și căldura intensă, produc aceeași senzație dureroasă de arsură.

Putem face însă ca aprecierea subiectivă a temperaturii să devină obiectivă, dacă o legăm de anumite fenomene fizice, la care participăm ca simpli spectatori.

§ 115. **Dilatarea corpurilor.** Printre numeroasele fenomene care ne permit să măsurăm variațiile de temperatură și să comparăm două temperaturi date, cele mai comune sînt *fenomenele de dilatare*, prin care aproape toate

Variația temperaturii schimbă dimensiunile corpurilor.

corpurile își măresc dimensiunile, cînd le încălzim.

1) *La solide*, dilatarea poate fi observată calitativ cu o bară de metal mai lungă, sau cu o sîrmă, pe care o fixăm la un capăt și punem la celălalt capăt un indicator și o scală gradată (fig. 266).

Eventual se poate folosi și un sistem de pîrghii, care să amplifice deplasarea capătului liber.

De asemenea, putem încălzi o sferă metalică, dimensionată așa ca, la rece, să treacă exact printr-un inel, și constatăm atunci că, după încălzire, nu mai trece (fig. 267).

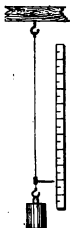


Fig. 266. Dilatarea unei sârme.

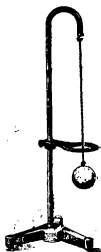


Fig. 267. Sfera dilatată nu mai trece prin inel.

Există și unele excepții rare, de pildă la cauciuc sau la iodura de argint, care se contractă prin încălzire, în loc să se dilate.

În alte cazuri, de pildă la cuarț sau la unele aliaje speciale de fier și nichel, dilatarea este aproape neglijabilă.

2) *La lichide*, putem evidenția dilatarea încălzind cu mina un balon, prevăzut cu un tub capilar (fig. 268).

3) *La gaze*, putem folosi același balon, pe fundul căruia se găsește o mică cantitate de lichid (fig. 269).

Atât la lichide, cât și la gaze va trebui să facem distincție între *dilatarea proprie*, pe care o numim *absolută*, și *dilatarea relativă* sau *aparentă*, mai mică decât precedenta, din cauza dilatării vasului.

**§ 116. Termometre, puncte fixe.** Orice aparat care ne servește să măsurăm temperatura este, prin definiție, un termometru.

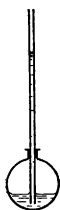


Fig. 268.  
Dilatarea  
unui lichid.



Fig. 269. Di-  
latarea unui  
gaz.



Fig. 270. Umplerea unui termometru.

Cele mai obișnuite sînt termometrele care se bazează pe dilatarea lichidelor.

Ele se compun dintr-un rezervor de sticlă, terminat cu un tub capilar gradat. Lichidul din rezervor poate fi apă, alcool, petrol etc., dar cel mai întrebuițat este mercurul.

Ca să-l introducem înăuntru, încălzim rezervorul și obligăm o parte din aer să iasă afară, prin dilatare (fig. 270).

Cufundăm apoi capătul deschis în lichid și așteptăm ca vidul parțial, produs prin răcire, să-l tragă înăuntru.

Operația se repetă de mai multe ori, pînă ce se atinge nivelul dorit.

După aceea, topim la flacără vîrfurile capilare și o închidem definitiv.

Eventuale urme de aer, ce ar mai rămîne în capilară, nu deranjează cu nimic funcționarea corectă. Uneori avem chiar interesul să le păstrăm, sau să introducem un gaz inert, de exemplu azot, fiindcă ridicarea presiunii, prin comprimarea gazului, mărește temperatura de fierbere a lichidului și extinde scara termometrului.

Termometrul, o dată construit, trebuie gradat. După diferite încercări făcute în cursul vremurilor s-au ales anumite tempera-

turi, pe care le putem reproduce cu ușurință și folosi ca puncte de reper.

Disponem astfel, pentru gradare, de așa-numitele *puncte fixe* ale scării termometrice.

*Unul dintre ele este temperatura de topire a gheții, iar celălalt temperatura vaporilor de apă, când aceasta fierbe sub presiunea normală.* Au fost alese prin convenție.

Distanța pe capilară, între punctele fixe, se împarte după aceea în părți egale, al căror număr depinde de alte convenții, care definesc trei tipuri curențe de scări termometrice.

a) *Scara lui Fahrenheit* <sup>1)</sup> marchează  $+212^{\circ}$  la punctul de fierbere al apei și  $+32^{\circ}$  la punctul de topire al gheții. Folosirea ei nu s-a generalizat în viața curentă, decât în Olanda, în Anglia și în Statele Unite ale Americii.

b) *Scara lui Réaumur* <sup>2)</sup> marchează  $+80^{\circ}$  la punctul de fierbere al apei și  $0^{\circ}$  la punctul de topire al gheții.

c) *Scara lui Celsius* <sup>3)</sup>, numită și *centesimală* sau *centigradă*, marchează  $0^{\circ}$  la punctul de topire al gheții și  $+100^{\circ}$  la punctul de fierbere al apei.

Fiind legată de sistemul zecimal de numărare, s-a generalizat atât în viața curentă, cât și în cercetările de laborator.

**Fahrenheit:**  $32^{\circ}$ — $212^{\circ}$

**Réaumur:**  $0^{\circ}$ — $80^{\circ}$

**Centesimal:**  $0^{\circ}$ — $100^{\circ}$

Temperaturile se notează cu semnul  $t^{\circ}$ , urmat de inițiala majusculă a scării la care se referă.

Fig. 271 reprezintă comparativ cele trei scări amintite.

Prin extrapolare, le putem prelungi și în afara punctelor fixe.

*Convențional, temperaturile sub  $0^{\circ}$  se consideră negative.*

Relațiile de mai jos ne permit să trecem cu ușurință de la o scară la alta:

$$t^{\circ}\text{C} = \frac{4}{5} t^{\circ}\text{R} = \left( \frac{9}{5} t^{\circ} + 32^{\circ} \right) \text{F},$$

$$t^{\circ}\text{R} = \frac{5}{4} t^{\circ}\text{C} = \left( \frac{9}{4} t^{\circ} + 32^{\circ} \right) \text{F},$$

$$t^{\circ}\text{F} = \frac{5}{9} (t^{\circ} - 32^{\circ}) \text{C} = \frac{4}{9} (t^{\circ} - 32^{\circ}) \text{R}.$$

<sup>1)</sup> *Gabriel Daniel Fahrenheit* (1685—1736), fizician german. A folosit, se pare, pentru prima dată mercurul, în locul alcoolului la termometre.

<sup>2)</sup> *Antoine de Réaumur* (1683—1757), fizician și naturalist francez.

<sup>3)</sup> *Andrea Celsius* (1701—1744), fizician suedez, născut la Upsala.

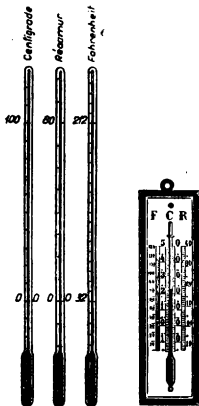


Fig. 271. Scările termometrice.

*Temperatura este o mărime scalară și de aceea punctul de plecare, notat cu  $0^{\circ}$ , poate fi ales numai prin convenție.*

**Temperatura este o mărime scalară. Dimensiunile ei sînt grad.**

Ea nu poate fi definită cu ajutorul sistemelor de unități cunoscute și de aceea i se atribuie o dimensiune specială *grad*, oriunde o

vedem apărînd într-o relație oarecare.

*Termometre speciale.* Tipul obișnuit de termometru descris mai sus, poate să sufere diverse adaptări sau perfecționări.

Vom descrie deci cîteva tipuri particulare.

a) *Termometre pentru temperaturi joase.* Mercurul îngheață la  $-39^{\circ}\text{C}$ . De aici înainte va trebui să folosim alte lichide, de pildă: *alcoolul* și *toluenul*, pînă pe la  $-100^{\circ}\text{C}$ , apoi *eterul de petrol* și *pentanul lichid*, pînă pe la  $-190^{\circ}\text{C}$ .

b) *Termometre pentru temperaturi mai înalte.* Sub presiunea normală, mercurul fierbe la  $+357^{\circ}\text{C}$ . Ca să-l împiedicăm să fiarbă, introducem în capilară dioxid de carbon sau azot sub presiune. În felul acesta, termometrul cu mercur poate fi folosit pînă pe la  $+750^{\circ}\text{C}$ , cu condiția să înlocuim sticla ordinară cu sticlă greu fuzibilă sau cu cuarț.

La asemenea temperaturi, presiunea din interior poate să atingă 100 at, de unde pericol de explozie.

c) *Termometre de maximă și minimă.* Mai ales în observațiile meteorologice avem interesul să cunoaștem cea mai înaltă și cea mai joasă temperatură, atinse într-un interval de timp dat.

Folosim atunci termometre speciale, numite de maximă și de minimă.



Fig. 272. Termometre de maximă și minimă.



Fig. 273. Termometrul medical.

*Pentru maximă*, termometrul este umplut cu mercur și are în capilară un mic bastonaș de sticlă colorată, în care s-a înglobat o sîrmă de fier (fig. 272, a).



Ridicarea mercurului îl împinge înainte, iar coborîrea îl lasă pe loc. După un timp oarecare, vom găsi deci bastonașul la diviziunea maximă, la care l-a dus coloana.

Pentru *minimă*, termometrul se umple cu alcool, iar bastonașul se află sub nivelul meniscului din capilară (fig. 272, b).

Cînd coloana se contractă, îl trage în jos, prin capilaritate, iar cînd se urcă îl lasă pe loc.

Cu un magnet, putem deplasa din exterior și după voie bastonașele, dacă vrem să reluăm observațiile de la capăt.

Aceste termometre se așază în poziție orizontală, pentru ca bastonașele să nu se miște sub acțiunea greutății proprii.

d) *Termometrul medical*. Este tot un termometru de maximă, gradat în zecimi de grad, cu scara limitată între  $+36$  și  $+42^{\circ}\text{C}$ .

Tubul are în a o gîtușură (fig. 273).

Cînd mercurul se dilată, coloana se ridică pînă la înălțimea dictată de temperatura corpului. Cînd luăm termometrul de la bolnav, ea se rupe în dreptul gîtușurii și rămîne atîrnată în capilară. Ca să o coborîm înapoi în rezervor, e destul să scuturăm termometrul.

e) *Termometre de precizie*. Dacă facem capilara cît mai îngustă și rezervorul cît mai mare, termometrul cu mercur ne permite să apreciem zecimile, sutimile și chiar miimile de grad.

Scara acestor termometre nu cuprinde însă decît un domeniu cu atît mai restrîns, cu cît se cere o precizie mai mare. Ne servim atunci de *serii de termometre*, la care scările merg în continuare.

Cînd nu ne interesează decît *variațiile de temperatură*, ne servim de termometre speciale, unde cantitatea de mercur din rezervor poate fi modificată după voie, îndoind în jos capătul capilariei și adăugînd acolo un al doilea rezervor suplimentar (fig. 274). În felul acesta putem folosi un singur termometru, în orice domeniu mai restrîns de temperatură.

Acestea sînt termometrele de tipul *Beckmann*, utilizate curent în laborator.

Folosirea termometrelor de precizie implică anumite corecții și măsuri de precauție speciale.

În primul rînd, trebuie să ținem seamă de faptul că sticla însăși păstrează totdeauna o *dilatație remanentă*, la variațiile de temperatură mai mari și uneori se contractă chiar spontan, într-un timp mai îndelungat, ceea ce aduce o deplasare a punctelor fixe.

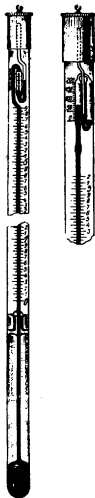


Fig. 274. Termometrul Beckmann.

Punctul zero va trebui deci să fie controlat din cînd în cînd, prin cufundare în apă cu gheață.

În al doilea rînd, este evident că indicațiile citite vor fi altele dacă încălzim numai rezervorul, sau atît rezervorul cît și capilara. Încernăm să introducem, eventual, o nouă corecție, care să țină seamă de dilatarea capilarei.

La termometrele foarte precise ni se indică de obicei nivelul la care trebuie să fie cufundate și se folosește o sticlă specială, cu remanente mici la dilatație. Aceasta nu ne scutește însă de obligația de a le verifica periodic.

Dacă gradația unui termometru se întinde prea mult peste  $+100^{\circ}$ , sau sub  $0^{\circ}$ , simpla extrapolare în afara acestor limite ar duce la erori destul de mari.

Gradarea se face atunci cu ajutorul unor substanțe pure, la care temperatura de fierbere sau de topire s-a determinat prin alte metode speciale.

Dăm mai jos cîteva din aceste puncte fixe.

a) *Temperaturi de topire* (în grade centigrade)

Mercur . . . . .	— 38,50	Argint . . . . .	+ 960,5
Staniu . . . . .	+ 231,85	Aur . . . . .	+ 1 063
Cadmium . . . . .	+ 320,9	Cupru . . . . .	+ 1 084
Zinc . . . . .	+ 419,5	Platină . . . . .	+ 1 773,5
Stibiu . . . . .	+ 630,5	Wolfram . . . . .	+ 3 380

b) *Temperaturi de fierbere*, la presiunea normală (în grade centigrade)

Sulf . . . . .	+ 444,6	Oxygen . . . . .	— 183
Bioxid de carbon . . . . .	— 78,5	Hidrogen . . . . .	— 252,8

De asemenea, cînd lichidul din termometru nu se dilată uniform, cum ar fi bunăoară cazul alcoolului, gradarea nu se poate face prin împărțirea coloanei în porțiuni egale, ci numai prin comparație, din aproape în aproape, cu alte termometre deja verificate.

În sfîrșit, la orice termometru mai precis trebuie să ținem seamă că diametrul capilarei nu poate fi riguros uniform și să introducem, înainte de umplere, o *corecție de calibră*.

Pentru aceasta, împărțim capilara în porțiuni de volume egale, purtînd în lungul ei o picătură de mercur și notînd lungimile ocupate de dinsa, în fiecare regiune.

În paragrafele următoare vom avea prilejul să revenim asupra termometrelor și scărilor termometrice.

§ 117. **Coeficienți de dilatație.** Am arătat mai sus că, în afară de rare excepții, dimensiunile geometrice ale corpurilor cresc prin încălzire.

Rămîne să cercetăm aceste fenomene, din punctul de vedere al legilor cantitative, pentru solide, lichide și gaze.

1. *Cazul corpurilor solide.* Vom deosebi două situații, care derivă una din alta:

a) *Dilatația liniară.* Experimental se constată că *variația lungimii unei bare este direct proporțională cu variația temperaturii.*

Dacă, la  $0^{\circ}\text{C}$ , lungimea barei este  $L_0$ , iar la  $+1^{\circ}\text{C}$  această lungime devine  $L_0 + \Delta L_0$ , înseamnă că unitatea de lungime a crescut cu cantitatea

$$\alpha = \frac{\Delta L_0}{L_0}.$$

Creșterea unității de lungime pentru un grad de temperatură este coeficientul de dilatație liniară.

Această cantitate reprezintă, prin definiție, *coeficientul de dilatație liniară*. Ea este caracteristică materialului din care e făcută bara.

Dacă temperatura ar crește cu  $t^{\circ}$ , lungimea barei ar deveni

$$L_t = L_0 + L_0 \alpha t,$$

care se mai poate scrie sub forma

$$\boxed{L_t = L_0 (1 + \alpha t)} \quad (117.1)$$

Cantitatea  $1 + \alpha t$  este binomul de dilatație. Dacă o înmulțim cu lungimea la  $0^{\circ}$ , obținem lungimea la  $t^{\circ}$ .

Cantitatea

Această relație ne permite să calculăm lungimea barei la temperatura de  $t^{\circ}$ , cînd cunoaștem coeficientul de dilatație al materialului și lungimea ei la  $0^{\circ}\text{C}$ .

$$1 + \alpha t$$

se numește *binom de dilatație*.

Dacă nu cunoaștem lungimea barei la  $0^{\circ}$ , dar cunoaștem lungimea ei la altă temperatură  $t_1$  și o notăm cu  $L_1$ , relația (117.1) devine

$$L_t = L_1 [1 + \alpha (t - t_1)].$$

Bara se va scurta sau se va lungi, după semnul diferenței de temperatură.

În orice sistem de unități am exprima lungimea, omogeneitatea relației

$$L_t = L_0(1 + \alpha t) \quad (117.1)$$

ne obligă să dăm coeficientului de dilatație dimensiunile  $\text{grad}^{-1}$ .

**Coeficientul de dilatație se exprimă printr-un număr raportat la grad.**

*Rezultă că acest coeficient nu depinde de sistemul de unități, în ce privește lungimea, și se va exprima printr-un număr abstract, raportat la grad.*

Mai jos dăm coeficienții de dilatație liniară ai câtorva substanțe, în domeniul temperaturilor normale.

$\alpha$		$\alpha$	
Oțel . . . . .	0,000 010/°C	Cupru . . . . .	0,000 016 /°C
Fier . . . . .	0,000 012/°C	Platină . . . . .	0,000 009 /°C
Aluminiu . . . . .	0,000 022/°C	Sticlă . . . . .	0,000 009 /°C
Argint . . . . .	0,000 019/°C	Invar . . . . .	0,000 000 2/°C
Alamă . . . . .	0,000 018/°C	Cuarț . . . . .	0,000 000 5/°C

De aici se vede, între altele, că sticla are același coeficient de dilatație ca și platina. De aceea, putem lipi fire de platină în sticlă, fără ca ea să crape.

De asemenea, se vede că aliajul *invar* (30% nichel + 70% fier) se dilată de 100 de ori mai puțin decât aluminiul.

Aceste valori nu trebuie să fie considerate ca niște constante, decât într-un interval de câteva zeci de grade, în jurul temperaturii normale; *ele se modifică, dacă variațiile de temperatură sînt mai mari.*

**Coeficientul de dilatație nu este constant decât în limite restrinse de temperatură.**

De aceea, orice indicație numerică trebuie să fie însoțită de specificarea temperaturii la care s-a făcut determinarea.

Dar dacă nu urmărim o precizie mai mare, le putem totuși considera constante și în limite ceva mai largi de temperatură.

b) *Dilatația în volum.* Să presupunem că un cub are, la 0 °C, latura egală cu unitatea de lungime și să-i ridicăm temperatura cu un grad.

Coeficientul de dilatație liniară al substanței fiind  $\alpha$ , latura cubului devine

$$l = 1 + \alpha,$$

iar volumul devine, la rindul lui,

$$V = (1 + \alpha)^3 = 1 + 3\alpha + 3\alpha^2 + \alpha^3;$$

$\alpha$  fiind foarte mic,  $\alpha^2$  și  $\alpha^3$  vor fi și mai mici. Putem deci neglija termenii respectivi, în comparație cu ceilalți și vom scrie, cu aproximație, că

$$V = 1 + 3\alpha.$$

Cum volumul inițial al cubului, la  $0^\circ$ , era de  $1 \text{ cm}^3$ , rezultă că unei creșteri  $\alpha$  a laturii îi corespunde o creștere  $3\alpha$  a volumului.

**Coeficientul de dilatație cubică** este triplul coeficientului de dilatație liniară și reprezintă variația unității de volum când temperatura variază cu un grad.

*Canitatea  $3\alpha$ , adică triplul coeficientului de dilatație liniară, reprezintă creșterea unității de volum pe gradul de temperatură și se numește coeficient de dilatație cubică.*

Dacă unitatea de volum crește cu  $3\alpha$  pentru fiecare grad, rezultă că, pentru un volum oarecare  $V_0$  și o creștere de temperatură de la  $0^\circ$  la  $t^\circ$ , vom avea

$$V_t = V_0 (1 + 3\alpha t) \quad (117.2)$$

Canitatea  $3\alpha$  se poate nota cu  $\gamma$  și atunci relația de față devine

$$V_t = V_0 (1 + \gamma t), \quad (117.2a)$$

unde  $1 + \gamma t$  reprezintă *binomul de dilatație cubică*.

Volumul la temperatura  $t^\circ$  se obține din produsul dintre volumul la  $0^\circ$  și binomul de dilatație cubică, unde  $\gamma = 3\alpha$ .

*Așadar, ca să calculăm volumul la temperatura  $t^\circ$ , vom face produsul dintre volumul la  $0^\circ$  și binomul de dilatație cubică.*

Cînd cunoaștem numai volumul la o temperatură oarecare  $t_1^\circ$ , putem scrie, ca și la dilatația liniară, că

$$V_t = V_1 [1 + 3\alpha(t - t_1)].$$

Tabela precedentă ne poate da coeficienții de dilatație cubică, prin înmulțirea cu 3 a coeficienților de dilatație liniară.

2. *Anizotropie*. Experiența ne arată că, după cum proprietățile elastice ale cristalelor nu sînt aceleași în toate direcțiile, tot așa coeficienții de dilatație depind de orientarea față de axele de simetrie ale cristalului, care este *anizotrop*.

Fig. 275 reprezintă un cristal de cuarț. Dilatația decurge altfel după direcția *XY*, decît după celelalte direcții.

La saptul de *Islanda*, diferența este și mai mare, fiindcă cristalul se dilată după o direcție și se contractă după altele.

Asemenea fenomene apar și la corpurile amorfe, cu structură fibroasă, de pildă la o scîndură.



Fig. 275. Cristal de cuarț.

Fig. 276. Pod pe galeți.

3. *Aplicații ale dilatației*. Dacă încălzim puternic o bară de metal și o fixăm la cele două capete, contracția după răcire dezvoltă o forță atît de mare, încît poate să o rupă.

De aceea, construcțiile metalice sînt în așa fel încheiate încît să permită dilatația liberă a părților componente.

Astfel, podurile de fier sînt fixate numai la un capăt, iar celălalt se poate mișca pe niște roțițe, numite *galeți* (fig. 276).

Tot așa, conductele metalice supuse la variații mai mari de temperatură sînt curbate din loc în loc, în formă de buclă, ca să se poată dilata și contracta în voie.

Din același motiv, tabla de pe casă nu se bate în cuie, ci se *fălțuiește*.

Fierarul, ca să așeze șina pe roată, o încălzește întîi și o bagă păsuit, ca să strîngă obezile, cînd se răcește.

Fenomenele de dilatație au influență covârșitoare asupra scoarței globului. Contractarea păturilor centrale a determinat formarea munților, iar variațiile mari de temperatură ajung cu încetul să fărâmițeze stîncile.

4. *Variația densității cu temperatura*. Densitatea fiind, prin definiție, raportul dintre masă și volum, să considerăm un corp la temperatura de 0°.

Densitatea lui va fi

$$\rho_0 = \frac{m}{V_0}.$$

Dacă îl încălzim la  $t^\circ$ , volumul crește și densitatea devine

$$\rho_t = \frac{m}{V_0(1+\gamma t)}.$$

Din aceste relații deducem imediat că densitatea la  $t^\circ$  este

$$\rho_t = \frac{\rho_0}{1+\gamma t}. \quad (117.3)$$

Densitatea la temperatura  $t^\circ$  se obține prin împărțirea densității la  $0^\circ$  cu binomul de dilatație cubică.

Prin urmare, *densitatea unui corp la temperatura  $t^\circ$  se obține prin împărțirea densității la  $0^\circ$  cu binomul de dilatație cubică.*

Această concluzie ne explică, între altele, de ce păturile unui fluid încălzit pe la fund caută să se ridice la suprafață.

**5. Dilatația lichidelor.** Dilatația la lichide interesează numai volumul. Ea are însă, drept consecință, o ridicare corespunzătoare a nivelului suprafeței libere, care nu trebuie să fie confundată cu o dilatație liniară.

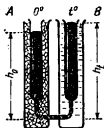


Fig. 277. Dilatarea absolută a mercurului.

Cunoașterea coeficientului de dilatație absolută implică o determinare prealabilă a dilatației vasului. Această operație poate fi, totuși, evitată prin următorul artificiu experimental, folosit pentru prima dată de *Dulong și Petit*<sup>1)</sup>.

Lichidul, de exemplu mercurul, se introduce în două vase comunicante, din care unul este răcit cu gheață la  $0^\circ\text{C}$ , iar celălalt este încălzit la temperatura  $t^\circ$  (fig. 277).

<sup>1)</sup> *Pierre Louis Dulong* (1735—1803), *Alexis Thérèse Petit* (1791—1820), fizicieni francezi.

Măsurînd înălțimile coloanelor și știind că ele sînt invers proporționale cu densitățile, avem

$$\frac{h_1}{h_0} = \frac{\rho_0}{\rho_1}$$

și ținînd seamă de relația (117.3) de mai sus, obținem

$$\frac{h_1}{h_0} = \frac{\rho_0 (1 + \gamma t)}{\rho_0}$$

de unde deducem coeficientul de dilatație cubică absolută

$$\gamma = \frac{1}{t} \left( \frac{h_1}{h_0} - 1 \right).$$

O dată cunoscută această valoare, pentru un singur lichid, putem, cu ajutorul ei, să determinăm dilatația unui vas, numit *dilatometru*, prevăzut cu un tub capilar gradat în volume (fig. 278), iar apoi să măsurăm dilatațiile absolute la orice alt lichid.

La dilatația aparentă vom adăuga atunci dilatația proprie a vasului.

Măsurările au arătat că lichidele se dilată, în mijlociu, cam de 100 ori mai mult decît solidele.



Fig 278.  
Dilatometru

Mai jos dăm coeficienții de dilatație la cîteva lichide .

	$\gamma$		$\gamma$
Apă . . . . .	0,000 18/°C	Toluen . . . . .	0,001 20/°C
Petrol (aprox.) . . . . .	0,001 04/°C	Sulfură de carbon . . . . .	0,001 21/°C
Alcool . . . . .	0,001 05/°C	Mercur : : : . . . . .	0,000 18/°C

Dilatația mică a mercurului, în comparație cu alte lichide, ne explică de ce termometrele cu mercur, cu toate avantajele lor, sînt mai puțin sensibile decît cele cu alcool.

**6. Dilatația apei.** Se știe că apa îngheață la 0 °C. În anumite condiții, însă, pe care le vom cerceta mai tîrziu, putem coborî temperatura mult sub 0°, fără să se producă înghețul.

Fenomenul este cunoscut sub numele de *supratopire*.

Dacă studiem dilatația apei, între +4 °C și cea mai joasă temperatură la care o putem păstra în starea lichidă, constatăm că, în acest interval, apa *se contractă*, în loc să se dilate, cînd crește temperatura.



În schimb, la temperaturi mai mari de  $+4^{\circ}\text{C}$ , dilatația este normală, ca la orice alt lichid.

Apa are densitatea maximă la  $+4^{\circ}\text{C}$ .

Dacă plecăm deci de la  $+4^{\circ}\text{C}$ , atât urcarea temperaturii, cât și scăderea ei produc o creștere de volum, deci o micșorare a densității.

*Rezultă că apa are densitatea maximă la temperatura de  $+4^{\circ}\text{C}$ .*

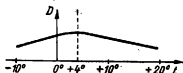


Fig. 279. Variația densității apei cu temperatura.

Curba din fig. 279 și tabela de mai jos arată destul de limpede cum variază densitatea apei cu temperatura.

Tabela 6

Temperatura	Densitatea	Variația densității
$-10^{\circ}\text{C}$	0,998 15	↑ crește
$-5^{\circ}$	0,999 30	
$0^{\circ}$	0,999 868	
$+4^{\circ}$	1,000 000	↓ maxim
$+8^{\circ}$	0,999 876	↑ scade
$+10^{\circ}$	0,999 727	
$+20^{\circ}$	0,998 230	

O verificare simplă se poate face cu un vas mai înalt, în care punem apă și deasupra gheață. Un termometru cufundat pînă la fund, ne arată că aceste părți au temperatura mai ridicată decît  $0^{\circ}$  și pot să atingă limita de  $+4^{\circ}\text{C}$ , iar după ce gheața se topește, încălzirea începe de la suprafață. Aceasta ne dovedește că pătura de la fund are densitatea mai mare decît celelalte.

Același fenomen se petrece, pe scară mare, în natură și permite animalelor acvatice să găsească, sub gheața lacurilor, o temperatură favorabilă, în timpul iernii.

**7. Dilatația gazelor.** Vom deosebi două situații extreme:

a) Dacă încălzim gazul și-l lăsăm să se dilate în voie, presiunea rămîne aceeași, dar variază volumul. Are loc atunci o *dilatație la presiune constantă*.

b) Dacă gazul se află într-un spațiu închis, al cărui volum nu depinde de temperatură, variază numai presiunea. Are loc atunci o *dilatație la volum constant*.

La gaze deosebit o dilatație la presiune constantă și alta la volum constant, cu diferite situații intermediare.

Între aceste două extreme pot să existe diverse alte situații intermediare, în care să varieze atât presiunea, cât și volumul.

În primul caz, luând un volum  $V_0$  de gaz și ridicându-i temperatura de la  $0^\circ$  la  $1^\circ\text{C}$ , constatăm experimental că, *oricare ar fi gazul*, volumul crește cu  $1/273,15$  din valoarea inițială.

La presiune constantă, toate gazele au coeficientul de dilatație în volum  $\alpha = 1/273,15 \cdot \text{grad}^{-1}$ .

Așadar, spre deosebire de solide și de lichide, toate gazele se dilată la fel și au coeficientul de dilatație în volum  $\alpha = 1/273,15$  pe gradul centigrad, sub presiune constantă<sup>1)</sup>.

De fapt, această concluzie nu se aplică la gazele reale decât cu aproximație, când nici presiunea nu este prea mare, nici temperatura prea coborâtă.

*În domenii mai largi, va trebui să ne referim numai la gazele ideale.*

Obișnuit, pentru nevoile curente, valoarea coeficientului  $\alpha$  se rotunjește la valoarea aproximativă

$$\alpha = \frac{1}{273} = 0,00367 \cdot \text{grad}^{-1}.$$

În aceste condiții, vom putea scrie că, pentru toate gazele, volumul la temperatura  $t$  devine

$$V = V_0(1 + \alpha t). \quad (117.4)$$

În al doilea caz, când dilatația se face *la volum constant*, legea de variație a presiunii se poate deduce din precedenta:

I. Să presupunem că, într-o primă fază, lăsăm gazul să se dilate liber, la presiunea constantă  $p_0$ .

Volumul lui devine, conform relației de mai sus

$$V = V_0(1 + \alpha t). \quad (117.4)$$

<sup>1)</sup> Coeficientul de dilatație al gazelor nu trebuie să fie confundat cu acela de dilatație liniară al solidelor. cu toate că ambii se notează la fel.

II. Menținem acum *temperatura constantă* și-l comprimăm până revine la volumul inițial  $V_0$ . Presiunea crește și capătă valoarea  $p$ .

În cazul acesta, presiunii  $p$  îi corespunde volumul  $V_0$ , iar presiunii  $p_0$  îi corespunde volumul  $V_0(1 + \alpha t)$ .

Comprimarea fiind izotermă, putem aplica legea lui *Boyle-Mariotte* și presiunile fiind invers proporționale cu volumele, avem

$$\frac{p}{p_0} = \frac{V_0(1 + \alpha t)}{V_0},$$

de unde deducem că

$$\boxed{p = p_0(1 + \alpha t)}, \quad (117.5)$$

adică o relație analogă cu (117.4).

Prin urmare, în cazul dilatației la volum constant, presiunea crește cu  $1/273$  din valoarea inițială, pentru fiecare grad de temperatură.

**Coeficienții de dilatație la presiune constantă și volum constant sînt egali:**

$$V = V_0(1 + \alpha t)$$

și

$$p = p_0(1 + \alpha t).$$

În concluzie, *coeficientul de dilatație la volum constant este egal cu coeficientul de dilatație la presiune constantă.*

Relațiile (117.4) și (117.5) exprimă legile lui *Gay-Lussac*<sup>1)</sup>.

Ele se aplică, fără restricții, la gazele perfecte și sînt numai aproximative pentru gazele reale.

Uneori, pentru a face deosebirea dintre dilatația la volum constant și aceea la presiune constantă, relația (117.5) se scrie sub formă

$$p = p_0(1 + \beta t)^2, \quad (117.5a)$$

unde  $\beta$  este coeficientul de dilatație la volum constant, fără a pierde din vedere că  $\alpha = \beta$ .

<sup>1)</sup> *Gay-Lussac* (1778—1850), fizician și chimist francez. Se pare că legile de față, deși îi poartă numele, au fost descoperite de compatriotul lui, *Amontons* (1663—1705), care a definit și temperatura de zero absolut.

<sup>2)</sup>  $\beta$  = literă grecească mică; se citește *beta*.

Mai rămîne să considerăm situația intermediară, mai generală, cînd variază atît *volumul*, cit și *presiunea*, cu *temperatura*. Raționamentul este identic aceluia din cazul precedent.

I. Volumul  $V_0$  de gaz este încălzit, la presiune constantă  $p_0$ , pînă la temperatura  $t$ . El devine

$$V_t = V_0(1 + \alpha t).$$

II. Il comprimăm apoi, la temperatura constantă  $t$  pînă ce volumul devine  $V$  și presiunea  $p$ .

Prin urmare, presiunii  $p_0$  îi corespunde volumul  $V_0(1 + \alpha t)$ , iar presiunii  $p$  îi corespunde volumul  $V$ .

Comprimarea fiind izotermă, legea lui *Boyle-Mariotte* ne dă

$$\frac{p_0}{p} = \frac{V}{V_0(1 + \alpha t)},$$

sau

$$\boxed{pV = p_0V_0(1 + \alpha t)} \quad (117.6)$$

**Ecuația generală a gazelor este**

$$pV = p_0V_0(1 + \alpha t).$$

Această relație, care leagă volumul și presiunea de variația temperaturii, în toate situațiile posibile, se numește *ecuația generală a gazelor*.

Ea cuprinde implicit cazurile particulare cînd variază numai volumul sau numai presiunea. În adevăr:

— dacă presiunea este constantă,  $p = p_0$  și regăsim relația (117.4);

— dacă volumul rămîne constant,  $V = V_0$  și ajungem la relația (117.5).

Ecuația generală a gazelor ne servește de cîte ori vrem să calculăm volumul unui gaz, la o temperatură dată și la o presiune dată (de pildă la  $0^\circ\text{C}$  și 760 mm), cînd cunoaștem presiunea și volumul la altă temperatură.

§ 118. **Temperatura absolută.** Să reluăm ecuațiile

$$V = V_0(1 + \alpha t) \quad (117.4)$$

și

$$p = p_0(1 + \alpha t). \quad (117.5)$$

Dacă introducem în ele valoarea numerică a lui  $\alpha$ , avem

$$V = V_0 \left( 1 + \frac{t}{273,15} \right) \quad \text{și} \quad p = p_0 \left( 1 + \frac{t}{273,15} \right).$$

De aici se vede imediat că, *dacă temperatura scade pînă la  $-273,15^\circ\text{C}$ , atunci atît volumul cît și presiunea respectivă a unui gaz perfect se anulează.*

La  $-273,15^\circ\text{C}$  volumul și presiunea unui gaz perfect se anulează. Această temperatură o alegem ca zero absolut. Pe scara absolută  $T^\circ \approx 273 \pm t^\circ\text{C}$ .

Această temperatură o alegem ca punct de plecare pentru o nouă scară de temperaturi, pe care o numim *scară absolută*, și reprezintă *zero absolut*.

Pe scara absolută temperaturile se notează convențional cu  $T^\circ$  și vom avea, evident,

$$T^\circ = 273,15 \pm t^\circ\text{C}.$$

Este de asemenea evident că *pe această scară nu pot să existe temperaturi negative*, fiindcă ar fi absurd să concepem volume sau presiuni negative. De aici și numele de *absolut*.

În literatură găsim uneori temperatura absolută notată cu  $T^\circ\text{K}$ , adică în *grade Kelvin*<sup>1)</sup>, dar această notație nu s-a generalizat.

Ne putem apropia oricît de zero absolut, dar nu putem atinge această temperatură.

Cercetările teoretice au arătat că *ne putem apropia treptat oricît de temperatura de zero absolut, dar ea reprezintă o limită pe care nu o putem atinge.*

Vom vedea mai departe cum se pot realiza temperaturile foarte joase și pînă unde s-a putut ajunge, în ultimele încercări.

**§ 119. Ecuația de stare a gazelor.** Să reluăm ecuația generală a gazelor, introducînd iarăși valoarea numerică a coeficientului  $\alpha$ . Printr-o transformare simplă, avem atunci

$$pV = p_0 V_0 \left( \frac{273,15 + t}{273,15} \right).$$

<sup>1)</sup> William Thomson (lord Kelvin) (1824—1907), fizician englez, cunoscut prin cercetări fundamentale în căldură și electricitate.

Numărătorul fracției din paranteze reprezintă temperatura absolută corespunzătoare temperaturii de  $t$  °C, iar numitorul exprimă, tot în grade absolute, temperatura de 0 °C.

Vom putea scrie deci

$$pV = p_0 V_0 \frac{T}{T_0}$$

sau, ceea ce este tot una,

$$\boxed{\frac{pV}{1} = \frac{p_0 V_0}{T_0} = \text{const}} \quad (119.1)$$

Produsul presiunii și volumului, raportat la temperatura absolută, este constant.

Această relație se numește *ecuația de stare a gazului perfect*. Ea ne spune că *produsul presiunii și volumului, raportat la temperatura absolută, este constant* și rezultă ca o consecință directă din legile lui Gay-Lussac și Boyle-Mariotte.

1. *Izotermele gazelor perfecte*. În § 97, vorbind despre legea lui Boyle-Mariotte și comprimarea izotermă a gazelor, am văzut că funcția

$$pV = \text{const} \quad (97.1)$$

se reprezintă grafic printr-un arc de hiperbolă echilaterală, raportată la asimptote.

Pe de altă parte, în cele arătate mai sus am stabilit că

$$\frac{pV}{T} = \text{const} \quad \text{sau} \quad pV = T \cdot \text{const.}$$

Această relație completează legea lui Boyle-Mariotte și exprimă ecuația izotermelor, pentru diferite valori constante ale temperaturii absolute.

Fig. 280 reprezintă aceste izoterme, între 200 și 2400 °K (grade absolute). Volumul gazului este exprimat în litri, iar presiunea în atmosfere.

Ea ne arată că, *pe măsură ce temperatura crește, izotermele se*

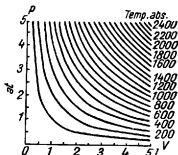


Fig. 280. Izotermele unui gaz perfect.

*mută lateral, îndepărtându-se treptat de centrul axelor de coordonate.*

Odată cu creșterea temperaturii, izotermele gazului perfect se îndepărtează de centrul axelor de coordonate.

Anticipînd asupra ecuației de stare, am mai arătat, în § 110, că, pentru molecula-gram de gaz, constanta se notează cu  $R$  și că ecuația se scrie sub forma

$$pV = RT; \quad (110.1)$$

rămîne să calculăm valoarea acestei constante  $R$ , pe care o numim *constanta universală a gazelor*.

Dacă luăm o moleculă-gram de gaz, la presiunea normală și temperatura absolută de  $273,15^\circ = 0^\circ\text{C}$ , *volumul* este de  $22\,414\text{ cm}^3$ , iar *presiunea* este de  $1\,033\text{ gf/cm}^2$ , adică de  $10^6$  unități CGS (baryi).

Numeric, valoarea constantei  $R$  va fi, deci,

$$R = \frac{p_0 V_0}{T_0} = \frac{22\,414 \cdot 10^6}{273,15} = 8,314 \cdot 10^7.$$

În ce privește dimensiunile și unitățile CGS în care se exprimă, se vede imediat că

$$[pV] = \frac{\text{MLT}^{-2}}{\text{L}^2} \cdot \text{L}^3 = \text{L}^2 \text{MT}^{-2}.$$

Prin urmare,

$$R = 8,314 \cdot 10^7 \frac{\text{erg}}{\text{grd} \cdot \text{mol}}$$

$$R = 8,314 \cdot 10^7 \text{ erg/grd} \cdot \text{mol}.$$

Așadar, *constanta universală a gazelor perfecte are dimensiunile unui lucru mecanic pe grd·mol.*

**2. Termometrul cu gaz.** Cu toate abaterile gazelor reale de la legile gazelor perfecte, dilatația lor este incomparabil mai regulată decît a lichidelor și poate fi urmărită în domenii mult mai largi de temperatură.

Folosind această însușire, *Jolly*<sup>1)</sup> a construit, în 1874, un termometru cu aer, a cărui folosire s-a generalizat pentru toate măsurările de mare precizie.

Un balon *a*, de sticlă, de porțelan sau de platină (în ultimul timp se face din sticlă de cuarț), cu o capacitate aproximativă de 50 cm<sup>3</sup>, comunică, printr-un tub de cauciuc, cu un rezervor de sticlă *R*, care se poate mișca în lungul unei rigle gradate (fig. 281).

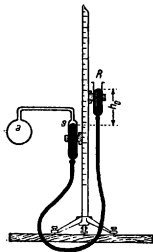


Fig. 281. Termometrul cu aer.

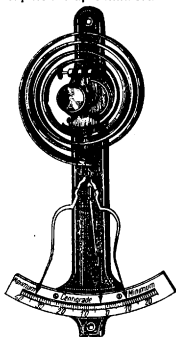


Fig. 282. Termometrul metalic.

Tubul de cauciuc și rezervorul sint pline cu mercur.

Introducem balonul în gheață care se topește și potrivim înălțimea rezervorului astfel ca mercurul să ajungă pînă la un reper *s*.

În acest moment, presiunea aerului din balon este dată de diferența de nivel  $h_0$ , la care se adaugă presiunea atmosferică *b*, citită pe un barometru.

<sup>1)</sup> *G. Ph. von Jolly* (1809—1884), fost profesor la universitatea din Munchen. S-a făcut cunoscut și prin măsurări de precizie asupra constantei atracției universale.



Vom avea deci

$$p_0 = h_0 + b.$$

Dacă acum ridicăm temperatura balonului la  $t'$  și readucem nivelul mercurului în dreptul reperului  $s$ , diferența de nivel devine  $h_t$  și

$$p_t = h_t + b.$$

Știind că

$$p_t = p_0(1 + \alpha t),$$

rezultă că

$$t = \frac{h_t - h_0}{\alpha(h_0 + b)} \quad (119.2)$$

Dilatația hidrogenului fiind mai regulată decît a aerului, comisia internațională de măsuri și greutate a decis, în 1887, ca *temperatura să se măsoare prin comparație cu un termometru cu hidrogen, luînd ca puncte fixe înghețarea și fierberea apei sub presiunea normală și împărțirea centesimală a scării.*

Cu un astfel de termometru, domeniul de măsurare se întinde între  $-200'$  și  $+1\,000^\circ\text{C}$ , cu o precizie mult mai mare decît la termometrele obișnuite.

**3. Termometrul metalic.** Dacă sudăm împreună două lame metalice, cu coeficienți de dilatație diferiți, încălzirea ei o curbează, cu concavitatea de partea metalului care se dilată mai puțin (fig. 282).

Pe acest principiu se pot construi termometre metalice, introducînd o gradație la capătul liber al lamei, sau *termoregulate*, în care mișcarea lamei stabilește sau întrerupe automat un circuit electric de încălzire directă, sau comandă funcționarea injectorului la un calorifer.

De asemenea, se construiesc *avertizoare de incendiu*, în care lama pune în funcțiune o sonerie electrică, dacă temperatura depășește limitele normale.

Adaptînd o peniță cu tuș la capătul lamei, o putem face să înscrie continuu variația temperaturii, pe o bandă de hîrtie, mișcată de un mecanism de ceasornicărie. Asemenea înregistratoare se numesc *termografe* și sînt folosite mai ales în industrie și în observațiile meteorologice.

**4. Exemple numerice.** 1) *Pilonul unei antene de radio are înălțimea de 300 m. Admițînd că vara se încălzește pînă la  $+50^\circ\text{C}$  și iarna se răcește pînă la  $-20^\circ\text{C}$ , cu cît variază înălțimea prin dilatație?*

*Coeficientul de dilatație al fierului este  $0,000\,01^\circ\text{C}$ .*

Variația lungimii va fi

$$\Delta L = \alpha(t_1 - t_2)L = 0,000\,01 \cdot 70^\circ \cdot 300 = 0,21\text{ m.}$$

2) Un bloc de aluminiu are  $0,5 \text{ m}^3$  la  $0^\circ\text{C}$ . Ce devine volumul la  $+100^\circ\text{C}$ ?

Se va lua  $\gamma = 0,000\,066/^\circ\text{C}$ .

Avem

$$V_{100} = V_0 (1 + \gamma \cdot 100) = 0,5 (1 + 0,0066) = 0,5033 \text{ m}^3.$$

3) Un gaz are presiunea de 5 at, la  $0^\circ\text{C}$ . Ce devine presiunea lui la  $+400^\circ\text{C}$ , dacă-l încălzim sub volum constant?

În relația

$$p = p_0 (1 + \alpha t)$$

înlocuim datele numerice și găsim că

$$p = 5 (1 + 0,003\,67 \cdot 400) = 12,34 \text{ at.}$$

4) Un gaz ocupă volumul de  $2 \text{ m}^3$  la  $0^\circ\text{C}$ . Îl dilatăm la presiune constantă, până la  $+200^\circ\text{C}$ . Ce devine volumul său?

Știind că

$$V = V_0 (1 + \alpha t),$$

avem, după înlocuirea datelor numerice,

$$V = 2 (1 + 0,003\,67 \cdot 200) = 3,468 \text{ m}^3.$$

5) Un gaz ocupă  $1\,000 \text{ l}$  sub presiunea de 2 at și temperatura de  $0^\circ\text{C}$ . Ce volum ocupă la  $+100^\circ\text{C}$  sub presiunea de 4 at?

Ecuția generală a gazelor

$$pV = p_0 V_0 (1 + \alpha t)$$

ne dă

$$4 \cdot V = 2 \cdot 1\,000 (1 + 0,003\,67 \cdot 100),$$

și deducem că

$$V = 683 \text{ l.}$$

## B. Scurtă privire istorică

Dilatația corpurilor, cunoscută din timpuri străvechi și folosită în practică mai ales de făurari, nu a intrat în preocupările filozofilor antichității, care considerau focul doar ca unul din elementele naturii, alături de pământ, apă și aer.

Primul care a înțeles noțiunea de temperatură pare să fi fost *Philon* din *Bizanț*, către sfârșitul veacului al doilea î.e.n.

Opera lui n-a ajuns până la noi, dar *Heron* din *Alexandria* îi atribuie construcția unui *termoscop*, în care variațiile de temperatură pot fi evidențiate prin dilatația aerului dintr-un balon, transmise unei coloane de apă.

Observațiile nu puteau fi decît calitative, fiindcă nu exista o scară termometrică.

*Viviani*, elevul lui *Galileu*, îi atribuie acestuia construirea primului termometru. De fapt, *Galileu* însuși nu a revendicat nici o dată această invenție. Este mai probabil că el cunoștea bine termosculul, după descrierea lui *Heron*, transmisă prin traduceri arabe.

Alții îl atribuie olandezului *Drebbel*, contemporan cu *Galileu*.

Este greu de stabilit cine a construit în realitate primul termometru închis, în genul celor de astăzi.

Este sigur însă că, pe la 1600, se foloseau la Florența termometre cu alcool, la care gradația era limitată între temperaturile maxime și minime ale aerului.

Totodată, medicul italian *Santorio*, colegul lui *Galileu* la universitatea din Padua, pare să le fi aplicat, pentru prima dată, în practica medicală.

*Brewster* (1781—1868), *Halley* (1656—1742), *Boyle* (1626—1691) au observat constanța temperaturilor de fierbere sau de solidificare, la apă și la alte corpuri, iar aplicațiile pendulului la ceasuri au impus o cercetare mai amănunțită a dilatației solidelor.

Însuși *Newton* s-a gândit că temperatura de topire a gheții ar putea să fie luată ca reper pentru o scară termometrică.

Aplicarea practică a acestor fenomene se atribuie însă lui *Hooke*, pentru topirea gheții (1664), și lui *Huyghens*, pentru fierberea apei (1665).

*Fahrenheit*, pe la 1709, arată inconvenientele alcoolului ca lichid termometric și avantajele mercurului, care se dilată mult mai regulat. El folosește, ca punct de zero, temperatura unui amestec refrigerent, cu gheață și țipirig. Motivul a fost că această temperatură corespundea oarecum cu minimele observate în timpul iernii, la Danzig, unde locuia.

Notând cu  $+212^{\circ}$  temperatura de fierbere a apei, punctul de topire al gheții corespundea cu  $+32^{\circ}$ .

*Réaumur*, pe la 1730, revine la umplerea cu alcool. El notează, la început, punctul de fierbere al apei cu  $1080^{\circ}$  și punctul de topire al gheții cu  $1000^{\circ}$ . Gradația  $0-80^{\circ}$  a introdus-o mai târziu.

*Celsius* (1740) introduce definitiv scara centesimală, de care se mai serveau și alții, pe acea vreme.

El notează punctul de topire al gheții cu  $100^{\circ}$  și punctul de fierbere al apei cu  $0^{\circ}$ . Notăția inversă a fost introdusă de *Linné*<sup>1)</sup>.

Cercetarea amănunțită a coeficienților de dilatație, impusă de instituirea etaloanelor internaționale de lungime, masă, timp, temperatură, s-a întins pe tot lungul veacului trecut.

Aceste cercetări continuă și acum, pentru stabilirea valorilor din ce în ce mai exacte, mai ales în domeniul dificil de studiat al temperaturilor joase sau înalte, fiindcă pot să aducă informații prețioase despre structura corpurilor și despre modificările pe care le suferă.

Ele sînt impuse și de nevoia cunoașterii cât mai amănunțită a materialelor folosite în tehnica modernă.

<sup>1)</sup> *Karl Linné* (1707—1778), medic și naturalist suedez, cunoscut mai ales pentru lucrări importante de botanică.

## CAPITOLUL XII

### CANTITATEA DE CĂLDURĂ

**§ 120. Călduri specifice.** Intr-un vas cu apă clocotită încălzim mai multe bile de mase egale, dar din substanțe diferite, de exemplu fier, cupru și plumb.

Dacă le scoatem apoi și le punem pe un bloc de gheață, ele cedează căldură gheții, o topesc și se cufundă înăuntru, pînă ce temperatura lor coboară la  $0^{\circ}\text{C}$  (fig. 283).

Experiența ne arată însă că nu toate bilele topesc aceeași cantitate de gheață, fiindcă bila de fier se cufundă cel mai mult, iar cea de plumb cel mai puțin, cu toate că au mase egale și au plecat de la aceeași temperatură inițială.

Pe de altă parte, dacă repetăm operația cu mai multe bile din aceeași substanță, dar de mase diferite și încălzite la temperaturi diferite, mai putem constata că ele topesc o cantitate de gheață proporțională cu masa lor și cu variația temperaturii.

Admițind că masa apei din topire este, la rîndul ei, proporțională cu cantitatea de căldură primită și că, între două temperaturi date, încălzirea necesită aceeași cantitate de căldură ca și răcirea, deducem că:

**Cantitatea de căldură cedată sau primită de un corp depinde de natura lui și este direct proporțională cu masa și cu variația temperaturii.**

Cușcînd aceste fapte, putem introduce acum noțiunea de *căldură specifică*.

**Căldura specifică este cantitatea de căldură necesară pentru ca temperatura unui gram dintr-un corp să varieze cu un grad centigrad.**

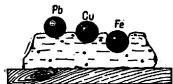


Fig. 283. Cele trei corpuri au călduri specifice diferite.

*Încălzirea sau răcirea unui corp absoarbe sau eliberează o cantitate de căldură care depinde de natura lui și este direct proporțională cu masa și cu diferența temperaturilor inițială și finală.*

*Ea este, prin definiție, cantitatea de căldură necesară pentru ca gramul-masă dintr-un corp oarecare să-și modifice temperatura cu un grad centigrad.*

Căldura specifică nu poate fi considerată constantă decît în limite mai restrînse de temperatură. De aceea, valoarea ei numerică trebuie însoțită de specificarea temperaturii la care a fost determinată.

Ca să o putem evalua, este nevoie de o unitate de măsură.

Această unitate, aleasă convențional, este căldura specifică a apei și se numește *calorie*. După standardul legal, ea se măsoară între temperaturile de  $19,5^{\circ}$  și  $20,5^{\circ}\text{C}$ .

**Caloria este căldura specifică a apei, între  $19,5^{\circ}$  și  $20,5^{\circ}\text{C}$ .**

*Vom numi, deci, calorie cantitatea de căldură necesară pentru ca temperatura unui gram de apă distilată să varieze între  $19,5^{\circ}$  și  $20,5^{\circ}\text{C}$ .*

*tilată să varieze între  $19,5^{\circ}$  și  $20,5^{\circ}\text{C}$ .*

În măsurările mai puțin precise, definiția caloriei poate fi, eventual, extinsă, fără eroare apreciabilă, și în limite mai depărtate de temperatură, în raport cu datele standardizate.

Aceasta este *caloria mică* și se scrie prescurtat *cal*.

În tehnică se folosește și *caloria mare* sau kilocaloria, care se scrie *kcal*.

Ea reprezintă cantitatea de căldură necesară unui kilogram de apă distilată, pentru ca temperatura să varieze cu un grad centigrad și cuprinde 1000 *cal*.

*Căldura specifică a unui corp oarecare se va exprima deci în calorii pe gram-grad, sau în kilocalorii pe kilogram-grad.*

Este evident că valoarea numerică va fi aceeași în ambele cazuri, fiindcă numărătorul și numitorul cresc în aceeași proporție.

**Căldura molară este căldura specifică înmulțită cu greutatea moleculară.**

Se folosesc adesea noțiunile de *căldură molară* și *căldură atomică*. Ele rezultă din înmulțirea căldurii specifice cu greutatea moleculară

sau atomică relativă și se exprimă în *cal/mol · grd*, respectiv în *cal/atom-g · grd*.

1. *Capacitatea calorică*. Dacă un corp de masă *m* are căldura specifică *c* și dacă temperatura lui variază cu un grad centigrad, cantitatea de căldură liberată sau absorbită este

$$C = mc.$$

Căldura specifică a apei fiind luată ca unitate, este evident că produsul *mc* reprezintă totodată cantitatea de apă care, în acc-

leăși condiții, ar putea să absoarbă sau să libereze aceeași cantitate de căldură  $C$  și de aceea îl vom

**Produsul  $mc$  reprezintă echivalentul în apă al substanței cu căldura specifică  $c$ , numit și capacitate calorifică.**

numi *echivalentul în apă* al corpului de masă  $m$  și căldură specifică  $c$  sau *capacitate calorifică*.

În aceste condiții, dacă temperatura corpului variază cu  $t$  grade centigrade, *cantitatea de căldură eliberată sau absorbită* este

$$Q = m \cdot c \cdot t = C \cdot t. \quad (120.1)$$

**2. Determinarea căldurii specifice.** Aceasta se face, prin comparație, în aparatul numit *calorimetru*, care poate să aibă numeroase variante și adaptări. Vom descrie numai pe cele mai obișnuite.

**Calorimetrul cu amestec** este un simplu vas de metal, cu pereții subțiri, în care se introduce o cantitate cunoscută de apă (fig. 284).

Fie  $M$  masa apei și  $t_0$  temperatura ei inițială, măsurată cu un termometru.

Potrivit celor arătate mai sus, la aceasta se adaugă echivalentul în apă al substanței de masă  $m$  și căldură specifică  $c_1$ , din care este făcut vasul, așa că totul se petrece ca și cum cantitatea de apă ar avea masa totală

$$M_a = M + c_1 m.$$

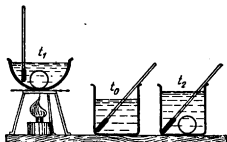


Fig. 284. Principiul calorimetriei.

<sup>1)</sup> Noțiunea de *cantitate de căldură* a fost introdusă de fizicianul rus **Georg Wilh. Richmann** (1711—1755), membru al Academiei din *Petersburg*, care a murit trăsnit, în timpul unor cercetări asupra electricității atmosferice. El a făcut și primele măsurări de căldură specifică.

Aceste determinări au fost reluate apoi de **Joseph Blake** (1728—1799), fost profesor la universitățile din *Glasgow* și *Edinburgh* și de **Joh. Karl Wilcke** (1732—1796), fost secretar al Academiei din *Stockholm*.

Masa corpului fiind  $M_c$  și căldura lui specifică, încă necunoscută, fiind  $c$ , îl încălzim într-o baie de apă sau de vapori, la temperatura  $t_1$ , apoi îl cufundăm în calorimetru.

El cedează atunci căldură apei și temperatura finală se stabilizează la  $t_2$ .

Scriind că toată căldura cedată de corp a fost luată de apă și de substanța calorimetrului, vom avea, evident,

$$M_c c (t_1 - t_2) = M_a (t_2 - t_0),$$

de unde deducem căldura specifică

$$c = \frac{M_a (t_2 - t_0)}{M_c (t_1 - t_2)}. \quad (120.2)$$

Obişnuit, vasul calorimetric se introduce în altul mai mare, de care-l izolăm printr-o pătură de aer, ca să reducem erorile datorite pierderilor de căldură spre exterior.

Metoda poate fi aplicată fără modificări și la lichidele care nu dau combinații chimice cu apa. Eventual se pot folosi și alte lichide în locul apei, bunăoară mercurul, cu condiția să le cunoaștem căldurile specifice.

*Calorimetrul lui Bunsen* măsoară căldura specifică la temperatura de  $0^\circ\text{C}$ . El se compune dintr-un mic rezervor de sticlă, legat la un tub capilar gradat în volume (fig. 285).

În interiorul lui este sudat un tub  $T$  de mărirea unei eprubete.

Rezervorul se umple cu apă și cu mercur, așa cum arată figura, apoi se cufundă cu totul în apă cu gheață, la temperatura de  $0^\circ\text{C}$ .

În tubul  $T$  introducem întâi o cantitate de eter ordinar, prin care suflăm un curent de aer, care-l evaporă.

Evaporarea produce răcire și o parte din apa închisă în rezervor îngheață, își mărește volumul și împinge mercurul în capilară, pînă la o diviziune pe care o notăm.

Introducem apoi, în locul eterului evaporat complet, corpul a cărui căldură specifică vrem să o aflăm, după ce l-am cîntărit și l-am încălzit la o temperatură cunoscută.

O parte din gheața formată se topește, iar mercurul se retrage în capilară, pînă la o altă diviziune, pe care de asemenea o notăm.

Variația de volum  $\Delta V$ , astfel observată, este proporțională cu cantitatea de gheață topită, care, la rîndul ei, este proporțională cu căldura cedată de corpul care s-a răcit pînă la  $0^\circ\text{C}$ .

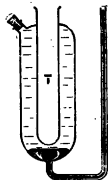


Fig. 285. Calorimetrul Bunsen.

Vom avea deci

$$\Delta V = k \cdot m \cdot c \cdot t,$$

unde  $m$  este masa corpului,  $c$  căldura lui specifică, iar  $t$  temperatura la care l-am încălzit.

Constanta de proporționalitate  $k$  depinde de construcția aparatului. O determinăm o dată pentru totdeauna, cu ajutorul unui corp de căldură specifică cunoscută.

Metoda este mult mai precisă decât precedenta, fiindcă baia de gheață, în care am cufundat aparatul, împiedică pierderile de căldură spre exterior. Ea mai are și avantajul că ne permite să operăm cu cantități mici de substanță.

Deoarece atât temperatura inițială, cât și cea finală a aparatului este de  $0^{\circ}\text{C}$ , nu mai este nevoie să introducem în calcul echivalentul în apă, fiindcă toată căldura primită servește numai la topit gheața.

*Calorimetrul cu vid* al lui Nernst<sup>1)</sup> servește pentru determinările la temperaturi foarte joase. Corpul la care vrem să facem determinarea este încălzit în vid, la temperatură cunoscută, prin trecerea unui curent electric, și răcit apoi în gaze lichefiate.

Nu este cazul să intrăm în amănunte. Am menționat metoda numai pentru importanța deosebită a acestor măsurări.

Ingeniozitatea și diversitatea metodelor folosite au permis determinarea căldurii specifice a corpurilor, de la temperaturi foarte joase, până la  $+1600^{\circ}\text{C}$ , cu precizie de ordinul a  $\pm 0,1\%$ .

Măsurările s-au extins și la temperaturi mai înalte, dar aici erorile sînt incomparabil mai mari.

Determinările sistematice au arătat că, în linii generale,

a) *Pentru același corp, căldura specifică este mai mare la starea lichidă, decât la starea solidă.*

De exemplu, căldura specifică a apei fiind 1, căldura specifică a gheții este de numai  $0,5 \text{ cal/g} \cdot \text{grad}$ .

b) *La corpurile cu stări alotropice, fiecărei stări îi corespunde altă căldură specifică.*

De pildă, diamantul are căldura specifică  $0,15$ , iar grafitul  $0,24 \text{ cal/g} \cdot \text{grad}$ .

c) *Căldura specifică scade cu temperatura și tinde către zero la temperaturile foarte joase.*

<sup>1)</sup> *Walter Nernst* (1864—1941), fizician german, fost profesor la universitățile din *Göttingen* și *Berlin*, cunoscut prin lucrări însemnate în diferite domenii ale fizicii. Premiul Nobel (1921).



### 3. Legea lui Dulong și Petit. Pe baza datelor ex-

La o temperatură destul de ridicată, căldura atomică a elementelor chimice în stare solidă cristalină este de aproximativ 6 cal/grd·mol.

Ea tinde către zero la temperaturile foarte joase.

experimentale, Dulong și Petit au arătat că, la temperaturi suficient de ridicate, căldura atomică a elementelor chimice în stare solidă cristalină este de aproximativ 6 cal/grd·mol.

Așadar, dacă notăm căldura specifică cu  $c$ , masa atomică relativă cu  $A$  și căldura atomică cu  $C$ , avem

$$C = c \cdot A \approx 6 \quad (120.3)$$

Pentru elementele mai grele, temperatura ordinară este deja destul de ridicată ca să le putem aplica legea de față.

Pentru cele ușoare, nu putem stabili anticipat limita inferioară de temperatură, ci trebuie să o căutăm experimental.

Tabela 7 dă căldurile atomice la cîteva elemente, măsurate la temperaturi diferite.

Tabela 7

Elementul	Temperatura în °C	Căldura atomică
Aluminiu . . . . .	- 254	0,066
Aluminiu . . . . .	+ 10	6,13
Plumb . . . . .	- 257	1,8
Plumb . . . . .	0	6,31
Fier . . . . .	- 241	0,152
Fier . . . . .	+ 28	5,94
Cărbune (diamant) . . . . .	- 188	0,32
Cărbune (diamant) . . . . .	+ 33	1,58
Cărbune (diamant) . . . . .	+ 985	5,51
Cărbune (grafit) . . . . .	- 50	1,37
Cărbune (grafit) . . . . .	+ 11	1,92
Cărbune (grafit) . . . . .	+ 977	5,60
Cupru . . . . .	- 259	0,039
Cupru . . . . .	+ 177	6,09

Curbele din fig. 286, trasate pe baza datelor experimentale, ne arată, ca exemplu, cum variază căldura atomică  $C$  în funcție de temperatură, la *cupru*, *plumb* și *diamant*.

Ele completează datele din tabela de mai sus și ne spun că:

1) *căldura atomică scade și tinde către zero, la temperaturile foarte joase;*

2) *după o creștere rapidă, spre temperaturile ridicate, apare o variație bruscă a pantei, cu tendință de stabilizare, în jurul valorii numerice 6;*

3) *la elementele grele (cupru, plumb), aceasta se întâmplă chiar în domeniul temperaturilor normale;*

4) *la diamant (cărbune cristalizat), fiind vorba de un element ușor, trebuie să ridicăm temperatura până la 1 000 °C, ca să ne putem apropia de valoarea 6.*

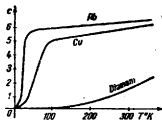


Fig. 286. Variația căldurii specifice atomice cu temperatura.

Aceste fenomene sînt legate de posibilitățile de oscilație ale atomilor, în rețeaua cristalină. Interpretarea lor teoretică pleacă de la condițiile în care se desfășoară agitația termică și este în deplin acord cu experiența.

Dezvoltarea teoriei depășește cadrul acestui manual. Vom

**Pentru orice element, același număr de atomi necesită aceeași cantitate de căldură, pentru ridicarea temperaturii cu un grad.**

remarca totuși, în treacăt, că deoarece, la toate elementele, un atom-gram conține același număr de atomi, înseamnă că, *același număr de atomi necesită aceeași cantitate de căldură, pentru ca temperatura*

*să se ridice cu un grad, indiferent de natura lor.*

Legea lui Dulong și Petit, pe lângă valoarea ei ca punct de plecare pentru dezvoltările teoretice, mai are și o importanță practică deosebită, fiindcă ne permite să deducem masa relativă a atomilor din simpla cunoaștere a căldurii specifice.

**Căldura molară este aproximativ egală cu suma căldurilor atomice.**

O completare la această lege ne-o dă legea lui *Joule și Kopp*, după care *căldura molară a unui corp*

*compus este aproximativ egală cu suma căldurilor atomice, dacă le măsurăm la o temperatură suficient de ridicată.*

Datele de mai jos ne arată în ce măsură legea de faţă este în acord cu experienţa.

Tabela 8

Corpul compus	C (teoretic)	C (experimental)	$t^\circ$
CuO . . . . .	$2 \cdot 6 = 12$	11,3	+500
NaCl . . . . .	$2 \cdot 6 = 12$	12,1	normală
CaCl <sub>2</sub> . . . . .	$3 \cdot 6 = 18$	18,2	normală
BaCl <sub>2</sub> . . . . .	$3 \cdot 6 = 18$	18,6	normală

La molecule mai mari, concordanţa nu mai este satisfăcătoare.

Revenind la tendinţa către zero a căldurilor atomice, la temperaturile foarte joase, mai menţionăm că aceste fapte au servit lui *Nernst* ca să demonstreze imposibilitatea teoretică a realizării temperaturii de zero absolut.

**4. Căldura specifică a gazelor.** După condiţiile în care facem determinarea, va trebui să deosebim aici două situaţii extreme, cu o infinitate de altele intermediare, şi anume:

La gaze deosebim o căldură specifică la presiune constantă, alta la volum constant şi o infinitate de situaţii intermediare.

1) o căldură specifică la presiune constantă, pe care o notăm cu  $c_p$ ;

2) o căldură specifică la volum constant, notată cu  $c_v$ .

La presiune constantă, determinarea se poate face prin metodele calorimetrice obişnuite. O cantitate cunoscută de gaz trece printr-o spirală, cufundată în apa calorimetrului (fig. 287).

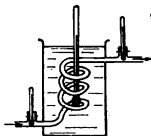


Fig. 287. Determinarea lui  $c_p$ .

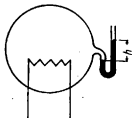


Fig. 288. Determinarea lui  $c_v$ .

Se măsoară temperatura gazului la intrare şi la ieşire, precum şi variaţia temperaturii apei.

Trecerea prin spirală trebuie să decurgă cât mai încet, ca să nu apară variații de presiune.

*La volum constant*, determinarea este ceva mai dificilă, fiindcă vasul în care închidem gazul are o capacitate calorică mult mai mare decât dînsul.

Ea se poate face, totuși, în condiții destul de bune, dacă încălzim gazul atît de repede, încît pereții vasului să nu aibă timp să fure din căldura transmisă.

Această încălzire rapidă se face cu o spirală metalică, parcursă de un curent electric (fig. 288).

Legile cunoscute din electricitate ne permit să calculăm cantitatea de căldură dezvoltată, iar variația temperaturii gazului se determină prin variația de presiune, măsurată cu un manometru.

Obişnuit se preferă însă metodele indirecte, prin care determinăm întîi raportul  $c_p/c_v$  și calculăm pe  $c_v$  cu ajutorul lui  $c_p$  determinat pe cale directă.

Una din aceste metode indirecte este a lui *Clément-Desormes*<sup>1)</sup>.

Aparatul constă dintr-un vas mare de sticlă, prevăzut cu un robinet și cu un manometru (fig. 289).

1) Se suflă întîi aer în flacon sau se introduce un gaz, sub o presiune ceva mai mare decît cea exterioară.

Așteptăm apoi ca gazul să ia temperatura mediului și notăm diferența de nivel  $h_1$  arătată de manometru.

2) Se deschide, pentru o clipă, robinetul, apoi îl închidem la loc.

Gazul se destinde brusc, iar lucrul mecanic necesar pentru învingerea presiunii exterioare absoarbe căldură și-l răcește.

Așteptăm iarăși egalizarea temperaturilor și citim noua indicație a manometrului  $h_2$ .

Se poate demonstra că raportul căldurilor specifice, pe care-l notăm cu  $\alpha$ , este dat de relația

$$\alpha = \frac{c_p}{c_v} = \frac{h_1}{h_1 - h_2}.$$

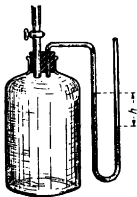


Fig. 289. Metoda Clément-Desormes pentru determinarea raportului  $c_p/c_v$ .

<sup>1)</sup> Nicolas Clément-Desormes (1779—1842), fizician francez.

O altă metodă folosită curent se bazează pe determinarea vitezei sunetului. Asupra ei vom discuta mai târziu.

Mai jos dăm căldurile molare  $C_p$  și  $C_v$  ale citorva substanțe gazoase, exprimate în cal/grd·mol și determinate la temperatura de +15 °C.

Tabela 9

Substanța	Simbolul	$C_p$	$C_v$	$\alpha = \frac{C_p}{C_v}$
Heliu	He	5,00	2,98	1,67
Argon	Ar	5,07	2,98	1,65
Hidrogen	H <sub>2</sub>	6,87	4,87	1,41
Azot	N <sub>2</sub>	6,84	4,96	1,41
Oxigen	O <sub>2</sub>	6,90	4,99	1,40
Oxid de carbon	CO	7,01	5,01	1,40
Vapori de apă	H <sub>2</sub> O	8,65	6,65	1,31
Metan	CH <sub>4</sub>	8,51	6,51	1,30
Cloroform	CHCl <sub>3</sub>	17,2	15,2	1,13
Alcool etilic	C <sub>2</sub> H <sub>5</sub> OH	20,9	18,9	1,11

Examinarea datelor experimentale ne permite să deducem o serie de fapte deosebit de interesante:

$$C_p > C_v.$$

$$C_p - C_v \approx \text{const.}$$

$C_p / C_v \approx 1,66$  la gazele monoatomice și scade o dată cu creșterea numărului atomilor din moleculă.

a) În general, *căldura specifică și cea molară, la presiune constantă, sînt mai mari decît la volum constant.*

Faptul se datorește lucrului mecanic pe care trebuie să-l efectueze gazul în dilatație, ca să în-

vingă presiunea exterioară și să-și mențină presiunea proprie constantă.

b) *Diferența  $C_p - C_v$  este aproximativ aceeași pentru toate gazele, fiindcă egalitatea coeficienților de dilatație implică același lucru mecanic, împotriva presiunii exterioare.*

c) *Gazele cu același număr de atomi în moleculă au aproximativ aceleași călduri molare, atît la presiune constantă, cît și la volum constant.*

d) *Raportul*

$$\alpha = \frac{C_p}{C_v} = \frac{c_p}{c_v}$$

*depinde de numărul atomilor din molecula gazului.*

El atinge valoarea maximă, de aproximativ 1,6, la gazele cu molecula monoatomică (de pildă la vaporii metalici sau la gazele nobile), coboară pe la 1,4 la cele biatomice ( $H_2$ ,  $O_2$ ,  $N_2$  etc.) și scade mai departe, tinzînd către unitate, pe măsură ce molecula devine din ce în ce mai complexă.

Această lege, stabilită experimental de *Clément-Desormes*, servește ca punct de plecare pentru diverse considerații teoretice, asupra cărora vom reveni mai tîrziu.

Cu ajutorul ei putem afla ușor numărul atomilor din molecula unui gaz, din simpla determinare a raportului  $C_p/C_v$ .

5. *Exemple numerice.* 1) Un corp de 100 g are căldura specifică 0,5 cal/g.grd și este încălzit la  $+100^\circ C$ . Îl introducem în 500 g apă, la temperatura de  $+10^\circ C$ . Care este temperatura finală?

Relația

$$M_c \cdot c (t_1 - t_2) = M_a \cdot (t_2 - t_0)$$

ne dă

$$0,5 \cdot 100 (100 - t_2) = 500 \cdot (t_2 - 10)$$

și rezultă

$$10\,000 = 550\, t_2,$$

sau

$$t_2 = 18,18^\circ C.$$

2) În 25 g apă la  $+12^\circ C$  punem un corp de 10 g cu temperatura de  $+80^\circ C$ . Amestecul la temperatura finală de  $+14^\circ C$ . Care este căldura specifică a corpului?

Relația

$$c = \frac{M_a (t_2 - t_0)}{M_c (t_1 - t_2)}, \quad (120.2)$$

ne dă

$$c = \frac{25 (14 - 12)}{10 (80 - 14)} = 0,07 \text{ cal/g.grd.}$$

## CAPITOLUL XIII

### SCHIMBĂRI DE STARE

§ 121. **Topirea și solidificarea.** Trecerea corpurilor, prin încălzire, de la starea solidă la cea lichidă se numește *topire*, iar fenomenul invers este *solidificarea*.

La corpurile amorfe, această trecere se face treptat, prin intermediul stării păstoase.

Există și corpuri numeroase care nu se topesc, ci se descompun prin încălzire.

*In cele ce urmează nu ne vom ocupa decât de corpurile cristalizate, în stare pură, la care topirea este bruscă și are loc la o temperatură bine determinată, întotdeauna aceeași, la presiune dată.*

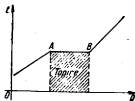


Fig. 290. În timpul topirii, căldura primită de un corp nu-i modifică temperatura.

Studiind procesul încălzirii la aceste corpuri și reprezentând printr-o curbă variația temperaturii, în funcție de cantitatea de căldură primită, aspectul acestei curbe este acela din fig. 290, pe care distingem trei porțiuni:

a) câtă vreme corpul este încă solid, temperatura suferă o creștere continuă și liniară;

b) în A începe topirea; de aici înainte temperatura staționează, oricâtă căldură am da corpului, până la transformarea lui totală în lichid;

c) în B topirea s-a terminat, iar temperatura lichidului crește mai departe liniar, cu altă pantă decât la solid.

În timpul topirii, căldura transmisă nu se manifestă prin ridicare de temperatură și este absorbită numai pentru schimbarea de stare.

Deducem că, *atât vreme cât durează topirea, căldura primită de corp nu se manifestă prin urcare de temperatură, ci servește numai ca să producă schimbarea de stare.*

Răcirea urmează curba în sensul invers, iar temperatura de solidificare coincide cu aceea de topire.

Supratopirea întirzie solidificarea, dar constituie o situație nestabilă care dispare dacă agităm lichidul sau introducem particule solidificate.

Adesea, corpul răcit poate să rămână mai departe sub forma lichidă, chiar dacă temperatura coboară sub punctul de topire. Fenomenul se numește *supratopire* și reprezintă o situație nestabilă,

fiindcă solidificarea începe imediat ce agităm lichidul sau introducem înăuntru o particulă deja solidificată.

*Temperatura se urcă atunci de la sine, pînă la punctul de topire cunoscut și se menține apoi constantă, pînă la solidificarea completă.*

Repetînd operația de mai multe ori și cu corpuri diferite, ne putem convinge că *temperatura de topire este o caracteristică a fiecărei substanțe și totdeauna aceeași, dacă nu modificăm presiunea care se exercită asupra ei.*

Am arătat că topirea este urmarea directă a ruperii de echilibru a rețelei cristaline, datorită intensificării mișcărilor de agitație termică, survenite prin ridicarea temperaturii.

De asemenea, la pag. 367 am dat temperaturile de topire la diferite corpuri și folosirea lor ca puncte de reper pentru gradarea termometrelor.

Deosebit de interesant este studiul topirii aliajelor, atît ca fenomen în sine, cît și prin aplicațiile lui practice.

Referindu-ne la cazul particular mai simplu al aliajelor așa-zise *binare*, compuse din două metale, se constată în primul rînd că temperatura lor de topire depinde de proporția în care intră metalele de bază.

Pe curba reprezentativă apar însă, de cele mai multe ori, puncte particulare de întoarcere bruscă, ce ne arată formarea de *combinații chimice bine definite*.

Ca exemplu, am reprezentat în fig. 291 variația temperaturii de topire a aliajelor *cupru-magneziu*, în funcție de cantitatea de magneziu, exprimată în procente.

Se formează aici combinațiile  $\text{Cu}_2\text{Mg}$  și  $\text{CuMg}_2$  cu punctele de topire de  $730^\circ$  și  $555^\circ\text{C}$ , precum și o a treia combinație cu punctul de topire la  $485^\circ\text{C}$ .

Iată deci cum, uneori, aliajul se topește mult mai ușor decît oricare din metalele ce intră în compunerea lui.

**Temperatura de topire a aliajelor poate fi mai coborîtă decît a oricăreia din metalele care intră în compoziția lor.**

Tot așa, bronzul cu 33% staniu și 67% cupru se topește la  $750^\circ$ , în timp ce cuprul curat se topește la  $1084^\circ\text{C}$ .

Tinichigii întrebuințează la sudură un aliaj cu 36% plumb și 74% cositor. Plumbul se topește la  $327^\circ$ , cositorul la  $232^\circ$ , iar aliajul acesta la  $181^\circ$ .



Cu aliajele ternare sau cuaternare putem obține puncte de topire și mai joase. De pildă aliajul lui Wood, compus din staniu, plumb, cadmiu și bismut, se topește la  $65^{\circ}\text{C}$ .

Temperaturile din cuptoarele de ars porțelanul se măsoară adesea cu niște conuri de 1—2 cm înălțime, făcute din metale sau aliaje, cu temperatura de topire cunoscută, pe care le introducem acolo și observăm topirea lor.

Astfel, conurile din fig. 292 arată o temperatură de aproximativ  $+900^{\circ}\text{C}$ .

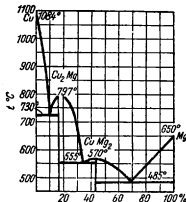


Fig. 291. Temperatura de topire a aliajelor depinde de proporția în care intră metalele componente.



Fig. 292. Conuri Seger.

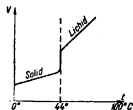


Fig. 293. Variația volumului în timpul topirii.

Acestea sînt așa-numitele *conuri Seger*. Metoda nu este precisă, dar este simplă, comodă și evită întrebuințarea aparatelor costisitoare.

1. *Variația de volum la topire.* Experiența ne arată că, afară de rare excepții, *corpurile își măresc volumul cînd se topesc și se contractă prin solidificare.*

Cu rare excepții, topirea mărește volumul corpurilor.

Astfel, dacă turnăm parafină topită într-un tipar, după solidificare apare în mijlocul ei o concavitate.

Aceste variații de volum nu trebuie să fie confundate cu fenomenele de dilatare propriu-zisă.

Rămânînd la exemplul parafinei, dacă îi reprezentăm variația volumului în funcție de temperatură, curba are aspectul din fig. 293.

După dilatarea regulată a fazei solide, urmează o creștere bruscă, la punctul de topire, și apoi altă dilatare regulată a lichidului.

*Impiedicînd creșterea de volum, printr-o comprimare din exterior, va trebui deci să ne așteptăm ca temperatura de topire să fie ceva mai ridicată decît la presiunea normală.*

Comprimarea, împiedicînd creșterea de volum, ridică temperatura de topire.

Experiența confirmă în totul această prevedere.

Datele de mai jos arată variația temperaturii de topire cu presiunea, la parafină, pînă la 100 at.

Presiunea în atmosfere	Temperatura de topire
1	+46,3°
85	+48,9°
100	+49,9°

*O excepție de la regulă o găsim la apă, fiindcă volumul ei crește prin înghețare, în loc să scadă.*

Apa își micșorează volumul prin topire și presiunea micșorează temperatura de solidificare.

Faptul are aceeași explicație ca și densitatea maximă, observată

la +4 °C. El se datorește formării de asociații moleculare, la temperaturile joase.

Putem prevedea deci că, în urma comprimării, apa îngheață sau se topește la o temperatură ceva mai joasă decît la presiunea normală și experiența ne arată, în adevăr, o scădere de 0,0075 °C cînd presiunea crește cu o atmosferă.

Dacă sprijinim o sîrmă pe un bloc de gheață și atîrnăm de dînsa niște greutăți, o putem face să străbată blocul dintr-o parte în alta, fiindcă gheața se topește prin apăsare și apoi se solidifică la loc (fig. 294).

O verificare și mai simplă o facem iarnă, pe vreme moale, cînd se apropie dezghețul și crește lunecuşul.

Greutatea corpului topește gheața și lunecăm pe un strat subțire de apă, care apoi îngheață din nou.

Cît despre creșterea de volum prin înghețare, ea este de aproape 10%. De aceea, gheața plutește și vasele cu apă crapă la ger. Presiunea dezvoltată este atît de mare, încît poate să despice pietrele și chiar să spargă un obuz de artilerie.

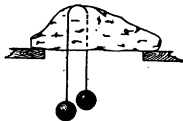


Fig. 294: Prin apăsare gheața se topește și lasă sîrma să o străbată.

În timpul procesului de topire, ne arată că viteza de agitație termică și energia cinetică a moleculelor nu mai cresc, deși se absoarbe căldură.

Inseamnă că *toată energia calorică transmisă corpului servește numai ca să rupă echilibrul rețelei cristaline și să creeze o situație nouă, cu mai multă libertate de mișcare. Aceasta implică o absorbție de lucru mecanic împotriva forțelor de coeziune, deci o creștere a energiei potențiale interne.*

În cele ce urmează vom numi *căldură sensibilă* aceea care modifică temperatura corpului, prin variația energiei cinetice a moleculelor, și *căldură latentă* aceea care lasă temperatura neschimbată și se absoarbe ca energie potențială.

Prin urmare, dacă avem un corp la temperatură mai joasă decît aceea de topire, schimbarea de stare absoarbe atît căldură sensibilă, cît și căldură latentă.

Dacă el se găsește chiar la punctul de topire, căldura absorbită este numai latentă.

**Căldura latentă**, necesară pentru topirea unui gram de substanță se numește *căldură de topire*.

*Vom numi deci căldură de topire cantitatea de căldură latentă, necesară pentru topirea unui gram de substanță.*

Ea se exprimă în *calorii pe gram* sau în *kilocalorii pe kilogram* și se notează convențional cu litera  $L$ .

Adesea folosim și noțiunea de *căldură molară de topire*. Ea reprezintă căldura latentă necesară pentru topirea unei *mole-cule-gram* de substanță și se exprimă în *calorii pe mol*.

Dacă substanța se găsește la o temperatură  $t_0$ , inferioară aceleia de topire  $t$ , trebuie întâi să o încălzim și se absoarbe căldura sensibilă

$$Q_s = c(t - t_0) \text{ cal/g.}$$

Pe de altă parte, topirea însăși necesită căldura latentă

$$Q_l = L \text{ cal/g.}$$

*Suma acestor cantități de căldură, pentru un gram de substanță, reprezintă, prin definiție, căldura totală de topire.*

**Suma căldurilor sensibile și latentă, pentru un gram de substanță, nedă căldura totală de topire.**

Este evident că, în timp ce căldura latentă de topire este constantă, pentru o substanță dată, căldura totală de topire depinde de temperatura inițială.

1) Determinarea căldurii de topire se face calorimetric și aparatul trebuie să fie adaptat condițiilor de temperatură, fiindcă punctul de topire poate să fie foarte ridicat sau foarte coborât. Uneori putem folosi apa ca substanță calorimetrică. Alteori vom recurge la mercur, gaze lichide, blocuri metalice cu căldură specifică cunoscută, etc.

De asemenea, putem încălzi substanța pe cale electrică și calcula cantitatea de căldură transmisă.

Ca exemplu, dăm o metodă simplă pentru măsurarea căldurii de topire a apei.

Într-un calorimetru care conține  $M$  grame de apă, la temperatura  $t_1$ , introducem  $m$  grame de gheață, cu temperatura de  $0^\circ\text{C}$ .

Apă din calorimetru se răcește pînă la temperatura  $t_2$  și cedează cantitatea de căldură

$$Q_1 = M(t_1 - t_2).$$

Topirea celor  $m$  grame de gheață absoarbe căldura

$$Q_2 = mL,$$

Iar apa rezultată din topire se încălzește de la  $0^\circ$  pînă la temperatura finală  $t_2$  și absoarbe căldura

$$Q_3 = mt_2.$$

Căldura cedată fiind egală cu căldura primită, vom avea

$$Q_1 = Q_2 + Q_3;$$

din care, făcînd înlocuirile, deducem căldura de topire

$$L = (t_1 - t_2) \frac{M}{m} - t_2 \text{ cal/g.}$$

Mai jos dăm căldurile de topire la cîteva corpuri:

Tabela 10

Substanța	Temperatura de topire, în °C	Căldura de topire, în cal/g
Apă . . . . .	0	80
Fosfor . . . . .	46'	5
Staniu . . . . .	231,8	14
Plumb . . . . .	327	5,5
Argint . . . . .	960,5	26
Aur . . . . .	1 063'	15,9
Cupru . . . . .	1 084	42
Fier . . . . .	1 530	49
Platină . . . . .	1 773,5'	27

În comparație cu alte corpuri din natură, apa are căldura specifică și căldura de topire neobișnuit de mari.

Pentru viața de pe pămînt, aceasta are importanță deosebită, fiindcă astfel se regularizează variațiile de temperatură.

§ 122. **Vaporizarea și condensarea.** Trecerea unui lichid la starea gazoasă se numește *vaporizare*, iar fenomenul invers este *condensarea* sau *lichefierea*.

Unele lichide, ca alcoolul, eterul sau benzina, se vaporizează foarte repede în aer. Ele sînt *volatile*.

Altele, ca uleiul, mercurul sau glicerina, se vaporizează foarte încet și se numesc *lichide fixe*.

1. *Vaporizarea în vid.* Un lichid volatil, pus în vid, se vaporizează aproape instantaneu, dacă are la dispoziție un spațiu destul de mare, dar dacă spațiul este limitat, vaporizarea decurge după anumite legi, pe care ne propunem să le cercetăm.

1) Într-un tub barometric introducăm cu o pipetă o cantitate mică de eter (fig. 295).

Eterul se ridică spre suprafața mercurului, se vaporizează și coloana barometrică se coboară.

Rezultă că vaporii ce s-au format în camera barometrică exercită o presiune pe care o măsurăm prin coborîrea colcănei de mercur.

Continuînd să introducem cantități noi de lichid, mercurul se lasă din ce în ce mai jos (fig. 295, *a, b, c*), apoi rămîne la o înălțime constantă și eterul introdus de aci înainte nu se mai vaporizează, dacă temperatura rămîne constantă (fig. 295, *d, e, f*).

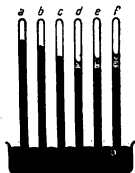


Fig. 295. Vaporii saturați și nesaturați.



Fig. 296. Presiunea vaporilor saturați nu depinde de volum

Vom spune că, în acest moment, vaporii de eter au atins *presiunea maximă* la temperatura experienței și au devenit *vapori saturați*.

În momentul cînd vaporizarea sistează, spațiul disponibil este saturat, iar vaporii au atins presiunea maximă.

2) Introducem în camera barometrică un exces de lichid și facem să varieze volumul ei, cufundînd mai mult sau mai puțin tubul barometric, în cuva cu mercur (fig. 296).

Constatăm atunci că *scăderea volumului produce o condensare a vaporilor*, iar *creșterea lui o scădere a cantității de lichid*, dar *nivelul coloanei de mercur nu se schimbă, cîtă vreme temperatura nu variază*.

**Legea lui Boyle-Mariotte nu se aplică la vaporii saturanți, fiindcă presiunea lor nu depinde de volum.**

Deducem că *legea lui Boyle-Mariotte nu se aplică la vaporii saturanți, fiindcă presiunea lor este independentă de volum.*

3) Încălzind uniform spațiul ocupat de vaporii, pe toată lungimea lui, mai putem constata că, pe măsură ce temperatura crește, coloana de mercur se coboară și lichidul se împuținează.

Deducem că *presiunea vaporilor saturanți crește cu temperatura.*

4) În fine, dacă înlocuim eterul prin alte lichide, în cantitate suficientă ca să formeze vaporii saturanți, constatăm că, *la temperatură egală, presiunea lor depinde de natura lichidului.*

**Presiunea vaporilor saturanți crește cu temperatura și depinde de natura lichidului.**

Prin urmare, vaporii saturanți ascultă de cu totul alte legi decât gazele reale sau ideale, cu toate că sînt în stare gazoasă.

În limbajul obișnuit, expresia *vapori* se aplică de obicei corpurilor gazoase, pe care la temperatura ordinară le găsim și în starea lichidă. Spunem *vapori de apă* sau *vapori de mercur*, dar nu putem spune *vapori de aer* sau *vapori de hidrogen*.

În fizică, aceste expresii se întrebuintează, totuși, cînd substanța respectivă se găsește în apropierea punctului de lichieficere.

Mai jos dăm presiunea vaporilor saturanți la cîteva lichide, exprimată în milimetri coloană de mercur sau în atmosfere în funcție de temperatură.

Temperatura, în °C	Mercur în mm	Apă	Eter
0	0,000 19	4,6 mm	185 mm
10	0,000 50	9,2 mm	292 mm
20	0,001 3	17,5 mm	440 mm
50	0,013	92,5 mm	—
100	0,29	1 at	6,5 at
120	0,76	2 at	10 at
180	11,0	9,9 at	37 at
250	75,8	39,4 at	—
350	663,2	167 at	—
356,7	760	—	—

2. *Principiul peretelui rece.* Experiența ne arată că, într-un spațiu cu vaporii saturanți nu putem ridica presiunea încălzind numai lichidul sau numai o porțiune restrînsă a peretelui, fiindcă vaporii merg să se condenseze în regiunile mai reci.

Intr-un spațiu cu vapori saturați presiunea este dictată de temperatura cea mai joasă.

*Prin urmare, dacă temperatura unui spațiu ocupat de vapori saturați nu este uniformă, presiunea lor este aceea care corespunde temperaturii celei mai joase.*

Acesta este principiul peretelui rece, sau principiul lui Watt.

3. *Vaporizarea în gaze.* Dacă introducem un lichid într-un vas închis, în care se mai află și un gaz oarecare, sau vaporii altui lichid, la presiunea inițială  $p_1$ , constatăm că presiunea finală  $p$  devine

$$p = p_1 + p_2,$$

în care  $p_2$  este presiunea vaporilor saturați ai lichidului, la temperatura experienței, și că această presiune nu este modificată de prezența gazului străin (fig. 297).

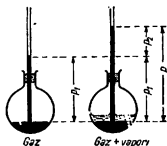


Fig. 297. Vaporizare în gaze.

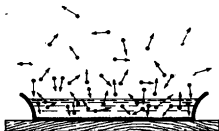


Fig. 298. Mecanismul evaporării libere

Pe aceste fapte, Dalton <sup>1)</sup> a enunțat următoarea lege:

Presiunile parțiale ale gazelor sau vaporilor saturați nu se influențează reciproc și presiunea totală este egală cu suma lor.

*Intr-un amestec de gaze sau vapori, presiunile parțiale nu se influențează reciproc, dacă nu au loc reacții chimice și presiunea totală este egală cu suma lor.*

<sup>1)</sup> John Dalton (1766—1844), medic, fizician și chimist englez. A descoperit legea proporțiilor multiple a reacțiilor chimice, pe care se fundamentează, în parte, teoria atomică.



Această lege este numai aproximativă, fiindcă nu se aplică la presiunile mari.

4. *Evaporarea în aer liber.* Să considerăm o cantitate de lichid, într-un vas deschis (fig. 298).

În mișcarea lor de agitație termică, unele dintre molecule se îndreaptă din interior către suprafața lichidului și, dacă au viteza suficient de mare, izbutesc să scape de atracția celorlalte și să iasă afară, unde continuă mișcarea de agitație.

O parte din ele se împrăstie în spațiu, dar altele, pe care numai întîmplarea le face să meargă înapoi spre lichid, pătrund la loc înăuntru.

Într-un spațiu limitat, moleculele scăpate din lichid nu se pot împrăstia. Ingrămădirea lor crește mereu și, de la o vreme, se stabilește un *echilibru dinamic*, adică numărul celor care scapă, într-un timp dat, este egal cu al celor care intră.

Saturația reprezintă o situație de echilibru dinamic.

*În acest moment am atins saturația.* Dacă, din contra, evaporarea se face în aer liber, cele mai

multe din moleculele care au ieșit se împrăstie în spațiu și numai o mică parte se întoarce înapoi.

Cantitatea de lichid scade atunci treptat, pînă la dispariție.

După aceste explicații, sîntem în măsură să deducem care sînt legile evaporării în aer liber.

Viteza de evaporare crește cu temperatura și cu mărimea suprafeței libere.

1) Dacă temperatura crește, agitația termică se intensifică și moleculele pot să iasă mai ușor din lichid.

Rezultă că *evaporarea se face cu atît mai repede, cu cît temperatura este mai ridicată.*

2) Dacă suprafața liberă a lichidului este mai întinsă, ieșirea moleculelor este de asemenea favorizată.

Prin urmare, *evaporarea este mai rapidă pe suprafețele întinse.*

Vîntul activează evaporarea.

3) Dacă bate vîntul, moleculele ieșite sînt măturate imediat și nu se mai pot întoarce înapoi.

*Așadar, vîntul activează evaporarea.*

4) Se poate întâmpla ca atmosfera în care se face evaporarea să fie dinainte încărcată cu vaporii aceluiași lichid. În cazul acesta numărul moleculelor care intră în lichid devine mai mare.

Viteza de evaporare este direct proporțională cu factorul de evaporare.

*ne arată că viteza de evaporare este direct proporțională cu diferența  $p_1 - p_2$ , care se numește factor de evaporare.*

5) În sfârșit, dacă presiunea exterioară crește, numărul de molecule din vecinătatea suprafeței libere devine mai mare, așa că acelea care scapă din lichid se strecoară mai greu prin înibulzeală și întârzie să se împrăstie în spațiu.

Creșterea presiunii exterioare întârzie evaporarea.

*Întoarcerea lor în masa lichidă fiind astfel favorizată, evaporarea se va face mai încet.*

Am văzut de altfel că, în vid, vaporizarea unei cantități mici de lichid este aproape instantanee, fiindcă nimic nu mai împiedică moleculele să se împrăstie în spațiu.

5. *Variația temperaturii la evaporare.* În mișcarea de agitație termică nu toate moleculele au aceeași viteză. Unele se mișcă mai încet și pot fi considerate mai reci, altele se mișcă mai repede și vom spune că sînt mai calde.

*În procesul de evaporare vor putea să plece din lichid mai ales moleculele rapide.*

Cele mai lente, neavînd energie cinetică suficientă, nu se pot îndepărta, fiindcă forțele de coeziune le frînează la ieșire și le întorc înapoi.

Evaporarea coboară temperatura lichidului.

Ca urmare, dacă lăsăm un lichid să se evapore și nu-i dăm căldură, temperatura lui trebuie să scadă.

Verificarea o putem face ușor dacă udăm mina cu apă și suflăm asupra ei, ca să activăm evaporarea.

Fenomenul are numeroase aplicații practice, de pildă:

1) Se știe că, pe timp de vară, putem păstra băuturile reci dacă înfășurăm sticla într-un șervet ud și o punem în bătaia vîntului. Spaniolii

folosesc vase poroase, numite *alcarasas*, la care lichidul străbate încet afară, menține peretele ud și asigură răcirea prin evaporare.

2) Pe timp de arșiță, gospodinele atîrnă la ferestre cerșafuri ude. Pe acest principiu se construiesc și ventilatoare electrice, care suflă aerul prin pisle, pe care picură apă.

3) Dacă evaporăm apă în vid și absorbim cu acid sulfuric concentrat vaporii care se formează, evaporarea devine atît de intensă, încît răcește apa pînă la înghețare.

Răcitoarele moderne, folosite în industrie, în restaurante sau în gospodării, funcționează pe același principiu, numai că apa este înlocuită cu amoniac lichid.

4) Chirurgii folosesc, în operațiile mici, o anestezie locală, prin răcirea intensă a țesutului, produsă de evaporarea foarte rapidă a *clorurii de metil*.

**6. Căldura de vaporizare.** Moleculele care au scăpat din lichid, prin procesul de vaporizare, nu pot să păstreze toată energia lor cinetică, fiindcă:

1) Ele trebuie să se depărteze una de alta, ca să treacă de la volumul mai mic al lichidului, la volumul mai mare al vaporilor.

Inseamnă că o primă parte din energia cinetică va fi absorbită ca energie potențială, prin lucrul mecanic efectuat împotriva forțelor de coeziune.

Ca și la topire, această energie potențială se înmagazinează în vaporii formați, sub formă de *căldură latentă*, pe care o vom nota cu  $Q_{lat}$ .

2) Trecerea de la starea solidă la starea lichidă nu implică decît o variație mică de volum. Volumul vaporilor e însă mult mai mare decît al lichidului și lupta lor ca să-l ocupe va consuma o altă parte din energia cinetică, prin lucrul mecanic împotriva presiunii exterioare.

Vaporii se vor răci și vor pierde astfel cantitatea de căldură  $Q_{ext}$ , pe care o vom numi *căldură externă sensibilă*.

Prin urmare, dacă, prin plecarea moleculelor calde, lichidul a pierdut cantitatea de căldură  $Q$ , care este tot o căldură sensibilă, va trebuie să o regăsim la vaporii formați și deci

$$Q = Q_{lat} + Q_{ext} \quad (122.1)$$

Căldura latentă nu poate fi măsurată direct, decît dacă facem vaporizarea în vid. În cazul acesta, ea este egală cu căldura pierdută de lichid, fiindcă nu se mai consumă lucru mecanic exterior.

**La vaporizare,**

$$Q = Q_{\text{lat}} + Q_{\text{ext.}}$$

rea se face de obicei în aer sau în gaze.

De aceea, este preferabil să legăm definiția căldurii de vaporizare numai de cantitatea de căldură pierdută de lichid, fără a mai ține seamă de transformările ei ulterioare, în masa de vapor.

Ca s-o evaluăm, ar trebui să cunoaștem precis căldura specifică a lichidului, care știm că variază cu temperatura și nu poate fi determinată decît cu oarecare erori.

Ca să evităm această complicație, îl vom obliga să-și mențină temperatura constantă, încălzindu-l de la exterior și măsurînd numai cantitatea de căldură pe care i-am dat-o.

**Căldura de vaporizare este cantitatea de căldură necesară formării unui gram de vapor la temperatură constantă.**

*Vom numi, deci, căldură de vaporizare cantitatea de căldură ce trebuie să o dăm unui lichid, ca să-și mențină temperatura constantă, în timpul formării unui gram de vapor.*

Ea se exprimă în *calorii pe gram* sau în *kilocalorii pe kilogram*. Uneori folosim și noțiunea de căldură moleculară de evaporare, pe care o exprimăm în *calorii pe mol*.

Căldura de vaporizare depinde de presiunea exterioară și de temperatură. De aceea, datele numerice trebuie să fie însoțite de specificarea condițiilor în care s-a făcut determinarea.

În lipsa acestor indicații, vom subînțelege că determinarea s-a făcut la temperatura de fierbere, sub presiunea normală.

Fenomenul invers vaporizării se numește *condensare* sau *lichefiere*.

Experiența ne arată că tot așa cum solidificarea unei substanțe topite pune în libertate o cantitate de căldură egală cu aceea de topire, condensarea unei cantități de vapor liberează o cantitate de căldură, care se numește *căldură de condensare* și este egală, în condiții similare, cu căldura de vaporizare.

Aceste fenomene inverse au importanță climatică deosebită.

Ninsoarea ridică temperatura aerului, fiindcă s-a eliberat căldura de solidificare, iar formarea norilor și a ceații o ridică de asemenea, fiindcă se eliberează căldura de condensare.

**7. Determinarea căldurii de vaporizare** se poate face fie direct, fie prin căldura de condensare, cu metodele calorimetrice obișnuite, adaptate condițiilor impuse de situațiile particulare.

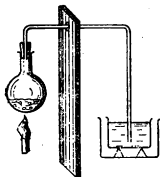


Fig. 299 reprezintă un dispozitiv simplu care poate fi realizat în orice laborator.

Se fierbe apă într-un balon, la care este adaptat un tub de sticlă, curbat în jos și cufundat într-un calorimetru cu apă.

Vaporii se condensează și cedează căldura apei.

Măsurăm temperaturile inițială și finală, apoi cântărim calorimetrul, ca să aflăm cantitatea de vaporii condensată, iar calculul căldurii de vaporizare, egală cu aceea de condensare, se face prin metoda arătată la determinarea căldurii de topire.

Mai jos dăm căldurile de vaporizare  $r$  ale câtorva lichide, exprimate în calorii pe gram și determinate la temperatura de fierbere, sub presiunea normală.

Tabela 11

Lichidul	Temperatura de fierbere, în $^{\circ}\text{C}$	Căldura de vaporizare, în cal/g
Apă . . . . .	+ 100	539,1
Alcool ordinar . . . . .	+ 78,3	202
Eter ordinar . . . . .	+ 34,6	90
Mercur . . . . .	+ 356,7	68
Dioxid de carbon . . . . .	- 78,5	142
Oxigen . . . . .	- 183	51
Hidrogen . . . . .	- 252,8	110

Căldura de vaporizare la apă este excepțional de mare. Calculul și măsurările directe au arătat că, din cele 539 cal/g, circa 500 cal/g reprezintă căldura latentă internă. Restul de aproape 40 cal/g se cheltuiește cu lucrul mecanic extern.

Aici apare încă o dată folosul pe care ni-l aduce apa, în desfășurarea fenomenelor climatice.

8. *Vapori suprasaturanți.* După cum lichidele pot fi răcite uneori pînă sub punctul de solidificare și rămîn în starea de supratopire, tot așa vaporii saturanți pot fi răciți uneori fără să se condenseze. Avem atunci o stare de *suprasaturație*, iar vaporii sînt *suprasaturanți*.

Suprasaturația este o situație nestabilă, mai ales în prezența firelor de praf sau a particulelor electrizate.

*Suprasaturația, ca și supratopirea, reprezintă o situație nestabilă. Ea nu poate să subsiste decît într-o atmosferă lipsită de praf, de fum sau de particule electrizate,*

*care au proprietatea să formeze centre de condensare.*

Așa se explică de ce primul fulger face să pornească ropotul de ploaie și de ce orașele industriale, unde se consumă cantități mari de cărbune, sînt cu deosebire bîntuite de ceață.

Vom vedea mai tîrziu cum însușirea particulelor electrizate, de a forma centre de condensare, servește în studiul fenomenelor de radioactivitate și transmutații atomice.

9. *Vapori nesaturanți.* Cînd cantitatea de lichid aflată într-un spațiu dat nu e suficientă ca să producă saturația, vaporii sînt *nesaturanți*.

Experiența ne arată că, *spre deosebire de vaporii saturanți, a căror presiune nu depinde de volum,*

Vaporii nesaturanți se apropie cu atît mai mult de gaze, cu cît sînt mai departe de punctul de condensare.

*vaporii nesaturanți urmează cu atît mai bine legile lui Boyle-Mariotte și Gay-Lussac, cu cît temperatura sau volumul lor îi duce mai departe*

*de punctul de condensare, adică mai departe de saturație.*

Ei pot să devină saturanți, dacă-i comprimăm și răcim atîta încît să apară primele picături de lichid.

Invers, vaporii saturanți pot să devină nesaturanți prin încălzire sau printr-o creștere de volum, suficiente ca să ducă la vaporizarea totală a lichidului.

De aceea, vaporii nesaturanți se mai numesc și *vapori supraîncălziți*.

Ca să evite condensarea prematură și din alte motive pe care le vom arăta ulterior, mașinile moderne cu aburi folosesc întotdeauna vaporii supraîncălziți.

10. *Fierberea*. Spre deosebire de evaporarea obișnuită, unde vaporii se formează numai la suprafață, *fierberea produce vapori în toată masă lichidului*.

Sub o presiune dată, temperatura de fierbere este caracteristică fiecărui lichid în parte și constantă, în tot timpul fierberii.

*Experiența ne arată că sub o presiune dată, fiecare lichid are o temperatură de fierbere caracteristică, ce se menține constantă în tot timpul fierberii.*

De asemenea, se mai constată experimental că *fierberea începe în momentul când, prin ridicarea temperaturii, presiunea vaporilor saturați ai lichidului ajunge să egaleze presiunea exterioară, ce se exercită asupra lui.*

La fierbere, presiunea vaporilor saturați este egală cu cea exterioară. Temperatura de fierbere scade o dată cu presiunea.

*cepe în momentul când, prin ridicarea temperaturii, presiunea vaporilor saturați ai lichidului ajunge să egaleze presiunea exterioară, ce se exercită asupra lui.*

Putem deci prevedea că, dacă presiunea exterioară scade, lichidul va intra în fierbere la o temperatură mai joasă decât la presiunea normală.

Următoarea experiență, imaginată de Franklin<sup>1)</sup>, verifică această concluzie:

Fierbem apă într-un balon de sticlă, așleptăm un timp ca vaporii să alunge aerul din el și-l astupăm ermetic (fig. 300). Il întoarcem apoi cu fundul în sus și-l răcim cu apă.

Răcirea condensează vaporii formați, produce un vid parțial și apa din balon intră în fierbere.

Fenomenul are numeroase aplicații practice:

1) Putem fierbe și distila în laborator sau în industrii, sub presiune redusă și temperatură scăzută, lichide care, la presiunea normală, ar fierbe la o temperatură mult mai ridicată.

2) Presiunea atmosferică pe munți fiind mai mică decât la nivelul mării, putem să măsurăm înălțimea din simpla determinare a temperaturii de fierbere a apei.

Aceste aparate, ușor transportabile, se numesc *hipsometre* și sînt mai precise decât barometrele metalice.

3) Putem construi *autoclave*, în care apa fierbe sub presiunea ridicată a vaporilor proprii, la o temperatură mai mare decât la presiunea normală. Fig. 301 reprezintă o astfel de autoclavă.

<sup>1)</sup> Benjamin Franklin (1706—1790), în tinerețe tipograf, apoi ziarist, om de stat și cercetător de valoare în știință. A luptat pentru libertate și a fost unul din principalii făuritori ai independenței Statelor-Unite.

Cazanul este închis ermetic și prevăzut cu un manometru și cu o supapă de siguranță, ca să evite pericolul de explozie.

Autoclavele servesc în industrii, în laboratoare și la sterilizarea fiolelor și instrumentelor chirurgicale.

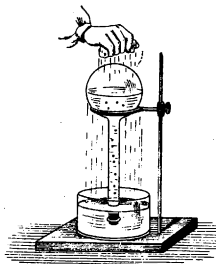


Fig. 300. Experiența lui Franklin.

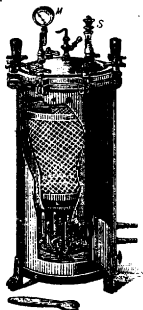


Fig. 301. Autoclavă.

Cele industriale depășesc uneori temperatura de  $+300^{\circ}\text{C}$ .

Pentru sterilizare este suficient să ne limităm la  $+120^{\circ}$ , fiindcă aceasta este temperatura maximă la care mai pot să reziste sporiile microbilor.

**11. Calefacția.** Adesea, picăturile de lichid, puse pe o placă metalică înroșită, se plimbă din loc în loc și se evaporă destul de încet, fiindcă sub ele se formează o pătură izolantă de vapori, care le sustrage contactului direct cu placa.

Fenomenul se numește *calefacție* și reprezintă o situație nestabilă, fiindcă dacă la un moment dat vaporii nu mai pot susține picătura, ea se evaporă brusc.

Calefacția este deosebit de periculoasă la cazanele mașinilor cu aburi, care nu au fost curățate la timp de calcarul ce se depune cu încetul din apă.

Această pătură de calcar interpusă face ca tabla cazanului, ne mai fiind în contact direct cu apa, să se încălzească pînă la



roșu. Dacă, în acest moment, crusta capătă o spărtură, apa vine în contact cu tabla, se produce calefacția, apoi evaporarea bruscă și presiunea poate să crească cu mult peste limita de rezistență a cazanului.

12. *Distilarea.* Se numește distilare evaporarea unui lichid, urmată de condensarea lui în altă parte, unde temperatura e mai joasă.

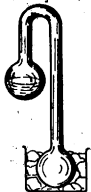


Fig. 302. Vaporii distilează în balonul răcit.

Procesul e o consecință a principiului peretelui rece.

Il putem observa ușor pe timp de iarnă, când apar florile de gheață pe ferestre, și în timp de vară, când vaporii din aer se condensează pe pereții unui vas cu apă rece.

Experiența se poate face și cu dispozitivul simplu din fig. 302. E destul să răcim cu gheață balonul gol.

În laborator sau în industrii, distilarea servește pentru separarea unui lichid de produsele solide dizolvate sau pentru separarea a două lichide, cu puncte de fierbere diferite.

La început, vaporii sînt mai bogați în lichidul care fierbe mai ușor, apoi, când acesta este pe sfîrșite, temperatura de fierbere se urcă și începe să treacă lichidul celălalt.

Operația se face de obicei cu dispozitivul arătat în fig. 303, în care vaporii formați trec printr-un refrigerent *R* cu apă rece.

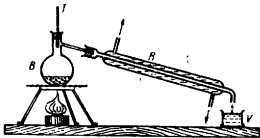


Fig. 303. Distilarea.

O singură distilare nu e suficientă, fiindcă vaporii lichidului mai volatil conțin și vaporii ai lichidului mai fix.

Instalații enorme de distilare sînt folosite mai ales în industria petroliferă.

Pe scară mai mică, le găsim în distilerii, unde se numesc *alambicuri*.

**13. Fierberea întîrziată.** Dacă fierbem o cantitate de apă, pentru a scoate aerul dizolvat, o lăsăm să se răcească și apoi o încălzim iarăși, constatăm că-i putem ridica temperatura cu cîteva grade peste 100 °C, fără să înceapă fierberea.

Cînd un lichid nu conține gaze dizolvate, fierberea lui întîrzie.

Fenomenul se numește *fierbere întîrziată* și explicația este foarte simplă: fără ajutorul bulelor

de aer, formarea vaporilor începe mai greu, fiindcă presiunea lor nu este încă suficientă ca să învingă forțele de coeziune ale lichidului și să le creeze spațiile de formare.

Fierberea întîrziată nu se mai produce și lichidul se comportă normal, dacă-l agităm sau dacă introducem înăuntru un corp care înglobează aer, de pildă o frîntură de porțelan poros.

Menționăm că ea reprezintă o *situație provizorie* și că temperatura coboară de la sine, pînă la valoarea normală, imediat ce începe fierberea.

O întîrziere analogă apare în cazul încălzirii pe la fundul vasului. Vaporii se formează, dar în drumul lor către suprafață, trec prin pături mai reci, unde se condensează la loc.

Adesea micșorarea bruscă a bulelor de vaporii dă naștere la șocuri în masa lichidă și produce un zgomot caracteristic, aproape muzical, care încetează imediat ce se instalează fierberea.

Zicem atunci că apa cîntă.

**14. Sublimarea.** Oricine știe că rufele ude se usucă chiar pe timp de ger și că unele substanțe solide își împrăstie mirosul într-o cameră întreagă.

Prin urmare, solidele, ca și lichidele, sînt capabile să emită vaporii.

Trecerea directă a unui solid la starea gazoasă, fără intermediul stării lichide, se numește *sublimare*.

*Această trecere directă de la starea solidă la starea gazoasă, fără intermediul stării lichide, se numește sublimare și poate să decurgă în ambele sensuri.*

După sensul transformării, fenomenul implică absorbția sau eliberarea unei cantități de căldură, care, raportată la gramul de substanță, reprezintă *căldura de sublimare*.

În condițiile obișnuite de presiune, sublimarea poate fi observată la numeroase corpuri, prin încălzire sau chiar la temperatura normală.

Iodul, acidul benzoic, clorura de amoniu sau clorura mercurică sînt numai cîteva exemple.

15. *Diagrama de stare; punctul triplu.* Să reluăm, ca exemplu, cazul apei.

Dacă măsurăm experimental presiunea vaporilor saturați înainte și după punctul de topire și reprezentăm variația ei, în funcție de temperatură, găsim curba notată cu *OPR* în fig. 304.

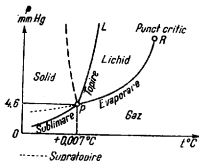


Fig. 304. Diagrama de stare.

Această curbă ne arată, totodată, și legătura dintre temperaturile de fierbere și presiunea exterioară, care știm că trebuie să fie egală cu a vaporilor saturați.

Punctul particular de întoarcere *P* îl găsim în imediata vecinătate a temperaturii de 0°C.

Este ușor de înțeles că, pentru orice punct care se află între această curbă și axa absciselor, substanța se găsește în stare de vapori.

Este ușor de înțeles că, pentru orice punct care se află între această curbă și axa absciselor, substanța se găsește în stare de vapori.

În adevăr, ea reprezintă limita de trecere între faza gazoasă, de o parte, și fazele solidă și lichidă, de cealaltă parte.

Rămine să vedem care este limita de separație dintre aceste ultime două faze.

Pentru aceasta vom trasa încă o curbă *PL*, care să ne reprezinte legătura dintre temperatura de topire și presiunea exercitată. Ținând seamă de proprietățile particulare ale apei, această curbă se va înclina după cum arată figura, fiindcă temperatura de topire crește cu presiunea.

*În stînga ei vom găsi faza solidă, iar în dreapta, faza lichidă.*

Diagrama de stare delimitează regiunile ocupate de fazele solidă, lichidă și gazoasă, care apar simultan în punctul triplu.

Am trasat astfel așa-numita diagramă de stare a apei, iar punctul *P*, în care fazele solidă, lichidă și gazoasă coexistă, se numește punctul triplu.

Din această diagramă se vede imediat că, dacă ne aflăm pe linia *PL* și mărim temperatura, gheața se topește.

Dacă ne aflăm pe linia  $OP$  și mărim temperatura, sau micșorăm presiunea, gheața sublimază la starea de vapori.

În lungul acestei linii, totul se petrece deci *ca și când* gheața ar intra în fierbere.

Dacă ne aflăm pe linia  $PR$ , creșterea temperaturii sau scăderea presiunii transformă apa lichidă în vapori.

Tot experimental, mai putem constata că punctul triplu al apei corespunde temperaturii de  $+0,007^{\circ}\text{C}$  și presiunii de 4,6 mm col. Hg pentru vaporii saturați.

Dacă, în locul apei, cercetăm alte corpuri, la care temperatura de topire crește cu presiunea, fapt care se petrece aproape totdeauna, curba  $PL$  se înclină spre stînga, cum este reprezentat punctat în figură.

Este de la sine înțeles că presiunea și temperatura ce corespund punctului triplu vor depinde de substanța cercetată, ca și celelalte amănunte ale curbelor.

**16. Puncte de transformare.** Topirea și fierberea nu sînt singurele fenomene cu temperatură staționară.

Manifestări analoge mai pot fi constatate și la numeroase alte fenomene, cînd e vorba de anumite transformări interne, care absorb căldură sub formă latentă, adică sub formă de energie potențială.

De aceea, noțiunea de *căldură latentă* se extinde la toate aceste fenomene și se numește, în general, *căldură de transformare*.

Între numeroasele exemple putem cita, bunăoară, schimbările alotropice.

**17. Ecuația lui Clausius-Clapeyron.** În general, transformările interne sînt însoțite de o variație a volumului, iar variația presiunii modifică temperatura la care au loc.

În cazurile acestea, se demonstrează teoretic și se verifică experimental că variația temperaturii absolute  $\Delta T$  este dată de relația

$$\Delta T = 0,0242 T \frac{V_1 - V_2}{Q} \Delta p, \quad (122.2)$$

numită *ecuația lui Clausius-Clapeyron*<sup>1)</sup> și în care  $T$  este tem-

<sup>1)</sup> *Rudolph Clausius* (1822—1888), fizician german, fost profesor la Bonn.

*B. P. E. Clapeyron* (1799—1864), inginer francez care a locuit la Moscova.

peratura normală de transformare,  $V_1$  reprezintă volumul molecular al substanței deasupra temperaturii de transformare,  $V_2$  este volumul molecular dedesubtul acestei temperaturi,  $Q$  este căldura moleculară de transformare și  $\Delta p$  exprimă variația de presiune.

Pentru verificare și o mai bună înțelegere să considerăm cazul topirii.

La un corp oarecare, volumul molecular după topire este mai mare decât volumul inițial. Urmează că

$$V_1 - V_2 > 0,$$

și temperatura de transformare crește o dată cu presiunea.

La apă, topirea micșorează volumul, așa că

$$V_1 - V_2 < 0,$$

iar creșterea presiunii coboară temperatura de topire.

§ 123. **Lichefierea gazelor.** Problema lichefierii gazelor se reduce la problema realizării condițiilor necesare, pentru a le aduce în starea de vapori saturați, adică *răcire* și *comprimare*.

**Lichefierea gazelor este condiționată de aducerea lor în starea de vapori saturați.**

În unele cazuri e suficientă o simplă *răcire*, cu un amestec refrigerent, de pildă gheață cu sare, sau o simplă *comprimare*, la temperatura normală.

Așa putem lichefia, între altele:

*anhidrida sulfuroasă*, la  $-8^\circ\text{C}$ , sub presiunea normală;  
*bioxidul de sulf*, la  $+30^\circ\text{C}$  și 4,5 at sau la  $+10^\circ$  sub 3,24 at;  
*amoniacul*, la  $+10^\circ\text{C}$  sub 6 at sau la  $+20^\circ\text{C}$  sub 8,4 at;  
*bioxidul de carbon*, la  $0^\circ\text{C}$  sub 35,4 at sau la  $+10^\circ$  sub 46 at.

În alte cazuri trebuie să folosim acțiunea combinată a comprimării și răcirii cât mai intense. Metoda a fost aplicată pentru prima dată de *Faraday*<sup>1)</sup>, la lichefierea *clorului* (fig. 305).

Cristali de hidrat de clor ( $\text{Cl} + 8\text{H}_2\text{O}$ ) sînt încălziți pe o baie, într-un tub de sticlă curbat și închis la ambele capete.

<sup>1)</sup> *Michael Faraday* (1791—1867), fizician și chimist englez autodidact. Din simplu ucenic la o legătură de cărți a ajuns unul din cei mai mari experimen-tatori cunoscuți în istoria fizicii. A descoperit legile inducției, care stau la baza electrotehnicii moderne, legile electrolizei, fenomenele magneto-optice, comportarea substanțelor în cîmpurile magnetice și electrice etc.

Celălalt capăt al tubului este cufundat într-un amestec refrigerent.

Presiunea o produce însuși clorul gazos care se degajă din substanța încălzită.

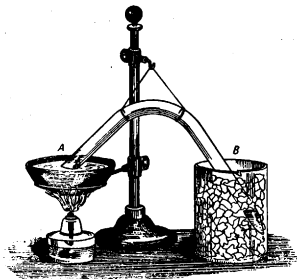


Fig. 305. Lichefierea clorului.

Tot Faraday a folosit, pentru prima dată, *metoda lichefierilor în cascadă*.

Evaporînd, sub presiune redusă, un gaz deja lichefiat, se produce o scădere de temperatură, pe care o folosim pentru lichefierea altui gaz. Acesta, la rîndul lui, poate să ne dea, tot prin evaporare, o temperatură și mai scăzută, cu care lichefiiem un al treilea și așa mai departe.

De pildă, prin evaporarea anhidridei sulfuroase lichide, putem lichefia bioxidul de carbon, iar acesta, evaporat mai departe, ne duce pînă la  $-140^{\circ}\text{C}$ .

Faraday nu a izbutit să lichefieze toate gazele cunoscute pe vremea lui, dar și-a dat seama că insuccesul se datorește numai mijloacelor insuficiente de răcire.

De atunci, metoda răcirilor în cascadă s-a perfecționat într-atita, incit *Kamerlingh Onnes*<sup>1)</sup> a izbutit, în 1908, să atingă temperatura de fierbere a heliului și apoi să-l solidifice, la  $-272^{\circ}\text{C}$ .

În prezent nu mai există gaze care să nu poată fi lichefiate și chiar solidificate, iar mijloacele de care dispunem permit producerea gazelor lichide pe scară industrială.

1. *Temperatura critică*. O primă lămurire, în desfășurarea procesului de trecere de la gaze la lichide, a venit cu o lucrare a lui *Mendeleev*<sup>2)</sup>, publicată în 1860, asupra variației tensiunii superficiale, în funcție de temperatură.

El constată experimental că, pentru toate lichidele cercetate, tensiunea superficială scade linear cînd crește temperatura și, extrapolînd pe dreptele reprezentative obținute, arată că, *la o anumită temperatură, trebuie să devie nulă* (fig. 306).

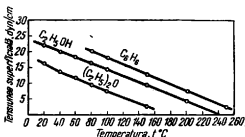


Fig. 306. Variația tensiunii superficiale cu temperatura.

Determinările au fost făcute în spațiu închis, la presiunile dezvoltate de vaporii saturați.

Această anulare a tensiunii superficiale ne spune că, la temperatura și presiunea respectivă, lichidul și-a pierdut coeziunea și deci a căpătat proprietățile caracteristice ale unui gaz.

În 1869, *Andrews*<sup>3)</sup> face un pas important mai departe și studiază experimental izotermele de variație ale presiunii, în

<sup>1)</sup> *Heike Kamerlingh Onnes* (1853—1926), fizician olandez, fost profesor la Leyda, cunoscut prin studiile lui asupra fenomenelor ce se petrec la temperaturile joase. Premiul Nobel (1913).

<sup>2)</sup> *Dmitrie Ivanovici Mendeleev* (1834—1907), chimist rus, cunoscut mai ales prin descoperirea sistemului periodic al elementelor, care stă la baza nu numai a întregii chimii moderne, dar și a tuturor concepțiilor actuale despre structura atomilor.

<sup>3)</sup> *Th. Andrews* (1813—1885), fizician englez.

funcție de volum, la câteva gaze mai ușor lichefiabile și în special la *bioxidul de carbon*.

Aceste curbe au aspectul din figura 307.

Luind ca bază de discuție, bunăoară izoterma la  $0^{\circ}\text{C}$  și mergând pe dinșa în sensul micșorării volumului, se observă întâi o creștere treptată a presiunii, pînă în *B*.

*În acest punct începe lichefierea, gazul capătă proprietățile vaporilor saturați și presiunea rămîne constantă, pînă la transformarea totală în lichid.*

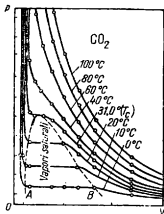


Fig. 307. Izotermele bioxidului de carbon după Andrews.

În *A* procesul acesta s-a terminat și de aici înainte presiunea crește rapid, fiindcă lichidul este foarte puțin compresibil.

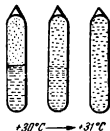


Fig. 308. Meniscul la bioxidul de carbon lichid dispare în punctul critic.

Pentru alte izoterme, trasate la temperaturi ceva mai ridicate, desfășurarea fenomenului este aceeași, numai că porțiunea orizontală a curbelor devine din ce în ce mai scurtă.

*Ea dispare cu totul la temperaturile care depășesc limila de  $+31^{\circ}\text{C}$ .*

Dintolo de o temperatură minimă necesară, care se numește temperatură critică, o comprimare oricît de intensă nu mai lichefiază gazul.

Prin urmare, dincolo de această limită, care se numește temperatură critică, gazul nu se mai lasă lichefiat, oricît de mare ar fi presiunea la care-l supunem.

O experiență simplă permite să evidențiem temperatura critică la bioxidul de carbon lichid. E destul să introducem o can-



titate mică într-un tub de sticlă închis și să-l încălzim într-o baie cu apă (fig. 308).

Constatăm atunci că la  $+31^{\circ}\text{C}$  meniscul de separație între lichid și gaz se șterge treptat și dispare, fiindcă tensiunea superficială a lichidului se anulează o dată cu forțele de coeziune.

La temperatura critică, trecerea de la gaz la lichid sau invers este continuă.

Această experiență ne arată că, la temperatura critică, gazul se confundă cu lichidul și trecerea de la o stare la alta se face continuu.

Experiența confirmă totodată rezultatele cercetărilor lui Mendeleev.

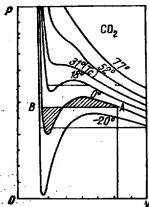
În fig. 307 am reprezentat, în continuare, și izotermele la temperaturi mai înalte decât punctul critic.

Ele se apropie din ce în ce mai mult de cunoscuta formă a izotermelor gazului perfect.

Presiunea minimă necesară lichefierii la temperatura critică este presiunea critică.

Este evident că lichefierea unui gaz, la temperatura critică, necesită o presiune care se numește presiune critică.

Întorcându-ne la ecuația lui Van-der-Waals,



$$\left(p + \frac{a}{v^2}\right) (v - 4b) = RT, \quad (110.2)$$

și folosind-o ca să reprezentăm variația presiunii gazului, în funcție de volum, constatăm că izotermele teoretice, astfel trasate, pentru temperaturile sub punctul critic, au aspectul din fig. 309.

Ele se apropie deci de forma izotermelor experimentale din fig. 307, dar concordanța nu este satisfăcătoare și de aceea s-au făcut numeroase încercări pentru introducerea unor termeni suplimentari de corecție.

Peste punctul critic, valorile teoretice se apropie, totuși, mulțumitor de datele experimentale.

Fig. 309. Izotermele bioxidului de carbon calculate din ecuația lui Van-der-Waals.

Pentru determinarea sistematică a punctelor critice, o contribuție de seamă a adus-o, între 1880 și 1890, școala rusă de la Kiev, condusă de Avenarius<sup>1)</sup>.

Pentru studiul izotermelor la gazele reale trebuie să cităm, de asemenea, lucrările lui Mathias, făcute între 1903 și 1908, apoi cercetările lui Cailletet și Pictet, care au lichefiat aerul, și ale polonezilor Vroblevski și Oiszevski, care au lichefiat hidrogenul, în 1895.

Aceste cercetări sistematice și meticuloase, în care s-au angajat numeroase laboratoare din toate țările, au durat citeva zeci de ani. Printre cele mai remarcabile sînt lucrările lui Van-der-Waals, care a studiat o viață întreagă trecerea de la starea gazoasă la starea lichidă.

Vom cita, de asemenea, rezultatele lui Cailletet<sup>2)</sup> și Mathias cu privire la variația densității lichidelor și a vaporilor saturați, în funcție de temperatură.

Ei au trasat o serie de curbe experimentale, al căror aspect general este acela din fig. 310.

Din ele se constată că, prin ridicarea temperaturii, densitatea vaporilor saturați crește, iar a lichidului scade și că ambele porțiuni ale curbei se racordează la temperatura critică.

Se confirmă astfel, și pe această cale, continuitatea trecerii de la starea lichidă la cea gazoasă, idee pe care o susținea, de altfel, și Mendeleev.

Pe aceste curbe, mediile aritmetice ale densităților, pentru vaporii și lichid, la temperaturi egale, se înșiră pe o linie dreaptă.

Mai jos dăm temperaturile critice în °C și presiunile critice, în atmosfere, la citeva gaze.

Tabela 12

Gazul	Presiunea critică, în at	Temperatura critică, în °C
Helium . . . . .	2,26	—267,8
Hidrogen . . . . .	12,80	—239,91
Azot . . . . .	33,4	—147,1
Oxigen . . . . .	49,7	—118,8
Metan . . . . .	45,6	—82,8
Bloxiid de carbon . . . . .	73	+ 31,1
Amoniac . . . . .	112	+ 133
Bloxiid de sulf . . . . .	78	+ 157
Eter ordinar . . . . .	35,5	+ 194
Alcool ordinar . . . . .	63	+ 243
Apă . . . . .	217,7	+ 374,2

<sup>1)</sup> Mihail Petrovici Avenarius (1835—1895).

<sup>2)</sup> Louis Cailletet (1832—1913), fizician francez.

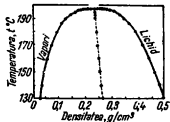


Fig. 310. Curba lui Cailletet și Mathias.

În 1895, *Linde*<sup>1)</sup> izbutește să pună la punct o mașină industrială pentru producerea continuă a aerului lichid, iar în 1898, *Dewar*<sup>2)</sup> izbutește de asemenea să-l lichefieze în cantități mai mari.

Toate metodele moderne întrebunțează, ca mijloc de răcire finală, așa-numita *destindere adiabatică*, în care creșterea bruscă de volum a unui gaz îl obligă să execute un lucru mecanic, împotriva presiunii exterioare, și să-și consume astfel din căldura proprie.

Destinderea trebuie să fie bruscă, pentru a nu da timp gazului să fure căldură de la mediul ambiant.

O experiență simplă ne arată cum o asemenea destindere poate să lichefieze un gaz.

Într-un flacon mare de sticlă, unde introducem o cantitate de apă sau de alcool, suflăm cu gura o cantitate de aer, printr-un tub care străbate dopul, și astupăm repede deschiderea cu degetul (fig. 311).

Fig. 311. Destinderea adiabatică produce condensarea vaporilor.

Așteptăm întâi ca gazul comprimat să ia temperatura mediului și apoi, dacă-l lăsăm să iasă din flacon, destinderea îl răcește și vaporii se condensează, sub forma de ceață.

O altă experiență frumoasă se poate face cu o bombă de acid carbonic, de felul celor întrebunțate la fabricile de sifoane.

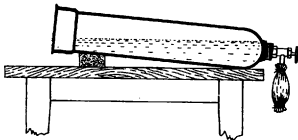


Fig. 312. Solidificarea bioxidului de carbon.

<sup>1)</sup> *Karl v. Linde* (1842—1934), inginer german.

<sup>2)</sup> *James Dewar* (1842—1923), fizician englez.

O așezăm într-o poziție aplecată, așa ca gazul lichid să astupe deschiderea, legăm la gura ei un sac de pînă și deschidem larg ventilul (fig. 312).

Destinderea adiabatică coboară temperatura și sacul se umple cu anhidridă carbonică solidă, care aduce la înfățișare cu zăpada; nu e bine s-o stringem în mină, fiindcă distruge țesuturile prin înghețare și produce răni dureroase.

Vom descrie acum, ca exemplu, o mașină pentru fabricarea aerului lichid, inventată de *Claude*<sup>1)</sup>. Ea are, față de mașina lui *Linde*, de asemenea răspîdită în industrie, avantajul că dă o răcire mai rapidă, fiindcă gazul execută nu numai lucrul mecanic de destindere, dar mai contribuie și cu alt lucru mecanic suplimentar, ca să ajute pompa de compresie.

Aerul este întâi comprimat, la cîteva zeci de atmosfere, cu o pompă specială, trecînd printr-o serpentină răcită cu gheață și sare, apoi parcurge tubul  $T_1$  și ajunge într-un cilindru cu piston  $P$ , analog cu acelea de la mașinile cu aburi (fig. 313).

El ajută astfel compresorul, iar acțiunea combinată a destinderii adiabactice și a lucrului mecanic efectuat îl răcesc.

Astfel răcit, aerul circulă prin tubul  $T_2$  și servește ca refrigerent pentru noile cantități de aer care intră prin  $T_1$ .

**Lichefierea industrială a aerului folosește destinderi adiabactice succesive.**

În felul acesta, aerul care intra în mașină iese din ce în ce mai rece

și procesul continuă pînă se atinge temperatura de lichefiere.

Aerul lichefiat se colectează în rezervorul  $R$ .

Pistoanele mașinii trebuie unse. Cum toate uleiurile îngheață la temperatura aerului lichid, nu putem întrebuința ca lubrifiant decît eterul de petrol sau însuși gazul lichefiat.

Aerul lichid este ușor colorat în albastru și foarte mobil. Nu-l putem păstra decît în vase deschise, fiindcă produce, prin evaporare, presiuni foarte ridicate.

Se folosesc așa-numitele vase *Dewar*, cu pereți dubli de sticlă, între care s-a făcut un vid înaintat care să permită o izolare cît mai bună (fig. 314).

Obișnuit, aceste vase sînt și argintate, ca să reflecte căldura ce vine din exterior. Ele sînt cunoscute în gospodării sub numele de *butelii termos* (fig. 314).

<sup>1)</sup> *Georges Claude*, Inginer francez contemporan.

La presiunea atmosferică, oxigenul lichid fierbe la  $-183^{\circ}\text{C}$ , iar azotul la  $-195,8^{\circ}\text{C}$ . Putem deci separa cele două gaze, prin distilare fracționată, pentru trebuințele industriale. Toate instalațiile de sudură autogenă folosesc, în prezent, numai oxigenul extras din aer.

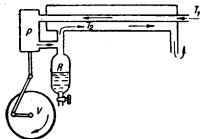


Fig. 313. Principiul lichefierii industriale a aerului.

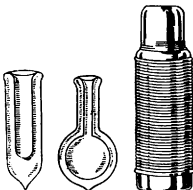


Fig. 314. Vase Dewar.

De asemenea, tot prin distilare fracționată, se pot separa și gazele nobile, care servesc la umplerea becurilor electrice și a tuburilor de reclame luminoase.

La temperatura aerului lichid, foarte multe corpuri își modifică proprietățile fizice. Căldura lor specifică scade și conductibilitatea electrică devine mai mare, decât la temperatura ordinară.

O bucată de carne, un fruct sau o floare devin casante ca porțelanul, mercurul îngheață și putem bate cuie cu el, iar un clopot de plumb sună cristalin ca argintul.

Dacă suflăm aerul din plămîni, printr-un tub cufundat în aer lichid, apa și bioxidul de carbon se solidifică imediat.

După o depozitare de cîteva ori, azotul lichid, care fierbe mai ușor, se evaporă și rămîne mai mult oxigen.

Un chibrit aprins, introdus înăuntru, arde ca și în oxigenul gazos, iar praful de cărbune sau substanțele organice divizate mărunt explodează.

Amestecul de cărbune și oxigen lichid poate să înlocuiască dinamita și are avantajul că devine inofensiv după cîteva ore, dacă explozia nu s-a produs.

**2. Instalații frigorifere.** Gazele care se lichefiază ușor, de pildă amoniacul, sînt folosite în instalațiile frigorifere, la vapoarele care transportă carne sau pește, în vagoane speciale

de cale ferată, în abatoare, în restaurante sau gospodării și în fabricile de gheață.

O fabrică de gheață funcționează pe principiul următor:

O pompă aspiratoare-respingătoare  $P$  suge amoniacul lichid dintr-un rezervor  $R$  și-l face să se evaporeze rapid (fig. 315).

Evaporarea coboară temperatura și gazul, astfel răcit, circulă printr-o serpentină  $S_1$ , cufundată într-un rezervor cu apă sărată, pe care plutesc mai multe vase de tablă, pline cu apă potabilă.

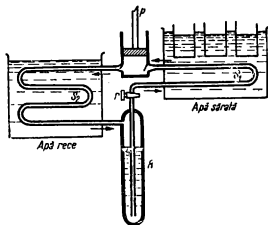


Fig. 315. Principiul fabricării de gheață artificială.

Apă sărată îngheață mai greu, dar scăderea de temperatură e suficientă ca să înghețe apa dulce.

Amoniacul gazos este apoi comprimat din nou prin serpentina  $S_2$  răcită cu apă și se condensează înapoi în rezervor, iar ciclul continuă de la capăt.

Numărul de calorii absorbite de instalație într-un timp dat exprimă eficacitatea ei. În industria frigului denumirea de *calorie* se înlocuiește cu aceea de *frigorie*.

3. *Exemple numerice.* 1) Un corp care cântărește 50 g și are căldura specifică  $0,02 \text{ cal/g} \cdot \text{grad}$  este încălzit la  $+100^\circ\text{C}$  și pus pe o bucată de gheață. Câte grame de gheață topește?

Răcindu-se pînă la  $0^\circ\text{C}$ , corpul pune în libertate cantitatea de căldură

$$50 \cdot 0,02 \cdot 100 = 100 \text{ cal.}$$

Căldura de topire a gheții fiind 80 cal/g, rezultă că se vor topi  
1,25 g de gheață.

2) Cu cât crește temperatura de fierbere a apei, dacă presiunea se urcă la 1,1 at?

Sînt date: volumul specific al apei = 1 cm<sup>3</sup>/g;  
volumul specific al vaporilor = 1671 cm<sup>3</sup>/g;  
căldura latentă de vaporizare = 538,7 cal/g.

Ecuția lui Clausius-Clapeyron (122.2) ne dă

$$\Delta T = 0,024 \cdot 2 \cdot 373 \frac{1671 - 1}{538,7} (1,1 - 1)$$

și găsim că

$$\Delta T \approx 2,8^\circ \text{K},$$

iar noua temperatură de fierbere va fi  $t = 102,8^\circ \text{C}$ .

## CAPITOLUL XIV

### STUDIUL SOLUȚIILOR

§ 124. **Dizolvarea.** O bucată de zahăr pusă în apă dispare în masa lichidului și-l îndulcește, fiindcă *se dizolvă*.

Aceeași bucată de zahăr, pusă în benzină, ar fi rămas întreagă. Spunem că zahărul este *solubil* în apă și *insolubil* în benzină.

Pertru zahăr, apa este un *dizolvant*, în care s-a format o *soluție*.

Lichidele pot să dizolve nu numai corpuri solide, dar și alte lichide sau chiar gaze: alcoolul este solubil în apă, sifonul este o soluție de acid carbonic, iar animalele acvatice respiră oxigenul dizolvat în apă.

Există și soluții solide: bunăoară fonta este o soluție de cărbune în fier, iar sticla colorată este o soluție de oxizi metalici diferiți.

**Două corpuri care se amestecă într-un tot omogen formează o soluție.**

**În general, vom spune că două corpuri s-au dizolvat unul în altul, cînd formează împreună un amestec omogen, din care nu le mai putem deosebi.**

Soluțiile se caracterizează prin *concentrația* lor, care în practică se exprimă prin raportul dintre volumul sau masa substanței dizolvate și volumul sau masa totală a soluției.

**Concentrația este raportul dintre volumul sau masa substanței dizolvate și volumul sau masa totală a soluției.**

În laborator folosim, de preferință, așa-numitele *concentrații molare* (sau moleculare), care reprezintă *titlul* soluției.

El se exprimă prin numărul de molecule-gram la mia de centimetri cubi de soluție.

**Titlul normal se exprimă prin numărul de molecule-gram la 1 000 cm<sup>3</sup>.**

Uneori, la o temperatură dată, dizolvantul primește orice cantitate de substanță dizolvată; alteori, această cantitate nu poate să depășească o limită caracteristică.

**La limita de solubilitate, soluția este saturată și concentrația este maximă.**

Experiența ne arată că solubilitatea depinde de temperatură, dar nu este proporțională cu variația ei. Mai mult încă: ea poate să crească pînă la o anumită temperatură și apoi să scadă la temperaturile mai ridicate.

De pildă, solubilitatea în apă a sulfatului de sodiu este maximă la +34 °C.

Alteori, cum este cazul la toate gazele dizolvate în lichide, solubilitatea scade cînd crește temperatura <sup>1)</sup>.

E însă mai bine să exprimăm acest raport în grame la suta sau mia de centimetri cubi de soluție.

Vom avea, deci, soluții de 3%, 7‰ etc.

Pentru o moleculă-gram, soluția este *normală* și titlul se notează cu 1/1 N.

La alte concentrații, el poate să devină 0,5 N, 2/1 N etc.

Avem atunci o soluție *saturată*, iar concentrația respectivă reprezintă *solubilitatea*, la temperatura considerată.

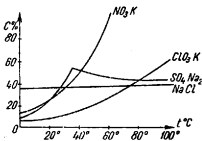


Fig. 316. Curbe de solubilitate.

<sup>1)</sup> De aceea, este periculos să ținem o sticlă de sifon la căldură sau în bătaia soarelui.



Curbele din fig. 316 arată variația solubilității în apă, exprimată în procente de grame, în funcție de temperatură, la câteva săruri minerale.

**1. Căldura de dizolvare.** Răspîndirea substanței dizolvate în masa lichidă implică un lucru mecanic, împotriva forțelor de coeziune, deci o absorbție de căldură, în urma căreia soluția se răcește.

**Căldura absorbită la dizolvarea unui gram de substanță este căldura de dizolvare.**

*Se numește, deci, căldură de dizolvare cantitatea de căldură absorbită, cînd se dizolvă un gram de substanță.*

Răcirea consecutivă dizolvării se poate constata ușor, punînd un termometru în apă, în care dizolvăm o sare oarecare, de exemplu sare de bucătărie. Ea poate fi constatată de altfel și cu mîna, dacă mergem la o concentrație destul de mare.

Foarte adesea, fenomenele de dizolvare se complică, prin eventuale reacții chimice, prin formarea de asociații moleculare sau prin desfacerea moleculelor substanței dizolvate.

În cazurile acestea se absoarbe sau se liberează o cantitate suplimentară de căldură.

De pildă, dizolvarea acidului sulfuric în apă, fiind însoțită și de alte fenomene, produce căldură. Tot așa, dizolvarea pentoxidului de fosfor, urmată de transformarea lui în acid fosforic, prin contactul cu apa, liberează căldura de reacție chimică.

De aceea, procesul de dizolvare devine uneori foarte complex și nici nu este cunoscut în amănunte.

O altă complicație o aduc fenomenele de *suprasaturație*, pe care le observăm la soluțiile saturate la cald și apoi răcite sau evaporate cu încetul.

**Suprasaturația este o situație nestabilă, care încetează cu eliberare de căldură, prin agitare sau prin contactul cu substanța solidă.**

Ca și suprasaturația vaporilor, sau starea de supratopire, *suprasaturația soluțiilor constituie o situație nestabilă*, care poate să înceteze prin agitare sau prin contactul cu particule deja solidificate.

Soluția tinde atunci către concentrația stabilă și *liberează căldura de dizolvare a excesului de substanță*.

Aceste fenomene pot fi constatate obișnuit la substanțele cristaline.

Următoarea experiență este deosebit de instructivă:

Se saturează la cald o soluție apoasă de hiposulfid de sodiu, pe care o aducem apoi la suprasaturație prin răcire lentă, ferindu-o de praf și de clătănări.

După aceea, tăvăm o eprubetă, pe dinafară, prin hiposulfid solid, o umplem cu eter și o cufundăm în soluție.

Cristalizarea începe imediat, liberează căldura de dizolvare și eterul intră în fierbere.

**2. Soluții coloidale.** Pe lângă soluțiile obișnuite, se cunosc și cazuri numeroase în care substanța, fără să fie propriu-zis dizolvată, formează particule în suspensie, atât de mici, încât uneori nu le vedem nici la microscop. Ele nu se depun pe fundul vasului, decât cu încetineală extremă și nu pot fi separate prin filtrare, fiindcă trec prin porii filtrului.

Din această clasă fac parte, între altele, cleiul de oase, gelatina, albumina și diverse rășini, când le dizolvăm în apă.

De la numele grecesc al cleiului (Kolla), li se zice *substanțe coloidale* sau *coloizi*.

Metalele, tratate prin anumite procedee speciale, de exemplu prin pulverizarea electrică sub apă, formează de asemenea soluții coloidale, a căror culoare depinde nu numai de natura metalului, dar și de mărimea particulelor în suspensie.

Prin schimbarea de temperatură, prin introducerea în soluție a unor substanțe străine: baze, săruri minerale, acizi, alcool, etc., precum și după o depozitare mai îndelungată, particulele coloidale se aglomerează și cad la fund.

Alteori se produce o coagulare în masă și soluția capătă aspectul cunoscut al răciturilor sau albușului de ou fiert.

Între altele, argila transportată de fluvii este de asemenea o suspensie coloidală, pe care schimbarea de salinitate, la revărsarea în mare, o aglomerează și o sedimentează.

Așa se explică formarea *barelor* la gura fluviilor, când nu intervine acțiunea de spălare a mareelor.

Prin concentrare, *soluțiile coloidale nu cristalizează nici o dată*, spre deosebire de alte substanțe, pe care le numim *cristaloide*.

Spre deosebire de cristaloide, coloidele nu cristalizează niciodată.

Există și suspensii coloidale în gaze, pe care le numim *aerosoli*.

Norii fac parte din această categorie și ploaia nu este decât precipitarea particulelor aglomerate.

§ 125. **Fenomenele de difuziune.** O substanță colorată solubilă se împrășteie cu timpul în toată masa dizolvanului, chiar dacă nu-l agităm. La fel se întâmplă cu o bucată de zahăr, care îndulcește cu timpul toată apa dintr-un vas și tot așa se amestecă două lichide sau două soluții diferite, dacă sînt solubile una în alta.

Difuziunea se datorește agitației termice și tinde să egaleze concentrațiile.

Fenomenul se numește *difuziune* și este favorizat de ridicarea temperaturii.



El are aceeași explicație ca la gaze: *agitația termică*, dar analogia merge și mai departe, fiindcă, *întocmai ca la gaze, substanța dizolvată tinde să ocupe, prin expansiune, tot spațiul pe care-l are la dispoziție.*

Să considerăm acum două plane paralele A și B, de suprafață S, aflate la distanța x unul de altul (fig. 317).

Fig. 317. Pentru deducerea legilor difuziunii.

Prin ele difuzează o substanță dizolvată, de la concentrația mai mare  $C_1$ , spre concentrația mai mică  $C_2$ .

Experimental se constată atunci că masa de substanță care difuzează într-un timp  $t$ , dintr-o parte în alta, este dată de relația

$$m = D \frac{C_1 - C_2}{x} S \cdot t \quad (125.1)$$

Masa substanței difuzate este invers proporțională cu distanța și direct proporțională cu diferența concentrațiilor, cu secțiunea străbătută și cu timpul.

Această relație ne spune că *masa substanței difuzate este invers proporțională cu distanța străbătută și direct proporțională cu diferența concentrațiilor, cu secțiunea de trecere și cu timpul.*

Factorul de proporționalitate  $D$  se numește *coeficient de difuziune*. El depinde de temperatură și de natura soluției, iar dacă exprimăm concentrațiile în  $\text{g/cm}^3$ , relația de mai sus ne duce la dimensiunile

$$[D] = \text{L}^2 \text{T}^{-1}.$$

Unitatea CGS va fi, deci,  $\text{cm}^2/\text{s}$ .

Pentru a evita numerele prea mici, se folosește însă, de obicei, unitate specială:  $\text{cm}^2/\text{zi}$ .

În această unitate am exprimat valorile de mai jos, care se referă la soluțiile apoase ale câtorva substanțe, la temperatura normală.

Acid clorhidric	2,40	Uree	0,81
Clorură de sodiu	1,03	Albumină	0,05
Zahăr	0,31		

Acestea ne arată că, în condiții identice, *substanțele cu molecula mai mare difuzează mai încet decât cele cu molecula mică*.

Coefficientul de difuziune este mai mic în dizolvantii cu viscozitate mare sau la substanțele cu moleculă mare.

De asemenea, se constată că *valoarea coeficientului de difuziune, pentru una și aceeași substanță dizolvată, scade când crește coeficientul de viscozitate al dizolvantului*.

Când avem în prezență două soluții diferite, sau două lichide diferite, care se dizolvă unul în altul, fiecare difuzează cu coeficientul său propriu, potrivit relației (125.2).

Aceleași fenomene de difuziune reciprocă, studiate la gaze, duc la relația cantitativă

$$m = K \frac{p_1 - p_2}{x} S \cdot t, \quad (125.2)$$

unde  $p_1$  și  $p_2$  reprezintă presiunile respective, iar coeficientul de difuziune  $K$  se exprimă și aci în  $\text{cm}^2/\text{s}$ . El crește aproximativ proporțional cu pătratul temperaturii absolute și depinde de natura gazelor în prezență.

Înlocuirea concentrațiilor prin presiuni este mai mult formală, după cum vom vedea mai departe, așa că este cazul să menționăm de pe acum că *similitudinea dintre soluțiile lichide și gaze apare nu numai din însușirea*

La gaze și la soluțiile lichide, fenomenele de difuziune decurg după legi analoge.

*comună de a-și uniformiza presiunile sau concentrațiile, dar și din analogia legilor de difuziune*.

În sfârșit, mai menționăm că fenomene de difuziune foarte lente pot fi observate și la solidele ce vin în contact intim. De pildă, o pătură de aur difuzează cu încetineală extremă în metalul pe care a fost depusă.

§ 126. **Presiunea osmotică.** Fenomene de difuziune pot să aibă loc nu numai prin contactul direct, ci și prin pereți de separare, dacă nu sînt cu totul impermeabili, de pildă prin pergament, membrane animale, membrane gelatinoase, porțelan poros etc.

În § 102 am vorbit, în treacăt, despre difuziunea gazelor prin pereții permeabili; rămîne să vedem în ce condiții o putem observa și cerceta la soluțiile lichide.

Pentru aceasta vom repeta mai întîi o experiență simplă, prin care *Nollet*<sup>1)</sup> a descoperit accidental aceste fenomene:

Cu o bășică de bou, bine întinsă și bine legată, astupăm un borcan de sticlă plin cu alcool și-l cufundăm apoi într-un vas cu apă.

După cîteva ore vom constata că o parte din alcool a ieșit afară, dar umflarea membranei, *spre exterior*, ne arată că mai multă apă a intrat înăuntru și apasă asupra ei.

Iar dacă inversăm situația și punem apa în borcan, se inversează și deformarea membranei, ceea ce înseamnă că și de astă dată a străbătut mai multă apă în alcool, decît alcool în apă.

În locul alcoolului, putem folosi mai bine o soluție oarecare, bunăoară sirop de zahăr.

Vom constata că membrana lasă să difuzeze, în ambele sensuri, atît zahărul cît și apa, dar că mai multă apă trece de la dizolvant către soluție, decît în sensul invers.

**Fenomenul de osmoză  
dă naștere unei presiuni  
osmotice.**

Fenomenul acesta, de trecere preferențială și cu viteză mai mare a dizolvantului către soluție se numește

*osmoză*, iar consecința este că apare o presiune, orientată spre dizolvant, care se numește *presiune osmotică*.

Mecanismul intim al fenomenelor de osmoză nu este încă destul de bine cunoscut, dar presiunea osmotică le caracterizează, din punct de vedere cantitativ, iar studiul ei ne va duce la o serie de legi experimentale deosebit de importante.

Pentru studiile acestea, bășica de bou, folosită mai sus, introduce complicația că permite să treacă atît substanța dizolvată, cît și dizolvantul însuși.

De aceea, ne servim de așa-numitele membrane *semipermeabile*, prin care nu trec decît moleculele dizolvantului.

<sup>1)</sup> *Jean Antoine Nollet* (1700—1770). fizician francez.

**Membranele semipermeabile lasă să treacă numai dizolvantul.**

și pe cale artificială, în laborator: umplem un vas de porțelan poros cu o soluție apoasă de *sulfat de cupru* și-l cufundăm cu totul într-o soluție de *ferocianură de potasiu*. Cele două soluții se întâlnesc în interiorul peretelui și formează un precipitat gelatinos de *ferocianură cuprică*, cu toate calitățile cerute unei bune membrane semipermeabile.

Umplem acum vasul cu soluția de ceretat, îl astupăm bine cu un dop, îi adaptăm un tub de sticlă, ca manometru, și-l cufundăm în dizolvantul pur, așa cum arată fig. 318.

Prin membrană, dizolvantul difuzează în ambele sensuri, dar ceva mai repede spre soluție, iar de la o vreme presiunea arătată de manometru se stabilizează la o valoare maximă, ce reprezintă tocmai presiunea osmotică de măsurat.

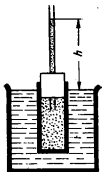


Fig. 318. Presiunea osmotică.

*Lăsând la o parte soluțiile bune conducătoare pentru curentul electric (săruri, baze și acizi minerali), unde găsim presiuni osmotice anormal de mari și despre care vom discuta la timpul lor, se constată experimental următoarele:*

**La temperaturi și concentrații molare egale, găsim aceeași presiune osmotică la toate soluțiile.**

**La temperatură constantă, presiunea osmotică este direct proporțională cu concentrația molară.**

**La concentrație constantă, presiunea osmotică variază direct proporțional cu temperatura absolută.**

La temperaturi și concentrații molare egale, presiunile osmotice sînt aceleași la toate soluțiile, indiferent de natura lor.

La temperatură constantă, presiunea osmotică este direct proporțională cu concentrația molară a soluției.

La concentrație constantă, presiunea osmotică variază direct proporțional cu temperatura absolută, la care facem determinarea.

**Presiunea osmotică este aceea pe care ar dezvolta-o substanța dizolvată, dacă ar fi gazoasă și comprimată la volumul soluției.**

*Presiunea osmotică este aceea pe care ar dezvolta-o substanța dizolvată dacă, adusă în starea gazoasă, ar fi comprimată pînă la volumul ocupat de soluție.*

În aceste condiții, dacă dizolvăm o moleculă-gram dintr-o substanță oarecare, în volumul  $V$  de dizolvant, putem aplica presiunilor osmotice cunoscuta lege de comprimare izotermă a gazelor

$$pV = RT, \quad (126.1)$$

care, în cazul de față, se numește legea lui *Van't Hoff*<sup>1)</sup>.

Ea devine, pentru  $n$  molecule-gram de substanță dizolvată,

$$pV = n \cdot RT. \quad (126.1a)$$

Cercetările amănunțite au arătat însă că, întocmai ca la gaze, această relație reprezintă doar o aproximație și nu este valabilă decât la presiunile osmotice de ajuns de mici.

**Legea lui Van't Hoff,  $pV = RT$ , se aplică numai la presiuni osmotice destul de mici.**

Pe de altă parte, dacă exprimăm concentrația soluției în grame pe centimetrul cub, o notăm cu  $C$  și presupunem că am dizolvat o moleculă-gram, de masă  $M$ , vom avea

$$C = \frac{M}{V} \quad \text{sau} \quad V = \frac{M}{C},$$

iar expresia (126.1) devine

$$p = RT \frac{C}{M} \quad (126.2)$$

și putem calcula masa moleculară a substanței dizolvate, cînd cunoaștem concentrația în grame pe centimetrul cub și presiunea osmotică.

Dacă două soluții dezvoltă presiuni osmotice diferite, aceea cu concentrația molară mai mare fură din dizolvantul celeilalte

<sup>1)</sup> *Jakobus Hendricus Van't Hoff* (1852—1911), fizician olandez, fost profesor la Amsterdam, premiu Nobel (1901).

și vom spune că este *hipertonică*, față de a doua, care este *hipotonică*, față de prima.

Dacă presiunile osmotice sînt egale, cele două soluții sînt *izotonice*.

Presiunea osmotică se manifestă în numeroase fenomene, pe care le întîlnim la tot pasul și din care vom da numai cîteva exemple:

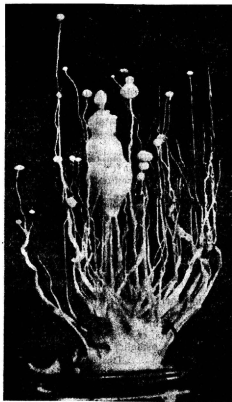


Fig. 319. Grădina minerală.

1) Sarea în ochi produce usturime, fiindcă soluția *hipertonică* formată scoate apa din interiorul ochiului. Tot așa ne supără apa curată, fiindcă este *hipotonică* și pătrunde în interiorul ochiului.



Apa de mare nu mai supără, fiindcă este, aproximativ, izotonică, față de lichidele din ochi.

2) Carnea sau peștele, puse la sare, pierd apa, iar în apă curată se umflă.

3) Toate procesele de schimb, ce interesează celulele organismelor vii, se datoresc osmozei.

4) Iată și o experiență, deosebit de interesantă, care poate fi realizată cu mijloace foarte simple:

Într-o soluție apoasă de silicat de sodiu (sticlă solubilă), aruncăm câțiva cristali de săruri minerale colorate.

În jurul lor se formează atunci membrane semipermeabile de silicați gelatinoși, în care apa intră prin osmoză și le umflă. Ele cresc în toate direcțiile, văzînd cu ochii și, în scurtă vreme, apare pe fundul vasului o adevărată *grădiniță*, cu plante și flori multicolore (fig. 319). Experiența e de altfel cunoscută sub numele de *grădina minerală*.

Pentru verificarea legii lui Van't Hoff, se dau mai jos valorile presiunii osmotice ale soluțiilor, la diferite concentrații molare și la două temperaturi diferite.

Concentrația în moli la 1 000 cm <sup>3</sup>	Presiunea osmotica la 0 °C (în atmosfere)	Presiunea osmotica la +20 °C (în atmosfere)
0,1	2,46	2,59
0,3	7,08	7,60
0,5	11,89	12,75
0,7	16,88	18,13
1,0	24,82	26,64

Ca ordin de mărime, tabela de față ne arată că, la +20 °C, presiunea osmotica a unei soluții normale ar putea să echilibreze o coloană de mercur, înaltă de 20 m.

Știînd că volumul unei molecule-gram de gaz, la 0 °C și presiune normală este de 22 300 cm<sup>3</sup>, ar trebui să rezulte presiunea de 22,3 at, cînd îi reducem volumul la 1 000 cm<sup>3</sup>.

Tabela de față ne arată că, în adevăr, o soluție normală dezvoltă aproximativ această presiune osmotica.

Din aceeași tabelă, se mai poate constata că presiunile osmotice sînt, aproximativ, proporționale cu concentrațiile, adică invers proporționale cu volumul în care am dizolvat substanța.

**Dializă.** O membrană animală, cum era bășica de bou, de care ne-am servit la evidențierea calitativă a osmozei, nu este semipermeabilă, fiindcă lasă să treacă și substanța dizolvată.

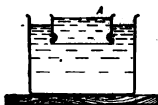


Fig. 320. Dializa.

Experiența ne arată însă, că o asemenea membrană lasă să treacă moleculele cristaloidelor, dar nu și suspensiile coloidale.

Această însușire ne permite să separăm, prin *dializă*, coloidele de cristaloid, iar schema procedurii este arătată în fig. 320. Soluția cu amestecul se introduce în vasul *A*, de unde cristaloidul difuzează în apa curată din exterior, iar coloidul este oprit.

Metoda este folosită industrial în fabricile de zahăr, precum și la purificarea cleiului, gelatinei sau albuminei, din care trebuie să eliminăm sărurile minerale, ca să evităm coagularea spontană.

O membrană animală permite separarea prin dializă a coloidelor de cristaloid.

§ 127. Fierberea și înghețarea soluțiilor. Se poate constata experimental că presiunea vaporilor saturați ai unei soluții este mai mică decât a dizolventului pur.

Cercetînd fenomenul, *Raoult*<sup>1)</sup> a constatat că scăderea de presiune relativă este dată de relația

$$\boxed{\frac{p-p'}{p} = k \frac{C}{M}} \quad (127.1)$$

în care *C* este concentrația în grame pe centimetru cub a soluției, *M* masa moleculară, iar *k* o constantă, ce reprezintă numeric scăderea relativă a presiunii vaporilor, cînd o moleculă-gram de substanță este dizolvată într-un gram de lichid.

Tot Raoult a mai stabilit că, față de dizolventul pur, temperatura de fierbere a soluțiilor suferă o creștere dată de relația

$$\boxed{t' - t = E \frac{C}{M}} \quad (127.2)$$

iar temperatura de înghețare scade după relația:

$$\boxed{t - t' = E_1 \frac{C}{M}} \quad (127.3)$$

<sup>1)</sup> *François Marie Raoult* (1830—1901), chimist francez, fost profesor la Grenoble.

Constantele de proporționalitate  $E$  și  $E_1$  depind, ca și constanta  $k$  din relația (127.1) de natura dizolvantului și au toate aceeași semnificație.

Comparînd relațiile de mai sus cu relația (126.2) se constată o analogie, care ne îndreptățește să atribuim variațiile constatate influenței presiunii osmotice.

**În raport cu dizolvantul, presiunea de vapori și temperatura de înghețare a soluțiilor scad, iar temperatura de fierbere crește.**

*În rezumat: variația relativă a presiunii de vapori, urcarea temperaturii de fierbere și scăderea temperaturii de înghețare a soluțiilor, față de dizolvantul pur, sînt direct proporționale cu concentrațiile și*

*invers proporționale cu masele moleculare ale substanțelor dizolvate.*

Aceste legi ne permit o determinare simplă și comodă a maselor moleculare, prin măsura scăderii relative a presiunii de vapori (*tonometrie*), a temperaturii de înghețare (*crioscopie*) sau a temperaturii de fierbere (*ebulioscopie*).

Ca și legea lui Van't Hoff, *ele nu sînt valabile nici la concentrațiile prea mari, nici la soluțiile care conduc curentul electric.*

De sigur, din punct de vedere calitativ, aceste fenomene au fost observate de multă vreme și chiar folosite în practică.

Oricine știe că apa sărată îngheață mai greu și fierbe mai greu decît apa dulce.

Înghețarea soluțiilor de substanțe solide nu interesează, la început, decît dizolvantul pur.

**Prin înghețarea unei soluții putem separa dizolvantul de substanța dizolvată.**

În adevăr, dacă punem să înghețe apă sărată, ne putem convinge ușor că primele porțiuni de gheață formată nu conțin sare.

În țările nordice, cu iernile aspre, această însușire se aplică, pe scară largă, la extragerea sării din mare.

Se construiesc bazine întinse, în care formarea gheții concentrează soluția și sarea se separă prin cristalizare.

**Amestecuri frigorifere.** Dacă amestecăm gheață cu sare, gheața se topește, fiindcă apa sărată îngheață mai greu decît apa dulce. Topirea gheții absoarbe căldură și amestecul se răcește.

Pe de altă parte, dizolvarea sării absoarbe o nouă cantitate de căldură și temperatura coboară mai departe.

Ambele cauze suprapuse duc la temperatura finală de  $-22^{\circ}\text{C}$ , dacă proporția amestecului este de o parte sare, la două părți de gheață.

Rezultatele sînt și mai bune cu gheață și clorură de calciu, fiindcă temperatura poate să coboare pînă la  $-40^{\circ}\text{C}$ .

## CAPITOLUL XV

### PROPAGAREA CĂLDURII

Toate faptele de observație ne arată o tendință de trecere a căldurii, de la corpurile mai calde, la cele mai reci, care duce cu vremea la uniformizarea temperaturilor.

Această trecere se face în mai multe feluri, care pot să decurgă separat sau împreună și transportul de căldură constituie ceea ce numim *propagarea* ei, oricare ar fi mecanismul intim al desfășurării fenomenului.

§ 128. **Propagarea prin conducere.** Un cui de fier, pe care-l ținem cu un capăt în mînă și cu celălalt capăt în foc, după scurtă vreme ne frige.

În schimb, un tub de sticlă poate fi încălzit pînă la topire și capătul opus rămîne rece.

Vom spune că fierul este *bun conducător*, iar sticla *rea conducătoare de căldură*.

Asemenea diferențe, în conducerea căldurii, le observăm la tot pasul, în viața zilnică.

De pildă, pe timp de ger, clanța de la ușă ni se pare mult mai rece decît lemnul, fiindcă metalul, fiind bun conducător, împrășteie repede căldura mîinii, în toată masa lui, și rămîne rece, pe cînd la lemn, care-i rău conducător, încălzirea de la mînă este numai locală.

Din aceleași motive, mozaicul pare mai rece decît parchetul, și parchetul mai rece decît covorul.

Corpurile rău conducătoare, cum e sticla, lemnul, vata etc. se mai numesc și *izolante*. Este evident că nu există un izolant perfect, fiindcă nu există o conductibilitate nulă.

Comparația, din punctul de vedere al conducerii căldurii, la materiale diferite, se poate face calitativ, cufundînd în apă fier-

binte sîrme sau bastonașe unse cu parafină (fig. 321). După un timp oarecare, parafina se topește, în lungul lor, pe o distanță cu atît mai mare, cu cît substanța e mai conductibilă.

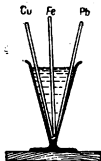


Fig. 321. Compararea conductibilității termice la substanțe diferite.

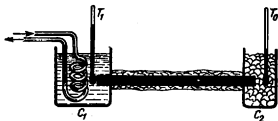


Fig. 322. Determinarea coeficientului de conductibilitate termică la o bară.

Conductibilitatea se exprimă fie *relativ*, prin comparație cu o substanță dată, de pildă cu *argintul*, care-i cel mai bun conducător cunoscut, fie cu ajutorul cantității de căldură transmisă, în unitatea de timp, în condiții fixate.

Dintre numeroasele metode de determinare, vom descrie una dintre cele mai simple.

Două calorimetre  $C_1$  și  $C_2$  sînt legate între ele printr-o bară din substanța de cercetat (fig. 322).

Bara este învelită în vată, ca să evităm pierderile de căldură pe drum.

În calorimetrul  $C_1$  trecem un curent de apă caldă, care menține o temperatură constantă  $T_1$ .

În  $C_2$  introducem o cantitate cunoscută de gheață, care menține de asemenea temperatura constantă  $T_0 = 0^\circ\text{C}$  și așteptăm pînă ce căldura transmisă prin bară o topește complet.

Cunoscînd căldura de topire a gheții, putem astfel evalua cantitatea de căldură transmisă într-un timp dat  $t$ .

Experiența ne arată că, dacă notăm această căldură cu  $Q$ , avem

$$Q = k \frac{S}{l} (T_1 - T_0) t, \quad (128.1)$$

în care  $S$  este aria secțiunii barei,  $l$  lungimea ei, iar  $k$  un factor de proporționalitate, pe care-l numim *coeficient de conductibilitate*. El este caracteristic materialului cercetat.

**Căldura condusă este proporțională cu suprafața, cu diferența temperaturilor și cu timpul și invers proporțională cu distanța străbătută.**

Prin urmare, *cantitatea de căldură condusă este direct proporțională cu suprafața de trecere, cu diferența temperaturilor și cu timpul și invers proporțională cu distanța străbătută.*

$$\begin{aligned} \text{Dacă facem: } T_1 - T_2 &= 1^\circ\text{C}, \\ S &= 1 \text{ cm}^2, \\ t &= 1 \text{ s}, \\ l &= 1 \text{ cm}, \end{aligned}$$

$Q$  devine numeric egal cu  $k$ .

Prin urmare, coeficientul de conductibilitate reprezintă numeric acea cantitate de căldură care străbate într-o secundă aria de un centimetru pătrat și distanța de un centimetru, dacă diferența temperaturilor, pe această distanță, este de un grad centigrad.

**Coeficientul de conductibilitate se exprimă în calorii pe grad-centimetru-secundă.**

Ținând seamă de dimensiunile raportului  $S/l$ , urmează că valoarea lui  $k$  se va exprima în *calorii pe grad-centimetru-secundă*.

Dăm mai jos valoarea lui pentru câteva substanțe:

Substanța	$k$	Substanța	$k$
Argint . . . . .	1,1	Sticlă . . . . .	0,001 5
Cupru . . . . .	0,92	Apă . . . . .	0,001
Fier . . . . .	0,16	Hidrogen . . . . .	0,000 4
Mercur . . . . .	0,02	Azot . . . . .	0,000 06

Conductibilitatea lichidelor, afară de mercur, este foarte mică, iar a gazelor și mai mică. Doar hidrogenul se abate puțin de la regulă.

Slaba conductibilitate a lichidelor poate fi constatată cu o experiență foarte simplă:

Dacă încălzim apa, la gura unei eprubete, o putem aduce la fierbere, fără să topim o bucată de gheață, care se găsește la fundul ei (fig. 323).

Între numeroase aplicații posibile, buna conductibilitate a metalelor ne servește în laboratoare ca să fierbem lichide, în vase de sticlă, la flacăra unui bec de gaz.

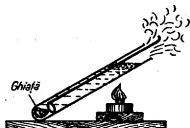


Fig. 323. Apa nu conduce căldura.

O pînă metalică, de fier sau de cupru, împrășteie căldura flăcării, o răcește și împiedică gazul să se aprindă de cealaltă parte (fig. 324).

Pe acest principiu se bazează și lampa minerilor, la care flacăra este de asemenea închisă într-o pînă metalică (fig. 325).

Această pînă împiedică aprinderea gazelor explozibile, care se formează obișnuit în minele de cărbuni, și chiar dacă gazul s-ar aprinde în interiorul lămpii, explozia stinge flacăra, dar nu se propagă în afară.

Lampa de mină se mai numește și *lampa lui Davy*<sup>1)</sup>, după numele inventatorului.

Pinzele metalice mai au și alte întrebuințări, de pildă la motoarele cu benzină, ca să evite propagarea exploziilor din cilindri, spre rezervorul de combustibil.

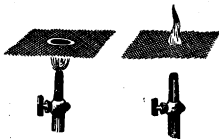


Fig. 324. Efectul pinzelor metalice.

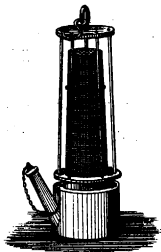


Fig. 325. Lampa de mină.

1. *Problema zidului.* Relația (128.1) de mai sus nu este valabilă decât cu condiția ca, din căldura transmisă prin conducere, să nu se piardă nimic în timpul transportului.

<sup>1)</sup> *Humphrey Davy* (1778—1829), chimist englez care a izolat, prin electroliză, metalele alcaline.

În practică, această condiție o găsim îndeplinită la conducerea căldurii printr-un zid, fiindcă, față de o secțiune dată, secțiunile vecine au aceeași temperatură.

Să considerăm deci un zid, de grosime  $l$ , care se întinde pînă departe, în toate direcțiile și, mintal, să delimităm pe dinsul o suprafață oarecare  $S$  (fig. 326).

Dacă scriem relația noastră sub forma

$$T_1 - T_0 = \frac{1}{kS} \cdot \frac{Q}{t} l$$

și observăm că raportul  $Q/t$ , care reprezintă cantitatea de căldură transmisă în unitatea de timp, este constant, în regimul staționar, avem:

$$T_1 - T_0 = C l,$$

unde  $C$  grupează toate constantele din membrul al doilea.

**În grosimea unui zid temperatura scade liniar.**

Această relație ne arată că, la conducerea căldurii printr-un zid, temperatura suferă o scădere direct proporțională cu grosimea străbătută.

În figură am reprezentat punctat această variație. Trebuie să ținem seama însă că  $T_1$  și  $T_0$  reprezintă temperaturile fețelor zidului și nu ale mediilor în care se găsesc. În aceste medii apar noi variații de temperatură, pe măsură ce ne apropiem sau ne depărtăm de zid.

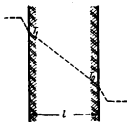


Fig. 326. Problema zidului.

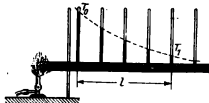


Fig. 327. Problema barei.

Aceste variații le-am reprezentat, de asemenea, pe baza datelor experimentale, în continuarea curbei din interiorul zidului.



2. *Problema barei.* Când căldura este condusă printr-o bară, care nu este izolată față de exterior, o parte din ea se pierde pe drum și este luată de mediu.

Dacă punem, în lungul barei, o serie de termometre, constatăm experimental că *temperaturile arătate scad nu liniar, ci după o lege exponențială de forma:*

$$T_1 = T_0 e^{-al},$$

În lungul unei bare neizolate, temperatura scade exponențial.

în care  $e$  este baza sistemului de logaritmi neperieni,  $l$  — lungimea străbătută și  $a$  — o constantă care depinde de secțiunea barei, de perimetrul ei, de natura materialului sau de gradul de lustruire al suprafeței lui. Ea depinde de asemenea de natura mediului înconjurător.

Fig. 327 arată schematic dispozitivul experimental.

3. *Conductibilitatea cristalelor.* Dacă tăiem o lamă subțire dintr-un cristal, o ungem cu un strat de parafină și o încălzim într-un punct, topirea parafinei desenează o circumferință sau o elipsă.

În primul caz, deducem că, în planul secțiunii, coeficientul de conductibilitate este același, în toate direcțiile.

Aceasta se întâmplă, de pildă, la un cristal de cuarț, tăiat perpendicular pe axă (fig. 328 a).

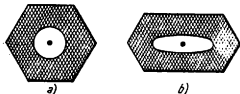


Fig. 328. Anizotropia calorică a cuarțului.

În general însă, parafina topită desenează o elipsă, care arată schimbarea coeficientului de conductibilitate cu orientarea (fig. 328 b).

Anizotropia cristalelor, pe care am constatat-o și la alte fenomene, poate fi deci evidențiată și prin conducerea căldurii.

4. *Mecanismul intern al conducerii.* Propagarea prin conducere este o consecință directă a agitației termice și a legilor ciocnirii elastice.

Această agitație se face cu viteză mijlocie mai mare, în regiunea încălzită și ciocnirea cu moleculele vecine le transmite, din aproape în aproape, energia cinetică. Nu este vorba deci de o difu-

ziune a moleculelor mai rapide, dintr-o regiune în alta, ci de un *simplic transfer de energie cinetică*.

**Conducerea căldurii se face prin transfer de energie cinetică.**

Fenomenul va trebui astfel să aibă o viteză de propagare, direct legată de valoarea coeficientului de conductibilitate.

**§ 129. Propagarea prin curenți.** La gaze și la lichide, o porțiune încălzită se dilată, își micșorează densitatea și forțele lui Archimede tind să o transporte spre regiunile superioare, dacă acestea sînt mai reci.

Se nasc astfel *curenți*, adică o mișcare de ansamblu, în masa fluidă, care tinde să uniformizeze temperaturile și constituie un mijloc de propagare al căldurii, pe care-l numim *convecție*.

Circuitul se închide, fiindcă locul porțiunilor calde va fi luat de porțiunile reci vecine.

Existența și forma curenților pot fi evidențiate ușor, cu ajutorul unui vas mare de sticlă, încălzit pe la fund, în care punem apă și particule în suspensie, de pildă tărțe de lemn. Observăm atunci cum apa caldă se ridică prin mijlocul vasului, iar apa rece coboară pe la margine (fig. 329).

Tot așa o luminare, pusă pe timp de iarnă la fereastra deschisă, ne arată, după cum se îndoaie flacăra că aerul cald iese din cameră pe la partea de sus a ferestrei și cel rece intră pe la partea de jos.

Exemple de propagare prin convecție se pot da numeroase: tirajul sobelor, funcționarea caloriferelor, curenții din camerele de locuit, vînturile, curenții marini etc.

**La gaze și lichide propagarea căldurii se face mai ales prin convecție (sau curenți).**

În ce privește felul cum se desfășoară aceste mișcări, ele sînt, evident, conduse de legile știute ale aere și hidrodinamicii.

Propagarea prin convecție, caracteristică gazelor și lichidelor, nu exclude propagarea și prin conducere, care nu poate fi totdeauna neglijată. De aceea, o bună izolare trebuie să evite afit conducerea, cit și convecția, cum se face, de exemplu, la vasele pentru aer lichid, cînd scoatem cit mai bine aerul dintre pereți.

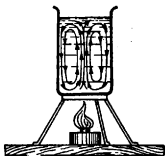


Fig. 329. Propagarea căldurii prin curenți.

Vata, stofele de lână sau blănurile sînt izolante din două motive: întîi fiindcă înglobează aer, care este rău conducător, apoi fiindcă limitează și reduc la minimum curenții de convecție, în interiorul lor.

Din aceleași motive se folosesc ferestrele duble, pentru izolarea locuințelor, în timpul iernii.

**§ 130. Propagarea prin radiație.** Căldura care ne vine de la Soare nu se propagă nici prin conducere, nici prin convecție, ci *prin raze*, ca și lumina.

Căldura radiantă se propagă cu viteza luminii, se reflectă și se refractă.

Analog, orice corp cald radiază căldură.

Această căldură radiantă poate fi oprită de unele obstacole,

așa-zise *opace*, poate fi reflectată de oglinzi și refractată.

Reflexia este cunoscută de mult. Se spune că *Archimede* ar fi făcut niște oglinzi concave, cu care reflecta căldura Soarelui și aprindea corăbiile romane, în timpul asediului *Syracuzei* (212 î. e. n.)<sup>1)</sup>.

Refracția poate să o constate oricine își aprinde țigara cu lupa, de la soare.

În ce privește viteza de propagare, ne putem da seamă că este egală cu a luminii, adică de 300 000 km/s, observînd că vine împreună cu lumina, o dată cu răsăritul soarelui.

Din punct de vedere structural, analogia cu lumina este totală și de aceea căldura radiantă se studiază ca un capitol de optică, așa că vom reveni mai tîrziu și mai pe larg asupra ei.

Menționăm numai că ea este un gen de lumină *invizibilă*, care se situează, în spectrul solar, înaintea roșului, adică în *înfraroșu*.

Mai menționăm că este *absorbită* de corpurile de culoare închisă și împrăștiată, adică *difuzată* de corpurile cu culoare deschisă.

Din aceste motive nu purtăm iarna haine albe, nici vara haine negre.

Cantitatea de căldură absorbită sau reflectată (respectiv difuzată) mai depinde și de gradul de lustruire al suprafeței pe care cade.

De aceea, vasele calorimetrice trebuie să fie cît mai bine lustruite și vasele Dewar se argintează la interior.

<sup>1)</sup> Faptul nu a putut fi controlat, fiindcă nu există nici un izvor de informație directă, ci numai simple povestiri transmise de *Vitruviu*, cu 200 de ani mai tîrziu.

Dacă am pune, în bătaia soarelui, două termometre: unul cu alcool și altul cu mercur, mercurul reflectă căldura, pe cînd alcoolul o absoarbe și se încălzește mai tare, după cum și un termometru cu mercur s-ar încălzi mai tare, dacă i-am înnegri rezervorul.

Din acest motiv, determinarea temperaturii la soare nu are sens, fiindcă rezultatul depinde de termometru.

## CAPITOLUL XVI MAȘINI TERMICE

Mașinile termice consumă un combustibil oarecare și transformă căldura dezvoltată în lucru mecanic.

Pentru nevoile ulterioare, vom da numai o descriere sumară a citorva tipuri, așa cum am făcut și la turbine.

§ 131. **Mașinile cu abur.** Încă din veacul al doilea î. e. n., *Heron* din *Alexandria* cunoștea forța de expansiune a vaporilor și a construit chiar un fel de turbină cu reacție.

Relațiile de producție ale timpului nu erau însă favorabile unei aplicații mai largi, pe scară practică, și de aceea invenția lui a căzut în uitare.

Abia pe la 1707 *Denis Papin*<sup>1)</sup> reactualizează problema și construiește o mașină cu vaporii, pe care o instalează pe o corabie.

Această mașină funcționa pe principiul următor:

Apa fierbea într-un cazan închis și vaporii treceau într-un cilindru, ca să împingă un piston (fig. 330).

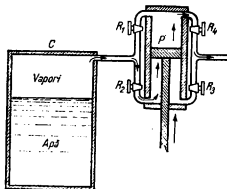


Fig. 330. Mașina cu vaporii în forma primitivă.

<sup>1</sup> *Denis Papin* (1647—1714), fizician francez, refugiat în Germania, din cauza persecuțiilor religioase. Prima lui mașină a fost distrusă de marinarii corăbilor cu pînze, de teama concurenței.

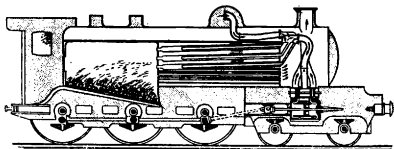


Fig. 331. Cazan tubular de locomotivă.

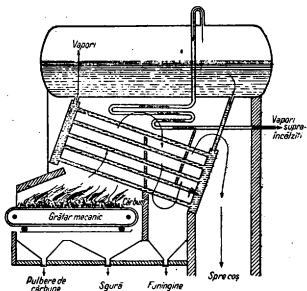


Fig. 313 bis. Cazan tubular cu țevi de apă, cu supraîncălzire.

Mișcarea alternativă a pistonului era comandată cu mîna, prin închiderea și deschiderea unor robinete.

Cu toate inconvenientele acestei lipse de automatizări, mașina lui Papin s-a răspîndit mai ales în minele de cărbuni din Anglia, pentru că permitea o pompare mult mai eficientă a apelor din galerii.

Pe la 1717, un copil, cu numele *Humphrey Potter*, pus să supravegheze o astfel de mașină și chinuit să întoarcă toată ziua niște robinete, a găsit mijlocul să scape de această ocupație neplăcută și să facă mașina să-și închidă și deschidă singură admisia vaporilor.

O realizare practică deosebit de interesantă apare în Rusia, pe la 1765, unde mecanicul *I. I. Polzunov*<sup>1)</sup> construiește o mașină cu abur de dimensiuni mari, automatizată prin angrenaje.

În sfîrșit, tot în 1765, mecanicul scoțian *James Watt*, după studii îndelungate, ajunge să dea mașinii cu vaporii forma aproape definitivă, sub care funcționează și astăzi.

Cazanul acestor mașini este construit așa fel, încît să permită evaporarea unor cantități foarte mari de apă.

De aceea flacăra îl străbate dintr-un capăt în altul, prin niște țevi longitudinale, care măresc suprafața de încălzire (fig. 331).

Cînd există spațiu suficient, aceste țevi sînt exterioare cazanului, derivate din el și pline cu apă (fig. 331 bis).

Un tub de nivel, o supapă de siguranță, un manometru și alte dispozitive speciale asigură controlul funcționării și au rolul să preîntîmpine accidente și explozii.

Sistemul motor este format dintr-un cilindru cu piston.

Un sertăraș *S* se mișcă automat, în sensul invers pistonului și deschide alternativ canalele *a* și *b*, așa ca să permită, de o parte intrarea vaporilor sub piston, de altă parte evacuarea lor, prin deschiderea *k* (fig. 332).

Mișcarea sertărașului este asigurată de un *excentric*, iar mișcarea alternativă a pistonului se transmite unui *volant*, printr-o *bielă*, legată cu o *manivelă* (fig. 333).

Rolul volantului, care trebuie să aibă un moment de inerție destul de mare, este să regularizeze mișcarea, pe care pistonul o comunică numai prin impulsuri succesive.

*Turbinele cu vaporii* funcționează pe același principiu ca și turbinele cu apă. Vaporii au însă o masă specifică mult mai mică

<sup>1)</sup> *Ivan Ivanovici Polzunov* (1728—1766).

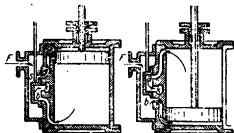


Fig. 332. Distribuția automată a vaporilor

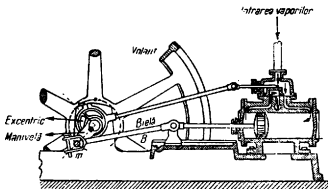


Fig. 333. Organele mașinii cu vapor.

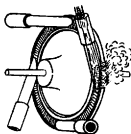


Fig. 334. Principiul turbinei Laval.

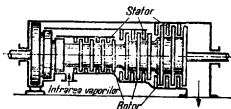


Fig. 335. Schema unei turbine cu reacție.

decît a apei. De aceea, ca să putem obține o energie cinetică suficientă, trebuie să intre cu viteză foarte mare.

Această viteză, la turbinele moderne, poate să atingă 1 000 m/s, adică să depășească viteza unui glonte de infanterie, iar presiunea este de peste 200 at.

Fig. 334 arată principiul de funcționare al unei turbine *cu acțiune*, de tipul *Laval*<sup>1)</sup> și face de prisos orice altă descriere.

Există și turbine *cu reacție*, de tipul *Parson*<sup>2)</sup> a căror schemă am reprezentat-o în fig. 335.

Ea folosește, ca și turbinele cu apă, o serie de schimbări succesive ale sensului de circulație al vaporilor, care trec pe rînd la o serie de rotoři, cuplați pe aceeași axă. Fig. 336 arată amănunțele de construcție la o turbină de 60 000 CP.

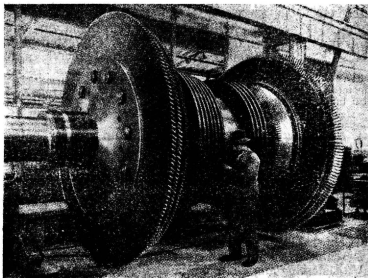


Fig. 336. Rotorul unei turbine cu reacție.

Cele mai mari turbine, construite pînă acum, ating 200 000 kW.

<sup>1)</sup> *Gustav de Laval*, inginer suedez (1887).

<sup>2)</sup> *Charles Parson*, inginer englez (1886).



Ele consumă aproape nouă sute de tone de vapori pe oră și necesită o baterie întreagă de cazane.

Viteza periferică a rotorului este de aproape 500 m/s, adică jumătate din viteza de intrare a vaporilor.

Pe lângă avantajul unei funcționări mai regulate și fără de smucituri, turbinele cu vapori au, față de mașinile cu pistoane, și pe acela al unei consumații de combustibil mult mai mică, la putere egală.

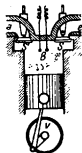


Fig. 337. Schema motorului în patru timpi

De aceea, marile uzine termice și vapoarele de mult nu mai folosesc mașinile cu pistoane, iar în ultimul timp turbinele au început să fie instalate chiar și pe locomotive.

**§ 132. Motoare cu ardere internă.** Un amestec de aer și de vapori de benzină, sau de alți combustibili lichizi, explodează când vine în contact cu o flacără, iar forța de expansiune a gazelor formate prin ardere poate servi ca forță motoare.

Pe acest principiu se bazează diverse tipuri de motoare cu explozie, pe care, de asemenea, le vom descrie sumar.

**1. Motorul cu explozie.** Intr-un cilindru pătrunde un piston, a cărui coadă este articulată la un volant V (fig. 337). În partea din fund a cilindrului sînt practicate două deschideri, în care intră niște dopuri conice de oțel, numite *supape*.

Amestecul de aer și vapori inflamabili se face în carburator.

Deschiderea cu supapa S' comunică, prin tubul a, cu un carburator, în care un curent de aer

trece prin benzină și se încarcă cu vapori.

Deschiderea cu supapa S comunică cu exteriorul (e).

Un sistem de angrenaje mișcă un dispozitiv care, la momentul potrivit, deschide sau închide pe rînd cele două supape.

Principiul funcționării este următorul (fig. 338).

**Timpul I (absorbția).** Presupunem pistonul în fundul cilindrului. Supapa S', numită de *admisie*, este deschisă, iar supapa S, de *evacuare* este închisă.

În primul timp se face absorbția.

Cînd pistonul se retrage în cilindru, aspiră prin carburator amestecul explozibil de aer și benzină.

**Timpul II (compresia).** Supapa de admisie se închide și pistonul care intră în cilindru, comprimă amestecul explozibil.

**Timpul III (aprinderea).** Pistonul a ajuns în fundul cilindrului. În acest moment, o scînteie electrică se produce automat în *B* și aprinde amestecul, făcîndu-l să împingă pistonul în jos.

**Timpul IV (evacuarea).** Pistonul a ajuns la gura cilindrului. Supapa de evacuare se deschide și volantul, în virtutea impulsului căpătat, împinge pistonul înapoi în cilindru și-l face să evacueze gazele de ardere.

Apoi totul începe de la capăt.

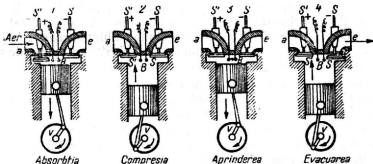


Fig. 338. Fazele succesive ale funcționării unui motor în patru timpi.

Recapitulînd, observăm că *singurul timp motor este timpul al treilea* și că, în celelalte timpuri, mișcarea este asigurată numai de volant.

Pentru a înlătura inconvenientul și a permite o funcționare mai lipsită de smucituri, se leagă împreună mai mulți cilindri, în care exploziile se fac pe rînd.

Motorul nu poate să pornească singur, ci trebuie ajutat, la început, cu mîna sau cu un motoras electric.

Exploziile din cilindri produc o temperatură de aproape 2 000 °C. De aceea trebuie să-i răcim cu apă sau cu un curent de aer.

Motoarele cu explozie, deși mult mai puțin robuste decât mașinile cu abur, au avantajul că ocupă mult mai puțin spațiu și că pot fi puse imediat în funcțiune.

Dezvoltarea lor este direct legată de progresele metalurgiei moderne, care a ajuns în situația să producă aliaje și oțeluri suficient de rezistente și totodată să creeze mijloacele tehnice de prelucrare.

Numai așa s-a putut ajunge la construirea motoarelor de avion de 2 500 CP și 24 cilindri, care să nu cântărească mai mult de 500 g/CP.

2. *Motorul Diesel*<sup>1)</sup>. El se deosebește de motoarele cu explozie descrise mai sus, prin aceea că aprinderea nu se mai face cu scînteii electrice.

Aerul este comprimat rapid în cilindru, pînă la 25 sau 30 at și această comprimare îi ridică temperatura pînă la 700 sau 800 °C, suficientă ca să producă aprinderea combustibilului, *care-i introdus în ultimul moment*, sub forma de mici picături, produse de un vaporizator. Altfel aprinderea s-ar putea face prematur.

Motorul Diesel este mult mai robust decât motoarele cu explozie obișnuite și are avantajul că funcționează cu combustibil ieftin: motorină, țiței sau chiar praf de cărbune.

Există și motoare *semidiesel*, în care aprinderea este ajutată de o bilă metalică incandescentă, pe care o încălzim separat și o introducem în capul cilindrului.

Toate aceste tipuri pot să funcționeze și în doi timpi, aprinderea făcîndu-se o dată la fiecare rotație, adică de cîte ori pistonul ajunge în fundul cilindrului.

Avantajele motorului Diesel îl fac să fie folosit nu numai în marile industrii sau centrale electrice, dar și pe vehiculele mai grele: locomotive, automotoare, camioane etc.

De asemenea, el are o întrebuințare largă la vapoare și mai ales la submarine.

Se construiesc în prezent motoare Diesel pînă la 20 000 CP.

<sup>1)</sup> Rudolf Diesel (1858—1913), inginer german.

## CAPITOLUL XVII

### TEORIA CINETICĂ A GAZELOR

§ 133. **Introducere. Noțiuni de statistică.** Concepția despre mișcarea dezordonată a moleculelor, numită *agitație termică*, a fost introdusă în fizică în primele decenii după 1700, mai ales de *Leibnitz*, *Daniell Bernoulli* și *Lomonosov*.

Aceste idei n-au fost însă apreciate și înțelese la justa lor valoare decât mai târziu, și abia prin 1827 naturalistul englez *Brown*<sup>1)</sup> a descoperit un fenomen simplu, care constituie o primă dovadă experimentală directă.

Este vorba de așa-numita *mișcare browniană*.

Mișcarea browniană se observă la particule mici în suspensie și se datorește ciocnirilor moleculare.

Dacă privim la microscop o picătură de lichid, în care se află mici particule în suspensie, de pildă tuș pentru desen, foarte diluat cu apă, aceste particule par cuprinse de un tremurat continuu. Ele se clatină și se mișcă, fără nici o regulă, în toate direcțiile, cum se clatină o barcă lovită de valuri.

Fenomenul se datorește neconțințelor ciocniri, primite din partea moleculelor invizibile ale mediului și poate fi observat ușor, la orice suspensie mai fină, atât în lichide, cât și în gaze.

Fig. 339 ne arată forma, tipic neregulată, a traiectoriilor descrise de patru particule, în câmpul unui microscop.

Existența mișcării browniene a atras atenția fizicienilor asupra semnificației reale a fenomenelor de agitație termică moleculară și a reactualizat problema, iar ca urmare, lucrările teoretice ale lui *Maxwell*<sup>2)</sup>, *Clausius*<sup>3)</sup>, *Boltzmann*<sup>4)</sup> și alții, au dus treptat la încheierea unei teorii

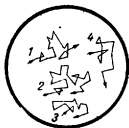


Fig. 339. Particule în mișcare browniană.

<sup>1)</sup> Robert Brown (1773—1858).

<sup>2)</sup> James Clerk Maxwell (1831—1879), fizician englez, fost profesor la Cambridge. Este creatorul teoriei undelor electromagnetice.

<sup>3)</sup> Rudolph Clausius (1822—1888), fizician german, fost profesor la Bonn.

<sup>4)</sup> Ludwig Boltzmann (1844—1906), fost profesor la Viena.

*cinetice*, în deplin acord cu faptele experimentale și cu rezultate deosebit de importante, mai ales în domeniul gazelor.

Caracterul manualului de față nu permite o dezvoltare amănunțită, așa că vom face numai o scurtă trecere în revistă a rezultatelor fundamentale. Iar, pentru că întreaga desfășurare teoretică a problemei pleacă de la noțiunile de *probabilitate* și de *repartiție statistică*, vom începe cu câteva lămuriri preliminare.

1) Să presupunem că un jucător aruncă un zar, la care fețele sînt marcate cu numerele de la 1 la 6.

El nu poate ști niciodată, cu anticipație, pe care față va cădea zarul, dar dacă repetă operația de un număr *foarte mare* de ori și face o *statistică* a rezultatelor observate, constată că nici una dintre fețe nu este favorizată.

Din cele șase posibilități, fiecare apare de un număr aproximativ egal de ori, cu diferențe practic neglijabile.

Vom spune deci că, pentru fiecare față, probabilitatea de apariție, pe care o notăm obișnuit cu  $w$ , este

$$w = \frac{1}{6} = 0,165\ 6 = 16,66\ \%,$$

asa că, din zece mii de aruncări ale zarului, fiecare față apare de aproximativ 1 666 de ori.

Aceasta e o *probabilitate simplă*, fiindcă se referă la un singur obiect. Ea se exprimă prin raportul dintre numărul de cazuri favorabile: *unul*, la numărul de cazuri posibile: *șase*.

Tot așa, dacă zarul ar fi avut, bunăoară, patru fețe roșii și două negre, probabilitatea de apariție, pentru fețele roșii, ar fi fost

$$w_1 = \frac{4}{6} = 0,666\ 6 = 66,66\ \%,$$

iar pentru cele negre

$$w_2 = \frac{2}{6} = 0,333\ 3 = 33,33\ \%.$$

Să considerăm acum o situație ceva mai complicată: jucătorul aruncă *două* zaruri cu fețe numerotate.

Fiecare față a unuia dintre zaruri poate fi atunci întovărășită de una din cele șase fețe ale celuilalt și numărul cazurilor posibile va fi  $6 \cdot 6 = 36$ .

Dacă așteptăm ca ambele zaruri să cadă pe aceeași față, de pildă pe fața marcată cu 2, avem un singur caz favorabil din 36 posibile și probabilitatea va fi:

$$w = \frac{1}{6} \cdot \frac{1}{6} = \frac{1}{36} = 0,027\ 7 = 2,77\ \%.$$

Aceasta este o *probabilitate compusă*, fiindcă rezultă din suprapunerea a două probabilități simple. Ea este dată de *produsul* lor.

Este acum ușor de văzut că, dacă am avea  $n$  zaruri și am vrea ca toate să cadă simultan pe o față dată, probabilitatea compusă ar fi

$$w_c = \frac{1}{6^n}.$$

Analog, dacă aruncăm  $n$  monede și vrem ca toate să cadă pe o față dată, probabilitatea simplă va fi

$$w_s = \frac{1}{2} = 0,50 = 50\%.$$

dar probabilitatea compusă va fi

$$w_c = \frac{1}{2^n}.$$

Se poate demonstra că, în general, dacă mai multe fenomene au probabilitățile de apariție  $w_1, w_2, w_3, \dots$  probabilitatea compusă, corespunzătoare apariției lor simultane este

$$w_c = w_1 \cdot w_2 \cdot w_3 \cdot w_4 \dots,$$

adică egală cu produsul probabilităților simple.

**Probabilitatea simplă** este raportul dintre numărul de cazuri favorabile și numărul de cazuri posibile, iar probabilitatea compusă este produsul probabilităților simple.

În concluzie: *probabilitatea simplă este raportul dintre numărul de cazuri favorabile și numărul de cazuri posibile, iar probabilitatea compusă este dată de produsul probabilităților simple.*

Se înțelege de la sine că expresia de *probabilitate* nu are sens decît la un număr foarte mare de observații succesive. Ea nu se aplică la cazurile izolate, sau în număr restrîns.

2) Noțiunile curente de *hazard* sau *întîmplare* privesc numai pe individul izolat. Pentru *totalitatea indivizilor*, luați împreună, aceste noțiuni se încadrează totuși în anumite legi, pe care uneori le putem calcula, ca în exemplele de mai sus, iar alteleori le deducem dintr-un număr foarte mare de fapte de observație, folosind așa-numita *metodă statistică*.

Iată un exemplu deosebit de instructiv.

Să presupunem că, la un examen, se prezintă un număr mare de candidați, pregătiți în condiții similare și că răspunsurile capătă notele calificative de la 1 la 10.

În momentul cînd începe să examineze pe un candidat anumit, examinatorul nu poate să știe cu anticipație ce notă îi va da.

Cu toate acestea, experiența ne arată că și această notă ascultă de legile probabilității, dacă este luată împreună cu toate celelalte.

Să admitem că rezultatul examinării, pentru primii 500 de candidați a fost următorul:

<i>Nota dată</i>	1	2	3	4	5	6	7	8	9	10.
<i>Candidați</i>	7	18	35	55	79	91	80	60	43	32.

Cu ajutorul acestor date statistice, ne propunem întâi să vedem în ce condiții s-a făcut examinarea.

Pentru aceasta, vom înscrie, pe două axe de coordonate, în abscisă notele de la 1 la 10 și în ordonată numărul de candidați care le-au câpătat, așa cum arată fig. 340.

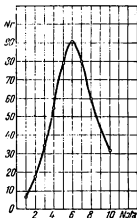


Fig. 340. Curba de repartiție a notelor.

Unind punctele figurative, obținem astfel o curbă continuă, cu un maximum pe nota 6, care apoi coboară simetric de o parte și de alta.

În mod normal, acest maximum ar fi trebuit să apară în dreptul notei 5,5 adică pe media aritmetică a numerilor 1 și 10. Faptul că-l găsim pe nota 6 ne spune că sau candidații erau excepțional de bine pregătiți, sau examinatorul a fost puțin cam îndulgent.

Pe de altă parte, simetria curbei ne mai spune că examinarea s-a făcut cu imparțialitate și cu o gradare judicioasă a notărilor.

O curbă prea disimetrică, cu mai multe maxime sau cu neregularități ne-ar fi arătat, din contra, o examinare lipsită de conștiințiozitate, sau făcută de o persoană incompetentă, dar mai poate să arate că masa candidaților nu a fost pregătită în condiții comparabile, adică nu este suficient omogenă.

Se înțelege de la sine că asemenea criterii de analiză, prin curbe reprezentative, nu se pot aplica decît la un număr mare de examinări succesive.

Rămîne acum să dăm răspunsul la două întrebări:

- I. Care este nota medie a candidaților?
- II. Care este probabilitatea de apariție a unei note anumite?

Ca să obținem nota medie, va trebuie să înmulțim fiecare notă cu numărul respectiv al candidaților care au primit-o, să facem suma rezultatelor și s-o împărțim prin numărul total de 500 de candidați.

1·7=	7
2·18=	36
3·35=	105
4·55=	220
5·79=	395
6·91=	546
7·80=	560
8·60=	480
9·43=	387
10·32=	320

Total 3 056

$$\frac{3\,056}{500} = 6,11$$

Tabela alăturată cuprinde toate datele acestui calcul și ne arată că nota medie este 6,11.

În ce privește probabilitatea de apariție a unei note date, ea va fi, evident, dată de raportul între numărul de cazuri constatate și numărul cazurilor totale.

Ținând seama de datele din tabelă, vom găsi:

Pentru nota 1:  $w = 7/500 = 1,4\%$ .

Pentru nota 2:  $w = 18/500 = 3,6\%$ .

Pentru nota 3:  $w = 35/500 = 7,0\%$ , etc.

Probabilitatea maximă o găsim pentru nota 6:

$$w = 91/500 = 18\%.$$

Ea este nota cea mai probabilă.

O dată stabilită și găsită această *lege de repartiție* a notelor, pentru primul lot de 500 de candidați, este practic sigur că, dacă examinarea continuă, media rezultatelor și distribuția notelor vor fi aceleași, pentru toate loturile următoare, din aceeași masă de candidați.

Reprezentări analoge se pot face în numeroase alte cazuri similare, pe baza unor simple date statistice. De pildă:

a) Putem să considerăm înălțimea bărbaților majori, dintr-o regiune dată și să calculăm astfel înălțimea medie, înălțimea cea mai probabilă și probabilitatea unei anumite înălțimi, cuprinsă între limite date.

Aceeași reprezentare, aplicată la indivizii de ambele sexe, ne va da o curbă cu două maxime, fiindcă înălțimea cea mai probabilă a femeilor este mai mică decât a bărbaților.

b) Putem să considerăm vârsta decedaților și, cu ajutorul statisticii, să calculăm durata probabilă a vieții, cum și numărul celor ce vor muri, în anii următori, la o vîrstă dată. Aceste date sînt de primă importanță pentru societățile de asigurare.

c) Un alt exemplu de curbă statistică, de aceeași formă simplă, îl găsim cînd vrem să apreciem, cu ajutorul unui cuțit, introdus între file, care este mijlocul unei cărți, al cărui număr de pagini nu-l cunoaștem.

Dacă repetăm operația de un număr mare de ori, maximul curbei cade destul de exact la jumătatea cărții.

Curba, în formă de clopot, reprezentată pe baza datelor statistice, de felul aceleia din fig. 340, se numește *curba lui Gauss*<sup>1)</sup>.

Calculul probabilităților sau calculul statistic are o importanță deosebită, mai ales în fizica modernă. O aplicație imediată o vom găsi în capitolul următor.

<sup>1)</sup> Carl Friedrich Gauss (1777—1855), fizician, astronom și matematician german.



§ 134. **Presiunea gazelor.** Agitația termică a moleculelor unui gaz le face să se întâlnească de nenumărate ori, fie între ele, fie cu pereții vasului în care sînt închise.

Ca urmare, traiectoria unei molecule date va fi formată din scurte porțiuni rectilinii, limitate între două ciocniri consecutive și va căpăta forma de linie frîntă, așa cum arată fig. 341.



Fig. 341. Traiectoria unei molecule.

Lungimea acestor porțiuni depinde de întîmplare și de gradul de îngrămădire al moleculelor, iar valoarea ei medie definește așa-numitul *drum liber mijlociu*.

În cele ce urmează, vom admite, prin ipoteză, că moleculele se comportă ca niște sfere perfect elastice. Această ipoteză va fi verificată ulterior prin experiență, o dată cu consecințele ce decurg din ea.

Vom aplica deci legile ciocnirii elastice, care implică:

1. *Conservarea cantității de mișcare sau a impulsului.*
2. *Conservarea energiei cinetice.*

Vom admite, de asemenea, că sîntem în cazul gazului perfect, unde dimensiunile proprii ale moleculelor sînt neglijabile, în raport cu distanța lor și unde nu există coeziune, deci atracție reciprocă.

Vitezele moleculelor se supun legilor statisticii și au toate valorile posibile, începînd cu zero. Pentru simplificarea raționamentului, va trebui să considerăm deci valoarea lor medie.

În ce privește direcțiile de mișcare, nu putem spune nimic, fiindcă ele pot să capete, cu probabilitate egală, orice orientare în spațiu, fără nici o preferință.

După această fixare de condiții, să considerăm o moleculă, care se mișcă după o direcție oarecare, cu viteza  $v$  și să descompunem această viteză după trei axe de coordonate rectangulare  $Oxyz$  (fig. 342).

Dacă repetăm operația pentru toate cele  $N$  molecule, care se găsesc într-o moleculă-gram de gaz, suma tuturor proiecțiilor,

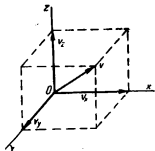


Fig. 342. Componentele vitezei unei molecule.

după fiecare axă de coordonate, va fi aceeași, fie într-un sens, fie în altul, din motive de simetrie și fiindcă nu există o direcție preferențială a mișcărilor, în spațiu.

*Totul se petrece deci ca și cum câte  $N/6$  molecule s-ar mișca în fiecare sens și paralel cu fiecare din cele trei direcții ale axelor de coordonate alese.*

Dacă adunăm componentele vitezelor, după un sens și o direcție date, și împărțim rezultatul prin  $N/6$ , avem *viteza medie* a moleculelor, pe care o vom nota cu  $u$ .

**Mișcarea dezordonată**  
o înlocuim cu alta ordonată, de viteză  $u$ , în care câte o treime din molecule s-ar mișca paralel cu axele de coordonate alese.

Am înlocuit astfel mișcările dezordonate prin altele ordonate, dar echivalente, în care câte  $N/3$  molecule se mișcă paralel cu fiecare axă de coordonate, cu viteza medie  $\pm u$ , la care semnul algebric arată sensul.

Să presupunem acum că o moleculă-gram de gaz ar fi închisă într-un rezervor de formă cubică, cu latura  $l$  și cu fețele orientate perpendicular pe axele de coordonate (fig. 343).

Ciocnirile dintre molecule fiind perfect elastice, putem face abstracție de ele, fiindcă orice moleculă ciocnită se substituie celei care a lovit-o și continuă mișcarea mai departe.

Totul se petrece deci ca și cum o moleculă, plecată de la un perete ar putea să parcurgă liber toată distanța, până la peretele opus.

Această moleculă ciocnește perețele întâlnit și are masa  $m$ . Ea duce cu dînsa cantitatea de mișcare  $mu$ , iar după ciocnire se reflectă și se întoarce înapoi, cu viteza  $-u$ , deci cu cantitatea de mișcare  $-mu$ .

Variația cantității de mișcare va fi deci

$$mu - (-mu) = 2mu.$$

Molecula parcurge distanța  $2l$  și apoi revine, ca să ciocnească iarăși peretele. Prin urmare, numărul de ciocniri pe secundă va fi  $u/2l$ .

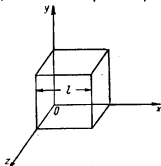


Fig. 343. Cubul conține o moleculă-gram de gaz.

În unitatea de timp, suma variațiilor cantității de mișcare, egală cu impulsul forței dezvoltate prin ciocnirile consecutive, va fi deci:

$$f \cdot 1 = \frac{2\pi u^2}{2l},$$

sau

$$f = \frac{2}{l} \cdot \frac{\pi u^2}{2}.$$

Pentru cele  $N/3$  molecule, care ciocnesc mereu peretele, forța totală va fi astfel:

$$F = \frac{2}{3l} \cdot \frac{\pi N u^2}{2}$$

și această forță, raportată la suprafața  $S=l^2$  a peretelui, dezvoltă presiunea:

$$p = \frac{2}{3l^3} \cdot \frac{\pi N u^2}{2} = \frac{2}{3V} \cdot \frac{\pi N u^2}{2}, \quad (134.1)$$

în care  $V$  este volumul ocupat de molecula-gram a gazului.

**La volum constant, presiunea gazelor este direct proporțională cu pătratul vitezei medii a moleculelor.**

*Această relație ne spune că, dacă volumul rămâne constant, presiunea gazului crește proporțional cu pătratul vitezei medii de translație a moleculelor.*

Pe de altă parte, știind că produsul  $Nm=M$  reprezintă masa unei molecule-gram și că raportul  $M/V$  ne dă densitatea  $\rho$ , avem:

$$\boxed{p = \frac{1}{3} \rho \cdot u^2} \quad (134.2)$$

**§ 135. Interpretarea temperaturii. Legile gazelor.** Se știe că, la volum constant, presiunea unui gaz crește cu temperatura. În aceste condiții, densitatea rămâne însă constantă și relația (134.2) ne arată că ridicarea temperaturii nu face decât să mărească viteza medie de translație a moleculelor.

Dacă amestecăm două gaze, luate la aceeași presiune și temperatură, experiența ne arată că nu se schimbă nici presiunea, nici temperatura, dacă nu intervine o reacție chimică.

Inseamnă că, *în amestec, energia cinetică a moleculelor are aceeași valoare medie, ca și în gazele izolate, așa că nu intervine nici un schimb de energie, între cele două gaze.*

Dacă ținem seamă și de relația (134.1), putem trage următoarele concluzii:

1) *La temperaturi egale, energia cinetică mijlocie de translație a moleculelor este aceeași la toate gazele.*

2) Dacă două gaze au aceeași temperatură și aceeași presiune,

$$p = p' \quad \text{și} \quad m \cdot u^2 = m' \cdot u'^2,$$

înseamnă că, în aceste condiții, *volume egale de gaz conțin același număr de molecule, indiferent de natura lor.*

Legea lui Avogadro găsește astfel o nouă interpretare teoretică.

3) Ca urmare a concluziilor precedente, și dacă temperatura rămâne invariabilă, relația (134.1) se mai poate scrie sub forma:

$$pV = \frac{2}{3} \cdot \frac{mNu^2}{2} = \frac{2}{3} \cdot \frac{Mu^2}{2} = \text{const}$$

și ajungem astfel, pe cale de raționament, la cunoscuta lege a lui Boyle-Mariotte.

**Energia cinetică medie**  
depinde numai de tempe-  
ratură, iar la temperatu-  
ră constantă

$$pV = \frac{2}{3} \cdot \frac{Mu^2}{2} = \text{const.}$$

Pe de altă parte, dacă ținem  
seamă de ecuația lui Clapeyron:

$$pV = R \cdot T,$$

rezultă imediat că

$$\boxed{RT = \frac{2}{3} \cdot \frac{mNu^2}{2} = \frac{2}{3} \cdot \frac{Mu^2}{2}} \quad (135.1)$$

**Produsul  $RT$  reprezintă**  
 **$2/3$  din energia cine-**  
**tică de translație a tutu-**  
**rur moleculelor dintr-un**  
**mol de gaz.**

Această relație ne spune că  
*produsul  $R \cdot T$  reprezintă  $2/3$  din*  
*energia cinetică totală de translație*  
*dintr-un mol de gaz.*

Ea se mai poate scrie și sub forma:

$$\frac{2}{3} \cdot \frac{mu^2}{2} \cdot \frac{1}{T} = \frac{R}{N}.$$

Din motive ușor de înțeles, raportul  $R/N$  are aceeași valoare pentru toate gazele.

Constanta lui Boltzmann reprezintă  $2/3$  din variația energiei cinetice medii de translație a unei molecule, pe gradul absolut de temperatură.

*Acest raport reprezintă  $2/3$  din variația energiei cinetice medii de translație a unei molecule, pentru fiecare grad absolut. El se notează cu  $k$  și se numește constanta lui Boltzmann.*

Din valorile cunoscute

$$N = 6,023 \cdot 10^{23} \quad \text{și} \quad R = 8,314 \cdot 10^7 \text{ CGS,}$$

putem calcula imediat că valoarea constantei lui Boltzmann este

$$k = 1,380 \cdot 10^{-16} \text{ erg/}^\circ\text{K.}$$

Dacă notăm energia cinetică medie de translație a moleculei cu  $W_c$  vom avea deci

$$\frac{2}{3} W_c = k \cdot T \quad (135.2)$$

Constanta lui Boltzmann ne permite deci să legăm direct variația temperaturii absolute de variația energiei cinetice medii de translație a unei molecule.

Constanta lui Boltzmann ne permite să definim o scară naturală a temperaturilor.

Cu aceasta, semnificația temperaturii de zero absolut nu mai este legată de dilatarea gazelor.

*Ea reprezintă temperatura la care energia cinetică a moleculelor se anulează, o dată cu agitația termică.*

Totodată, relația (135.2) ne permite să legăm temperatura absolută de fenomenul natural al agitației termice și să instituim o scară naturală a temperaturilor.

4) Din simpla cunoaștere a densității unui gaz, la temperatura de  $0^\circ\text{C}$  și presiunea normală, relația (134.2) ne permite să calculăm viteza medie de translație a moleculelor, în cursul agitației termice.

Mai jos dăm această viteză pentru cîteva gaze:

Hidrogen	. . . . .	$u = 1\,838$ m/s
Heliu	. . . . .	$u = 1\,307$ m/s
Oxigen	. . . . .	$u = 461$ m/s
Azot	. . . . .	$u = 493$ m/s.

După cum am arătat și în alt capitol, mișcarea moleculelor explică difuzia gazelor. Ordinul de mărime al vitezelor ne-ar putea face să bănuim, la prima vedere, că această difuzie ar trebui să se facă foarte repede. În realitate, ea este mult încetinită de ciocnirile moleculare și cu atît mai lentă, cu cit drumul liber mijlociu este mai mic.

În păturiile de sus ale atmosferei, la limita ei superioară, moleculele în mișcare tind să fugă în spațiu. Gravitatea le frînează însă, și le întoarce înapoi.

Se poate întîmpla însă ca unele molecule să aibă o viteză prea mare, ca să mai poată fi oprite. Aceasta se petrece mai ales cu acelea de hidrogen și de heliu. De aceea atmosfera Pămîntului nu mai conține aceste gaze, decît în proporții neglijabile.

Ele există totuși în Soare, fiindcă atracția este acolo incomparabil mai mare.

Planetele mici sau sateliții planetelor nu mai au atmosferă, fiindcă atracția nu mai este suficientă ca s-o păstreze.

5) În § 101, pornind de la ecuația lui Bernoulli, am stabilit că viteza de curgere a gazelor, prin deschiderile mici, este invers proporțională cu rădăcina pătrată a densităților.

Teoria cinetică ne permite să deducem aceeași lege, pe o cale mult mai simplă.

Dacă deschiderea este destul de mică, sau presiunea gazului destul de scăzută, drumul liber mijlociu este de același ordin de mărime, ca și dimensiunile orificiului.

Fiecare moleculă poate atunci să iasă neîmpiedicată de celelalte, fiindcă efectul ciocnirilor devine neglijabil.

În aceste condiții, viteza de curgere va fi aproximativ egală cu viteza medie  $u$  și, pentru două gaze diferite:

$$m_1 u_1^2 = m_2 u_2^2.$$

De aici rezultă imediat că

$$\frac{u_1}{u_2} = \sqrt{\frac{m_2}{m_1}}.$$

și, deoarece masa unei molecule este direct proporțională cu densitatea gazului, deducem că

$$\frac{u_1}{u_2} = \sqrt{\frac{\rho_2}{\rho_1}},$$

adică tocmai legea căutăată.

Disponem astfel de o metodă simplă, pentru determinarea vitezei medii a moleculelor.

§ 136. **Drumul liber mijlociu.** Să considerăm o moleculă dintr-un gaz și să presupunem că are forma sferică și diametrul  $D$ . Pentru simplificare, vom admite că toate celelalte molecule sînt imobilizate, iar ea se mișcă singură, cu viteza mijlocie  $u$ .

Fig. 344 ne arată că o ciocnire se va produce dacă distanța dintre centrul moleculei noastre și al altei molecule, pe lângă care trece, este mai mică decît  $D$ .

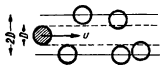


Fig. 344. Pentru calcularea drumului liber mijlociu.

Spațiul parcurs în unitatea de timp fiind  $u$ , vor fi ciocnite într-o secundă toate moleculele care se află în interiorul unui cilindru, cu suprafața bazei  $\pi D^2$  și lungimea  $u$ .

În cazul cînd, în urma unei ciocniri necentrice, molecula ar fi deviată din drumul ei, acest cilindru se frînge în mai multe porțiuni rectilinii, care totalizează aceeași lungime, așa că rezultatul nu se schimbă.

Notînd cu  $n$  numărul de molecule din unitatea de volum, se vede imediat că numărul ciocnirilor pe secundă va fi

$$\pi D^2 \cdot u \cdot n,$$

iar drumul liber mijlociu, pe care-l notăm cu  $\lambda$ , va fi dat de relația:

$$\pi D^2 \cdot u \cdot n \lambda = u.$$

De aici deducem că

$$\lambda = \frac{1}{\pi n D^2}. \quad (136.1)$$

În raționamentul făcut, am presupus că se mișcă o singură moleculă. Se demonstrează că, dacă se mișcă toate, ciocnirile sînt mai dese și drumul liber mijlociu devine ceva mai scurt.

Atunci avem:

$$\lambda = \frac{1}{\sqrt{2}} \cdot \frac{1}{\pi n D^2} \quad (136.2)$$

Sau, dacă înlocuim diametrul moleculei prin dublul razei și notăm suprafața totală a celor  $n$  molecule cu  $S$ , avem,

$$\lambda = \frac{1}{\sqrt{2}} \cdot \frac{1}{S} \quad (136.3)$$

în care  $S$  reprezintă așa-numita *suprafață de ciocnire*.

**Drumul liber mijlociu este invers proporțional cu suprafața de ciocnire.**

Prin urmare, *drumul liber mijlociu este invers proporțional cu suprafața de ciocnire, iar factorul de proporționalitate este  $1/\sqrt{2}$ .*

Pe de altă parte, deoarece, la temperatură constantă, numărul de molecule este direct proporțional cu presiunea, vom avea, la două presiuni diferite,

$$\frac{\lambda_1}{\lambda_2} = \frac{n_2}{n_1} = \frac{p_2}{p_1},$$

sau, în general,

$$\lambda p = \text{const.} \quad (136.4)$$

**La temperatura constantă, drumul liber mijlociu este invers proporțional cu presiunea.**

Așadar, *la temperatură constantă, drumul liber mijlociu este invers proporțional cu presiunea sau direct proporțional cu volumul gazului.*

**Viscozitatea gazelor.** Să presupunem că două plăți de gaz alunecă una pe alta, mișcându-se una cu viteză mai mică, alta cu viteză mai mare.

Moleculele, pe care agitația termică le face să treacă întâmplător de la o pătură la alta, tind să egaleze vitezele acestor plăți și să anuleze mișcarea relativă a lor.



Este ca și cum, între două trenuri care merg cu viteze diferite, pe două linii paralele, pasagerii ar începe să arunce bagajele din unul în altul. Prin schimburile de impulsuri, trenul mai rapid își va încetini mersul, iar cel mai încet va porni mai repede.

Din punctul de vedere al efectului final, cele două păături de gaz, egalându-și vitezele, totul se petrece ca și când ar exista o frecare, deci o viscozitate.

Se demonstrează că valoarea coeficientului de viscozitate corespunzător acestei frecări virtuale, este dată de relația

$$\cdot \left| \begin{array}{c} \pi = 0,3 n m u \lambda = 0,3 \rho u \lambda \end{array} \right| \quad (136.5)$$

Despre această relație am amintit deja, în § 102.

**Coeficientul de viscozitate nu depinde de presiunea gazului, dar nu mai are sens la presiuni foarte mici.**

Cum drumul liber mijlociu variază în sens invers cu numărul de molecule pe centimetrul cub, se înțelege imediat de ce *schimbarea presiunii nu poate să modifice viscozitatea*.

Totuși, dacă presiunea devine atât de mică, încât drumul liber mijlociu să depășească dimensiunile vasului în care se află gazul, ciocnirile intermoleculare sînt practic inexistente, așa că nu mai poate fi vorba de existența unei frecări.

Ca urmare, o dată cu dispariția ciocnirilor, *la presiunile foarte mici, noțiunea de viscozitate nu mai are nici un sens*, fiindcă nu mai poate fi vorba de un „gaz“, ci de simple molecule izolate.

Imbrăcînd legile gazelor în haina concepției cinetice și folosind cele mai simple metode de calcul, am ajuns în situația de a putea înlănțui o serie întreagă de fenomene diverse.

Cu ajutorul relațiilor deduse, sîntem în măsură să intrăm acum ceva mai adînc, în lumea atomilor.

Iată numai cîteva din consecințele imediate:

1) Cu ajutorul relației (135.1) care leagă produsul  $RT$  de energia cinetică medie a moleculelor, am calculat viteza mijlocie de agitație termică și am legat-o de variația temperaturii.

2) Cunoscînd această viteză mijlocie, determinarea experimentală a coeficientului de viscozitate ne permite să calculăm drumul liber mijlociu, cu ajutorul relațiilor (136.5) și (136.4).

3) Dacă împărțim viteza mijlocie prin drumul liber mijlociu, găsim numărul de ciocniri pe secundă, pentru fiecare moleculă.

4) Din cunoașterea drumului liber mijlociu, relația (136.3) ne permite să calculăm suprafața totală a moleculelor din unitatea de volum.

Tabelele de mai jos cuprind câteva date din datele numerice calculate, valabile la presiunea normală și temperatura de 0°C.

	Drumul liber mijlociu (cm)	Ciocniri pe secundă
Hidrogen ( $H_2$ )	$1,123 \cdot 10^{-5}$	$9 \cdot 10^9$
Azot ( $N_2$ )	$0,599 \cdot 10^{-5}$	$5 \cdot 10^9$
Oxigen ( $O_2$ )	$0,647 \cdot 10^{-5}$	$4 \cdot 10^9$
Heliu (He)	$1,798 \cdot 10^{-5}$	$7 \cdot 10^9$

Prin urmare, drumul liber mijlociu este de ordinul zecimii de miime de milimetru, iar numărul ciocnirilor pe secundă de ordinul miliardelor.

În aer, la diferite presiuni, avem aproximativ

Presiunea (mm Hg)	Drumul liber mijlociu (cm)
760	0,000 007
1	0,005
0,01	0,5
0,000 1	50
0,000 001	5 000 = 5 m
0,000 000 01	500 000 = 5 km

Pompele moderne de vid pot să realizeze asemenea presiuni reduse. Cu toate acestea, la presiunea de  $10^{-9}$  mm col. Hg, numărul de molecule pe centimetrul cub atinge încă cifra impresionantă de  $10^6$ , adică o sută de milioane.

Aceste date numerice permit să ne facem o idee mai clară despre fenomenele care se desfășoară la scara moleculară.

§ 137. Căldura specifică a gazelor. Relația (135.1) se mai poate scrie sub forma:

$$W_T = \frac{Mu^2}{2} = \frac{3}{2} RT, \quad (137.1)$$

în care  $W_T$  reprezintă energia cinetică totală, de translație, a

moleculelor ce se mișcă într-un mol de gaz, cu viteza medie  $u$ , la temperatura absolută  $T$ .

**Energia cinetică de translație.** Într-un mol de gaz, crește proporțional cu temperatura absolută, iar viteza medie cu rădăcina pătrată a temperaturii absolute.

Această relație ne spune că *energia cinetică totală, de translație, într-un mol de gaz, crește proporțional cu temperatura absolută, iar viteza medie cu rădăcina pătrată a temperaturii absolute.*

1) Dacă menținem volumul constant și ridicăm temperatura cu un grad, energia cinetică de translație variază cu

$$\Delta W = W_{T+1} - W_T = \frac{3}{2} R(T+1) - \frac{3}{2} RT$$

și deducem că, la volum constant,

$$\boxed{\frac{\Delta W}{\text{grad}} = \frac{3}{2} R} \quad (137.2)$$

Cum energia cinetică de translație variază direct proporțional

**Într-un mol de gaz, o creștere a temperaturii cu un grad mărește energia cinetică de translație cu cantitatea  $3R/2$ .**

cu temperatura, ca și cantitatea de căldură dată gazului, înseamnă că  $3R/2$ , exprimat în  $\text{erg/grad} \cdot \text{mol}$ , reprezintă o cantitate direct proporțională cu căldura specifică molară, sub volum constant  $C_v$ , exprimată în  $\text{cal/grad} \cdot \text{mol}$ .

**Toate gazele cu același număr de atomi în moleculă au aceeași căldură specifică molară, sub volum constant.**

Rezultă astfel că *toate gazele ar trebui să aibă aceeași căldură specifică molară, la volum constant.*

Cu abateri destul de mici, experiența ne arată, că, în adevăr, așa este dar numai la gazele cu același număr de atomi în moleculă.

Tot experimental se mai constată că valorile numerice, calculate din relația (137.2) sînt juste, dar numai la gazele monoatomice, cum ar fi, de exemplu, gazele nobile. Cînd molecula este formată din mai mulți atomi, determinările directe ne dau totdeauna valori mai mari decît cele calculate.

**Mișcarea de rotație absoarbe energie cinetică, pe care nu o putem neglija decât la moleculele monoatomice.**

Nepotrivirea se datorește faptului că, *pentru simplificare, nu am ținut seamă pînă acum decât de mișcarea de translație a moleculelor*, supuse agitației termice.

În realitate, apar însă și *mișcări de rotație*, care de asemenea absorb o cantitate de energie cinetică. Această energie suplimentară poate fi neglijată, la o moleculă monoatomică, fiindcă momentul de inerție respectiv este destul de mic, dar va trebui să ținem seamă de dînsa la moleculele mai complexe, unde atomii se rotesc unul în jurul altuia, individual sau pe grupe.

De altfel, în aceste molecule, apar și mișcări de vibrație ale atomilor, sau grupelor de atomi, în jurul unei poziții date.

Teoria completă ține seamă de toate aceste mișcări și rezultatele calculate sînt atunci în deplin acord cu experiența.

2) Să presupunem acum că *gazul se încălzește la presiune constantă*.

Energia cinetică de translație, într-o moleculă-gram, variază atunci, ca și în cazul precedent, cu cantitatea  $3R/2$ , pentru fiecare grad de temperatură, dar de astă dată creșterea de volum absoarbe o energie suplimentară, fiindcă gazul în dilatare trebuie să lupte împotriva presiunii exterioare.

Ca să calculăm această energie suplimentară, vom presupune că am închis o moleculă-gram de gaz, într-un cilindru, în care pătrunde, fără frecări, un piston fără greutate proprie (fig. 345).

Suprafața pistonului fiind  $S$  și presiunea din exterior  $p$ , egală cu a gazului, forța totală exercitată va fi

$$F = pS.$$

Cînd gazul se încălzește cu un grad, pistonul se mișcă pe distanța  $d$  și se produce lucrul mecanic

$$A = pSd,$$

pe care-l absoarbe forța ce apasă din exterior.

Dacă volumul inițial era  $V$  și volumul final este  $V_1$ ,

$$V_1 - V = Sd$$

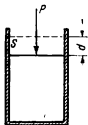


Fig. 345. Pentru calcularea lucrului mecanic în destinderea unui gaz.

și vom avea

$$A = (V_1 - V)p. \quad (137.3)$$

Pe de altă parte, relația cunoscută

$$pV = RT$$

ne spune că, dacă presiunea rămâne constantă și temperatura crește cu un grad,

$$pV_1 = R(T + 1)$$

și scăzând aceste două relații una din alta, găsim că

$$p(V_1 - V) = R.$$

Comparînd rezultatul cu (137.3), se vede imediat că energia suplimentară, datorită creșterii de volum, este

$$W_{\text{ex}} = R \text{ erg/grd} \cdot \text{mol}. \quad (137.3a)$$

Sîntem acum în măsură să exprimăm energia totală, absorbită prin încălzirea unei molecule-gram de gaz, cu un grad, la presiune constantă. Ea este

$$\left[ \frac{\Delta W}{\text{grd}} = \frac{3}{2}R + R = \frac{5}{2}R \right] \quad (137.4)$$

Dar, fiindcă am neglijat energia cinetică de rotație, această relație nu va putea fi aplicată decît la gazele monoatomice.

Ea este în deplin acord cu datele experimentale.

**La presiune constantă, încălzirea unui gaz monoatomic absoarbe energia  $5R/2$  erg/grd·mol.**

*Prin urmare, încălzirea, sub presiune constantă, a unui gaz monoatomic, absoarbe energia  $5R/2$  erg/grd·mol, care este proporțională cu căldura specifică molară, exprimată în calorii pe*

*grd·mol.*

3) Din felul cum a decurs raționamentul, se vede imediat că diferența

$$\frac{5}{2}R - \frac{3}{2}R = R,$$

este proporțională cu diferența  $C_p - C_v$ .

Potrivit relației (137.3a) constanta  $R$  exprimă lucrul mecanic executat de gaz, împotriva presiunii exterioare, când temperatura se urcă cu un grad.

Acest lucru mecanic nu e decît o consecință a dilatării gazului și nu depinde de structura lui moleculară, fiindcă toate gazele se dilată la fel.

Diferența  $C_p - C_v$ , proporțională cu constanta  $R$ , este aceeași la toate gazele.

Inseamnă că, *indiferent de numărul atomilor din moleculă, diferența căldurilor specifice molare este aceeași la toate gazele.*

4) Raportul dintre energiile absorbite, pentru încălzirea gazului, la presiune constantă și la volum constant, conține cantități direct proporționale cu căldurile molare  $C_p$  și  $C_v$ .

Aceasta înseamnă că, la gazele monoatomice, vom avea

$$\frac{C_p}{C_v} = \frac{5R/2}{3R/2} = \frac{5}{3} = 1,66 \quad (137.5)$$

și regăsim astfel cunoscuta lege a lui *Clément-Desormes* (§ 120).

Tabela cu date numerice, de la sfîrșitul § 120, ne permite să constatăm în ce măsură prevederile teoretice sînt confirmate de experiență.

Deoarece rezultate analoge, tot așa de conforme cu experiența, se puteau obține și pe alte căi teoretice, făcînd abstracție de structura moleculară și atomică a corpurilor, unii fizicieni și chimiști au pus la îndoială existența reală a atomilor, pe care îi considerau doar ca o *simplă imagine comodă*.

Între alții, cunoscutul chimist *Wilhelm Ostwald*, fost profesor la universitatea din Leipzig, reducea totul la simple transformări ale energiei, privită în afara conceptului de materie și nu accepta ca valabile ipotezele, încă neverificate direct, pe care se fundamentează întreaga teorie cinetică.

Aceste vederi idealiste au stîrnit discuții aprinse, mai ales pe plan filozofic și sînt bine cunoscute atitudinea combativă a lui Lenin și argumentarea lui dialectic-materialistă<sup>1)</sup>.

În 1908 apare și aduce cu dînsa victoria totală a concepțiilor atomistice o lucrare fundamentală a lui *Jean Perrin*. Ea se referă la determinarea numărului lui Avogadro, printr-o serie întreagă de metode experimentale, cu totul diferite, dar cu rezultate con-

<sup>1)</sup> V. V. I. Lenin, *Materialism și empiriocriticism*, Ed. P.M.R., Buc., 1948.

cordante atât între ele, cât și cu acelea obținute pe baza concepțiilor teoriei cinetice.

§ 138. **Determinarea numărului  $N$ .** Înaintea lucrărilor lui Perrin, numărul lui Avogadro era cunoscut. El fusese calculat cu ajutorul teoriei cinetice, combinată cu rezultatele obținute din studiul experimental al comprimării fluidelor.

Pentru comparație, și ca bază de plecare, vom descrie întâi această metodă de calcul.

1) Teoria cinetică ne-a dus la relația (136.2), pe care o putem scrie și sub forma:

$$\pi \cdot n D^2 = \frac{1}{\lambda \sqrt{2}}; \quad (136.2)$$

iar dacă, în loc de centimetrul cub, ne raportăm la molecula-gram, și-i notăm volumul cu  $V$ , avem:

$$\pi N D^2 = \frac{V}{\lambda \sqrt{2}}. \quad (136.2a)$$

Pe de altă parte, studiul comprimării izoterme a fluidelor ne-a dus la cunoscuta ecuație a lui *Van-der-Waals*:

$$\left(p + \frac{a}{v^2}\right) \cdot (v - 4b) = RT. \quad (110.2)$$

Cu ajutorul ei, luând un gaz anumit și studiindu-i comprimarea la temperatură constantă, putem calcula, din curbele obținute, volumul  $b$ , ocupat efectiv de molecule, în volumul molecular al gazului.

După aceea, vom putea scrie că

$$\frac{4}{3} \cdot \pi \cdot r^3 N = b,$$

unde  $r$  reprezintă raza unei molecule.

Iar dacă raza o exprimăm în funcție de diametrul  $D$ , relația de mai sus devine:

$$\frac{1}{6} \cdot \pi \cdot D^3 N = b. \quad (138.1)$$

Cum drumul liber mijlociu  $\lambda$  poate fi determinat cu ajutorul viscozității gazului, sistemul de ecuații (136.2 a) și (138.1) ne permite să calculăm necunoscutele  $D$  și  $N$ .

Trebuie să observăm însă că relația (136.2) a fost dedusă în ipoteza că moleculele au formă sferică.

Cum, după toate probabilitățile, această condiție nu e satisfăcută decât foarte aproximativ, la moleculele formate din mai mulți atomi, ne vom referi în special la gazele nobile, care sînt monoatomice.

Luînd ca exemplu *argonul* și comprimîndu-l izoterm, ecuația lui *Van-der-Waals* ne duce la rezultatul că, într-o moleculă-gram, volumul ocupat de molecule este de  $7,5 \text{ cm}^3$ .

Cum drumul liber mijlociu, în condițiile normale de presiune și la temperatura de  $0^\circ\text{C}$  este aici de  $6,35 \cdot 10^{-6} \text{ cm}$ , cele două ecuații de mai sus ne dau

$$D = 2,8 \cdot 10^{-8} \text{ cm},$$

și

$$N' = 6,2 \cdot 10^{23} \text{ molecule/mol.}$$

Teoria cinetică a gazelor, împreună cu ecuația lui Van der Waals, ne permit să calculăm diametrul moleculelor și numărul lui Avogadro.

Aceeași operație, repetată la alte gaze nobile, ne duce la rezultate concordante, în privința numărului  $N$  și ne permite să calculăm de asemenea diametrele moleculelor.

Totodată, masa  $M$  a unei molecule-gram, împărțită prin numărul lui Avogadro, ne va da masa în grame a unei molecule.

În ipoteza simplificatoare a sfericității moleculelor, găsim astfel rezultatele din tabela de mai jos:

Tabela 13

Substanța	Diametrul $D$ (cm)	Masa (g)
Oxygen ( $\text{O}_2$ ) . . . . .	$2,9 \cdot 10^{-8}$	$32/N = 5,32 \cdot 10^{-23}$
Azot ( $\text{N}_2$ ) . . . . .	$3,1 \cdot 10^{-8}$	$14/N = 2,33 \cdot 10^{-23}$
Hidrogen ( $\text{H}_2$ ) . . . . .	$2,3 \cdot 10^{-8}$	sprox. $2/N = 3,34 \cdot 10^{-24}$
Helium (He) . . . . .	$1,9 \cdot 10^{-8}$	$4/N = 6,68 \cdot 10^{-24}$

Valoarea numărului  $N$  fiind acum dedusă, dacă am găsi mijlocul să o aflăm și pe alte căi, cu rezultate concordante, am avea nu numai o verificare a concepțiilor de bază din teoria cinetică, dar și o confirmare a existenței reale a atomilor.

Și acum vom trece la lucrările lui Perrin.



2) Legea lui *Van't Hoff*, cit și legile lui *Raoult*, ce decurg din ea, ca o consecință directă, ne-au arătat că o substanță dizolvată nu se deosebește de un gaz, ce ar ocupa tot volumul soluției (§§ 126 și 127).

Ea dezvoltă o presiune osmotică, pe care o putem determina direct. Această presiune coboară punctul de înghețare și urcă punctul de fierbere al soluției.

Legile presiunii osmotice se aplică indiferent dacă substanța dizolvată are moleculele mai mari sau mai mici. La concentrații moleculare egale, nu există nici o deosebire între moleculele cu câțiva atomi și cele cu câteva sute de atomi.

Totuși, oricât ar fi de mari, aceste molecule rămân invizibile pentru noi.

Perrin se gândește atunci la *emulsii*, adică la suspensiile într-un lichid ale unor particule foarte mici, dar vizibile la microscop.

El își pune întrebările următoare:

„Nu ar fi cazul să presupunem că nu există nici o limită superioară de mărime a grupărilor de atomi, din punctul de vedere al presiunii osmotice și al legilor amintite?”

„Nu ar fi cazul să cercetăm dacă particulele vizibile, supuse mișcării browniene, se comportă sau nu ca un gaz, din punctul de vedere al presiunii ce o exercită, prin ciocnirile pe o suprafață dată?”

„Se aplică aici legile gazelor, sau nu se aplică?”

Dacă se aplică, aceste particule în suspensie ar putea servi ca intermediar între *microcosm* și *macrocosm* și ne-ar permite să studiem pe vizibil, ceea ce se întâmplă în lumea invizibilă a moleculelor.

a) Într-o primă serie de cercetări, Perrin se referă la presiunea statică a unei coloane de gaz în echilibru.

Această coloană se turtește sub acțiunea greutății proprii și are densitatea mai mare la bază, decât în părțile superioare.

Dacă am considera (fig. 346) două nivele diferite  $h_0$  și  $h_1$  în coloana de gaz, presupusă deocamdată incompresibilă, legea generală a hidrostaticii ne spune că diferența de presiune ar fi

$$p_0 - p_1 = \rho g (h_1 - h_0). \quad (88.1)$$

Dar gazul este în realitate compresibil, și această relație nu poate fi aplicată, sub forma de față, fiindcă densitatea nu este constantă, ci variază cu înălțimea, după o lege pe care încă nu o cunoaștem.

Ca să înlăturăm această dificultate, vom presupune că diferența de nivel este infinit de mică și o vom nota cu  $dh$ . Presiunea variază atunci cu cantitatea infimezimală  $dp$  și densitatea poate fi considerată constantă.

În aceste condiții, ținând seamă de sensul contrar al variațiilor, avem,

$$dp = -\rho g \cdot dh.$$

Dacă masa moleculei-gram este  $M$ , iar volumul  $V$

$$\rho = \frac{M}{V}$$

și, fiindcă, la temperatură constantă,  $pV = RT$ , găsim că:

$$\frac{dp}{p} = -\frac{Mg}{RT} \cdot dh.$$

Această relație ne dă prin integrare între limitele din fig. 346.

$$\int_{p_0}^{p_1} \frac{dp}{p} = -\frac{Mg}{RT} \int_{h_0}^{h_1} dh,$$

sau (v. tabela din § 46):

$$\ln p_1 - \ln p_0 = -\frac{Mg}{RT} (h_1 - h_0),$$

sau încă

$$\left[ \ln \frac{p_1}{p_0} = -\frac{Mg}{RT} (h_1 - h_0) \right]. \quad (138.2)$$

Această relație, stabilită de *Laplace*, acum o sută și mai bine de ani, este cunoscută sub numele de *formula barometrică*, fiindcă ne servește să calculăm presiunea atmosferică la o înălțime oarecare, cînd o cunoaștem la un nivel de plecare  $h_0$ .

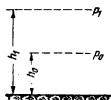


Fig. 346. Pentru calcularea formulei barometrice.

Obişnuit, ea se mai scrie şi sub forma exponenţială:

$$p_1 = p_0 e^{-\frac{Mg}{RT}(h_1 - h_0)} \quad (138.2a)$$

în care  $e$  este baza sistemului de logaritmi neperieni şi ne arată că presiunea într-o coloană gazoasă, datorită greutăţii proprii, scade exponenţial cu înălţimea şi cu atât mai repede, cu cât masa moleculară  $M$  a gazului este mai mare.

În cele ce urmează, ne va fi însă mai comod să ne servim de forma iniţială (138.2), din care se vede că:

— Într-un gaz anumit şi la temperatură constantă, raportul presiunilor nu depinde de nivelul de plecare, ci numai de diferenţa de nivel  $h_1 - h_0$ .

— În gaze diferite, la temperaturi egale, raportul presiunilor nu se schimbă, când produsul  $M(h_1 - h_0)$  este acelaşi.

Prin urmare, dacă vrem să obţinem acelaşi raport al presiunilor, va trebui să considerăm diferenţe de nivel invers proporţionale cu masa moleculei-gram a gazului.

Calculăm astfel şi putem verifica experimental că, în aer, diferenţa de nivel trebuie să fie de 6 km, ca presiunea să se reducă la jumătate, faţă de nivelul de plecare.

Ca să obţinem acelaşi rezultat, în oxigen ( $O_2=32$ ), va trebui să ne ridicăm cu 5 km.

Analog, în heliu ( $He=4$ ) diferenţa de nivel ar trebui să fie de opt ori mai mare decât în oxigen, adică de 40 km, iar în hidrogen ( $H_2=2$ ) de 16 ori mai mare, adică de 80 km.

Datele sînt calculate la temperatura de  $0^\circ C$ .

Teoria cinetică ne spune însă că presiunile, ca şi densităţile, sînt proporţionale cu numărul de molecule din unitatea de volum.

Dacă e aşa, vom putea scrie că:

$$\ln \frac{n_1}{n_0} = -\frac{Mg}{RT}(h_1 - h_0) \quad (138.3)$$

şi concluziile de mai sus ar trebui să rămînă valabile şi în ce priveşte raportul dintre numerele de molecule din unitatea de volum, la două nivele date.

În fig. 347 sînt reprezentate, pentru comparație, trei coloane foarte înalte de gaze diferite, care conțin același număr de molecule. Înălțimea lor este invers proporțională cu masa moleculară respectivă, din cauza turtirii sub acțiunea greutății proprii.

Luînd ca punct de plecare aceste fapte cunoscute, Perrin prepară emulsii de rășină din care, prin centrifugări fracționate, izbuteste să izoleze loturi de granule, identice ca mărime, cu care face apoi suspensii în lichide.

La început aceste granule cad spre fundul vasului, dar, după un timp oarecare, sedimentarea încetează și se atinge o situație staționară.

În acest moment, greutatea proprie a particulelor ce au mai rămas în suspensie nu le mai trage la fund, fiindcă este compensată de ciocnirile datorite mișcării browniene, care sînt mai numeroase de jos în sus, decît de sus în jos.

După ce situația staționară a fost atinsă, Perrin numără sub microscop granulele aflate la nivele diferite, în unitatea de volum. Nu este obligator ca această unitate de volum să fie numai decît centimetrul cub. Ea poate fi aleasă arbitrar, ca să intre în cimpul microscopului.

Primul rezultat important al acestor cercetări, extrem de

La emulsii, sub nivele diferite, numărul granulelor din unitatea de volum variază în acord cu relația (138.3).

migăloase, a fost că, *la o suspensie dată, logaritmul raportului  $n/n_0$  variază cu cantități egale, pentru diferențe de nivel egale, adică în concordanță cu relația (138.3) de mai sus.*

Prin urmare, suspensia se comportă, în adevăr, ca un gaz, cu singura deosebire că moleculele acestui gaz sînt imense, în comparație cu ale gazelor obișnuite.

Densitatea granulelor este cunoscută, iar dimensiunile lor pot fi măsurate la microscop. Din aceste date le calculăm volumul și apoi masa  $m$ .



Fig. 347. Coloanele conțin același număr de molecule.

Va trebui să ținem seamă însă că ele fiind cufundate într-un lichid, suferă o pierdere aparentă de greutate, din cauza forțelor lui Archimede.

Greutatea aparentă, astfel calculată, fiind  $(m - m_0)g$ , unde  $m_0$  este masa lichidului dezlocuit, relația (138.3) se va putea scrie sub forma:

$$\ln \frac{n_1}{n_0} = - \frac{N(m - m_0)g}{RT} (h_1 - h_0), \quad (138.3a)$$

unde  $N$  fiind numărul lui Avogadro, înseamnă că

$$N(m - m_0) = M,$$

reprezintă masa unei molecule-gram a unei substanțe ale cărei molecule ar fi egale cu granulele din suspensie.

Pe baza datelor experimentale, găsite la diferite emulsii și în lichide diferite, Perrin obține pentru  $N$  valoarea

$$N = 6,5 \cdot 10^{23} \quad \text{în loc de} \quad N = 6,2 \cdot 10^{23},$$

pe care am calculat-o din teoria cinetică a gazelor.

Concordanța este, în adevăr, uimitoare și aduce o primă și strălucită confirmare a existenței atomilor și a concepțiilor teoriei cinetice.

b) Dar Perrin nu se mulțumește cu atât. În a doua serie de cercetări, el pleacă de la o relație de bază a mișcării browniene, stabilită de *Einstein*, în 1906.

Dacă măsurăm proiecțiile  $x_1, x_2, x_3, \dots$  pe o dreaptă dată, ale traiectoriilor descrise de o particulă supusă mișcării browniene, suma algebrică a acestor proiecții va trebui să fie nulă, după un timp mai lung, din cauza caracterului dezordonat al mișcării.

Nu același lucru se întâmplă cu pătratul acestor proiecții și  $\sum x^2$  va căpăta, după un timp destul de lung  $t$  o valoare  $\Delta$ , pe care Einstein o calculează și o exprimă prin relația:

$$\Delta^2 = \frac{RT}{N} \cdot \frac{1}{3\pi\eta r}, \quad (138.4)$$

în care  $\eta$  este coeficientul de viscozitate al lichidului în care se găsește particula, iar  $r$  raza ei.

Perrin studiază experimental fenomenul și, cu ajutorul datelor obținute, găsește pentru  $N$  valoarea

$$N = 6,4 \cdot 10^{23},$$

adică iarăși în concordanță cu rezultatele teoriei cinetice.

În prezent, dispunem de numeroase alte metode, care ne dau numărul lui Avogadro, cu rezultate surprinzător de concordante, cu toată diversitatea lor<sup>1)</sup>.

Unele din ele le vom descrie mai târziu.

Cunoștințele noastre despre atomi sînt acum atît de înaintate, încît nimeni nu se mai îndoiește de existența lor.

De altfel, însuși *Ostwald*, pe care l-am citat printre adversarii teoriei atomice, și-a schimbat cu timpul părerea și a devenit *atomist*.

Mai rămîne să vedem dacă, și în ce condiții, se verifică și alte rezultate ale teoriei cinetice.

§ 139. **Fascicule moleculare.** Tehnica modernă a vidului a permis realizarea unor experiențe, din care se poate afla nu numai viteza moleculelor, dar și legea după care se repartizează vitezele, într-un număr dat de molecule.

De asemenea, putem determina experimental și direct valoarea drumului liber mijlociu.

Aceste cercetări se fac cu ajutorul așa-numitelor *fascicule moleculare* (sau atomice) și în cele ce urmează vom descrie sumar metodele folosite.

1) Într-un tub de sticlă, în care s-a făcut vidul, se introduce în *A* o cantitate mică dintr-un metal care se evaporă ușor la încălzire, de pildă sodiu sau mercur (fig. 348).

Dacă presiunea gazului din tub este destul de mică, moleculele vaporilor formați pot să parcurgă, în linie dreaptă, toată distanța pînă la celălalt capăt al tubului.

Delimitînd un fascicul îngust de molecule, cu ajutorul deschiderilor  $D_1$  și  $D_2$  putem obține pe ecranul *E* o pată, cu conturul bine precizat, produsă de condensarea vaporilor metalici, iar dacă punem în calea lor un fir subțire *F*, obținem chiar *umbra* acestui fir (fig. 348 a).

Lăsînd să pătrundă încet și treptat un gaz oarecare în tub, putem determina o *presiune-limită*, peste care această umbră începe să piardă din claritate. În acest moment, distanța *AE* este de același ordin de mărime cu drumul liber mijlociu al moleculelor, pe care apariția ciocnirilor le deviază din drum.

---

<sup>1)</sup> În cartea lui Perrin „*Atomii*” care există și în traducere românească, sînt descrise multe din aceste metode, într-o formă ușor de înțeles. Lectura ei nu poate fi decît folositoare.

Această experiență, făcută pentru prima dată de *Dunoyer*, în 1911, a dus la rezultate în deplin acord cu datele calculate pe cale teoretică.

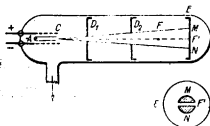


Fig. 348. Fascicul molecular.

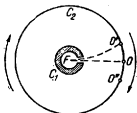


Fig. 349. Experiența lui Stern.

2) În 1920 *Stern* reia cercetările, ca să determine viteza moleculelor.

Un fir de platină argintat  $F$  este dispus pe axa unui mic cilindru metalic  $C_1$ , prevăzut cu o tăietură îngustă, în lungul generatoarei (fig. 349).

Firul este încălzit cu un curent electric și vaporii de argint formați străbat prin deschidere, iar dacă vidul este suficient de înaintat, fasciculul parcurge o traiectorie rectilie, se condensează pe peretele altui cilindru mai mare  $C_2$  și formează o pată îngustă, ca și în experiența precedentă.

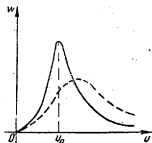


Fig. 350. Curba de repartiție a vitezelor moleculare.

Supunem acum întregul sistem unei mișcări de rotație, în jurul unei axe care prelungește firul  $F$ .

Fasciculul de vaporii își continuă drumul rectiliniu, dar cilindrul rotindu-se, pata suferă o deplasare aparentă laterală, fiindcă e ca și cum am trage cu pușca într-o țintă mobilă.

În loc să apară în  $O$ , pata apare fie în  $O'$ , fie în  $O''$ , după sensul rotației.

Măsurînd arcul  $OO'$  sau  $OO''$  și cunoscînd viteza unghiulară, putem determina timpul de parcurs al distanței, între cei doi cilindri și calcula viteza moleculelor din fascicul.

De astă dată se constată însă că, dacă sistemul se roțește, pata metalică nu mai are conturul bine definit, fiindcă nici moleculele nu au toate aceeași viteză.

Pe o foaie subțire de celuloid sau de mică, lipită de peretele cilindrului mare, această pată va fi mai transparentă spre margini și mai opacă spre mijloc.

Opacitatea ei va fi, evident, proporțională cu numărul de molecule care s-au depus în regiunea respectivă, deci cu numărul de molecule a căror viteză le aduce acolo.

Putem astfel determina rapoartele  $n_1/n$ ,  $n_2/n$ , ..., dintre numărul de molecule care au vitezele cuprinse între două limite apropiate date și numărul total  $n$ , de molecule depuse.

Presupunind că limitele alese au fost (în metri pe secunde):

$$0-10; \quad 10-20; \quad 20-30; \quad 30-40; \dots,$$

vitezele medii, cuprinse între ele, sînt

$$5 \quad 15 \quad 25 \quad 35 \quad \dots \text{ m/s,}$$

și rapoartele de mai sus vor defini probabilitățile

$$\omega_1 \quad \omega_2 \quad \omega_3 \quad \omega_4 \quad \dots,$$

cu care pot fi întâlnite moleculele, ale căror viteze se încadrează în limitele alese, în jurul acestor valori medii.

Cu ajutorul datelor experimentale obținute, dacă trasăm apoi o curbă, care să reprezinte variația probabilității  $\omega$ , în funcție de viteza medie dorită  $u$ , vom constata că această curbă are forma din fig. 350.

Ea trece printr-un maximum, care corespunde vitezei celei mai probabile  $u_p$ , dar nu este simetrică, în jurul acestei valori, fiindcă începe de la zero și tinde numai *asimptotic* spre zero, în partea cealaltă.

Aceasta înseamnă că există oarecare probabilitate să întâlnim și viteze foarte mari.

Tot experiența ne mai arată că, dacă temperatura crește, maximul curbei și viteza cea mai probabilă se deplasează spre viteze din ce în ce mai mari, așa cum se vede din traseul punctat.

Cu 100 de ani în urmă, *Maxwell* a calculat ecuația acestui gen de curbă, care de aceea se numește *curba de repartiție a lui Maxwell*.

Nu este cazul ca, în manualul de față, să arătăm desfășurarea acestor calcule, destul de complicate.



Menționăm numai că experiențele de mai sus le confirmă în totul.

Ca la orice fenomen care se desfășoară după legile statisticii, concluziile de față sînt valabile numai pentru un număr foarte mare de molecule. Ele nu se aplică nici moleculelor izolate, nici luate în număr mai restrîns.



Fig. 351.  
Radiometrul  
Crookes.

Ca încheiere, vom descrie și o experiență mai simplă, prin care putem evidenția mișcarea de agitație termică la gaze.

Intr-un balon de sticlă, din care am scos cea mai mare parte din aer, se introduce o morișcă ușoară, făcută din foițe de mică, argintate pe o parte și afumate pe cealaltă parte (fig. 351).

Fetele argintate și cele afumate se succed alternativ.

Pusă la soare, sau în apropierea unui corp cald, această morișcă începe să se rotească, din cauză că fețele negre absorb căldura și transmit moleculelor din apropiere o viteză de agitație termică mai mare, pe cînd cele argintate o reflectă și rămîn reci.

Sensul mișcării este deci cu partea argintată înaintea, fiindcă acolo moleculele gazului au viteze mai mici și ciocnirile sînt mai slabe.

Condiția optimă cerută este ca vidul realizat în balon să corespundă unui drum liber mijlociu de același ordin de mărime cu distanța dintre morișcă și pereți.

Acest dispozitiv se numește *radiometrul lui Crookes* <sup>1)</sup>.

## CAPITOLUL XVIII

### TERMODINAMICA

§ 140. Introducere. Incălzirea corpurilor prin frecare sau prin lovire este cunoscută de mult.

Prin frecare sau prin lovire se produce căldură.

Omul primitiv aprindea focul frecînd cu răbdare două lemne uscate și oricine știe că osia neunsă ia foc și că frecarea cuțitului de piatra tocilei smulge așchii de oțel incandescente.

<sup>1)</sup> William Crookes (1822—1919), fizician și chimist englez. A studiat descărcările electrice în gaze rarefiate și a descoperit *thallul*.

Cu toate că frecarea sau lovirea implică absorbție de lucru mecanic, legătura între căldura produsă și energia mecanică absorbită nu a fost înțeleasă decât abia pe la mijlocul veacului trecut.

Pînă atunci, ridicarea temperaturii corpurilor era interpretată prin existența unei substanțe ipotetice: *caloricul*, care poate să treacă de la un corp mai cald la altul mai rece, dar *nu se distruge, nu se creează și nu se transformă*.

Caloricul era considerat ca o substanță indestructibilă și netransformabilă.

Tot așa cum o cantitate de apă poate să umple un pahar, pînă la un nivel anumit sau poate să treacă între două vase comu-

nicante, pînă la egalizarea nivelelor, se admitea că și caloricul poate să umple un corp dat, pînă la un nivel definit de temperatura lui, sau poate să treacă de la un corp la altul, pînă la egalizarea temperaturilor.

După cum nivelul apei depinde de capacitatea vasului, nivelul de căldură depinde de capacitatea calorică a corpului.

Această concepție a *caloricului nedestructibil*, după care căldura rămîne mereu căldură și nu face decât să *cadă* între nivele diferite de temperatură, putea să explice o serie de fenomene, legate de transmiterea ei și a permis dezvoltarea calorimetriei.

Dacă totuși, unii fizicieni ca *Robert Boyle*, *Daniell Bernoulli*, *Lomonosov* și alții au înțeles de mult că încălzirea corpurilor modifică starea de mișcare internă, ideile lor au trecut neobservate.

Ca să explice încălzirea metalelor prin strunjire sau pilire, se admitea că șpanul desprins are căldura specifică mai mică decât metalul masiv, așa că aceeași cantitate de caloric poate să ridice mai tare nivelul de temperatură.

În 1798, *Rumford*<sup>1)</sup>, supraveghind fabricarea unor tunuri, într-un arsenal, a observat că sfredelirea țevii dezvoltă o cantitate de căldură, suficientă ca să aducă la fierbere, în scurtă vreme, mai mulți litri de apă. Folosind apoi un burghiu tocit, care nu roade metalul, adică nu formează șpanuri, el constată că încălzirea este mult mai rapidă.

De aici trage concluzia că explicația cu diferența de călduri specifice nu este valabilă și trebuie căutată mai curînd în lucrul mecanic folosit, dar nu izbutește să facă o legătură cantitativă.

<sup>1)</sup> *Benjamin Rumford* (1753—1814), fizician american.

Cam în aceeași vreme, *Davy* face altă experiență: *el freacă două bucăți de gheață și constată că se topesc*. Cum apa formată are căldura specifică mai mare decât gheața, temperatura ar fi trebuit să scadă. Faptul că ea rămâne constantă înseamnă că sistemul a primit căldură de undeva, probabil din procesul de frecare.

### A. Primul principiu al termodinamicii

§ 141. **Echivalența energiilor.** În 1842, *Julius Robert Mayer*<sup>1)</sup> face pasul decisiv în lămurirea acestor probleme. Cu prilejul unei călătorii la tropice, observînd că singele vișos al oamenilor de acolo este mai roșu decît în regiunile temperate, conchide că se fac mai puține arderi în organism, fiindcă e nevoie de mai puțină căldură, ca să întrețină temperatura corpului.

Puterea de muncă este totuși aceeași, de unde trage concluzia că, pentru o cantitate dată de muncă prestată, se cere aceeași cheltuială de căldură, rezultată din aceleași arderi.

Ideile acestea, formulate într-un prim memoriu, într-o formă confuză și fără suficientă justificare științifică, n-au fost înțelese și de aceea nu s-a găsit nici o revistă de specialitate, care să le publice.

Mayer studiază atunci mai adînc problemele de fizică și un al doilea memoriu găsește, cu mare greutate, o primire mai favorabilă, nu într-o revistă de fizică, ci în una de chimie.

De astă dată, *el izbutește să calculeze, pe baza datelor experimentale deja cunoscute, cîtă căldură se poate obține dintr-un lucru mecanic dat.*

Apoi formulează un principiu general, după care *căldura se poate transforma într-o cantitate proporțională de lucru mecanic și invers, iar raportul de transformare este totdeauna același.*

Între căldură și lucrul mecanic există un raport constant de echivalență.

Între o cantitate de căldură  $Q$  și lucrul mecanic  $A$ , din care a provenit, vom avea deci relația de echivalență

$$A = JQ$$

$$(141.1)$$

<sup>1)</sup> *Julius Robert Mayer* (1814—1878), medic german, stabilit în orașul Heilbronn.

unde raportul de transformare  $J$ , numit *echivalent mecanic al caloriei*, nu depinde de procesul prin care s-a realizat această transformare, nici de natura corpurilor ce au participat la ea.

Metoda de calcul folosită de Julius Robert Mayer este următoarea.

Să presupunem că un gram de aer, luat la temperatura de  $0^{\circ}\text{C}$  și presiunea normală, este închis într-un corp de pompă, cu un piston fără greutate, de suprafață  $S$ , care se poate mișca fără nici o frecare.

Dacă ridicăm temperatura cu un grad, la presiune constantă, se execută lucrul mecanic:

$$\Delta A = p_0 S \cdot \Delta l = p_0 \cdot \Delta V,$$

unde  $\Delta l$  este distanța pe care s-a mișcat pistonul, împotriva presiunii exterioare  $p_0$ , iar  $\Delta V$  reprezintă variația respectivă a volumului (vezi § 137).

În aceste condiții, *dacă principiul echivalenței este valabil*, diferența căldurilor specifice  $c_p - c_v$  corespunde tocmai lucrului mecanic exterior  $\Delta A$ :

$$\frac{p_0 \cdot \Delta V}{c_p - c_v} = J.$$

Potrivit relației (140.1), raportul dintre  $\Delta A$  și această diferență ar trebui deci să ne dea valoarea echivalentului mecanic al caloriei, pe care l-am notat cu  $J$ .

Prin urmare,

$$\frac{p_0 \cdot \Delta V}{c_p - c_v} = J. \quad (140.2)$$

Din măsurări experimentale directe se știe însă că:

$$p_0 = 1\,033\cdot 931 \text{ dyn/cm}^2$$

$$V = 770 \text{ cm}^3$$

$$\Delta V = 1/273 \text{ } V$$

$$c_p - c_v = 0,068 \text{ cal/g} \cdot \text{grad},$$

și calculul numeric ne dă:

$$J = 4,18 \cdot 10^7 \text{ erg/cal};$$

iar dacă luăm ca unități caloria mare și kilogrammetrul,

$$J = 426 \text{ kgm/kcal}.$$

De fapt, rezultatul calculat de Julius Robert Mayer este puțin diferit de cel de față, fiindcă datele cunoscute pe vremea lui erau mai puțin precise.

Acest calcul nu constituie însă o demonstrație, ci doar o simplă aplicare a unui principiu admis de la început ca valabil, fără altă verificare.

Acesta este și motivul pentru care memoriul lui Julius Robert Mayer a fost primit cu atita rezervă.

Fără să cunoască aceste lucrări, și tot în 1842, *James Prescott Joule* începe să publice o serie de cercetări sistematice, care au durat mai mulți ani.

El pleacă, de asemenea, de la ideea echivalenței dintre căldură și lucrul mecanic, iar scopul urmărit era să demonstreze că raportul de transformare  $J$  este constant, indiferent de sistemul prin care se execută această transformare.

1) Una din metodele folosite a fost următoarea:

Într-un calorimetru  $c$  (fig. 352), căderea unor greutateți de masă  $2m$  desfășoară niște sfori, care pun în rotație o axă cu aripi  $a$ .

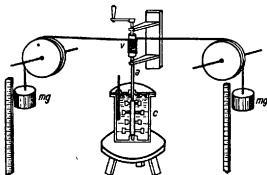


Fig. 352. Experiența lui Joule pentru determinarea echivalentului mecanic al caloriciei.

După  $n$  căderi repetate, lucrul mecanic produs este

$$A = 2m \cdot n \cdot g \cdot h,$$

unde  $h$  este înălțimea căderii.

Paletele freacă apa din calorimetru și temperatura se urcă, din cauza frecării. Masa apei fiind  $M$  și variația temperaturii  $t_1 - t_0$ , cantitatea de căldură produsă este

$$Q = M(t_1 - t_0).$$

Raportul

$$J = \frac{A}{Q}$$

ne dă astfel echivalentul mecanic al caloriciei.

2) În altă serie de experiențe înlocuiește apa din calorimetru cu mercur.

3) Continuând cercetările, freacă în calorimetru două discuri metalice.

4) Trece apă sub presiune prin tuburi capilare și determină căldura produsă prin frecările viscoase.

5) Măsoară cantitatea de căldură corespunzătoare unei energii electrice cunoscute.

Toate aceste experiențe au dus concomitent la rezultatul că, *indiferent de sistemul care mijlocește transformarea, raportul dintre lucrul mecanic absorbit și cantitatea de căldură produsă este constant.*

Ținând seamă de erorile experimentale, valoarea medie obținută a fost:

$$J = 426 \text{ kgm/kcal},$$

așa cum rezultă și din calculul lui Julius Robert Mayer.

În 1847, *Helmholtz*<sup>1)</sup> caută să urmeze calea raționamentului. Observînd că miile de încercări, făcute secole de-a rîndul, nu au putut să realizeze mișcarea perpetuă, el consideră acest rezultat negativ ca urmare a unei *legi naturale indiscutabile* și confirmate de toate experiențele posibile.

Să presupunem acum că un sistem oarecare, transformînd lucrul mecanic în căldură, ne dă raportul de transformare:

$$J_1 = \frac{A_1}{Q_1}.$$

Folosind acum un alt sistem, care să realizeze transformarea inversă, de pildă o mașină cu vapor, vom admite provizoriu că, din căldura  $Q_1$  rezultă lucrul mecanic  $A_2$ , așa că, de astă dată,

$$J_2 = \frac{A_2}{Q_1}.$$

Aceste două relații combinate ne duc la

$$\frac{A_1}{J_1} = \frac{A_2}{J_2}.$$

<sup>1)</sup> *Hermann v. Helmholtz* (1821—1894), fizician german cunoscut prin lucrări fundamentale în termodinamică, optică, electricitate și acustică.

Dacă

$$J_1 \neq J_2 \quad \text{trebuie ca și} \quad A_1 \neq A_2.$$

În aceste condiții am putea să alegem sistemele de transformare în așa fel, încît lucrul mecanic absorbit  $A_1$  să fie mai mic decît lucrul mecanic recuperat  $A_2$  și pînă la urmă am obține din nimica lucrul mecanic

$$A = A_2 - A_1,$$

pe care l-am putea folosi ca să construim un *perpetuum mobile*.

Aceasta fiind o absurditate, înseamnă că

$$A_1 = A_2 \quad \text{și, de asemenea,} \quad J_1 = J_2.$$

În concluzie, oricare ar fi sistemul de transformare, raportul

$$J = \frac{A}{Q}$$

va fi întotdeauna același.

Lucrările lui Mayer, Joule și Helmholtz, arătate mai sus, au schimbat și răsturnat vechile concepții despre caloricul nedistructibil, dovedind că:

Căldura este o formă de energie, care se poate transforma în lucru mecanic sau invers, după un raport constant de echivalență.

— Căldura este o formă de energie, care se poate transforma în lucru mecanic.

— Raportul de transformare  $J$  este întotdeauna același, în ambele sensuri și în orice sistem.

Raționamentul lui Helmholtz, cît și calea experimentală, ne permit să excludem aceste concluzii la toate formele de energie cunoscute: electrică, luminoasă, magnetică etc.

Suma energiilor de orice fel, într-un sistem izolat, este constantă.

Oricare din ele se poate transforma în celelalte, direct sau indirect, dar de cîte ori dispare o energie de o specie dată, apare în

loc o altă formă de energie, în cantitate echivalentă.

Prin urmare dacă un sistem este izolat, adică nu are nici un schimb de energie cu exteriorul, suma energiilor de orice fel pe care le conține rămîne constantă.

Acesta este *principiul conservării energiei* sau *principiul echivalenței*.

Il mai numim și *primul principiu al termodinamicii*, adică al acelei părți din fizică, în care studiem transformările energiei, făcând abstracție de mecanismul intim al acestor transformări.

Orice mașină ce ar contrazice primul principiu al termodinamicii ar fi un *perpetuum mobile* de speța întâi.

Demonstrarea lui pleacă de la postulatul, verificat prin toate experiențele cunoscute, că nu poate să existe o mașină care să-și creeze energie din nimic, adică fără să

consume altă energie, în cantitate echivalentă.

De aceea o astfel de mașină, care ar contrazice principiul întâi al termodinamicii, se numește *perpetuum mobile de prima specie*.

Cunoașterea cât mai exactă a echivalentului mecanic al caloriei este de primă importanță pentru studiul transformărilor energiei.

De aceea numeroși fizicieni au continuat aceste cercetări, pînă în timpurile noastre.

Între altele, trebuie să cităm lucrările, remarcabile prin gradul de precizie atins, ale lui *C. Miculescu*<sup>1)</sup>, amintite în toate tratatele clasice.

$$J = 4,1816 \cdot 10^7 \text{ erg/cal.}$$

După tabelele numerice de constante, se folosește în prezent pentru  $J$  valoarea

$$J = 4,1816 \cdot 10^7 \text{ erg/cal.}$$

Caloria, ca unitate de măsură pentru cantitatea de căldură, a fost aleasă pe vremea cînd nu se cunoștea principiul echivalenței. Ea s-a păstrat în fizică prin tradiție, dar nu este numai deosebit necesară.

Din momentul în care știm că și căldura este o formă de energie, nimic nu ne împiedică să exprimăm o cantitate de căldură direct în unitățile mecanice ale sistemelor CGS sau MKS.

<sup>1)</sup> *C. Miculescu*, fizician român, fost profesor la Universitatea din București.



În aceste condiții, relația de echivalență:

$$A = JQ, \quad (141.1)$$

devine o simplă relația de egalitate:

$$A = Q,$$

în care factorul de transformare  $J$  nu mai apare.

În sistemele CGS și  
MKS energiile de orice  
specie au dimensiunile

$$L^2MT^{-2}$$

și se exprimă în ergi  
sau în joule.

Dimensiunile oricărei energii  
vor fi deci

$$[W] = L^2MT^{-2}$$

atît în sistemul CGS, cît și în siste-  
mul MKS.

Căldurile specifice vor fi exprimate atunci în

$$\text{erg/g} \cdot \text{grad} \quad \text{sau în} \quad \text{J/kg} \cdot \text{grad},$$

iar dacă ne raportăm la molecula-gram, vom lua ca unități:

$$\text{erg/mol} \cdot \text{grad} \quad \text{sau} \quad \text{J/mol} \cdot \text{grad}.$$

În cazul cînd păstrăm caloria ca unitate, transformarea este simplă.

De pildă, constanta universală a gazelor

$$R = 8,314 \cdot 10^7 \text{ erg/mol} \cdot \text{grad},$$

capătă valoarea

$$R = \frac{8,314 \cdot 10^7}{4,1816 \cdot 10^7} = 1,988 \text{ cal/mol} \cdot \text{grad}.$$

Revenind acum la rezultatele calculate cu ajutorul teoriei cinetice (§ 137),

$$C_v = \frac{3}{2} R; \quad C_p = \frac{5}{2} R; \quad C_p - C_v = R$$

se vede imediat cum aceste cantități pot fi exprimate fie în *ergi pe grad-mol*, fie în *jouli pe grad-mol*.

*În cele ce urmează, vom recurge, de preferință, la unitățile mecanice de energie (erg sau joule) și nu vom mai folosi caloria decît excepțional.*

§ 142. **Expresia generală a principiului întâi.** Dacă dăm unui corp o cantitate de căldură  $\Delta Q$ , peste aceea pe care o avea inițial, această energie suplimentară poate să aibă următoarele manifestări:

1. *Să oblige corpul să execute un lucru mecanic exterior  $\Delta A$  sau să debiteze o energie oarecare:* electrică, luminoasă etc. care de asemenea echivalează cu un lucru mecanic.

Cel mai simplu caz este acela în care corpul, prin dilatare sau prin trecerea la o stare de agregare cu volumul mai mare, luptă împotriva presiunii ambiante. Potrivit celor știute, vom avea atunci

$$\Delta A = p \cdot \Delta V. \quad (137.3)$$

2. *Să ridice temperatura corpului, adică să intensifice mișcarea de agitație termică.* Prin aceasta se absoarbe o cantitate de energie, ce rămîne în interiorul corpului, ca un surplus de *energie cinetică moleculară*.

3. *Să modifice structura internă:* starea de agregare, forma cristalină, structura chimică sau chiar numai distanța reciprocă a moleculelor.

Asemenea schimbări implică o variație a *energiei potențiale interne*.

Dintr-o cantitate de căldură, transmisă unui corp, o parte se adaugă la energia internă, iar alta poate să apară ca lucru mecanic exterior.

În concluzie: din căldura  $\Delta Q$  dată corpului, porțiunea  $\Delta A$  se manifestă ca *lucru mecanic exterior*, iar porțiunea  $\Delta U$  se absoarbe fie ca energie cinetică, fie sub forma potențială, fie sub ambele

forme și reprezintă *variația energiei interne*, pe care o notăm cu  $U$ .

Sîntem acum în măsură să dăm principiului întâi al termodinamicii o expresie generală, care să țină seamă de toate aceste specii de energie.

Dacă exprimăm căldura în unități mecanice, vom avea astfel:

$$\Delta Q = \Delta U + \Delta A, \quad (142.1)$$

Iar dacă o exprimăm în calorii,

$$J \cdot \Delta Q = \Delta U + \Delta A. \quad (142.2)$$

Obişnuit, în locul *diferenţelor*  $\Delta$ , se introduc *diferenţialele* şi relaţiile de faţă se scriu mai bine sub forma

$$dQ = dU + dA \quad (142.1 a)$$

şi

$$J \cdot dQ = dU + dA \quad (142.2 a)$$

Pentru o mai bună înţelegere să ne referim la cîteva cazuri particulare concrete:

1. La solide sau la lichide, coeziunea este mare, iar dilatarea este mică. Dintr-o cantitate de căldură transmisă, cea mai mare parte va servi ca să mărească energia internă, iar lucrul mecanic exterior va fi practic neglijabil.

2. La gaze, coeziunea este mică, iar dilatarea este mult mai mare decît la solide sau lichide. Sub presiune constantă, o bună parte a căldurii date va fi consumată ca lucru mecanic exterior. O altă parte va mări energia cinetică a moleculelor, iar energia potenţială va rămîne aproape constantă.

3. Dacă încălzim apa, între  $0^\circ$  şi  $+4^\circ\text{C}$ , volumul scade şi lucrul mecanic exterior va fi negativ. Vom avea atunci

$$dQ + dA = dU.$$

Prin urmare, *acţiunea forţelor exterioare adaugă energie la căldura transmisă.*

Contrarul se întîmplă *peste* temperatura densităţii maxime.

4. Dacă încălzim gheaţă, temperatura rămîne constantă, în tot timpul topirii. Deducem că energia cinetică internă rămîne de asemenea constantă, dar trebuie să crească energia potenţială, din cauza schimbării de stare.

Cunoştinţele, acumulate din capitolele studiate pînă acum, nu ne permit să calculăm valoarea *totală* a energiei interne  $U$ . Această problemă o vom studia mult mai tîrziu.

În termodinamică nu ne preocupă valoarea *totală* a energiei interne, ci numai variaţiile ei.

De aceea, în termodinamică, se *fine seamă* numai de variaţiile energiei interne, pe care le totalizăm sub simbolul  $\Delta U$ .

Să considerăm acum un corp, sau un sistem de corpuri, capabil să transforme căldura în lucru mecanic sau invers.

Starea energetică a lui depinde de o serie de *parametri*: presiune, volum, temperatură etc.

Acest sistem poate să sufere și diverse transformări interne, ca: stare de agregare, formă cristalină, stare alotropică, structură chimică etc., care de asemenea sînt legate de anumiți parametri.

Schimbarea oricăruia dintre acești parametri poate să implice o absorbție sau liberare de energie și vom avea:

$$J \cdot \Delta Q = \Delta U + \Delta A, \quad (142.2)$$

în care termenii vor primi semnele convenționale + ori —, după sensul variației apărute.

Dacă una sau mai multe schimbări decurg în așa fel, încît la sfîrșitul operației sistemul să poată reveni la situația inițială, vom spune că transformările s-au făcut *în ciclu închis*.

**O transformare în ciclu închis aduce sistemul într-o stare finală identică cu starea inițială.**

Dacă această condiție nu este realizată și starea finală diferă de starea inițială, transformarea lasă ciclul *deschis*.

Ca exemplu să considerăm experiența prin care Joule a determinat echivalentul mecanic al caloriei.

Aici căderea greutăților transmite sistemului un lucru mecanic și frecarea paletelor încălzește apa din calorimetru.

*Transformarea se limitează, în cazul de față, numai între lucrul mecanic absorbit și o cantitate de căldură aparentă, care poate fi determinată din cunoașterea cantității de apă și a variației de temperatură.*

Era deci corect să scriem că

$$J = \frac{A}{Q}. \quad (141.1)$$

Procesul a decurs, de astă dată, *în ciclu închis*, fiindcă la sfîrșitul operației, lăsînd apa să se răcească, putem readuce sistemul exact în situația inițială.

Cu totul altfel s-ar fi prezentat problema dacă ciclul nu se închidea. Presupunînd, bunăoară, că s-ar fi evaporat o cantitate de apă, ar fi trebuit să adăugăm la căldura  $Q$  măsurată și variația de energie internă  $U_1 - U_0$ , iar relația de mai sus ar fi devenit

$$J = \frac{A}{Q + (U_1 - U_0)}.$$

Determinarea lui  $J$  n-ar mai fi fost posibilă, fiindcă ecuația conține două necunoscute, iar calculul cantității de căldură ce corespunde diferenței de energii  $U_1 - U_0$  implică tocmai cunoașterea prealabilă a echivalentului mecanic al caloriei.

**Relația  $A = JQ$  se aplică numai la transformările în ciclu închis.**

Transformarea de față nu a decurs în ciclu închis, fiindcă starea finală este alta decât cea inițială.

În concluzie:

*Relația  $A = JQ$  se aplică numai la transformările în ciclu închis.*

Iată încă un exemplu:

În literatura științifică sînt citate lucrările lui *Hirn*, făcute cu scopul de a determina valoarea lui  $J$ . Metoda folosită se baza pe încălzirea unui bloc de plumb, pe care-l turtește o greutate, ce cade de la o înălțime dată.

Ea conține o eroare de principiu, fiindcă masa de plumb rămîne turcită definitiv, și aceasta implică o variație de energie internă potențială, nerecuperabilă sub forma de căldură.

Starea finală este deci alta decât starea inițială și de aceea transformarea nu decurge în ciclu închis.

**§ 143. Energia internă a unui gaz.** Este evident că, la un gaz în repaus nu poate să existe lucru mecanic extern și deci toată energia este internă.

La gazele ideale nu există coeziune și toată energia internă o găsim sub forma cinetică, în agitația moleculară.

La gazele reale avem însă o foarte slabă coeziune și de aceea o mică parte a energiei interne apare și sub forma potențială.

**Energia Internă a gazelor ideale nu poate fi decât cinetică. La gazele reale găsim și energie potențială.**

Drept consecință, dacă un gaz ideal s-ar destinde în vid, adică fără să aibă de învins o presiune din exterior, ar trebui ca temperatura lui să rămînă constantă, fiindcă nu

se execută lucru mecanic, deci nu variază energia internă.

*Joule* a încercat să verifice această concluzie în felul următor:

Într-un calorimetru, el introduce două vase metalice, legate printr-un tub cu robinet (fig. 353).

În unul din vase comprimă aer, iar în celălalt face vidul.

Deschizînd apoi robinetul, constată că temperatura apei din calorimetru nu suferă nici o variație și deduce că *energia internă a gazului a rămas constantă, cu toate că volumul a crescut.*

În altă serie de experiențe, introduce vasele în două calorimetre deosebite. Când aerul trece din unul în altul, moleculele duc cu dinsele energia cinetică respectivă. Ca urmare, *energia internă scade de o parte și crește de cealaltă parte cu o cantitate egală*. Experiența arată că, în adevăr, unul din vase devine mai rece, iar celălalt mai cald.

Este evident că *rezultatele nu sînt decît aproximativ în concordanță cu prevederile*, fiindcă aerul nu este un gaz perfect.

Ca să studieze variația de energie internă a gazelor reale, Joule face și o a treia serie de experiențe, de astă dată în colaborare cu *William Thomson*.

Gazul comprimat trece încet, printr-un dop de vată, de la

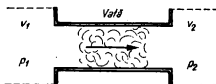


Fig. 354. Efectul Joule-Thomson.

Experiența ne arată însă că, *afară de răcirea datorită acestui lucru mecanic executat, intervine și o răcire suplimentară*, din cauză că se absoarbe energie potențială, prin lupta împotriva forțelor de coeziune.

Fenomenul este cunoscut sub numele de *efectul Joule-Thomson* și are aplicații la lichefierea gazelor prin destindere.

La o temperatură dată, energia internă a gazului perfect nu depinde de volum, iar la gazele reale crește cu volumul.

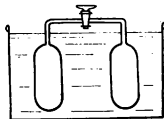


Fig. 353. Experiența lui Joule.

presiunea  $p_1$  și volumul  $V_1$ , la presiunea mai mică  $p_2$  și volumul mai mare  $V_2$  (figura 354).

De astă dată destinderea nu se mai face în vid, așa că se absoarbe un lucru mecanic, împotriva presiunii exterioare, pe care-l putem calcula.

Prin urmare: *în timp ce la gazele perfecte energia internă nu depinde decît de temperatură, la gazele reale ea crește și cu temperatura și cu volumul, cînd temperatura e constantă*.

O cercelare mai amănunțită a fenomenului arată însă că la toate gazele există o *temperatură de inversare*, deasupra căreia destinderea produce nu răcire, ci din contra, încălzire.

De exemplu, la temperatura ordinară, heliul și hidrogenul se încălzesc. Pentru ca să le vedem răcindu-se, trebuie întâi să ne ducem cu hidrogenul la  $-80^{\circ}\text{C}$ , iar cu heliul la  $-269^{\circ}\text{C}$ .

La celelalte gaze, punctul de inversiune apare la temperaturi înalte.

§ 144. **Comprimarea izotermă a gazelor.** Dacă considerăm un gaz perfect și ținem seamă că energia internă nu variază cu volumul, în relația cunoscută

$$dQ = dU + dA, \quad (142.1a)$$

termenul care arată variația energiei interne dispare, dacă temperatura se menține constantă. La procesele izoterme vom avea deci, ținând seamă și de relația (137.3),

$$dQ = dA = p \cdot dV.$$

Dar, după ecuația lui Clapeyron,

$$pV = RT.$$

Prin urmare

$$dA = RT \frac{dV}{V}.$$

Cînd volumul gazului variază de la  $V_1$  la  $V_2$ , găsim prin integrare

$$A = RT \int_{V_1}^{V_2} \frac{dV}{V} = RT (\ln V_2 - \ln V_1),$$

sau, deoarece volumele sînt invers proporționale cu presiunile,

$$\boxed{A = RT \cdot \ln \frac{V_2}{V_1} = RT \cdot \ln \frac{p_1}{p_2}}. \quad (144.1)$$

Acesta este lucrul mecanic pe care-l execută un gaz cînd molecula-gram se destinde izoterm între două volume sau două presiuni date.

Destinderea tinde să-l răcească și, ca să-și poată menține temperatura constantă, va trebui să primească din afară cantitatea de căldură echivalentă

$$Q = \frac{A}{J}.$$

Relația (144.1) servește ca punct de plecare pentru numeroase raționamente în termodinamică.

Ca exemplu, vom încerca să deducem, cu ajutorul ei, cunoscuta *formulă barometrică* (138.2 a).

Să presupunem că, la nivelul mării și presiunea  $p_0$ , închidem o moleculă-gram de gaz într-o cutie fără greutate proprie și apoi ne ridicăm cu dinsa la înălțimea  $h$ .

Efectuăm astfel un lucru mecanic

$$A = Mgh.$$

La această înălțime domnește presiunea  $p_1$  și, dacă lăsăm gazul să se destindă izoterm, îl obligăm să execute lucrul mecanic

$$A_1 = RT \cdot \ln \frac{p_0}{p_1}, \quad (144.1)$$

sau, ceea ce e tot una,

$$A_1 = -RT \cdot \ln \frac{p_1}{p_0}.$$

La înălțimea  $h$  gazul rămâne atunci în echilibru, ceea ce înseamnă că lucrul mecanic efectuat de noi trebuie să fie egal cu lucrul mecanic efectuat prin destindere. Prin urmare

$$Mgh = -RT \cdot \ln \frac{p_1}{p_0}.$$

Rezultă că

$$\ln \frac{p_1}{p_0} = - \frac{Mgh}{RT},$$

iar dacă trecem de la logaritm la număr, ajungem la relația căutată

$$p_1 = p_0 e^{-\frac{Mgh}{RT}}. \quad (133.2 a)$$

Această demonstrație, deosebit de simplă și de ingenioasă, se datorește profesorului *Petru Bogdan*, de la Universitatea din Iași.

**§ 145. Comprimarea adiabatică.** Am văzut că un gaz care se destinde, luptînd împotriva presiunii exterioare, se răcește, fiindcă execută un lucru mecanic și consumă din propria lui energie internă.



Dacă, din contra, gazul este comprimat, forțele exterioare sînt acelea care execută lucrul mecanic. Energia internă crește și gazul se încălzește.

*Dacă vrem ca procesul să fie izoterm, trebuie ca destinderea sau comprimarea să decurgă înfinit de încet, pentru ca schimbul de căldură cu exteriorul să poată compensa, în condiții perfecte, variația de temperatură.*

**Procesele izoterme implică schimburi perfecte de căldură cu exteriorul, iar cele adiabatice o izolare perfectă.**

Spre deosebire de procesele izoterme, *procesele adiabatice trebuie să decurgă în așa fel, încît să nu existe nici un schimb de căldură cu exteriorul.*

Această condiție n-ar putea fi satisfăcută decît izolînd sistemul într-un înveliș *absolut impermeabil pentru căldură*.

Un astfel de înveliș nu există și de aceea vom considera ca practic și aproximativ adiabatice procesele care se desfășoară alit de repede, încît mediul să nu aibă cînd ceda sau primi căldură.

Procesele izoterme, ca și cele adiabatice, sînt *procese ideale*, fiindcă nu putem realiza o variație de volum înfinit de lentă, nici o izolare termică perfectă. Tot ce putem face e să ne apropiem cît mai mult de condițiile cerute.

Variația de temperatură a unui gaz care se comprimă sau se destinde rapid poate fi observată din experiența zilnică.

Pompa de bicicletă se încălzește, cînd umflăm cu ea cauciucurile, iar aerul din plămîni se răcește, cînd îl suflăm repede afară. Dacă vrem să nu se răcească, trebuie, din contra să-l suflăm încet și cu gura larg deschisă.

a) Legile comprimării adiabatice a gazelor pot fi deduse ușor, ca o simplă aplicație a principiului întii al termodinamicii. Vom pleca deci de la relația cunoscută:

$$dQ = dU + dA. \quad (142.1 a)$$

Dacă luăm o moleculă-gram de gaz și-i ridicăm temperatura cu  $dt$ , la volum constant, energia internă crește cu cantitatea

$$dU = C_v \cdot dt.$$

Dacă aceeași cantitate de gaz se destinde izoterm,

$$pV = RT$$

și se absoarbe lucrul mecanic:

$$dA = p \cdot dV = RT \frac{dV}{V}.$$

Știind că, în procesele adiabatice, nu există schimb de căldură cu exteriorul, vom avea

$$dQ = 0.$$

Relația fundamentală (142.1 a) ne dă atunci

$$-dU = dA$$

sau, deoarece  $\Delta T = \Delta t \text{ } ^\circ\text{C}$ ,

$$-C_v dt = RT \frac{dV}{V}.$$

Se știe însă că  $R = C_p - C_v$ . Prin urmare

$$-C_v \frac{dT}{T} = (C_p - C_v) \frac{dV}{V}.$$

Raportul  $C_p/C_v$  se notează de obicei cu  $\kappa$ . Găsim astfel că

$$-\frac{dT}{T} = (\kappa - 1) \frac{dV}{V}.$$

Această relație ne duce, prin integrare, la

$$\ln T + (\kappa - 1) \ln V = \text{const.}$$

Urmează că:

$$\ln (T \cdot V^{\kappa-1}) = \text{const.}$$

Dacă logaritmul este constant, numărul este de asemenea constant. Prin urmare

$$\boxed{T \cdot V^{\kappa-1} = \text{const.}} \quad (145.1)$$

și am găsit astfel o primă relație, care leagă volumul și temperatura.

b) Dacă ținem seamă de ecuația lui Clapeyron

$$pV = RT \quad (110.1)$$

și eliminăm temperatura din relația obținută mai sus, ajungem la expresia

$$p \cdot V^{\gamma} = \text{const.} \quad (145.2)$$

În comprimările adiabaticale ale gazelor perfecte

$$p \cdot V^{\gamma} = \text{const.}$$

le de *ecuația lui Poisson*. Ea leagă presiunea de volum, în cazul comprimărilor adiabaticale.

c) Dacă, procedînd ca mai sus, eliminăm volumul, în locul temperaturii, relațiile (145.1) și (110.1) ne dau

$$p^{1-\frac{1}{\gamma}} \cdot T^{\gamma} = \text{const.} \quad (145.3)$$

și am legat, de astă dată, variația temperaturii de variația presiunii.

Relațiile (145.1) — (145.3) leagă deci două cîte două variabilele *presiune, volum și temperatură*, în comprimările adiabaticale ale gazelor.

### 1. *Lucrul mecanic în procesele adiabaticale.*

Dacă, după ce am comprimat gazul, *păstrăm volumul final constant* și-l lăsăm să se răcească de la temperatura  $T_2$ , pînă la temperatura inițială  $T_1$ , cantitatea de căldură cedată este:

$$Q = C_v (T_2 - T_1).$$

După primul principiu al termodinamicii, această cantitate de căldură, exprimată în unități mecanice, trebuie să fie egală cu lucrul mecanic efectuat asupra gazului.

Prin urmare,

$$A = C_v (T_2 - T_1) \quad (145.4)$$

Lucrul mecanic în comprimarea adiabatică nu depinde de temperatura inițială, ci numai de diferența temperaturilor.

Această relație simplă ne spune că *lucrul mecanic, în comprimările adiabatică, nu depinde de temperatura inițială, ci numai de diferența temperaturilor.*

Știind că

$$C_p - C_v = R \quad \text{și că} \quad \frac{C_p}{C_v} = \kappa,$$

relația (145.4) se mai poate scrie și sub forma

$$A = \frac{R}{\kappa - 1} (T_2 - T_1). \quad (145.4 \text{ a})$$

Relațiile (145.1) și (145.3) ne permit, printr-un calcul elementar, să exprimăm temperaturile fie în funcție de volumele  $V_1$  și  $V_2$ , fie în funcție de presiunile  $p_1$  și  $p_2$ .

2. *Reprezentarea grafică.* Am văzut că izotermele unui gaz perfect, definite de relația

$$pV = RT$$

sînt hiperbole echilatre, raportate la asimptote și au forma arătată în fig. 355.

Curba reprezentativă a variației adiabatică, definită de ecuația lui Poisson,

$$pV^\kappa = \text{const}, \quad (145.2)$$

are o formă analogă.

Exponentul face însă ca *panta* ei să fie mai înclinată și de

**Adiabatele intersectează izotermele.**

*aceea izotermele se intersectează cu adiabatele.*

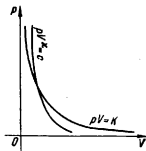


Fig. 355. Izotermă și adiabată.

Vom vedea mai târziu din ce motive această particularitate are o importanță practică deosebită.

§ 146. **Reprezentarea lui Clapeyron.** Să presupunem că presiunea unui gaz variază cu volumul, după o lege oarecare,

$$p = f(V).$$

Natura procesului ne este perfect indiferentă, cu condiția să cunoaștem legea după care se desfășoară. El poate fi adiabatic, izoterm sau oricare altul.

Variația volumului, cu o cantitate infinitesimală  $dV$ , în sensul sau împotriva forțelor exterioare, produce sau absoarbe lucrul mecanic elementar:

$$dA = p \cdot dV = f(V) \cdot dV \quad (137.3)$$

și, între două volume date,  $V_1$  și  $V_2$ , găsim prin integrare lucrul mecanic total:

$$A = \int_{V_1}^{V_2} p \cdot dV = \int_{V_1}^{V_2} f(V) \cdot dV.$$

Curba reprezentativă a funcției

$$p = f(V)$$

depinde de relația ce leagă presiunea de volum. Să presupunem că are forma din fig. 356 a.

Dacă alegem pe dinșa porțiunea limitată între volumele  $V_1$  și  $V_2$ , suprafața hașurată este o măsură pentru valoarea numerică a lucrului mecanic  $A$ , conform proprietăților integralei definite (§ 47).

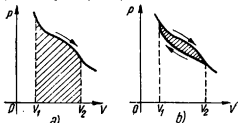


Fig. 356. Reprezentarea lui Clapeyron.

Acest lucru mecanic este produs de gaz, când mergem în sensul săgeții, de la presiunile mai mari, la presiunile mai mici. În cazul contrar el este transmis din afară gazului.

Să ne închipuim acum că, după ce am ajuns de la volumul  $V_1$  la  $V_2$ , comprimăm gazul la loc, după altă lege

$$p = f_1(V)$$

și executăm astfel o transformare în ciclu închis (fig. 356, b).

Aria cuprinsă între axa absciselor și curba reprezentativă a funcției

$$p=f(V)$$

între două volume date, are valoarea numerică a lucrului mecanic.

Și de astă dată lucrul mecanic are valoarea numerică a suprafeței cuprinse între curbă și axa absciselor, iar mica suprafață hașurată, dintre cele două curbe, are atunci valoarea numerică a lucrului mecanic final, fiindcă reprezintă diferența suprafețelor măturate în ambele sensuri.

Dacă ciclul este parcurs în sensul săgeților, acest lucru mecanic este debitat de gaz, pe socoteala energiei interne.

În cazul contrar, el este produs din exterior și energia internă crește.

1. *Procese reversibile.* În cazul particular, cînd am putea să mergem în ambele sensuri pe aceeași curbă, adică urmînd aceeași lege, cele două suprafețe ar fi egale, dar măturate în sens contrar. *Lucrul mecanic total ar fi nul și gazul ar reveni exact la energia internă inițială.*

*Vom spune atunci că am executat o transformare reversibilă.*

La gaze nu pot fi reversibile decît procesele izoterme și cele adiabatice.

La gaze nu există decît două specii de transformări reversibile: cele izoterme și cele adiabatice.

Am arătat însă că acestea sînt *procese ideale*, ce nu pot fi realizate practic, decît cu aproximație.

În celelalte domenii ale fizicii, putem concepe și alte tipuri de procese reversibile ideale care, executate în ambele sensuri, ar aduce un sistem înapoi la starea inițială.

Un exemplu bine cunoscut îl avem la trecerea energiei cinetice în energie potențială sau invers.

*O reversibilitate completă nu există în natură, decît la scara moleculară.*

Dacă ar exista și la scara macroscopică, un pendul ar putea

Procesele reversibile sînt ideale și nu apar în natură decît la scara moleculară.

să oscileze la infinit, o bilă ar putea să fie perfect elastică și energiile de tot felul s-ar putea transmite integral, în ambele sensuri, de la un sistem la altul, fără nici o scăpare.

## E R A T Ă

Pag.:	Rînd.:	În loc de:	Se va citi:	Din vina:
160	1 de sus	$\alpha$ și înmulțim ambii membri cu $\sin \alpha$ , putem scrie	care derivă din relația ce o precede în text	Tipografiei
182	12 de sus	$D = \frac{v_0^2 \sin^2 \alpha}{g}$	$D = \frac{v_0^2 \sin 2\alpha}{g}$	Editurii
192	19, 20 și 21 de sus	Cînd pîrghia se rotește cu un unghi $\alpha$ , cele două forțe execută lucrul	Cînd pîrghia se rotește cu un unghi $\alpha$ cele două forțe execută lucrul	Tipografiei
274	2 de sus	1 kgf/cm <sup>3</sup>	1 kgf/cm <sup>2</sup>	Editurii
363	15 de sus	+ 212°	+ 80°	"

Fizica generală

2. *Exemple numerice.* 1) *Un corp de 1 000 kg alunecă pe o suprafață orizontală, avind coeficientul de frecare  $\mu=0,2$  și parcurge distanța de 500 m. Câtă căldură se dezvoltă?*

Forța de frecare este dată de produsul dintre greutatea corpului și coeficientul de frecare; ea va fi deci:

$$F=0,2 \cdot 1\,000=200 \text{ kgf.}$$

Pe distanța de 500 m, această forță execută lucrul mecanic

$$A=200 \cdot 500=100\,000 \text{ kgm.}$$

Căldura dezvoltată va fi deci

$$Q = \frac{A}{J} = \frac{100\,000}{426} = 235 \text{ kcal.}$$

2) *Un glonte de 30 g intră într-un obstacol, cu viteza de 1 000 m/s și se oprește. Câtă căldură dezvoltă?*

Energia cinetică a glontului este

$$W_c = \frac{1}{2} mv^2 = \frac{1}{2} \cdot 30 \cdot 10^{10} = 15 \cdot 10^{10} \text{ erg.}$$

Relația de echivalență ne dă atunci

$$Q = \frac{15 \cdot 10^{10}}{4,18 \cdot 10^7} = \frac{15\,000}{4,18} = 3\,600 \text{ cal.}$$

3) *Ce căldură s-ar absorbi prin comprimarea izotermă a unei molecule-gram de gaz, de la 1 la 4 at, la temperatura de 0°C?*

Relația

$$-A = RT \cdot \ln \frac{p_2}{p_1} = 2,3 \cdot RT \cdot \log \frac{p_2}{p_1} \quad (144.1)$$

ne dă

$$-A = 2,3 \cdot 8,3 \cdot 10^7 \cdot 273 \cdot \log 4 = 2,3 \cdot 8,3 \cdot 10^7 \cdot 273 \cdot 0,6,$$

sau

$$-A = 3\,130 \cdot 10^7 \text{ erg, adică } 750 \text{ cal.}$$

4) *Ce lucru mecanic este necesar pentru ca o moleculă-gram de gaz, comprimată adiabatic, să-și ridice temperatura cu 200°C?*

Se va considera gazul ca biatomic.

Relația

$$A = \frac{R}{\alpha - 1} (T_2 - T_1) \quad (145.4 \text{ a})$$

ne dă

$$A = \frac{8,3 \cdot 10^7}{1,4 - 1} \cdot 200 = 4,15 \cdot 10^{10} \text{ erg.}$$



## B. Al doilea principiu al termodinamicii

§ 147. **Enunțul lui Carnot.** Primul principiu al termodinamicii este o lege *cantitativă*, fiindcă ne spune ce cantitate de căldură se poate obține dintr-un lucru mecanic dat, sau invers.

Al doilea principiu este, totodată, și *calitativ*, fiindcă se ocupă de calitatea energiilor, adică de posibilitatea unei transformări a lor în lucru mecanic util și arată că această transformare nu este integral posibilă, pentru căldură.

Acest principiu a fost descoperit de *Sadi Carnot*<sup>1)</sup>, în 1824, prin urmare cu aproape douăzeci de ani înaintea principiului întâi, pe vremea când încă se admitea că există un *caloric* nedistructibil, în stare să cadă, între două temperaturi date, așa cum cade apa unei cascade, între două nivele diferite.

În demonstrația sa, Carnot face chiar o analogie cu mașinile hidraulice și pleacă de la următoarele considerații.

Dacă o masă de lichid ar cădea, de la înălțimea  $h_1$ , pînă la nivelul mării și nu ar exista nici un fel de pierderi, s-ar putea obține *cel mult* lucrul mecanic

$$A_1 = mg \cdot h_1$$

iar de la înălțimea mai mică,  $h_2$ ,

$$A_2 = mg \cdot h_2.$$

De aici rezultă că, între nivelele  $h_1$  și  $h_2$  avem lucrul mecanic

$$A_1 - A_2 = mg (h_1 - h_2),$$

de unde

$$\frac{A_1 - A_2}{A_1} = \frac{h_1 - h_2}{h_1}.$$

Diferența  $A_1 - A_2$  reprezintă lucrul mecanic  $A$ , ce s-ar putea obține prin căderea de la nivelul  $h_1$ , la nivelul  $h_2$ , iar  $A_1$  este *lucrul mecanic total*, în cazul căderii pînă la nivelul zero.

Dacă scriem relația de față sub forma

$$A = A_1 \frac{h_1 - h_2}{h_1}$$

<sup>1)</sup> *Sadi Carnot* (1796—1832), inginer și ofițer francez. Tirziu, după moartea lui, prin publicarea unor note inedite, s-a văzut că înțelegea destul de limpede și principiul întâi, dar n-a avut cînd să termine lucrarea.

se vede imediat că, din lucrul mecanic total, numai fracțiunea

$$\eta = \frac{h_1 - h_2}{h_1} \quad (147.1)$$

poate fi transformată în lucru mecanic util, când căderea se limitează între cele două nivele date.

**Randamentul este un coeficient cu care trebuie să înmulțim lucrul mecanic total, ca să obținem lucrul mecanic util.**

Numărul  $\eta$ , cu care trebuie să înmulțim lucrul mecanic total, ca să obținem valoarea lucrului mecanic util, reprezintă, prin definiție, *randamentul sau coeficientul economic*.

Insistăm că acest randament, astfel calculat, *se referă numai la situația ideală*, când nu ar exista pierderi, în procesul de folosire al energiei. *În practică el nu poate fi atins, iar teoretic nu poate fi depășit.*

Raționamentul făcut nu ține seamă nici de natura fluidului care cade, nici de construcția mașinii folosite.

**Randamentul maxim ideal depinde de diferența de nivel.**

Prin urmare, *randamentul maxim ideal depinde numai de nivelul inițial și final, între care funcționează mașina.*

Carnot consideră căldura ca o substanță nedistructibilă, capabilă să cadă între două nivele de temperaturi absolute  $T_1$  și  $T_2$ .

Apoi, *prin analogie*, afirmă că randamentul maxim al unei mașini termice ideale, în care căldura produce lucru mecanic, depinde numai de temperatura inițială și finală, așa că

$$\eta = \frac{T_1 - T_2}{T_1} \quad (147.2)$$

**O mașină termică nu poate produce lucru mecanic, fără diferențe de temperatură.**

El ajunge așa la concluzia că *o mașină termică nu poate să producă lucru mecanic, dacă nu există o diferență de temperatură, între*

*punctul de intrare și de ieșire al căldurii, și enunță următorul principiu:*

Toate mașinile care funcționează între aceleași limite de temperatură au același randament maxim.

*Toate mașinile termice care funcționează între aceleași limite de temperatură au același randament maxim, adică același coeficient economic ideal.*

Această lege fundamentală este numită acum *principiul al doilea al termodinamicii* sau *principiul lui Carnot*.

Concluziile lui Carnot s-au dovedit juste, dar raționamentul merge pe o cale greșită, fiindcă nu există un *caloric* nedistructibil, ci numai o *transformare* a căldurii, ca energie, în altă specie de energie.

El calculează randamentul unei mașini, ce ar funcționa, întâi cu vapori de apă, apoi cu vapori de alcool și constată concordanța cu rezultatul teoretic.

După aceea, nemulțumit cu raționamentul inițial, reia problema sub altă formă și ajunge la concluzia că, dacă legea formulată nu ar fi justă, s-ar putea construi un perpetuum mobile ce nu ar mai respecta legile de conservare ale lucrului mecanic.

Expresia randamentului maxim, scrisă sub forma:

$$\eta = 1 - \frac{T_2}{T_1},$$

ne arată că o mașină termică va putea să funcționeze cu atât mai avantajos, cu cât temperatura la intrare  $T_1$  va fi mai ridicată, iar temperatura  $T_2$ , la ieșire, mai coborâtă.

De aceea, în mașinile cu abur moderne, se folosește *supraîncălzirea* vaporilor, la intrarea în cilindri și răcirea lor la ieșire, într-un *condensator*.

În 1834, *Clapeyron* reia concluziile lui Carnot și ajunge să stabilească o relație din care se poate calcula căldura de evaporare a lichidelor.

Confruntarea acestei relații cu datele experimentale poate să constituie o primă verificare indirectă a principiului enunțat.

Să presupunem că evaporăm *un gram de lichid*, la temperatura  $T$ . Dacă volumul specific al vaporilor este  $V$ , iar al lichidului este  $V_1$ , creșterea de volum, la presiunea  $p$ , implică lucrul mecanic exterior.

$$A = p(V - V_1).$$

Dacă vaporii ar ocupa același volum final, la temperatura  $T + \Delta T$ , presiunea dezvoltată ar fi  $p + \Delta p$  și am avea, de astă dată, lucrul mecanic

$$A + \Delta A = (p + \Delta p) \cdot (V - V_1).$$

În aceste condiții, dacă o mașină termică ar evapora lichidul la o temperatură mai înaltă și l-ar condensa la o temperatură mai joasă, am putea să dispunem de lucrul mecanic:

$$\Delta A = \Delta p (V - V_1).$$

Exprimând randamentul prin raportul între acest lucru mecanic și căldura de evaporare  $Q$ , și ținând seamă că diferența temperatururilor este  $\Delta T$ , avem:

$$\frac{\Delta A}{Q} = \frac{\Delta p (V - V_1)}{Q} = \frac{\Delta T}{T}.$$

de unde deducem că

$$Q = T \frac{\Delta p}{\Delta T} (V - V_1). \quad (147.3)$$

Dacă folosim unitățile CGS, iar căldura o exprimăm în calorii, experiența impune să introducem în membrul al doilea un coeficient  $K = 1/4,18 \cdot 10^7$ .

Semnificația acestui coeficient, a cărui valoare depinde de unitățile alese, a fost înțeleasă mai târziu de *Clausius* și interpretată în lumina principiului întâi.

De aceea relația (147.3) se mai numește și *ecuația lui Clausius-Clapeyron*.

Am citat-o deja în § 122, sub o formă puțin diferită și raportată la alte unități.

**§ 148. Concepțiile lui Thomson.** Lucrările lui Carnot, ca și considerațiile lui Clapeyron, au trecut aproape neobservate și n-au fost înțelese la justa lor valoare, decât după ce principiul întâi, definitiv admis, a reactualizat problema.

Pe la 1851, *William Thomson*, lăsând laoparte ideea greșită a caloricului nedistructibil, caută să verifice prin calcul dacă randamentul maxim, definit de raportul dintre lucrul mecanic util  $A$  și cantitatea totală de căldură  $Q$ , privită ca *energie*

$$\eta = \frac{A}{Q} = \frac{T_1 - T_2}{T_1} \quad (148.1)$$

este, în adevăr, independent de agentul de transformare și dictat de limitele de temperaturi absolute.

El își închipuie o serie de mașini termice, care ar funcționa cu substanțe diferite: apă, alcool, eter, terebentină etc., calculează randamentul maxim și constată că principiul enunțat de Carnot se verifică.

**Principiul lui Carnot este o lege naturală, care nu poate fi demonstrată, adică un postulat.**

pune prin totalitatea faptelor de observație, ca și principiul întâi, dar nu poate fi demonstrată, adică de un *postulat*.

El consideră apoi o mașină termică imaginară, în stare să scoată căldura din rezervorul nesecat al mărilor, să o transforme parțial în lucru mecanic, iar restul netransformat să-l arunce înapoi în mare.

**O mașină termică, ce ar funcționa cu un singur rezervor de căldură, ar fi un perpetuum mobile de specia a doua și nu poate fi realizată.**

Dacă am dispune de o astfel de mașină și am instala-o pe o corabie, am putea să-i asigurăm funcționarea la nesfârșit, așa că am avea, practic, un *perpetuum mobile*.

În urma corăbiei, apa mării s-ar răci și poate că s-ar forma chiar o diră de gheață.

*O asemenea mașină nu ar contrazice principiul întâi, dar l-ar contrazice pe al doilea, căci dacă*

$T_1 = T_2 =$ temperatura mării,  
randamentul transformării, definit de relația

$$\eta = \frac{A}{Q} = \frac{T_1 - T_2}{T_1} \quad (148.1)$$

nu poate fi decît nul, ca și lucrul mecanic  $A$  <sup>1)</sup>.

Orice mașină termică, ce ar funcționa în aceste condiții, *adică ar contrazice principiul al doilea*, ar fi, prin definiție, un *perpetuum mobile de specia a doua*.

<sup>1)</sup> Acest lucru a fost înțeles și de Carnot.

Acest principiu poate fi deci enunțat și sub forma:

*Realizarea unui perpetuum mobile de speța a doua, care să funcționeze cu un singur izvor de căldură, este imposibilă.*

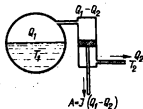


Fig. 357. Schema unei mașini termice.

Dacă schematizăm o mașină termică, așa cum arată fig. 357, vom avea în cazan cantitatea de căldură.

$Q_1$  la temperatura  $T_1$ .

Organul de transformare (în speța pistonul) primește această căldură, reține și transformă o parte în lucru mecanic și trimite la exterior căldura

$Q_2$  la temperatura  $T_2$ .

Rezultă că lucrul mecanic produs echivalează, la randamentul maxim, cu diferența între  $Q_1$  și  $Q_2$ . Prin urmare, dacă folosim unitățile curente de energie,

$$A = Q_1 - Q_2$$

și relația (148.1) devine

$$\eta = \frac{Q_1 - Q_2}{Q_1} = \frac{T_1 - T_2}{T_1} \quad (148.2)$$

Aici  $Q_1$  reprezintă căldura totală  $Q$ , transmisă organului de transformare. Unitățile în care exprimăm căldurile pot fi atât calorii, cât și unitățile mecanice, fiindcă factorul de echivalență  $J$  se elimină.

Prin aplicarea principiului întâi, am ajuns așa la o relație fundamentală, prin care putem formula principiul al doilea.

**Principiul al doilea poate fi formulat prin relația (148.2).**

Ea ne spune că, dintr-o cantitate totală de căldură, luată de la căldare, o mașină ideală nu poate să transforme în lucru mecanic decât cel mult porțiunea

$$Q_1 - Q_2 = Q_1 \frac{T_1 - T_2}{T_1},$$

iar restul scapă transformării și se împrășteie la exterior.

*Temperatura termodinamică.* Relația (148.2) de mai sus poate fi scrisă și sub forma

$$\frac{Q_1}{T_1} = \frac{Q_2}{T_2} . \quad (148.2a)$$

Thomson își inchipuie o serie de mașini ideale, construite așa fel încât căldura care scapă netransformată de la una să treacă în cealaltă. Dacă punem condiția ca toate să producă același lucru mecanic  $\Delta A$ , adică să transforme cantități egale de căldură, vom avea

$$\Delta A = Q_1 - Q_2 = Q_2 - Q_3 = Q_3 - Q_4 = \dots$$

Iar în ce privește limitele de temperatură respective:

$$\Delta T = T_1 - T_2 = T_2 - T_3 = T_3 - T_4 = \dots$$

Cu asemenea mașini am avea mijlocul să definim o scară de temperaturi, numai cu ajutorul energiilor disponibile și independent de substanța termometrică.

Aceasta este așa-numita *scară termodinamică*.

Cantitățile de căldură

**Scara termodinamică definește temperaturile numai pe bază energetică și este independentă de substanța termometrică.**

$$Q_1, Q_2, Q_3, \dots$$

cedate de fiecare mașină celei următoare în serie, scad însă în raportul temperaturilor

$$T_1, T_2, T_3, \dots$$

așa cum arată relația (148.2 a).

Inseamnă că, la temperatura  $T=0$  nici o transformare de căldură în lucru mecanic nu mai este posibilă, fiindcă această căldură nu mai are unde trece.

*Am definit astfel un zero absolut de temperatură, făcând abstracție de orice altă convenție, sau substanță termometrică.*

Scara termodinamică are, față de scările termometrice obișnuite, avantajul că ne permite să determinăm prin calcul atât temperaturile foarte înalte, cât și cele foarte joase, unde folosirea termometrelor este sau nesigură, sau imposibilă.

Se demonstrează că zero absolut al scării termodinamice se confundă cu valoarea cunoscută de  $-273,15^\circ\text{C}$ .

**§ 149. Postulatul lui Clausius.** În orice mașină termică, avem un rezervor de căldură, *la temperatură mai înaltă*, care o cedează unui organ de transformare. Acesta reține și transformă o parte din ea și transmite restul spre exterior, *la temperatură mai joasă*.

În această mașină, *căldura trece deci, în mod natural, de la temperaturile mai înalte, la cele mai joase*.

Însuși Carnot admite că și trecerea inversă ar fi posibilă, dar este evident, mai ales după ce cunoaștem principiul întâi, că aceasta ar implica, direct contra, *un consum de lucru mecanic*.

*Clausius*, pe baza multiplelor fapte de observație, admite următorul principiu, sub formă de postulat:

Trecerea spontană a căldurii se face spre o temperatură mai joasă.

Trecerea inversă absoarbe lucru mecanic.

*In mod spontan, căldura nu poate să treacă decât de la temperaturile mai înalte, spre temperaturile mai joase; trecerea inversă nu e posibilă decât cu absorbția*

*unui lucru mecanic, executat din exterior.*

Dacă admitem ca valabil acest *postulat al lui Clausius*, putem dovedi egalitatea randamentelor maxime, ale tuturor mașinilor ce ar funcționa între limite date de temperatură.

Să presupunem că două mașini ideale funcționează *între aceleași temperaturi* inițiale și finale:

Prima din ele ia de la rezervorul mai cald cantitatea de căldură  $Q_1$ , execută lucrul mecanic  $A$  și trimite spre exterior căldura  $Q_2$ .

Randamentul ei, definit prin raportul dintre lucrul mecanic și căldura luată, este

$$\eta = \frac{A}{Q_1}.$$

A doua mașină primește, în aceleași condiții de temperatură, căldura  $Q'_1$ , produce lucrul mecanic  $A'$  și cedează spre exterior căldura  $Q'_2$ .

Randamentul ei este

$$\eta' = \frac{A'}{Q'_1}.$$



Să admitem provizoriu că cele două mașini ideale ar putea să aibă randamente diferite și că

$$\frac{A'}{Q_1'} > \frac{A}{Q_1}.$$

Nimic nu ne împiedică să le construim în așa fel încît să producă amîndouă același lucru mecanic  $A = A'$ .

Am avea atunci

$$A' = A = Q_1' - Q_2' = Q_1 - Q_2,$$

sau

$$Q_1' - Q_1 = Q_2' - Q_2$$

și totodată

$$Q_1' - Q_1 < 0,$$

$$Q_2' - Q_2 < 0.$$

Dacă cele două mașini ar lucra cuplate împreună, ca o mașină unică, producînd lucru mecanic util, ar fi trebuit ca sistemul să ia de la izvorul mai cald cantitatea de căldură

$$Q_1' - Q_1 > 0,$$

și să dea celui rece

$$Q_2' - Q_2 > 0.$$

Inversarea acestor neegalități ne arată că sistemul, deși produce lucru mecanic, în loc să consume, *transportă căldură de la temperatura joasă la temperatura înaltă*, ceea ce contrazice postulatul lui Clausius.

Este deci absurd să admitem că randamentele maxime ale celor două mașini ar putea fi diferite, cînd lucrează între aceleași limite de temperaturi.

Va trebui așadar ca, în aceste condiții,

$$\eta' = \frac{A'}{Q_1'} = \frac{A}{Q_1} = \eta,$$

adică să aibă același randament maxim.

Principiul lui Carnot apare deci ca un corolar al postulatului lui Clausius.

§ 150. **Conceptiile lui Boltzmann.** Când am studiat principiul întâi al termodinamicii, am văzut că o cantitate dată de lucru mecanic poate fi transformată integral în căldură.

Principiul al doilea nu contrazice principiul întâi. *În măsura în care sîntem în stare să transformăm o cantitate de căldură în lucru mecanic, echivalența persistă.*

Dar această transformare inversă nu e posibilă decît parțial, fiindcă randamentul este

$$\eta = \frac{T_1 - T_2}{T_1} < 1.$$

Ca să obținem o transformare integrală, ar trebui să putem realiza două condiții:

a) *Să dispunem de o mașină termică ideală, în stare să atingă randamentul teoretic.*

b) *Să putem realiza, la exteriorul ei, temperatura de zero absolut.*

Numai așa numărătorul fracției care definește randamentul ar deveni egal cu numitorul.

**Transformarea lucrului mecanic în căldură nu este reversibilă.**

Nici una din aceste condiții nu poate fi satisfăcută și de aceea *procesul de transformare dintre lucrul*

*meccanic și căldură nu este reversibil.*

Vom arăta prin cîteva exemple, că însușirea generală a fenomenelor naturale, de a fi energetic nereversibile, conține într-însa principiul al doilea al termodinamicii.

1. *Producerea căldurii prin frecare sau lovire.* Să presupunem că o greutate cade de la o înălțime oarecare și lovește un bloc de gheață.

Energia cinetică se transformă în căldură și topește o parte din gheață.

Operația inversă ar cere să retransformăm această căldură în energie mecanică, să ridicăm astfel greutatea înapoi, la înălțimea de plecare, iar apa să înghețe din nou.

Ar trebui să dispunem atunci de o mașină termică ideală, pe care s-o cufundăm cu totul în această apă și s-o facem să funcționeze cu un singur izvor de căldură, deci ca un perpetuum mobile de speța a doua.

Eventual, am putea să presupunem că am cufundat unul din capetele mașinii într-un rezervor, la temperatura de zero absolut.

Admițind atunci că ea transformă integral căldura în lucru mecanic, nu ar mai avea ce să cedeze sursei reci, așa că ar funcționa tot cu un singur izvor de căldură.

*Prin urmare, atât transformarea integrală a căldurii în lucru mecanic util, cât și realizarea temperaturii de zero absolut sînt imposibile, fiindcă impun existența unui perpetuum mobile de specia a doua.*

Să mai presupunem că o mașină mișcă o piesă, care freacă un obiect. Din frecare se produce căldură și transformarea acestei călduri la loc în lucru mecanic, ar trebui să miște mai departe mașina, la infinit, ceea ce iarăși implică existența unui perpetuum mobile.

2. *Destinderea unui gaz în vid.* Ca să redăm gazului volumul inițial, am putea să încărcăm un piston, cu o greutate.

Comprimarea ar produce căldură, pe care, ca s-o transformăm la loc în lucru mecanic și să ridicăm greutatea înapoi, ar trebui să dispunem, ca și mai sus, de un perpetuum mobile de specia a doua.

Putem da și alte exemple, dar oricare ar fi ele, transformarea integrală a căldurii în lucru mecanic implică existența unui perpetuum mobile de specia a doua și contrazice principiul lui Carnot.

**Transformarea integrală a căldurii în lucru mecanic sau realizarea temperaturii de zero absolut impun existența unui perpetuum mobile de specia a doua.**

În rezumat, pe baza tuturor celor arătate mai sus, putem enunța principiul al doilea al termodinamicii prin următoarele patru postulate, care reprezintă, în fond, același lucru:

I. *Enunțul lui Carnot.* Între aceleași diferențe de temperaturi, toate mașinile ideale au același randament.

II. *Postulatul lui Clausius.* Căldura nu poate trece fără consum de lucru mecanic, de la temperatură joasă, la temperatură mai ridicată.

III. *Un perpetuum mobile* de specia a doua, care să funcționeze fără diferențe de temperatură, cu o singură sursă de căldură, este imposibil (*Thomson*).

IV. *Fenomenele naturale* sînt nereversibile (*Boltzmann*).

§ 151. **Degradarea energiei.** Intiul principiu al termodinamicii ne-a arătat că energia se transformă și se conservă.

Al doilea principiu ne spune însă că, dacă o cantitate de energie, în cursul transformărilor suferite, ar trece întimplător prin forma *căldura*, nu mai poate fi transformată integral în lucru mecanic.

Căldura este o formă degradată a energiei.

De aceea *căldura este considerată ca o formă degradată a energiei, care nu poate fi utilizată decît parțial.*

### C. Ciclul lui Carnot

§ 152. **Ciclul unei mașini reale.** O mașină termică are, prin definiție, rolul să transporte căldura, de la o temperatură mai înaltă, la alta mai joasă, reținînd o parte din ea *ca s-o transforme în lucru mecanic util.*

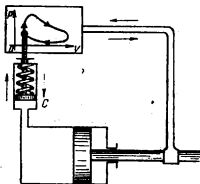


Fig. 358. Indicatorul lui Watt.

Ea poate să funcționeze și în sensul contrar, adică să transporte căldura *spre o temperatură mai ridicată și atunci absoarbe lucru mecanic.*

Organul ei de transformare, în speță cilindrul și pistonul, primește o cantitate de vapori sau de gaz, la o presiune, un volum și o temperatură date și o destinde la presiunea și temperatura din exterior.

Ca să ne dăm seama de condițiile de funcționare, îi vom adapta dispozitivul din fig. 358, cunoscut sub numele de *indicatorul lui Watt*.

Printr-o legătură rigidă, mișcarea alternativă a pistonului se transmite unui cadru metalic, pe care se lipește o foaie de hîrtie. Deplasarea acestui cadru urmărește astfel variațiile volumului din cilindru.

Ca să înregistrăm și variațiile presiunii, adaptăm lateral un mic cilindru cu piston  $C$ , care funcționează ca un manometru cu resort și la care coada pistonului poartă un creion, pe o foaie de hîrtie.

Față de hîrtie, creionul are atunci două mișcări simultane:

1 — Una este *orizontală*, cu spații proporționale cu *volumul*.

2 — Cealaltă este *verticală*, cu spații proporționale cu *presiunea*.

Pe foaia de hîrtie se va desena o curbă, raportată la două axe de coordonate rectangulare. Ea reprezintă variația presiunii, în funcție de volum.

La mașinile cu vapori și pistoane, așa-zise *alternative*, găsim experimental că această curbă, parcursă în timpul unei mișcări de dus și întors a pistonului, are, în linii generale, aspectul ciclic din fig. 359 *a*.

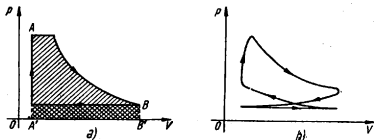


Fig. 359. Ciclul unei mașini cu vapori și al unui motor în patru timpi.

Traseul ei depinde de tipul mașinii și de condițiile de funcționare, dar modificările sînt numai de amănunt.

La alte specii de mașini termice, forma curbei poate să fie cu totul diferită.

De pildă, la motoarele cu explozie în patru timpi, găsim două cicluri cuplate, care sînt parcurse unul după altul, în sensuri con-

trarii. Ele corespund celor patru inversări ale mișcării pistonului, în intervalul dintre două explozii consecutive.

**Indicatorul lui Watt**  
ne permite să trasăm  
diagrama de funcționare  
a mașinilor termice.

Toate ciclurile, trasate pe  
această cale, reprezintă așa-numi-  
tele *diagrame de funcționare* ale  
mașinilor termice.

Potrivit reprezentării lui Clapeyron (§ 146), aria unui ciclu este proporțională cu lucrul mecanic produs ori absorbit de mașină, în timpul respectiv.

Considerînd mai întîi ciclul mașinii cu vapori, din fig. 359 *a*, putem distinge două faze:

1. În prima fază este parcursă porțiunea de curbă dintre *A* și *B*.

În timpul acesta, vaporii se destind, cedează din energia lor internă, mișcă pistonul și *execută un lucru mecanic*, proporțional cu aria suprafeței hașurate *A—B—A'—B'*.

2. În faza a doua, mașina *absoarbe lucru mecanic*, din energia cinetică a volantului, ca să comprime vaporii rămași în cilindru, sau să lupte împotriva presiunii celor ce vin din cazan.

Ciclul se încheie și lucrul mecanic absorbit este proporțional cu aria suprafeței hașurate dublu.

Rezultatul final duce la un *lucru mecanic util*, fiindcă faza a doua consumă mai puțin decît produce prima.

Dar dacă am parcurge ciclul în sensul invers, cum este cazul la mașinile frigorifere, care transportă căldură de la o temperatură mai joasă, la alta mai înaltă, ar trebui, din contra, să consumăm lucru mecanic.

În fig. 359 *b*, ciclul mai mic reprezintă de asemenea o absorbție de lucru mecanic, fiindcă, în primii doi timpi, motorul nu face decît să tragă și să comprime amestecul explozibil.

În tot cazul, diagramele obținute ne arată că orice mașină

**Organul motor al unei**  
**mașini termice funcțio-**  
**nează pe un ciclu închis.**

*termică*, fie cu vapori, fie cu explo-  
zie, sau cu ardere internă, *parcurge*  
*un ciclu închis* și readuce periodic

toți parametrii de stare, la situația inițială.

Suprafața acestui ciclu, raportată la cantitatea de căldură primită de mașină în timpul respectiv, și considerată ca pozitivă,

cînd se referă la un lucru mecanic util, ne permite să comparăm randamentele și să urmărim îmbunătățirea lor.

§ 153. **Ciclul ideal.** Făcînd abstracție de frecări, una din condițiile indispensabile ca o mașină termică să atingă randamentul maxim ideal, corespunzător temperaturilor extreme  $T_1$  și  $T_2$ , este *ca trecerea de la una la alta să apară brusc, așa ca vaporii să nu întîlnească pe drum temperaturi intermediare.*

**Randamentul ideal exclude ca între temperaturile extreme să existe și altele intermediare.**

În adevăr, dacă această condiție nu ar fi îndeplinită, am putea să instalăm și alte mașini, care să funcționeze între aceste temperaturi

și să producă lucru mecanic suplimentar.

Dar aceasta înseamnă că mașina principală nu e în stare să producă singură tot lucrul mecanic posibil și deci *nu realizează randamentul maxim cerut.*

I. Vaporii care sosesc în cilindru au temperatura inițială a cazanului sau a țevilor de supraîncălzire.

Ca să îndeplinim condiția cerută mai sus, nu e greu de văzut că *destinderea lor trebuie să decurgă izoterm*, la această temperatură.

În adevăr, dacă n-ar fi așa, s-ar ivi, între temperaturile extreme  $T_1$  și  $T_2$ , zone cu temperatură intermediară, care ne-ar da mijlocul să punem în funcțiune mașini suplimentare.

Dar destinderea izotermă este, prin însuși caracterul ei, un fenomen ce trebuie să decurgă infinit de lent și de aceea impune o diferență de presiune infinit de mică, între cele două fețe ale pistonului.

**Destinderea sau comprimarea izotermă a gazelor și vaporilor sînt fenomene ideale reversibile. Randamentului maxim impune folosirea lor.**

Astfel condiționate, *destinderea și comprimarea izotermă a gazelor sau vaporilor au caracterul reversibil al proceselor ideale. Randamentul maxim impune folosirea lor.*

II. Lucrul mecanic produs de mașină e însă proporțional cu aria ciclului descris.

Dacă ne-am limita numai la destinderea și comprimarea izotermă, la temperatura de intrare a vaporilor, am parcurge necon-

tenit aceeași porțiune de curbă, în ambele sensuri, și suprafața ciclului fiind nulă, nu am putea obține lucru mecanic.

Ca să închidem ciclul, asociem procesul izoterm cu procesul adiabatic, de asemenea ideal și reversibil

De aceea vom căuta să închidem ciclul pe altă cale și vom asocia procesul izoterm cu alt proces ideal și reversibil: comprimarea sau destinderea adiabatică.

Ne vom închipui deci că și de astă dată variația de volum decurge cu încetineală infinită, iar ca să evităm schimburile de căldură, fie cu cazanul, fie cu exteriorul, vom închide, mintal și la momentul oportun, toate robinetele de legătură.

Totodată, ne vom închipui că am învelit cilindrul mașinii cu o substanță ideală, perfect impermeabilă pentru căldură.

Este de la sine înțeles că procesele ideale, fie izoterme, fie adiabatic, nu pot fi realizate decât mintal.

În practică, tot ce putem face ar fi să ne apropiem cât mai mult cu putință de condițiile cerute în desfășurarea lor.

Considerându-le, totuși, ca realizabile, ciclul ar putea fi parcurs în patru faze:

1. În prima fază, parcurgem izoterma  $AB$ , lăsând vaporii să se destindă, de la volumul  $V_1$ , la volumul  $V_2$  (fig. 360). Contactul termic permanent cu cazanul asigură constanța temperaturii  $T_1$ .

Potrivit relației (144.1), această destindere liberează lucrul mecanic

$$A_1 = RT_1 \cdot \ln \frac{V_2}{V_1}, \quad (a)$$

pentru fiecare moleculă-gram de gaz sau de vaporii, presupunând că nu s-a condensat.

2. În a doua fază, destindem adiabatic, izolând cilindrul din punct de vedere termic și parcurgem curba  $BC$ .

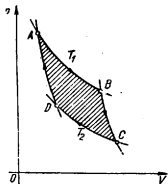


Fig. 360. Ciclul lui Carnot.



Temperatura scade la  $T_2$  și relația (145.4 a) ne permite să calculăm lucrul mecanic liberat. El este:

$$A_2 = \frac{R}{\kappa - 1} (T_2 - T_1). \quad (b)$$

3. În a treia fază dezvelim cilindrul, comprimăm gazul izoterm, la temperatura  $T_2$ , pe care o menținem constantă cu ajutorul mediului exterior și parcurgem curba  $CD$ .

De astă dată se absoarbe lucrul mecanic:

$$A_3 = -RT_2 \cdot \ln \frac{V_3}{V_4}. \quad (c)$$

4. În sfârșit, comprimăm gazul adiabatic, pînă revine la temperatura inițială  $T_1$ , parcurgem curba  $DA$  și închidem ciclul.

Lucrul mecanic absorbit este:

$$A_4 = -\frac{R}{\kappa - 1} (T_2 - T_1). \quad (d)$$

Ținînd seamă că  $A_2$  și  $A_4$  sînt egali și de semne contrarii, urmează că lucrul mecanic total va fi

$$A = A_1 + A_3 = RT_1 \cdot \ln \frac{V_2}{V_1} - RT_2 \cdot \ln \frac{V_3}{V_4}.$$

Pe de altă parte, dacă ne referim numai la porțiunile adiabactice ale ciclului și ținem seamă de relația (145.1), vom avea

$$T_1 V_2^{\kappa-1} = T_2 V_3^{\kappa-1}$$

și

$$T_1 V_1^{\kappa-1} = T_2 V_4^{\kappa-1},$$

care, împărțite membru cu membru, ne dau

$$\frac{V_2}{V_1} = \frac{V_3}{V_4}.$$

Așa fiind, vom putea scrie că lucrul mecanic total, după închiderea ciclului, este

$$A = R(T_1 - T_2) \ln \frac{V_2}{V_1}.$$

Iar dacă ținem seamă că organul motor al mașinii ia căldură de la temperatura  $T_1$  numai pe porțiunea de curbă  $AB$ , ca să asi-

gure caracterul izoterm al destinderii, această cantitate de căldură, egală cu lucrul mecanic  $A_1$ , reprezintă singura energie luată de la sursa caldă.

Făcînd raportul cuvenit, găsim că randamentul mașinii este

$$\eta = \frac{A}{A_1} = \frac{T_1 - T_2}{T_1}.$$

*adică tocmai randamentul maxim ideal, dictat de toate enunțurile principiului al doilea al termodinamicii.*

**Randamentul maxim teoretic al unei mașini termice nu poate fi atins decît de un ciclu format exclusiv din transformări reversibile.**

*Ciclul studiat, obținut prin asocierea proceselor izoterme și adiabatică succesive, se numește ciclul lui Carnot.*

*El este un ciclu reversibil, fiindcă și procesele participante sînt reversibile.*

Prin urmare, *randamentul maxim teoretic,*

$$\eta = \frac{T_1 - T_2}{T_1}$$

*nu poate fi atins decît de o mașină ideală, ce ar descrie un ciclu de funcționare reversibil.*

Se poate demonstra că, deoarece procesele izoterme și adiabatică sînt singurele reversibile, oricare ciclu reversibil poate fi descompus în mai multe cicluri Carnot.

În practică, mașinile termice nu ating niciodată randamentul ideal.

Tot ce putem face e doar să folosim cunoștințele teoretice și să căutăm, prin perfecționări succesive, să ne apropiem cît mai mult de condițiile optime.

**Mașinile termice nu ating niciodată randamentul maxim ideal.**

În tot cazul, rezultatele obținute sînt încă destul de nesatisfăcătoare și susceptibile de îmbunătățiri, mai ales dacă facem comparația cu mașinile electrice.

Ele sînt și mai mici, dacă ne raportăm nu la căldura existentă în cazan, ci la cantitatea de căldură produsă de combustibilul folosit.

Mai jos dăm randamentele practice ale citorva tipuri de mașini:

1) *Mașina cu abur simplă*

$$T_1 = 425^\circ; T_2 = 303^\circ; \eta_{teor.} = 28\%; \eta_{pract.} = 1,7\%.$$

2) *Mașina cu abur perfecționată*

$$T_1 = 620^\circ; T_2 = 303^\circ; \eta_{teor.} = 51\%; \eta_{pract.} = 16\%.$$

3) *Turbinele cu vapor*

$$T_1 = 748^\circ; T_2 = 303^\circ; \eta_{teor.} = 59\%; \eta_{pract.} = 20\%.$$

4) *Motorul de automobil*

$$T_1 = 2\,000^\circ; T_2 = 300^\circ; \eta_{teor.} = 85\%; \eta_{pract.} = 31\%.$$

5) *Motorul Diesel,  $\eta_{pract.} = 41\%$*

La turbine, ciclul se încheie prin comprimarea vaporilor, sub acțiunea propriei lor energii cinetice, în urma lovirii de cupele rotorului.

6) *Motoarele electrice depășesc randamentul practic de 95%.*

Temperaturile sînt date în grade absolute, iar cifrele sînt numai aproximative.

**Randamentul organismului uman.** Organismul omului, consumînd alimente cu o putere calorică de 2 000—3 000 de calorii mari pe zi, este capabil să producă lucru mecanic, sub un randament de circa 20%.

Știînd că temperatura internă a corpului este de  $38^\circ\text{C} = 311^\circ\text{K}$ , dacă aplicăm principiul lui Carnot, pentru asemenea randament, ajungem la concluzia că ar trebui să mai existe în corp fie o sursă caldă, la  $387^\circ\text{K} = +114^\circ\text{C}$ , fie o sursă rece, la aproape  $250^\circ\text{K}$ , adică la  $-23^\circ\text{C}$ .

Cum asemenea temperaturi nu există în corpul omului, înseamnă că el nu funcționează ca o mașină termică.

**Organismele animale  
nu sînt mașini termice.**

Aceleași considerații se aplică, bine înțeles, și la oricare alte organisme animale.

Este deci probabil că lucrul mecanic, în cazurile acestea, provine din transformarea directă a energiei chimice, care nu mai trece prin forma de căldură.

## D. Entropia

§ 154. **Noțiunea de entropie.** Ciclul lui Carnot ne-a arătat înțelesul și însemnătatea proceselor ideale reversibile.

În realitate însă, procesele naturale, ce se petrec la scara macroscopică, nu sînt reversibile. De aceea *Clausius* a căutat să

exprime gradul de reversibilitate al unui fenomen real printr-o funcție specială, pe care a numit-o *entropie*<sup>1)</sup>.

Ca să ajungem la această noțiune, vom pleca de la relația cunoscută:

$$\frac{Q_1 - Q_2}{Q_1} = \frac{T_1 - T_2}{T_1}. \quad (143.2)$$

Ea este legată de ciclul reversibil al lui Carnot și se mai poate scrie sub forma:

$$\frac{Q_1}{T_1} = \frac{Q_2}{T_2}, \quad (148.2a)$$

de care ne-am mai servit, ca să definim scara termodinamică a temperaturilor.

**O mașină ideală primește de la sursa caldă și cedează celei reci cantități de căldură proporționale cu temperaturile absolute.**

Sub această formă, relația ne arată că *mașina termică ideală primește de la sursa caldă și cedează celei reci cantități de căldură proporționale cu temperaturile absolute.*

Considerînd acum convențional ca pozitive cantitățile de căldură primite și ca negative pe cele cedate, avem:

$$\frac{Q_1}{T_1} + \frac{Q_2}{T_2} = 0. \quad (148.2b)$$

**Raportul  $Q/T$  se numește căldură redusă.**

Raportul  $Q/T$  reprezintă variația cantității de căldură, pe gra-

dul de temperatură absolută și se numește *căldură redusă*.

Relația precedentă ne arată că, *pentru o mașină ideală, ce ar descrie un ciclu Carnot, suma acestor călduri reduse este nulă.*

S-ar putea însă prea bine ca un alt gen de mașină să aibă o infinitate de puncte de contact, cu surse calde sau reci.

Acesta este, de altfel, cazul oricărui sistem care, fără să fie propriu-zis o *mașină termică*, absoarbe totuși căldură și liberează lucru mecanic sau absoarbe lucru mecanic și-l transformă în căldură, prin oricâte procese ciclice suprapuse.

<sup>1)</sup> Cuvîntul derivă din limba greacă și înseamnă *evoluție internă*.

Dacă funcționează reversibil, un asemenea sistem ar echivala cu o infinitate de mașini termice cuplate, ce ar parcurge tot atâtea cicluri Carnot și ar descrie împreună un *ciclu total*, de asemenea reversibil.

Ciclu acesta nu este numai decît un ciclu Carnot, ci *poate să aibă o formă oarecare*.

Notînd cantitățile de căldură luate sau cedate cu  $\Delta Q$ , avem atunci, ca și în relația (148.2 b), dar pentru întregul ansamblu,

$$\frac{\Delta Q_1}{T_1} + \frac{\Delta Q_2}{T_2} + \frac{\Delta Q_3}{T_3} + \dots + \frac{\Delta Q_n}{T_n} = \sum \frac{\Delta Q}{T} = 0,$$

iar pentru cantități infinitezimale, sumate pe toată lungimea ciclului reversibil parcurs,

$$\oint \frac{dQ}{T} = 0^{1)}$$
(154.1)

Această expresie se numește *ecuația lui Clausius*.

**Pentru oricare ciclu închis și reversibil, suma căldurilor reduse este nulă.**

spune că, la un proces ciclic și reversibil, de orice formă, suma căldurilor reduse este nulă.

Să considerăm acum un ciclu reversibil, de o formă oarecare (fig. 361).

Vom presupune că, pentru a descrie porțiunea *AMB*, suma căldurilor reduse variază cu *X*, iar dacă închidem ciclul și parcurgem porțiunea *ANB*, suma căldurilor reduse variază cu *Y*.

Ea generalizează relația simplă (148.2 b), care nu era valabilă decît la un ciclu Carnot, cu o singură sursă caldă și una rece, și ne

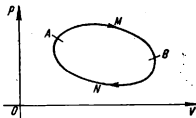


Fig. 361. La o transformare reversibilă, suma căldurilor reduse nu depinde de drumul parcurs, ci numai de punctele inițiale și finale.

<sup>1)</sup> Semnul  $\oint$  ne arată simbolic însumarea tuturor cantităților infinitezimale  $dQ/T$ , pe tot parcursul curbei închise, ce definește ciclul parcurs.

Potrivit celor discutate mai sus, va trebui ca, după închiderea ciclului,

$$\sum \frac{\Delta Q}{T} = 0$$

și, ca să îndeplinim această condiție, va trebui să admitem că

$$X + Y = 0.$$

Am putea să închidem ciclul și pe altă cale  $AN'B$ , tot printr-un proces reversibil, dar și atunci, din aceleași motive, ar trebui ca

$$X + Y' = 0 \qquad \text{deci ca} \qquad Y = Y'.$$

Aceasta înseamnă că integrala definită

$$\int_A^B \frac{dQ}{T}$$

care exprimă suma căldurilor reduse, pentru o transformare reversibilă, executată între  $A$  și  $B$ , nu depinde de natura procesului, adică de calea urmată, ci *numai de starea inițială și finală a sistemului*.

La transformările reversibile, între două situații date, suma căldurilor reduse nu depinde de natura procesului și exprimă variația entropiei.

Orice transformări anterioare ar fi suferit sistemul, în cursul evoluției lui, există deci o mărime caracteristică stării actuale  $A$ , care se modifică dacă el evoluează către altă stare  $B$ .

Această mărime a fost numită de Clausius *entropie*. Variația ei, între stările  $A$  și  $B$ , este, potrivit celor discutate mai sus și dacă o notăm cu  $\Delta S$ ,

$$\Delta S = S_B - S_A = \int_A^B \frac{dQ}{T},$$

adică egală cu suma căldurilor reduse, implicate de trecerea de la starea  $A$ , la starea  $B$ , prin oricare proces reversibil.

Funcțiunea  $S$ , astfel definită, are dimensiunile unei energii, raportată la o temperatură absolută.

Ea se exprimă deci în *ergi pe grad absolut* sau în *jouli pe grad absolut* și, pentru că mai depinde și de masa sistemului, va trebui de asemenea să o raportăm fie la gram sau kilogram, fie la molecula-gram.

Entropia ne apare astfel ca o *mărime scalară*, ca și cantitățile care o definesc.

De aceea *nu există un zero natural de entropie*, după cum nu există un zero de energie. Un asemenea zero nu poate fi decît convențional și se alege arbitrar.

Putem deci exprima *variațiile* de entropie, dar nu și entropia înșăși, în unități absolute.

Ne propunem acum să aplicăm cele știute, la tipurile de procese reversibile, întâlnite în studiul gazelor:

1. Pentru un proces izoterm, întiiul principiu al termodinamicii ne arată că

$$dQ = dA = p \cdot dV$$

și, fiindcă  $pV = RT$ ,

$$\Delta S = \int_A^B \frac{dQ}{T} = R \int_{V_1}^{V_2} \frac{dV}{V} = R \ln \frac{V_2}{V_1}.$$

*Variația de entropie este deci, în cazul de față, independentă de temperatură și direct proporțională cu logaritmul raportului volumelor.*

2. Pentru un proces adiabatic, schimbul de căldură cu exteriorul fiind exclus,  $dQ = 0$ .

Aceasta înseamnă că, între orice limite de integrare finite, *variația de entropie nu poate fi decît nulă*.

De aceea procesele adiabactice se mai numesc și *izentropice*.

3. Dacă executăm un proces de transformare, după un ciclu Carnot, singura variație de entropie apare în procesele izoterme. Dar ciclul fiind închis, volumele inițiale și finale sînt egale și logaritmul raportului volumelor fiind nul, variația de entropie va fi de asemenea nulă.

Aceasta era de așteptat, fiindcă ciclul este reversibil.

**§ 155. Procesele nereversibile.** Într-o mașină termică reală, adică nereversibilă, randamentul real este întotdeauna mai mic decît randamentul teoretic ideal. Așa ne arată experiența.

Prin urmare

$$\frac{Q_1 - Q_2}{Q_1} < \frac{T_1 - T_2}{T_1}.$$

Rezultă că

$$\frac{Q_2}{T_2} - \frac{Q_1}{T_1} > 0.$$

Căldura redusă, la intrare, fiind mai mare decât aceea de la ieșire, înseamnă că mașina primește mai multă căldură decât e în stare să transforme în lucru mecanic.

Același lucru se petrece cu orice sistem nereversibil, oricât ar fi de complicat.

Insumînd căldurile reduse, pentru un ciclu închis, vom avea deci, la sfîrșitul operației, o variație de entropie pozitivă,

$$\Delta S > 0,$$

în timp ce la procesele reversibile

$$\Delta S = \oint \frac{dQ}{T} = 0.$$

**Procesele ciclice nereversibile măresc entropia sistemului.**

*Prin urmare, în timp ce un proces ciclic reversibil nu implică o variație a entropiei, procesul nereversibil mărește entropia.*

Caracteristica fenomenelor naturale fiind lipsa de reversibilitate, înseamnă că diferitele procese, ce se petrec în interiorul unui sistem izolat, îi vor mări entropia, cu atît mai repede, cu cît vor fi mai puțin reversibile.

Cînd sistemul nu este izolat, s-ar putea ca alte sisteme, cu care vine în contact, să-i compenseze, măcar în parte, sporul de entropie.

**În mod natural, entropia unui sistem izolat crește necontenit.**

*Dar în tot cazul, orice sistem natural năzuiește către o stare finală de echilibru, în care să nu mai apară schimburi de energie.*

Dacă există acolo diferențe de temperatură, ele vor dispărea cu timpul și fenomenul nefiind reversibil, entropia va crește mereu, dar nu va putea să scadă niciodată.

Aceasta înseamnă că evoluția naturală a unui sistem izolat merge într-un singur sens, care nu se poate inversa de la sine.



**În termodinamică, principiul întâi este de conservare, iar al doilea de evoluție.**

În al doilea principiu al termodinamicii ne-a arătat că *energia se conservă și se transformă*.

El nu ne dă însă nici o indicație despre *sensul* acestor transformări.

Răspunsul la această întrebare ni-l dă numai principiul al doilea. El ne spune că, *în orice sistem izolat, evoluția naturală merge numai în sensul unei creșteri neconținute a entropiei*, adică spre starea de echilibru în care schimburile de energie tind să dispară.

*Principiul întâi este deci un principiu de conservare, iar al doilea un principiu de evoluție.*

**Moartea termică a universului.** Clausius, considerând universul ca un sistem izolat și aplicându-i regula de variație a entropiei, trage concluzia că el evoluează treptat către o stare finală, în care diferențele de temperatură vor dispărea și fenomenele vitale vor deveni cu totul imposibile, prin lipsa oricăror schimburi de energie.

Ar fi deci cu puțință un fel de *moarte termică* a universului, care implică inițial o *creație termică*, adică un început și un sfârșit.

*Această concluzie nu este fundată, fiindcă universul nu constituie un sistem izolat, ci un sistem infinit, în care nu mai putem aplica legile stabilite la scara obișnuită.*

**Ideea morții termice a universului nu are sens, fiindcă universul nu este izolat ci infinit.**

Principiul de evoluție al energiei, către o stare de echilibru stabil, nu se aplică la totalitatea universului și din alte motive, pe

care le vom arăta ceva mai târziu.

## E. Interpretarea cinetică a termodinamicii

§ 156. **Transformarea lucrului mecanic în căldură.** Teoria cinetică ne spune că ridicarea temperaturii unui corp mărește viteza și energia de mișcare a moleculelor, în agitație termică.

Dacă acel corp este frecat sau lovit, masa care freacă sau lovește are o *mișcare ordonată*, în care toate punctele descriu traiectorii paralele, de același sens și cu aceeași viteză.

duce cu dinșă energia cinetică și o cedează moleculelor în zona frecată sau lovită, mărindu-le viteza de agitație, iar acestea, la rândul lor, o cedează treptat celor vecine, din aproape în aproape, după legile ciocnirii.

Pentru un timp oarecare, necesar egalizării temperaturilor, agitația termică, în această zonă, arată o tendință preferențială spre interiorul corpului, dar această parțială ordonare nu e decit tranzitorie.

*Ea trece curind în dezordinea totală, după legile statisticii.*

Intîiul principiu al termodinamicii ne spune că energia se conservă. Toată energia cinetică cedată de mișcarea ordonată va trebui să fie astfel regăsită în sporul de energie cinetică a moleculelor, admițind că n-au apărut și variații de energie potențială internă.

**A transforma lucrul mecanic în căldură înseamnă a transforma o mișcare ordonată în alta dezordonată.**

*Prin urmare transformarea lucrului mecanic în căldură aparentă înseamnă transformarea unei mișcări ordonate în alta dezordonată.*

În fenomenele naturale intervin obișnuit frecări sau ciocniri.

De aceea, într-un sistem izolat, mișcările ordonate vor tinde să devie dezordonate și energia mecanică disponibilă va trece treptat și integral în căldură, mergînd către o entropie maximă.

**§ 157. Transformarea căldurii în lucru mecanic.** A transforma o cantitate de căldură în lucru mecanic, *înseamnă a reveni de la mișcarea dezordonată, la mișcarea ordonată.*

**Trecerea căldurii în lucru mecanic echivalează cu transformarea unei mișcări dezordonate în alta ordonată.**

Aici problema este ceva mai complicată și de aceea, ca să o putem diseca mai bine, o vom cerceta din aproape în aproape.

1. Să presupunem că, într-un spațiu limitat, am separa mintal două compartimente *A* și *B* (fig. 362).

Vom mai presupune că o pompă foarte perfecționată a făcut vidul și a lăsat acolo o singură moleculă, supusă mișcării termice.

Probabilitatea ca ea să se afle în compartimentul *A* va fi atunci

$$w_1 = \frac{1}{2}.$$

Fiindcă există un caz favorabil, din două posibile.

Dacă ar exista două molecule, probabilitatea compusă, ca să le găsim simultan în compartimentul *A* ar fi

$$w_2 = \frac{1}{2^2}$$

și pentru *n* molecule

$$w_n = \frac{1}{2^n}.$$

*Realizarea unei comasări într-un singur compartiment nu este imposibilă, dar devine cu atât mai puțin probabilă, cu cât sînt mai multe molecule.*

Referindu-ne în particular la numărul lui Avogadro, probabilitatea comasării ar avea la numitor exponentul  $6 \cdot 10^{23}$  și ar deveni practic o imposibilitate.

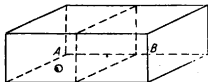


Fig. 362. Moleculă izolată, într-un spațiu divizat în două compartimente.

2. Să considerăm acum și vitezele de agitație termică ale moleculelor. Ca sens și direcție, mișcarea este haotică și *perfect dezordonată*.

Dacă s-ar întâmpla totuși ca, la un moment dat și în mod spontan, toate moleculele, sau un număr mai mare, să pornească în același sens, mișcarea dezordonată ar deveni, cel puțin parțial, ordonată și căldura s-ar putea transforma în lucru mecanic.

Fenomenul e destul de probabil, pentru un număr mic de molecule, dar devine cu totul neprobabil și practic imposibil, pentru un număr foarte mare.

Rezultatul ar echivala cu producerea de lucru mecanic dintr-o singură sursă de căldură.

**Funcționarea unui perpetuum mobile de specia a doua nu este imposibilă, dar este neprobabilă.**

*Dacă termodinamica ne spune pe baza faptelor de observație că un perpetuum mobile de specia a doua nu poate să funcționeze, postulatul nu trebuie să fie privit ca o lege absolută, ci numai ca un corolar al probabilității practic nule, la scara microscopică obișnuită.*

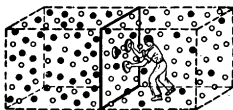
*solută, ci numai ca un corolar al probabilității practic nule, la scara microscopică obișnuită.*

Nu este imposibil să vedem un corp sărind singur de pe masă, dar este așa de neprobabil, încît nimeni nu a văzut-o pînă acum.

~~In sensul~~ acesta trebuie să înțelegem și principiul inerției din mecanică:

*Este neprobabil ca un corp să-și modifice de la sine starea de repaus or de mișcare, dar nu este imposibil.*

3. Să presupunem că ar putea să existe niște ființe vii, de



● Molecule lente

○ Molecule rapide

Fig. 363. Demonii lui Maxwell.

dimensiuni comparabile cu ale moleculelor și capabile să gândească și să acționeze.

Aceste ființe au construit un rezervor, pe care l-au separat în două compartimente, printr-un perete cu găuri de dimensiuni moleculare (fig. 363).

Ele stau de pîndă, cu niște capace și lasă să

treacă, într-un sens, numai moleculele rapide, iar în celălalt sens numai moleculele încete.

Mișcarea capacelor se face fără frecări, așa că nu consumă lucru mecanic, iar triajul moleculelor lente, de cele rapide, face să apară o diferență de temperatură, între cele două compartimente.

Pentru ființele imaginare de mai sus, folosirea unei singure surse de căldură este o problemă cu totul diferită de a noastră. Ele pot să creeze, după voie și fără consum de lucru mecanic, diferențele de temperatură, necesare funcționării unei mașini termice.

**Principiul al doilea al termodinamicii nu se aplică la scara moleculară.**

*Principiul al doilea al termodinamicii nu se aplică deci la scara microscopică moleculară, fiindcă*

*acolo moleculele se manifestă individual.*

Dacă el nu e contrazis de observațiile făcute la scara microscopică obișnuită, aceasta se datorește faptului că avem totdeauna un număr de molecule, ce nu pot fi separate unele de altele.

*Fenomenele sînt dictate atunci de legile statisticii, adică legate de probabilitate.*

**§ 158. Caracterul statistic al principiului al doilea.** La transformările de lucru mecanic în căldură, mișcarea ordonată devine dezordonată. Fenomenul urmează o lege naturală și *tinde astfel către o stare mai probabilă decât precedenta.*

Transformarea nu este reversibilă. Trecerea inversă, de la căldură spre lucru mecanic, se poate face numai parțial, fiindcă ne duce de la o stare mai probabilă, la alta mai puțin probabilă.

Intr-o dezordine perfectă nu se poate face ordine perfectă.

**Procesele naturale sînt nereversibile** fiindcă evoluează continuu, către stările din ce în ce mai probabile.

*Caracterul nereversibil al tuturor proceselor naturale se datorește unei tendințe continue de trecere spre stările din ce în ce mai probabile.*

Probabilitatea maximă, de persistență a unei stări, va fi atinsă o dată cu situația de echilibru stabil.

Dar tendința către situația de echilibru impune oricărui sistem să cedeze cît mai mult din energia lui sistemelor cu care vine în contact.

Cînd riul curge la vale, pierde treptat energia potențială, care trece în energie cinetică, iar aceasta în căldură, prin frecări sau eroziuni.

Stările succesive sînt din ce în ce mai probabile și astfel apa nu se poate întoarce singură la deal.

Cînd s-a revărsat în mare, toată energia potențială disponibilă a fost cedată și starea de echilibru atinsă are probabilitatea maximă.

Am arătat înainte că entropia unui sistem izolat evoluează, prin procese naturale nereversibile, către valoarea maximă posibilă.

Același lucru se întîmplă cu probabilitatea de stare.

**Entropia unei stări este proporțională cu logaritmul natural al probabilității de persistență.**

Printr-un calcul matematic, pe care nu-l putem reproduce în manualul de față, Boltzmann a demonstrat că *entropia unui sistem este*

*direct proporțională cu logaritmul natural al probabilității de persistență a stării actuale.*

Aşadar

$$S = k \cdot \ln w \quad (158.1)$$

unde factorul de proporționalitate  $k$  e cunoscuta constantă a lui Boltzmann, despre care am vorbit în teoria cinetică.

Ea are valoarea

$$k = \frac{R}{N} = 1,38 \cdot 10^{-16} \text{ erg/}^\circ\text{K}.$$

Noțiunea de entropie capătă astfel o semnificație mult mai accesibilă înțelegerii, decât suma căldurilor reduse.

Revenind la ideea morții termice a universului, prin creșterea continuă a entropiei, se vede încă o dată că ea nu are sens.

*Universul fiind un sistem înfinit, orice stare a lui nu este dictată de o probabilitate, ci de o înfinitate de probabilități.*

*Exemple numerice 1) O mașină termică lucrează între temperaturile absolute de  $700^\circ\text{K}$  și  $300^\circ\text{K}$ . Din randamentul teoretic ea nu realizează decât 30%. Care este randamentul real?*

Randamentul ideal ar fi trebuit să fie

$$\frac{T_1 - T_2}{T_1} = \frac{700 - 300}{700} = 0,57 = 57\%.$$

iar randamentul real va fi

$$0,57 \cdot 0,3 = 0,17 = 17\%.$$

*2) Această mașină consumă pe oră 150 kg de cărbuni, cu puterea calorifică de 7 500 kcal/kg. Ce energie debitează în acest timp, dacă sistemul de încălzire transmite cazanului numai 10% din căldura de ardere?*

În timp de o oră se vor elibera, prin ardere,

$$Q = 150 \cdot 7\,500 \approx 1\,125\,000 \text{ kcal},$$

iar cazanul va lua

$$Q_1 = 1\,125\,000 \cdot 0,1 = 112\,500 \text{ kcal}.$$

Această cantitate de căldură echivalează cu lucrul mecanic

$$A = JQ_1 = 426 \cdot 112\,500 \approx 4,8 \cdot 10^7 \text{ kgm}.$$

Cu randamentul de 17%, lucrul mecanic util va fi deci

$$A_u = 4,8 \cdot 10^7 \cdot 0,17 \approx 8,15 \cdot 10^6 \text{ kgm}.$$

## 3) Care este puterea mașinii în CP?

Intr-o oră sînt 3600 s, iar 1 CP reprezintă 75 kgm/s. Prin urmare

$$P = \frac{8,15 \cdot 10^6}{3600 \cdot 75} \approx 310 \text{ CP.}$$

4. Un gaz perfect se destinde de la 150 kgf/cm<sup>2</sup>, la 1 kgf/cm<sup>2</sup>. Care este variația entropiei?

Relația

$$\Delta S = R \cdot \ln \frac{V_2}{V_1} = R \cdot \ln \frac{p_1}{p_2}$$

ne dă

$$\Delta S = 8,31 \cdot 10^7 \cdot 2,3 \cdot \log_{10} \frac{150}{1} = 4,17 \cdot 10^8 \text{ erg/grd} \cdot \text{mol.}$$

Această variație fiind pozitivă, înseamnă că entropia crește, prin trecerea de la o stare mai puțin probabilă, la alta mai probabilă.

5) Cu cit variază entropia unui gram de apă, încălzită între 0°C și 100°C.

Avem atunci, notînd căldura specifică cu  $c$  și o variație infinitesimală a temperaturii cu  $dT$ ,

$$dQ = c \cdot dT,$$

și creșterea de entropie va fi

$$\Delta S = \int_{T_1}^{T_2} \frac{c \cdot dT}{T} = c \cdot \ln \frac{T_2}{T_1}.$$

Inlocuind valorile numerice și ținînd seamă că  $c=1$ , avem

$$\Delta S = 1 \cdot 2,3 \cdot \log_{10} \frac{373}{273} = 0,31 \text{ cal/g} \cdot \text{grad} = 1,3 \cdot 10^7 \text{ erg/g} \cdot \text{grad.}$$

*Observație.* Pentru cei ce vor să se familiarizeze cu domeniile teoriei cinetice și termodinamicii, recomandăm:

*Prof. P. Bogdan*, Teoria cinetică, Editura Casei Școalelor, București, 1929.

*Prof. P. Bogdan*, Termodinamica, Editura Viața Românească, Iași, 1924.

*Prof. Ștefan Procopiu*, Termodinamica, Editura Lab. de Chimie organică, Universitatea din Iași, 1948.

## CAPITOLUL XIX

## NOȚIUNI DE METEOROLOGIE

## A. Noțiuni generale

§ 159. **Introducere.** Se știe că aerul atmosferic se compune din azot, oxigen, vapori de apă și o cantitate mică de ozon, bioxid de carbon și gaze nobile.

Bioxidul de carbon nu intră în compoziția atmosferei decît în proporție foarte redusă și nu-l găsim decît în păturile inferioare. Totuși, fiindcă se bucură de însușirea de-a absorbi căldura radiantă, rolul lui în natură are o importanță climatologică deosebită.

Se știe că Pămîntul radiază căldură și tinde să se răcească. Bioxidul de carbon absoarbe această căldură, în proporție destul de mare și ridică temperatura atmosferei care, la rîndul ei, o radiază înapoi spre Pămînt.

El captează de asemenea radiațiile solare și servește ca moderator.

Același rol protector îl au și vaporii de apă. Oricine știe că gerul se înăsprește pe timp senin.

*Svante Arrhenius*<sup>1)</sup> a calculat că, dacă bioxidul de carbon ar dispăre din atmosferă, temperatura medie pe Pămînt ar scădea cu 17°.

Ca urmare, vaporii de apă s-ar condensa, la rîndul lor, și astfel ar dispăre și al doilea înveliș de protecție.

Nu se cunoaște exact repartiția presiunilor, în regiunile înalte ale atmosferei, fiindcă formula barometrică nu se aplică decît aproximativ și în regiunile mai joase.

Măsurînd, înălțimea la care meteoriții devin incandescenti, prin frecare cu aerul, găsim 70—80 km, dar auroarele polare au loc cel mai des la înălțimi de 100—120 km, iar uneori le întîlnim chiar la 700—800 km.

Ele se datoresc descărcărilor electrice, provocate de radiațiile solare și cum asemenea descărcări nu se pot produce la presiuni

<sup>1)</sup> *Svante Arrhenius* (1859—1927), fizician suedez, fost profesor la Stockholm. Premiu Nobel (1903).



prea mici, înseamnă că atmosfera se întinde cel puțin pînă pe la 2 000 km. Evident, nu se poate vorbi de o limită precisă, fiindcă trecerea presiunii către zero este numai treptată.

Pentru păturile mai joase, avem la dispoziție numeroase metode de cercetare: ascensiuni pe munte, în balon sau avion, baloane captive, zmeu și mai ales *baloanele-sondă*, care duc aparate speciale de măsură și pot chiar să transmită automat rezultatele, prin mici posturi de radio.

Cu ele s-a putut atinge înălțimea de 40 km.

Cercetările au arătat că, în general, temperatura scade cu înălțimea.

Pînă pe la 3 000 m, scăderea este destul de neregulată și uneori pot să apară chiar inversiuni. Mai sus ea devine totuși destul de uniformă și, în regiunile noastre, temperatura scade cu aproximativ  $0,6^{\circ}\text{C}$  pe fiecare sută de metri.

Scăderea continuă pînă pe la 11 km, unde găsim aproximativ  $-55^{\circ}\text{C}$ . Urmează apoi o creștere de cîteva grade, pînă pe la 12 km, după care începe să scadă mai departe.

Între tropopauză și suprafața Pămîntului se află troposfera, iar deasupra este stratosfera.

Zona între 11 și 12 km, unde apare inversiunea gradientului de temperatură, se numește *tropopauză*.

Dedesubtul ei se găsește *troposfera*, unde vînturile de tot felul plimbă diferitele specii de nori.

Deasupra se află *stratosfera*, numită așa fiindcă se credea înainte că nu are decît curenți orizontali.

În regiunile ecuatoriale, tropopauza apare mult mai sus, pe la 17 km și corespunde temperaturii de  $-85^{\circ}\text{C}$ .

Datele citate reprezintă numai valorile medii. În realitate apar diverse variații, atît accidentale, cît și periodice, legate mai ales de schimbările de anotimp.

Cunoștințele noastre despre stratosferă sînt destul de vagi. Ele vor putea fi desigur completate, prin noile metode de cercetare cu proiectilele-rachetă.

Studiul fenomenelor de absorbție a radiațiilor solare a arătat că, pe la 30 km înălțime, ar exista o pătură bogată în ozon. E probabil că aici trebuie să apară o creștere importantă de temperatură.

Această pătură formează un înveliș de protecție, fiindcă absoarbe cea mai mare parte din radiațiile ultraviolete ale Soarelui, care altfel ar fi dăunătoare pentru toate vietățile de pe Pământ.

Pentru cercetarea regiunilor foarte înalte, dincolo de 100 km, un ajutor prețios ni-l dau fenomenele de propagare a undelor electromagnetice, care suferă acolo diferite reflexii.

Pentru înălțimile mijlocii, folosim de asemenea, ca metodă de cercetare, studiul fenomenelor de reflexie ale sunetului care, în anumite condiții, revine înapoi spre Pământ.

Ansamblul fenomenelor care se petrec în atmosferă este foarte complex. El face obiectul *fizicii atmosferice*.

Meteorologia își limitează preocupările mai ales la troposferă, unde iau naștere vânturile, norii, ploaia, ceața etc., pe care le numim *meteori*.

Din punct de vedere științific, cercetarea lor este deosebit de importantă. Ea folosește atât măsurările directe, cât și calculul termodinamic.

Din punct de vedere practic, o realizare pe scară largă este *prevederea vremii*.

Inceputurile unui studiu metodic, de ansamblu, sînt de dată relativ recentă, fiindcă meteorologia științifică împlinește abia o sută de ani de existență, cu toate că observarea locală a meteo-ri-  
lor datează de mii de ani.

*Constanta solară.* Toate fenomenele meteorologice sînt legate de energia pe care ne-o trimite Soarele.

Constanta solară, sub incidența normală, este de două calorii mici pe minut și centimetru pătrat.

Determinările directe au arătat că, sub incidența de 90°, Pământul primește de la Soare aproximativ două calorii mici pe minut și centimetru pătrat.

Aceasta este așa-numita *constantă solară*.

Cînd razele cad înclinat, cantitatea de căldură, primită pe o suprafață dată, variază proporțional cu sinusul unghiului de înclinație și devine nulă, la o incidență tangențială.

O parte din această căldură este reținută de atmosferă, iar restul ajunge pînă la sol.

Un calcul simplu ne arată că, dacă ne referim la căldura ce ar cădea, sub incidența normală, pe kilometrul pătrat și ne închipuim că ar putea fi transformată integral în lucru mecanic, am obține aproape 2 000 000 CP.

Un alt calcul ne duce la concluzia că, în zona tropicală, căldura solară ar putea să topească, într-un an, o pătură continuă de gheață, groasă de 2 m.

La rîndul lui, Pămîntul radiază căldură în spațiu și tinde să se răcească.

Intr-o regiune oarecare de pe glob, temperatura scade sau crește, după cum căldura primită e mai mică sau mai mare decît aceea pierdută.

Fenomenele meteorologice sînt legate de diversele transformări ale energiei naturale.

Ele privesc în special aerul și vaporii de apă, unde parametrii de transformare sînt presiunea, volumul și temperatura.

Considerînd ca variabile independente temperatura și presiunea, le vom cerceta mai jos pe fiecare în parte.

**§ 160. Temperatura și variațiile ei.** Determinarea temperaturii aerului cere anumite precauțiuni. Termometrul nu trebuie să stea în bătaia soarelui, nici prea aproape de sol sau de clădiri, ca să nu primească de acolo încălziri suplimentare, prin radiație.

Din motive numeroase, pe care nu le mai arătăm aici, folosirea termometrelor cu alcool nu este indicată. Vom întrebuița deci, de preferință, termometrele cu mercur.

De obicei se construiesc adăposturi meteorologice speciale, din scînduri, bine ventilate și așezate la înălțimea de 3—4 m de la pămînt (fig. 364).

În unele stațiuni meteorologice se măsoară și temperatura de la suprafața solului, în plin soare. În cazul acesta, va trebui să acoperim termometrul cu un strat subțire de pămînt.



Fig. 364. Adăpost meteorologic.

*Măsurarea temperaturii, direct în bătaia soarelui, nu are nici un sens, fiindcă indicațiile variază după construcția termometrului.*

Se folosesc de asemenea termometre înregistratoare, care însciu variația temperaturii printr-o curbă continuă. Ele se numesc *termografe*.

Observațiile arată că, de obicei, temperatura începe să crească îndată după răsăritul soarelui, atinge un maximum pe la orele 14 și după aceea scade iarăși.

Dacă o măsurăm din oră în oră, timp de 24 de ore și suma rezultatelor obținute o împărțim prin 24, obținem *temperatura medie a zilei*.

Tot așa, dacă sumăm aceste medii, în curs de o lună și împărțim rezultatul cu numărul zilelor, avem *temperatura medie lunară*.

În sfârșit cele 12 medii, din cursul unui an, dau, pe aceeași cale, *temperatura medie anuală*. Cu ajutorul ei, după un timp mai îndelungat, putem calcula *temperatura medie a locului*.

O metodă simplă, pentru determinarea expeditivă a temperaturii medii anuale a locului, este să măsurăm fie temperatura izvoarelor, fie temperatura într-o pivniță adincă.

**Temperatura izvoarelor este aproximativ egală cu temperatura medie anuală a locului.**

Aceste temperaturi sînt aproximativ constante, în tot timpul anului și aproximația obținută este destul de bună.

Tabela de mai jos ne arată media temperaturilor lunare, într-un interval de douăzeci de ani, la Iași.

ianuarie	—4,2°	mai	+16,3°	septembrie	+16,3°
februarie	—1,6°	iunie	+19,3°	octombrie	+10,4°
martie	+3,2°	iulie	+21,6°	noiembrie	+ 3,4°
aprilie	+9,6°	august	+21,1°	decembrie	+ 1,3°

*Media anuală*, în acest interval, a fost de +9,5°C.

Temperatura medie a unei regiuni este influențată de numeroși factori dar mai ales de următorii:

1. *Latitudinea geografică*. Ea dictează de asemenea variațiile temperaturilor medii lunare. La ecuator, unde zilele sînt mereu egale cu nopțile, diferențele de la lună la lună sînt aproape neglijabile.

2. *Altitudinea*. Scăderea de temperatură este de aproximativ 0,6° pe suta de metri. Această variație depinde însă de

foarte mulți factori: poziție geografică, anotimp, vânturi dominante, umiditate etc. Ea poate să varieze și de la o zi la alta. De aceea valoarea citată nu e decât o simplă indicație.

**3. Vecinătatea mării.** Masa enormă de apă, a cărei căldură specifică este mai mare decât a celorlalte corpuri, devine un acumulator de căldură și regularizează temperatura.

Totodată evaporarea intensă din timpul verii domolește urșița, iar ceața din timpul iernii împiedică răcirea prin radiație.

S-a crezut multă vreme că temperatura coastelor apusene ale Europei ar fi influențată de *Curentul Golfului*, un fel de fluviu de apă caldă, care vine din Golful Mexic și se pierde în regiunile arctice.

Cercetările sistematice au arătat însă că nu e vorba de un *fluviu*, ci de o revărsare, pe suprafață imensă, a apelor tropicale.

Această revărsare nu atinge în toți anii și în toate lunile aceeași latitudine. Uneori se oprește în dreptul Islandei, alteori depășește cercul polar.

Ea depinde de intensitatea marcelor, de periodicitatea petelor solare, de direcția vânturilor și, probabil, de alte cauze.

**4. Alte influențe** pot fi, de pildă, natura vegetației, natura solului și a reliefului dimprejur, posibilitățile de ventilație, vânturile dominante etc.

**Linii izoterme.** Dacă unim, pe o hartă, punctele geografice cu temperaturi egale, obținem niște curbe, care se numesc *izoterme*.

Linii izoterme leagă punctele geografice cu aceeași temperatură.

La trasarea lor putem considera temperaturile momentane, diurne, lunare sau anuale.

Fig. 365 arată izotermele anuale ale globului. Dacă temperatura medie a unei regiuni n-ar depinde decât de latitudine, aceste izoterme ar fi paralele geografice.

În emisfera sudică și în Oceanul Pacific, ele urmează în adevăr aceste direcții, cu abateri destul de mici.

În schimb, în emisfera nordică, unde găsim continente întinse, izotermele sînt mult mai neregulate.

Izoterma cu temperatura anuală cea mai ridicată ( $+28^{\circ}\text{C}$ ) este foarte apropiată de ecuatorul geografic. Ea se numește *ecuator termic*.

Din aceeași figură se vede că regiunea cu temperatura anuală cea mai joasă nu înconjură polul geografic, ci o parte din nordul Siberiei.

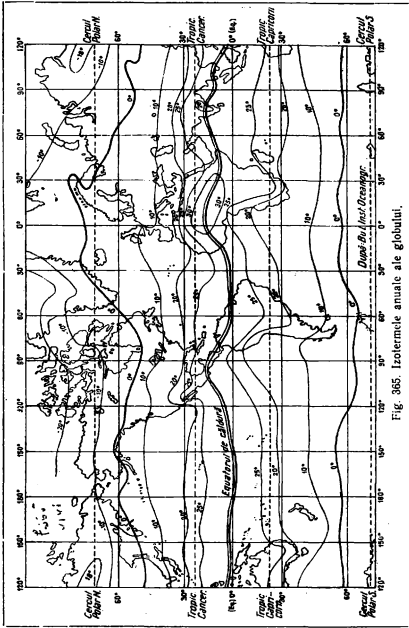


Fig. 365. Izotermele anuale ale globului.

De asemenea se vede că temperaturile medii anuale, din regiunile tropicale, sînt mai ridicate pe continent decît pe ocean, pe cînd, în regiunile temperate, situația se inversează.

În sfîrșit, mai putem constata că, sub latitudine egală, nordul Americii are o climă mai friguroasă decît Europa.

Faptul se datorește curentului rece al Labradorului și revărsării de apă caldă, pe care rotația globului o deviază spre răsărit.

Temperaturile extreme le găsim în Sahara ( $+57^{\circ}\text{C}$ ) și la *Verhoiansk*, în nordul Siberiei, unde s-au înregistrat  $-73^{\circ}\text{C}$ .

Această regiune se numește de altfel *polul frigului*.

**§ 161. Variațiile presiunii atmosferice.** Determinările, făcute cu barometrul, nu sînt valabile decît cu anumite corecții.

Ele trebuie să fie reduse la nivelul mării și la temperatura de  $0^{\circ}\text{C}$ .

În observatoare se întrebuițează și sistemul înregistrării prin curbe continue, făcute cu *barograful*, dar aceste curbe ne dau numai o simplă indicație aproximativă.

Presiunea atmosferică poate să sufere două feluri de variații:

1. *Variații periodice*. Se constată că există o mică variație orară, cu maxime și minime, care se succed alternativ, din șase în șase ore.

Presiunea barometrică are maxime și minime, care se succed din șase în șase ore.

Primul minim apare obișnuit pe la orele 4, iar următorul pe la orele 16.

Între ele vin maximele, la orele 10 și orele 22.

Aceste variații sînt mai mari în zonele tropicale și destul de mici în zonele temperate.

Peste dinsele se suprapun variațiile anuale, mai ales pe continent, unde barometrul este, de obicei, mai ridicat iarna decît vara.

Pe continent, barometrul este mai ridicat în timpul iernii.

Aceste variații se datoresc temperaturii ridicate, care dilată aerul și-i micșorează densitatea.

*Izobare*. Dacă, după ce facem corecțiile de temperatură și de altitudine, unim între ele punctele geografice cu aceeași presiune atmosferică, obținem niște curbe continue, care se numesc *izobare*.

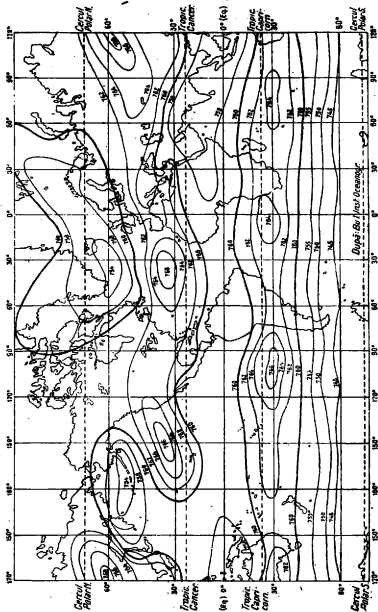


Fig. 366. Izobarele anuale ale globului.



**Izobarele unesc punctele cu aceeași presiune atmosferică.**

*diurne sau orare*, adică raportate la observațiile făcute simultan, la o oră anumită.

Fig. 366 ne arată forma izobarelor anuale, pe toată suprafața globului.

Din ea se vede că există zone, în care presiunea atmosferică se menține la o medie anuală sub 760 mm col. Hg.

**Izobarele anuale ne arată existența unor zone cu cicloane și anticicloane permanente.**

Izobarele pot să cuprindă valori medii sau valori momentane.

Ele vor fi deci *anuale, lunare*,

Asemenea zone, cu presiune redusă, se numesc zone de depresiune permanentă sau *cicloane permanente*.

Le întâlnim în special pe oceane, în preajma ecuatorului, sau la latitudini mai mari de 60', cum și în regiunile continentale cu temperaturi foarte ridicate, de exemplu în Sahara.

Punctul unde presiunea atmosferică atinge valoarea cea mai mică se numește *centru de depresiune*.

De asemenea, există zone, în care presiunea medie anuală este mai mare de 760 mm col. Hg.

Le găsim mai ales pe oceane, în preajma latitudinii de 30°.

**Centrele de presiune și de depresiune se numesc centre de acțiune atmosferică.**

Aceste zone, cu presiune permanent ridicată, se numesc *anticicloane permanente*, iar centrul lor este un *centru de presiune*.

Centrele de presiune și de depresiune se numesc *centre de acțiune atmosferică*.

Pentru fenomenele meteorologice din Europa, rolul important îl au anticicloanele permanente din *Azore* și din *Siberia* și cicloul permanent din regiunea *Islandei*.

**2. Variațiile neregulate.** Izobarele anuale sau lunare nu dau decât situațiile cicloanelor și anticicloanelor care se mențin timp mai îndelungat, într-o regiune dată, fără să-și schimbe locul.

Există însă numeroase alte centre de acțiune atmosferică, ce apar, la un moment dat, într-un punct geografic, se mută din loc în loc și apoi dispar.

Viteza lor de deplasare este, obișnuit, de 10—40 km/h.

Cercetările au arătat că mai toate schimbările vremii, de la o zi la alta, se datoresc acestor cicloane și anticicloane vagabonde.

**Cicloanele** aduc vreme rea. Ele coboară temperatura vara și o ridică iarna.

**Anticicloanele** au influență contrară.

*De obicei, cicloanele aduc vreme rea, cer acoperit; ploaie, vânt și umezeală.*

*Pe timp de iarnă, trecerea lor urcă temperatura, iar în timpul verii o coboară.*

*Anticicloanele aduc, din contra, cer senin, cu ger și îngheț în timpul iernii și arșiță, în timp de vară.*

De aceea, ca să putem prevedea schimbările vremii, este important să cunoaștem, în orice moment, situația atmosferei, într-o regiune cât mai întinsă.

Comparând izobarele și cercetând mișcarea centrelor de acțiune, putem prevedea schimbările vremii.

Stațiunile meteorologice principale cum este aceea de la *București*, primesc de câteva ori pe zi indicații telegrafice de la alte stațiuni mai mici și le comunică, la

rîndul lor altor stațiuni principale, din toată lumea, ca să servească la întocmirea *hărților meteorologice diurne*.

Comparând situația izobarelor, de la o zi la alta, putem prevedea, în oarecare măsură, drumul probabil urmat de centrele de acțiune și schimbările vremii, în următoarele 24 de ore.

Vom reveni mai târziu asupra acestei probleme.

§ 162. **Vinturile.** Ele se caracterizează prin intensitate și direcție. Intensitatea depinde de viteza deplasării aerului, care se măsoară cu *anemometrul*.

Dintre diferite modele posibile, cel mai întrebuintat este *anemometrul cu cupe*, reprezentat în fig. 367.

Presiunea aerodinamică fiind mai mare pe partea concavă, decît pe cea convexă, sistemul capătă o mișcare de rotație, care se transmite unui contor de rotații.

Gradarea se face fie prin comparație, fie în mici tunele aerodinamice, unde aerul are o viteză cunoscută.

Există și *anemografe*, care înscriu variațiile vitezei, printr-o curbă continuă.

În lipsă de aparate speciale, putem aprecia viteza vîntului prin efectele pe care le produce.

Rezultatele se exprimă atunci printr-o scară convențională, în *grade* sau *trepte*.

Tabela de mai jos cuprinde vitezele și denumirile fiecărei trepte.

Tabela 14

Tăria vântului	1	2	3	4	5	6
Viteza în m/s	3	6	10	14	20	40
Felul vântului	Slab	Mijlociu	Tare	Furtună	Vijelle	Uragan
Efecte	Mișcă frunzele copacilor	Mișcă crengile mici	Mișcă crengile mari	Indoale copacii mici	Rupe crengile copacilor	Distruge clădiri și scoate copacii din rădăcină

Presiunea aerodinamică, exercitată pe obstacole, ascultă de legile cunoscute. Forța dezvoltată depinde de forma profilului și de suprafața secțiunii maxime, perpendiculare pe direcția mișcării.

La vitezele foarte mici, ea este proporțională cu viteza, iar la vitezele mai mari cu pătratul ei.

Furtunile smulg uneori acoperișurile clădirilor, ca și când ar exista o presiune dinăuntru spre exterior.

Această presiune apare, în adevăr, fiindcă în dosul oricărui obstacol se produce un vid parțial, așa cum ne arată legile de curgere ale fluidelor. Ferestrele și ușile pot astfel să fie trase în afară, în loc să fie împinse înăuntru.

Direcția vântului se determină, în stațiunile meteorologice, cu *girueta*. Asemenea aparate, de o construcție primitivă, le vedem adesea instalate și pe casele de locuit, mai ales la țară (fig. 368).

O figură de tablă, mobilă în jurul unei axe verticale, se orientează așa ca să opună minimum de rezistență la vânt.



Fig. 367.  
Anemometru  
cu înregi-  
strator.

Pe aerodroame există totdeauna un sac lung de pinză, legat cu o funie, de un stîlp, la nivelul solului.

Vîntul umflă sacul și-l trage în direcția lui. Acest dispozitiv simplu arată pilotului direcția cea mai favorabilă de aterizare, care trebuie să fie împotriva vîntului.



Fig. 368.  
Gîrueta.

Mijlocul cel mai simplu e să udăm degetul și să-l ridicăm în bătaia vîntului. Răcirea mai intensă, prin evaporare, ne arată direcția de unde bate.

Vînturile sînt curenți de convecție, ce iau naștere din cauza diferențelor de temperatură. O întreagă regiune atmosferică se comportă ca

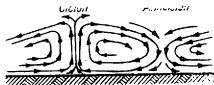


Fig. 369. Vînturile în regiunile ciclonice și anticiclonice.

o mașină termică imensă, care transformă căldura în energie mecanică.

În locurile mai calde, aerul se dilată și se urcă spre păturile superioare ale atmosferei, de unde se revarsă peste regiunile mai reci (fig. 369).

În locul lui, rămîne un spațiu cu presiune redusă și astfel ia naștere o *zonă de depresiune*.

Ca să umple golul, vor veni atunci, pe la suprafața pămîntului, curenți din regiunile vecine.

În felul acesta, *într-o regiune ciclonică, avem totdeauna curenți de aer care merg de jos în sus.*

Intr-un ciclon apar curenți ascendenți, iar în anticicloane curenți descendenți.

Intr-un anticiclon, lucrurile se petrec invers.

La suprafața pămîntului găsim vînturi care tind să se depărteze de centru, pe cînd în regiunile superioare vînturile se apropie de centru.

*Pe direcția verticalei, mișcarea aerului se face atunci de sus în jos.*

Este deci important să determinăm viteza și direcția vântului nu numai la suprafața pământului, dar și în regiunile înalte.

Aceste determinări se fac, în toate stațiile meteorologice principale, cu baloane-sondă, pe care le urmărim de jos cu teodolitul.

*Influența rotației Pământului.* Să ne închipuim o zonă de depresiune, în care, pentru simplificare, vom presupune că izobarele au forma unor cercuri concentrice (fig. 370).

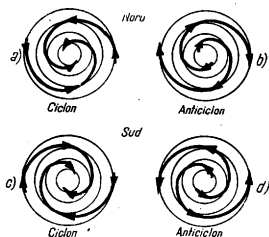


Fig. 370. Vinturile parcurg spirale, în jurul centrelor de acțiune.

La suprafața pământului vânturile vor tinde către centrul ei, dar mișcarea de rotație a globului le va devia, după niște spirale, în sensul acelor ceasornicului, pentru emisfera sudică, și în sens invers acelor ceasornicului, pentru emisfera nordică.

Din examinarea figurii se vede imediat că un observator, care stă cu fața în bătaia vântului, are centrul depresiunii în dreapta, dacă se află în emisfera nordică, și în stînga, dacă se află în emisfera sudică.

În jurul centrelor de acțiune, vânturile circulă în spirală. Un observator care stă cu fața la vânt are depresiunea în dreapta, pentru emisfera nordică, și în stînga, pentru cea sudică.

În jurul unui anticiclon, apar de asemenea vânturi în spirală, dar sensurile se inversează.

Am văzut că pe Oceanul Atlantic există un ciclon permanent, la latitudinea de  $60^\circ$  și un anticiclon permanent la latitudinea de  $30^\circ$ , în jurul insulelor Azore.

Fig. 371 ne arată vânturile dominante pe Atlantic.

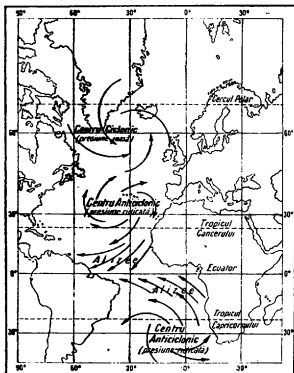


Fig. 371. Vânturile dominante pe Oceanul Atlantic.

Din examinarea ei înțelegem ușor originea vânturilor alizee, care suflă din regiunile mai temperate, spre ecuator.

Ele sînt acelea care l-au dus pe Columb, din Spania în America Centrală.

În regiunile înalte, alizeele sînt compensate de *contraalizee*, care circulă în sens contrar.

Afară de vînturile permanente, găsim și *vînturi periodice*.

Exemplul tipic ni-l dau *musonii* din India, care suflă vara de la mare spre uscat și iarna de la uscat la mare. Ei sînt aceia care aduc aerul umed și întrețin ploile torențiale, aproape neîntreprute din timpul verii.

Un alt exemplu sînt *brizele*, care suflă ziua de la mare spre uscat, iar noaptea de la uscat spre mare.

Uneori, pentru o cădere barometrică de 30—40 mm zona de depresiune se limitează la numai 200—300 km în diametru.

Iau naștere atunci vînturi excepțional de violente, din cauza gradientului mare de presiune.

Aceste vînturi, cunoscute sub numele de *tifoni* bîntuie mai ales în Marea Chinei și în regiunile tropicale.

Alteori zona de depresiune poate să fie și mai îngustă, redusă la cîteva sute de metri. Se formează atunci așa-numitele *trombe*, în care aerul capătă o mișcare foarte rapidă de rotație, în jurul centrului, care se mută mereu din loc în loc.

Curenții ascendenți sînt atît de puternici, încît ajung să ridice în aer obiecte destul de grele. Cînd apar pe mare, se formează o coloană lichidă, cunoscută sub numele de *trombă marină*.

Trombele sînt cunoscute și în regiunile noastre, dar nu ating nici pe departe amploarea din țările tropicale.

Printre vînturile neregulate, unele produc efecte atît de caracteristice, încît au căpătat și nume speciale. Sînt destul de bine cunoscute urmările *crivăfului*, care suflă de la nord-est și ale *austrului*, care suflă de la vest.

§ 163. **Norii și ploaia.** Formarea și evoluția norilor sînt legate, în primul rînd, de sensul curenților verticali.

Curenții ascendenți produc destindere adiabatică și condensarea vaporilor, iar cei descendenți au acțiune inversă.

Într-o depresiune, curenții ascendenți duc aerul umed spre regiunile cu presiune mai mică.

Rezultă astfel o scădere de temperatură, prin destindere adia-

batică, iar vaporii se condensează și formează norii.

Condensarea se va produce cu atât mai jos, cu cât aerul transportat este mai aproape de saturație.

De multe ori însă aceiași curenți ascendenți împiedică picăturile să cadă, sub formă de ploaie, mai ales dacă sînt prea mici.

Vînturile din regiunile superioare, care se depărtează de centrul depresiunii, le transportă în altă regiune, cu presiunea ridicată. Aici curenții de aer merg de sus în jos, de unde comprimarea adiabatică, încălzirea și dispariția picăturilor formate.

Apariția norilor a pus în libertate căldura de condensare a vaporilor. Dacă măcar o parte din picături au căzut pe pămînt, comprimarea adiabatică începe de la o temperatură mai ridicată și aerul sosește în păturile inferioare mai cald decît a plecat.

Mișcarea descendentă este atunci parțial împiedicată și presiunea atmosferică, în regiunea anticiclonică, tinde să scadă ceva mai repede.

Fenomenul de destindere adiabatică poate fi produs nu numai de curenții ascendenți din depresiuni.

Dacă vîntul aduce aer umed și înfilnește o regiune muntoasă, urcarea pantei duce de asemenea la o destindere adiabatică și la condensarea vaporilor.

Acesta e motivul pentru care, în regiunile muntoase, ploile sînt mai dese decît la șes. Ele se numesc *ploi de relief*.

Pe versantul opus, aerul coboară panta, după ce ploile l-au descărcat de umezeală. Comprimarea adiabatică îl aduce astfel în vale mai cald decît înainte de a trece munții.

**Ploile de relief se datoresc destinderii adiabatice a aerului umed care urcă povișul.**

În Bavaria, vîntul *Föhn*, care a trecut Alpii, este atât de cald, încît usuoă vegetația.

Ploile de relief sînt excepțional de abundente, în anumite regiuni. În *Himalaya* și în *Hawai* ele aduc peste 12 m de apă pe an.

Condensări de vaporii apar, de asemenea, în spatele unui pisc bătut de vînt, din pricina destinderii și vidului parțial, care se produce în dosul unui obstacol, la curgerea turbulentă.

Așa se explică formarea norului, ce pare că izvorăște din viriul muntelui.

*Clasificarea norilor* a fost făcută, pentru prima dată, abia pe la 1800 și atunci numai pe bază *morfologică*, adică după forma lor.



Dăm mai jos tipurile principale adăugînd și cîteva caracteristici:

a) *Cirus*. Acești nori au aspectul fulgilor de pasăre. Ei plutesc pe la 8 000—12 000 m înălțime și sînt formați din ace de gheață.

Uneori sînt atît de străvezii, încît nu pot fi văzuți în timpul zilei, dar noaptea împrăstie lumina lunii și dau în jurul ei un



Fig. 372. Nori cirus sus și cumulus jos.

cerc luminos și colorat ca un curcubeu, pe care-l numim *halo*, iar în popor *țarcălan*.

Fig. 372 ne arată aspectul lor.

b) *Stratus* (fig. 373) se pot vedea mai ales toamna, la apusul soarelui, ca niște fișii orizontale, colorate în albastru închis.

Înălțimea lor obișnuită este între nivelul solului și 800 m. Ceața nu e decît un *stratus*, la înălțime mică.

Uneori ajung pînă pe la 6 000 sau 7 000 m. Îi numim atunci *altostratus*.



Fig. 373. Nori stratus.

c) *Cumulus* (fig. 374) sînt nori albi, care, priviți de jos, seamănă cu lîna scărmanată.

Înălțimea lor obișnuită e de aproximativ 2 000 m, dar uneori îi găsim și la peste 7 000 m. Atunci se numesc *allocumulus*.

Cîteodată plutesc izolați, pe timp frumos, și se înmulțesc treptat pînă către seară, iar apoi dispar. Formarea lor se datorește curenților ascendenți locali, ce apar prin încălzirea excesivă a păturilor, în contact cu solul.

În popor se numesc atunci *oife*.



Fig. 374. Nori cumulus.

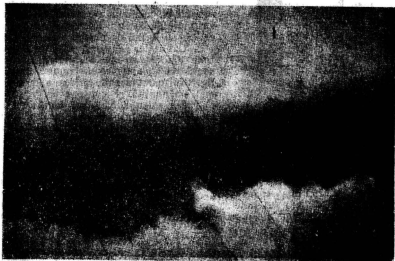


Fig. 375. Nori nimbus.

d) *Nimbus* (fig. 375) sînt norii negri și compacți, care plutesc pe la 600—1 000 m, sau ceva mai sus.

De multe ori norii au aparențe care amintesc două sau mai multe specii diferite.

Îi numim atunci, după cazuri: *cirrostratus*, *cirocumulus*, *stratocumulus*, *cumulonimbus* și așa mai departe.

Clasificarea internațională, făcută de o comisie specială, a păstrat denumirile, dar a luat mai ales în seamă comportarea diferitelor tipuri, în ce privește precipitațiile.

Atlasul internațional, apărut în 1932, dă numeroase forme tipice de nori, arată felul cum s-au născut și înălțimile medii la care plutesc.

Uneori apar, la înălțimi de 70—80 km *nori de noapte* luminoși, care se mișcă cu viteze de cîteva sute de km/h.

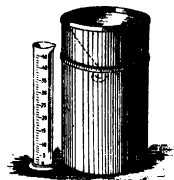


Fig. 376. Pluviometrul.

Mai jos dăm media precipitațiilor lunare la Iași, într-un interval de 20 de ani:

ianuarie	28,1 mm	mai	55,9 mm	septembrie	46,8 mm
februarie	25,1 mm	iunie	77,3 mm	octombrie	34,3 mm
martie	37,7 mm	iulie	61,0 mm	noiembrie	30,9 mm
aprilie	43,5 mm	august	48,9 mm	decembrie	21,8 mm

Media anuală este de 534 mm.

Ploile foarte intense și de durată scurtă se numesc *averse*. Cea mai mare aversă, cunoscută pînă acum în toată lumea, a fost aceea de la Curtea de Argeș, din 1889, cînd au căzut 25 cm de ploaie în 20 min.

De asemenea apar, atît noaptea cit și ziua, nori sidefii, pe la înălțimea de aproximativ 25 000 m.

Fenomenele acestea sînt rare și pînă acum nu se știe din ce sînt făcuți acești nori, nici de unde provin.

*Ploaia.* Norii sînt o suspensie coloidală de picături extrem de mici de apă.

Aceste picături se pot aglomera prin *coagularea* coloidului și, atunci, nemaifiind susținute de curenții ascendenți, ajung să cadă, sub formă de ploaie.

Cantitatea de apă, căzută într-un timp dat și într-un loc anumit, se măsoară cu *pluviometrul*, reprezentat în fig. 376, care face de prisos o descriere mai amănunțită.

S-a calculat că, dacă toată apa de ploaie, căzută într-un an, s-ar împrăștia într-o pătură uniformă pe tot globul, ar forma o pătură de 90 cm înălțime.

*Zăpada* este apa înghețată, în formă de cristale hexagonale, așa cum arată fig. 377. Ea acoperă pământul cu un strat izolator, care apără plantele de îngheț.



Fig. 377. Fulgi de zăpadă.

*Măzăricea* este formată din fulgi de zăpadă aglomerați și lipiți între ei.

Ea cade mai des toamna, decât primăvara.

*Grindina* este formată din bulgări aproape sferici de gheață, ce pot să atingă peste un kilogram.

Dacă tăiem un bob de grindină, constatăm că este format din pături concentrice suprapuse, ceea ce implică o serie de depuneri succesive.

Ca să o poată menține în aer, pînă la maturitate, este probabil că, în zona de depresiune, în care se formează grindina, curenții ascendenți au o intensitate excepțională.

De asemenea e probabil că fiecare bob culege cantități succesive de apă, care se găsea în stare de supratopire.

Grindina cade mai ales primăvara și vara, de obicei în timpul zilei și foarte rar noaptea.

Ea este precedată aproape totdeauna de o furtună.

*Roua* este distilarea vaporilor din atmosferă, în timpul nopții, cînd pământul se răcește mai repede decât aerul.

*Bruma* este roua înghețată. Fenomenul apare toamna și primăvara, uneori chiar în luna mai, dar numai în nopțile senine, ca și roua.

Se poate împiedica formarea ei, folosind o pătură izolantă de fum. Vîntul împiedică de asemenea formarea de brumă.

*Poleiul* se formează prin înghețarea apei de ploaie, aflată în stare de supratopire. Cînd picăturile se ciocnesc de un obstacol, supratopirea încetează și solidificarea urmează aproape instantaneu.

Formarea picăturilor de apă, prin condensarea vaporilor, implică o stare de saturație, adică o coborîre de temperatură, suficientă ca să-i aducă în această stare.

Condiția nu e suficientă, fiindcă vaporii pot să rămână în forma *supra-saturată*.

Condensarea lor, în condiții normale, implică prezența în atmosferă fie a particulelor de praf sau de fum, fie a unor particule electrizate, adică a moleculelor de aer ce poartă cu ele o încărcare electrică. Aceste molecule se numesc *ioni*.

Aerul conține, obișnuit, un număr suficient de mare de ioni, în jurul cărora poate să apară condensarea, dar acest număr crește enorm, în urma descărcărilor electrice.

De aceea, primul ropot de ploaie începe vara mai totdeauna după primele fulgere.

§ 164. **Higrometrie.** Evaporarea continuă a apei mării, a lacurilor și a râurilor, transpirația plantelor și animalelor și evaporarea apei de ploaie aduc neconținut vaporii de apă în atmosferă.

În momentul când, într-o regiune oarecare, acești vaporii au ajuns la saturație, condensarea lor formează precipitațiile.

Se înțelege ușor că, deoarece presiunea maximă a vaporilor saturați crește cu temperatura, vom avea în atmosferă mai multă apă vara decât iarna.

Totuși, *probabilitatea formării precipitațiilor nu depinde atât de cantitatea absolută de vaporii din atmosferă, cât de gradul lor de saturație.*

Probabilitatea formării precipitațiilor nu depinde de cantitatea de vaporii, ci de gradul de saturație, definit prin raportul între tensiunea existentă și tensiunea maximă a vaporilor, la temperatura aerului.

Acesta definește *umiditatea relativă* sau *starea higrometrică* și se exprimă prin raportul între presiunea  $p_e$  a vaporilor existenți și presiunea lor maximă  $p_m$  corespunzătoare temperaturii momentane a mediului.

Așadar, dacă notăm starea higrometrică cu  $H$ , vom avea, prin definiție

$$H = \frac{p_e}{p_m} \% \quad (164.1)$$

**Higroscoape.** Din observațiile calitative, ne putem face o idee aproximativă despre gradul de umiditate al aerului, cu aparate simple, în care observăm schimbările suferite de anumite substanțe, în aer umed. Acestea sînt *higroscoapele*.

Sînt destul de cunoscute păpușile îmbrăcate cu rochițe impregnate cu anumite săruri de cobalt, care devin albastre la uscăciune și roze, la umezeală.

Părul sau strunele de vioară se lungesc în aerul umed și se scurtează în aer uscat, iar o strună, răsucită în spirală, se strânge sau se desface.

Aceeași însușire o are și fructul anumitor plante, cum este *Pliscul Cocorului* (*Erodium Gruinum*), care se termină cu o parte lemnoasă, răsucită ca o spirală.

Pe acest principiu se construiesc higroscopae de felul aceluia din fig. 378, în care personajul își pune gluga, când este vreme umedă.

Oarecare indicații ni le mai dau și umezirea sării, sau durerile reumatice.



Fig. 378. Higroscop.

În observațiile meteorologice ne servim însă de aparate mai precise, care ne dau cantitativ gradul de umiditate.

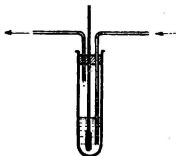


Fig. 379. Higrometru cu condensare.

Aceste aparate se numesc *higrometre*.

Vom descrie mai jos trei tipuri, întrebuințate curent:

1. *Higrometrul cu condensare* nu e decît o aplicație a principiului peretelui rece.

În forma cea mai simplă, îl putem construi dintr-o eprubetă, în care introducem o cantitate de eter și un termometru.

Prin eter trecem încet un curent de aer, cu o pară de cauciuc (fig. 379).

Evaporarea eterului produce răceală și, la un moment dat, vedem cum pereții eprubetei se aburesc, din pricina condensării vaporilor de apă din aer.

În acest moment am atins *punctul de rouă* și temperatura arătată de termometru este aceea la care cantitatea de vapori ar ajunge ca să asigure saturația.

**Higrometrele cu condensare coboară temperatura până când vaporii de apă din aer devin saturați.**

Notăm această temperatură și căutăm, în tabele speciale, care este presiunea corespunzătoare a vaporilor saturați.

Ea este, evident, egală cu presiunea existentă în aer, pe care am notat-o cu  $p_e$ .

Un al doilea termometru ne dă temperatura aerului și, din aceleași tabele, găsim presiunea vaporilor saturați, corespunzătoare, pe care am notat-o cu  $p_m$ .

Raportul lor reprezintă, prin definiție, starea higrometrică.

Tabela de mai jos ne dă, în milimetri de mercur, presiunile maxime ale vaporilor saturați, la diferite temperaturi, pentru nevoile acestui calcul.

*Tabela 15*

Temperatura, în grade	Forța elastică maximă, în mm Hg	Greutatea, în g la 1 m <sup>3</sup>	Temperatura, în grade	Forța elastică maximă, în mm Hg	Greutatea, în g la 1 m <sup>3</sup>
0	4,58	4,6	16	13,63	13,63
1	4,92	4,93	17	14,22	14,53
2	5,29	5,30	18	15,46	15,48
3	5,68	5,69	19	16,46	16,74
4	6,09	6,10	20	17,51	17,53
5	6,54	6,55	21	18,62	18,64
6	7,01	7,03	22	19,79	19,80
7	7,51	7,52	23	21,02	21,04
8	8,04	8,05	24	22,32	22,32
9	8,61	8,62	25	22,62	22,60
10	9,21	9,23	26	25,13	25,55
11	9,84	9,86	27	26,65	26,89
12	10,51	10,52	28	28,25	29,45
13	11,23	11,25	29	29,95	30,15
14	11,98	12,00	30	31,11	31,05
15	11,72	12,73			

**Exemplu.** La punctul de rouă, termometrul cufundat în eter ne arată +4°, iar temperatura aerului este de +20°.



Tabela de mai sus ne arată că la  $+4^{\circ}$  presiunea maximă a vaporilor de apă este de 6,09 mm, iar la  $+20^{\circ}$  este de 17,51 mm. Așadar, în acest caz, umiditatea este

$$\frac{6,09}{17,51} = 0,34.$$

Prin urmare nu avem decît 34% din cantitatea maximă de vapori, ce ar putea să o cuprindă aerul, la temperatura dată.

Pe un perete de sticlă transparentă, punctul de rouă este mai greu de observat, chiar în momentul apariției.

De aceea, în modelele practice, îi argintăm sau îi aurim, fiindcă, pe luciul metalului, ceața se vede mai bine.

2. *Higrometrul cu fir de păr* se bazează pe alungirea firelor de păr la umezeală.

Prin variația lungimii, se mișcă un ac indicator, în fața unui cadran gradat (fig. 380).

Gradația se face prin comparație cu alte tipuri de higrometre și se verifică punând aparatul sub un clopot de sticlă, în care se găsește un vas cu apă. El trebuie să arate atunci umiditatea de 100%.

Îl trecem apoi sub alt clopot, unde aerul este uscat cu clorură de calciu. Aici trebuie să ne arate 0%.

Pe același principiu se construiesc și *higrografe*, care înregistrează variația umidității, printr-o curbă continuă.

3. *Psichrometrul*. Viteza de evaporare a apei, în spațiu liber, este cu atât mai mare, cu cât aerul este mai uscat.

Dacă vom înfășura rezervorul unui termometru, într-o bucată de tifon, menținută permanent udă, el va arăta o temperatură mai scăzută decît un termometru uscat și cu atât mai scăzută, cu cât umiditatea aerului ar fi mai mică.

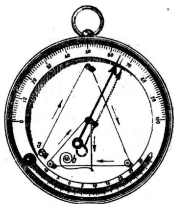


Fig. 380. Higrometrul cu fir de păr.

Pe acest principiu se bazează *psichrometrul*.

Cele două termometre sînt așezate vertical, pe un suport, iar tisonul, care înfășură unul din rezervoare, stă cufundat în apă, așa cum arată fig. 381.

Pentru calcularea stării higrometrice ne servim de relația

$$p_e - p_{mu} = Kb (t_1 - t_2), \quad (137.2)$$

în care:

$p_{mu}$  este presiunea de saturatie a vaporilor la temperatura termometrului umed, pe care o găsim în tabele;

$b$  — presiunea barometrică în mm Hg;

$K$  — o constantă a aparatului, care se determină o dată pentru totdeauna, prin comparație;

$t_1$  — temperatura termometrului uscat;

$t_2$  — temperatura termometrului umed.

Obişnuit, dacă  $t_1 > 0^\circ$ ,  $K = 0,0008$ , iar dacă  $t_1 < 0^\circ$ ,  $K = 0,00068$ .

Modelele mai perfecţionate au şi un sistem de ventilaţie mecanică, destinat să asigure o evaporare mai regulată.

Fig. 381. Psi-chrometrul.

Constanţa temperaturii corpului omenesc este asigurată, între altele, şi de transpiraţie, prin evaporare.

Dacă aerul este prea umed, evaporarea se face încet şi avem impresia de zăpuşală; dacă este prea uscat, evaporarea se face prea repede, gîtul se usucă şi trebuie să consumăm cantităţi mai mari de apă.

Funcţionarea normală a organismului omenesc cere un grad de umiditate cuprins între 40% şi 80%.

**§ 165. Circulaţia atmosferei.** Existenţa depresiunilor permanente din regiunile ecuatoriale sau de la latitudinea Islandei, precum şi anticicloanele permanente ale latitudinii de  $30^\circ$  ne îndreptăţesc să privim circulaţia generală din atmosferă după schema din fig. 382.

Conflictul dintre aerul polar şi aerul tropical, care se întîlnesc sub latitudinea Islandei, dă naştere la o instabilitate, adică la perturbaţii, ce se propagă din aproape în aproape, ca valurile mării.

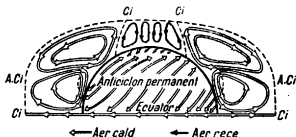


Fig. 382. Circulația generală a atmosferei în emisfera nordică.

Pentru Europa, regiunea Islandei este un izvor permanent de cicloane.

car o mătură dintr-o parte în alta, mergînd către anticiclonul permanent din Siberia, direct sau pe ocolite.

Uneori pot să ia și alte direcții, dar aceasta se întîmplă mai rar.

Cînd întîlnesc anticicloane, le înconjoară sau dispar, adică se umplu.

Forma izobarelor, la cicloanele în mișcare, nu este regulată și se schimbă neconținut.

În ce privește vînturile, regula mișcării în spirală se aplică, dar numai în linii generale, fiindcă apar și alte complicații.

După concepțiile lui Bjerknes<sup>1)</sup>, admise acum de toți meteorologii, se consideră o depresiune ca formată, în păturile inferioare, din două feluri de curenți de aer:

a) unul este cald, sau tropical și ocupă zona A (fig. 383);

b) celălalt este rece, sau polar și ocupă zona vecină B.

Partea din mijloc a figurii ne arată sensurile de circulație ale vîntului, în aceste regiuni.

Depresiunea în mișcare duce cu ea un front cald și altul rece.

Ele sînt separate prin două linii de demarcație, din care una, OC reprezintă frontul rece, iar cealaltă OD, reprezintă frontul cald.

<sup>1)</sup> Jacob Bjerknes (n. 1897), meteorolog norvegian.

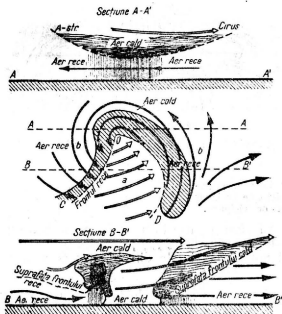


Fig. 383. Schema unei depresiuni în plan și în secțiune, după Bjerknes.

Presupunând că centrul *O* al depresiunii urmează calea obișnuită, de la vest la est, vom observa, în calea ei, următoarele schimbări ale timpului.

1. Sosirea frontului cald ridică temperatura. Ea este precedată de ploi continue, care ocupă toată zona hașurată și ating maximum în regiunea centrală a depresiunii.

Precipitațiile continue apar înaintea frontului cald, mai ales în regiunea centrală.

Între cele două fronturi cerul este variabil, cu alternanțe de ploaie și cer senin.

2. Între cele două fronturi în zona caldă, timpul este variabil, cu alternanțe de ploaie și cer senin.

3. Sosirea frontului rece coboară temperatura și aduce averse, furtuni subite și întoarceri bruște ale vântului, urmate de o înseninare treptată.

Frontul rece aduce furtuni, averse și întoarcerile bruște ale vântului.

4. Sosirea centrului este vestită de apariția norilor înalți, *cirrus* (Ci), urmați de *cirrostratus* (CiS), *altostratus* (AS), *cumulus* (C), apoi *nimbus* (Ni), la înălțimi din ce în ce mai mici.

Sosirea depresiunii este precedată de nori, care coboară din ce în ce mai jos.

Fig. 383 reprezintă, în partea de sus, o secțiune verticală, prin centrul depresiunii, după linia AA'. Aici frontul cald încălece peste păturile mai reci.

De asemenea am reprezentat, în partea de jos a figurii, o altă secțiune, după linia BB'. Se vede cum frontul rece tinde să încălece peste aerul cald, producând o inversiune de temperatură.

Anticicloanele sînt mai stabile decît cicloanele și aduc cer senin, cu ger iarna și arșiță vara.

Anticicloanele sînt mai stabile decît cicloanele, aduc vînturi slabe și cer senin, cu arșiță pe timp de vară și ger. pe timp de iarnă.

Ele se opun propagării cicloanelor.

## B. Noțiuni de prevederea vremii

§ 166. **Drumul depresiunilor.** Am văzut că majoritatea depresiunilor care mătură Europa se formează în regiunea Islandei și au tendința să se deplaseze de la vest la est, cu viteza de 10—40 km/h. Această viteză nu trebuie confundată cu viteza vîntului. Există însă și depresiuni care se propagă mult mai repede sau mult mai încet, după cum există și altele, care stau mai multă vreme pe loc.

Nu toate depresiunile vin din regiunea Islandei. Ele pot să apară și pe continent, mai ales în Pirinei și în Sudul Alpilor, sau pot să vină de pe Marea Mediterană.

Se mai poate întîmpla ca o depresiune, după ce a mers un timp într-o direcție, să se întoarcă înapoi, sau să se dividă în mai multe altele satelite.

În ce privește drumul probabil, pe care-l va urma centrul, iată câteva reguli, observate în cele mai multe cazuri. Ele pot fi aplicate cu rezultate destul de bune:

1. Depresiunile se îndreaptă de obicei către regiunea în care, cu o zi înainte, s-a observat cea mai mare scădere barometrică.

2. Creșterea vitezei vântului, mai ales în regiunile superioare, anunță sosirea unei depresiuni.

3. Depresiunile tind să se îndrepte spre regiunea apropiată unde găsesc temperatura cea mai joasă, or în care s-a înregistrat cea mai mare scădere de temperatură, în ultimele 24 de ore.

4. Studiind repartiția norilor și ținând seamă că ei se lasă mai jos, o dată cu apropierea centrului, ne putem da seama de direcția aproximativă urmată.

5. Apariția norilor Cirus ne vestește, de multe ori, apropierea unei depresiuni, care vine din aceeași direcție.

6. Cicloanele tind să ocolească anticicloanele.

7. Dacă vânturile, din zona depresiunii, sînt prea puternice, în comparație cu gradientele de presiune, depresiunea tinde să se *umple*, adică să dispară. Contrarul se întâmplă pentru vânturile prea slabe.

8. Singura observare a barometrului nu ne poate da nici o indicație, fiindcă schimbarea vremii depinde de poziția fronturilor calde și reci, precum și de faptul dacă centrul depresiunii va trece mai la nord sau mai la sud de locul unde ne aflăm.

**§ 167. Hărțile sinoptice.** Prevederea științifică a timpului nu se poate face decît atunci cînd cunoaștem situația atmosferică pe o regiune cît mai întinsă și mai ales poziția și caracterul depresiunilor care vin dinspre vest.

Aceste hărți se întocmesc de mai multe ori pe zi, cu ajutorul datelor, transmise telegrafic, de la o stațiune la alta și de la o țară la alta.

Fig. 384 reprezintă două astfel de hărți, întocmite în două zile consecutive.

Izobarele sînt trasate cu linii pline și izotermele punctat, cifrele arată temperaturile și presiunile respective, iar indicațiile dintre figuri ne permit să înțelegem diferitele simboluri convenționale.

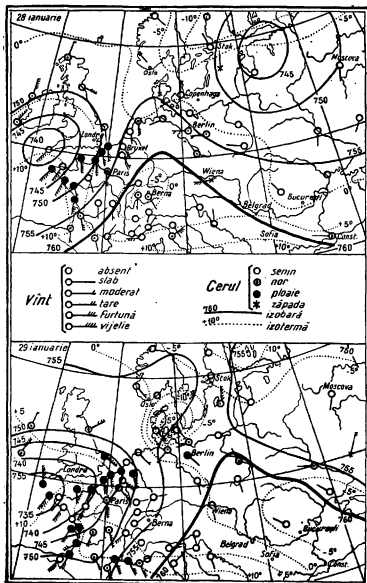


Fig. 384. Hărți sinoptice.

Pe prima hartă, se vede o depresiune care, venind de pe ocean, a ajuns în sudul Irlandei.

Violența vântului ne arată că această depresiune nu va dăinui multă vreme și, observând izotermele, putem prevedea că se va îndrepta spre Elveția, unde găsește temperatura cea mai joasă ( $-5^{\circ}\text{C}$ ).

Cunoscând aceste fapte, putem anunța, pentru ziua următoare, buletinul meteorologic de mai jos:

*În centrul și în sudul Franței temperatura va crește, presiunea va fi în scădere, cerul acoperit, vântul puternic, din sectorul nord, ploaie.*

*În Elveția, apropierea depresiunii va urca temperatura și va aduce tendință de înnoirare.*

*În țara noastră, în urma înaintării zonei anticiclonice, aflate la sud de izobara 760, timpul se va menține senin, cu temperatura în scădere.*

*Depresiunea care a plecat, cu o zi înainte, din sudul Mării Baltice, va face ca, în această regiune, să apară în curând o zonă cu cer senin și temperatură scăzută, care nu va dura multă vreme, pentru că va atrage într-această zonă de depresiune din vest, obligată să ocolească anticicloul din sudul Europei.*

Examinarea hărții din ziua următoare ne arată că, în adevăr așa s-a întâmplat.

Prevederea timpului, cu ajutorul hărților sinoptice, poate să dea rezultate bune, pentru intervale de 24 de ore pe continent și 48 de ore pe ocean, unde factorii perturbatori sînt mai puțini.

Cînd e vorba de prevederile de durată mai lungă, ele nu sînt suficiente. Aici ne servim de alte date suplimentare și mai ales de studiul circulației aerului din regiunile polare, unde se găsesc instalate acum diferite observatoare stabile.

În ce privește prevederile locale, făcute numai pe baza datelor dintr-un loc anumit, ele sînt mult mai puțin sigure și în orice caz limitate la un timp scurt.

Fiecare regiune are un specific al ei, în ce privește urmările anumitor semne.

Cu oarecare spirit de observație, ajungem să tragem și din ele foloase reale.

De asemenea este de ajutor să observăm apucăturile animalelor, migrația păsărilor, desfășurarea vegetației etc.

Observații meteorologice locale sînt menționate în cronicile vremurilor, de sute de ani.

Cu ajutorul lor s-a încercat să se găsească o periodicitate, legată de fazele lunii, de petele solare sau de alte fenomene astronomice.

S-a găsit, în adevăr, oarecare legătură cu periodicitatea de 11 ani a petelor solare. Ea este confirmată și de observația că grosimea cercurilor anuale de creștere a copacilor este mai mare



din 11 în 11 ani, ceea ce arată că acești ani au fost mai ploioși decât alții. Regula suferă însă numeroase abateri.

De asemenea, se cunoaște instabilitatea vremii, în epoca echinocțiului de primăvară, precum și coborîrea temperaturii, ce apare pe la mijlocul lunii mai, din cauza invadării oceanului de ghețarii care s-au desfăcut din banchiza polară.

În ce privește fazele lunii, este sigur că nu există nici o legătură cu fenomenele meteorologice.

Progresele meteorologiei au fost importante mai ales în ultimii douăzeci de ani, de cînd navigația aeriană nu se poate lipsi de serviciile ei.

Ea aduce foloase neprețuite agriculturii și altor domenii ale vieții practice.

Un studiu mai amănunțit ar implica o dezvoltare mult mai largă decât aceea pe care i-am dat-o în manualul de față, unde ne-am limitat la cîteva noțiuni elementare.

# TABELE DE CONSTANTE ȘI DATE UTILE

## Constante fizice generale

### I. Mecanică

- 1) Constanta gravitației ( $z$ )  $6,67 \cdot 10^{-8} \text{ dyn} \cdot \text{cm}^2 \cdot \text{g}^{-2}$
- 2) Accelerația gravitației ( $g$ )
  - a) Normală  $980,665 \text{ cm} \cdot \text{s}^{-2}$
  - b) La București (Com. Roșu)  $980,551 \text{ cm} \cdot \text{s}^{-2}$

### II. Căldură

- 1) Zero absolut ( $0^\circ\text{K}$ )  $-273,15^\circ\text{C}$
- 2) Volumul molecular al gazelor perfecte (la  $0^\circ\text{C}$  și 760 mm)  $22\,414 \text{ cm}^3 \cdot \text{mol}^{-1}$
- 3) Constanta gazelor perfecte ( $R$ )
  $8,314 \cdot 10^7 \text{ erg} \cdot ^\circ\text{K}^{-1} \cdot \text{mol}^{-1}$   
 $1,988\,1 \text{ cal} \cdot ^\circ\text{K}^{-1} \cdot \text{mol}^{-1}$
- 4) Echivalentul mecanic al caloriei ( $J$ )
  $4,181\,6 \cdot 10^7 \text{ erg} \cdot \text{cal}^{-1}$   
 $4,181\,6 \text{ J} \cdot \text{cal}^{-1}$

### III. Constante generale

- 1) Numărul lui Avogadro ( $N$ )  $6,023 \cdot 10^{23} \text{ pe mol}$
- 2) Constanta lui Boltzmann ( $k$ )  $1,380 \cdot 10^{-16} \text{ erg} \cdot ^\circ\text{K}^{-1}$

### Dimensiunile unităților (în sistemele CGS și MKS)

Mărimea	L	M	T	Mărimea	L	M	T
Lungime	1	0	0	Impuls de rotație	2	1	-1
Masă	0	1	0	Lucru mec., energie	2	1	-2
Timp	0	0	1	Putere	2	1	-3
Arie	2	0	0	Presiune	-1	1	-2
Volum	3	0	0	Elasticitate	-1	1	-2
Unghi	0	0	0	Compresibilitate	1	-1	2
Viteză	1	0	-1	Viscozitate	-1	1	-1
Accelerație	1	0	-2	Densitate	-3	1	0
Viteză unghiulară	0	0	-1	Greutate spec.	-2	1	-2
Accel. unghiulară	0	0	-2	Difuziune	2	0	-1
Forță	1	1	-2	Tens. superficială	0	1	-2
Momentul forței	2	1	-2	Entropie	2	1	-2 $\text{grd}^{-1}$
Moment de inerție	2	1	0	Conduct. termică	1	1	-3 $\text{grd}^{-1}$
Impuls	1	1	-1	Temperatură			$\text{grd}$

**Coordonate geografice**  
(pentru Europa)

Localitatea	Long. Greenw.	Latitudine	Altitudine m	$\rho$ cm · s <sup>-2</sup>
Berlin (Potsdam) . . . . .	13°4'	52°22'	87	981,250
București (Obs.) . . . . .	26°6'	44°24'	85	980,551
Budapesta (Obs.) . . . . .	19°3'	47°28'	110	980,807
Leningrad (Obs.) . . . . .	30°17'	59°56'	4	981,908
Londra (Greenw.) . . . . .	0°00'	51°28'	10	981,194
Moscova (Obs.) . . . . .	37°34'	55°45'	142	981,523
Paris (Obs.) . . . . .	2°20'	48°50'	60	980,943
Pulkovo (Obs.) . . . . .	30°19'	59°46'	75	981,873
Roma (Școala Polit.) . . . . .	12°28'	41°53'	59	980,318
Stockholm (Obs.) . . . . .	18°3'	59°20'	44	981,848
Viena (Obs.) . . . . .	16°20'	48°13'	240	980,834

**Densități medii**  
(în condiții normale și unități CGS)

**I. Solide**

Substanța	Densitatea	Substanța	Densitatea
Aluminiu . . . . .	2,71	Staniu . . . . .	7,31
Argint . . . . .	10,5	Zinc . . . . .	7,13
Aur . . . . .	19,3	Sticlă . . . . .	2,4—2,6
Beriliu . . . . .	1,85	Sticlă flint . . . . .	3,0—5,9
Cupru . . . . .	8,94	Lemn: abanos . . . . .	1,2
Fier . . . . .	7,86	brad . . . . .	0,5
Kaliu . . . . .	0,86	stejar . . . . .	0,7
Litiu . . . . .	0,53	Plută . . . . .	0,16—0,20
Magneziu . . . . .	1,74	Alamă . . . . .	8,1 —8,6
Natriu . . . . .	0,97	Cuarț . . . . .	2,65
Nichel . . . . .	8,8	Gheață . . . . .	0,917
Osmiu . . . . .	22,5	Sare de bucătărie . . . . .	2,15
Platină . . . . .	21,4	Zahăr . . . . .	1,59
Sulf . . . . .	2,0		

**II. Lichide**

Substanța	Densitatea	Observații	Substanța	Densitatea
Clor . . . . .	1,51	la temperatura de lichefiere	Eter ordinar . . . . .	0,72
Heliu . . . . .	0,15		Alcool . . . . .	0,79
Hidrogen . . . . .	0,06		Benzol . . . . .	0,881
Oxigen . . . . .	1,13		Glicerină . . . . .	1,26
Azet . . . . .	0,79		Ulei de măsline . . . . .	0,91
Mercur (18°C) . . . . .	13,551		Petrol . . . . .	0,8
Mercur (0°C) . . . . .	13,596		Sulfură de carbon . . . . .	1,26

## III. Gaze

Gazul	Densitatea	Gazul	Densitatea
Oxigen . . . . .	0,001 429	Bioxid de carbon . . .	0,001 977
Azot . . . . .	0,001 251	Aer . . . . .	0,001 293
Hidrogen . . . . .	0,000 089	Vapori de apă (100 °C și 1 at) . .	0,000 606

## Constante elastice

Corpul	$E$ , kgf/mm <sup>2</sup>	Limita de elasticitate, kgf/mm <sup>2</sup>	Limita de rezistență, kgf/mm <sup>2</sup>
Plumb . . . . .	1 700	0,25	2
Aluminiu . . . . .	7 500	2,80	7—11
Argint . . . . .	7 900	—	16
Cupru moale . . . . .	10 000	3	20
Oțel ordinar . . . . .	20 000	33	75
Oțel molibden . . . . .	22 000	60	150
Fier moale . . . . .	19 000	5	35
Iridiu . . . . .	53 000	—	—
Sticlă (aprox.) . . . . .	6 000	—	27
Cauciuc vulcanizat . . . . .	0,1	—	—
Alamă . . . . .	10 000	—	60
Aur . . . . .	8 000	—	25
Cureaua . . . . .	1 500	—	—
Fir de mătase . . . . .	650	—	—

## Constante termice

## I. Solide

Corpul	Coefficientul de dilatare	Căldura specifică, (cal/g · gra)	Punctul de topire, (°C)	Căldura de topire, (cal/g)	Conductibilitatea calorifică, (CGS)
Aluminiu . . . . .	0,000 022	0,214	658	77	0,48
Argint . . . . .	019	0,055	960,5	26	1,01
Aur . . . . .	014 5	0,031	1 063	15,9	0,70
Cupru . . . . .	016	0,091	1 084	42	0,90
Fier . . . . .	012	0,105	1 100—1 600	—	0,14—0,17
Oțel . . . . .	010	0,114	1 300—1 400	—	0,06—0,12
Nichel . . . . .	012 8	0 106	1 460	—	0,14
Platină . . . . .	009	0,032	1 773,5	27	0,17
Sticlă . . . . .	009	0,190	800—1 400	—	0,002 3
Staniu . . . . .	023	0,052	231,8	14	0,15
Zinc . . . . .	029 1	0,091	419,4	28	0,27
Alamă . . . . .	018 5	0,093	circa 900	—	0,15—0,30
Sulf . . . . .	118	0,16—0,24	119	10	0,000 7
Plumb . . . . .	029 3	0,031	327	5,5	0,08

## II. Lichide

Corpul	Dilatția volumetrică	Căldura specifică, (cal/g·°C)	Punctul de topire, (°C)	Punctul de fierbere, (°C)	Căldura de evaporare, (cal/g)
Apă . . . . .	0,000 18	1,000	0,000 0	100,00	539,1
Alcool . . . . .	1 05	0,58	-114	78,3	202
Eter ordinar . . . . .	1 63	0,56	-123,6	34,6	90
Benzol . . . . .	1 24	0,41	+ 5,5	80,2	94
Petrol . . . . .	1 04	0,51	—	110—120	circa 75
Sulfură de carbon . . . . .	1 21	0,24	-112	46,2	85
Mercur . . . . .	0 181	0,033	- 38,87	356,7	68
Bioxid de carbon . . . . .	—	—	- 57	- 78,5	142
Oxigen . . . . .	—	—	-218	-183,0	51
Azot . . . . .	—	—	-210,5	-195,8	48
Hidrogen . . . . .	—	—	-256	-253,8	110
Helium . . . . .	—	—	—	-268,8	—

Căldura de topire a apei este de 80 cal/g

## Volumul specific al apei

Temperatura, °C	$V_s$	Temperatura, °C	$V_s$	Temperatura, °C	$V_s$
0	1,000 13	8	1,000 12	16	1,001 03
2	1,000 03	10	1,000 27	18	1,001 38
4	1,000 00	12	1,000 47	20	1,001 77
6	1,000 03	14	1,000 73	22	1,002 19

Căldurile specifice  $C_p$  (în cal/g·grd la 18 °C) și raportul  $C_p/C_v$

Substanța	$C_p$	$C_p/C_v$	Substanța	$C_p$	$C_p/C_v$
Aer . . . . .	0,241	1,40	Helium . . . . .	1,26	1,66
Oxigen . . . . .	0,218	1,40	Argon . . . . .	0,127	1,65
Azot . . . . .	0,249	1,40	Iod (vapori) . . . . .	0,034	1,29 (fază nedisociat)
Hidrogen . . . . .	3,400	1,41	Bioxid de carbon . . . . .	0,202	1,30

**Presiunea vaporilor saturații**  
*Pentru apă*

$t^{\circ}\text{C}$	$p$ mm Hg	$t^{\circ}\text{C}$	$p$ mm Hg	$t^{\circ}\text{C}$	$p$ at	$t^{\circ}\text{C}$	$p$ at
0	4,6	50	92,5	119	2	183	11
10	9,2	60	149,2	132	3	200	16
20	17,5	80	355,1	142	4	206	18
30	31,8	100	760	151	5	211	20
40	55,3			164	7		

*Alte lichide (în mm Hg)*

$t^{\circ}\text{C}$	Eter	Alcool	Benzol	Mercur	$t^{\circ}\text{C}$	Eter	Alcool	Benzol	Mercur
-20	66	3,3	6	—	+ 60	1 740	351	389	0,025
0	185	12,5	26	0,000 4	+ 80	3 000	812	753	0,09
+20	440	44,1	75	0,001 1	+100	4 900	1 690	1 342	0,28
+40	920	133,6	182	0,006	Pierbe la:	34,5*	78,3	80,2	356,7

**Date critice**

Corpul	$t^{\circ}\text{crit}$	$p_{\text{crit}}$ (at)	Corpul	$t^{\circ}\text{crit}$	$p_{\text{crit}}$ (at)
Heliu . . . .	-267,84	2,26	Metan . . . . .	- 82,85	45,6
Hidrogen . .	-239,91	12,80	Bioxid de carbon .	+ 31,1	73
Azot . . . .	-147,13	33,4	Amoniac . . . . .	+133	112
Oxigen . . .	-118,82	49,7	Apă . . . . .	+374,2	217,7

## TABLA DE MATERII

Introducere . . . . .	5
§ 1. Obiectul fizicii . . . . .	5
§ 2. Capitolele fizicii . . . . .	6
§ 3. Metodele fizicii . . . . .	7
§ 4. Măsurile fizice . . . . .	8
§ 5. Erori de măsurare . . . . .	9
§ 6. Stabilirea legilor fizice . . . . .	13
	/
Mărimi fundamentale . . . . .	15
§ 7. Lungimea . . . . .	15
§ 8. Măsurarea lungimilor și a unghiurilor . . . . .	19
§ 9. Forța . . . . .	23
§ 10. Măsurarea forțelor . . . . .	25
§ 11. Masa . . . . .	27
§ 12. Conservarea masei . . . . .	28
§ 13. Etalonul de masă . . . . .	29
§ 14. Noțiunea de timp . . . . .	30
Unități fundamentale de măsură . . . . .	32
§ 15. Sisteme de unități . . . . .	32
§ 16. Dimensiuni și ecuații de dimensiuni . . . . .	34
Noțiuni elementare asupra vectorilor . . . . .	37
§ 17. Mărimi vectoriale și mărimi scalare . . . . .	37
§ 18. Definiție . . . . .	37
§ 19. Operații cu vectori . . . . .	38

## PARTEA ÎNTII

### BAZELE FIZICE ALE MECANICII

Generalități . . . . .	43
§ 20. Repausul și mișcarea . . . . .	43
§ 21. Sisteme de referință . . . . .	43
§ 22. Echilibrul . . . . .	43
§ 23. Capitolele mecanicii . . . . .	44

<b>Capitolul I. Statica</b>	<b>44</b>
A. Noțiuni generale	44
§ 24. Condiții generale de echilibru	44
§ 25. Principiul acțiunii și reacțiunii	45
B. Compunerea forțelor	46
§ 26. Compunerea forțelor coliniare	46
§ 27. Compunerea forțelor concurente	46
§ 28. Compunerea forțelor paralele	49
§ 29. Principiul independenței acțiunii forțelor	51
C. Centrul de greutate	52
§ 30. Definiție	52
§ 31. Poziția centrului de greutate	53
D. Momentele forțelor	54
§ 32. Definiție	54
§ 33. Semnul momentelor	55
§ 34. Legea momentelor	56
§ 35. Compunerea momentelor	57
§ 36. Momentele forțelor în echilibru	59
E. Mașini simple	60
§ 37. Pirghia	60
§ 38. Planul înclinat	66
§ 39. Cuplu de forțe	68
F. Echilibrul corpurilor solide	70
§ 40. Echilibrul sub acțiunea gravitației	70
G. Balanța	74
§ 41. Principiu și descriere	74
§ 42. Teoria elementară a balanței cu brațe egale	81
H. Dezvoltarea istorică a staticii	83
<b>Capitolul II. Cinematica</b>	<b>85</b>
A. Noțiuni generale	85
§ 43. Noțiuni de bază	85
§ 44. Noțiunea de derivată	87
§ 45. Noțiunea de pantă	90
§ 46. Noțiunea de integrală	92
§ 47. Semnificația geometrică a integralei	93
B. Mișcarea rectilinie	96
§ 48. Mișcarea uniformă	96
§ 49. Mișcarea neregulată	97
§ 50. Mișcarea uniform accelerată	98
§ 51. Mișcarea oscilatorie	102
§ 52. Compunerea mișcărilor uniforme	109



§ 53. Compunerea mișcărilor rectilinii uniform accelerate	109
§ 54. Mișcarea uniform accelerată, compusă cu mișcarea uniformă	110
§ 55. Compunerea mișcărilor oscilatorii	113
C. Mișcarea circulară	121
§ 56. Viteze și accelerații	121
D. Dezvoltarea istorică a cinematicii	127
<b>Capitolul III. Dinamica</b>	<b>129</b>
A. Principii fundamentale	129
§ 57. Principiul inerției	129
§ 58. Acțiunea unei forțe constante asupra unei mase constante	130
§ 59. Principiul acțiunii și reacțiunii	132
§ 60. Aplicație. Căderea corpurilor	133
§ 61. Unitățile de forță și masă	137
§ 62. Semnificația dinamică a masei	140
§ 63. Forțe de inerție	142
B. Forțe centrale	143
§ 64. Mișcarea centrală	143
C. Principiul mecanic al relativității	148
§ 65. Sisteme inerțiale și neinerțiale	148
D. Forțe cu acțiune temporară	151
§ 66. Impuls și cantitate de mișcare	151
E. Corpuri în rotație	156
§ 67. Momentul de inerție	156
F. Mase sub acțiunea forțelor elastice	167
§ 68. Forțe elastice	167
§ 69. Acțiunea dinamică a forțelor elastice	168
G. Dezvoltarea istorică a dinamicii	186
<b>Capitolul IV. Lucrul mecanic, energia mecanică și puterea</b>	<b>188</b>
A. Lucrul mecanic și energia mecanică	188
§ 70. Lucrul mecanic	188
§ 71. Conservarea lucrului mecanic	192
§ 72. Noțiunea de energie	195
§ 73. Energia potențială	196
§ 74. Energia cinetică	196
§ 75. Conservarea energiei mecanice	198
B. Puterea	203
§ 76. Noțiunea de putere	203
C. Scurtă privire istorică	206

<b>Capitolul V. Atracția universală</b>	207
§ 77. Legile lui Kepler	207
§ 78. Legea atracției universale	208
§ 79. Acțiunea la distanță	214
§ 80. Potențialul gravitațional	217
<b>Capitolul VI. Corpuri deformabile</b>	220
A. Noțiuni generale	220
§ 81. Proprietățile și structura corpurilor	220
B. Frecarea	228
§ 82. Forțele de frecare	228
C. Elasticitatea	232
§ 83. Deformări elastice	232
§ 84. Deformări plastice	239
§ 85. Ciocnirea corpurilor	241

## PARTEA A DOUA

## MECANICA CORPURILOR FLUIDE

<b>Capitolul VII. Hidrostatica</b>	247
A. Noțiuni generale	247
§ 86. Lichide reale și lichide ideale	247
B. Presiunea hidrostatică	248
§ 87. Presiune, unitatea de presiune	248
§ 88. Expresia presiunii hidrostatice	250
§ 89. Principiul lui Pascal	254
§ 90. Principiul vaselor comunicante	257
§ 91. Principiul lui Archimede	259
C. Densitatea. Greutatea specifică	264
§ 92. Densitatea	264
§ 93. Greutatea specifică	265
§ 94. Densitatea relativă	266
D. Elasticitatea lichidelor	272
§ 95. Compresiunea lichidelor	272
<b>Capitolul VIII. Statica gazelor</b>	277
A. Noțiuni generale	277
§ 96. Proprietăți generale	277
§ 97. Comprimarea izotermă	278
§ 98. Densitatea gazelor	281
§ 99. Presiunea atmosferică	284
B. Scurtă privire istorică asupra staticii fluidelor	297

<b>Capitolul IX. Dinamica fluidelor</b>	<b>300</b>
A. Proprietăți generale	300
§ 100. Linii de curent	302
§ 101. Ecuația lui Bernoulli	302
B. Dinamica fluidelor viscoase	310
§ 102. Curgerea laminară	310
§ 103. Curgerea turbulentă	316
C. Pompe. Sifonul	329
§ 104. Pompe pentru lichide	329
§ 105. Pompe pentru gaze	330
§ 106. Sifonul	332
D. Energia apei și a vântului	333
§ 107. Turbine hidraulice	333
§ 108. Turbine eoliene	336
E. Scurtă privire istorică asupra dinamicii fluidelor	339
<b>Capitolul X. Fenomene moleculare în lichide</b>	<b>343</b>
§ 109. Structura internă a lichidelor	343
§ 110. Ecuația lui Van-der-Waals	344
§ 111. Tensiunea superficială	348
§ 112. Presiunea sub o suprafață curbă de lichid	353
§ 113. Adeziunea lichidelor, capilaritate	354

PARTEA A TREIA

**CĂLDURA ȘI TERMODINAMICA**

<b>Capitolul XI. Termometrie, dilatare</b>	<b>360</b>
A. Fenomene fundamentale	360
§ 114. Noțiunea de temperatură	360
§ 115. Dilatarea corpurilor	360
§ 116. Termometre, puncte fixe	362
§ 117. Coeficienți de dilatație	368
§ 118. Temperatura absolută	377
§ 119. Ecuația de stare a gazelor	378
B. Scurtă privire istorică	383
<b>Capitolul XII. Cantitatea de căldură</b>	<b>385</b>
§ 120. Călduri specifice	385
<b>Capitolul XIII. Schimbări de stare</b>	<b>395</b>
§ 121. Topirea și solidificarea	395
§ 122. Vaporizarea și condensarea	402
§ 123. Lichefierea gazelor	418

<b>Capitolul XIV. Studiul soluțiilor</b>	428
§ 124. Dizolvarea	428
§ 125. Fenomenele de difuziune	432
§ 126. Presiunea osmotică	434
§ 127. Fierberea și înghețarea soluțiilor	439
<b>Capitolul XV. Propagarea căldurii</b>	441
§ 128. Propagarea prin conducere	441
§ 129. Propagarea prin curenți	447
§ 130. Propagarea prin radiație	448
<b>Capitolul XVI. Mașini termice</b>	449
§ 131. Mașinile cu abur	449
§ 132. Motoare cu ardere internă	454
<b>Capitolul XVII. Teoria cinetică a gazelor</b>	457
§ 133. Introducere. Noțiuni de statistică	457
§ 134. Presiunea gazelor	462
§ 135. Interpretarea temperaturii. Legile gazelor	464
§ 136. Drumul liber mijlociu	468
§ 137. Căldura specifică a gazelor	471
§ 138. Determinarea numărului $N$	476
§ 139. Fascicule moleculare	483
<b>Capitolul XVIII. Termodinamica</b>	486
§ 140. Introducere	486
<b>A. Primul principiu al termodinamicii</b>	488
§ 141. Echivalența energiilor	488
§ 142. Expresia generală a principiului întâi	495
§ 143. Energia internă a unui gaz	498
§ 144. Comprimarea izotermă a gazelor	500
§ 145. Comprimarea adiabatică	501
§ 146. Reprezentarea Clapeyron	506
<b>B. Al doilea principiu al termodinamicii</b>	509
§ 147. Enunțul lui Carnot	509
§ 148. Concepțiile lui Thomson	512
§ 149. Postulatul lui Clausius	516
§ 150. Concepțiile lui Boltzmann	518
§ 151. Degradarea energiei	520
<b>C. Ciclul lui Carnot</b>	520
§ 152. Ciclul unei mașini reale	520
§ 153. Ciclul ideal	523
<b>D. Entropia</b>	527
§ 154. Noțiunea de entropie	527
§ 155. Procesele nereversibile	531

E. Interpretarea cinetică a termodinamicii . . . . .	533
§ 156. Transformarea lucrului mecanic în căldură . . . . .	533
§ 157. Transformarea căldurii în lucru mecanic . . . . .	534
§ 158. Caracterul statistic al principiului al doilea . . . . .	537
<i>Capitolul XIX. Noțiuni de meteorologie . . . . .</i>	<i>540</i>
A. Noțiuni generale . . . . .	540
§ 159. Introducere . . . . .	540
§ 160. Temperatura și variațiile ei . . . . .	543
§ 161. Variațiile presiunii atmosferice . . . . .	547
§ 162. Vinturile . . . . .	550
§ 163. Norii și ploaia . . . . .	555
§ 164. Higrometrie . . . . .	562
§ 165. Circulația atmosferei . . . . .	566
B. Noțiuni de prevederea vremii . . . . .	569
§ 166. Drumul depresiunilor . . . . .	569
§ 167. Hărțile sinoptice . . . . .	570
<b>Tabele de constante și date utile . . . . .</b>	<b>574</b>



ALEXANDRU CIȘMAN

# FIZICĂ GENERALĂ

## II

EDITURA TEHNICĂ





Prof. ALEXANDRU CIȘMAN

# FIZICA GENERALĂ

II

Unde elastice și acustica, electrostatica, electrodinamica,  
câmpul magnetic, electromagnetismul, curentul alternativ,  
unde electromagnetice și elemente de radiocomunicații



EDITURA TEHNICĂ  
București 1957



# PARTEA A PATRA

## UNDE ELASTICE ȘI ACUSTICA

---

### INTRODUCERE

§ 168. *Mișcarea oscilatorie (scurtă recapitulare).* În § 51 am arătat că:

1) O mișcare oscilatorie sinusoidală are ecuația:

$$e = a \sin \omega t \quad (51.1)$$

în care

$e$  este *elongația* la momentul  $t$ ,

$a$  este *elongația maximă* sau *amplitudinea*,

$\omega = \frac{2\pi}{T}$  este *pulsafia*,

$T$  este *perioada*,

$1/T = f$  este *frecvența* și

$\omega t$  este *faza oscilației*.

2) Am mai arătat că viteza și accelerația mișcării se exprimă prin relațiile

$$v = a\omega \cos \omega t = a\omega \sin \left( \omega t + \frac{\pi}{2} \right) \quad (51.3)$$

și

$$a_n = -a\omega^2 \sin \omega t = a\omega^2 \sin (\omega t + \pi)$$

în care diferențele de fază, în raport cu elongația, sînt respectiv  $\pi/2$  și  $\pi$ .

3) În § 55 am văzut că elongațiile oscilațiilor ce decurg pe aceeași direcție se pot compune prin simpla adunare algebrică a valorilor instantanee.

4) În cazul particular cînd oscilațiile sînt în fază și au aceeași perioadă, suprapunerea lor duce tot la o mișcare oscilatorie sinusoidală, de perioadă egală cu a componentelor și de amplitudine egală cu suma amplitudinilor.

5) Cînd oscilații de aceeași perioadă sînt în opoziție de fază, oscilația rezultantă are amplitudinea egală cu diferența amplitudinilor și nulă, dacă ele sînt egale.

6) Compunerea oscilațiilor de aceeași direcție, dar de frecvențe diferite  $f_1$  și  $f_2$  produce *bătăi*, a căror frecvență este

$$\Delta f = f_2 - f_1. \quad (55.1)$$

7) În § 69 am arătat că orice oscilație sinusoidală simplă a unei mase  $m$  se datorește acțiunii unei forțe elastice, definită prin relația

$$F = -Kx = -Ka \sin \omega t \quad (68.1)$$

și că are perioada

$$T = 2\pi \sqrt{\frac{m}{K}} \quad (69.4)$$

unde  $K$  este *constantă elastică*.

8) Dacă oscilația întîmpină frecări, amplitudinea ei scade prin amortizare, fiindcă frecările transformă energia mecanică în căldură.

În cazul particular cînd scăderea este exponențială, ecuația mișcării devine

$$E = ae^{-\delta t} \sin \omega t \quad (69.9)$$

în care  $\delta$  reprezintă *amortizarea*, iar  $e$  este baza sistemului de logaritmi neperieni.

Mai adăugăm că atît calculul, cît și experiența ne duc la concluzia că, în cazul cînd forțele de frecare, pe care le vom nota cu  $R$ , nu sînt prea mari, amortizarea are valoarea

$$\delta = \frac{R}{2m}, \quad (168.1)$$

în care  $m$  este masa oscilantă.

Se mai demonstrează că, la oscilațiile amortizate, perioada este ceva mai lungă decît la cele neamortizate și tinde treptat către valoarea dată de (69.4), cînd amplitudinea tinde către zero.

Dacă masa oscilantă e prea mică, sau frecările prea mari, sistemul nu mai oscilează, ci revine *aperiodic* spre poziția de echilibru.

9) În § 75 am văzut că energia potențială a unui resort, întins ori comprimat, este

$$W_p = \frac{1}{2} Kx^2 \quad (75.1)$$

și, dacă nu există frecări, ea trece integral în energia cinetică

$$W_c = \frac{1}{2} ma^2\omega^2$$

În momentul în care masa oscilantă trece prin poziția de repaus.

• 10) În fine, în § 83, am arătat că, în cazul alungirii sau scurtării unei bare elastice, de lungime  $L$  și secțiune  $S$ , legea lui Hooke ne dă, pentru deformarea relativă,

$$\frac{\Delta L}{L} = \frac{1}{E} \cdot \frac{F}{S} \quad (83.2)$$

unde  $E$  este modulul de elasticitate și  $F$  forța deformatantă.

Constanta  $K$  de mai sus capătă atunci valoarea

$$K = \frac{F}{\Delta L} = \frac{SE}{L}.$$

Am amintit aceste fapte și relații de bază, fiindcă ne vor servi în dezvoltarea capitolelor viitoare, și în *acustică*, și în *electricitate*.

*Insistăm să fie revizuite cu atenție, înainte de a trece mai departe.*

§ 169. **Obiectul acusticii.** În principiu, acustica este studiul *sunetelor*, adică al fenomenelor naturale ce impresionează *simțul auzului*.

Sunetele sînt produse de *vibrații* ale corpurilor și se transmit urechii prin mediile înconjurătoare, mai ales prin aer.

Impresia de sunet nu apare însă decît în domeniul frecvențelor cuprinse între 16 și 20 000 de herți.

Aceste limite sînt destul de neprecise și variază, de la caz la caz, după vîrsta observatorului, calitatea urechii, gradul de oboseală etc.

Peste 20 000 Hz sîntem în domeniul *ultrasunetelor*, iar sub 16 Hz avem *infrasunetele*, unde vibrațiile pot fi observate cu ochii, una cîte una.

După scopul urmărit, putem împărți acustica în patru capitole mari :

1. *Acustica fizică*, în care studiem nu numai domeniul audibil, ci ansamblul tuturor fenomenelor de vibrație mecanică și propagarea lor prin diverse medii.

2. *Acustica tehnică* are mai mult un caracter practic. Ea cercetează calitățile sonore ale clădirilor și sălilor de spectacol, metodele de izolare sonoră, sistemele de reproducere, prin filme, radio sau discuri etc.

3. *Acustica fiziologică* urmărește mecanismul de percepere al sunetelor, acțiunea lor asupra organismului și condițiile de emisiune ale vocii.

4. *Acustica estetică* urmărește progresele artei muzicale și caută metodele științifice de perfecționare a instrumentelor de muzică.

## CAPITOLUL XX

### UNDE ELASTICE

§ 170. **Caracterul undelor.** Experiența ne arată că, dacă un mediu oarecare suferă o deformare locală și este în stare să dezvolte reacții elastice sau neelastice, regiunea deformată caută să-și descarce energia potențială și transmite deformarea, din aproape în aproape, regiunilor vecine.

Intr-un mediu capabil să dezvolte reacții elastice sau neelastice, deformările se propagă sub forma de unde.

Această transmitere nu se face instantaneu, ci cu o viteză finită, sub forma de *unde*.

Ne propunem să cercetăm aspectul acestor unde.

1. *Cazul undelor superficiale.* O piatră care cade în apă formează valuri circulare și concentrice, care se lărgesc treptat, pînă dispar prin amortizare, iar apa își reia luciul de mai înainte (fig. 1).



Fig. 1. Secțiune printr-o undă superficială.

O frunză sau un dop, care plutesc, nu se duc odată cu valul, ci numai saltă pe loc și ne arată că nu e vorba de un transport de lichid, ci de o simplă deformare a suprafeții, care se propagă în

planul orizontal, fiindcă nu s-ar putea menține, dacă ar sta în repaus.

Reacțiunea suprafeții lichidului nu este proporțională cu deformația suferită, așa că nu poate fi considerată ca o forță

elastică. Ea se datorește numai acțiunilor combinate ale gravitației și tensiunii superficiale, care tind să restabilească situația inițială.

Undele superficiale nu sînt unde elastice.

**2. Unde elastice transversale.** Dacă întindem o funie de rufe, între două suporturi și-i dăm o lovitură laterală, cu latul mîinii, la unul din capete, se produce o deformare, pe care o putem vedea cum se propagă spre capătul opus (fig. 2, a, b, c).

În măsura în care deformarea poate fi considerată ca proporțională cu forța ce a produs-o, avem aci o undă elastică transversală, în care oscilațiile sînt perpendiculare pe direcția de propagare.

În trecerea ei, această undă nu face decît să devieze rînd pe rînd și lateral diferitele puncte ale mediului de propagare.

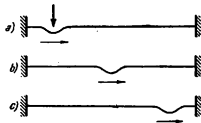


Fig. 2. Propagarea unei deformări transversale pe o funie.

**3. Unde elastice longitudinale.** Cînd o locomotivă de manevră lovește un șir de vagoane, impulsul transmis primului vagon comprimă resorturile tampoanelor și fenomenul se propagă, ca o undă elastică, în tot lungul șirului.

De astă dată deformarea este orientată paralel cu direcția de propagare. Ea duce cu dînsă o undă de comprimare sau de dilatare a resorturilor elastice.

În toate cazurile similare, cînd punctele mediului suferă deplasări temporare în direcția propagării, avem unde longitudinale.

Experiența de mai sus, cu funia de rufe, o vom face punînd un capăt în mîna unei persoane și imprimînd o tracțiune bruscă la capătul opus.

Persoana vede mișcarea transmisă, dar nu simte sosirea undei decît ceva mai tîrziu, din cauza timpului necesar propagării.

§ 171. Lungimea de undă. Să presupunem că, într-un punct, pe suprafața unei ape liniștite, producem o serie de oscilații continue, după direcția verticală (fig. 3).



Fig. 3. Formarea undelor pe suprafața apei.

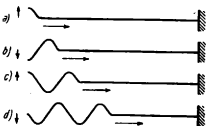


Fig. 4. Propagarea unor unde transversale pe o funie.

Aceste oscilații dau naștere la valuri concentrice, care se propagă cu o viteză ce poate fi măsurată cu destulă ușurință.

Cum fiecare oscilație produce un val nou, este evident că distanța între două valuri succesive, de pildă între două creste, va fi parcursă în timpul unei perioade  $T$ .

Analog, dacă fixăm un capăt al funiei de mai sus și clătinăm ritmic celălalt capăt, apar unde transversale, care vin una după alta și funia capătă succesiv aspectele din fig. 4.

Și de astă dată distanța între două creste vecine va fi parcursă tot în timpul unei perioade.

Pentru evidențierea undelor longitudinale, vom face o spirală de sîrmă, lungă de cîțiva metri, o vom fixa la un capăt și vom imprima extremității opuse oscilații ritmice, în sensul lungimii (fig. 5).

De astă dată se propagă, în lungul resortului, comprimări și dilatări succesive, iar distanța parcursă în timpul unei perioade va cuprinde o porțiune comprimată și alta dilatăată.

Fenomenele descrise pot fi observate în toate mediile solide.

La lichide și la gaze, formarea undelor transversale nu este posibilă, fiindcă păturile succesive lunecă una pe alta, fără să-și transmită deformațiile.



Aici nu apar decît unde longitudinale și unde de suprafață.

În atmosferă există de multe ori pături suprapuse, ce încă nu s-au amestecat prin difuziune. Lunecarea lor, sub acțiunea vîntului, face să apară, în planele de separație, unde superficiale. De aceea norii din regiunile înalte capătă adesea fie forma tipică și ondulată a valurilor, fie aspectul de fișii paralele, situate în același plan orizontal.

Undele de diferite specii pot să apară simultan și atunci se propagă independent unele de altele.

De pildă, o explozie ce s-ar produce sub apă, dă naștere în adîncuri la unde longitudinale, iar la suprafață se formează valuri.

Același lucru se petrece în cazul cutremurelor de pămînt: și atunci apare o undă longitudinală, de comprimări și dilatări, o alta transversală, care produce devieri laterale și o a treia, superficială, care dă suprafeții pămîntului aspectul tipic de valuri.

Experiența ne arată că, într-un mediu dat, unda longitudinală se propagă mai repede decît cea transversală, iar unda superficială se propagă mai încet decît amîndouă. Explicația o vom da mai tîrziu.

Tot experiența ne mai arată că propagarea urmează legile mișcării uniforme, cel puțin în primă aproximație. Neglijînd excepțiile, vom considera deci viteza ca o constantă a mediului și o vom nota cu  $v$ .

Aspectul fenomenelor, așa cum le-am descris, impune acum introducerea unei mărimi caracteristice: *lungimea de undă*  $\lambda$ .

**Lungimea de undă** este distanța parcursă în timpul unei perioade.

*Ea reprezintă, prin definiție, distanța parcursă de sistemul de unde, în timpul unei perioade.*

Vom avea deci, prin definiție,

$$\lambda = vT$$

$$(171.1)$$



Fig. 5. Unde comprimate și dilate pe un resort.

și fiindcă perioada este inversa frecvenței  $f$ ,

$$\boxed{v = \lambda f} \quad (171.2)$$

Lungimea de undă este direct proporțională cu perioada și invers proporțională cu frecvența.

proporțională cu frecvența oscilațiilor.

Să presupunem acum că, pe o direcție  $OP$ , se propagă, în sensul săgeții, o serie de unde elastice, provenite de la o deformare periodică sinusoidală (fig. 6).

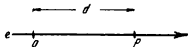


Fig. 6. Dacă distanța  $d$  este un multiplu al lungimii de undă, punctele  $O$  și  $P$  oscilează în fază.

cileze de asemenea sinusoidal și cu amplitudinea  $a$ , în jurul poziției de echilibru.

Dacă, la un moment dat, elongația punctului  $O$  ar fi

$$e_1 = a \sin \frac{2\pi}{T} t \quad (I)$$

este evident că, în același moment, elongația punctului  $P$  ar trebui să fie

$$e_2 = a \sin \frac{2\pi}{T} \left( t - \frac{d}{v} \right) \quad (II)$$

fiindcă el a început să oscileze mai târziu decât  $O$ , cu timpul  $d/v$ , necesar parcurgerii distanței  $d$ .

Relația (II) se mai poate scrie sub forma

$$e_2 = a \sin \left( \frac{2\pi}{T} t - \frac{2\pi}{T v} d \right)$$

sau, ținând seamă de (171.1),

$$e_2 = a \sin \left( \frac{2\pi}{T} t - \frac{2\pi}{\lambda} d \right). \quad (III)$$

Aceste două relații fundamentale ne spun că, într-un mediu dat, lungimea de undă este direct proporțională cu perioada și invers

Este indiferent dacă aceste unde ar fi longitudinale sau transversale.

Punctele întâlnite, în mediul străbătut, vor intra rînd pe rînd în mișcare, ca să os-

Să presupunem acum că distanța  $d$  este un multiplu întreg al lungimii de undă. Vom avea atunci

$$e_2 = a \sin \left( \frac{2\pi}{T} t - 2n\pi \right) = \\ = a \sin \frac{2\pi}{T} t - e_1.$$

Inseamnă că, în aceste condiții, punctele  $O$  și  $P$  ar oscila fără diferență de fază.

Această concluzie ne permite să completăm definiția lungimii de undă, în felul următor :

Pe direcția de propagare, punctele separate prin multipli întregi ai lungimii de undă oscilează în fază.

*Pe direcția de propagare, toate punctele separate prin distanțe egale cu multipli întregi ai lungimii de undă oscilează în fază.*

Prin urmare lungimea de undă este cea mai mică distanță ce separă, pe direcția de propagare, două puncte care au mereu elongații egale și de același semn.

Este ușor de văzut că, *dacă distanța considerată ar fi un multiplu nepreche al jumătății lungimii de undă, punctele respective ar avea elongații egale, dar de semne contrarii, adică ar fi în opoziție de fază.*

Punctele separate prin multipli neperechi ai jumătății lungimii de undă sînt în opoziție de fază.

§ 172. **Viteza de propagare.** Ne propunem să găsim o relație teoretică, în acord cu experiența, prin care să legăm viteza de propagare a undelor elastice de alte constante ale mediului.

Vom considera trei cazuri deosebite :

1. *Undele longitudinale.* O bară rigidă, de lungime  $L$ , secțiune  $S$  și densitate  $\rho$  este lovită la unul din capete de un ciocan, cu viteza  $u$ . Lovitura comprimă local bara și o scurtează cu  $\Delta L$  (fig. 7).

Dacă notăm cu  $t$  durata impulsului, vom avea

$$\Delta L = ut.$$

În același timp, deformarea elastică se propagă în lungul barei, cu o viteză  $v \gg u$  și parcurge distanța

$$L = vt.$$

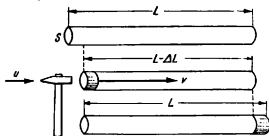


Fig. 7. Pentru deducerea formulei lui Newton.

De aci deducem că

$$\frac{\Delta L}{L} = \frac{u}{v}.$$

După legea lui Hooke, prin comprimare se dezvoltă forța

$$F = SE \frac{\Delta L}{L} = SE \frac{u}{v} \quad (83.2)$$

și putem scrie că impulsul transmis a fost

$$Ft = SE \frac{u}{v} t.$$

În urma loviturii, întreaga bară se deplasează cu viteza  $u$  a ciocanului și capătă cantitatea de mișcare

$$mu = SL\rho u$$

pe care, egalînd-o cu impulsul, avem, după ce facem reducerile,

$$Et = L\rho v.$$

Dar viteza de propagare a undei elastice fiind  $v$ , înseamnă că

$$L = vt$$

și, după substituire, ajungem la relația finală

$$\boxed{v = \sqrt{\frac{E}{\rho}}} \quad (172.1)$$

Această relație, cunoscută sub numele de *formula lui Newton*, ne spune că viteza de propagare a undelor elastice longitudinale, în solide, se exprimă prin rădăcina pătrată a raportului dintre modulul de elasticitate și densitate.

Viteza de propagare a undelor longitudinale este dată de rădăcina pătrată a raportului dintre modulul de elasticitate și densitate.

Ca să obținem viteza în unități CGS trebuie să ținem seamă că, obișnuit, valoarea modulului de elasticitate se dă în kgf/mm<sup>2</sup> și să facem convenita transformare, prin înmulțirea datelor din tabele cu  $981 \cdot 10^5$ .

În cazul lichidelor, va trebui să înlocuim modulul de elasticitate  $E$ , prin modulul de compresibilitate  $\chi$  și relația de față devine

$$v = \sqrt{\frac{\chi}{\rho}} \quad (172.1 a)$$

Studiind ecuația lui Van-der-Waals, *Petru Bogdan* a demonstrat că viteza de propagare în lichide poate fi exprimată și prin relația

$$v = \sqrt{r}$$

în care  $r$  este căldura de evaporare, la temperatura experienței, exprimată în ergi pe gram.

Această relație a fost verificată, prin măsurări directe ale vitezei sunetului, de *Th. V. Ionescu*<sup>1)</sup>.

În fine, la gaze, modulul de elasticitate ar trebui să fie înlocuit cu presiunea.

Fenomenul se complică însă, din cauză că destinderile și comprimările succesive fiind prea rapide, temperaturile locale suferă variații, ce nu pot fi compensate prin schimburi de căldură.

<sup>1)</sup> În prezent profesor la Universitatea din București.

*Prin urmare, aceste comprimări au caracterul adiabatic.*

Comprimările și dilatățile succesive, produse de undele elastice, sînt adiabactice.

Vom înmulți deci presiunea cu raportul căldurilor specifice și astfel viteza de propagare a undelor longitudinale se va exprima prin relația

$$v = \sqrt{\frac{p}{\rho}} \kappa. \quad (172.1b)$$

Știind că valoarea lui  $\kappa$  este 1,66, pentru gazele monoatomice, 1,4, la cele biatomice și 1,33, la cele triatomice, putem astfel calcula viteza  $v$ .

Cînd nu cunoaștem structura moleculară a gazelor, simpla determinare a vitezei sunetului, pe cale experimentală, ne permite să aflăm raportul căldurilor specifice și să ne dăm seamă de numărul atomilor din moleculă.

Aceeași relație ne mai dă putința să calculăm viteza, la o temperatură  $t$ , cînd o cunoaștem la temperatura  $t_0$  și cînd presiunea rămîne neschimbată.

Știind că densitatea variază cu temperatura după relația

$$\rho_t = \frac{\rho_0}{1 + \alpha \Delta t},$$

avem

$$v_t = \sqrt{\frac{p(1 + \alpha \cdot \Delta t)}{\rho_0}} \cdot \kappa.$$

Prin urmare

$$\boxed{v_t = v_0 \sqrt{1 + \alpha \cdot \Delta t}}. \quad (172.2)$$

Viteza undelor elastice în gaze crește proporțional cu rădăcina pătrată a binomului de dilatare.

În concluzie: viteza undelor elastice longitudinale, în gaze, crește proporțional cu rădăcina pătrată a binomului de dilatare.

2. *Undele transversale.* Am văzut mai sus că asemenea unde nu pot să apară în gaze, nici în lichide, fiindcă

nu există posibilitatea transmiterii deformărilor laterale, între două pături succesive, ce nu fac decît să lunece una pe alta, cu frecări neglijabile.

Undele transversale nu pot să apară decît în solide.

În solide, propagarea lor este legată de modulul de îndoire (cînd se transmit printr-o bară), sau de forfecare (cînd se transmit printr-un mediu nelimitat).

Cum acești moduli sînt mai mici decît modulul de elasticitate, viteza va fi de asemenea mai mică.

Teoria elasticității ne arată că, pentru un mediu nelimitat, această viteză este aproximativ

$$v = 0,6 \sqrt{\frac{E}{\rho}}. \quad (172.3)$$

*Fenomenul de polarizare.* Oscilațiile transversale fiind, prin definiție, perpendiculare pe direcția de propagare, putem deosebi mai multe cazuri particulare:

a) Să presupunem că, reluînd experiența cu funia, de care ne-am servit ca să evidențiem această specie de unde, am fixa-o la un capăt și am imprima celuilalt capăt oscilații ritmice, după o direcție dată, de pildă în planul vertical (fig. 8, a).

Diferitele puncte ale funiei, întîlnite în cale de unda ce se propagă, vor oscila de asemenea în planul vertical și un observator ce ar privi în lungul ei ar constata că, din înfrîntarea de direcții perpendiculare pe linia de propagare, oscilațiile aleg una singură.

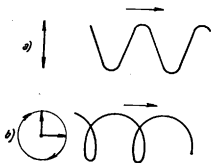


Fig. 8. Polarizarea rectilinie și circulară.

Vom spune, în acest caz, că undele sînt *polarizate liniar*, în planul vertical.

b) În a doua serie de experiențe, vom imprima capătului funiei o mișcare circulară (fig. 8, b).

Această mișcare se transmite din aproape în aproape, cu diferențele de fază corespunzătoare timpului de propagare și funia capătă aspectul unei spirale, ce se înșurubează neconținut, în sensul lungimii.

Dacă punctele mediului descriu traiectorii circulare sau eliptice, unda este polarizată circular sau eliptic.

Fiecare punct al ei descrie o traiectorie circulară și de aceea vom spune că unda transversală s-a polarizat circular.

La fel s-ar fi petrecut lucrurile dacă am fi mișcat capătul funiei după o elipsă. Am fi avut atunci o spirală turtită și o polarizare eliptică.

În § 55.2 am arătat că o mișcare circulară sau eliptică poate fi descompusă în două mișcări oscilatorii sinusoidale, defazate cu un sfert de perioadă, ce s-ar desfășura după direcții perpendiculare, cu frecvențe egale<sup>1)</sup>.

Undele polarizate circular sau eliptic rezultă din compunerea undelor polarizate rectiliniu, în două plane perpendiculare.

Vom considera deci undele polarizate circular sau eliptic drept o suprapunere de unde polarizate rectiliniu, în două plane perpendiculare.

Fenomene analoge se pot petrece și în alte medii, limitate sau nelimitate.

Când mediul este *izotrop* viteza de propagare a undelor longitudinale sau transversale depinde de proprietățile elastice, dar nu depinde de direcția urmată.

Dacă mediul este *anizotrop*, vitezele vor fi mai mari, în direcția coeficientului de elasticitate maxim.

În cazul particular al undelor transversale, în medii neomogene, apar polarizări, în două plane perpendiculare, ce cuprind cele două direcții de elasticitate minimă și maximă, iar componentele respective se propagă cu viteze diferite.

<sup>1)</sup> Se demonstrează că traiectoria eliptică apare pentru orice defazaj diferit de zero, dar axele elipsei se orientează atunci înclinat, față cu axele de coordonate rectangulare.



Polarizarea nu poate să existe decât în cazul undelor transversale.

*Este evident că asemenea polarizări nu pot să existe la undele longitudinale și deci sînt caracteristice undelor transversale.*

**3. Undele superficiale.** O cercetare mai amănunțită arată că aceste unde sînt, în realitate, consecința unei mișcări locale de rotație, în planul perpendicular pe suprafață, așa cum se vede din fig. 9.



Fig. 9. Mecanismul formării undelor superficiale.

Această rostogolire se transmite din aproape în aproape, cu diferențele de fază corespunzătoare timpului de propagare. Ea are sensul propagării, pe creste și sensul contrar, în fundul depresiunilor.

Creștele sînt mai scurte și mai ascuțite, iar văile mai largi și mai întinse, așa că forma undelor nu este sinusoidală.

Încă de la adîncimile destul de mari, mișcările de rotație sînt anulate de frecări și, în locul lor, apar simple comprimări și dilatări, adică unde longitudinale.

De asemenea, cînd un val de amplitudine mai mare vine spre malul apei, unde adîncimea este prea mică, mișcarea de rotație va fi împiedicată, în regiunile de la fund. Creșta valului se ascute atunci, se înclină în sensul propagării și se revarsă, încălcînd peste regiunile ce o preced.

Fenomenul poate fi observat mai ales la malul mării.

Se poate demonstra că, pentru amplitudini destul de mici, viteza de propagare a undelor superficiale este dată de relația

$$v = \sqrt{\frac{g\lambda}{2\pi} + \gamma \frac{2\pi}{\lambda\rho}} \quad (172.4)$$

în care am notat cu  $\gamma$  tensiunea superficială a lichidului.

Undele superficiale sînt consecința unor mișcări de rotație. Viteza lor nu depinde de constantele elastice ale mediului.

*Ea este deci independentă de constantele elastice ale mediului, ceea ce ne arată că aceste unde nu sînt de natură elastică.*

La lungimile de undă mici, domină termenul al doilea de sub radical. Termenul întîi poate fi atunci neglijat și propagarea este legată mai mult de densitate și de tensiunea superficială.

La lungimile de undă mari, domină, din contra, primul termen. Viteza crește atunci proporțional cu rădăcina pătrată a lungimii de undă și este independentă de natura mediului.

La lungimile de undă mici domină tensiunea superficială, iar la undele mai lungi gravitația. Viteza este atunci independentă de mediu.

*În cazul acesta, formarea undelor și propagarea lor sînt dictate aproape exclusiv de acțiunea gravitației.*

Cu excepția micilor încrețituri, produse de vînt pe suprafața unei ape liniștite, unde tensiunea superficială joacă rolul preponderent, folosim de obicei relația simplificată

$$v = \sqrt{\frac{g\lambda}{2\pi}}. \quad (172.4 a)$$

Ea este valabilă numai cu condiția ca să existe o adîncime suficientă, pentru desfășurarea mișcărilor circulare amintite.

Tabela de mai jos ne dă vitezele, pentru diferite lungimi de undă, calculate cu această relație și verificate prin experiență.

$\lambda =$	0,1	1	10	40	100 m
$v =$	0,4	1,5	4	8	13 m/s.

Pentru lungimile de undă mari, care interesează cantități importante de apă, amplitudinile pot să atingă cîteva zeci de metri și energiile capătă valori enorme. S-au făcut diferite încercări pentru folosirea lor, dar n-au dus la rezultate practice, din pricina dificultăților tehnice de realizare.

Este evident că, la gaze, tensiunea superficială fiind practic nulă, vom aplica numai relația (172.4 a).

Am vorbit mai sus despre fișile paralele de nori, ce se formează uneori în planul orizontal, în păturile de sus ale atmosferei. Distanța între ele este atunci egală cu lungimea de undă.

§ 173. **Dispersia undelor. Viteza de grup.** Dacă producem o serie de valuri, pe suprafața apei, agitând-o neregulat, aceste valuri vor fi formate din unde mai lungi și mai scurte.

Cele mai lungi se vor propaga mai repede, vor lăsa în urmă pe cele mai scurte și, cu timpul, se vor despărți de ele.

**Diferența vitezelor separă prin dispersie undele lungi de cele scurte.**

Această separare poate fi observată ușor și se numește *dispersie*.

Lichidul constituie deci, pentru undele superficiale, un *mediu dispersiv*.

Asemenea fenomene pot fi observate și la undele elastice, longitudinale sau transversale, dar numai în condiții cu totul excepționale, de pildă la amplitudini foarte mari. De aceea nu vom ține seamă de dinsele, în acustică.

Le vom întâlni însă mai târziu, în studiul opticii și al undelor electromagnetice.

Dacă producem, pe suprafața apei, un grup restrins de unde, cu diferite lungimi, adică ceea ce numim un *tren* de unde complexe, acest grup are un *front* și o *coadă*.

El se propagă cu o viteză dată dar, în interiorul lui, pot să existe unde a căror lungime le permite să meargă mai repede decât dînsul. Ele ajung din urmă frontul și dispar acolo, în vreme ce altele vin să le înlocuiască.

Într-un mediu dispersiv, trebuie deci să considerăm două feluri de viteze:

1) *O viteză de grup*, sau de ansamblu a întregului tren și

2) *O viteză a undelor*, cu care se propagă o fază dată, pentru anumită lungime de undă.

Ceea ce definește unda, în interiorul grupului, este *faza*, care e aceeași, în două puncte separate printr-o lungime de undă.

**Într-un grup de unde avem o viteză de grup, cu care se transportă energia și o viteză de fază, caracteristică fiecărei lungimi de undă.**

Grupul, în totalitatea lui, nu face decât să transporte energia primită, iar viteza de grup este viteza cu care se transportă această energie.

Dacă notăm viteza de fază cu  $v$  și viteza de grup cu  $u$  se demonstrează că

$$u = v - \lambda \frac{dv}{d\lambda} \quad (173.1)$$

Relația (172.4 a) ne dă, prin derivare,

$$\frac{dv}{d\lambda} = \frac{1}{2\lambda} \cdot v$$

și rezultă că

$$u = \frac{1}{2} \cdot v. \quad (173.2)$$

Prin urmare viteza de grup a undelor superficiale de lungime mai mare este jumătatea vitezei de fază.

Analog, relația (172.4) ne dă, pentru undele scurte, produse de tensiunea superficială,

$$u = \frac{3}{2} \cdot v. \quad (173.3)$$

De astă dată viteza de grup este o dată și jumătate mai mare decât viteza de fază.

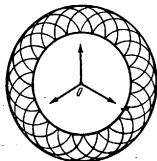


Fig. 10. Principiul lui Huyghens aplicat la undele sferice.

Fiecare punct al unei unde devine centru de propagare pentru o undă nouă, de aceeași perioadă.

#### § 174. Principiul lui Huyghens.

Să considerăm o undă singularică, într-un moment al propagării ei, printr-un mediu oarecare. Pentru simplificare, vom presupune că mediul este omogen.

Dacă e superficială, această undă va avea forma unui cerc, iar dacă mediul este nelimitat, vom avea o sferă care, în secțiune, apare tot ca un cerc (fig. 10).

Ca să interpreteze mișcarea progresivă a unde, *Huyghens* pleacă de la următoarea ipoteză :

*Fiecare punct al unei unde devine centru de producere și de propagare al unei noi unde, de aceeași perioadă.*

Inseamnă că, dacă ducem o infinitate de cercuri sau sfere, de raze egale cu distanța parcursă într-un timp dat și cu centrele pe unda considerată, noua poziție a unde ce s-a propagat este înfășurătoarea tuturor acestor cercuri sau sfere.

În spațiul intermediar, infinitatea de unde suprapuse duce la o rezultantă nulă.

Este evident că, dacă centrul de propagare al unde considerate inițial ar fi foarte depărtat, adică practic la infinit, sferele sau cercurile ar putea să fie considerate ca plane sau drepte, pe o porțiune finită.

Am avea atunci o *undă rectilinie* sau o *undă plană*.

Figura 11 ne arată mecanismul propagării unei astfel de unde, după principiul lui Huyghens, enunțat mai sus.

Rămîne să cercetăm dacă acest principiu, deocamdată ipotetic, este în acord cu faptele constatate experimental.

Figura 12 reproduce fotografia instantanee a suprafeței unei ape liniștite, pe care se propagă o serie de unde rectilinii.

În calea lor s-a pus o scîndură, cu o tăietură îngustă, la mijloc.

Se vede bine cum această deschidere a devenit un centru de propagare pentru o serie de unde circulare, care s-au format de cealaltă parte a scîndurii.

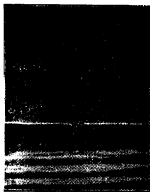


Fig. 12. După principiul lui Huyghens, în dosul deschiderii apar unde sferice.

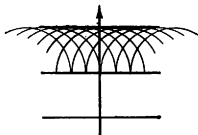


Fig. 11. Principiul lui Huyghens aplicat la undele plane.

Experiența poate fi repetată, în aceleași condiții, cu o cuvă cu mercur, despărțită în două compartimente, printr-un carton găurit.

Această verificare directă a principiului lui Huyghens nu este singura posibilă. Numeroase alte fenomene ne fac să-l admitem ca valabil pentru toate procesele de propagare ale undelor de orice specie.

În cele ce urmează, vom încerca să lămurim, cu ajutorul lui, câteva din aceste fenomene.

### 1. *Difracția undelor.*

În partea de sus a fig. 12 se vede cum unda plană, care a atins deschiderea scîndurii, se propagă și în dosul ei, sub forma de unde circulare, cel puțin pînă la o distanță oarecare, cași cum obstacolul nu ar exista.

*In oarecare măsură, undele pot să ocolească deci un obstacol și experiența ne arată că-l vor ocoli cu atât mai bine, cu cât vor fi mai lungi, în comparație cu dimensiunile lui.*

Undele pot să ocolească prin difracție un obstacol care nu e prea mare, în comparație cu lungimea lor.

Fenomenul acesta de ocolire se numește *difracție*.

El devine neglijabil numai la un obstacol foarte mare, în comparație cu lungimea de undă interceptată.

Putem observa fenomene de difracție, între altele, la propagarea sunetului :

O fanfară, care cîntă în spatele unei clădiri, se aude și de cealaltă parte a clădirii, dar se aud mai bine sunetele joase, cu lungimea de undă mai mare.

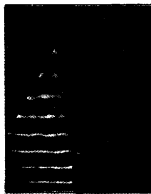


Fig. 13. Reflexia unor unde superficiale.

2. *Reflexia undelor.* Experiența ne arată că o serie de unde, care întîlnesc un obstacol, se reflectă. În fig. 13 am reprodus fotografia instantanee a unor unde rectilinii, ce se reflectă pe o suprafață plană. Ele păstrează și după reflexie forma inițială.

Ca să înțelegem mai bine fenomenul, vom considera o singură undă plană, ce se propagă în sensul săgeții, așa cum arată fig. 14.

În momentul inițial, unda trece prin punctul *A*.

Vom alege pe dînsa un al doilea punct *B*, așa fel că el să ajungă

la obstacol exact după o secundă. Distanța *BB'* reprezintă atunci, la o scară anumită, viteza de propagare a undei, pe care o notăm cu *v*.

După principiul lui Huyghens, punctul *A* devine centru de propagare și unda sferică respectivă va avea, tot după o secundă, raza *v*.



Să considerăm deci o undă plană care, în momentul inițial, trece prin  $A$  și să luăm pe dinșu un punct  $B$ , care ajunge după o secundă în  $B'$ , pe suprafața de separație  $xy$ , între cele două medii (fig. 16).

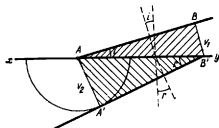
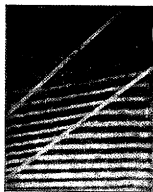


Fig. 15. Refracția undelor superficiale.

Fig. 16. Refracția unei unde plane.

Pentru fixarea ideilor, vom presupune că viteza  $v_1$  din primul mediu este mai mică decât viteza  $v_2$ , din mediul al doilea.

Punctul  $A$  devine centru de propagare și unda sferică plecată din el va avea, după o secundă, raza  $v_2$ .

La sfârșitul secunde, unda refractată va fi deci tangentă în  $A'$  și va trece prin punctul  $B'$ .

Dacă notăm cu  $\hat{i}$  unghiul de incidență și cu  $\hat{r}$  unghiul de refracție, triunghiurile dreptunghice hașurate ne dau

$$\overline{AB'} = \frac{v_1}{\sin i} = \frac{v_2}{\sin r}$$

de unde rezultă imediat că

$$\boxed{\frac{\sin i}{\sin r} = \frac{v_1}{v_2} = n} \quad (174.1)$$

În care  $n$  este o constantă, caracteristică trecerii de la un mediu la altul, pe care o numim *indice de refracție relativ*.



Dacă o undă trece dintr-un mediu în altul, unde viteza e mai mare, unghiul de refracție va fi de asemenea mai mare decît unghiul de incidență.

Relația de față ne spune că *raportul între sinusul unghiului de incidență și sinusul unghiului de refracție este constant, între două medii date și egal cu raportul vitezelor de propagare. El definește indicele de refracție.*

Pe figură am reprezentat punctat și două *raze* ale undelor plane. Aceste raze formează cu normala unghiuri  $i$  și  $r$ , egale cu unghiurile de incidență și de refracție.

Viteza fiind mai mare, în mediul al doilea, raza refractată s-a depărtat de normală. Contrarul s-ar fi întîmplat, dacă viteza ar fi fost mai mare în *primul* mediu sau, ceea ce e tot una, dacă sensul de propagare s-ar fi inversat.

*Notă.* Am face o greșeală dacă, extinzînd o enunțare desuetă a unei legi din optică, am spune că:

*„La trecerea dintr-un mediu mai rar, în altul mai dens, raza refractată se apropie de normală și invers”.*

Din ecele arătate, nu densitatea dictează asupra fenomenului de refracție, ci viteza de propagare.

De pildă, la trecerea undelor elastice din aer în apă, raza refractată se depărtează de normală, cu toate că densitatea aerului e mai mică decît a apei.

**4. Reflexia totală.** Să considerăm raza unei unde incidente, ce trece dintr-un mediu în altul, în care viteza de propagare este mai mare (fig. 17).

Ea se depărtează de normală și, dacă unghiul de refracție depășește  $90^\circ$ , nu mai poate pătrunde în mediul al doilea, ci suferă o *reflexie totală*, după legile obișnuite ale reflexiei.

Reflexii parțiale întovărășesc întotdeauna refracția. De aceea numai o parte din energia unei incidente poate să treacă în mediul vecin. *În cazul reflexiei totale, nu mai trece nimic.*

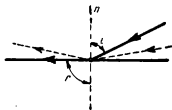


Fig. 17. Reflexia totală.

Cînd unghiul de refracție depășește  $90^\circ$ , unda nu părăsește mediul, ci se reflectă total.

În situația-limită, cînd unghiul de refracție ar fi de  $90^\circ$ , relația (174.1) de mai sus ne dă, pentru indicele de refracție, valoarea

$$\sin i = n = \frac{v_1}{v_2}.$$

Fenomene interesante de reflexie totală pot fi observate în atmosferă, cînd pături mai calde încălesc peste altele mai reci.

De pildă iarna, în porturi, apa mării dă păturilor inferioare de aer o temperatură care poate fi uneori mai joasă decît a celor de deasupra lor.

Fiindcă viteza sunetului în aer crește cu temperatura, toate zgomotele portului, în loc să se împrăstie în spațiu, suferă, în

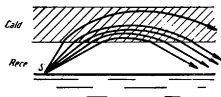


Fig. 18. Reflexia totală a sunetului pe o pătură de aer cald.

aceste pături calde, refracții succesive, care le deviază treplat, pînă ce direcția undelor sonore atinge unghiul corespunzător unei reflexii totale (fig. 18).

Ele se întorc atunci înapoi spre mare și rada portului devine deosebit de gălăgioasă.

În larg, vocea se propagă la distanțe neobișnuit de mari, cînd apar aceste inversiuni de temperatură și marinarii spun că „marea poartă vocea”.

De asemenea s-a observat, încă din timpul războiului mondial din 1914; că zgomotul canonadei de pe front se aude pînă pe la 80 km. După aceea urmează o zonă de liniște, iar pe la 200 km începe să se audă din nou și încă destul de tare.

La această distanță ajung sunetele ce s-au reflectat pe la 30—40 km înălțime, în pătura caldă de ozon.

Asemenea sondaje sonore ne permit să cercetăm structura păturilor superioare atmosferice, cu ajutorul zgomotelor produse de explozii.

§ 175. **Schimbarea de fază la reflexie.** Reluând încercările cu funia de rufe, pe care le-am descris mai sus, vom lega-o cu un capăt de un suport rigid și vom da celuilalt capăt o scurtă lovitură laterală.

De astă dată vom face și o *convenție* de semn, în privința elongațiilor, pe care le vom considera ca *pozitive*, când sînt îndreptate într-un sens anumit (de pildă în sus) și *negative*, când sînt îndreptate în sensul contrar.

Deformarea produsă merge în lungul funiei, se reflectă la capătul fixat și se întoarce înapoi. Dar experiența ne arată că reflexia răstoarnă sensul elongațiilor (fig. 19, a).

Dacă lovitura inițială a fost dată de sus în jos, unda reflectată aduce înapoi o deformare de jos în sus.

**Reflexia undelor pe un obstacol rigid schimbă semnul elongațiilor.**

Dacă legăm pe funie, aproape de capătul fixat, o mică masă suplimentară, aceasta reprezintă de asemenea un obstacol, în stare să reflecte undele (fig. 19, b).

Acest obstacol nu este rigid, ci *liber*, fiindcă se poate da în lături, la sosirea deformației. Totul se petrece ca și când funia întinsă ar sta liber, în aer, fără nici un suport fix.

**Reflexia undelor pe un obstacol liber nu schimbă semnul elongațiilor.**

Dacă dispunem de spațiu suficient, putem repeta încercarea cu aceeași funie, întinsă vertical, sub acțiunea greutății proprii. Lovitura, dată la capătul de sus, produce o deformare, care se reflectă la capătul liber de jos, fără schimbare de semn a elongațiilor.

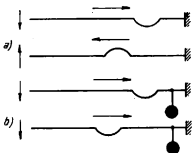


Fig. 19. Reflexia cu schimbare și fără schimbare de semn.

*Vom spune deci că reflexia undei pe un obstacol rigid schimbă semnul elongațiilor incidente.*

*Experiența ne arată că reflexia undei pe un astfel de obstacol liber nu mai schimbă semnul elongațiilor.*

Aceste fenomene apar nu numai la deformațiile singuraticе, dar și la undele continue, longitudinale sau transversale.

Dacă o undă sinusoidală aduce pe obstacolul rigid elongația

$$e_1 = a \cdot \sin \omega t,$$

unda reflectată pleacă înapoi cu elongația

$$e_2 = -a \sin \omega t = a \sin (\omega t - \pi) = -e_1,$$

adică în opoziție de fază cu unda incidentă.

Sensul fizic al schimbării de semn este ușor de înțeles :

Obstacolul fiind rigid, nu este capabil să primească oscilația și cele două unde se anulează reciproc, în punctul de reflexie. Aici unda reflectată întârzie cu o jumătate de perioadă, față de unda incidentă.

Dacă obstacolul este liber, unda reflectată are elongația

$$e_2 = a \sin \omega t = e_1$$

și este în fază cu unda incidentă.

Există și situații în care punctul sau suprafața de reflexie nu sînt bine precizate. Reflexia este atunci *difuză*, fiindcă se face treptat și uneori chiar în direcții diferite.

§ 176. **Interferența undelor.** În sensul mai larg, se înțelege prin *interferență* suprapunerea a două unde, care se întîlnesc într-un punct oarecare al mediului de propagare.

Interferența este anularea reciprocă, parțială sau totală a două unde suprapuse.

Obișnuit se aplică însă această denumire numai fenomenelor în care *undele suprapuse ajung să-și anuleze reciproc efectele*.

Figura 20 reproduce fotografia instantanee a unor unde circulare superficiale, produse în două puncte care oscilează în fază și cu aceeași perioadă, adică *sincron*.

Din ea se vede bine cum aceste unde se anulează reciproc în lungul unor linii, care au forma de hiperbole, cu focarele în cele două centre de propagare.

Pentru ca interferența să aibă loc, e nevoie ca *undele suprapuse să producă oscilații locale în opoziție de fază*.

Prin urmare, dacă elongația unuia din ele, în punctul considerat, ar fi

$$e_1 = a \sin \omega t$$

elongația celeilalte ar trebui să fie

$$e_2 = a \sin [\omega t + (2n + 1)\pi] = -e_1,$$

adică defazată cu un multiplu nepereche de  $\pi$ , față de prima.

Oscilațiile plecate din două centre sincrone și în fază interferează când diferența de drum este un multiplu impar al jumătății lungimii de undă.

Este evident că acolo unde diferența de drum reprezintă un *multiplu pereche* al jumătății lungimii de undă, vom avea oscilații în fază, care-și adaugă reciproc elongațiile.

Așadar, pentru diferențele de drum

$$\frac{\lambda}{2}, 3\frac{\lambda}{2}, 5\frac{\lambda}{2}, \dots, (2n+1)\frac{\lambda}{2}$$

undele se întâlnesc în opoziție de fază și interferează, iar pentru diferențele de drum

$$2\frac{\lambda}{2}, 4\frac{\lambda}{2}, 6\frac{\lambda}{2}, \dots, 2n\frac{\lambda}{2}$$

oscilațiile ajung în fază și elongațiile se adună între ele.

Forma de hiperbole a liniilor de interferență din figura 20 este acum ușor de explicat:

Hiperbola este, prin definiție, locul geometric al punctelor la care diferența distanțelor, față de două puncte fixe, numite *focare*, este constantă.



Fig. 20. Figuri de interferență la undele superficiale.

În aceste condiții, *diferența drumurilor parcurse, de la centrele de propagare respective, cuprinde un număr nepereche de jumătăți ale lungimii de undă*.

Pe aceeași figură se văd și alte hiperbole, ce alternează cu primele și pe care diferențele de drum sînt multiplu pereche al jumătății lungimii de undă. Pe aceste linii, elongațiile se adună între ele.

Dacă, în locul undelor superficiale, am fi avut unde sferice, într-un mediu nelimitat, punctele de interferență s-ar fi repartizat pe niște hiperboloizi de revoluție.

Ca să producem interferențe, nu e neapărată nevoie de două centre de oscilație. Putem tot așa de bine să canalizăm undele, obligîndu-le să parcurgă drumuri de lungimi diferite, ca apoi să le suprapunem între ele.

Iată o experiență în care aplicăm acest procedeu:

Un tub metallic este îndoit și ramificat așa cum arată fig. 21. Lungimea aparatului este de 150—200 cm, iar diametrul tubului de 25—30 mm.

Una din ramuri poate fi lungită sau scurtată ca un trombon, prin lunecarea unui tub concentric, de diametru ceva mai mic.

Această asemănare justifică numele de *trombonul lui Quincke*<sup>1)</sup>, care s-a dat aparatului.

În fața deschiderii laterale *O* punem să vibreze un diapazon, care produce un sunet muzical de frecvență cunoscută *f*. La cealaltă deschidere laterală adaptăm un tub de cauciuc și ascultăm prin el, în vreme ce lungim sau scurtăm treptat ramura *B*.

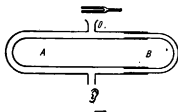


Fig. 21. Trombonul lui Quincke.

După cum diferența de drum, adică diferența de lungime a celor două ramuri parcurse de sunet, este multiplu pereche sau nepereche al jumătății lungimii de undă, vom auzi diapazonul, mai tare sau foarte slab.

Între două maxime sau două minime consecutive, lungimea tubului variază cu o lungime de undă, pe care avem astfel mijlocul să o măsurăm direct.

Relația cunoscută

$$v = \lambda f \quad (171.2)$$

ne permite apoi să calculăm viteza sunetului prin gazul care umple tubul.

1. *Unde staționare.* Fenomenele de interferență implică suprapunerea unor unde, pe care le numim *progresive*,

<sup>1)</sup> *Georg Quincke* (1834—1924) fizician german, fost profesor la universitatea din *Heidelberg*.

fiindcă pleacă de la centrele de propagare și merg neconținut mai departe prin mediu.

Maximele și minimele de amplitudine, rezultate din această interferență, pe care le numim *ventre* și *noduri* de oscilație; rămân însă pe loc, fiindcă poziția lor nu depinde de timp, ci numai de diferența de drum.

În fenomenele de interferență, suprapunerea undelor progresive dă naștere undelor staționare.

Ele se intercalează unele între altele și definesc așa numitele *unde staționare*.

Figura 22 *a* sau *b* arată că, pe dreapta care unește centrele de propagare, nodurile și ventrele se succed la distanțe egale. În lungul acestei drepte, undele progresive parcurg aceeași traiectorie, în sensuri contrarii.

Ca să înțelegem mai bine mecanismul formării undelor staționare, să considerăm acest caz particular.

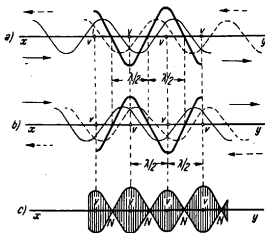


Fig. 22. Formarea undelor staționare.

În fig. 22, *a*, am reprezentat situația instantanee, la un moment dat, a elongațiilor pe cele două unde progresive, care se propagă în sensuri contrarii.

Una este figurată în trăsături pline, iar cealaltă punctat. Săgețile arată sensul de propagare.

Compunerea grafică a lor ne dă curba rezultantă, pe care am desenat-o îngroșat.

Cînd componentele sînt sinusoidale, această curbă e de asemenea o sinusoidă, pe care maximele și minimele se situează în dreptul punctelor notate cu  $V$ .

După un timp oarecare, cele două unde progresive s-au deplasat, cu distanțe egale, una spre dreapta, cealaltă spre stînga (fig. 22,  $b$ ).

Făcînd și de astă dată compunerea grafică, observăm că maximele și minimele rezultantei apar tot în dreptul punctelor  $V$ , care nu s-au mutat din loc, după cum nu s-au mutat nici punctele de elongație nulă.

Aceeași constatare o vom face în orice moment am compune cele două unde progresive, pentru că punctele  $V$  sînt *puncte de simetrie*, de care componentele se apropie și se depărtează simultan, cu distanțe egale.

În punctele  $V$ , amplitudinea rezultantei va fi *maximă*. Aici vom găsi *ventrele de amplitudine* ale undei staționare, iar nodurile se intercalează între ele.

Punctele mediului oscilează deci pe loc, între două limite mai apropiate sau mai depărtate de poziția de echilibru, iar la noduri stau în repaus.

Figura 22,  $c$  reprezintă, prin hașuri verticale, traiectoriile descrise de aceste puncte, în cazul particular al undelor transversale sau superficiale.

La undele longitudinale, oscilațiile se orientează în lungul direcției de propagare, ca să dea comprimări și dilatări.

Figurile de mai sus trebuie să fie atunci considerate ca *simple reprezentări grafice* și nu ca o imagine reală a fenomenului.

Cînd undele progresive urmează aceeași traiectorie, în sensuri contrarii, nodurile și ventrele se alternează după fiecare sfert al lungimii de undă.

Aceleași figuri ne mai arată că *distanța între un ventru și nodul vecin este egală cu sfertul lungimii de undă, iar nodurile și ventrele se distanțează între ele cu jumătatea lungimii de undă.*

Iată și cîteva experiențe simple, prin care putem produce unde staționare, prin suprapunerea undelor directe, peste cele reflectate:



1) Legăm o funie de rufe, cu un capăt, la un suport rigid și imprimăm celuilalt capăt o mișcare transversală ritmată sau mai bine o mișcare de rotație. Funia capătă atunci aspectul din figura 23, a.

Poziția și numărul nodurilor poate fi schimbată fie trăgând mai tare de funie, ca să mărim viteza de propagare, fie modificând perioada de oscilație.

2) Legăm o sfoară întinsă, de ciocanul unei sonerii electrice, așa ca să vibreze transversal.

3) Prin aceeași metodă, transmitem oscilații longitudinale în lungul unui resort.

Undele staționare capătă atunci aspectul din figura 23, b.

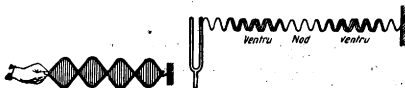


Fig. 23, a. Unde staționare pe o funie întinsă.

Fig. 23, b. Unde staționare pe un resort care vibrează longitudinal.

4) Fixăm o bară la mijloc și îndoim lateral unul din capete, ca să-l facem să vibreze.

La cele două extremități, undele se reflectă fără schimbare de semn. Acolo apar ventrele, iar nodul se formează la mijloc (fig. 24).

5) Stringem tare, într-o menghină, mijlocul unei bare metalice și o frecăm, în sensul lungimii, cu o bucată de piele, unsă cu saciz.

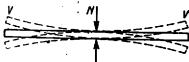


Fig. 24. Vibrația unei bare, fixată la mijloc



Fig. 25. Unde staționare în tubul lui Kundt.

Bara vibrează atunci longitudinal și produce un sunet intens.

Ventrele se formează la cele două capete, nodul în punctul fixat, iar lungimea barei cuprinde o jumătate de lungime de undă.

Dacă introducem unul din capete într-un tub de sticlă, vibrațiile se transmit gazului din el, iar dacă închidem capătul opus, cu un dop care să le reflecte, obținem și aici unde staționare (fig. 25).

Le putem evidenția, introducând în tub o cantitate mică de *pulbere de lycopodium* sau praf de plută. Această pulbere ușoară este aruncată din dreptul ventrelor și se adună la noduri<sup>1)</sup>.

Dacă măsurăm distanța între punctele de îngrămădire, avem jumătatea lungimii de undă în gaz.

Vom nota vitezele de propagare în bară și în gaz cu  $V$  și  $v$ , iar lungimile de undă măsurate, cu  $\Lambda$  și  $\lambda$ .

Relația de definiție a lungimilor de undă

$$v = \lambda f \quad (171.2)$$

ne dă atunci

$$\frac{V}{v} = \frac{\Lambda}{\lambda}.$$

Avem astfel mijlocul să determinăm viteza sunetului în bară, când li cunoaștem viteza în aer.

De asemenea putem înlocui aerul fie cu un gaz oarecare, fie cu un lichid<sup>2)</sup>. Lungimile de undă măsurate ne permit atunci să comparăm vitezele de propagare.

Se știe că, în gaze, aceste viteze sînt direct proporționale cu rădăcina pătrată a raportului căldurilor specifice  $c_p/c_v$ , pe care l-am notat cu  $\kappa$  (v. § 172).

Vom avea deci, pentru două gaze diferite,

$$\frac{v_1^2}{v_2^2} = \frac{\kappa_1}{\kappa_2}$$

și comparația valorilor obținute ne dă indicații asupra structurii moleculare.

Această metodă a fost aplicată pentru prima dată de *Kundt*<sup>3)</sup>.

**2. Calculul amplitudinii undelor staționare.** Amplitudinea undelor staționare, formate prin suprapunerea undelor progresive directe și reflectate, poate fi calculată în felul următor:

Să presupunem că un șir de unde sinusoidale se propagă, în sensul săgeții, pe direcția  $AB$  (fig. 26).

Ele întîlnesc în  $B$  un obstacol rigid și se reflectă cu schimbare de semn al elongației.

<sup>1)</sup> Dopul trebuie să fie ceva mai larg și înțepat într-o sîrmă, care ne permite să-l mișcăm în tub, pînă cînd lungimea coloanei de gaz cuprinde un număr întreg de internoduri.

<sup>2)</sup> În loc de lycopodium folosim atunci pulbere de aluminiu sau de magneziu.

<sup>3)</sup> *August Kundt* (1838—1894) fost profesor la Berlin.

Vom mai presupune că, la un moment dat, elongația în acest punct este, pentru unda incidentă,

$$e_1 = a \sin \frac{2\pi}{T} t.$$

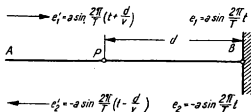


Fig. 26. Pentru studiul undelor staționare.

În același moment, un alt punct  $P$ , aflat la distanța  $d$ , față de  $B$ , va fi în avans de fază și va avea elongația

$$e'_1 = a \sin \frac{2\pi}{T} \left( t + \frac{d}{v} \right) = a \sin \left( \frac{2\pi}{T} t + 2\pi \frac{d}{\lambda} \right). \quad (I)$$

Tot în momentul considerat, unda reflectată are în  $B$  elongația

$$e_2 = -a \sin \frac{2\pi}{T} t$$

și în punctul  $P$ , care e, de astă dată, în întârziere de fază

$$e'_2 = -a \sin \frac{2\pi}{T} \left( t - \frac{d}{v} \right) = -a \sin \left( \frac{2\pi}{T} t - 2\pi \frac{d}{\lambda} \right). \quad (II)$$

Elongațiile adunate, din (I) și (II), ne dau elongația rezultantă în punctul  $P$ . Ea este

$$E = e'_1 + e'_2 = a \left[ \sin \left( \frac{2\pi}{T} t + 2\pi \frac{d}{\lambda} \right) - \sin \left( \frac{2\pi}{T} t - 2\pi \frac{d}{\lambda} \right) \right].$$

Sau, dacă punem diferența funcțiilor trigonometrice sub forma de produs,

$$E = \left( 2a \sin 2\pi \frac{d}{\lambda} \right) \cos \frac{2\pi}{T} t. \quad (176.1)$$

Cantitatea din paranteză nu depinde de timp. Ea este constantă, pentru o valoare dată a distanței  $d$  și reprezintă amplitudinea undei staționare, în punctul respectiv.

Dacă o notăm cu  $A$ , vom avea deci

$$A = 2a \sin 2\pi \frac{d}{\lambda}$$

și, pentru diferite distanțe, găsim valorile absolute de mai jos :

$$a = 0 ; \frac{\lambda}{4} ; 2 \frac{\lambda}{4} ; 3 \frac{\lambda}{4} ; 4 \frac{\lambda}{4} \dots$$

$$A = 0 ; 2a ; 0 ; 2a ; 0 \dots$$

Prin urmare, pentru distanțele multipli nepereche ai sfertului lungimii de undă, amplitudinea unei staționare este dublul amplitudinii unei progresive, iar pentru multipli pereche devine nulă, fiindcă acolo se formează nodurile.

Dacă reflexia undelor s-ar fi făcut fără schimbarea de semn a elongațiilor, unda reflectată ar fi ajuns în  $P$  cu elongația

$$e_2'' = +a \sin \left( \frac{2\pi}{T} t - 2\pi \frac{d}{\lambda} \right)$$

iar nodurile s-ar fi format în locul ventrelor și invers.

Regăsim astfel toate faptele constatate experimental.

**3. Noduri și ventre de tensiune.** În fig. 27 am reprezentat o bară elastică, fixată la mijloc și liberă la capete.

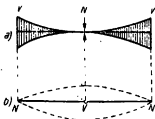


Fig. 27. Noduri de amplitudine și noduri de tensiune.

Când bara vibrează, se formează pe dînsa unde staționare transversale, cu un nod de amplitudine, în punctul fixat și două ventre la extremități.

În timpul vibrațiilor, bara suferă deformări periodice, care vor da naștere la tensiuni elastice cu atît mai mari, cu cît vor fi ele înșile mai mari.

Din figură se vede ușor că ea rămîne aproape nedeformată la

capete și că variațiile tensiunilor elastice vor fi maxime, în punctul fixat.

Nodurile de amplitudine corespund cu ventrele de tensiune și invers.

apar noduri de tensiuni elastice (fig. 27, b).

Prin urmare, în dreptul nodurilor de amplitudine apar ventre de tensiuni elastice, care se inserează între ventrele de amplitudine, unde

Este evident că, dacă bara ar fi fost fixată la extremități, nu fi avut un ventru de amplitudine la mijloc și două ventre de tensiune la capete.

Aceasta se întâmplă obișnuit la coardele vibrante și toți muzicienții știu că, de obicei, strunele de vioară se rup la capete și foarte rar la mijloc.

Același lucru se petrece la vibrațiile longitudinale. Ventrele de amplitudine transmit atunci regiunilor nodale vecine comprimări și dilatări maxime, care dau naștere la ventre de presiune.

Pe un obstacol unde reflexia elongațiilor se face cu schimbare de semn, variațiile de tensiune se reflectă fără schimbare de semn.

Felul în care nodurile și ventrele de tensiune se inserează între acelea de elongații ne arată că *acolo unde elongațiile se reflectă cu schimbare de semn, tensiunile se reflectă fără schimbare de semn și invers.*

În adevăr, un obstacol liber acceptă elongațiile, dar anulează tensiunile elastice, fiindcă nu le oferă puncte de sprijin, pe cînd un obstacol rigid nu primește elongațiile, dar sprijină tensiunile.

**4. Interferența undelor difractate.** Să presupunem că o serie de unde plane, care se propagă în sensul săgeților, întâlnesc un obstacol găurit (figura 28).

Gaura nu trebuie să fie prea mare, în comparație cu lungimea de undă. Îi vom nota lărgimea  $AB$  cu  $a$ .

După principiul lui Huyghens, fiecare punct al ei devine un centru de propagare pentru alte unde sincrone și sferice, care se suprapun în dosul obstacolului.

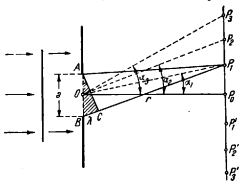


Fig. 28. Pentru studiul difracției undelor printr-o deschidere,

1) Pe axa găurii, într-un punct  $P_0$ , destul de depărtat de obstacol, putem scrie, fără eroare sensibilă, că

$$P_0O = P_0A = P_0B = \dots = r,$$

așa că toate undele vor ajunge acolo în fază.

În acest punct vom avea deci *un maximum de amplitudine*.

2) În alt punct  $P_1$ , ales așa ca

$$\overline{P_1B} - \overline{P_1A} = 2 \frac{\lambda}{2}$$

undele care provin din jumătatea  $OB$  a deschiderii vor trebui să parcurgă o distanță *mijlocie* cu  $\lambda/2$  mai mare decât acelea care provin din jumătatea  $OA$ .

Fiecare punct oscilant găsește, de cealaltă parte a centrului  $O$ , un alt punct, a cărui distanță, pînă la  $P_1$ , este cu o jumătate de lungime de undă mai mare sau mai mică decât a lui.

În  $P_1$  vom avea deci *un minimum de amplitudine*.

Triunghiul hașurat, pe care-l putem considera ca dreptunghic, dacă distanțele sînt foarte mari, ne dă atunci

$$\sin \alpha_1 = \frac{2}{a} \cdot \frac{\lambda}{2}.$$

3) Dacă, în punctul  $P_2$ ,

$$\overline{P_2B} - \overline{P_2A} = 3 \frac{\lambda}{2}$$

putem împărți distanța  $AB$  în trei segmente, în loc de două.

Centrele segmentelor marginale trimit în  $P_2$  unde în fază, care vor fi numai parțial interferate de undele plecate din  $O$ .

Dintr-un număr foarte mare de puncte, cuprinse pe distanța  $a$ , o treime va trimite în  $P_2$  unde care vor interfera cu ale altei treimi.

Rămîn astfel undele celeilalte treimi de puncte neinterferate și în  $P_2$  va rezulta iarăși *un maximum de amplitudine*, mai mic decât acela din  $P_0$ .

Procedînd ca mai sus, găsim că

$$\sin \alpha_2 = \frac{3}{a} \cdot \frac{\lambda}{2}.$$

4) În punctul  $P_3$ ,

$$\overline{P_3B} - \overline{P_3A} = 4 \frac{\lambda}{2}.$$

De astă dată vom împărți mintal distanța  $AB$  în patru segmente, ale căror unde vor interfera două câte două.

În acest punct vom găsi deci *un minimum de amplitudine*. Valoarea unghiului va fi dată de

$$\sin \alpha_3 = \frac{4}{a} \cdot \frac{\lambda}{2}.$$

Și așa mai departe.

*În concluzie: Interferența undelor difractate, în dosul unei deschideri mici, produce, sub unghiuri diferite, maxime și minime succesive de amplitudine.*

Este evident că, pe un plan perpendicular pe direcția de propagare, maximele și minimele produse de unda plană, incidentă pe deschidere, se vor dispune după *zone circulare concentrice*, iar maximul principal se va găsi în centrul lor.

Tabela de mai jos ne dă valoarea unghiului  $\alpha$ , în cazul particular cînd orificiul ar avea un diametru de trei ori mai mare decît lungimea de undă.

Diferența distanțelor.	0	$2\lambda/2$	$3\lambda/2$	$4\lambda/2$
Unghiul de deviație (aprox.).	0	$19,5^\circ$	$30^\circ$	$41,5^\circ$
	max.	min.	max.	min.

În fig. 29 am reprodus fotografia instantanee a unor unde superficiale difractate, ce interferează în dosul unui obstacol găurit.

Se vede cum regiunea centrală de maximum este încadrată, de o parte și de alta, de alte două maxime, ceva mai șterse.

**5. Diagrama polară.** Dacă reprezentăm amplitudinea undelor, în funcție de unghiul de difracție, obținem o *diagramă polară*, așa cum arată fig. 30.

Pentru trasarea ei, ne-am servit chiar de unghiurile cuprinse în tabela de mai sus.

Din motive ușor de înțeles, o curbă analogă se obține cînd cercetăm intensitatea sunetului care provine de la o membrană în vibrație, de pildă de la un difuzor de radio.

În spațiu, această curbă dă naștere unei suprafețe de revoluție

6. *Dispersia undelor difractate.* Unghiurile sub care apar maximele și minimele depind nu numai de diametrul deschiderii, dar și de lungimea unei incidente. Dacă acea-



Fig. 29. Unde superficiale difractate printr-o deschidere îngustă.

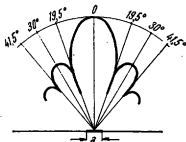


Fig. 30. Diagrama polară a intensității sonore, la o membrană vibrantă

stă undă aduce mai multe oscilații suprapuse, cu frecvențe diferite, interferența se va produce cu atât mai aproape de regiunea centrală, cu cât lungimea de undă respectivă va fi mai mică. Apare astfel o separație, adică o *dispersie* a undelor de lungimi diferite.

§ 177. **Receptori de unde, rezonanța.** O serie de unde sinusoidale, sau numai periodice, care se propagă printr-un mediu, pot să întâlnească în cale un sistem care de asemenea este capabil să oscileze. În anumite condiții, pe care le vom cerceta mai jos, ele îi transmit energie și pot să-i întrețină oscilația.

Unda care se propagă a venit de la un *emittor*, iar corpul sau sistemul care intră în oscilație se numește *receptor*.

Iată câteva exemple :

1) Un copil care se dă în scrînciob știe că nu poate să obțină nici un rezultat, dacă nu imprimă cu corpul impulsuri periodice, în ritmul oscilației sistemului.

2) Clopotarul trebuie să tragă de funie în ritmul oscilațiilor proprii ale clopotului.

3) Două pendule, atârinate de un fir întins orizontal, își comunică unul altuia oscilațiile numai dacă perioadele lor sînt, cel puțin aproximativ, egale.



4) Dacă apăsăm pedala unui piano și producem un sunet muzical în apropiere, una din coarde *răspunde* și continuă să emită același sunet.

Fenomenele de rezonanță apar cînd frecvența emițătorului este egală cu a receptorului.

Toate acestea sînt *fenomene de rezonanță*. Ele implică *egalitatea, cel puțin aproximativă, a frecvențelor emițătorului și receptorului*.

În linii mari, analiza fenomenului este următoarea :

Prima undă pune sistemul în mișcare. Dacă nu ar veni și altele după dînsa, el ar oscila cu frecvența proprie, amortizat și cu amplitudine foarte mică.

Unda următoare, dacă vine la momentul potrivit, compensează pierderile de energie prin frecări și mărește mai departe amplitudinea.

Apoi procesul continuă, pînă cînd amortizarea este exact compensată de aporturile periodice de energie, iar amplitudinea se stabilează la o valoare anumită, cu atît mai mare, cu cît frecările sînt mai mici.

Uneori fenomenele de rezonanță ne aduc foloase și avem interesul să le creem condițiile optime de desfășurare :

Un exemplu îl găsim la instrumentele muzicale, unde lemnul sau coloana de aer vibrează prin rezonanță și amplifică sunetele.

Alteori ele sînt dăunătoare și pot să aibă chiar consecințe grave :

Dacă podurile nu sînt construite așa ca să nu intre în rezonanță cu trepidațiile produse de vehicule, se pot prăbuși la trecerea lor, cu toată că, static, suportă greutăți mult mai mari. Se cunoaște chiar un caz în care prăbușirea s-a produs din pricina pasului cadențat al unei coloane de infanterie.

În industrie, mașinile produc adesea lovituri periodice, care se transmit suportului și întregii clădiri. La anumite viteze *critice* se pot rupe axele motoarelor, sau se poate chiar dărîma clădirea, prin oscilații de rezonanță.

De asemenea corăbiile sau vapoarele se pot răsturna, dacă perioada lor de legănare coincide cu loviturile valurilor.

1. *Efectul amortizării rezonatorului*. Experiința ne arată că frecvența de excitare trebuie să fie cu atît mai apropiată de a rezonatorului, cu cît acesta e mai puțin amortizat.

Sistemele amortizate intră în oscilație chiar dacă frecvența de excitație diferă sensibil de a lor proprie.

*Dacă amortizarea este destul de mare, receptorul intră în oscilație chiar la frecvențe de excitație cu totul diferite de a lui.*

Aceasta se poate observa ușor cu două pendule de lungimi diferite, atârinate de un fir sau de o bară subțire, așa cum arată fig. 31.

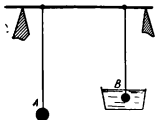


Fig. 31. Oscilația pendulului *B*, introdus în lichid, este mult mai amortizată decât a pendulului *A*.

Unul din pendule are capătul cufundat într-un vas cu apă, care amortizează oscilațiile proprii.

Dacă punem în mișcare pendulul *A*, constatăm că *B* începe și el să oscileze, dar nu cu perioada lui proprie, ci cu perioada lui *A*.

Receptorul amortizat execută oscilații forțate și se sincronizează cu frecvența de excitație.

Vom spune că receptorul amortizat execută oscilații *forțate* și că se *sincronizează* cu frecvența de excitație.

Amplitudinea oscilațiilor forțate este mult mai mică decât a celor de rezonanță.

Dacă amortizarea nu e suficientă, rezonanța nu este complet înlăturată și încă se mai observă o slabă tendință spre un maximum de amplitudine, în anumit domeniu al frecvențelor.

Cînd frecările sînt așa de mari, încît receptorul devine *aperiodic*, adică incapabil să mai execute oscilații proprii, nu mai apare nici un maximum, la oscilațiile forțate și *rezonanța dispare cu totul*.

**2. Curba de rezonanță.** Să considerăm un sistem receptor, cu amortizare mică, a cărui frecvență proprie de oscilație ar fi  $f_0$  și un emițător de frecvență variabilă  $f$ , care-i transmite energie.

Dacă măsurăm experimental amplitudinea căpătată de acest receptor, în funcție de frecvența excitației și trasăm o curbă re-

prezentativă, această curbă are, în linii generale, forma din fig. 32 și se numește *curbă de rezonanță*.

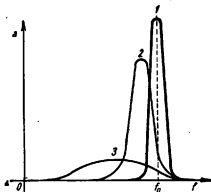


Fig. 32. Curbe de rezonanță și efectul amortizării.

Tot experimental, mai putem constata că ea suferă unele modificări, dacă schimbăm amortizarea receptorului.

Figura ne arată aspectele ei succesive, pentru amortizări din ce în ce mai mari. Se constată astfel că :

Curba de rezonanță reprezintă variația amplitudinii receptorului, în funcție de frecvența excitației. Ea devine cu atât mai ascuțită, cu cât amortizarea este mai mică.

1) Maximul se turtește și receptorul intră în oscilație pentru domenii de frecvență din ce în ce mai largi.

2) Odată cu creșterea amortizării, el se mută către frecvențele mai joase.

Aceasta se datorește faptului cunoscut că amortizarea mărește perioada oricărui sistem oscilant, așa că nici receptorul nu-și mai păstrează frecvența inițială  $f_0$  (v. § 69).

3) Amplitudinea oscilațiilor de rezonanță tinde să devină infinit de mare, când amortizarea tinde către zero. Această condiție ideală nu poate fi realizată.

Prin urmare, dacă vrem ca receptorul să fie *selectiv*, adică să oscileze pentru un domeniu cât mai restrâns al frecvențelor de excitație, va trebui să-i reducem amortizarea la minimum posibil.

Dacă, din contra, i se cere să oscileze forțat, fără să arate o preferință deosebită pentru anumite frecvențe, vom folosi amortizările corespunzătoare.

Această condiție trebuie să o îndeplinească mai ales aparatele de reproducere și înregistrare sonoră : microfoane, difuzoare, membrane de gramofon etc.

Mai putem evita rezonanța, făcînd ca perioada proprie a sistemului să fie cît mai diferită de o eventuală perioadă de excitație.

În acustică avem adesea nevoie de rezonatori cît mai selecțivi. Cele mai bune rezultate le dau atunci rezonatorii cu aer.

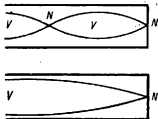


Fig. 33. Tuburi de rezonanță acustică.

Experiența ne arată că un sunet care se propagă printr-un tub, închis la capătul opus, este reflectat acolo cu schimbare de semn a elongațiilor, iar la capătul deschis reflexia se face fără schimbare de semn.

Frecvența proprie de oscilație a coloanei de aer din tub va corespunde astfel acelor lungimi de undă, pentru care se formează un nod de amplitudine la capătul închis și un ventru la capătul deschis (fig. 33).

Dacă notăm lungimea tubului cu  $L$  vom avea deci

$$L = (2n-1) \frac{\lambda}{4}$$

unde  $n$  are valori întregi, sau, în cazul cel mai simplu,

$$L = \frac{\lambda}{4}$$

pentru  $n=1$ .

Știind că  $v = \lambda f$ , înseamnă că vom avea rezonanță pentru orice sunet a cărui frecvență satisface relației

$$f = (2n-1) \frac{v}{4L}$$

În aceste condiții, sunetul este puternic amplificat.

Ca să adaptăm lungimea coloanei la o frecvență dată, putem introduce, în fundul tubului, un piston mobil, sau turnăm lichid apă în el (fig. 34).

Măsurînd apoi lungimile corespunzătoare rezonanței, putem deduce viteza sunetului în aer sau în alt gaz care umple tubul.

Dacă rezonatorul este deschis la ambele capete, rezonanța se va produce cînd lungimea coloanei cuprinde un număr pereche de sferturi de lungime de undă, adică cel puțin două:

Eventual, se poate înlocui gazul cu un lichid oarecare și măsurăm astfel viteza sunetului în lichid.

Metoda a fost aplicată de Wertheim, încă din 1848, apoi de Bungețianu<sup>1)</sup>, în 1908 și mai recent de C. Sălceanu<sup>2)</sup>.

Rezultatele diferă de acelea din mediul nelimitat fiindcă, mai ales la rezonanță, intervin schimburi de energie între pereții tubului și lichid. Se folosesc atunci formule teoretice de corecție, care au inconvenientul că nu pot fi verificate experimental, decît în cazuri cu totul particulare, pe lângă că sînt numai aproximative.

Același cusur îl are de altfel și metoda lui Kundt, pe care am descris-o mai înainte, fiindcă este tot o metodă de rezonanță.

**3. Reacțiunea receptorului asupra emițătorului.** În experiențele descrise nu am ținut seamă de faptul că, în anumite condiții, receptorul poate să acționeze, la rîndul lui, asupra emițătorului, prin inversare de roluri.

Această se întîmplă cînd *cuplajul*, adică legătura lor este destul de strînsă.

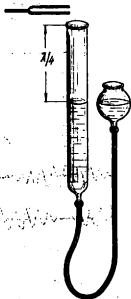


Fig. 34. Rezonatorul cu coloană de aer.

<sup>1)</sup> Fost profesor la Universitatea din București. S-a născut la 1860 și a murit în 1932.

<sup>2)</sup> Actualmente profesor la Institutul Pedagogic din Timișoara.

Vom căuta să analizăm fenomenul prin câteva experiențe simple :

1) Două pendule, de perioade puțin diferite, sînt legate de un fir, întins orizontal, așa cum arată fig. 35.

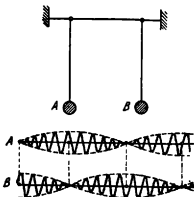


Fig. 35. Oscilația sistemelor cuplate.

Dacă punem să oscileze unul din ele, oscilația se transmite și celuilalt, prin firul de legătură.

În primul rînd, constatăm că perioadele, care erau diferite, devin egale. Prin urmare *cele două pendule se sincronizează reciproc*.

Totodată mai constatăm că amplitudinea fiecăruia crește, în timp ce scade a celuilalt și invers.

Aceasta înseamnă că *energia trece alternativ de la un pendul la altul*.

2) Repetăm experiența cu două pendule identice. Vom constata din nou aceeași trecere succesivă de energie și aceleași alternări ale maximelor de amplitudine, dar *dacă punem în mișcare ambele pendule, simultan și cu aceeași amplitudine, oscilațiile continuă fără influență reciprocă*.

3) Punem să oscileze, după verticală, un pendul elastic. Treptat, amplitudinea lui scade, în timp ce apar oscilații de legănare, ca la un pendul simplu. Apoi acestea dispar și reapar oscilațiile după verticală.

Pendulul elastic transmite astfel energie pendulului simplu, cu care este cuplat și invers, iar perioadele devin egale, prin sincronizare.

În toate aceste experiențe, cuplajul este destul de strîns. Dar dacă, în loc să atîrnăm două pendule de un fir, le-am fi atîrnat de o bară rigidă și bine fixată, cuplajul ar fi fost mai larg și fenomenele ar fi decurs după legile obișnuite ale rezonanței.

De altfel și ceasornicarii știu prea bine că nu se poate face reglajul unor pendule, când stau atârinate una lângă alta, pe un suport mai puțin rigid și când au aproximativ aceeași perioadă de oscilație proprie, fiindcă se sincronizează reciproc și, adesea, una din ele se oprește.

**4. Teoria elementară a fenomenelor de rezonanță.** Să presupunem că o forță exterioară activă  $F_a$ , care variază sinusoidal cu pulsația  $\omega$ , obligă un sistem receptor să oscileze forțat, cu aceeași perioadă ca și dînsa.

Acest receptor poate fi reprezentat schematic așa cum arată fig. 36.

El are o masă, care opune forța de inerție

$$F_i = -m\ddot{x} = -m\omega^2 x \sin \omega t$$

și o elasticitate care, la elongația variabilă  $x$ , dezvoltă forța elastică

$$F_e = Kx = Ka \sin \omega t.$$

Dacă mai există și frecări, experiența ne arată că, la vitezele mici, ele sînt proporționale cu viteza.

Forța dezvoltată astfel va fi deci :

$$F_f = Rv = R\omega x \cos \omega t$$

În care  $R$  este un factor de proporționalitate, numit *coeficient de rezistență*.

Dimensiunile lui sînt

$$[R] = \left[ \frac{F_f}{v} \right] = \text{MT}^{-1}$$

și-l vom exprima în *grame pe secundă* sau în *kilograme pe secundă*.

Toate aceste procese periodice se datoresc forței active  $F_a$ , a cărei intensitate va fi dictată de emițător și de cuplajul cu receptorul.

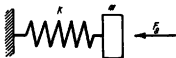


Fig. 36. Pentru studiul rezonanței și al oscilațiilor impuse de forța exterioară  $F_a$ .

Cum încă nu știm dacă ea variază în fază cu elongațiile receptorului, vom admite că este defazată cu unghiul  $\varphi$  și o vom scrie sub forma

$$F_a = F_0 \sin(\omega t + \varphi)$$

rămânînd să cercetăm ulterior ce valoare capătă unghiul de defazaj.

Această forță va trebui să egaleze pe toate celelalte însumate.

Prin urmare

$$-maw^2 \sin \omega t + Raw \cos \omega t + Ka \sin \omega t = F_0 \sin(\omega t + \varphi)$$

sau, dacă dezvoltăm membrul al doilea și grupăm termenii, avem :

$$[Ka - maw^2] \sin \omega t + Raw \cos \omega t = F_0 \sin \omega t \cdot \cos \varphi + F_0 \cos \omega t \cdot \sin \varphi.$$

Pentru ca ecuația de față să devină o identitate, va trebui ca, deoparte și de alta, să avem aceeași coeficienți pentru termenii în  $\sin \omega t$  și  $\cos \omega t$ .

Rezultă că

$$F_0 \cos \varphi = Ka - maw^2 \quad (I)$$

și

$$F_0 \sin \varphi = Raw. \quad (II)$$

De aici deducem, prin simplă împărțire, că există, în ade-văr, un defazaj între forța activă și elongație, definit prin relația

$$\operatorname{tg} \varphi = \frac{R}{\frac{K}{\omega} - m\omega} \quad (177.1)$$

iar sensul acestui defazaj este dictat de semnul numitorului.

Analog, dacă ținem seamă că expresia vitezei cu care se mișcă masa oscilantă este

$$v = a\omega \cos \omega t = a\omega \sin \left( \omega t + \frac{\pi}{2} \right)$$



deducem că viteza se defazează, față de forța activă, cu unghiul

$$\Psi^1) = \frac{\pi}{2} - \varphi.$$

Prin urmare

$$\operatorname{tg} \Psi = \frac{1}{\operatorname{tg} \varphi} = \frac{\frac{K}{\omega} - m\omega}{R} \quad (177.2)$$

cu aceleași considerații ca mai sus, în ce privește semnul algebric.

Viteza și elongația maximă a receptorului se defazează față de intensitatea maximă a forței active, iar masa și constanta elastică produc defazaje de sensuri contrare.

În concluzie, viteza și elongația receptorului nu ating valorile maxime odată cu forța activă, ci se defazează față de dînsa cu unghiurile calculate mai sus.

Numai în cazul ideal,  $R=0$ , cînd frecările ar fi nule, defazajul între forță și elongație ar dispărea.

Este evident că unghiul  $\varphi$  va fi cu atît mai mic și unghiul  $\Psi$  cu atît mai apropiat de  $90^\circ$ , cu cît coeficientul de rezistență al sistemului va fi mai mic.

Aceleași relații de fază ne mai arată că acțiunile masei și constantei elastice produc defazaje de sensuri contrarii.

Cu ajutorul celor stabilite, dacă reprezentăm diferitele amplitudini prin vectori, care se rotesc în sensul săgeții, cu viteza unghiulară  $\omega$  și dacă alegem, de exemplu, cazul în care unghiul  $\varphi$  este pozitiv, orientarea de ansamblu a acestor vectori va fi aceea din fig. 37.

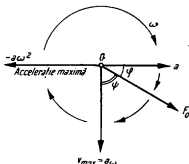


Fig. 37. Diagrama vectorială într-o oscilație impusă de forța exterioră  $F$ .

În fine, dacă rezolvăm sistemul ecuațiilor de compatibilitate (I) și (II), în privința canti-

<sup>1)</sup>  $\Psi$  = literă mare a alfabetului grec. Se citește psi.

tății  $a\omega$ , care reprezintă amplitudinea vitezei sistemului oscilant, găsim că

$$v_{max} = a\omega = \frac{F_0}{\sqrt{\left(\frac{K}{\omega} - m\omega\right)^2 + R^2}} \quad (177.3)$$

și deducem că amplitudinea vitezei, ca și elongațiile maxime, vor fi direct proporționale cu amplitudinea forței active și cu atât mai mici, cu cât cantitatea

$$Z = \sqrt{\left(\frac{K}{\omega} - m\omega\right)^2 + R^2} \quad (177.4)$$

va fi mai mare.

Este ușor de văzut că această cantitate, ca și termenii  $\frac{K}{\omega}$  și  $m\omega$ , are dimensiunile fizice ale coeficientului de rezistență  $R$ , definit mai sus.

**Amplitudinea vitezei este limitată de Impedanță, care reprezintă rezistența mecanică totală a sistemului.**

Ea se opune creșterii de viteză sau de amplitudine și reprezintă o rezistență mecanică a sistemului, pe care o numim *impedanță*.

Impedanța însumează deci trei feluri de rezistențe :

- 1) O rezistență *elastică*, exprimată prin raportul  $\frac{K}{\omega}$ ,
- 2) O rezistență  $m\omega$ , datorită *inerției* sistemului și
- 3) O rezistență de *frecare*, definită de coeficientul  $R$ .

Cantitatea din paranteză poate fi sau pozitivă, sau nulă.

Aceasta înseamnă că *impedanța devine minimă, când se reduce numai la coeficientul de rezistență*.

**La rezonanță  $\frac{K}{\omega} - m\omega = 0$ .**

În aceste condiții, vom avea deci

$$\frac{K}{\omega} - m\omega = 0 \quad \text{și} \quad Z = R \quad (177.5)$$

iar amplitudinea va atinge valoarea maximă.

Știind că  $\omega = \frac{2\pi}{T}$ , deducem că perioada sistemului oscilant emițător este atunci

$$T = 2\pi \sqrt{\frac{m}{K}}$$

adică egală cu perioada oscilațiilor proprii ale receptorului.

Ori aceasta nu e decît condiția de rezonanță, pe care am găsit-o și experimental.

De altă parte, dacă ținem seamă de relațiile de fază (177.1 și 2)

La rezonanță, forța activă este în fază cu viteza și în cuadratură cu elongația receptorului.

se vede imediat că, pentru orice valoare finită a rezistenței  $R$ , viteza de oscilație a receptorului este în fază, iar elongația în cuadratură cu forța activă de excitare.

Toate aceste rezultate teoretice, deosebit de importante și în deplin acord cu experiența, se aplică nu numai la oscilațiile mecanice. Vom reveni asupra lor în studiul curenților alternativi și al oscilațiilor electromagnetice.

5. *Exemple numerice.* 1) Să se calculeze viteza sunetului în hidrogen, la presiunea normală și temperatura de  $0^\circ \text{C}$ .

Presiunea normală de  $1\,033 \text{ gf/cm}^2$  reprezintă aproximativ  $10,1 \cdot 10^5$  baryi.

Densitatea hidrogenului, în condițiile date, fiind  $9 \cdot 10^{-5} \text{ g/cm}^3$ , formula lui Newton ne dă

$$v = \sqrt{\frac{p}{\rho}} \cdot \alpha = \sqrt{\frac{10,1 \cdot 10^5}{9 \cdot 10^{-5}}} \cdot 1,4 = 10^5 \sqrt{1,57} \approx 1\,250 \text{ m/s.}$$

2) Ce devine această viteză la temperatura de  $+20^\circ \text{C}$ ?

Știind că

$$v_t = v_0 \sqrt{1 + \alpha t}$$

găsim că

$$v_{20^\circ} = 1\,250 \cdot 1,036 \approx 1\,300 \text{ m/s.}$$

3) Modulul de elasticitate al oțelului este de  $20\,000 \text{ kgf/mm}^2$ , iar densitatea  $7,8 \text{ g/cm}^3$ . Să se calculeze viteza sunetului.

În unități CGS modulul de elasticitate are valoarea

$$E = 20\,000 \cdot 9,81 \cdot 10^7 = 1,96 \cdot 10^{12} \text{ dyn/cm}^2$$

și formula lui Newton ne dă

$$v = \sqrt{\frac{E}{\rho}} = \sqrt{\frac{1,96 \cdot 10^{12}}{7,8}} \approx 5\,000 \text{ m/s.}$$

4) În experiența lui Kundt, bara este de oțel și tubul este umplut cu hidrogen, la temperatura de  $+20^\circ\text{C}$ . Lungimea de undă a sunetului în metal fiind de 2 m, să se calculeze frecvența și lungimea de undă în hidrogen.

Viteza sunetului în bară fiind de 5 000 m/s, frecvența va fi

$$f = \frac{v}{\lambda} = \frac{5\,000}{2} = 2\,500 \text{ Hz.}$$

Iar dacă luăm viteza calculată mai sus, pentru hidrogen, avem

$$\lambda_H = \frac{1\,300}{2\,500} = 52 \text{ cm.}$$

5) Viteza sunetului în aer fiind de 331 m/s, iar în apă 1 400 m/s, să se calculeze indicele de refracție relativ și unghiul de reflexie totală.

Relația

$$\frac{\sin i}{\sin r} = \frac{v_1}{v_2} = n \quad (174.1)$$

ne dă

$$n = 0,236$$

și

$$\sin i_{\text{lim}} = n = 0,236$$

sau

$$i_{\text{lim}} = 13^\circ 40'.$$

6) Să se calculeze viteza de propagare a undelor superficiale pe apă, cînd au lungimea de undă de 1 mm.

Se va lua pentru tensiunea superficială valoarea 72 dyn/cm.

Relația (172.4) ne dă

$$v = \sqrt{\frac{g\lambda}{2\pi} + \gamma \frac{2\pi}{\lambda\rho}} = \sqrt{\frac{981 \cdot 0,1}{6,28} + 72 \frac{6,28}{0,1}} \approx 67,5 \text{ cm/s.}$$

7) O masă de 50 g este atârnată de un resort, a cărui constantă elastică este  $K = 60\,000 \text{ dyn/cm}$ . Ea oscilează forțat, cu 5,25 Hz. Considerînd coeficientul de rezistență  $R = 3,5 \text{ g/s}$  să se calculeze impendanța și defazarea față de forța activă.

Pulsatia este

$$\omega = 2\pi f = 6,28 \cdot 5,35 = 33,6 \text{ rad/s}$$

și relația (177.4) ne dă

$$Z = \sqrt{\left(\frac{K}{\omega} - m\omega\right)^2 + R^2} = \sqrt{\left(\frac{60\,000}{33,6} - 50 \cdot 33,6\right)^2 + (3,5)^2} \approx 105 \text{ g/s},$$

iar relația (177.1) ne dă

$$\operatorname{tg} \varphi = \frac{R}{\frac{K}{\omega} - m\omega} = \frac{3,5}{\frac{60\,000}{33,6} - 50 \cdot 33,6} = 3,33 \cdot 10^{-2}$$

și unghiul respectiv va fi de aproximativ  $1^{\circ}54'$ .

## CAPITOLUL XXI

### SUNETUL

#### A. Generalități

§ 178. **Producerea sunetelor.** În viața curentă, întâlnim sunete muzicale și zgomote. Ele provin de la corpurile care vibrează, după o lege mai apropiată sau mai depărtată de forma sinusoidală simplă

$$e = a \sin \omega t.$$

În cercetările de acustică folosim toate felurile de sunete, dar avem adesea interesul să ne referim cu deosebire la această formă simplă, sau să ne apropiem cât mai mult de dînsa.

Există numeroase mijloace, cu care putem produce astfel de oscilații, mai ales în domeniul audibil.

Cele mai întrebuițate sînt *diapazoanele*, *fluierile*, și *coardele vibrante*.

*Diapazoanele* au, de obicei, forma din fig. 38. Furca este făcută din oțel și trebuie prelucrată cu multă grijă, ca să aibă peste tot aceeași secțiune.

Ea se așează pe o *cutie de rezonanță*, deschisă la un capăt și făcută din lemn de brad, cu fibrele cât mai regulate.

Lungimea ei se calculează în așa fel ca să cuprindă un sfert al lungimii de undă.

Diapazonul se excită prin lovire, cu un ciocan de lemn sau de cauciuc. Uneori i se adaptează un dispozitiv de întreținere electrică, la fel cu acela folosit la sonerii.

Odată construit, diapazonul trebuie etalonat, ca să-i cunoaștem frecvența de oscilație.

Cel mai simplu este să-l comparăm cu altul, de frecvență cunoscută, puțin mai mare sau mai mică decât a lui.

Cînd vibrează amîndouă, sunetul rezultat din suprapunere trece prin maxime și minime succesive, din cauza *bătăilor*, iar frecvența acestor băți, care pot fi numărate foarte ușor, este egală cu diferența dintre frecvențele componentelor.

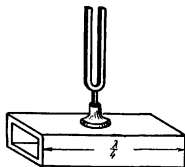


Fig. 38. Diapazon cu cutie de rezonanță

Dacă am avea, de pildă, cite un maximum la fiecare zece secunde și etalonul ar avea frecvența de 440 Hz, frecvența de măsurat este  $(440 \pm \pm 0,1 \text{ Hz})$ .

O altă metodă simplă este să căutăm lungimea unei coloane de aer, care intră în rezonanță cu frecvența diapazonului, dar precizia măsurării este mult mai mică.

În fine, putem înregistra și număra direct oscilațiile dacă lipim, la capătul diapazonului, un fir metalic ușor și-l punem să zgîrie o sinusoidă, pe o foaie de hîrtie afumată, care se mișcă în fața lui, cu viteză cunoscută.

Aceasta este *metoda cronografică*.

*Fluierul și coardele vibrante* sînt bine cunoscute și nu au nevoie de o descriere specială. Legile lor de vibrație le vom cerceta mai tîrziu.

Menționăm deocamdată numai *fluierul lui Galton*<sup>1)</sup>, construit așa cum arată fig. 39, a.

El produce sunete foarte înalte și ne servește ca să măsurăm limita de percepere a acestor sunete.

<sup>1)</sup> Francis Galton (1822—1911), medic englez.

Frecvența poate fi variată, lungind sau scurtând coloana de aer, cu un șurub micrometric.

*Ca etalon de frecvențe*, mai putem folosi și *sirenele*.

În principiu, ele sînt construite așa cum arată fig. 39, *b*. Un disc metalic, ce se rotește în fața unui orificiu, prin care vine un curent de aer, are o serie de găuri periferice.

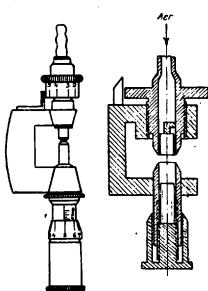


Fig. 39, *a*. Fluierul Galton, în vedere și secțiune.

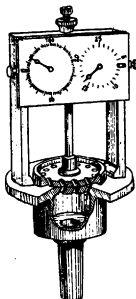


Fig. 39, *b*. Sirenă.

Înteruperea și deschiderea periodică a curentului produce un sunet, a cărui frecvență este dată de produsul dintre numărul găurilor și numărul de rotații pe secundă.

Sistemul funcționează la fel și în lichide <sup>1)</sup>.

Cîntecul caracteristic al turbinelor și motoarelor de turație mare provine dintr-un fenomen analog.

<sup>1)</sup> Inventatorul sirenei este *Cagniard de Latour* (1777—1859), iar numele vrea să facă aluzie la sirenele care-i cîntau lui *Ulyse*, cînd rătăcea pe mare.

În laboratoare, sirenele nu mai au decît o însemnătate istorică, de cînd tuburile electronice ne permit să producem orice frecvențe fixe sau variabile, în condiții mult mai avantajoase. Domeniul lor se limitează acum numai la semnalizările acustice, în aer sau în apă, fiindcă pun în joc energii sonore destul de mari.

§ 179. **Propagarea sunetelor.** În gaze sau în lichide, undele sonore nu pot să fie decît longitudinale.

În solide avem și unde transversale, dar ele sînt inevitabil însoțite de altele, longitudinale, care se propagă mai repede și aduc sunetul înaintea lor.

În propagarea sunetului prin orice mediu considerăm viteza undelor longitudinale.

Afară de cazuri cu totul speciale, *înțelegem deci prin viteza sunetului viteza undelor longitudinale.*

Această viteză poate fi calculată, ca la orice undă elastică, din cunoscuta formulă a lui Newton, eventual adaptată diferitelor cazuri particulare.

În condițiile obișnuite, viteza sunetului nu depinde de frecvență sau de amplitudine.

În condiții obișnuite, *ea nu depinde nici de amplitudine, nici de frecvența undelor care se propagă.*

Dacă ar fi altfel, ar trebui ca muzica să nu mai poată fi ascultată decît din imediata apropiere. De departe am auzi cu totul altceva.

Abateri de la lege apar numai la frecvențele ultrasonore foarte înalte și la amplitudinile foarte mari, produse de explozii. Ele se datoresc numai schimbării constantelor elastice ale mediului, prea repede sau prea tare comprimat.

Iată cîteva din rezultatele determinărilor, directe sau indirecte, exprimate în metri pe secundă:

Aer . . . . .	331
Bioxid de carbon . . . . .	260
Hidrogen . . . . .	1 261
Apă . . . . .	1 440
Alcool 93% . . . . .	1 160
Benzol . . . . .	1 280
Sulfură de carbon . . . . .	1 074
Toluen . . . . .	1 228

Cauciuc (aprox.) . . . . .	50
Piatră . . . . .	4 000
Fier . . . . .	5 000
Plumb . . . . .	1 300
Cupru . . . . .	3 600
Aluminiu . . . . .	5 000
Sticlă . . . . .	5 000
Plută . . . . .	500.



Datele pentru gaze se referă la presiunea normală și temperatura de 0 °C, iar pentru lichide, la temperatura ambiantă<sup>1)</sup>.

În orice mediu de propagare, sunetul pierde treptat din intensitate, fiindcă frecările transformă energia mecanică în căldură.

Cum frecarea crește cu amplitudinea vitezei de oscilație, iar aceasta cu frecvența, slăbirea va fi mai rapidă pentru sunetele înalte. Așa se explică de ce, cînd ascultăm de departe o fanfară, auzim numai bașii și toba mare.

Unele substanțe, cum sînt vata, pluta, rumegușul de lemn sau unele tencueli speciale, atenuează sunetul foarte repede și de aceea le folosim ca *izolanți*.

Cele elastice, cum sînt metalele, betonul, piatra sau sticla transmit undele sonore pînă la distanțe mari.

Folosirea lor în construcții are avantaje, din punctul de vedere ingineresc, dar este dezastruoasă, în ce privește zgomotul. De aceea trebuie asociate cu pături izolante.

Lichidele transmit de asemenea sunetele cu atenuări foarte mici. *Transmiterea prin vid este imposibilă.*

În propagarea lor, undele sonore ascultă de legile cunoscute ale reflexiei, refracției, difracției și interferenței, asupra cărora nu e nevoie să mai revenim. Ele nu pot fi polarizate, fiindcă vibrațiile sînt longitudinale.

*Ecoul și reverberația.* Experiența ne arată cu urechea este în stare să deosebească două sunete scurte, care se succed la cel puțin o zecime de secundă.

Viteza sunetului în aer, la +20 °C, este de 340 m/s.

La +20 °C, distanța minimă ca să apară ecoul este de 17 m.

*Un observator, care emite un sunet, va trebui deci să fie la cel puțin 17 m de un obstacol, ca să poată distinge sunetul reflectat.*

El spune atunci că obstacolul *răspunde*, iar fenomenul se numește *ecou*.

<sup>1)</sup> Vitezele în lichide sînt extrase dintr-o lucrare personală, care datează din 1924. S-a folosit o metodă directă, care evită fenomenele de rezonanță.

Ecoul poate fi multiplu, cînd se produc reflexii distincte, pe mai multe obstacole, sau cînd observatorul se găsește între două obstacole paralele.

Intr-o cameră goală, reflexiile consecutive pe suprafața pereților, care nu pot fi deosebite unele de altele, umplu spațiul cu unde sonore, care nu se amortizează decît treptat, așa că sunetul mai persistă și după încetarea emisiunii.

**Intr-un spațiu limitat, reflexiile succesive pot să prelungească sunetul și să producă reverberația.**

Fenomenul se numește *reverberație* și nu trebuie confundat cu rezonanța.

El poate să apară în orice spațiu limitat de obstacole multiple, de pildă în pădure sau în văgăuni.

Prelungirea sunetelor prin reverberație se observă mai ales în sălile mari, fiindcă numărul de reflexii, necesare stingerii, se desfășură într-un timp mai lung, între obstacole depărtate.

**Durata reverberației se exprimă prin timpul necesar ca intensitatea sunetului să se reducă la o milionime.**

*În studiul acusticii încăperilor se ia, prin convenție, ca durată a reverberației, timpul necesar ca intensitatea unui sunet să scadă la o milionime.*

Timpul acesta se măsoară numai după ce am așteptat întîi ca sunetul să satureze încăperea, adică să apară un echilibru dinamic, între creșterea intensității de reverberație și procesul invers, de stingere.

De asemenea trebuie ca intensitatea finală să fie aleasă așa ca urechea normală să nu mai perceapă sunetul.

Durata de reverberație depinde de forma și mărimea sălii, dar mai ales de natura și grosimea materialelor ce acoperă pereții, fiindcă orice reflexie de sunet este însoțită de o absorbție, în proporție mai mare sau mai mică, prin care energia vibratoare se transformă în căldură.

Procentul absorbit mai depinde și de frecvența sunetului:

Cutare material, care absoarbe 60% din energia incidentă, la frecvența de 5 000 Hz, poate să nu absoarbă decît 20%, la frecvența de 100 Hz.

Durata de reverberație va fi atunci mai lungă, pentru sunetele joase, decît pentru cele înalte.

Absorbția poate să fie aproape totală, în păturile groase și moi, cum ar fi vata sau lina,

Substanțele dure și elastice, ca betonul sau sticla, reflectă, de preferință, sunetele înalte.

La 5000 Hz, sticla nu absoarbe aproape nimic, pe cînd la 100 Hz reține cam 30%.

Între pereți de sticlă sau de beton, durata de reverberație va fi deci mai lungă, pentru sunetele stridente.

În fine, dacă suprafețele de reflexie sînt neregulate și aspre, cum e cazul tencuiei improșcate, sunetele înalte, de lungime de undă mică, vor fi împrăștiate prin difuziune, iar cele joase vor fi reflectate.

După scopul pentru care e construită sala, se caută ca, prin folosirea judicioasă a materialelor și suprafețelor absorbante, să se ajungă la durata de reverberație cea mai convenabilă, pentru o bună audiere a vorbei sau a muzicii.

Ea nu trebuie să fie nici prea lungă, fiindcă amestecă sunetele, nici prea scurtă, fiindcă sala devine „mută”.

La sălile mici, pînă pe la 2000 de metri cubi, durata de reverberație optimă este de 1,1—1,5 secunde.

La sălile de spectacol foarte mari, ea trebuie să fie de 2,5—3 secunde. Vorbirea cere o reverberație mai scurtă decît muzica.

Numai corul și orga sînt avantajate de reverberațiile lungi, care ajung pînă pe la 5 sau 6 secunde.

Un studio de radiodifuziune, sau de înregistrări sonore, trebuie să poată fi adaptat fiecărui gen de audiere. Inginerul de sunet folosește atunci panouri absorbante mobile, a căror mărime și poziție convenabile sînt căutate prin încercări succesive.

A limita reverberația nu înseamnă a suprima sau reduce toate reflexiile, ci numai a le stăpîni, ca să nu devină dăunătoare.

Anumite reflexii, mai cu seamă pe tavane, trebuie să fie, din contra, cel mai avantajate, fiindcă ele sînt acele care asigură o bună acustică a sălii.

Suprafețele respective se studiază așa fel ca undele reflectate să nu ajungă, în unele puncte, pe drumuri prea lungi, în comparație cu ale celor directe, fiindcă atunci sunetele s-ar auzi de două ori. Se vor evita și interferențele.

Forma de boltă centrată a tavanului, ca și aceea plană, întîlnite așa de frecvent, nu sînt prielnice, nici înălțimile inutil exagerate.

Mai trebuie să se țină seamă că masa spectatorilor formează de asemenea o suprafață absorbantă. Se vor evita deci reflexiile de jos în sus, care modifică acustica sălii, după cum e mai plină sau mai goală.

Figura 40 reprezintă unul din profilele corecte.

Înainte de a începe construcția, se face o *machetă* a sălii, care se căptușește cu foițe reflectante de aluminiu și se cercetează intensitatea luminoasă, în diferitele puncte, cînd se aprinde un bec electric, acolo de unde trebuie să provină sunetele.

De asemenea se fac profile longitudinale, care se umplu cu apă și se cercetează intensitatea și forma undelor superficiale, de diferite lungimi, care închipuie sunetele.

Acustica sălilor de cursuri, de conferințe sau de spectacole pune adesea probleme foarte greu de rezolvat.

Proiectarea lor trebuie să fie condusă nu numai de preocupările arhitecturii artistice, dar și de realizarea, în condiții optime, a scopului pen-

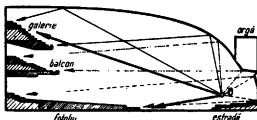


Fig. 40. Profil corect la o sală de concerte.

tru care sint făcute. De altfel experiența ne arată că formele perfecte, din punctul de vedere acustic, sint perfecte și din punctul de vedere al purității artistice a liniei.

§ 180. **Calitățile sunetului.** Sunetele se deosebesc unele de altele prin *înălțime*, *intensitate* și *timbru*.

Ele reprezintă ceea ce numim *calitățile* sunetului.

Le vom examina pe fiecare în parte.

1. *Înălțimea*. Prin convenție, spunem că un sunet este mai înalt decât altul, când are un număr mai mare de vibrații pe secundă. Noțiunea izvorăște din viața curentă și nu are nevoie de altă definiție.

Sunetul LA normal are, prin convenție, 440 de vibrații complete pe secundă.

Tot prin convenție, *se ia ca bază de comparație al cincilea LA din claviatura pianului, care trebuie să aibă 440 de vibrații complete pe secundă.*

El se numește *LA normal* și servește ca punct de plecare pentru fixarea numărului de vibrații la celelalte tonuri ale gamei muzicale, despre care vom discuta mai târziu.

2. *Intensitatea*. Un corp care vibrează comunică mediului o parte din energia lui vibratoare, pe care undele elastice o transportă din aproape în aproape, cu viteza de propagare.

Intensitatea sunetului se exprimă prin energia care străbate într-o secundă unitatea de suprafață, perpendiculară pe direcția de propagare.

Prin definiție, *intensitatea unui sunet reprezintă energia care străbate, într-o secundă, prin unitatea de suprafață, perpendiculară pe direcția de propagare.*

O vom exprima deci în  $\text{erg/cm}^2 \cdot \text{s}$  sau în  $\text{J/m}^2 \cdot \text{s}$ , adică în  $\text{W/m}^2$ , cu dimensiunile  $\text{MT}^{-3}$ .

Să ne închipuim acum o suprafață sferică virtuală, de rază  $R$ , în centrul căreia se găsește izvorul sonor.

După definiția de mai sus, dacă notăm puterea emisă cu  $P$ , intensitatea, la distanța  $R$ , va fi

$$I = \frac{P}{S} = P \frac{1}{4\pi R^2}. \quad (180.1)$$

Intensitatea sonoră a undelor sferice variază invers proporțional cu pătratul distanței.

Deducem astfel că *intensitatea unui sunet care se propagă prin unde sferice variază invers proporțional cu pătratul distanței pînă la centrul de emisiune.*

Să considerăm acum și cazul undelor plane. Aceste unde se propagă paralel cu ele înșile, fără să-și mărească suprafața și dacă ne închipuim un cilindru virtual, cu axa orientată în direcția propagării, prin toate secțiunile lui va trece aceeași cantitate de energie, în unitatea de timp (fig. 41).

Viteza maximă a unei mișcări sinusoidale fiind  $v_0 = a\omega$ , energia cinetică a unei mase oscilante  $m$  va fi

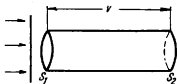


Fig. 41. Pentru calculul intensității sonore.

$$W_c = \frac{1}{2} m v_0^2 = \frac{1}{2} m a^2 \omega^2 = 2\pi^2 a^2 f^2 m.$$

Frontul undelor sonore, care intră prin secțiunea  $S_1$ , presupusă de un centimetru pătrat, parcurge într-o secundă distanța  $v$ , numeric egală cu volumul unui cilindru de aceeași lungime și energia lor se transmite masei  $m = \rho V$ , din cuprinsul mediului.

După definiția dată, această energie reprezintă intensitatea sunetului, așa că

$$I = 2\pi^2 a^2 f^2 \rho V = \frac{1}{2} v_0^2 \rho V. \quad (180.2)$$

Intensitatea sunetului depinde de viteza de propagare și de densitatea mediului. Ea este direct proporțională cu pătratele amplitudinii și frecvenței.

Această relație, fundamentală în acustică, ne spune că *intensitatea sunetului, într-un mediu dat, este direct proporțională cu pătratele amplitudinii și frecvenței.*

*In medii diferite, ea mai depinde încă de densitate și de viteza de propagare*, adică implicit de constantele elastice.

Sub cealaltă formă, aceeași relație leagă intensitatea de amplitudinea vitezei de oscilație a particulelor din mediu.

Intensitatea sunetului poate fi exprimată și în funcție de amplitudinea maximă cu care variază presiunea, când unda comprimată ia locul celei dilatate.

Teoria elasticității ne duce atunci la relația

$$I = \frac{1}{2} \cdot \frac{P_0^2}{\rho V}. \quad (180.3)$$

Intensitatea sunetului este direct proporțională cu pătratul amplitudinii de variație a presiunii.

Ea ne arată că *intensitatea este direct proporțională cu pătratul amplitudinii de variație a presiunii.*

Eliminînd pe  $I$  între cele două expresii ale lui, ajungem la o altă relație, de asemenea importantă în acustică,

$$P_0 = \rho V \cdot v_0. \quad (180.4)$$

Ea este analogă cu *legea lui Ohm* din electricitate, cu deosebirea că diferența de potențial este înlocuită cu amplitudinea de variație a presiunii, iar intensitatea curentului cu amplitudinea vitezei de oscilație a mediului.

Produsul  $\rho V$  exprimă rezistența acustică a mediului de propagare.

Produsul  $\rho V$  ține locul rezistenței electrice și de aceea se numește *rezistența acustică*.

a) *Presiunea de radiație*. Dacă împărțim energia din cilindrul considerat mai sus, prin volumul lui, avem așa numita *densitate de energie sonoră*.

Ea reprezintă cantitatea de energie primită într-o secundă de fiecare centimetru cub al mediului de propagare.

Vom avea deci, prin definiție

$$d = 2\pi^2 a^2 f^2 \rho = \frac{\text{energie}}{\text{volum}} \quad (180.5)$$

cu dimensiunile fizice

$$[d] = \frac{L^2 M T^{-2}}{L^3} = \frac{L M T^{-2}}{L^2} = \left[ \frac{F}{S} \right].$$

Prin urmare *densitatea de energie are dimensiunile unei presiuni*.

Teoria fenomenului, confirmată de experiență, ne arată că, în adevăr, un sunet exercită o *presiune de radiație*, egală cu *diferența densităților de energie*, pe fața și pe dosul unei suprafețe date.

Presiunea de radiație se exercită continuu și nu trebuie să fie confundată cu amplitudinea variației de presiune a undelor, pe care am notat-o mai sus cu  $P_0$ .

În cazul particular când sunetul se reflectă integral și fără absorbții, densitatea de energie în dosul obstacolului este nulă, iar în față devine dublă, prin suprapunerea undelor directe și reflectate.

În cazul acesta

$$P_r = 2d = 4\pi^2 a^2 f^2 \rho \quad (180.6)$$

sau, ținând seamă de (180.2),

$$\boxed{P_r = \frac{2I}{V}} \quad (180.7)$$

și putem astfel exprima intensitatea unui sunet în funcție de presiunea de radiație, pe care o dezvoltă asupra unei suprafețe reflectante.

Intensitatea sunetului și presiunea de radiație a lui sînt direct proporționale una cu alta.

Experimental, relația de față se verifică la lichide, dar la gaze trebuie să mai ținem seamă de raportul căldurilor specifice.

Ea devine atunci

$$P_r = (1 + \kappa) \frac{I}{V}. \quad (180.7 \text{ a})$$

Această relație a fost dedusă de *Rayleigh*<sup>1)</sup>, printr-o metodă de calcul teoretic, prea complicată ca să insistăm asupra ei.

Ca ordin de mărime, dacă ne referim la cazul concret, cînd o oscilație de frecvență 1 000 Hz și amplitudine 0,1 cm se propagă prin apă, găsim că presiunea de radiație, pe o suprafață reflectantă este

$$P_r = 4\pi^2 f^2 a^2 \rho = 39 \cdot 10^6 \cdot 10^{-2} = 390\,000 \text{ barye} = 400 \text{ gf/cm}^2.$$

În aceleași condiții, dar în aer, ea devine cam de 500 de ori mai mică.

Relațiile (180.2—180.7) se referă numai la undele plane; pentru cele sferice, formulele de calcul sînt mai complicate.

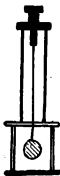


Fig. 42.  
Discul lui  
Rayleigh.

Determinarea intensității unui sunet se poate face, între altele, cu *discul lui Rayleigh*.

Un disc ușor, de aluminiu sau de mica, cu diametrul de 2—3 mm, este suspendat cu un fir subțire, așa cum arată fig. 42.

Dacă undele sonore îl întîlnesc înclinat, față cu normala, centrul de presiune nu mai coincide cu centrul geometric și sistemul capătă o mișcare de rotație, care tinde să-l așeze perpendicular pe direcția de propagare.

Unghiul de rotație depinde de constanta de torziune a firului și teoria ne spune că este proporțional cu intensitatea sunetului, cîtă vreme nu depășește anumită valoare maximă, pînă la care arcu poate fi confundat cu sinusul.

b) *Coeficientul de absorbție*. Pentru simplificare, nu am ținut seamă, în considerațiile de

<sup>1)</sup> *John William Strutt* (lord Rayleigh), fizician englez, fost profesor la Londra (1842—1919).



mai sus, de eventuale transformări ale energiei sonore fie în căldură, fie în alte forme de energie.

De fapt acțiunea frecărilor inevitabile absoarbe totdeauna o porțiune mai mare sau mai mică, din această energie și o transformă în căldură.

În condițiile obișnuite, putem constata experimental că absorbția este proporțională cu intensitatea sunetului. Dacă admitem că ea este proporțională și cu grosimea unei pături elementare  $dx$ , putem scrie că

$$dI = -\beta I dx,$$

unde factorul de proporționalitate  $\beta$  este caracteristic mediului și se numește *coeficient de absorbție*.

Separând variabilele și integrând între grosimea  $O$  și o grosime oarecare  $x$ , avem

$$\int_{I_0}^{I_1} \frac{dI}{I} = -\beta \int_0^x dx.$$

Rezultatul integrării este

$$\ln \frac{I_1}{I_0} = -\beta x.$$

El se mai poate scrie sub forma exponențială

$$\boxed{I_1 = I_0 e^{-\beta x}} \quad (180.8)$$

Intensitatea sunetului scade exponențial cu grosimea păturii străbătute și fiecare material are un coeficient propriu de absorbție.

Această relație formulează *legea absorbției* și ne spune că *intensitatea sunetului scade exponențial cu grosimea păturii străbătute*.

Se constată experimental că valoarea coeficientului de absorbție, pentru un material dat, poate să depindă, în oarecare măsură și de frecvență.

La gaze, de pildă, sunetele foarte înalte se sting mai repede decât cele joase, în timpul propagării, iar propagarea ultrasunetelor, cu frecvență mai mare de  $10^6$  Hz este practic imposibilă.

În izolările acustice, vom alege acele materiale care au coeficientul de absorbție cât mai mare: vată, plută, rumeguș etc.<sup>1)</sup>.

**3. Timbrul.** Sunetele cu vibrații sinusoidale simple sînt foarte rar întîlnite, în viața curentă. În general, vibrațiile corpurilor sînt mai complexe și de aci rezultă calitatea pe care o numim *timbru*.

Prin educație, urechea este în stare să deosebească timbrul vocii unei persoane anumite sau al instrumentelor muzicale, după cum poate să-și dea seamă de proveniența sunetelor naturale, numai după timbrul lor.

*Fourier*<sup>2)</sup> a demonstrat că, oricît de complicată ar fi o mișcare periodică, ea poate fi descompusă într-o serie de mișcări sinusoidale simple, de amplitudini

Orice mișcare periodică poate fi descompusă în mai multe mișcări sinusoidale.

$$a_1, a_2, a_3, \dots$$

și de frecvențe

$$f, 2f, 3f, \dots$$

Aceste frecvențe sînt întotdeauna multipli întregi ai frecvenței celei mai mici  $f$ , numită *fundamentală* și reprezintă, prin definiție, *armonicele ei superioare*.

Frecvențele armonicelor sînt multipli întregi ai frecvenței fundamentale.

Ținînd seamă și de eventuale defazaje, mișcarea rezultantă va avea deci elongația

$$e = a_1 \sin(\omega t + \varphi_1) + a_2 \sin(2\omega t + \varphi_2) + a_3 \sin(3\omega t + \varphi_3) + \dots$$

Cu cît mișcarea se depărtează mai mult de forma sinusoidală simplă, cu atît numărul termenilor din această sumă, care se numește *seria lui Fourier* va fi mai mare.

Unii dintr-înșii pot să lipsească și atunci armonica respectivă are amplitudinea nulă.

Ca exemplificare grafică, am compus, în fig. 43,  $a$  și  $b$ , o fundamentală dată, cu armonicile ei de ordinele 2 și 3, care au frecvențele  $2f$  și  $3f$ , cu diferite defazaje între dinsele.

<sup>1)</sup> Putem realiza izolări acustice bune și cu substanțe care *reflectă* sunetul. Așa se explică de ce zgomotele din exterior nu trec prin ferestrele închise, cu toate că sticla e destul de subțire.

<sup>2)</sup> Jean Baptiste Joseph Fourier (1768—1830) matematician francez.

Există diferite metode, prin care putem înregistra curba oscilațiilor, aduse de undele sonore, ca să le facem după aceea o analiză armonică.

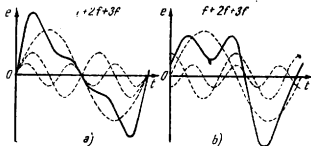


Fig. 43. Compunerea fundamentalei cu armonicile de ordinul 2 și 3, pentru diferite defazaje între ele.

Aparatele folosite se numesc *oscilografe*, iar curbele înregistrate sînt *oscilograme*.

Oscilografele moderne sînt electrice și funcționează după principii despre care vom discuta mai tîrziu.

Deocamdată ne putem servi și de modelul mecanic simplu, reprezentat în fig. 44.

O membrană subțire de cauciuc, întinsă în fundul unei pîlnii, primește vibrațiile sonore și le transmite unei mici oglinzi  $O$ , printr-un sistem amplificator.

O rază de lumină se reflectă pe această oglindă, urmărește vibrațiile ei și le înscrie pe o hîrtie fotografică, ce se mișcă uniform și perpendicular pe direcția lor.

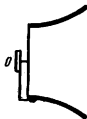


Fig. 44. Dispozitiv simplu pentru obținerea oscilogramelor la sunete.

Figura 45 reproduce una din oscilogramele obținute. Se vede cum, între oscilațiile fundamentalei, se înserează armonicile superioare.

Tot oscilograme sînt și înregistrările pe discuri de gramofon.

Figura 46 ne arată o fotografie mărită a șanțurilor unui disc.

Acul sistemului de reproducere urmărește curba înregistrată și obligă membrana diafragmei sau difuzorului să vibreze după aceeași lege.

Atît la înregistrare, cît și la reproducere, trebuie evitate fenomenele de rezonanță, care ar putea să favorizeze anumite frecvențe.

Vom folosi deci sisteme oscilante cu perioadă proprie cu totul diferită de acele cuprinse în domeniul de înregistrat sau vom recurge la amorti-



Fig. 45. Oscilograma unui sunet.

zări, care să permită oscilații forțate, cu un maximum cât mai atenuat al curbei de rezonanță.

Tot pentru analiza sunetelor putem folosi rezonatorii cu coloană de aer, pe care i-am descris în § 177.



Fig. 46. Vedere mărită a spiralei unui disc de patefon.

Variind lungimea coloanei, ajungem să amplificăm rînd pe rînd sunetul fundamental și armonicile lui.

Dacă adaptăm un manometru cu apă, în fundul tubului, adică la ventrul de presiune, putem determina intensitatea relativă a acestor armonice.

*Helmholtz*<sup>1)</sup>, care a făcut cel dintîi analiza experimentală a sunetelor, folosea rezonatori sferici, pentru că sînt mai selectivi decît coloanele cilindrice (fig. 47).

<sup>1)</sup> Helmholtz este nu numai unul din fondatorii termodinamicii, dar și inițiatorul cercetărilor științifice de acustică și optică fiziologice.

Tot el a realizat și *sinteza* timbrelor sonore, punând o serie de diapazone să vibreze cu frecvența și amplitudinea relativă a armonicelor găsite.

Aceste cercetări au acum numai o importanță istorică.

De altfel, după o practică de mii de ani, constructorii de orgi cunoșteau de mult combinațiile tonale care dau sunetului timbrul diferitelor instrumente și chiar al vocii umane.<sup>1)</sup>

*Spectrul sonor.* Experiența ne arată că urechea este cu totul insensibilă la schimbarea diferențelor de fază, între armonicile unui sunet.

Schimbarea diferențelor de fază ale armonicelor nu modifică timbrul.

Prin urmare *calitatea pe care o numim „timbru” este dictată numai de numărul și intensitatea relativă a armonicelor.*

De aceea este mai comod să nu ținem seamă de diferențele de fază, decât în cazurile când avem motive speciale să le cunoaștem.

Obişnuit, ne servim de așa numitele *spectre sonore*, în care, pe scara frecvențelor audibile, notăm prin linii verticale, de lungimi proporționale, intensitatea relativă a diferitelor armonice, în raport cu fundamentală.

Figura 48 (I, II, III, IV) ne arată spectrele sonore ale coardelor unei violine *Stradivarius*<sup>2)</sup>, acordate pe frecvențele fundamentale.

194 , 290 , 435 și 652 Hz.

*sol , re , la*<sup>3)</sup> *mi*

În V am reprodus, pentru comparație spectrul coardei LA, întinsă pe o violină de fabricație comună.

Se vede cum violina de calitate favorizează numai armonica cu ordinul 3, pe coarda SOL și de ordinul 2 pe coarda MI, în timp ce violina comună împrășteie fără folos energia sonoră pe un număr mare de armonice.

Diferențe analoge apar de altfel și la celelalte instrumente muzicale, precum și între vocile umane *cultivate* și cele *brute*.



Fig. 47. Rezonator sferic.

<sup>1)</sup> Orga era cunoscută încă din timpul egiptenilor. Ea s-a perfecționat și s-a răspândit mai ales în Bizanț, de unde a trecut în restul Europei.

<sup>2)</sup> Antonio Stradivari (1644—1737), vestit constructor de instrumente cu coarde, care a trăit la Cremona, în Italia.

<sup>3)</sup> Acest LA corespunde vechiului standard internațional.

Cînd trecem la *zgomote*, atît oscilograma, cît și spectrul sonor sînt cu atît mai complicate, cu cît ne depărtăm mai tare de caracterul muzical.

Seria lui Fourier conține atunci un număr mare de termeni.

O formă specială de zgomot este *pocnitura*, unde vibrațiile se amortizează într-un timp foarte scurt.

§ 181. **Sensibilitatea urechii.** Am văzut că urechea percepe ca sunet vibrațiile așa zise *audibile*, a căror frecvență este cuprinsă între limitele aproximative de 16 și 20 000 Hz.

Aceste limite variază de la un individ la altul și chiar între urechea dreaptă și urechea stîngă a aceleiași persoane.

Ele se schimbă și cu vîrsta: după 40 de ani, limita superioară coboară, de obicei, pe la 12 000—15 000 Hz.

Fig. 48. Spectrele sonore ale coardelor unei violine Stradivarius.

Este greu să apreciem subiectiv intensitatea unei *senzații* auditive, mai ales cînd trecem de la o frecvență la alta, fiindcă erorile sînt destul de mari.

Mai ușor este să căutăm așa numitele *praguri de sensibilitate*, adică intensitățile minime, în  $\text{erg/cm}^2 \cdot \text{s}$ , ce încă mai pot fi percepute de urechea normală, la diferite frecvențe.

Curba experimentală are atunci, în linii generale, aspectul din fig. 49. Ea ne arată că :

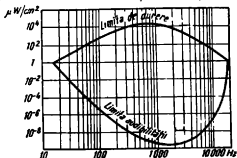


Fig. 49. Variația sensibilității și a limitei de durere cu frecvența sunetului, la urechea umană.

Între 2 și 3 mil de hertz sensibilitatea urechii este maximă și poate să atingă limita de  $10^{-11}$  erg/cm<sup>2</sup>·s.

1) *Limita inferioară a intensității sonore perceptibile depinde de frecvență și sensibilitatea maximă apare între 2 000 și 3 000 Hz.*

2) În acest domeniu de frecvențe, urechea mai poate încă să perceapă intensitățile sonore de ordinul a  $10^{-11}$  erg/cm<sup>2</sup>·s, adică  $10^{-18}$  W/cm<sup>2</sup>.

Ar trebui peste o sută de miliarde de ani pentru ca această energie, debitată continuu, să ridice numai cu un grad temperatura unui gram de apă!

Un calcul simplu ne mai arată că amplitudinea de vibrație a părților de aer este, în cazul acesta, de ordinul a  $10^{-9}$  cm, adică mai mică decât diametrul atomului de oxigen și abia  $1/10^3$  din lungimea drumului liber mijlociu.

Urechea este deci un organ de simț extrem de sensibil. Ea întrece, de altfel, cam de zece ori sensibilitatea ochiului.

Aceeași figură ne arată intensitățile sonore *maxime*, pe care le poate suporta urechea, pînă cînd începe senzația de *durere*.

Suprafața cuprinsă între cele două curbe reprezintă astfel întregul domeniu al sunetelor audibile.

La persoanele cu auzul slăbit, curba durerii rămîne cam aceeași, dar curba de sensibilitate se ridică spre ordonatele mai mari, așa că suprafața domeniului audibil se micșorează.

*Legea lui Weber-Fechner.* Observațiile ne arată că intensitatea *senzațiilor sonore subiective* este aproximativ proporțională cu variația *relativă a intensității obiective* a sunetului.

Prin urmare, dacă notăm intensitatea senzației cu  $S$ , vom avea

$$dS = C \frac{dI}{I}$$

unde  $C$  este o constantă numerică de proporționalitate.

De aici obținem prin integrare, între limitele  $I_1$  și  $I_2$ ,

$$\boxed{S_2 - S_1 = C \cdot \ln \frac{I_2}{I_1}}, \quad (181.1)$$

iar dacă trecem la logaritmi zecimali

$$S_2 - S_1 = K (\log I_2 - \log I_1),$$

unde  $K$  este de asemenea constantă.

Sub o formă sau sub alta, relațiile de față formulează legea lui *Weber-Fechner* și ne spun că :

**Intensitatea senzației sonore crește proporțional cu logaritmul excitației.**

*Intensitatea subiectivă a senzației sonore variază direct proporțional cu logaritmul excitației.*

Această lege, deși foarte aproximativă, are o importanță deosebită, fiindcă ne sugerează felul în care am putea să alegem unități practice comode, adaptate organului auditiv, atât pentru variația intensității obiective a excitației, cât și pentru variația subiectivă a senzației.

Obişnuit se dă constantei  $K$  valoarea 1 și vom spune că *nivelul sonor* al excitației a crescut cu o unitate, când

$$\log \frac{I_2}{I_1} = 1.$$

Această unitate se numește *bel*<sup>1)</sup>, iar în practică se folosește mai ales *decibelul* =  $10^{-1}$  bel.

Variația nivelului sonor  $\Delta N_s$  va fi deci

$$\Delta N_s = \log \frac{I_2}{I_1} \text{ bel} = 10 \cdot \log \frac{I_2}{I_1} \text{ dbel.}$$

Aceasta înseamnă că dacă o intensitate sonoră  $I_1$ , exprimată în  $\text{W/cm}^2$  ar deveni  $I_2 = I_1 \cdot 10^n$ , senzația respectivă ar crește cu de  $n$  ori valoarea inițială.

*Practic, urechea nu simte variații de nivel sonor mai mici de un decibel. În aceste condiții ar trebui ca*

$$\Delta N_s = \log \frac{I + \Delta I}{I} = \log 1,26 = 0,1 \text{ bel}$$

și creșterea corespunzătoare de intensitate ar fi de 26%.

Folosirea decibelului ca unitate face deci inutile valorile fracționare, imposibil de apreciat cu urechea.

<sup>1)</sup> De la numele inginerului *Graham Bell* (1847—1922), care a inventat telefonul.



În acustică se ia ca nivel de plecare și se consideră ca *zero relativ* acela ce corespunde pragului inferior de sensibilitate a urechii, la frecvența de 1 000 Hz, pe care o numim *normală*.

Logaritmul raportului intensităților exprimă variația nivelului sonor. Ca zero relativ se ia pragul inferior al sensibilității urechii, la 1000 Hz.

După curbele din figura 49, această limită este de aproximativ  $10^{-16}$  W/cm<sup>2</sup>. O vom nota cu  $I_0$ .

Față de zero convențional ales și potrivit celor de mai sus, un sunet de intensitate  $I$  are nivelul

$$N_s = 10 \log \frac{I}{I_0} \text{ dbel.}$$

Aceleași curbe, unde am folosit de la început scara logaritmică, pentru că altfel ar fi trebuit să le dăm dimensiuni exagerate, ne mai arată că, la frecvența normală, raportul între pragul inferior și cel superior, unde apare durerea, este, aproximativ,  $10^{14}$ .

Prin urmare *intensitatea sonoră maximă, suportată de ureche, are nivelul de 140 de decibeli*.

La 2 000 Hz, pragul inferior al sensibilității urechii este considerat ca negativ, fiindcă se găsește sub acela corespunzător frecvenței normale de 1 000 Hz, ales convențional ca referință.

Aceasta înseamnă că și sensibilitatea însăși este mai mare, la această frecvență, decît la frecvența normală.

De multe ori se rezervă denumirea de *bel* (sau *decibel*) unității care exprimă variația de nivel a *excitației* sonore.

Ea e folosită de asemenea în tehnica transmisiilor telefonice, sau în radiofonie, ca să măsurăm *amplificarea* sau *atenuarea* energiei curenților electrici.

Tăria fiziologică a unui sunet se exprimă în foni și are valoarea numerică a nivelului sonor, exprimat în decibeli.

Cînd ne referim la *senzația* sonoră însăși, se folosește o unitate specială, numită *fon* (ph), care se definește la fel cu decibelul.

Ea a fost introdusă de *H. Barkhausen*, care a dat și metodele practice de măsură a *tăriei* sunetelor în general, indiferent de frecvența sau de caracterul lor.

Dacă notăm această tărie cu  $S$ , vom avea deci, ca și la nivelul sonor

$$N_s = S - 10 \log \frac{I_1}{I_2} \text{ foni (ph)}$$

iar pragul inferior, la frecvența normală, se consideră că are tăria zero.

Pentru comparație, tabela de mai jos ne arată nivelele de tărie, în câteva cazuri particulare:

Pragul inferior (la 1 000 Hz)	0 foni
Freacățul frunzelor	10 „
Vorba în șoaptă	20 „
Stradă liniștită, fără circulație	30 „
Ruperea hirtiei	40 „
Vorbirea obișnuită	50 „
Vociferare	60 „
Stradă zgomotoasă, tunetul	70 „
Limita pentru voce	80 „
Motocicleta	90 „
Motoare cu explozie mai mari	100 „
Zgomotul atelierelor metalurgice, pînă la	110 „
Avionul (la circa 50 m)	120 „
Zgomot dureros, tunul auzit din apropiere	130 „
Orchestra	40—110 „
Difuzorul de radio (în apropiere)	30—70 „

**§ 182. Orientarea după sunet.** Cu unele excepții, pe care le vom arăta mai jos, auzul ne permite să situăm în spațiu direcția de unde vine un sunet.

Mijloacele de orientare sînt multiple:

1. *Gradientul sonor.* Cînd izvorul de sunete este în apropierea noastră, senzația sonoră variază sensibil cu distanța. Această variație reprezintă, prin definiție, gradientul sonor și va fi mai mare cînd ne mișcăm chiar pe direcția de unde vine sunetul.

2. *Inclinarea razelor sonore.* Energia sonoră, care cade pe o suprafață dată, se schimbă cu unghiul de incidență al razelor sonore.

Ca să găsim direcția lor, întoarcem capul pînă ce una din urechi aude sunetul cu intensitatea maximă și incidența este atunci normală, pe suprafața pavilionului.

3. *Diferența de drum parcurs.* În cele două procese de mai sus nu este nevoie să folosim ambele urechi. Una din ele poate fi chiar astupată sau surdă.

Să presupunem acum că un observator ascultă sunetul plecat de la un izvor care nu se află exact în față lui (fig. 50).

Una din urechi îl primește atunci înaintea celeilalte, cu diferența de timp

$$\Delta t = \frac{d}{v} = \frac{D}{v} \sin \alpha,$$

unde  $v$  este viteza sunetului și  $D$  diametrul capului.

Această diferență permite, prin educație, observatorului să întoarcă capul pe direcția de unde vine sunetul, ca să primească excitația simultan, cu ambele urechi.

Aprecierea direcției este uimitor de precisă, fiindcă limita inferioară sensibilă este de numai  $10^{-5}$  s pentru  $\Delta t$ .

Diametrul capului fiind cam de 16 cm, eroarea de apreciere este de numai  $\pm 3^\circ$ .

Precizia poate fi și mai mare, dacă mărim artificial distanța dintre urechi și ascultăm sunetul prin două tuburi de cauciuc, de lungimi egale.

Dar dacă aceste tuburi au lungimi diferite, sau dacă îndoim unul din ele, spre față ori spre spate, avem iluzia că izvorul sonor se deplasează lateral.

Există diverse dispozitive practice, construite pe acest principiu, cu care putem aprecia destul de bine direcția unui sunet. în apă sau în aer.

De pildă, marile vase de pescuit urmăresc balenele sau bancurile de scrumbii după zgomot, cu două microfoane, fixate pe copastie, sub linia de plutire. Unul se ascultă cu urechea dreaptă, iar celălalt cu urechea stângă.

Aprecierea direcției, prin diferența timpurilor de propagare, devine imposibilă, la sunetele uniforme, fără fluctuații de intensitate, înălțime sau timbru.

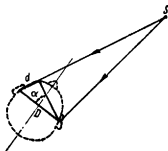


Fig. 50. Orientarea biauriculară după sunet.

Aceasta o putem constata ușor, cu două difuzoare de radio, așezate la distanță destul de mare, pe două direcții diferite.

Facem ca unul din ele să producă un sunet uniform, apoi îl scoatem treptat din circuit, înlocuindu-l totodată cu al doilea. Dacă trecerea de pe unul pe altul este continuă și fără salturi, nimeni nu observă schimbarea, mai ales la sunetele mai înalte.

Prin urmare nu diferența de fază intervine în procesul de orientare, ci diferența timpurilor de propagare ale fluctuațiilor sonore.

**§ 183. Efectul Doppler.** Când un izvor de sunete trece pe lângă un observator, el are impresia că sunetul e mai înalt, când se apropie și mai bas, când se depărtează.

Fenomenul este cunoscut sub numele de *efectul Doppler*<sup>1)</sup> și poate fi observat la o locomotivă care flueră, sau la un automobil care claxonează.

Ne propunem să calculăm aparenta variație de frecvență, în diferite cazuri particulare.

1) Dacă observatorul este imobil față de mediu, iar izvorul se apropie de el cu viteza  $v_s$ , cele  $f_0$  vibrații, transmise mediului, în timp de o secundă, vor da naștere la  $f_0$  lungimi de undă, care, în loc să se înșire pe distanța  $v$ , numeric egală cu viteza de propagare, se strâng pe distanța  $v - v_s$ .

Lungimea de undă va scădea prin urmare, în raportul

$$\frac{\lambda_0}{\lambda_1} = \frac{v}{v - v_s}$$

și totul se petrece ca și când frecvența ar crește în raportul invers

$$\frac{f_1}{f_0} = \frac{v}{v - v_s}.$$

Deducem că

$$f_1 = f_0 \frac{v}{v - v_s}. \quad (183.1)$$

2) Dacă observatorul se mișcă cu viteza  $v_{obs}$ , față de izvorul sonor, presupus imobil și de asemenea se apropie de dînsul, pe

<sup>1)</sup> *Cristian Doppler* (1803—1853), fost profesor de matematici la Praga și Viena.

lungă cele  $f_0$  lungimi de undă, el mai străbate un număr suplimentar

$$f = \frac{v_{obs}}{\lambda}$$

și vom avea

$$f_1 = f_0 + f = \frac{v}{\lambda} + \frac{v_{obs}}{\lambda}.$$

Dar  $\lambda = v/f_0$ , așa că frecvența aparentă devine

$$f_1 = f_0 \frac{v + v_{obs}}{v}. \quad (183.2)$$

Cînd izvorul sonor și observatorul se apropie unul de altul, frecvența aparentă a sunetului crește.

*In ambele cazuri frecvența sunetului suferă o creștere aparentă, dar legea de variație nu este aceeași.*

Contrarul se întîmplă dacă izvorul sonor și observatorul se depărtează unul de altul.

3) Cînd se mișcă unul spre altul, atît izvorul sonor, cît și observatorul, este ușor de văzut că

$$f_1 = f_0 \frac{v + v_{obs}}{v - v_s}. \quad (183.3)$$

Dacă sensul uneia din mișcări se inversează, vom schimba semnul vitezei respective.

Efectul Doppler poate fi observat nu numai la undele sonore, dar și la orice alte fenomene periodice, care se propagă prin unde. Vom reveni asupra lui, în studiul opticii.

## B. Gamele muzicale

**§ 184. Intervale muzicale.** Se știe că, pentru două sunete, de frecvențe  $f$  și  $2f$ , urechea are aceeași impresie de *tonalitate*

Octava este intervalul între o frecvență  $f$  și alta  $2f$ . Ea se împarte în altele mai mici, după treptele gamei muzicale.

Prin definiție, intervalul cuprins între ele reprezintă o octavă muzicală, iar sunetele respective au același nume.

Octavele succesive ale frecvenței fundamentale  $f$  vor fi deci armonicele superioare de ordinul

$$2 \quad , \quad 4 \quad , \quad 8 \quad , \quad 16 \quad \dots$$

cu frecvențele

$$2f \quad , \quad 4f \quad , \quad 8f \quad , \quad 16f \quad \dots$$

Pentru execuția melodiilor, intervalul octavei se împarte în altele mai mici, alese convențional, după anumite criterii și numite *trepte*.

Așa rezultă *gama muzicală*.

Criteriile de formare a gamelor au evoluat în cursul vremurilor, odată cu muzica însăși, sau cu instrumentele muzicale. Ele au fost impuse adesea și de caracterele muzicii populare.

Numai două elemente au rămas neschimbate: *octava*, ca interval de bază și *consonanța*, pe care rămâne să o definim.

Urechea consideră ca în consonanță două sunete fundamentale suprapuse, care produc o impresie plăcută. Contrarul definește *disonanța*.

**Condiția de consonanță** este să nu apară bătăi, nici între fundamentale, nici între armonicele joase.

De altă parte *Helmholtz*, în cunoscutele lui cercetări de acustică fiziologică, ajunge la concluzia că două sunete în consonanță nu trebuie să dea bătăi acustice, decât cel mult între armonicele de ordin înalt.

Consonanța perfectă o găsim numai la octavă, fiindcă ambele sunete au toate armonicele de aceleași frecvențe și contopirea lor este desăvârșită.

Pentru alte sunete, ea nu poate fi decât relativă și cu atât mai apropiată de condiția ideală, cu cât bătăile interesează armonice din ce în ce mai depărtate de frecvența fundamentală.

Luând acum ca bază octava cuprinsă între frecvențele

$$f = 264 \text{ Hz} \quad \text{și} \quad 2f = 528 \text{ Hz}$$

care reprezintă, prin convenție, sunetele

$$do_0 \quad \text{și} \quad do_1$$

ne propunem să divizăm acest interval în 7 trepte, așaîel ca să avem cea mai bună consonanță posibilă, în raport cu cele două limite de sprijin.

Mijlocul cel mai simplu este ca, lăsând la o parte octavele succesive, de frecvențe  $2f$ ,  $4f$ ,  $8f$ , ... să luăm șirul celorlalte armonice naturale, de frecvențe

$$3 \cdot 264 \quad , \quad 5 \cdot 264 \quad , \quad 9 \cdot 264 \quad , \quad 10 \cdot 264 \quad , \quad 12 \cdot 264 \quad \text{și} \quad 15 \cdot 264$$

și să trecem apoi la octavele lor inferioare, cuprinse în intervalul de bază ales, prin împărțire cu numere întregi convenabile<sup>1)</sup>.

Obținem astfel frecvențele succesive din tabela de mai jos

Tabela 15

Ordinul armonicii	1	9	5	12	3	10	15	2
Factorul de înmulțire cu fundamentală <i>f</i>	1	9/8	5/4	12/9	3/2	10/6	15/8	2
Frecvența respectivă	264	297	330	352	396	440	495	528
Denumirea sunetului	do <sub>0</sub>	re	mi	fa	sol	la	si	do <sub>1</sub>
Factor de înmulțire cu precedentul		9/8	10/9	16/15	9/8	10/9	9/8	16/15

Am definit astfel așa numita *gamă naturală majoră* sau gama lui *Zarlino*<sup>2)</sup>.

Denumirea de *naturală* ne spune că ea derivă din armonicile naturale ale fundamentalei *do*.

Treptele ei nu sînt egale. Între *do-re*, *fa-sol* și *la-si* factorul de înmulțire are valoarea cea mai mare: 9/8.

Aceste intervale se numesc *tonuri majore*, spre deosebire de intervalele *re-mi* și *sol-la*, care sînt *tonuri minore*.

Raportul între factorii de înmulțire, la tonurile majore și minore, este 9/8 : 10/9 = 81/80, adică numai cu 1/80 mai mare ca unitatea.

Această diferență se numește *comă*. O ureche muzicală o simte încă foarte bine, dar în practică se neglijează.

Cele mai mici intervale le găsim între *mi-fa* și *si-do*. Ele reprezintă *semitonuri*.

În concluzie:

**Gama majoră conține cinci tonuri, din care două minore, și două semitonuri.**

*Gama majoră cuprinde cinci tonuri, din care două minore și două semitonuri.*

Pe vremuri, muzica era *homofonă*, fiindcă toți muzicanții cântau la unison aceeași melodie, iar acompaniamentul se limita să sprijine tonalitatea, intervenind numai din timp în timp.

<sup>1)</sup> Se lasă la o parte armonicile de ordinul 7, 11 și 13, care duc la raporturi prea complicate, precum și octavele lor. Armonica de ordinul 12 nu este decît octava frecvenței 6f.

<sup>2)</sup> Muzicant italian (1540—1599).

Gamele erau atunci altele decît cele de azi, iar consonanța juca numai un rol cu totul secundar.

Cînd ea a devenit *polifonică*, în cursul evului mediu, adică a început să suprapună mai multe melodii, cîntate simultan, se impunea ca ele să iie și în consonanță.

Pe atunci se considerau intervalele de *cuartă* (do-fa) și de *quintă* (do-sol) ca fiind cele mai consonante, după octavă.

În adevăr, aceste sunete corespund raporturilor simple:  $4/3$  și  $3/2$ , față cu fundamentală, pe care o numim „*tonică*”.

Spre sfîrșitul evului mediu, muzica nordului, adusă din *Flandra* de *trubaduri*, a impus consonanța de *terță* (do-mi) și de *sixtă* (do-la), cu care urechea noastră este acum atît de obișnuită, încît acordul *do-mi-sol* ni-se pare cel mai consonant.

Din *melodică*, muzica a devenit *armonică* și a pus bază din ce în ce mai mult pe folosirea diferitelor acorduri.

Între tonurile minore și semitonuri, raportul frecvențelor este  $10/9 : 16/15 = 25/24$ .

Inseamnă că, pentru a ridica o notă cu un semiton, se înmulțește frecvența ei cu  $25/24$ , iar pentru a o coborî tot cu un semiton, vom înmulți cu  $24/25$ .

Aceste operații se arată prin semnele convenționale  $\sharp = \text{diez}$  și  $\flat = \text{bemol}$ .

Cum factorii de înmulțire sînt diferiți, la urcare și coborîre, semitonul unei note nu reprezintă același sunet ca semitonul vecin, al notei următoare sau precedente.

Cu chipul acesta, gama naturală completă cuprinde 21 de sunete diferite.

Execuția ei, posibilă pentru voce, sau pentru instrumentele cu coarde, devine aproape imposibilă, la instrumentele cu clape. De aceea, în locul gamei naturale, *Johann Sebastian Bach* a introdus definitiv așa numita *gamă temperată*, în care semitonul superior al unei note se confundă cu semitonul inferior al notei următoare<sup>1)</sup>.

Cu chipul acesta rezultă *gama cromatică temperată*, care cuprinde 12 semitonuri.

Urechea noastră este acum atît de obișnuită cu dînsa, încît nu mai simte diferența.

O altă gamă, de întrebuițare curentă, este gama *minoră ascendentă*:

*do, re mi<sub>6</sub>, fa, sol, la<sub>6</sub>, si, do*

și descendentă:

*do, si<sub>6</sub>, la<sub>6</sub>, sol, fa, mi<sub>6</sub>, re, do.*

Totodată, dacă păstrăm intervalele arătate, putem construi cite o gamă care leagă fiecare ton al gamei cromatice, de octava lui.

Avem astfel tot atîtea game majore sau minore și, prin anumite acorduri intermediare, se poate trece de la una la alta.

<sup>1)</sup> *Johann Sebastian Bach* (1685—1750), este unul din cei mai mari muzicanți ai tuturor timpurilor.



Procedeele de trecere constituie așa numitele *modulații*. Muzicanții le întrebuințează întotdeauna, după anumite reguli, fiindcă menținerea continuă a unei singure tonalități dăunează calității și devine obositoare pentru auditor.

Afară de gamele arătate, mai există încă numeroase altele, stabilite pe criterii diferite, mai ales în muzica populară.

Pe lângă acordurile consonante, compozitorii moderni folosesc adesea și *disonanțele*, după anumite concepții, uneori personale, alteori încadrate în legile *armoniei*. Nu este cazul să insistăm asupra lor.

Înțelegerea acestei muzici este o problemă de evoluție și de educație, căci, în adevăr, este ceva de înțeles.

### C. Vibrația corpurilor

§ 185. **Coarde vibrante.** Coardele sau strunele, folosite în instrumentele muzicale, sînt făcute, de obicei, din metal sau din mase de oaie, uscate și răsucite.

Le putem face să vibreze fie prin *percuție* sau *lovire* (piano, tambal), fie prin *pișcare*, (ghitară, harfă, mandolină) fie prin *frecare* (violină, violoncel, contrabas).

Orice coardă, frecată în lung, poate să vibreze și longitudinal, cu frecvență mai mare decît a vibrațiilor transversale. Vibrațiile longitudinale nu au însă aplicații, la instrumentele muzicale, așa că nu vom ține seamă de ele.

Excitația coardei nu este sinusoidală, dar după orice lege ar decurge, poate fi descompusă, prin seria Fourier, într-o sumă de termeni sinusoidali.

Din aceștia, coarda alege și amplifică, prin rezonanță, pe acela ce corespunde frecvenței de vibrație proprie  $f$ .

În aceste condiții, undele staționare formează cîte un nod de vibrație la fiecare capăt, așa că lungimea coardei corespunde unei jumătăți a lungimii de undă.

Dacă o notăm cu  $L$ , vom avea deci

$$f = \frac{1}{2L} v = \frac{v}{\lambda}.$$

Coarda este întinsă de o forță  $F$ , pe care, dacă o raportăm la suprafață, avem *eșortul*  $P$ .

Se demonstrează că viteza de propagare este

$$v = \sqrt{\frac{P}{\rho}} = \sqrt{\frac{F}{\pi r^2 \rho}}$$

și rezultă că frecvența proprie poate fi exprimată prin relația

$$f = \frac{1}{2L} \sqrt{\frac{F}{\pi r^2 \rho}} \quad (185.1)$$

unde  $\rho$  reprezintă densitatea.

De altă parte, se vede imediat că produsul  $\pi r^2 \rho = \mu$  exprimă numeric masa unității de lungime a corzii, care se numește *densitate liniară*.

Prin urmare

$$f = \frac{1}{2L} \sqrt{\frac{F}{\mu}} \quad (185.2)$$

Această relație formulează legea coardelor vibrante și ne

**Frecvența proprie a coardelor este invers proporțională cu lungimea și direct proporțională cu rădăcina pătrată a raportului dintre tensiune și densitatea liniară.**

*spune că frecvența vibrațiilor proprii este direct proporțională cu rădăcina pătrată a tensiunii, invers proporțională cu lungimea și tot invers proporțională cu rădăcina pătrată a densității liniare.*

Experimental, studiul acestei legi se face cu *sonometrul*, reprezentat în fig. 51.

Coarda este întinsă pe o cutie de rezonanță, cu greutăți etalonate, iar lungimea ei o variem cu un scaun mobil S.

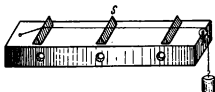


Fig. 51. Sonometrul.

Se constată astfel că, pentru a dubla frecvența de vibrație, trebuie sau să scurțăm coarda la jumătate, sau să mărim tensiunea de patru ori.

Ca să micșorăm frecvența de vibrație a unei stringe de lungime dată, avem la dispoziție două mijloace: sau slăbim tensiunea, sau mărim densitatea liniară.

Prima soluție nu este avantajoasă, pentru instrumentele muzicale, fiindcă o coardă prea slab întinsă pierde din sonoritate.

De aceea, constructorii de instrumente preferă să mărească densitatea liniară, învelind coardele într-o spirală metalică. Se păstrează astfel suplețea coardei și se evită, totodată, grosimile exagerate.

**1. Armonicile coardelor.** O coardă care vibrează poate să intre în rezonanță nu numai cu frecvența fundamentală  $f$ , dar și cu armonicile superioare, de frecvență  $2f$ ,  $3f$  etc.

În cazul acesta, peste fusul principal, se suprapun, mai puțin vizibil, nodurile și ventrele respective, așa cum arată fig. 52, pentru armonicile de ordinul 2 și 3.

Formarea și amplitudinea acestor armonice depinde de modul de excitație:

După cum coarda este lovită, frecată sau pișcată în una din regiunile  $a$ ,  $b$  sau  $c$ , favorizăm fie fundamentală, fie armonicile de ordinul 2 sau 3.

Condiții analoge dictează și apariția celorlalte armonice, fiindcă, în punctul excitat, se formează totdeauna un ventru local.

Muzicanții cunosc din practică aceste fapte și știu că timbrul instrumentului poate fi sensibil modificat, după poziția arcușului pe coarde.

Totodată, din cele arătate, se vede că o coardă vibrantă poate să emită, pe lângă sunetul fundamental, atât armonicile de ordin par, cât și pe cele impare, în măsura în care internodurile se pot insera între punctele de fixare și punctul de excitație.

La coardele vibrante pot să apară atât armonicile pare, cât și cele impare.

Dacă atingem ușor coarda cu degetul, în dreptul unuia din noduri și o frecăm încet cu arcușul, fără să apăsăm, armonica respectivă este favorizată în așa măsură, încât absoarbe aproape întreaga energie de vibrație, în dauna fundamentalei sau a celorlalte armonice.

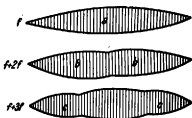


Fig. 52. Fundamentală și armonicile superioare de ordinul 2 și 3 pe o coardă vibrantă.

Sunetul capătă atunci un timbru caracteristic de fluier și vibrațiile sînt practic sinusoidale.

Este ceea ce, în termeni de muzică, se numește *flageolet*, prin analogie cu un tip de fluier, folosit uneori ca instrument muzical.

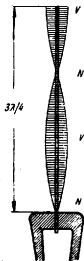


Fig. 53. Unde staționare pe o lamă vibrantă.

O bară fixată la un capăt emite armonicile impare, iar cînd e fixată la mijloc emite pe cele pare. O bară liberă le emite pe toate.

2. *Vibrația barelor.* Cînd, în locul coardelor, folosim bare sau lame elastice, problema este analogă și are trei variante posibile :

1) Dacă bara este fixată la un singur capăt, se formează acolo un nod al undelor staționare, iar la capătul liber apare un ventru (fig. 53).

Lungimea barei cuprinde atunci un număr impar de sferturi de undă.

În aceste condiții, este evident că *sistemul nu poate să emită decît armonicile de ordin impar.*

2) Cînd bara este fixată la mijloc, apare acolo un nod, iar, la capete, ventru.

Lungimea ei cuprinde astfel un număr pereche de sferturi de undă și *sistemul nu poate să emită decît armonicile superioare de ordin par.*

3) În fine, dacă legăm un capăt al barei, cu un fir de suspensiune, legătura este destul de liberă ca să permită formarea unui ventru, la ambele capete, iar la mijloc poate să apară fie nod, fie ventru.

Lungimea barei cuprinde atunci un număr întreg de jumătăți de undă, ca și la coardele vibrante și *sistemul poate să emită atît armonicile pare, cît și pe cele impare.*

Pentru aceeași fundamen-  
tala, bara fixată la un capăt  
este de două ori mai scurtă  
decît bara liberă sau fixată  
la mijloc.

*mijloc, să fie de două ori mai mare decît a barei fixate la un ca-  
put, cînd toate au aceeași secțiune și sînt făcute din același ma-  
terial.*

Aceleași considerații sînt valabile și pentru vibrația *longi-  
tudinală* a barelor, cu singura deosebire că, viteza propagării  
fiind mai mare, frecvența va crește în proporție.

§ 186. **Tuburi sonore.** Tuburile sonore au aplicații nume-  
roase la instrumentele muzicale : orgă sau instrumente de suflat.

Teoria lor matematică este destul de complicată, cum e de  
altfel și la bare sau la coardele vibrante.

În cele ce urmează, ne vom limita să le considerăm ca  
simpli rezonatori cu coloană de aer și să enunțăm doar cîteva  
legi fundamentale, *care se aplică numai la tuburile de diametru  
mic, în comparație cu lungimea.*

*Sistemul de excitare.* Pentru ca o coloană de gaz,  
cuprinsă într-un tub, să intre în vibrație, trebuie să *excităm*  
aceste vibrații, prin diverse procedee, care se pot grupa în două  
categorii :

1) Trimitem un curent de aer, într-o margine a deschiderii  
tubului. Excitarea se datorește atunci vârtejurilor gazoase.

Procedeul găsește aplicații, între altele, la *flaut* sau la *nai*,  
dar dă rezultate chiar cînd suflăm într-o cheie găurită. Curentul  
de aer trebuie să aibă anumită direcție, pe care, ca să o nimerim,  
se cere puțin exercițiu.

Există însă un mijloc de a-l trimite în direcția bună, adap-  
tînd la capătul tubului dispozitivul pe care fig. 54 îl reprezintă  
în secțiune.

Aerul intră prin *A*, se lovește de marginea ascuțită *B* și  
produce sunetul.

Așa sînt construite *tuburile de orgă*.

2) Folosim o membrană, sau o lamă elastică, pe care trecerea unui curent de aer le face să vibreze. Vibrația închide sau deschide periodic orificiul de intrare și se transmite coloanei gazoase.

Dispozitivul se numește *ancie* și poate fi realizat în felurite chipuri, de la frunza obișnuită, pînă la anciile perfecționate ale instrumentelor muzicale.

Unele sînt ancii libere, care vibrează direct în aer, fără să mai fie adaptate la un tub sonor.

Un exemplu îl avem la muzicuțele de gură ale copiilor, unde anciile sînt lame de metal (cîte una pentru fiecare ton), adaptate la niște deschideri dreptunghiulare (fig. 55).

Acordeonul și armoniul sînt construite pe același principiu, iar clapele comandă curentul de aer, trimis de foale.



Fig. 54. Tub de orgă, în secțiune.

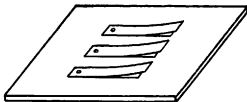


Fig. 55. Ancii cu lamele metalice.

La unele instrumente muzicale, cum sînt *clarinetul*, *saxofonul*, *oboiul* sau *flautul*, ancia este făcută din trestie și adaptată la un tub sonor, a cărui lungime poate fi variată, cu niște clape care deschid sau închid anumite orificii.

Alteori chiar buzele și limba muzicantului, strînse mai tare sau mai puțin, într-o mică pilnie metalică, formează ancia. Este cazul instrumentelor de alamă: *trompetă*, *corn*, *trombon* etc.

Sistemele de excitare, cu ancie sau cu suflare directă, produc, în genere, sunete complexe, de obicei neplăcute și fără

caracter muzical. Aceste sunete sînt formate prin suprapunerea unui număr mare de oscilații sinusoidale, cu diferite frecvențe.

Tubul sonor exercită o selecție și, din complexul inițial, izolează și amplifică numai frecvențele în rezonanță cu coloana de aer.

Cu chipul acesta, sunetul nemuzical, curățat de toate vibrațiile parazite, devine plăcut și muzical.

Coloana de aer îndeplinește deci rolul de *selector* și de *amplificator*.

Experiența ne arată că, *în regiunea excitată, se formează un nod de vibrație, cînd ne servim de ancie și un ventru, cînd recurgem la suflarea directă.*

**In regiunea excitată, ancia produce un nod, iar suflarea directă un ventru.**

La celălalt capăt al coloanei de aer, vom avea, evident, un ventru, dacă tubul este deschis și un nod, la tuburile închise.

Vom deosebi deci trei cazuri tipice :

I. *Tuburi excitate prin suflare directă, deschise la capete.* || Se formează cîte un ventru, la ambele capete.

Situația este analogă cu a barelor libere și sistemul poate să permită formarea tuturor armonicilor, pare sau impare.

II. *Tuburi cu suflare directă, închise la un capăt.* || Se formează un ventru, în punctul de excitație și un nod la capătul opus.

Cazul este analog cu al barei fixate la un singur capăt.

Pentru aceeași frecvență fundamentală, tubul acesta are lungimea de două ori mai mică decît precedentul, dar nu este capabil să emită decît armonicile de ordin impar.

III. *Tuburi cu ancie, deschise la capăt.* || Apare un nod, la punctul de excitație și un ventru la capătul opus.

Situația este analoagă cu precedenta și, pentru aceeași frecvență fundamentală, tuburile au aceeași lungime. Se emit de asemenea armonicile impare.

Tubul cu ancie închis nu poate fi realizat, fiindcă nu se poate sufla în el.

În rezumat :

În cazul I lungimea de undă a fundamentalei este de două ori mai mare decât lungimea tubului, iar în cazurile II și III de patru ori mai mare.

Acestea din urmă au avantajul unei lungimi de două ori mai mici, pentru aceeași fundamentală și dezavantajul că nu pot să emită decât armonicile impare, din care lipsesc tocmai octavele, care asigură sonoritatea cea mai bună.

Prin încălzire, sau după un timp de vibrație mai îndelungat, coardele vibrante *se lasă* și sunetul fundamental tinde să coboare.

La instrumentele de suflat, încălzirea coloanei de aer, după o întrebuințare mai îndelungată, mărește viteza sunetului și ridică frecvența.

*Intr-un ansamblu orchestral, cele două tipuri de instrumente vor tinde, prin urmare, să se dezacordeze în sensuri contrarii.*

*Ca exemplu numeric*, dacă am vrea ca un tub de orgă să producă sunetul cel mai bas, de 16 Hz, ar trebui ca, la temperatura ordinară, să aibă lungimea

$$L = \frac{\lambda}{2} = \frac{340}{2 \cdot 16} = 10,30 \text{ m}$$

dacă este deschis la capăt și 5,15 m, dacă este închis.

§ 187. **Vibrația plăcilor și membranelor.** Fenomenul este aici mult mai complicat decât la coarde, bare sau tuburi sonore, fiindcă se desfășoară nu în două, ci în trei dimensiuni.

Plăcile pot să vibreze sub acțiunea elasticității proprii; membranele trebuie să fie întinse.

După felul excitației, sau după poziția punctelor de fixare, apar *linii nodale*, pe care le putem evidenția presărind nisip, care se aglomerează în lungul lor (fig. 56).

Plăcile au fost fixate la mijloc, excitarea lor făcându-se fie prin lovire, fie prin frecare cu arcușul.

Aceste desemne sînt cunoscute sub numele de *figurile lui Chladni*<sup>1)</sup>.

După legi analoge vibrează și clopotele.

<sup>1)</sup> *Ernst Chladni* (1756—1827) fizician german.



Membranele și plăcile au întrebuințări largi în sistemele de înregistrare și de producere ale sunetului : *microfoane, telefoane, difuzoare* etc.

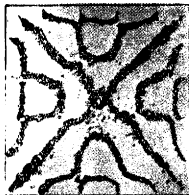


Fig. 56. Figurile lui Chladni.

În orchestre, plăcile de bronz, cu dimensiuni mai mari sau mai mici, sînt adesea folosite ca să producă anumite efecte sonore : *talgere, tam-tam* etc.

De asemenea se folosesc membranele animale, întinse pe un cadru de lemn sau de metal : *tobă mare, timpani, darabană* etc.

După dimensiuni și după gradul de întindere, ele pot să producă sunete cu caracter aproape muzical.

Obişnuit, clopotele produc, afară de sunetul fundamental, diverse alte sunete muzicale, care nu sînt armonicele lui naturale. De aceea folosirea lor în orchestre nu este indicată și le înlocuim prin tuburi de bronz, de diferite lungimi, pe care le lovim cu ciocane de lemn.

**§ 188. Rezonanța în instrumentele muzicale.** În instrumentele de suflat, avem interesul să vibreze numai coloana de aer și să transmitem aceste vibrații mediului, fără alt intermediar.

Funcționarea lor nu e decît o consecință a fenomenelor de rezonanță a acestei coloane și nu avem nici un motiv să mai participe la dinsa și rezonanța materialului solid, pentru că atunci anumite sunete ar fi, eventual, favorizate, în dauna celorlalte.

De aceea instrumentele de tablă se fac din materiale moi : *alamă* sau mai bine *argint*, la care vibrațiile proprii se amortizează foarte repede.

Alteori se folosește lemnul tare de abanos, care de asemenea participă numai în mică măsură, la vibrația coloanei de aer.

La instrumentele cu coarde, unde intensitatea proprie a sunetului este prea mică, avem, din contra, interesul să-l amplificăm, prin rezonanța lemnului sau a coloanei de aer, cuprinsă într-o *cufie de rezonanță*, studiată așa fel ca să nu favorizăm anumite domenii de frecvență, în dauna altora.

Se folosește atunci un lemn special de brad, cu fibrele cit mai regulate.

Prin experiențe și încercări îndelungate, s-a ajuns la forma, în aparență tipică, a instrumentelor de astăzi, dar în fapt legată de numeroase amănunte, uneori imposibil de stabilit sau de reprodus. De dinsele depinde în cea mai mare măsură calitatea instrumentului.

§ 189. **Ultrasunetele.** Sunetele audibile nu depășesc decît foarte rar frecvența de 20 000 Hz. Dincolo de această limită avem *ultrasunetele*.

Le putem produce prin diferite mijloace: sirene speciale, vibrația barelor metalice sau a coloanelor de aer destul de scurte, anumite dispozitive electromagnetice etc., iar metoda cea mai potrivită este să folosim vibrația lamelor de cuarț, tăiate într-un fel anumit, din cristalul natural.

În oîmpuri electrice, aceste lame se contractă sau se dilată, după sensul liniilor de forță, iar într-un cîmp care variază periodic în timp, cu aceeași frecvență ca și vibrația proprie a cuarțului, putem aduce lama în rezonanță și atinge astfel intensități sonore, pînă la ordinul kilowaților pe decimetru pătrat.

În aer, mai ales la frecvențele înalte, ultrasunetele se sting repede, dar prin lichide sau prin solide propagarea se face în condiții destul de bune.

Se produc atunci condensări și dilatări, cu variații foarte mari de presiune, iar accelerațiile impuse păturilor străbătute pot să intreacă de sute de mii de ori pe a gravitației.

Rezultă astfel agitații locale foarte intense, care dau naștere la fenomene speciale, cu aplicații practice deosebit de importante.

Sub acțiunea ultrasunetelor se poate mări viteza unor reacții chimice care, în condiții normale, se desfășoară mult mai încet.

În anumite condiții, ele sînt în stare să rupă moleculele mari sau să provoace, din contra, o grupare a lor, prin polimerizare<sup>1)</sup>.

Ceața, fumul și alte suspensiuni se coagulează și se precipită, iar unele substanțe, cum ar fi mercurul în apă, se emulsionează aproape instantaneu.

Anumite substanțe explozibile se aprind, iar plăcile fotografice se înnegresc, prin dezvoltare, după o acțiune mai îndelungată a undelor ultrasonore.

Chiar la frecvențe ceva mai joase, gazele dizolvate în lichide se degajă imediat și aproape total. Aceasta se poate constata cu un simplu pahar cu sifon, în fundul căruia lovim cu virful unui cuțit, fiindcă apar atunci armonice, cu frecvențe destul de înalte.

Cînd cufundăm mina într-un lichid, parcurs de ultrasunete, simțim o durere intensă, mai ales în articulații.

<sup>1)</sup> Aceste fenomene de polimerizare au fost cercetate experimental, în 1950, de A. Cișman, Șt. Bojin și M. Munteanu, la soluțiile de gelatină, tratate prin ultrasunete.

Micile animale acvatice sînt omorîte, infuzoriile crapă, iar fermenții sînt distruși. De aceea s-a încercat o aplicație a ultrasunetelor, la sterilizarea mustului de vin și a laptelui, ca să împiedice fermentarea.

Bacteriile obișnuite rezistă însă, mai ales în forma de spori.

Undele ultrasonore, cu lungime de cîțiva milimetri, se reflectă foarte bine pe obstacole, fiindcă fenomenele de difracție devin practic neglijabile, chiar la suprafețele neregulate. De aceea le folosim la sondajele submarine, ca să măsurăm adîncimea apei. Se trimite atunci, spre fundul mării, un fascicul de ultrasunete, cu durată scurtă și se înregistrează momentul plecării și sosirii lor, după reflexie.

Creatorul acestei metode de sondaj ultrasonor este fizicianul *Paul Langevin*<sup>1)</sup>. Ea a fost aplicată, pentru prima oară, în războiul mondial din 1914—1918, la căutarea și urmărirea submarinelor.

Pe același principiu se bazează *defectoscopia* ultrasonoră: Un fascicul de unde, care se propagă printr-o piesă metalică, se reflectă pe neregularitățile întîlnite și ne permite astfel să localizăm defectele de turnare sau de forjare.

Aici trebuie să amintim, în primul rînd, lucrările lui *Sokolov*, de la Leningrad.

În *terapeutică*, se folosesc ultrasunetele, de anumită intensitate și frecvență, la tratarea reumatismelor.

Mai menționăm că liliecii au laringele adaptat ca să emită sunete de frecvențe supraaudibile pentru om, care au fost măsurate și sînt de ordinul a 40 000 Hz. Aceste ultrasunete se reflectă pe obstacole și permit animalului să se orienteze la întuneric.

Înainte de a încheia capitolul, unde nu am citat decît prea puține din numeroasele aplicații sau fenomene caracteristice, trebuie să amintim că, între cercetătorii de vază, din acest domeniu, este și românul *Neda Marinescu*, ale cărui lucrări sînt acum citate în toată literatura de specialitate.

Ca manual de consultare, recomandăm *Introducere în Acustică* de Acad. *Eugen Bădărău*, apărută în editura Academiei R.P.R., în 1953.

*Exemple numerice.* 1) Cîte persoane ar trebui să vorbească simultan, cu glas tare, ca să atingă nivelul sonor al unui motor de motocicletă?

Se va lua pentru vorbire nivelul de 50 foni, iar pentru motocicletă 90 foni.

Diferența nivelelor sonore este

$$N'_s - N_s = 10 \cdot \log \frac{I'}{I} \text{ foni.}$$

<sup>1)</sup> *Paul Langevin* (născut în 1872 și decedat de curînd). A fost profesor la Paris și este cunoscut prin lucrări fundamentale, mai ales în magnetism și electricitate.

Prin urmare

$$90 - 50 = 10 \cdot \log \frac{I'}{I}$$

și rezultă că

$$\log \frac{I'}{I} = 4.$$

Inseamnă că *trebuie să vorbească simultan zece mii de persoane, ca să atingă nivelul sonor al motocicletei și încă nu am ținut seamă că răspîndirea lor, pe o suprafață mare, implică absorbții parțiale ale sunetului, în timpul propagării.*

2) *Două locomotive se mișcă una spre alta cu aceeași viteză. Care trebuie să fie această viteză pentru ca mecanicul celei de a doua locomotive să audă cu frecvența aparentă de 1 000 Hz fluierul celeilalte, care are în realitate frecvența de 800 Hz?*

Relația (183.3) ne dă

$$\frac{f_1}{f_0} = \frac{v + v_{obs}}{v - v_s}.$$

Considerînd că viteza sunetului în aer ar fi de 330 m/s și ținînd seamă că  $v_{obs} = v_s$ , avem

$$\frac{f_1}{f_0} = \frac{1\,000}{800} = \frac{330 + v_s}{330 - v_s} = \frac{5}{4}.$$

Rezultă astfel că

$$v_s \cong 36 \text{ m/s} = 130 \text{ km/h}.$$

## D. Scurtă privire istorică asupra acusticii

Dezvoltarea cunoștințelor de acustică, în lumea antică, a mers în paralel cu dezvoltarea muzicii și a instrumentelor muzicale, care ajunseră la un grad de perfecționare destul de înaintat, încă din timpul egiptenilor și al babilonienilor.

Arta muzicală a grecilor era considerată ca un apanaj al zeilor, în așa măsură încît Apollo l-a jupuit pe Marsyas de viu, fiindcă prea știa să cînte frumos din fluier.

Ei vorbeau despre *armonia sferelor cerești*, credeau că aud mișcările astrelor și legau notele gamei de numărul plantelor.

În special gama lui *Pytagora*<sup>1)</sup> s-a păstrat în muzică pînă prin veacul al XVI-lea.

Filozofii greci observaseră de mult originea vibratorie a sunetelor, aveau să calculeze raportul lungimilor a două tuburi sonore, în stare să producă sunete în consonanță, cunoșteau fenomenele de reflexie și unele aplicații practice.

Se spune că *Denys*, tiranul Siracusei<sup>2)</sup> își amenajase închisorile așa ca să poată spiona chiar convorbirile în șoaptă, prin canale ascunse, care se terminau cu pavilioane în formă de ureche.

Îmboldul dat cercetării experimentale, începînd cu *Renașterea*, a deschis orizonturi noi, înlăturînd vechile preocupări metafizice.

*Lionardo da Vinci* a studiat undele superficiale pe apă, dar observațiile lui au rămas multă vreme necunoscute.

Odată cu dezvoltarea mecanicii, problema vibrațiilor și a undelor elastice intră pe un făgaș nou, cînd *Newton* interpretează fenomenul și ajunge la cunoscuta formulă de propagare. Corecția impusă de caracterul adiabatic al comprimărilor și dilatărilor a fost introdusă abia după 1800 de *Laplace*.

Fundamentale sînt de asemenea concepțiile lui *Huyghens*, asupra mecanismului propagării undelor, dar ele n-au fost înțelese de la început, în justa lor lumină.

De altfel o interpretare teoretică a fenomenelor oscilatorii, cît și cercetarea lor mai amănunțită nu au devenit posibile decît după ce *Bernoulli*, *Euler* și *Lagrange* au pus bazele mecanicii analitice, iar *Fourier* a găsit metoda de dezvoltare în serie.

Aici calculul și experiența au mers mină-in-mină, în cea mai fructuoasă colaborare.

*Chladni* este considerat ca unul din principalii fondatori ai acusticii experimentale. El face, pentru prima dată, o distincție precisă între fenomenul fizic și cel fiziologic, cercetează anatomia urechii și găsește că limita superioară a frecvențelor audibile nu depășește 20 000 de vibrații pe secundă.

Aici menționăm că primele cercetări anatomice asupra urechii au fost făcute în 1574 de medicul italian *Bartolomeo Eustachio* și că abia cu trei secole mai târziu *Alfonso Corti* a descoperit fibrele și organul intern de percepție a sunetului, pe care anatomii îl numesc acum *organul lui Corti*.

Tot *Chladni* a cercetat vibrația barelor, a plăcilor și a membranelor, precum și variația vitezei sunetului cu temperatura, care mai fusese de altfel studiată înainte de *Lambert*<sup>3)</sup>.

Legea coardelor vibrante a fost găsită experimental de *Mersenne*<sup>4)</sup>, apoi completată de *Riccati*<sup>5)</sup>.

<sup>1)</sup> Se crede că a trăit în veacul al VI-lea î.e.n.

<sup>2)</sup> 405—368 î.e.n.

<sup>3)</sup> *Jean Henri Lambert* (1728—1777) filozof și matematician francez.

<sup>4)</sup> *M. Mersenne* (1588—1648) astronom, fizician și matematician francez.

<sup>5)</sup> *Jacopo Riccati* (1678—1754) matematician și fizician italian.

Mersenne a făcut de altfel și primele măsurări ale vitezei sunetului în aer (1640). Ele au fost reluate de *Viviani* (1656), de *Robert Boyle* (1700), apoi de o comisiune, instituită de *Biroul de longitudini* din Paris, în care a participat și *Humboldt*<sup>1)</sup> (1822).

Măsurările acestea, făcute cu cea mai mare precizie posibilă pe atunci și în două direcții opuse, ca să elimine acțiunea vântului, au dus la rezultatul că, la temperatura de 0°C și presiunea normală, viteza sunetului în aer este de 330,8 m/s.

Se măsoară cu cronometrul timpul trecut între momentul sosirii luminii și al sunetului unei lovituri de tun.

Au urmat apoi determinările lui *Régnauld*<sup>2)</sup>, făcute cu lux de mijloace experimentale, în conductele de alimentare cu apă ale Parisului, pe atunci în curs de instalare.

Cu prilejul acesta, el a descoperit că, în apropierea unui centru de explozie, viteza sunetului în aer este mult mai mare decât în condițiile obișnuite și poate să depășească 1 000 de metri pe secundă.

Primele determinări în apă au fost făcute pe *Lacul Geneva*, de *Colladon* și *Sturm*<sup>3)</sup>, în 1827. Un dispozitiv automat lovea un clopot, scufundat în apă și aprindea totodată, în aer, o cantitate de praf de pușcă. Măsurând apoi diferența timpurilor de propagare ale luminii și undelor sonore, s-a găsit că viteza sunetului în apă, la temperatura de +8°C, este de 1 435 metri pe secundă.

Alte măsurări, făcute de *Wertheim*<sup>4)</sup> pe Sena au dus la rezultatul de 1 437 m/s, la +15°C.

Metodele de rezonanță și alte metode directe au fost deja menționate, la timpul lor, în capitolul respectiv.

Noțiunea de *viteză de fază* și de *grup* a fost introdusă în 1825 de frații *Weber*<sup>5)</sup>, iar legile presiunii de radiație au fost cercetate de *William Thomson*, de *Rayleigh* și apoi de *Lebedev*<sup>6)</sup>, care a evidențiat fenomene analoge și la undele luminoase.

O metodă simplă, prin care se pot urmări variațiile de presiune, la undele staționare în gaze, a fost găsită de *Lecomte*, în 1857 și perfecționată apoi de *König*<sup>7)</sup>, care a construit așa numitele *capsule manometrice*:

Acestea sînt separate în două compartimente, printr-o membrană subțire, care vibrează, sub acțiunea undelor sonore și face să varieze, în ace-

<sup>1)</sup> *Alexander v. Humboldt* (1769—1859) vestit naturalist german.

<sup>2)</sup> *Henri Victor Régnauld* (1810—1872) fizician și chimist francez.

<sup>3)</sup> *Jean Daniel Colladon* (născut în 1802), fost-profesor la Paris, apoi la Geneva.

*Jacob Karl Franz Sturm* (1803—1855) matematician și fizician. A fost în tinerețe institutor la Geneva, apoi membru al Academiei din Paris.

<sup>4)</sup> *Wilhelm Wertheim* (1815—1861) medic și fizician, născut la Viena și mort la Paris.

<sup>5)</sup> *Wilhelm Eduard* (1804—1891) și *Ernst Heinrich* (1795—1878), au trăit la Leipzig.

<sup>6)</sup> *Piotr Nicolaievici Lebedev* (1866—1911), fost profesor de fizică la Universitatea din Moscova. Lucrările lui sînt la baza concepțiilor moderne asupra luminii.

<sup>7)</sup> *Rudolph König* (1832—1904), născut în Germania și mort la Paris.

lași ritm, debitul unui gaz combustibil, care trece prin celălalt compartiment și alimentează o mică flacără. Vibrațiile se transmit flăcării, care devine *sensibilă*, adică se lungeste sau se scurtează după aceeași lege.

Am descris, în capitolul respectiv, cercetările de acustică fiziologică ale lui *Helmholtz*. El era și doctor în medicină și a început cariera universitară ca profesor de anatomie, apoi de fiziologie. Abia la 50 de ani a fost chemat ca profesor de fizică la Berlin. De aceea a putut fi în stare să lege, cu egală competență cele două domenii.

Am arătat de asemenea cum legea fiziologică a lui *Weber-Fechner* a dus la instituirea sistemului de unități, legate de intensitatea senzațiilor auditive. Această lege datează din 1884.

În ce privește definiția calităților sunetului, ea a fost dată de *Euler*, pe la 1770.

Nu este cazul să intrăm în amănunte, fiindcă ar însemna să dăm o extindere prea mare acestui capitol de istorie a științei. Ne-am limitat numai la câteva date rezumative, legate de etapele mai importante.

# PARTEA A CINCIA

## ELECTROSTATICA

---

### CAPITOLUL XXII

#### FENOMENE FUNDAMENTALE

§ 190. **Obiectul electrostaticii.** Putem constata experimental că unele corpuri, de pildă rășina, ebonita, ceara roșie sau sticla, capătă însușirea să atragă obiecte ușoare: fulgi de pasăre, fire de bumbac sau bucățele de hîrtie, după ce le frecăm cu o stofă de lînă, cu o blană sau cu o bucată de mătase.

Această însușire dispare destul de repede, dar poate să reapară după o nouă frecare.

Fenomenul a fost observat mai întîi la chihlimbar. Filosoful grec *Thales din Milet*, care a trăit acum 2500 de ani <sup>1)</sup>, este primul care-l amintește, doar ca simplă curiozitate și spune că l-a aflat de la o țesătoare. Apoi a căzut în uitare.

Abia pe la 1600 medicul englez *Gilbert* <sup>2)</sup>, reluînd cercetările, constată că mai sînt și alte corpuri, cu aceeași proprietate și, după numele grecesc al chihlimbarului (*elêktron*), numește *electrizare* fenomenul care le aduce în această situație.

Vom spune deci că acele corpuri se electrizează prin frecare, sau că se încarcă cu *electricitate*.

Timp de aproape 200 de ani, studiul electricității s-a limitat apoi la o acumulare treptată de observații *calitative*.

Legătura *cantitativă* s-a putut stabili numai după ce încercările lui *Cavendish*, *Priestley* sau *Daniell Bernoulli*, urmate de cercetările sistematice ale lui *Coulomb* <sup>3)</sup> au dus la formularea matematică a legii de interacțiune, din care putem calcula for-

---

<sup>1)</sup> Intre 640 și 548 î.e.n., dar aceste date sînt nesigure.

<sup>2)</sup> *William Gilbert* (1540—1603) S-a ocupat și cu studii de magnetism.

<sup>3)</sup> *Charles Auguste de Coulomb* (1736—1806), fizician francez.



tele dezvoltate și stabili unitățile de măsură pentru ceea ce numim *cantitate de electricitate* or *sarcină electrică*.

De aici înainte intrăm pe făgașul adevăratei cercetări științifice, prin care determinările din laborator, unite cu calculul matematic, au dus, în câteva decenii, la încheierea *electrostaticii*.

**Electrostatica este studiul electricității în echilibru.**

*Domeniul acestui capitol cuprinde ansamblul fenomenelor caracteristice stării de echilibru a sarcinilor electrice.*

Pentru observarea calitativă a interacțiunilor electrice, putem folosi un dispozitiv simplu și ușor de realizat : *pendulul electric*.

El constă dintr-o bobită ușoară, de plută sau de măduvă de soc, atârnată cu un fir subțire de mătase, pe un suport convenabil, așa cum arată fig. 57.

Această bobită poate fi, eventual, înlocuită prin cilindrul de hirtie al unei țigări, golită de tutun.

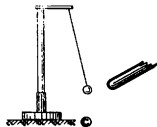


Fig. 57. Pendulul electric.

§ 191. **Izolanti și conductori.** Din acțiunea de atracție asupra unui pendul electric, putem constata că :

1) La unele substanțe, de pildă ebonitul, rășina, parafina, chihlimbarul, sticla etc., electrizarea se limitează numai la regiunea frecată și nu se răspîndește mai departe.

Aceste substanțe sînt *rău conducătoare de electricitate* sau *izolanți*.

2) Altele, cum ar fi metalele, nu pot fi electrizate prin frecare, decît cu condiția să le adaptăm un mîner izolanț.

Aceste substanțe sînt *bune conducătoare de electricitate* sau *conductori*.

Aici orice sarcină electrică se răspîndește pe toată întinderea și poate să invadeze alți conductori, numai prin simplă atingere, ca și cum ar forma, toți, împreună, unul singur.

Din clasa conductorilor fac parte, pe lângă metale, diverse minerale, soluțiile saline, bazice sau acide, țesuturile vegetale sau animale, pământul și numeroase altele<sup>1)</sup>.

Între cele două categorii de mai sus nu există o delimitare precisă. Putem trece de la cei mai buni izolanti, cum ar fi chihlimbarul, cuarțul sau parafina, la cei mai buni conductori, cum sînt argintul sau cuprul, printr-o serie nesfîrșită de trepte intermediare: lemnul, hîrtia, bumbacul etc.

**Există corpuri conductoare și corpuri izolante, cu numeroase trepte intermediare.**

Aerul, umed sau uscat, este un izolant. Dacă, totuși, orice corp electricizat se descarcă repede la umezeală, aceasta se datorește păturii superficiale de apă, ce se depune prin condensare.

În practică, un izolant poate fi mai bun decît altul, dar nu putem realiza o izolare perfectă.

Putința de răspîndire a sarcinilor electrice ne dă mijlocul să încărcăm un conductor, prin simpla atingere cu altul, deja electricizat.

**Realizăm astfel o *electricizare prin contact*.**

**Contactul direct poate să transmită sarcini electrice de la un corp la altul.**

La corpurile rău conducătoare, această trecere se limitează însă numai la regiunile imediat vecine cu punctul de atingere, iar zona interesată va fi cu atît mai restrînsă, cu cît izolantul e mai bun.

Contactul cu pămîntul împrăștiie sarcina electrică a conductorilor și duce la dispariția fenomenelor amintite mai sus.

**§ 192. Diferențierea sarcinilor electrice.** Este ușor de constatat că un pendul electric, pe care l-am încărcat prin atingere cu un baston de ebonită, electricizat prin frecare, nu mai este atras de dînsul ci, din contra, respins. În schimb, așa încărcat, îl atrage un baston de sticlă electricizată.

**Corpurile încărcate cu specii diferite de sarcini electrice se atrag, iar cele încărcate la fel se resping.**

Încărcat, pe unul cu bastonul de sticlă și pe celălalt cu bastonul de ebonită.

Tot experiența ne mai arată că două pendule electrice se resping, dacă au fost încărcate cu același baston, dar se atrag, dacă le-am

<sup>1)</sup> Noțiunile de *izolant* și *conductor* au fost introduse de fizicianul englez *Stephan Gray*, pe la 1729.

Aceste fapte ne duce la următoarele concluzii :

1) *Frecarea face să apară, pe sticlă și pe ebonită, două specii diferite de sarcini electrice.*

2) *Două corpuri se atrag, dacă poartă sarcini electrice diferite și se resping, dacă sînt încărcate la fel.*

Cercetările sistematice au arătat că unele corpuri se încarcă, prin frecare, la fel cu sticla, iar altele la fel cu ebonita.

Se poate întîmpla însă ca unul și același corp să se electrizeze uneori într-un fel, alteori în altul.

Sticla, de pildă, se electrizează ca ebonita, dacă o frecăm cu o blană de pisică.

De aceea, ca să nu avem îndoială, se recomandă să o frecăm totdeauna cu o stofă de lînă.

Tot așa rășinile se pot electriza, la rece ca ebonita, iar la cald ca sticla.

Nu există decît două specii de sarcini electrice.

*In tot cazul, oricare ar fi corpul frecat, el se electrizează fie ca sticla, fie ca ebonita, dar o a treia specie de sarcină electrică nu există.*

După ce am cercetat electrizarea corpului frecat, rămîne să cercetăm și electrizarea corpului care freacă.

Vom înveli deci cu un postav, sau cu mătase, un disc de lemn sau de metal, îi vom adapta un minier izolant și ne vom servi de dinsul ca să frecăm un al doilea disc, de ebonită (fig. 58).

Experiența ne arată că aceste două discuri, cîtă vreme le ținem lipite unul de altul, nu deviază pendulul electric și totul se petrece ca și cum nu ar fi electrizate.

Dar dacă le separăm, constatăm că unul s-a electrizat ca sticla, iar celălalt ca ebonita.

Faptul că, împreunate, nu atrag pendulul, ne obligă să admitem că cele două sarcini apărute reprezintă cantități egale de electricitate, care-și anulează reciproc efectele, prin *neutralizare*.

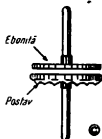


Fig. 58. Cele două discuri se încarcă cu sarcini egale și de semne contrarii.

*Franklin* a numit *pozitivă* electrizarea ce se dezvoltă pe sticlă și *negativă* pe a ebonitei, notându-le cu + și cu —.

Această notare, pur convențională, este acum adoptată pentru cele două specii de sarcini electrice, oricare ar fi proveniența lor. Când ele sînt egale, în valoare absolută, ca în experiența de mai sus, vom spune să *suma lor algebrică este nulă*.

Dacă, după ce am despărțit cele două discuri frecate, le apropiem iarăși unul de altul, se formează o mică scînteie electrică, vizibilă la întuneric și electrizările contrare dispar, prin *recombinare*.

Frecarea separă cantități de electricitate egale și de semne contrarii, care înainte se neutralizau reciproc.

*Totul ne arată deci că frecarea nu face decît să separe două cantități de electricitate, egale și de semne contrarii, care înainte se neutralizau reciproc.*

Acțiunea de separare implică, evident, o absorbție de energie, împotriva forțelor de atracție mutuală, pe care sistemul o înmagazinează sub forma potențială și o restituie ca lumină, căldură, lucru mecanic etc., în cursul procesului de recombinare.

Aici se aplică, bineînțeles, principiul conservării energiei, dar nu e încă momentul să intrăm în amănunte.

Totodată, experiențele descrise mai sus, ca și numeroase altele ne arată că :

Orice sarcină electrică apare sau dispare împreună cu alta, egală și de semn contrar.

*Orice sarcină electrică apare sau dispare împreună cu altă sarcină, egală și de semn contrar.*

Înseamnă că, într-un sistem izolat, ce ar fi avut inițial o anumită sarcină electrică, pozitivă sau negativă, electrizările ulterioare o lasă neschimbată, fiindcă suma algebrică a sarcinilor apărute nu poate fi decît nulă.

Acesta este *principiul conservării electricității*.

§ 193. **Originea fenomenelor de electrizare.** În § 81, am arătat că atomii au configurația unor sisteme solare și că :

1) Orice atom este format dintr-un *nucleu*, încărcat *pozitiv*, în jurul căruia se rotesc, pe orbitele respective, particule satelite, încărcate *negativ* și numite *electroni*.

2) Acești electroni au masa cam de 2 000 de ori mai mică decât atomul de hidrogen și sînt „*atomi de electricitate*”, în sensul că toți poartă aceeași sarcină electrică și că nu găsim în natură decît multipli întregi ai acestei sarcini *elementare*.

3) La rîndul lui, nucleul cuprinde particule neutre, numite *neutroni* și particule *pozitive*, numite *protoni*.

Aceste particule au, aproximativ, masa atomului de hidrogen.

4) În valoare absolută, sarcina pozitivă a protonului este egală cu sarcina negativă a electronului.

5) Numărul protonilor nucleari depinde de natura chimică a elementului respectiv și corespunde cu numărul de ordine din tabelul periodică a lui Mendeleev.

6) În atomul *neutru*, pentru fiecare proton din nucleu, găsim cîte un electron satelit, așa că sarcinile pozitive și negative se compensează exact.

Din diferite cauze, de pildă prin acțiunea frecării, se poate întimpla ca o parte din atomii unui corp să piardă electroni. Corpul rămîne atunci cu un exces de sarcină *pozitivă*, iar electronii cedați se fixează supranumerar pe atomii celui alt și-l încarcă *negativ*.

Electrizarea prin frecare se datorește schimbului de electroni, între cele două corpuri.

*Electrizarea prin frecare nu este, prin urmare, decît o consecință a schimbului de electroni, între atomii celor două corpuri.*

În lumina acestei concepții, se explică ușor atît principiul conservării electricității, cît și faptul că un același corp se electrizează uneori pozitiv, alteori negativ.

Între cele două corpuri frecate, încărcarea pozitivă revine aceluia care cedează mai ușor electronii.

Schimbul de electroni se poate produce, de altfel, nu numai prin frecare, ci și printr-un contact intim, între două corpuri diferite.

Astfel, o baghetă de sticlă sau o bucată de parafină, pe care le-am cufundat în mercur, le scoatem afară încărcate negativ, fiindcă mercurul le cedează electroni.

De asemenea două plăci metalice diferite se electrizează prin simplu contact, fiindcă unul din metale cedează electroni celuilalt.

Fenomene analoge pot să apară chiar prin contactul între două corpuri identice, din punctul de vedere chimic, dar diferite ca stare fizică : temperatură, compresiune, stare de agregare etc.

Izolanții păstrează electronii sateliți mai bine decât conductorii și au chiar tendința să fixeze alții, suplimentari.

**Izolanții fixează electronii sateliți, pe cind metalele îi lasă liberi.**

Metalele, din contra, îi pierd cu destulă ușurință. Ele conțin, de altfel și *electroni liberi*, cari vagabondează printre atomi și sufăr agitația termică obișnuită.

Cu aceste noțiuni sumare, deosebirea de comportare, dintre izolanți și conductori, se explică în felul următor :

a) Un electron, care a trecut pe un izolanț, se fixează imediat pe un atom, iar acesta este, la rîndul lui, fixat în rețeaua structurală.

Sarcina negativă primită este astfel imobilizată și nu are putința de a se răspîndi.

Tot așa, dacă o parte din atomii izolanțului au pierdut electroni, excedentul de sarcină pozitivă rămîne iarăși localizat, fiindcă ei nu pot să primească alți electroni, de la atomii din regiunile vecine, care să compenseze pierderea.

b) La metale, am văzut că electronii se bucură de mai multă libertate.

Dacă metalul a primit electroni, ei se împrăștie și transportă cu dînsii sarcinile negative.

Dacă a cedat electroni, excesul de sarcină pozitivă se împrăștie, de asemenea, fiindcă sosesc alți electroni, din regiunile vecine, cu tendința de a uniformiza repartiția.

**§ 194. Electrizarea prin influență.** Am văzut că un corp electrizat și destul de ușor se mișcă, sub acțiunea forțelor electrice, dacă aducem în apropiere un alt corp electrizat.

Cînd corpul este mai greu, sau dacă e fixat rigid, forțele electrice îl lasă în repaus, dar atunci ne putem aștepta ca înseși sarcinile electrice de pe dînsul să se miște, sub acțiunea acestor forțe, presupunînd că e vorba de un conductor.

Această deducție poate fi controlată prin următoarea experiență simplă :

Electrizăm, printr-un mijloc oarecare, un cilindru de metal, așezat pe un picior izolant, după ce am legat, la cele două capete, cele o pereche de pendule electrice, așa cum arată fig. 59.

Aceste pendule se resping reciproc și divergența lor ne arată că s-au încărcat cu electricitate.

Dar dacă apropiem de unul din capete un al doilea corp electrizat, constatăm că :

1) Dacă ambele corpuri sînt electrizate la fel, divergența pendulelor crește în *B* și scade în *A*.

2) Dacă electrizările sînt de semne contrarii, divergența crește în *A* și scade în *B*.

Rezultă că, în adevăr, forțele electrice sînt capabile să transporte sarcina cilindrului și să o îngrămădească fie la un capăt, fie la celălalt, după cum e vorba de o atracție sau de o respingere.

Să reluăm acum aceeași experiență, fără să electrizăm inițial cilindrul. Potrivit celor știute, el conține, totuși, sarcini electrice egale și de semne contrarii, care nu au fost încă separate și se neutralizează reciproc.

Dacă apropiem de dînsul un corp electrizat, bunăoară pozitiv, sarcinile contrarii se separă parțial, prin acțiunea combinată a forțelor de atracție și de respingere.

Pendulele diverg atunci la ambele capete, iar electrizările sînt negative în *A* și pozitive în *B*.

Vom spune că aceste sarcini contrarii s-au separat prin acțiunea de *influență electrică* a corpului din apropiere.

**Acțiunea unui conductor electrizat separă, prin influență, o parte din sarcinile contrare de pe un conductor vecin.**

Separarea nu este totală. Ea se accentuează și pendulele diverg mai tare, dacă mărim sarcina de pe conductorul vecin, sau dacă-l aducem ceva mai aproape.

O a treia pereche de pendule, atîrnate în regiunea mediană a cilindrului, rămîn în repaus și ne arată că acolo avem o *zonă neutră*.

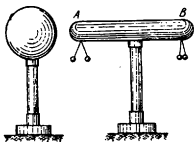


Fig. 59. Electrizarea prin influență.

Această zonă nu apare chiar la jumătatea distanței, ci este deplasată spre capătul unde acționează corpul electrizat, fiindcă și forțele electrice sînt mai intense, în apropierea lui.

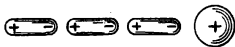


Fig. 60. Electrizarea prin inducție a unui sir de conductori.

Sarcinile ce apar prin influență se distribuie atunci așa cum arată fig. 60.

Oricare din acești conductori poartă, la un capăt, o sarcină pozitivă, iar la capătul opus alta negativă, de aceeași valoare absolută.

Două sarcini electrice, egale, de semne contrarii și distanțate între ele, reprezintă un *dipol*.

Fiecare pereche de sarcini egale, de semne contrarii și astfel distanțate între ele, formează ceea ce numim un *dipol electric*.

În locul denumirii de *influență electrică*, se folosește adesea și aceea de *inducție electrostatică*.

Corpul electrizat, ce exercită acțiunea, se numește atunci *inductor*, iar cel ce a primit-o este *indusul*.

Este evident că, dacă sarcina inductoare dispăre, sau dacă ducem inductorul la o distanță foarte mare, indusul revine la starea neutră inițială, prin recombinarea sarcinilor contrarii.

Ca să împiedicăm această neutralizare, va fi suficient să-l atingem un moment cu degetul, înainte de a îndepărta inductorul.

Presupunînd că acesta e încărcat pozitiv, sarcina de același semn este respinsă în pămînt și, pînă la urmă, indusul rămîne cu o sarcină negativă, care se răspîndește pe toată întinderea lui.

Fenomenul de inducție ne dă astfel mijlocul să încărcăm un conductor cu o specie cunoscută de electricitate, fiindcă sarcina rămasă are semnul contrar sarcinii inductoare.

Am arătat mai sus că electrizarea prin frecare sau prin contact se explică prin schimbul de electroni, în urma căruia, corpul



care-i primește se încarcă negativ, iar cel care-i cedează rămîne cu un surplus de sarcină pozitivă.

Electrizarea prin influență are o explicație analogă :

Presupunînd, pentru fixarea ideilor, că inductorul este încărcat pozitiv, el atrage, în apropierea lui, o parte din electronii liberi ai metalului din care e făcut indusul.

Regiunea de îngrămădire a electronilor capătă atunci un surplus de sarcină negativă, iar aceea de unde au plecat rămîne încărcată pozitiv.

Un caz particular de separare a sarcinilor electrice prin influență poate fi observat și la corpurile izolante, dar atunci mecanismul fenomenului este cu totul altul și va face obiectul unui capitol viitor.

1. *Electroscopul*. În studiul calitativ al fenomenelor de electrizare, ne-am folosit pînă acum de pendulul electric.

În locul lui, mai putem folosi și alte aparate, între care unul aproape tot așa de simplu, dar mai sensibil și cu posibilități de aplicare mult mai largi : *electroscopul*.

Partea lui principală este o vergea metalică, terminată cu o mică sferă, la capătul de sus și cu două foițe foarte subțiri, de aur sau de aluminiu, la partea de jos (fig. 61).

Vergeaua străbate, printr-un dop izolant, într-un flacon de sticlă, care să așere foițele de vătămare, sau, mai bine într-o cutie metalică, prevăzută cu o fereastră.

Ca să cercetăm dacă un corp este sau nu electrizat, îl apropiem de sfera metalică. Foițele se încarcă atunci, prin inducție și diverg, depărtîndu-se una de alta.

Ca să aflăm și semnul electrizării, încărcăm înfii vergeaua cu o sarcină de semn cunoscut, prin contact sau prin inducție.

Apropierea corpului electrizat mărește atunci divergența foițelor, dacă e încărcat la fel și o micșorează, dacă poartă o sarcină de semn contrar.

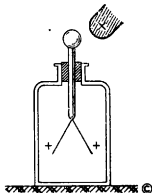


Fig. 61. Electroscopul.

Sensibilitatea poate fi mult mărită, dacă înlocuim foițele cu fire foarte subțiri, de cuarț argintat, pe care le privim la microscop.

Modelul reprezentat în fig. 62 a fost imaginat de *Exner*<sup>1)</sup>.

Aici sensibilitatea poate fi mărită sau micșorată, cu două plăci metalice laterale, pe care le apropiem sau depărtăm.

Pe partea dinspre foițe, aceste plăci se încarcă prin inducție, le atrag și fac să crească divergența lor.

Atât plăcile, cât și cutia metalică, sînt legate la pămînt, din motive pe care le vom arăta mai tîrziu.

**2. Dielectrici.** În toate experiențele și fenomenele descrise, atât forțele de interacțiune, între corpurile electrizate, cât și electrizările prin inducție, la care dau naștere, se desfășoară nu numai prin pătura separatoare de aer, dar și prin vid, sau printr-un izolanț oarecare: parafină, ulei, sticlă, ebonită etc.

Această însușire a izolanților, de a servi ca mediu de transmitere pentru interacțiunile electrice, a îndreptățit pe *Faraday* să-i

Izolanții se mai numesc și dielectrici, fiindcă sînt capabili să transmită interacțiunile electrice.

numească *dielectrici*, de la cuvîntul grecesc *dia*, sinonim cu *trecere* sau *străbatere*.

Tot *Faraday* a înțeles cel dintîi că, în această transmitere, dielectricul nu rămîne pasiv, ci suferă anumite deformări cuasi-elastice, despre care vom discuta pe larg mai tîrziu.

Deocamdată amintim în treacăt că mecanismul fenomenului este analog cu acela înțîlnit la interacțiunile newtoniene.

**3. Concluzii și observații finale.** Toate explicațiile de mai sus, care ne-au dus la interpretarea fenomenelor

<sup>1)</sup> *Franz Exner* (născut în 1849), fost profesor la Viena.

de electrizare fie prin schimbul de electroni, între două corpuri, fie prin mișcarea lor de ansamblu, în cuprinsul unui conductor metalic, reprezintă doar o anticipare sumară, asupra unor fapte, pe care le vom analiza mai pe larg, în alte capitole viitoare.

Oricât ar fi de succinte, aceste lămuriri preliminare ne vor permite să privim, de la început, electricitatea sub aspectul ei material: *protonii* și *electronii*, cari fac parte integrantă din atomii și moleculele substanțelor.

O veche concepție, astăzi perimată, considera electricitatea ca un *fluid imponderabil*, cu structură *continuă*, capabil să *curgă* pe conductori, sau să treacă de la un corp la altul.

Nimic nu ne împiedică să vorbim și astăzi de un „*fluid electric*”, fiindcă imaginea este destul de intuitivă, dar nu trebuie să uităm că el nu este *imponderabil*, ci transportă particule materiale, după cum nu trebuie să uităm că el nu este nici *continuu*, ci are o structură *discontinuu*, legată de existența reală a sarcinii elementare.

Ca încheiere a acestui capitol și înainte de a trece la studiul *cantitativ* al fenomenelor electrostatice, menționăm că starea de echilibru nu poate fi atinsă, într-un sistem oarecare, decât printr-o serie de *situații tranzitorii succesive*, în care sarcinile electrice se mișcă, spre o poziție finală stabilă, dictată de legăturile întimpinate.

Orice transport de electricitate este un *curent electric* și face obiectul *electrodinamicii*.

Apar astfel transporturi de electricitate, adică ceea ce numim *curenți electrici*, iar studiul lor face obiectul *electrodinamicii*.

Domeniul electrostaticii începe acolo unde aceste transporturi încetează, ca să facă loc stării de echilibru a sarcinilor electrice.

**§ 195. Legea lui Coulomb.** În 1785, *Coulomb* a găsit experimental relația cantitativă care exprimă forța de interacțiune, în funcție de sarcinile electrice în prezență și de distanța respectivă. El s-a servit de o balanță de torsiune, construită așa cum arată fig. 63:

O bară izolantă, cât mai ușoară, este suspendată cu un fir subțire. Ea poartă, la un capăt, o mică sferă conductoare, iar la capătul opus e lipită o aripioară de hârtie, care amortizează oscilațiile și, totodată, echilibrează greutatea sferei.

O a doua sferă, egală în diametru, este fixată rigid, pe un suport izolant, la nivelul primei și la aceeași distanță, față de firul de suspensie al barei.

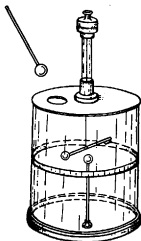


Fig. 63. Balanța de torsiune a lui Coulomb.

Tot sistemul e introdus într-un cilindru protector, de sticlă, unde o substanță higroscopică absoarbe vaporii de apă, ca să asigure o cât mai bună izolare.

1) În prima serie de cercetări, se încarcă ambele sfere cu câte o sarcină electrică oarecare. Ele se atrag sau se resping și, cu ajutorul unghiului de torsiune al firului, putem determina forța de interacțiune.

Răzultatul experiențelor ne duce la concluzia că *această forță este invers proporțională cu pătratul distanței dintre centrele sferelor*.

2) În a doua serie de cercetări, cele două sfere, în prealabil electrizate, sînt descărcate treptat, prin atingere cu o a treia sferă izolată, de aceeași mărime, dar ne electrizată.

Prin atingeri succesive, se poate reduce sarcina oricăreia din sfere, întii la jumătate din valoarea inițială, apoi la un sfert și așa mai departe.

Răsucind capătul de sus al firului de suspensie, așa ca să readucem, de fiecare dată, sferele la distanța la care se găseau înainte de electrizare, unghiul de torsiune respectiv ne permite iarăși să calculăm forța de interacțiune, pentru diferite valori ale sarcinilor.

Iar dacă notăm cu  $Q$  și  $Q'$  sarcinile inițiale, constatăm experimental că, după diferitele descărcări succesive,

pentru sarcinile  $Q$  și  $Q'$  forța măsurată este  $F$ ,  
 pentru sarcinile  $Q/2$  și  $Q'$  forța măsurată este  $F/2$ ,  
 pentru sarcinile  $Q/2$  și  $Q'/2$  forța măsurată este  $F/4$

și așa mai departe

De aici se vede că, indiferent de unitățile în care am exprima sarcinile electrice, *forța de interacțiune, la o distanță dată, este proporțională cu produsul lor.*

Aceste două serii de cercetări ne duc împreună la concluzia că forța de interacțiune  $F$ , între două corpuri, încărcate cu sarcinile  $Q_1$  și  $Q_2$  și situate la distanța  $r$ , se poate exprima prin relația

$$F = \frac{1}{\epsilon} \cdot \frac{Q_1 \cdot Q_2}{r^2} \quad (195.1)$$

În care constanta de proporționalitate  $\epsilon$  caracterizează mediul separator, din punctul de vedere electric și se numește *constantă dielectrică* sau *permittivitate*.

Valoarea ei numerică și dimensiunile fizice depind de sistemul unităților folosite.

Această relație, fundamentală în electrostatică, exprimă *legea lui Coulomb*.

Cantitățile de electricitate  $Q$ , pe care le-am numit *sarcini electrice* vor fi considerate ca *punctiforme*, adică răspândite pe corpuri cu dimensiuni geometrice practic neglijabile, în comparație cu distanța care le separă.

Formula lui Coulomb (195.1) este analogă cu formula lui Newton (78.1), prin care am exprimat forțele de interacțiune ale maselor gravitaționale.

De aceea sarcinile electrice se mai numesc uneori și *mase electrice*, dar această denumire tinde să fie părăsită.

Din același motiv, tot așa cum forțele gravitaționale se mai numesc și *newtoniene*, vom numi *coulombiene* forțele de interacțiune electrică.

În concluzie: *forțele coulombiene, ce apar între două corpuri electrizate, sînt direct proporționale cu produsul sarcinilor electrice și invers proporționale cu pătratul distanței care le separă.*

Forța coulombiană este proporțională cu produsul sarcinilor electrice și invers proporțională cu pătratul distanței ce le separă.

*Intensitatea acestor forțe scade, cînd crește permitivitatea mediului dielectric.*

Experiențele lui Coulomb, care au dus la formularea legii de față, repetate chiar și în condițiile de astăzi, duc la rezultate destul de neprecise, fiindcă forțele de măsurat sînt foarte mici.

Ele au mai mult o importanță istorică și de aceea este preferabil să considerăm această lege doar ca o ipoteză fundamentală și să o verificăm indirect, prin consecințele ei.

**§ 196. Sistemul unităților electrostatice CGS.** Cîtă vreme nu sîntem încă legați de un anumit sistem de unități electrice, nimic nu ne împiedică să le alegem acum, în așa fel încît constanta dielectrică să apară ca o simplă cantitate numerică, fără dimensiuni fizice, a cărei valoare, în vid, o vom fixa convențional și arbitrar  $\epsilon_0 = 1$ .

În aceste condiții, legea lui Coulomb capătă, în vid, forma simplificată

$$F = \frac{Q_1 \cdot Q_2}{r^2}.$$

Iar dacă luăm ca bază unitățile sistemului CGS, vom exprima forța în dyne și distanța în centimetri.

În cazul particular cînd

$$Q_1 = Q_2 = 1 \text{ unitate de sarcină electrică}$$

și  $r = 1$  un centimetru,

va trebui deci ca

$$F = \frac{1 \cdot 1}{1^2} = 1 \text{ dynă.}$$

Sîntem acum în măsură să definim, în cadrul sistemului mecanic CGS, o unitate de sarcină electrică și vom spune că :

**În vid, forța de interacțiune, între două corpuri încărcate cu cîte o sarcină-unitate CGS electrostatică este de o dynă.**

*Două corpuri sînt încărcate cu cîte o unitate electrostatică CGS de sarcină electrică, dacă forța de interacțiune în vid, la distanța de un centimetru, este de o dynă.*

Această unitate, astfel definită, ne va servi ca punct de plecare pentru alegerea unui întreg complex de unități electrice

care, luate împreună, formează *sistemul unităților electrostatice CGS*.

În măsura în care nu au nume speciale, aceste unități se notează cu inițialele u.CGS e.s. ori, mai simplu, cu u.e.s.

Dacă interacțiunea electrică s-ar desfășura nu în vid, ci printr-un izolanț oarecare, constanta dielectrică a mediului re apare în formula lui Coulomb, cu valoarea numerică respectivă și va trebui să scriem că

$$F = \frac{1}{\epsilon} \cdot \frac{Q_1 \cdot Q_2}{r^2} \text{ dyn.}$$

unde permitivitatea vidului  $\epsilon_0 = 1$  va fi luată ca termen de comparație.

Cantitatea numerică  $\epsilon$  va reprezenta deci raportul între permitivitatea mediului și a vidului, adică ceea ce numim *permitivitatea relativă*.

Este evident că, dacă am schimba convenția de plecare și am alege pe altă cale unitatea de sarcină electrică, tot cu ajutorul formulei lui Coulomb, permitivitatea vidului nu ar mai fi un simplu număr abstract, ci ar căpăta dimensiuni fizice.

De aceea, pentru a evita scăpările din vedere, mai ales la trecerea în alte sisteme de unități, obișnuim să o păstrăm în evidență, chiar dacă este egală cu unitatea.

Vom scrie deci, de preferință, formula lui Coulomb sub forma

$$F = \frac{1}{\epsilon_0} \cdot \frac{Q_1 \cdot Q_2}{r^2}$$

în cazurile când interacțiunea electrică se desfășoară prin vid și sub forma

$$F = \frac{1}{\epsilon \epsilon_0} \cdot \frac{Q_1 \cdot Q_2}{r^2} \quad (196.1)$$

Într-un dielectric de permitivitate  $\epsilon$ , în raport cu a vidului, considerată ca termen de comparație.

Experimental se constată că toți dielectricii au permitivitatea mai mare decât a vidului.

Aceasta înseamnă că și *forțele de interacțiune electrică au intensitatea maximă, în vid.*

**În vid, forțele coulombiene sînt mai intense decît în alți dielectrici.**

La presiunea normală, aerul are, practic, aceeași permitivitate ca și vidul.

Tabela de mai jos cuprinde valorile relative ale permitivității citorva substanțe, determinate experimental, prin comparație cu a vidului.

*Tabela 16*

Substanța	$\epsilon$
Aer, la presiunea normală	1,000 59
Parafină . . . . .	2—2,2
Petrol . . . . .	1,9—2,3
Ebonită (aprox.) . . .	2,6
Sulf . . . . .	4
Sticlă (aprox.) . . . . .	5,5—5,7
Mică . . . . .	6—7
Porțelan, aprox.) . . .	5,7—6,3
Apă, la 0°C . . . . .	81

De aici se vede că, în condiții similare, forțele de interacțiune în apă sînt de 81 de ori mai mici decît în vid.

Vom vedea mai tirziu ce importanță deosebită are această permitivitate așa de mare, la trecerea curentului electric prin soluțiile de săruri minerale, baze sau acizi.

### *Dimensiunile u.e.s. de sarcină electrică.*

Formula lui Coulomb, în care considerăm permitivitatea ca număr abstract, ne duce la ecuația de dimensiuni

$$LMT^{-2} = L^{-2}Q^2$$

și de aici deducem că dimensiunile sarcinii electrice, în sistemul electrostatic CGS, vor fi :

$$[Q] = L^{3/2}M^{1/2}T^{-1}.$$

§ 197. **Sistemul unităților MKSA.** Sistemul electrostatic CGS pleacă de la unitățile absolute de masă, lungime și timp, eliminînd permitivitatea, ca mărime fizică.



El are multiple avantaje, în anumite domenii de cercetare științifică, mai ales pentru fizician, dar devine incomod, în aplicațiile tehnice.

De aceea, încă din 1881, congresul electricienilor a fixat, ca unitate practică de sarcină electrică, un multiplu al unității electrostatice, definită mai sus.

Un coulomb reprezintă  $9 \cdot 10^9$  u. e. s. de sarcină electrică.

Această unitate reprezintă  $3 \cdot 10^9$  unități electrostatice CGS și se numește *coulomb* (C).

Cu vechea convenție, asupra permitivității, formula lui Coulomb ne arată că, la distanța de 100 cm, două sarcini de câte  $3 \cdot 10^9$  u.e.s. implică forța de interacțiune

$$F = \frac{Q_1 \cdot Q_2}{r^2} = \frac{9 \cdot 10^{18}}{10^4} = 9 \cdot 10^{14} \text{ dyn},$$

presupunând că aceste sarcini se află în vid.

Am putea să alegem însă valoarea permitivității vidului în așa fel ca formula lui Coulomb să ne dea forța în newtoni, când exprimăm distanța în metri și sarcina electrică în coulombi.

Ținând seamă de rapoartele numerice de transformare, am avea, în aceste condiții,

$$F = \frac{9 \cdot 10^{14}}{10^5} = \frac{1}{\epsilon_0} \cdot \frac{1 \cdot 1}{1^2} = \frac{1}{\epsilon_0} \text{ N}$$

și rezultă că permitivitatea vidului ar trebui să aibă valoarea numerică

$$\epsilon_0 = \frac{1}{9 \cdot 10^9}.$$

Iar formula lui Coulomb se va scrie, pentru interacțiunile în vid,

$$F = 9 \cdot 10^9 \frac{Q_1 \cdot Q_2}{r^2} \quad (\text{newtoni}) \quad (197.1)$$

și pentru interacțiunile într-un mediu de permitivitate  $\epsilon$ ,

$$F = 9 \cdot 10^9 \frac{1}{\epsilon} \cdot \frac{Q_1 \cdot Q_2}{r^2} \quad (\text{newtoni}) \quad (197.1a)$$

Dacă exprimăm sarcina electrică în coulombi și folosim unitățile MKS, permittivitatea vidului are valoarea  $\epsilon = 1/9 \cdot 10^9$ .

În locul unităților sistemului CGS, am introdus astfel unitățile practice ale sistemului MKS, la care am adăugat o a patra unitate: *coulombul* (C).

Cîtă vreme această unitate specială rămîne definită ca simplu multiplu al unității electrostatice CGS, chiar dacă am adaptat-o sistemului MKS, fixarea etalonului de măsură corespunzător nu se poate face decît cu ajutorul formulei lui Coulomb și al determinării experimentale a forței de interacțiune.

Am văzut însă că asemenea determinări nu pot fi destul de precise și de aceea, păstrînd raportul inițial  $3 \cdot 10^9$ , între coulomb și u.e.s. de sarcină electrică, trebuia găsit mijlocul ca unitatea *coulomb* să fie definită pe altă cale, mai accesibilă măsurărilor de precizie.

Anticipînd asupra domeniilor electrodinamicii și electromagnetismului și pentru a evita reveniri ulterioare în electrostatică, menționăm de pe acum că această definiție pleacă de la unitatea de *intensitate* a unui curent electric, pe care o numim *amper*<sup>1)</sup> (A).

Mai menționăm că *intensitatea exprimă cantitatea de electricitate* (sau sarcina electrică), *ce trece într-o secundă prin fiecare secțiune a unui conductor, parcurs de curentul electric*.

Vom vedea mai tîrziu cum se definește corect amperul, din legea electromagnetismului.

Prin orice secțiune a unui conductor, curentul de un amper transportă un coulomb pe secundă.

Deocamdată e suficient să știm că *un curent de un amper transportă cîte un coulomb pe secundă, prin fiecare secțiune a conductorului*.

Așadar, dacă în  $t$  secunde, curentul electric transportă  $Q$  coulombi, el are intensitatea

$$I = \frac{Q}{t} \text{ A (amperi)} \quad (197.2)$$

<sup>1)</sup> În onoarea fizicianului francez *André Marie Ampère* (1775—1836), unul din principalii fondatori ai electromagnetismului.

Intensitatea unui curent poate fi determinată experimental cu precizie mult mai mare decât forțele de interacțiune electrostatică și ne permite să măsurăm, implicit, cantitățile de electricitate, fără ajutorul formulei lui Coulomb.

De aceea o vom considera ca o mărime fundamentală, alături de masă, lungime și timp.

La mărimile mecanice adăugăm astfel o mărime specială, caracteristică fenomenelor electrice, tot așa cum în căldură am ales temperatura absolută, ca o a patra mărime de bază.

**Sistemul MKSA se sprijină pe unitățile:** metru, kilogram-masă, secundă și amper.

În chipul acesta s-a instituit sistemul MKSA, în care unitățile fundamentale sînt *metrul, kilogramul-masă, secunda și amperul*.

Standardul de Stat a introdus legal sistemul acesta, în toate cazurile practice generale.

Sistemul electrostatic CGS, împreună cu sistemul electromagnetice CGS, despre care vom vorbi mai târziu, rămîn mai de parte în vigoare, *dar numai pentru anumite cercetări științifice*.

**Dimensiuni fizice.** Odată ce am admis intensitatea curentului electric printre mărimile fundamentale, va trebui să-i atribuim o dimensiune specială:  $[I]$ .

Relația (197.2) ne arată atunci că, în sistemul MKSA, dimensiunile sarcinii electrice sînt

$$[Q] = IT$$

Iar formula lui Coulomb ne duce la ecuația de dimensiuni:

$$LMT^{-2} = \frac{1}{[\epsilon]} \cdot \frac{(IT)^2}{L^2}$$

și rezultă astfel că permitivitatea are dimensiunile fizice

$$[\epsilon] = L^{-3} M^{-1} T^4$$

În sistemul MKSA, constanta dielectrică nu mai este număr abstract, ci o mărime fizică.

Prin urmare, *în sistemul MKSA, constanta dielectrică nu mai este un număr abstract, ci o mărime cu dimensiuni fizice*.

Ea păstrează însă valoarea numerică  $\epsilon_0 = 1/9 \cdot 10^9$ , pentru interacțiunile ce se desfășoară în vid.

### § 198. Distribuția electricității pe conductori. Dacă electri-

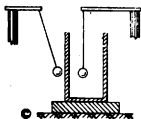


Fig. 64. Acțiunile electrice nu se transmit spre interiorul conductorului.

zăm un cilindru metalic, așezat pe un suport izolant, putem constata ușor că suprafața exterioară atrage un pendul electric, dar nu și suprafața interioară (fig. 64).

De asemenea mai putem constata că interiorul cilindrului nu transmite sarcini electrice altui conductor, închis înăuntru, cu care vine în contact. Mai mult încă: dacă acel conductor aduce cu dînsul o sarcină electrică, atingerea cu peretele interior îl descarcă total.

Aceste experiențe, ca și numeroase altele, ne duc la conclu-

La conductorii în echilibru electric, sarcina se răspindește numai pe suprafața exterioară, iar forțele electrice nu acționează spre interior.

zia că *sarcina electrică a unui conductor în echilibru se răspindește numai pe suprafața exterioară, iar forțele electrice nu acționează spre interior.*

Faraday, care a descoperit aceste fenomene, se închidea într-o cușcă metalică, pe care asistenții o electrizau pe dinafară. Cele mai sensibile aparate, luate în cușcă, nu arătau prezența vreunei sarcini electrice induse, chiar dacă erau în legătură directă cu pereții.

Aceleași rezultate se obțin cînd pereții cuștii sînt legați la pămînt. Nici atunci sarcinile electrice din exterior nu au vre-o acțiune asupra conductorilor din interior.

Situația se schimbă însă, dacă cercetăm transmiterea fenomenelor electrice de la interior, spre exterior:

1) Cînd cușca sau cilindrul sînt izolate, față de pămînt, un conductor electrizat, introdus înăuntru, face să apară, prin inducție, o sarcină egală și de semn contrar, pe fața interioară și alta,

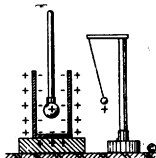


Fig. 65. Conductorul izolat nu împiedică acțiunile electrice de la interior spre exterior.

de același semn ca a lui, pe fața exterioară, așa cum arată fig. 65.

Peretele metalic nu mai împiedică atunci transmiterea forțelor electrice, spre exterior.

2) *Cînd cușca sau cilindrul nu sînt izolate*, această transmitere încetează, fiindcă sarcinile induse pe peretele exterior trec în pămînt.

*În concluzie: o suprafață conductoare închisă împiedică transmiterea fenomenelor electrice în ambele sensuri, dacă este legată la pămînt și numai în sensul de la exterior spre interior, dacă este izolată.*

O cutie metalică blochează fenomenele electrice de la exterior spre interior, dacă este izolată și în ambele sensuri, dacă e legată la pămînt.

Această însușire are numeroase aplicații practice la *ecranele electrice*, pe care le folosim ca să punem anumite aparate sensibile la adăpost de orice acțiune electrică, sau ca să împiedicăm aceste acțiuni să străbată spre exterior.

În termeni tehnici, ecranele electrice se mai numesc și *blindaje*.

*Densitate electrică.* După ce am stabilit că electricitatea se răspîndește pe suprafața exterioară a conductorilor în echilibru electric, rămîne să cercetăm în ce măsură forma geometrică a conductorului poate să aibă o influență asupra legii de răspîndire.

Pentru aceasta, va trebui mai întîi să definim noțiunea de *densitate electrică superficială*.

Densitatea electrică superficială se exprimă prin raportul între cantitatea de electricitate și suprafață.

*Sub această denumire, înțelegem raportul dintre cantitatea de electricitate și suprafața pe care e răspîndită.*

Densitatea electrică superficială, sau mai simplu *densitatea electrică*, se va exprima deci fie în *u.e.s. pe centimetrul pătrat*, fie în *coulombi pe metrul pătrat*.

Ea se notează, de obicei, cu litera grecească  $\sigma$  (sigma) și este ușor de văzut că, în sistemul electrostatic CGS, are dimensiunile fizice

$$[\sigma] = \left[ \frac{Q}{S} \right] = \frac{L^{3/2} M^{1/2} T^{-1}}{L^2} = L^{-1/2} M^{1/2} T^{-1},$$

iar în sistemul MKSA,

$$[\sigma] = \left[ \frac{Q}{S} \right] = \frac{IT}{L^2} = L^{-2}TI.$$

În sistemul acesta, unitatea respectivă se va numi deci și *amper · secundă pe metru pătrat*, când vrem să evidențiem unitățile de bază.

Afară de rare excepții, densitatea electrică nu este uniformă, pe un conductor dat. De aceea va trebui să ne referim, pentru exprimarea corectă, la suprafețe infinit mici.

Definiția o putem da, în acest caz, numai cu ajutorul relației

$$\sigma = \frac{dQ}{dS}$$

iar măsurarea riguroasă devine imposibilă, fiindcă determinările fizice nu se pot face decât pe suprafețe finite.

Ca să evităm erorile prea mari, va trebui deci ca, în orice caz, regiunea explorată să aibă o suprafață cât mai mică.

O cercetare aproximativă se poate face cu dispozitivul din fig. 66.

El constă dintr-un electroscope ( $E$ ), a cărui cutie metalică este legată la pământ și a cărui vergea poartă un cilindru conductor, deschis la capătul de sus ( $C$ ).

După ce încărcăm electric un conductor izolat ( $A$ ), de o formă oarecare, îl atingem în diferite puncte ale suprafeții, cu un plan de probă <sup>1)</sup>, luăm de pe dînsul cantități de electricitate proporționale cu densitatea electrică, din regiunea respectivă, le ducem în cilindrul electrosco-pului și le descărcăm acolo.

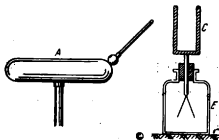


Fig. 66. Determinarea densității electrice superficiale.

<sup>1)</sup> Planul de probă este un mic disc metalic, așezat pe un minier izolanț.

Divergența foițelor este, la rîndul ei, proporțională cu sarcinile electrice aduse în cilindru și ne permite să comparăm densitățile superficiale, din regiunile explorate.

Ca rezultat al determinărilor, am trasat, în jurul conductorilor din fig. 67, niște linii punctate, la distanțe proporționale cu densitățile electrice măsurate.

Aceste linii ne arată că densitatea electrică superficială nu este uniformă, decît la conductorii sferici, unde raza de curbură e constantă.

Densitatea electrică este mai mare în regiunile cu rază de curbură mai mică.

În dreptul vîrfurilor ascuțite, îngrămădirea sarcinilor electrice devine atît de mare, încît poate să ducă la descărcarea conductorului.

Iau naștere atunci diverse fenomene particulare, în păturile de aer vecine, pe care le vom descrie ceva mai tîrziu, la timpul lor.

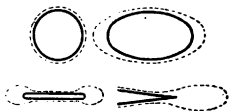


Fig. 67. Densitatea electrică superficială pe conductori de forme diferite.

La conductorii de alte forme, ea devine, comparativ, cu atît mai mare, cu cît raza de curbură a suprafeței este mai mică.

## CAPITOLUL XXIII

### CIMPUL ELECTRIC

#### A. Noțiuni fundamentale

§ 199. **Definiție, intensitate.** Să presupunem că un corp electrizat, cu sarcina punctiformă  $Q$ , este simultan atras de alte două corpuri, încărcate cu sarcinile  $Q_1$  și  $Q_2$ , de asemenea punctiforme (fig. 68).

Dacă distanțele respective sînt  $r_1$  și  $r_2$ , forțele de interacțiune vor avea intensitățile

$$F_1 = \frac{1}{\epsilon} \cdot \frac{Q \cdot Q_1}{r_1^2} \quad \text{și} \quad F_2 = \frac{1}{\epsilon} \cdot \frac{Q \cdot Q_2}{r_2^2}$$

iar rezultanta lor va fi  $F$ .

Dacă sarcinile  $Q_1$  și  $Q_2$ , presupuse *constante*, nu se mută din loc, este ușor de văzut că intensitatea rezultantei variază proporțional cu raportul  $Q/\epsilon$ , dar nu-și modifică orientarea în spațiu, cîtă vreme sarcina  $Q$  își păstrează semnul și poziția inițială.

*În aceste condiții, sensul și direcția vectorului respectiv rămîn invariabile, fiindcă ambele componente scad sau cresc în aceeași proporție.*

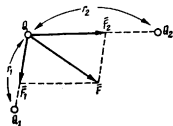


Fig. 68. Pentru explicarea noțiunii de cîmp electric.

La aceeași concluzie vom ajunge dacă un număr oarecare de corpuri electrizate, cu sarcini constante, ar acționa, din poziții fixe, asupra altuia, de asemenea fix, a cărui sarcină variază, fără să-și schimbe semnul, sau cînd se modifică permitivitatea mediului.

Dacă se schimbă și semnul, rezultanta își inversează sensul, dar nu-și modifică direcția.

În practică, mai ales la sistemele complexe, ne interesează mai puțin să cunoaștem poziția în spațiu și sarcina electrică a corpurilor ce exercită acțiuni simultane, într-un punct dat.

De altfel o asemenea problemă nici nu poate fi rezolvată, decît în unele cazuri particulare.

Ceea ce ne interesează e să cunoaștem intensitatea și orientarea forței coulombiene, ce acționează asupra unui corp electrizat, cînd îl aducem într-un punct anumit, precum și variațiile acestei forțe, cînd el își schimbă locul, în cuprinsul unui spațiu dat.



Orice regiune din spațiu, în care un corp electrizat ar fi supus acțiunii unei forțe coulombiene, reprezintă un cîmp electric.

O asemenea regiune din spațiu, în care orice corp electrizat ar fi supus acțiunii unei forțe coulombiene, reprezintă, prin definiție, un cîmp electric<sup>1)</sup>.

Din cele arătate pînă acum, se vede că această forță coulombiană este proporțională cu sarcina electrică, asupra căreia se exercită, după cum și forța newtoniană este proporțională cu masa gravitațională.

Vom putea scrie deci că

$$\boxed{F = E \cdot Q} \quad (199.1)$$

În care factorul de proporționalitate  $E$  reprezintă *intensitatea cîmpului electric* (sau coulombian).

Relația de față este în totul analogă cu

$$F = g \cdot m$$

unde factorul de proporționalitate  $g$  reprezintă *intensitatea cîmpului gravitațional* (sau newtonian).

Intensitatea cîmpului electric este factorul de proporționalitate între sarcina electrică și forța coulombiană.

Cîmpului newtonian depinde de mărimea și de distribuția maselor gravitaționale.

Intensitatea cîmpului coulombian depinde de mărimea și de distribuția în spațiu a sarcinilor electrice, tot așa cum intensitatea

Trebuie să accentuăm însă, de la început, următoarele deosebiri esențiale:

1) *Intensitatea forțelor de interacțiune și a cîmpului electric depinde de constanta dielectrică, adică de natura mediului, pe cînd la cîmpul gravitațional nu se constată o asemenea dependență.*

<sup>1)</sup> Noțiunea de cîmp electric ar putea fi definită mai complet în felul următor: el este unul din cele două aspecte ale cîmpului electromagnetic, provocat de sarcini electrice și de variații ale cîmpului magnetic. Caracteristica sa esențială este acțiunea mecanică asupra particulelor încărcate cu electricitate.

2) *Între corpurile electrizate pot să apară atracții sau respingeri, pe cînd la masele gravitaționale nu cunoaștem decît forțe de atracție.*

Ca să evităm confuziile, se impune astfel să adoptăm, de la început, o anumită convenție, asupra *sensului* unui cîmp electric :

**Sensul pozitiv al unui cîmp electric este acela în care acționează asupra unui corp încărcat pozitiv.**

*Vom considera deci că sensul pozitiv este acela în care forțele cîmpului acționează asupra unui corp încărcat pozitiv.*

1. *Unități și dimensiuni.* Relația de definiție (199.1) ne arată că intensitatea locală a unui cîmp electric se exprimă prin raportul dintre forța dezvoltată și sarcina electrică, introdusă în el.

Aceasta înseamnă că un cîmp electric are intensitatea-unitate, cînd un corp încărcat cu unitatea de sarcină suferă acțiunea forței-unitate.

Prin urmare, *în sistemul electrostatic, un cîmp-unitate acționează cu forța de o dynă, asupra unui corp încărcat cu unitatea de sarcină electrostatică CGS, iar în sistemul MKSA forța este de un newton, cînd sarcina este de un coulomb.*

În cele două sisteme, intensitatea cîmpului electric se va putea exprima deci :

1) în dyn/u.e.s.                      sau                      2) în N/C.

Dimensiunile acestor unități sînt, respectiv,

$$[E] = \left[ \frac{F}{Q} \right] = \frac{LMT^{-2}}{L^{3/2}M^{1/2}T^{-1}} = L^{-1/2}M^{1/2}T^{-1}$$

și

$$[E] = \frac{F}{Q} = \frac{LMT^{-2}}{IT} = LMT^{-3}I^{-1}.$$

Vom vedea mai tîrziu că unitatea intensității de cîmp electric se poate alege și pe altă cale.

*În ce privește caracterul acestei mărimi, din însuși felul în care am ajuns la noțiunea de câmp electric, rezultă că el este o mărime direcționată, pe care o putem reprezenta vectorial și supune operațiilor vectoriale cunoscute.*

**2. Câmpul în jurul unei sarcini electrice.** Pentru două sarcini electrice  $Q$  și  $Q_1$ , legea lui Coulomb se mai poate scrie și sub forma

$$\frac{F}{Q_1} = \frac{1}{\epsilon} \cdot \frac{Q}{r^2}$$

și fiindcă raportul  $F/Q_1$  reprezintă, prin definiție, intensitatea câmpului în care se găsește sarcina  $Q_1$ , vom avea

$$E = \frac{1}{\epsilon} \cdot \frac{Q}{r^2}. \quad (199.2)$$

Acest câmp este produs de un corp, încărcat cu sarcina punctiformă  $Q$ , într-un punct aflat la distanța  $r$  de dînsul.

El reprezintă *numeric* forța exercitată, în cazul particular cînd, în punctul acela s-ar găsi un alt corp, electrizat cu sarcina punctiformă  $Q_1$ , egală cu unitatea.

Cîmpul, în jurul unui corp electrizat este proporțional cu sarcina și invers proporțional cu pătratul distanței.

Prin urmare, în jurul unui corp electrizat, apare un câmp de intensitate direct proporțională cu sarcina lui și invers proporțională cu pătratul distanței.

**§ 200. Vectorul inducție electrică.** O altă mărime, de întrebuințare curentă în electrostatică, este așa numita *inducție electrică* sau *câmp de inducție*.

Inducția electrică este dată de produsul între intensitatea câmpului electric și permitivitatea mediului.

Prin definiție, această mărime, de asemenea vectorială, se exprimă prin produsul între intensitatea câmpului electric și permitivitatea mediului prin care străbate.

Dacă o notăm cu  $D$ , vom avea deci

$$D = \epsilon \cdot E$$

$$(200.1)$$

iar relația (199.2) de mai sus ne dă

$$D = \frac{Q}{r^2} \quad (200.1a)$$

Inducția electrică este o mărime independentă de natura mediului.

*Inducția electrică este deci o mărime care depinde numai de cantitatea de electricitate și de distanță, fiindcă, spre deosebire de cîmpul electric, permitivitatea mediului nu mai apare în expresia ei.*

Este ușor de văzut că, dacă folosim unitățile CGS electrostatice și ne aflăm în vid,

$$\epsilon_0 E = E = D.$$

În acest sistem, egalitatea de față este și fizică și numerică. Ea dispare însă, cînd ne referim la unitățile MKSA, fiindcă atunci

$$E = \frac{1}{\epsilon_0} \cdot \frac{Q}{r^2} \quad \text{în timp ce} \quad D = \frac{Q}{r^2}.$$

*Mai menționăm că, în anumite cazuri particulare, de pildă în cristale, vectorul-cîmp nu se suprapune peste vectorul-inducție electrică, ci pot să aibă direcții diferite.*

**Dimensiuni.** Fiindcă, în sistemul CGS electrostatic, permitivitatea e un simplu număr, dimensiunile inducției electrice vor fi aceleași ca ale cîmpului electric.

În vid, aceste două mărimi sînt egale și fizic și numeric; în alte medii, ele diferă prin valorile numerice.

Potrivit relației (200.1), vom avea deci

$$[D] = [\epsilon \cdot E] = L^{-1/2} M^{1/2} T^{-1}.$$

Dar dacă trecem la sistemul MKSA, permitivitatea capătă dimensiuni proprii și atunci

$$[D] = [\epsilon \cdot E] = L^{-3} M^{-1} T^4 I^2 \cdot L M T^{-3} I^{-1}$$

sau

$$[D] = L^{-2} T I.$$

Inducția electrică are dimensiunile densității electrice superficiale.

§ 201. Liniile de forță. Ca și la câmpul newtonian, intensitatea, sensul și direcția unui câmp coulombian pot să varieze, dacă ne referim la diferite puncte din spațiu.

Orice linie continuă, la care forțele câmpului rămân mereu tangente, este o linie de forță electrică.

Această condiție poate fi satisfăcută însă pentru două sensuri diferite ale unei direcții date și de aceea va trebui să alegem unul din ele, după o regulă fixă, ca să evităm confuziile.

Liniile de forță au sensul convențional pozitiv al câmpului, adică de la o sarcină pozitivă, spre alta negativă.

Este evident că, într-un câmp dat, vom găsi o infinitate de linii de forță, dar câmpul însuși nu poate să existe, dacă în tot spațiul nu ar fi decît o singură sarcină electrică.

Aceasta ar contrazice, de altfel, principiul conservării electricității, fiindcă apariția ei trebuie neapărat să fie însoțită de separarea unei a doua sarcini, de semn contrar.

Cînd intervine și o a treia, liniile de forță capătă unele deformări, pe care le putem neglija, dacă această sarcină este ea însăși neglijabilă, în comparație cu celelalte două.

*Comparația ne arată că, în ambele sisteme de unități, inducția electrică are dimensiunile densității electrice superficiale (§ 198).*

*Recurgînd la aceeași reprezentare, vom numi linie de forță electrică orice linie continuă, la care forțele din câmpul coulombian se mențin mereu tangente.*

*Vom admite deci că liniile de forță merg în sensul convențional pozitiv al câmpului, adică în sensul în care ar fi solicitat un corp încărcat pozitiv (fig. 69).*

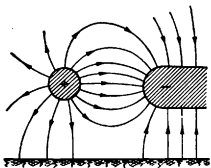


Fig. 69. Liniile de forță electrice și sensul lor convențional.

Liniiile de forță nu se pot întrerupe sau sfîrși liber în spațiu.

*In general, o linie de forță nu se poate întrerupe sau sfîrși liber în spațiu.*

Capetele ei se sprijină totdeauna pe două corpuri, sau pe două sisteme, încărcate cu sarcini electrice de semne contrarii.

Alteori ele se leagă între dinsele, iar linia de forță formează atunci o curbă închisă, la care nu mai putem deosebi începutul și sfîrșitul. Cazul acesta îl vom cerceta mai tîrziu.

Revenind la convenția de mai sus, cînd liniile de forță unesc două sarcini contrare *sensul lor va fi de la sarcina pozitivă, spre cea negativă*, pentru că acesta e și sensul în care ar fi solicitat un corp încărcat pozitiv.

Noțiunea de linii de forță electrice a fost introdusă de Faraday.

Existența lor poate fi arătată experimental prin diferite metode :

De pildă, putem lipi două foițe metalice, pe o placă de sticlă, bine uscată, le electrizăm și presărăm deasupra fire scurte, de păr, tăiate dintr-o perie.

Aceste fire se electricează prin influență, se orientează tangent la liniile de forță și se dispun după curbe regulate, așa cum arată fig. 70, pentru foițe circulare sau paralele, încărcate cu sarcini de semne contrarii.

În altă variantă, aceeași experiență poate fi repetată, cufundînd conductorii într-un lichid izolanț, de pildă în ulei de parafină, în care facem o suspensie de cristale mărunte, de gips.

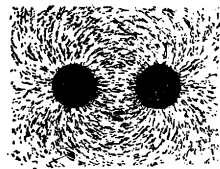


Fig. 70. Spectrul electric între doi conductori circulari, cu sarcini de semne contrarii.

Observăm astfel dispoziția liniilor de forță, în spațiu.

În fig. 71 le-am reprezentat schematic, între doi conductori cu sarcini de același semn, sau de semne contrarii.

În al doilea caz, ele unesc cei doi conductori, iar în primul merg să caute, undeva în spațiu, sarcinile contrare, pe care s-ar putea sprijini.

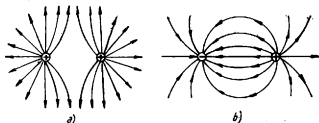


Fig. 71. Liniile de forță electrice între sarcini de același semn sau de semne contrarii.

Noțiunea de *linie de forță*, introdusă de *Faraday*, ne face să înțelegem, cel puțin în parte, mecanismul transmiterii forțelor de interacțiune, între corpurile electrizate.

Dielectricul servește ca mediu de transmitere continuă și din aproape în aproape a fenomenelor de interacțiune electrică.

*Ca și la gravitație, această transmitere nu se face direct și la distanță, ci din aproape în aproape, fie prin vid, fie printr-un dielectric oarecare.*

Forma curbată a liniilor de forță amintește pe a unei vergele de oțel îndoit și ne arată că dielectricul, ce separă sarcinile electrice, concentrate pe anumite corpuri, nu rămâne pasiv, ci totul se petrece ca și cum el ar suferi anumite deformări *cuasielastice*.

Cîmpul electric este o formă de existență a materiei, capabilă să transmită interacțiunile electrice.

*În orice dielectric, fie chiar vidul, va trebui deci să considerăm cîmpul electric drept o formă specială de existență a materiei, în*

*stare să asigure transmiterea interacțiunilor electrice.*

Am ajuns astfel să cunoaștem legile cantitative de interacțiune a corpurilor electrizate și să ne dă seamă, în oarecare măsură, de mecanismul transmiterii lor.

Împreună cu celelalte fapte, arătate înainte, aceasta e deja foarte mult, fiindcă ne permite să stăpânim unele procese și să le folosim în avantajul nostru.

Totuși, cunoștințele actuale nu au pătruns încă în miezul fenomenelor, fiindcă nu putem spune cum și de ce iau naștere forțele de interacțiune, după cum nu știm ce este, în fond, electricitatea.

Aflarea răspunsului la aceste întrebări este o problemă de viitor, legată mai ales de cunoașterea mai adîncă a structurii particulelor elementare.

## B. Fluxul electric

**§ 202. Fluxul de inducție.** Din cele arătate, rezultă că orice cîmp electric se caracterizează nu numai printr-o anumită intensitate, dar și prin forma sau distribuția în spațiu a liniilor de forță.

În cele ce urmează, cu toate că aceste linii de forță sînt în număr infinit, vom face iarăși o convenție :

Prin convenție, fiecare unitate de cîmp trimite prin unitatea de suprafață perpendiculară pe direcția lui cîte o linie de forță.

*Vom admite anume că, prin fiecare unitate de suprafață, perpendiculară pe direcția cîmpului, fiecare unitate de cîmp trimite cîte o singură linie de forță.*

Acolo unde cîmpul este mai intens, liniile de forță, figurate pe baza convenției făcute, se vor îndesi. Dacă, din contra, se răresc, aceasta înseamnă o slăbire a cîmpului.

Intr-un cîmp uniform, liniile de forță sînt paralele, rectilinii și echidistante.

Intr-un cîmp uniform, le vom figura deci prin linii drepte, paralele și echidistante, cu atît mai îngrămădite, cu cît cîmpul este mai intens.

Această reprezentare convențională are avantajul că ne permite să figurăm simultan atît sensul sau direcția forțelor, cît și intensitatea lor, în diferitele regiuni ale cîmpului.

Ea rămîne valabilă și pentru ceea ce am numit *inducție electrică*, sau *cîmp de inducție*,  $D$ .

Să considerăm acum o suprafață  $S$ , prin care străbate perpendicular un cîmp de inducție uniform și de intensitate  $D$ , reprezentat prin liniile lui de forță, după convenția de mai sus, așa cum arată fig. 72.



Numărul acestor linii de forță, prin unitatea de suprafață, este  $D$ , iar toate împreună reprezintă numeric și ne dau imaginea fizică a unei mărimi, pe care o vom numi *flux de inducție* prin suprafața  $S$ .

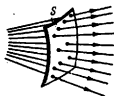


Fig. 72. Liniile de forță intră în suprafață normal suprafața traversată.

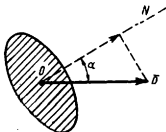


Fig. 73. Fluxul de inducție se definește prin componenta normală a cimpului.

Dacă notăm această mărime cu  $\Psi^1)$ , reprezentarea de față ne duce la expresia

$$\boxed{\Psi = D \cdot S} \quad (202.1)$$

Se poate întâmpla însă ca liniile de forță să cadă oblic, pe suprafața considerată (fig. 73).

Fluxul de inducție se exprimă prin produsul dintre suprafață și componenta normală a inducției electrice.

În cazul acesta, vom lua, în locul vectorului  $D$ , proiecția lui pe direcția normală, adică aceea componentă a lui care străbate perpendicular suprafața  $S$ .

Ajungem așa la o expresie mai generală,

$$\boxed{\Psi = D \cdot S \cdot \cos \alpha} \quad (202.2)$$

care cuprinde, implicit, și cazul incidenței normale  $\alpha = 0$ .

Am folosit această metodă, bazată pe reprezentări convenționale, fiindcă este intuitivă și se aplică foarte frecvent, în rezolvarea problemelor practice.

<sup>1)</sup>  $\Psi$  — literă grecească mare. Se citește *psi*.

Nu trebuie să uităm însă că orice linie de forță desenată reprezintă real un cîmp-unitate, ce străbate unitatea de suprafață.

De aceea fluxul de inducție nu e o simplă abstracție geometrică, ci o mărime fizică, cu semnificație bine precizată.

Este ușor de văzut că, în cazul particular cînd cîmpul traversează suprafața-unitate, intensitatea lui și fluxul de inducție au aceeași valoare numerică, dar aceasta nu înseamnă că au și același înțeles fizic.

*Unități și dimensiuni.* În sistemul electrostatic CGS, dimensiunile inducției electrice fiind

$$[D] = [\epsilon \cdot E] = L^{-1/2} M^{1/2} T^{-1}$$

rezultă că dimensiunile fluxului de inducție vor fi

$$[\Psi] = [D \cdot S] = L^{3/2} M^{1/2} T^{-1}.$$

Iar în sistemul MKSA, știind că

$$[D] = L^{-2} T I,$$

deducem că dimensiunile fluxului de inducție sînt

$$[\Psi] = [D \cdot S] = T I.$$

**Fluxul de inducție are dimensiunile unei sarcini electrice.**

*Comparația ne arată că, în ambele sisteme de unități, fluxul de inducție are dimensiunile unei sarcini electrice.*

Unitățile fluxului de inducție nu au nume speciale. De aceea valorile numerice vor fi urmate fie de specificarea dimensiunilor, fie, mai simplu, de inițialele sistemului folosit.

**§ 203. Teorema lui Gauss.** Să considerăm o suprafață închisă, reală sau închipuită, în interiorul căreia se găsește un corp, încărcat cu sarcina electrică punctiformă  $+Q$  (fig. 74).

Ne propunem să calculăm fluxul de inducție, prin această suprafață, indiferent de forma sau de mărimea ei.

Pentru aceasta să ne închipuim că, în jurul punctului unde se află sarcina electrică, am trasat o sferă fictivă, de rază  $r$ .

Fluxul ce străbate această suprafață sferică va fi, evident, egal cu acela ce străbate suprafața considerată, fiindcă amîndouă interceptează aceleași linii de forță.

La distanța  $r$ , cîmpul corespunzător sarcinii  $+Q$  este

$$E = \frac{1}{\epsilon} \cdot \frac{Q}{r^2} \quad (199.2)$$

și corespunde inducției electrice

$$D = \epsilon \cdot E = \frac{Q}{r^2}.$$

Prin suprafața sferică, fluxul de inducție va fi deci

$$\Psi = D \cdot S = 4\pi r^2 \cdot \frac{Q}{r^2},$$

și rezultă că, prin orice suprafață care învelește sarcina  $+Q$ ,

$$\boxed{\Psi = 4\pi Q}. \quad (203.1)$$

Problema devine și mai simplă, cînd sarcina electrică se găsește în exteriorul suprafeții închise.

Pentru aceasta, vom face mai întîi o *convenție de semn* și vom considera ca *pozitiv* fluxul care *intră* în suprafața înfășurătoare și ca *negativ* pe cel care *iese* din ea.

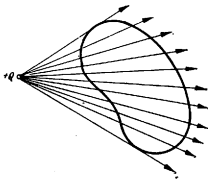


Fig. 75. Pentru demonstrarea teoremei lui Gauss.

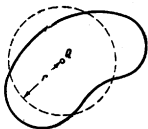


Fig. 74. Pentru demonstrația teoremei lui Gauss.

Figura 75 arată limpede că aceste două fluxuri, de semne contrarii, sînt egale, în valoare absolută, fiindcă orice linie de forță, care intră pe o parte, iese prin partea cealaltă.

*Prin urmare suma lor algebrică este nulă.*

Această concluzie, împreună cu relația (203.1) formulează *teorema lui Gauss* :

Printr-o suprafață închisă, fluxul de inducție este  $4\pi Q$ , pentru o sarcină interioară și nul, pentru orice sarcină exterioară.

*Fluxul de inducție, printr-o suprafață închisă, are valoarea  $4\pi Q$ , când sarcina  $Q$  se găsește în interior și este nul, pentru orice sarcină exterioară.*

§ 204. **Fluxul cîmpului electric.** Inducția și fluxul de inducție sînt independente de permitivitatea mediului și reduc toate interacțiunile la vid.

În unele cazuri, avem însă motive speciale să ținem seamă și de natura dielectricului.

Folosim atunci, în locul fluxului de inducție, fluxul cîmpului electric, pe care-l vom defini din relația

$$\boxed{\psi^1) = E \cdot S \cdot \cos \alpha} \quad (204.1)$$

în totul analogă cu (202.2).

Știind că, prin definiție,

$$D = \epsilon \cdot E \text{ rezultă că } \psi = \frac{\Psi}{\epsilon}.$$

În aceste condiții, relația (203.1)

$$\Psi = 4\pi Q \text{ se va scrie } \psi = \frac{1}{\epsilon} \cdot 4\pi Q.$$

Exprimate în u.e.s., cele două fluxuri au aceleași dimensiuni fizice și devin egale numeric, dacă dielectricul este vidul.

Dar dacă trecem la sistemul MKSA, permitivitatea capătă dimensiuni proprii și are, în vid, valoarea numerică știută :  $\epsilon_0 = 1/9 \cdot 10^9$ .

Cele două fluxuri diferă atunci, atât ca dimensiuni fizice, cît și ca valori numerice.

§ 205. **Cîmpul unui plan electrizat.** Să presupunem că pe un plan, care se întinde la infinit, sînt răspîndite sarcini electrice, cu densitatea uniformă  $\sigma$  (fig. 76).

<sup>1)</sup>  $\psi$  = literă mică grecească, corespunzătoare lui  $\Psi$ .

Pe acest plan, să delimităm o porțiune finită, de suprafață  $S$ , pe care se găsește sarcina electrică

$$Q = \sigma \cdot S$$

și să o închidem într-o prismă fictivă, așa cum arată fig. 76.

După teorema lui Gauss, va trece prin suprafața înfășurătoare fluxul de inducție

$$\Psi = 4\pi Q = 4\pi\sigma S.$$

Din motive de simetrie, liniile de forță ale cîmpului de inducție nu pot fi decît perpendiculare pe suprafața planului considerat, așa că *ele vor străbate numai bazele prisme*.

Prin însăși definiția fluxului de inducție, vom avea deci

$$\Psi = 2SD$$

și egalînd cele două valori obținute, ajungem la relația finală

$$\boxed{D = 2\pi\sigma} \quad (205.1)$$

Cîmpul de inducție al unui plan infinit, încărcat cu densitatea  $\sigma$ , este  $2\pi\sigma$  și nu depinde de distanță.

*pinde de distanța punctului, în care o măsurăm.*

Este ușor de văzut că dacă, în locul inducției, considerăm cîmpul electric, vom avea, în aceleași condiții,

$$\boxed{E = \frac{1}{\epsilon} \cdot 2\pi\sigma} \quad (205.2)$$

În fine, dacă, în loc de un singur plan, am avea *două* suprafețe plane și paralele, încărcate cu densitățile  $+\sigma$  și  $-\sigma$ , în spațiul dintre ele acțiunile individuale, asupra unui corp electrizat, ar decurge în același sens (fig. 77).

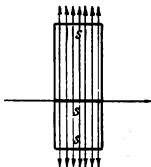


Fig. 76. Pentru calculul cîmpului unui plan electrizat.

Cîmpul de inducție și cîmpul electric, rezultate din aceste acțiuni suprapuse, capătă astfel intensități de două ori mai mari și se mențin constante, oricare ar fi poziția punctului ales.

Ca și în cazul unui singur plan, aceste cîmpuri vor fi deci uniforme, dar de astă dată

$$D = 4\pi\sigma \quad \text{și} \quad E = \frac{1}{\epsilon} \cdot 4\pi\sigma. \quad (205,3)$$

Fig. 77. Cîmpul electric între două suprafețe plane infinite.

Ele devin egale, în vid, cînd folosim unitățile CGS.

### C. Conductorii în cîmp electric

§ 206. **Condiția de echilibru electric.** Să considerăm un conductor izolat, pe care sarcinile electrice sînt în echilibru.

Pentru fixarea ideilor, vom presupune că aceste sarcini sînt *pozitive*, cu toate că semnul lor ne este indiferent.

Liniile de forță pleacă atunci de pe suprafața electrizată și se duc să caute, undeva în spațiu, un alt corp sau sistem, încărcat cu sarcini contrarii, de care să se lege.

Știind că, pe conductorul considerat, o sarcină pozitivă reprezintă un deficit de electroni, iar una negativă un exces, vom admite, provizoriu, că una din liniile de forță ar avea traseul reprezentat în fig. 78.

Electronii, în punctul ei de incidență, ar fi supuși atunci forței înclinate  $F$  care, prin componenta tangențială  $F_t$ , i-ar obliga să se miște pe suprafața conductorului și echilibrul electric ar deveni imposibil, cîtă vreme apar transporturi de electricitate.

La un conductor în echilibru, liniile de forță se termină normal pe suprafață.

*o incidență a liniilor de forță, normală pe suprafața lui.*

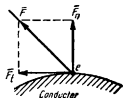


Fig. 78. Liniile de forță cad perpendicular pe suprafața unui conductor în echilibru.

*Raționamentul ne arată deci că repartitia sarcinilor unui conductor în echilibru electric implică*

Dacă, în urma unei schimbări de situație a sistemului, sarcinile electrice ar tinde către altă poziție de echilibru, transportul de electricitate s-ar datori unei înclinări momentane a liniilor de forță care, la sfârșitul procesului tranzitoriu, trebuie să revină la incidența normală.

Complicînd situația, să presupunem că un corp electrizat, bunăoară pozitiv, încarcă prin influență un conductor izolat, care se găsește în apropiere (figura 79).

Cîte vreme indusul era încă departe, liniile de forță ale inductorului aveau traseele pe care figura le reprezintă punctat.

Experiența ne arată că apropierea indusului le deformează: el fură și captează o parte din ele, așa că, după restabilirea echilibrului, găsim traseele reprezentate în trăsături pline.

Un număr de electroni, încărcăți negativ, s-au deplasat în sensul invers cîmpului și totul se petrece ca și cum sarcini pozitive, egale cu a lor, s-ar fi deplasat în sensul cîmpului.

*Dar cînd orice transport de electricitate a încetat, ca să facă loc echilibrului electric, întreaga sarcină se distribuie superficial, nici o linie de forță nu mai pătrunde în adîncul conductorului și nici un cîmp electric nu mai există, în interiorul lui.*

Acțiunea de ecran a învelișurilor conductoare, pe care am descris-o în alt capitol, devine acum ușor de interpretat.

Este evident că, deoarece sarcinile induse, de ambele semne, sînt egale, în valoare absolută, tot atîtea linii de forță vor intra printr-un capăt al conductorului, cîte vor ieși prin capătul opus, așa că fluxurile sînt egale, de ambele părți.

Conductorul însuși rupe liniile de forță și face punte între cele două porțiuni.

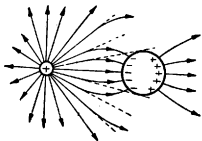


Fig. 79. Conductorul din cîmp captează liniile de forță, le rupe și face punte între capete.

Ca exemplu practic, am reprezentat, în fig. 80, liniile de forță ale unui cîmp, inițial omogen, care au fost deformat, prin introducerea unui conductor găunos. Trasarea lor s-a făcut experimental, prin metoda știută, presărînd cristali mici de gips.

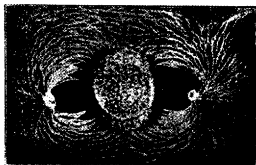
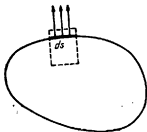


Fig. 80. Deformarea liniilor de forță și acțiunea de ecranare a unui conductor găunos.

Dispoziția firisoarelor ne arată alt fenomenul de captare a liniilor de forță, cît și absența oricărui cîmp electric, în interiorul conductorului.

§ 207. **Teorema lui Coulomb.** Să considerăm un conductor, de o formă oarecare, încărcat electric (fig. 81).



Repartiția sarcinilor nu este aceeași, pe toată suprafața, dar putem izola mintal o porțiune infinitesimală  $dS$ , pe care densitatea electrică are valoarea constantă  $\sigma$ .

Ea conține deci cantitatea de electricitate

$$dQ = \sigma \cdot dS.$$

Fig. 81. Pentru deducerea teoremei lui Coulomb.

Cînd conductorul este în echilibru electric, liniile de forță, în imediata vecinătate a suprafeții, sînt perpendiculare pe dînsa.

Ne propunem să calculăm cîmpul de inducție, în această regiune, foarte apropiată de suprafața  $dS$ .



Procedînd ca în cazul unui plan electrizat, vom închide suprafața elementară considerată într-o prismă dreaptă, cu una din baze în imediata vecinătate a conductorului.

Această bază primește întregul flux de inducție, corespunzător sarcinii  $dQ$ , fiindcă nu există linii de forță îndreptate în sensul invers.

Dacă notăm inducția, la nivelul ei, cu  $D$ , vom avea, conform definiției fluxului

$$d\Psi = D \cdot dS.$$

Dar, după teorema lui Gauss, considerînd conturul prismatic în întregime,

$$d\Psi = 4\pi\sigma \cdot dS$$

și egalînd ajungem la relația finală

$$\boxed{D = 4\pi\sigma} \quad (207.1)$$

care formulează *teorema lui Coulomb*.

În locul inducției, putem considera cîmpul electric și atunci vom scrie că, în mediul de permitivitate  $\epsilon$ ,

$$\boxed{E = \frac{1}{\epsilon} \cdot 4\pi\sigma} \quad (207.1a)$$

Dacă trecem de cealaltă parte a suprafeții, spre interiorul conductorului în echilibru, nu mai găsim linii de forță și atît cîmpul, cît și inducția electrică sînt *nule*.

În imediata vecinătate a unui conductor în echilibru, inducția electrică este  $4\pi\sigma$ , iar pe suprafață devine  $2\pi\sigma$

Se poate demonstra că, pe suprafața însăși, unde se face trecerea de la o situație la alta, inducția și cîmpul electric au valoarea mediei aritmetice, între zero și valorile exprimate de relațiile de mai sus. Prin urmare, pe conductor,

$$\boxed{D = 2\pi\sigma} \quad \text{și} \quad \boxed{E = \frac{1}{\epsilon} \cdot 2\pi\sigma} \quad (207.2)$$

*Presiunea electrostatică.* Considerînd o suprafață elementară  $dS$ , pe un conductor electrizat la densitatea  $\sigma$ ,

cantitatea de electricitate  $\sigma dS$ , pe care o conține, va fi supusă forței .

$$dF = \sigma \cdot E \cdot dS = \frac{1}{\epsilon_0} \cdot 2\pi\sigma^2 \cdot dS$$

Fiindcă distanțele sînt de ordinul atomic, am considerat că acțiunea se desfășoară în vid, unde permitivitatea este  $\epsilon_0$ .

De aici deducem că raportul  $dF/dS$ , care reprezintă, prin definiție, o presiune, are valoarea

$$P = \frac{1}{\epsilon_0} \cdot 2\pi\sigma^2 . \quad (207.3)$$

Presiunea electrostatică are valoarea  $2\pi\sigma^2/\epsilon_0$  și e orientată spre exterior.

Această presiune, datorită acțiunii forțelor electrice, la suprafața conductorului, se numește *presiune electrostatică*.

Ea este orientată spre exteriorul oricărui conductor electrizat și, în situația de echilibru electric, are valoarea maximă, fiindcă liniile de forță au direcția normală.

Am văzut că densitatea electrică superficială a conductorilor

în echilibru este mai mare, în dreptul regiunilor curbate sau ascuțite.

Cum presiunea electrostatică depinde de pătratul densității electrice, acțiunea ei, în dreptul virfurilor, ajunge să expulzeze sarcina conductorului și să-l descarce.

În păturile de aer vecine apar atunci fenomene luminoase, numite *efluvii electrice*, a căror explicație o vom da mai târziu.

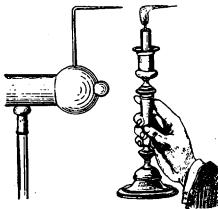


Fig. 82. Vîntul electric îndoaie flacăra luminării.

De altă parte, respingerea lor mutuală produce curenți în aceste pățuri, care pot să miște obiecte ușoare sau să îndoaie flacăra unei lumînări (fig. 82).

Fenomenul este cunoscut sub numele de „*vînt electric*”.

Chiar cînd nu există vîrfuri ascuțite, conductorul încărcat cu o cantitate mai mare de electricitate se îmbracă într-o pătură luminoasă. Acest fenomen e cunoscut sub numele de *efectul de coroană*, sau *efectul corona*.

Acțiunea vîrfurilor poate de asemenea să treacă încărcarea unui conductor, pe altul vecin, ca și cum ar fi aduse în contact.

De aceea un conductor ascuțit nu poate fi ținut în echilibru electric.

#### D. Izolații în cîmpul electric

§ 208. **Polarizarea dielectricilor.** Concepțiile actuale despre structura corpusculară a atomilor ne permit să interpretăm legarea lor în molecule ca o consecință a interacțiunilor electrice și a schimbului reciproc de electroni sateliți.

Excepție fac numai așa zisele legături *nepolare*, din moleculele cu o singură specie de atomi:  $O_2$ ,  $H_2$  etc., pe care le interpretăm în lumina *meccanicii ondulatorii*.

Nu este cazul să intrăm de pe acum în amănunte. Ne vom limita numai să cercetăm ce consecințe poate să aibă modul de repartiție al sarcinilor electrice contrarii, în moleculele substanțelor, din punctul de vedere al comportării lor, în cîmpul electric.

Aici vom deosebi două situații caracteristice:

1) Se poate întîmpla ca aceste sarcini să fie distribuite după o anumită lege de simetrie, așa fel ca proprietățile electrice ale moleculei să fie aceleași, în toate direcțiile.

Între numeroase altele, un exemplu ni-l dă molecula de *benzen* ( $C_6H_6$ ), a cărei structură este bine cunoscută.

Din cauza simetriei radiale, totul se petrece aci ca și cum sarcinile contrarii ar fi concentrate într-un singur punct, în centrul moleculei, așa că, în aceste condiții, o putem asemui cu un conductor în stare neutră.



Pusă într-un cîmp electric, o asemenea moleculă suferă unele deformări, care distanțează numai *temporar* sarcinile contrarii suprapuse.

Ea devine astfel un *dipol electric*, dar se întoarce la situația inițială, odată cu dispariția cîmpului deformant, care strica simetria.

2) În alte cazuri, repartiția ne mai fiind simetrică, sarcinile contrarii nu se mai pot considera ca suprapuse, ci rămîn distanțate.

Vom cita ca exemplu molecula de apă ( $\text{H}^+ - \text{O}^- - \text{H}^+$ ). Aci atomul de oxigen tinde să capteze cite un electron de la fiecare atom de hidrogen. El își apropie astfel două sarcini elementare *negative*, iar hidrogenul rămîne cu un supliment de sarcină *pozitivă*.

Dacă cei trei atomi s-ar înșira în linie dreaptă, am avea o situație simetrică, din punct de vedere electric.

În realitate însă lanțul se frînge și molecula capătă aspectul din fig. 83, a.

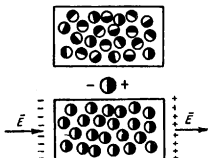
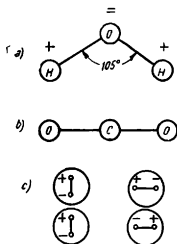


Fig. 84. Orientarea dipolilor în cîmpul electric.

Fig. 83. Dipoli moleculari și asocierea moleculelor dipolare.

O asemenea moleculă reprezintă un *dipol permanent*, care, într-un cîmp electric, se orientează cu axa tangent la liniile de forță și cu capătul pozitiv în sensul lor.

La alte substanțe cu structură analogă, de pildă la *bioxidul de carbon* ( $\text{CO}_2$ ), atomii se așază în linie, situația devine simetrică și nu mai găsim dipoli permanenți (fig. 83, b).

Din aceleași motive, parafinele nu sînt dipolare, oricît de lung ar fi lanțul molecular.

**Moleculele cu repartizare nesimetrică a sarcinilor electrice sînt dipolare.**

Figura 84 ne arată orientarea dipolilor permanenți, înainte și după apariția cîmpului electric.

Este evident că această orientare nu e posibilă, decît în măsura permisă de agitația termică, sau de legăturile rețelelor interne.

Moleculele dipolare formează cu ușurință asociații complexe, așa cum arată figura 83, c.

Atît apariția dipolilor temporari, cît și orientarea celor permanenți, dau naștere la fenomene caracteristice, care se accentuează odată cu creșterea intensității cîmpului și constituie ceea ce numim *polarizarea dielectricilor*.

**Polarizarea dielectricilor se datorește orientării sau apariției dipolilor.**

Vom începe studiul lor cu definirea prealabilă a cîtorva mărimi speciale.

Este evident că atît orientarea dipolilor permanenți, cît și formarea celor temporari, fac să apară, pe fețele opuse ale dielectricului, la intrarea și ieșirea liniilor de forță, sarcini egale și de semne contrarii (fig. 84).

**Sarcinile induse în dielectrici nu sînt libere, ci legate de molecule.**

*Aceste sarcini nu sînt libere, ca la conductori, ci legate de molecule, așa că nu se pot mișca decît odată cu ele.*

1) Dacă notăm cu  $d$  distanța dintre sarcinile electrice  $\pm Q$  ale unei singure molecule, produsul

$$Q \cdot d$$

reprezintă, prin definiție, *momentul dipolar* al moleculei.

*El este o mărime vectorială, a cărei direcție se confundă cu axa dipolului, iar sensul e ales convențional, de la sarcina negativă, spre cea pozitivă.*

Momentul dipolar se exprimă prin produsul dintre sarcina electrică a unuia din capete și lungime.

Tot așa, dacă notăm cu  $l$  grosimea plății dielectrice și cu  $Q$  valoarea absolută a sarcinii de pe una din fețe, produsul

$$M_e = Q \cdot l$$

reprezintă *momentul dipolar al întregului dielectric*. El va fi, evident, egal cu suma geometrică a momentelor moleculare, dar cîtă vreme dipolii moleculari nu sînt orientați, valoarea lui este nulă, pe baza legilor statisticii.

2) Dacă facem raportul dintre momentul dipolar al dielectricului și volumul lui, obținem momentul dipolar al unității de volum, care-i de asemenea o mărime vectorială, ce reprezintă, prin definiție *intensitatea de polarizare electrică*, sau mai simplu *polarizarea* și se notează cu  $P$ .

Vom avea deci, pe baza definiției date,

$$\boxed{P = \frac{M_e}{V} = \frac{Q \cdot l}{V}} \quad (208.1)$$

Iar dacă notăm suprafața străbătută *normal* de liniile de forță cu  $S$ ,

$$P = \frac{Q \cdot l}{S \cdot l} = \frac{Q}{S} = \sigma$$

de unde rezultă că *intensitatea de polarizare și densitatea superficială a sarcinilor legate, ce apar pe fețele opuse ale dielectricului, sînt egale, cînd liniile de forță le străbat perpendicular*.

Polarizarea este egală cu densitatea electrică superficială a sarcinilor legate.

3) Cu rare excepții, pe care le vom cerceta mai tîrziu, polarizarea unui dielectric nu poate să apară decît în prezența unui cîmp exterior, care să orienteze dipolii permanenți, sau să determine apariția celor temporari.

Susceptibilitatea electrică este factorul de proporționalitate între polarizare și inducția în vid.

*Experiența ne arată că intensitatea de polarizare este proporțională cu cîmpul de inducție în vid.*

Factorul de proporționalitate se numește *susceptibilitate electrică* și se notează cu  $k$ .

Vom avea deci

$$P = \sigma = k \epsilon_0 E. \quad (208.2)$$

Regula de proporționalitate nu este generală, ci are de asemenea unele excepții, pe care le vom cerceta la timpul lor.

4) Dacă dielectricul are dipoli permanenți și se află într-un cîmp alternativ, care schimbă sensul de un număr oarecare de ori pe secundă, răsturnările succesive ale acestor dipoli, constrînși să urmărească inversările cîmpului, vor implica, totodată, o absorbție de energie, împotriva forțelor interne de frecare și transformarea ei în căldură.

Un dielectric solid, cu dipoli permanenți se încălzește într-un cîmp alternativ.

*Inseamnă că un dielectric solid, cu dipoli permanenți, se încălzește, dacă se află într-un cîmp electric alternativ.*

La dielectricii gazoși sau lichizi, încălzirea este practic neglijabilă, ca și frecările interne.

Energia de încălzire o dă însuși cîmpul. Ea depinde de amplitudinea lui, de frecvența răsturnării și de natura dielectricului.

În cîmpurile intense și de frecvență înaltă, urcarea excesivă a temperaturii poate să ducă la spargerea, topirea sau aprinderea dielectricului.

La dielectricii nepolari, formarea dipolilor temporari, prin distanțarea sarcinilor contrarii din molecule, implică numai o creștere a energiei potențiale interne, pe care sistemul o cedează înapoi, odată cu revenirea la starea inițială, așa că nu apar fenomene de încălzire.

Ca să evităm încălzirile, vom folosi deci, la frecvențele înalte, fie dielectricii gazoși, fie uleiurile minerale purificate, fie unele porțelanuri speciale, parafina, sticla de cuarț sau anumite rășini sintetice, nepolare.

5) Oricare ar fi natura sau starea de agregare a dielectricului, orientarea dipolilor permanenți vine în conflict cu agitația termică moleculară, care tinde să o dezorganizeze.

La dielectricii dipolari, creșterea temperaturii micșorează polarizarea și susceptibilitatea electrică.

Experiența ne arată că, în adevăr, la dielectricii cu dipoli permanenți, ridicarea temperaturii face să scadă intensitatea de polarizare și astfel, implicit, scade și susceptibilitatea electrică.

*Unități și dimensiuni.* Relațiile de definiție ale mărimilor caracteristice, specificate mai sus, ne duc la următoarele dimensiuni fizice :

*Momentul dipolar*,  $M_e = Q \cdot l$  (a nu se confunda cu masa, care în ecuațiile de dimensiuni se notează tot cu  $M$ ) :

$$\begin{array}{ccc} L^{5/2} M^{1/2} T^{-1} & \text{și} & L T I \\ \text{(CGS)} & & \text{(MKSA).} \end{array}$$

Polarizarea,  $P = \frac{M_e}{V}$  :

$$\begin{array}{ccc} L^{-1/2} M^{1/2} T^{-1} & \text{și} & L^{-2} T I \\ \text{(CGS)} & & \text{(MKSA).} \end{array}$$

*Susceptibilitatea electrică*,  $k = \frac{P}{\epsilon_0 E}$  :

$$\begin{array}{ccc} \text{simplu număr} & & \text{simplu număr} \\ \text{(CGS)} & & \text{(MKSA).} \end{array}$$

§ 209. **Relația dintre inducție și polarizare.** În interiorul unui dielectric, acțiunile reciproce, datorite sarcinilor electrice legate, se desfășoară prin vidul interatomic.

Aici apariția sau orientarea dipolilor moleculari adaugă, peste inducția  $D_0$  a cîmpului exterior incident, o inducție internă  $D_1$ , orientată după aceeași direcție.

Să considerăm deci un dielectric, supus în vid cîmpului de inducție

$$D_0 = \epsilon_0 E$$



Dacă ne închipuim o tăietură foarte subțire, de grosime nu mai mare decât a distanțelor intermoleculare, orientată perpendicular pe liniile de forță, fenomenul de polarizare face să apară, pe fețele ei, sarcini legate, cu densitățile  $+\sigma$  și  $-\sigma$ , care dau naștere la cimpul de inducție internă

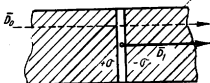


Fig. 85. Pentru deducerea relației dintre inducția și polarizarea electrică.

$$D_1 = 4\pi\sigma = 4\pi P. \quad (205.3)$$

Cele două inducții electrice suprapuse ne dau inducția totală

$$D = \epsilon_0 E + 4\pi P \quad (209.1)$$

și avem astfel o relație fundamentală, care leagă inducția de polarizare.

Iar dacă mai ținem seamă că

$$D = \epsilon E \text{ și că } P = k\epsilon_0 E$$

unde  $\epsilon$  reprezintă permitivitatea dielectricului considerat, rezultă, prin substituire, o altă relație fundamentală

$$\epsilon = \epsilon_0 (1 + 4\pi k). \quad (209.2)$$

Ea leagă, de astă dată, susceptibilitatea dielectricului de permitivitate.

Am văzut că, la dielectricii cu dipoli permanenți, susceptibilitatea scade, când crește temperatura. Relația de față ne spune că, odată cu dînsa, trebuie să scadă și permitivitatea.

**§ 210. Efectul seignetoelectric.** Dacă studiem experimental variația intensității de polarizare a cristalelor de sare *Seignette*<sup>1)</sup>, în funcție de inducția electrică incidentă  $\epsilon_0 E$ , ajungem la curba reprezentativă din fig. 86, care se referă la diferitele faze succesive ale procesului :

<sup>1)</sup> Sarea lui Seignette este tartratul dublu de sodiu și potasiu.

1) În prima fază (porțiunea 1 de pe curbă), substanța, care nu a mai fost încă niciodată electrizată, e supusă acțiunii unui cîmp de inducție crescător, începînd cu valoarea zero.

Aici se constată că funcțiunea nu variază liniar și că polarizarea se limitează la o intensitate maximă, pe care am notat-o cu  $P_s$ , iar apoi rămîne constantă.

Faptul că ea nu mai crește ne arată că, în același moment, acțiunea cîmpului a izbutit să orienteze toți dipolii permanenți, din cristal și vom spune că am ajuns la saturație.

2) În faza a doua (porțiunea 2), cîmpul a revenit la zero. Se constată că polarizarea nu dispăre cu totul, ci

mai păstrează o *remanență*, proporțională cu segmentul  $Oa$ , ceea ce înseamnă că o parte din dipoli au rămas orientați.

3) În faza următoare (porțiunea 3), cîmpul crește iarăși, după ce a fost inversat.

Cînd el atinge o intensitate proporțională cu segmentul  $Ob$ , polarizarea remanentă dispăre. Această intensitate, necesară ca să învingă forțele interne, ce mențineau dipolii parțial orientați, corespunde cu așa numitul *cîmp coercitiv*<sup>1)</sup> al substanței.

După aceea fenomenul merge către o nouă saturație.

4) Readucem cîmpul de inducție la zero, îl inversăm din nou și, urmînd porțiunile de curbă 4 și 5, în sensul săgeților, se revine la prima valoare de saturație  $P_s$ , iar ciclul se închide. Aici segmentele  $Oa'$  și  $Ob'$  sînt iarăși proporționale cu polarizarea remanentă și cu cîmpul coercitiv.

Această curbă închisă este un *ciclu de histeresis electric* și ne arată că fenomenul nu este reversibil, fiindcă nu putem parcurge aceeași porțiune de curbă în ambele sensuri.

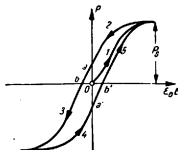


Fig. 86. Ciclu seignetoelectric de histeresis.

<sup>1)</sup> de la *coercere* (latin) = a forța.

Dacă ne referim la relația cunoscută

$$P = k \epsilon_0 E \quad (208.2)$$

și dacă susceptibilitatea  $k$  s-ar fi menținut constantă, curba reprezentativă a fenomenului ar fi fost o dreaptă, care trece prin originea coordonatelor.

Aceasta nu se întâmplă la sarea Seignette, ceea ce înseamnă că *susceptibilitatea și, implicit, permitivitatea nu sînt constante, ci se schimbă cu intensitatea cîmpului de inducție.*

Sub temperatura de  $+25^\circ\text{C}$ , polarizarea sării Seignette urmează o curbă de histeresis, pe care distingem o saturație și o remanență.

Fizicienii sovietici B. P. Kurciatov și P. P. Kobenko au studiat aceste fenomene și au găsit că *ele sînt legate de temperatură.*

Peste  $+25^\circ\text{C}$ , permitivitatea devine mult mai mică, dar se menține constantă, ca și susceptibilitatea, iar intensitatea de polarizare variază liniar cu cîmpul și nu mai găsim nici saturație, nici remanență, ceea ce înseamnă că dipolii permanenți au dispărut.

Faptele descrise mai sus caracterizează *efectul seignetoelectric*.

Ele au fost constatate și la unele săruri ale *acidului metatitanic*, iar mai târziu vom vedea în ce măsură sînt analoge cu procesul de magnetizare a fierului.

Existența fenomenelor de remanență și a unui ciclu de histeresis pot fi constatate nu numai la substanțele seignetoelectrice, dar și la orice dielectric solid, cu dipoli permanenți.

Aici însă *curba de histeresis nu ne mai arată existența unei saturații*, ci capătă forma unei elipse, mai mult sau mai puțin turtite, cu axa înclinată, față de coordonate.

Mai mult încă: asemenea curbe nereversibile apar uneori și la dielectricii fără dipoli permanenți. Interpretarea teoretică a fenomenului pleacă atunci de la ipoteza existenței unor ioni mobili, pe cari cîmpul îi transportă împotriva forțelor de frecare internă.

Energia calorică dezvoltată este proporțională cu suprafața curbei de histeresis a dielectricului.

*In tot cazul, deplasările acestor ioni, cît și răsturnarea dipolilor permanenți, implică apariția unei cantități de căldură, proporțională*

*cu suprafața curbei de histeresis a dielectricului și cu numărul de cicluri parcurse.*

Dar dacă frecvența de răsturnare devine prea mare, dipolii permanenți nu mai sînt în stare să urmărească inversările cîmpului. Dielectricul își modifică atunci proprietățile și se comportă ca și cum nu ar mai fi dipolar.

Mai menționăm că, în cîmpurile slabe și după anumită direcție, care definește *axa electrică* a cristalului, substanțele seigneto-electrice au permitivitatea excepțional de mare.

Experimental găsim următoarele valori :

<i>Sarea Seignette</i>	$\epsilon_{\max.} = 500—600$
<i>Metatitanatul de bariu</i>	1 000—1 500.
<i>Metatitanatul de bariu cu unele adaosuri</i>	7 000—9 000.

§ 211. **Efectul piezo și piroelectric.** În § 81, am arătat că un cristal are structura internă organizată pe plane reticulare, paralele și echidistante.

De asemenea am arătat că un cristal cu rețea ionică se comportă ca o moleculă gigantică a substanței respective (fig. 144 din paragraful amintit).

1) Pentru anumită formă a rețelei, un asemenea cristal, supus unei deformări mecanice, după anume direcție, suferă o deplasare relativă a sarcinilor ionice contrarii, se polarizează și rezultă un dipol temporar.

**Deformarea cristalelor cu anumită structură a rețelei ionice poate să-i polarizeze fără intervenția unui cîmp exterior.**

*Pe fețele respective și opuse ale cristalului vor apare atunci, așa cum apăreau și în cîmpul electric, densitățile superficiale  $+\sigma$  și  $-\sigma$ .*

Fenomenul a fost descoperit de frații Curie <sup>1)</sup> și reprezintă *efectul piezoelectric*.

El poate fi constatat la cuarț, turmalină, sare Seignette și la numeroase alte substanțe cristalizate.

<sup>1)</sup> *Pierre Curie* (1859—1906), fizician francez, cunoscut prin cercetări fundamentale în magnetism și mai ales pentru descoperirea elementului radium. Premiu Nobel (1903).

*Paul Jacques Curie* (născut în 1856).

Pentru evidențierea și cercetarea lui, ne putem servi de o lamă de cuarț, tăiată din cristalul natural, așa cum arată fig. 87.

Dacă lipim, pe fețele opuse, două foițe metalice și le supunem unei comprimări, tracțiuni sau flexiuni, polarizarea cristalului va induce, pe aceste foițe, sarcini contrarii  $+Q$  și  $-Q$ , pe care le putem colecta și măsura.

*Experiența ne arată că ele sînt direct proporționale cu deformarea cristalului, deci cu efortul exercitat asupra lui.*

Dacă, din contra, vom aduce din afară aceste sarcini, lama se scurtează sau se lungeste, după cum e și sensul cîmpului aplicat.

*Acesta este fenomenul piezoelectric invers.*

Am amintit, în § 189, despre folosirea cuarțului piezoelectric la producerea ultrasunetelor.

Îl mai putem folosi, de asemenea, la măsurarea precisă a micilor deformări, determinînd sarcinile ce apar pe fețele lamei, supusă la comprimare sau flexiune.

Dacă lama este supusă la vibrații, apar, între foițele fixate pe fețele ei, sarcini care variază în același ritm. Ele produc atunci, printr-un fir de legătură, curenți variabili pe care-i putem amplifica după aceea, cu ajutorul tuburilor electronice. Pe acest principiu se construiesc microfoanele moderne, de fidelitate mare, pe care le folosim la înregistrările sonore.

Mai amintim că, în construcția pendulelor astronomice de precizie, vibrațiile unei lame de cuarț, într-un cîmp electric alternativ de aceeași frecvență cu a ei, întreține mișcarea mecanismului și asigură măsurarea timpului, cu o precizie de ordinul a 0,003 secunde, pe luna de funcționare.

2) Negustorii de pietre prețioase au observat de mult că unele din ele, încălzite în palmă, capătă însușirea să atragă corpuri ușoare.

Aepinus<sup>1)</sup> a înțeles cel dintîi că fenomenul se datorește unor sarcini electrice și l-a numit *piroelectricizare*<sup>2)</sup>.

<sup>1)</sup> Franz Ulrich Theodor Aepinus (născut la Rostock, în Germania, la 1724 și mort la Dorpat, în Rusia, la 1802), medic și fizician. A fost întîi profesor la Berlin, apoi a emigrat în Rusia, unde a devenit membru al academiei de la Petersburg.

<sup>2)</sup> de la *pyr* — *pyros* (grec) = foc.

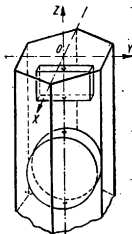


Fig. 87. Tăierea unei lame de cuarț piezoelectric.

Efectul piroelectric este ușor de observat la diferite cristale naturale, mai ales la *turmalină*, care este un borosilicat de aluminiu.

Mecanismul intern, care se datorește, în parte, și deformărilor survenite prin dilatare, este următorul:

Cristalul are o polarizare electrică naturală permanentă și conține, la cele două capete, sarcini legate, de semne contrarii.

În aer, aceste sarcini captează ioni, cari le neutralizează și le împiedică să se manifeste.

Unele cristale au o polarizare naturală, mascată de ioni captați. Fenomenul piroelectric o pune în evidență.

Dar dacă încălzim cristalul, modificăm intensitatea de polarizare, lăsăm libere o parte din sarcinile ionice și astfel rezultă fenomenele de electrizare constatate.

§ 212. **Refracția liniilor de forță.** Sarcinile electrice de pe un conductor sînt libere și de aceea nu stau în echilibru, decît cu condiția ca liniile de forță ale cîmpului, în care se află, să cadă normal pe suprafață.

La dielectrici, sarcinile de polarizare sînt însă legate de molecule și nu se pot mișca decît odată cu ele. De aceea starea de echilibru devine posibilă, chiar dacă liniile de forță ar cădea înclinat.

Cunoscînd acestea, să presupunem că un cîmp electric, de intensitate  $E$ , trimite linii de forță, înclinate pe suprafața de separație a două medii dielectrice diferite. De ambele părți, el poate fi descompus în cîte o componentă normală și alta tangențială, așa cum arată fig. 88.

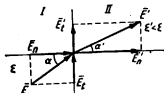


Fig. 88. Refracția liniilor de forță electrice.

Componentele normale străbat dintr-un mediu în altul și, după cele știute, despre cîmpul electric, vor fi invers proporționale cu permitivitățile respective.

Componentele tangențiale rămîn constante, în tot cuprinsul suprafeței de separație.

Ca urmare, direcția cîmpului resultant se frînge, iar figura ne arată de ce vectorul respectiv se apropie de normală, dacă permitivitatea este mai mică, în mediul al doilea, decît în primul.

Rămîne să căutăm legea cantitativă a fenomenului.

Pentru aceasta, vom delimita o suprafață elementară  $dS$ , destul de mică pentru ca fluxul de inducție ce o străbate să poată fi considerat ca uniform (fig. 89).

La trecerea dintr-un mediu în altul, liniile de forță s-au frînt, adică s-au *refractat*, făcînd cu normala unghiurile  $\alpha$  și  $\alpha'$ .

Deoarece, prin secțiunile  $ds$  și  $ds'$ , fluxurile de inducție sînt aceleași.

$$\epsilon E ds = \epsilon' E' ds'.$$

Dar figura ne arată că

$$ds = dS \cos \alpha$$

și că

$$ds' = dS \cos \alpha'.$$

Rezultă astfel că

$$\epsilon E \cos \alpha = \epsilon' E' \cos \alpha'.$$

De altă parte, deoarece componentele tangențiale nu se modifică, vom avea

$$E \sin \alpha = E' \sin \alpha'$$

și, prin împărțirea membru cu membru, găsim relația finală

$$\boxed{\frac{\tan \alpha}{\tan \alpha'} = \frac{\epsilon}{\epsilon'}}. \quad (212.1)$$

Tangentele unghiurilor de incidență și refracție sînt proporționale cu constantele dielectrice.

cu raportul constantelor dielectrice ale celor două medii.

Ca exemplu practic, am reprezentat, în fig. 90, traseul liniilor de forță, cînd în mediul de permitivitate  $\epsilon$  introducem un disc, de permitivitate  $\epsilon'$ , mai mare sau mai mică decît  $\epsilon$ .

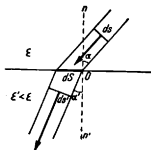


Fig. 89. Pentru deducerea legii de refracție a liniilor de forță electrice.

Pentru comparație, am figurat de asemenea liniile de forță, în cazul unui disc metalic, în echilibru electric, introdus în cîmp (fig. 90, c).

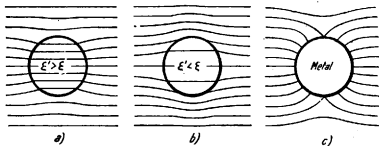


Fig. 90. Dielectricii pot să strîngă sau să împrăștié liniile de forță, iar metalul le captează.

Dielectricul cu permitivitatea mai mare decît mediul le îndește, iar cel cu permitivitate mai mică le rărește, pe cînd conductorul metalic le captează, le întrerupe și face punte între capete.

Vom vedea mai tîrziu cum și în ce măsură fenomenele descrise la dielectrici, sau la cîmpurile electrice, se repetă la cîmpurile produse de magneți.

*Exemple numerice.* 1) *Doi conductori punctiformi sînt încărcăți cu sarcinile electrice de +2 și -8 u.e.s. Care-i forța de atracție în vid, la distanță de 4 cm?*

Formula lui Coulomb ne dă

$$F = \frac{Q_1 \cdot Q_2}{r^2} = \frac{8 \cdot 2}{16} = 1 \text{ dyn.}$$

*Ce devine această forță, într-un mediu de permitivitate 2?*

$$F_1 = \frac{F}{2} = 0,5 \text{ dyn.}$$

2) *Într-un mediu cu permitivitatea de două ori mai mare decît a vidului, se află doi conductori punctiformi, încărcăți cu sarcina de cîte un coulomb. Să se calculeze forța de interacțiune, la distanța de un metru.*



În unități MKSA, formula lui Coulomb ne dă

$$F = \frac{9 \cdot 10^9}{2} \cdot \frac{1 \cdot 1}{1^2} = 4,5 \cdot 10^9 \text{ N} = 4,58 \cdot 10^8 \text{ kgf.}$$

3) Într-un mediu cu permitivitatea  $9 \cdot 10^{-9}$  MKS, un corp e încărcat cu sarcina punctiformă de zece coulombi. Să se calculeze intensitatea câmpului electric, la distanța de 100 cm.

Relația

$$E = \frac{1}{\epsilon} \cdot \frac{Q}{r^2} \quad (199.2)$$

În care  $\epsilon$ , exprimat în cadrul convenției făcute pentru u.e.s., are valoarea

$$\epsilon = \frac{9 \cdot 10^9}{1/9 \cdot 10^9} = 81$$

ne dă, în u.e.s.,

$$E = \frac{1}{81} \cdot \frac{30 \cdot 10^9}{100^2} = 3,7 \cdot 10^4 \text{ dyn/u.e.s.}$$

iar în unități MKSA,

$$E = \frac{1}{9 \cdot 10^{-9}} \cdot \frac{10}{1^2} = 1,11 \cdot 10^9 \text{ N/C.}$$

4) Care este, în condițiile problemei precedente, inducția electrică, exprimată în cele două sisteme de unități?

Relația

$$D = \epsilon E \quad (200.1)$$

ne dă, în u.e.s.,

$$D = 81 \cdot 3,7 \cdot 10^4 = 3 \cdot 10^6 \text{ dyn/u.e.s.}$$

iar în sistemul MKSA,

$$D = 9 \cdot 10^{-3} \cdot 1,11 \cdot 10^9 = 10 \text{ A} \cdot \text{s/m}^2$$

5) Să se calculeze fluxul de inducție, pentru  $D = 10^6$  u.e.s., printr-o suprafață de  $100 \text{ cm}^2$ , sub incidența de  $60^\circ$ .

Relația

$$\Psi = DS \cos \alpha \quad (202.2)$$

ne dă, în CGSe.s.

$$\Psi = 10^6 \cdot 100 \cdot 0,5 = 5 \cdot 10^7 \text{ u.e.s.}$$

În sistemul MKSA, inducția capătă valoarea

$$D = \frac{10^6}{3 \cdot 10^5} = 3,33 \text{ m}^{-2} \cdot \text{A} \cdot \text{s},$$

și fluxul de inducție devine

$$\Psi = 3,33 \cdot 10^{-2} \cdot 0,5 = 1,65 \cdot 10^{-2} \text{ A} \cdot \text{s}.$$

6. Un plan înfinit este încărcat la densitatea electrică de doi coulombi pe centimetrul pătrat. El acționează, în vid, asupra unui corp, încărcat cu sarcina de 100 u.e.s. Să se calculeze forța de interacțiune.

Relația (205.2) ne dă

$$E = 2\pi\sigma = 2\pi \cdot 2 \cdot 3 \cdot 10^9 = 12\pi \cdot 10^9 \text{ u.e.s.}$$

și forța căutată va fi

$$F = 12\pi \cdot 10^9 \cdot 100 = 12\pi \cdot 10^{11} \text{ dyn.}$$

În sistemul MKSA, cîmpul are intensitatea

$$E = 9 \cdot 10^9 \cdot 2\pi \cdot 2 \cdot 10^4 = 36\pi \cdot 10^{13} \text{ N/C.}$$

și găsim forța

$$F = E \cdot Q = 36\pi \cdot 10^{13} \cdot \frac{100}{3 \cdot 10^9}$$

sau

$$F = 12\pi \cdot 10^6 \text{ N}$$

care echivalează, în dyne, cu valoarea găsită mai sus.

7) Să se calculeze inducția electrică și presiunea electrostatică, pe suprafața unui conductor sferic, aflat în vid și încărcat la densitatea superficială de 10 u.e.s./cm<sup>2</sup>.

Conductorul fiind sferic și la distanță mare de orice alte corpuri electrizate, densitatea este uniformă și avem

$$D = 2\pi \cdot 10 = 62,8 \text{ dyn/u.e.s.} \quad (207.2)$$

Iar în unități MKSA,

$$\begin{aligned} D &= 2\pi \frac{10}{3 \cdot 10^9} \cdot 10^4 \approx 2,09 \cdot 10^{-4} \text{ N/C} \\ &= 2,09 \cdot 10^{-4} \text{ m}^{-2} \cdot \text{A} \cdot \text{s}. \end{aligned}$$

De altă parte, relația (207.3) ne dă, în CGSe.s.:

$$P = \frac{2\pi\sigma^2}{\epsilon_0} = 2\pi \cdot 10^2 = 628 \text{ dyn/cm}^2.$$

Iar în unități MKSA,

$$P = \frac{2\pi\sigma^2}{\epsilon_0} = \frac{2\pi}{9} \cdot 10^{-8} \cdot 9 \cdot 10^9$$

$$P = 62,8 \text{ N/m}^2.$$

## CAPITOLUL XXIV

### POTENȚIALUL ELECTRIC

§ 213. **Lucrul mecanic în câmpul electric.** Să presupunem că o sarcină electrică punctiformă, aflată pe un corp oarecare, se mișcă într-un câmp electric, reprezentat prin liniile de forță și descrie o traiectorie impusă *alb*, într-un sens ori în altul (fig. 91).

Este evident că, dacă mișcarea decurge sub acțiunea forțelor câmpului, *se liberează* un lucru mecanic  $+A$ .

Dacă, din contra, ea decurge sub acțiunea unor forțe din afară, împotriva forțelor câmpului, *se absoarbe*, ca energie potențială, un lucru mecanic, pe care, deocamdată, îl vom nota cu  $-A_1$ .

1) Este ușor de văzut că aceste lucruri mecanice sînt egale, în valoare absolută, fiindcă, dacă nu ar fi așa, nimic nu ne-ar împiedica să efectuăm operația în ambele sensuri și să realizăm fie un câștig, fie o dispariție de lucru mecanic, în dezacord cu principiul conservării lui.

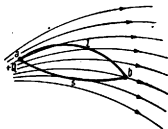


Fig. 91. Lucrul mecanic al forțelor electrice nu depinde de forma traiectoriei.

2) Complicînd situația, să presupunem acum că sarcina electrică parcurge, într-un sens, traiectoria *alb*, iar în sensul contrar se întoarce pe traiectoria *bsa*.

Și de astă dată, una din mișcări liberează lucru mecanic, iar cealaltă îl absoarbe.

Dar este iarăși evident că aceste lucruri mecanice nu pot fi decît egale, fiindcă altfel, prin alegerea convenabilă a sensului de parcurgere a ciclului, am reveni la situația de plecare cu un câștig de energie și am putea să construim un *perpetuum mobile*.

3) La aceeași concluzie vom ajunge dacă, păstrînd neschimbată poziția punctelor *a* și *b* în cîmp, am transporta sarcina electrică pe orice altă traiectorie, între aceste puncte.

Prin urmare, odată cu revenirea la punctul de plecare, lucrul mecanic total va fi

$$A_t = A - A_1 = 0.$$

**Lucrul mecanic în cîmpul electric** depinde numai de poziția punctelor de plecare și de sosire ale sarcinii transportate.

*Așadar, pe orice traiectorie am transporta o sarcină electrică, într-un cîmp electric, lucrul mecanic depinde numai de poziția punctelor de plecare și de sosire.*

**§ 214. Diferența de potențial electric.** Să considerăm acum un cîmp electric *uniform*, de intensitate *E* și să transportăm împotriva lui un corp încărcat cu unitatea pozitivă, *+1*, de sarcină electrică, din *b* în *a*, pe o traiectorie oarecare (fig. 92).

Forța constantă, dezvoltată de cîmp, este

$$F = 1 \cdot E$$

și lucrul mecanic, absorbit ca energie potențială, va fi exprimat prin produsul între această forță și proiecția *r* a drumului, pe direcția ei.



Fig. 92. Pentru exlicarea noțiunii de diferență de potențial electric.

Vom avea deci

$$A = -1 \cdot E \cdot r$$

unde semnul — ne arată convențional că este vorba de un lucru mecanic absorbit.

Dacă, renunțând să mai păstrăm în evidență unitatea de sarcină electrică, nu o mai scriem în membrul al doilea, valoarea numerică rămîne aceeași, dar am avea o ecuație neomogenă, în dimensiuni fizice.

Pentru ca aceasta să nu se întîmple, vom pune, în locul lucrului mecanic  $A$ , o altă mărime  $U$ , numeric egală cu dînsul și ale cărei dimensiuni vor face omogenă relația de legătură

$$U = -E \cdot r \quad (214.1)$$

Diferența de potențial electric reprezintă numeric lucrul mecanic, implicat în transportul sarcinii  $+1$ , între două puncte date, dintr-un câmp electric.

*Această mărime, pe care o numim „diferență de potențial electric” are deci semnul și valoarea numerică a lucrului mecanic, implicat în transportul unității pozitive de sarcină electrică, între două puncte date, dintr-un câmp electric.*

Este evident că dacă, în locul sarcinii-unitate, am transporta, împotriva forțelor câmpului, o sarcină pozitivă oarecare  $+Q$ , lucrul mecanic, absorbit ca energie potențială, ar fi

$$A = U \cdot Q = -E \cdot r \cdot Q \quad (214.2)$$

iar semnul s-ar inversa, dacă sarcina transportată ar fi negativă, sau dacă transportul ar decurge în sensul forțelor din câmp.

Diferența de potențial electric, înmulțită cu sarcina transportată, ne dă lucrul mecanic.

*Prin urmare, produsul dintre diferența de potențial și sarcina electrică transportată are, numeric și fizic, valoarea lucrului mecanic.*

Din felul cum o definește relația (214.1), diferența de potențial electric are o semnificație analogă cu diferența de potențial gravitațional, cu deosebirea că sarcina electrică înlocuiește masa inertă, iar intensitatea câmpului coulombian înlocuiește intensitatea  $g$  a câmpului newtonian, pe care am presupus-o constantă, în apropierea suprafeții Pămîntului (§ 80).

O altă concluzie importantă, ce apare ca o consecință a celor de mai sus, este că *electricitatea nu reprezintă o energie, dacă*

*Fără diferențe de potențial, o sarcină electrică nu reprezintă energie.*

*nu există diferențe de potențial, iar, la rîndul lor, acestea implică neapărat existența unui cîmp electric.*

Cîmpul electric tinde, așadar, să transporte corpurile încărcate cu electricitate, care pot fi conductori, izolanți sau particule elementare.

Tot așa cîmpul gravitațional tinde să transporte masele inerte, dar în toate cazurile sensul transportului corespunde unei liberări de energie și duce spre o poziție de echilibru, adică spre situația cu energie potențială minimă, permisă de legături.

Am văzut că *orice transport de electricitate reprezintă un curent electric, dar apariția lui spontană nu este posibilă, fără*

*Transporturile spontane de electricitate implică existența diferențelor de potențial.*

*existența diferențelor de potențial, iar liberarea de energie duce spre dispariția lor.*

1. *Unități și dimensiuni.* Relația (214.2) ne arată că

$$U = \frac{A}{Q}.$$

*Prin urmare, în sistemul electrostatic CGS, diferența de potențial, între două puncte date, va*

*Dacă transportul 1 u.e.s. de sarcină electrică implică lucrul mecanic de un erg, diferența de potențial este de o unitate electrostatică.*

*fi de o unitate, dacă transportul unității respective de sarcină electrică implică lucrul mecanic de un erg.*

În acest sistem, diferențele de potențial vor avea dimensiunile

$$[U] = \left[ \frac{A}{Q} \right] = \frac{L^2 M T^{-2}}{L^{3/2} M^{1/2} T^{-1}} = L^{1/2} M^{1/2} T^{-1}$$

iar unitatea respectivă nu are nume special.

Transportul sarcinii de un coulomb, sub diferența de potențial de un volt implică lucrul mecanic de un joule.

Un volt =  $1/300$  u.e.s.

*În sistemul MKSA, diferența de potențial va fi de o unitate, dacă transportul sarcinii de un coulomb implică lucrul mecanic de un joule.*

Această unitate practică se numește volt<sup>1)</sup> (V).

Știind că

un joule =  $10^7$  ergi      și că      un coulomb =  $3 \cdot 10^9$  u.e.s.

rezultă că raportul de transformare va fi

$$\frac{10^7}{3 \cdot 10^9} = \frac{1}{300}.$$

*Prin urmare unitatea electrostatică CGS reprezintă 300 de volți.*

Cît despre dimensiunile fizice, se vede imediat că, în sistemul acesta,

$$[U] = \left[ \frac{A}{Q} \right] = \frac{ML^2T^{-2}}{IT} = L^2MT^{-3}I^{-1}.$$

Dar, în sistemul MKSA, unitatea de bază este *amperul*, pe cînd *coulombul* apare numai ca unitate derivată.

De aceea este preferabil să definim *voltul* cu ajutorul intensității curentului electric, ce apare sub acțiunea unei diferențe de potențial, decît să-l definim cu ajutorul sarcinii transportate.

Admițînd că intensitatea acestui curent este constantă, relația (214.2) ne dă, pentru timpul  $t$ ,

$$U = \frac{A/t}{Q/t} = \frac{P}{I} \quad \text{V (volți)}.$$

Diferența de potențial rezultă astfel din raportul între puterea debitată și intensitatea curentului.

Folosind această relație, definiția unității MKSA, pentru diferența de potențial, este următoarea :

<sup>1)</sup> În onoarea lui *Alessandro Volta*, fizician italian care a inventat pila electrică (1745—1827).

Curentul electric de un amper debitează puterea de un watt cînd, între punctele respective ale conductorului, avem diferența de potențial de un volt.

*Un volt reprezintă diferența de potențial, ce trebuie să existe între două puncte ale unui conductor, pentru ca un curent constant de un amper să debiteze, între acele puncte, puterea de un watt.*

După standardul legal, folosirea unității *volt* este obligatorie, în toate cazurile practice, iar definiția de față este cea mai corectă.

Unitatea electrostatică CGS va fi deci folosită numai în anumite cercetări științifice.

*2. Zero relativ de potențial.* Noțiunea de *diferență de potențial*, pe care am definit-o fie cu ajutorul variației de energie potențială, fie cu al puterii debitate de un curent electric, ne apare ca o *mărime scalară*.

De aceea nu concepem un *zero absolut* de potențial și va trebui să alegem, prin convenție, un *zero relativ*, de referință, așa cum facem și pentru energie.

Prin convenție, potențialul pămîntului se ia ca zero relativ de referință.

*Această convenție poate fi schimbată oricînd ne convine, dar de obicei se ia, ca zero relativ, de referință, potențialul pămîntului.*

Vom considera deci ca nul potențialul unui corp, sau sistem de corpuri, dacă, legîndu-l cu pămîntul, printr-un conductor, nu apare nici un transport de electricitate.

Diferența de potențial, față de un zero convențional, reprezintă însuși potențialul și se notează cu  $V$ .

*Diferența de potențial, față cu orice zero convențional, reprezintă atunci însuși potențialul și se notează cu  $V$ , în loc de  $U$ .*

Între două puncte  $a$  și  $b$ , dintr-un cîmp electric sau de pe un conductor prin care trece un curent electric, relația de definiție (214.1) se va mai putea scrie deci sub forma

$$V_a - V_b = U = -E \cdot r \quad (214.1a)$$

în ipoteza că potențialul în  $b$  are valoare numerică mai mare decît în  $a$ , față cu sistemul de referință ales.



3. *Potențialul în câmp neuniform.* Pentru definiția diferenței de potențial, am plecat de la cazul particular când câmpul electric fiind uniform are aceeași intensitate în orice punct.

Rămîne să vedem cum poate fi adaptată această noțiune la cazul general, când câmpul este neuniform.

Pentru aceasta, păstrînd în evidență potențialele între care intervine diferența  $U$ , vom pleca de la relația (214.1 a) și vom scrie că

$$V_a - V_b = -E \cdot r.$$

În forma de față, această relație nu e valabilă, decît pentru câmpul uniform, de intensitate constantă  $E$ .

Putem presupune însă că distanța  $r$ , măsurată în lungul unei linii de forță, ar tînde către o cîțime infinitesimală  $dr$ , așa de mică, încît câmpul să poată fi considerat constant, în cuprinsul ei.

În aceste condiții, punctele  $a$  și  $b$  tind să se confunde, iar potențialul variază, de la unul la altul, cu cantitatea infinitesimală  $dV$ , așa că

$$dV = -E \cdot dr$$

sau, ceea ce e tot una,

$$\boxed{E = - \frac{dV}{dr}}. \quad (214,3)$$

Această relație fundamentală ne permite să calculăm intensitatea câmpului electric, într-un punct oarecare, când cunoaștem legea de variație a potențialului, în funcție de distanța  $r$ .

Derivata cu semn schimbat a potențialului exprimă intensitatea câmpului :

$$E = - \text{grad } V$$

*Ea ne spune că derivata cu semn schimbat a potențialului, față de distanța, măsurată în lungul liniilor de forță, reprezintă intensitatea câmpului electric, în punctul considerat.*

Ca în toate cazurile similare, această derivată reprezintă *gradientul* potențialului, dacă distanța e luată în sensul și după direcția câmpului.

De aceea, relația de față se poate scrie sub forma

$$E = -\text{grad } V \quad (214.4)$$

§ 215. **Potențialul în jurul unei sarcini punctiforme.** Să presupunem că un corp, încărcat cu o sarcină punctiformă, produce în jurul lui un câmp electric, ale cărui linii de forță se duc să caute sprijin, undeva în spațiu, pe alt corp, încărcat cu o sarcină de semn contrar.

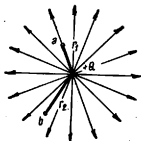


Fig. 93. Pentru calculul potențialului în jurul unei sarcini punctiforme.

Dacă nu pot să-l găsească, de cît la distanță mai mare, aceste linii de forță se vor dispersa, în jurul punctului de plecare, simetric și radial, cum arată fig. 93.

Pentru precizarea situației vom presupune că sarcina electrică punctiformă are valoarea  $Q$ .

În jurul ei, vom alege la întâmplare două puncte  $a$  și  $b$  situate la distanțele  $r_1$  și  $r_2$ .

Dacă ne propunem să calculăm diferența de potențial, între aceste puncte, problema e simplă fiindcă relația cunoscută (214.3), pusă sub forma

$$-dV = E \cdot dr$$

și în care înlocuim intensitatea câmpului prin valoarea, de asemenea cunoscută

$$E = \frac{1}{\epsilon} \cdot \frac{Q}{r^2}$$

ne dă prin integrare, între distanțele  $r_1$  și  $r_2$ ,

$$-\int_{V_1}^{V_2} dV = \frac{1}{\epsilon} \int_{r_1}^{r_2} \frac{Q}{r^2} dr$$

sau

$$V_1 - V_2 = \frac{Q}{\epsilon} \left( \frac{1}{r_1} - \frac{1}{r_2} \right) \quad (215.1)$$

Semnul membrului al doilea se inversează, dacă sarcina punctiformă ar fi  $-Q$ .

Această relație fundamentală ne spune că, în câmpul unui corp electrizat și punctiform, diferențele de potențial variază proporțional cu diferența dintre inversele distanțelor, măsurate radial și cu raportul dintre sarcina lui și permitivitatea mediului.

Dacă distanța  $r_2$  este presupusă infinită, aceeași relație ne dă, cînd celălalt punct e situat la distanța  $r$ ,

$$V_r - V_\infty = \frac{1}{\epsilon} \cdot \frac{Q}{r}.$$

Putem face acum convenția că potențialul, la distanță infinită, este nul și atunci  $V_r$  este însuși potențialul, la distanța  $r$ .

Convențional, potențialul, la distanță infinită, este nul.

Cu această nouă convenție, vom avea deci, în câmpul unui corp, încărcat cu sarcina  $+Q$ ,

$$\boxed{V_r = \frac{1}{\epsilon} \cdot \frac{Q}{r}}. \quad (215.2)$$

Iar semnul se inversează, dacă sarcina este negativă.

Variația de energie potențială, cînd unitatea pozitivă de sarcină este adusă de la infinit, are valoarea numerică a potențialului în punctul respectiv.

Variația de energie potențială, cînd unitatea pozitivă de sarcină electrică este adusă de la infinit, pînă la distanța  $r$  de un corp electrizat are deci valoarea numerică a potențialului, în punctul considerat, oricum ar fi situat.

Față de orice zero convențional, care poate fi la pămînt, la infinit, sau într-un punct ales după voie, potențialul va fi deci pozitiv, cînd forțele câmpului tind să disloace de acolo sarcini pozitive și negativ, în cazul contrar.

§ 216. **Suprafețe echipotențiale.** Să considerăm un câmp electric, reprezentat prin liniile lui de forță (fig. 94, a).

Este evident că dacă un corp, încărcat cu o sarcină punctiformă, s-ar mișca în cuprinsul lui, după una din traiectoriile figurate punctat, care sînt mereu perpendiculare pe liniile de forță, lucrul mecanic ar fi nul.

Orice linie ori suprafață perpendiculară pe liniile de forță este echipotențială.

fiindcă, în cuprinsul lor, nu există diferențe de potențial.

Am văzut că lucrul mecanic, implicat în transportul unei sarcini electrice, între două potențiale date, nu depinde de forma traiectoriei descrise.

Transportul pe orice traiectorie a unei sarcini electrice date, între două suprafețe echipotențiale date, implică același lucru mecanic.

absorbit sau efectuat de forțele electrice, va fi totdeauna același.

Orice traiectorie, astfel definită, reprezintă o *linie echipotențială*, iar în spațiu vom avea *suprafețe echipotențiale*, numite așa

Inseamnă că oricum am alege niște puncte, pe două suprafețe echipotențiale date și pe orice traiectorie am transporta între ele o sarcină dată, lucrul mecanic,

Un exemplu tipic de suprafață echipotențială ni-l dă orice

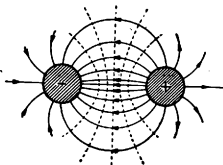


Fig. 94, a. Liniile de forță și suprafețele echipotențiale într-un câmp electric.

conductor în echilibru electric, pe care se știe că liniile de forță cad perpendicular.

Cît despre interiorul lui, acolo nu apar diferențe de potențial, fiindcă nu există diferențe de potențial. El capătă deci potențialul suprafeții exterioare.

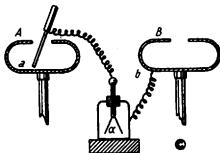


Fig. 94, b. Suprafețele interne sau externe ale conductoarelor în echilibru electric sînt echipotențiale.

La un electroscope, divergența foilelor depinde de diferența de potențial, pe care o au față de învelișul metalic de protecție, în care le punem obișnuit.

Dacă legăm vergeaua la un conductor electrizat și cutia metalică la pămînt, sau la alt conductor electrizat, divergența observată ne poate servi ca mijloc de măsură, pentru diferența de potențial (fig. 94, b).

Constatăm astfel că această divergență nu depinde de punctele de contact alese și este nulă, dacă le luăm pe același conductor, în echilibru electric.

1. *Potențialul unei sfere electrizate.* Dacă electrizăm o sferă conductoare izolată, în apropierea căreia nu mai sînt și alte corpuri electrizate, situația de echilibru electric impune ca liniile de forță să se distribuie radial și simetric, așa cum arată fig. 95.

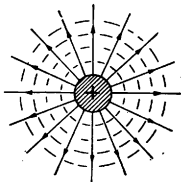


Fig. 95. Liniile de forță și suprafețele echipotențiale în jurul unui conductor sferic.

Ne putem convinge că această prevedere corespunde cu realitatea, dacă lipim pe suprafața sferei capetele unor fire ușoare, de bumbac. Ele se zbirlesc și se orientează în prelungirea razelor.

Experiența descrisă ne permite să tragem următoarea concluzie :

**Totul se petrece ca și cum întreaga sarcină a unei sfere în echilibru electric ar fi concentrată în centrul ei.**

*Cu toate că electricitatea în echilibru se răspîndește pe suprafața conductorilor, totul se petrece ca și cum întreaga sarcină a unei*

*sfere ar fi concentrată în centrul ei.*

Cunoscînd acest lucru, sîntem în măsură acum să exprimăm potențialul, pe suprafața unei sfere de rază  $R$ , încărcată cu cantitatea de electricitate  $Q$ , cînd mediul ambiant are permitivitatea  $\epsilon$ .

Potrivit relației (215.2), el este

$$\boxed{V = \pm \frac{1}{\epsilon} \cdot \frac{Q}{R}} \quad (216.1)$$

Ca zero convențional, am considerat potențialul la distanță infinită, iar semnul este dictat de semnul sarcinii  $Q$ .

**Potențialul unui conductor sferic este proporțional cu sarcina și invers proporțional cu raza lui.**

*Prin urmare, potențialul unui conductor sferic, în echilibru electric, este direct proporțional cu sarcina și invers proporțional cu raza lui.*

Se înțelege de la sine că aceste concluzii nu mai sînt valabile cînd liniile de forță, deviate de alte corpuri electrizate, nu s-ar mai distribui simetric și uniform, pe suprafața sferei, fiindcă atunci nici densitatea electrică superficială nu ar mai fi uniformă.

În asemenea cazuri, totul se petrece ca și cum sarcina sferei nu ar mai fi concentrată în centru, ci *excentric*.

Este evident că, pentru o sferă încărcată omogen, suprafețele echipotențiale vor fi tot niște sfere, concentrice cu dînsa. Situația este atunci similară cu a suprafețelor echipotențiale din jurul Pămîntului, trasate în cîmpul gravitațional. Ele unesc puncte cu același nivel și sînt de asemenea sfere concentrice.

Această analogie ne îndreptățește să extindem denumirea de *suprafață de nivel* și pentru suprafețele echipotențiale din câmpul electric, oricare ar fi forma lor.

**2. Imaginea grafică a gradientului de potențial.** Să considerăm o porțiune din suprafața unui conductor electrizat, pe care se găsește o regiune mai ascuțită (fig. 96).

Liniile de forță ale câmpului se vor îngrămădi mai tare în această regiune, fiindcă și densitatea electrică e mai mare, așa că, pentru același lucru mecanic, o sarcină electrică dată va trebui să parcurgă o distanță mai mică, decît în regiunile vecine.

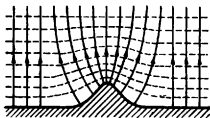


Fig. 96. Ridicătura îndesește liniile de forță și suprafețele echipotențiale.

Urmarea directă este că suprafețele echipotențiale se vor îndesi, apropiindu-se una de alta, în dreptul ridicăturii.

Iar dacă facem convenția să nu reprezentăm decît pe acelea între care avem aceeași diferență de potențial, de pildă un volt, obținem traseele punctate din figură.

De altă parte, știind că intensitatea câmpului electric se leagă de variația potențialului prin relația

$$E = -\frac{dV}{dr} = -\text{grad } V \quad (214.3.4)$$

aceste suprafețe echipotențiale, chiar dacă nu sînt trasate la distanțe infinitesimale, ne vor permite totuși, prin îngrămădirea lor, să ne dăm seama unde este câmpul mai intens. Ele ne arată limpede configurația lui, tot așa cum curbele de nivel, trasate pe o hartă geografică, ne arată configurația terenului.

Această imagine intuitivă ne va face să înțelegem ușor de ce, în locul unităților pentru intensitatea de câmp electric,

*newtoni pe coulomb* sau *dyne pe u.e.s.*

arătate în § 199, este mai comod să definim unitatea cu ajutorul gradientului de potențial.

Pentru aceasta, considerînd mai întîi cazul unui cîmp uniform, e destul să observăm că relațiile (199.1 și 214.1) ne dau împreună

$$E = \frac{F}{Q} = -\frac{U}{r}.$$

Și atunci, folosind unitățile MKSA, rezultă că, în cîmpul unde forța este de un newton, pentru sarcina de un coulomb, potențialul variază cu un volt, cînd ne deplasăm cu un metru, în direcția liniilor de forță.

Inseamnă că aceeași intensitate de cîmp se poate exprima

1) în newtoni pe coulomb      sau      2) în volți pe metru

fără ca valorile numerice să difere.

**Intr-un cîmp electric de un volt pe metru, sarcinii de un coulomb îi corespunde forța de un newton.**

*Prin urmare, într-un cîmp cu intensitatea de un volt pe metru, sarcinii de un coulomb îi corespunde forța de un newton.*

Cu această unitate, determinările pot fi mult mai precise, fiindcă se poate măsura mult mai bine o diferență de potențial, decît o forță de interacțiune electrică.

În cîmpurile neuniforme, avem de asemenea o aproximație destul de bună, dacă ne raportăm la variații mici, dar finite ale distanței, fără să mai recurgem la cîtimile infinitesimale, implicate de relația (214.3.4), menționată mai sus.

Ceea ce definim atunci este *intensitatea mijlocie* a cîmpului, pe distanța considerată.

Pe timp de furtună, apar cîmpuri electrice, între nori și suprafața Pămîntului, a căror intensitate poate să atingă și chiar să depășească 10 000 V/m. Fulgerul și trăsnetul sînt consecința lor directă.

Deasupra copacilor, clădirilor și a tuturor corpurilor ce ies în relief, suprafețele echipotențiale se îndesesc, gradientul de potențial crește și cîmpul electric devine incomparabil mai intens decît în regiunile vecine. Aceasta explică predilecția trăsnetului pentru obiectele înalte.

Cel ce e surprins de furtună, într-un cîmp deschis, nu se poate feri de trăsnet, decît culcîndu-se la pămînt, sau mai bine într-un șanț, chiar dacă e plin cu apă.

Efectul paratrăsnetului: vargă metalică ascuțită, așezată pe o clădire înaltă și legată la pămînt printr-un conductor destul de gros, are aceeași explicație. Trăsnetul poate să cadă pe el, dar nu pe clădire<sup>1)</sup>.

<sup>1)</sup> Paratrăsnetul a fost inventat de Franklin.



§ 217. **Potențialul în jurul unui dipol.** Am văzut că două sarcini electrice,  $+Q$  și  $-Q$ , separate printr-o distanță  $l$ , formează împreună un *dipol electric*, al cărui moment este

$$M_e = Q \cdot l$$

indiferent dacă e vorba de sarcini mobile, pe un conductor, sau legate, pe fețele unui dielectric polarizat.

Considerându-le, pentru simplificare, ca punctiforme, liniile de forță ale câmpului ce apare între ele au traseele reprezentate în fig. 97.

Potrivit celor știute, un corp electrizat și introdus într-un punct oarecare  $P$ , din acest câmp, suferă acțiunile suprapuse ale forței de atracție  $F_1$  și de respingere  $F_2$ , a căror rezultantă  $F$  se orientează tangent la linia de forță, ce trece prin acel punct.

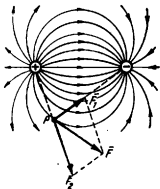


Fig. 97. Câmpul electric acționează tangent la liniile de forță.

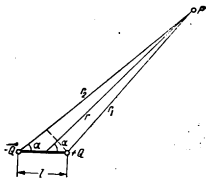


Fig. 98. Pentru calculul potențialului în jurul unui dipol.

Tot pentru simplificarea raționamentului, vom presupune că punctul  $P$  se găsește la o distanță  $r$ , mult mai mare decât lungimea dipolului  $l$  (fig. 98).

Aici sarcina  $+Q$  va impune potențialul

$$V_1 = -\frac{1}{r_1} \cdot \frac{Q}{r_1} \quad (215.2)$$

iar sarcina  $-Q$  ne dă

$$V_2 = -\frac{1}{s} \cdot \frac{Q}{r_2}.$$

Potențialul total, în punctul  $P$ , va fi deci

$$V = V_1 + V_2 = \frac{Q}{s} \left( \frac{1}{r_1} - \frac{1}{r_2} \right) = \frac{Q}{s} \cdot \frac{r_2 - r_1}{r_1 \cdot r_2}.$$

Dacă distanțele  $r_1$  și  $r_2$  sînt foarte mari, în comparație cu lungimea dipolului, putem scrie, cu aproximație, că

$$r_2 - r_1 = l \cdot \cos \alpha \quad \text{și că} \quad r_1 \cdot r_2 = r^2.$$

De asemenea putem considera că unghiurile notate în figură cu  $\alpha$  sînt egale, fiindcă diferența lor este neglijabilă.

Cu aceste aproximații, vom avea deci

$$V = \frac{1}{s} \cdot \frac{Q \cdot l}{r^2} \cos \alpha$$

și, în fine, dacă ținem seamă de valoarea momentului dipolar,

$$\boxed{V = \frac{1}{s} \cdot \frac{M_e}{r^2} \cos \alpha} \quad (217.1)$$

Această relație fundamentală ne arată că, *spre deosebire de sarcinile electrice singuraticе, potențialul în jurul unui dipol variază invers cu pătratul distanței și nu cu distanța însăși.*

În cazul particular, cînd punctul  $P$  se găsește pe linia de simetrie,

$$\alpha = 90^\circ \quad \text{și} \quad V = 0.$$

iar, dacă se află în prelungirea dipolului,

$$\alpha = 0^\circ \quad \text{și} \quad V = \frac{1}{s} \cdot \frac{M_e}{r^2}.$$

**Expresia intensității cîmpului.** În fig. 99 am reprezentat o linie de forță, între capetele dipolului și am ales pe dînsa un punct  $P$ , situat pe un cerc de rază  $r$ , cu centrul pe mijlocul distanței  $l$ .

Intensitatea  $E$  a câmpului am desfăcut-o în componentele  $E_r$ , orientată radial și  $E_t$ , orientată tangențial.

Dacă punctul  $P$  ar suferi o deplasare infinitesimală  $dr$ , în direcția razei, variația respectivă a potențialului ar fi  $dV$ .

Potrivit relației cunoscute (214.3), vom putea scrie deci că intensitatea componentei radiale este

$$E_r = -\frac{dV}{dr}$$

și expresia (217.1) ne dă prin derivare, în raport cu variabila  $r$ ,

$$E_r = \frac{1}{s} \cdot \frac{2M_e}{r^3} \cos \alpha. \quad (217.2)$$

Dacă punctul  $P$  s-ar deplasa, pe o distanță infinitesimală, în direcția componentei tangențiale, variabila ar fi de astă dată arcul de cerc. Dar aici trebuie să ținem seamă că el e, la rîndul lui, funcție de unghiul la centru  $\alpha$ .

Vom nota variația arcului cu  $ds$  și, procedînd ca mai sus, avem

$$E_t = -\frac{dV}{ds} = -\frac{dV}{d\alpha} \cdot \frac{d\alpha}{ds}$$

sau

$$E_t = \frac{1}{s} \cdot \frac{M_e}{r^2} \sin \alpha \cdot \left( \frac{d\alpha}{ds} \right).$$

De altă parte, figura ne arată că

$$ds = r \cdot d\alpha$$

și după substituiri ajungem la relația finală

$$E_t = \frac{1}{s} \cdot \frac{M_e}{r^2} \sin \alpha. \quad (217.3)$$

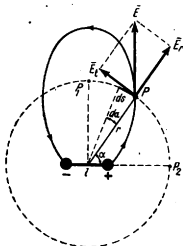


Fig. 99. Componentele câmpului unui dipol electric.

În cazul particular, când punctul  $P$  se află pe axa de simetrie a dipolului, în  $P_1$ ,

$$\alpha = 90^\circ, \quad E_r = 0 \quad \text{și} \quad E_t = \frac{1}{r^3} \cdot \frac{M_e}{r}$$

iar dacă se află în prelungirea lui, adică în  $P_2$ ,

$$\alpha = 0^\circ, \quad E_r = \frac{1}{r^3} \cdot \frac{2M_e}{r^2} \quad \text{și} \quad E_t = 0$$

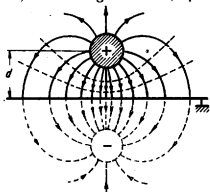
de unde se vede că *intensitatea maximă a componentei radiale este de două ori mai mare decât a celei tangențiale*.

Cele două puncte particulare, din jurul dipolului, situate unul în prelungirea lui, iar celălalt pe axa de simetrie și la aceeași distanță  $r$  de punctul central, definesc așa numitele *poziții ale lui Gauss*.

Din examinarea relațiilor finale (217.2 și 3) se vede că, în jurul unui dipol, orice corp electrizat este sub acțiunea unei forțe invers proporționale cu cubul și nu cu pătratul distanței, cum era cazul în câmpul sarcinilor singuratic.

**Forțele electrice în câmpul unui dipol sînt invers proporționale cu cubul distanței.**

Ca încheiere, vom considera și cazul, foarte obișnuit în practică, al unei singure sarcini, așezată în fața unei suprafețe plane și conductoare, legată la pămînt.



Ea induce, în această suprafață, sarcini de semn contrar cu dînsa și experimental putem constata că liniile de forță au, la echilibru, traseele reprezentate în fig. 100.

Totul se petrece aici ca și cum, de cealaltă parte a planului conductor și simetric față de prima, s-ar găsi concentrată o a doua sarcină egală și de semn contrar.

Fig. 100. Imaginea unui conductor, față de suprafața legată la pămînt îl transformă într-un dipol de lungime  $2d$ .

Situația se prezintă astfel ca și cum s-ar forma o imagine în oglindă, bineînțeles virtuală, a sarcinii electrice și a liniilor de forță reale.

În aceste condiții, vom considera sistemul *sarcină—imagine* ca un dipol real și-i vom atribui momentul

$$M_e = 2dQ.$$

Ca exemplu practic, întâlnim această situație când un conductor electrizat se află în apropierea suprafeții Pământului.

Înălțimea lui fiind  $h$ , lungimea dipolului este  $2h$ .

O aplicație deosebit de importantă a acestor fapte o vom găsi în tehnica radiocomunicațiilor.

*Exemple numerice.* 1) Să se exprime în volți și în u.e.s. diferența de potențial dintre două puncte, știind că transportul sarcinii electrice de 0,05 C implică lucrul mecanic de 4 000 J.

Relația (214.2) ne dă

$$U = \frac{A}{Q} = \frac{4\,000}{0,05} = 80\,000 \text{ V}$$

său

$$U = \frac{80\,000}{300} = 266 \text{ u.e.s.}$$

2) Se consideră, în câmpul unei sarcini electrice de 100 u.e.s. așezată într-un mediu de permittivitate 0,22 MKSA un punct a, la distanța de 10 m. Unde se va găsi un alt punct b, dacă diferența lui de potențial, față de primul, este de un volt?

Relația cunoscută

$$U = \frac{Q}{s} \left( \frac{1}{r_1} - \frac{1}{r_2} \right) \quad (215.1)$$

conduce la

$$r_2 = \frac{r_1 Q}{Q - s r_1 U}.$$

Folosind unitățile MKSA, vom avea deci

$$r_2 = \frac{10 \cdot \frac{100}{3 \cdot 10^9}}{\frac{100}{3 \cdot 10^9} - 0,22 \cdot 10^9 \cdot 10^{-1}} = \frac{1\,000}{100 - 6,6} = 10,7 \text{ m.}$$

Condiția cerută va fi deci îndeplinită dacă, luând ca centru sarcina electrică, punctul  $a$  se va găsi undeva, pe o sferă cu raza de 10 m, iar punctul  $b$  pe altă sferă, cu raza de 10,7 m.

3) *Permitivitatea aerului fiind practic egală cu a vidului, iar gradientul de potențial, în apropierea suprafeței. Pământului fiind de aproximativ 100 V/m, să i se calculeze sarcina electrică totală.*

Teorema lui Coulomb ne dă, pentru câmpul electric,

$$E = \frac{1}{\epsilon_0} \cdot 4\pi\sigma \quad (207.1a)$$

și rezultă că sarcina este

$$Q = 4\pi\epsilon_0 R^2 = 4\pi R^2 \frac{\epsilon_0 E}{4\pi} = \epsilon_0 R^2 E,$$

Folosind unitățile CGS electrostatice, avem

$$Q = 1 (6,4 \cdot 10^8)^2 \cdot \frac{1}{300} = 13,6 \cdot 10^{14} \text{ u.e.s.}$$

Iar în unități MKSA,

$$Q = \frac{1}{9 \cdot 10^9} (6,4 \cdot 10^6)^2 \cdot 100 = 4,53 \cdot 10^5 \text{ C.}$$

## CAPITOLUL XXV

### CAPACITATE ELECTROSTATICĂ

§ 218. **Capacitatea unui conductor.** Este evident că dacă, prin transporturi repetate, mărim cantitatea de electricitate de pe un conductor izolat, care se află la distanță mare de alți conductori electrizați, câmpul pe suprafața sau în preajma lui se intensifică în aceeași proporție, potrivit legii lui Coulomb.

Aceasta înseamnă că și potențialul acestui conductor, exprimat prin lucrul mecanic, necesar ca să aducem pe dînsul sarcina electrică — unitate, de la infinit, va fi direct proporțional cu sarcina lui totală și vom avea

$$\frac{Q_1}{V_1} = \frac{Q_2}{V_2} = \frac{Q_3}{V_3} = \dots = \frac{Q}{V} = C$$

sau, în general,

$$Q = C \cdot V \quad (218.1)$$

unde factorul de proporționalitate  $C$  este o constantă, caracteristică formei și mărimii conductorului, pe care o numim *capacitate electrostatică*.

Capacitatea electrostatică este raportul, constant pentru un conductor dat, între sarcină și potențial.

Capacitatea electrostatică se exprimă deci prin raportul, constant pentru un conductor dat, între sarcina electrică și potențial,

sau între variația sarcinii și variația respectivă a potențialului, față de un sistem oarecare de referință.

1. *Unități și dimensiuni.* În sistemul unităților electrostatice dimensiunile capacității sînt

$$[C] = \left[ \frac{Q}{V} \right] = \frac{L^{3/2} M^{1/2} T^{-1}}{L^{1/2} M^{1/2} T^{-1}} = L$$

și unitatea se numește *centimetru* (cm), fiindcă are dimensiunile unei lungimi.

U.e.s. de capacitate se numește centimetru, fiindcă are dimensiunea lungimii.

Ea reprezintă capacitatea conductorului al cărui potențial crește cu o unitate electrostatică, dacă-i sporim încărcarea cu unitatea electrostatică de sarcină electrică, adusă de la înfinit.

În sistemul MKSA

$$[C] = \left[ \frac{Q}{V} \right] = \frac{IT}{L^2 M T^{-2} I^{-1}} = L^{-2} M^{1/2} T^4 I^2$$

și unitatea se numește *farad* (F)<sup>1)</sup>.

Dacă potențialul crește cu un volt, cînd sarcina crește cu un coulomb, capacitatea este de un farad. Ea reprezintă  $9 \cdot 10^{11}$  centimetri.

Ea reprezintă capacitatea conductorului al cărui potențial crește cu un volt, cînd îi sporim încărcarea cu sarcina de un coulomb, adusă de la înfinit.

<sup>1)</sup> În onoarea lui Michael Faraday.

Ca submultipli se folosesc mai ales :

*microfaradul* ( $\mu\text{F}$ ) =  $10^{-6}$  F și

*picofaradul* (pF) =  $10^{-12}$  F.

Știind că

*un coulomb* reprezintă  $3 \cdot 10^9$  u.e.s și că

*un volt* echivalează cu  $1/300$  u.e.s.,

se vede imediat că raportul numeric de transformare va fi

$$\frac{\text{farad}}{\text{centimetru}} = \frac{3 \cdot 10^9}{1/300} = 9 \cdot 10^{11}.$$

Vom avea deci :

$$1\text{F} = 9 \cdot 10^{11} \text{ cm}; \quad 1\mu\text{F} = 9 \cdot 10^5 \text{ cm} \quad \text{și} \quad 1\text{pF} = 0,9 \text{ cm}.$$

Capacitatea de un picofarad este aproape egală cu aceea de un centimetru. De aceea, în practica obișnuită, se neglijează diferența.

2. *Capacitatea unei sfere.* Știind că potențialul unei sfere se poate calcula din relația

$$V = \frac{1}{\epsilon} \cdot \frac{Q}{R} \quad (216.1)$$

și mai știind că

$$C = \frac{Q}{V} \quad (218.1)$$

se vede imediat că o sferă de rază  $R$  are capacitatea

$$\boxed{C = \epsilon R} \quad (218.2)$$

Iar dacă sfera se află în vid și folosim unitățile sistemului electrostatic, permitivitatea pierde dimensiunile fizice și devine numeric egală cu unitatea.

*În vid, capacitatea unei sfere, exprimată în centimetri, este egală cu raza ei.*

*Rezultă că, în vid, capacitatea unei sfere, exprimată în centimetri, este egală cu raza.*

Pentru conductori de alte forme, calculul este mult mai complicat și adesea imposibil. Recurgem atunci la măsurări experimentale.



Ca să ne facem o idee despre ordinul de mărime al unităților definite mai sus, e suficient să observăm că raza Pământului fiind de aproximativ  $6 \cdot 10^8$  cm, capacitatea lui este

$$C = 6 \cdot 10^8 \text{ cm} \approx 0,7 \cdot 10^{-3} \text{ F.}$$

Pentru conductorii singuratici, unitatea *farad* este deci mult prea mare, ca să poată fi realizată.

Va trebui deci să căutăm pe altă cale mijlocul de a mări capacitatea unui conductor, sau a unui sistem de conductori, fără să exagerăm, totodată, dimensiunile geometrice.

Dar, înainte de a descrie metoda folosită și pentru o cât mai clară înțelegere a noțiunii de *capacitate electrostatică*, trebuie să observăm că, din însăși relația de definiție (218.1) rezultă că :

Capacitatea ne arată câte unități de sarcină electrică sînt necesare, pentru ca potențialul unui conductor să crească cu o unitate.

*Valoarea numerică a capacității ne arată câte unități de sarcină electrică sînt necesare, pentru ca potențialul unui conductor dat să crească cu o unitate.*

§ 219. **Condensatori.** Cu un electroscope, legat așa cum arată fig. 101, ne putem convinge ușor că potențialul unui conductor electrizat, măsurat prin divergența foilțelor, scade cînd îl apropiem de pămînt sau de alt conductor, legat cu pămîntul, pe care-l considerăm ca zero de referință.

Concluzia directă e că lucrul mecanic, implicat în transportul unității de sarcină electrică, între conductor și pămînt, devine mai mic.

Dar această schimbare de poziție nu are cum să modifice sarcina inițială  $Q$  a conductorului și atunci, dacă ne gîndim la relația de definiție

$$C = \frac{Q}{V} \quad (219.1)$$

ajungem imediat la concluzia că *scăderea de potențial observată implică o creștere corespunzătoare a capacității*.

Apropierea unui conductor de altul, ales ca zero de referință, micșorează potențialul și mărește capacitatea.

Aceeași constatare o putem face cînd măsurăm diferența de potențial nu numai decît în raport cu pămîntul, dar și cu orice alt

conductor, de care ne apropiem treptat, iar fenomenul se numește „*condensare*”.

Aplicarea lui în practică ne permite să construim sisteme a căror capacitate este incomparabil mai mare decât a conductoarelor singuratici de orice formă și pe care le numim *condensatori*.

Aceștia se compun, în principiu, din două *armături*, adică din doi conductori, așezați cât mai aproa-

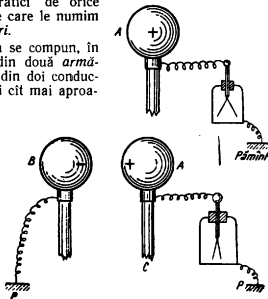


Fig. 101. Efectul condensării.

pe unul de altul, așa fel ca suprafețele de influență reciprocă să fie cât mai mari.

Între aceste armături, vom stabili o diferență de potențial  $U$ , încărcându-le cu electricitate.

De obicei se ia ca zero convențional de referință potențialul uneia din ele, indiferent dacă este constant sau variabil, față de alte sisteme din exterior.

În aceste condiții, diferența de potențial  $U$  reprezintă însuși potențialul armăturii celeilalte, așa că o putem nota cu  $V$ .

Nimic nu ne împiedică de altfel ca, prin legarea la pământ, să fixăm potențialul armăturii de referință și să luăm astfel ca zero convențional potențialul pământului.

Dintre numeroasele variante posibile, vom considera numai cele trei forme simple, reprezentate în fig. 102.

Varianța *a* reprezintă *condensatorul plan*. În *b* avem *condensatorul sferic*, la care armăturile sînt sfere concentrice, iar în *c* am reprezentat *condensatorul cilindric*.

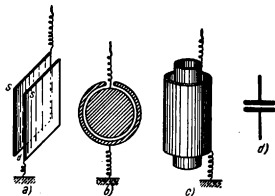


Fig. 102. Diverse forme de condensatori.

Orice formă ar avea un condensator, îl putem figura schematic și convențional așa cum se arată în fig. 102, *d*.

1. *Condensatorul plan*. Distanța între armături o vom nota cu  $d$ , suprafața de influență a fiecăreia din ele cu  $S$ , iar densitățile electrice respective, după încărcare, cu  $\pm\sigma$ .

Dacă distanța e destul de mică, putem considera cele două suprafețe plane ca practic infinite și cîmpul între dînsese ca uniform.

În aceste condiții și în valoare absolută, cîmpul are intensitatea

$$E = \frac{1}{\epsilon} \cdot 4\pi\sigma \quad (205.3)$$

și dacă ținem seamă că

$$V = E \cdot d \quad \text{și că} \quad Q = \sigma \cdot S \quad (214.1)$$

relația de definiție a capacității

$$C = \frac{Q}{V} \quad (218.1)$$

ne dă imediat

$$C = \epsilon \frac{S}{4\pi d}. \quad (219.1)$$

Capacitatea unui condensator plan este proporțională cu suprafața uneia din armături și invers proporțională cu distanța lor.

*Capacitatea unui condensator plan este, așadar, direct proporțională cu suprafața fiecăreia din armături și invers proporțională cu distanța lor.*

**2. Condensatorul sferic.** Vom nota razele celor două sfere concentrice cu  $R_1$  și  $R_2$  (fig. 103).

Sfera interioară conține sarcina  $Q$  și deci, după teorema lui Gauss, trimite prin suprafața celeilalte fluxul electric

$$\psi = \frac{1}{\epsilon} \cdot 4\pi Q.$$

Potrivit însăși definiției lui, acest flux va fi egal cu produsul dintre intensitatea cîmpului electric și suprafața străbătută normal de liniile de forță.

Prin urmare

$$\frac{1}{\epsilon} \cdot 4\pi Q = 4\pi R_1^2 E.$$

Iar dacă diferența razelor este destul de mică, în comparație cu ele înșile, vom putea scrie cu aproximație că

$$Q = \epsilon \cdot R_1 R_2 E.$$

De altă parte, cîmpul fiind uniform, pe distanța mică  $d = R_1 - R_2$ , diferența de potențial, între cele două suprafețe sferice, va fi

$$V = E(R_1 - R_2)$$

și atunci relația de definiție (218.1) ne dă capacitatea

$$C = \epsilon \frac{R_1 R_2}{R_1 - R_2}. \quad (219.2)$$

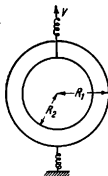


Fig. 103. Condensatorul sferic.

Capacitatea condensatorului sferic este proporțională cu produsul și invers proporțională cu diferența razelor.

*Așadar capacitatea condensatorului sferic este direct proporțională cu produsul și invers proporțională cu diferența razelor.*

3. *Condensatorul cilindric.* Vom considera, între cei doi cilindri, a căror lungime o notăm cu  $l$ , un al treilea cilindru fictiv, de rază  $r$  (fig. 104).

Suprafața lui va fi

$$S = 2\pi r \cdot l,$$

iar cilindrul interior electrizat va trimite prin ea fluxul electric

$$\psi = S \cdot E = 2\pi r \cdot l \cdot E.$$

Și acum, dacă exprimăm câmpul  $E$  prin gradientul potențialului, cu semn schimbat, avem, prin egalarea fluxului cu valoarea lui, dată de teorema lui Gauss,

$$-2\pi r \cdot l \frac{dV}{dr} = \frac{1}{\epsilon} \cdot 4\pi Q.$$

După separarea variabilelor, integrarea între razele  $R_1$  și  $R_2$  ne dă

$$\int_V^0 dV = \frac{2 \cdot Q}{\epsilon \cdot l} \int_{R_1}^{R_2} \frac{dr}{r}$$

unde am considerat ca zero de referință potențialul armăturii exterioare.

După efectuare, găsim că

$$V = \frac{2 \cdot Q}{\epsilon \cdot l} \cdot \ln \frac{R_1}{R_2}$$

și avem astfel diferența de potențial exprimată în funcție de sarcina  $Q$  a unei armături.

Cu ajutorul ei, relația de definiție (218.1) ne dă capacitatea condensatorului. Ea este

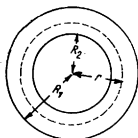


Fig. 104. Pentru calculul capacității unui condensator cilindric.

$$C = \frac{\epsilon l}{2 \cdot \ln(R_1/R_2)} \quad (219.3)$$

Capacitatea condensatorului cilindric este direct proporțională cu lungimea și invers proporțională cu dublul logaritmului raportului razelor.

Relațiile (219.1, 2 și 3) ne arată că, în expresia capacității, permitivitatea dielectricului ce separă armăturile intervine ca factor.

Raportul între capacitatea unui condensator cu un dielectric oarecare și capacitatea în vid are valoarea numerică a permitivității dielectricului.

*Prin urmare capacitatea unui condensator cilindric este direct proporțională cu lungimea lui și invers proporțională cu dublul logaritmului raportului razelor.*

*Aceasta înseamnă că, dacă măsurăm capacitatea unui condensator cu un dielectric oarecare și apoi capacitatea lui în vid, raportul datelor are valoarea numerică a permitivității aceluia dielectric.*

Metoda a fost întrebuințată, pentru prima dată, de *Faraday*, care a numit această valoare numerică *putere inductoare specifică*. Din punct de vedere fizic, ea nu trebuie să fie confundată cu permitivitatea însăși, fiindcă reprezintă un simplu număr abstract.

Demonstrarea experimentală a schimbării de capacitate, prin introducerea diferiților dielecrici, se poate face, între altele, cu dispozitivul reprezentat în fig. 105 și cunoscut sub numele de *condensatorul lui Aepinus*.

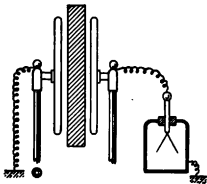


Fig. 105. Condensatorul lui Aepinus.

Una din cele două armături plane se leagă la vengeaua unui electroscope și se încarcă cu electricitate.

Cutia metalică a electroscopului, ca și cealaltă armătură sînt legate la pămînt.

Divergența foitelor scade cînd, în locul stratului de aer, introducem între armături un alt izolant, iar, sub grosime egală, o placă de sticlă produce o scădere mai mare decît una de ebonită sau de parafină, fiindcă și permitivitatea e mai mare.

Cu același dispozitiv putem arăta și efectul apropierei reciproce a armăturilor, care de asemenea micșorează diferența de potențial.

4. *Realizarea practică a condensatorilor.* Cea mai veche formă de condensator este *butelia de Leyda*, reprezentată în fig. 106. Armăturile sînt foițe metalice, de aluminiu sau de cositor, lipite pe fețele interioare și exterioare, iar peretele de sticlă formează dielectricul.

Un astfel de condensator, de mărimea unei sticle de un litru, are capacitatea electrostatică destul de mică: de ordinul a 700—800 centimetri.

O experiență interesantă se poate face cu o butelie de Leyda demontabilă:

O încărcăm întâi, o desfacem și descărcăm armăturile, punîndu-le în contact, apoi o refacem și constatăm că a rămas mai departe încărcată.

Faptul se datorește polarizării dielectricului și fenomenelor de remanență, care determină apariția, prin influență, a unor noi sarcini pe armături.

Capacități mai mari se pot realiza cu mai multe plăci metalice, separate printr-un dielectric și legate între ele așa cum arată fig. 107, cele pare deoparte și cele impare de altă parte.

Este ușor de văzut că, la condensatorul figurat, suprafața utilă este de șase ori mai mare decît a fiecărei perechi de plăci, în parte.

De asemenea putem realiza o creștere de capacitate, prin reducerea grosimii straturilor de dielectric. Această grosime are totuși, un minimum, impus de condițiile de funcționare. Ea trebuie dimensionată așa fel ca să împiedice trecera scintei electrice.

De aceea e mai lesne să construim condensatori de capacitate mare, pentru diferențe de potențial mici, decît pentru acelea de ordinul miilor de volți, întîlnite curent în electrotehnică.

Dacă trebuie să aplicăm, între armături, diferențe de potențial alter-native, inversările cîmpului ar putea să dea naștere la pierderi prin histeresis, urmate de încălziri și chiar de spargerea izolanțului.

În cazurile acestea, vom evita dielectricii la cari se observă fenomene de remanență. Aerul, sub presiunea normală sau mărită, uleiurile minerale purificate și parafina sînt cele mai avantajoase, alături de unele rășini sintetice, fără dipoli permanenți.

Figura 108 reprezintă, întreg și desfăcut, unul din tipurile cele mai curen-te de condensatori.

El realizează capacitatea de  $2\mu F$  și poate fi încărcat sub 500—1 000 V. Armăturile sînt formate din benzi de cositor sau de aluminiu, separate prin hîrtie parafinată și răsucite una pe alta.

Ar trebui ca un conductor sîcric să aibă diametrul de 36 km, ca să atingă această capacitate.



Fig. 106. Butelie de Leyda.



Fig. 107. Schema unui condensator plan cu mai multe plăci.

De asemenea sînt bine cunoscuți condensatorii variabili, folosiți obișnuit în aparatele de radio.

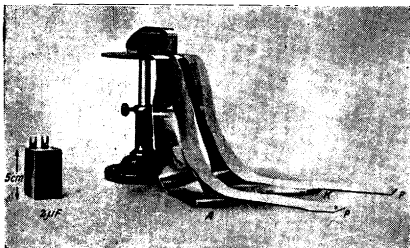


Fig. 108. Condensator de doi microfarazi, întreg și desfăcut (după Pohl).

Construcția lor este arătată în fig. 109, care face inutilă o descriere mai amănunțită, iar capacitatea lor este de ordinul sutelor de centimetri.

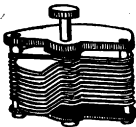


Fig. 109. Condensator variabil.

**5. Gruparea condensatorilor.** În diferitele aplicații practice ajungem adesea în situația de a grupa împreună mai mulți condensatori.

Obținem astfel o capacitate globală, a cărei valoare depinde de felul grupării și de capacitățile parțiale.

Ea reprezintă ceea ce numim *capacitatea echivalentă* a sistemului, înțelegînd prin această denumire capacitatea unui condensator unic, în stare să-l înlocuiască.

În cele ce urmează, ne vom referi la două cazuri tipice.



1) Să presupunem că ară legat împreună, prin fire conductoare, armăturile mai multor condensatori, așa cum arată fig. 110.

La fiecare din ei, diferența de potențial între armături fiind aceeași, vom avea, prin însăși definiția capacității

$$Q_1 = C_1 V$$

$$Q_2 = C_2 V$$

$$Q_3 = C_3 V$$

$$\dots$$

$$\dots$$

Aceste relații, adunate împreună, ne dau imediat

$$Q_1 + Q_2 + Q_3 + \dots = (C_1 + C_2 + C_3 + \dots) V$$

Și fiindcă, în general,

$$Q = CV$$

rezultă că

$$C = C_1 + C_2 + C_3 + \dots \quad (219.4)$$

La gruparea în suprafață, capacitatea echivalentă este suma celor parțiale.

Această grupare se numește *în paralel* sau *în suprafață*, iar capacitatea echivalentă este egală cu suma capacităților parțiale.

2) În altă variantă, vom presupune că am legat condensatorii așa cum arată fig. 111, iar între extremități am aplicat diferența de potențial  $V$ , față de unul din capete, luat ca sistem de referință.

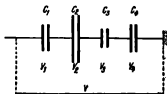


Fig. 111. Condensatori montați în serie.

În această situație, dacă prima armătură este încărcată cu cantitatea de electricitate  $+Q$ , următoarea primește, prin inducție, sarcina  $-Q$ , apoi iarăși  $+Q$  și așa mai departe.

Toate armăturile conțin deci sarcini egale, în valoare absolută.

De astă dată, spre deosebire de gruparea în suprafață, diferențele de potențial nu mai sînt aceleași, ci vom avea

$$V_1 + V_2 + V_3 + \dots = V$$

sau, ceea ce e tot una,

$$\frac{Q}{C_1} + \frac{Q}{C_2} + \frac{Q}{C_3} + \dots = \frac{Q}{C}$$

și rezultă astfel că

$$\boxed{\frac{1}{C} = \frac{1}{C_1} + \frac{1}{C_2} + \frac{1}{C_3} + \dots} \quad (219.5)$$

La gruparea în serie, inversa capacității echivalente este egală cu suma inverselor capacităților parțiale.

Această grupare se numește *în serie* și relația de față ne arată că *inversa capacității echivalente este egală cu suma inverselor capacită-*

*ților parțiale și că reprezintă o capacitate mai mică decît oricare din ele.*

Între armăturile fiecăruia din condensatori, diferența de potențial este mai mică decît aceea totală  $V$ . De aceea gruparea în serie se folosește mai ales în cazul diferențelor de potențial mari, la care fiecare condensator, în parte, nu ar putea să reziste. Nu trebuie să pierdem însă din vedere că, pentru fiecare condensator, astfel grupat,

$$V_n = \frac{Q}{C_n}$$

și că toți condensatorii conțin aceeași sarcină  $Q$ .

În ansamblul sistemului, capacitatea cea mai mică suportă deci diferența de potențial cea mai mare, iar condensatorul respectiv este cel mai expus la spargere, din tot lanțul.

În cazul particular cînd capacitățile grupate în serie sînt egale, se vede ușor de ce capacitatea echivalentă rezultă din împărțirea uneia din ele prin numărul condensatorilor grupați.

3) Pe lîngă cele două grupări tipice descrise, putem realiza și grupări *mixte*, în care o parte din condensatori sînt legați în serie, iar alții în paralel.

Calculul capacității echivalente folosește atunci simultan ambele formule, arătate mai sus.

§ 220. **Energia unui condensator încărcat.** Să presupunem că una din armăturile unui condensator are potențialul  $V$ , față de cealaltă, considerată ca zero de referință.

Ca să ducem, de pe una pe alta, o sarcină electrică  $Q$ , împotriva forțelor câmpului, va trebui să efectuăm lucrul mecanic

$$A = VQ \quad (214.2)$$

pe care sistemul îl înmagazinează ca energie potențială  $W$  și-l restituie când aceleași forțe readuc înapoi sarcina electrică transportată.

Această relație nu poate fi aplicată însă, decât cu condiția ca potențialul  $V$  să nu sufere nici o schimbare, în urma transportului, ceea ce nu se întâmplă în realitate, fiindcă

$$V = \frac{Q}{C}. \quad (218.1)$$

Ca să înlăturăm dificultatea, vom presupune că transportăm numai o sarcină infinitesimală  $dQ$ , așa de mică încât potențialul să poată fi considerat constant.

În aceste condiții, variația respectivă de energie va fi  $dW$  și relația (214.2) de mai sus devine

$$dW = V \cdot dQ$$

sau

$$dW = \frac{Q}{C} dQ.$$

De aici obținem prin integrare, între limitele  $Q_1$  și  $Q_2$ ,

$$W = \frac{1}{C} \int_{Q_1}^{Q_2} Q \cdot dQ,$$

sau

$$\boxed{W = \frac{1}{2C} (Q_2^2 - Q_1^2)} \quad (220.1)$$

Aceasta reprezintă energia implicată, când sarcina electrică variază între limitele date.

Pentru întreaga sarcină  $Q$ , ea devine

$$W = \frac{Q^2}{2C}.$$

Iar dacă ținem seamă de (218.1), relația de față se mai poate scrie și sub forma

$$\boxed{W = \frac{1}{2} C \cdot V^2} \quad (220.2)$$

Energia unui condensator încărcat se exprimă prin jumătatea produsului dintre capacitate și pătratul diferenței de potențial.

*Prin urmare, energia înmagazinată la încărcarea unui condensator, sau liberată la descărcarea lui, se exprimă prin jumătatea produsului dintre capacitate și pătratul diferenței de potențial maxime, între armături.*

Din punctul de vedere al energiei, obținem deci mai mult prin variația potențialului, decât prin variația capacității.

Dacă nu există pierderi prin histeresis, care să ducă la împrăștiere de căldură, concepțiile cunoscute, asupra mecanismului de transmitere a interacțiunilor electrice, prin mediul separator, ne permit să admitem că energia condensatorului se localizează în dielectric.

Să considerăm deci cazul simplu al unui condensator plan. Capacitatea lui este

$$C = \epsilon \frac{S}{4\pi d}. \quad (219.1)$$

Iar dacă înmulțim și împărțim cu  $d$ , avem

$$C = \epsilon \frac{S \cdot d}{4\pi d^2} \quad \text{sau} \quad C = \epsilon \frac{v}{4\pi d^2}$$

unde  $v$  reprezintă volumul dielectricului, cuprins între armături.

Relația (220.2) ne dă atunci

$$W = \frac{\epsilon}{8\pi} \cdot \frac{v^2}{d^2} \cdot v.$$

Dacă plăcile condensatorului sînt destul de mari și destul de apropiate una de alta, cîmpul electric între dinsele poate fi considerat ca uniform și raportul  $V/d$  reprezintă intensitatea lui. Vom putea scrie deci că

$$\boxed{\frac{W}{v} = \frac{\epsilon}{8\pi} \cdot E^2} \quad (220.3)$$

În această relație finală, cantitatea din membrul întîi, reprezentată prin raportul dintre energia totală, înmagazinată în dielectric și volumul lui, exprimă așa numita *densitate cubică de energie*.

Densitatea cubică de energie în dielectric este proporțională cu permitivitatea și cu pătratul intensității cîmpului electric.

*Ea ne arată că fiecare unitate de volum din dielectric are o energie potențială direct proporțională cu permitivitatea lui și cu pătratul intensității cîmpului.*

*Exemple numerice.* 1) Să se exprime în centimetri și în farazi capacitatea unui condensator, la care diferența de potențial între armături variază cu 600 u.e.s., cînd sarcina variază cu  $9 \cdot 10^9$  u.e.s.

Relația (218.1) ne dă, în u.e.s.,

$$C = \frac{Q}{U} = \frac{9 \cdot 10^9}{600} = 1,5 \cdot 10^7 \text{ cm.}$$

ceea ce face, în microfarazi,

$$C = \frac{1,5 \cdot 10^7}{9 \cdot 10^{11}} \approx 17 \mu\text{F.}$$

2) Un condensator este format din două fîșii metalice, late de 4 cm și lungi de 10 m, separate prin hîrtie parafinată cu constanta dielectrică de două ori mai mare decît a vidului. Să i se calculeze capacitatea, cînd grosimea izolatorului este de 0,05 mm.

Relația

$$C = \frac{\epsilon S}{4\pi d} \quad (219.1)$$

în care

$$S = 4 \cdot 1000 = 4000 \text{ cm}^2$$

și

$$d = 0,005 \text{ cm}$$

ne dă

$$C = \frac{2 \cdot 4000}{4\pi \cdot 0,005} \approx 127000 \text{ cm.}$$

$$= 127/9 \cdot 10^2 = 0,14 \text{ } \mu\text{F.}$$

Dacă am fi recurs la unitățile MKSA, trebuia să ținem seamă că permittivitatea vidului are valoarea numerică  $\epsilon_0 = \frac{1}{9 \cdot 10^9}$ , așa că, în dielectricul ales,  $\epsilon = \frac{2}{9 \cdot 10^9}$ .

În aceste condiții

$$C = \frac{2}{9 \cdot 10^9} \cdot \frac{S}{4\pi d} = 1,4 \cdot 10^{-7} \text{ F.}$$

3) Suprafața utilă a fiecăreia din plăcile unei condensator plan este de 0,5 m<sup>2</sup>, distanța lor este de 12 mm, iar dielectricul aer, de permittivitate practic egală cu a vidului.

Să se calculeze energia înmagazinată sub diferența de potențial de 20000 V.

Energia înmagazinată este

$$W = \frac{1}{2} C \cdot U^2 \quad (220.2)$$

iar capacitatea rezultă din relația

$$C = \epsilon_0 \cdot \frac{S}{4\pi d}. \quad (219.1)$$

Vom avea deci

$$W = \frac{\epsilon_0 S \cdot U^2}{8\pi d}.$$

Iar prin înlocuirea datelor numerice găsim că

$$W = \frac{1 \cdot 0,5 \cdot (20000)^2}{9 \cdot 10^9 \cdot 8 \cdot 12 \cdot 10^{-3} \cdot \pi} \approx 0,0737 \text{ J.}$$

4) După încărcarea condensatorului de mai sus, apropiem plăcile pînă la 6 mm. Sarcina electrică rămânînd aceeași, cu cît variază diferența de potențial și energia înmagazinată?

Între situația inițială și cea finală vom avea

$$Q = C_1 U_1 = C_2 U_2.$$

De altă parte

$$\frac{C_1}{C_2} = \frac{d_2}{d_1}$$

și aceste două relații ne dau

$$U_2 = U_1 \frac{d_2}{d_1}.$$

Iar prin înlocuirea datelor numerice găsim că

$$U_2 = \frac{6}{12} \cdot 20\,000 = 10\,000 \text{ V.}$$

Ca să calculăm variația energiei, observăm că

$$\frac{W_1}{W_2} = \frac{C_1 U_1^2}{C_2 U_2^2} = \frac{d_1}{d_2}$$

și rezultă că

$$W_2 = W_1 \cdot \frac{d_2}{d_1} = \frac{6}{12} \cdot 0,0736 = 0,0368 \text{ J.}$$

Energia scade deci în raportul apropiării plăcilor.

5) Se leagă în serie un condensator de  $2\,\mu\text{F}$  cu alți doi de câte  $6\,\mu\text{F}$  și se aplică la capete diferența de potențial de  $3\,000 \text{ V}$ .

Să se calculeze capacitatea echivalentă a sistemului și diferența de potențial între armăturile condensatorului celui mai mic.

Relația

$$\frac{1}{C} = \frac{1}{C_1} + \frac{1}{C_2} + \frac{1}{C_3} \quad (219.5)$$

ne dă, prin înlocuirea datelor numerice,

$$C \cong 1,2 \,\mu\text{F.}$$

De altă parte, știind că toți condensatorii conțin sarcini electrice egale, rezultă că

$$Q = C \cdot U = C_2 U_2.$$

Prin urmare

$$U_2 = \frac{1,2}{2} \cdot 3\,000 = 1\,800 \text{ V}$$

pe cînd ceilalți doi condensatori suportă numai câte  $600 \text{ V}$ .

## CAPITOLUL XXVI

### ELECTROMETRE

§ 221. **Principiul și funcționarea.** Electrometrele sînt aparate cu care măsurăm diferențele de potențial, între două puncte ale unui conductor, prin care trece un curent electric, sau între doi conductori diferiți, în echilibru electric.

Caracteristica distinctivă a electrometrelor, de orice specie, constă în aceea că permit efectuarea măsurărilor numai pe baza legilor electrostaticii, deci fără ca ele înșile să fie parcurse de un curent electric.

Tipul cel mai simplu de electrometru este electroscopul, pe care l-am descris la timpul lui și de care ne-am folosit în multiple ocazii, numai că trebuie să-l gradăm în volți.

Gradarea se face cu ajutorul unei *curbe de etalonare*, pe care o trasăm după ce înregistrăm în abscisă cît mai multe diferențe de potențial cunoscute, aplicate între vergea și cutia metalică a electroscopului, iar pe ordonată divergențele corespunzătoare ale foițelor.

Electroscopurile primitive, introduse într-un simplu flacon de sticlă, nu pot fi întrebuințate ca electrometre, fiindcă divergențele observate sînt influențate de prezența conductorilor sau a sarcinilor electrice din apropiere.

Dacă foițele sînt destul de subțiri și facem citirea divergenței lor sub microscop, sensibilitatea poate să atingă cîteva zecimi de volt.

Electroscopul are avantajul unei capacități electrostatice proprii destul de mici, așa că, prin introducerea lui, nu se modifică sensibil potențialul electrostatic de măsurat.

Există încă numeroase alte tipuri de electrometre, din care vom descrie numai două :

1. *Electrometrul absolut, plan.* Acest aparat permite determinarea unei diferențe de potențial, fără prealabilă etalonare, numai cu ajutorul forței de interacțiune, între plăcile unui condensator plan.

Schematic, el este construit așa cum arată figura 112.

Una din plăcile condensatorului, de formă circulară *A*, este izolată și legată la potențialul de măsurat, *V*.



Cealaltă placă  $B$  este fixată de brațul unei balanțe și legată la pământ.

Ea e introdusă concentric într-un inel  $I$ , la același potențial ca și dinsa. Rostul acestui *inel de gardă* este să asigure unifor-

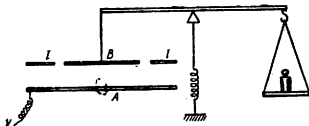


Fig. 112. Principiul electrometrului absolut, plan.

mitatea câmpului, între  $A$  și  $B$ , împiedicând o eventuală împrăștiere a liniilor de forță (fig. 113).

Prin felul cum s-au făcut legăturile conductoare, potențialul de măsurat are, ca zero relativ, de referință, potențialul pământului.

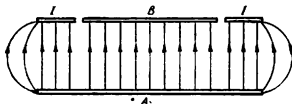


Fig. 113. Inelul de gardă.

Dață densitatea electrică superficială, pe una din plăci este  $\sigma$ , câmpul pe care-l produce va fi, în u.e.s., luind  $\epsilon = 1$ , în aer,

$$E = 2\pi\sigma. \quad (205.2)$$

Rezultă că cealaltă placă, încărcată cu sarcina  $\sigma S$ , va fi atrasă cu forța

$$F = 2\pi\sigma^2 S.$$

Dacă sistemul celor două plăci are capacitatea  $C$  și dacă placa izolată are potențialul  $V$ , față de pământ, se vede imediat că

$$\sigma = \frac{Q}{S} = \frac{CV}{S}.$$

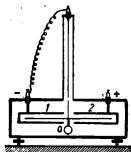
Aceste plăci formează un condensator, a cărui capacitate, în aer, este

$$C = \frac{S}{4\pi d}.$$

Iar dacă facem înlocuirile convenite, în expresia forței, ajungem la relația finală

$$V = \sqrt{\frac{8\pi d^2 F}{S}}. \quad (221.1)$$

Forța de atracție se măsoară echilibrând balanța, iar dimensiunile geometrice se măsoară direct și astfel putem calcula potențialul plăcii mobile, față de pământ.



2. *Electrometrul cu cadrane.* Acesta se compune din patru sectoare circulare metalice, dispuse așa cum arată fig. 114. Ele înconjură și acopăr un „ac”, făcut din tablă subțire de aluminiu și reprezentat punctat.

În ordinea numerică, sectorul 1 este legat electric de sectorul 3, iar sectorul 2 de sectorul 4.

Între aceste două perechi de cadrane se aplică diferența de potențial de măsurat.

Acul este suspendat cu un fir conductibil, cât mai subțire și legat electric la una din perechile de sectoare.

Mai există și alte posibilități de montare, asupra cărora nu e cazul să insistăm aici.

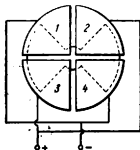


Fig. 114. Electrometrul cu cadrane.

Calculul și experiența ne arată că, sub acțiunea cîmpului electric format, acul se rotește de un unghi  $\alpha$ , proporțional cu diferența de potențial aplicată.

Așadar

$$\alpha = K \cdot V$$

$$(221.2)$$

unde constanta de proporționalitate  $K$  depinde de construcția aparatului și se determină, odată pentru totdeauna, legînd o diferență de potențial cunoscută, între perechile de cadrane.

Spre deosebire de precedentul, acest electrometru nu mai este absolut, fiindcă are nevoie de o prealabilă etalonare, care presupune o comparație cu o diferență de potențial dată.

În schimb, el este mult mai sensibil.

## CAPITOLUL XXVII

### MAȘINI ELECTROSTATICE

§ 222, **Principiul mașinilor cu adițiune.** Să presupunem că luăm cu un conductor izolat, o cantitate de electricitate  $q$ , de la un corp electrizat, de pildă pozitiv și o descărcăm, prin atingerea lui cu peretele interior al unui conductor găunos, de asemenea izolat (fig. 115).

Dacă repetăm de  $n$  ori această operație, potențialul față de pămînt al conductorului, pe care-l încărcăm treptat, devine

$$C = \frac{Q}{c} = \frac{n \cdot q}{c}$$

și crește cu numărul de transporturi efectuate.

El nu poate însă depăși o limită maximă, fiindcă, de la o vreme, din cau-

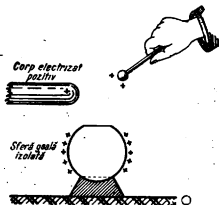


Fig. 115. Principiul mașinilor electrice cu adițiune.

za presiunii electrostatice prea mari, orice sarcină suplimentară se descarcă în aer.

Ca să micșorăm această presiune și să putem atinge sarcini și potențiale cât mai mari, va trebui deci să folosim numai conductori sferici, pe care densitatea electrică superficială este uniformă și, totodată, să le dăm o rază cât mai mare.

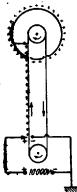
Acesta este principiul de funcționare al tuturor mașinilor electrostatice așa zise *cu adițiune*.

O astfel de mașină are următoarele organe principale :

- 1) Un *producător* de electricitate ;
- 2) Un *transportor*, cu care să o putem duce pe conductorul de încărcat ;
- 3) Un *colector* care să o primească, preferabil de formă sferică și de rază cât mai mare.

Dintre numeroasele mașini, ce ar putea să funcționeze pe acest principiu, vom descrie numai două :

1. *Mașina lui Van-de-Graaf*. Transportorul este o cureauă izolantă, de mătase, de cauciuc sau de hîrtie impregnată cu un lac special. Ea se mișcă pe două tambure, purtate de un motor electric (fig. 116).



La partea inferioară, această cureauă trece între o placă metalică și un vîrf ascuțit, între care stabilim o diferență de potențial, destul de mare ca să producă efluvii. Ea se încarcă astfel cu electricitate de semnul aceleia din vîrfurile ascuțite.

Partea superioară este introdusă, printr-o deschidere potrivită, într-o sferă metalică, de rază cât mai mare, unde alt vîrf ascuțit captează sarcinile aduse și le transmite spre exteriorul sferei.

În același timp, un alt dispozitiv identic încarcă o a doua sferă cu electricitate de semn contrar.

Diferența de potențial între ele crește treptat, prin acumulare și, cînd atinge anumită valoare limită, se produc scînteii electrice.

La mașinile de dimensiuni mari, cele două sfere au cîțiva metri, în diametru și sînt fixate pe coloane izo-lante, de 10—15 metri înălțime.

Fig. 116. Schema mașinii de adițiune tip Van-de-Graaf.

Cu ele se pot realiza diferențe de potențial de ordinul a zece milioane de volți.

Figura 117 reprezintă fotografia unei astfel de mașini.

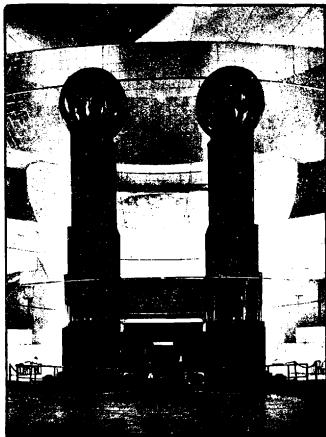


Fig. 117. Mașină Van-de-Graaf pentru zece milioane de volți.

Producerea diferențelor de potențial foarte mari este acum necesară în cercetările moderne asupra structurii și transmutațiilor atomice.

În timpul experiențelor, operatorul se poate instala în una din sfere, împreună cu aparatele necesare. El nu este cîtuși de puțin incomodat, fiindcă acolo cîmpul electric este nul.

Primele mașini de acest fel au fost construite în 1932.

În altă variantă, sfera de încărcat este închisă în alta mai mare, ce o învelește la distanță convenabilă.

Între aceste sfere se introduce fie aer sub presiune, fie, mai bine, gazul *freon* ( $\text{CCl}_2\text{F}$ ). Cu chipul acesta se evită descărcările premature, fiindcă aerul, sub presiunea normală, își pierde, în parte, însușirile izolante, sub acțiunea cîmpurilor electrice prea intense.

2. *Mașina lui Wimshurst*. Cu toate că tipul acesta de mașină este acum învechit (datează din 1883) și adesea capricios în funcționare, îl mai găsim încă în toate laboratoarele de fizică și servește mai ales pentru demonstrații de curs.

El constă din două discuri, de sticlă sau de ebonită, așezate pe o axă comună, pe care o transmisie mecanică le rotește în sens contrar (fig. 118).

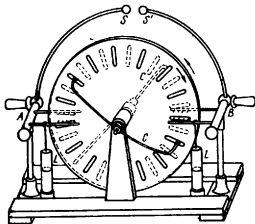


Fig. 118. Mașina electrostatică Wimshurst.

Aceste discuri au, pe suprafețele exterioare, câte o coroană de sectoare metalice, numite „*pistile*”

Două vergele conductoare *C*, dispuse diametral și așezate perpendicular una pe alta, în fața sectoarelor, le freacă cu niște periute, tot metalice și le încarcă cu electricitate.

În dreptul diametrului orizontal, se află doi conductori izolați, *A* și *B*, care îmbracă discurile, fără să le atingă și joacă rolul de colectori. Ei sînt prevăzuți cu virfuri ascuțite (sau piepteni) și comunică cu două sfere, care formează *polii* mașinii.

Printr-un fenomen destul de complex, de electrizare prin frecare și prin influență, al cărui mecanism nu-l cunoaștem încă amănunțit, sectoarele metalice ajung în fața colectoarelor încărcate, deoparte pozitiv, de altă parte negativ.

Virfurile ascuțite iau aceste sarcini electrice și procesul de adițiune face ca diferența de potențial dintre poli să crească treptat, pînă apare scînteia electrică.

Pentru a mări capacitatea sistemului și cantitatea de electricitate acumulată, se mai leagă, între colectori, armăturile interioare ale unor butelii de Leyda, ale căror armături exterioare sînt puse la pămînt.

Scînteile devin atunci mai luminoase și mai zgomotoase, fiindcă transportă cantități mai mari de electricitate.

O mașină Wimshurst, cu două discuri de 50—60 cm diametru, poate să producă diferențe de potențial de ordinul zecilor de mii de volți.

Se construiesc și mașini cu mai multe discuri, unde cantitatea de electricitate transportată este mai mare.

Scînteile electrice produse nu sînt decît niște transporturi de electricitate, adică aceea ce numim *curenți electrice*.

Ca să deosebim aceste descărcări de transporturile prin conductori, le vom numi *disruptive*, fiindcă sparg pătura izolantă și o fac să devină conductoare.

Diferența de potențial, sub care iau naștere, depinde de forma și de numărimea conductoarelor, de distanța lor și de natura izolantului separator.

Ea definește așa numitul *potențial exploziv*.

La diferite distanțe și între două sfere de 5 cm diametru, găsim experimental următoarele potențiale explozive, în aer, la presiunea normală:

1 cm	. . . . .	32 000 V		4 cm	. . . . .	93 500 V
2 cm	. . . . .	58 600 „		5 cm	. . . . .	106 000 „
3 cm	. . . . .	80 000 „		10 cm	. . . . .	142 000 „

Cu ajutorul unei curbe, trasate cu aceste date, putem determina diferențele mai mari de potențial, din simpla măsurare a distanței explozive. Metoda e folosită curent în electrotehnică.

În aer, la distanță mică, scînteia electrică este rectilie, dar la distanțe mai mari începe să capete forma șerpuită și ramificată din fig. 119.

Ramificațiile se îndreaptă, în genere, de la conductorul pozitiv, spre cel negativ.

Apariția scînteii este precedată de *eșuvii* sau de *efectul corona*, descris în (§ 207).

Aspectul efluviilor depinde de semnul sarcinii conductorului. Figura 120 reproduce fotografia lor, pentru ambele semne: Conductorul a fost aici așezat chiar pe placa fotografică <sup>1)</sup>.

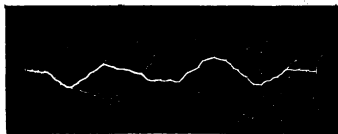


Fig. 119. Scinteia se ramifică spre polul negativ.

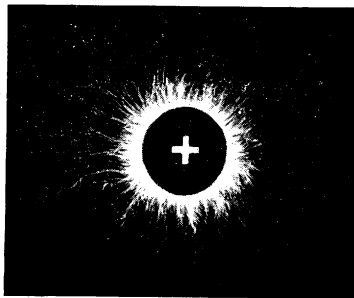


Fig. 120, a. Efluvii în jurul unui conductor încărcat pozitiv.

<sup>1)</sup> Aceste clișee ne-au fost puse la dispoziție de prof. Th. V. Ionescu, de la Universitatea din București.



Sub presiune redusă, descărcarea electrică prin gaze capătă un aspect cu totul diferit de aceea ce se produce sub presiunea normală.

Cînd această presiune nu e peste măsură de scăzută, întreaga coloană de gaz devine luminoasă, iar culoarea luminii depinde de natura gazului, precum și de condițiile descărcării.

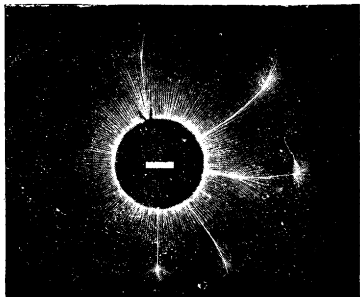


Fig. 120, b. Efluvii în jurul unui conductor încărcat negativ.

Un exemplu bine cunoscut îl avem la firmele cu tuburi de *neon*, unde lumina este roșie.

Pentru demonstrații la curs ne mai servim și de așa numitele *tuburi Geissler*, arătate în fig. 121.

Mecanismul acestor descărcări în gaze rare se vom cerceta mai târziu.

Descărcarea electrică, sub orice formă, implică existența unei diferențe de potențial și, odată cu transportul de electricitate, liberează energie, sub forma luminoasă, calorică, mecanică etc.

Cînd ea trece prin corpul animalelor, dă naștere la contracții musculare, la comotii și, uneori, la accidente mortale.

Un exemplu tipic de transformare directă a energiei electrice în energie mecanică, fie cinetică, fie potențială, ni-l dau înseși fenomenele de atracție ale corpurilor, sub acțiunea forțelor electrice.

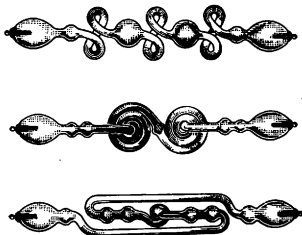


Fig. 121. Tuburi Geissler.

Un alt exemplu, deosebit de interesant, îl găsim la mașinile electrostatice, a căror funcționare devine reversibilă, în anumite condiții prielnice :

O mașină Wimshurst mai mare, pe care o descărcăm prin alta mai mică, legând între dinșii polii respectivi, o pune în mișcare, ca și cum am învîrți-o cu mîna.

## CAPITOLUL XXVIII

### SARCINA ELECTRICĂ ELEMENTARĂ

§ 223. Cercetările lui Millikan. În (§ 81), anticipînd asupra structurii atomilor, am arătat că ei au configurația unor sisteme solare și că, în stare normală, sarcinile negative ale electronilor sateliți compensează exact sarcinile pozitive ale protonilor din nucleu.

De asemenea am văzut că un atom ce a pierdut electroni sateliți devine un ion pozitiv, iar dacă fixează alții, suplimentari, devine un ion negativ.

În aerul atmosferic, asemenea ioni există permanent, în număr de câteva sute, la centimetrul cub. Dar acest număr poate să devină mult mai mare, în anumite condiții particulare, de pildă ca urmare a descărcărilor electrice, prin acțiunea substanțelor radioactive, prin efectul radiației solare, prin frecarea păturilor de aer de obstacole etc.

În fine, am mai văzut că picăturile de apă, ce se formează prin condensarea vaporilor din atmosferă, apar mai ales în jurul ionilor, sau a particulelor fine în suspensie.

Odată formate, aceste picături tind să capteze și alți ioni, pe care agitația termică îi aduce, întâmplător, în contact cu ele.

În 1910, *Millikan*<sup>1)</sup> a izbutit să măsoare direct forțele electrostatice, pe care un câmp electric, de intensitate cunoscută, le exercită asupra ionilor și astfel să determine sarcina lor.

În linii generale, dispozitivul experimental, pe care fig. 122 îl reprezintă schematic și în mărime naturală, este următorul :

Între două plăci metalice, plane și paralele, se aplică o diferență de potențial reglabilă, de ordinul sutelor de volți.

Dacă o notăm cu  $U$  și dacă distanța dintre plăci este  $d$ , intensitatea câmpului, presupus uniform, va fi

$$E = \frac{U}{d}. \quad (214.1)$$

Lateral, spațiul este limitat prin plăci transparente și izo-lante, care împiedică formarea curenților de aer și, din același motiv, tot sistemul este menținut la temperatură uniformă și constantă.

<sup>1)</sup> *Robert Andrew Millikan* (născut în 1868), fizician american, fost profesor la Pasadena, în California. Premiul Nobel (1923)

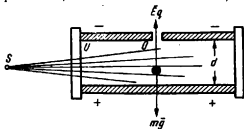


Fig. 122. Schema experienței lui Millikan.

Un vaporizator obișnuit introduce, prin deschiderea  $O$ , picături fine de ulei. Picăturile de apă nu ar fi potrivite, fiindcă se evaporă prea repede și, totodată, strică izolarea electrică.

Aceste picături conțin aproape totdeauna un număr oarecare de ioni și chiar procesul de pulverizare le comunică sarcini electrice.

Dacă ele sînt electrizate pozitiv, acțiunea cîmpului va tinde să le ducă în sensul liniilor de forță; dacă sînt negative, vor fi trase în sensul contrar.

Pentru precizarea situației, să presupunem că sensul cîmpului ar fi cel arătat în figură și că examinăm o picătură, de masă  $m$ , încărcată cu sarcina electrică  $+q$ .

Ea se află sub acțiunea simultană a două forțe direct opuse: una este greutatea proprie  $mg$ , iar cealaltă este forța electrică  $Eq$ . În aceste condiții, dacă potrivim intensitatea cîmpului electric așa fel ca

$$mg = Eq$$

forța electrică echilibrează greutatea și picătura rămîne imobilă.

Raza picăturii se măsoară sub microscop. Cu ajutorul ei putem apoi calcula întîi volumul și apoi masa, fiindcă densitatea uleiului este cunoscută de la început.

După aceea, ecuația de echilibru de mai sus ne dă mărimea sarcinii  $q$ .

Experiența arată că sarcinile diferitelor picături examinate

nu sînt egale, dar se constată că *ele nu pot să aibă orice valoare*, ci corespund întotdeauna multiplilor întregi ai unei *sarcini elementare*, pe care o numim *cuantă de electricitate* și care poate fi pozitivă sau negativă.

**Echilibrind greutatea picăturilor electrizate, cu un cîmp electric opus, constatăm că sarcina lor este un multiplu întreg al unei sarcini elementare.**

Această primă metodă, a *picăturii echilibrate*, nu e încă suficient de precisă, fiindcă determinarea razei sub microscop, mai ales la picăturile foarte mici, nu se poate face destul de exact.

În a doua serie de experiențe, Millikan caută să o determine pe altă cale:

Cîtă vreme încă nu există cîmpul electric, picătura cade, sub acțiunea greutății proprii și atinge o *viteză-limită*, impusă de frecarea cu păturile de aer.

După legea lui Stokes, această viteză este

$$v_c = \frac{2}{9} \cdot \frac{r^2}{\eta} \rho g, \quad (103.2)$$

unde  $\rho$  reprezintă densitatea uleiului și  $\eta$  coeficientul de viscozitate al aerului.

Măsurînd sub microscop această viteză-limită, putem calcula raza și apoi masa picăturii.

Aplicăm apoi cîmpul electric, o echilibrăm și calculăm sarcina  $q$ , din ecuația de echilibru, așa cum am făcut și în cazul precedent.

În fine, în a treia serie de experiențe, Millikan lasă întii picătura să cadă în aer, fără cîmp electric.

Știind că, la vitezele mici, forța de frecare cu mediul gazos variază direct proporțional cu viteza și că mișcarea devine uniformă cînd această forță egalează greutatea proprie, vom avea

$$mg - Kv_c = 0 \quad (I)$$

unde  $K$  este o constantă de proporționalitate.

Aplicăm apoi cîmpul electric și-l orientăm așa ca picătura să pornească în sus, împotriva gravitației.

De astă dată, viteza-limită de urcare, pe care o vom nota cu  $v_u$ , este dictată de relația

$$mg - qE + Kv_u = 0. \quad (II)$$

Relațiile (I) și (II) combinate ne dau atunci

$$\frac{v_u}{v_c} = \frac{qE - mg}{mg}$$

iar raza și masa picăturii le calculăm din relația (103.2).

Toate cantitățile fiind cunoscute, putem astfel calcula valoarea sarcinii  $q$ .

Dacă facem să dureze observația un timp mai îndelungat și mai ales dacă punem în apropiere o substanță radioactivă, sau

dacă trecem prin aparat un fascicul de raze ultraviolete, care măresc ionizarea gazului, picătura poate să capteze ioni suplimentari.

Sarcina ei se modifică și viteza-limită de asemenea.

*Experiența ne arată atunci că variațiile de sarcină nu pot fi continue, ci decurg prin salturi, ce corespund cuantei elementare de electricitate, deșinilă mai înainte.*

Determinările făcute au dus la rezultatul că această cuantă, pe care o notăm obișnuit cu  $e$ , are valoarea

$$e = \pm 4,802 \cdot 10^{-10} \text{ u.e.s. sau}$$

$$e = \pm 1,602 \cdot 10^{-19} \text{ C.}$$

Ea reprezintă, ca valoare absolută, fie sarcina negativă a electronului, fie pe aceea pozitivă a protonului.

Un atom ionizat o va cuprinde de atâtea ori, câți electroni sateliți a pierdut sau captat.

Vom vedea mai târziu cum alte metode, cu totul diferite, ne duc la același rezultat.

## CAPITOLUL XXIX

### ELECTRICITATEA ATMOSFERICĂ

#### A. Noțiuni fundamentale

§ 224. **Gradientul de potențial atmosferic.** Lăsînd la o parte desfășurarea istorică a concepțiilor despre fenomenele electrice din atmosferă, asupra căreia vom da unele indicații mai târziu, ne vom limita, în cele ce urmează, la un foarte scurt rezumat cu caracter informativ, asupra cunoștințelor actuale.

Un simplu electroscope, gradat în volți, a cărui cutie metalică este legată la pămînt și a cărui vergea este în legătură cu un vîrf ascuțit, pe care-l ridicăm la diferite înălțimi, ne permite să

constatăm că, între păturile atmosferice și suprafața pământului, apar diferențe de potențial, ce ne arată existența unui cîmp electric (fig. 123).

Vîrfurile ascuțite constituie o sondă și comunică foiițelor electroscopei potențialul, în raport cu pământul, al punctului în care l-am situat.

Există și alte tipuri de sonde, asupra cărora nu e cazul să insistăm aici.

Se mai constată că, pe timp senin și liniștit, acest potențial crește cam cu 120 V, cînd înălțimea crește cu un metru.

Această creștere, astfel raportată la variația de înălțime, definește, după cum se știe, atât intensitatea cîmpului electric din jurul pământului, cît și gradientul de potențial atmosferic.

**Gradientul mijlociu de potențial atmosferic, în păturile inferioare, este de 120 V/m.**

ne ridicăm pe la 9 000 m, gradientul scade pînă la doi volți pe metru.

În fine, se mai constată că liniile de forță ale cîmpului se orientează de obicei de sus în jos, ceea ce înseamnă că atmosfera este încărcată pozitiv, iar pământul negativ.

Ca să poată fi electrizată, atmosfera trebuie să conțină un număr oarecare de molecule ionizate. Experiența ne arată, în adevăr, că un conductor încărcat se descarcă în aer, oricît de bine l-am izola, ceea ce înseamnă că el atrage și fixează ionii de semn contrar sarcinii proprii, pînă la neutralizare.

Măsurînd pierderea de sarcină a unui conductor de capacitate cunoscută, într-un timp dat, cînd suflăm pe lângă el o can-

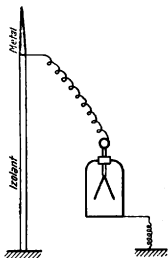


Fig. 123. Determinarea potențialului în atmosferă.

Valoarea numerică citată reprezintă o medie, pentru întreaga suprafață a pământului și se referă numai la păturile inferioare. Dacă

titate cunoscută de aer, putem determina numărul de ioni, cuprinși în unitatea de volum.

Se constată astfel că, la nivelul solului și în condiții normale, fiecare centimetru cub de aer conține 500—600 de ioni.

Dar totodată se mai constată că sînt mai mulți ioni pozitivi decît negativi. Excesul unora, asupra celorlalți, face ca sarcinile pozitive să domine și astfel se explică de ce cîmpul electric, între atmosferă și pămînt, are sensul constatat.

Faptul că gradientul de potențial se micșorează, la înălțimile mai mari, ne arată că acolo excesul ionilor pozitivi, asupra celor negativi, este mai mic.

Ionii atmosferici sînt în continuă prefacere. O parte din ei se recombina și se neutralizează reciproc, iar alții sînt captați de pămînt sau de corpurile electrizate, în timp ce factorii naturali de ionizare : radioactivitatea solului, razele ultraviolete ale Soarelui, furtunile și așa numitele *raze cosmice*, care vin din spațiile interastrale, compensează pierderile și produc alții, în locul lor.

Gradientul de potențial atmosferic nu păstrează neconținut valoarea menționată, ci suferă variații periodice, de la noapte la zi, sau de la iarnă la vară, între limite destul de restrînse.

Dar peste aceste variații mici se suprapun altele accidentale, mai ales pe timp de furtună, cu efecte spectaculoase.

Numărul ionilor, în unitatea de volum, devine atunci incomparabil mai mare, iar gradientul de potențial poate să atingă și chiar să depășească 10 000 V/m.

Pe lîngă fulgere și trăsnete, se mai produc atunci efluvii, în vîrfurile ascuțite și efectul corona, în jurul obstacolelor mai înalte.

Marinarii îl observă adesea, în vîrfurile catargului, iar alpi-niștii în căpătul bastonului cu care se sprijină.

Uneori aceste fenomene luminoase pot fi văzute chiar în jurul capului unei persoane, ce stă pe o înălțime.

Mai menționăm că, în anumite condiții speciale, cîmpul și gradientul de potențial atmosferic se pot inversa, mai ales în regiunile de margină ale zonelor de ploaie sau de ninsoare.



§ 225. **Electrizarea norilor.** Interpretarea electrizării norilor pleacă de la un fenomen cunoscut sub numele de *efectul Lenard*<sup>1)</sup>:

Un obstacol ce pulverizează o vină de apă se electrizează negativ, iar picăturile se încarcă pozitiv.

*Picăturile ce se formează, când o vină de apă lovește un obstacol, se electrizează pozitiv, iar obstacolul se încarcă negativ (fig. 124).*

Dacă aceleași picături le fărâmițăm mai departe, suflând asupra lor un curent de aer, electrizarea pozitivă crește, iar aerul se ionizează negativ.

Se știe că, în cuprinsul unei depresiuni atmosferice, apar curenți verticali, de aer, ascendenți în regiunea centrală și descendenți, în zonele marginale.

În timpul furtunilor de vară, care se întind obișnuit pe suprafețe reduse, violența curenților ascendenți e în stare să mențină în aer chiar picăturile mai mari de apă și boabele de grindină.

Ei fărâmițează aceste picături, le încarcă cu cantități mari de electricitate pozitivă, iar aerul se ionizează negativ.

Ionii formați se ridică spre păturile superioare, unde vor deveni centre de condensare, pentru alte picături.

Consecința este că, în straturile inferioare, norii capătă sarcini pozitive, iar în cele superioare găsim un exces de sarcini negative.

Stratificarea nu se poate menține, din pricina curgerii turbulente, care produce vârtejuri, dar în măsura în care masele de nori nu se amestecă, ci sufăr mișcări de ansamblu, apar diferențe de potențial enorme, atât între dinsele, cât și față de pământ.

Ele sînt acelea care dau naștere la descărcările electrice, caracteristice furtunilor de vară.

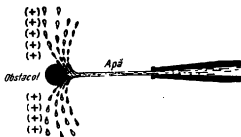


Fig. 124. Efectul Lenard.

<sup>1)</sup> Philip Lenard (1862—1947), fost profesor la universitatea din Heidelberg. Titular al premiului Nobel (1905).

În cuprinsul depresiunilor, de suprafață mare, cu ploaie liniștită și de lungă durată, cum sînt mai ales ploile de toamnă, curenții ascendenți sînt mult mai slabi. Ele nu aduc descărcări electrice, fiindcă nici condensarea nu e destul de rapidă, ca să producă picături mari, nici fragmentarea acestor picături nu merge prea departe.

Toamna și iarna fulgerul este un fenomen foarte rar. Doar pe timp de viscol dacă se mai observă unele descărcări electrice, datorite încărcării fulgilor de zăpadă, prin frecarea cu aerul.

Energia electrică din atmosferă nu este, în fond, decît rezultatul transformării energiei calorice, pe care ne-o trimite Soarele, iar forma intermediară este, de obicei, energia mecanică a curenților de aer.

Randamentul termodinamic al acestei transformări este mult mai mic, în timpul iernii, fiindcă și diferențele de temperatură, între regiunile imediat vecine devin mai mici.

Studiul electrizării norilor se află încă în faza de acumulare a faptelor de observație, care să permită dezvoltarea unei teorii mai ample și mai complete. În situația de față, cunoștințele noastre sînt limitate, iar cercetările experimentale dificile și periculoase.

Dintre multiplele teorii existente, asupra cărora nu e cazul să insistăm, nici una nu e în stare să explice fenomenele, în toată complexitatea lor.

§ 226. **Fulgerul.** Lungimea obișnuită a scînteilor electrice, care străbat norii sub forma de fulger, este de 1—2 kilometri, dar poate să întreacă uneori 10 și chiar 15 kilometri.

Prin comparație cu scînteile pe care le putem produce în laborator, sau din determinarea experimentală a gradientului de potențial care precede un trăsnet, rezultă că diferențele de potențial trebuie să atingă sute de milioane de volți.

Intensitatea curentului pe care-l transportă se poate măsura fie prin efectele termice, fie de la distanță, prin efectele magnetice. Ea este de ordinul a 10 000—20 000 de amperi.

Dacă fotografiem un fulger, cu un aparat fotografic în rotație rapidă, așa ca imaginile să cadă în locuri diferite, pe placa sensibilă, se constată că el se compune din mai multe descărcări consecutive, care se succed la intervale de  $1/100$ — $1/1000$  dintr-o secundă, fiecare de sens contrar precedentei.

Intr-o miime de secundă, puterea debitată de un fulger, sub intensitatea de 20 000 de amperi și diferența de potențial de 250 milioane de volți este de  $5 \cdot 10^9$  kilowați !

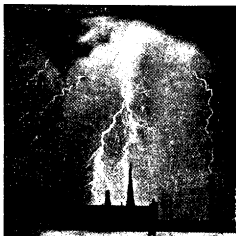
Cînd se va găsi un mijloc practic de folosire, fenomenele electrice din atmosferă vor putea deci să constituie un important izvor de energie.

Se știe că scînteile electrice lungi au tendință să se ramifice, de la polul pozitiv, spre cel negativ. Fotografia unui trăsnet ne poate astfel arăta semnul electrizării norului, față de pămînt.

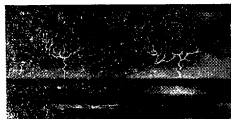
Se constată așa că, de cele mai multe ori, norul este pozitiv, dar se întîlnesc adesea și electrizări inverse (fig. 125, *a* și *b*).

Fulgerul și trăsnetul produc, pe scară incomparabil mai mare, aceleași efecte ca și scînteile electrice obținute în laborator : spargeri, distrugeri, aprinderi, electrocutare, procese chimice etc.

Se pare că bubuitul caracteristic nu se datorește numai încălzirii bruște a păturilor de aer, ci mai ales formării unui compus instabil, între oxigen și azot, a cărui formulă chimică nu se cunoaște. Il numim *substanță fulminantă* și poate fi produs și în laborator, tot cu ajutorul scînteilor electrice, sub forma unor mici granule, care explodează imediat ce se răcesc.



(a)



(b)

Fig. 125. Trăsnete descendente și ascendente.

Una din principalele sinteze naturale, datorite descărcărilor electrice din atmosferă, în prezența vaporilor de apă, este a amoniacului, absolut indispensabil pentru dezvoltarea plantelor.

## B. Scurtă privire istorică asupra electrostaticii

Desfășurarea spectaculoasă a fenomenelor electrice din atmosferă a fost privită cu spaimă și înconjurată de mister, pînă la începutul veacului al XVIII-lea, chiar pentru filosofi și învățați.

Din lipsă de alte cunoștințe, li s-a dat o explicație mistică și astfel fiecare religie sau mitologie are cite un zeu, ce stăpînește fulgerul și-l folosește ca o armă de luptă, sau ca un mijloc de intimidare, împotriva dușmanilor personali.

*Thales din Milet*, care vorbește pentru prima oară despre însușirile curioase ale chihlimbarului frecat, nu a descoperit el însuși fenomenul, ci din relatările unei țesătoare.

Aceasta se petrecea cu 600 de ani înainte de era noastră și opera lui *Thales* a căzut repede în uitare.

În tot cazul, nimeni nu i-a dat atenție, pînă cînd medicul *Gilbert*, în a doua jumătate a veacului al XVI-lea, descoperă că nu e vorba de o însușire particulară a unei anumite substanțe, ci de fapte cu caracter mult mai larg.

El constată că există numeroase corpuri ce atrag obiecte ușoare, cînd sînt frecate și numește fenomenul *electrizare*.

Îl studiază apoi, prin comparație cu magnetizarea și observă că magnetul atrage numai cu capetele, pe cînd corpul electrizat atrage pe toată întinderea lui. De asemenea mai observă că magnetul atrage numai fierul, pe cînd corpul electrizat atrage orice substanță.

Încercările de explicație nu puteau fi decît naive: *Gilbert* își închipuie magnetizarea ca un fel de *efluviu nemateriale*, ce intră printr-un capăt, ies prin celălalt și formează un fel de *vîrtej*, pe cînd la corpul electrizat aceste efluvii sînt *materiale* și au chiar o greutate proprie, iar pentru o mai bună înțelegere, le compară cu mirosul corpurilor.

Dacă metalele nu se electrizează, înseamnă că nu sînt capabile să emită efluvii destul de fine.

Lucrarea lui *Gilbert*, *De magnete*, apărută la Londra în 1600, a deschis în știință capitolul nou al electricității.

*Kepler* și *Galileu* o comentează și o admiră, *Descartes* fundamentează pe concepția efluviiilor și a vîrtejelor o întreagă teorie filosofică, iar *Newton*, care a murit în 1727, a susținut-o cu toată autoritatea lui.

Importanța ei consistă în descoperirea fundamentală a faptelor experimentale. Interpretarea lor nu era decît pură metafizică.

*Otto de Gericke* nu acceptă teoria efluviiilor. El face un pas mare mai departe, în domeniul experimental, dar cercetările lui au rămas multă vreme în umbră, tîntî fiindcă nu le-a publicat decît foarte tîrziu, în 1672, după ce le comunicase doar prin scrisori directe, cum era obiceiul timpului, apoi fiindcă el însuși a pus mai multă greutate pe studiul pompelor de vid și al presiunii atmosferice.

Motivul acestei indifferențe temporare nu e greu de văzut:

*Mecanica* lui *Newton*, apărută în 1687, a concentrat, pentru cîteva decenii, activitatea lumii științifice asupra problemelor de dinamică și de gravitație, lăsînd în umbră orice altă preocupare.

Într-o lungă serie de cercetări (1705—1711), *Hawksbee* observă și studiază unele fenomene luminoase, la corpurile frecate în vid.

El construiește o mașină electrostatică mai mare, cu un cilindru de sticlă, descrie fenomenele de influență, fără să observe încărcările contrarii și mai constată că electrizarea se răspîndește pe suprafața corpurilor.

Din experiențele descrise, rezultă că ar fi observat și deosebirea dintre conductori și izolante, dar nici el nu face vre-o mențiune specială.

După exemplul academiei *dei Lincei* de la Roma, din care făcea parte și *Galileu*, încep să apară, încă din primele decenii ale veacului al XVIII-lea, reviste științifice, în toate țările de cultură.

Înlocuind vechiul sistem al comunicărilor directe, prin scrisori personale, aceste reviste au adus un mijloc de răspîndire largă a ideilor și a rezultatelor cercetării științifice, iar progresele nu au întîrziat să se arate.

Într-o scrisoare, publicată în 1708, medicul *Dr. Wall*, relatînd experiențele făcute cu o bucată mare de chihlimbar, spune, între altele:

„Se pare că scînteia electrică și zgomotul ei ar fi ceva asemănător cu fulgerul și tunetul”.

Este pentru prima dată cînd cineva îndrăznește să facă o asemenea apropiere, dar *Wall* era englez și trăia ceva mai departe de inchiziție, iar vremea lui *Voltaire* și a enciclopediștilor nu venise încă.

Următoarea perioadă, în dezvoltarea cunoștințelor de electricitate, începe în 1729, cu cercetările lui *Stephen Gray* și se încheie în 1785, cu cercetările lui *Coulomb*.

Gray este acela care, după ce a înțeles limpede deosebirea dintre izolanti și conductori, arată cum pot fi electrizate metalele, prin frecare sau prin influență.

Înșușirile observate la chihlimbar, de țesătoarea din Milet, se generalizează astfel pentru toate corpurile, de orice specie.

Dar, cu toate că ajunsese numai la un pas de dînsa, nici *Gray* n-a sesizat diferențierea speciilor de electricitate.

1) Gericke construiește prima mașină electrostatică: o sferă de sulf, pe care o rotea în jurul unei axe și o freca între palme.

2) Cu dînsa izbutește să producă, pentru prima oară, o scînteie electrică, în laborator.

2) Observă în treacăt fenomene de inducție, dar nu le consideră ca un fapt nou.

4) Constată acțiunea vîrfurilor și transmiterea electricității prin metale, dar nu vede fenomenul de conducere în adevărata lui semnificație.

De la Gericke nu s-a mai făcut aproape nimic în electricitate, în următorii 50 de ani.

Doar *Boyle* dacă repetă unele din experiențele lui și face observația, cu semnificație teoretică pe atunci încă nebănuită, că atracțiile electrice se transmit și prin vid.

Abia cu cinci ani mai târziu, în 1734, *Dufay*<sup>1)</sup> observă că sticla se electrizează altfel decât rășina.

Cele două specii de electricitate se atrag între ele, iar speciile contrarii se resping.

Iar ca să le deosebească, tot *Dufay* le numește *electricitate sticloasă* și *electricitate rășinoasă*.

El construiește de asemenea diferite aparate, care nu sînt decît electroscopae rudimentare, între altele și un fel de balanță, cu care încearcă să compare forțele electrice.

Studiază apoi lumina produsă de scintei și este primul care observă efectele lor fiziologice.

Trecînd peste alte cercetări, mai puțin însemnate, menționăm doar că *Gordon*<sup>2)</sup>, după ce a construit o mașină electrostatică de dimensiuni încă nemaivăzute, a realizat, pentru prima dată, experiențele cunoscute din toate cărțile de școală: *clopoșei electrici*, *grindina electrică* și așa mai departe.

Scintele produse erau destul de mari ca să aprindă lichidele inflamabile.

Pe la 1745, *Kleist*<sup>3)</sup>, încercînd să electrizeze apa sau mercurul dintr-un pahar, pe care-l ținea în mînă, capătă o comoție puternică, cînd atinge cu ceaaltă mînă lichidul electrizat. El realizează astfel primul condensator.

În același an, *Musschenbroeck*<sup>4)</sup>, la Leyda, în Olanda, fără să cunoască experiențele lui *Kleist*, făcute cu cîteva luni înainte, încearcă de asemenea să electrizeze apa, dar nu observă nimica deosebit, fiindcă vasul era pus pe masă.

Un prieten, *Cunaeus*, care era de față, ia vasul într-o mînă și, cînd atinge apa cu ceaaltă mînă, simte comoția.

*Musschenbroeck* repetă atunci experiența, în aceleași condiții și rezultatul a fost că s-a speriat așa de tare, încît s-a pus la pat, iar cînd s-a vindecat de spaimă, i-a scris lui *Nollet* că nu ar mai face-o „nici pentru coroana Franței”.

De aici vine numele *buteliei de Leyda*, care s-a păstrat pînă în zilele noastre.

Bineînțeles, experiența a făcut senzație în toată lumea științifică. Repetarea ei a dus la perfecționarea metodei, prin înlocuirea apei cu foițe metalice și, totodată, s-au descoperit fenomenele de remanență, la pereții de sticlă.

Pentru prima dată începe să se vorbească de *cantitatea de electricitate* și astfel încep încercările de a o măsura, fără succes de altfel, fiindcă problema va fi rezolvată mai târziu.

<sup>1)</sup> *Charles François Dufay* (1698—1739), căpitan în armata franceză, chimist și *intendant* al grădinii botanice din Paris.

<sup>2)</sup> *Andreas Gordon* (1712—1751), fizician de origină scoțiană, stabilit la Erfurt, în Germania.

<sup>3)</sup> *Ewald Georg Kleist* (mort în 1748), fizician german.

<sup>4)</sup> *Pieter van Musschenbroeck* (1692—1761), cunoscut fizician olandez.

Sintem în epoca în care *Nollet* scrie că

*„Electricitatea este un fluid imponderabil și foarte subtil, care miroase a usturoi și se aprinde sub ciocnirea propriilor ei raze”.*

O importanță deosebită, pentru cele ce vor urma, o are lucrarea lui *Watson*<sup>1)</sup>, în care se spune că

*„Electricitatea este efectul unui fluid, care se găsește pe toate corpurile, în stare naturală. Corpurile electrice, cum e sticla, pot să primească o cantitate mai mare din acest fluid și să-l cedeze apoi altora”.*

Teoria fluidului unic înlocuiește astfel vechea concepție a efluviilor lui *Gilbert*.

Urmează apoi cunoscutele cercetări ale lui *Franklin* care, asistând la o conferință despre electricitate, se entuziasmează pentru aceste probleme și se ocupă de dinsele tot restul vieții.

După *Franklin*, întreaga natură materială este făcută dintr-o substanță lăă, numită *eter*. Particulele acestei substanțe se resping între dinsele, dar sint atrase de materia obișnuită, care poate să le cedeze sau să le primească.

Un plus de eter corespunde unei încărcări electrice *pozitive*, iar un deficit aduce o electrizare *negativă*.

*Franklin* este deci adeptul *fluidului unic*. De la el au rămas notările cu + și —, pe care le folosim și astăzi, dar cu altă semnificație.

Începe deci să-și facă drum ideea că electricitatea este materie.

După concepția lui, fenomenele electrice din atmosferă s-ar datori evaporării apei de mare, unde se află cantități enorme din fluidul amintit. Vaporii nu fac decât să-l ia cu dinșii, așa că norii ar trebui să fie neapărat încărcati pozitiv. Mai târziu și-a schimbat însă părerea, cînd cercetările au arătat că există și nori negativi.

Este bine cunoscută experiența cu zmeul, pe care *Franklin* l-a înălțat pe timp de furtună, i-a pus un vîrf ascuțit și a izbutit să scoată scînteii din sfoara udată de ploale.

Ea datează din 1752 și a inspirat ideea *paratrăsnetului*, care a început să fie aplicată în Europa, de pe la 1762.

În cealaltă parte a lumii și concomitent cu cercetările lui *Franklin*, care încă nu fuseseră terminate sau publicate, *Lomonosov*, împreună cu *Richmann*<sup>2)</sup>, urmăreau aceeași idee: să dovedească identitatea între fulger și scînteile obținute în laborator.

În adevăr, în raportul către Academia Rusă, din 1752, *Lomonosov* scrie ca „a făcut experiențe aeriene destul de periculoase, în privința electricității”.

Cît erau de periculoase aceste experiențe, se vede bine, fiindcă *Richmann* a murit trăsnit, în iulie 1753.

<sup>1)</sup> *William Watson* (1715—1787), medic și farmacist englez.

<sup>2)</sup> *Georg Wilhelm Richmann* (1711—1753), fizician de origină suedeză, stabilit în Rusia, ca membru al Academiei din Petersburg.

Lomonosov a construit de altfel și un aparat pentru măsurarea directă a forțelor electrice, bazat pe torsiunea firelor, pe care l-a numit *indicator electric*.

Fără legătură între dinșii și tot independent de alții, *d'Alibart* și *de Lor*, au izbutit de asemenea să capteze electricitatea atmosferică, prin virfuri ascuțite, să încarce cu dînsa conductori izolați și să producă scînteile electrice, în mai 1752.

Mai menționăm că tot în 1752, *le Monier*<sup>1)</sup> a descoperit încărcarea pozitivă a aerului.

Natura electrică a descărcărilor atmosferice fiind acum pe deplin demonstrată, în anii următori începe munca migăloasă a determinării cantității de electricitate.

Apar astfel diverse tipuri de electrometre, cu care, bine înțeles, măsurările nu puteau fi încă decît comparative.

Aici trebuie să cităm lucrările lui *Daniel Bernoulli*, *Cavendish*, dar mai ales ale lui *Priestley*.

În cercetările asupra condensatorilor, *Canton*<sup>2)</sup> studiază electrizarea remanentă a dielectricului, dar noțiunea de *polarizare* a fost introdusă mult mai tirziu, de *Faraday*.

Apoi *Wilke*<sup>3)</sup> dă o primă explicație a fenomenelor de electrizare prin influență, pe care o completează *Aepinus*.

În 1775, *Franklin* arată neîndoielnic răspîndirea superficială a electricității în echilibru.

În aceeași epocă, ideea fluidului unic începe să facă loc unei concepții dualiste, susținută mai ales de *Lichtenberg*<sup>4)</sup>, după care ne conducem și astăzi.

Prin 1703 începuseră a sosi în Europa cele dintîi pietre de turmalină, aduse din Ceylon.

Nu se știe cine a observat întîi fenomenele de electrizare, pe care asemenea pietre le arată la încălzire.

*Aepinus* a făcut primele cercetări și a numit fenomenul *piroelectricitate*.

Tot în aceeași epocă încep cercetările asupra efectului de încălzire al scînteilor și descărcărilor electrice.

Trecînd asemenea descărcări printr-un spațiu închis, *Priestley* observă o scădere de volum, pe care *Cavendish* o explică apoi prin formarea de compuși oxigenați ai azotului.

A fost prima sinteză chimică, realizată în aceste condiții.

Nu putem intra în toate amănuntele, dar din scurtul rezumat de mai sus e ușor de văzut cîtă muncă și cîte dibuiri au trebuit ca să ajungem, în două sute de ani, la cunoașterea, cel puțin calitativă, a fenomenelor electrice.

<sup>1)</sup> *Pierre Charles le Monier* (1715—1799), fizician și astronom francez.

<sup>2)</sup> *John Canton* (1718—1772), fizician englez.

<sup>3)</sup> *Christian Heinrich Wilke* (1722—1776).

<sup>4)</sup> *Georg Christoph Lichtenberg* (1744—1799), fizician german, matematician și astronom, fost profesor la Göttingen.



În 1785, *Coulomb* arată experimental analogia dintre forțele newtoniene și forțele de interacțiune ale „maselor” electrice.

Legea pătratului distanțelor era de altfel bănuită și chiar cercetată, drept că nu în condiții tocmai satisfăcătoare, în epoca în care au început cercetările lui. Valoarea acestor cercetări consistă în aceea că relația, precis formulată, a permis, pe deoparte, măsurarea cantităților de electricitate, de altă parte studiul cantitativ și matematic al fenomenelor.

Teoria potențialului electric, extinsă de *Gauss* după modelul teoriei potențialului gravitațional, făcută de *Laplace* cu 30 de ani mai înainte, a schimbat și a limpezit vederile asupra electricității, ca izvor de energie.

De aici a decurs tot restul, în ce privește metodele teoretice.

Iar când, mai târziu, principiile termodinamicii au adus o lumină nouă, legătura dintre căldură și energia electrică s-a impus de la sine și a servit chiar la determinarea echivalentului mecanic al caloriei.

În 1852, *Faraday* lămurește mecanismul transmiterii forțelor de interacțiune electrică și magnetică, iar în 1860 *Maxwell* ajunge să demonstreze că transmiterea nu se face instantaneu, ci cu viteza luminii.

Fizicienii au început atunci să privească fenomenele electrice mai mult ca o manifestare a cimpurilor, lăsând momentan pe planul al doilea sarcinile înseși.

Este interesant de menționat că *Euler*, pe la 1753, vorbește deja de unele tensiuni în eter.

Ionizarea spontană a aerului atmosferic a fost descoperită în 1906 de *Elster și Geitel*<sup>1)</sup>, pe atunci profesori la un liceu de provincie din Germania.

Această descoperire a deschis un drum larg de cercetare teoretică și experimentală. Ea a fost urmată de lucrările, de asemenea fundamentale, ale lui *Langevin*, apoi de altele, care au creat un capitol nou de fizică și au dus treptat la descoperirea misterioaselor raze cosmice.

În 1895, *H. A. Lorentz*<sup>2)</sup> introduce concepția corpusculară a electronului, iar în 1910 *Millikan* izbuteste să determine direct cuanta elementară de electricitate, pozitivă sau negativă.

Am citat aceste descoperiri mai recente numai în treacăt. Cercetarea lor va face obiectul altui capitol, iar desfășurarea istorică a cunoștințelor, de la 1800 încoace, privește mai puțin electrostatica și mai mult curentul electric, fiindcă în luna martie, din anul 1800, *Volta* construiește prima pilă electrică și deschide „secolul electricității”.

<sup>1)</sup> *Julius Elster* (1855—1923).

*Hans K. F. Geitel* (1854—1920).

<sup>2)</sup> *Hendrik Antoon Lorentz* (1853—1928), fizician olandez, titular al premiului Nobel (1902).

# PARTEA A ȘASEA

## ELECTRODINAMICA

---

### CAPITOLUL XXX

#### CURENTUL ELECTRIC

§ 227. **Intensitatea curentului.** Electrodinamica este studiul electricității în mișcare, spre deosebire de electrostatică, unde am cercetat electricitatea în echilibru.

Orice transport de electricitate este un curent electric, de intensitate  $dQ/dt$ .

*Prin definiție, orice transport de electricitate, indiferent de felul cum decurge, reprezintă un curent electric<sup>1)</sup>.*

Curentul electric se caracterizează prin *intensitatea* lui, adică prin *cantitatea de electricitate ce trece printr-o suprafață dată, în timp de o secundă*.

Dacă o notăm cu  $I$ , vom avea deci, pentru o intensitate care nu variază în timp, așa cum am văzut și în § 197,

$$I = \frac{Q}{t}. \quad (197.2)$$

Iar dacă intensitatea variază cu timpul, o vom exprima prin

$$I = \frac{dQ}{dt} \quad (227.1)$$

și vom considera că nu are cînd să varieze, în intervalul foarte scurt  $dt$ .

Această relație definește *valoarea instantanee*, în momentul  $t$ , ales arbitrar sau după împrejurări.

---

<sup>1)</sup> Vom vedea mai tirziu că reciproca nu e totdeauna adevărată, fiindcă, în anumite situații, curentul electric poate să nu reprezinte un transport real de electricitate, ci numai unul fictiv.

1. *Sensul convențional al curentului.* Dacă transportul de electricitate decurge sub acțiunea forțelor dezvoltate de un câmp electric, adică în sensul care tinde să micșoreze diferențele de potențial, se liberează o cantitate de energie.

Cîtă vreme câmpul este acela care asigură transportul, ne este cu totul indiferent, din punctul de vedere energetic, dacă sarcinile transportate sînt pozitive ori negative.

De aceea, pentru simplificare, vom admite, prin convenție, că orice curent electric transportă numai sarcini pozitive, ceea ce înseamnă că sensul spontan al transportului este de la un conductor încărcat pozitiv, spre altul, încărcat negativ, sau de la potențialul superior spre potențialul inferior.

Prin convenție, admitem  
că orice curent electric duce  
sarcini pozitive.

Afară de cazurile speciale, cînd ne preocupă însuși mecanismul desfășurării fenomenului, din punctul de vedere al proceselor tipice, legate de semnul sarcinii transportate, această convenție de sens va rămîne valabilă în toată dezvoltarea ulterioară a electrodinamicii.

2. *Unități și dimensiuni.* În sistemul CGS electrostatic, relația de definiție a intensității ne dă

$$[I] = \left[ \frac{Q}{t} \right] = \frac{L^{3/2} M^{1/2} T^{-1}}{T} = L^{3/2} M^{1/2} T^{-2}$$

iar unitatea respectivă nu are nume special.

În sistemul MKSA, după cum am văzut în § 197, unitatea de intensitate devine fundamentală și se numește *amper*, iar dimensiunile sînt

$$[I] = I.$$

Știind că, sub intensitatea constantă de un amper, curentul electric transportă un coulomb pe secundă și că

*un coulomb reprezintă*  $3 \cdot 10^9$  u.e.s.,

înseamnă că

*un amper echivalează cu*  $3 \cdot 10^9$  u.e.s.

§ 228. **Curentul de convecție.** Să presupunem că un corp, care poartă pe el sarcina electrică  $+Q$ , parcurge distanța  $l$ , mișcându-se rectiliniu și uniform, cu viteza  $v$  (fig. 126).

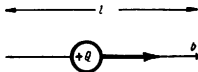


Fig. 126. Curentul electric de convecție.

mișcă, fie sub acțiunea unui câmp electric, fie dintr-o cauză mecanică oarecare.

Mișcarea unui corp, împreună cu sarcina lui electrică, reprezintă un curent electric de convecție.

Un asemenea transport de electricitate, împreună cu suportul pe care se află, indiferent de cauza căreia se datorește, reprezintă un curent electric de convecție.

Știind că intensitatea oricărui curent constant este definită de relația

$$I = \frac{Q}{t} \quad (197.2)$$

vom putea scrie, în cazul de față și pentru distanța  $l$ ,

$$I = \frac{Q}{l/v}$$

și rezultă că

$$I = \frac{Q \cdot v}{l} \quad (228.1)$$

Produsul dintre sarcina electrică și viteză, împărțit prin distanță, ne dă intensitatea curentului de convecție.

Această relație ne arată că intensitatea curentului de convecție se exprimă prin produsul dintre sarcină și viteză, împărțit prin distanța parcursă de corpul electrizat.

Dacă sarcina transportată este negativă, nu rămâne decât să schimbăm semnul algebric, în cazul când e nevoie să arătăm

această diferență și tot așa vom face, dacă transportul decurge împotriva unui câmp electric.

§ 229. **Curentul de conducție.** Dacă legăm, printr-un fir metalic, doi conductori între care există o diferență de potențial, o parte din sarcina unuia trece pe celălalt, ca să egalizeze potențialele, iar motorul care face transportul este câmpul electric.

Transportul electricității prin conductori constituie un curent de conducție.

În general, *orice transport de electricitate, ce decurge prin masa unui conductor, constituie un curent de conducție.*

El nu se localizează numai la suprafață, ci străbate prin toată secțiunea conductorului, fiindcă răspîndirea superficială este o particularitate a sarcinilor electrice în echilibru.

Experiența ne arată că, pentru un conductor dat, există o relație de proporționalitate directă, între diferența de potențial  $U$ , aplicată la extremitățile lui și intensitatea  $I$  a curentului.

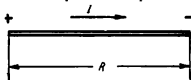


Fig. 127. Curentul electric de conducție.

Situația fiind aceea din fig. 127, vom avea deci

$$\boxed{U = R \cdot I}, \quad (229.1)$$

unde factorul de proporționalitate  $R$  reprezintă ceea ce numim *rezistența electrică* a conductorului ales.

Legea lui Ohm se exprimă prin relația

$$U = R \cdot I.$$

Această relație, fundamentală pentru curenții de conducție, formulează *legea lui Ohm*<sup>1)</sup>.

Originea și mecanismul intern al fenomenelor de conducție nu sînt încă lămurite în toate amănuntele, din punctul de vedere teoretic.

<sup>1)</sup> Georg Simon Ohm (1787—1854), fizician german, fost profesor la München.

În cele ce urmează, vom face numai câteva considerații elementare, unde vom pleca de la faptul cunoscut că metalele au electroni liberi, în număr cu atât mai mare, cu cât sînt mai conductibile.

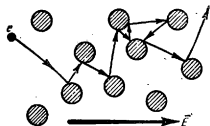


Fig. 128. Câmpul electric suprapune o mișcare ordonată a electronilor peste aceea dezordonată.

Acești electroni suferă mișcarea de agitație termică, ciocnindu-se mereu, fie între dîșii, fie mai ales cu moleculele întîlnite.

Acțiunea unui câmp electric suprapune însă, peste mișcarea dezordonată, o mișcare suplimentară de ansamblu și atunci situația se prezintă așa cum arată, la o scară foarte exagerată, fig. 128.

Sensul mișcării este de la potențialul pozitiv, spre cel negativ, adică inversat, față cu sensul convențional.

În asemenea condiții, electronii liberi din metal se comportă ca un gaz, ceea ce justifică numele de *gaz electronic*, folosit obișnuit în concepțiile actuale.

**Electronii liberi din metale se comportă ca un gaz și capătă o mișcare de ansamblu, sub acțiunea unui câmp electric.**

*Transportul electricității prin metale are deci un mecanism analog transportului prin convecție, numai că, de astă dată, cei care se mișcă sînt electronii liberi.*

Dacă, din complexitatea mișcării unui electron, considerăm numai componenta  $v$  a vitezei, după direcția câmpului electric, (singura care interesează efectiv transportul de electricitate), va trebui să ținem seamă că ea este limitată prin acțiunea frecărilor interne, care se opun forțelor electrice.

Vom admite, prin ipoteză, că forța de frecare, întîmpinată de un electron, este direct proporțională cu viteza.

Ea va fi deci

$$F_f = K \cdot v,$$

unde  $K$  este o constantă de proporționalitate.

De altă parte, forța exercitată de câmpul electric asupra electronului, ce poartă sarcina  $e$ , va fi

$$F_e = e \cdot E,$$

unde  $E$  reprezintă intensitatea câmpului.

Viteza-limită va fi atinsă cînd

$$K \cdot v = e \cdot E.$$

Și acum să considerăm un conductor metalic, de lungime  $l$  și de arie a secțiunii drepte  $S$  (fig. 129).

Diferența de potențial între capetele o vom nota, ca de obicei, cu  $U$ . Ea dă naștere la un câmp uniform, de intensitate

$$E = \frac{U}{l}. \quad (214.1)$$

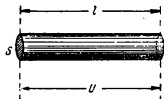


Fig. 129. Pentru deducerea legii lui Ohm.

Potrivit relației (228,1), curentul produs de un singur electron, ce străbate printr-o secțiune dată a conductorului, are intensitatea

$$i = \frac{e \cdot v}{l}.$$

Iar dacă ținem seamă de cele două relații precedente, găsim că

$$i = \frac{e^2}{K \cdot l^2} \cdot U.$$

Presupunînd că metalul conține  $n$  electroni liberi, în fiecare unitate de volum, numărul lor total va fi

$$N = S \cdot l \cdot n.$$

Sumarea curenților produși de fiecare în parte ne dă intensitatea totală  $I$  și ultimile două relații ne duc la expresia finală

$$U = \frac{K}{n \cdot e^2} \cdot \frac{l}{S} \cdot I. \quad (22.2)$$

Comparația cu legea experimentală

$$U = R \cdot I \quad (229.1)$$

ne arată acum că rezistența  $R$  are valoarea

$$R = \frac{K}{n \cdot e^2} \cdot \frac{l}{S} \quad (229.3)$$

Rezistența este direct proporțională cu lungimea conductorului și invers cu secțiunea și cu densitatea cubică a electronilor liberi.

*Această relație ne spune că rezistența unui conductor este direct proporțională cu lungimea și invers proporțională cu secțiunea lui. Ea devine cu atât mai mică, cu*

*cît numărul electronilor liberi, în unitatea de volum, este mai mare.*

Dacă ne referim la un conductor de lungime-unitate și cu secțiunea egală cu unitatea de suprafață, relația (229.3) ne arată că rezistența lui, pe care de astă dată o vom nota cu  $\rho$  și o vom numi *rezistivitate*, este

$$\rho = \frac{K}{n \cdot e^2}$$

Inversa rezistivității se notează cu  $\gamma$  și se numește *conductivitate*.

Legea lui Ohm, formulată prin relația (229.1), se va mai putea scrie deci sub forma

$$U = \rho \cdot \frac{l}{S} \cdot I \quad (229.4)$$

sau sub forma

$$U = \frac{1}{\gamma} \cdot \frac{l}{S} \cdot I \quad (229.4 a)$$

Aceste relații au fost deduse de Ohm pe cale teoretică, urmînd un raționament cu totul diferit de cel de față și analog cu acela de la propagarea căldurii. El considera electricitatea



ca un fluid continuu, fiindcă pe vremea lui nu se cunoșteau încă nici electronul, nici cuanta elementară de sarcină.

Ele sînt în deplin acord cu experiența.

Din examinarea lor, se vede imediat că dacă ne ducem în lungul unui conductor, de structură și secțiune omogene, prin care trece un curent electric de intensitate dată, diferența de potențial ce apare între două puncte fixe, luate la întâmplare, va fi direct proporțională cu distanța lor.

Verificarea se poate face cu orice electrometru, legat între punctele alese.

Eventual, putem pleca dintr-un punct fixat, al cărui potențial să fie luat ca zero, de referință, și atunci vom constata că potențialul celui alt punct variază direct proporțional cu depărtarea lui (fig. 130).

**În lungul unui conductor omogen, parcurs de un curent electric, diferențele de potențial variază liniar cu distanțele.**

*Vom spune deci, că în lungul unui conductor omogen, parcurs de un curent electric, diferențele de potențial variază liniar cu distanțele.*

Revenind acum la viteza-limită a electronilor în conductor, definită prin relația cunoscută

$$K \cdot v = e \cdot E$$

menționăm că ea este de ordinul fracțiunilor de milimetru pe secundă și nu trebuie confundată cu viteza de propagare a fenomenului electric însuși, în lungul conductorului, care poate să atingă, în anumite condiții, viteza luminii în vid, adică  $3 \cdot 10^{10}$  cm/s.

Tot așa, în propagarea undelor elastice, viteza lor nu trebuie să fie confundată cu viteza de mișcare a particulelor materiale,

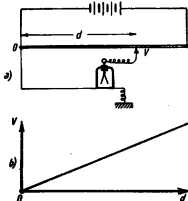


Fig. 130. În lungul unui conductor omogen, parcurs de curent, potențialul variază liniar.

după cum nici viteza de curgere a unui lichid, în regim staționar, nu trebuia să fie confundată cu viteza de transmitere a mișcării coloanei, când se deschide un robinet, la o distanță oarecare.

1. *Variația rezistenței cu temperatura.* Experiența ne arată că rezistența conductorilor depinde de temperatură după o relație de forma

$$R = R_0 (1 + \alpha t), \quad (229.5)$$

în care factorul de proporționalitate  $\alpha$  se numește *coeficient de temperatură* și reprezintă un simplu număr, ce se raportează la grad.

La metalele pure, în stare de element chimic, afară de rare excepții, valoarea lui este foarte apropiată de

$$\alpha = 0,004/\text{grad}$$

și relația de mai sus poate fi aplicată între limite destul de largi de temperatură.

Pentru alte feluri de conductori, sau pentru aliaje, aceeași relație rămîne, în principiu, valabilă, dar adesea între limite ceva mai restrînse, din pricina schimbărilor de structură internă, care de altfel pot să apară și la metalele pure.

Cît despre valoarea coeficientului  $\alpha$ , ea depinde, în cazul acesta, de natura materialului și poate fi uneori tot pozitivă, iar alteori practic nulă, sau chiar negativă.

Cînd e *pozitivă*, conductorul se numește *de prima specie* și rezistența crește cu temperatura.

Cînd e *negativă*, conductorul este *de specia a doua* și rezistența lui scade, în urma încălzirii.

Tabela de mai jos dă valorile coeficientului de temperatură, pentru cîteva metale pure sau aliaje.

Tabela 17

Substanța	$\alpha$	Substanța	$\alpha$
Argint . . . . .	+0,004 1	Platină . . . . .	+0,003 9
Cupru . . . . .	+0,004 3	Bismut . . . . .	+0,004 5
Zinc . . . . .	+0,004 2	Manganin . . . . .	+0,000 01
Fier . . . . .	+0,006 6	Constantan . . . . .	-0,003 03

Aceste valori au fost măsurate în jurul temperaturii normale de  $+20^{\circ}\text{C}$ . La *cărbunele de retortă*, coeficientul de temperatură este de asemenea negativ și de ordinul a  $-0,002$ .

*Manganinul* (84% Cu, 4% Ni și 12% Mn), precum și *constantanul* (60% Cu, 40% Ni) au coeficienții de temperatură foarte mici, așa că rezistența lor este practic invariabilă.

Cînd cunoaștem legea de variație a rezistenței cu temperatura, la un metal anumit, bunăoară la un fir subțire de platină, putem efectua o determinare de temperatură, din simpla măsurare a rezistenței și precizia este mai mare decît la termometrele obișnuite.

Dispozitivele construite pe acest principiu se numesc *bolometre* și au numeroase aplicații practice, mai ales în studiul căldurii radiante.

**2. Supraconductori.** În 1911, *Kammerling Onnes* a descoperit că, la unele metale, rezistența electrică scade brusc, pînă la zero, în apropierea temperaturii de zero absolut.

Metalul devine atunci *supraconductor*, iar fenomenul se desfășoară așa cum arată curbele din fig. 131, pentru *thaliu* și *plumb*. El poate fi constatat nu numai la metale în stare pură, dar și la unele aliaje.

Dispariția rezistenței electrice înseamnă dispariția frecărilor interne, ce se opun mișcării de ansamblu a electronilor, în masa conductorului.

Cîtă vreme asemenea frecări există, trecerea curentului produce încălzire; dacă dispar, curentul nu mai încălzește conductorul.

Aceste fenomene au făcut obiectul a nenumărate cercetări experimentale și, mai recent, s-au găsit unele substanțe care devin supraconductoare chiar la temperatura de  $-70^{\circ}\text{C}$ .

Încercările de interpretare a mecanismului după care se desfășoară și de încadrare a tuturor faptelor cunoscute, într-o teorie

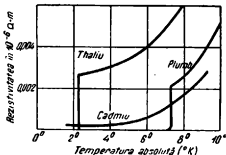


Fig. 131. Apariția supraconductibilității la temperaturile joase.

unitară, au dus la dezvoltări matematice, în genere prea complicate și încă nesatisfăcătoare <sup>1)</sup>).

Mai menționăm că supraconductibilitatea poate să dispară, dacă trecem prin metal un curent peste măsură de intens, ori dacă-l introducem într-un câmp magnetic ce depășește o limită dată.

**3. Alți factori care modifică rezistența.** Cercetînd experimental un fenomen descoperit înainte de *William Thomson*, în care acțiunea unui câmp magnetic modifică rezistența conductorilor, *Hurmuzescu* <sup>2)</sup> a arătat, în 1897, că apare o creștere direct proporțională cu pătratul intensității cîmpului.

Mai recent, în 1929, *Kapița*, extinzînd cercetările în cîmpuri foarte intense, a găsit că aici variația devine liniară.

Ca ordin de mărime, ea este, în tot cazul, destul de mică.

Comprimarea micșorează rezistența, iar destinderea sau lungirea conductorului o măresc.

Rezistența depinde de temperatură, deformare, stare de agregare, cîmp magnetic etc. Unele metale devin supraconductoare, la temperaturi foarte joase.

La punctul de topire, se observă de obicei o creștere a rezistenței, dar regula nu e generală.

Există de asemenea substanțe a căror rezistență scade, cînd sînt puternic luminate, dar aceste fenomene vor fi cercetate mai tîrziu, în cadrul efectului *fotoelectric*.

**4. Legea lui Wiedemann și Franz.** Experimental se constată că există un paralelism între conductibilitatea calorică și cea electrică și că raportul

$$\frac{\text{Conductibilitate calorică}}{\text{Conductibilitate electrică}} = K \cdot T$$

unde  $K$  este un factor de proporționalitate, iar  $T$  reprezintă temperatura absolută.

<sup>1)</sup> În domeniul experimental cităm lucrările mai noi ale lui *P. L. Kapița*, de la Moscova, iar în domeniul teoretic lucrările recente ale lui *S. A. Ghinsburg* și *L. P. Landau* aduc o contribuție cu totul nouă.

<sup>2)</sup> *Dragomir Hurmuzescu* (1865—1954), fost profesor la Universitatea din Iași, apoi la București.

Aceasta este legea lui *Wiedemann și Franz*<sup>1)</sup>.

Conductibilitatea calorică este direct proporțională cu cea electrică.

Ea se aplică la toate metalele, dar nu e valabilă la temperaturile prea joase.

Valoarea găsită experimental, pentru constanta  $K$ , este

$$K = 2,3 \cdot 10^{-8}.$$

Aceeași valoare poate fi calculată și teoretic, dacă privim electronii liberi din metal ca un gaz foarte diluat și aplicăm procedeele de calcul statistic din teoria cinetică a gazelor, iar concordanța confirmă vederile actuale despre *gazul electronic*.

5. *Unități de rezistență și dimensiuni*. Relația de definiție

$$R = \frac{U}{I} \quad (229.1)$$

ne arată că, în sistemul CGS electrostatic, dimensiunile rezistenței sînt

$$[R] = \frac{L^{1/2} M^{1/2} T^{-1}}{L^{3/2} M^{1/2} T^{-2}} = \frac{1}{LT^{-1}}$$

adică *inversa dimensiunilor unei viteze*.

Aceeași relație de definiție ne mai arată că, *în acest sistem, un conductor (sau o porțiune dintr-un conductor) are rezistența-unitate dacă, aplicînd la extremități diferența de potențial-unitate, curentul care trece are unitatea de intensitate*.

În sistemul MKSA, dimensiunile rezistenței vor fi

$$[R] = \left[ \frac{U}{I} \right] = \frac{L^2 M T^{-3} I^{-1}}{I} = L^2 M T^{-3} I^{-2}$$

și, de astă dată, *conductorul va avea rezistența-unitate dacă dife-*

<sup>1)</sup> *Gustav Heinrich Wiedemann* (1862—1899), fost profesor la Basel.  
*Rudolph Franz* (n. în 1827), fost profesor la un gimnaziu din Berlin.

Dacă, sub diferența de potențial de un volt, curentul are intensitatea de un amper, rezistența este de un ohm.

*rența de potențial de un volt, aplicată la extremitățile lui, va face să treacă un curent cu intensitatea de un amper.*

Această unitate se numește *ohm* și se notează cu litera grecească  $\Omega$  (omega mare).

Convenția internațională din 1908 fixase, ca etalon de rezistență, așa numitul *ohm internațional*, definit prin rezistența unei coloane de mercur, cu secțiunea de un milimetru pătrat și lungimea de 106,32 cm, la temperatura de 0 °C.

O altă convenție, mai recentă, a hotărât să se renunțe la etaloanele electrice, fiindcă determinarea lor experimentală e mereu depășită de perfecționarea metodelor de măsură.

În ce privește raportul numeric de transformare, între unitatea MKSA și unitatea electrostatică CGS, el este

$$\frac{1/300}{3 \cdot 10^9} = \frac{1}{9 \cdot 10^{11}}.$$

O unitate electrostatică CGS de rezistență reprezintă  $9 \cdot 10^{11} \Omega$ .

*Prin urmare o unitate electrostatică CGS de rezistență reprezintă  $9 \cdot 10^{11} \Omega$*

Trecînd la rezistivitate, relația

$$U = \rho \cdot \frac{l}{S} \cdot I \quad (229.4)$$

comparată cu

$$U = R \cdot I \quad (229.1)$$

ne arată că

$$\left[ \rho = \frac{R \cdot S}{l} \right]. \quad (229.6)$$

Iar dacă facem

$S = \text{un metru}^2$       și       $l = \text{un metru}$ ,

relația de față ne arată că *rezistivitatea, în sistemul MKSA reprezintă numeric rezistența unui conductor cu secțiunea de un metru pătrat și lungimea de un metru.*

Rezistivitatea se exprimă în ohmi · centimetru sau în ohmi · metru.

Aceeași relație, în care ținem seamă de dimensiunile fizice, ne mai arată că ea se va exprima în ohmi · metru.

De multe ori, ca să evităm valorile prea mici, se ia ca unitate și rezistența unui conductor cu secțiunea de un centimetru pătrat și lungimea de un centimetru.

În cazul acesta, rezistivitatea se va exprima în ohmi · centimetru.

Tabela de mai jos ne dă, în ohmi · centimetru, rezistivitățile citorva substanțe :

Tabela 18

Substanța	$\rho$ ( $\Omega \cdot \text{cm}$ )	Substanța	$\rho$ ( $\Omega \cdot \text{cm}$ )
Argint . . . . .	$16 \cdot 10^{-7}$	Plumb . . . . .	$210 \cdot 10^{-7}$
Cupru . . . . .	$17 \cdot 10^{-7}$	Mercur . . . . .	$960 \cdot 10^{-7}$
Zinc . . . . .	$60 \cdot 10^{-7}$	Marmură . . . . .	$10^8$
Fier . . . . .	$86 \cdot 10^{-7}$	Sticlă . . . . .	$5 \cdot 10^{13}$
Platină . . . . .	$107 \cdot 10^{-7}$	Mica . . . . .	$5 \cdot 10^{16}$
Manganin . . . . .	$430 \cdot 10^{-7}$	Sticlă de cuarț . . . . .	$5 \cdot 10^{18}$
Constantan . . . . .	$500 \cdot 10^{-7}$	Apă purificată . . . . .	$10^6$

§ 230. **Curentul de deplasare.** Să presupunem că închiderea unui întrerupător stabilește o diferență de potențial între plăcile unui condensator  $C$  (fig. 132).

În circuit am introdus un galvanometru, notat cu  $G$ , adică un aparat de măsură pentru curentul electric.

Experiența ne arată că închiderea întrerupătorului este urmată de apariția unui curent, în sensul săgeții, care transportă sarcinile pe armături și că acest curent încetează când sistemul atinge situația finală de echilibru electric.

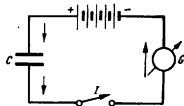


Fig. 132. La diferență de potențial sau câmp variabil, dielectricul nu constituie o întrerupere a circuitului.

În timpul procesului tranzitoriu, intensitatea cîmpului de inducție

$$D = \epsilon E \quad (200.1)$$

ce apare între plăci crește treptat, iar galvanometrul ne spune că totul se petrece ca și cum dielectricul nu ar constitui o întrerupere a circuitului, ci ar fi parcurs de un curent electric, indiferent dacă acest dielectric este gazos, lichid, solid, sau chiar vidul.

La aceeași constatare vom ajunge pentru orice variație a intensității cîmpului de inducție, pe care o putem produce dacă schimbăm fie diferența de potențial, fie distanța dintre plăcile condensatorului, fie permitivitatea dielectricului.

Cînd cîmpul se intensifică, acul galvanometrului deviază într-un sens; cînd slăbește sau se inversează, deviația își schimbă sensul.

Dar schimbarea intensității cîmpului înseamnă îndesirea, împrăștierea, devierea sau inversarea liniilor de forță, adică o *deplasare* a lor, față de situația inițială.

Fenomene analoge pot fi constatate și pentru alte sisteme, formate dintr-un număr oarecare de conductori electrizați, dar *în toate cazurile posibile curentul apare și dispare împreună cu variația cîmpului de inducție.*

Anticipînd acum asupra unui capitol viitor, menționăm deocamdată numai faptul că un curent de conducție sau de convecție produce în jurul lui un *cîmp magnetic*, după legi cantitative pe care le vom cerceta la vremea lor.

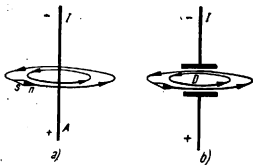


Fig. 133. Cîmpul magnetic în jurul curentului de conducție și de deplasare.

Experimental, constatăm că oricare din acești curenți se înconjură cu liniile de forță ale unui cîmp magnetic circular, față de care acul unei busole tinde să ia direcția tangențială, așa cum arată fig. 133, a.



Prin 1861, *Maxwell* a emis ipoteza că același câmp magnetic ar trebui să apară și în jurul dielectricului dintr-un condensator, dacă se află într-un câmp electric de inducție variabil în timp (fig. 133, *b*).

De pildă, în condițiile din fig. 132, totul s-ar petrece ca și cum curentul ce trece prin galvanometru ar parcurge și dielectricul.

Maxwell însuși nu a izbutit să verifice prin experiențe această ipoteză. Verificările directe sau indirecte au venit mai târziu.

Sprijinindu-se, totuși, pe dînsa, el extinde noțiunea de *curent electric* la orice fenomen, în stare să dea naștere unui câmp magnetic, după aceleași legi ca și curentul de conducție.

Variația în timp a cîmpului de inducție, într-un dielectric, dă naștere unui cîmp magnetic și duce la concepția curentului de deplasare.

Potrivit acestei concepții, cîmpul de inducție într-un dielectric, dacă e variabil în timp, va fi considerat ca un curent electric, pe

care tot Maxwell îl numește „*curent de deplasare*”.

Rămîne să cercetăm dacă și în ce condiții curentul de deplasare constituie un real transport de electricitate, în cuprinsul dielectricului.

*Intensitatea curentului de deplasare.* Să considerăm o cantitate de electricitate  $Q$ , aflată în centrul unei suprafețe sferice fictive, trasate în cuprinsul unui dielectric.

Teoremul lui Gauss și definiția fluxului de inducție ne spun că

$$\Psi = 4\pi Q = DS. \quad (202.1 ; 203.2)$$

Acest flux este uniform și, dacă ne raportăm la unitatea de suprafață, vom putea scrie

$$\frac{Q}{S} = q = \frac{D}{4\pi}.$$

De altă parte se știe că, între inducția  $D$  și polarizarea  $P$ , a unui dielectric, avem relația

$$D = \epsilon_0 E + 4\pi P \quad (209.1)$$

și astfel rezultă

$$q = \frac{D}{4\pi} = \frac{\epsilon_0 E}{4\pi} + P.$$

Dacă sarcina electrică variază cu cantitatea infinitesimală  $dq$ , în timpul  $dt$ , apare implicit câte o variație corespunzătoare pentru cîmp, inducție și polarizare.

Iar dacă ținem seamă că raportul

$$i = \frac{dq}{dt}$$

are dimensiunile și semnificația unui curent electric, ce ar trece prin unitatea de suprafață, adică ale unei *densități de curent*, vom putea scrie că

$$i = \frac{1}{4\pi} \frac{dD}{dt} - \frac{\epsilon_0}{4\pi} \cdot \frac{dE}{dt} + \frac{dP}{dt} \quad (230.1)$$

Densitatea  $i$  a curentului de deplasare, adică intensitatea lui prin suprafața-unitate, rezultă deci prin derivarea, în raport cu timpul, a mărimii vectoriale  $D/4\pi$ , pe care Maxwell o numește *deplasare*.

Densitatea curentului de deplasare se exprimă prin derivata deplasării  $D/4\pi$ , în raport cu timpul.

*Ea este direct proporțională cu variația în timp a inducției și are, ca factor de proporționalitate, constanta  $1/4\pi$ .*

Densitatea curentului de deplasare rezultă astfel din suma-re a doi termeni, fiecare cu anumită semnificație :

1) Unul este

$$i_0 = \frac{\epsilon_0}{4\pi} \cdot \frac{dE}{dt} \quad (230.2)$$

și se referă la inducția vidului, unde permitivitatea este  $\epsilon_0$ .

*El nu are cum să reprezinte un transport real de electricitate, ci privește numai deformarea sau deplasarea liniilor de forță, în timpul variației cîmpului.*

Cel mult ar putea fi pus în analogie cu o deformare *cuasi-elastică* a dielectricului.

2) Celălalt termen

$$i_1 = \frac{dP}{dt} \quad (230.3)$$

provine din variația în timp a polarizării dielectricului. El se anulează în vid, însă capătă o valoare diferită de zero, în alți dielectrics.

Semnificația lui este următoarea :

Să considerăm un electron satelit, într-un atom al dielectricului.

El poartă pe dînsul sarcina elementară  $-e$ , ce neutralizează o altă sarcină  $+e$  din nucleu, iar momentul dipolar al atomului este nul, cîtă vreme nucleul se află în centrul orbitei.

Sub acțiunea cîmpului, atomul, care avea inițial configurația din fig. 134, *a*, se deformează însă și capătă configurația nesimetrică din fig. 134, *b*.

El devine astfel *dipolar*, cu momentul

$$e \cdot l$$

asa că momentul unității de volum din dielectric, pe care l-am numit *polarizare*, va fi

$$P = nel \quad (I)$$

unde  $n$  reprezintă numărul electronilor legați, din volumul-unitate.

*Translația impusă de cîmp orbitelor electronice reprezintă deci un transport real de sarcini electrice, care decurge concomitent cu instalarea polarizării.*

Să considerăm acum o suprafață de un centimetru pătrat, perpendiculară pe axa dipolilor, adică pe direcția cîmpului.

Numărul electronilor care o străbat va fi  $nl$  și sarcina transportată de dînsii este, ținînd seamă de (I),

$$q = n \cdot e \cdot l = P.$$

De aici, prin derivarea în raport cu timpul, obținem densitatea de curent

$$i_1 = \frac{dq}{dt} = n \cdot e \frac{dl}{dt} = \frac{dP}{dt} \quad (230.3a)$$

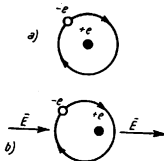


Fig. 134. Formarea momentelor electrice temporare.

și am calculat astfel valoarea celui de-al doilea termen, ce intervine în expresia densității curentului de deplasare.

*Termenul acesta provine deci din variația în timp a lungimii axelor dipolilor, sub acțiunea câmpului, așa că nu are cum să apară în vid.*

El definește ceea ce numim densitatea curentului de polarizare.

Situația este similară, la dielectricii cu dipoli permanenți, care se orientează treptat, în câmpuri crescătoare.

Această orientare duce sarcini pozitive în sensul câmpului și negative, în sensul contrar, așa că intensitățile de curent respective se adună, ca și cum transportul s-ar face într-un singur sens.

Deosebirea, față de un dielectric nepolar, este că momentul dipolilor permanenți nu mai depinde de intensitatea câmpului.

Este atunci evident că, odată depășită intensitatea de saturație, o creștere mai departe a câmpului nu are cum să modifice orientarea dipolilor.

*Prin urmare, la dielectricii cu dipoli permanenți, curentul de polarizare se anulează, în domeniul câmpurilor foarte intense, iar curentul de deplasare se reduce la valoarea din vid.*

*In rezumat:* curentul de deplasare, într-un dielectric oarecare, însumează curentul de deplasare în vid, care nu reprezintă un transport efectiv de electricitate și curentul de polarizare, datorit orientării dipolilor permanenți, sau distanțării sarcinilor electrice din molecule.

Curentul de deplasare într-un dielectric sumează curentul de deplasare al vidului și curentul de polarizare.

Dacă dielectricul este mai mult sau mai puțin conductibil, apare încă și un curent de conducție, peste cel de deplasare.

În fine, dacă ținem seamă de definiția câmpului de inducție și ne referim la relația de mai sus :

$$\frac{D}{4\pi} = \frac{eE}{4\pi} = \frac{e_0 E}{4\pi} + P \quad \text{și la} \quad P = M_e n$$

unde  $M_e$  reprezintă momentul unui dipol elementar și  $n$  numărul lor în unitatea de volum,

rezultă că

$$M_e = \frac{E}{4\pi n} (\epsilon - \epsilon_0) \quad (230.4)$$

Permitivitatea crește odată cu momentul dipolar.

*Această expresie ne arată că permitivitatea unui dielectric devine mai mare, cînd crește momentul dipolar al moleculelor, prin distanțarea sarcinilor.*

În câmpurile mai slabe, creșterea e însă destul de mică, așa că poate fi neglijată.

În tot cazul, permitivitatea dielectricilor cu dipoli permanenți este inițial mai mare, decît a celor nepolari.

§ 231. **Energia debitată într-o rezistență.** Dacă, referindu-ne la curenții de conducție, plecăm de la legea lui Ohm,

$$U = RI \quad (229.1)$$

și înmulțim în ambii membri cu  $I$ , avem

$$P = UI - RI^2 \quad (231.1)$$

unde produsul  $UI$ , între diferența de potențial și cantitatea de electricitate transportată într-o secundă, reprezintă *puterea debitată*, cînd curentul străbate rezistența  $R$ .

$P = UI = RI^2$ . *Ea este proporțională cu pătratul intensității curentului, iar rezistența însăși reprezintă factorul de proporționalitate.*

Relația de față, înmulțită în ambii membri cu  $t$ , ne duce la expresia lucrului mecanic, ce corespunde unui timp dat.

El este

$$A = UIt - RI^2t \quad (231.2)$$

Dacă folosim unitățile CGS electrostatice, obținem puterea în *ergi pe secundă* și lucrul mecanic în *ergi*, dar aceste unități sînt tolerate numai în anumite cercetări științifice.

$$A = UIt = RI^2t.$$

În sistemul legal MKSA, vom exprima diferența de potențial în *volți*, intensitatea în *amperi* și rezistența în *ohmi*.

Puterea debitată rezultă atunci în *wați*, iar lucrul mecanic în *jouli*, sau în *watt · secunde*.

1. *Legea lui Joule-Lenz*. Am văzut că rezistența unui conductor se datorește forțelor de frecare internă, care se opun mișcării de ansamblu a electronilor liberi.

Aceste frecări, analoge cu viscozitatea, vor duce la transformarea în căldură a lucrului mecanic, exprimat prin relația (231.2), iar principiul echivalenței din termodinamică ne spune că, evaluată în calorii, cantitatea de căldură produsă va fi

$$\boxed{Q = \frac{A}{J} = \frac{1}{J} \cdot RI^2t} \quad (231.3)$$

unde  $J$  reprezintă echivalentul mecanic al caloriei și are valoarea cunoscută: *4,18 jouli pe calorie*.

$$JQ = RI^2t.$$

Această relație fundamentală, cu care ne vom întâlni la tot pasul în electricitate, formulează *legea lui Joule-Lenz*<sup>1)</sup>.

Ea se poate verifica experimental, cufundind un fir metalic, de rezistență cunoscută, într-un calorimetru și măsurând apoi direct cantitatea de căldură produsă, când e parcurs de curent.

Mai menționăm că fenomenul de încălzire a circuitelor electrice, prin efectul rezistenței ohmice, se numește *efectul Joule-Lenz*.

2. *Domeniul de aplicare*. Legea lui Ohm, ca și legea lui Joule-Lenz, nu se aplică decât acolo unde există un transport de electricitate, căruia i se opune o rezistență de frecare, din partea mediului, capabilă să ducă la transformarea în căldură a lucrului mecanic, eliberat de forțele electrice.

<sup>1)</sup> *Heinrich Friederich Emil Lenz* (1804—1885), fizician rus, fost profesor la Petersburg și membru al Academiei ruse.

Legea lui Ohm și legea lui Joule-Lenz se aplică la curenții de conducție și, în cazuri speciale, la cei de convecție.

*Le vom aplica deci la curenții de conducție și chiar la cei de convecție, când mișcarea corpului sau particulelor electrizate decurge în mediu viscos.*

Nu le putem aplica însă la curenții de deplasare, fiindcă acolo rezistențele întâmpinate sînt de altă natură.

**3. Aplicații practice** Uneori efectul caloric al curentului electric poate să ducă la aplicații practice utile, de pildă în aparatele menajere, cu încălzire de la sectorul orașului: fier de călcat, oale electrice, cuptoare, sobe electrice etc.

Figura 135 reprezintă dispozitivul de încălzire al unui fier de călcat.

Alteori el trebuie redus la minimum posibil, cînd e vorba de motoare electrice de instalații pentru producerea și transportul energiei electrice sau de distribuirea ei în locuințe.

Pentru conductele electrice, sau sirmele de bobinaj, va trebui deci să recurgem la grosimi cu atît mai mari, cu cît curentul ce le parcurge este mai intens.

Oricare ar fi situația, temperatura conductorului rezultă dintr-un echilibru dinamic între cantitatea de căldură produsă prin efectul Joule-Lenz și aceea cedată mediului înconjurător.

Ea va fi deci cu atît mai ridicată, cu cît conductorul este mai bine izolat, din punctul de vedere termic.

Pentru a evita încălziri exagerate, se prescriu pentru conductele de cupru, care nu sînt îngropate în perete, următoarele secțiuni minime:

6 A (amperi)	1 mm <sup>2</sup>
20	4 ..
35	10 ..
80	25 ..
125	50 ..

La circuitele îngropate, sau la bobinaje, intensitățile admisibile se vor reduce la jumătate, fiindcă ventilația se face mai greu.

Dacă, în urma unei atingeri directe, între cele două fire de alimentare, s-ar produce un *scurt-circuit*, sau dacă intensitatea maximă admisibilă ar fi depășită, încălzirea exagerată a conductorilor poate să producă incendii și accidente grave.

Pentru a le preveni, se introduce pe circuit o *siguranță fuzibilă*, adică un fir metalic, a cărui grosime trebuie aleasă în așa fel, încît curentul elec-

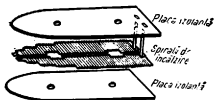


Fig. 135. Spirala de încălzire a unui fier electric de călcat.

tric să-l topească și astfel să fie întrerupt, înainte ca restul instalației să atingă o temperatură periculoasă (fig. 136).

Există și *siguranțe automate* sau *disjonctoare*, construite pe alte principii, care îndeplinesc același rol de protecție.

a) *Ampermetre termice*. Un fir de metal, străbătut de un curent electric, se încălzește și se dilată, iar încălzirea depinde de intensitatea curentului.

Pe acest principiu, lesne de aplicat în practică, putem să

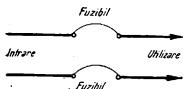


Fig. 136. Conectarea fuzibilelor într-un circuit electric.

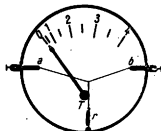


Fig. 137. Principiul ampermetrului termic.

construim aparate de măsură, pentru intensitatea curentului, numite *ampermetre termice*, așa cum arată schematic fig. 137.

Curentul străbate firul *ab*, de mijlocul căruia este legată o ață, ce trece peste tamburul *T* și este menținută întinsă de un resort *r*.

Dilatarea firului transmite o mișcare de rotație unui ac indicator, fixat pe tambur și gradarea cadranelui se face prin comparație cu alte ampermetre, sau prin metode speciale.

b) *Arcul electric*. În 1803, *Petrov*<sup>1)</sup> a observat că un curent electric, dacă e destul de intens, poate să producă o descărcare foarte luminoasă și o temperatură ridicată, între două bucăți de metal sau de cărbune, pe care le separăm, după ce mai întâi le-am adus în contact (fig. 138).

Acesta este *arcul electric*, pe care mai târziu *Davy* l-a numit arc voltaic, în onoarea lui Volta.

*Bernardos*<sup>2)</sup> a dat acestui fenomen o aplicație practică, deosebit de importantă, la topirea corpurilor greu fuzibile, fiindcă temperatura produsă poate să depășească 4 000 °C, iar *Slavianov*<sup>3)</sup>, în 1888, înlocuind electrodul de cărbune printr-o vargă metalică, a pus bazele procedeelor moderne de *sudură electrică*.

<sup>1)</sup> *Vasili V. Petrov* (1761—1834), fizician și matematician rus, fost profesor la Petersburg și membru al Academiei Ruse.

<sup>2)</sup> *Nicolai N. Bernardos*, inventator rus. Lucrarea datează din 1885.

<sup>3)</sup> *Nicolai Gavrilovici Slavianov* (1854—1897), inginer rus.



Arcul electric mai are și alte întrebuințări, pe scară industrială, mai ales la unele sinteze chimice.

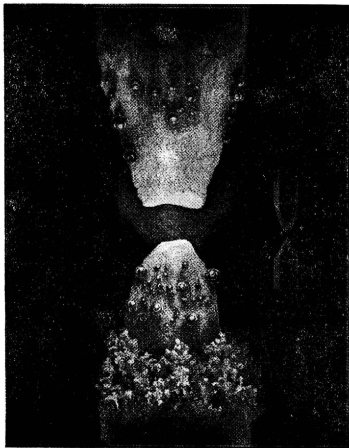


Fig. 138. Arcul electric.

Între altele, îl folosim la sinteza compuşilor oxigenați ai azotului, trecind prin el un curent de aer. Această sinteză este la baza fabricării acidului azotic.

Cu toată lumina intensă, produsă între electrozii de cărbune de retortă, folosirea la iluminatul public nu a devenit practică decît atunci cînd *Iablocikov*<sup>1)</sup> a inventat așa numita *luminare electrică*.

În loc să așeze cărbunii cap-la-cap, el îi așază paralel și-i separă printr-o pătură izolantă de caolin, care se topește treptat, odată cu consumul lor.

Se evită astfel folosirea mecanismelor, pe atunci prea complicate, care să asigure menținerea distanței constante între virfuri.

c) *Lampa cu incandescență*. Arcul electric, în aerul sub presiune normală, nu se mai folosește acum la iluminat, fiindcă alte sisteme, mai practice și mai simple, i-au luat locul.

Dintre toate, cel mai răspîndit este *becul electric*.

El a fost inventat pe la 1872 de *Lodighin*<sup>2)</sup> și, în forma inițială, era făcut dintr-un balon de sticlă, din care se scotea aerul și prin care trecea un fir subțire de platină, încălzit la incandescență, de un curent electric.

*Edison*<sup>3)</sup>, folosind ideea lui *Lodighin*, o perfecționează și o adaptează fabricării pe scară mare, așa că pe la 1880 becurile cu filament de cărbune au început să fie introduse în locuințe.

Mai tîrziu, cînd prin dezvoltarea tehnicii metalurgice, s-au putut fabrica filamente de wolfram, destul de subțiri și de rezistente, lumina produsă a devenit mai albă, fiindcă acest metal poate fi încălzit la temperatură mai ridicată.

Vechea metodă, de a face vidul în balonul de sticlă, avea unele inconveniente, fiindcă :

1) Rămîneau resturi de aer, care oxidau filamentul, iar oxidul se depunea pe pereții de sticlă și-i înnegrea.

2) Permitea o evaporare mai rapidă a metalului, care sfîrșea prin a se rupe destul de repede.

3) Din același motiv, temperatura nu putea să depășească 2 000 °C, așa că lumina nu era destul de albă, iar consumul de energie electrică era prea mare, pentru rezultatele obținute.

Prin 1913, *Langmuir*<sup>4)</sup> aduce o perfecționare importantă : el introduce în balon un gaz inert, la presiunea de cîțiva centimetri de mercur.

În aceste condiții filamentul nu se mai oxidează, evaporarea metalului este mult împiedicată, iar temperatura poate să depășească 2 600 °C.

Totodată lumina produsă este mai albă și consumul de energie electrică devine de aproape opt ori mai mic, la intensitate luminoasă egală, decît în vechile becuri cu filament de cărbune.

Gazul introdus nu trebuie să conducă spre exterior decît o fracțiune cît mai mică din căldura filamentului.

La început se folosea numai azotul, dar el a fost înlocuit acum prin gazele nobile argon sau cripton, pe care tehnica modernă a frigului le produce pe scară industrială. Aceste gaze au conductibilitatea termică mult mai mică decît azotul.

<sup>1)</sup> *Pavel Nicolaievici Iablocikov* (1847—1894), inventator rus.

<sup>2)</sup> *Alexandru Nicolevici Lodighin* (1847—1923), inventator rus.

<sup>3)</sup> *Thomas Alva Edison* (1847—1931), inventator american.

<sup>4)</sup> *Irving Langmuir* (n. în 1881), fizician american.

*Exemple numerice.* 1) Un fir de cupru, cu secțiunea de un milimetru pătrat, este parcurs de un curent cu intensitatea de 5 A. Să se calculeze diferența de potențial între două puncte situate la distanța de un metru.

Rezistivitatea cuprului fiind  $17 \cdot 10^{-7}$  ohm·cm, relația

$$U = \rho \frac{l}{S} I \quad (229.4)$$

ne dă

$$U = 17 \cdot 10^{-7} \frac{100}{0,01} \cdot 5 = 0,085 \text{ V.}$$

2) Să se calculeze intensitatea curentului și rezistența unui bec electric, pe soclul căruia scrie 220 V, 100 W.

Relația

$$P = U \cdot I \quad (231.1)$$

ne dă

$$I = \frac{100}{220} = 0,455 \text{ A.}$$

Iar legea lui Ohm (229.1) ne dă rezistența

$$R = \frac{U}{I} = \frac{220}{0,455} = 484 \Omega.$$

3) Un fulger a durat  $10^{-6}$  s și a debitat 1 000 A, sub  $10^7$  V. Să se calculeze energia și puterea implicate.

Energia este

$$W = UI t = 10^7 \cdot 10^3 \cdot 10^{-6} = 10^4 \text{ J} \quad (231.2)$$

Cu această energie, un bec electric de 100 W ar putea să lumineze timp de

$$t = \frac{W}{P} = \frac{10^4}{100} = 100 \text{ s,}$$

adică mai puțin de două minute.

Dar, ținând seamă de timpul scurt, în care a fost debitată, această energie corespunde puterii

$$P = UI = 10^7 \cdot 10^3 = 10^{10} \text{ W} \quad (231.1)$$

adică 10 000 000 de kilowați!

4) Într-o oală electrică, rezistența de încălzire are  $40 \Omega$  și curentul o parcurge cu intensitatea de 5 A. În câte minute ajunge la fierbere un litru de apă, luat la temperatura de  $20^\circ\text{C}$ ?

Ca să ajungă la fierbere, apa trebuie să primească 80 000 cal și relația

$$IQ = RI^2t \quad (231.3)$$

ne dă

$$\frac{4,18 \cdot 80\,000}{40 \cdot 25} = t = 335 \text{ s,}$$

adică aproximativ cinci minute și jumătate. În practică trebuie să socotim însă aproape dublu, din cauza pierderilor de căldură prin radier.

5) *Raza orbitală a electronului satelit, în atomul de hidrogen este de aproximativ  $0,5 \cdot 10^{-8}$  cm, iar viteza liniară de  $2 \cdot 10^8$  cm/s.*

*Știind că electronul poartă sarcina elementară de  $4,8 \cdot 10^{-10}$  u. CGS e.s. să se calculeze intensitatea curentului de convecție rezultat.*

Printr-un punct dat al orbitei, electronul trece, în fiecare secundă, de

$$f = \frac{v}{2\pi r} \text{ ori}$$

așa că sarcina electrică transportată corespunde curentului de intensitate

$$I = e \cdot f = \frac{2 \cdot 10^8 \cdot 4,8 \cdot 10^{-10}}{2\pi \cdot 0,5 \cdot 10^{-8}} = 3,05 \text{ u. CGS e.s.}$$

sau

$$I = 1,016 \cdot 10^{-3} \text{ A} = 1,016 \text{ mA.}$$

La același rezultat am fi ajuns, dacă exprimam intensitatea curentului de convecție din relația

$$I = \frac{Qv}{l} = \frac{ev}{2\pi r} \quad (228.1)$$

## CAPITOLUL XXXI

### CIRCUITE ELECTRICE

§ 232. **Circuite închise.** Să presupunem că două vase comunică, pe la partea inferioară, printr-un tub lung și subțire, așa cum arată fig. 139.

În ele turnăm apă și, dacă există o diferență de nivel, curgea lichidului prin tub liberează energie potențială, pe care ac-

(lunea frecărilor o transformă în căldură, iar sistemul tinde către egalarea nivelelor.

Am putea să împiedicăm această egalare și să menținem situația inițială, legând o pompă, după schema din figură și atunci apa va parcurge un *circuit închis*.

Este evident că, între două secțiuni ale circuitului, luate la întâmplare, vom găsi o diferență de presiune, care se menține constantă numai datorită acțiunii pompei. Ea compensează nu numai pierderile prin frecare, ce apar pe toată lungimea parcursă, dar și pe acelea din interiorul ei.

Potrivit legilor cunoscute, debitul va fi același, în orice secțiune a circuitului și vom spune că menținerea situației staționare de curgere se datorește faptului că pompa dezvoltă o *forță hidromotoare*.

Mai trebuie să observăm că, în interiorul pompei, lichidul circulă de la o presiune mai joasă, către alta mai înaltă, pe cînd în restul circuitului procesul urmează sensul normal de evoluție, de la presiunile mai mari, spre cele mai mici.

Trecînd acum la cazul, în unele privințe similar, al curentului electric, să considerăm doi conductori, *A* și *B*, între cari există o diferență de potențial (fig. 140 *a*).

Dacă-i legăm printr-un fir, de rezistență *R*, forțele electrice transportă sarcinile de pe unul pe altul, diferența de potențial dispare treptat și energia liberată se transformă în căldură, prin efectul Joule-Lenz <sup>1)</sup>.

Putem totuși menține constantă această diferență de potențial, dacă

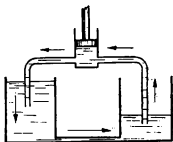


Fig. 139. Pompa întretine o forță hidromotoare.

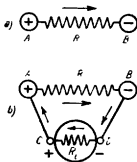


Fig. 140. Pentru explicația noțiunii de forță electromotoare.

<sup>1)</sup> Linia în zig-zag, reprezentată în figură, este unul din semnele convenționale, prin care arătăm existența unei rezistențe ohmice.

legăm conductorii la bornele unui *generator electric*, adică la un dispozitiv care să readucă înapoi sarcinile plecate și să compenseze pierderile <sup>1)</sup> (fig. 140, b).

Realizăm astfel, ca și în cazul descris înainte, un *circuit închis*, în lungul căruia curentul are sensul arătat de săgeți și păstrează aceeași intensitate, în toate secțiunile străbătute.

În interiorul generatorului va trebui însă ca transportul de electricitate să decurgă *împotriva forțelor cîmpului*, de la potențialul mai coborât, spre potențialul mai ridicat.

Generatorul produce cantitatea de energie, necesară pentru transportul de electricitate împotriva cîmpului.

Aceasta implică o *absorbție de energie*, pe care sistemul o dobîndește printr-un proces oarecare: chimic, termic, mecanic etc. și o transformă în energie potențială electrică.

În cazul particular cînd această energie se referă la unitatea de sarcină electrică, valoarea ei numerică reprezintă, prin definiție, *forța electromotoare*, numită încă și *tensiune electromotoare*, pe care o notăm cu  $E$  și o exprimăm în aceleași unități ca și diferența de potențial  $U$ .

Energia potențială, transmisă de generator unității de sarcină, are numeric valoarea forței electromotoare.

Ne propunem acum să urmărim variația de energie a unității pozitive de sarcină electrică, în timp ce parcurge circuitul din fig. 140, b.

Aici va trebui să ținem seamă, în primul rînd, de legea lui Ohm

$$U = RI, \quad (229.1)$$

apoi de faptul că generatorul însuși are o rezistență interioară  $R_i$ , în lungul căreia efectul Joule-Lenz transformă în căldură o parte din energia electrică.

De asemenea nu trebuie să uităm că intensitatea  $I$  a curentului este aceeași, în toate secțiunile circuitului.

<sup>1)</sup> Generatorul poate fi o *pilă electrică*, ori un *dinamo electric*. Mașina electrostatică are debitul prea mic și nu o putem folosi, decît cu condiția să legăm conductorii printr-o rezistență foarte mare. Altfel descărcarea merge mai repede decît încărcarea lor.

Dacă firele de legătură  $AC$  și  $BD$  sînt groase și destul de scurte, rezistența lor poate fi neglijată.

1) Între bornele  $D$  și  $C$  ale generatorului, unitatea pozitivă de sarcină electrică ar trebui să capete energia potențială numită egală cu  $E$ .

În realitate, ea capătă numai energia

$$E - R_i \cdot I$$

din pricina căderii de potențial, în lungul rezistenței  $R_i$ .

2) Între bornele  $A$  și  $B$  ale rezistenței exterioare, aceeași unitate de sarcină electrică pierde energia

$$U = RI. \quad (I)$$

Cum intensitatea nu suferă variații în timp, înseamnă că sîntem în regim staționar și că generatorul transmite conductoarelor  $A$  și  $B$  exact atîta energie, cît se împrășteie în căldură, în lungul rezistenței  $R$ .

Vom putea scrie deci că

$$E - R_i I = RI \quad (II)$$

sau că

$$\boxed{E = I(R + R_i)} \quad (232.1)$$

Această relație formulează *legea lui Ohm pentru un circuit închis* și ne spune că :

$$E = I(R + R_i)$$

*Forța electromotoare este egală cu produsul dintre intensitatea curentului și suma rezistențelor interioare din circuit.*

De asemenea, pe baza relațiilor (I și II), putem scrie că

$$\boxed{U = E - R_i \cdot I} \quad (232.2)$$

În circuit închis, tensiunea la borne este mai mică decât forța electromotoare.

Prin urmare, în circuit închis, diferența de potențial, între bornele generatorului, este mai mică decât forța electromotoare.

Această diferență de potențial se mai numește și *tensiune la borne*.

În cazul particular când, legăturile fiind întrerupte, curentul nu mai circulă, intensitatea este nulă și rezultă că

$$E = U.$$

În circuit deschis, tensiunea la borne devine egală cu forța electromotoare.

Circuitul este atunci *deschis* și tensiunea la borne devine egală cu forța electromotoare.

Ca să măsurăm această forță electromotoare, va trebui deci să lăsăm circuitul deschis și să folosim fie un *electrometru*, fie un *voltmetru*, a cărui rezistență proprie să fie practic infinită, în comparație cu a generatorului, ca să putem neglija curentul care-l parcurge. Vom descrie voltmetrele mai târziu.

Mai menționăm că există cazuri, pe care de asemenea le vom cerceta ulterior, când forța electromotoare nu apare la bornele unui generator individualizat, ci se repartizează pe întregul circuit. De asemenea pot să apară forțe electromotoare în diferite regiuni ale unui circuit dat.

**§ 233. Rezistențe variabile și potențiometre.** Când este necesar ca un generator electric să debiteze un curent de anumită

intensitate, printr-un circuit de rezistență prea mică, vom introduce în serie, pe acel circuit, o rezistență ohmică suplimentară, așa cum arată fig. 141.

Rezistența interioară a generatorului fiind  $R_i$  și rezistența inițială a circuitului fiind  $R_c$ , rezistența suplimen-

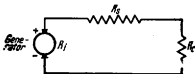


Fig. 141. Rezistențele conectate în serie limitează intensitatea curentului la valoarea dorită.

tară, notată cu  $R_s$ , va trebui să aibă valoarea dată de relația (232.1), adaptată situației.



Ea este deci

$$R_s = \frac{E}{I} - (R_l + R_c). \quad (233.1)$$

Adesea rezistența internă a generatorului este neglijabilă, în raport cu celelalte rezistențe din circuit și atunci

$$R_s = \frac{E}{I} - R_c. \quad (233.2)$$

Alteori avem interesul ca, sub intensitatea  $I$ , să aducem, la capetele unei rezistențe de folosire  $R_c$ , numai diferența de potențial  $U$ , în timp ce generatorul produce tensiunea la borne  $U_0$ .

Dacă rezistența lui este neglijabilă, vom lega în serie o rezistență suplimentară, așa fel ca

$$U_0 - U = R_s I. \quad (233.3)$$

Iar dacă rezistența generatorului nu poate fi neglijată, va trebui ca

$$U - R_c I = E - R_l I - R_s I. \quad (233.4)$$

Rezistențele de valoare fixă nu se întrebuintează însă decît în cazuri speciale. Mai comod e să folosim rezistențe variabile, numite și *reostate*, care sînt construite așa cum arată fig. 142.

Tipul reprezentat în fig. 142, *a* este reostatul cu *ploturi* (sau cu manivela).

El e făcut dintr-o spirală de sîrmă, întinsă pe un cadru izolan și legată, din loc în loc, la ploturile de contact, pe care lunecă manivela.

Bornele de intrare și de ieșire sînt legate, deoparte la unul din capetele spiralei, iar de cealaltă parte la axa manivelei. În chipul acesta se introduce în circuit numai fracțiunea convenabilă din rezistența totală.

Tipul din fig. 142, *b* este reostatul cu *cursor*, folosit obișnuit în laboratoare. Sîrma este bobinată pe un cilindru de porțelan, iar cursorul lunecă pe o bară metalică și mută contactul de pe o spirală pe alta.

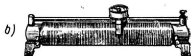
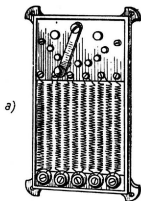


Fig. 142. Reostate și reprezentarea lor simbolică.

Figura 142, c ne arată cum se reprezintă schematic și convențional o rezistență variabilă (reostat).

Ca să putem cunoaște diferențele de potențial și intensitatea curentului din circuite, mai trebuie să folosim *voltmetre* și *ampermetre*.

**Ampermetrul are rezistență mică și se leagă în serie, iar voltmetrul are rezistență mare și se leagă în paralel.**

*Ampermetrul se leagă în serie, indiferent în care punct al circuitului, iar voltmetrul se leagă în derivație (sau în paralel), între punctele cu diferența de potențial de măsurat.*

Figura 143 reprezintă schematic un generator  $G$ , care debitează curent prin rezistența fixă  $R_f$  și rezistența variabilă  $R_v$ .

Voltmetrul  $V_1$  măsoară diferența de potențial între capetele rezistenței variabile, iar voltmetrul  $V_2$  pe aceea de la bornele generatorului.

Ampermetrul  $A$  este legat în serie. Rezistența lui trebuie să fie cât mai mică, pentru ca introducerea ei în circuit să nu modifice sensibil intensitatea curentului.

Cît despre voltmetre, am arătat mai sus că rezistențele lor trebuie să fie cât mai mari, ca să putem neglija curentul ce le parcurge.

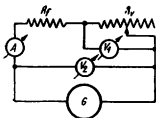


Fig. 143. Ampermetrul se leagă în serie și voltmetrul în paralel.

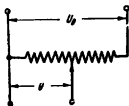


Fig. 144. Montaj potențiomtric.

O metodă simplă și comodă, cu care putem folosi numai o parte din diferența de potențial existentă la bornele unui generator, notată cu  $U_0$ , este să legăm între dinsele capetele spiralei unui reostat (variabil) și să potrivim poziția cursorului, așa ca,

Între dînsul și unul din capete să avem diferența de potențial dorită  $U$ .

Schema de montaj este reprezentată în fig. 144, iar dispozitivul se numește *potențiomtru*.

Sistemul are însă inconvenientul că lasă neutilizată o parte din intensitatea curentului, debitat de generator.

**§ 234. Teoremele lui Kirchhoff.** Aceste teoreme, numite încă și *legile lui Kirchhoff*, se referă la conductorii ramificați, adică la sistemele mai complexe, ce formează o *rețea* de conductori, parcursă de curenți electrici.

1) Vom considera mai întîi cazul unor conductori, care se întîlnesc într-un *nod* de ramificație  $O$  (fig. 145).

Este evident că, în punctul acesta, nu se pot produce nici pierderi, nici acumulări de electricitate, așa că suma curenților ce se apropie de dînsul va fi egală cu a celor ce se depărtează.

În cazul din figură, vom avea deci

$$I_1 + I_2 = I_3 + I_4 + I_5.$$

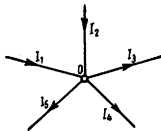


Fig. 145. Pentru prima teoremă a lui Kirchhoff.

Iar dacă facem o *convenție de semn* și considerăm ca pozitivi curenții cari se apropie de nod și ca negativi pe cei ce se depărtează, vom putea scrie că, în general,

$$\boxed{\sum I = 0} \quad (234.1)$$

Această relație formulează *prima teoremă a lui Kirchhoff*<sup>1)</sup> și ne spune că :

Suma algebrică a curenților ce se apropie și se depărtează de un punct de ramificație este nulă.

*Suma algebrică a tuturor curenților ce se apropie și se depărtează simultan de un nod de ramificație este nulă.*

<sup>1)</sup> *Gustav Robert Kirchhoff* (1824—1887), fizician german, fost profesor la Heidelberg, apoi la Berlin.

Este evident că același lucru se petrece în orice punct al unui curent electric. Dacă nu există o ramificație, suma se reduce numai la doi termeni.

2) Complicînd situația, să presupunem că un *ochi* al rețelei de conductori, cu diferite legături exterioare, ar fi parcurs de curenți electrici și că, undeva, în interiorul lui, ar exista și un generator, fără rezistență interioară, la bornele căruia se produce forța electromotoare  $E$  (fig. 146).

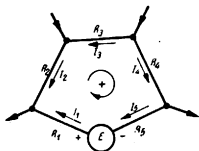


Fig. 146. Pentru a doua teoremă a lui Kirchhoff.

trebui ca suma algebrică a căderilor de potențial să fie egală cu forța electromotoare  $E$ , fiindcă altfel nu am putea să avem un regim staționar al curentului.

Ținînd seamă de sensul curenților, vom putea scrie deci că

$$E = R_1 I_1 - R_2 I_2 - R_3 I_3 + R_4 I_4 + R_5 I_5.$$

Iar pentru un număr oarecare de laturi,

$$\boxed{\sum RI = E} \quad (234.2)$$

Această relație formulează a doua teoremă lui Kirchhoff și ne spune că :

*Indiferent de legăturile exterioare, într-un ochi de rețea, în care se găsește introdusă o forță electromotoare, suma algebrică a căderilor de potențial, pe conturul parcurs în sensul convențional pozitiv, este egală cu această forță electromotoare.*

Este evident că, dacă nu ar exista nici o forță electromotoare, intercalată în circuitul parcurs, am avea

$$E=0 \quad \text{și} \quad \sum RI=0.$$

§ 235. **Rezistențe în serie și în paralel.** Să considerăm întâi diferite rezistențe, legate în serie, prin care trece un curent de intensitate  $I$  (fig. 147).

Capetele sistemului sînt legate la un generator, care produce tensiunea la borne  $U$ .

Așa cum se prezintă situația, este evident că această tensiune va fi egală cu suma căderilor de potențial, în lungul rezistențelor succesive, așa că

$$U=R_1I+R_2I+R_3I+\dots$$

și fiindcă

$$U=RI,$$

unde  $R$  reprezintă rezistența totală a sistemului, urmează că

$$\boxed{R=R_1+R_2+R_3+\dots} \quad (235.1)$$

**Rezistențele legate în serie se adună,**

*Prin urmare, mai multe rezistențe legate în serie reprezintă o rezistență egală cu suma lor.*

Schimbînd acum situația, vom lega rezistențele *în paralel*, așa cum arată fig. 148, iar între punctele  $a$  și  $b$  vom aplica iarăși o diferență de potențial  $U$ .

Sistemul echivalează atunci cu o rezistență unică  $R$ , prin care trece un curent de intensitate

$$I=\frac{U}{R}$$

egală cu suma curenților ce parcurg fiecare rezistență în parte.

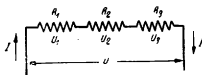


Fig. 147. Rezistențe în serie.

Dar cum diferența de potențial este aceeași la toate, curenții respectivi au intensitățile :

$$I_1 = \frac{U}{R_1}; \quad I_2 = \frac{U}{R_2}; \quad I_3 = \frac{U}{R_3}; \dots$$

și atunci condiția ca intensitatea totală să egaleze suma intensităților parțiale ne duce la relația

$$\left[ \frac{1}{R} = \frac{1}{R_1} + \frac{1}{R_2} + \frac{1}{R_3} + \dots \right] \quad (235.2)$$

La legarea în paralel, inversa rezistenței echivalente este egală cu suma inverselor rezistențelor parțiale.

*Prin urmare, la legarea în paralel, inversa rezistenței echivalente este egală cu suma inverselor rezistențelor parțiale.*

*Shuntul* este o rezistență, ce se leagă în paralel, între bornele unui ampermetru sau galvanometru și are rolul să devieze o parte din curentul ce trece prin aparatul de măsură, ca să-i micșoreze sensibilitatea (fig. 149).

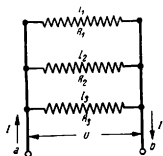


Fig. 148. Rezistențe în paralel.

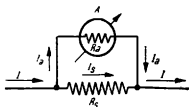


Fig. 149. Montarea shuntului la un ampermetru.

Rezistența proprie a ampermetrului fiind  $R_a$  și a shuntului  $R_s$ , vom avea

$$I = I_a + I_s \quad \text{și} \quad I_a R_a = I_s R_s.$$

De aici deducem că

$$I_a = I \cdot \frac{R_s}{R_a + R_s}$$

și astfel intensitatea curentului, ce trece prin ampermetru, va fi cu atât mai mică, cu cât și rezistența shuntului este mai mică, în comparație cu a lui.

*Exemplu.* Dacă un ampermetru are rezistența proprie de doi ohmi și acul deviază pînă la capătul scării, sub intensitatea de 3 A, putem extinde scara pînă la 30 A, cu un shunt a cărui rezistență e în acord cu relația

$$3 = 30 \frac{R_s}{2 + R_s}$$

și deducem că

$$R_s = 0,22 \, \Omega.$$

§ 236. **Puntea lui Wheatstone**<sup>1)</sup>. O rezistență necunoscută poate fi determinată, prin comparație cu altele cunoscute, folosind montajul din fig. 150.

Între A și B se leagă un generator de curent electric, iar galvanometrul G face puntea de legătură între C și D.

Potrivim rezistențele  $R_1$ ,  $R_2$ ,  $R_3$  așa ca prin galvanometru să nu mai treacă nici un curent.

În această situație particulară, galvanometrul rămîne la zero și ne arată că, între punctele C și D, nu există nici o diferență de potențial.

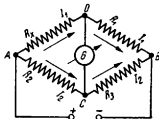


Fig. 150. Schema punții Wheatstone.

Ca urmare, curentul din rezistența necunoscută  $R_x$  trece integral în  $R_1$ , iar cel din  $R_2$  trece integral în  $R_3$ .

Iar dacă ținem seamă de sensul convențional pozitiv al curenților și aplicăm a doua teoremă a lui Kirchhoff, avem, pentru ochiul de rețea ADC,

$$R_x I_1 = R_2 I_2$$

și, pentru ochiul DBC,

$$R_1 I_1 = R_3 I_2.$$

<sup>1)</sup> Charles Wheatstone (1802—1875), fizician englez. Metoda descrisă datează din 1843.

Aceste relații ne dau, prin împărțire,

$$\boxed{\frac{R_x}{R_1} = \frac{R_2}{R_3}}, \quad (236.1)$$

în care toate cantitățile sînt cunoscute, afară de  $R_x$ .

Sub această formă, metoda are inconvenientul că ne obligă să folosim deodată trei rezistențe etalonate.

Următoarea variantă, numită *puntea cu fir*, suprimă două din ele și le înlocuiește cu un fir metalic  $AB$ , uniform ca structură și secțiune (fig. 151).

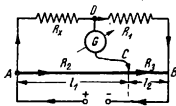


Fig. 151. Schema punții cu fir.

Galvanometrul face, de astă dată, puntea între punctul  $D$  și un contact mobil, ce poate fi purtat în lungul firului.

Și fiindcă rezistența unui fir este proporțională cu lungimea lui, vom avea

$$\frac{R_2}{R_3} = \frac{l_1}{l_2}.$$

În aceste condiții, relația (236.1) devine

$$\boxed{\frac{R_x}{R_1} = \frac{l_1}{l_2}}. \quad (236.2)$$

iar lungimile se măsoară direct, pe o riglă gradată în milimetri.

Firul are, de obicei, lungimea de un metru și aria secțiunii de ordinul a  $0,5-0,7 \text{ mm}^2$ .

În locul galvanometrului se poate lega o cască telefonică, iar ca generator se folosește atunci o sursă de curent alternativ, care schimbă sensul de cîteva sute de ori pe secundă.

În cască se aude un sunet, de frecvență corespunzătoare și vom potrivi rezistențele în așa fel ca intensitatea acestui sunet să fie minimă.

Procedeul, cunoscut sub numele de *puntea lui Kohlrausch*<sup>1)</sup>, se aplică mai ales la determinarea rezistenței substanțelor, la care trecerea curentului, într-un singur sens, produce descompuneri chimice, de pildă la electroliți. Fiecare alternanță anulează atunci efectul precedentei.

*Metoda voltmetrului* este mai puțin precisă decît puntea și de aceea nu o folosim decît la determinările rapide, cînd urmărim numai valorile aproximative.

De la un generator electric se trece curentul prin rezistența de măsurat, iar un ampermetru, legat în serie, ne arată intensitatea lui (fig. 152).

<sup>1)</sup> Friedrich Kohlrausch (1840—1910), fizician german.



Diferența de potențial, între capetele rezistenței, se măsoară cu un voltmetru, legat în paralel și legea lui Ohm

$$U = RI$$

ne permite să calculăm pe  $R$ .

§ 237. **Determinarea forței electromotoare.** Comparația unei forțe electromotoare cunoscute, cu alta necunoscută, se face obișnuit prin următoarele două metode:

1) *Metoda compensării.* Schema conexiunilor este arătată în fig. 153.

$E$  este un *generator-etalon*, cu forța electromotoare cunoscută, iar  $E_x$  este forța electromotoare de măsurat.

Legăturile se fac în așa fel, încât curenții debitați să circule prin galvanometru în sensuri contrarii și se potrivesc rezistențele din circuit așa ca intensitățile lor să fie egale, în valoare absolută.

Galvanometrul rămâne atunci la zero și avem

$$I = \frac{E}{R_1} = \frac{E_x}{R_2}$$

În practică, determinarea este ceva mai complicată, fiindcă trebuie să luăm seamă și de rezistențele interioare ale generatorilor.

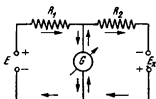


Fig. 153. Determinarea unei forțe electromotoare prin metoda compensării.

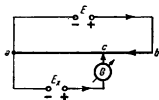


Fig. 154. Determinarea unei forțe electromotoare prin metoda opoziției.

2) *Metoda opoziției.* Montajul este cel din fig. 154. Cursorul  $c$  lunecă în lungul unui fir omogen  $ab$ , iar poziția lui o potrivim așa ca, între punctele  $a$  și  $c$ , pe porțiunea comună a celor două circuite, să avem aceleași căderi de potențial, în sensuri opuse.

În cazul acesta,

$$\frac{ac}{ab} = \frac{E_x}{E}$$

și galvanometrul (care poate fi și un electrometru) nu ne mai arată nici o deviație, fiindcă la bornele lui acționează diferențe de potențial egale și în opoziție.

Metoda este mai comodă decît precedentă și a fost imaginată de Poggendorf<sup>1)</sup>.

**Rezistențe etalonate.** Atît pentru măsurarea forțelor electromotoare, cit și pentru montajele în punte, avem nevoie de rezistențe etalo-

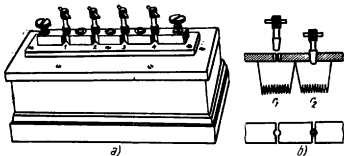


Fig. 155. Cutie de rezistențe etalonate.

nate cit mai precis. Acestea sînt așa numitele *cutii de rezistențe* și fig. 155, a ne arată aspectul lor exterior.

În principiu, ele sînt făcute din fire metalice, de manganin sau de constantan, bobinate pe mosoare de lemn și apoi fierte în parafină, ca să fie ferite de umezeală și de atacurile chimice.

Capetele bobinelor sînt sudate la niște bare masive de alamă, așa cum arată fig. 155, b, iar între bare intră forțat niște cuie de contact.

Rezistența cuielor și a barelor este practic nulă, așa că rezistența totală, introdusă în circuit, sumează numai rezistențele de la care am scos cuiile.

Cînd nu se cere o precizie deosebită, este comod să folosim rezistențe făcute din tuburi de porțelan, unse cu grafit sau cu anumite substanțe chimice de conductivitate mică.

O simplă diră, trasă cu creionul pe o placă izolantă și, eventual, chiar pe o foaie de hirtie, ne dă o rezistență de ordinul *megohmilor*, adică a milioanelor de ohmi.

Alteori anumite pulberi, de pildă carbură de siliciu, sînt comprimate sub forma de bastonașe, împreună cu un *liant*.

Asemenea rezistențe au întrebuințare mai ales în aparatele de radio-recepție.

În fine se poate improviza o rezistență cu două fire sau plăci metalice, cufundate în apă sau într-un electrolit.

<sup>1)</sup> Johann Christian Poggendorf (1796—1877), fizician german.

*Exemple numerice.* 1) O baterie de acumulatori are forța electromotoare de 50 V. Cînd ea debitează un curent de 20 A, diferența de potențial între borne scade la 45 V. Să i se calculeze rezistența interioară.

Relația (232.2)

$$U = E - R_i I$$

ne dă

$$R_i = \frac{E - U}{I} = \frac{50 - 45}{20} = 0,25 \, \Omega.$$

Forța electromotoare a unui singur acumulator este de 2 V, așa că bateria e formată din 25 de elemente.

Rezistența fiecărui element este, așadar de 0,01  $\Omega$ .

2) O rezistență de 10  $\Omega$ , legată direct la bornele unui generator, este parcursă de un curent cu intensitatea de 11 A. Înlocuind-o cu altă rezistență, de 5  $\Omega$ , curentul crește la 21 A. Să se calculeze rezistența interioară și forța electromotoare a generatorului.

Legea lui Ohm, aplicată circuitului închis, ne dă, în cele două cazuri considerate,

$$E = I_1 (R_1 + R_i)$$

$$E = I_2 (R_2 + R_i).$$

Rezolvînd sistemul, în privința necunoscutelor  $E$  și  $R_i$ , obținem

$$R_i = \frac{I_1 R_1 - I_2 R_2}{I_2 - I_1} = \frac{11 \cdot 10 - 21 \cdot 5}{21 - 11} = 0,5 \, \Omega$$

$$E = \frac{I_1 I_2 (R_1 - R_2)}{I_2 - I_1} = \frac{11 \cdot 21 (10 - 5)}{21 - 11} = 115,5 \, \text{V}.$$

3) În schema din fig. 146, să se calculeze forța electromotoare a generatorului și intensitatea curentului care iese prin nodul rezistențelor  $R_4$  și  $R_5$ .

Se va lua:  $R_1 = R_2 = 5 \, \Omega$ ;  $R_3 = R_4 = 10 \, \Omega$ ;  $R_5 = 15 \, \Omega$ .

$$I_2 = I_3 = I_4 = 2 \, \text{A} \text{ și } I_1 = I_5 = 10 \, \text{A}.$$

A doua teoremă a lui Kirchhoff (234.2) ne dă, pentru sensul convențional din figură,

$$E = \sum R I = R_1 I_1 - R_2 I_2 - R_3 I_3 + R_4 I_4 + R_5 I_5.$$

Prin urmare

$$E = 5 \cdot 10 - 5 \cdot 2 - 10 \cdot 2 + 10 \cdot 2 + 15 \cdot 10 = 190 \, \text{V}.$$

Iar prima teoremă a lui Kirchhoff (234.1) ne dă, ținînd seamă că curentul merge spre nod și care se depărtează,

$$-I = -I_4 + I_5 = 8 \, \text{A}.$$

4) La bornele unui generator, cu rezistența interioară neglijabilă, care produce forța electromotoare de 500 V, se leagă un voltmetru, de rezistență proprie  $R_v = 100\,000\ \Omega$ , în serie cu altă rezistență necunoscută  $R_x$ . Dacă acul voltmetrului arată diferența de potențial  $U = 100\text{ V}$ , care e valoarea rezistenței  $R_x$ ?

Legea lui Ohm, aplicată la circuitul închis, ne dă

$$E = I(0 + R_x + R_v) \quad (232.1)$$

și rezultă că

$$I = \frac{E}{R_x + R_v}$$

Dar diferența de potențial arătată de voltmetru este

$$U = R_v I$$

de unde, substituind valoarea lui  $I$ , obținem

$$E = R_x \cdot \frac{E}{R_x + R_v} + U$$

sau

$$R_x = R_v \left( \frac{E}{U} - 1 \right)$$

iar numeric

$$R_x = 100\,000 \left( \frac{500}{100} - 1 \right) = 400\,000\ \Omega.$$

## CAPITOLUL XXXII

### ELECTROLIZA

§ 238. Aspectul calitativ al fenomenelor. La metale, unde transportul de electricitate îl asigură electronii liberi, fără participarea atomilor, trecerea curentului electric nu poate să producă nici o schimbare chimică, oricît ar fi de mare intensitatea lui.

La metale transportul de electricitate nu produce modificări chimice, fiindcă se datorește numai electronilor liberi.

Cu totul alta e situația la alte

specii de conductori, cum ar fi, de pildă, sărurile metalice topite, ori soluțiile saline, bazice sau acide.

La intrarea și ieșirea curentului din anumiți conductori nemetalici, se produc fenomene de descompunere electrolitică.

Aici se constată că, la locurile de intrare și de ieșire a curentului, se produc unele fenomene de descompunere chimică, pe care Faraday a numit-o *electroliză* și a studiat-o experimental.

Substanța prin care trece curentul se numește atunci *electrolit*, iar conductorii metalici, pe care-i scufundăm înăuntru, ca să asigure legătura cu restul circuitului, îi numim *electrozi*.

Electrodul legat la polul pozitiv al generatorului de electricitate se numește *anod*, iar celălalt, legat la polul negativ, este *catodul*.

Ca exemplu de descompunere electrolitică, să considerăm înii cazul apei acidulate, de pildă cu acid sulfuric.

Aici se degajă, la catod, hidrogenul, în volum de două ori mai mare decât oxigenul, care se degajă la anod.

Operația se face, de obicei, într-un *voltmetru*, adică într-un aparat în care doi electrozi de platină sînt cufundați ori introduși în lichid, în felul care să permită o culegere cît mai comodă a gazelor degajate.

Dintre numeroasele variante posibile, fig. 156 reproduce, în *a* și *b*, pe cele două mai obișnuite.

Ca un al doilea exemplu, vom considera descompunerea unei soluții apoase de sulfat de cupru.

De astă dată se constată o degajare de oxigen la anod și o depunere de cupru metalic, la catod.

În fine, un al treilea exemplu tipic îl găsim la electroliza clorurii de sodiu topite. La anod se degajă clorul, iar la catod se depune sodiu metalic.

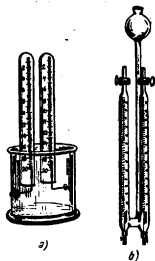


Fig. 156. Tipuri curente de voltmetre.

Din aceste trei exemple, alese la întâmplare dintre nenumărate altele, se pot distinge trei situații diferite :

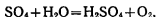
1) *În cazul apei acidulate*, nu se descompune acidul, ci numai apa.

2) *Din soluția de sulfat de cupru*, rezultă, deoparte metalul, iar de cealaltă parte oxigenul, care provine tot din apă.

3) *La clorura de sodiu topită*, produsele de descompunere sînt chiar elementele constituente ale sării.

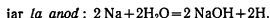
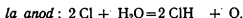
Aceste deosebiri se datoresc *reacțiilor secundare* :

Din acidul sulfuric,  $\text{H}_2\text{SO}_4$ , radicalul  $\text{SO}_4$  merge la anod și acolo reacționează cu apa, după ecuația



iar cel ce se degajă este oxigenul, în timp ce acidul se regenerează.

Analog, o soluție apoasă de clorură de sodiu degajă oxigenul la anod și hidrogenul la catod, care provin din descompunerea apei, fiindcă



După aceea hidratul se combină cu acidul și regenerează clorura de sodiu.

Ca să evităm, cel puțin în parte, ca sodiul să descompună apa, e destul să facem catodul din mercur, care-l fixează prin amalgamare.

Analog, la electroliza soluției de sulfat de cupru, radicalul  $\text{SO}_4$ , care se separă la anod, scoate hidrogenul din apă, formează acid sulfuric și pune în libertate oxigenul.

Și aici degajarea de oxigen poate fi împiedicată, dacă facem anodul dintr-un metal, în stare să treacă ușor în sulfat, de pildă chiar din cupru. În măsura în care se descompune electro-litic, sarea este atunci primenită, prin dizolvarea treptată a anodului.

Complicînd situația, putem lega în serie mai multe volta-metre, cu soluții și electrozi diferiți, așa cum arată fig. 157.

Fenomenele de descompunere electrolitică, descrise mai sus, au naștere atunci simultan, în toate voltametrele, fiecare după specificul situației respective.

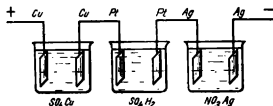


Fig. 157. Fenomenul de electroliză se petrece după aceleași legi în toate voltametrele legate în serie.

În unele se va descompune substanța, în altele dizolvantul.

Produsele de descompunere electrolitică pot să apară fie direct, fie prin reacții secundare.

*În concluzie: uneori descompunerea electrolitică separă constituenții substanței; alteori produsele de descompunere apar din reacții chimice secundare.*

Un alt fapt important, pe care ni-l arată experiența este că

Produsele de descompunere electrolitică se formează numai pe suprafața electrozilor.

*aceste produse nu pot fi evidențiate niciodată în masa electrolitului, ci numai pe suprafața electrozilor.*

**§ 239. Legile electrolizei.** În 1833, *Faraday*, studiind cantitativ descompunerea electrolitică, a stabilit experimental că masa în grame a substanței, liberată la fiecare din electrozi, este dată de relația

$$M = \frac{1}{F} \cdot \frac{A \cdot I}{n} \cdot t$$

în care:

$I$  reprezintă intensitatea curentului electric,

$t$  exprimă durata electrolizei, în secunde,

$A$  este masa relativă a atomului sau radicalului liberat la unul din electrozi și

$n$  reprezintă valența chimică respectivă.

Cît despre cantitatea  $F$ , ce intră la numitor, în factorul de proporționalitate, ea este o constantă și se numește *numărul lui Faraday*.

Dacă exprimăm intensitatea curentului în amperi, cele mai precise determinări experimentale, făcute pînă acum, au dus la valoarea

$$F = 96\,490$$

În aceste condiții, dacă ținem seamă că produsul  $It$  reprezintă numărul de coulombi, ce au trecut printr-o secțiune dată a electrolitului, putem scrie relația lui Faraday sub forma

$$M = \frac{1}{F} \cdot \frac{A}{n} \cdot Q \quad \text{g (grame)}. \quad (239.1)$$

Se știe că raportul dintre masa atomică relativă și valență reprezintă *echivalentul chimic* al substanței.

Raportul dintre echivalentul chimic și numărul lui Faraday reprezintă echivalentul electrochimic.

Prin împărțirea lui cu numărul lui Faraday, obținem o mărime, caracteristică în electroliză, care se numește *echivalent electrochimic*.

Relația de față ne spune deci că :

Produsul dintre echivalentul electrochimic și numărul de coulombi ne dă masa substanței liberate.

*Produsul dintre cantitatea de electricitate, în coulombi și echivalentul electrochimic reprezintă masa în grame a substanței liberate la fiecare electrod.*

Cunoscînd acestea, sîntem acum în situația să enunțăm legea lui Faraday sub forma următoare :

La fiecare electrod, masa substanței depuse este proporțională cu cantitatea de electricitate ce a străbătut prin orice secțiune a circuitului.

*La fiecare electrod, electroliza liberează o cantitate de substanță, direct proporțională cu cantitatea de electricitate ce a străbătut o secțiune oarecare a circuitului, iar factorul de proporționalitate este*

*echivalentul electrochimic al elementului sau radicalului respectiv.*



De altă parte, dacă ne referim la cazul particular, când cantitatea de electricitate ar fi de un singur coulomb, aceeași relație ne mai arată că :

Cantitatea în grame de substanță, depusă de un coulomb, este numeric egală cu echivalentul electrochimic.

*Pentru fiecare coulomb, se liberează și la anod și la catod o cantitate de substanță, numeric egală în grame cu echivalentul electrochimic al ei.*

Tabela de mai jos ne dă echivalentul electrochimic, în câteva cazuri tipice :

*Tabela 19*

Substanța	Masa atomică	Valența	Milligrame/coulomb
Hidrogen . . . . .	1,008	1	0,010 4
Argint . . . . .	107,880	1	1,118
Oxigen . . . . .	16,000	2	0,082 9
Cupru . . . . .	63,57	2	0,329
Fier (fero) . . . . .	55,84	2	0,289
Fier (feri) . . . . .	55,84	3	0,193
Aur . . . . .	197,2	3	0,681
Platină . . . . .	195,23	4	0,506
SO <sub>4</sub> . . . . .	96,06	2	0,498

Aceeași cantitate de electricitate, care depune 0,010 4 miligrame de hidrogen, poate deci să depună 1,118 mg de argint, 0,329 mg de cupru și așa mai departe.

Prin cântărirea directă a substanței depuse într-un timp dat, avem astfel mijlocul să deducem numărul de coulombi ce au străbătut fiecare secțiune a circuitului, precum și intensitatea curentului, dacă ea nu variază în timp.

Un voltmetru, folosit în scopul acesta, se numește *coulombmetru* și, între altele, poate să servească la etalonarea unui ampermetru, legat în serie pe circuit.

În 1908 s-a ales, ca etalon practic și s-a numit *amper internațional*, intensitatea curentului ce ar depune, în fiecare secundă, cite 1,118 miligrame de argint, pe catodul unui voltmetru, construit după anumite prescripții.

Această convenție avea inconvenientul că rămânea subordonată oricărei determinări ulterioare, mai precisă decât precedentele.

În ultimul timp a fost părăsită și acum se definește amperul, ca unitate absolută, cu ajutorul fenomenelor electromagnetice, de care ne vom ocupa mai târziu.

§ 240. **Ionii în electroliză.** Faraday admitea că descompunerea substanței, în electroliză, o face însuși curentul electric ce o străbate. Vom vedea curînd în ce măsură această concepție se cere modificată.

De altă parte, constatarea experimentală că anumiți atomi, sau radicali chimici, se depun totdeauna pe electrodul de anumită polaritate, indiferent de substanța din care au provenit, impune concluzia că ei poartă sarcini electrice, care nu-și schimbă semnul după caz și împrejurări.

Ionii sînt atomi sau radicali, ce poartă sarcini electrice de semn caracteristic. Cei pozitivi sînt cationi, iar cei negativi sînt anionii.

Ionii *pozitiv*, se depun la catod și se numesc *cationi*.

Tot Faraday a numit *ioni* aceste particule electrizate. Ionii *încărcați pozitiv*, ca hidrogenul sau metalele, se depun la catod și de aceea le zicem *cationi* pe cînd metaloidele sau radicalii chimici sînt *încărcați negativ*, se depun la anod și se numesc *anioni*.

§ 241. **Sarcina electrică a ionilor.** Din legea cantitativă a lui Faraday

$$M = \frac{1}{F} \cdot \frac{A}{n} \cdot Q \quad (239.1)$$

în care punem condiția ca

$$M = A$$

rezultă că

$$nF = Q.$$

Numărul lui Faraday, înmulțit cu valența, ne arată cîtți coulombi sînt necesari pentru depunerea unui atom-gram de substanță.

*Aceasta înseamnă că valența substanței, înmulțită cu numărul lui Faraday, ne dă numărul de coulombi, necesari pentru depunerea electrolitică a unui atom-gram.*

Să considerăm acum o substanță oarecare, cu atomul monovalent, de pildă hidrogenul sau un metal alcalin.

Fiecare atom-gram conține

$$N = 6,03 \cdot 10^{23} \text{ atomi}$$

și depunerea lui electrolitică necesită

$$Q = F = 96\,490 \text{ C.}$$

Prin urmare, indiferent de natura substanței, revine unui singur ion monovalent sarcina electrică

$$e = \frac{Q}{N} = \frac{96\,490}{6,03 \cdot 10^{23}} = 1,6 \cdot 10^{-19} \text{ C}$$

sau

$$e = 1,6 \cdot 10^{-19} \cdot 3 \cdot 10^9 = 4,8 \cdot 10^{-10} \text{ u.e.s.}$$

Iar dacă valența ionului este  $n$ , se vede imediat că și sarcina lui va fi de  $n$  ori mai mare.

În electroliză, ionul monovalent poartă sarcina

$$e = \pm 1,6 \cdot 10^{-19} \text{ C.}$$

Prin urmare, în electroliză, un singur ion transportă fie sarcina  $\pm e$ , fie un multiplu întreg al ei, dar nu și valori fracționare.

Raționamentul acesta, făcut de Stoney<sup>1)</sup>, în 1874, introduce, pentru prima dată în fizică, ideea structurii atomice a electricității.

În § 223, am descris experiențele lui Millikan și am arătat cum, din viteza de cădere a picăturilor electrizate, într-un câmp electric de intensitate cunoscută, s-a putut măsura direct sarcina elementară  $e$ .

Comparația rezultatelor ne arată că, deși metodele sînt fundamental diferite, valorile numerice sînt perfect concordante, iar mai tîrziu vom descrie și alte metode, care de asemenea le confirmă.

În altă ordine de idei, să considerăm un ion monovalent oarecare, de pildă *ionul de hidrogen*.

Un atom-gram cîntărește 1,008 g, iar fiecare atom, luat individual cîntărește

$$m = \frac{1,008}{N} \text{ g.}$$

Raportul dintre sarcina electrică și masa ionului va fi deci

$$\frac{e}{m} = \frac{96\,490/N}{1,008/N} = 9,578 \cdot 10^4 \text{ C/g.}$$

<sup>1)</sup> George Johnstone Stoney (1826—1911), fizician irlandez.

Calcularea lui nu cere cunoașterea numărului lui Avogadro, care se elimină prin împărțire.

Sarcina specifică se exprimă prin raportul dintre sarcina ionului și masa lui.

*Acest raport reprezintă, prin definiție, sarcina specifică a ionului considerat și are valoarea maximă la hidrogen.*

Cu prilejul unei comemorări, Helmholtz a făcut observația că, pe vremea lui Faraday, concepția structurii atomice a materiei, cît și legea lui Avogadro, erau deja destul de bine fundamentate, prin legile combinațiilor chimice.

Odată stabilită legea cantitativă a depunerii electrolitice, Faraday avea deci la dispoziție toate datele care trebuiau să ducă la concepția structurii atomice a electricității.

El n-a îndrăznit, totuși, să facă pasul acesta decisiv, cu toate că, după toate probabilitățile, întrevăzuse legătura.

§ 242. **Teoria disociației electrolitice.** Faraday admitea, după cum am văzut mai sus, că descompunerea electrolitică se datorește însuși curentului electric și nu atribuia dizolvantului un rol activ.

De atunci încoace, o serie de fapte, constatate experimental, au impus modificarea treptată a acestei concepții și l-au îndreptățit pe Arrhenius ca, pe baza lor, să clădească, în 1887, așa numita teorie a *disociației electrolitice*.

Aceste fapte sînt următoarele :

1) Dacă descompunerea electrolitică ar fi o consecință directă a trecerii curentului, ar trebui ca și conductibilitatea unei soluții date să varieze cu intensitatea lui.

În realitate nu se constată o asemenea influență, după cum nici variația de intensitate a cîmpului electric, între anod și catod, nu modifică proprietățile conductoare ale electrolitului.

2) Pentru o substanță dată și la concentrații egale, conductibilitatea unei soluții depinde, în foarte mare măsură, de natura dizolvantului.

3) Soluțiile apoase au conductibilitatea cea mai mare, cu toate că apa însăși este practic rău conducătoare.

4) La concentrații molare egale, presiunea osmotică a soluțiilor conductibile, pentru curentul electric, este mai mare decît

În cele neconductibile și depășește valoarea calculată din cunoscuta lege a lui Van't Hoff.

$$p = RT \frac{C}{M} \quad (126.2)$$

De asemenea se constată că variațiile temperaturilor de fierbere sau de congelare urmează legea lui Raoult (§ 127) numai în soluțiile rău conducătoare de electricitate. Se știe că și aceste variații sînt legate de presiunea osmotică.

Mai ales la soluțiile apoase ale bazelor, acizilor sau sărurilor minerale, care sînt cele mai conductibile, găsim presiuni osmotice, care pot să atingă uneori aproape dublul valorii calculate din legea lui Van't Hoff.

La soluțiile conductibile valorile anormal de mari ale presiunii osmotice sînt consecința disocierii electrolitice a moleculelor.

*Faptul nu poate fi explicat, decît dacă admitem că o parte din moleculele dizolvate din electrolit se scindează în particule mai mici, mărind concentrația molară.*

Vom spune deci că ele se disociază electrolitic, prin însuși faptul dizolvării.

După Arrhenius, interpretarea fizică a fenomenului este următoarea :

Să presupunem, pentru fixarea ideilor, că am dizolvat clorură de sodiu în apă.

Forțele de legătură chimică sînt de natură electrică și, pentru că sodiul este *cation*, iar clorul *anion*, vom admite că molecula formată prin combinarea lor are structura schematică



adică provine din împerechierea a doi ioni de semne contrarii.

Dacă notăm cu  $+e$  și  $-e$  sarcinile electrice respective și admitem că legea lui Coulomb rămîne valabilă, în domeniul distanțelor atomice, forța de legătură are intensitatea

$$F = \frac{1}{\epsilon} \cdot \frac{e^2}{r^2} \quad (195.1)$$

Ea devine de 81 de ori mai mică în apă, decît în vid, fiindcă permitivitatea mediului crește în această proporție.

Permitivitatea mare a dizolvantului slăbește legătura electrică și dă voie ciocnirilor termice să rupă molecula.

*originea disociației electrolitice.*

*Slăbirea legăturii electrice face ca moleculele dizolvate să nu mai reziste ciocnirilor termice. Ele se rup atunci și astfel se explică*

Experiența ne arată însă că ionii din soluție, așa disociați, nu manifestă însușirile caracteristice ale substanței respective. sodiul nu descompune apa, iar clorul nu miroase, nu e toxic, nici nu se degajă ca gaz.

Explicația e destul de simplă, dacă ne referim la tabela periodică a lui Mendeleev și ținem seamă că numărul electronilor sateliți, în atomul neutru, este egal cu numărul de ordine al elementului respectiv.

Să considerăm deci, ca exemplu, șirul elementelor cuprinse între numerele de ordine 10 și 20, în ordinea consecutivă :

Ne	Na	Mg	Al	Si	P	S	Cl	Ar	K	Ca
10	11	12	13	14	15	16	17	18	19	20

Rămânând la cazul clorurii de sodiu, clorul este monovalent și are 17 electroni sateliți, iar sodiul, de asemenea monovalent, are 11.

În urma disocierii electrolitice, atomul de sodiu cedează un electron și devine ion monovalent pozitiv.

El păstrează astfel numai 10 electroni sateliți și capătă configurația electronică a elementului cu numărul de ordine 10, adică a gazului nobil *neon*.

Electronul cedat îl atașează atomul de clor, care devine ion negativ și pe care noua configurație, cu 18 electroni sateliți, îl aduce în situația gazului nobil *argon*.

Prin ionizare, ambii atomi tind, prin urmare, să se apropie de caracterul chimic inert al gazelor nobile și astfel se explică de la sine mascarea însușirilor proprii, caracteristice numai stării neutre.

Din șirul elementelor menționate mai sus, putem alege și alte exemple :

Prin ionizare, atomii se apropie de configurația electronică a gazelor nobile.

de clor și unul trivalent de aluminiu.

Astfel, în disocierea electroli-  
tică a clorurii de aluminiu ( $AlCl_3$ ),  
se formează trei ioni monovalenți

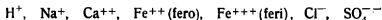
Atomul metalului cedează atunci trei din electronii sateliți și ajunge la configurația electronică a *neonului*, pe când atomii de clor îi captează și se apropie de *argon*, ca și în cazul precedent.

În fine, ca un al treilea exemplu, vom alege *clorura de potasiu* (KCl). De astă dată ambii atomi ajung la configurația electronică a *argonului*, cu număr de ordine 18, prin trecerea electronului de pe unul pe altul.

Fenomenul devine ceva mai complex, când e vorba de grupele atomice, care formează radicalii chimici, dar desfășurarea este, în principiu, similară.

De pildă, în disocierea soluțiilor de acid sulfuric, radicalul  $\text{SO}_4$  captează doi electroni suplimentari și devine ion bivalent negativ, iar atomii de hidrogen pierd câte unul și devin ioni pozitivi monovalenți.

Ca să arătăm atât semnul, cât și valența ionilor, convenim să adoptăm notația :



și așa mai departe.

După toate aceste explicații, să presupunem acum că, în soluția care conține ionii, scufundăm doi electrozi și aplicăm între dinșii o diferență de potențial.

Cîmpul electric produs va suprapune atunci o mișcare de ansamblu, peste mișcarea termică dezordonată a ionilor și-i va transporta, pe cei pozitivi spre catod, iar pe cei negativi spre anod.

Contactul cu electrodul de semn contrar neutralizează sarcina ionilor.

*Cînd ei ating electrodul respectiv, pierd sarcina electrică, prin neutralizare și numai atunci apar însușirile caracteristice stării neutre a atomului substanței.*

Acesta e motivul pentru care, în electroliză, produsele de descompunere pot fi culese numai la electrozi.

În lumina acestor fapte, concepția inițială a lui Faraday, care atribuia originea fenomenelor de descompunere numai curentului electric, se cere modificată, în sensul că :

Ionii apar din însuși procesul dizolvării, iar cîmpul electric îi transportă și asigură trecerea curentului.

*transporte, în sensul forțelor cîmpului, cînd există o diferență de potențial între electrozi.*

E ușor de înțeles acum de ce anumite medii neconductibile, dar de permitivitate mare, cum e apa, devin foarte conductibile, cînd conțin săruri metalice dizolvate, sau alte substanțe, capabile să disocieze.

Aceste medii le vom numi *disociante*, spre deosebire de altele *nedisociante*, la care permitivitatea prea mică nu crează condițiile favorabile disocierii.

La metale, conducerea curentului se datora electronilor liberi; la electroliți, transportul de electricitate are ca vehicul ionii. Aici sarcinile electrice în mișcare sînt obligate să tragă după ele și atomii, sau grupele de atomi, pe care sînt fixate.

În unele cercetări științifice, va trebui să ținem seamă de această deosebire, mai ales că ionii își asociază adesea un număr oarecare din moleculele dizolvantului și trag după dînsii întregul cortegiu.

**Transportul de electricitate prin electroliți este un curent de convecție.**

*Transportul de electricitate în electroliți decurge, așadar, odată cu suportul și de aceea reprezintă un curent de convecție.*

Mișcarea particulelor elektrizate întîmpină, evident, o rezistență de frecare vîscoasă, din partea mediului lichid și urmarea este că energia electrică se transformă parțial în căldură.

Din acest punct de vedere, totul se petrece ca și la curenții de conducție, așa că legea lui Ohm și legea lui Joule-Lenz rămîn valabile.

Cu ajutorul lor, putem defini atît rezistența ohmică a electrolitului, cît și conductivitatea lui.

1. *Gradul de disociație.* Viteza medie de agitație termică a moleculelor crește cu temperatura. În jurul ei, se repartizează statistic vitezele individuale.



Unele molecule se mișcă mai repede, altele mai încet și numai pentru anumită viteză minimă de ciocnire forțele coulombiene pot fi învinse și molecula descompusă în ioni.

Rezultă că raportul

$$\eta = \frac{\text{Numărul moleculelor disociate}}{\text{Numărul moleculelor dizolvate}}$$

va fi cu atât mai apropiat de unitate, cu cât, prin ridicarea temperaturii, ciocnirile vor fi mai violente, ca intensitate medie.

Raportul dintre numărul moleculelor disociate și al celor dizolvate definește gradul de disociație și crește cu temperatura.

Acest raport, la care numărătorul tinde să egaleze numitorul, când încălzim soluția, definește *gradul de disociație* al electrolitului considerat.

Este evident însă că nu numai moleculele se pot ciocni între ele, dar și ionii, care suferă aceeași mișcare de agitație termică.

Dacă o asemenea ciocnire, dictată de legile statisticii, are loc între ioni de semne contrarii, aceștia se recombina și molecula se reface, pînă la o nouă disociere.

Electrolitul suferă deci o continuă prefacere internă :

Gradul de disociație corespunde unei situații de echilibru statistic.

*În timp ce unele molecule se rup în ioni, altele se reface, iar gradul de disociație corespunde unei situații de echilibru statistic, între două procese contrarii.*

Această prefacere tinde să dispară însă, cînd concentrația soluției tinde către zero fiindcă, la diluările prea mari, probabilitatea întîlnirii, între ionii de semne contrarii, devine practic nulă, așa că molecula, odată ruptă, nu se mai poate reface.

Disociația tinde să devină totală, la concentrațiile foarte mici.

*De aceea, la soluțiile extrem de diluate, putem considera disociația ca practic totală.*

Trecînd acum la conductibilitate, este evident că o soluție care nu conține decît molecule neutre nu poate conduce curentul, fiindcă nu există sarcini electrice de transportat. Aceasta se întîmplă atît în mediile nedisociante, cît și la soluțiile substanțe-

lor incapabile să formeze ioni, cum ar fi, de pildă, zahărul și diferitele alte substanțe organice.

Conductibilitatea unei soluții crește cu densitatea cubică a ionilor.

*De asemenea este evident că un electrolit va fi cu atât mai conductibil, cu cât și densitatea cubică a ionilor, adică numărul lor în unitatea de volum, va fi mai mare.*

Inseamnă că, pentru o substanță capabilă să formeze ioni, va trebui să găsim o rezistență electrică mai mică, dacă folosim dizolvanți cu permitivitate mare, dacă mărim concentrația soluției sau dacă ridicăm temperatura. Experiența confirmă aceste prevederi.

De asemenea va trebui ca rezistența unei soluții extrem de diluate să nu varieze cu temperatura, fiindcă disociația este totală de la început.

Din studiul conductibilității soluțiilor putem astfel trage unele concluzii prețioase, cu privire la gradul de disociație și la structura ionilor.

Cercetările sistematice au arătat însă că, în forma simplă arătată mai sus, teoria lui Arrhenius nu înglobează toate fenomenele și trebuie să fie completată, mai ales când e vorba de electroliti tari: hidrați alcalini, acizi minerali sau sărurile lor metalice, în medii disociante.

Aici disociația este practic totală, chiar la concentrații mai mari.

De asemenea apar complicații la dizolvanții cu dipoli moleculari permanenți cum este apa, la care moleculele se asociază cu ioni și formează particule complexe, mult mai mari decât dîșii.

Aceste comportări anormale fac obiectul unor teorii speciale, care mai au încă lipsuri destule.

Nu este cazul să insistăm asupra lor și de aceea menționăm numai că, după concepțiile actuale, distribuția ionilor în soluție reprezintă o situație intermediară între distribuția dezordonată a moleculelor din lichid și aceea reticulară din cristale.

**2. Mobilitatea ionilor.** După legile elementare ale mecanicii, o masă inertă, supusă acțiunii unei forțe constante, capătă o mișcare uniform accelerată.

Acesta e și cazul ionilor, cînd se mișcă într-o soluție, sub acțiunea cîmpului electric, presupus uniform, ce apare între electrozi. Dar viscozitatea lichidului frînează această mișcare și dictează o *viteză-limită*, pe care ionul o atinge în momentul cînd forța de frecare, ce crește cu viteza, ajunge să egaleze forța electrică acceleratoare.

Viteza-limită a ionului, într-un câmp de un volt pe centimetru, definește mobilitatea lui.

Prin definiție, viteza-limită a ionului, într-un câmp uniform de un volt pe centimetru, reprezintă mobilitatea lui.

Este evident că această viteză-limită depinde de forma și de dimensiunile geometrice ale ionului, precum și de viscozitatea soluției.

În literatura științifică au devenit clasice determinările de mobilitate făcute de *Petru Bogdan*, în 1901.

Metoda folosită se bazează pe analiza chimică, făcută la timpuri cunoscute, a concentrației lor în jurul electrozilor, iar ordinul de mărime, în apă, este de câteva miimi de milimetru pe secundă.

Ca exemplu, tabela de mai jos cuprinde câteva date numerice:

Tabela 20

Substanța	Viteza-limită în cm/s
Hidrogen ( $H^+$ ) . . . . .	0,003 2
Sodiu ( $Na^+$ ) . . . . .	0,000 45
Clor ( $Cl^-$ ) . . . . .	0,000 67
$OH^-$ . . . . .	0,001 7
$NO_3^-$ . . . . .	0,000 64
$SO_4^{--}$ . . . . .	0,000 85

Conform definiției date, câmpul corespunzător este de un volt pe centimetru.

Cu aproximație, putem considera ionii ca niște sfere și atunci, dacă cunoaștem sarcina lor electrică, intensitatea câmpului, mobilitatea și viscozitatea soluției, putem egala forța electrică cu forța de frecare, dată de legea lui Stokes, din hidrodinamică (103.1) și aflăm raza sferei.

Rezultatul acestui calcul ne duce la concluzia că raza ionilor este de ordinul a  $10^{-8}$  cm.

Cu toată aproximația făcută, regăsim astfel valoarea calculată cu ajutorul ecuației lui Van-der-Waals, în (§ 138).

Ca încheiere, vom descrie o experiență simplă, prin care se poate arăta diferența de mobilitate a ionilor:

Într-un tub de sticlă, de forma arătată în fig. 158, se introduce, până la jumătate, o cantitate de apă, cu câteva picături de acid sulfuric.

În rezervorul lateral, legat la partea inferioară a tubului de sticlă, printr-un tub de cauciuc, se introduce o soluție colorată de *permanganat de potasiu* ( $\text{MnO}_4\text{K}$ ), a cărei viscozitate o mărim prin adăos de *uree*.

Se deschide încet robinetul și lichidul din rezervor intră în aparat, împinge în sus coloana de apă, dar nu se amestecă cu dinsa.

La capetele tubului de sticlă, cufundăm în soluție două fire metalice, le punem în legătură cu un generator de curent și facem electroliza.

După cîteva ore se constată că nivelul de separație, între apă și soluția de permanganat, se ridică de partea anodului, spre care merg ionii colorați de  $\text{MnO}_4^-$  și se coboară de partea catodului, unde se duc ionii necolorați de potasiu,  $\text{K}^+$ .

Denivelarea nu este aceeași în ambele ramuri, fiindcă cele două specii de ioni au mobilități diferite, iar dacă facem raportul variațiilor de nivel, găsim raportul mobilităților.

**§ 243. Conducția cristalelor. Semiconductori.** În § 81, am arătat că substanțele cristaline sînt organizate pe plane reticulare ionice, atomice sau moleculare și am dat ca exemplu structura ionică a cristallui de clorură de sodiu.

De asemenea am arătat că, în această situație, agitația termică a particulelor se limitează la mișcări de oscilație, în jurul poziției de echilibru.

Aceste oscilații își măresc amplitudinea, odată cu ridicarea temperaturii, pînă cînd energia absorbită devine suficientă ca să provoace ruperea rețelei și trecerea la starea lichidă.

Experiența ne arată că un cristal cu rețea ionică este rău conducător de electricitate, la temperatura obișnuită, dar devine conductibil, dacă-l încălzim pînă în apropierea punctului de topire.

Semiconductorii sînt corpurile solide, la care transportul de electricitate poate fi datorit ionilor.

și de aceea îl vom considera nu ca un conductor obișnuit, ci ca un „semiconductor”.

Cum cristallul nu conține electroni liberi, ca metalele, sîntem obligați să admitem că transportul de electricitate se datorește ionilor



Fig. 158. Evidențierea mobilităților diferite ale ionilor.

Ca să evidențiem fenomenul, vom aplica, pe fețele opuse ale cristalului, două plăci metalice, legate la un generator de curent electric și vom introduce în serie un galvanometru.

Cîtă vreme temperatura e încă prea joasă, rețeaua ionică rezistă forțelor cîmpului și totul se reduce la procesul de polarizare.

Dar dacă ne apropiem de punctul de topire, agitația termică devine aproape suficientă ca să rupă echilibrul intern al rețelei, iar cîmpul electric, adăugînd acțiunea proprie, zmulge ionii din loc și-i duce, pe cei pozitivi spre catod și pe cei negativi spre anod.

Uneori, cînd contactul e destul de intim, sarcina electrozilor neutralizează ionii sosiți și atunci, pe fețele cristalului, apar produsele de descompunere, ca la electroliza obișnuită.

Adesea curentul electric se furișează prin micile fisuri sau canale, ce traversează rețeaua cristalină, mai ales cînd există impurități și apar atunci firioare metalizate, de-a curmezișul cristalului.

Ionii fiind mai mari decît electronii, se strecoară mai cu anevoie prin masa semiconductorului. De aceea transportul lor impune ca și intensitatea cîmpului să fie mai mare decît în metale.

Fenomenele de conducibilitate, ce apar în apropierea punctului de topire, pot fi observate și la unele corpuri amorse, cum e sticla, care-și pierde însușirile izolante, la temperaturile mai ridicate.

Faptul poate fi constatat experimental așa cum arată fig. 159.

Nu este cazul să menționăm aici toate proprietățile semiconductorilor, nici dezvoltarea matematică a acestei probleme, care se sprijină pe așa numita *mecanică cuantică*.

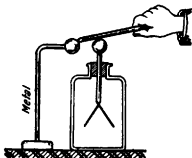


Fig. 159. Sticla înroșită devine conductoare.

Cercetările din ultimii ani au dus la rezultate de o importanță capitală, științifică și practică<sup>1)</sup>.

Aici trebuie să cităm contribuția deosebită a școlii de la Leningrad, condusă de A. F. Ioffe.

§ 244. Aplicațiile electrolizei. Fenomenele de electroliză au numeroase aplicații și consecințe practice, unele folositoare, altele, din contra, dăunătoare. Vom cita numai câteva din ele:

1) Din soluțiile sărurilor metalice, industria metalurgică separă anual cantități enorme de metal pur, prin depunerea electrolitică. Procedul se aplică mai ales la cupru și la zinc.

2) Anumite piese, din metale ordinare, pot fi acoperite, prin electroliză, cu o pătură subțire de alt metal: nichel, crom, argint, aur etc., fie din motive estetice, fie ca protecție împotriva oxidării și atacurilor chimice.

Procedul se numește *galvanizare* sau *galvanostegie*<sup>2)</sup>.

3) Dacă facem un molaș în ceară a unui obiect, bunăoară a unei medalii, îl ungem cu praf de grafit, ca să devină conductibil și-l introducem, ca electrod negativ, într-o baie de galvanizare, putem obține o copie în relief a obiectului, sub forma unei poșighițe metalice, care să servească apoi ca *matrișă* pentru reproducerea lui într-un număr mare de exemplare.

Așa se procedează, între altele, la prepararea clișeele tipografice, după o gravură dată, sau la presarea discurilor de patefon.

Procedul se numește *galvanoplastie* și a fost inventat de *Jacobi*<sup>3)</sup>, în 1836.

4) Din electroliza sărurilor topite de aluminiu provin cantitățile enorme, care au permis folosirea, pe scară largă, a acestui metal ușor.

Pe aceeași cale se obțin metalele alcaline sau clorul, din electroliza clorurilor topite.

5) Prin electroliză repetată, adică fracționată, a apei, se prepară *apa grea*, care conține *deuteriu*, adică un izotop al hidrogenului, cu masa atomică 2, despre care vom discuta pe larg, în capitolele de fizică nucleară.

<sup>1)</sup> Aceste cercetări au arătat că există o serie întreagă de substanțe cu însușiri semiconductoare, la temperatura normală.

Conductibilitatea lor electrică, puternic influențată de diverși factori exteriori, este, în genere, mult mai mică decât a metalelor masive.

Din această categorie fac parte oxizi, nitruri, seleniuri metalice, apoi cristalii de germaniu, seleniu sau siliciu.

*Semiconductorii pot să conțină nu numai sarcini ionice, dar și electroni liberi*, așa că întâlnim aici o conducție fie ionică, fie electronică, fie mixtă.

Ei au căpătat acum aplicații foarte largi, între altele ca redresoari de curent alternativ, ca detectori sau amplificatori, în aparatele de radio, ca generatori de oscilații electrice și așa mai departe.

<sup>2)</sup> De la cuvântul grecesc *stegé* = acoperire.

<sup>3)</sup> *Moritz Hermann v. Jacobi* (1801—1874), inginer de origine germană, emigrat în Rusia. A fost profesor la Dorpat și membru al Academiei ruse.

În procesul acesta, degajarea deuteriului, la catod, rămâne în urmă față de a hidrogenului ordinar, fiindcă ionul respectiv are mobilitatea mai mică.

6) În anumite tipuri de *contori electrici*, trecerea curentului depune electrolitic argint sau cupru, pe un catod convenabil, sau produce hidrogen, prin descompunerea apei.

Cantitatea de metal depusă, ca și presiunea gazului format, care se degajă într-un spațiu închis, fiind proporțională cu cantitatea de electricitate ce a trecut prin aparat, ne dau mijlocul să o măsurăm.

7) În tratamentele anumitor boli, pacientul este introdus cu mâinile și picioarele în vase de porțelan, umplute cu anumite soluții. Trecerea curentului prin corp și prin aceste soluții transportă în organism ionii sărurilor dizolvate.

Procedeul se numește *ionoterapie*.

8) În fine, ca să cităm și o acțiune dăunătoare, menționăm că, în instalațiile industriale pentru transportul electricității la distanță, curentul vine, de cele mai multe ori, prin cabluri aeriene și se întoarce la generator prin pământ.

Fenomenele de electroliză, în solul umed, pot atunci să distrugă conductele metalice îngropate, sau țevile de apă, printr-un fenomen specific de *coroziune*, a cărui combatere constituie o problemă acută, în tehnică și urbanistică.

*Exemple numerice.* 1) Într-un voltmetru cu sulfat de cupru s-au depus la catod 0,658 mg de metal, într-un interval de 100 s. Să se calculeze intensitatea curentului, presupusă constantă.

Relația (239.1) ne dă

$$Q = \frac{n \cdot F}{A} M$$

iar masa atomică relativă a cuprului este 63,57 și valența 2.

Prin urmare

$$Q = \frac{2 \cdot 96\,490}{63,57} 0,658 \cdot 10^{-3} \text{ C}$$

sau

$$Q \cong 2 \text{ C}$$

Și găsim că intensitatea curentului este

$$I = \frac{Q}{t} = \frac{2}{100} = 2 \cdot 10^{-2} \text{ A} = 20 \text{ mA.}$$

2) În paralel pe alimentarea unei instalații industriale, de la sectorul orașului, care debitează sub 220 V, în curent continuu, s-a intercalat un voltmetru cu sulfat de cupru.

După un timp mai lung, se constată că s-a depus la catod 21,2 g *a* metal. Să se exprime în kilowattore consumul de energie al instalației.

Relația (239.1) ne dă, pentru cantitatea de electricitate,

$$Q = \frac{nF}{A} M.$$

Prin urmare

$$Q = \frac{2 \cdot 96\,490}{63,57} 21,2 \cong 64\,500 \text{ C.}$$

Rezultă că energia debitată, sub 220 V ai sectorului, este

$$W = 220 \cdot 64\,500 \cong 14 \cdot 10^6 \text{ J.}$$

Dar

$$1 \text{ J} = 1 \text{ W} \cdot \text{s} = \frac{1}{3\,600 \cdot 1\,000} \text{ kWh}$$

și rezultă că, în kilowattore,

$$W = \frac{14 \cdot 10^6}{36 \cdot 10^5} \cong 4 \text{ kWh.}$$

## CAPITOLUL XXXIII

### PILE ELECTRICE

#### A. Noțiuni fundamentale

§ 245. **Introducere.** Sub denumirile de *elemente*, *pile* sau *baterii* electrice, înțelegem unele tipuri speciale de generatori electrici, în stare să transforme energia calorică sau chimică în

**Pila electrică transformă energia calorică sau chimică în energie electrică și întreține regimul staționar al curentului într-un circuit.**

energie electrică, să producă o forță electromotoare și să asigure un regim staționar al curentului, într-un circuit conductor, legat la bornele lor, numite *poli*.

Pentru o mai bună înțelegere a funcționării acestor generatori, amintim următoarele :



1) Electronii liberi, ce asigură transportul electricității prin metale, se comportă împreună ca un gaz și suferă mișcarea de agitație termică, împreună cu moleculele.

Aceasta înseamnă că ei trebuie să exercite ciocniri și deci să dezvolte o „presiune termică”, pe orice suprafață întâlnită.

2) Mișcarea lor de ansamblu, sub acțiunea unui cimp electric, explică mecanismul intern al transportului de electricitate prin metale, când există o diferență de potențial, în cuprinsul unui circuit închis.

Ea întâmpină o rezistență de frecare internă, ce limitează viteza și determină apariția *rezistenței ohmice*.

3) La electroliți, transportul de electricitate are ca vehicul ionii, a căror mișcare de ansamblu întâmpină de asemenea o rezistență de frecare.

Această analogie cu conducția metalică ne permite să extindem și aici aplicarea legii lui Ohm și a noțiunii de *conductibilitate*.

4) În toate aceste considerații, nu ne-am referit însă decât la conductorii cu structură chimică și caractere fizice omogene, făcând abstracție de eventuale treceri de la un metal la altul, sau de la metale la electroliți, precum și de orice diferențe de temperatură, de stare de agregare, de concentrație; de formă cristalină etc.

Simpla trecere a curentului, printr-o porțiune omogenă de conductor are, ca singură consecință, transformarea în căldură a energiei electrice, prin efectul frecărilor interne, cuprinse implicit în noțiunea de *rezistență ohmică*.

Aici se aplică, sub formele cunoscute, atât *legea lui Ohm*

$$U = RI \quad (229.1)$$

care ne spune că, în lungul conductorului, nu apar alte diferențe de potențial, decât căderile ohmice obișnuite, cât și *legea lui Joule-Lenz*.

$$Q = \frac{1}{J} RI^2 t \quad (231.3)$$

din care calculăm cantitatea de căldură produsă.

La conductorii neomogeni, apar forțe electromotoare suplimentare, din cauza repartiției neuniforme a ionilor, electronilor sau energiei lor cinetice medii.

*Cînd conductorul nu este omogen, densitatea cubică a electronilor sau a ionilor diferă de la o regiune la alta, după cum poate să difere și energia lor cinetică de agitație termică, dacă există diferențe de temperatură.*

Iau naștere atunci unele fenomene speciale, datorite unor forțe electromotoare suplimentare, ce apar în regiunile de trecere de la o situație la alta și pe care ne propunem să le cercetăm.

§ 246. **Forțe electromotoare de contact.** Referindu-ne la doi conductori diferiți, *A* și *B*, ce vin în contact prin suprafața *S*, (fig. 160), vom deosebi două cazuri particulare :

1) *Ambii conductori sînt metalici.* În unul din metale, de pildă în *A*, presiunea gazului electronic poate să fie mai mare decît în celălalt, chiar la temperaturi egale, fiindcă ea depinde și de numărul electronilor liberi din unitatea de volum.

Metalul *A* cedează atunci electroni și rămîne încărcat *pozitiv*, în timp ce metalul *B* îi primește și se încarcă *negativ*.

Dar, pe măsură ce procesul acesta de difuziune a electronilor progresează, se intensifică

treptat, între fețele păturii de trecere *S*, un cîmp electric, ce i se opune și, de la o vreme, izbutește să-l interzică.

În momentul acesta, sistemul atinge o stare de echilibru dinamic, în care agitația termică trimite același număr de electroni, în ambele sensuri.

Efectul Volta se datorește diferenței de presiune a gazului electronic, între metale diferite.

*Între cele două metale se stabilizează astfel o diferență de potențial de contact, ce depinde de natura lor, dar nu depinde de mărimea suprafeței de trecere.*

Fenomenul se numește *efectul Volta*. El nu implică existența unei diferențe de temperatură, între metale, dar este influențat

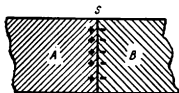


Fig. 160. Pentru explicarea efectului Volta.

de variația ei și tinde să dispară la temperaturile foarte joase, către zero absolut.

Dacă metalele sînt perfect uscate și dacă se înlătură, în vidul înalt, orice urmă de gaze, adsorbite pe suprafețele de contact, ordinul de mărime al diferenței de potențial atinge abia o foarte mică fracțiune de volt.

Fără aceste precauții, rezultatele ar fi cu totul falsificate, din pricina unor fenomene chimice particulare.

Determinările directe duc la valori numerice nesigure și adesea contradictorii. De aceea se preferă metodele indirecte, în care diverse alte fenomene sînt influențate de intervenția efectului Volta.

2) *Dacă unul din conductori este metalic, iar celălalt un electrolit*, lichidul poate să dizolve metalul, în proporție mai mare sau mai mică.

El primește astfel sarcina electrică *pozitivă* a ionilor, ce se formează prin dizolvare, iar metalul, care-i cedează, rămîne încărcat *negativ*.

Dizolvarea metalului comunică electrolitului sarcina pozitivă a ionilor, iar metalul se încarcă negativ.

*Ca și în cazul precedent, apare o diferență de potențial de contact, ce se va stabili la valoarea pentru care cîmpul electric rezultă*

*lat izbutește să interzică formarea noilor ioni metalici.*

De aici înainte dizolvarea mai departe a metalului încetează și numărul ionilor pe care-i trimite în soluție devine egal cu numărul celor ce revin pe dînsul, prin efectul agitației termice.

În situația de față, diferența de potențial apărută este cu mult mai mare decît la contactele metalice și adesea poate să atingă ordinul de mărime al voltului.

*Există, așadar, două situații diferite: una în care intervine un schimb electronic și alta, în care schimbul este ionic.*

Orice contact între două corpuri diferite determină un schimb de sarcini electrice.

Dar asemenea schimburi pot să intervină nu numai între metale, sau între metal și electrolit. Ele se produc la orice fel de contacte, in-

diferent dacă e vorba de conductori sau de izolanti.

Vom găsi, prin urmare, diferențe de potențial de contact între solide, între solide și lichide, între acestea și gaze, ori între două lichide, cu proprietăți fizice sau chimice diferite.

Între un corp și altul, potențialul suferă deci o variație bruscă, localizată într-o pătură de trecere foarte subțire, pe care o putem considera că are grosimea dimensiunilor atomice și că reprezintă un spațiu vid.

Diferența de potențial de contact se localizează în pătura dublă.

*Aceasta constituie așa numită „pătură dublă”, iar fețele în opoziție se comportă ca două armături ale unui condensator încărcat.*

Dacă alegem arbitrar un zero de referință al potențialelor și considerăm contactele succesive, la o serie de substanțe diferite: *A, B, C* etc., potențialul variază în interiorul păturilor duble așa cum arată schematic fig. 161.

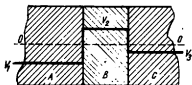


Fig. 161. Variația potențialului între mai mulți conductori, prin efectul Volta.

Egalizarea potențialelor, prin contactul între doi conductori diferiți, admisă în toate raționamentele din electrostatică, este deci numai relativă, în limita permisă de

intervenția diferenței de potențial dintre fețele păturii duble.

§ 247. **Legea contactelor metalice succesive.** Să considerăm diferiți conductori metalici, cari formează un circuit închis, cu temperatură uniformă (fig. 162).

Efectul Volta va face să apară, între metalele adiacente, diferențe de potențial, ce acționează ca forțe electromotoare și suma lor algebrică:

$$E_1 + E_2 + E_3 + \dots + E_n = E$$

ne dă o forță electromotoare echivalentă, cu care le-am putea înlocui.

Dacă această sumă ar fi diferită de zero, circuitul ar trebui să fie parcurs de un curent electric. El ar deveni un generator de energie și s-ar încălzi de la sine, prin efectul Joule-Lenz.

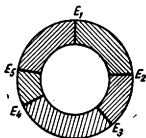


Fig. 162. Legea contactelor metalice succesive.

Dar aceasta contrazice atât principiul termodinamic al echivalenței, cât și principiul lui Carnot, fiindcă tot sistemul are aceeași temperatură.

La temperatură uniformă, suma forțelor electromotoare de contact, într-un circuit metalic închis este nulă.

*că pe acel circuit nu există diferențe de temperatură.*

*Inseamnă că, într-un circuit închis, format exclusiv din metale, suma forțelor electromotoare de contact nu poate fi decât nulă, da-*

Această lege, a contactelor succesive, ne arată că, în toate cazurile practice, în care folosim diferite metale, în circuite sau conexiuni electrice, nu apare nici o forță electromotoare suplimentară, fiindcă acțiunile contactelor se compensează reciproc.

Dar această concluzie nu mai rămâne valabilă, dacă încălzim regiunea de contact, între două metale diferite, sau dacă intercalăm acolo un electrolit, fiindcă apar atunci forțe electromotoare *termoelectrice* sau *electrochimice*, iar sistemul devine un generator de energie electrică, prin transformarea energiei calorice sau chimice.

§ 248. **Efectul Peltier.** Să considerăm un circuit, parcurs de un curent electric, în care intercalăm două metale diferite, bunăoară stibiu și bismut (fig. 163).

*Experiența ne arată că regiunea de contact, între aceste metale, se încălzește, când curentul circulă de la stibiu spre bismut și se răcește, în cazul contrar.*

Fenomenul decurge independent de efectul Joule-Lenz, cu care nu trebuie confundat și se numește *efectul Peltier*<sup>1)</sup>.



Fig. 163. Efectul Peltier.

<sup>1)</sup> Jean Charles Athanase Peltier (1785—1845) a fost un ceasornicar parizian îndrăgostit de fizică și a publicat numeroase lucrări originale, mai ales din domeniul electricității și electromagnetismului.

**Efectul Peltier încălzește sau răcește zona de contact între două metale, parcurse de curentul electric.**

sul curentului și de intensitatea lui.

Explicația este următoarea: cînd curentul circulă în sensul pentru care trecerea electronilor dintr-un metal în altul implică absorbție de energie, așadar dacă, prin efectul Volta, metalul al doilea se încarcă pozitiv, față cu primul, ei sînt frînați.

Dacă curentul se inversează, ei suferă, din contra o accelerare.

Dar scăderea sau creșterea vitezei electronilor se transmite prin ciocnire moleculelor întîlnite în cale și modifică în consecință intensitatea de agitație termică.

Intr-un caz apare o încălzire a metalului care-i primește, iar în celălalt caz o răcire.

De fapt, în zona de contact, numai unul dintre metale se încălzește sau se răcește, dar conductibilitatea termică transmite această variație de temperatură și celuilalt.

Interpretarea dată ne duce la concluzia că :

**Efectul Peltier este o consecință a diferenței de potențial de contact.**

*Efectul Peltier apare ca o consecință a existenței diferențelor de potențial de contact.*

Mai rămîne să cercetăm ce formă capătă legea lui Ohm, în aceste condiții.

Experimental se constată că, pentru două metale date, cantitatea de căldură, implicată în răcirea sau încălzirea zonei de contact, este direct proporțională cu timpul și cu intensitatea curentului ce străbate circuitul.

Dacă o exprimăm în unități mecanice, vom avea deci

$$Q_p = \pm PIt$$

în care factorul de proporționalitate  $P$  se numește *constanta lui Peltier*, iar semnul algebric arată dacă este vorba de o căldură liberată sau absorbită.

Totodată, efectul Joule-Lenz dezvoltă cantitatea de căldură

$$Q_J = + RI^2t.$$

Dacă diferența de potențial, aplicată la bornele circuitului, este  $U$ , bilanțul energetic va fi deci

$$Ult = RI^2t \pm Pit \quad (248.1)$$

și rezultă că

$$\boxed{RI - U \pm P} \cdot \quad (248.2)$$

Constanta lui Peltier intervine ca o diferență de potențial și se exprimă în volți.

care am aplicat-o la bornele circuitului.

*Constanta lui Peltier intervine astfel ca o diferență de potențial suplimentară, ce se adaugă sau se opune diferenței de potențial, pe*

Determinarea ei se poate face prin simple operații calorimetrice, cu ajutorul relației (248.1):

1) Când curentul trece în sensul ce corespunde încălzirii contactului, cantitatea de căldură, liberată prin suprapunerea efectelor Peltier și Joule-Lenz, este

$$Q_1 = \frac{1}{J} (RI^2 + PI) t$$

în care  $J$  reprezintă echivalentul mecanic al caloriei.

2) Când curentul se inversează, efectul Peltier tinde să răcească contactul, dar efectul Joule-Lenz domină și cantitatea de căldură, măsurată în calorimetru, va fi

$$Q_2 = \frac{1}{J} (RI^2 - PI) t.$$

Aceste două relații ne dau, prin scădere,

$$P = \frac{J(Q_1 - Q_2)}{2It}.$$

După natura metalelor, determinările ne duc la valori cuprinse între  $10^{-3}$  și  $10^{-5}$  V.

Efectul Peltier nu este o caracteristică exclusivă a metalelor.

tirziu cum poate să intervină în funcționarea elementelor galvanice.

*Efectul Peltier apare nu numai la contactele metalice, dar și la alte specii de conductori, de pildă între metale și electroliți. Vom vedea mai*

*Efectul Thomson.* Dacă încălzim un fir metalic, temperatura scade simetric, deoparte și de alta, față cu punctul de încălzire, așa cum arată curba punctată din figura 164.

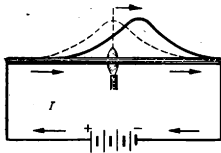


Fig. 164. Efectul Thomson.

El ne arată că totul se petrece ca și cum porțiunea rece și porțiunea încălzită s-ar comporta ca două metale diferite.

§ 249. **Efectul termoelectric.** Am văzut că, la temperatură uniformă, forțele electromotoare de contact, pe un circuit închis, format numai din metale, se compensează reciproc, așa că suma lor algebrică este nulă.

Dacă temperatura contactului între două metale diferă de a circuitului, apare o forță electromotoare termoelectrică.

În 1822, *Seebeck*<sup>1)</sup> a descoperit că această compensare nu mai persistă și că apare o forță electromotoare, ce trimite în circuit un curent electric, dacă unul dintre punctele de contact (sau de sudură), între două metale adiacente, are altă temperatură decât celelalte.

Fenomenul acesta reprezintă *efectul termoelectric* sau *efectul Seebeck*.

Efectul termoelectric provine din variația forței electromotoare de contact cu temperatura.

El se datorește faptului că forța electromotoare de contact, între două metale date, nu este o mărime constantă, ci variază cu temperatura.

<sup>1)</sup> Thomas Johann Seebeck (1770—1831). medic german.



Cunoscând aceste fapte, să ne referim la cazul simplu din fig. 165, în care circuitul este format numai din două metale și să presupunem că punctele de sudură au temperaturile respective  $t$  și  $t'$ .

Forțele electromotoare de contact sînt aci în opoziție și diferența lor

$$E_t - E_{t'} = E$$

reprezintă ceea ce numim *forța electromotoare termoelectrică*.

Ea este diferită de zero și determină trecerea unui curent electric, proporțional cu dînsa, care poate fi măsurat cu un galvanometru, intercalat în circuit.

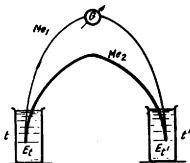


Fig. 165. Etalonarea unui cuplu termoelectric.

Sistemul reprezentat în figură constituie un *cuplu termoelectric* și poate fi întrebuințat la măsurarea temperaturilor:

Se menține una dintre suduri la o temperatură fixă, de pildă în apă cu gheață și se trasează o *curbă de etalonare*, pe care se înscriu deviațiile galvanometrului, în funcție de temperatura celeilalte, măsurată cu un termometru oarecare.

După aceea, curba trasată poate servi, la rîndul ei, pentru determinarea unei temperaturi necunoscute, prin simpla citire a deviației galvanometrului.

La unele cupluri, forța electromotoare termoelectrică, după ce atinge un maximum, începe să scadă și apoi se inversează, la temperaturile mai înalte.

Faptul se datorește unor schimbări de structură cristalină a metalelor.

Curbele din fig. 166 arată acest fenomen de inversiune, la cuplurile de Cu-Fe și Mo-Fe.

În determinările de precizie, trebuie neapărat ca bornele galvanometrului să aibă aceeași temperatură, fiindcă altfel apar acolo forțe electromotoare termoelectrice, care nu se compensează reciproc și falsifică rezultatele.

Dacă nu se urmărește o precizie deosebită, e suficient să legăm la galvanometru două fire, din metale diferite, iar capetele libere să fie sudate sau răsucite unul pe altul.

Ceea ce măsurăm atunci este diferența, între temperatura sudurii și temperatura bornelor galvanometrului, presupusă egală cu a camerei.

Tabela de mai jos cuprinde forțele electromotoare termoelectrice, la câteva cupluri de întrebuințare curentă, când una din suduri este la  $0^{\circ}\text{C}$ , iar cealaltă la  $+100^{\circ}\text{C}$ .

Bismut-stibi	. . . . .	0,011 V (volți)
Cupru-fier	. . . . .	0,001 "
Constantan-fier	. . . . .	0,005 3 "
Cupru-constantan	. . . . .	0,003 7 "
Platină-platină rhodiată	. . . . .	0,001 "

În fiecare din ele, curentul circulă, în primul metal, de la sudura mai caldă, spre cea mai rece.

Cuplul *bismut-stibi* este deosebit de sensibil, dar bismutul se topește la  $269^{\circ}\text{C}$ .

Pînă pe la  $1000^{\circ}$  se poate folosi cuplul cu *platină-platină rhodiată*, iar dacă înlocuim, în aliaj, rhodiul cu *iridiul*, limita temperaturii se ridică la  $1750^{\circ}$ , dar sensibilitatea devine ceva mai mică.

Cuplurile termoelectrice permit măsurarea temperaturilor între limite mult mai largi decît modelele curente de termometre.

Ele sînt mai sensibile, pot fi introduse în spații foarte restrînse și au marele avantaj că citirea se poate face de la distanță, pe scara unui galvanometru sau microvoltmetru.

Aplicațiile sînt numeroase, atît la cuptoarele industriale, cit și în cercetările științifice.

Mai multe cupluri termoelectrice, legate în serie, formează o *pilă termoelectrică*, în care forțele electromotoare se adună aritmetic, dacă încălzim sudurile pare (sau impare) și menținem pe celelalte la temperatura mai joasă (fig. 167).

O astfel de pilă, cu *bismut-stibi*, formată din 100 de elemente, produce o forță electromotoare de ordinul voltului, pentru o diferență de temperatură de  $100^{\circ}$ .

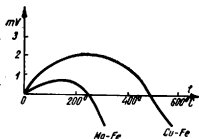


Fig. 166. Inversarea forței electromotoare termoelectrice.

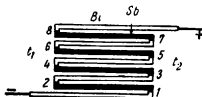


Fig. 167. Pilă termoelectrică cu Bi-Sb.

tromotoare de ordinul voltului, pentru o diferență de temperatură de  $100^{\circ}$ .

Sistemul poate servi ca generator de curent electric, în locul bateriilor obișnuite, dar mai ales în studiul căldurii radiante. Sudurile supuse radiației trebuie să fie atunci acoperite cu negru de fum, ca să absoarbă energia incidentă.

Rubens<sup>1)</sup> a construit pile termoelectrice, din fire de fier și de constantan extrem de subțiri, a căror inerție termică este practic neglijabilă. Sensibilitatea lor atinge milionimile de grad.

În fine, mai menționăm că aparatele de măsură pentru curentul electric: ampermetre sau galvanometre, a căror inerție nu le permite să urmărească variațiile rapide ale intensității sau inversarea ei alternativă, pot fi adaptate și acestei situații, dacă legăm la bornele lor un cuplu termoelectric, așa cum arată fig. 168.

Firele cupului (de obicei fier-constantan) sînt încrucișate și sudate în *S*, iar curentul încălzește sudura și dă naștere unei forțe electromotoare termoelectrice.

Dacă variațiile lui sînt destul de rapide, inerția termică a metalului încălzit menține un regim staționar de temperatură.

Aparatul măsoară atunci intensitatea constantă a curentului termoelectric, în funcție de o intensitate uniformizată a curentului variabil din circuitul *ASB*, adică în funcție de intensitatea unui curent invariabil, ce ar putea să producă aceeași încălzire.

*Forțe contraelectromotoare.* Înainte de a încheia studiul acestor fenomene, mai trebuie să observăm următoarele:

1) După cum variația de temperatură a unei suduri metalice produce în circuit un curent electric, prin efectul *Seebeck*, tot așa trecerea unui curent prin sudură îi modifică temperatura, prin efectul *Peltier*.

Efectul *Peltier* și efectul termoelectric sînt fenomene inverse.

*Rezultă că efectul termoelectric și efectul Peltier sînt fenomene inverse unul altuia.*

2) Dacă trecem un curent electric printr-o pilă termoelectrică, efectul *Peltier* încălzește unele suduri și răcește pe celelalte.

<sup>1)</sup> *Heinrich Rubens* (1865—1922), fost profesor la Universitatea din Berlin. Este cunoscut mai ales pentru studiul spectrului în infraroșu.



Fig. 168. Schema ampermetrului cu cuplu termoelectric.

Dar, pe măsură ce diferențele de temperatură se accentuează, intensitatea curentului scade, ceea ce ne arată că, pe circuit, apar forțe electromotoare, ce tind să se opună trecerii lui.

Trecerea curentului printr-o sudură metalică face să apară o forță contraelectromotoare.

Ele sînt forțe *contraelectromotoare* și se datoresc numai acțiunilor inverse ale efectelor termoelectrice și Peltier.

De altfel aceasta nu e decît o consecință a principiilor cunoscute din termodinamică: dacă efectul Peltier nu s-ar opune efectului termoelectric, o mică încălzire momentană a uneia din sudurile de pe un circuit ar face ca toate diferențele de temperatură apărute să crească spontan și la nesfîrșit.

Iată și o experiență simplă, care ne arată cum se desfășoară aceste fenomene:

O pilă termoelectrică este mai întîi legată la bornele unui generator de curent, în serie cu un ampermetru (fig. 169).

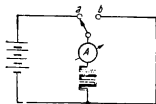


Fig. 169. Efectul termoelectric este inversul efectului Peltier.

Efectul Peltier încălzește unele suduri și răcește pe celelalte, iar intensitatea curentului scade treptat, prin acțiunea forțelor contraelectromotoare.

După cîteva minute, schimbăm conexiunile, trecînd comutatorul din *a* în *b* și scoatem generatorul din circuit.

Diferențele de temperatură apărute dau naștere unui curent, prin efectul termoelectric, iar sensul deviației ampermetrului se inversează, fiindcă de astă dată nu mai acționează decît forța condusă, odată cu restabilirea echilibrului

traelectromotoare singură. Ea va dispăre, odată cu restabilirea echilibrului termic.

## B. Elemente galvanice

§ 250. **Forța electromotoare de polarizare.** Experiența ne arată că, dacă facem electroliza unei soluții apoase de acid sulfuric, într-un voltmetru cu electrozi de platină, acesta devine, la rîndul lui, un generator de curent electric.

Dispozitivul experimental este reprezentat în fig. 170. El permite întreruperea electrolizei și conectarea unui voltmetru, la bornele voltmetrului.

Vom putea să constatăm atunci, ca și la elementele termoelectrice, că trecerea curentului face să apară o forță *contraelectromotoare*, opusă celei aplicate în timpul electrolizei și vom spune că voltametrul a devenit un *element secundar*.

Explicația fenomenului constatat este următoarea :

Cîtă vreme nu a trecut încă nici un curent prin voltamtru, diferențele de potențial de contact, între electrolit și electrozii de platină, deși existente, se compensează reciproc, din motive de simetrie.

Dar electroliza depune pături de gaz și distruge simetria inițială. Iar aceste pături se interpun între metal și electrolit și fac să apară diferențe de potențial suplimentare, ce nu se mai compensează decît parțial.

De aici provine forța contraelectromotoare, găsită experimental.

Electroliza poate să distrugă simetria contactelor și să dea naștere unei f.e.m. de polarizare.

În timpul electrolizei, sistemul funcționează ca un *receptor*, în care se consumă energie electrică și se acumulează o energie chimică, sub forma potențială.

Polarizarea electrozilor transformă energia electrică și acumulează energie chimică.

De altă parte, știind că forța electromotoare de polarizare se opune forței electromotoare a generatorului care produce curentul necesar electrolizei, va trebui să scriem legea lui Ohm sub forma

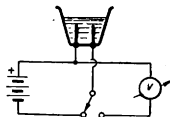


Fig. 170. Evidențierea forței electromotoare de polarizare.

*Aceasta se mai numește și forță electromotoare „de polarizare”, fiindcă electrozii voltametrului capătă polarități pozitive și negative.*

*Această energie poate fi recuperată prin recombinarea păturilor de gaz formate, cînd voltametrul ajunge să debiteze un curent electric.*

$$I = \frac{E - E_p}{R}$$

Electroliza este imposibilă dacă forța electromotoare a sursei nu depășește pe aceea de polarizare.

*Rezultă astfel că electroliza devine imposibilă, dacă forța electromotoare a generatorului nu depășește pe aceea de polarizare a electrozilor.*

De aceea va trebui să aplicăm, la bornele unui voltmetru cu apă acidulată, cel puțin un volt și jumătate, dacă electrozii sînt de platină și ceva mai mult, pentru alte metale.

Aceasta este forța electromotoare minimă, de descompunere.

Dar pînă acum nu am considerat decît electroliza apei, în care descompunerea formează pături gazoase, pe suprafața electrozilor.

*Fenomenele de polarizare sînt însă generale și apar în toate cazurile în care procesul electrolizei modifică asimetric natura chimică a suprafețelor de contact cu electrolitul.*

De pildă, în același voltmetru cu electrozi de platină, electroliza unei soluții apoase de sulfat de cupru depune oxigen pe anod și cupru pe catod.

Vom găsi, prin urmare și aici o forță electromotoare de polarizare, pe care generatorul de curent va trebui să o depășească, pentru ca electroliza să devină posibilă.

Există însă și cazuri în care nu mai apare polarizarea :

Bunăoară, într-un voltmetru cu electrozi de cupru, electroliza unei soluții de sulfat de cupru nu face decît să transporte metalul, de pe anod pe catod, iar simetria contactelor se menține, fără alte fenomene de descompunere.

Electroliza sărilor unui metal, cu electrozi din același metal, exclude polarizarea.

Aici acumularea de energie chimică fiind înlăturată, forța contra-electromotoare nu mai poate să apară și atunci vom spune că electrozii sînt *nepolarizabili*.

Este evident că, în asemenea cazuri, electroliza devine realizabilă, chiar pentru o forță electromotoare foarte mică a generatorului de curent.

§ 251. Polarizarea și tensiunea superficială. Știind că polarizarea este un fenomen de suprafață, e de așteptat ca ea să modifice tensiunea superficială a unui metal în stare lichidă, bunăoară a unei picături de mercur, folosită ca electrod.

Verificarea experimentală a deducției se poate face cu dispozitivul reprezentat în fig. 171 :

Picătura, care trebuie să fie destul de mare, stă într-o sticlă de ceașnic și este acoperită cu o pătură de apă acidulată, iar două fire de platină, cufundate în lichid fără să o atingă, sînt legate la bornele unui generator electric.

Mercurul deviază o parte din curent, iar picătura devine anod în *A* și catod în *B*.

Ea nu se mai poate menține în echilibru, fiindcă modificările de tensiune superficială se repartizează neuniform și de aceea se deformează, agitîndu-se ne regulat.

Aceste fenomene de *electrocapilaritate* au fost descoperite și studiate de *Lippmann*<sup>1)</sup>, în 1873.

Tot el a construit și un *electrometru capilar*, a cărui schemă de principiu este reprezentată în fig. 172 :

Doi electrozi de mercur sînt separați printr-o pătură de apă acidulată, în două tuburi de sticlă, mai largi, care comunică unul cu altul, printr-un tub capilar înclinat.

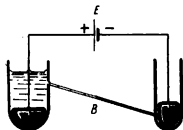


Fig. 172. Electrometru capilar.

terminarea forțelor electromotoare, prin metoda opoziției (§ 237).

În mod normal, meniscul de trecere de la mercur la electrolit se află în *B*, dar schimbarea de tensiune superficială, datorită polarizării, cînd se aplică o forță electromotoare *E*, îl deplasează într-un sens ori în altul.

Această forță electromotoare nu trebuie să depășească pe aceea de polarizare, fiindcă formarea bulelor de gaz întreprinde contactul mercurului cu electrolitul.

Ordinul de sensibilitate atinge  $10^{-4}$  V și aparatul este deosebit de comod, ca instrument de zero, în de-

§ 252. **Pile hidroelectrice.** În 1789, *Galvani*<sup>2)</sup> a descoperit că mușchii picioarelor de broască, proaspăt jupuite, se contractă, cînd o sîrmă de metal atinge simultan două puncte diferite ale traiectului nervos.

<sup>1)</sup> *Gabriel Lippmann* (1845—1921), fizician francez, fost profesor la Paris și titular al premiului Nobel. A realizat, pentru prima dată, fotografia în culori.

<sup>2)</sup> *Luigi Galvani* (1737—1798), medic italian, fost profesor la Bologna.

Ca să interpreteze aceasta, el admitea că broasca nu e moartă de tot, ci conține încă un *fluid vital*, de natură electrică, pe care atingerile succesive cu metalul îl descarcă treptat, cum se descarcă o butelie de Leyda.

*Alessandro Volta*, cercetînd fenomenul, găsește că apar contracții mult mai violente, cînd sîrma e formată nu dintr-un singur metal, ci din *două* metale, dispuse în serie.

Prin urmare cauza contracțiilor nu trebuie căutată în corpul broaștei, ci în metalele diferite, care vin în contact fie între dînsese, fie cu lichidul țesutului animal.

În tot cazul, Volta și-a dat seamă de la început că sistemul exterior este acela care produce descărcarea electrică și că broasca nu e decît un fel de receptor sensibil, adică ceea ce numim astăzi un galvanoscop.

Continuarea cercetărilor l-a dus întîi la descoperirea efectului Volta, iar în 20 martie 1800 anunță că a construit o *pilă electrică*<sup>1)</sup>, adică un generator, în stare să producă electricitate în mod continuu și pe o cale cu totul diferită de acelea cunoscute pînă atunci.

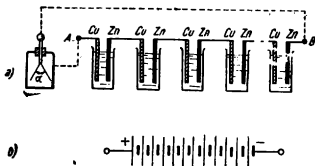


Fig. 173: Baterie galvanică și reprezentarea simbolică.

Renunțînd la descrierea primului model, care nu mai are decît o valoare istorică, generatorul lui Volta constă din mai multe plăci de cupru și de zinc, legate alternînd în serie și cufundate, două cîte două, în vase cu apă acidulată, așa cum arată fig. 173, a.

<sup>1)</sup> Numele vine de la forma inițială a generatorului, în care mai multe discuri metalice stăteau așezate unele peste altele, ca monezile dintr-un fișic (pe italienește *pila*).



Fiecare din aceste vase constituie ceea ce numim un *element galvanic* sau *hidroelectric*.

La bornele lui apare o forță electromotoare, de ordinul voltului, capabilă să întrețină un curent electric, al cărui sens convențional, într-un circuit exterior, este de la cupru spre zinc.

Cuprul devine, așadar, *polul pozitiv* al sistemului, iar zincul este *polul negativ*.

Gruparea în serie formează o *baterie galvanică*, pe care o reprezentăm convențional așa cum arată fig. 173, *b*.

Forțele electromotoare se adună atunci aritmetic, iar un simplu electroscope, legat la borne, se încarcă și poate să ne arate polaritatea pozitivă a cuprului și negativă a zincului.

Volta, constatând aceste fenomene, le interpreta numai prin acțiunile de contact.

*Fabbroni*<sup>1)</sup>, contemporan cu dînsul, este primul care a întrevăzut rolul reacțiilor chimice, în producerea continuă a curentului, însă ideile lui au trecut neobservate, pînă ce Faraday a reactualizat problema, prin cunoscutele lui cercetări asupra electrolizei.

De fapt, în elementul galvanic descris, au loc cel puțin trei serii de fenomene suprapuse :

1) Dizolvarea zincului comunică electrolitului sarcina pozitivă a ionilor  $Zn^{++}$ , iar metalul se încarcă negativ, de unde apare o diferență de potențial de contact (fig. 174, *a*).

Cuprul e însă mai puțin solubil decît zincul și trimite în soluție mai puțini ioni. El se încarcă tot negativ, în raport cu electrolitul, însă diferența de potențial a contactului va fi mai mică.

În sistemul de contacte :

*zinc—electrolit—cupru,*

potențialul variază după cum arată linia îngroșată din fig. 174, *b*, iar aceste variații, sumate algebric, ne dau diferența de potențial *U*, între zinc și cupru, egală cu forța electromotoare a elementului.

Ea va fi cu atît mai mare, cu cît primul metal este mai solubil decît al doilea.

<sup>1)</sup> *Giovanni Fabbroni* (1752—1822), chimist italian.

Forța electromotoare a elementului este o consecință a diferenței de solubilitate a metalelor.

Prin urmare, forța electromotoare a elementului apare ca o consecință a diferenței de solubilitate a metalelor, într-un electrolit oarecare.

Aceași figură ne arată că, față cu orice potențial intermediar  $V_0$ , luat arbitrar ca zero de referință, potențialul cuprului este pozitiv, iar al zincului negativ.

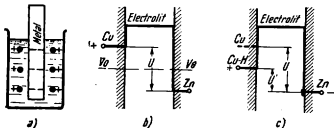


Fig. 174. Apariția și variația potențialelor de contact într-un element galvanic.

2) Dacă legăm zincul și cuprul, printr-un fir conductor, se formează un circuit închis, în care curentul circulă de la cupru spre zinc, în exteriorul elementului și de la zinc spre cupru, în masa electrolitului (fig. 175).

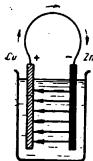


Fig. 175. În interiorul elementului curentul circulă în sensul unui transport de sarcini pozitive, de la zinc spre cupru.

Dar sensul curentului corespunde cu sensul transportului de sarcini pozitive și, în electrolit, asemenea sarcini sînt purtate de:

a) *Ionii de cupru și de zinc*, apăruiți prin dizolvarea metalelor.

b) *Ionii de hidrogen*, rezultați prin disociația electrolitică a moleculelor de acid sulfuric, în apă.

Toți aceștia vor fi transportați pe placa de cupru, adică la electrodul *pozitiv*, pe care-l acopăr cu un strat metalic, ce conține zinc și cu o pătură de hidrogen.

Prezența zincului mărește solubilitatea electrodului și tinde să micșoreze forța electromotoare a elementului.

Dar schimbarea importantă provine de la pătura de hidrogen, fiindcă ea duce la o situație nouă, în care contactele succesive sînt :

(—) *zinc*—electrolit—hidrogen—*cupru* (+).

În lungul acestui lanț, potențialele variază așa cum arată linia îngroșată din figura 174, c, iar la borne vom găsi o diferență de potențial  $U'$ , mai mică decît  $U$ .

Fenomenul este în totul analog aceluia ce se petrece într-un voltmetru și se datorește însăși trecerii curentului (§ 250).

**Depunerea de hidrogen la polul pozitiv crează o f. e. m. de polarizare, ce se opune aceleia inițiale.**

*Depunerea de hidrogen la polul pozitiv crează deci o forță electromotoare de polarizare, ce se opune aceleia inițiale a elementului.*

3) Disociația electrolitică a moleculelor de acid sulfuric mai da naștere ionilor negativi  $\text{SO}_4^{--}$ .

Ei vor fi transportați în sensul invers curentului, adică pe placa de zinc, ce se transformă atunci în sulfat solubil.

**Energia electrică debitată provine d.n transformarea căldurii de reacție chimică.**

*Odată cu dizolvarea treptată a metalului, reacția chimică liberează o cantitate de căldură, din care provine energia electrică debitată de elementul galvanic, în timpul funcționării lui.*

Vom reveni mai târziu asupra mecanismului și consecințelor acestei transformări a energiei chimice, în energie electrică.

Ca încheiere, menționăm că, pe lângă inconvenientul polarizării, elementul descris mai are și pe acela că atacul zincului continuă, chiar cînd circuitul e întrerupt.

Aceste inconveniente pot fi considerate însă ca practic suppressate, în alte tipuri de elemente, pe care le vom descrie mai jos.

**§ 253. Elemente cu depolarizant.** Dacă învelim electrodul pozitiv cu o substanță oxidantă : acid azotic, soluție de bicromat de potasiu, granule de bioxid de mangan etc., pătura de hidro-

gen, apărută prin polarizare, se combină cu oxigenul, formează apă și dispare.

Asemenea substanțe sînt, prin urmare, *depolarizante*.

Vom lua ca exemplu elementul *Leclanché*<sup>1)</sup>, fiindcă este cel mai răspîdit.

Electrodul pozitiv e o placă, făcută din praf de cărbune, amestecat cu rășină (ca liant); comprimat în forme speciale și apoi încălzit la roșu, ca să ardă rășina.

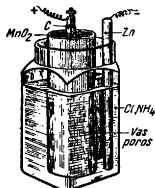


Fig. 176. Elementul Leclanché.

Această placă este învelită într-un sac de pînză, ori introdusă într-un vas de porțelan poros, în care se găsește bioxidul de mangan (fig. 176).

Electrodul negativ e un cilindru sau baston de zinc, iar electrolitul e o soluție apoasă de clorură de amoniu ( $\text{ClNH}_4$ ).

Trecerea curentului transportă pe zinc ioni negativi de clor și metalul se transformă treptat în clorură solubilă.

Este bine ca zincul să fie amalgamat, prin frecare cu mercur, fiindcă aceasta împiedică atacul chimic, în circuit deschis.

Forța electromotoare a elementului Leclanché atinge aproape un volt și jumătate.

Bateriile pentru lămpile de buzunar, sau elementele așa zise *uscate* sînt construite pe același principiu, numai că lichidul este imobilizat, într-o pastă cu gelatină sau cu făină de grîu, flartă în

apă.

§ 254. **Elemente nepolarizabile.** Polarizarea electrozilor poate fi evitată, la curenții de intensitate mică, dacă-i înconjurăm cu electroliți, cari conțin o sare a metalului respectiv, în soluție apoasă.

Forța electromotoare se menține atunci invariabilă și elementul poate servi ca etalon, în determinările de laborator, sau ca generator de curent constant, în anumite cazuri practice.

Vom descrie două tipuri, construite pe acest principiu :

1. *Elementul Daniell*<sup>2)</sup>. Electrodul pozitiv este de cupru, iar cel negativ de zinc (fig. 177).

<sup>1)</sup> Georges Leclanché (1839—1882), chimist francez.

<sup>2)</sup> John Frederic Daniell (1790—1845), chimist englez.

Zincul stă cufundat într-o soluție de sulfat de zinc și cuprul în alta, de sulfat de cupru.

Un perete de porțelan poros desparte cele două soluții și le împiedică să se amestece.

Ordinea succesivă a contactelor este deci :

(—) zinc—sol  $\text{SO}_4\text{Zn}$ —sol  $\text{SO}_4\text{Cu}$ —cupru (+).

În electrolit, curentul circulă în sensul săgeților, de la electrodul negativ, spre cel pozitiv.

El transportă pe zinc ioni  $\text{SO}_4^{--}$ , iar metalul se transformă treptat în sulfat solubil și trimite în soluție ioni de  $\text{Zn}^{++}$ .

Ca urmare, concentrația electrolitului din compartimentul A crește mereu.

În schimb, în compartimentul B, ioni de  $\text{Cu}^{++}$  aduc metal pe anodă, care câștigă în greutate și concentrația respectivă a electrolitului scade.

Cum hidrogenul nu mai apare în electroliză, polarizarea este înlăturată.

Ca să evităm scăderea de concentrație, în jurul anodului, se adaugă, în compartimentul B, o cantitate de sulfat de cupru solid, care se dizolvă treptat, în limita permisă de saturație.

Elementul Daniell are forța electromotoare de 1,07 V<sup>1)</sup> și poate să debiteze, fără inconvenient, până la un miliamper pe centimetrul pătrat de electrod.

**2. Elementul Weston.** Acest element servește numai în laboratoare, ca etalon de comparație, la determinarea forțelor electromotoare, prin cunoscuta metodă a opoziției (§ 237).

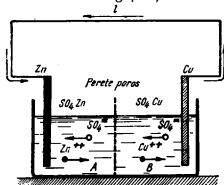


Fig. 177. Schema elementului Daniell.

<sup>1)</sup> Dacă e construit după anumite prescripții speciale.

El este făcut dintr-un tub de sticlă, în formă de  $H$ , închis ermetic, prin topire în flacără, sau cu dopuri de parafină.

Figura 178 îl reprezintă aproape în mărime naturală.

Electrodul pozitiv este o pătură de mercur, peste care stă o altă pătură, de sulfat mercurios.

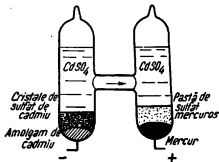


Fig. 178. Elementul Weston.

Electrodul negativ e un amalgam de cadmiu, iar electrolitul o soluție saturată de sulfat de cadmiu, în care se găsesc și cristale în exces.

Două fire de platină, trecute prin sticlă, asigură contactele cu exteriorul.

Elementul Weston, construit după anumite prescripții, are forța electromotoare de 1,018 6 V, la

temperatura de  $+18^{\circ}\text{C}$ , cu condiția să nu debiteze decât un curent practic neglijabil.

Altfel ea se modifică și nu mai revine la valoarea inițială, decât după câteva săptămâni de repaus.

§ 255. **Teoria elementelor galvanice.** Un element Daniell, ce debitează curent electric, dizolvă zincul și depune cupru pe anod.

Dacă, din contra, facem să treacă un curent prin el, de la un alt generator, în sensul contrar aceluia debitat, fenomenul se inversează și zincul se depune pe catod, iar cuprul trece în soluție.

În primul caz, elementul produce energie, iar în celălalt o acumulează. Din *producător*, el devine *receptor*.

În situația particulară, când există o diferență infinit de mică, între forța electromotoare la borne și aceea opusă a generatorului, cea mai ușoară variație, într-un sens ori în altul, inversează procesul.

Dar aceasta implică o desfășurare infinit de lentă a transformărilor chimice interne și atunci funcționarea elementului galvanic devine reversibilă.

Totodată este evident că, în asemenea situație, variațiile de temperatură, prin efectele Joule-Lenz și Peltier, nu mai apar,

## I

fiindcă schimbul de căldură cu mediul exterior, presupus de capacitate calorică infinită, are loc în condițiile ideale.

**Sub o intensitate de curent infinit de mică, elementele galvanice funcționează reversibil izoterm.**

*Prin urmare, sub o intensitate de curent infinit de mică, elementele galvanice funcționează reversibil izoterm.*

Se înțelege însă de la sine că această concluzie nu mai rămâne valabilă, dacă procesele chimice din element ar putea să decurgă și independent de trecerea curentului.

În asemenea situație se află, de pildă, elementul lui Volta, în care placa de zinc se dizolvă chiar când circuitul este întrerupt.

Funcționarea nu mai poate fi considerată atunci ca reversibilă.

Nu există încă o teorie completă și unitară a elementelor galvanice, fiindcă nici fenomenele nu se cunosc în amănunte.

În cele ce urmează, punându-ne în anumite situații simplificatoare și considerând intensitatea curentului ca infinit de mică, vom parcurge două din teoriile de bază :

1. *Teoria elementară a lui Thomson (1851).* Rămânând la exemplul elementului Daniell, să presupunem că l-am făcut să debiteze cantitatea de electricitate

$$F = 96\,490\text{ C},$$

adică numeric egală cu constanta lui Faraday (§ 239).

Forța electromotoare a elementului fiind  $E$ , forțele electrice liberează lucrul mecanic

$$A = EF \text{ jouli.}$$

În timpul trecerii curentului, un echivalent-gram de zinc s-a transformat în sulfat solubil și această reacție chimică *liberează* o cantitate de căldură  $+Q_1$ .

Totodată un echivalent-gram de cupru a fost extras din soluția sulfatului respectiv, iar această descompunere *absoarbe* cantitatea de căldură  $-Q_2$ .

Aplicând principiul echivalenței, din termodinamică, vom avea deci

$$A = E \cdot F = J(Q_1 - Q_2). \quad (255.1)$$

Dar căldurile de reacție pot fi determinate calorimetric și sînt cunoscute din termochimie.

În cazul de față ele au valorile

$$Q_1 = 53\,500 \text{ cal} \quad \text{și} \quad Q_2 = 28\,200 \text{ cal.}$$

Iar dacă ținem seamă că  $J = 4,18 \text{ J/cal}$  și introducem datele numerice în relația de mai sus, găsim că forța electromotoare a elementului Daniell ar trebui să fie

$$E = 1,09 \text{ V,} \quad \text{iar experimental} \quad E = 1,07 \text{ V.}$$

Prin urmare, în exemplul ales, concordanța este foarte satisfăcătoare.

**Teoria lui Thomson echivalează căldura de reacție cu lucrul mecanic al forțelor electrice.**

Dar acesta nu e cazul pentru toate elementele galvanice și adesea diferența dintre valoarea calculată și cea experimentală este prea mare.

Teoria lui Thomson folosește numai principiul echivalenței și nu ține seamă de temperatura la care funcționează elementul, cu toate că aceasta influențează de obicei forța electromotoare.

Ea nu ține seamă nici de fenomenele termice, în special de efectul Peltier, care implică o energie suplimentară, imediat ce sistemul debitează un curent.

Folosind simultan ambele principii ale termodinamicii, *Helmholtz* introduce un termen de corecție, în care intervine temperatura absolută, cât și variația forței electromotoare, raportată la variația temperaturii.

La elementul Daniell, termenul acesta devine practic neglijabil și de aici provine concordanța dintre calcul și experiență.

În principiu, teoriile termodinamice consideră numai transformările energiei și au inconvenientul că aduc prea puține informații, cu privire la mecanismul desfășurării fenomenelor, sub aspectul lor fizic.

*Nernst* a înlăturat, în parte, această lipsă și a izbutit să lege teoretic forța electromotoare a elementelor galvanice de presiunea osmotică a ionilor, adică de un fenomen cinetic molecular.

**2. Teoria lui Nernst (1889).** Ca și precedentele, această teorie se referă numai la elementele care, sub intensitate foarte mică de curent, funcționează izoterm reversibil.

Să considerăm un sistem *lichid—metal* (fig. 179).

1) Dizolvarea metalului trimite în lichid ioni, cari pleacă de pe dînsul cu anumită viteză inițială și dezvoltă o *presiune de dizolvare*, notată în figură cu  $P$ .



Dacă lichidul conține deja ioni de aceeași specie, aceștia, la rindul lor, dezvoltă o *presiune osmotică*, notată cu  $p$ , ce se opune presiunii de dizolvare.

Cînd presiunea  $P$  învinge, dizolvarea continuă; dacă, din contra, învinge presiunea osmotică, procesul se inversează și lichidul este acela care trimite ionii pe metal.

Ca urmare metalul, în loc să se dizolve, cîștigă în greutate.

2) Vom presupune că masa lichidă este destul de mare pentru ca sosirea sau plecarea ionilor să nu modifice sensibil valoarea presiunii osmotice și că aceste fenomene decurg izoterm, cu încetineală infinită, așa cum e cazul în elementele reversibile.

Dar legea lui Van't Hoff ne spune că o substanță dizolvată se comportă ca un gaz și atunci dizolvarea izotermă a unui atom-gram de metal înseamnă o destindere a gazului, de la presiunea  $P$ , la presiunea  $p$ .

Lucrul mecanic liberat va fi deci

$$A = RT \cdot \ln \frac{P}{p}. \quad (144.1)$$

3) Pînă acum nu am ținut seamă însă de apariția diferenței de potențial de contact, care sistează automat plecarea ionilor de pe metal și dizolvarea lui.

Pentru ca, totuși, această dizolvare să continue, va trebui ca metalul să fie *pol negativ*, într-un element galvanic, ce debitează curent electric.

Notînd cu  $-e$  forța electromotoare de contact și presupunînd că elementul a debitat  $n \cdot F$  coulombi, prin ioni metalici de valență  $n$ , lucrul mecanic al forțelor electrice se exprimă prin relația

$$A = - neF.$$

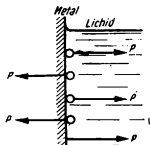


Fig. 179. Presiunea osmotică se opune presiunii de dizolvare.

Lucrul mecanic în variația izotermă de presiune a gazului de ioni egalează pe al forțelor electrice.

*Principiul conservării lucrului mecanic ne îndreptățește să-l egălăm cu acela implicat în destinderea izotermă a gazului de ioni.*

Ajungem așa la relația finală

$$e = \frac{R \cdot T}{n \cdot F} \ln \frac{p}{p'} \quad (255.2)$$

în care semnul negativ a dispărut, prin inversarea raportului presiunilor.

Forța electromotoare de contact este proporțională cu logaritmul raportului presiunilor ionice.

*Prin urmare forța electromotoare la contactul electrolit-metal este proporțională cu logaritmul raportului presiunilor ionice.*

4) Dacă presiunea de dizolvare a metalului este mai mică decât presiunea osmotică a ionilor lui din soluție, aceștia se depun pe dînsul și-l încarcă pozitiv, în raport cu electrolitul.

Dar și aici depunerea va fi sistată prin intervenția diferenței de potențial de contact și, ca să continue, ar trebui ca metalul să fie *pol pozitiv*, într-un element galvanic ce debitează curent electric.

Expresia forței electromotoare apărute va fi aceeași ca mai sus, cu deosebirea că semnul algebric se schimbă, din cauza inversării variației de potențial, în trecerea de la electrolit la metal.

În elementul Daniell ambele metale formează ioni bivalenți.

După formula lui Nernst, forța electromotoare totală va fi deci

$$E = \frac{RT}{2F} \cdot \ln \frac{p_{Zn}}{p'_{Zn}} - \frac{RT}{2F} \cdot \ln \frac{p_{Cu}}{p'_{Cu}}$$

sau

$$E = \frac{RT}{2F} \left( \ln \frac{p_{Cu}}{p'_{Zn}} - \ln \frac{p_{Cu}}{p'_{Zn}} \right).$$

Raportul presiunilor osmotice poate fi cunoscut prin determinări directe, iar la electroliții tari, în care disociația e totală, el este egal cu raportul concentrațiilor molare.

Dar, ca să cunoaștem și raportul presiunilor de dizolvare, singura metodă e să alegem un al treilea metal Me, să construim cu dînsul elementele Me/Zn și Me/Cu, apoi să le măsurăm direct forțele electromotoare.

Formula lui Nernst ne permite atunci să calculăm, de fiecare dată rapoartele

$$\frac{P_{Me}}{P_{Zn}} = a \quad \text{și} \quad \frac{P_{Cu}}{P_{Me}} = b, \text{ din care deducem că } \frac{P_{Cu}}{P_{Zn}} = a \cdot b.$$

Aceeași teorie ne mai arată că dacă un metal, folosit ca electrod, într-un element galvanic, are pe dînsul o zonă impurificată cu alt metal, presiunile de dizolvare fiind neegale, se formează un alt element local, ce debitează curent prin însuși masa metalului.

Electrodul suferă atunci o coroziune continuă, care scurtează foarte mult viața elementului.

Tot diferenței presiunilor de dizolvare se datorește și faptul că un metal mai solubil, introdus într-un electrolit care conține ioni altui metal, mai puțin solubil, înlocuiește acești ioni și se acoperă cu o pătură a metalului străin.

Dacă soluția este destul de concentrată ca să asigure presiunea osmotică necesară, un cui de fier se cuprează, într-o soluție de sulfat de cupru și o sîrmă de cupru se argintează, într-o soluție de nitrat de argint, prin simplă scufundare.

§ 256. Influența factorilor fizici. La o soluție dată, presiunea osmotică depinde nu numai de concentrație, dar și de temperatură, iar la un metal dat, presiunea de dizolvare poate să depindă de anumiți factori fizici, bunăoară de structura cristalină internă, sau de gradul șlefuirii superficiale.

Este deci suficient ca două fire din același metal, cufundate în același electrolit, să aibă temperaturi diferite, sau ca suprafața unuia să fie mai aspră decît a celuilalt, pentru ca sistemul să devină un element galvanic.

Asemenea situații de nesimetrie a fenomenelor electrice de contact cu electrolitul mai pot fi create și de alți factori fizici, de pildă:

1) Prin comprimarea sau întinderea unuia din electrozi, se constată că metalul supus la tracțiune devine mai solubil, adică pol negativ<sup>1)</sup>.

2) Prin folosirea electrozilor de fier, din care unul este magnetizat. Acesta devine mai puțin solubil<sup>2)</sup>.

3) Prin luminarea unuia din electrozi. Fenomenul a fost descoperit de Becquerel<sup>3)</sup> și reprezintă efectul fotovoltaic.

4) Prin mișcarea continuă a catodului sau anodului<sup>4)</sup>.

<sup>1)</sup> Fenomen descoperit și cercetat de Dragomir Hurmuzescu, în 1908.

<sup>2)</sup> Idem, 1895.

<sup>3)</sup> Antoine Henri Becquerel (1852—1908), fizician francez, titular al premiului Nobel, pentru descoperirea radioactivității uraniului. Fenomenul a fost cercetat și de Gh. Atanasiu (1925 și 1935).

<sup>4)</sup> Forța electromotoare de mișcare a fost găsită în 1912 de Ștefan Procopiu și a făcut obiectul mai multor lucrări, pînă în 1937.

5) Prin schimbarea grosimii, la păturile foarte subțiri de metale feromagnetice (fier, nichel, cobalt). Fenomenul a fost descoperit de *Alex. Cișman* și colaboratorii lui<sup>6)</sup>.

Cercetările au dus la concluzia că aceste metale formează pături, electrochimic mai stabile, când grosimea lor este un multiplu întreg al unei anumite valori elementare (la nichel multiplu de 0,04 microni).

Aceste pături stabile diferă și ca proprietăți magnetice de celelalte, cu grosime intermediară.

**Elemente de concentrație.** Forța electromotoare a elementelor galvanice fiind o consecință a opoziției dintre presiunea osmotică și cea de dizolvare, va trebui să apară de asemenea când electrozi din același metal stau cufundați în două soluții de concentrații diferite, ale unei sări a metalului.

Vom putea construi deci un „element de concentrație”, așa cum arată fig. 180.

Soluțiile pot fi separate printr-un perete poros, ori introduse în două pahare, ce comunică printr-un sifon.

În cea mai concentrată, presiunea osmotică fiind mai mare, metalul se dizolvă mai încet și devine *pol pozitiv*.

Este evident că o forță electromotoare de concentrație poate să apară și între două lichide, ce conțin un ion comun, fiindcă atunci intervin schimburi de sarcini electrice, prin fenomenele de difuziune.

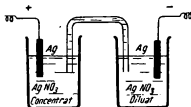


Fig. 180. Element de concentrație.

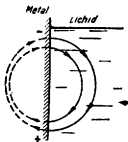


Fig. 181. Diferența de concentrație crează curenți locali și consumă electrozii pilei.

Analog, ea poate să apară și între două soluții, cu ioni diferiți, din cauza mobilităților diferite ale lor.

În elementele galvanice obișnuite, care au stat mai multă vreme în repaus, păturile de la fundul vasului se concentrează, prin sedimentare, din pricina diferențelor de densitate.

<sup>1)</sup> *Alex. Cișman, Petre Lamoth și Aurica Munteanu* (lucrări executate între 1952 și 1956).

Prin metalul electrodului solubil circulă atunci curenți electrici, datoriti elementului de concentrație format, iar dizolvarea lui continuă, chiar dacă circuitul exterior este întrerupt (fig. 181).

§ 257. **Elemente secundare, acumulatori.** Dacă facem electro-liza unei soluții apoase de acid sulfuric, într-un voltmetru cu electrozi de plumb, oxigenul care se degajă pe anod atacă plumbul și-l transformă superficial în oxidul  $PbO_2$ .

Apare astfel o diferențiere chimică a electrozilor, iar volta-metrul devine un *element secundar*, în stare să debiteze un curent electric, în sensul invers aceluia folosit în timpul electrolizei.

Pe acest principiu se bazează *acumulatorii electrici* cu plumb.

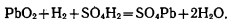
Sistemul formării prin electroliză are însă, pe lângă incon-venientul că impune un consum de energie și pe acela că cere un timp îndelungat, ca să transforme în oxid numai o pătură su-perficială destul de subțire.

De aceea se preferă o *formare artificială*, prin care oxidul de plumb este introdus, de la început, într-un schelet metalic, de plumb antimoniat, ce formează placa *pozitivă*.

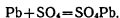
Placa negativă este făcută la fel, însă umplută cu pulbere de plumb curat.

Dacă acumulatorul debitează un curent electric, se petrec următoarele reacții chimice :

*Pe placa pozitivă*



*Pe placa negativă*



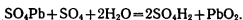
Diferența de structură chimică dispăre astfel treptat și, odată cu dînsa, forța electromotoare a elementului.

Ambele plăci se transformă deci în sulfat și de aceea vom spune că *descărcarea* acumulatorului duce la o *dublă sulfatare*.

El poate fi însă *încărcat* la loc, dacă trecem prin electrolit un curent electric de sens invers aceluia debitat.

Reacțiile chimice vor fi atunci :

*Pe placa pozitivă*



*Iar pe placa negativă*



și am revenit la situația inițială.

Forța electromotoare a unui acumulator încărcat este de aproximativ 2,2—2,4 V.

*El nu trebuie descărcat niciodată sub 1,8 V, fiindcă sulfatul de plumb format capătă o structură cristalină și nu mai poate fi retransformat în substanță activă, decât parțial.*

Un acumulator se caracterizează prin *capacitatea* lui, pe care o exprimăm în *amperioare* (Ah), adică prin intensitatea curentului debitat, înmulțit cu numărul orelor de funcționare, pînă ce forța electromotoare scade la 1,8 V.

Dar, astfel exprimată, capacitatea variază cu intensitatea curentului debitat și de aceea vom restrînge definiția la cazul descărcării în zece ore.

Aceasta e, de altfel, și *durata minimă permisă*, fiindcă altfel se deteriorează plăcile.

De pildă, un acumulator de 10 Ah nu poate fi încărcat, nici descărcat, sub un curent mai mare de un amper.

În timpul descărcării, o parte din acidul sulfuric se fixează pe ambele plăci, sub forma de sulfat și densitatea electrolitului scade.

Ea revine însă la valoarea inițială, după reîncărcare.

Forța electromotoare scade de asemenea, după curba din fig. 182.

Scăderea e însă foarte lentă, cu excepția porțiunilor inițială și finală.

Prin reîncărcare, aceeași curbă este parcursă în sensul invers.

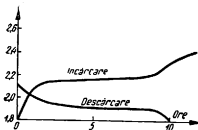


Fig. 182. Curbele de încărcare și descărcare la un acumulator cu plăci de plumb.

*Acumulatorii alcalini cu fier-nichel.* Acumulatorii cu plumb au inconvenientul că sînt grei și mai ales că sînt extrem de sensibili, la cea mai mică neglijență de întreținere sau manipulare.

De aceea *Edison* a construit un acumulator cu nichel, mult mai ușor și mai robust.

Placa pozitivă, după încărcare, se acopere cu hidrat de nichel, iar cea negativă este de fier.

Ca electrolit se folosește o soluție concentrată de hidrat de potasiu (20%).

Reacțiile chimice par să fie următoarele:



Forța electromotoare a elementului încărcat este de 1,3 V, iar descărcarea poate fi dusă pînă la zero, fără nici un inconvenient.

Ea scade însă continuu și nu mai prezintă constanța relativă, caracteristică acumulatorilor cu plumb.

*Exemple numerice.* 1) Se cere ca o baterie de acumulatori cu plumb să alimenteze 50 de becuri electrice de cîte 50 W, sub 110 V.

Ce capacitate minimă trebuie să aibă această baterie, ca să poată debita curentul necesar?

Pentru numărul de becuri cerute, bateria trebuie să debiteze puterea

$$P = 50 \cdot 50 = 2\,500 \text{ W.}$$

Intensitatea curentului va fi deci

$$I = \frac{P}{E} = \frac{2\,500}{110} = 22,7 \text{ A.}$$

Iar capacitatea bateriei trebuie să fie, numeric, de zece ori mai mare, adică de aproximativ 250 Ah, dacă ținem seamă și de unele pierderi eventuale.

2) În exemplul de mai sus, bateria se descarcă în zece ore. Cîte becuri de aceeași mărime am putea să alimentăm timp de șase ore pe zi, așa ca descărcarea să se facă într-o lună?

De astă dată, timpul de descărcare fiind

$$t = 6 \cdot 30 = 180 \text{ ore,}$$

înseamnă că intensitatea debitată devine de  $\frac{10}{180}$  de ori mai mică.

Vom putea deci să alimentăm cel mult

$$50 \frac{10}{180} = 2,77 \text{ becuri.}$$

Dar aici nu am ținut seamă de pierderile spontane, datorite curenților interni, sau defectelor de izolație, așa că, în realitate, putem alimenta

cel mult două becuri, în condițiile specificate mai sus, adică într-un timp de descărcare mai lung.

În fond, reîncărcările prea dese scurtează și ele viața bateriei. De aceea regimul de funcționare trebuie supravegheat în așa fel, încât să ducă la descărcare în 15—30 de zile.

## CAPITOLUL XXXIV

### IONIZAREA GAZELOR

§ 258. **Conducția electrică în gaze.** Transportul electricității prin gaze are ca vehicul ionii gazoși.

**Conductibilitatea gazelor se datorește ionilor gazoși.**

Prezența ionilor este permanentă în aer și se datorește acțiunii de ionizare a factorilor naturali: radioactivitatea solului, razele cosmice, radiația ultravioletă a Soarelui și așa mai departe.

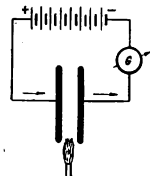


Fig. 183. Flacăra ionizează gazul și-i mărește conductibilitatea.

două plăci și astfel ia naștere un curent electric, de ordinul a  $10^{-8}$  A.

Aceeași experiență poate fi repetată, înlocuind flacăra cu o substanță radioactivă, sau cu o lampă specială, care produce radiații ultraviolete.

Ei pot fi pozitivi sau negativi, după cum atomii neutri ai gazului au pierdut electroni sateliți, ori au fixat electroni suplimentari.

Îi putem produce sau înmulți prin descărcări electrice, prin acțiunea flăcărilor, prin efectele razelor X și prin diferite alte mijloace.

Experiența schematizată în fig. 183 ne permite să evidențiem acțiunea ionizantă a unei flăcări:

Ionii formați pătrund în spațiul dintre două plăci metalice, legate la bornele unei baterii galvanice, de 200—300 V, în serie cu un galvanometru.

Cîmpul electric le comunică o mișcare de ansamblu, peste aceea de agitație termică, îi transportă pe cele



Prezența ionilor în atmosferă face ca un conductor electricizat să nu-și poată păstra la nesfârșit încărcarea, oricât ar fi de bine izolat.

În general, ionii aceștia nu rămân singuratici. Ei își asociază fire de praf, particule în suspensie, picături de apă sau chiar molecule neutre.

**Recombinarea limitează  
viața ionilor.**

*Viața lor e destul de scurtă,  
fiindcă întâlnirea cu ionii contrari  
li neutralizează, prin recombinație.*

Dar, în timp ce unii dispar, alții se formează în locul lor.

Putem arăta recombinația ionilor printr-o experiență simplă, schematizată în fig. 184.

Un tub metallic vertical, conectat la pământ, are o serie de dopuri laterale izolate, prin care trec niște „sonde”, tot metalice,  $S_1$ ,  $S_2$ ,  $S_3$  etc.

Un electroscope, încărcat și gradat în volți, are cutia de protecție legată la pământ, iar vergeaua la una din sonde.

O flacără, așezată la capătul de jos al tubului, formează ionii și totodată, întreține un curent de aer, care-i face să treacă succesiv, de la o sondă la alta.

Măsurind variația de potențial a foiițelor, într-un timp  $t$ , și notând capacitatea electroscoapului cu  $C$ , vom avea

$$Q = It = CV \quad (218.1)$$

în care  $I$  reprezintă intensitatea curentului de descărcare, proporțională cu numărul ionilor, transportați de cîmpul electric, între sondă și tubul metallic.

Experiența ne arată că electroscoapul se descarcă mult mai repede, cînd e legat la  $S_1$ , decît la  $S_2$  ori  $S_3$ .

Prin urmare ionii se recombina și dispar, în timp ce parcurg distanța de la o sondă la alta.

Cunoscînd viteza curentului de aer, putem calcula că majoritatea lor nu durează mai mult de 1/10 dintr-o secundă.

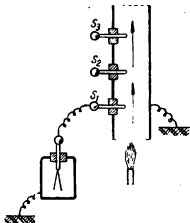


Fig. 184. Determinarea vitezei de recombinație a ionilor.

1. *Mobilitatea ionilor.* În gazele ionizate, un câmp electric transportă ionii pozitivi în sensul liniilor de forță și pe cei negativi în sensul contrar.

Vitezele respective,  $u_1$  și  $u_2$ , vor fi, evident, proporționale cu intensitatea  $E$  a câmpului, așa că

$$u_1 = K_1 E \quad \text{și} \quad u_2 = K_2 E.$$

**Factorul de proporționalitate, între viteza ionului și câmpul electric, definește mobilitatea lui.**

În aceste relații, factorii de proporționalitate  $K$  definesc așa numitele *mobilități* ale ionilor considerați.

Iar dacă le scriem sub forma

$$K = \frac{u}{E}$$

se vede imediat că, exprimând viteza în cm/s și câmpul în V/cm, valoarea mobilității rezultă în

$$\frac{\text{centimetri pe secundă}}{\text{volți pe centimetru}}.$$

**În câmpul de un volt pe centimetru, mobilitatea este numeric egală cu viteza ionului.**

De asemenea se vede că, într-un câmp cu intensitatea de un volt pe centimetru, mobilitatea devine numeric egală cu viteza ionului.

Mobilitatea ionilor în aer se poate determina cu aparatul schițat în fig. 185:

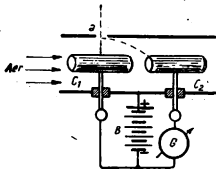


Fig. 185. Determinarea mobilității ionilor gazoși.

Curentul de gaz trece, cu viteză cunoscută, printr-un cilindru de metal, cu diametrul mai mare, în care stau coaxial doi conductori de diametru mai mic.

Prin dopuri izolante, o baterie galvanică  $B$  menține o diferență de potențial, de 300—400 V, între tubul exterior și acești conductori.

Un fascicul de raze ultraviolete pătrunde printr-o mică deschidere  $a$  și produce ionizarea.

Dacă suprimăm curentul de aer, toți ionii ajung numai pe cilindrul  $C_1$  și galvanometrul  $G$  nu indică nici o deviație.

Ca ei să poată ajunge pe  $C_2$ , trebuie să dăm aerului o anumită viteză minimă și atunci un ion, plecat din  $a$ , parcurge traiectoria parabolică punctată, iar galvanometrul începe să indice trecerea curentului electric.

Această traiectorie rezultă prin suprapunerea mișcării longitudinale și uniforme a curentului de aer, peste aceea radială, în care ionul este accelerat de cîmpul electric.

Problema este deci analogă cu aruncarea după orizontală a unui corp care, în același timp, cade spre pămînt (§ 60).

Vitezele ionilor pozitivi și negativi pot fi măsurate separat, inversînd conexiunile bateriei  $B$ .

Experimental găsim că :

$u_1 \approx 2$  cm/s, într-un cîmp de un volt pe centimetru, la ionii *negativi* și

$u_2 \approx 1,4$  cm/s, la ionii *pozitivi*.

Prin urmare, mobilitățile ionilor din aer sînt cam de 1000 de ori mai mari decît a ionilor din soluții (§ 242).

**2. Curentul de saturație.** Dacă, într-un gaz ionizat, introducem două plăci metalice, conectate cum arată fig. 186 și măsurăm intensitatea curentului de ionizare, în funcție de dife-

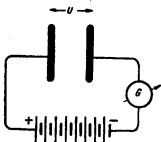


Fig. 186. Schema dispozitivului pentru cercetarea ionizării gazelor.

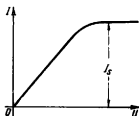


Fig. 187. Variația intensității curentului ionic în gaze, la presiunea normală, în funcție de diferența de potențial.

rența de potențial  $U$ , aplicată între dînsese, găsim experimental o curbă, ce are aproximativ traseul din fig. 187.

Această curbă ne spune că :

1) Un câmp de intensitate mică nu e în stare să transporte *toți* ionii dintre plăci, fiindcă-i duce prea încet și le lasă timpul să se recombine, prin ciocnirile termice.

2) Intensificarea câmpului face să crească și curentul ionic, fiindcă mărește viteza de transport și defavorizează recombinarea.

3) Există o intensitate-limită  $I_s$ , care nu poate fi depășită, cîtă vreme nu mai apar și alte cauze de ionizare suplimentară.

La început curentul ionic se intensifică odată cu câmpul, apoi tinde spre saturație.

Ea se numește *intensitate de saturație* și, odată atinsă, *toți ionii din câmp sînt captați de plăcile metalice*.

Determinarea intensității de saturație, cînd o cantitate cunoscută de aer trece printre plăci primenindu-se mereu și cunoașterea sarcinii elementare a ionilor ne permit să calculăm numărul lor, în unitatea de volum.

Constatăm așa că, din cele  $3 \cdot 10^{19}$  molecule dintr-un centimetru cub de aer, numai 500—600 sînt ionizate, în condițiile normale.

Dar acest număr poate să crească foarte mult, în condiții speciale, de pildă pe timp de furtună, sau în preajma căderilor de apă, din cauza fărîmîțării picăturilor.

§ 259. **Ionizarea prin ciocnire.** Dacă mărim peste măsură diferența de potențial, aplicată între plăcile metalice din fig. 186, încep să apară fenomene luminoase, întovărășite de scînteii sau efluvii electrice.

Curentul ionic sare atunci cu mult peste intensitatea normală de saturație, așa cum arată curba din fig. 188, ceea ce înseamnă că s-a format un număr mare de ioni suplimentari.



Fig. 188. Cînd apare ionizarea, intensitatea curentului din coloana gazoasă crește brusc.

Vom spune atunci că am atins *potențialul exploziv*, corespunzător distanței dintre cele două plăci.

*Creșterea observată se datorește faptului că ionii, accelerați de forțele cîmpului, au căpătat o viteză destul de mare ca să poată zmulge unul sau mai mulți electroni sateliți, din moleculele întâlnite, care astfel se transformă și ele în ioni.*

Cînd ionii ating o viteză destul de mare, ajung să ionizeze alte molecule, prin ciocnire.

Electronul extras prin ciocnire devine, la rîndul lui, un transportor de electricitate.

El poate să rămînă liber, pînă la viitoarea neutralizare, sau să fie atașat unei molecule neutre, care devine astfel un *ion negativ*<sup>1)</sup>.

Totodată ionii formați mai pot să ionizeze prin ciocnire și alte molecule, de unde apare o nouă intensificare a curentului.

Ca imagine, procesul ar putea fi comparat cu formarea unei avalanșe de zăpadă, pe coasta unui munte.

Dar prezența unui cîmp electric accelerator nu este indispensabilă, în fenomenul ionizării prin ciocnire.

*Condiția necesară și suficientă este ca o particulă incidentă oarecare să aibă o energie cinetică, în stare să producă lucrul mecanic, implicat în expulzarea electronului satelit, împotriva forțelor de atracție coulombiene, din atomul ciocnit.*

Ionizarea poate fi provocată prin oricare ciocnire, cu energie cinetică suficientă.

Dar această energie o poate căpăta orice moleculă, prin efectul unei simple încălziri a gazului. Se cere numai ca temperatura să atingă valoarea necesară unei anumite viteze de agitație termică.

Așa se explică, între altele, acțiunea ionizantă a flăcărilor.

*Energia de ionizare.* Să presupunem că un ion monovalent, cu masa  $m$  și sarcina electrică  $e$ , se află într-un cîmp accelerator.

Dacă ionul străbate diferența de potențial  $U$ , forțele cîmpului liberează energia electrică

$$W_e = Ue$$

<sup>1)</sup> Structura ionilor negativi, care pot să atașeze și alte particule suplimentare, a fost îndelung cercetată de profesorul Th. V. Ionescu, de la Universitatea din București.

iar ionul capătă energia cinetică

$$W_c = \frac{1}{2} mv^2.$$

După principiul conservării, vom avea deci

$$\boxed{Ue = \frac{1}{2} mv^2} \quad (259.1)$$

Iar dacă ionul este polivalent, vom introduce valența lui, ca factor în membrul întâi.

Pentru o particulă de masă cunoscută, această relație ne permite să calculăm viteza căpătată.

Dar, în procesele de ionizare prin ciocnire, nu interesează viteza, ci *energia cinetică* a proiectilului care lovește.

*Relația de față, exprimînd această energie prin produsul dintre sarcina transportată și diferența de potențial străbătută, are avantajul că o face independentă de masă.*

La ionii monovalenți, sarcina fiind egală cu a electronului, vom avea (§ 223):

$$e = 4,802 \cdot 10^{-10} \text{ u.e.s.} = 1,602 \cdot 10^{-19} \text{ C},$$

și energia imprimată, *sub o diferență de potențial de un volt*, va fi:

$$W = Ue = 1,602 \cdot 10^{-19} \text{ J} = 1,602 \cdot 10^{-12} \text{ erg}.$$

Un electron-volt reprezintă energia transmisă unui electron, sub diferența de potențial de un volt.

Această energie, transmisă electronului ce a străbătut o diferență de potențial de un volt, se ia ca *unitate de măsură în atomistică* și se numește *electron-volt*.

Pentru orice particulă, care poartă  $n$  sarcini elementare și a străbătut diferența de potențial de  $U$  volți, energia va fi deci

$$\boxed{W = nUe} \quad (259.2)$$

De altă parte, relația (259.1) ne permite să exprimăm în electron-volți (eV) energia oricărei particule de masă și viteză cunoscute, chiar dacă nu poartă o sarcină electrică, așa cum ar fi, de pildă, cazul moleculelor în agitația termică.

Calculul și determinarea energiilor de ionizare a gazelor va face obiectul unui capitol special, în cadrul teoriilor atomice moderne.

Cu titlul de simplă informație, tabela de mai jos cuprinde câteva date numerice, valabile pentru extragerea unui singur electron din atom și exprimate în *electron-volți*:

K	H $\alpha$	H	O	Kr	N	Ar	He
4,32	10,39	13,54	13,56	13,90	14,49	15,70	24,45

Din această tabelă ne putem da seamă cât de ușor, sau cit de greu se poate transforma un atom în ionul monovalent respectiv.

În special, ionizarea unui atom de heliu cere de șase ori mai multă energie, decât a unui atom de potasiu.

Într-un câmp electric, spațiul de accelerare al ionilor gazoși este limitat între două ciocniri consecutive cu moleculele, adică la lungimea drumului liber mijlociu  $\lambda$ .

Energia cinetică, transmisă unui singur ion monovalent va fi deci

$$W = eU_{\lambda}$$

în care  $U_{\lambda}$  reprezintă diferența de potențial, în lungul distanței  $\lambda$ .

Dar, într-un câmp electric de intensitate  $E$ ,

$$U = E\lambda \quad (214.1)$$

și rezultă că

$$W = eE\lambda.$$

Pentru ca ionizarea prin ciocnire să devină posibilă, trebuie ca această energie să atingă o anumită valoare minimă, caracteristică gazului respectiv.

Această condiție poate fi realizată pe două căi:

1) Sau menținem presiunea normală, în care drumul liber mijlociu este foarte mic și mărim intensitatea câmpului, aplicând o diferență de potențial suficientă, între plăcile metalice care formează electrozii.

2) Sau reducăm presiunea, ca să lungim drumul liber mijlociu, adică să mărim diferența de potențial  $U_{\lambda}$ .

Evident, nimic nu ne împiedică să aplicăm simultan ambele procedee.

Totuși, dacă gazul este prea rarefiat, o particulă oarecare îl străbate din parte în parte, fără să întâlnească nici o moleculă.

Probabilitatea ionizării este atunci practic nulă.

Ca încheiere, mai menționăm următoarele :

a) Dacă energia cinetică a particulei care ciocnește o moleculă este mică, sîntem în cazul ciocnirilor *perfect elastice*, considerat ca o condiție fundamentală, în teoria cinetică a gazelor.

Aceasta se întîmplă, efectiv, cîtă vreme temperatura nu mărește peste măsură viteza de agitație termică.

b) Cînd ciocnirea este destul de violentă ca să producă ionizarea, energia cinetică nu se mai conservă, fiindcă se absoarbe parțial sau total, în expulzarea electronului.

Ciocnirea nu mai este atunci decît *semielastică*, sau chiar *moale*.

c) Dacă particula incidentă nu e în stare să ionizeze, dar izbutește să mute un electron satelit pe altă orbită, cu raza mai mare, de asemenea se absoarbe o cantitate de energie și iarăși ciocnirea pierde caracterul elastic.

Ionizarea sau excitarea  
unul atom înlătură caracterul  
elastice al ciocnirii.

Electronul nu rămîne însă pe orbita lărgită, ci revine pe orbita inițială.

Atomul restituie atunci energia absorbită, sub forma de *radiații luminoase* și vom spune că ciocnirea i-a comunicat o stare specială de *excitare*.

Incandescența flăcărilor și diferite fenomene luminoase, ce însoțesc o descărcare electrică prin gaze, sînt consecințe ale trecerii atomului, de la starea excitată, la starea normală.

§ 260. **Descărcarea la presiune redusă.** Trecerea descărcărilor electrice prin gaze dă naștere la o serie de fenomene complexe, despre care cunoștințele noastre actuale sînt încă destul de imperfecte <sup>1)</sup>.

<sup>1)</sup> În această problemă este cazul să menționăm cercetările importante ale profesorilor E. Bădărău și Th. V. Ionescu, de la Universitatea din București.



În cele ce urmează, vom descrie aspectul calitativ al acestor fenomene, cu prea puține indicații cantitative.

Observațiile se pot face comod, într-un tub de sticlă, cu diametrul de 4—5 cm și lungimea de 70—80 cm, legat la o pompă de vid convenabilă (fig. 189).

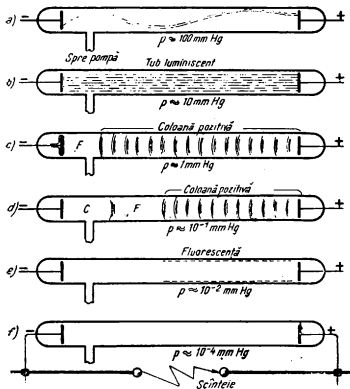


Fig. 189. Aspectele succesive ale descărcării electrice în gaze, la diferite presiuni.

La capete sînt introduși, prin sudură în sticlă, doi electrozi metalici, între care aplicăm o diferență de potențial de ordinul miilor de volți.

1) Câtă vreme presiunea gazului nu diferă prea mult de aceea barometrică normală, descărcarea electrică nu apare decât ca efluvii sau scînteii, sub diferențe mari de potențial.

2) În fig. 189, *a* presiunea s-a redus la 100 torr<sup>1)</sup> și continuă să scadă.

În lungul tubului, apar aici unul sau mai multe fire luminoase, șerpuite ca formă și nestabile ca poziție, care se îngroașă treptat.

3) În fig. 189, *b* sîntem sub 10 torr. Firișoarele au devenit o coloană luminoasă, care ocupă toată lărgimea tubului.

Culoarea ei depinde de natura gazului: roză în aer, verde în vapori de mercur, albastră în vapori de iod, roșie în hidrogen etc.

4) În fig. 189, *c* presiunea s-a coborît pînă la 1 torr, sau ceva mai puțin.

Catodul se înfășură într-o pătură luminoasă, după care urmează așa numitul *spațiu întunecat al lui Faraday*, notat în figură cu *F*.

În continuarea lui, sprijinită pe anod, se găsește *coloana luminoasă pozitivă* pe care, de obicei, apar stratificări, alternativ luminate și întunecate.

5) În fig. 189, *d* presiunea s-a coborît sub 0,1 torr. Pătura de lumină, ce învelea catodul, s-a depărtat în tub, lăsînd în urmă o regiune întunecată, care se numește *spațiul lui Crookes* și este notată în figură cu *C*.

Spațiul lui Faraday s-a depărtat și el, iar coloana pozitivă s-a scurtat.

6) În fig. 189, *e* presiunea s-a redus la mai puțin de 0,01 torr. Coloana pozitivă și spațiul lui Faraday au dispărut, în vreme ce spațiul lui Crookes a invadat întreaga lungime a tubului.

Descărcarea mai trece totuși, însoțită de o slabă lumină roză și, în același timp, apare o intensă fluorescență verde a pereților de sticlă, mai ales în regiunea opusă catodului.

Această fluorescență se datorește ciocnirilor exercitate acolo de un fascicul de electroni, ce pleacă de pe suprafața catodului, se accelerează în cîmpul electric și formează așa numitele *raze catodice*, despre care vom discuta mai tîrziu.

<sup>1)</sup> Amintim că un torr înseamnă un milimetru de mercur.

7) În fig. 189,  $f$  am ajuns cu presiunea pînă aproape de 0,000 1 torr. Orice fenomene luminoase dispar și curentul electric nu mai trece, din lipsă de transportori.

Coloana gazoasă mai conține încă cel puțin  $10^{12}$  molecule, în fiecare centimetru cub, dar drumul liber mijlociu a devenit mai mare decît lungimea tubului și probabilitatea de ionizare poate fi considerată ca practic nulă.

1. *Raze pozitive și negative.* De astă dată vom face descărcarea electrică printr-un tub, în care plăcile metalice care formează anodul și catodul sînt perforate (fig. 190).



Fig. 190. Raze pozitive și negative.

În coloana gazoasă vor apare, prin fenomenul de ionizare :

- 1) Atomi cari au pierdut unul sau mai mulți electroni satețiți, adică *ioni pozitivi*.
- 2) *Electroni liberi*, expulzați din acești atomi și
- 3) Atomi neutri cari au atașat un electron suplimentar și au devenit *ioni negativi*.

Toate aceste particule se accelerează în cîmpul electric și se îndreaptă, cele pozitive spre catod, iar cele negative spre anod.

Majoritatea sînt captate de plăcile metalice, pe care-și depun sarcina electrică, dar celelalte scapă prin găuri, în dosul lor, unde cîmpul tinde apoi să le frîneze.

În spatele catodului se formează astfel un fascicul de ioni pozitivi, care trasează o dîră canalizată, de lumină palidă.

Acestea sînt așa numitele *raze-canal*, sau *raze pozitive*.

Prin electrozi găuriți, razele pozitive trec în dosul catodului și cele negative în dosul anodului.

Tot așa se formează, în dosul anodului, un fascicul rectiliniu de *raze negative*, care transportă electronii liberi, împreună cu ionii negativi.

Dar acești electroni pot să provină nu numai din atomii gazului :

Dacă presiunea din tub este mică, ionii pozitivi dispun de un spațiu larg de accelerare și sosesc pe suprafața catodului cu viteză mare.

Metalul catodului bombardat cu ioni pozitivi, emite electroni care formează razele catodice.

*Bombardarea smulge atunci electroni din metal și astfel rezultă razele catodice, despre care am vorbit mai sus.*

Acești electroni urmează traiectoria perpendiculară pe suprafața catodului și numărul lor domină din ce în ce mai mult pe al ionilor negativi, pe măsură ce scade presiunea.

Ca să constatăm semnul electrizarilor, pentru fiecare din cele două fascicule, putem introduce, în calea lor, câte un cilindru metalic, legat la un electroscope.

Mai putem constata că ele transportă sarcini electrice și din faptul că deviază un ac magnetic, așezat în apropierea tubului, după cum și ele însele sînt deviate de un magnet.

**2. Variația de potențial în coloana gazoasă.** Dacă introducem, în lungul tubului, mai multe fire metalice sudate în sticlă și le conectăm succesiv la vergeaua unui

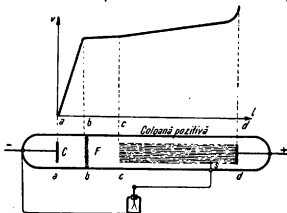


Fig. 191. Variația potențialului față de catod, la descărcarea electrică sub presiune redusă.

electroscop, a cărui cutie de protecție o legăm la catod, constatăm că potențialul variază, în coloana gazoasă, așa cum arată curba reprezentativă din fig. 191 sus.

În aceeași figură am reprezentat și diferitele spații obscure sau luminoase, ce apar în tub.

În apropierea electrozilor potențialul suferă o variație rapidă, mai ales la catod.

*Pe această curbă se vede o creștere foarte rapidă, în spațiul lui Crookes, urmată de alta foarte lentă, în spațiul lui Faraday.*

*Apoi creșterea devine iarăși ceva mai rapidă și se accentează în apropierea anodului.*

Cunoscând acestea și făcând abstracție de ciocnirile suferite, să considerăm un *ion pozitiv*.

El merge de la anod spre catod și suferă întâi o mică accelerare, în coloana pozitivă, iar apoi alta, mult mai mare, în căderea de potențial din preajma catodului.

Ajuns aici, pierde și sarcina electrică și energia cinetică, dar expulzează electroni din metal, care pleacă spre anod.

Aceștia suferă, de la început, o accelerare bruscă și ajung în coloana pozitivă cu energie cinetică, destulă ca să ionizeze, ori să excite moleculele întâlnite.

**3. Lampa cu vaporii de mercur.**  
Dacă anodul și catodul, într-un tub de sticlă din care am scos aerul, sînt făcuți din mercur, putem întreține o descărcare, sub forma unui *arc electric*, dacă înclinăm întîi tubul, ca să aducem electrozii în contact provizoriu.

Se produce atunci o ionizare intensă a vaporilor de mercur și o lumină puternică, de culoare verde-albăstruie.

Această lampă are aplicații practice multiple și este reprezentată în fig. 192.

Lumina emisă conține o cantitate mare de radiații ultraviolete, care nu străbat prin sticla ordinară, dar străbat ușor prin sticla de cuarț.

Ele au proprietăți bactericide, ionizante și fotochimice, care le fac utile în practica medicală, în tehnica sterilizărilor și în laboratoare.



Fig. 192. Lampa cu vaporii de mercur.

Cu toată lumina intensă, lampa cu vapori de mercur este improprie în luminatul apartamentelor, fiindcă falsifică culorile și dă pielii o aparență cadaverică.

Din verde, această lumină devine galbenă și câștigă mult în intensitate, dacă mercurul este amestecat cu sodiu.

Sub această formă, tipuri speciale de lămpi sînt folosite pe scară mare, pentru luminarea șoselelor, a fabricilor și a garilor.

Un progres important a fost realizat de Vavilov<sup>1)</sup>, prin introducerea tubului cu vapori de mercur, într-un manșon de sticlă, acoperit la interior cu anumite substanțe fluorescente, care produc atunci, sub acțiunea ultravioletului, o lumină intensă, fie albă, fie colorată.

Aceste lămpi au, față de becurile obișnuite și avantajul unui consum redus de energie electrică.

**§ 261. Potențialul exploziv.** O descărcare electrică în gaze ar putea fi privită ca o cursă de obstacole, cu rele :

Am văzut că un *ion pozitiv*, accelerat în câmp, care a izbutit să ionizeze o moleculă, își consumă energia cinetică.

Pe lângă faptul că este frînat, el poate să atașeze, ca satelit, electronul pe care l-a zmulș și să devină, la rîndul lui, o moleculă neutră.

Mișcarea este reluată atunci de ionul format, care se accelerează, pînă la o nouă ciocnire ionizantă.

Între două astfel de ciocniri, distanța parcursă cuprinde tocmai diferența de potențial de ionizare.

Diferența de potențial explozivă se măsoară între anod și catod în momentul cînd apare descărcarea.

Ea nu trebuie să fie confundată cu așa numita *diferență de potențial explozivă*, care se măsoară între anod și catod, în momentul cînd apare descărcarea.

Denumirea se înlocuiește cu aceea de *potențial exploziv*, dacă alegem, ca zero de referință, chiar potențialul catodului.

**Legea lui Paschen.** Dacă notăm cu  $d$  distanța dintre anod și catod, presupuși plani și paraleli, iar cu  $p$  presiunea gazului, experiența ne arată că :

<sup>1)</sup> *Serghei I. Vavilov* (1891—1954), fost profesor la Moscova și președinte al Academiei de Științe din U.R.S.S.

*La temperatură constantă, potențialul exploziv depinde numai de produsul  $pd$ .*

Această lege, care de altfel poate fi dedusă și teoretic, a fost găsită de *Paschen*<sup>1)</sup>.

De altă parte, se vede imediat că, în condiții date, produsul  $pd$  este, la rîndul lui, proporțional cu masa gazului, cuprins între anod și catod.

În aceste condiții, legea lui *Paschen* poate fi enunțată și sub forma :

Potențialul exploziv depinde numai de masa gazului cuprins între electrozi.

*Potențialul exploziv depinde numai de masa gazului cuprins între electrozii plani și paraleli.*

Figura 193 reprezintă grafic variația potențialului exploziv, notat cu  $V$ , în funcție de produsul  $pd$ , în aer.

Curba, trasată experimental, trece printr-un minimum, corespunzător potențialului de 340 V.

Din examinarea ei, putem ajunge la unele concluzii, în aparență paradoxale :

Presupunînd, bunăoară, că păstrăm o presiune constantă și apropiem treptat electrozii, așa ca produsul  $pd$  să ne ducă în regiunea descendentă a curbei, o scădere mai departe a distanței mărește potențialul exploziv.

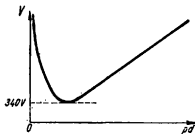


Fig. 193. Legea lui *Paschen*.

*Există deci condiții, în care descărcarea electrică se produce mai greu la distanțe mici și preferă drumul cel mai lung.*

Explicația este simplă, dacă ne gândim la condițiile de formare ale ionilor.

§ 262. **Emisiunea termoelectronică.** Descărcarea disruptivă, odată pornită, se întreține de la sine, cîtă vreme cîmpul electric

<sup>1)</sup> *Friedrich Paschen* (1865—1947), fizician german, fost profesor la Tübingen.

nu scade sub o limită dată, fiindcă gazul își fabrică singur transportorii, fie prin ionizare, fie prin bombardarea cu ioni a electrozilor metalici.

Vom spune deci că ea este *autonomă*.

Există însă și cazuri în care mediul de transmitere nu intervine cu nimic în formarea transportorilor de electricitate :

Ioni sau electroni liberi pot să existe chiar în vid, ca rezultat al desfășurării unor procese particulare, de pildă în transformările radioactive, prin acțiunea luminii asupra metalelor sau altor substanțe, prin încălzirea conductorilor la incandescență și așa mai departe.

Lăsînd, momentan, la o parte pe celelalte, ne vom ocupa, în cele ce urmează, de emisiunea *termoelectronică* a corpurilor incandescente.

Agitația termică și întîmplarea pot face ca o parte din electronii unui conductor să se îndrepte spre suprafața liberă, cu tendința să iasă afară.

Dar, la temperatura ordinară, șansele de a părăsi conductorul sînt foarte reduse, fiindcă cei ce au ieșit îl lasă încărcat pozitiv și sînt atrași înapoi.

Ca în toate cazurile similare, se formează astfel o *pătură dublă*, pozitivă pe fața interioară și negativă pe cea exterioară, adică un cîmp electric și o diferență de potențial  $U_e$  ce opun o barieră ieșirii altor electroni.

Această barieră nu va putea fi trecută, decît cu condiția ca electronul, de masă  $m$  și sarcină electrică  $e$ , să aibă cel puțin energia cinetică

$$\frac{1}{2} mu^2 = eU_e - A \quad (262.1)$$

în care  $u$  reprezintă viteza de translație.

Un conductor poate să emită electronii a căror energie cinetică întrece *travallul* de extracție.

*Trecerea prin bariera de potențial consumă deci energia cinetică a electronului, sub forma unui lucru mecanic de extracție A.*



La rece, probabilitatea de apariție a vitezei minime  $u$ , dictată de repartiția maxwelliană, este practic nulă, dar ea poate să devină destul de mare, la temperatura de incandescență.

Probabilitatea de ieșire a electronilor crește cu temperatura.

*In tot cazul, creșterea temperaturii mărește numărul electronilor ce ar putea să părăsească conductorul.*

Dar electronii cari au ieșit nu mai au energie cinetică și de aceea nu se răspîndesc în spațiu decît cu încetul, fie prin respingerea reciprocă, fie prin acțiunea ciocnirilor moleculare, dacă au pătruns într-un gaz.

Electronii plecați de pe conductor crează o sarcină spațială care sistează eșirea celorlalți.

Ei staționează în jurul conductorului și crează o *sarcină spațială* negativă, care sistează automat eșirea celorlalți, chiar dacă ar avea energie cinetică, destulă ca să treacă bariera de potențial.

Modelul mecanic din fig. 194 arată intuitiv cum se petrec aceste fenomene :

Intr-un vas, cu margina lată și orizontală, se agită mai multe bile, cu viteze de translație diferite.

Panta de urcat este comparabilă cu bariera de potențial și numai acele bile vor putea să iasă, care au energia cinetică necesară.

Anularea vitezei le oprește însă pe marginea vasului și această îngrămădire împiedică ieșirea celorlalte, printr-o acțiune, dacă nu identică, totuși comparabilă cu a sarcinii spațiale din jurul conductorilor.

Ca să împiedicăm staționarea, e de ajuns ca margina vasului să fie puțin înclinată, spre exterior și atunci acțiunea cîmpului pămîntesc le rostogolește la vale.

Analog, sarcina spațială poate fi total sau parțial înlăturată, dacă intervine un cîmp electric, în care catodul este însuși conductorul incandescent.



Fig. 194. Model mecanic pentru emisiunea termoelectronică.

Electronii pleacă atunci spre anod și rezultă un curent electric, pe care-l putem evidenția cu un galvanometru sensibil, intercalat în circuit, ca în fig. 183.

Dar mobilitatea lor în aer, la presiunea normală, este mică, așa că intensitatea curentului nu poate fi decât foarte slabă, câtă vreme nu apare descărcarea disruptivă.

De aceea, ca să evităm complicația ciocnirilor moleculare și eventuale transporturi ionice, va trebui ca fenomenul să fie cercetat în vidul înalt.

Dispozitivul experimental, reprezentat în fig. 195, este următorul :

Un filament metalic  $F$  este adus la incandescență, cu o baterie de acumulatori, sau cu orice altă sursă de curent, ca într-un bec electric obișnuit.

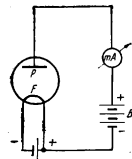


Fig. 195. Emisiunea termoelectronică în vid.

În fața lui se găsește o placă  $P$ , iar sistemul e introdus într-un balon de sticlă, în care s-a făcut un vid mai înalt.

O altă baterie  $B$ , conectată cu polul pozitiv la placă și cu cel negativ la filament, menține o diferență de potențial  $U_a$ , pe care o putem varia după voie.

Miliampermetrul intercalat în circuit ne arată atunci prezența unui curent electric, ce transportă electronii de la filament spre placă (anod).

Intensitatea lui variază cu diferența de potențial aplicată, după curba experimentală din fig. 196, a.

Această curbă arată, la început, o creștere lentă, urmată de alta mai rapidă și se termină cu o porțiune orizontală, pe care se menține o intensitate constantă, de saturație, notată cu  $I_s$ .

Interpretarea este următoarea :

1) În câmpurile slabe, liniile de forță se termină în zona periferică a sarcinii spațiale, care acționează ca un ecran electric, între placă și filament.

Aici electronii sînt, relativ, puțini la număr și de aceea curentul are intensitate mică.

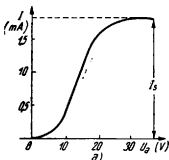


Fig. 196, a. Curba caracteristică a diodei.

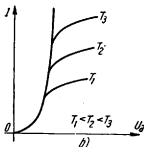


Fig. 196, b. Curba caracteristică a diodei pentru diferite temperaturi ale filamentului.

2) Pe măsură ce sarcina spațială este măturată, prin creșterea treptată a diferenței de potențial aplicate, liniile de forță pătrund mai adînc, înîlînesc din ce în ce mai mulți electroni, pe care cîmpul îi transportă spre anod și astfel apare variația rapidă, observată pe curbă.

3) *Cînd sarcina spațială a fost complet înlăturată, anodul captează toți electronii, pe care filamentul este capabil să-i libereze, la temperatura respectivă.*

La o temperatură dată, creșterea diferenței de potențial mărește curentul electronic, pînă la saturație.

*În acest moment, intensitatea curentului atinge valoarea-limită, de saturație, notată cu  $I_s$ .*

4) Dacă ridicăm temperatura filamentului, prin intensificarea curentului de încălzire, crește și curentul de saturație, fiindcă sporul de energie cinetică al agitației termice permite să iasă mai mulți electroni.

În fig. 196, b am reprezentat aspectele succesive ale curbei, la temperaturile crescătoare  $T_1$ ,  $T_2$ ,  $T_3$  etc.

*De remarcat că, pe porțiunile ascendente comune, traseul nu suferă nici o modificare.*

Considerînd emisiunea termoelectronică drept un fenomen analog evaporării și aplicînd procedeele statistice, din teoria cinetică a gazelor, O. Richardson<sup>1)</sup> a calculat că intensitatea curentului de saturație, pe centimetrul pătrat de catod încălzit, la temperatura absolută  $T$ , este

$$I_s = ae^{-\frac{b}{T}} \cdot T^{\frac{1}{2}} \quad (262.2)$$

În care  $a$  este o constantă universală, pentru care teoria duce la valoarea  $60,2 \text{ A} \cdot \text{cm}^{-2} \cdot \text{grd}^{-1/2}$ , iar  $b$  de asemenea o constantă, caracteristică fiecărei substanțe și legată de valoarea traviului de extracție respectiv.

**1. Emisiunea termoionică.** Din metalele care conțin impurități, ori din anumite săruri metalice, mai ales alcaline, încălzirea la incandescență poate să libereze ioni pozitivi.

Sărurile alcaline sau impuritățile din metale pot să emită ioni pozitivi.

Ei pot fi transportați de cîmpul electric dacă, inversînd conexiunile bateriei, facem ca substanța emițătoare să devină anod.

**2. Aplicații practice.** Dispozitivul din fig. 195 constituie un tub (sau lampă) cu doi electrozi, care se mai numește încă și *diodă* sau *kenotron*<sup>2)</sup>.

El are diferite aplicații practice, mai ales la *redresarea* curentului alternativ, adică la schimbarea unui curent care-și inversează sensul, de un număr oarecare de ori pe secundă, într-un curent care să circule într-un singur sens.

În adevăr, dacă, în locul bateriei  $B$ , conectăm o tensiune alternativă, curentul nu apare decît pentru alternanța care face placa pozitivă și filamentul negativ.

Pot fi redresate așa tensiuni pînă la cîteva sute de mii de volți.

În ce privește intensitatea curentului electronic, ea depinde de natura catodului, de suprafață și de temperatura lui.

La un catod de wolfram, încălzit la  $2300^\circ\text{C}$ , curentul de saturație atinge cam doi amperi pe centimetrul pătrat.

În tuburile mai mici se întrebuintează și catodi de nichel, acoperiți cu oxid de bariu care, la  $500^\circ\text{C}$ , au emisiunea electronică mai mare decît wolframul la  $2300^\circ\text{C}$ .

Tot ca redresori se întrebuintează în industrie tuburi speciale, în care anodul este de fier sau de grafit, iar catodul de mercur.

În ele se formează un arc electric, prin ionizarea intensă a vaporilor de mercur.

**Exemple numerice.** 1) Să se calculeze intensitatea cîmpului electric, în stare să determine ionizarea prin ciocnire a hidrogenului, la presiunea scăzută în care drumul liber mijlociu este  $\lambda = 10^{-2} \text{ cm}$ .

<sup>1)</sup> Owen Richardson (n. în 1879), fizician american.

<sup>2)</sup> Ultima denumire este consacrată tuburilor redresoare de curent.

Se va lua energia de ionizare a hidrogenului 13,54 eV.

Egalind energia necesară unei particule ionizante monovalente cu lucrul mecanic în câmpul electric avem

$$W = eU = eE\lambda$$

și rezultă că

$$E = \frac{U}{\lambda} = \frac{13,54}{10^{-2}} = 1\,354 \text{ V/cm.}$$

2) Să se calculeze viteza pe care o capătă un proton (ion de hidrogen) când străbate diferența de potențial de un volt.

Relația

$$Ue = \frac{1}{2}mv^2 \quad (259.1)$$

ne dă

$$v = \sqrt{2 \frac{e}{m} U}.$$

Dar la proton (§ 241)

$$\frac{e}{m} = 9,578 \cdot 10^4 \text{ C/g}$$

sau

$$\frac{e}{m} = 9,578 \cdot 10^7 \text{ C/kg,}$$

și rezultă că

$$v = \sqrt{2 \cdot 9,578 \cdot 10^7 \cdot 1} = 1,39 \cdot 10^4 \text{ m/s.}$$

3) Un electroscope, cu capacitatea electrostatică de 6 cm, a fost încărcat la 300 V. După 30 de minute se constată că potențialul a scăzut la 290 V.

Să se calculeze intensitatea curentului de descărcare și numărul de ioni monovalenți pe care i-a transportat.

Scăderea de 10 V a potențialului reprezintă 1/30 u. CGS e.s. și relația:

$$Q = CV \quad (218.1)$$

ne dă

$$I = \frac{Q}{t} = \frac{6}{30 \cdot 30 \cdot 60} = 1,1 \cdot 10^{-4} \text{ u.CGS e.s.}$$

dar

$$e = 4,8 \cdot 10^{-10} \text{ u.CGS e.s.}$$

Prin urmare numărul sarcinilor transportate este

$$\frac{Q}{e} = \frac{CV}{e} = \frac{6}{30 \cdot 4,8 \cdot 10^{-10}} = 4,18 \cdot 10^8.$$

## PARTEA A ȘAPTEA

# CIMPUL MAGNETIC

---

### CAPITOLUL XXXV

### MAGNETOSTATICA

§ 263. **Magneți. Dipoli magnetici.** Există unele minereuri, la care s-a observat de mult însușirea că atrag pilitura sau bucățile mici de fier, tot așa cum chihlimbarul atrage obiectele ușoare.

Dar chihlimbarul capătă această proprietate prin frecare, pe când minereurile amintite o au de la natură.

Aceste minereuri sînt oxizi de fier ( $\text{FeO} + \text{Fe}_2\text{O}_3$ ) sau sulfuri ( $6\text{FeS} + \text{Fe}_2\text{S}_3$ ) și au fost găsite mai întîi în apropierea orașului *Magnesia*, din Asia Mică, de unde și numele de *magneți*.

Insușirea magnetică se transmite, prin contact sau prin influență, anumitor metale sau aliaje, din care unele o păstrează apoi definitiv, în proporție mai mare sau mai mică.

Aceste metale devin astfel *magneți artificiali*, spre deosebire de minereurile amintite, care sînt *magneți naturali*.

Magneții artificiali pot să aibă diferite forme: bară, pot-coavă, cilindru etc. Ei sînt făcuți, de obicei, din oțel călit, afară de cazurile cînd se cer anumite calități deosebite.

O bară magnetizată, suspendată de un fir său așezată pe un vîrf ascuțit, se orientează, aproximativ, pe direcția meridianului geografic.

De aceea se numește *pol nord* capătul care se îndreaptă spre *Nord* și *pol sud* acela ce se îndreaptă spre *Sud*.

Este ușor de constatat că :

1) *Insușirile magnetice se manifestă numai la capetele care constituie polii.*

2) *Între doi magneți, polii cu același nume se resping, iar cei cu nume diferite se atrag.*

Prin convenție, se mai notează încă polul *nord* cu + și polul *sud* cu —.

Magnetul, de lungime  $l$ , se comportă deci ca un *dipol* și dacă am conveni să admitem, cu rezervele pe care le vom semnală mai jos, că fiecare capăt conține o sarcină (sau masă) magnetică  $\pm m$ , atunci momentul dipolar va fi

$$M_m = m \cdot l \quad (263.1)$$

tot așa cum la dipolul electric (§ 208)

$$M_e = Q \cdot l.$$

Dar două sarcini electrice pot fi separate una de alta și un dipol electric, tăiat în două, păstrează pe fiecare jumătate câte o singură sarcină, pozitivă sau negativă.

Aceasta nu este cu puțință la dipolii magnetici fiindcă, tăind mereu în două bara magnetizată, fiecare bucată rămâne mai departe un dipol, adică un magnet complet, chiar dacă am putea împinge divizarea pînă la dimensiunile atomice.

Sarcinile magnetice ale unui dipol sînt inseparabile.

*sau particule, care să poarte o singură sarcină magnetică.*

*Există corpuri, sau particule, care poartă sarcini electrice de un singur semn, dar nu există sisteme*

În fond, ideea existenței unor sarcini magnetice nu este decît o simplă ipoteză de lucru, admisă convențional.

Existența unor sarcini magnetice nu e decît o simplă ipoteză convențională.

*de sarcini electrice, fie printr-un conductor, fie în interiorul atomului.*

*Ele nici nu pot să existe ca atare fiindcă, după cum vom vedea ulterior, fenomenele constatate sînt numai o consecință a transportului*

Dar totul se petrece ca și cum ar exista și de aceea, cu toate că nu este indispensabil, vom folosi noțiunea de sarcină sau masă magnetică, în măsura în care ne poate ajuta să înțelegem anumite fenomene, prin comparație cu echivalentul lor electric, sau să urmărim dezvoltarea istorică a capitolului.

§ 264. **Legea lui Coulomb, consecință.** Pe lângă cunoscutele cercetări, asupra forțelor electrice, Coulomb a studiat experimental și forțele de interacțiune magnetică.

Legea găsită, identică cu cea din electrostatică (§ 195), ne arată iarăși o proporționalitate inversă cu pătratul distanței și se exprimă prin relația

$$F = \frac{1}{\mu} \cdot \frac{m_1 m_2}{r^2} \quad (264.1)$$

în care  $\mu$  caracterizează mediul, din punct de vedere magnetic și se numește *permeabilitate magnetică*.

Este de la sine înțeles că relația de față nu ar putea să fie aplicată, decât la două bare magnetice foarte lungi, în raport cu distanța  $r$ , fiindcă altfel intervine sensibil și acțiunea polilor de la capetele opuse.

Valoarea și dimensiunile fizice ale permeabilității sînt în funcție de sistemul unităților alese.

În sistemul CGS, fixăm arbitrar  $\mu_0 = 1$  în vid și fără dimensiuni fizice.

Procedînd ca în electrostatică, vom pleca de la convenția că permeabilitatea e un simplu număr, fără dimensiuni fizice, a cărui va-

loare, în vid, o fixăm arbitrar

$$\mu_0 = 1.$$

În aceste condiții, putem defini o unitate CGS de masă magnetică, pe care o vom încadra ulterior în așa numitul *sistem electromagnetic*.

Deocamdată o vom considera numai ca unitate *magnetostatică* și o vom indica prin inițialele CGS, ca și alte unități derivate.

La distanța de 1 cm, două mase magnetice-unitate interacționează în vid cu forța de o dynă.

*Vom spune deci că, în vid și la distanța de un centimetru, unitatea CGS de masă magnetică acționează cu forța de o dynă, asupra altei mase magnetice, de aceeași mărime cu dînsa.*

În cadrul acestei definiții, se vede imediat că dimensiunile fizice vor fi

$$[m] = L^{3/2} M^{1/2} T^{-1}$$



adică aceleași ca la sarcina electrică, în sistemul CGS electrostatic.

Identitatea legilor lui Coulomb, în electricitate și magnetism, are, între altele, următoarele consecințe imediate :

1) Ne permite să transpunem relația (199.2) și să exprimăm intensitatea cîmpului magnetic produs de o masă punctiformă, la distanța  $r$ .

Notînd-o cu  $H$ , vom avea deci

$$H = \frac{1}{\mu} \frac{m}{r^2} \quad (264.2)$$

cu consecința imediată că, pentru o masă magnetică  $m_1$ , introdusă în cîmp, forța exercitată va fi

$$F = m_1 \cdot H. \quad (264.3)$$

De aici putem defini o unitate CGS, pentru cîmpul magnetic, numită *oersted*<sup>1</sup> (Oe):

Un oersted este intensitatea cîmpului, în care unitatea de masă magnetică e supusă forței de o dynă.

*Ea reprezintă intensitatea cîmpului în care unitatea CGS de masă magnetică ar fi supusă acțiunii unei forțe de o dynă.*

2) Putem exprima potențialul, în jurul unei mase magnetice, printr-o relație analogă cu (215.2):

$$V_H = \frac{1}{\mu} \frac{m}{r}. \quad (264.4)$$

Dar această relație are mai mult o semnificare convențională fiindcă, ținînd seamă de situația reală, va trebui mai curînd să ne referim la potențialul din jurul unui dipol, cu momentul  $M_m$ .

Ca și în (217.1), vom scrie deci că potențialul, în jurul dipolului, la distanța  $r$  și pe o linie înclinată de unghiul  $\alpha$ , este

$$V_H = \frac{1}{\mu} \cdot \frac{M_m}{r^2} \cos \alpha. \quad (264.5)$$

<sup>1</sup>) *Hans Christian Oersted* (1777—1851), fizician danez care a descoperit acțiunea curenților electrici asupra magneților.

3) Analog, dacă ținem seamă că

$$H = - \frac{dV_H}{dr} \quad (264.6)$$

expresia potențialului ne dă, prin derivare, componentele radială și tangențială, în câmpul dipolului, așa cum am făcut în § 217.

Ele sînt :

$$H_r = \frac{1}{\mu} \cdot \frac{2M_m}{r^3} \cos \alpha \quad \text{și} \quad H_t = \frac{1}{\mu} \cdot \frac{M_m}{r^3} \sin \alpha. \quad (264.7)$$

4) Ne permite să definim imediat fluxul  $\varphi$  al câmpului magnetic, printr-o relație similară cu (204.1):

$$\varphi = HS \cos \alpha. \quad (264.8)$$

5) Ne arată că teoremele lui Gauss (§ 203) și Coulomb (§ 207), împreună cu toate consecințele lor, se aplică și în câmpul magnetic, dacă ne referim la polii unui magnet, așa de lung, încît să-i putem considera ca separați.

Dar magneții sînt întotdeauna dipolari și, de aceea, fluxul ambilor poli, printr-o suprafață închisă, este totdeauna nul.

**§ 265. Inducția magnetică.** În electrostatică, am definit inducția electrică (sau câmpul de inducție) prin relația

$$D = \epsilon E \quad (200.1)$$

în care intensitatea câmpului electric este înmulțită cu permittivitatea mediului.

Inducția se exprimă prin produsul dintre intensitatea câmpului magnetic și permeabilitatea mediului.

*Analog, inducția magnetică se exprimă prin produsul dintre intensitatea câmpului magnetic și permeabilitatea mediului.*

Ea se notează totdeauna cu  $B$  și vom avea, conform definiției,

$$\boxed{B = \mu H} \quad (265.1)$$

Știind că

$$H = \frac{1}{\mu} \cdot \frac{m}{r^2}$$

ne vede imediat că mărimea  $B$ , astfel definită cu ajutorul legii lui Coulomb, devine independentă de permeabilitatea mediului, așa cum inducția electrică era independentă de permitivitate.

Ținând seamă de dimensiunile masei magnetice și de convenția că permeabilitatea e un simplu număr, vom avea

$$[H] = L^{-1/2} M^{1/2} T^{-1} \quad \text{și} \quad [B] = L^{-1/2} M^{1/2} T^{-1}.$$

Prin urmare, în sistemul CGS, ambele mărimi au aceleași dimensiuni fizice, iar valorile numerice se confundă, când mediul este vidul.

Vom vedea însă mai târziu că aceasta nu se mai întâmplă în alte sisteme de unități.

Unitatea CGS de inducție magnetică se numește gauss.

Ca să facem, totuși, o distincție, s-a dat unității CGS de *inducție magnetică* numele special de *gauss* ( $G_s$ ).

Tot așa cum am definit un flux al câmpului magnetic, vom defini un flux de inducție, pe care-l vom nota totdeauna cu  $\Phi$ <sup>1)</sup>.

El este

$$\boxed{\Phi = BS \cos \alpha} \quad (265.2)$$

Un maxwell reprezintă fluxul inducției de un gauss, normal pe suprafața de un centimetru pătrat.

*În sistemul CGS, vom lua ca unitate fluxul inducției de un gauss, care străbate normal suprafața de un centimetru pătrat.*

Această unitate de flux reprezintă un *maxwell* ( $Mx$ ).

§ 266. **Liniile de forță magnetice.** Dacă se presară pilitură de fier pe un carton, sub care se află unul sau mai mulți magneti, firisoarele metalice se magnetizează prin inducție, devin dipolare

<sup>1)</sup>  $\Phi$  = literă grecească mare, numită *fi*.

și se orientează tangent la liniile de forță ale câmpului, în punctul respectiv (fig. 197, *a*, *b*).

Ele formează șiraguri continue, în lungul acestor linii de forță, adică ceea ce numim un *spectru magnetic*.

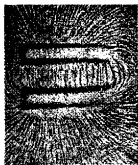


Fig. 197, *a*. Spectrul unui magnet în formă de potcoavă.

Se observă aceleași trasee curbate, ca în câmpul electric, aceleași îndesire în regiunile cu câmpuri mai intense, aceleași echidistanțe și paralelism, în câmpurile uniforme.

*Ca și în câmpul gravitațional, sau în câmpul electric, interacțiunile magnetice se transmit din aproape în aproape, prin mediul de propagare, iar câmpul magnetic este unul din aspectele materiei.*

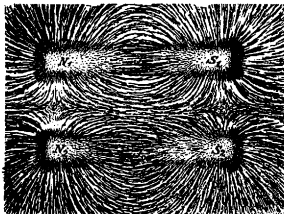


Fig. 197, *b*. Spectrul magnetic între două care cu poli contrari față în față.

Vom considera ca valabile convențiile făcute în § 201 și § 202, după care :

- 1) Sensul liniilor de forță este acela în care ar fi solicitat un pol pozitiv, adică polul nord al unui ac magnetic, sau al unui dipol oarecare.

Polul nord al unui dipol se orientează în sensul liniilor de forță.

Aceasta înseamnă că, la orice magnet, liniile de forță intră prin polul sud și ies prin polul nord.

- 2) Orice flux-unitate al câmpului magnetic sau de inducție poate fi reprezentat simbolic printr-o singură linie de forță, ce traversează o suprafață dată.

§ 267. Acțiunea directoare a cîmpului. Să considerăm un magnet mobil, într-un cîmp magnetic *uniform*, de intensitate  $H$  (fig. 198).

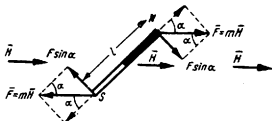


Fig. 198. Cuplul de rotație al acului magnetic.

Masele magnetice ale polilor vor fi solicitate de forțele egale, paralele și de sens contrar

$$F = mH$$

care formează un cuplu, ce tinde să rotească magnetul, ca să-l orienteze paralel cu liniile de forță.

Figura ne arată că momentul mecanic al acestui cuplu este

$$Fl \sin \alpha = mHl \sin \alpha = M_m H \sin \alpha$$

sau

$$Fl = mHl = M_m H. \quad (267.1)$$

Produsul dintre momentul magnetic și intensitatea câmpului este egal cu momentul cuplului mecanic.

*Prin urmare, produsul dintre momentul magnetic și intensitatea câmpului este egal cu momentul de rotație al cuplului mecanic.*

Relația de față ne mai arată că

$$M_m = \frac{F \cdot l}{H}$$

așa că momentul magnetic se poate exprima în dyn · cm/Oe.

Dacă am vrea ca, în locul câmpului magnetic, să introducem inducția, e destul să ținem seamă de (265.1) și atunci

$$F \cdot l = \frac{m \cdot l}{\mu} \cdot B = \frac{M_m}{\mu} \cdot B. \quad (267.2)$$

Intr-un câmp uniform, acțiunea cuplului nu poate face decît să rotească magnetul.

Intr-un câmp uniform, acul magnetic nu suferă decît o mișcare de rotație.

Dar dacă nu sîntem în câmp uniform, cele două forțe, aplicate la capetele magnetului, nu mai sînt egale și, afară de mișcarea de rotație, mai apare și alta, de translație, spre regiunea unde câmpul are intensitate mai mare.

Pămîntul se comportă ca un magnet, al cărui câmp este uniform, într-o regiune restrînsă. De aceea el nu face decît să rotească acul busolei.

Dar, în apropierea unui magnet, câmpul nu mai este uniform și acul este atras cu totul, dacă nu e fixat pe suport.

§ 268. **Intensitatea de magnetizare.** În § 208 am definit mărirea numită *polarizare*, sau *intensitate de polarizare*, prin relația

$$P = \frac{Q \cdot l}{V} = \frac{M_e}{V}, \quad (208.1)$$

adică prin raportul dintre momentul electric, pe care-l capătă substanța introdusă în câmp și volumul ei.

Analog, vom considera în magnetism o *intensitate de magnetizare*, definită prin relația

$$J = \frac{M_m}{V}. \quad (268.1)$$

Raportul dintre momentul magnetic și volum reprezintă intensitatea de magnetizare.

În unitățile CGS, intensitatea de magnetizare în  $\text{dyn/Oe} \cdot \text{cm}^2$ .

Ținând seamă de dimensiunile fizice, se vede imediat că, în sistemul CGS, vom exprima intensitatea de magnetizare în  $\text{dyn/Oe} \cdot \text{cm}^2$ .

De asemenea este ușor de văzut că, deoarece  $V = S \cdot l$ ,

$$J = \sigma \quad (268.2)$$

și regăsim egalitatea dintre intensitatea de magnetizare și densitatea magnetică superficială, semnalată la intensitatea de electrizare, adică la *polarizarea* dielectricilor.

Factorul de proporționalitate între intensitatea de magnetizare și inducția în vid se numește susceptibilitate magnetică.

*Cu unele excepții, despre care vom discuta mai târziu, se constată că intensitatea de magnetizare a unei substanțe, introdusă în câmp, este direct proporțională cu inducția magnetică a vidului.*

Tot așa cum, la dielectrici, am avut

$$P = k\epsilon_0 E \quad (208.2)$$

vom avea deci, în câmpul magnetic,

$$\boxed{J = \chi \mu_0 H} \quad (268.3)$$

în care factorul de proporționalitate  $\chi$  se numește *susceptibilitate magnetică*.

În fine, transpunând la magnetism raționamentul din § 209 găsim că relației

$$D = \epsilon_0 E + 4\pi P \quad (209.1)$$

îi corespunde relația

$$\boxed{B = \mu_0 H + 4\pi J} \quad (268.4)$$

care se mai poate scrie și sub forma

$$B = \mu_0 (1 + 4\pi\chi) H. \quad (268.4 a)$$

Analog, relației cunoscute

$$\varepsilon = \varepsilon_0 (1 + 4\pi k)$$

îi corespunde

$$\boxed{\mu = \mu_0 (1 + 4\pi \chi)} \quad (268.5)$$

În fine, mai trebuie să menționăm că, într-un mediu oarecare, se înțelege prin *permeabilitate relativă*  $\mu_r$ , valoarea raportului

$$\mu_r = \frac{\mu}{\mu_0}$$

în care  $\mu$  și  $\mu_0$  sînt permeabilitățile mediului și a vidului.

Este evident că acest raport nu are dimensiuni fizice, în nici un sistem de unități, ci reprezintă un simplu număr.

Tot un simplu număr este și permeabilitatea vidului, cîtă vreme folosim sistemul unităților CGS.

Dar situația se va schimba, cînd vom trece la alte sisteme și, de aceea, va trebui să ținem în evidență legătura de mai sus și să scriem că

$$\boxed{\mu = \mu_0 \mu_r} \quad (268.6)$$

Permeabilitatea mediului și a vidului au atunci aceleași dimensiuni.

## CAPITOLUL XXXVI

### CIMPUL MAGNETIC AL PĂMÎNTULUI

§ 269. **Elementele magnetice.** Dacă așezăm un ac magnetic pe o axă orizontală, care trece prin centrul lui de greutate și-i dăm, totodată, putința să se rotească în jurul unei axe verticale, așa cum arată fig. 199, constatăm următoarele :



1) Acul se orientează numai aproximativ pe direcția meridianului geografic și face cu acesta un unghi  $D$ , pe care-l numim *unghi de declinație*.

2) El își înclină spre Pământ capătul nord, în emisfera nordică și capătul sud, în emisfera sudică.

Unghiul pe care-l face cu orizontala se notează cu  $I$  și se numește *unghi de înclinație*.

Acul magnetic face cu meridianul geografic unghiul de declinație și cu orizontala unghiul de înclinație.

Ambele unghiuri se schimbă cu timpul și cu locul de observație <sup>1)</sup>.

Variația cu timpul poate fi accidentală, pricinuită de așa numite-

le *furtuni magnetice*, care apar concomitent cu auroarele polare, sau poate fi regulată și periodică.

Mici variații se observă în cursul unei zile și se repetă de la o zi la alta, în jurul unei valori medii; altele se întind pe intervale de timp foarte lungi și de aceea le numim *seculare*.

Fenomenele constatate se datoresc acțiunii unui câmp magnetic pământesc, a cărui intensitate o notăm cu  $T$ .

Totul se petrece ca și cum Pământul ar fi un magnet imens, ale cărui linii de forță s-ar desfășura după cum arată fig. 200, *a*, iar acul magnetic se orientează tangent la direcția lor, în locul de observație.

Intensitatea totală, declinația și înclinația definesc situația locală a magnetismului terestru.

*Intensitatea totală, declinația și înclinația sînt elementele strict necesare ca să putem defini situația locală a magnetismului pământesc.*

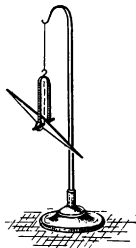


Fig. 199. Ac magnetic mobil în planul orizontal și vertical.

<sup>1)</sup> Variația cu locul a fost observată, pentru prima dată, de Cristofor Columb, în timpul călătoriei peste Oceanul Atlantic (1492).

Extinzînd apoi observațiile pentru întreaga suprafață a globului, ajungem la următoarele concluzii generale:

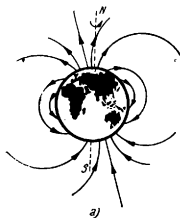


Fig. 200, a. Liniile de forță magnetice ale pămîntului.

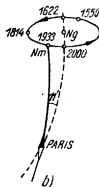


Fig. 200, b. Rotația polului magnetic nord, în cursul timpului.

1) Fiindcă acul magnetic nu se orientează exact pe direcția meridianului geografic, înseamnă că polii magnetici ai Pământului nu coincid cu polii geografici.

2) Dacă mergem neconținut în direcția pe care o arată busola, constatăm că acești polii magnetici se află unul în Alaska și celălalt în regiunile oceanice din sudul Australiei.

3) Pe măsură ce ne apropiem de polii magnetici, acul magnetizat se înclină din ce în ce mai mult.

4) La polii magnetici, acul busolei nu se mai orientează în planul orizontal și înclinația este de  $90^\circ$ , arătînd că aici liniile de forță ale cîmpului pămîntesc sînt verticale.

5) Din observațiile acumulate în cursul vremurilor și care la Paris au început pe la 1550, rezultă că polii magnetici execută o mișcare lentă de rotație, în jurul polilor geografici, iar această rotație durează cam 800 de ani.

Ea decurge în sensul rotației diurne a Pământului, pentru polul nord și în sensul invers, pentru polul sud.

În figura 200, *b*, am reprezentat această traiectorie circulară a polului nord, împreună cu meridianul magnetic al Parisului (în trăsături pline) și cu meridianul geografic (în trăsături punctate).

Din ea se înțelege ușor de ce declinația din 1622 a fost nulă și de ce va redeveni iarăși nulă, cam prin anul 2000.

Este de asemenea ușor de văzut că, în lungul cercului de meridian geografic pe care se află polul magnetic, declinația este nulă și că ea variază împreună cu unghiul de înclinație.

1. *Componentele cîmpului total.* Figura 201 arată cum cîmpul total  $T$  poate fi descompus într-o componentă orizontală  $H_p$  și în alta verticală  $Z$ .

Unghiul de înclinație fiind  $I$ , se vede imediat că

$$H_p = T \cos I$$

și

$$Z = T \sin I.$$

Componenta orizontală este aceea care crează cuplul ce rotește acul busolei, ca să-l aducă pe direcția Nord-Sud, iar componenta verticală îl înclină, cînd felul de suspensie îi permite și această mișcare.

Ca să evităm înclinarea, se încarcă de obicei una din jumătățile acului cu o greutate suplimentară.

Prin excepție de la regulă, s-a păstrat pentru cîmpul magnetic pămîntesc, unitatea *gauss* (Gs).

Valorile actuale, în Europa, sînt aproximativ următoarele :

$$T = 0,47 \text{ Gs}; \quad H_p = 0,21 \text{ Gs}; \quad Z = 0,43 \text{ Gs}.$$

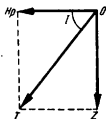


Fig. 201. Componentele cîmpului magnetic pămîntesc.

2. *Liniiile izogone, izocline și izodiname.* Pentru cunoașterea situației de ansamblu a magnetismului pămîntesc, ne folosim de anumite linii, ce unesc, pe o hartă geografică, punctele cu aceleași elemente magnetice locale.



În particular, izoclina de înclinație nulă definește *ecuatorul magnetic* al Pământului.

3) În fine, unind punctele de aceeași intensitate a cimpului total  $T$ , găsim așa numitele *linii izodiname*.

4) Un studiu amănunțit arată că, de fapt, Pământul mai are încă doi poli magnetici secundari, din care unul este în răsăritul Siberiei și celălalt prin Oceanul Pacific, în apropierea coastelor Patagoniei.

El se comportă deci, în realitate, nu ca un dipol, ci ca un *cuadrupol*, însă polii secundari sînt mult mai puțin activi decît polii principali.

3. *Anomalii magnetice*. Pe liniile definite mai sus, găsim adesea deformări, ce se întind pe o regiune mai largă sau mai restrînsă.

Aceste deformări constituie așa numitele *anomalii magnetice*.

Uneori, cum este cazul în regiunea *Kursk*, din U.R.S.S., ele indică prezența unor zăcăminte de minereuri magnetice de fier, dar aceasta nu înseamnă că orice anomalie se datorește prezenței fierului.

Nu se cunoaște încă origina magnetismului pămîntesc.

Prin analogie cu structura chimică a meteoriților, ne-am obișnuit să atribuim unei mase imense de fier, ce formează, probabil, nucleul planetei.

Dar nimeni nu știe încă dacă fierul mai are proprietăți magnetice, la presiunea și temperatura ce domnesc acolo.

Desigur că și curenții electrici, cari circulă prin păturile superficiale ale Pământului, de la răsărit spre apus, adică așa numiții *curenți telurici* contribuie la formarea cimpului magnetic.

În 1947, *Blackett*<sup>1)</sup> a reușit să lege teoretic magnetismul pămîntesc de masa lui în rotație.

Dezvoltarea teoriei lui Blackett depășește cu mult cadrul acestui manual, dar ea duce la o relație finală simplă, după care momentul magnetic al Pământului ar avea mărimea

$$M_m = \beta \cdot U \frac{\sqrt{x}}{c}$$

în care  $U$  reprezintă impulsul de rotație  $J\omega$ ,  $x$  este constanta atracției universale, iar  $c$  viteza luminii în vid.

Factorul de proporționalitate  $\beta$  este de ordinul unității.

Formula e deosebit de importantă și ne spune că orice masă inertă în rotație devine un dipol magnetic.

<sup>1)</sup> *P. M. S. Blackett*, fizician englez contemporan, profesor la Universitatea din Manchester.

Dacă se consideră Pămîntul ca o sferă magnetizată uniform, se poate demonstra că momentul lui magnetic este dat de relația

$$M_m = G \cdot R^3$$

în care  $R$  este raza globului și  $G$  reprezintă așa numita *constantă magnetică locală*, a cărei valoare, legată de componentele orizontală și verticală, este

$$G = \sqrt{H^2 + \left(\frac{Z}{2}\right)^2}.$$

Recent, profesorul Ștefan Procopiu, de la Universitatea din Iași, care de aproape 25 de ani studiază elementele magnetismului pămîntesc, după ce a făcut calculele pentru un număr mare de stațiuni, repartizate pe tot globul, a descoperit că momentul magnetic al Pămîntului, care înainte suferea o scădere continuă, a început acum să crească.

**4. Elementele magnetice în țara noastră.** Prima mențiune despre unghiul de declinație, într-o carte românească, se referă la regiunea Iașului și o găsim într-un manual de fizică al lui Gheorghe Stamate, din 1849, apoi în cartea de inginerie hotarnică a lui Dimitrie Asachi, din 1854, care dă valoarea de  $9^\circ$  W.

Dar cele dintîi cercetări sistematice, pe teren, au fost inițiate de Dimitrie Negreanu<sup>1)</sup>, prin 1898, apoi continuate de Ștefan Hepites<sup>2)</sup>, pînă prin 1907.

Lucrările, de altfel cu totul insuficiente pentru întocmirea unei hărți magnetice amănunțite, au fost apoi părăsite, pînă prin 1931, cînd au fost reluate de Ștefan Procopiu.

Separat, Gh. Atanasiu<sup>3)</sup> studiază, de prin 1937, regiunea cuprinsă între Carpați și granița de vest a țării.

Din lucrările lui Procopiu, extrapolăm următoarele date, valabile în 1956, pentru cîteva orașe mai importante:

Tabela 21

Orașul	Declinația	Inclinația	$H_p$ (Gs)	$Z$ (Gs)
Iași . . . . .	$3^\circ 08'$ Est	$63^\circ 30'$	0,213	0,428
București . . . . .	$2^\circ 31'$ "	$61^\circ 16'$		
Cluj . . . . .	$2^\circ 02'$ "	$63^\circ 14'$		
Timișoara . . . . .	$0^\circ 50'$ "	$62^\circ 30'$		

Din comparația cu datele mai vechi, rezultă că declinația la Iași, după ce a fost un timp occidentală, a trecut prin zero, în 1929, cînd acul magnetic

<sup>1)</sup> Fost profesor la Universitatea din București (n. în 1858).

<sup>2)</sup> Fost director al Institutului Meteorologic Central.

<sup>3)</sup> Actual profesor la Universitatea din București.

arăta exact direcția nordului. De atunci a devenit orientală și crește cam cu 7 minute pe an.

Un fenomen analog s-a petrecut, la date diferite, în tot restul țării.

Inclinația a scăzut, până în 1905 și de atunci crește mereu, cam cu 2-3 minute pe an.

Figura 203 reproduce, după o lucrare a lui Ștefan Procopiu, harta magnetică a țării noastre, la data de 1 iulie 1934.

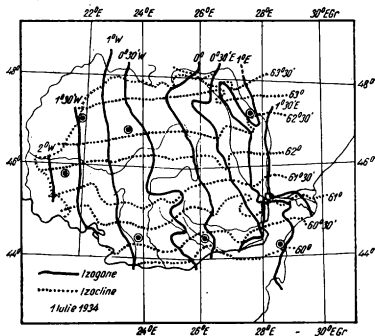


Fig. 203. Harta magnetică a României (după Procopiu).

Din ea se vede o importantă anomalie magnetică, în regiunea Iași—Potoșani.

# PARTEA A OPTA

## ELECTROMAGNETISMUL

---

### CAPITOLUL XXXVII

#### CIMPUL MAGNETIC AL CURENȚILOR

##### A. Legile fundamentale

§ 270. **Efectul Oersted, consecințe.** În 1820, *Oersted* a descoperit că un ac magnetic mobil deviază de la poziția Nord-Sud, când se află în apropierea unui conductor prin care trece un curent electric.

Acest fenomen este punctul de plecare pentru tot capitolul electromagnetismului.

Acul magnetic tinde să se așeze perpendicular pe conductor și, după o regulă găsită de *Ampère*, polul nord se orientează spre stînga unui observator, ce ar sta culcat pe circuit, cu fața spre magnet, așa încît curentul să circule în sensul de la picioare spre oap.

**Curentul deviază acul magnetic după regula observatorului lui Ampère, sau după regula palmei minii drepte.**

O altă regulă, mai simplă, este să așezăm pe circuit palma minii drepte, orientate spre magnet, așa ca sensul curentului să fie de la cot spre degete.

Polul nord al acului deviază în direcția degetului mare.

Figura 204 servește ca lămurire suplimentară, în aplicarea regulilor de față.

Pentru distincție, capătul nord al acului magnetic a fost înegrit și această convenție o vom aplica, de acum înainte, în toate cazurile.

De altfel și în practică, jumătatea nord a unui ac de busolă se lasă ne curățată de oxidul albastru, ce se formează prin călirea oțelului.

**Cîmpul magnetic al curentului electric se orientează într-un plan perpendicular pe direcția lui.**

*Experiența lui Oersted ne arată că, în jurul unui conductor parcurs de un curent electric, apare un cîmp magnetic, orientat într-un plan perpendicular pe direcția conductorului.*



Metoda cunoscută, a spectrului magnetic, ne permite să observăm ce formă au liniile de forță ale acestui câmp.

Vom orienta deci conductorul după direcția verticală și-l vom face să treacă printr-un carton horizontal, pe care presăram pilitură de fier (fig. 205).

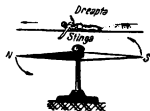


Fig. 204. Sensul deviației polului nord al unui ac magnetic, sub acțiunea curentului.

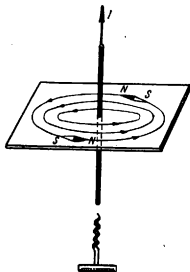


Fig. 205. Liniile de forță magnetice ale unui curent rectiliniu și regula șurubului.

Experiența ne arată atunci că firișoarele de pilitură se dispun după cercuri concentrice, în jurul conductorului.

Aplicând regula observatorului lui Ampère, este ușor de văzut că un ac magnetic mobil se va orienta cu polul nord în sensul arătat de figură, iar după convenția cunoscută, acesta este și sensul pozitiv al liniilor de forță.

În locul regulii lui Ampère e însă mai comod să aplicăm aici o altă regulă, enunțată de Maxwell în felul următor :

În jurul unui curent, liniile de forță magnetice sînt cercuri concentrice și au sensul dictat de regula șurubului.

*În cîmpul magnetic al unui curent electric, liniile de forță circulare au sensul în care ar trebui să răsucim un șurub, ca să înainteze în sensul curentului.*

De asemenea putem aplica regula după care, pentru un observator ce privește în sensul curentului, liniile de forță au sensul în care se mișcă acele ceasornicului.

Între polii magnetici, am văzut că există forțe de atracție sau de respingere, dictate de legea lui Coulomb.

Dar curentul electric nu atrage nici nu respinge acul magnetic. El nu face decît să-l orienteze după anumită direcție.

**Curentul electric orientează acul magnetic, dar nici nu-l atrage, nici nu-l respinge.**

De asemenea, în cîmpurile magnetice, liniile de forță uneau polii de nume contrarii.

În jurul unui curent, ele descriu trasee neîntrerupte, pe care zadarnic am căuta un pol nord și un pol sud.

**§ 271. Legea lui Biot și Savart.** Am văzut că un curent electric tinde să orienteze acul magnetic, într-un plan perpendicular pe direcția lui proprie.

Dar acul se găsește, totodată, sub acțiunea directoare a cîmpului magnetic pămîntesc, ce intervine prin componenta orizontală  $H_p$ .

Dacă notăm cu  $H$  cîmpul magnetic al curentului și alegem situația în care el tinde să aducă acul pe direcția est-vest, cele două acțiuni suprapuse îl vor duce pe direcția cîmpului resultant  $H$ ,

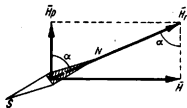


Fig. 206. Principiul magnetometrului.

și vom avea, după cum arată fig. 206,

$$H = H_p \operatorname{tg} \alpha.$$

Prin simpla determinare a unghiului  $\alpha$  putem astfel să comparăm intensitatea cîmpului  $H$  cu a componenteî orizontale  $H_p$ , iar dispozitivul constituie ceea ce numim un *magnetometru*<sup>1)</sup>.

Considerînd acum un conductor liniar, de lungime practic infinită (fig. 207) și determinînd cîmpul magnetic, în funcție de intensitatea  $I$  a curentului și de distanța  $d$ , găsim oricare ar fi mediul ambiant, că

$$H = 2K \frac{I}{d} \quad (271.1)$$

în care factorul de proporționalitate  $K$  depinde de unitățile adoptate, iar factorul 2 are un înțeles pe care îl vom arăta ulterior.

Această relație, găsită experimental, formulează *legea lui Biot și Savart*<sup>2)</sup>.

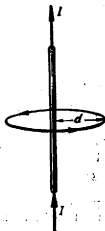


Fig. 207. Pentru aplicarea legii lui Biot și Savart.

Independent de mediu, cîmpul este proporțional cu intensitatea curentului și invers proporțional cu distanța.

*Ea ne spune că, independent de mediul ambiant, cîmpul unui curent electric este direct proporțional cu intensitatea lui și invers proporțional cu distanța.*

Este de la sine înțeles că vectorul ce reprezintă intensitatea cîmpului va fi orientat în planul perpendicular pe curent și în sensul dictat de legea șurubului.

El va fi, de asemenea, tangent la cercul de rază  $d$ , în punctul considerat.

**1. Formula lui Laplace.** Legea lui Biot și Savart se referă la un conductor liniar, de lungime practic infinită și nu ne poate da nici o indicație cu privire la cîmpul produs de o porțiune limitată de pe un circuit.

<sup>1)</sup> Există și alte metode magnetometrice, asupra cărora nu insistăm.

<sup>2)</sup> Jean-Baptiste Biot (1774—1862) și Félix Savart (1791—1841), fizicieni francezi.

Ca să răspundă la această întrebare, *Laplace* consideră o porțiune infinitesimală a conductorului, de lungime  $dl$ , care se vede din punctul  $A$  sub unghiul  $d\theta$  (figura 208).

El admite, prin ipoteză, că :

1) Din punctul de vedere al cîmpului produs, această porțiune poate fi înlocuită cu arcul de cerc  $BD$ , cu centrul în  $A$ .

Dacă unghiul  $d\theta$  este foarte mic, arcul acesta poate fi considerat ca latură într-un triunghi dreptunghic și atunci

$$BD = dl \sin \alpha.$$

Fig. 208. Pentru deducerea formulei lui Laplace.

2) Cîmpul  $dH$ , produs în  $A$ , este direct proporțional cu arcul  $BD$ .

3) Acest cîmp este invers proporțional cu pătratul distanței  $r$ , după o lege analogă cu legea lui Coulomb.

Cu aceste ipoteze, putem scrie deci că

$$dH = K \frac{Idl \sin \alpha}{r^2}. \quad (271.2)$$

Această relație se numește *formula lui Laplace*.

Dacă observăm că

$$BD = r d\theta$$

ea devine

$$dH = K \frac{Id\theta}{r}.$$

Dar

$$r = \frac{d}{\cos \theta}$$

și atunci

$$dH = K \frac{I}{d} \cos \theta d\theta. \quad (271.3)$$

Ca să aflăm câmpul produs în  $A$  de o porțiune a conductorului, va trebui deci să integrăm între limitele unghiulare, cuprinse între capetele acestei porțiuni și direcția  $d$ .

Rezultatul devine astfel independent de forma porțiunii alese, fiindcă hotărîtor este doar unghiul sub care ea se vede din  $A$ .

În cazul particular al unui conductor liniar, de lungime infinită, unghiul  $\theta$  variază între  $+\pi/2$  și  $-\pi/2$ , așa că

$$H = K \int_{-\frac{\pi}{2}}^{+\frac{\pi}{2}} \cos \theta \, d\theta = 2K \frac{I}{d}$$

și regăsim astfel expresia legii lui Biot și Savart.

Aceasta constituie o confirmare experimentală a ipotezelor făcute de Laplace și, totodată, explică sensul factorului 2, care provine de acolo că perpendiculara  $d$  împarte conductorul în două jumătăți, ale căror acțiuni se adună.

**2. Câmpul unui curent circular.** Să considerăm un conductor circular, prin care trece un curent de intensitate  $I$  (fig. 209).

Formula lui Laplace (271.2) ne arată că acest element crează în centrul circuitului câmpul

$$dH = K \frac{I}{r^2} dl$$

fiindcă unghiul  $\alpha$  este de  $90^\circ$ .

Întregul circuit va produce deci câmpul

$$H = KI \int_0^{2\pi} \frac{1}{r^2} dl$$

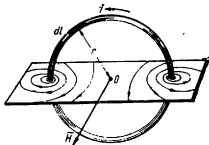


Fig. 209. Câmpul magnetic în centrul unei spire circulare.

iar integrarea ne duce la relația

$$\boxed{H = K \frac{2\pi I}{r}} \quad (271.4)$$

Acest cîmp este orientat perpendicular pe planul circuitului, în sensul dictat de regula șurubului, sau de oricare din regulile amintite înainte.

§ 272. **Sistemul unităților electromagnetice.** Legea lui Biot și Savart ne permite să instituim un sistem de unități CGS care leagă mărimile electrice de cele magnetice.

Il vom numi *sistem electromagnetic CGS*, iar unitățile respective le vom însoți de inițialele CGSe.m.

Totodată, pentru a evita confuziile, se obișnuiește ca toate simbolurile mărimilor electrice, în cadrul acestui sistem, să fie notate cu literele mici ale alfabetului.

Să considerăm deci expresia legii lui Biot și Savart :

$$H = 2K \frac{I}{d} \quad (271.1)$$

unde sensul fizic și valoarea constantei  $K$  sînt dictate de sistemul unităților adoptate.

Dar, exprimînd cîmpul în oerstezi și atribuindu-i dimensiunile arătate în § 265,

$$[H] = L^{-1/2} M^{1/2} T^{-1}$$

nimic nu ne împiedică să alegem pentru  $I$  unitatea care să aducă constanta  $K$  în situația de simplu număr abstract, cu valoarea

$$K = 1.$$

Cu aceste convenții de bază, relația (271.1) se va scrie

$$\boxed{H = 2 \frac{I}{d}} \quad (272.1)$$

și putem defini, cu ajutorul ei, unitatea CGS electromagnetică pentru intensitatea de curent.

În jurul unui conductor liniar infinit, unitatea CGS e.m. de curent produce cîmpul de doi oerstezi, la distanța de un centimetru.

*Ea reprezintă curentul care produce cîmpul magnetic de doi oerstezi, la distanța de un centimetru, în jurul unui conductor liniar de lungime infinită.*

Convenția prin care am introdus, în relația (272.1), cîmpul magnetic exprimat în oerstezi înglobează automat în sistemul electromagnetic CGS toate unitățile definite în capitolul despre magnetostatică, fiindcă toate se sprijină pe legea lui Coulomb.

Ele își vor păstra, evident, neschimbate dimensiunile fizice inițiale.

Cît despre dimensiunile unității CGS e.m. de curent, pe care am definit-o mai sus, aceeași relație ne arată că

$$[i] = [Hr] = L^{-1/2} M^{1/2} T^{-1} L = L^{1/2} M^{1/2} T^{-1}.$$

Această unitate poate fi definită și cu ajutorul relației (271.4), în care facem iarăși convenția că factorul de proporționalitate  $K$  este un simplu număr abstract, cu valoarea

$$K=1$$

și exprimăm cîmpul în oerstezi.

În aceste condiții, avem

$$\boxed{H = \frac{2\pi i}{r}}. \quad (272.2)$$

În centrul conductorului circular cu raza de un centimetru, unitatea CGS e.m. de curent produce cîmpul de  $2\pi$  oerstezi.

*Vom spune deci că intensitatea curentului este de o unitate electromagnetică CGS, cînd crează cîmpul de  $2\pi$  oerstezi, în centrul unui conductor circular cu raza de un centimetru.*

Relația (272.2) ne sugerează o metodă simplă, pentru determinarea intensității unui curent electric :

În centrul unei spire circulare, de rază  $r$ , dispusă vertical, în planul meridianului magnetic, se află un ac de busolă, așezat pe un vîrf ascuțit (fig. 210, a).

Cînd un curent de intensitate  $i$  parcurge spira, se formează un cîmp magnetic, perpendicular pe planul ei.

Acul magnetizat, ce se afla inițial sub acțiunea direcțoare a componentei orizontale  $H_p$  a cîmpului pămîntesc, deviază atunci, ca să ia direcția rezultantei ambelor cîmpuri și fig. 210, *b* ne arată că

$$H = \frac{2\pi i}{r} = H_p \operatorname{tg} \alpha.$$

De aici putem calcula pe  $i$ , dacă măsurăm unghiul și cunoaștem pe  $H_p$ .

Dispozitivul se numește *busolă de tangentă* și ne permite de asemenea să determinăm componenta orizontală  $H_p$ , dacă măsurăm intensitatea  $i$  pe altă cale.

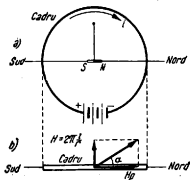


Fig. 210. Principiul busolei de tangentă.

§ 273. **Raportul unităților CGS e.s./CGS e.m.** În cele două sisteme de unități CGS, am definit câte o unitate pentru intensitatea de curent, și anume :

1) În sistemul electrostatic, intensitatea-unitate corespunde transportului unității CGS de sarcină electrică, într-o secundă și are dimensiunile

$$[I] = L^{3/2} M^{1/2} T^{-2}.$$

2) În sistemul electromagnet, intensitatea-unitate produce cîmpul magnetic de  $2\pi$  oerstezi, în centrul unei spire circulare, cu raza de un centimetru și are dimensiunile

$$[i] = L^{1/2} M^{1/2} T^{-1}.$$

Raportul dimensional este deci

$$\left[ \frac{I}{i} \right] = L T^{-1}$$

și are, la rîndul lui, *dimensiunile unei viteze*.



Ori *Maxwell* a demonstrat că raportul acesta trebuie să fie egal cu viteza luminii și, în genere, cu viteza în vid a tuturor undelor electromagnetice, cum ar fi, de pildă, acelea folosite în radiocomunicații.

Le spunem *electromagnetice*, fiindcă transportă simultan un cîmp electric și altul magnetic, ce oscilează amîndouă cu aceeași frecvență.

Această viteză de propagare se notează cu  $c$  și este

$$c = 3 \cdot 10^{10} \text{ cm/s.}$$

Era deci necesară o verificare directă a concluziilor teoretice și această verificare se poate face prin diferite metode, din care vom descrie pe cea mai simplă :

O lamă vibrantă  $c$ , de pildă ramura unui diapazon, atinge alternativ contactele  $a$  și  $b$  (fig. 211).

Ea încarcă astfel condensatorul  $C$ , la potențialul bateriei  $B$  și, în momentul următor, îl descarcă printr-o busolă de tangentă, iar operația se repetă de  $N$  ori în fiecare secundă.

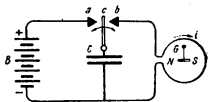


Fig. 211. Determinarea raportului dintre unitățile CGS e.s. și CGS e.m.

1) În unități CGS e.s., descărcarea condensatorului, care totalizează cele  $N$  descărcări succesive, trimite prin busolă de tangentă curentul de intensitate

$$I = NCV$$

în care  $V$  este potențialul bateriei  $B$ .

Acest curent poate fi calculat ușor, fiindcă toate cantitățile prin care l-am exprimat sînt cunoscute.

2) Aceeași intensitate, dedusă cu ajutorul relației (272.2) și exprimată în unități CGS e.m., va fi

$$i = \frac{H \cdot r}{2\pi}.$$

Ea poate fi calculată determinînd cîmpul  $H$ , din unghiul de deviație al busolei.

3) Făcînd raportul numeric al celor două rezultate, pe care le-am exprimat, odată într-un sistem de unități, apoi în celălalt, găsim că, în adevăr,

$$\frac{I}{I} = 3 \cdot 10^{10}.$$

De aceea, dată fiind concordanța cu prevederile teoretice, numărul  $c$  se mai numește și *numărul lui Maxwell*.

Odată fixată unitatea CGS e.m. de intensitate a curentului, putem defini rînd-pe-rînd celelalte unități ale sistemului, cu ajutorul relațiilor fundamentale cunoscute și deduce, totodată, dimensiunile fizice respective.

Tabela de mai jos cuprinde, în primele două coloane, aceste relații, alături de dimensiunile unității respective.

Tabela 22

Relația de deducere	Sistemul CGS electromagnetic	Sistemul CGS electrostatic	Raportul de dimensiuni u CGS e.s./u. CGS e.m.	Raportul numeric u. CGS e.s./u. CGS e.m.
$F = \frac{1}{\mu} \frac{mm'}{r^2}$	$[m] = L^{\frac{3}{2}} M^{\frac{1}{2}} T^{-1}$			
$H = \frac{1}{\mu} \frac{m}{r^2}$	$[H] = L^{-\frac{1}{2}} M^{\frac{1}{2}} T^{-1}$	$[H] = L^{\frac{1}{2}} M^{\frac{1}{2}} T^{-2}$	$LT^{-1} = [\text{viteză}]$	$\frac{\text{He.s.}}{\text{He.m.}} = 3 \cdot 10^{10}$
$H = \frac{2i}{d}$	$[i] = L^{\frac{1}{2}} M^{\frac{1}{2}} T^{-1}$	$[i] = L^{\frac{3}{2}} M^{\frac{1}{2}} T^{-2}$	$LT^{-1} = [\text{viteză}]$	$\frac{I}{i} = 3 \cdot 10^{10}$
$Q = it$	$[q] = L^{\frac{1}{2}} M^{\frac{1}{2}}$	$[Q] = L^{\frac{3}{2}} M^{\frac{1}{2}} T^{-1}$	$LT^{-1} = [\text{viteză}]$	$\frac{Q}{q} = 3 \cdot 10^{10}$
$W = \frac{1}{2} bq$	$[v] = L^{\frac{3}{2}} M^{\frac{1}{2}} T^{-2}$	$[V] = L^{\frac{1}{2}} M^{\frac{1}{2}} T^{-1}$	$L^{-1} T = \left[ \frac{1}{\text{viteză}} \right]$	$\frac{V}{v} = \frac{1}{3 \cdot 10^{10}}$
$v = ri$	$[r] = LT^{-1}$	$[R] = L^{-1} T$	$L^{-2} T^2 = \left[ \frac{1}{(\text{viteză})^2} \right]$	$\frac{R}{r} = \frac{1}{9 \cdot 10^{20}}$
$q = cv$	$[c] = L^{-1} T^2$	$[C] = L$	$L^2 T^{-2} = [\text{viteză}]^2$	$\frac{C}{c} = 9 \cdot 10^{20}$

Pentru alte unități, nementionate în tabela de față, calculul este tot așa de simplu.

Pentru comparație, a treia coloană cuprinde dimensiunile aceluiași unități, în sistemul CGS electrostatic.

Rapoartele dimensionale sau numerice sînt arătate în ultimele două coloane.

Rapoartele dimensionale între unitățile CGS e.s. și e.m. reprezintă o putere a unei viteze, numeric egală cu numărul lui Maxwell.

*Aceste rapoarte au totdeauna dimensiunile fizice ale puterii unei viteze, iar cîțul valorilor numerice reprezintă o putere a numărului lui Maxwell.*

§ 274. Cîmpul magnetic al unei sarcini electrice mobile. Să considerăm o lungime  $dl$ , pe un fir metalic prin care trece un curent electric de intensitate  $i$  (exprimată în CGS e.m.).

După formula lui Laplace, el produce, la distanța  $r$  și sub unghiul  $\alpha$ , cîmpul

$$dH = \frac{idl}{r^2} \sin \alpha. \quad (271.2)$$

Dar curentul de conducție metalică nu este decît un transport de electroni, care se mișcă împotriva sensului convențional, cu viteza  $u$ .

Numărul acestor electroni liberi, în unitatea de volum, este  $n$ , așa că, în elementul  $dl$ , cu aria secțiunii  $S$ , vom avea

$$nSdl$$

electroni.

Fiecare din ei transportă sarcina electrică  $e$ , așa că putem calcula intensitatea curentului, aplicînd relația (228.1).

Ea este

$$i = \frac{nSedl}{dt} u = nSeu$$

iar formula lui Laplace devine

$$dH = nS \frac{eu \sin \alpha}{r^2} dl.$$

Cîmpul magnetic al unui curent sumează acțiunile individuale ale tuturor particulelor electrice în mișcare.

*Cîmpul magnetic „dH” rezultă așadar din suprapunerea cîmpurilor individuale, datorite mișcării fiecărui electron în parte.*

Împărțindu-l prin numărul electronilor liberi, din elementul considerat, găsim că un singur electron produce cîmpul

$$h = \frac{eu \sin \alpha}{r^2} \cdot \quad (274.1)$$

Ceea ce se întîmplă cu electronul se va întîmpla cu orice transportor de electricitate: ion pozitiv sau negativ, particulă electrizată și, în genere, cu orice corp electrizat, care se află în mișcare.

Orice sarcină electrică în mișcare dă naștere unui cîmp magnetic.

*Prin urmare curenții de convecție trebuie să producă aceleași acțiuni magnetice ca și curenții de conducție.*

Vom vedea mai tîrziu că situația este analogă chiar la curenții de deplasare în vid, cu toate că ei nu transportă electricitate.

Dar orice deducție teoretică se cere verificată experimental și verificarea s-a făcut prin diferite metode.

După încercările infructuoase ale lui Faraday și observațiile calitative ale lui Maxwell, primele determinări cantitative au fost făcute de Rowland<sup>1)</sup>, în 1876 și 1889.

În aceeași direcție, sînt bine cunoscute în literatura științifică lucrările lui Vasilescu Karpen<sup>2)</sup> și ale lui Eichenwald<sup>3)</sup>, care datează din 1903.

Lăsînd la o parte amănuntele, principiul acestor determinări este următorul:

Un disc izolant, metalizat la periferie, se rotește cu viteză mare, într-o cutie metalică (fig. 212).

<sup>1)</sup> Henry Augustus Rowland (1848—1901), fizician american.

<sup>2)</sup> Fizician român contemporan, fost profesor la Politehnica din București.

<sup>3)</sup> Alex. Eichenwald (n. în 1863), fost profesor la Moscova.

Această cutie se leagă la pământ, iar partea metalizată a discului se încarcă la un potențial de câteva mii de volți, în raport cu Pământul.

Prin însăși construcția lui, sistemul înlătură orice acțiune, de ordin electrostatic, spre exterior.

Discul este orientat în planul meridianului magnetic și, în același plan, se găsește acul unui magnetometru.

Mișcarea sarcinilor electrice, în timpul rotației, dă naștere unui câmp magnetic, ce tinde să așeze acul perpendicular pe planul discului și unghiul de deviație ne permite să determinăm intensitatea lui.

În limita erorilor experimentale, rezultatele sînt în deplin acord cu prevederile teoretice.

În altă variantă, acul magnetic se așază în prelungirea axei discului și cît mai aproape de dînsul. Curentul de convecție circular acționează atunci ca într-o busolă de tangentă.

De asemenea se poate introduce magnetometrul între două discuri, încărcate cu sarcini electrice contrare, ce se rotesc în sensuri contrarii.

§ 275. **Teorema lui Ampère.** Să considerăm un curent, ce trece printr-un conductor liniar și foarte lung (fig. 213).

Cîmpul magnetic, la distanță  $r$ , este

$$H = 2 \frac{I}{r} \quad (272.1)$$

și o masă magnetică  $m$ , aflată la această distanță, va fi supusă forței.

$$F = mH = 2 \frac{I}{r} m.$$

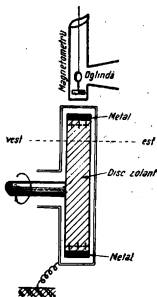


Fig. 212. Determinarea cîmpului magnetic al unui curent de convecție.

Dacă ea se mișcă pe o linie de forță, descriind o traiectorie închisă, de lungime  $2\pi r$ , lucrul mecanic implicat va fi

$$A = 2\pi r \cdot F$$

și rezultă că

$$\boxed{A = 4\pi mi} \cdot \quad (275.1)$$

Pe o linie de forță închisă, deplasarea unei mase magnetice implică lucrul mecanic :

$$A = 4\pi mi.$$

*Această relație formulează teorema lui Ampère și rămîne valabilă oricare ar fi forma traiectoriei închise, fiindcă în expresia lucrului mecanic se consideră proiecția ei pe direcția forței.*

Ea pleacă de la legea lui Biot și Savart, așa că lucrul mecanic, produs ori absorbit, este independent de natura mediului.

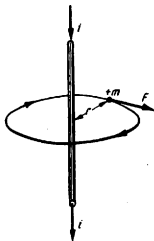


Fig. 213. Cîmpul magnetic, circular, al unui curent electric (pentru deducerea teoremei lui Ampère).

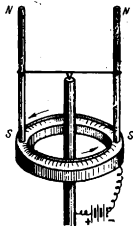


Fig. 214. Polii magnetici se rotesc datorită cîmpului produs în jurul curentului.

Faraday a evidențiat, printr-o experiență simplă, această acțiune a curentului, asupra polilor unui magnet.

Figura 214 reprezintă dispozitivul folosit :

Două bare magnetice, cu polii de același nume față în față, sînt legate rigid, pe linia mediană, cu o sîrmă de metal prevăzută cu un vîrf ascuțit.

Vîrfurile se sprijină pe o coloană, tot metalică, iar capetele de jos ale magnetelor stau cufundate într-un jghiab circular, plin cu mercur.

Curentul electric parcurge coloana, trece prin barele magnetice și iese prin mercur.

Prin însăși construcția dispozitivului, capetele de sus ale magnetelor sînt sustrate acțiunii magnetice a curentului ce trece prin coloană și astfel sistemul capătă o rotație, în jurul vîrfurilor de sprijin.

Sensul mișcării depinde de numele polilor cufundați în mercur și se inversează odată cu sensul curentului.

§ 276. **Acțiunea cîmpului magnetic asupra curenților.** Experiința ne arată că, tot așa cum curentul electric produce un cîmp magnetic și acționează asupra unui magnet, există o acțiune a cîmpului magnetic asupra curenților.

Ca să constatăm aceasta, e destul să introducem între polii unui magnet un fir metalic flexibil, prin care trece un curent, așa cum arată fig. 215, a.

Firul nu este nici atras, nici respins de polii magnetului, ci numai deviat, într-o direcție perpendiculară pe liniile de forță produse de magnet.

Același lucru se întîmplă, dealtfel, în orice cîmp magnetic, indiferent de proveniența lui.

În ce privește sensul forței deviatoare, îl putem afla cu o regulă simplă, dedusă experimental, după care :

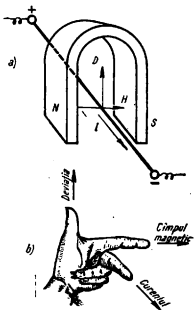


Fig. 215. Pentru explicarea regulii mîinii stîngi.

Mina stîngă, arătătorul în sensul cîmpului și degetul mijlociu în sensul curentului. Degetul mare ne arată sensul forței deviatoare.

Aplicînd această regulă, în cazul din fig. 215, *a*, firul ar trebui să devieze de jos în sus și concluzia este verificată de experiență.

Un alt dispozitiv experimental, care constituie, totodată, un motor electric rudimentar, este așa numita *roată a lui Barlow*, reprezentată în fig. 216:

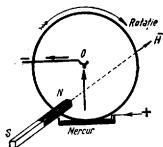


Fig. 216. Roata lui Barlow

Un disc de cupru, mobil în jurul unei axe orizontale, stă cu margina cufundată în mercur.

El se află între polii unui magnet, iar un curent electric, de intensitate convenabilă, intră prin axă și iese prin mercur.

Acest curent parcurge discul după direcția razei și este deviat de cîmpul magnetului, așa că sistemul capătă o mișcare de rotație, în sensul dictat de regula mîinii stîngi.

Experiența lui Barlow are un interes deosebit, fiindcă ne arată că acțiunea electromagnetică, exercitată asu-

pra electronilor ce se mișcă ordonat în metal, se transmite substanței discului, prin efectul ciocnirilor cu atomii înfrîniți în cale.

Rămîne să găsim o relație cantitativă, prin care să exprimăm intensitatea forței deviatoare.

Să considerăm deci un conductor liniar, situat într-un cîmp magnetic uniform, cu liniile de forță perpendiculare pe direcția lui (fig. 217).

Experiența ne arată că o porțiune de lungime  $l$  din acest conductor se găsește sub acțiunea forței

$$F = \mu i l H \quad (276.1)$$

Această relație, tot așa de importantă ca și legea lui Biot și Savart, ne spune că



*Forța exercitată asupra unui conductor, parcurs de un curent electric, este proporțională cu intensitatea curențului, cu a cîmpului magnetic și cu lungimea porțiunii*

$$F = \mu I H.$$

*considerate, iar permeabilitatea magnetică este factorul de proporționalitate.*

Intr-o situație spațială analogă cu aceea care ne-a dus la formula lui Laplace (271.2), putem considera un cîmp, ce acționează sub unghiul  $\alpha$  asupra unui element al conductorului, de lungime  $dl$ .

Vom scrie atunci că

$$dF = \mu i dl \cdot H \sin \alpha. \quad (276.2)$$

Această relație se numește a doua formulă a lui Laplace.

Procedînd acum exact ca în § 274 și considerînd iarăși curențul produs prin transportul unui singur electron, găsim că forța exercitată de cîmp asupra lui este

$$f = \mu H e u \sin \alpha. \quad (276.3)$$

Expresia de față poate fi aplicată la orice fel de particule, sau corpuri electrizate, ce se mișcă într-un cîmp magnetic, de pildă la un fascicul de raze catodic sau pozitive. Această problemă o vom trata însă mai tîrziu, în legătură cu structura materiei.

Tot ea ne mai arată că forța deviatoare devine maximă, dacă mișcarea sarcinii electrice decurge perpendicular pe direcția cîmpului și este nulă, dacă ea se mișcă în direcția lui.

Cîmpul magnetic exercită numai acțiuni de deviere și este inactiv asupra sarcinilor imobile, sau care se mișcă pe o linie de forță.

Tot de aici se vede că forța se anulează, cînd sarcina se găsește în repaus, într-un sistem de referință legat de cîmp.

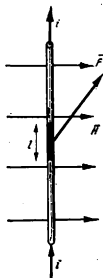


Fig. 217. Acțiunea cîmpului magnetic asupra unui fir parcurs de curent.

*Nu trebuie uitat însă că un magnet nu atrage, nici nu respinge un corp electricizat în mișcare, ci numai îl abate din drum, după regula cunoscută, a mîinii stîngi.*

*Efectul Hall*<sup>1)</sup>. În experiența lui Barlow, devierea electronilor în mișcare, de către cîmpul magnetic, făcea să se învîrtă roata cu totul.

Dar într-un conductor fixat, aceasta nu mai este cu putință și atunci vor fi deviate liniile de curent.

În principiu, dispozitivul experimental cu care putem constata devierea și verifica, totodată, legea de acțiune a unui cîmp magnetic, este reprezentat în figura 218.

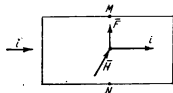


Fig. 218. Explicarea efectului Hall.

O placă metalică dreptunghiulară este parcursă de curent în sensul lungimii, iar cîmpul magnetic este orientat perpendicular pe suprafața ei.

El deviază mișcarea de ansamblu a electronilor, care înainte descriau traiectorii rectilinii și mărește densitatea lor cubică, în regiunea *M*.

Între punctele simetrice *M* și *N* apare astfel o diferență de potențial, ce poate fi măsurată cu un electrometru.

Fenomenul este ușor de observat, mai ales la bismut, însă nu constituie decît o verificare aproximativă a legilor devierii, știind că foarte multe metale prezintă anomalii, greu de interpretat. El se numește *efectul Hall*.

## RECAPITULARE

Din cele arătate în §§ 264, 271 și 276, rezultă că :

1) *Forța de interacțiune, între doi poli magnetici, este invers proporțională cu permeabilitatea mediului și se calculează din formula lui Coulomb.*

$$F = \frac{1}{\mu} \cdot \frac{m_1 \cdot m_2}{r^2}.$$

<sup>1)</sup> Edwin Herbert Hall (1855—1938), fizician american.

2) *Forța exercitată de un curent, asupra unui pol magnetic, este independentă de permeabilitatea mediului și se calculează din expresia legii lui Biot și Savart. Ea este*

$$F = 2 \frac{l}{d} m.$$

3) *Forța de acțiune a unui câmp magnetic, normal pe un curent electric, este deci proporțională cu permeabilitatea mediului. Ea se calculează din relația cunoscută*

$$F = \mu i l H \sin \alpha.$$

§ 277. **Acțiunea reciprocă a curenților.** Prin cercetări experimentale, Ampère a stabilit că :

1) *Doi conductori paraleli, în care circulă curenți electrici de același sens, dezvoltă acțiuni de atracție reciprocă.*

2) *Doi conductori paraleli, în care circulă curenți de sensuri contrarii, se resping reciproc.*

3) *Doi conductori încrucișați se atrag, dacă ambii curenți se îndreaptă simultan spre punctul de încrucișare și se resping, în cazul contrar.*

Prin urmare, aici nu mai apar simple acțiuni de deviere, ca în sistemele *curent-pol magnetic*, ci forțe de interacțiune egale și de sensuri contrarii, ca între polii magnetici, dar cu deosebiri pe care le vom arăta la timpul lor.

\* Curenții paraleli și de același sens se atrag, iar cel de sensuri contrarii se resping.

Aceste interacțiuni sînt ușor de constatat experimental, bunăoară cu două fire flexibile, dispuse paralel.

Este de asemenea cunoscută următoarea experiență simplă :

O spirală de sîrmă este atîrnată de un suport și are, la partea inferioară, o masă, care poate să oscileze după verticală, ca la orice pendul elastic (fig. 219).

Masa este metalică și stă, parțial, cufundată în mercur.

Dacă trecem prin spirală un curent electric, spirele se atrag reciproc, ea se scurtează și contactul cu mercurul se întrerupe.

Acțiunea electromagnetică încetează atunci, spirala se lungeste la loc, fenomenul se repetă și oscilația pendulului se întreține, fără să se amortizeze.

Rămîne să cercetăm aceste fenomene, din punctul de vedere cantitativ.

Pentru aceasta vom considera doi conductori liniari și paraleli, de lungime infinită, a căror distanță este  $d$  (fig. 220).

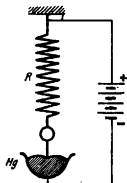


Fig. 219. Spirala lui Roget.

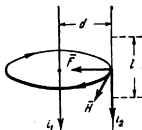


Fig. 220. Acțiunea reciprocă a curenților.

El sînt înfășurați în linii de forță magnetice, de formă circulară, al căror sens este dictat de regula șurubului.

Cîmpul produs de curentul cu intensitatea  $i_1$ , la distanța  $d$ , va fi, după legea lui Biot și Savart,

$$H = 2 \frac{i_1}{d}. \quad (272.1)$$

El acționează asupra unei porțiuni oarecare, de lungime  $l$ , din celălalt conductor, cu o forță  $F$ , orientată după regula mîinii stîngi.

Această forță tinde să apropie conductorii și are intensitatea

$$F = \mu i_2 l H. \quad (276.1)$$

Eliminarea lui  $H$ , între aceste două relații, ne duce la expresia finală

$$F = 2\mu \frac{i_1 i_2}{d} l. \quad (277.1)$$

$$F = 2\mu \frac{I_1 I_2}{d} L$$

Această relație are o importanță deosebită și ne spune că, între un conductor liniar, de lungime infinită și o porțiune, de lungime  $l$ , de pe alt conductor, paralel cu dînsul, apare o forță de interacțiune, de intensitate :

- 1) *Direct proporțională cu permeabilitatea mediului.*
- 2) *Direct proporțională cu produsul intensităților de curent.*
- 3) *Direct proporțională cu lungimea limitată  $l$ .*
- 4) *Invers proporțională cu distanța conductorilor.*

Este de la sine înțeles că, la rîndul lui, conductorul de lungime  $l$  atrage conductorul de lungime infinită, cu o forță opusă și de aceeași intensitate, după principiul acțiunii și reacțiunii.

Dar, spre deosebire de interacțiunile polilor magnetici, aceste forțe sînt direct și nu invers proporționale cu permeabilitatea mediului.

§ 278. Unitatea MKSA de curent electric. În § 197 am legat unitatea *coulomb* de legea electrostatică a interacțiunilor în vid :

$$F = \frac{1}{\epsilon_0} \frac{Q_1 \cdot Q_2}{r^2}$$

Această unitate reprezintă  $3 \cdot 10^9$  unități CGS e.s.

Dacă o introducem în relația de față și exprimăm forța în newtoni, se știe că permitivitatea vidului capătă valoarea numerică

$$\epsilon_0 = \frac{1}{9 \cdot 10^9}$$

și nu mai rămîne un simplu număr abstract, ci are dimensiuni proprii.

Trecînd apoi la transportul de electricitate, am arătat că unitatea MKSA numită *amper* corespunde unui curent electric, ce transportă cîte un coulomb pe secundă, prin fiecare secțiune de conductor.

Aceste definiții, fără să fie necorecte, au marele inconvenient că sînt legate de forțele interacțiunilor electrostatice, care nu pot fi determinate cu destulă precizie.

Mult mai precis pot fi măsurate forțele de interacțiune ale conductorilor parcurși de curenți electrici.

Vom reveni deci la relația cunoscută (277.1) și considerînd că mediul este vidul, o vom scrie sub forma

$$\frac{F}{l} = 2\mu_0 \frac{i_1 i_2}{d}$$

în care intensitățile curenților sînt exprimate în unitățile sistemului CGS e.m.

În sistemul acesta, permeabilitatea magnetică este un simplu număr și are, în vid, valoarea

$$\mu_0 = 1.$$

Rezultă că, în cazul particular cînd :

$$i_1 = i_2 = 1 \text{ unitate CGS e.m. și}$$

$$l = d = 1 \text{ centimetru,}$$

$$F = 2 \text{ dyne.}$$

*Prin urmare, la distanța de un centimetru, forța de interacțiune, între un conductor linear înfinit și fiecare centimetru din alt conductor paralel cu dînsul, este de două dyne, dacă intensitățile curenților ar fi de cîte o unitate e'ectromagneti c CGS, sau dacă produsul lor numeric ar fi egal cu unitatea.*

Acest fel de a defini unitatea de intensitate CGS electromagnetică a curentului nu este în dezacord cu vechea definiție, din legea lui Biot și Savart, pe care am și folosit-o ca să deducem relația (277.1).

El are însă avantajul că, prin eliminarea cîmpului magnetic, nu mai sîntem legați de existența unor mase magnetice fictive.

Trecînd acum la unitatea MKSA pe care am numit-o *amper*, vom observa mai întîi că, după tabela finală din § 273,

*o unitate CGS e.s. de curent reprezintă*  $\frac{1}{3 \cdot 10^{10}}$  *u. CGS e.m.*

Se știe însă că

$3 \cdot 10^9$  *u. CGS e.s. reprezintă un amper.*

Un amper =  $10^{-1}$  CGS e.m.

Cunoscând aceste raporturi numerice de transformare, deducem că un amper reprezintă  $10^{-1}$  unități CGS e.m.

Ne propunem acum să căutăm ce valoare trebuie să dăm permeabilității vidului, pentru ca, din relația (277.1) să rezulte forța în newtoni, când exprimăm intensitățile în amperi și distanțele în metri.

În loc de

$$\frac{2(\text{dyn})}{1(\text{cm})} = 2\mu_0 \frac{1 \cdot 1 (\text{CGSe.m.})}{1(\text{cm})}$$

ar trebui să scriem atunci

$$\frac{2 \cdot 10^{-5} (\text{N})}{1(\text{m})} = 2\mu_0 \frac{10 \cdot 10 (\text{A})}{1(\text{m})}$$

și această relație nu ar putea fi satisfăcută, decât cu condiția să luăm, ca valoare numerică,

$$\boxed{\mu_0 = 10^{-7}}.$$

Tot numeric vom avea deci

$$\frac{F}{l} = 2 \cdot 10^{-7} \frac{I_1 I_2}{d}$$

unde, fiindcă nu mai sîntem în sistemul CGS e.m., am notat intensitățile curenților cu litere mari.

*Prin urmare, la distanța de un metru, forța de interacțiune, între un conductor liniar înfinit și fiecare metru de pe un conductor paralel cu dînsul este de  $2 \cdot 10^{-7}$  newtoni, dacă intensitățile curenților ar fi de cîte un amper.*

Dacă  $I_1 = I_2 = 1 \text{ A}$  și  $l = d = 1 \text{ m}$ ,  $F = 2 \cdot 10^{-7} \text{ N}$ .

Aceasta este definiția standardizată a unității numite *amper*.

**1. Dimensiunile permeabilității.** În sistemul CGS e.m., permeabilitatea era un simplu număr abstract.

În sistemul MKSA, relația

$$\frac{F}{l} = 2\mu_0 \frac{I_1 \cdot I_2}{d} \quad (277.1)$$

ne dă, pentru permeabilitatea vidului, dimensiunile

$$[\mu_0] = \text{LMT}^{-2}\text{I}^{-2}.$$

Iar dacă mediul are permeabilitatea relativă  $\mu_r$ , aceeași relație se va scrie, știind că  $\mu = \mu_r \mu_0$ ,

$$\frac{F}{l} = 2\mu_r \mu_0 \frac{I_1 \cdot I_2}{d}$$

și produsul  $\mu_r \mu_0$  ia dimensiunile lui  $\mu_0$ , fiindcă  $\mu_r$  nu este decît un simplu număr abstract.

2. *Unitatea MKSA de cîmp magnetic.* Revinînd la expresia legii lui Biot și Savart, după care, în orice mediu,

$$H = 2 \frac{I}{d} \quad (272.1)$$

am văzut că intensitatea cîmpului rezultă în oerstezi, cînd exprimăm curenții în unități CGS e.m. și distanța în centimetri.

La valoare numerică egală, dacă am exprima curenții în amperi, cîmpul ar fi de 10 ori mai slab, iar dacă exprimăm distanța în metri, mai scade încă de 100 de ori.

Prin urmare, în unitățile MKSA :

$$H = 2 \frac{1}{10 \cdot 100} \frac{I}{d} \text{ (Oe).}$$

Inseamnă că, la distanța de un metru, curenții cu intensitatea de un amper dă naștere cîmpului

$$H = 0,002 \text{ Oe} = 2 \text{ mOe.}$$

În sistemul MKSA, intensitatea cîmpului magnetic se exprimă în milioerstezi (mOe).

Prin urmare, în cadrul sistemului MKSA, intensitatea cîmpului magnetic nu se exprimă în oerstezi, ci în milioerstezi (mOe).



În ce privește dimensiunile acestei mărimi, relația fundamentală (272.1) ne dă

$$[H] = \text{IL}^{-1}.$$

Trecînd acum la fluxul cîmpului magnetic, el are, prin definiție, valoarea

$$\varphi = HS$$

cu dimensiunile

$$[\varphi] = \text{IL}$$

și se exprimă în *milioerstezi · metru pătrat* ( $\text{mOe} \cdot \text{m}^2$ ), cînd folosim unitățile MKSA.

§ 279. **Raportul de transformare al unităților.** Din moment ce cunoaștem raportul de transformare al unităților, pentru intensitatea curentului, este ușor să-l calculăm rînd-pe-rînd pentru celelalte unități.

Tabela de mai jos cuprinde rezultatele acestor calcule, cît și pe acelea privitoare la unitățile CGS e.s., împreună cu relațiile de deducție respective.

Relația de deducție	MKSA	CGSe.m.	CGSe.m.
$\frac{F}{l} = 2\mu_0 \frac{I_1 I_2}{d}$	amper (A)	10 A	$1/3 \cdot 10^9 \text{ A}$
$Q = IT$	coloumb (C)	10 C	$1/3 \cdot 10^9 \text{ C}$
$U = \frac{P}{I}$	volt (V)	$1/10^8 \text{ V}$	300 V
$Q = CU$	farad (F)	$10^9 \text{ F}$	$1/9 \cdot 10^{11} \text{ F}$
$R = \frac{U}{I}$	ohm ( $\Omega$ )	$1/10^9 \Omega$	$9 \cdot 10^{11} \Omega$

Pentru a nu încărca memoria, nu am introdus în tabelă decît unitățile folosite cel mai des. Pentru celelalte, calculul este tot așa de simplu.

## B. Echivalența magnetilor și a curenților

§ 280. **Momentul magnetic echivalent.** Experiența lui Oersted, împreună cu toate fenomenele descrise pînă acum, ne-au arătat că un cîmp magnetic poate să fie produs atît de un magnet, cît și de un curent electric.

Ampère a dovedit completa echivalență a curenților cu magnetii și a bănuț că, în realitate, ceea ce se numește *magnetism* nu reprezintă fenomene independente și că de fapt cîmpul magnetilor nu e decît o manifestare a unor curenți circulari, ce ar trebui să existe în interiorul moleculelor substanței respective.

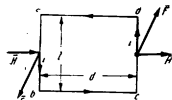


Fig. 221. Pentru deducerea momentului magnetic echivalent.

Teoriile moderne au adoptat și dezvoltat această concepție a lui Ampère, în acord cu numeroase fapte experimentale.

Să considerăm un cadru de sîrmă, plan și dreptunghiular, prin care circulă un curent electric, de intensitate  $i$ , exprimată în unități CGS e.m. (fig. 221).

Paralel cu planul lui și cu bazele, acționează un cîmp magnetic  $H$ .

Acest cîmp este inactiv asupra laturilor  $ad$  și  $bc$ , dar laturile  $ab$  și  $cd$  vor fi supuse forțelor egale

$$F = \mu i H l \quad (276.1)$$

După regula mîinii stîngi, aceste forțe se orientează paralel și în sensuri contrarii, perpendicular pe planul figurii.

Ele dau naștere unui cuplu mecanic, al cărui moment este

$$Fd = \mu i H l d = \mu i H S \quad (280.1)$$

unde  $S$  reprezintă aria conturului.

*Circuitul echivalează deci cu un magnet, orientat cu axa polilor perpendicular pe planul lui, pe care cîmpul magnetic tinde să-l aducă pe direcția liniilor de forță.*

Polul nord al acestui magnet echivalent se găsește la stînga observatorului lui Ampère, ce ar sta culcat pe una din laturi, cu

capul în sensul curentului și ar privi spre interiorul cadrului, așa cum ne arată, de altfel și sensul orientării în câmp.

Concluziile de față pot fi verificate ușor, cu dispozitivul din fig. 222 :

Două plăci, de zinc și de cupru, cufundate în apă acidulată, formează un element galvanic, ce debitează curent electric, printr-un cadru de sîrmă.

Sirma trece printr-un dop de plută și tot sistemul plutește pe apă.

În câmpul magnetic al Pămîntului, cadrul se orientează perpendicular pe direcția meridianului, ca și cum cele două fețe ar fi poli unui magnet, iar fața nord se găsește la stînga observatorului lui Ampère.

Mai rămîne să calculăm și momentul magnetic echivalent. El este legat de momentul mecanic al cuplului de rotație prin relația cunoscută

$$\overline{M}_m = \frac{Fd}{H} \quad (267.1)$$

Iar dacă ținem seamă de (280.1), găsim că

$$\boxed{M_m = \mu i S} \quad (280.2)$$

Dacă, în loc de un contur dreptunghiular, am avea un circuit plan de o formă oarecare, îl putem descompune într-o infinitate de fîșii dreptunghiulare, în lungul liniilor de forță și rezultatul final ar fi același, prin totalizarea tuturor suprafețelor elementare.

**Momentul magnetic echivalent al unui circuit plan închis este**

$$M_m = \mu i S.$$

*Prin urmare, momentul magnetic echivalent al unui circuit plan închis este proporțional cu aria lui, cu permeabilitatea mediului și cu intensitatea curentului, care-l străbate.*

**Solenoidul.** În locul unei singure spire, putem lua mai multe, dispuse în spirală, așa cum arată fig. 223.

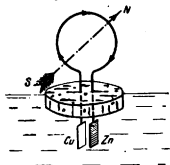


Fig. 222. Planul spirei se orientează perpendicular pe direcția câmpului magnetic pămîntesc.

Această spirală, parcursă de curentul electric, formează ceea ce numim un *solenoid*.

Considerînd spirele ca plane, dacă sînt destul de strînse una lîngă alta, momentul magnetic total va fi egal cu suma momentelor parțiale și vom avea

$$M_m = \mu N i S, \quad (280.3)$$

în care  $N$  reprezintă numărul total de spire.

Totul ne îndreptățește deci să comparăm un circuit plan închis cu o felie subțire, tăiată transversal într-un magnet, adică cu ceea ce Ampère numește o *foiță magnetică*.

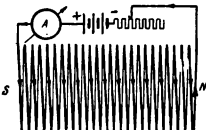


Fig. 223. Solenoid.

La rîndul lui, solenoidul ar fi comparabil cu mai multe foițe magnetice suprapuse, cu polii de nume contrarii în contact și tot atîtea la număr cît și spirele.

Un solenoid, suspendat cu un fir, în poziție orizontală, se orientează după meridian, iar polul nord se găsește, ca și la circuitul plan, în stînga observatorului lui Ampère.

Cît despre interacțiunea polilor ce se formează la capetele lor, ei se atrag sau se resping, după regulile cunoscute din magnetism.

§ 281. **Cimpul în interiorul solenoizilor.** Solenoizii, ca și circuitele plane, produc linii de forță, pe care le putem evidenția prin metoda cunoscută, a spectrelor magnetice.

Figura 224 ne arată, în *a* și *b*, aspectul acestor linii de forță, la un circuit plan, cu o singură spirală și la un solenoid.

Ele se răresc, deoparte și de alta, ca să descrie în spațiu curbe închise, pe care sensul pozitiv este acela în care se îndreaptă capătul nord al unui ac magnetic.

În fig. 224, *c* avem o așa numită *bobină toroidală*. Aici liniile de forță nu mai scapă în exterior și zadarnic am căuta un pol nord și altul sud.

Vom calcula mai întîl cîmpul, în interiorul unei astfel de bobine toroidale:

Pentru aceasta, vom pleca de la teorema lui Ampère, după care lucrul mecanic implicat în transportul unei mase magnetice, pe o traiectorie închisă, în jurul unui curent de intensitate  $i$ , este

$$A = 4\pi mi. \quad (275.1)$$

Dar un asemenea transport, prin interiorul bobinei toroidale, ocolește  $N$  spire și prin fiecare din ele trece cîte un curent de intensitate  $i$  (v. fig. 224, c).

În cazul acesta, va trebui să scriem că lucrul mecanic total este

$$A_t = 4\pi miN. \quad (I)$$

Același lucru mecanic mai poate fi exprimat prin produsul între forță și lungimea traiectoriei, parcursă în direcția ei, așadar

$$A_t = Hml, \quad (II)$$

în care  $H$  este cîmpul interior și  $l$  reprezintă lungimea toroidului desfășurat.

Egalînd avem

$$Hml = 4\pi miN$$

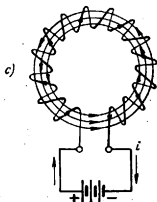
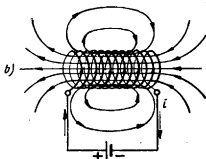
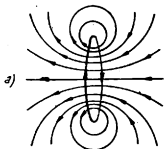


Fig. 224. Linii de forță magnetice: a — spirală circulară; b — solenoid; c — bobină toroidală.

sau, dacă notăm cu  $n$  numărul spirelor pe unitatea de lungime, ajungem la relația finală

$$H = 4\pi ni. \quad (281.1)$$

Acest cîmp rezultă în *oerstezi*, cînd exprimăm curentul în unitățile CGS e.m. și lungimea în centimetri, sau în *milioersted*, cînd exprimăm intensitatea curentului în amperi și distanța în metri.

Dar aparatele de laborator sînt, obișnuit, gradate în amperi și, dacă exprimăm lungimea tot în centimetri, va trebui să ținem seamă de raportul de transformare al unităților.

În cazul acesta, relația

$$H = \frac{1}{10} 4\pi ni \quad (281.1a)$$

ne dă cîmpul în *oerstezi*.

*Rezultatul nu depinde nici de suprafața sau de forma spirelor, nici de raza torului.*

Același raționament poate fi extins la un solenoid, cînd lungimea bobinată este practic infinită.

În cazul acesta, densitatea liniilor de forță și cîmpul din interior sînt incomparabil mai mari decît în exterior. (v. fig. 224, b).

Dacă transportăm o masă magnetică, în lungul uneia din ele, pe o traiectorie închisă, ocolim iarăși toate spirele solenoidului, dar lucrul mecanic, pe porțiunea externă a drumului parcurs poate fi considerat ca neglijabil.

Relațiile (I) și (II), unde  $l$  reprezintă, de astă dată, lungimea solenoidului, ne vor duce iarăși la expresia finală

$$H = 4\pi ni. \quad (281.1)$$

Practic, ea poate fi aplicată, fără eroare apreciabilă, la orice solenoid a cărui lungime depășește măcar de zece ori diametrul spirelor.

*Prin urmare, într-o bobină toroidală, sau într-un solenoid foarte lung, intensitatea cîmpului magnetic este proporțională cu intensitatea curentului și cu numărul de spire, pe unitatea de lungime, iar factorul de proporționalitate este  $4\pi$ .*

Intr-o bobină toroidală, sau într-un solenoid foarte lung, intensitatea cîmpului magnetic este  $4\pi ni$ .

La solenoidii scurți, cîmpul interior nu mai este uniform și se demonstrează că, într-un punct dat, el depinde de unghiul solid, sub care se văd cele două suprafețe terminale.

Aceeași relație ne permite să calculăm inducția magnetică, în cazul cînd mediul ce umple interiorul solenoidului are permeabilitatea  $\mu$ .

Ea este

$$\boxed{B = \mu H = \mu 4\pi ni} \quad (281.2)$$

și relația cunoscută

$$B = \mu_0 H + 4\pi J \quad (268.4)$$

ne permite să o mai scriem și sub forma

$$B = 4\pi (\mu_0 ni + J). \quad (281.3)$$

În această relație, ambii termeni din paranteză trebuie să reprezinte mărimi fizice de aceeași natură.

La magnetizarea vidului, o substanță magnetică adaugă intensitatea de magnetizare proprie.

*Inseamnă că, la magnetizarea vidului, substanța magnetică, introdusă în solenoid, adaugă intensitatea proprie de magnetizare.*

O explicație simplă se poate da, de pe acum, cu ajutorul ipotezei curenților moleculari a lui Ampère :

Mișcările de rotație ale electronilor din atomi dau naștere la curenți de convecție circulari, ce se comportă ca niște dipoli magnetici elementari.

În condiții normale, axele acestor dipoli se orientează statistic, în toate direcțiile.

Dar acțiunea cîmpului magnetic tinde să le aducă paralel cu liniile de forță, cu fața nord spre stînga curentului ce trece prin spirele solenoidului, așa cum arată fig. 225.

Peste cîmpul inițial, se adaugă astfel rezultanta cîmpurilor produse de acești dipoli elementari.

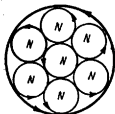


Fig. 225. Concepția magnetilor moleculari.

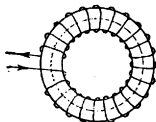


Fig. 226. Circuit magnetic toroidal.

§ 282. **Circuitul magnetic.** Să considerăm o bobină toroidală, în care toată suprafața secțiunilor ar fi ocupată de o substanță cu permeabilitatea  $\mu$  (fig. 226).

Această bobină conține  $N$  spire și lungimea ei desfășurată este  $l$ .

Numărul de spire, pe unitatea de lungime, va fi deci

$$n = \frac{N}{l}.$$

După cele știute, un curent electric, de intensitate  $i$ , exprimată în CGS e.m., produce, în interiorul ei, cîmpul de inducție magnetică

$$B = \mu 4\pi i \frac{N}{l} \text{ Gs.} \quad (281.2)$$

Iar dacă notăm aria secțiunii cu  $S$ , fluxul de inducție va fi

$$\Phi = \mu 4\pi i \frac{N}{l} S \text{ Mx.}$$

Această relație se mai poate scrie și sub forma

$$\boxed{\Phi = \frac{4\pi N l}{l \mu S}} \text{ Mx.} \quad (282.1)$$



Dacă o comparăm cu legea lui Ohm, de la curentul electric,

$$I = \frac{E}{l\gamma S} = \frac{E}{R}$$

constatăm că :

1) Curentului  $I$  îi corespunde fluxul de inducție  $\Phi$ ,

2) Forței electromotoare  $E$  îi corespunde mărimea

$$F = 4\pi Ni,$$

3) Rezistenței ohmice  $R = l/\gamma S$  îi corespunde cantitatea

$$R = l/\mu S.$$

4) Conductivitatea  $\gamma$  este înlocuită cu permeabilitatea  $\mu$ .

$$F = 4\pi Ni \text{ și } R = l/\mu S$$

Această analogie ne îndreptățește să dăm cantității  $F$  numele de „forță magnetomotoare” și mărimii  $R$ , ce se opune trecerii fluxului, numele de „reluctanță”.

Avem astfel, în magnetism, o lege asemănătoare cu legea lui Ohm :

$$F = R\Phi$$

(282.2)

dar asemănarea nu implică un transport de sarcini magnetice, analoge cu sarcinile electrice, fiindcă nu există asemenea sarcini.

Până acum nu am considerat decât cazul unui circuit magnetic omogen, dar legea poate fi extinsă și la circuitele neomogene.

De pildă, circuitul din fig. 227 este compus din porțiunile numerotate cu 1, 2 și 3, din care ultima este o pătură de aer, cu permeabilitatea  $\mu_0$ , egală cu a vidului.

Pentru simplificare, nu am reprezentat bobinajul toroidal, dar vom subînțelege că el există, ca în fig. 226.

Reluctanțele celor trei porțiuni vor fi, conform definiției,

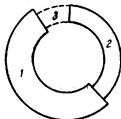


Fig. 227. Reluctanța circuitului este suma reluctanțelor parțiale.

$$R_1 = \frac{l_1}{\mu_1 S_1}; \quad R_2 = \frac{l_2}{\mu_2 S_2}; \quad R_3 = \frac{l_3}{\mu_0 S_3}$$

și relația (282.2) se va scrie sub forma

$$F = (R_1 + R_2 + R_3) \Phi,$$

unde *reluctanța totală este suma reluctanțelor parțiale*.

Pentru o mai bună înțelegere, știind că permeabilitatea fierului este aproximativ de 2 000 de ori mai mare decît a vidului sau aerului, introducerea în circuitul magnetic a unei pături de aer, groasă de un centimetru, opune fluxului magnetic o rezistență egală cu a unei pături de fier de 20 m, sub aceeași secțiune.

*Unitatea de forță magnetomotoare.* Dacă, în relația de definiție

$$F = 4\pi Ni$$

considerăm o singură spiră și dăm intensității curentului valoarea

$$i = \frac{1}{4\pi} \text{ CGSe.m.}$$

forța magnetomotoare capătă o valoare numerică egală cu unitatea.

O spiră, străbătută de curentul cu intensitatea  $1/4\pi$  u. CGS e.m., produce forța magnetomotoare de un gilbert.

*Vom spune deci că, în sistemul CGS e.m., curentul de intensitate  $1/4\pi$ , ce străbate o singură spiră, produce forța magnetomotoare-unitate. Această unitate se numește gilbert (Gb).*

Analog, dacă trecem prin spiră un curent de  $1/4\pi$  amperi, obținem forța magnetomotoare de o unitate MKSA.

În sistemul MKSA forța magnetomotoare se exprimă în decigilbert.

*Această unitate va fi de zece ori mai mică decît gilbertul și se numește decigilbert.*

Pentru mărimea numită *reluctanță*, unitățile de măsură vor fi definite mai tîrziu, în cap. XXXIX despre „Inducția electromagnetă”.

§ 283. **Electromagneți.** Un miez de fier, introdus într-un solenoid, se magnetizează și devine un *electromagnet*, iar magnetizarea dispare aproape total, după întreruperea curentului.

În cazul acesta, fierul adaugă inducția proprie, la inducția inițială din solenoid, așa cum arată relația cunoscută

$$B = 4\pi\mu_0 ni + 4\pi J \quad (281.3)$$

În care ambii termeni din membrul al doilea trebuie să reprezinte mărimi similare cu  $B$ .

Primul termen crește linear cu intensitatea curentului; al doilea crește de asemenea, însă nelinier, odată cu orientarea treptată a dipolilor elementari, amintiți în § 281.

Dar când această orientare s-a terminat, intensitatea de magnetizare  $J$  se menține constantă și spunem că am ajuns la *saturația magnetică*.

De aici înainte, în câmpul crescător, fierul nu mai joacă nici un rol specific și putem scrie că

$$B_s = 4\pi\mu_0 ni + \text{const.}$$

În principiu, un electromagnet are unul din aspectele arătate în fig. 228, cu numeroase variante.

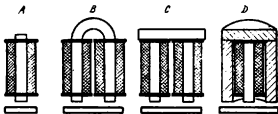


Fig. 228. Diverse forme de electromagneți.

Pătura reprezentată prin spațiul de aer, cuprins între fețele polare, se numește *întrefier*.

Știind că

$$B = \frac{\Phi}{S} = \frac{\mathcal{F}}{\mathcal{R}S}$$

și că reluctanța fierului se adună cu a întrefierului, înseamnă că trebuie să reducem întrefierul la minimum, ca să putem realiza intensități mari ale câmpului de inducție.

Pentru cercetările științifice, sau construit electromagneți de dimensiuni foarte mari.

De pildă, electromagnetul Academiei de Științe din Franța, instalat la Belleville, în apropierea Parisului, cîntărește 80 tone, are 4,50 m lungime și 2 m înălțime.

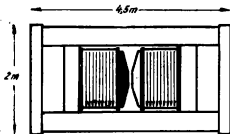


Fig. 229. Schema electromagnetului de la Belleville.

Schema lui de principiu este reprezentată în fig. 229.

Inducția din interior atinge 70 000 Gs, cînd piesele polare se găsesc la distanța de 2 mm și au diametrul de 4 cm.

Acestor piese li se dă o formă tronconică, menită să asigure o concentrare maximă a liniilor de forță.

Curentul de alimentare al bobinelor atinge 400 A. Ele sînt bobinate cu tuburi de cupru și răcite cu un curent de apă.

Odată ajuns la saturație, fierul devine inutil și de aceea profesorul Kapița, de la Moscova, renunțînd și la fier și la sistemul de răcire, a izbutit să obțină cîmpuri de peste 300 000 Oe, trecînd un curent de intensitate mare, printr-un solenoid, bobinat cu sîrmă foarte groasă.

Ca să evite topirea bobinajului, curentul acesta nu durează decît o mică fracțiune de secundă.

**Forța portantă a electromagneților.** Pe lîngă numeroasele aplicații practice la sonerie, telegraf, relee, comenzi electrice la distanță etc., a căror descriere se găsește în orice carte elementară, electromagneții aduc servicii mari în industria metalurgică, la macaralele de încărcare și descărcare a pieselor și deșeurilor de fier.

Calculul forței de desprindere, numită și *forță portantă*, se poate face în felul următor :

Să presupunem că o piesă de fier plană, atrasă de un electromagnet, este încărcată cu greutatea suplimentare, pînă se desprinde (fig. 230).

Dacă densitatea magnetică, pe fața polară este  $+\sigma$ , teorema lui Coulomb ne dă cîmpul

$$H = 2\pi\sigma$$

în planul suprafeței respective.

Piesa atrasă capătă atunci, pe fața în contact, o densitate magnetică —  $\sigma$  și este atrasă cu forța

$$F = \sigma SH = 2\pi\sigma^2 S.$$

În momentul desprinderii, această forță egalează greutatea și astfel

$$mg = 2\pi\sigma^2 S$$

sau, fiindcă  $\sigma = J$ ,

$$mg = 2\pi J^2 S. \quad (I)$$

De altă parte se știe că

$$B = \mu_0 H + 4\pi J. \quad (268.4)$$

Dar inducția vidului este neglijabilă, în comparație cu inducția din fier, așa că, înlocuind pe  $J$  în relația (I), putem scrie, cu aproximație, că

$$mg = \frac{B^2 S}{8\pi}. \quad (II)$$

La un electromagnet, sub intensitatea de curent  $i$ ,

$$B = \mu 4\pi ni$$

și din (II) ajungem la relația finală

$$\boxed{mg = 2\pi S (\mu ni)^2}. \quad (283.1)$$

De aici putem calcula forța portantă, când cunoaștem permeabilitatea magnetică, sau determina experimental permeabilitatea, măsurând forța de smulgere.

**Exemple numerice.** 1) Într-o busolă de tangentă, raza spirei fiind de 10 cm, acul deviază din poziția nord-sud cu  $53^\circ$ , când curentul are intensitatea de 4,48 A.

Să se calculeze componenta orizontală a cimpului magnetic pământesc. (1g  $53^\circ = 1,33$ ).

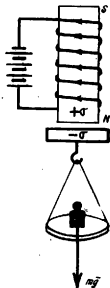


Fig. 230. Pentru calculul forței portante a unui electromagnet.

Relația cunoscută

$$\frac{2\pi I}{r} = H_p \operatorname{tg} \alpha$$

ne dă, cînd curențul a fost exprimat în amperi,

$$H_p = \frac{2\pi I}{10 \cdot r} \cdot \frac{1}{\operatorname{tg} \alpha} = \frac{2\pi \cdot 4,48}{10 \cdot 10} \cdot \frac{1}{1,33} = 0,2 \text{ Gs.}$$

2) Să se calculeze cîmpul magnetic produs de un electron, care se mișcă rectiliniu cu viteza constantă de  $2 \cdot 10^9$  cm/s, într-un punct aflat la distanța de  $10^{-2}$  cm de traiectorie, în momentul cînd trece prin proiecția acestui punct, pe traiectorie.

Relația (274.1)

$$h = \frac{eu s^2 \sin \alpha}{r^2}$$

în care  $\sin \alpha = 1$ , ne dă, știind că

$$e = 4,8 \cdot 10^{-10} \text{ u.CGS e.s.,}$$

$$= 1,6 \cdot 10^{-20} \text{ u.CGS e.m.,}$$

$$h = \frac{1,6 \cdot 10^{-20} \cdot 2 \cdot 10^9}{10^{-4}} = 3,2 \cdot 10^{-7} \text{ Oe.}$$

3) Să se calculeze forța exercitată asupra unei linii electrice aeriene, din partea cîmpului magnetic al Pămîntului. Lînia este întinsă orizontal, în direcția est-vest, are lungimea de 2 km și e parcursă de un curent cu intensitatea de 100 A.

Se va lua  $H = T = 0,47$  Gs.

Relația (276.1)

$$F = \mu I l H$$

în care considerăm că  $\mu = 1$ , ne dă, pentru  $i = 10$  CGS e.m.,

$$F = 1 \cdot 10 \cdot 2 \cdot 10^5 \cdot 0,47 = 0,94 \cdot 10^6 \text{ dyn,}$$

adică de ordinul unui kilogram forță (kgf).

4) Într-o centrală electrică, barele de conexiune sînt fixate paralel și la distanță de 30 cm una de alta, pe izolatori de sprijin, la fiecare 2 m.

Un scurt-circuit a făcut ca ele să fie parcurse, pentru un timp foarte scurt, de curenți cu intensitatea de 20 000 A. Să se calculeze forța exercitată la fiecare bară, presupusă practic înfinită, asupra porțiunii nesprijinite din valaltă.

În aer și pentru intensitatea de 2 000 u. CGS e. m., relația

$$F = 2\mu_0 \frac{l_1 \cdot l_2}{d} l \quad (277.1)$$

ne dă

$$F = 2 \frac{2\,000 \cdot 2\,000}{30} \cdot 200 = 5,33 \cdot 10^7 \text{ dyn.}$$

adică aproape 55 kgf.

În aceste condiții, se întîmplă adesea ca barele, dacă nu s-au topit prin efectul Joule-Lenz, să fie rupte sau, cel puțin, deformat.

5) Un solenoid foarte lung, cu 10 spire pe centimetru, este parcurs de un curent, cu intensitatea de 0,48 A.

Secțiunea spirelor fiind de 30 cm<sup>2</sup>, se introduce în ele o bară de fier cu aceeași secțiune.

Să se calculeze inducția în fier și forța portantă a electromagnetului. Se va lua  $\mu_r = 2\,000$ .

Cîmpul, în solenoidul fără fier, este

$$H = \frac{1}{10} 4\pi n I = \frac{1}{10} 4\pi \cdot 10 \cdot 0,48 = 6,03 \text{ Oe.} \quad (231.1a)$$

iar inducția în fier va fi

$$B = \mu \cdot H = 2\,000 \cdot 6,03 = 12\,060 \text{ Gs.}$$

Forța portantă (§ 283) o vom calcula din relația

$$F = \frac{B^2 S}{8\pi} = \frac{12\,060^2 \cdot 30}{8\pi} = 1,73 \cdot 10^8 \text{ dyn}$$

ceea ce reprezintă 176 kgf.

## CAPITOLUL XXXVIII

PROPRIETĂȚI MAGNETICE ALE SUBSTANȚELOR <sup>1)</sup>

## A. Proprietăți fundamentale

§ 284. **Clasificare, cimpul demagnetizant.** Să considerăm, în vid sau în aer, un corp oarecare, magnetizat într-un cimp magnetic.

Vom presupune că direcția magnetizării coincide cu direcția cimpului.

De altfel acesta e și cazul practic real, cu excepția unor situații particulare, întâlnite la corpurile așa zise *feromagnetice*, însă aceste situații pot fi și acolo înlăturate.

Reprezentînd mărimile dirijate prin vectori și considerînd permeabilitatea vidului ca simplu număr, egal cu unitatea, vom putea scrie atunci că

$$\vec{J} = \chi \vec{H} \quad \text{și} \quad \vec{B} = \mu \vec{H}$$

unde reamintim că  $\chi$  reprezintă susceptibilitatea magnetică.

Totodată, relația cunoscută

$$\mu = \mu_0 (1 + 4\pi\chi)$$

se poate scrie, în sistemul CGS e.m.,

$$\mu = 1 + 4\pi\chi.$$

Din punctul de vedere al comportării magnetice, deosebim două clase de substanțe:

1) Substanțele *diamagnetice*, la care  $\chi$  este *negativ* și  $\mu$  *mai mic decît 1*.

2) Substanțele *paramagnetice*, la care  $\chi$  este *pozitiv* și  $\mu$  *mai mare decît 1*.

2 a) Dintre paramagnetice mai fac parte, ca subclasă, corpurile *feromagnetice*, al căror principal reprezentant este fierul.

<sup>1)</sup> În toată dezvoltarea capitolului de față ne vom servi exclusiv de unitățile sistemului CGS e.m., nu pentru că ar fi neapărat necesar, ci fiindcă este mai comod și ușurează consultarea ulterioară a literaturii științifice respective.



*Ele au permeabilitatea și susceptibilitatea magnetică deosebit de mari ; apoi, se mai caracterizează prin aceea că aceste mărimi nu sînt constante, ci depind și de intensitatea cîmpului și de valorile ei anterioare.*

Clasificarea de față, asupra căreia vom reveni ulterior cu amănunte, a fost făcută de *Faraday*.

În toate substanțele, cîmpul  $\vec{H}$ , care dictează valoarea vectorului  $\vec{J}$ , este și el rezultanta a două cîmpuri suprapuse :

— *Cîmpul exterior aplicat*, pe care-l vom nota cu  $\vec{H}_0$  și

— *Un cîmp suplimentar*, notat cu  $\vec{H}_s$ , care se datorește acțiunii reciproce, prin masa substanței, a polilor de nume contrarii, ce apar la capetele opuse ale corpului.

Vom putea scrie deci relația vectorială

$$\boxed{\vec{H} = \vec{H}_0 + \vec{H}_s} \quad (284.1)$$

și, cu ajutorul ei, vom căuta să interpretăm unele fapte caracteristice :

a) Experiența ne arată că o bară de substanță *paramagnetică*, de pildă fier, aluminiu sau crom, dispusă în lungul unui cîmp magnetic, *formează un pol sud, la intrarea liniilor de forță și un pol nord la ieșirea lor* (fig. 231, a).

Ținînd seama de sensul convențional, rezultă că, în cazul acesta, cîmpul  $\vec{H}_s$  se orientează *împotriva* cîmpului exterior  $\vec{H}_0$ , ce traversează substanța.

El constituie deci un *cîmp demagnetizant*, care se opune magnetizării.

Această acțiune de opunere va fi, evident, cu atît mai eficace, cu cît bara este mai scurtă, deci polii mai apropiați.

Ea devine practic inactivă, într-o bară foarte lungă, și nulă într-un circuit magnetic închis, bunăoară într-un toroid, fiindcă acolo nu există poli magnetici.

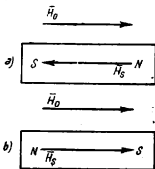


Fig. 231. Acțiunea polilor favorizează magnetizarea substanțelor diamagnetice și tinde să demagnetizeze pe cele paramagnetice.

La paramagnetice, acțiunea polilor magnetici formați dă naștere unui cîmp demagnetizant.

acțiunea lui poate să reducă intensitatea de magnetizare a unei bare scurte la cîteva sutimi din valoarea ei normală, dintr-o bară lungă.

b) Tot experimental se mai constată că o bară de substanță *diamagnetică*, de pildă cupru sau argint, *capătă un pol nord la intrarea liniilor de forță și unul sud la ieșirea lor* (fig. 231, b).

La diamagnetice, acțiunea polilor magnetici formați favorizează magnetizarea substanței.

Cîmpul demagnetizant poate fi neglijat la paramagneticele obișnuite, fiindcă au susceptibilitatea foarte mică, dar la feromagnetice

foarte mică, dar la feromagnetice

*Situația este deci inversă ca la paramagnetice și cîmpul  $\bar{H}_s$ , orientat în același sens cu cîmpul extern, favorizează magnetizarea substanței.*

Această inversare a polilor ne explică valoarea negativă a susceptibilității magnetice.

Dar și aici susceptibilitatea este, numeric, foarte mică, așa că putem considera cîmpul  $H_s$  ca neglijabil.

Să presupunem acum că am atîrnat cu un fir o mică bară de substanță *paramagnetică*, între polii unui magnet (fig. 232, a).

*Ea se orientează paralel cu liniile de forță, fiindcă polii formați sînt atrași de polii vecini ai magnetului.*

Dar dacă bara este *diamagnetică*, situația se schimbă și *orientarea devine perpendiculară pe liniile de forță, fiindcă polii formați sînt respinși de polii vecini ai magnetului* (fig. 232, b).

*Printre substanțele paramagnetice, găsim sodiul, potasiul, aluminiul, cromul, manganul, sărurile de fier, nichel, cobalt, mangan etc., fără a mai vorbi de substanțele din grupa feromagnetică, despre care vom discuta mai tîrziu.*

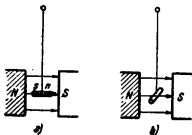


Fig. 232. Bara paramagnetică se orientează în sensul liniilor de forță iar cea diamagnetică perpendicular.

chel, cobalt, mangan etc., fără a mai vorbi de substanțele din grupa feromagnetică, despre care vom discuta mai tîrziu.

Oxigenul este de asemenea paramagnetic și dacă turnăm aer lichid peste polii unui electromagnet, picăturile aderă, mai ales dacă o parte din azot s-a evaporat.

*Printre substanțele diamagnetice*, care sînt cele mai numeroase găsim toate metaloidele (afară de oxigen), cele mai multe metale și aproape toate substanțele organice.

Corpul omului este diamagnetic așa că, suspendat orizontal, între polii unui magnet, ar trebui să se orienteze perpendicular pe liniile de forță.

Tot diamagnetice sînt gazele de ardere ale flăcărilor și de aceea ele sînt respinse afară din cîmpul unui magnet.

Tabela de mai jos cuprinde susceptibilitățile magnetice ale cîtorva substanțe.

### 1. Paramagnetice.

Aluminiu	$1,7 \cdot 10^{-6}$	Sodiu	$0,5 \cdot 10^{-6}$
Crom	$2,5 \cdot 10^{-5}$	Staniu	$0,2 \cdot 10^{-6}$
Mangan	$3,0 \cdot 10^{-4}$	Aer	$0,03 \cdot 10^{-6}$
Potasiu	$0,5 \cdot 10^{-6}$	Oxigen	$0,15 \cdot 10^{-6}$

### 2. Diamagnetice.

Aur	$-3,1 \cdot 10^{-6}$	NaCl	$-1,0 \cdot 10^{-6}$
Argint	$-1,5 \cdot 10^{-6}$	Apă	$-0,72 \cdot 10^{-6}$
Bismut	$-14,0 \cdot 10^{-6}$	Alcool	$-0,67 \cdot 10^{-6}$
Cupru	$-0,8 \cdot 10^{-6}$	Mercur	$-2,4 \cdot 10^{-6}$
Plumb	$-0,12 \cdot 10^{-6}$	Hidrogen	$-0,26 \cdot 10^{-6}$

Cea mai mare susceptibilitate negativă o are bismutul. Datele relative la substanțele feromagnetice le vom da mai tîrziu.

Determinarea experimentală a susceptibilităților magnetice constituie o operație foarte delicată, din cauza valorilor numerice atît de mici.

În 1938, *Constantin Sălceanu*<sup>1)</sup> a publicat o metodă simplă, ce poate fi aplicată la soluțiile de săruri sau lichide paramagnetice:

El dizolvă aceste substanțe în apă, care este diamagnetică și realizează astfel soluții *magnetic neutre*, asupra cărora un cîmp oricît de intens nu mai exercită nici o acțiune.

*Deformarea liniilor de inducție.* Considerînd relația care leagă cîmpul de inducția magnetică, vom avea, într-o substanță de permeabilitate  $\mu_1$ , în cîmpul  $H$ ,

$$B_1 = \mu_1 H$$

<sup>1)</sup> Profesor la Institutul Pedagogic din Timișoara.

iar în alt mediu, de permeabilitatea  $\mu_2$ ,

$$B_2 = \mu_2 H.$$

Prin două suprafețe egale, orientate normal pe liniile de forță, fluxurile de inducție vor fi deci

$$\Phi_1 = \mu_1 HS \quad \text{și} \quad \Phi_2 = \mu_2 HS.$$

De aici deducem că

$$\frac{\Phi_1}{\Phi_2} = \frac{\mu_1}{\mu_2}. \quad (284.2)$$

Prin suprafețe egale, numărul liniilor de forță ale inducției variază proporțional cu permeabilitatea.

*Inseamnă că, prin suprafețe egale, numărul liniilor de forță ale câmpului de inducție variază direct proporțional cu permeabilitatea.*

Să introducem acum un corp diamagnetic și altul paramagnetic, între polii unui magnet (fig. 233).

În primul caz, liniile de forță vor fi mai rare decât în aer, fiindcă permeabilitatea este mai mică decât 1, pe cînd în celălalt ele se vor îndesi, la intrarea în corp.

Dar situația poate să se inverseze în alte medii și anume:

— Dacă mediul este mai diamagnetic decât corpul, acesta va strînge liniile de forță, în loc să le împrăștie.

— Dacă mediul este mai paramagnetic decât corpul, acesta va împrăștia liniile de forță, în loc să le strîngă.

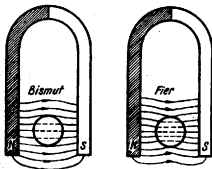


Fig. 233. Bismutul diamagnetic împrăștie liniile de forță, iar fierul le îndesește.

De pildă, o bucată de cupru, cufundată în bismut, va strînge liniile de forță, iar o bucată de nichel, înglobată într-o masă de fier, le va împrăștia.

În § 212, din Electrostatică, am considerat cazul unui cîmp de inducție care întâlnește, sub o incidență oblică, suprafața de separație, între două medii cu permitivități diferite.

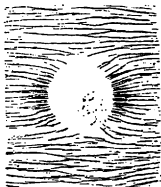
Ele se refractă atunci, modificindu-și traseul, după relația cunoscută (212.1).

Pe aceeași cale se poate demonstra că la fel se refractă și liniile de forță ale inducției magnetice, numai că în locul permitivităților vom introduce permeabilitățile.

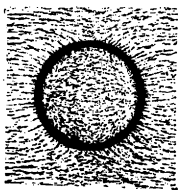
Prin urmare (fig. 234):

$$\frac{\operatorname{tg} \alpha}{\operatorname{tg} \alpha'} = \frac{\mu}{\mu'} \quad (284.3)$$

Ca încheiere, fig. 235, a reprezintă spectrul magnetic, obținut prin metoda obișnuită, cînd o bucată de fier se găsește între polii unui magnet.



a)



b)

Fig. 235. O piesă de fier concentrează liniile de forță, iar un perete de fier acționează ca un ecran magnetic.

Se observă aici devierea liniilor de forță din aer și concentrarea lor, la intrarea și ieșirea din bucata de fier.

În *b*, aceeași figură ne arată acțiunea de ecran magnetic a unui cilindru de fier găunos, în interiorul căruia firisoarele de pilitură nu se mai orientează, fiindcă pereții canalizează toate liniile de forță.

§ 285. **Magnetismul și curenții moleculari.** Să considerăm un electron satelit, care descrie o orbită circulară, în jurul nucleului atomic.

El execută  $n$  rotații pe secundă și transportă sarcina electrică  $e$  de tot atâtea ori, printr-un punct dat al orbitei.

Intensitatea curentului de convecție va fi deci

$$i = ne.$$

Se știe însă că, într-o mișcare circulară uniformă, viteza unghiulară este

$$\omega = 2\pi n$$

și astfel vom putea scrie că

$$i = \frac{\omega e}{2\pi}.$$

Acest curent circular, în lungul orbitei de arie  $S$ , echivalează cu un magnet elementar, la care momentul dipolar este

$$M_m = iS = \frac{\omega Se}{2\pi}. \quad (280.2)$$

Nu este cazul să dezvoltăm aici teoriile para și diamagnetismului, dar punctul de plecare este următorul:

Într-o moleculă există mai mulți electroni sateliți, care se mișcă pe orbite diferite, în plane diferite și în sensuri diferite.

1) Dacă aceste orbite sînt dispuse, în mod natural, așa ca momentul magnetic resultant să fie nul, cîmpul aplicat nu poate să modifice orientarea moleculei în spațiu.

Dar el poate să schimbe orientările reciproce ale orbitelor și molecula devine astfel un *dipol magnetic temporar*, ce apare și dispare odată cu cîmpul ce i-a dat naștere.

Acesta este cazul substanțelor *diamagnetice*.

- 2) Se poate întâmpla însă ca, la unele substanțe, momentul magnetic rezultat al moleculei să difere de zero. Ea este atunci un *dipol permanent* și cîmpul aplicat o rotește cu totul, ca să-i orienteze axa după liniile de forță.

La paramagnetice dipolii sînt permanenți și se orientează în cîmp, iar la diamagnetice se formează prin acțiunea cîmpului.

Această situație caracterizează substanțele *paramagnetice*. Ne-am referit la dînsa, în legătură cu ideile lui Ampère.

3) Momentele dipolare magnetice pot să provină nu numai din mișcarea electronilor sateliți pe orbite, ci și din rotația lor în jurul axei proprii, fiindcă și această rotație constituie un transport de electricitate.

Ea se numește, în atomistică, *spin electronic*<sup>1)</sup>.

1. *Experiența lui Einstein și de Haas*<sup>2)</sup>. Răsturnarea de ansamblu a dipolilor permanenți, sub acțiunea cîmpului magnetic, reprezintă o variație a impulsului de rotație, totalizată la toate moleculele interesate.

Dar, într-un sistem izolat, impulsul este conservativ și urmează că, prin reacție la schimbarea de orientare a orbitelor electronice, însuși corpul magnetizat ar trebui să capete un impuls de rotație, în sens contrar.

Mecanismul fenomenului ar fi deci analog experienței cu scaunul lui Jukovski, descrisă în § 67.

Verificarea deducției de față s-a făcut prin experiența următoare :

O bară cilindrică, de fier, a fost introdusă într-o bobină magnetizantă și suspendată cu un fir subțire (fig. 236).

Ea capătă, în momentul magnetizării, un impuls de rotație, ce poate fi observat prin deplasarea unei fișii luminoase, reflectată pe oglinda O.

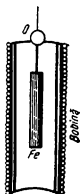


Fig. 236. Schema experienței lui Einstein-de Haas.

<sup>1)</sup> Pe englezește *spin* înseamnă *sfirlează* sau *titirez*.

<sup>2)</sup> *Wander Johannes de Haas* (n. în 1878), fizician olandez, fost profesor la Leyda.

2. *Efectul Barnett*. Printr-un mecanism invers aceluia din experiența lui Einstein—de Haas, ar trebui ca o bucată de fier, dacă este rotită foarte repede, în jurul axei longitudinale, să devină un magnet, prin schimbarea de orientare a dipolilor moleculari.

*Barnett*<sup>1)</sup> a izbutit să verifice această concluzie, prin experiențe care sînt foarte delicate și greu de realizat.

§ 286. *Efectul temperaturii*. Se știe că definiția susceptibilității magnetice rezultă din relația

$$J = \mu_0 \chi H = \chi H \quad \text{sau} \quad \chi = \frac{J}{H}$$

în care, folosind unitățile CGS e.m., am considerat permeabilitatea vidului ca simplu număr, egal cu unitatea.

Iar dacă exprimăm intensitatea de magnetizare prin raportul dintre momentul magnetic și volumul substanței, avem

$$\chi = \frac{M_m}{VH}$$

De aici, împărțind cu densitatea, putem defini o altă mărime caracteristică  $\kappa$ , numită *coeficient de magnetizare*:

$$\kappa = \frac{M_m}{\rho VH} = \frac{M_m}{mH} \quad (286.1)$$

în care  $m$  este masa inertă a substanței.

Coeficientul de magnetizare reprezintă momentul magnetic al unității de masă în cîmpul-unitate.

*Coeficientul de magnetizare se definește, așadar, prin momentul magnetic al unității de masă, în cîmpul-unitate.*

El are, față de susceptibilitatea magnetică, avantajul că este independent de volum și de orice cauză ce ar putea să modifice volumul.

<sup>1)</sup> *Samuel I. Barnett* (1873—1914), fizician american.



La densitatea constantă, ambele mărimi sînt însă proporționale, fiindcă relația (286.1) de mai sus ne dă

$$\chi = \chi_p \quad (286.2)$$

*Pierre Curie* a cercetat sistematic efectul variației de temperatură, asupra magnetizării substanțelor și a stabilit că :

1) *La substanțele diamagnetice, coeficientul de magnetizare nu variază cu temperatura.*

Dar legea nu este generală. De pildă la bismut, coeficientul de magnetizare, ca și susceptibilitatea, scad, în valoare absolută, cînd crește temperatura, pînă la punctul de topire și abia după aceea se mențin constante.

2) *La substanțele paramagnetice, coeficientul de magnetizare variază invers proporțional cu temperatura absolută.*

Această lege se scrie, de obicei, sub forma

$$\frac{1}{\chi} = \frac{1}{C} \cdot T \quad (286.3)$$

în care inversa coeficientului de magnetizare se numește *duritate magnetică*, iar factorul de proporționalitate *C* este *constanta lui Curie*.

Relația de față nu se aplică însă decît la corpurile în care acțiunea reciprocă a moleculelor este neglijabilă, adică acolo unde sînt libere să se orienteze și nu rezistă acțiunii cîmpului, decît prin agitația termică.

Aceasta se întîmplă în gaze, sau în soluțiile diluate.

Dar în solide, sau în soluții concentrate, va trebui să ținem seama și de acțiunile reciproce dintre molecule, care dau naștere unui *cîmp molecular*.

Fără să facem vre-o ipoteză asupra naturii acestui cîmp, care nu este necesar mînt de natură magnetică, teoria prevede și experiența confirmă că

$$\frac{1}{\chi} = \frac{1}{C} (T - \theta) \quad (286.4)$$

în care  $\theta$  reprezintă o temperatură, numită *punctul Curie paramagnetic*.

La paramagnetice coeficientul de magnetizare este invers proporțional cu diferența de temperatură, față de punctul Curie.

Relația de față este mai completă decât precedenta și o cuprinde implicit, în cazul cînd  $\theta = 0^\circ\text{K}$ .

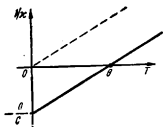


Fig. 237. Variația liniară a durității magnetice cu temperatura.

Acest *paramagnetism constant* este caracteristic substanțelor așa zise *antiferomagnetice*, în care dipolii elementari sînt orientați, în mod natural, după direcții paralele, dar unii într-un sens și alții în sensul contrar<sup>1)</sup>.

În momentul de față, concepțiile teoretice, despre dia-și paramagnetism, sînt destul de bine încheiate.

Dar nu același lucru se poate spune despre substanțele *feromagnetice*, unde atît cunoașterea faptelor, cit și interpretarea lor, întîmpină încă dificultăți mari.

## B. Feromagnetismul

§ 287. **Caractere generale.** Substanțele feromagnetice au permeabilitatea și susceptibilitatea magnetică mult mai mari decât paramagneticele obișnuite.

*Prin urmare, la substanțele paramagnetice, coeficientul de magnetizare variază invers proporțional cu diferența de temperatură, față de punctul Curie.*

Dacă reprezentăm grafic variația funcțiunii respective, găsim linia dreaptă din fig. 237.

Ea intersectează axa ordonatelor acolo unde  $1/\chi = -\theta/C$  și axa absciselor pentru  $T = \theta$ .

Aceeași reprezentare urmează traseul desemnat prin puncte, la substanțele unde nu există cîmp molecular.

Unele substanțe paramagnetice fac excepție de la legea lui Curie.

De pildă metalele alcaline, alumi-niul, staniul etc., au coeficientul de magnetizare independent de temperatură.

<sup>1)</sup> În domeniul antiferomagnetismului, cităm lucrarea lui *I. Maxim*, de la Universitatea din Cluj, care a studiat compuși de Fe, Ni și Co care, prin încălzire, devin succesiv, din feromagnetici, antiferom, apoi paramagnetici.

La o temperatură dată, permeabilitatea și susceptibilitatea feromagneticeelor variază cu cîmpul.

*Dar, la temperatură constantă, și una și alta variază atît cu intensitatea cîmpului magnetizant, cît și cu valorile ei anterioare.*

Relațiile cunoscute

$$B = \mu H \quad \text{și} \quad J = \mu_0 \chi H$$

se vor aplica deci numai cu această restricție.

Fierul este principalul reprezentant al substanțelor feromagnetice. Alături de el stau nichelul și cobaltul, iar dacă sînt răcite la temperatură joasă, mai adăugăm gadoliniul, erbiul și disprosiul.

Tot feromagnetice sînt și unele sulfuri sau oxizi de fier, precum și anumite aliaje ternare de *mangan-aluminiu-cupru*, descoperite de *Heusler*<sup>1)</sup> în 1903, la care componenții, luați în parte, nu sînt feromagnetici.

*Curba de histeresis.* Dacă, la o bară de fier ce încă nu a fost magnetizată, determinăm experimental variația intensității de magnetizare, în funcție de cîmpul magnetizant, în care am introdus-o, găsim o curbă de felul aceleia reprezentată în fig. 238.

Această curbă urmărește orientarea treptată a dipolilor magnetici ai substanței și tinde către o valoare-limită, de saturație, pe care o atinge cînd procesul de orientare s-a terminat.

Am trasat astfel așa numita *curbă de primă magnetizare*.

La susceptibilitate constantă, funcțiunea

$$J = \mu_0 \chi H$$

ar fi reprezentat o linie dreaptă, ce trece prin originea coordonatelor.

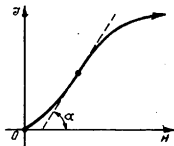


Fig. 238. Curbă de primă magnetizare.

<sup>1)</sup> *Friederich Heusler* (n. în 1866), inginer și chimist german.

Dar, în cazul de față, susceptibilitatea nu e constantă și, ca să aflăm valoarea ei, pentru o anumită intensitate a câmpului, va trebui să ducem tangenta la curbă, în punctul respectiv.

În această situație

$$\mu_0 \chi = \frac{dJ}{dH} = \operatorname{tg} \alpha.$$

Din figură, urmărind panta curbei, se vede imediat că :

Susceptibilitatea este maximă la punctul de inflexiune al curbei de magnetizare și nulă la saturație.

*Susceptibilitatea este maximă, odată cu  $\operatorname{tg} \alpha$ , la punctul de inflexiune al curbei de magnetizare și nulă la saturație.*

Considerînd acum relația

$$\mu = \mu_0 (1 + 4\pi\chi) \quad (268.5)$$

se vede imediat că permeabilitatea devine maximă odată cu susceptibilitatea.

Dar la saturație

$$\chi = 0 \quad \text{și rezultă că atunci} \quad \mu = \mu_0.$$

La saturație, permeabilitatea substanței devine egală cu a vidului.

*Prin urmare, odată saturată, substanța capătă permeabilitatea vidului și pierde calitățile magnetice.*

Să presupunem acum că, după ce am realizat condiția de saturație, readucem câmpul magnetizant înapoi la zero.

Experiența ne arată atunci că variația intensității de magnetizare nu mai urmează curba inițială, ci parcurge traseul  $ab$ , din fig. 239.

Prin urmare suprimarea câmpului nu a înlăturat cu totul orientarea dipolilor, fiindcă mai persistă încă o magnetizare remanentă, proporțională cu segmentul  $ob$ .

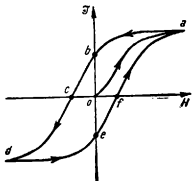


Fig. 239. Ciclu de histeresis  $J=f(H)$ .

Ca să anulăm această remanență, trebuie să inversăm cimpul magnetizant și să-i dăm o valoare proporțională cu segmentul *oc*.

Segmentul acesta reprezintă, ca mărime, așa numitul *cimp coercitiv* al substanței cercetate.

Continuînd, obținem succesiv traseele *cd*, pînă la o nouă saturație, apoi *de*, care ne duce iarăși la remanență și curba se închide, revenind la punctul de plecare *a*.

La feromagnetice magnetizarea parcurge un ciclu de histeresis, cu saturație, remanență și cimp coercitiv.

*Prin urmare magnetizarea substanțelor feromagnetice decurge după un ciclu de histeresis, pe care găsim o intensitate de saturație, o remanență și un cimp coercitiv caracteristice.*

Reamintim că asemenea fenomene le-am găsit și în electrostatică, la polarizarea substanțelor *seigneto-electrice* (§ 210).

Tangenta trigonometrică a unghiului de înclinație, în fiecare punct al curbei trasate, ne dă susceptibilitatea magnetică respectivă și ne permite apoi să calculăm permeabilitatea, din relația cunoscută (268.5).

După cum am văzut mai sus, această relație ne arată că, la saturație,

$$\mu = \mu_0 \text{ și rezultă că } B = \mu H = \mu_0 H.$$

În aceste condiții, odată realizată saturația, mărimile *B* și *H* variază simultan, cu cantități egale, dacă le exprimăm în unitățile CGS e.m. și sînt proporționale una cu alta, în sistemul MKSA.

De multe ori, în locul curbei de histeresis

$$J = \chi H \text{ se trasează curba } B = \mu H.$$

Această curbă este analogă cu precedenta, dar se deosebește prin aceea că, în regiunea de saturație, traseul nu mai este orizontal, ci înclinat (fig. 240).

Inclinarea depinde, evident, de scara la care am reprezentat mărimile, pe cele două axe de coordonate.

## Derivata

$$\mu = \frac{dB}{dH} = \operatorname{tg} \alpha$$

ne permite să calculăm permeabilitatea, într-un punct oarecare al curbei, tot așa cum am calculat susceptibilitatea.

În situația de față, segmentul *ob* reprezintă *inducția remanentă* și nu o intensitate de magnetizare remanentă.

**Saturația, remanența și cîmpul coercitiv sînt caracteristice substanțelor feromagnetice.**

*Fenomenele descrise nu se observă la substanțele para sau diamagnetice, așa că saturația, remanența și cîmpul coercitiv sînt caracteristice substanțelor feromagnetice.*

Am arătat mai sus că o altă caracteristică, pe care o impune dealtfel însăși existența curbei de histeresis, este că nici permeabilitatea, nici susceptibilitatea magnetică nu sînt constante, ci variază atît cu cîmpul, cît și cu valorile lui anterioare <sup>1)</sup>.

În primul rînd, aceste mărimi, cît și legea lor de variație cu cîmpul, depind de natura substanței feromagnetice.

Dar ele mai depind și de alți factori, cum ar fi, de pildă, tratamentele termice sau mecanice, dimensiunile geometrice ale probei, forma ei sau temperatura.

Despre aceste influențe ne vom ocupa mai tîrziu. Deocamdată vom considera numai fenomenul de primă magnetizare al unei bare foarte lungi, sau al unui toroid, într-un cîmp magnetic uniform, pe care-l putem obține înfășurîndu-le într-o spirală parcursă de un curent electric.

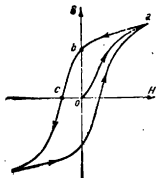


Fig. 240. Ciclu de histeresis  
 $B=f(H)$ .

<sup>1)</sup> Variația permeabilității fierului cu intensitatea cîmpului a fost descoperită în 1872 de fizicianul rus *Alexandru Grigorievici Stoletov* (1839—1896), fost profesor la Moscova, iar curba de histeresis a fost trasată, pentru prima dată, în 1881 de fizicianul german *Emil Warburg* (1846—1931), fost profesor la Berlin.

Figura 241 ne arată variația permeabilității și susceptibilității, în lungul curbei de primă magnetizare.

Maximele corespund cu punctul de inflexiune al acestei curbe, iar valorile asimptotice finale se referă la domeniul de saturație.

Se vede cum, în acest domeniu, susceptibilitatea tinde către zero, iar permeabilitatea către valoarea ei în vid, pe care, în sistemul CGS e.m., o luăm egală cu unitatea.

La o bară scurtă, acțiunea cîmpului demagnetizant, care devine sensibilă, se opune magnetizării și modifică forma curbei de histeresis.

Intensitatea de magnetizare la saturație rămîne, totuși, aceeași, dar saturația însăși, ca să poată fi atinsă, cere cîmpuri magnetizante din ce în ce mai intense, pe măsură ce bara se scurtează.

Tratamentele termice, pe care le-a suferit o substanță fero-magnetică, pot să aducă modificări importante ale curbei de histeresis.

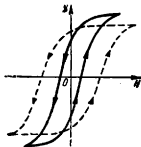


Fig. 242. Curba de histeresis înainte și după călirea oțelului.

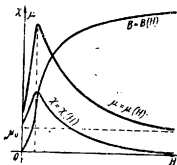


Fig. 241. Permeabilitatea și susceptibilitatea magnetică sînt maxime la punctul de inflexiune al curbei de primă magnetizare.

În fig. 242 am reprezentat această curbă, pentru o bară de oțel, înainte de călire (în trăsături pline) și după călire (în trăsături punctate).

Se constată o mică variație a inducției remanente, dar mai ales o creștere a cîmpului coercitiv.

Această creștere are importanță deosebită, la fabricarea magnetilor permanenți.

În adevăr, la un cîmp coercitiv prea mic, orientarea remanentă a dipolilor interni ar dispărea ușor, fie prin lovirea magnetului, fie prin acțiunea cîmpului demagnetizant.

Pe vremuri, magneții permanenți cei mai buni erau făcuți din mai multe fișii de oțel, magnetizate separat și apoi suprapuse, cu polii de același nume unul peste altul. Dar cîmpul coercitiv al oțelului călit este abia de ordinul a 50 Oe.

După 1920, *Honda*<sup>1)</sup> și *Saito*, studiind aliajele ternare de fier-nichel-aluminiu, au realizat oțeluri speciale, cu cîmpul coercitiv de peste 800 Oe.

În prezent se întrebuițează oțeluri cu cobalt și chiar cu platină, iar cîmpul coercitiv realizat e de ordinul a 3500 Oe, cu o remanență a inducției de peste 10 000 Gs.

În alte situații, avem interesul să dispunem de materiale feromagnetice cu permeabilitate cît mai mare.

Fierul electrolitic pur, topit în vid și supus unei rășcoaceri îndelungate, atinge permeabilitatea maximă relativă 19 000.

Dar dacă el conține 1% carbon, această permeabilitate scade la 350. În mașinile electrice, se folosește un fier cu 1,5% siliciu, a cărui permeabilitate maximă e de ordinul a 66 000, într-un cîmp de 0,1 Oe.

Prin 1923, inginerii americani *Arnold* și *Elmen* au descoperit un aliaj de fier și nichel ( $\text{FeNi}_2$ ), pe care l-au numit *permalloy*. El are permeabilitatea maximă relativă 90 000, într-un cîmp de 0,06 Oe.

Un alt aliaj ( $\text{Fe}_2\text{Ni}_2$ ), numit *hipernik*, atinge permeabilitatea 150 000, dacă e mai întii rășcopt la 1 000—1 200 °C, în atmosferă de hidrogen.

Recent, s-au putut realiza, prin tratamente termice speciale, permeabilități de ordinul a 800 000.

Asemenea materiale depășesc saturația, chiar în cîmpul magnetic al Pămîntului.

Pentru completare, tabela de mai jos ne dă, în unități CGS e.m., cîteva date experimentale.

Fier forjat			Fier electrolitic (rășcopt)		
$H(\text{Oe})$	$B(\text{Gs})$	$\mu$	$H(\text{Oe})$	$B(\text{Gs})$	$\mu$
2	3 200	1 600	0,25	2 200	8 800
4	9 000	2 250 (max)	0,50	7 500	14 600 (max)
5	10 000	2 000	1	10 240	10 240
105	17 000	161	10	15 500	1 150
666	20 000	30	100	18 050	180
			1 000	22 570	22,6

§ 288. **Efectul acțiunilor mecanice.** Nu se poate vorbi despre o curbă de histeresis, care să rămînă aceeași, în orice condiții am cerceta o substanță feromagnetică dată.

Am văzut că forma ei se modifică prin tratamentele termice: călire sau prealabilă încălzire la temperatură ridicată și apoi revenire la temperatura normală. Modificările observate se accentuează mai departe, dacă se repetă aceste operații.

<sup>1)</sup> *Kataro Honda* (n. în 1870), fizician japonez.



O acțiune analogă au și tratamentele mecanice : comprimare, tracțiune, ciocănire și așa mai departe.

Bunăoară, unele aliaje de fier cu nichel capătă, în urma unei întinderi peste limita de plasticitate, o curbă de histeresis aproape rectangulară (fig. 243).

De altă parte vibrațiile, cât și ciclurile repetate de tracțiune sau de torsiune, favorizează orientarea dipolilor, în câmpul cres-

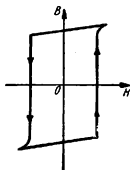


Fig. 243. Curbă de histeresis modificată prin efortul mecanic.

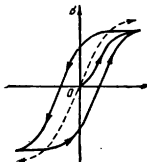


Fig. 244. Curba de histeresis magnetic și curba ideală anhisteretică.

cător și o desorganizează, suprimând remanența, în câmp descrescător.

Ca urmare, cele două ramuri ale curbei de histeresis tind să se apropie una de alta și, la limită, găsim o magnetizare ce decurge reversibil, după o curbă *anhisteretică*.

Această curbă am reprezentat-o punctat, în fig. 244 și nu trebuie să fie confundată cu curba de primă magnetizare.

Ea se mai numește încă și *curbă de magnetizare ideală*, iar ca să o trasăm trebuie să menținem fără întrerupere acțiunile mecanice amintite, în timpul variației câmpului.

Tot așa cum deformările mecanice modifică starea de magnetizare a unei substanțe feromagnetice, magnetizarea poate, la rândul ei, să dea naștere la deformări mecanice :

*Joule* a descoperit că o bară de fier, magnetizată longitudinal, într-un solenoid, suferă o mică alungire, ce crește odată cu câmpul, atinge un maximum și apoi începe să se scurteze, în câmpurile de intensitate mai mare.

Fenomenul se numește *magnetostricțiune*.

La o bară de nichel nu se observă această inversiune, ci numai o scurtare, ce tinde spre o valoare-limită, în câmpurile mai intense.

Odată cu lungimea, variază și grosimea barei, prin magnetostricțiune transversală.

Aceste fenomene nu apar la toate substanțele feromagnetice.

Prin magnetostricțiune cele mai multe substanțe feromagnetice își modifică dimensiunile geometrice.

De pildă, ele nu pot fi observate la permalloy.

Dacă aplicăm un câmp alternativ longitudinal, de aceeași frecvență ca și vibrațiile proprii ale unei bare de fier sau de nichel, putem realiza un regim de rezonanță și întreține aceste vibrații.

Procedeul are aplicații mai ales în tehnica ultrasunetelor.

§ 289. **Acțiunea demagnetizantă a câmpului alternativ.** Un câmp alternativ, în care s-ar găsi o substanță feromagnetică, îi orientează dipolii când într-un sens, când în sensul opus.



Fig. 245. Demagnetizarea în câmp alternativ descrescător.

Magnetizarea parcurge astfel câte un ciclu de histeresis, în cursul fiecărei perioade.

Dar dacă facem această operație într-un câmp alternativ descrescător, ciclurile parcurse vor fi din ce în ce mai mici, racordându-se așa cum arată fig. 245.

Procedeul poate servi la demagnetizarea unei substanțe, adică la suprimarea magnetizării remanente.

Pentru aceasta e destul să o introducem într-un solenoid, prin care trece un curent alternativ, în stare să producă un câmp de intensitate maximă superioară câmpului coercitiv, iar apoi să reducem cu încetul curentul acesta pînă la zero.

Metoda e aplicată de ceasornicari, la ceasurile magnetizate accidental.

Un câmp alternativ, de intensitate descrescătoare pînă la zero, suprapus peste câmpul continuu, înainte de ridicarea fiecărui punct al curbei de histeresis, are același efect ca și ciclurile de deformări mecanice.

Ca și ciclurile de deformări mecanice, un câmp alternativ descrescător aduce magnetizarea pe curba ideală.

În anumite condiții, putem astfel obține iarăși curba ideală reversibilă, din fig. 244<sup>1)</sup>.

§ 290. **Efectul variațiilor de temperatură.** Magnetizarea substanțelor feromagnetice variază cu temperatura, după legi destul de complicate, a căror interpretare teoretică mai lasă încă numeroase probleme deschise.

În cele ce urmează, ne vom restringe numai la cîteva fapte fundamentale.

Peste punctul Curie, o substanță feromagnetică devine paramagnetică.

*În primul rînd, se constată că însușirile tipic feromagnetice pot să existe numai sub anumită temperatură critică, numită punctul Curie feromagnetic.*

În grade centigrade, această temperatură este  $+771^{\circ}$  la fier,  $+358^{\circ}$  la nichel și  $+1100^{\circ}$  la cobalt.

Peste punctul Curie, substanța devine paramagnetică, adică nu mai are decît o mică susceptibilitate pozitivă și o permeabilitate ceva mai mare decît a vidului, dar foarte apropiată de dînsa.

Ea suferă aici și alte schimbări de proprietăți fizice. De pildă coeficientul de dilatare sau căldura specifică se modifică brusc.

Dar alte caractere și, în primul rînd, structura internă a rețelei cristaline nu se schimbă, prin dispariția caracterelor feromagnetice.

Coeficientul de magnetizare al fierului variază și înainte de punctul Curie, chiar în domeniul temperaturilor normale. Legea de variație depinde aici de intensitatea câmpului în care facem determinările.

1) Pînă la  $+771^{\circ}$  C, spunem că fierul e în starea  $\alpha$ . Studiile făcute cu ajutorul razelor X ne arată că rețeaua cristalină, după

<sup>1)</sup> Ștefan Procopiu și colaboratorii lui, cari au studiat experimental și teoretic aceste fenomene, au găsit că acțiunea câmpului alternativ, în cazul fierului, dispare la frecvențele mai mari de  $10^{11}$  Hz, unde substanța pierde caracterul feromagnetic, fiindcă orientarea dipolilor nu mai poate urmări aceste variații rapide.

care se ordonează atomii, are aici structura cubică *centrată*, așa cum se vede în fig. 246.

2) Între  $+771^{\circ}$  și  $+920^{\circ}$ , fierul se găsește în starea  $\beta$ . El este paramagnetic și coeficientul de magnetizare variază cu temperatura după relația cunoscută

$$\chi(T - \theta) = C. \quad (286.4)$$

În acest interval, rețeaua cristalină păstrează forma inițială.

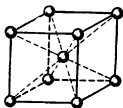


Fig. 246. Structura reticulară cristalină a fierului  $\alpha$ ,  $\beta$  și  $\delta$ .

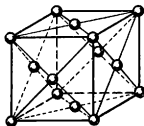


Fig. 247. Structura reticulară cristalină a fierului  $\gamma$ .

3) La  $920^{\circ}$  se produce o schimbare de formă a rețelei, care ia caracterul de cub centrat pe fețe (fig. 247).

Odată cu această schimbare, coeficientul de magnetizare scade brusc și devine aproape de zece ori mai mic, dar nu mai variază decât foarte puțin cu temperatura.

Fierul se găsește acum în starea  $\gamma$ .

4) Peste  $1395^{\circ}$ , rețeaua revine la forma de cub centrat, din fig. 246, iar coeficientul de magnetizare variază rapid cu temperatura.

Situația persistă pînă aproape de topire și reprezintă starea  $\delta$ .

Nichelul, sub  $+358^{\circ}$  este în starea  $\alpha$ . Pe urmă trece în starea  $\beta$ , devine paramagnetic și coeficientul de magnetizare variază, într-un interval destul de larg de temperatură, după relația (286.4).

Aici nu se mai observă complexitatea fenomenelor de la fier.

Existența punctului Curie feromagnetic poate fi arătată calitativ prin următoarea experiență simplă:

Un fir de nichel, cu ochi la unul din capete, șade atârnat de un suport (fig. 248).

Un magnet îl deviază din poziția verticală, dar nu trebuie să-l atingă.

Dacă încălzim firul în flacără, el se demagnetizează, cînd ajunge la punctul Curie și revine la verticală.

După ce se răcește, magnetul îl atrage din nou.

Aliajele metalelor feromagnetice, cu cele para sau diamagnetice se comportă ca substanțe feromagnetice, iar punctul Curie scade liniar cu titlul atomic, definit prin numărul de atomi străini, la suta de atomi feromagnetici.

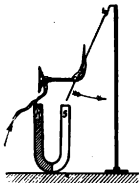


Fig. 248. Firul înroșit nu mai este atras de magnet.

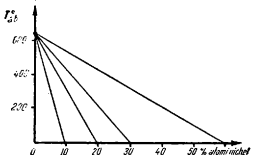


Fig. 249. Punctul Curie feromagnetic scade liniar cu titlul atomic al substanței străine adăugate.

Într-o lucrare din 1936, Victor Marian<sup>1)</sup> a urmărit sistematic această variație, în paralel cu alte însușiri caracteristice.

Figura 249 înfățișează o parte din rezultatele obținute de dînsul, pentru diferite aliaje de nichel.

Ea cuprinde, în abscisă, titlurile atomice, iar în ordonată punctele Curie corespunzătoare, în grade absolute.

Aceste curbe ne permit să preparăm aliaje, care să-și piardă calitățile feromagnetice la orice temperatură am dori, între 631° și 0°K.

Astfel de aliaje pot să aducă servicii practice, de pildă în construcția releelor electromagnetice, care să controleze anumite regimuri de temperatură, în etuve, răcitoare, avertizoare de incendiu, calorifere, și așa mai departe.

§ 291. Magnetizarea păturilor subțiri. Diferite concepții teoretice, dezvoltate în ultimele decenii, cit și unele fapte experimentale au dus la concluzia că, la suprafața unui metal masiv, trebuie să existe o pătură foarte subțire, cu proprietăți fizice diferite de ale metalului, de pildă cu altă conductibilitate electrică.

<sup>1)</sup> Profesor de fizică la Universitatea din Cluj.

Ștefan Procopiu a izbutit să extindă această concepție în magnetism.

Din rezultatele obținute de dînsul și de colaboratorii lui, reiese că, la suprafața fierului, există o pătură, groasă de cîtiva milimicroni, care nu mai are proprietăți magnetice.

Permeabilitatea acestei pături ar fi deci egală cu a vidului.

Totodată, el a mai constatat, prin determinări în care folosește o metodă specială, că, între grosimiile de 3,2 și  $0,02\mu$ , cîmpul coercitiv al păturilor de fier depuse electrolitic devine din ce în ce mai mare, pe măsură ce pătura e mai subțire.

Între limitele arătate, creșterea este de la 20 Oe, la 400 Oe.

De altă parte Alexandru Cișman<sup>1)</sup> cercetînd un număr foarte mare de pături feromagnetice, depuse tot electrolitic, a constatat că grosimea lor, la intensitate de curent constantă, nu variază liniar, în funcție de timp.

Curba reprezentativă din fig. 250 cuprinde, în abscisă, grosimea  $d$  a păturii și în ordonată timpul depunerii.

Această curbă, ale cărei date au fost obținute prin cîntărire directă, cu o balanță sensibilă la miimea de miligram, arată o serie de paliere, în dreptul grosimilor care sînt multiplu întreg de  $0,08\mu$  (la nichel).

În dreptul lor, depunerea metalului sistează, iar curentul e transportat numai prin ioni de hidrogen.

Toate păturile depuse au fost apoi cercetate, din punct de vedere magnetic și, în aceeași figură, am reprezentat variația cîmpului coercitiv, în funcție de grosime.

În linii mari, se observă caracterul exponențial, semnalat de Procopiu, dar, totodată, apar variații bruste, în dreptul palierelor menționate mai sus.

Aceasta înseamnă că, sub grosimile mici, substanțele feromagnetice

se organizează în pături elementare, stabile și suprapuse, cu trecere discontinuă de la una la alta.

Dizolvarea metalului depus, în apă ușor acidulată, trece prin aceleași paliere, în sens invers, ceea ce dovedește că, după depunere, păturile suprapuse rămîn individualizate și nu se contopesc în una singură.

Alte cercetări, bazate pe măsurări de precizie ale forței electromotoare, în timpul depunerii, au confirmat aceste rezultate și au permis, totodată, evidențierea unor sub-pături la care grosimea este multiplu întreg de  $0,04\mu$ .

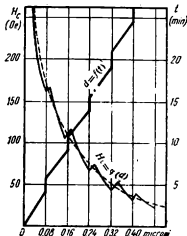


Fig. 250. Stratificarea păturilor feromagnetice foarte subțiri, depuse electrolitic.

<sup>1)</sup> În colaborare cu P. Lamoth și Aurica Munteanu.

Aceleași fenomene se repetă la fier și la cobalt, bineînțeles cu alte grosimi ale păturilor elementare.

Dar asemenea suprapunere de mai multe pături nu a putut fi găsită la metalele diamagnetice: cupru sau argint.

Rezultatele au mai fost verificate și prin alte metode, asupra cărora nu este cazul să insităm aici.

Este de asemenea interesant să menționăm că *Maurain*<sup>1)</sup>, cercetind magnetizarea păturilor de nichel, depuse prin electroliză într-un cîmp magnetic, a găsit că ele au curba de histeresis aproape dreptunghiulară, indică de forma reprezentată în fig. 243.

Inseamnă că, prin acțiunea cîmpului, particulele dipolare se depun gata orientate.

Cîmpul coercitiv devine astfel anormal de mare, fiindcă e greu să mai fie deviate din această direcție preferențială.

§ 292. **Magnetizarea spontană.** Am văzut că momentele magnetice ale atomilor nu se datoresc numai curenților de convecție, proveniți din mișcarea electronilor sateliți, pe orbitele respective.

Acești electroni mai au și o mișcare de rotație în jurul axei proprii, care constituie *spinul*, iar această mișcare de asemenea transportă electricitate și dă naștere unui curent circular.

**Spinul electronic transportă electricitate și are un moment magnetic propriu.**

*Ca și transportul de pe orbită, spinul electronic trebuie deci să aibă un moment magnetic propriu.*

Considerînd, ca exemplu, situația simplă din fig. 251, a, în care doi electroni sateliți, cu axe paralele, au sensuri de rotație contrarii ale spinilor, este evident că momentul magnetic rezultat nu poate fi decît nul.

În cazul acesta, substanța respectivă se comportă dia sau paramagnetic, după cum ceilalți curenți circulari, proveniți din rotația pe orbite, duc la momentul magnetic zero, sau diferit de zero al atomului.

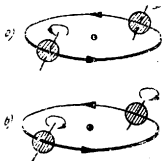


Fig. 251. Spinii electronici pot să ducă împreună la un moment magnetic nul sau diferit de zero.

<sup>1)</sup> *Charles Maurain* (n. în 1871), fizician francez.

Se poate întâmpla însă ca, în alte situații, spinii electronilor considerați să aibă același sens de rotație (fig. 251, b).

Momentul magnetic rezultat este atunci diferit de zero și substanța respectivă se comportă feromagnetic.

Para sau diamagnetismul sînt legate de momentele orbitale. Feromagnetismul este legat de spinii electronici.

*Prin urmare para sau diamagnetismul sînt legate de momentele magnetice orbitale. Feromagnetismul se datorește momentului spinilor.*

Aceasta este concepția de bază, în teoriile actuale despre magnetism.

Substanțele feromagnetice se organizează pe domenii, magnetizate spontan la saturație,

*Experimental putem constata că o substanță feromagnetică este împărțită în porțiuni restrinse, magnetizate spontan, la saturație,*

care se numesc *domeniile lui Weiss*<sup>1)</sup>.

În cuprinsul unui singur domeniu, toți dipolii sînt orientați în același sens, așa cum arată fig. 252.

Faptul că, totuși, substanța pare nemagnetizată se datorește repartiției pur statistice a sensurilor de magnetizare ale domeniilor diferite.

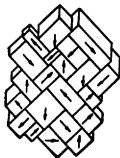


Fig. 252. Domeniile lui Weiss.

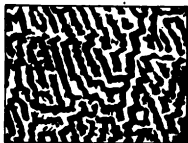


Fig. 253. Figuri Bitter-Akulov mărite de 400 de ori (după un clișeu original).

<sup>1)</sup> Pierre Weiss (n. în 1865), fizician francez, profesor la Strasbourg.



Această magnetizare spontană a fost explicată teoretic de *Frenkel*<sup>1)</sup>, cu ajutorul mecanicii cuantice, dar nu putem intra în amănunte, fiindcă dezvoltarea depășește nivelul cărții de față.

Domeniile lui Weiss pot fi evidențiate, punând pe suprafața, șlefuită plan, a substanței ferromagnetice, o picătură de alcool, care conține o suspensie fină de magnetită pulverizată, așa cum au arătat independent *Hitter* și *Akulov*, în 1932.

Praful magnetic se dispune atunci așa cum arată fig. 253.

Metoda este folosită curent, în metalografie.

Să presupunem acum că, asupra substanței, acționează un câmp magnetic, al cărui sens coincide cu orientarea dipolilor, în unul din domenii.

Acest domeniu înghite atunci rînd-pe-rînd pe toate celelalte și în fiecare din ele dipolii sufăr o răsturnare de ansamblu.

Cînd procesul s-a terminat, întregul volum al substanței devine un singur domeniu, cu toți dipolii orientați în sensul câmpului magnetic.

Domeniile se răstoarnă pe rînd, așa că procesul magnetizării decurge prin salturi succesive.

*Variația intensității de magnetizare decurge însă prin salturi, fiindcă diversele domenii contaminate se răstoarnă individual și succesiv.*

Aceasta înseamnă că structura fină a curbei de histerezis are, în realitate, forma dințată, reprezentată foarte exagerat în fig. 254.

În 1919, *Barkhausen*<sup>2)</sup> a descoperit că răsturnarea bruscă a dipolilor, prin orientarea succesivă a domeniilor, într-un câmp magnetic de intensitate crescătoare, ca și revenirea lor la dezordinea statistică inițială, induce impulsuri succesive de curent, într-o bobină înfășurată pe o sîrmă de fier sau de nichel (fig. 255).

Aceste impulsuri pot fi evidențiate ușor, dacă apropiem sau depărtăm un magnet și legăm capetele bobinei la intrarea unui amplificator cu tuburi electronice.

<sup>1)</sup> *I. J. Frenkel* (n. în 1894), fizician sovietic, profesor la Leningrad.

<sup>2)</sup> *Heinrich Barkhausen* (1881—1956), fizician german, fost profesor la Politehnica din Dresda.

Se aude atunci, în casă sau în difuzor, un zgomot caracteristic, pe care l-am putea compara cu acela ce însoțește ruperea unei foi de hirtie sau descărcarea unei căruțe de pietriș.

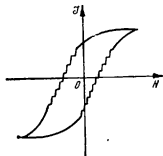


Fig. 254. Structura fină a curbei de histeresis.

permite să asistăm la desfășurarea intimă a procesului magnetic, în interiorul substanței<sup>1)</sup>.

Când variația intensității cimpului magnetizant este foarte lentă, putem izola impulsurile de curent ca pocnituri separate și aprecia numărul sau ordinul de mărime al domeniilor ce se răstoarnă.

De asemenea putem aprecia durata răsturnării unui singur domeniu, care este de ordinul a  $10^{-7}$ s.

Magnetizarea spontană dispare, odată cu domeniile lui Weiss și cu efectul Barkhausen, când substanța e încălzită peste punctul Curie feromagnetic.

Mai rămîne, pentru completarea capitolului:

1) Să calculăm energia implicată în parcurgerea unui ciclu de histeresis.

2) Să calculăm valoarea momentelor magnetice ale atomului și spinului electronic.

Răspunsul la prima întrebare îl vom da în capitolul următor, iar de cealaltă problemă ne vom ocupa la timpul ei, în cadrul structurii atomului.

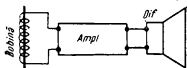


Fig. 255. Schema de principiu pentru cercetarea efectului Barkhausen.

Fenomenul este cunoscut sub numele de *efectul Barkhausen* și are o importanță deosebită, fiindcă e singurul care ne

<sup>1)</sup> În domeniul efectului Barkhausen, cercetări îndelungate au fost făcute de Ștefan Procopiu și de Alexandru Cișman, singuri sau cu colaboratorii respectivi.

## CAPITOLUL XXXIX

### INDUCȚIA ELECTROMAGNETICĂ

§ 293. **Fenomene fundamentale.** Să presupunem că o bară metalică  $AB$  se mișcă după o direcție perpendiculară pe lungimea ei (fig. 256).

Un câmp magnetic  $H$  acționează perpendicular atât pe bară, cât și pe direcția vitezei  $v$ .

Mișcarea barei antrenează cu dinsa electronii liberi din metal, iar dacă ținem seamă că sarcinile transportate sînt negative și le totalizăm, rezultă că apare un curent de convecție, în sens opus vitezei și de intensitate  $i_c$ .

După regula mîinii stîngi, acest curent va fi deviat în sensul forței  $F$ , care tinde să îngrămădească purtătorii de sarcini, adică electronii liberi, spre capătul  $B$  al barei metalice.

*Între cele două capete opuse, va trebui deci să apară o diferență de potențial.*

Dacă bara, în mișcarea ei, ar aluneca pe cadrul conductor, figurat în trăsături punctate, această diferență de potențial ar acționa ca forță electromotoare și circuitul ar fi parcurs de un curent electric, sub intensitatea  $i$ .

În tot cazul, mișcarea barei, într-un sens ori în altul, modifică, mai repede sau mai încet, suprafața circuitului închis, adică, implicit, fluxul magnetic  $\varphi$  și fluxul de inducție  $\Phi$ , care o străbat.

Iar dacă cercetăm experimental fenomenul, din punctul de vedere cantitativ, constatăm că forța electromotoare apărută este

$$e = -\mu \frac{\varphi_1 - \varphi_2}{t_1 - t_2} = -\frac{\Phi_1 - \Phi_2}{t_1 - t_2}$$

cu condiția ca variațiile fluxului să decurgă liniar, în funcție de timp, la permeabilitate constantă.

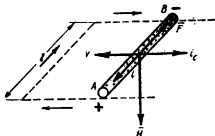


Fig. 256. Mecanismul de apariție a forței electromotoare induse.

În cazul general, pentru orice fel de variații, liniare sau neliniare, aceeași relație se va scrie sub forma

$$e = -\mu \frac{d\varphi}{dt} = -\frac{d\Phi}{dt} \quad (293.1)$$

Această forță electromotoare, cât și curentul pe care-l întreține în circuit, se datoresc, așadar, variației în timp a fluxului de inducție magnetică și de aceea o numim *forță electromotoare indusă*.

Derivata cu semn schimbat a fluxului de inducție, în raport cu timpul, ne dă forța electromotoare indusă.

*Relația obținută exprimă legea lui Faraday și ne spune că derivata cu semn schimbat a fluxului de inducție, în raport cu timpul, ne dă forța electromotoare indusă.*

Dar derivata reprezintă, numeric, tangenta unghiului de înclinație al curbei reprezentative.

*Prin urmare, forța electromotoare indusă va fi cu atât mai mare, cu cât fluxul de inducție variază mai repede în timp.*

*Ea nu poate fi decît nulă, cînd fluxul este constant.*

Este important de observat că, din relația (293.1), i.e.m. de inducție poate fi calculată și fără ajutorul variației de flux magnetic, de-a dreptul din variația fluxului de inducție, raportată la variația timpului.

În adevăr, dacă ne referim la fig. 256, forța deviatoare  $F$ , care împinge electronii spre capătul barei, are, după a doua formulă a lui Laplace, intensitatea

$$F = li_c \mu H = li_c B \quad (276.1)$$

în care  $l$  este lungimea barei mobile.

Această forță depinde, prin urmare, de permeabilitatea mediului și astfel e legată de inducția  $B$ .

Din relația fundamentală (293.1), este ușor să calculăm forța electromotoare, indusă în circuitul deformabil:

Dacă bara, de lungime  $l$ , se mișcă cu viteza  $v$ , ea parcurge, în timpul  $dt$ , spațiul  $v dt$  și suprafața circuitului variază cu

$$dS = lv dt.$$

Variația corespunzătoare a fluxului de inducție va fi deci

$$d\Phi = Blv dt.$$

Prin urmare, forța electromotoare indusă este

$$e = - \frac{d\Phi}{dt} = -Blv. \quad (293.2)$$

*Intr-un cîmp de inducție dat, care acționează perpendicular pe suprafața circuitului deformabil, apare deci o forță electromotoare indusă, proporțională cu lungimea laturii mobile și cu viteza ei de deplasare.*

Un fenomen analog se petrece într-un sistem construit ca o roată Barlow (§ 276).

Am văzut că discul metalic, străbătut normal de liniile de forță ale unui cîmp de inducție, capătă o mișcare de rotație, cînd un curent electric îl parcurge radial.

Dar funcționarea sistemului este reversibilă și rotația discului produce, la rîndul ei, un curent electric radial.

Acest curent se datorește unei forțe electromotoare induse, pe care o putem calcula în felul următor:

Discul în rotație antrenează electronii liberi din metal și dă naștere la curenți de convecție circulari, cu sensul convențional invers acestei mișcări (fig. 257).

După regula minii stingi, cîmpul acționează asupra lor și, în cazul din figură, electronii vor fi împinși către axul discului.

Între ax și periferie, apare astfel o forță electromotoare indusă, capabilă să întrețină un curent electric, în sensul săgeților, prin circuitul  $baOb$ .

Dacă unghiul parcurs de o rază vectorială  $r$ , în timpul  $dt$ , este  $d\alpha$ , arcu de cerc respectiv are lungimea

$$dl = r d\alpha$$

și suprafața măturată va fi

$$dS = \frac{1}{2} r^2 d\alpha.$$

Vom avea deci, ca și la circuitul deformabil,

$$e = - \frac{d\Phi}{dt} = - \frac{B dS}{dt}$$

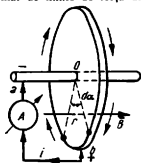


Fig. 257. Rotația discului în cîmp dă naștere la curenți de inducție.

și făcînd înlocuirea găsim că

$$e = -\frac{1}{2} Br^2 \omega \quad (293.3)$$

unde  $\omega$  reprezintă viteza unghiulară.

Sistemul descris e cunoscut sub numele de *discul lui Faraday* și pe acest principiu se construiesc generatori electrici, așa zîși *unipolari*, în care forța electromotoare produsă e numai de ordinul zecilor de volți, în cîmpurile intense și la viteze de rotație foarte mari.

Dar discul, făcut din cupru, are o rezistență ohmică foarte mică și, de aceea intensitatea curentului poate să atingă zeci de mii de amperi.

Asemenea mașini, deosebit de simple și de robuste, au aplicații practice acolo unde se cer intensități mari de curent, bunăoară în industria metalurgică, la separarea și rafinarea metalelor prin electroliză.

Se știe că fluxul de inducție, printr-o suprafață  $S$  și sub unghiul de incidență  $\alpha$ , măsurat între direcția liniilor de forță și normala pe acea suprafață, se exprimă prin relația

$$\Phi = \mu HS \cos \alpha.$$

Il putem deci varia modificînd pe oricare din factorii ce intră în definiția lui.

**Curentul indus durează numai atîta vreme cît variază fluxul de inducție.**

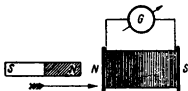
*curent nu durează decît atîta vreme cît și variația însăși.*

*In oricare circuit, închis și supus unei astfel de variații, va lua naștere un curent indus, dar acest*

În exemplele date mai înainte, am considerat numai cazul în care se modifică suprafața circuitului.

Vom cita mai jos altele, în care variază ceilalți factori:

1) Într-o bobină de sîrmă, ale cărei capete sînt legate la un galvanometru, introducem o bară magnetică (fig. 258).



Cîtă vreme magnetul înaintează în bobină, galvanometrul arată că trece un curent de inducție.

Acest curent încetează, cînd mișcarea magnetului s-a oprit și se inversează cînd îl scoatem din bobină.

Aceeași inversare se observă dacă, în loc să introducem polul nord, am introduce polul sud.

2) În locul magnetului, putem introduce în bobină un solenoid, prin care trece un curent electric.

Fig. 258. Apropierea sau depărtarea magnetului induce curenți în bobină.

De asemenea putem înfășura două bobine, una peste alta (fig. 259). Prima este parcursă de un curent și constituie inductorul, iar cealaltă este legată la galvanometru și reprezintă *indusul*.

Cîtă vreme intensitatea curentului din inductor este constantă, nu apare curent de inducție.

Dar el apare dacă această intensitate crește sau scade, inversindu-și semnul, cînd creșterea devine scădere.

În exemplele de mai sus, factorul care variază este  $H$ .

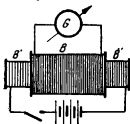


Fig. 259. Bobina  $B'$  induce curenți în bobina  $B$ .

3) Trecînd un curent constant, prin bobina inductoare din fig. 259, putem, totuși, produce un curent de inducție, dacă introducem într-însa o bară de fier nemagnetizată.

Variația de flux este atunci o consecință a schimbării de permeabilitate, în interiorul bobinelor.

4) O bobină se rotește, în jurul unei axe cuprinsă în planul ei și perpendiculară pe liniile de forță ale unui cîmp magnetic, așa cum arată fig. 260.

Aceasta poate fi, eventual, cîmpul magnetic al Pămîntului.

Schimbarea unghiului de incidență modifică fluxul de inducție și-l inversează de două ori, în timpul fiecărei rotații.

Acul galvanometrului deviază atunci cînd într-un sens, cînd în altul.

La circuitele închise, forța electromotoare indusă se repartizează de obicei pe toată lungimea lor.

Între două puncte date, ci se repartizează pe tot circuitul.

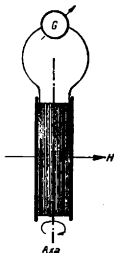


Fig. 260. Inducția într-o bobină care se rotește pe o axă perpendiculară pe direcția cîmpului.

*În toate aceste experiențe constatăm prezența unui curent de inducție, deci a unei forțe electromotoare indusă, care nu apare în-*

Inducția electromagnetică a fost descoperită de Faraday, în 1831.

Ea ilustrează reciprocitatea între două serii de fenomene și anume :

a) Acțiunea unui câmp magnetic deviază sau rotește un circuit, parcurs de curentul electric.

**Acțiunile electromagnetice și fenomenele de inducție arată transformarea reciprocă a energiei mecanice în electromagnetică.**

Energia electromagnetică se transformă atunci în energie mecanică.

dă naștere unui curent electric.

b) Acțiunea prin care mișcăm un circuit, într-un câmp magnetic,

Energia mecanică, astfel absorbită, se transformă deci în energie electromagnetică.

Un exemplu de transformare în ambele sensuri ni-l dau roata lui Barlow și discul lui Faraday.

Prima se învîrte, cînd e parcursă de curentul electric și străbătuță normal de câmpul magnetic.

La rîndul lui, discul metalic produce un curent electric, dacă-l rotim în câmpul magnetic.

§ 294. **Sensul curenților induși.** Să presupunem că, prin închiderea unui întrerupător, facem să treacă un curent electric prin circuitul  $A$ , în sensul săgeților (fig. 261).

Se naște astfel un câmp magnetic, orientat după regula observatorului lui Ampère și acest câmp crește, de la zero, pînă la valoarea maximă de stabilizare.

Iar dacă în fața circuitului  $A$  se găsește un al doilea circuit  $B$ , variația de flux inductor va da naștere, în lungul lui, la o forță electromotoare indusă și la un curent electric.

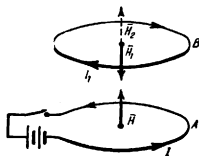


Fig. 261. Pentru ilustrarea legii lui Lenz.

Curentul acesta durează cît și variația de flux dar, la rîndul lui, produce un câmp magnetic.



La variația de flux inductor, indusul răspunde cu alt flux variabil.

*Prin urmare, la fluxul variabil produs de circuitul A, circuitul B răspunde cu alt flux variabil.*

Prin cercetări experimentale, fizicianul rus *H. F. Lenz* a stabilit următoarea lege calitativă :

Fluxul indusului se opune variației de flux inductor.

*Curentul de inducție are sensul pentru care fluxul indusului tinde să se opună variațiilor fluxului trimis în el de circuitul inductor sau de orice câmp de inducție.*

Aplicând această lege la situația din figură și ținând seamă de regula observatorului lui *Ampère*, găsim că circuitul *B* este parcurs de curentul crescător  $I_1$ , care dă naștere câmpului crescător  $H_1$ .

Dacă, din contra, câmpul produs de *A* ar începe să descrească, circuitul *B* ar produce câmpul crescător  $H_2$ , prin inversarea curentului de inducție, adică s-ar opune acestei scăderi.

Dar indusul, parcurs de curenți variabili, va trebui să inducă, la rîndul lui, curenți în inductor.

Printr-o acțiune reciprocă, indusul se opune variației curentului din inductor.

*Este ușor de văzut cum, prin această acțiune reciprocă, indusul tinde să se opună oricărei variații a curentului din inductor.*

Legea lui *Lenz* apare astfel ca o consecință a principiului de conservare a energiei :

În adevăr, dacă acțiunea de opunere ar face loc alteia, de favorizare, o cît de slabă creștere a curentului, în oricare din circuite, s-ar amplifica la nesfîrșit și ar duce la curenți de intensitate infinită.

Mai menționăm că semnul — (minus), din relația (293.1), este tot o consecință a legii lui *Lenz*.

Rămîne să vedem cum această lege se aplică la circuitele de suprafață variabilă, sau de orientare variabilă, într-un câmp de inducție constant.

Revenind la o situație cunoscută, vom considera iarăși cazul circuitului deformabil, în care o bară metalică se deplasează pe un cadru, în câmpul  $H$  (fig. 262).

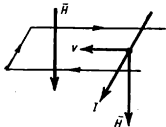


Fig. 262. Curentul indus într-un circuit deformabil.

Dacă suprafața circuitului scade, fluxul inductor devine mai mic și acțiunea de opunere va trebui să creeze un câmp magnetic, de același semn cu  $H$ .

După regula lui Ampère, circuitul va fi parcurs de un curent indus, cu sensul arătat de săgeți și regăsim astfel situația din fig. 256.

Contrarul s-ar întâmpla dacă bara, inversându-și sensul mișcării, am avea o creștere a suprafeții circuitului.

În practică, este mai comod să căutăm sensul curentului de inducție cu așa zisa *regulă a mînii drepte*, ale cărei degete ar fi desfăcute, ca niște axe de coordonate.

**Sensul curentului de inducție urmează regula mînii drepte.**

*în sensul deplasării conductorului.*

*El este acela în care se îndreaptă degetul mijlociu, cînd arătătorul este îndreptat în sensul cîmpului magnetic, iar degetul gros*

Ca să aflăm sensul deplasării unui conductor, parcurs de un curent electric, sub acțiunea unui câmp magnetic, am aplicat aceeași regulă, însă transpusă la mina stîngă.

Fiecare din cele două situații ne apare deci ca imaginea în oglindă a celeilalte.

**§ 295. Energia curentului de inducție.** Dacă  $i$  este intensitatea curentului de inducție dintr-un circuit, relația fundamentală

$$e = - \frac{d\Phi}{dt} \quad (293.1)$$

ne dă, printr-o transformare simplă,

$$ei \, dt = - \frac{d\Phi}{dt} i \, dt.$$

Aici, membrul întâi, unde găsim produsul dintre cantitatea de electricitate transportată  $i dt$  și forța electromotoare indusă, reprezintă energia debitată pe circuit, în timpul  $dt$ .

Considerînd-o, convențional, ca pozitivă, vom putea scrie deci că

$$dW = i d\Phi \quad (295.1)$$

Produsul între intensitatea curentului și variația fluxului de inducție reprezintă energia debitată.

Prin urmare produsul dintre intensitatea curentului de inducție și variația de flux inductor exprimă energia debitată în circuit.

Această energie provine din acțiunea forțelor electromagnetice.

*Regula fluxului maximum.* Să considerăm un circuit, al cărui plan este orientat paralel cu liniile de forță, într-un câmp de inducție magnetică.

Acest circuit este parcurs de un curent electric, în sensul săgeților (fig. 263, a).

În asemenea situație, sistemul are o energie potențială electromagnetică fiindcă, dacă e liber să se miște, circuitul se întoarce perpendicular pe liniile de forță, ca să ia poziția din figura 263, b.

În această poziție, sistemul ajunge la echilibrul stabil, așadar la energia potențială minimă.

Restul de energie s-a consumat în transportul de electricitate, prin curentul de inducție datorit variației de flux.

Observînd că sensul rotației, dictat de regula mîinii stîngi, aduce planul circuitului cu fața *sud* la intrarea liniilor de forță ale câmpului de inducție, putem enunța regula următoare :

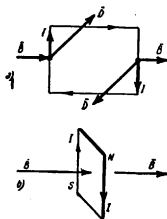


Fig. 263. Circuitul tinde să-și orienteze planul perpendicular pe direcția câmpului, după legea fluxului maxim.

După rotația circuitului, fluxul de inducție care intră prin fața sud ajunge la maximum, iar energia potențială la minimum.

*Rotația unui circuit, parcurs de un curent electric, decurge în sensul pentru care fluxul de inducție ce intră prin fața sud ajunge la maximum permis de legături.*

Această regulă a fluxului maximum a fost enunțată de *Maxwell*.

Iată și câteva experiențe prin care poate fi evidențiată:

1) O bobină circulară e suspendată vertical și înconjură polul nord al unui electromagnet (fig. 264).

Trecem apoi, prin bobină și prin circuitul electromagnetului curent care să circule în sensuri contrarii.

Experiența ne arată că, în această situație, bobina este aruncată afară, apoi se întoarce de  $180^\circ$  și este atrasă înapoi, fiindcă atunci fluxul intră prin fața sud.

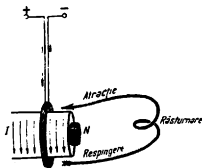


Fig. 264. Electromagnetul aruncă afară bobina, o întoarce și apoi o trage înapoi.

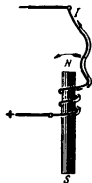


Fig. 265. Firul parcurs de curent se înfășoară pe magnet.

2) Un mănunchi de fire metalice, moi și răsucite unul pe altul, atârână liber, în apropierea unei bare magnetice verticale (fig. 265).

Dacă trecem prin aceste fire un curent electric, ele se răsucesc pe magnet și formează o spirală, în care fluxul intră pe la capătul sud.

Intensitatea curentului trebuie să fie destul de mare și o putem obține, timp de câteva fracțiuni de secundă, legând mănunchiul de fire în scurtcircuit, pe un acumulator.

§ 296. **Energia de magnetizare.** Să considerăm o bobină, cu  $n$  spire pe centimetru și de lungime  $l$ , pe care am legat-o la bornele unui generator de curent, cu forța electromotoare  $E$ .

Această bobină este înfășurată pe un fier toroidal, ca în fig. 226.

Inducția magnetică în fier fiind  $B$ , fluxul de inducție care străbate suprafața totală a spirelor bobinei va fi

$$\Phi = n l S B. \quad (I)$$

Dacă  $B$  variază, rezultă în acest bobinaj o forță electromotoare indusă, care se adaugă algebric la forța electromotoare a generatorului.

Conform legii lui Ohm, vom avea deci

$$E - \frac{d\Phi}{dt} = R I$$

unde  $R$  și  $I$  reprezintă rezistența circuitului și intensitatea curentului.

Iar dacă ținem seamă de relația (I), de mai sus,

$$E = R I + n l S \frac{dB}{dt}.$$

Inmulțind ambii membri cu  $I dt$  și integrând, în timpul  $t$ , avem

$$\int_0^t E I dt = \int_0^t R I^2 dt + n l S \int_0^B I dB. \quad (II)$$

Dar

$$H = 4\pi n I, \text{ deci } I = \frac{H}{4\pi n}$$

și  $l S = V$  reprezintă volumul fierului.

Relația (II) devine astfel

$$\int_0^t E I dt = \int_0^t R I^2 dt + \frac{V}{4\pi} \int H dB$$

sau

$$E I t = R I^2 t + \frac{V}{4\pi} \int H dB.$$

În această relație :

1) Primul membru exprimă energia debitată de generatorul electric, singura pe care o primește sistemul.

2) Primul termen din membrul al doilea reprezintă energia transformată în căldură, prin efectul Joule-Lenz, în circuitul parcurs de curent.

3) Al doilea termen se referă la energia implicată în variația magnetizării fierului, între două limite date.

Dacă această magnetizare a parcurs un ciclu întreg de histeresis, energia respectivă este

$$W = \frac{V}{4\pi} \oint H dB \quad (296.1)$$

și va fi de  $N$  ori mai mare, pentru  $N$  cicluri, ce ar putea fi parcurse într-o secundă, sau într-un timp oarecare.

Ea se transformă în căldură, fiindcă răsturnarea dipolilor întîmpină o frecare internă.

Pierderea prin histeresis este proporțională cu suprafața și cu numărul de cicluri parcurse.

*Sub un volum dat, magnetizarea în ciclu consumă deci o energie proporțională cu suprafața și cu numărul ciclurilor parcurse.*

Aceasta înseamnă că substanța feromagnetică se va încălzi cu atît mai repede, cu cît frecvența de inversare a cîmpului va fi mai mare.

Calculul direct al integralei din (296.1) este imposibil, fiindcă nu cunoaștem expresia matematică a legăturii dintre inducție și cîmp.

O putem afla însă măsurînd suprafața ciclului, trasat experimental.

De asemenea putem recurge la o formulă empirică a lui *Steinmetz*<sup>1)</sup> :

$$W = \eta V B^{1.6} \quad (296.2)$$

<sup>1)</sup> *Hermann Steinmetz* (1865—1924), inginer american de origină germană.

În care  $\eta$  este un coeficient numeric, a cărui valoare depinde de natura și de calitățile magnetice ale substanței.

De pildă: la fierul electrolitic	$\eta = 0,0003$
la fierul ordinar	0,001
la oțelul cu 1% carbon	0,01
la oțelul călit	0,03
la fierul cu siliciu	0,0001—0,001

Din cauza pierderilor mici prin histeresis, fierul silicios este materialul preferat, în construcția mașinilor electrice.

Dacă, în locul substanței feromagnetice, am avea una paramagnetică, permeabilitatea este constantă și putem scrie că energia de magnetizare, de la cîmpul  $O$ , la cîmpul  $H$ , este

$$W = \frac{V}{4\pi} \int_0^B H dB = \mu \frac{V}{4\pi} \int_0^H H dH = \mu \frac{V}{4\pi} \cdot \frac{H^2}{2}$$

și rezultă că magnetizarea unității de volum implică energia

$$\boxed{\frac{W}{V} = \mu \frac{H^2}{8\pi}} \quad (296.3)$$

Cu singura deosebire că, în locul cîmpului electric apare cîmpul magnetic, relația de față este asemănătoare cu (220.3), prin care am exprimat densitatea de energie într-un dielectric.

*Cantitatea de electricitate indusă.* Printr-un circuit de rezistență  $R$ , forța electromotoare indusă face să treacă un curent electric de intensitatea

$$I = \frac{E}{R} = - \frac{d\Phi/dt}{R}$$

și transportă cantitatea de electricitate

$$dQ = Idt.$$

Aceste două relații ne duc împreună la expresia

$$Idt = dQ = - \frac{d\Phi}{R}$$

și prin integrare găsim că

$$Q = - \frac{1}{R} \int_{\Phi_1}^{\Phi_2} d\Phi = - \frac{\Phi_1 - \Phi_2}{R}. \quad (296.4)$$

Forța electromotoare indusă, cît și curentul indus, depindeau de iuteala variației în timp a fluxului de inducție.

Sarcina electrică transportată este proporțională cu variația fluxului și independentă de timp.

*În schimb, sarcina electrică transportată printr-o secțiune a circuitului este proporțională cu variația fluxului și independentă de timp.*

Prin urmare, indiferent dacă fluxul variază mai repede sau mai încet, într-un circuit de rezistență dată, cantitatea de electricitate transportată de curentul indus depinde numai de valorile inițială și finală ale fluxului.

Dacă intercalăm în circuit un galvanometru, cu perioada de oscilație proprie mult mai lungă decît timpul în care se produce variația de flux, acest galvanometru nu e în stare să urmărească variațiile de intensitate ale curentului.

El totalizează atunci impulsurile primite și deviația pe care o suferă va fi proporțională cu cantitatea de electricitate care l-a străbătut.

Dacă notăm deviațiile observate cu  $d$ , vom avea deci, pentru același circuit,

$$\frac{d_1}{d_2} = \frac{\Delta\Phi_1}{\Delta\Phi_2}$$

și putem astfel compara variațiile de flux, adică, implicit, variațiile cîmpului de inducție.

Perioada de oscilație a oricărui galvanometru poate fi lungită, adăugînd la sistemul mobil o masă suplimentară, care să-i mărească momentul de inerție.

Dacă el satisface acestei condiții, îl numim *galvanometru balistic*.

§ 297. **Unități magnetice.** Cu ajutorul cunoștințelor despre inducția electromagnetică, sîntem acum în măsură să completăm unitățile magnetice.

În cele ce urmează, vom trece, recapitulativ, peste unitățile deja definite, adăugînd ceea ce lipsește.

1) *Masa magnetică* se definește din legea lui Coulomb

$$F = \frac{1}{\mu} \cdot \frac{m_1 \cdot m_2}{r^2}. \quad (264.1)$$

În sistemul CGS c.m. permeabilitatea vidului este considerată ca un simplu număr, egal cu 1.

În vid, unitatea de masă magnetică acționează cu forța de o dynă, asupra unei mase egale, dacă distanța lor este de un centimetru.



Ea are dimensiunile

$$[m] = L^{3/2} M^{1/2} T^{-1}.$$

În sistemul unităților MKSA masa magnetică nu mai apare și este considerată ca inexistentă.

2) *Permeabilitatea vidului*, în sistemul MKSA, se definește din relația

$$\frac{F}{l} = 2\mu_0 \frac{I_1 \cdot I_2}{d}, \quad (277.1)$$

unde curentul se exprimă în amperi și distanțele în metri, iar forța în newtoni.

Valoarea ei numerică este

$$\mu_0 = 10^{-7}$$

iar dimensiunile sînt

$$[\mu_0] = LMT^{-2}I^{-2}.$$

Permeabilitatea unui mediu oarecare se exprimă prin

$$\mu = \mu_0 \mu_r$$

în care permeabilitatea relativă este un simplu număr.

3) *Cîmpul magnetic*, în sistemul CGS e.m., se definește din relația

$$F = mH. \quad (264.3)$$

El are intensitatea de un *oersted*, cînd exercită forța de o dynă, asupra unității de masă magnetică.

Dimensiunile respective sînt

$$[H] = L^{-1/2} M^{1/2} T^{-1}.$$

În sistemul MKSA, îl definim din relația

$$H = 2 \frac{I}{d} \quad (272.1)$$

și are intensitatea de doi *milioerstezi*, la distanța de un metru, în jurul unui conductor liniar infinit, prin care trece curentul de un amper.

Milioerstedul este unitatea MKSA și reprezintă  $10^{-3}$  Oe.

Aici dimensiunile fizice sînt

$$[H] = L^{-1}I.$$

4) *Fluxul cîmpului magnetic* se definește din relația

$$\varphi = HS \cos \alpha.$$

În sistemul CGS e.m. îl exprimăm în *oersted·centimetru pătrat* și are dimensiunile

$$[\varphi] = L^{3/2} M^{1/2} T^{-1},$$

Iar în sistemul MKSA îl exprimăm în *milioersted·metru pătrat* și dimensiunile fizice sînt

$$[\varphi] = LI.$$

5) *Inducția magnetică* se definește prin relația

$$B = \mu H \quad (265.1)$$

În sistemul CGS e.m., unitatea se numește *gauss*, iar dimensiunile fizice, cît și valorile numerice sînt aceleași cu ale cîmpului magnetic:

$$[B] = [H] = L^{-1/2} M^{1/2} T^{-1}.$$

6) *Fluxul de inducție magnetică* se definește prin relația

$$\Phi = BS \cos \alpha.$$

Unitatea CGS e.m. se numește *maxwell* și reprezintă fluxul inducției de un gauss, normal pe suprafața de un centimetru pătrat.

Valorile numerice și dimensiunile fizice sînt aceleași cu ale fluxului magnetic:

$$[\Phi] = [\varphi] = L^{3/2} M^{1/2} T^{-1}.$$

7) *Unitatea MKSA pentru fluxul de inducție* se definește cu ajutorul relației

$$E = - \frac{d\Phi}{dt} \quad (293.1)$$

și se numește *weber*<sup>1)</sup> (Wb).

Fluxul de un weber induce într-o spirală forța electromotoare de un volt, cînd scade uniform la zero, în timp de o secundă.

Ea reprezintă fluxul care, străbătînd printr-o spirală închisă, induce forța electromotoare de un volt, cînd scade uniform la zero, în timp de o secundă.

Aceeași relație ne duce la dimensiunile

$$[\Phi] = L^2 M T^{-2} I^{-1}.$$

<sup>1)</sup> În onoarea lui *Wilhelm Eduard Weber* (1804—1891), fizician german, fost profesor la Göttingen.

Este ușor de văzut că raportul numeric, între fluxul de inducție în weberi și același flux, exprimat în maxwell, este egal cu raportul forțelor electromotoare, considerate în cele două sisteme de unități.

*Prin urmare, un weber înseamnă  $10^8$  Mx.*

8) *Unitatea MKSA de inducție magnetică se definește cu ajutorul relației*

$$\Phi = BS \cos \alpha$$

și se numește *weber pe metrul pătrat*.

Unitatea MKSA de inducție magnetică este weber pe metrul pătrat.

*Ea reprezintă deci inducția pentru care fluxul de un weber străbate normal suprafața de un metru pătrat.*

Este ușor de văzut că, în sistemul acesta, dimensiunile inducției, calculate din relația care o definește, sînt

$$[B] = MT^{-2}I^{-1}.$$

De asemenea se vede imediat că *un weber pe metrul pătrat reprezintă  $10^4$  gauss (Gs).*

În sistemul CGS e.m., am definit unitatea de flux cu ajutorul unității de inducție.

În sistemul MKSA, mersul este invers, fiindcă unitatea de inducție se definește cu ajutorul unității de flux.

9) *Forța magnetomotoare se exprimă prin relația*

$$\mathcal{F} = 4\pi NI$$

și am văzut că, în sistemul CGS e.m., un curent de intensitate  $1/4\pi$ , care străbate o spirală închisă, produce forța magnetomotoare de un *gilbert (Gb)*.

Dimensiunile fiind aceleași ca la intensitate, vom avea

$$[\mathcal{F}] = L^{1/2} M^{1/2} T^{-1}.$$

De asemenea am văzut că unitatea MKSA este *decigilbertul*.

Aici dimensiunile vor fi

$$[\mathcal{F}] = L.$$

10) *Reluctanța* intervine în relația, similară cu legea lui Ohm,

$$R = \frac{\mathcal{F}}{\Phi}. \quad (282.2)$$

*Un circuit magnetic are deci reluctanța-unitate, dacă unitatea de forță magnetomotoare produce fluxul de inducție-unitate.*

În sistemul electromagnetic CGS, reluctanța se exprimă, așadar, în *gilbert pe maxwell* și dimensiunile vor fi

$$[R] = \frac{L^{1/2} M^{1/2} T^{-1}}{L^{3/2} M^{1/2} T^{-1}} = L^{-1}$$

iar în sistemul MKSA unitatea este *decigilbert pe weber*, cu dimensiunile

$$[R] = \frac{1}{L^2 M T^{-2} I^{-1}} = L^{-2} M^{-1} T^2 I.$$

Este ușor de văzut că

$$\text{un } \frac{\text{decigilbert}}{\text{weber}} = 10^{-9} \frac{\text{gilbert}}{\text{maxwell}}.$$

Sfătuim pe cititor să se familiarizeze cu sistemele de unități, așa ca să le poată aplica fără ezitare, întâi fiindcă alegerea lor pleacă de la înseși legile de bază ale fizicii, apoi fiindcă altfel aceste legi devin simple formule moarte, fără putință de aplicare practică.

§ 298. **Curenții Foucault.** Deplasarea relativă a unei piese metalice masive, într-un câmp de inducție magnetică, precum și variațiile acestui câmp dau naștere la curenți de inducție în masa metalului.

Deplasarea relativă sau variația cîmpului de inducție produc în masele metalice curenți Foucault.

Îi numim *curenți Foucault*<sup>1)</sup> și sensul lor este dictat de legea lui Lenz, sau de cunoscuta regulă a mîinii drepte.

<sup>1)</sup> Jean Bernard Léon Foucault (1819—1868), fizician francez.

Cîteva exemple practice vor lămuri aceste fenomene, fără să mai fie nevoie și de alte explicații :

1) În planul unui disc metalic, se găsește o spiră conducătoare, prin care trece un curent electric de intensitate crescătoare (fig. 266, a).

Discul se comportă atunci ca o infinitate de spire concentrice, în care variația fluxului dă naștere la curenți de inducție circulari.

Aceștia sînt curenți Foucault și, după legea lui Lenz, ei trebuie să producă un flux, de asemenea crescător, ce se opune creșterii fluxului trimis de inductor.

În cazul considerat, ei vor avea deci sensul invers al curentului din spira exterioară.

Iar dacă această spiră ar fi parcursă de un curent alternativ, tot alternativi sînt și curenții Foucault.

În aceeași situație s-ar găsi și o bară, sau altă piesă metalică masivă, introduse în orice cîmp magnetic variabil.

Curenții Foucault încălzesc metalul, prin efectul Joule-Lenz, iar la variații mari și rapide ale fluxului pot chiar să-l aducă la topire.

Pe acest principiu se și construiesc, de altfel, cuptoare industriale de inducție, pentru topirea metalelor.

Dar, exceptînd aplicațiile practice utile, asemenea încălziri trebuiesc evitate, sau cel puțin reduse la minimum, fiindcă reprezintă pierderi de energie.

De aceea, în locul pieselor metalice masive, se folosesc altele, de aceeași formă, făcute din fișii de tablă, numite *tole*<sup>1)</sup>, sau din fire, dispuse paralel cu liniile de forță și separate prin pături izolante (fig. 266, b).

**Curenții Foucault încălzesc piesele metalice masive și pot fi reduși prin folosirea tolelor.**

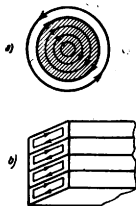


Fig. 266. Curenții Foucault într-o piesă masivă și în alta făcută din tole.

<sup>1)</sup> În limba franceză *tôle* = tablă.

Suprafețele conductoare, întâlnite de fluxul inductor, devin atunci mai restrânse, iar curenții Foucault se închid în interiorul lor, însă cu intensitate mult mai mică.

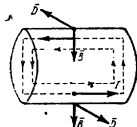


Fig. 267. Sensul curenților Foucault într-un cilindru metalic rotitor pe o axă perpendiculară pe direcția câmpului.

Sistemul e practicat în orice mașină electrică, folosită în curent alternativ, sau în câmp variabil.

2) Un cilindru metalic masiv se roteste într-un câmp de inducție  $B$ , care-l străbate diametral (fig. 267).

Deplasarea relativă, față de liniile de forță, în sensul vectorilor  $\vec{D}$ , face să apară curenți de inducție, în masa metalului.

Acești curenți se orientează după regula mâinii drepte și se închid, în lungul traseelor figurate punctat.

După cele cunoscute, relativ la sensul curenților induși, ei crează un moment magnetic și un cuplu de opunere, prin care frânează mișcarea cilindrului în câmp.

Curenții Foucault tind să frineze mișcarea relativă a unei piese de metal masiv, în câmpul de inducție.

Iar, odată cu frinarea, energia cinetică de rotație se transformă în căldură, prin efectul Joule-Lenz.

Și, aici, curenții Foucault pot fi reduși la intensități mici dacă, în locul cilindrului masiv, am face altul, din rondele de tablă, dispuse paralel cu bazele și separate printr-un izolanț.

3) Din același motiv, un disc metalic, orientat cu planul perpendicular pe liniile de forță, cade foarte încet, între polii unui electromagnet.

Experiența reușește cel mai bine cu o monedă de argint, din cauza bunei conductibilități a metalului.

Aceste acțiuni de frinare sînt folosite curent oriunde avem interesul să încetinim o mișcare, sau să amortizăm oscilația unei piese metalice.

De pildă, o balanță analitică, al cărui braț trece printre polii unui magnet, își ia poziția de echilibru, aproape fără de oscilații.

## A. Autoinducția

§ 299. **Inductanța unui circuit.** Un curent electric, ce parcurge o bobină, ori o spiră închisă, dă naștere unui câmp și unui flux de inducție, care străbat propriul circuit.

Dacă intensitatea curentului variază în timp, variază și fluxul respectiv.

În aceste condiții, va trebui să rezulte o forță electromotoare și un curent de inducție, pe care le numim de *autoinducție*, fiindcă apar în circuitul propriu <sup>1)</sup>.

Variația curentului într-un circuit face să apară o forță electromotoare de autoinducție.

*Forța electromotoare și curentul de autoinducție se adună algebric la forța electromotoare și la curentul generatorului din circuit.*

Acestea sînt faptele fundamentale, pe care le putem prevedea din înseși legile inducției.

Rămîne să căutăm relațiile cantitative și să discutăm consecințele.

Este evident că, într-un același circuit, intensitatea cîmpului de inducție, ca și a fluxului respectiv, sînt proporționale cu intensitatea curentului.

Vom putea scrie deci că

$$\Phi = LI \quad . \quad (299.1)$$

Factorul de proporționalitate între curent și fluxul de inducție se numește „inductanță”.

*În această relație, factorul de proporționalitate  $L$ , între intensitatea curentului și fluxul de inducție, se numește „inductanță”.*

El este caracteristic fiecărui circuit în parte și depinde de forma sau de suprafața lui.

1. *Unități și dimensiuni.* În sistemul CGS e.m., ținînd seamă de relația (299.1), vom spune că *un circuit are inductanța-unitate dacă, la o variație a curentului cu o unitate, fluxul de inducție variază cu un maxwell.*

<sup>1)</sup> Autoinducția se mai numește și *selfinducție*, de la cuvîntul englezesc *myself* = eu însumi.

Raportul dimensional ne dă

$$[L] = \left[ \frac{\Phi}{I} \right] = \frac{L^{3/2} M^{1/2} T^{-1}}{L^{1/2} M^{1/2} T^{-1}} = L.$$

În CGS e.m., unitatea de inductanță are dimensiunile unei lungimi și se numește centimetru.

Prin urmare, în sistemul electromagnetic CGS, unitatea de inductanță are dimensiunile unei lungimi și se va numi centimetru.

Pe aceeași cale se definește unitatea MKSA :

Inductanța este de un henry, dacă fluxul variază cu un weber, cînd curentul variază cu un amper.

Ea reprezintă inductanța circuitului, în care fluxul variază cu un weber, cînd curentul variază cu un amper.

Această unitate se numește *henry*<sup>1)</sup>, cu simbolul H.

Procedînd ca mai sus, raportul dimensional ne duce la :

$$[L] = \left[ \frac{\Phi}{I} \right] = \frac{L^2 M T^{-2} I^{-1}}{I} = L^2 M T^{-2} I^{-2}.$$

Exprimînd raportul  $\Phi/I$  în ambele sisteme de unități, împărțirea rezultatelor numerice ne arată că

$$1H (\text{henry}) = 10^9 \text{ cm}.$$

**2. Inductanța unei bobine.** Să considerăm fie un solenoid foarte lung, fie o bobină toroidală, înfășurate pe un miez de fier, cu permeabilitatea  $\mu$ . Lungimea este  $l$  și numărul total de spire îl vom nota cu  $N$ .

Un curent de intensitate  $I$  produce, în interior, cîmpul de inducție

$$B = \mu H = \mu 4\pi \frac{N}{l} I. \quad (231.2)$$

Iar dacă fiecare spiră are suprafața  $S$ , fluxul de inducție traversează suprafața totală

$$\Phi = NS.$$

<sup>1)</sup> În onoarea lui *Joseph Henry* (1797—1878), fizician american. În tinerețe a fost ceasornicar.



Acest flux va fi deci

$$\Phi = BNS = \mu 4\pi \frac{N}{l} INS = \mu 4\pi \frac{N^2}{l} IS.$$

Această valoare, introdusă în relația (299.1) de mai sus, ne dă inductanța bobinei :

$$L = \mu 4\pi \frac{N^2}{l} S. \quad (299.2)$$

Ea este o constantă caracteristică, dacă permeabilitatea miezului rămîne invariabilă.

Dar acesta nu e cazul pentru substanțele feromagnetice, așa că nu putem vorbi atunci de o inductanță fixă, ci doar de o anumită valoare mijlocie, între două limite de variație ale curentului magnetizant.

Formula dedusă nu e valabilă nici pentru bobinele rectilinii scurte, nici dacă spirele sînt bobinate prea rar.

În asemenea cazuri se introduc factori de corecție, sau recurgem la determinarea experimentală.

§ 300. **Forța electromotoare de autoinducție.** Relațiile cunoscute :

$$E = - \frac{d\Phi}{dt} \quad \text{și} \quad \Phi = LI \quad (293.1; 299.1)$$

ne dau împreună

$$E = -L \frac{dI}{dt}. \quad (300.1)$$

**Forța electromotoare de autoinducție** este proporțională cu iușeala de variație a curentului.

*Forța electromotoare de autoinducție este deci proporțională cu iușeala de variație în timp a curentului și inductanța este factor de proporționalitate.*

Semnul — (minus) este iarăși consecința legii lui Lenz și ne arată că forța electromotoare autoindusă tinde să se opună variației de intensitate a curentului din circuit.

§ 301. **Inducția mutuală.** Să considerăm două circuite, bunăoară două spire plane,  $C_1$  și  $C_2$ , legate fiecare separat în serie cu un generator electric (fig. 268, *a* și *b*).

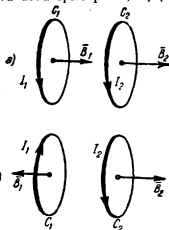


Fig. 268. Inducția mutuală pozitivă (*a*) și negativă (*b*).

Fluxul trimis de un circuit în altul este proporțional cu intensitatea curentului și factorul de proporționalitate este inductanța mutuală.

În aceste condiții, este evident că fiecare circuit va trimite prin celălalt cite un flux de inducție proporțional cu propria intensitate a curentului ce-l străbate.

Vom putea scrie deci că fluxul trimis de  $C_1$ , prin circuitul  $C_2$ , este

$$\Phi_1 = M \cdot I_1. \quad (301.1)$$

Analog, fluxul trimis de  $C_2$  prin  $C_1$  va fi

$$\Phi_2 = M \cdot I_2.$$

Factorul de proporționalitate  $M$ , numit *inducția mutuală*, are aceleași dimensiuni și se exprimă în aceleași unități ca inductanța, deci în *centimetri* sau în *henry*.

Aplicînd acum relația fundamentală, de la inducția electromagnetică (293.1), înseamnă că orice variație a curentului din  $C_1$  va face să apară în  $C_2$  forța electromotoare indusă

$$E_1 = -M \frac{dI_1}{dt}. \quad (301.2)$$

Aceeași expresie, cu indicii schimbați, rămîne valabilă și în cazul cînd curentul variază în  $C_2$ .

În privința inductanței mutuale  $M$ , vom face convenția că ea este *pozitivă*, cînd cele două circuite își orientează cîmpul de inducție în același sens (fig. 268, *a*).

În cazul contrar, ea este *negativă* (fig. 268, *b*) și atunci semnul membrului al doilea din relația (301.2) se inversează.

§ 302. **Generalizarea legii lui Ohm.** Să considerăm un circuit, în care apar variații ale fluxului de inducție.

Aceste variații pot să provină din :

1) Deplasarea circuitului într-un câmp de inducție, sau variația intensității câmpului.

În cazul acesta, forța electromotoare indusă este

$$E_1 = - \frac{d\Phi}{dt}. \quad (293.1)$$

2) O eventuală variație a curentului propriu din circuit, care dă naștere la forța electromotoare de autoinducție

$$E_2 = - L \frac{dI}{dt}. \quad (300.1)$$

3) Variația curentului dintr-un circuit vecin, care acționează prin inductanța mutuală și produce forța electromotoare indusă

$$E_3 = - M \frac{dI'}{dt}. \quad (301.2)$$

4) În fine, mai trebuie să ținem seamă că generatorul care alimentează circuitul produce forța electromotoare

$$E_4 = E.$$

Toate acestea, sumate algebric, ne dau forța electromotoare totală

$$E_t = E - \frac{d\Phi}{dt} - L \frac{dI}{dt} - M \frac{dI'}{dt}.$$

Iar dacă rezistența circuitului este  $R$ , legea lui Ohm :

$$E_t = RI \quad (229.1)$$

se va scrie sub forma generală

$$\boxed{RI = E - \frac{d\Phi}{dt} - L \frac{dI}{dt} - M \frac{dI'}{dt}} \quad (302.1)$$

În care, de la caz la caz, vom păstra, în membrul al doilea, numai termenii diferiți de zero.

De pildă, cînd nu există inducție mutuală, nici variație de flux, provenită din exterior, vom avea

$$RI - E - L \frac{dI}{dt} = 0. \quad (302.1a)$$

Această relație simplificată se referă la cazurile cele mai obișnuite în practică și o vom aplica la oricare circuit, cînd curentul suferă o variație permanentă sau tranzitorie, dacă inducția nu este neglijabilă.

Căderea ohmică interesează toate forțele electromotoare, conectate sau induse în circuite.

*In concluzie: căderea ohmică interesează toate forțele electromotoare, conectate sau induse în circuite și sumate algebric.*

Revenind la relația (302.1), de mai sus și înmulțindu-i ambii membri cu  $I dt$ , avem

$$EI dt = RI^2 dt + I(d\Phi + LdI + Mdl'). \quad (302.2)$$

Membrul întîi reprezintă acum energia debitată de generatorul conectat în circuit, așa că membrul al doilea trebuie să exprime tot o energie.

La energia implicată în efectul Joule-Lenz se adaugă variațiile de energie electromagnetică.

*Aici, la termenul ce reprezintă energia implicată în efectul Joule-Lenz, se adună termenii cari se referă la energia electromagnetică.*

Termenii aceștia dispar, bineînțeles, odată cu variațiile mărimilor de care sînt legați.

§ 303. **Extracurenții.** Să presupunem că, la bornele unui circuit care nu posedă decît o rezistență ohmică  $R$ , legăm o forță electromotoare  $E$ .

Curentul ia, practic instantaneu, intensitatea impusă de legea lui Ohm și scade, tot instantaneu, la zero, dacă întrerupem circuitul.

Cu totul altfel se prezintă situația dacă, afară de rezistența ohmică  $R$ , se mai găsește în circuit și o bobină, cu inductanță  $L$  destul de mare (fig. 269).

Cînd închidem întrerupătorul  $S$ , curentul crește și acum, lînzînd către intensitatea constantă a regimului staționar.

Dar, la această creștere, variația de flux din bobină răspunde cu o forță electromotoare de autoinducție, care dă naștere altui curent opus, ce tinde să o întîrzie.

Analog, dacă întrerupem circuitul, curentul de autoinducție se inversează, cu tendința să prelungească situația existentă înaintea întreruperii.

Pentru inductanțele mari, de ordinul zecilor de henry, acul ampermetrului din circuit se mișcă atît de încet, încît îl putem urmări cu ochii cam un sfert de minut, pînă să ajungă la diviziunea corespunzătoare intensității maxime, în regim.

Iar dacă trasăm o curbă experimentală a deviațiilor, care să reprezinte intensitatea, în funcție de timp, această curbă are aspectul din fig. 270.

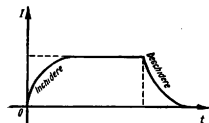


Fig. 270. Acțiunea inductanței întîrzie variația intensității curentului.

Aceeași curbă ar fi avut forma punctată, dacă în circuit nu ar exista decît rezistențe ohmice.

Circuitele cu inductanță nu ating instantaneu intensitățile staționare, din cauza extracurenților.

*Curenții de autoinducție, care întîrzie stabilirea regimului staționar, în circuitele cu inductanțe, se numesc extracurenți.*

Dacă întrerupătorul, introdus în serie pe un circuit cu inductanță mare, nu funcționează destul de brusc, extracurentul de deschidere formează un arc electric, ce poate să topească local contactele metalice.

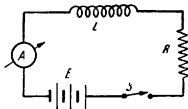


Fig. 269. Circuit cu inductanță și rezistență ohmică.

De aceea, în toate instalațiile industriale, se folosesc numai întrerupătoare, prevăzute cu un resort care să îndepărteze cât mai repede pîrghia de contact.

Pe același principiu sînt construite *șalterele* introduse în instalațiile de iluminat.

O experiență simplă, pe care o poate face oricine, în legătură cu fenomenele descrise, nu cere decît o sonerie și o baterie de buzunar.

Cel ce ține, în mîna umezită, două sîrme legate la bornele soneriei în funcțiune, simte comoția produsă prin extracurenții de închidere și deschidere a circuitului, provocate de vibrațiile ciocănașului.

Altfel, cei patru volți ai bateriei nu dau efecte fiziologice sensibile.

Mai rămîne să căutăm legea cantitativă, de variație în timp a curentului.

Legea lui Ohm, aplicată cazului din fig. 269, se scrie sub forma

$$RI = E - L \frac{dI}{dt} \quad (302.1a)$$

De aici, separînd cele două variabile și integrînd, obținem, la închiderea circuitului, cînd intensitatea crește de la 0 pînă la  $I$ , în timpul  $t$ ,

$$\int_0^I \frac{dI}{E - RI} = \frac{1}{L} \int_0^t dt$$

sau

$$\left[ -\frac{1}{R} \ln(E - RI) \right]_0^I = \frac{1}{L} t$$

sau încă

$$I = \frac{E}{R} (1 - e^{-\frac{R}{L} t})$$

unde  $e$  reprezintă baza logaritmilor neperieni.

Dar

$$\frac{E}{R} = I_0$$

este intensitatea de regim staționar, pe care trebuie să o atingă curentul, prin rezistența ohmică  $R$ , după dispariția extracurentului de închidere.

Ajungem așa la relația finală

$$\boxed{I = I_0 - I_0 e^{-\frac{R}{L}t}} \quad (303.1)$$

În această relație, care ne permite să calculăm intensitatea curentului din circuit, după timpul  $t$  de la închidere, găsim doi termeni, în membrul al doilea :

Primul reprezintă, după cum am văzut, intensitatea în regim staționar.

Al doilea termen

$$I_1 = I_0 e^{-\frac{R}{L}t} \quad (303.2)$$

reprezintă extracurentul de închidere, care tinde să întârzie instalarea regimului staționar.

Extracurentul scade exponențial și tinde asimptotic spre zero, iar  $L/R$  reprezintă constanta de timp.

*El scade exponențial și tinde asimptotic spre zero, cu atât mai repede cu cât rezistența ohmică e mai mare și inductanța mai mică.*

La întreruperea circuitului, termenul  $I_0$  dispăre, fiindcă generatorul nu mai poate să debiteze.

Extracurentul e atunci singurul care mai persistă, dar cu semnul schimbat, ca să tindă și de astă dată exponențial spre zero.

În relația (303.2), ca în orice relație fizică, ambii membri trebuie să aibă aceleași dimensiuni.

Ori aceasta nu e cu puțință, decât cu condiția ca raportul  $R/L$  să aibă inversa dimensiunilor unui timp, oricare ar fi sistemul unităților folosite.

Este ușor de verificat că această condiție, în adevăr, e satisfăcută, așa că

$$\left[ \frac{L}{R} \right] = T.$$

De aceea raportul  $L/R$  se numește *constanta de timp*.

§ 304. **Energia unui circuit cu inductanță.** Am văzut că, odată cu întreruperea circuitului, curentul debitat de generator dispăre și nu mai persistă decât extracurentul de deschidere.

Dar, în același moment, încetează și acțiunea forței electromotoare a generatorului, așa că relația

$$RI = E - L \frac{dI}{dt} \quad (302.1a)$$

devine

$$RI = L \frac{dI}{dt}$$

unde schimbarea de semn arată că, de astă dată, circuitul este acela care debitează curentul.

Inmulțind ambii membri cu  $I dt$ , avem

$$RI^2 dt = LI dI.$$

Această relație cuprinde, în primul membru, energia implicată în efectul Joule-Lenz, iar în membrul al doilea energia debitată de extracurent.

În momentul întreruperii, circuitul cu inductanță conține așadar energia potențială

$$W = L \int_0^I I dI.$$

Iar după integrare găsim că

$$\boxed{W = \frac{1}{2} LI^2} \quad (304.1)$$

$$W = \frac{1}{2} LI^2$$

*În faza tranzitorie inițială, când curentul a crescut de la 0 pînă la I, această energie a fost înmagazinată de cîmpul magnetic al bobinei de inductanță. Extracurentul de deschidere o pune acum în libertate.*



În § 220 am văzut că, într-un condensator încărcat, câmpul electric este acela care înmagazinează energia potențială

$$W = \frac{1}{2} CV^2, \quad (220.2)$$

iar această energie se liberează prin curentul de descărcare.

În ambele cazuri obținem deci relații similare.

## B. Descărcarea oscilantă

§ 305. **Descărcarea aperiodică.** Să presupunem că, după ce am încărcat un condensator de capacitate  $C$ , la potențialul  $V_0$  față cu armătura de referință, îl descărcăm prin rezistența ohmică  $R$  (fig. 271).

Pe baza relației cunoscute

$$CV = Q \quad (218.1)$$

putem scrie că

$$C dV = dQ = I dt,$$

unde  $I$  este curentul de descărcare, în timpul infinitesimal  $dt$ .

Dar, după legea lui Ohm,

$$I = \frac{V}{R}$$

și rezultă că

$$C dV = \frac{V}{R} dt.$$

Iar dacă potențialul scade pînă la valoarea  $V$ , în timpul  $t$ , obținem prin integrare

$$\int_{V_0}^V \frac{dV}{V} = \frac{1}{CR} \int_0^t dt.$$

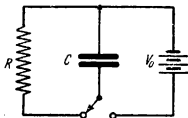


Fig. 271. Descărcarea unui condensator printr-o rezistență ohmică.

Prin urmare

$$\ln \frac{V}{V_0} = -\frac{1}{CR} t$$

și ajungem la relația finală

$$\boxed{V = V_0 e^{-\frac{1}{CR} t}} \quad (305.1)$$

Ea este asemănătoare cu (303.2), prin care am exprimat extracurentul, într-un circuit cu inductanță.

Prin rezistență ohmică, potențialul în condensator scade exponențial, iar  $CR$  este constanta de timp.

rezistența și capacitatea sînt mai mari.

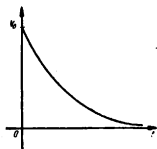


Fig. 272. Curba de descărcare a unui condensator prin rezistență ohmică.

Prin urmare, potențialul într-un condensator scade exponențial, când el se descarcă printr-o rezistență ohmică și tinde asimptotic spre zero, cu atât mai încet cu cât

Curba de variație în timp a potențialului este reprezentată în fig. 272.

Cît despre produsul  $CR$ , se poate verifica ușor că el are dimensiunile unui timp, în oricare sistem de unități.

Îl vom numi deci *constanta de timp* a descărcării condensatorului, prin rezistența ohmică.

§ 306. **Descărcarea oscilantă.** Cu totul altfel se prezintă situația dacă, în loc să descărcăm condensatorul printr-o rezistență ohmică, îl descărcăm printr-o bobină, sau printr-un circuit, cu inductanța  $L$  (fig. 273).

Rezistența ohmică o vom considera, deocamdată, ca *neglijabilă*.

Aici energia liberată apare sub forma unui curent electric și face să varieze fluxul din bobină.

Cîmpul magnetic o înmagazinează, la rîndul lui și apoi o liberează iarăși, printr-un extracurent, ce transportă sarcini pe armăturile condensatorului și-l încarcă la loc, dar în sens contrar.

*Aceeași energie trece deci, alternativ, de la cîmpul electric la cîmpul magnetic și circuitul este parcurs de curenți cari își schimbă sensul după fiecare inversare a încărcării condensatorului.*

Experiența ne arată că, în adevăr, pe măsură ce rezistența ohmică a circuitului tinde către zero, variația diferenței de poten-

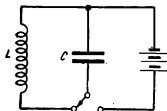


Fig. 273. Sistemul inductanță-capacitate formează un circuit oscilant.

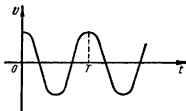


Fig. 274. Tensiunea ca funcție sinusoidală de timp.

țial, între bornele condensatorului, tinde către legea sinusoidală

$$U = U_0 \cos \omega t$$

unde am ales originea timpului, în momentul cînd începe descărcarea (fig. 274).

La rîndul lui, curentul variază tot alternativ, după o lege analogă.

Reamintind că pulsația este legată de perioadă prin relația

$$\omega = \frac{2\pi}{T}$$

ne propunem să calculăm această perioadă, în funcție de inductanță și de capacitate.

Dacă nu există rezistență ohmică, deci pierderi de energie prin efectul Joule-Lenz, energia maximă, înmagazinată, sub diferența de potențial  $U_0$ , de cîmpul electric din condensator

$$W_e = \frac{1}{2} C U_0^2 = \frac{1}{2} \frac{Q_0^2}{C}$$

este egală cu energia maximă, înmagazinată de câmpul magnetic, în bobina de inductanță

$$W_m = \frac{1}{2} L I_0^2.$$

Prin urmare

$$\frac{Q_0^2}{C} = L I_0^2. \quad (I)$$

Dar, într-o descărcare sinusoidală,

$$Q = Q_0 \cos \omega t$$

și rezultă că intensitatea curentului este

$$I = \frac{dQ}{dt} = -Q_0 \omega \sin \omega t$$

și are valoarea maximă (absolută)

$$I_0 = Q_0 \omega$$

care, substituită în (I), ne dă pentru pulsație

$$\omega^2 = \frac{1}{LC}.$$

Perioada oscilației se va exprima deci prin relația

$$\boxed{T = 2\pi \sqrt{LC}}. \quad (306.1)$$

Această relație se numește *formula lui Thomson*.

$$T = 2\pi \sqrt{LC}.$$

*Prin urmare, cînd rezistența ohmică este neglijabilă, perioada de oscilație a unui circuit variază proporțional cu rădăcina pătrată a produsului dintre inductanță și capacitate.*

Un asemenea sistem constituie ceea ce numim un *circuit oscilant*.

Dar formula lui Thomson se referă la un caz ideal fiindcă, în realitate, rezistențele ohmice sînt inevitabile.

Prezența lor face ca energia sistemului să treacă treptat în căldură și atunci apar două situații diferite :

1) Dacă rezistența este încă destul de mică, ea nu poate să împiedice oscilația, dar o amortizează, tot așa cum frecările amortizează oscilațiile unui pendul.

Curba variației în timp a intensității curentului are atunci aspectul din fig. 275, reprodusă după o înregistrare făcută experimental.

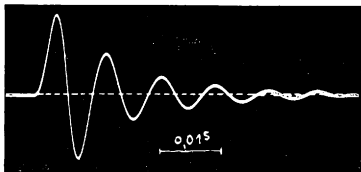


Fig. 275. Variația în timp a curentului într-o descărcare amortizată.

Forma ei rezultă din suprapunerea fenomenului oscilatoriu, peste scăderea exponențială, datorită rezistenței ohmice.

Se poate demonstra, și experiența confirmă că, în cazul de față, intensitatea curentului oscilant care, fără rezistența ohmică, era dictată de relația

$$I = I_0 \sin \omega t$$

devine

$$I = I_0 e^{-\delta t} \sin \omega t \quad (306.2)$$

în care  $\delta$  se numește *amortizare*, iar  $e$  este baza logaritmilor neperieni.

Relația de față este asemănătoare cu aceea prin care am exprimat variația în timp a elongațiilor unui pendul amortizat.

De asemenea se poate demonstra că

$$\delta = \frac{R}{2L}$$

de unde rezultă că *amplitudinea oscilațiilor din circuit scade cu atât mai repede, cu cât rezistența ohmică e mai mare, iar inductanța mai mică.*

Mai menționăm că, la oscilațiile amortizate, perioada este mai lungă, decît arată formula lui Thomson.

2) Dacă rezistența ohmică a circuitului este prea mare, oscilațiile dispar și descărcarea condensatorului devine *aperiodică*, așa cum am văzut în § 305.

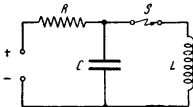


Fig. 276. Scinteia oscilantă.

În practică, putem face să oscileze un circuit cu inductanță și capacitate fără să mai fie nevoie de un comutator, care să conecteze condensatorul de pe încărcare pe descărcare, ca în fig. 273.

Pentru aceasta e destul să-l încărcăm progresiv, de la un generator de tensiune înaltă, printr-o rezistență  $R$ , destul de mare ca să împiedice formarea unui arc electric (fig. 276).

În momentul în care am atins potențialul exploziv, se produce în  $S$  o scînteie, a cărei rezistență ohmică este practic nulă, din cauza ionizării foarte intense.

Sistemul intră atunci în oscilație amortizată, a cărei amplitudine scade exponențial, pînă cînd generatorul, reîncărcînd condensatorul, o nouă scînteie readuce intensitatea inițială.

Se obțin astfel ceea ce numim *trenuri de oscilații* (fig. 277).



Fig. 277. Trenuri de oscilații amortizate.

Tensiunile ridicate au avantajul că pun în joc energii mai mari, știind că energia de încărcare a condensatorului crește cu pătratul diferenței de potențial aplicate.

Descărcarea oscilantă ne permite să obținem curenți, a căror frecvență de inversare depinde de capacitatea și de inductanța folosite.

Cuplind bobina circuitului oscilant cu altă bobină, cu număr mare de spire, variațiile de flux inductor pot să inducă aici tensiuni alternative de ordinul sutelor de mii de volți (fig. 278).

Se obțin astfel efluvii și scintei, cu adevărat impresionante.

Aceste tensiuni ridicate, studiate de *Tesla*<sup>1)</sup>, nu sînt periculoase și au chiar aplicații în terapia medicală, fiindcă frecvențele înalte nu au alt efect fiziologic, decît încălzirea țesutului prin care străbat curenții respectivi.

Pînă acum nu am considerat încă decît inductanța circuitelor închise și mai ales pe a bobinelor.

Dar o inductanță, mai mare sau mai mică, găsim la conductorii de orice formă sau dimensiune și se manifestă imediat ce sînt parcurși de un curent variabil.

Acești conductori au, de asemenea, o capacitate, așa că pot să dea naștere la curenți oscilanți.

Pentru a obține frecvențe de oscilație foarte înalte, va trebui să căutăm inductanțe și capacități cît mai mici.

La universitatea din Moscova, *Arkadieva-Glegoleva*<sup>2)</sup>, producînd scintelile între particule de pilitură metalică, scufundate în ulei, a izbutit să realizeze curenți oscilanți, cu frecvența de ordinul a  $10^{18}$  Hz.

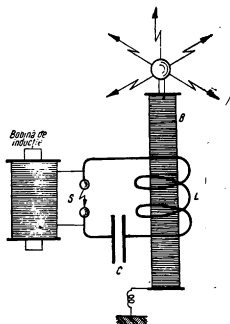


Fig. 278. Experiența lui Tesla.

<sup>1)</sup> *Nicolae Tesla* (1856—1943), fizician srb, emigrat în America.

<sup>2)</sup> În laboratorul profesorului *V. C. Arkadiev*.

De curind, V. Petrescu<sup>1)</sup>, reluind aceste cercetări, a reușit să atingă frecvența de  $10^{14}$  Hz, producind scinteile între particule metalice coloidale.

Mai târziu, vom vedea că există mijloace prin care, în locul oscilațiilor amortizate, putem obține oscilații întreținute, cu amplitudine constantă.

### *Analogia mecanică a circuitului oscilant.*

Să considerăm comparativ oscilațiile unui circuit și ale unui pendul elastic.

Se știe că, la un asemenea pendul, toată energia potențială, transmisă din exterior, prin întinderea resortului, reapare sub forma cinetică, în momentul când masa oscilantă trece prin poziția de repaus.

Conservarea energiei se va exprima, în cazul de față, prin relația

$$\frac{1}{2} Kx^2 = \frac{1}{2} mv^2. \quad (74.1 ; 75.1)$$

Trecînd la circuitul oscilant, energia transmisă, prin încărcarea condensatorului, fiind egală cu energia maximă a cîmpului magnetic, avem

$$\frac{1}{2} \cdot \frac{Q^2}{C} = \frac{1}{2} LI^2. \quad (220.1 ; 304.1)$$

Iar ca să putem stabili un criteriu de comparație, vom observa că, după cum

$$\frac{dx}{dt} = v, \quad \text{tot așa} \quad \frac{dQ}{dt} = I.$$

Prin urmare, dacă trecem de la oscilația elastică, la oscilația electromagnetică :

- 1) În locul vitezei  $v$ , apare intensitatea  $I$  a curentului ;
- 2) În locul masei inerțiale  $m$ , intervine inductanța  $L$  ;
- 3) În locul constantei elastice  $K$ , intervine inversa capacității :  $\frac{1}{C}$ .

Figura 279 completează această comparație. Aici similitudinea situațiilor succesive face inutilă orice altă explicație.

<sup>1)</sup> Profesor la Institutul Politehnic din Iași. Lucrările sînt făcute în colaborare cu E. Luca și E. Lăzărescu.



Același paralelism apare și din examinarea, în lumina celor de mai sus, a relațiilor cunoscute

$$T = 2\pi \sqrt{\frac{m}{K}}, \text{ și } T = 2\pi \sqrt{LC}. \quad (69.4; 30\delta.1)$$

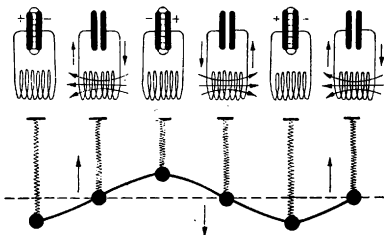


Fig. 279. Analogia mecanică a circuitului oscilant.

*Exemple numerice.* 1) Un cîmp de inducție variază cu timpul după legea experimentală  $B = Kt^2$  și trimite linii de forță în lungul unei bobine cu 400 de spire, fiecare cu suprafața de 1600 cm<sup>2</sup>.

Presupunind că valoarea numerică a lui  $K$  este 200, să se calculeze forța electromotoare indusă, în cazul cînd variația de flux a durat 0,5 s. Fluxul de inducție fiind

$$\Phi = BS = 200 \cdot 400 \cdot 1600 t^2 = 128 \cdot 10^6 t^2,$$

relația

$$e = - \frac{d\Phi}{dt} \quad (293.1)$$

ne dă, în valoare absolută,

$$e = 2 \cdot 128 \cdot 10^6 \cdot 0,5 = 128 \cdot 10^6 \text{ u.CGS e.m.,}$$

sau, în volți

$$E = \frac{128 \cdot 10^6}{10^8} = 1,28 \text{ V.}$$

2) Un disc de cupru, cu raza de 20 cm, se rotește într-un cîmp de inducție normal pe suprafața lui și face 100 de rotații pe secundă.

Intensitatea cîmpului fiind de 20 000 Gs, ce forță electromotoare indusă apare între axă și periferia discului și ce intensitate de curent se obține, cînd rezistența circuitului este de 0,05  $\Omega$ .

Relația (293.3)

$$e = -\frac{1}{2} B r^2 \omega$$

în care introducem datele numerice, ne dă, în valoare absolută,

$$e = \frac{1}{2} \cdot 20\,000 \cdot 400 \cdot 6,28 \cdot 100 = 25,12 \cdot 10^8 \text{ u CGS e.m.,}$$

sau, în volți,

$$E = 25,12 \text{ V.}$$

Iar curentul va fi

$$I = \frac{E}{R} = \frac{25,12}{0,05} \approx 502 \text{ A.}$$

3) Un solenoid, cu secțiunea de cinci centimetri pătrați și lungimea de un metru are 2 000 de spire.

Să i se calculeze inductanța.

Relația

$$L = \mu_0 \frac{N^2}{l} S \quad (299.2)$$

ne dă, în unități MKSA, știind că, numeric,  $\mu_0 = 10^{-7}$ ,

$$L = 10^{-7} \cdot 4 \cdot 3,14 \cdot \frac{4 \cdot 10^6}{1} \cdot 5 \cdot 10^{-4} = 2,5 \cdot 10^{-3} \text{ H,}$$

iar în u. CGS e.m.,

$$L = 2,5 \cdot 10^{-3} \cdot 10^9 = 2,5 \cdot 10^6 \text{ cm.}$$

4) Un electromagnet are inductanța bobinașului de 20 H și rezistența ohmică de 10  $\Omega$ .

După cîte secunde, de la închiderea circuitului, curentul atinge 0,99 din valoarea maximă?

Relația (303.1)

$$I = I_0 - I_0 e^{-\frac{R}{L} t}$$

în care introducem valorile numerice, ne dă, cînd  $I = 0,99 I_0$

$$0,99 = 1 - e^{-\frac{10}{20} t} = 1 - e^{-\frac{1}{2} t},$$

sau

$$e^{-\frac{1}{2}t} = 0,01$$

și trecînd la logaritmi, găsim că

$$t \approx 9 \text{ s.}$$

5) Să se calculeze energia înmagazinată într-o inductanță de 10 H, parcursă de un curent cu intensitatea de 20 A.

Relația (304.1)

$$W = \frac{1}{2} LI^2$$

ne dă

$$W = \frac{1}{2} 10 \cdot 20^2 = 2\,000 \text{ J.}$$

6) Un cablu subteran, care transportă curent electric, sub tensiunea de 100 000 V a fost întrerupt de la centrală.

Rezistența lui de izolament fiind  $1,56 \cdot 10^9 \, \Omega$  și capacitatea electrostatică, față de blindajul extern, un microfarad, să se calculeze tensiunea după două ore de repaus.

Știînd că  $1 \mu\text{F} = 10^{-6} \text{ F}$  și că  $2\text{h} = 7\,200 \text{ s}$ , relația

$$U = U_0 e^{-\frac{1}{CR}t} \quad (305.1)$$

ne dă

$$U = 100\,000 \cdot e^{-\frac{1}{10^{-6} \cdot 1,56 \cdot 10^9} \cdot 7\,200}$$

sau

$$U = 10^5 \cdot e^{-4,6}$$

sau încă

$$\ln \frac{10^5}{U} = 4,6.$$

Și trecînd la număr, găsim că, după două ore, tensiunea cablului este

$$U = 1\,000 \text{ V.}$$

și prezintă încă pericol de electrocutare.

## CAPITOLUL XL

### APARATE ELECTRICE DE MĂSURAT

§ 307. **Aparate cu magnet permanent.** Aceste aparate se bazează pe acțiunea reciprocă a curenților și magneților.

Ele pot să existe în două variante :

1) Dacă un circuit mobil se află în câmpul magnetului, acesta îl rotește sau îl deviază. Din această categorie fac parte :

1. *Galvanometrul cu cadru mobil.* Aici un cadru, bobinat cu sîrmă izolată, care cuprinde cîteva sute de spire, stă suspendat, cu două fire verticale, între poli magnetului (fig. 280).

Curentul trece prin firele de suspenziune și parcurge cadrul, iar acesta se rotește, cu tendința de a-și orienta planul perpendicular pe linia polilor, în măsura în care îi permite cuplul de torsiune al firului.

Un cilindru de fier, fixat între poli, micșorează reluctanța circuitului magnetic și mărește fluxul.

Citirea deviațiilor se face, de obicei, cu o fișie de lumină, care se reflectă pe oglinda *O* și apoi cade pe o scală gradată.

Sensibilitatea poate să atingă  $10^{-9}$  A, pentru deviația de un milimetru, cînd scala se găsește la distanța de un metru.

2. *Ampermetrul cu cadru mobil.* În principiu, acest ampermetru este construit la fel cu galvanometrul descris mai sus.

Cadrul stă pe vîrfuri de oțel, în lagăre metalice, iar legătura cu bornele se face, de astă dată, prin două spirale metalice, care se strîng progresiv, în timpul rotației sistemului (fig. 281).

Sensibilitatea este, bineînțeles mult mai mică decît a galvanometrului și poate fi aleasă după voie, dacă folosim șunturi convenabile (§ 235).

Ambele aparate descrise își inversează sensul deviației, odată cu curentul care le străbate.



Fig. 280. Principiul galvanometrului cu cadru mobil.

Cînd vrem să le folosim în curent alternativ, trebuie să recurgem fie la cuplurile termoelectrice, descrise în § 249, fie la sisteme de *redresare*, adică la dispozitive, montate în serie, care permit curentului să treacă numai într-un singur sens.

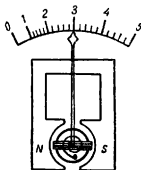


Fig. 281. Principiul ampermetrului cu cadru mobil.

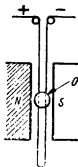


Fig. 282. Principiul galvanometrului cu buclă.

3. *Galvanometrul cu buclă*. Schema de principiu este reprezentată în figura 282.

Bucula este un fir metalic dublu și continuu, cât mai subțire, dispus într-un plan paralel cu linia polilor magnetului.

Prin trecerea curentului, una din laturile buclei deviază către observator, iar cealaltă în sensul contrar și oglinda *O* se rotește, împreună cu fișa de lumină reflectată, ce cade pe dînsa.

Acest galvanometru este mai puțin sensibil decît acela cu cadru mobil, dar are avantajul că poate să urmărească variațiile rapide ale curentului, fiindcă echipajul mobil are momentul de inerție foarte mic.

El e folosit mai ales ca *oscilograf*, înregistrînd mișcările fișiei luminoase, pe un film fotografic, ce se deplasează continuu, în fața ei.

În cazul acesta, ca să amortizăm vibrațiile proprii ale buclei, o introducem în ulei.

4. *Galvanometrul cu coardă*. Acest galvanometru este o variantă a precedentului, cu aceleași domenii de folosire.

El diferă prin aceea că bucla este înlocuită cu un singur fir, pe care cîmpul magnetului tinde să-l devieze lateral, perpendicular pe planul figurii 283.

Pieșele polare sînt găurite și un microscop  $M$  ne permite să observăm deviațiile firului, luminat prin partea opusă, de o lampă electrică  $L$ .

II) Dacă bobina parcursă de curent este fixă și magnetul este mobil, deviază magnetul. Din această categorie face parte :

*Galvanometrul cu magneți mobili.* Pe o bară verticală, suspendată cu un fir de mătase foarte subțire, sînt fixați niște magneți, orientați în planul figurii 284.

În jurul lor, sînt înfășurate două bobine  $B_1$  și  $B_2$ , prin care trece curentul de măsurat.

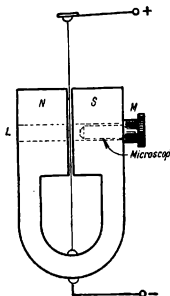


Fig. 283. Principiul galvanometrului cu coardă.

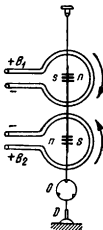


Fig. 284. Principiul galvanometrului cu magneți mobili.

Pentru ca magneții aceștia să fie sustrași acțiunii de orientare a cîmpului pămîntesc, ei sînt dispuși, în cele două bobine, cu polii de nume contrarii în sensuri opuse, formînd ceea ce se numește un sistem *astatic*.

Dacă și bobinele sînt bobinate în sensuri contrarii, cîmpurile magnetice, produse de curentul ce le străbate, deviază echipajul mobil în același sens.

Magneții trebuie să fie cît mai scurți, pentru că altfel momentul de inerție prea mare al sistemului ar lungi peste măsură perioada de oscilație proprie.

Citirea deviațiilor se face reflectînd pe oglinda *O*, fixată pe bara verticală, o fișie de lumină.

Sensibilitatea este mai mare, decît la galvanometrul cu cadru mobil și atinge  $10^{-11}$  A, în condițiile arătate.

**§ 308. Ampermetre cu fier moale.** Aceste aparate se bazează pe atracția exercitată de o bobină, asupra unei bucăți de fier, pe care ea însăși o magnetizează, cînd e parcursă de curentul electric.

Între diferitele variante posibile, fig. 285 reprezintă pe cea mai obișnuită :

În interiorul bobinei se află două plăci de fier *a* și *b*.

Una este fixată pe corpul aparatului și cealaltă este legată la o pîrghie, mobilă în jurul unei axe centrale și prevăzută cu un resort în spirală.

La trecerea curentului prin bobină, cele două plăci se magnetizează, cu polii de același nume față-în-față.

Ele se resping atunci, iar pîrghia mișcă acul indicator, pe scala gradată.

Acțiunea de respingere persistă, cînd curentul se inversează. De aceea tipul acesta de ampermetru poate fi întrebuințat fie în curent continuu, fie în curent alternativ.

El e însă mult mai puțin precis decît acela cu cadru mobil și mai are inconvenientul că deviațiile nu sînt proporționale cu intensitatea curentului.

La un ampermetru cu cadru mobil, diviziunile scalei sînt practic echidistante, pe cînd aici ele sînt mai îngrămădite, în domeniul intensităților mici.

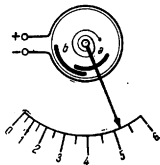


Fig. 285. Principiul ampermetrului cu fier moale.

Aceasta ne permite să deosebim, de la prima privire, cele două tipuri descrise.

§ 309. **Ampermetre electrodinamice.** Ampermetrele cu cadru mobil, cât și cele cu fier moale, simple și robuste, sînt cele mai răspîndite, în industrie și în laboratoare.

Dar primele au cusurul că acțiunea cîmpului din bobina mobilă tinde să demagnetizeze magnetul permanent și de aceea nu trebuie să fie ținute prea multă vreme în circuit, cînd e vorba de un aparat de precizie.

De altă parte, cele cu fier moale se încălzesc, prin curenții Foucault, în cîmp alternativ. Această încălzire modifică însușirile magnetice ale fierului și falsifică indicațiile.

Figura 286 reprezintă un ampermetru *electrodinamic*, în care curentul parcurge două bobine concentrice, depănate în sensuri contrarii și legate în serie.

Una este fixă, iar cealaltă mobilă și tinde să se întoarcă de  $180^\circ$ .

Paleta C, legată de acul indicator, se mișcă într-un canal închis și amortizează oscilațiile proprii ale sistemului.

Procedeul acesta de amortizare îl găsim, de altfel, aplicat la toate ampermetrele de precizie.

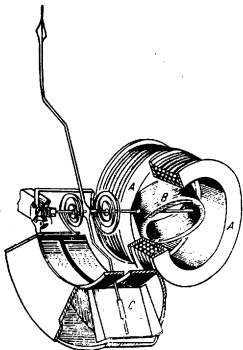


Fig. 286. Principiul ampermetrului electro-dinamic.



Ampermetrele de tipul electrodinamic, în care nu există nici fier, nici magneți permanenți, sînt cele mai precise și de aceea le folosim, de preferință, pentru controlul celorlalte.

Dar fiindcă bobinele au cîmpul magnetic propriu destul de slab, determinările trebuiesc făcute la adăpost de alte cîmpuri exterioare și de aceea întregul sistem e introdus într-o cutie de fier, ce servește ca ecran magnetic.

§ 310. **Voltmetre.** Voltmetrele sînt construite pe același principiu ca și ampermetrele.

În fond, ele măsoară tot o intensitate de curent, care-i proporțională cu diferența de potențial aplicată la borne.

În adevăr, dacă cunoaștem rezistența bobinajelor interne ale aparatului, legea lui Ohm

$$U = RI$$

ne permite să înlocuim gradația în amperi, printr-o gradație în volți.

Voltmetrul se montează totdeauna în paralel cu circuitul, între punctele a căror diferență de potențial trebuie măsurată.

Iar pentru ca prezența lui să nu modifice sensibil intensitatea curentului din circuit, rezistența internă trebuie să fie cît mai mare.

• Domeniul de gradație al scalei poate fi modificat cu rezistențe suplimentare, legate în serie cu bobinajul aparatului.

De pildă un voltmetru, care măsoară pînă la 100 V și are o rezistență interioară de 20 000  $\Omega$ , poate să măsoare pînă la 200 V, dacă-i legăm în serie o rezistență egală cu a lui proprie.

Ampermetrul are, din contra, o rezistență interioară mică, fiindcă el se leagă în serie pe circuit și prezența lui nu trebuie să modifice sensibil însăși intensitatea de măsurat a curentului.

# PARTEA A NOUA

## CURENTUL ALTERNATIV

### CAPITOLUL XLI

### CURENTUL SINUSOIDAL

§ 311. **Intensitatea și tensiunea.** Să considerăm un cadru rigid, bobinat cu fir de metal și supus unei mișcări de rotație uniforme, în jurul unei axe  $XY$ , perpendiculară pe liniile de forță ale unui câmp de inducție magnetică  $B$  (fig. 287).

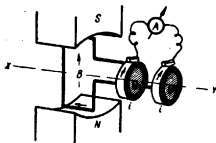


Fig. 287. Producerea unui curent sinusoidal.

Extremitățile firului sînt legate la două inele de contact, notate cu  $i$ , care se rotesc odată cu cadrul.

În timpul rotației, fluxul de inducție străbate suprafața cadrului cînd într-un sens, cînd în altul.

Consecința este că, în circuitul mobil, apare o forță electromotoare indușă, care se inversează de două ori, într-o rotație de  $360^\circ$ .

După relația de definiție a fluxului de inducție, avem

$$\Phi = BS \cos \alpha \quad (265.2)$$

în care  $\alpha$  este unghiul cuprins între direcția cîmpului și normala pe suprafața circuitului (fig. 288).

Dar, la viteza unghiulară  $\omega$ , unghiul acesta variază cu timpul după legea

$$\alpha = \frac{2\pi}{T} t = \omega t.$$

Și astfel rezultă că fluxul de inducție, la momentul  $t$ , are valoarea

$$\Phi = BS \cos \omega t.$$

El atinge un maximum

$$\Phi_{\max} = \Phi_0 = BS$$

când unghiul  $\alpha$  este nul.

Prin urmare

$$\boxed{\Phi = \Phi_0 \cos \omega t} \quad (311.1)$$

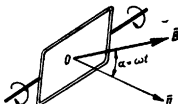


Fig. 288. În timpul rotației cadrului, fluxul variază sinusoidal.

De aici putem calcula că forța electromotoare indusă este

$$\boxed{E = -\frac{d\Phi}{dt} = \Phi_0 \omega \sin \omega t} \quad (311.2)$$

Sau, dacă notăm

$$E_{\max} = E_0 = \Phi_0 \omega$$

putem scrie că

$$\boxed{E = E_0 \sin \omega t} \quad (311.3)$$

**F.e.m. sinusoidală indusă are amplitudinea proporțională cu fluxul maxim și cu viteza unghiulară a circuitului.**

*Prin urmare forța electromotoare indusă variază sinusoidal cu timpul, iar amplitudinea este proporțională cu fluxul maxim și cu viteza unghiulară a cadrului.*

Totodată, observînd că relația (311.1) de mai sus poate fi scrisă sub forma

$$\Phi = \Phi_0 \sin \left( \omega t + \frac{\pi}{2} \right) = \Phi_0 \sin \frac{2\pi}{T} \left( t + \frac{T}{4} \right)$$

este deosebit de interesant să o comparăm cu relația (311.3), prin care am exprimat forța electromotoare indusă.

Fluxul inductor este în avans de fază cu  $\pi/2$  față de f.e.m. indusă.

*Această comparație ne arată că fluxul inductor este în avans de fază cu  $\pi/2$ , față de forța electromotoare indusă.*

Dar unghiului de fază  $\pi/2$  îi corespunde un sfert de perioadă și astfel, dacă reprezentăm grafic variația în timp a celor două mărimi sinusoidale, curbele respective se situează, una față de alta, după cum arată fig. 289.

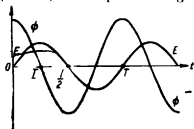


Fig. 289. Variațiile în timp ale fluxului și tensiunii electromotoare induse.

Aceasta înseamnă că, în cadrul rotitor considerat, forța electromotoare indusă trece prin maximum, când planul spirelor trece prin poziția paralelă cu liniile de forță ale câmpului de inducție.

Variația sinusoidală a fluxului, sau a forței electromotoare indusă, ne îndreptățește să recurgem la procedeul de reprezentare prin vectori de poziție rotativi, de care ne-am folosit în studiul mișcării oscilatorii (§ 51).

Ținând seamă de defazajul menționat, vom reprezenta deci amplitudinea fluxului prin vectorul  $\Phi_0$ , iar pe a forței electromotoare prin vectorul  $E_0$ , cu originea comună în  $O$  (fig. 290).

Ei sînt perpendiculari unul pe altul și se rotesc în sensul săgeților, cu aceeași viteză unghiulară.

Proiecțiile lor, pe un diametru  $AB$ , a cărui orientare depinde de alegerea originii timpului, sînt proporționale cu valorile instantanee ale mărimilor

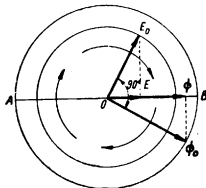


Fig. 290. Maximul tensiunii induse se defazează cu  $90^\circ$  în urma fluxului maxim.

$$\Phi = \Phi_0 \sin\left(\omega t + \frac{\pi}{2}\right) \text{ și}$$

$$E = E_0 \sin \omega t.$$

Această metodă, pe care o vom aplica și altor mașini, are avantajul că ne permite să folosim, în curentul alternativ, procedeele de calcul vectorial, dar trebuie să menționăm de la început că aici vectorii nu corespund unei reale orientări în spațiu, ci sînt numai *vectori de timp*, fiindcă ne arată valoarea momentană și relațiile de fază ale mărimilor la care se referă.

Cu aceste cunoștințe, să presupunem acum că o forță electromotoare sinusoidală întreține curentul electric, într-un circuit cu rezistență ohmică.

Potrivit legii lui Ohm, acest curent are intensitatea

$$I = \frac{E}{R} = \frac{E_0}{R} \sin \omega t = I_0 \sin \omega t \quad (311.4)$$

în care

$$I_0 = I_{\max} = \frac{E_0}{R}$$

reprezintă *amplitudinea intensității*.

În cazul de față, intensitatea nu este constantă, ci variază sinusoidal cu timpul, în fază cu forța electromotoare.

De aceea, dacă vrem să calculăm energia implicată în efectul Joule-Lenz, este mai comod să căutăm, odată pentru totdeauna, o relație care să ne dea intensitatea unui curent constant, cu efect echivalent, adică ceea ce numim *intensitatea eficientă* a curentului alternativ.

Curentul acesta, de substituție, debitează, în rezistența  $R$ , energia

$$W = R I_{ef}^2 T$$

într-un timp egal cu perioada curentului alternativ.

De altă parte, curentul alternativ însuși debitează, tot în cursul unei perioade, cantitatea de energie

$$W = R \int_0^T I^2 dt.$$

Egalînd, găsim că

$$I_{ef}^2 = \frac{1}{T} \int_0^T I^2 dt,$$

Iar dacă ținem seamă de relația (311.4), de mai sus, avem

$$I_{ef}^2 = \frac{1}{T} \int_0^T I_0^2 \sin^2 \omega t \cdot dt = \frac{I_0^2}{T} \int_0^T \frac{1 - \cos 2\omega t}{2} dt = \frac{I_0^2}{2T} \int_0^T dt - \frac{I_0^2}{2T} \int_0^T \cos 2\omega t \cdot dt.$$

Partea a doua din membrul al doilea este nulă fiindcă, între curba reprezentativă a funcțiunii trigonometrice și axa absciselor găsim, pentru o perioadă, două suprafețe egale, cărora le dăm semne contrarii.

Rămâne deci numai primul termen al sumei și el ne duce la rezultatul că

$$\boxed{I_{ef} = \frac{I_0}{\sqrt{2}}} \quad \text{și analog} \quad \boxed{E_{ef} = \frac{E_0}{\sqrt{2}}}. \quad (311.5)$$

Intensitatea și forța electromotoare maxime, împărțite cu  $\sqrt{2}$ , ne dau valorile eficace.

*Prin urmare, ca să obținem forța electromotoare și intensitatea eficace, vom împărți valorile maxime cu 1,41.*

§ 312. **Circuite cu rezistență, inductanță și capacitate.** Un circuit care să aibă numai rezistență ohmică este o excepție, fiindcă mai totdeauna rezistența e însoțită de inductanță, de capacitate, sau de amândouă.

Problema curentului alternativ, în asemenea circuite, poate fi tratată matematic prin mai multe metode. Dintre toate vom alege calea simplă și deosebit de intuitivă a reprezentării vectoriale, ca să analizăm, una câte una, trei situații posibile:

1. *Circuitul cu inductanță și rezistență ohmică.* În fig. 291,  $R$  simbolizează rezistența ohmică totală a circuitului, în care includem și pe a firului bobinei de inductanță  $L$ , iar între

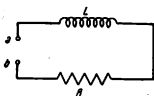


Fig. 291. Circuit cu inductanță și rezistență ohmică.

bornele  $a$  și  $b$  am aplicat o forță electromotoare alternativă

$$E = E_0 \sin \omega t.$$

Admițind că și curentul variază tot sinusoidal, acțiunea inductanței întârzie apariția intensității maxime și-l defazează înapoi, față de forța electromotoare, așa că

$$I = I_0 \sin(\omega t - \varphi_1).$$

De altă parte, legea lui Ohm, aplicată situației de față, ne dă

$$E = RI + L \frac{dI}{dt} \quad (302.1a)$$

și făcând înlocuirile, conform cu relațiile de mai sus, avem

$$E_0 \sin \omega t = RI_0 \sin(\omega t - \varphi_1) + LI_0 \omega \cos(\omega t - \varphi_1)$$

sau

$$E_0 \sin \omega t = RI_0 \sin(\omega t - \varphi_1) + LI_0 \omega \sin\left(\omega t - \varphi_1 + \frac{\pi}{2}\right).$$

**F.e.m. de autoinducție** avansează cu  $90^\circ$  față de căderea ohmică de tensiune.

*Termenii sumați în membrul al doilea ne spun că forța electromotoare de autoinducție avansează cu  $90^\circ$ , față de căderea ohmică de tensiune.*

Prin urmare, dacă rotația decurge în sensul săgeților, vectorii  $RI_0$  și  $LI_0\omega$ , ce reprezintă valorile maxime ale acestor două mărimi, păstrează mereu defazajul arătat în fig. 292.

După relațiile de mai sus, trebuie ca suma lor geometrică să egaleze forța electromotoare maximă  $E_0$ , aplicată la bornele circuitului.

Față cu maximumul căderii ohmice și cu amplitudinea  $I_0$  a intensității curentului, ea este în *avans de fază* cu unghiul  $\varphi_1$  și triunghiul dreptunghic hașurat ne dă

$$\boxed{\operatorname{tg} \varphi_1 = \frac{L\omega}{R}} \quad (312.1)$$

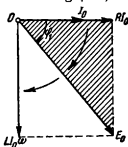


Fig. 292. Inductanța defazează tensiunea maximă înaintea curentului maxim.

*Prin urmare avansul de fază al forței electromotoare aplicate, față de intensitatea curentului, cuprinde un unghi a cărui tangentă este proporțională cu produsul  $L\omega$  și invers proporțională cu rezistența ohmică.*

$$\operatorname{tg} \varphi_1 = \frac{L\omega}{R}.$$

Iar dacă aplicăm, în același triunghi, teorema lui Pytagora, găsim că intensitatea maximă a curentului ce străbate circuitul este legată de forța electromotoare maximă prin relația

$$I_0 = \frac{E_0}{\sqrt{R^2 + L^2 \omega^2}} \quad (3.2.2)$$

sau, împărțind cu  $\sqrt{2}$ ,

$$I_{ef} = \frac{E_{ef}}{\sqrt{R^2 + L^2 \omega^2}}. \quad (3.2.2a)$$

Comparînd aceste relații cu legea lui Ohm  $I = E/R$ , constatăm că apare, la numitor, un termen suplimentar  $L\omega$ .

Inductanța adaugă circuitului o rezistență suplimentară  $L\omega$ .

„Termenul acesta, pe care acțiunea inductanței îl adaugă la rezistența ohmică, se numește „rezistență inductivă” și se exprimă în aceleași unități ca și dînsa.

## 2. Circuitul cu rezistență și capacitate.

Schema este, de astă dată, aceea din fig. 293, iar între bornele  $a$  și  $b$ , am aplicat iarăși forța electromotoare alternativă  $E$ , definită prin relația

$$E = E_0 \sin \omega t.$$

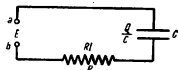


Fig. 293. Circuit cu capacitate și rezistență ohmică.

Ea trimite un curent prin rezistența  $R$  și încarcă condensatorul la diferența de potențial  $U$

așa că, aplicînd legea lui Ohm, avem

$$E = RI + U = RI + \frac{Q}{C}.$$

Ca să nu rămînă în membrul al doilea decît intensitatea  $I$ , e suficient să derivăm, în raport cu timpul și atunci

$$\frac{dE}{dt} = R \frac{dI}{dt} + \frac{1}{C} I.$$



Dar curentul  $I$  atinge valoarea maximă înaintea forței electromotoare  $E$ , pe care încărcarea condensatorului o întârzie să crească.

Defazajul este deci invers ca în circuitul cu inductanță și

$$I = I_0 \sin(\omega t + \varphi_2).$$

În aceste condiții, relația precedentă devine

$$E_0 \omega \cos \omega t - RI_0 \omega \cos(\omega t + \varphi_2) + \frac{I_0}{C} \sin(\omega t + \varphi_2)$$

sau, ceea ce e tot una,

$$E_0 \cos \omega t = RI_0 \cos(\omega t + \varphi_2) + \frac{1}{C\omega} I_0 \cos\left(\omega t + \varphi_2 - \frac{\pi}{2}\right).$$

Tensiunea la bornele capacității întârzie cu  $90^\circ$  față de căderea ohmică.

*Termenii sumați în membrul al doilea ne spun că tensiunea la bornele capacității întârzie cu  $90^\circ$  față de căderea ohmică din rezistența  $R$ .*

Prin urmare, când rotația decurge în sensul săgeților, vectorii  $I_0/C\omega$  și  $RI_0$ , ce reprezintă valorile maxime ale acestor două mărimi, păstrează mereu defazajul arătat în fig. 294.

Suma lor geometrică trebuie să egaleze iarăși forța electromotoare maximă  $E_0$ , aplicată la bornele circuitului.

Față de maximumul căderii ohmice și de amplitudinea  $I_0$  a intensității curentului, vectorul  $E_0$  are o întârziere de fază  $\varphi_2$  și triunghiul dreptunghic hașurat ne dă

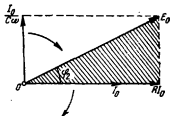


Fig. 294. Capacitatea defazează curentul maxim înaintea tensiunii maxime.

$$\boxed{\operatorname{tg} \varphi_2 = \frac{1}{CR\omega}} \quad (312.3)$$

$$\operatorname{tg} \varphi_2 = \frac{1}{CR\omega}$$

*Prin urmare întârzierea de fază a forței electromotoare aplicate, față de intensitatea curentului cuprinde un unghi a cărui tangentă este inversă produsului  $CR\omega$ .*

Iar dacă folosim iarăși teorema lui Pytagora, găsim că

$$I_0 = \frac{E_0}{\sqrt{R^2 + \frac{1}{C^2 \omega^2}}} \quad (312.4)$$

și aceeași relație rămâne valabilă, dacă înlocuim valorile maxime, prin valorile eficace.

Un condensator nu întrerupe curentul alternativ, ci numai adaugă rezistența capacitivă  $1/C\omega$ .

cu atât mai mică, cu cât capacitatea și pulsația (deci frecvența) sînt mai mari.

*Prin urmare un condensator, legat în serie, nu întrerupe circuitul, în curent alternativ, ci numai adaugă rezistența capacitivă  $1/C\omega$ ,*

Am văzut că, din contra, la circuitul cu autoinducție, rezistența inductivă crește, odată cu inductanța și cu pulsația.

**3. Cazul general.** Să considerăm acum un circuit, în care se găsește o rezistență ohmică, o capacitate și o inductanță, legate așa cum arată fig. 295.

Ținînd seamă că, față de căderea ohmică și de intensitatea curentului, tensiunea la bornele

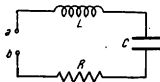


Fig. 295. Circuit cu inductanță, capacitate și rezistență ohmică.

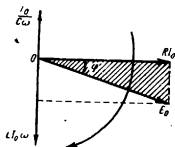


Fig. 296. Acțiunile defazante ale capacității și inductanței sînt inverse.

capacității întîrzie și se defazează cu  $90^\circ$  înapoi, pe cînd forța electromotoare de autoinducție se defazează cu  $90^\circ$  înainte, vectorii ce reprezintă amplitudinile respective păstrează mereu relațiile de fază din fig. 296.

Această *diagramă vectorială*, rezultată din suprapunerea fig. 292 și 294, cuprinde ambele cazuri analizate mai sus, iar suma geometrică a vectorilor trebuie să reprezinte amplitudinea și situația de fază a forței electromotoare aplicate.

Ca să o găsim, e destul să compunem întâi vectorii opuși, iar după aceea să adunăm geometric vectorul al treilea.

Găsim astfel că vectorul  $E_0$  se defazează cu unghiul  $\varphi$ , față de intensitatea maximă.

Triunghiul hașurat ne dă

$$LI_0\omega - \frac{I_0}{C\omega} = RI_0 \operatorname{tg} \varphi.$$

Iar de aici găsim că

$$\operatorname{tg} \varphi = \frac{L\omega - \frac{1}{C\omega}}{R}. \quad (312.5)$$

**Inductanța și capacitatea introduc defazaje contrarii între f.e.m. și intensitatea curentului.**

*Această relație ne spune că inductanța și capacitatea introduc defazaje de sensuri contrarii, între forța electromotoare aplicată și curent.*

Dacă domină efectul inductanței, cum e și cazul obișnuit în practica electrotehnică, forța electromotoare vine înaintea curentului, așa cum arată relația de față și fig. 296.

Dar dacă, mărinz capacitatea, facem ca efectul ei să domine, unghiul de defazaj se inversează, tangenta devine negativă și atunci vom avea

$$\operatorname{tg} \varphi = \frac{\frac{1}{C\omega} - L\omega}{R}. \quad (312.5a)$$

Aceeași figură ne mai arată că

$$RI_0 = E_0 \cos \varphi.$$

Dar

$$\cos \varphi = \frac{1}{\sqrt{1 + \operatorname{tg}^2 \varphi}}$$

și substituind valoarea dată de (312.5), găsim că

$$I_0 = \frac{E_0}{\sqrt{R^2 + \left(L\omega - \frac{1}{C\omega}\right)^2}}. \quad (312.6)$$

Relația (312.6) ne dă intensitatea curentului din circuit, iar numitorul reprezintă impedanța.

Această relație, analogă cu legea lui Ohm, ne dă intensitatea maximă a curentului alternativ. Numitorul ei are dimensiunile unei rezistențe și reprezintă „impedanța” circuitului.

Este de la sine înțeles că nimic nu ne împiedică să înlocuim valorile maxime prin valorile eficace ale tensiunii și curentului, fiindcă aceasta înseamnă doar a împărți ambii membrii cu  $\sqrt{2}$ .

Impedanța se notează totdeauna cu  $Z$  și, potrivit celor de mai sus,

$$Z = \sqrt{R^2 + \left(L\omega - \frac{1}{C\omega}\right)^2}. \quad (312.7)$$

Aici, dacă nu există inductanță în circuit, dispăre termenul  $L\omega$ , iar când armăturile condensatorului sînt în scurt-circuit, ceea ce echivalează cu o capacitate infinită, dispăre termenul  $1/C\omega$ .

**§ 313. Circuitul în rezonanță.** Alegînd convenabil valorile capacității, pulsației transmise circuitului prin forța electromotoare aplicată, sau inductanței, putem face așa ca

$$L\omega = \frac{1}{C\omega}. \quad (313.1)$$

Această situație atrage după dînsa următoarele consecințe :

1) In expresia (312.7), impedanța se reduce la rezistența ohmică.

2) In expresia (312.5), unghiul de defazaj, între tensiune și curent se anulează.

3) Rezolvînd ecuația (313.1), în privința lui  $\omega$ , găsim

$$\omega = \frac{1}{\sqrt{LC}}$$

ceea ce înseamnă că perioada tensiunii alternative, aplicate la bornele circuitului, trebuie să fie

$$T = 2\pi\sqrt{LC},$$

adică egală cu perioada de oscilație proprie a circuitului, dată de formula lui Thomson (306.1).

*Sistemul inductanță-capacitate intră atunci în rezonanță cu pulsațiile tensiunii alternative, aplicată din exterior și, totodată, intensitatea curentului care străbate circuitul crește, până la limita permisă de rezistența ohmică.*

Dacă  $L\omega = 1/C\omega$ , circuitul intră în rezonanță, iar impedanța se reduce la rezistența ohmică.

Rămâne de văzut ce se petrece, în această situație, cu tensiunea  $U$ , de la bornele condensatorului.

Vom pleca de la relația cunoscută

$$I dt = C dU$$

care, în curent alternativ, devine

$$I_0 \sin \omega t dt = C dU.$$

De aici rezultă că

$$U = \frac{I_0}{C} \int \sin \omega t dt.$$

Prin urmare, făcând abstracție de semnul algebric,

$$U = \frac{I_0}{C\omega} \cos(\omega t + \varphi)$$

unde prezența lui  $\varphi$  se datorește constantei de integrare.

Dar, la rezonanță, impedanța se reduce la rezistența ohmică și deci

$$I_0 = \frac{E_0}{Z} = \frac{E_0}{R},$$

așa că

$$U = \frac{E_0}{CR\omega} \cos(\omega t + \varphi)$$

cu amplitudinea

$$U_0 = \frac{E_0}{CR\omega}.$$

(313.2)

Dacă rezistența ohmică este foarte mică, se poate întâmpla ca numitorul acestei fracții să fie mai mic decât numărătorul și atunci apare, la bornele condensatorului, o tensiune alternativă de amplitudine mai mare decât aceea pe care am aplicat-o din exterior.

**Rezonanța** crează supra-tensiuni la bornele condensatorului, dacă  $CR\omega < 1$ .

*Rezonanța poate, așadar, să introducă în circuit o „supratensiune”, dacă factorul  $1/CR\omega > 1$ .*

De aceea  $1/CR\omega$  se numește *factor de supratensiune*.

În instalațiile pentru transportul și utilizarea curentului alternativ, supratensiunile pot să spargă izolații și să dea naștere la deteriorări sau accidente.

Există însă diferite metode care le înlătură automat.

Comparînd acum rezultatele obținute, în studiul rezonanței circuitelor electrice, cu acelea din § 177, relative la rezonanța sistemelor mecanice, vom găsi o perfectă analogie.

De altfel metoda de tratare matematică, folosită acolo, poate fi aplicată și în cazul de față, cu aceleași rezultate finale.

**Efectul pelicular.** În toate considerațiile de mai sus, am presupus că rezistența ohmică este aceeași, în curentul alternativ, ca și în curentul continuu.

Aceasta e, de altfel, și situația reală, cîtă vreme frecvența respectivă nu este prea ridicată.

Dar teoria prevede și experiența confirmă că, la frecvențele foarte înalte, curentul nu mai străbate toată secțiunea conductorului, ci se localizează într-o pătură superficială.

Acesta este așa numitul *efect pelicular* și, din pricina lui, rezistența ohmică este cu atît mai mare, cu cît frecvența e mai ridicată.

**§ 314. Factorul de putere.** Să considerăm situația generală a circuitului cu rezistență, inductanță și capacitate.

Presupunînd că acțiunea inductanței domină, curentul se defazează în urma forței electromotoare și vectorii ce reprezintă valorile maxime formează neconținut, între dînșii, unghiul  $\varphi$ , așa cum arată fig. 297.

În curent continuu, puterea debitată în circuit ar fi fost

$$W = UI.$$

Dar în curent alternativ intensitatea și tensiunea nu sînt în fază și de aceea, ca să calculăm puterea, trebuie mai întîi să proiectăm unul din vectori pe direcția celui alt.

Obținem atunci

$$W_{max} = I_0 U_0 \cos \varphi \quad (314.1)$$

și analog

$$W_{ef} = I_{ef} U_{ef} \cos \varphi \quad (314.1a)$$

Fig. 297. Pentru explicarea factorului de putere.

$\cos \varphi$  se numește **factor de putere**.

În aceste relații, cosinusul unghiului de defazaj între tensiune și curent se numește **factor de putere**.

Factorul de putere poate fi îmbunătățit, introducînd în circuit o capacitate suplimentară, ca să micșoreze unghiul de defazaj impus de acțiunea inductanței.

Iar dacă această capacitate duce sistemul la rezonanță, unghiul de defazaj dispăre.

Componenta  $I_w$  din figură intervine în expresia puterii și de aceea reprezintă *curentul watat*.

Cealaltă componentă, perpendiculară pe  $U_0$  nu produce energie, fiindcă este compensată de acțiunea inductanței.

Ea reprezintă *curentul dewatat* ( $I_{dw}$ ).

Ca încheiere, fig. 298 și 299 reprezintă două dispozitive, prin care putem evidenția influența rezistențelor inductive și capacitive :

O bobină, cu cîteva sute de spire, se leagă în serie cu un bec electric, iar bornele *a* și *b* sînt conectate la rețeaua de curent alternativ a orașului.

Dacă introducem în această bobină un miez de fier, inductanța crește și becul se stinge.

Analog, un condensator de doi microfarazi, legat în serie cu becul, face ca filamentul să devină slab incandescent.

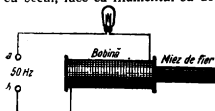


Fig. 298. În curent alternativ, impedanța circuitului crește cu inductanța.

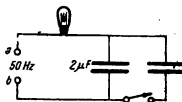


Fig. 299. În curent alternativ, impedanța scade cînd crește capacitatea.

Dar dacă adăugăm, în paralel cu dinsul, un al doilea condensator, micșorăm rezistența capacitivă și becul arde mai tare.

*Exemple numerice.* 1) O forță electromotoare de 220 V (eficace) sub 50 de perioade pe secundă, este aplicată la bornele unui circuit, care cuprinde o inductanță de 2H o capacitate de 20 μF. și o rezistență de 4Ω.

Să se calculeze intensitatea eficace și maximă a curentului.

Frecvența de 50 H corespunde cu

$$\omega = 2\pi f = 2 \cdot 3,14 \cdot 50 = 314 \text{ rad/s}$$

și relația

$$I_{ef} = \frac{E_{ef}}{Z} = \frac{E_{ef}}{\sqrt{R^2 + \left(L\omega - \frac{1}{C\omega}\right)^2}}$$

ne dă

$$I_{ef} = \frac{220}{\sqrt{16 + \left(2 \cdot 314 - \frac{1}{20 \cdot 10^{-6} \cdot 314}\right)^2}} = 0,468 \text{ A.}$$

Iar intensitatea maximă este

$$I_{max} = I_{ef} \sqrt{2} = 0,468 \cdot 1,41 = 0,66 \text{ A.}$$

2) Ce defazaj apare între forța electromotoare și intensitate?

Relația

$$\operatorname{tg} \varphi = \frac{L\omega - \frac{1}{C\omega}}{R}$$



ne dă:

$$\operatorname{tg} \varphi = \frac{2 \cdot 314}{4} - \frac{1}{4 \cdot 20 \cdot 10^{-6} \cdot 314} \cong 117,5$$

și rezultă că

$$\varphi = 89^{\circ}30'.$$

3) Care este puterea eficientă în circuit?

Ne servim de relația

$$P_{ef} = E_{ef} I_{ef} \cos \varphi$$

și găsim că

$$P_{ef} = 220 \cdot 0,468 \cdot \cos 89^{\circ}30' = 0,89 \text{ W.} \quad (314.1a)$$

4) Cu ce capacitate trebuie să înlocuim pe cea de mai sus, ca să ajungem în condiția de rezonanță?

Condiția

$$L\omega - \frac{1}{C\omega} = 0$$

ne dă

$$C = \frac{1}{L\omega^2} = \frac{1}{2 \cdot 314^2} \cong 5 \mu\text{F.}$$

5) Ce supratensiune apare la bornele acestui condensator?

Relația

$$U_{max} = \frac{E_{max}}{CR\omega}$$

ne dă

$$U_{max} = \frac{220 \sqrt{2}}{5 \cdot 10^{-6} \cdot 4 \cdot 314} = 49\,500 \text{ V,}$$

în timp ce

$$E_{max} = 220 \sqrt{2} = 310 \text{ V.}$$

Acest exemplu numeric ne dă o idee destul de clară despre pericolul pe care-l prezintă supratensiunile, în instalațiile industriale de curent alternativ.

## CAPITOLUL XLII

### MAȘINI ELECTRICE

#### (Noțiuni sumare)

§ 315. **Mașini de curent continuu.** Dispozitivul experimental, schematizat în fig. 287, ne dădea, între inelele de contact, o forță electromotoare alternativă, iar în circuit un curent alternativ, care schimbau sensul de două ori, în timpul fiecărei rotații a cadrului.

Dar dacă înlocuim aceste inele prin sectoare cilindrice, așa cum arată fig. 300, facem ca, totodată, să se inverseze și contactul.

Ca urmare, curentul alternativ din circuitul exterior se *comutează* automat în pulsații unidirectionale succesive (figura 301).

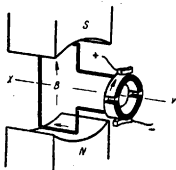


Fig. 300. Principiul comutației.

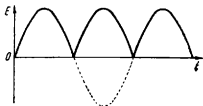


Fig. 301. Efectul comutației.

Pe acest principiu funcționează generatorul de curent continuu, care se numește *dinamo*:

În interiorul cadrului se introduce un tambur cilindric de fier, făcut din tole circulare suprapuse, iar în loc de o singură bobină se înfășură mai multe, dispuse simetric, în plane diferite și legate în serie (fig. 302).

Aceste bobine sînt fixate în canale, tăiate în lungul tamburului și numite *ancoșe*.

În loc de două sectoare cilindrice, ca mai sus, vor fi tot atîtea cît și numărul bobinelor, iar fiecare trecere de la o bobină la alta este legată la cîte un sector.

Toate aceste sectoare formează *colectorul mașinii*, pe care se sprijină două contacte, sau *perii* de grafit  $P_1$  și  $P_2$ , dispuse după un diametru aproximativ perpendicular pe liniile de forță ale câmpului.

Pulsațiile din fiecare bobină, redresate prin comutație, se suprapun în circuitul exterior și dau tensiunii aspectul ondulat din fig. 303.

Cu cât numărul de bobine (respectiv de lame pe colector) va fi mai mare, cu atât undulațiile vor fi mai dese și mai mărunte, așa că vom căpăta un curent aproape constant, adică aproape continuu.

Ca să obținem câmpul de inducție necesar, introducăm tamburul între polii unui electromagnet, al cărui bobinaj îl alimentăm fie în paralel cu perile colectorului, fie în serie cu circuitul exterior (fig. 304).

Datorită magnetismului remanent, generatorul începe să funcționeze chiar dacă bobinajul electromagnetului nu este încă alimentat, de îndată ce imprimăm tamburului o mișcare de rotație.

Slabul curent, astfel produs, continuă magnetizarea mai departe și mașina *se excită*, pînă la o eventuală saturație.

În fig. 305 am reprezentat, în stare demontată, un dinamo cu două perechi de perii și mai mulți poli magnetici.

Nu este cazul să intrăm aici în amănunte care depășesc domeniul unei cărți de fizică. Ele pot fi găsite în orice manual de electrotehnică.

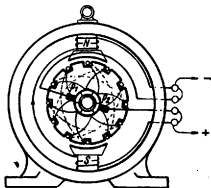


Fig. 302. Schema unui generator de curent continuu (dinamo).

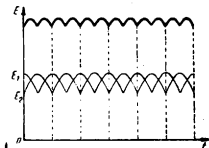


Fig. 303. Curentul ondulat al unui tambur cu două bobine dispuse rectangular.

*Ceea ce nu trebuie uitat este că, în realitate, orice mașină de curent continuu produce curent alternativ, pe care-l redresează prin comutare.*

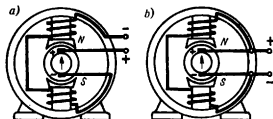


Fig. 304. Excitarea în serie (a) și în paralel (b).

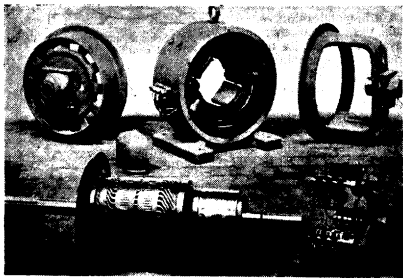


Fig. 305. Dinamo sau motor de curent continuu, demontat.

Teoria prevede și experiența confirmă că aceste mașini pot să îndeplinească un dublu rol :

Dacă le rotim, transformă energia mecanică în energie electrică, iar dacă trecem prin ele un curent de intensitate convertibilă, capătă, la rîndul lor, o mișcare de rotație.

Orice dinamo produce curent alternativ și-l redresează prin comutare. El poate să funcționeze și ca motor electric.

Primul motor electric a fost conceput și construit de *M. H. v. Jacobi*, între 1834 și 1838 la Petersburg, dar pe alte principii decât acele descrise mai sus și aplicat la propulsia pe apă.

În 1871, *Gramme*<sup>1)</sup> a inventat sistemul de bobinaj pe inel rotativ, reprezentat în fig. 306.

El este cel dintâi care a conceput sistemul de comutare a curenților alternativi de inducție prin dispoziția colectorului.

Dar inelul lui Gramme nu mai are acum decât o importanță istorică și de mult a dispărut din practică.

Actualul sistem de bobinaj în tambur, descris mai sus, are avantajul că folosește mult mai rațional variațiile fluxului de inducție. El a fost introdus de *Hefner-Altenek*<sup>2)</sup>, în 1873.

*Prin urmare o aceeași mașină este capabilă să funcționeze fie ca generator de energie electrică, fie ca generator de energie mecanică, deci ca motor electric.*

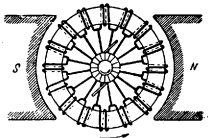


Fig. 306. Schema de bobinaj a inelului Gramme.

Motoarele de curent continuu pot fi construite pentru orice putere, începând cu o mică fracțiune de cal și până la câteva mii de cai.

Ele au, totuși, unele inconveniente care le-au restrâns domeniul de folosință, în avantajul altor mașini, mai simple și mai robuste, de curent alternativ, pe care urmează să le descriem.

**§ 316. Alternatorii.** Aceștia sînt generatori de curent alternativ, în care nu mai folosim procedeul de comutare.

Principiul este următorul:

O carcasă din tole de fier, numită *stator*, are fixate, la interior, niște bobine, legate în serie și depănate cînd într-un sens, cînd în altul, așa cum arată fig. 307.

În fața lor, un număr egal de bobine sînt fixate radial pe o piesă rotativă, tot de fier, numită *rotor*.

<sup>1)</sup> *Zénobe Théophile Gramme* (1826—1901), inginer belgian. Precursorul lui este fizicianul italian *Antonio Pacinotti* (n. în 1841).

<sup>2)</sup> *v. Hefner-Altenek* (1845—1907), inginer german.

Ele sînt conectate în serie și depănate așa fel ca, la extremitățile libere, să apară alternativ poli magnetici nord și sud.

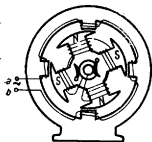


Fig. 307. Principiul alternatorului monofazat.

Curentul magnetizant este produs de o mașină suplimentară, numită *excitatoare* și cuplată chiar pe axa rotorului.

Trecerea succesivă a polilor de pe rotor, prin fața bobinelor de pe stator, dă naștere, prin inducție, la forțe electromotoare cu frecvența

$$f = np$$

unde  $n$  reprezintă numărul de rotații pe secundă și  $p$  numărul perechilor de poli.

Ele sînt în fază și fiindcă bobinele sînt legate în serie se adună una cu alta.

Forța electromotoare totală o vom găsi deci la extremitățile  $a$  și  $b$  ale bobinajului de pe stator.

După felul construcției și regimul de rotație, frecvența poate să atingă 5 000—6 000 Hz. Dar, în exploatarea industriale, frecvența standardizată este 50 Hz, pe care o găsim obișnuit la priza legată de sectorul alternativ al orașului.

**1. Curenții polifazați.** Dacă avem, prin  $n$  circuite diferite,  $n$  curenți alternativi, cu aceeași perioadă, însă defazați între dinșii cu  $2\pi/n$ , acești curenți formează împreună un sistem polifazat.

În cele ce urmează, vom presupune că toți curenții au aceeași intensitate maximă.

Figura 308 reprezintă variația în timp a curenților, într-un sistem trifazat.

Aici defazajul este  $2\pi/3$ , așa că maximele se succed la intervalul de timp  $T/3$ .

Ca exemplu practic, rotirea magnetului din fig. 309,  $a$  produce, între bornele notate cu 1—2 și 3—4, curenți bifazați, la care maximele se succed în timp așa cum arată fig. 309,  $b$ .

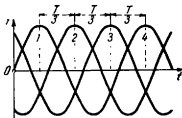


Fig. 308. Curenții trifazați se defazează reciproc cu o treime de perioadă.

Alternatorii polifazați sînt construiți la fel cu cei monofazați, cu deosebirea că, pentru  $p$  perechi de poli ai rotorului, se introduc  $np$  perechi de bobine pe rotor.

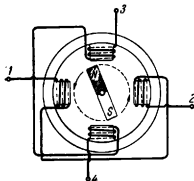


Fig. 309, a. Principiul alternatorului bifazat.

Fig. 309, b. Variația în timp a intensității curenților bifazați.

Aceste bobine se leagă în serie, dar grupate și din  $n$  în  $n$ .

De pildă, într-un alternator trifazat, cele  $3p$  perechi de bobine se leagă în ordinea 1, 4, 7, ..., apoi 2, 5, 8, ..., și, în fine, 3, 6, 9, ...

Pentru fiecare grupă, vom avea deci câte două borne de contact cu exteriorul.

**2. Gruparea în stea și în triunghi.** Cei mai larg folosiți în practică sînt curenții trifazați. De aceea ne vom ocupa mai ales de gruparea tensiunilor și de distribuția lor.

**1) Gruparea în stea.** Cele trei grupe de bobine ale alternatorului sînt legate, deoparte împreună, iar de cealaltă parte la trei fire de distribuție, așa cum arată schematic fig. 310, a.

De obicei un al patrulea fir face legătura între punctul comun și pămînt, așa că se găsește la potențialul zero.

Diagrama vectorială din fig. 310, b ne arată că, între vîrfurile stelei, tensiunea maximă este

$$U = V\sqrt{3}$$

fiindcă unghiul de defazaj este de  $120^\circ$ .

La stațiunea receptoare, circuitele de utilizare trebuie să aibă, pe cât posibil, rezistențele sau impedanțele de aceeași mărime, ca să nu desechilibreze alternatorul.

Aceste rezistențe au fost notate cu  $R_1$ ,  $R_2$  și  $R_3$ .

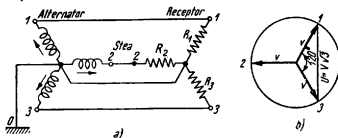


Fig. 310. Conexiunea în stea la curenții trifazați.

2) *Gruparea în triunghi.* Cele trei grupe de bobine ale alternatorului sînt aici legate cap-la-cap, așa cum arată fig. 311. a, iar distribuția se face numai pe trei fire.

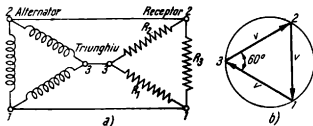


Fig. 311. Conexiunea în triunghi a curenților trifazați.

Între vîrfurile triunghiului, tensiunea maximă este aceea corespunzătoare fiecărui grup de bobine.

Diagrama vectorială din fig. 311, b, corespunde acestui fel de grupare.

§ 317. **Motoare de curenț alternativ.** Să presupunem că două bobine, cu axele dispuse perpendicular, sînt parcurse de curenți bifazați (fig. 312).



În aceste condiții, dacă inducția magnetică, în una din ele, ar fi

$$B_1 = B_0 \sin \omega t,$$

inducția în cealaltă, defazată cu  $\pi/2$  este

$$B_2 = B_0 \cos \omega t.$$

Cele două cîmpuri alternative și perpendiculare se compun, iar dacă ridicăm ambele relații la pătrat, găsim, după sumarea lor membru cu membru,

$$B_1^2 + B_2^2 = B_0^2.$$

Această relație, de forma

$$x^2 + y^2 = a^2$$

reprezintă un cerc, de rază  $B_0$ .

De altă parte, figura ne arată că

$$\operatorname{tg} \alpha = \frac{B_1}{B_2} = \frac{B_0 \sin \omega t}{B_0 \cos \omega t}.$$

Prin urmare

$$\alpha = \omega t$$

și rezultă că extremitatea liberă a vectorului  $B$  se rotește pe un cerc cu viteza unghiulară

$$\omega = \frac{2\pi}{T}$$

unde  $T$  este perioada comună a celor doi curenți alternativi.

Situația este deci în totul similară cu compunerea vibrațiilor sinusoidale de aceeași perioadă și orientate după direcții perpendiculare, cînd sînt defazate cu  $\pi/2$  (§ 55).

**Două cîmpuri rectangulare de aceeași perioadă, defazate cu  $\pi/2$ , dau naștere unui cîmp rotitor.**

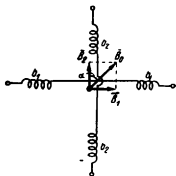


Fig. 312. Formarea cîmpului magnetic rotitor.

*În concluzie: două cîmpuri rectangulare, de aceeași perioadă și defazate cu  $\pi/2$ , produc împreună un cîmp rotitor.*

Considerînd că sensul de rotație al acestui cîmp ar fi acela din fig. 313, dacă am introduce în el o piesă metalică masivă, apar în ea curenți de inducție, din pricina deplasării relative a liniilor de forță.

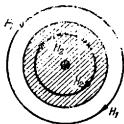


Fig. 313. Acțiunea cîmpului rotitor.

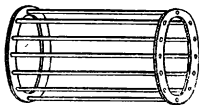


Fig. 314. Conductorii rotorului în cușcă de veveriță.

Acești curenți, după legea lui Lenz, trebuie să dea naștere altui cîmp opus, care se rotește în același sens.

Acțiunea reciprocă de respingere, datorită celor două cîmpuri, va imprima piesei metalice o rotație, cu viteza unghiulară a cîmpului activ, adică *sincronă* cu dînsul.

Dar dacă intervin frecări, mișcarea este frînată și devine *asincronă*. Piesa metalică se rotește atunci mai încet decît cîmpul.

Se poate demonstra că trei cîmpuri alternative, alimentate în trifazat și dispuse în plan sub unghiuri de  $120^\circ$ , adică după medianele unui triunghi echilateral, produc de asemenea un cîmp rotitor.

Pe acest principiu funcționează unul din tipurile cele mai obișnuite de motoare pentru curent alternativ.

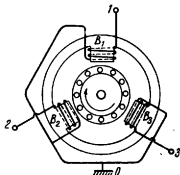


Fig. 315. Principiul motorului pentru curent trifazat.

Partea rotativă este formată dintr-o serie de bare de cupru, dispuse așa cum arată fig. 314, între două inele, tot de cupru și apoi îngropate într-un tambur, făcut din tole de fier suprapuse<sup>1)</sup>.

Un motor asincron, pentru curentul trifazat va avea deci aspectul de principiu din fig. 315.

Bobinele  $B_1$ ,  $B_2$  și  $B_3$  sînt conectate în triunghi sau în stea, pe o rețea trifazată și dispuse radial, într-o carcasă făcută din tole de fier. (În cazul din figură, conexiunea este în stea).

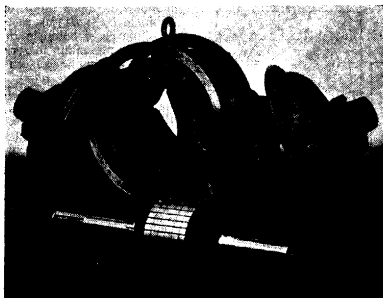


Fig. 316. Părțile componente ale unui motor de curent alternativ trifazat.

Pentru o mai bună înțelegere, am reprodus, în fig. 316, fotografia unei astfel de mașini, cu piesele demontate.

Paletele metalice, de la capetele tamburului, au rostul să întrețină în motor un curent de aer, pentru ventilație.

<sup>1)</sup> Din cauza formei speciale a sistemului barelor de cupru din rotor, acest motor se mai numește *în cușcă de veveriță*, fiindcă, în adevăr și mai ales în Franța, se țin veverițe captive într-o cușcă de această formă.

Principiul cîmpului rotitor a fost dat în 1888 de *Ferraris*<sup>1)</sup> și aplicat în același an de *Tesla*.

Sub forma actuală și aproape fără modificări, primul motor asincron pentru curentul trifazat a fost conceput și construit de *Dolivo Dobrovolski*<sup>2)</sup>, în 1891.

Pe lângă avantajul simplității, acest motor mai are și pe acela că rotorul nu conține nici un fel de bobinaje sau contacte mobile, cum era cazul în mașinile cu colector.

1. *Motoare de curent monofazat.* Figura 317 ne arată cum putem crea cîmpuri rotitoare și cu ajutorul curentului monofazat, dacă alimentăm bobinele  $B_3$  și  $B_4$  sub aceeași tensiune ca și bobinele  $B_1$  și  $B_2$ , însă intercalăm în serie o bobină suplimentară  $L$ , cu inductanța destul de mare.

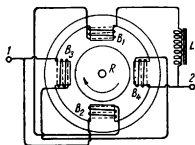


Fig. 317. Principiul motorului pentru curent alternativ monofazat.

Această bobină introduce un defazaj de aproape  $90^\circ$ , între cele două cîmpuri alternative și rectangulare, așa că totul se petrece ca în curentul alternativ bifazat, adică ia naștere un cîmp rotitor.

2. *Motorul cu colector în curent alternativ.* Un motor cu colector, excitat în serie, ca în fig. 304, a, poate să funcționeze și în curent alternativ monofazat fiindcă, prin efectul comutației, sensul cîmpului se inversează simultan, atât în bobinele tamburului, cit și în ale celor de excitație.

} Va trebui însă, bineînțeles, ca nu numai tamburul, ci întreaga carcasă să fie făcute din tole, ca să evităm încălzirile prin curenții Foucault.

Aceste motoare au aplicații numeroase, de pildă în aparatele menajere: ventilatoare, compresoare pentru frigorigere, aspiratoare de praf și așa mai departe, fiindcă toate aceste aparate, prin forța lucrurilor, trebuie legate la sectorul de curent alternativ al orașului.

<sup>1)</sup> *Galileo Ferraris* (1847—1897), inginer italian, fost profesor la Torino.

<sup>2)</sup> *Mihail Osipovici de Dolivo-Dobrovolski* (n. în 1861), inginer rus fugit în Germania, din cauza persecuțiilor pentru idei revoluționare.

Cu oarecare perfecționări, menite să înlăture scintele prea mari de la colector, ele sînt de asemenea folosite pe locomotivele electrice, fiindcă permit o schimbare lesnicioasă a vitezei și au cuplul de pornire mai mare decît mașinile cu cîmp rotitor.

§ 318. **Transformatorii.** Se înțelege prin *transformator* un dispozitiv capabil să transforme un curent alternativ de o tensiune dată, în altul, de tensiune diferită, fie mai mare, fie mai mică.

Dispozitivul acesta se compune dintr-un miez închis, făcut din tole de fier, pe care se înfășură un bobinaj *primar* și altul *secundar* (fig. 318).

Să presupunem că *secundarul este în circuit deschis* și că am aplicat o forță electromotoare la bornele primarului.

La un număr de spire suficient de mare, ia naștere atunci în primar o forță electromotoare de autoinducție opusă și practic egală cu aceea pe care am aplicat-o, așa că putem considera puterea debitată ca nulă.

Dar dacă *secundarul este în circuit închis*, el debitează energie și principiul conservării obligă ca intensitatea curentului din primar să crească, pînă la valoarea corespunzătoare acestei energii.

Fluxul de inducție fiind același în toate secțiunile fierului, variația lui în timp dă naștere, în fiecare spirală, atît a primarului, cît și a secundarului, la aceleași forțe electromotoare induse  $E$ .

Dacă notăm cu  $N_p$  și  $N_s$  numărul de spire din primar și secundar, vom avea deci, la bornele primarului,

$$E_p = N_p E$$

și analog, la bornele secundarului.

$$E_s = N_s E.$$

De aici rezultă că

$$\frac{E_p}{E_s} = \frac{N_p}{N_s}.$$

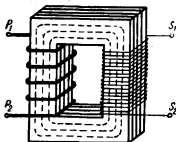


Fig. 318. Principiul transformatorului.

Tensiunile din primar și secundar sînt proporționale cu numărul de spire.

*Prin urmare, tensiunile din primar și secundar sînt proporționale cu numărul respectiv de spire.*

Raportul  $N_p/N_s$  se numește *raport de transformare*.

În ambele circuite, factorii de putere sînt egali, așa că

$$P = E_p I_p \cos \varphi = E_s I_s \cos \varphi.$$

Vom avea deci

$$\frac{E_p}{E_s} = \frac{I_s}{I_p} = \frac{N_p}{N_s}. \quad (318.1)$$

Intensitățile în primar și secundar sînt invers proporționale cu numărul de spire.

*Prin urmare, intensitățile curenților din primar și secundar sînt invers proporționale cu numărul respectiv de spire.*

În aceste considerații elementare am făcut abstracție de căderile ohmice de tensiune.

Prima utilizare practică a transformatorilor se datorește lui *Iabloicov*, care i-a folosit în 1876, pentru alimentarea lămpilor cu arc.

Ulterior, ei au fost perfecționați de *I. F. Ușaghin*<sup>1)</sup>.

**§ 319. Transportul energiei la distanță.** Problema transmiterii de energie electrică la distanță poate fi schematizată astfel: Puterea unui curent electric fiind

$$P = EI$$

ca să transmitem energii mari, prin fire conductoare, trebuie să mărim, în consecință, fie intensitatea curentului, fie tensiunea, fie pe amîndouă.

Dar o intensitate mare implică folosirea de cabluri foarte groase, care să evite căderile ohmice de tensiune și încălzirile prin efectul Joule-Lenz.

De altă parte, o tensiune ridicată este periculoasă și nu poate fi introdusă în locuri ușor accesibile.

În aceste condiții, realizarea, pe scară mare, a unei astfel de transmiteri părea imposibilă.

<sup>1)</sup> Fost laborant la Universitatea din Moscova.

Lupta pentru aplicarea acestor idei revoluționare a deschis-o *Marcel Deprez*<sup>1)</sup>, la congresul electricienilor din 1881.

El a demonstrat că, prin folosirea judicioasă a transformatorilor, energia electrică se poate transmite la distanțe mari, prin fire subțiri și sub tensiuni ridicate, care pot fi apoi coborâte din nou, la locul de utilizare.

Dar ideea, primită la început cu neîncredere, în unele cercuri de specialiști, nu a fost pusă în practică decît în 1891, cînd inginerul *Dolivo-Dobrovolski* a construit prima linie de înaltă tensiune trifazată, care aducea, sub 25 000 V, la o expoziție din Frankfurt pe Main, energia unei căderi de apă, situată la distanța de 175 km.

Odată dovada practică făcută, această tehnică s-a dezvoltat și se dezvoltă mereu, iar astăzi miliarde de kilowatere, luate de la sursele naturale de energie, sînt conduse prin cabluri aeriene sau îngropate, la distanțe de sute de kilometri, pentru luminat, încălzit, forță motoare, industrie chimică sau metalurgică etc.

Figura 319 arată schema de principiu a unei astfel de instalații, alimentată în curentul trifazat.

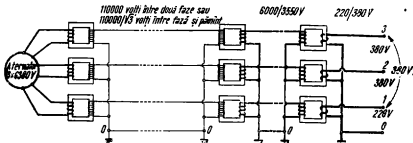


Fig. 319. Schema unei linii trifazate pentru transportul energiei electrice.

Datele numerice sînt alese ca simplu exemplu, fiindcă numai tensiunile finale de utilizare sînt standardizate la 220/380 V, sau la 110/190 de volți eficace, în timp ce tensiunea înaltă, transmisă la distanță, poate să atingă cîteva sute de mii de volți.

Transmiterea energiei prin curenți alternativi are, totuși, unele inconveniente serioase: pierderi prin curenții Foucault, in-

<sup>1)</sup> *Marcel Deprez* (1843—1918), inginer francez.

ducții parazite în circuitele vecine, supratensiuni periculoase, intervenite prin eventuale rezonanțe și așa mai departe.

În ultimii ani, tehnica transformării tensiunilor continue a făcut progrese atât de mari, încât a devenit mai avantajoasă folosirea curentului continuu, sub tensiuni foarte înalte, pe care le putem reduce la locul de utilizare.

Folosirea, pe scară cit mai mare, a energiilor naturale, prin hidrocentrale, sau prin uzine termice, care pot fi construite în apropierea minelor de cărbuni, ca să simplifice problema transportului de combustibil, este singura cale pentru lichidarea înapoierii economice și culturale a unei țări.

Ea suprimă treptat contradicția dintre sat și oraș, ca să aducă în loc bunăstarea și progresul.

Un om care muncește cu mușchii, în condițiile de lucru normale, a opt ore pe zi, nu produce mai mult de 0,15 kW, adică 1,24 Kwh.

O uzină de 100 000 kW, care funcționează în permanență, înlocuiește deci 1 800 000 de oameni.

În 1944, România dispunea doar de 740 000 kw, în toate centralele existente, adică de 0,053 kW pe cap de locuitor.

După al doilea cincinal, ea va dispune de 2 600 000 kW, adică aproape de patru ori mai mult.

Electrificarea este tehnica socialismului și exemplul dat de Uniunea Sovietică arată limpede ce progrese poate să aducă.

*Alte aplicații ale transformatorilor.* Pe lângă cele arătate, transformatorii mai au și numeroase alte aplicații.

Din toate, vom cita însă numai două :

1) *Bobina de inducție.* Acest aparat se compune dintr-un circuit primar, bobinat pe un mănunchi de sîrme de fier și alimentat în curent continuu (fig. 320).

Fierul, magnetizîndu-se, atrage un ciocănaș, care se sprijină pe șurubul de contact S și întrerupe circuitul.

Magnetizarea dispare atunci și o lamă elastică readuce la loc ciocănașul, în contact cu șurubul, iar după aceea procesul decurge mai departe, în același fel.

Curentul suferă deci o serie de întreruperi și restabiliri succesive, întovărite de variații ale fluxului magnetic de inducție, în lungul miezului de fier.

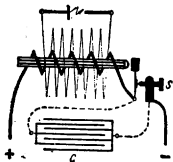


Fig. 320. Principiul bobinei de inducție.



Peste circuitul primar este înfășurată o bobină secundară, cu un număr foarte mare de spire, în care aceste variații de flux vor induce tensiuni alternative, ce pot să atingă, la unele bobine, câteva sute de mii de volți.

Aceste tensiuni nu sînt sinusoidale, nici nu variază cu amplitudini egale, în ambele sensuri, fiindcă atingerea ciocănașului de șurub decurge mai brusc decît întreruperea curentului.

Diferența se datorește formării de scînteii, care prelungesc, prin extracurenți, deschiderea circuitului.

Aceste scînteii pot fi, parțial, înlăturate prin conectarea, între șurub și ciocănaș, a condensatorului *C*.

Bobina de inducție are numeroase aplicații în laborator, mai ales la studiul descărcărilor electrice în gaze, apoi în medicină, la motoarele cu explozie și așa mai departe.

Sub numele de *vibrator*, o găsim și în unele aparate de radio, unde servește ca să transforme în curent alternativ curentul continuu produs de un acumulator.

2) *Telefonul*. După cum se știe, din orice carte elementară, telefonul se compune dintr-un *microfon* și un *receptor* electromagnetic (fig. 321).

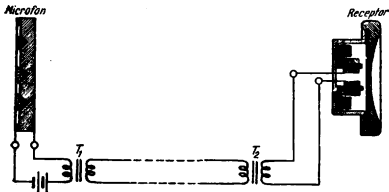


Fig. 321. Schema de principiu a telefonului.

Microfonul este o capsulă metalică, închisă cu o membrană de cărbune, de care e separată printr-un inel izolator.

În capsulă se introduc granule de cărbune, a căror mișcare, în timpul vibrațiilor membranei modifică rezistența ohmică și intensitatea curentului din circuit.

Aceste variații de intensitate, conduse prin linia de legătură, apoi trecute prin niște bobine înfășurate pe un magnet permanent, îl fac să atragă, mai tare sau mai slab, o membrană de fier, care vibrează în același ritm ca și membrana de cărbune a microfonului.

Dar variațiile de tensiune, trimise pe linie de microfon, sînt foarte repede amortizate, prin acțiunea rezistențelor ohmice, cu atît mai active, cu cît curentul e mai intens.

De aceea se recurge la transformatorii  $T_1$  și  $T_2$ , care să ridice tensiunile alternative, la intrarea pe linie și să le coboare iarăși, la intrarea în receptor.

# PARTEA A ZECEA

## UNDE ELECTROMAGNETICE

---

### CAPITOLUL XLIII

#### PRODUCEREA OSCILAȚIILOR ELECTRICE

§ 320. **Rezistențe negative.** Am arătat, în § 306, că descărcarea unui condensator, printr-un circuit cu inductanță, produce oscilații amortizate, dacă rezistența ohmică a circuitului nu este prea mare.

De asemenea am arătat că perioada oscilațiilor este dată de formula lui Thomson

$$T = 2\pi \sqrt{LC}, \quad (306.1)$$

valabilă în cazurile când rezistența poate fi considerată ca neglijabilă.

Cît despre intensitatea curentului oscilant, ea era dictată de relația

$$I = I_0 e^{-\delta t} \sin \omega t, \quad (306.2)$$

în care  $\delta$  se numește *amortizare* și are valoarea

$$\delta = \frac{R}{2L},$$

adică proporțională cu rezistența circuitului oscilant și invers proporțională cu dublul inductanței.

Amplitudinea oscilației scade astfel exponențial cu timpul, fiindcă energia oscilantă se transformă treptat în căldură, prin efectul Joule-Lenz.

Există însă diferite sisteme, prin care putem face ca oscilația să nu mai fie amortizată, ci *întreținută*, adică să-și păstreze amplitudinea constantă.

În fond, această condiție o găsim realizată în oricare circuit, legat la bornele unui alternator, de pildă la sectorul ora-

sului, care debitează, de obicei, sub frecvența standardizată de 50 Hz.

Iar dacă mărim viteza de rotație a mașinii și recurgem la unele artificii speciale de construcție, putem atinge frecvențe de ordinul a 50 000 Hz.

Dar asemenea frecvențe, de altfel nu prea înalte, nu pot fi produse cu alternatorii, decât în instalații voluminoase și costisitoare, care tocmai de aceea nu se mai folosesc în prezent.

Din aceleași motive au dispărut din practică și unele sisteme de multiplicare a frecvențelor accesibile alternatorilor.

În principiu, alternatorul este avantajos numai la producerea energiilor mari, sub frecvențe care nu ating decât excepțional 500 Hz.

În domeniul frecvențelor mai înalte, procedeul cel mai comod este să folosim circuitele oscilante, cu inductanță și capacitate, în care să introducem anumite sisteme cu *rezistență negativă*.

Vom vedea îndată că există diferite mijloace, ca să realizăm asemenea rezistențe.

În cazul acesta, legea lui Ohm, scrisă sub forma diferențială

$$dU = -R dI \quad (320.1)$$

ne arată că variațiile  $dU$  și  $dI$  au semne contrarii.

În lungul rezistențelor negative, căderile de tensiune și variațiile curentului sînt de semne contrarii.

*Prin urmare unei creșteri a intensității curentului îi corespunde o scădere a diferenței de potențial și invers.*

Contrarul se întîmpla în circuitele obișnuite, cu rezistență pozitivă, unde ambele mărimi variau în același sens.

De altă parte, legea lui Joule-Lenz devine

$$I dQ = dW = -R I^2 dt. \quad (320.2)$$

Rezistența negativă restituie circuitului energia pierdută prin efectul Joule-Lenz.

*Aci semnul algebric ne spune că rezistența negativă restituie circuitului tot atîta energie cîtă a*

*pierdut prin efectul Joule-Lenz.*

Noțiunea de rezistență negativă nu trebuie confundată cu aceea de rezistență ohmică. Ea se interpretează în sensul că un sistem dat este capabil să trimită un curent electric împotriva căderilor obișnuite de potențial, așa cum se întâmplă, de altfel, în interiorul oricărui generator electric.

În fond nici nu există asemenea rezistențe, care nu sînt decît rezultatul aparent al unei forțe electromotoare locale, dar totul se petrece ca și cum ar exista.

§ 321. **Arcul oscilant.** Experiența ne arată că, într-un arc electric produs între doi electrozi de cărbune, intensitatea curentului variază, în funcție de tensiunea la borne, după curba din fig. 322 care, în regiunea *ab*, este *descendentă*.

Știind că rezistența se exprimă prin raportul

$$r = \frac{dU}{dI} = \operatorname{tg} \alpha,$$

se vede din figură că, pe această porțiune, ea este *negativă*.

Să presupunem acum că, în paralel pe bornele arcului, legăm un circuit oscilant *LC* (fig. 323).

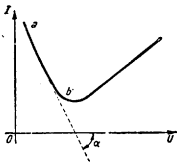


Fig. 322. Curba caracteristică a arcului electric.

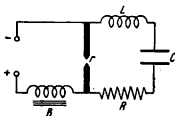


Fig. 323. Schema de montaj a unui arc oscilant.

În aceeași figură am reprezentat simbolic, prin *R*, rezistența ohmică a bobinei de inductanță și a firelor de conexiune.

Rezistența întregului circuit oscilant, inclusiv arc, va fi atunci

$$R_t = R - r.$$

Sursa de alimentare încarcă condensatorul, care apoi se descarcă prin arc și rezultă astfel curenți oscilanți, a căror intensitate variază după relația cunoscută

$$I = I_0 e^{-\delta t} \sin \omega t. \quad (306.2)$$

Dar, în situația de față, amortizarea capătă valoarea

$$\delta = \frac{R_t}{2L} = \frac{R-r}{2L}$$

și dacă rezistența ohmică  $R$  este destul de mică, putem realiza condiția ca rezistența negativă  $r$  să o depășească în valoare absolută și să-și impună semnul.

Dacă rezistența negativă a arcului depășește rezistența ohmică, arcuî întreține oscilația.

*În cazul acesta, exponentul din relația (306.2) devine pozitiv și amplitudinea descărcării oscilante crește cu timpul, în loc să scadă.*

Această creștere nu poate însă continua la infinit. Ea se limitează, de la o vreme, la valoarea maximă pentru care funcționarea arcului atinge limita domeniului rezistențelor negative.

Arcuî joacă aci un rol oarecum asemănător cu al ancorei unui ceas, care transmite pendulului, la momentul oportun o parte din energia potențială a resortului ce poartă mecanismul și-i întreține oscilația.

El ia această energie de la sursa de curent care-l alimentează.

Figura 324 reprezintă variațiile de intensitate ale curentului oscilant, pînă la stabilirea unui regim de amplitudine staționară.

Cînd sistemul funcționează la limita de întreținere,

$$R-r=0 \quad \text{și} \quad \delta=0.$$

Calculul și experiența ne arată atunci că perioada oscilațiilor este aceea dictată de formula lui Thomson :

$$T=2\pi\sqrt{LC}. \quad (306.1)$$

Altfel ea devine ceva mai lungă, iar variațiile de curent în circuitul oscilant cîștigă în amplitudine.

Fapte analoge se petrec dealtfel și cu alte sisteme oscilante, de pildă la pendul, unde perioada se lungeste de asemenea, cînd amplitudinea oscilațiilor este prea mare.

În schema din fig. 323, arcul este alimentat printr-o bobină  $B$ , cu inductanța de cîteva henry. Ea se numește *bobină de șoc* și are menirea să interzică trecerea curentului oscilant, spre sursa de alimentare, dar să nu împiedice pe a curentului continuu.

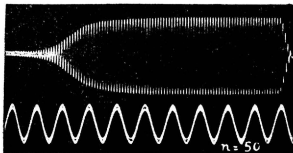


Fig. 324. Oscilograma unui arc, în momentul intrării în oscilație (jos oscilația unui diapazon cu frecvența de 50 Hz).

Cu electrozi de cărbune și în aer liber frecvența oscilațiilor unui arc electric nu depășește cîteva mii de perioade pe secundă.

Vibrațiile coloanei de gaz incandescente, a cărei temperatură variază în ritmul curentului oscilant, produc atunci un sunet muzical, de unde și numele de „*arcul cîntător*”.

Dar dacă folosim un anod de cupru, răcit cu un curent de apă, introducem electrozii în atmosferă de hidrogen și producem arcul într-un câmp magnetic transversal, putem ridica frecvența pînă la cîteva zeci de mii de perioade pe secundă.

Acest regim de oscilație, studiat de *Poulsen*, pune în joc energii destul de mari și are aplicații la cuptoarele de inducție pentru topit metale.

Creuzetul se introduce în bobina oscilantă și metalul se încălzește din pricina curenților Foucault, produși prin variațiile rapide ale fluxului de inducție.

Mai de mult arcul oscilant era folosit și în posturile de emisiune radiotelegrafică, dar acum a fost înlocuit prin oscilatorii

cu *lămpi* sau *tuburi* electronice, pe care le vom descrie mai jos, în varianta numită *triodă*.

§ 322. **Principiul triodei.** Între filamentul și placa unei diode, construită așa cum am descris-o în § 262, introducem un al treilea electrod, făcut din fire metalice paralele, întinse pe un cadru.

Din pricina formei lui caracteristice, acest electrod se numește *grătar* sau *grilă*<sup>1)</sup>, iar dioda, modificată în acest fel, a devenit o *triodă*, adică un *tub cu trei electrozi*.

Cu ajutorul lui, vom realiza montajul experimental din fig. 325, în felul următor :

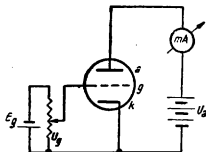


Fig. 325. Montajul pentru trasarea caracteristicii de grilă a triodei.

1) Între placă și filamentul încălzit legăm un generator de tensiune, de pildă o baterie galvanică<sup>2)</sup>.

Sensul conexiunilor este acela pentru care placa devine *anod* (a), iar filamentul *catod* (k).

Între acești doi electrozi am stabilit astfel o diferență de potențial  $U_a$ , iar un miliampermetru, legat în serie, ne permite să măsurăm intensitatea curentului electronic.

Acesta este *circuitul de placă* sau *circuitul anodic*.

2) O a doua sursă de tensiune o legăm între grilă și filament. Ea ne permite să polarizăm grila, fie pozitiv, fie negativ, față cu filamentul, considerat ca zero de referință și să variem după voie diferența de potențial  $U_g$ .

Acesta este *circuitul de grilă*.

Experiența ne arată că, dacă menținem constante încălzirea filamentului și potențialul plăcii  $U_a$ , dar facem să varieze poten-

<sup>1)</sup> Cuvîntul *grilă* este derivat din limba franceză (*grille*=*gratii* sau *zăbrele*).

<sup>2)</sup> Pentru simplificare, nu am reprezentat în scheme bateria de încălzire a filamentului. Ea se conectează ca în fig. 195.



țialul grilei  $U_g$ , de la valori negative, spre valori pozitive crescătoare, curentul din circuitul de placă variază și el, după curba din fig. 326, pe care o vom numi *caracteristica* ( $I_a$ ,  $U_g$ ), la potențial de placă constant.

Interpretarea este simplă și lesne de înțeles, dacă ne amintim că intensitatea unui câmp electric se exprimă în volți pe centimetru și ținem seamă că grila este mai aproape de filament decât placa.

La diferențe de potențial egale, câmpul dintre filament și grilă este astfel mai intens decât acela dintre placă și filament.

Pentru fixarea ideilor, vom presupune că filamentul fiind considerat la potențialul zero, potențialul plăcii se menține constant, la +80 V, pentru care am trasat caracteristica de grilă de mai sus.

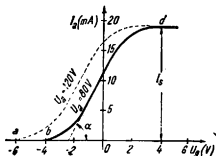


Fig. 326. Caracteristica de grilă a triodel

Situațiile schițate în fig. 327 ne arată că un electron  $e$ , care a ieșit din filamentul incandescent, se găsește sub acțiunile su-

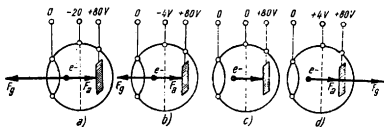


Fig. 327. Pentru explicarea funcțiunii amplificatoare a triodel.

prapuse a două forțe, din care una  $F_g$  este produsă de câmpul grilei și cealaltă  $F_a$  de câmpul plăcii, conectată ca anod.

În fig. 327,  $a$  grila este la  $-20$  V. Forțele active sînt atunci opuse și  $F_g > F_a$ .

Electronul se va înapoia spre filament, iar miliampermetrul nu indică nici un curent, în circuitul plăcii.

În fig. 327, *b* grila este la  $-4$  V și forțele opuse au devenit egale.

De aici înainte o scădere cât mai mică a forței  $F_g$  face ca  $F_a$  să domine, iar electronul se îndreaptă spre placă și acul miliampermetrului ne arată că începe să treacă un curent.

Cîtă vreme cîmpul grilei depășește în sens contrar pe al plăcii, trecerea electronilor este interzisă.

*Această tensiune, aplicată grilei, marchează punctul de racordare *b*, între curba caracteristică și axa absciselor (fig. 326).*

În fig. 327, *c* grila are potențialul filamentului. Forța  $F_a$  rămîne singură, intensitatea curentului din circuitul plăcii înregistrează o nouă creștere, iar caracteristica intersectează axa ordonatelor (fig. 326).

În fig. 327, *d* potențialul grilei a crescut la  $+4$  V și forțele active, orientate în același sens, își adună acțiunile.

Trecerea electronilor spre placă fiind astfel favorizată, intensitatea curentului crește mai departe pînă în *d* (fig. 326).

Pentru potențiale de grilă pozitive și din ce în ce mai mari, această creștere continuă, cu tendința spre saturație, însă de la o vreme grila începe și ea să capteze electroni și atunci curentul din circuitul anodic începe iar să scadă.

Examinînd în special situația din fig. 327, *b*, observăm că o diferență de potențial de numai  $-4$  V, aplicată între filament și grilă, anulează efectul a  $+80$  V, ce acționează între placă și filament.

În trioda luată ca exemplu acțiunea electrică a grilei este deci de 20 de ori mai eficace decît a plăcii, din punctul de vedere al curentului din circuitul anodic.

Raportul dintre potențialul plăcii și potențialul de grilă care blochează curentul anodic este egal cu factorul de amplificare  $\mu$ .

*Raportul acesta reprezintă așa numitul „factor de amplificare în volți” al triodei, pe care-l vom nota cu  $\mu$ . În cazul de față el are valoarea 20.*

Dacă, ridicînd potențialul plăcii, de pildă la  $+120$  V, trăsăm experimental noua caracteristică, reprezentată punctat în

fig. 326, constatăm că ea nu-și modifică forma, dar se deplasează spre stînga.

Punctul de racordare s-a mutat acum la  $-6$  V, ceea ce înseamnă că factorul de amplificarea nu s-a schimbat.

Aceeași caracteristică s-ar fi mutat spre dreapta, dacă am fi micșorat potențialul anodic.

În general, pentru o triodă cu factorul de amplificarea  $\mu$ , punctul de racordare al caracteristicii de grilă se găsește la

$$U_g = - \frac{U_a}{\mu} \text{ volți.}$$

De aici rezultă că :

$$\boxed{\Delta U_a = -\mu \Delta U_g} \quad (322.1)$$

O variație a potențialului de grilă echivalează cu alta de  $\mu$  ori mai mare a potențialului plăcii.

*Prin urmare o variație  $\Delta U_g$  a potențialului de grilă echivalează cu alta de  $\mu$  ori mai mare a potențialului anodic, din punctul de vedere al curentului din circuitul de placă.*

Dacă am presupune că variază simultan potențialul plăcii cu  $\Delta U_a$  și potențialul grilei cu  $\Delta U_g$ , totul s-ar petrece ca și cum potențialul plăcii ar varia singur cu  $\Delta U_a + \mu \Delta U_g$ .

Rezultă, pentru curentul anodic, variația respectivă  $\Delta I_a$  și vom putea scrie că

$$\boxed{R_i \Delta I_a = \Delta U_a + \mu \Delta U_g} \quad (322.2)$$

În care, din pricina dimensiunilor fizice, mărimea  $R_i$  se numește *rezistență interioară* a triodei și se exprimă în ohmi. Ea nu poate fi considerată constantă, decît în anumite condiții de funcționare și nici nu este propriu-zis o rezistență ohmică, fiindcă trecerea electronilor prin vid nu întîmpină frecări.

**Relația (322.2) formulează ecuația generală a triodel.**

Relația de față, care leagă variațiile potențialelor de ale intensității curentului anodic, reprezintă

*o ecuație generală a tuburilor electronice triode.*

O altă mărime care definește calitatea triodei este *panta* caracteristicii de grilă, adică înclinarea ei.

Aceasta se exprimă prin derivata intensității curentului anodic, în raport cu potențialul de grilă și se notează cu  $S$ .

Panta este nulă, atât în regiunea de saturație, cât și la potențiale negative mari ale grilei, în stînga punctului de racordare al caracteristicii de grilă.

În regiunea mijlocie, caracteristica poate fi considerată ca practic rectilie și atunci, presupunînd că potențialul anodic este constant, relația generală (322.2) ne dă

$$S = \frac{dI_a}{dU_g} = \frac{\Delta I_a}{\Delta U_g} = \frac{\mu}{R_t} \quad (322.3)$$

Panta se exprimă în mili-amperi pe volt și practic este constantă în regiunea rectilinie a caracteristicilor.

*Mărimea  $S$  ne arată deci cu câți miliamperi crește curentul anodic, pentru o creștere de un volt a potențialului de grilă.*

Uneori se mai dă pantei și numele de *factor de amplificare în amperi*.

În triodele curențe, factorul de amplificare în volți poate să atingă ordinul de mărime 30, iar panta nu depășește 15 mA/V.

**1. Trioda ca amplificator.** Acțiunea grilei poate să fie folosită pentru amplificarea tensiunilor variabile sau alternative.

Schema de principiu a montajului este aceea din fig. 328, *a*.

La bornele primarului unui transformator  $T_1$  aplicăm tensiunea de amplificat.

Variațiile de tensiune, induse în secundar, acționează atunci între grilă și filament.

Ele dau naștere la variații, în același ritm și de aceeași formă, ale curentului de placă, pe care le trecem prin primarul altui transformator  $T_2$ , în secundarul căruia regăsim variațiile de tensiune amplificate.

Schema de față reprezintă amplificatorul de frecvențe joase, care nu depășesc prea mult pe a sunetelor audibile.

Dacă ne menținem în domeniul acestor frecvențe, o cască telefonică ori un difuzor, legate la bornele de ieșire, între *a* și *b*, transformă variațiile de curent în vibrații sonore.

La frecvențe foarte înalte, folosirea transformatorilor cu miez de fier nu mai are sens, fie din cauza pierderilor prea mari prin histeresis, fie din pricină că magnetizarea fierului nu mai poate să urmărească variațiile de flux inductor.

În cazul acesta, schema trebuie modificată după cum arată fig. 328, *b*, în care circuitele oscilante introduse sînt acordate pe frecvența tensiunii de amplificat

Schemele de mai sus au numeroase variante, după scopul urmărit și tipul de tuburi amplificatoare folosite, fiindcă există asemenea tuburi mult mai complicate decît triodele, dar nu este cazul să intrăm în amănunte.

Dacă amplificarea cu un singur tub nu este suficientă, putem adăuga succesiv altele, însă numărul lor este limitat de anumite fenomene parazite.

Cu amplificatorii actuali se pot evidenția chiar și curenții electrici datorți mișcărilor de agitație termică ale electronilor, în interiorul firelor de conexiune.

Într-o cască telefonică auzim atunci un zgomot caracteristic, asemănător cu acela produs de răsturnarea grăunțelor dintr-un sac.

Fenomenul, cunoscut sub numele de „efectul Schrott”, este capabil ca, la o amplificare prea înaintată, să acopere cu totul orice alte sunete, în circuitul de ieșire.

**2. Trioda ca oscilator.** În serie cu circuitul anodic se montează un circuit oscilant  $LC$ , iar în circuitul de grilă se introduce o bobină  $l$ , cuplată inductiv cu  $L$  (fig. 329).

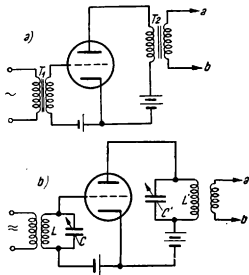


Fig. 328. Trioda ca amplificator de joasă și de înaltă frecvență.

Fără precauții speciale, un circuit oscilant nu poate fi menținut în stare permanentă de echilibru electric.

În el apar totdeauna oscilații de amplitudine mică, prin acțiunea cîmpurilor variabile, magnetice sau electrice, din exterior.

Vom presupune deci că un asemenea început de oscilație s-a produs în circuitul  $LC$  din figură și că are intensitatea maximă inițială  $I_1$ .

*Dacă bobinele  $L$  și  $l$  sînt înfășurate în sensuri contrarii, se va induce în  $l$  un curent de același sens  $i_1$ , care transportă sarcini pozitive de la catod spre grilă și mărește astfel potențialul ei.*

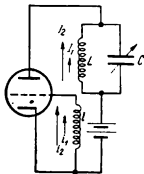


Fig. 329. Trioda ca oscilator.

Trioda funcționează atunci ca un amplificator și, în circuitul oscilant, curentul inițial își mărește intensitatea maximă pînă la  $I_2$ .

Printr-un nou fenomen de inducție, această creștere va fi de asemenea amplificată, fiindcă în bobina  $l$  curentul  $i_2$  transportă noi sarcini pozitive spre grilă.

Treptat, amplitudinea curentului oscilant va deveni din ce în ce mai mare, pînă la limita impusă de construcția triodei și de condițiile de funcționare.

Trioda întreține deci oscilația inițială amplificînd-o, iar perioada este dată de formula lui Thomson

$$T = 2\pi \sqrt{LC}. \quad (306.1)$$

Această formulă nu este însă exactă, decît cu condiția să nu împingem cuplajul dintre bobinele  $L$  și  $l$  dincolo de strictul necesar.

Mecanismul de funcționare al unui oscilator cu tuburi electronice triode poate fi comparat cu al unui ceasornic, unde ancora liberează treptat și la momentul oportun energia potențială a resortului motor.

Tot așa, prin acțiunea grilei, circuitul oscilant recapătă, de la bateria de placă a triodei, energia care să compenseze pierderile prin efectul Joule-Lenz și să împiedice stingerea oscilației.

Ca și în arcul electric, acțiunea cuplajului dintre circuitele de grilă și de placă ale oscilatorului face să apară o *rezistență negativă*.

Există încă numeroase alte sisteme, capabile să producă oscilații electrice întreținute, pe toată gama de frecvențe, de la cele foarte joase, până pe la  $10^9$  Hz.

Nu este locul să le descriem aici, dar printre lucrările făcute la noi în țară, menționăm că, în 1932, *Alex. Cișman* și *Th. V. Ionescu* au construit și au studiat experimental și teoretic un nou tip de oscilator, format dintr-o lampă cu vaporii de mercur, cu două anode.

Sistemul funcționează prin devierea, prin cuplaj magnetic, a fascicului de ioni, între cele două anode și este eficace până în domeniul superaudibil de frecvențe.

Același sistem a fost apoi cercetat de *Alex. Cișman* și *E. Luca*, din punctul de vedere al folosirii ca amplificator, în continuarea unei lucrări mai vechi a lui *Th. V. Ionescu*, din 1926.

Tot *Alex. Cișman*, împreună cu *P. Lamothe* și *A. Munteanu*, au arătat că se pot produce oscilații de frecvență înaltă sau joasă, cu tuburile redresoare, în atmosferă de gaze nobile sau de vaporii de mercur.

Lucrarea datează din 1952. Ea a fost apoi reluată și continuată în 1956 de *Tudor Tănăsescu*, împreună cu *R. Piringer*.

În fine, mai menționăm că *Th. V. Ionescu*, prin cercetări îndelungate, a evidențiat oscilații de frecvență foarte înaltă, ce apar în timpul descărcărilor electrice în gaze, sub acțiunea cîmpurilor magnetice.

Tot el a găsit și anumite fenomene de rezonanță între oscilațiile acestea și cîmpurile magnetice alternative.

## CAPITOLUL XLIV

### UNDE ELECTROMAGNETICE

§ 323. **Propagarea perturbațiilor electrice în lungul firelor.** Să considerăm un fir metalic foarte lung și să presupunem că, în punctul *P*, am adus o cantitate limitată de electricitate, atingîndu-l cu un conductor electrizat (fig. 330, *a*).

Ia naștere atunci o variație bruscă și locală de potențial, față cu pămîntul, adică o perturbare a stării de echilibru electric al firului.

Studiul teoretic al fenomenului, făcut de *Kirchhoff*, în 1857 și completat de *Heaviside*<sup>1)</sup>, în 1876, a dus la concluzia că perturbarea produsă local se divide în altele două, care se propagă pe fir în sensuri contrarii, așa cum s-ar propaga o deformare elastică pe o funie întinsă (fig. 330, b).

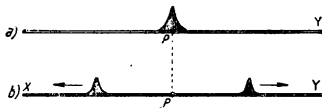


Fig. 330. Propagarea perturbațiilor electrice în lungul firelor.

Deosebirea este doar că, în cazul de față, cele două perturbații sînt *unde electrice* și nu elastice.

Cînd variația locală de potențial este foarte rapidă și dacă rezistența ohmică a firului este neglijabilă, ele își păstrează nealterate forma și amplitudinea inițiale, în timpul propagării.

Altfel intervin amortizări și deformări.

Iar dacă aceste condiții sînt îndeplinite și firul se află în vid (sau practic în aer), viteza de propagare se exprimă teoretic prin relația

$$v = \frac{1}{\sqrt{Lc}} \quad (323.1)$$

în care  $L$  și  $c$  reprezintă inductanța și capacitatea electrostatică ale unității de lungime a firului.

În fire aeriene sau suspendate în vid, undele electrice se propagă cu viteza de  $3 \cdot 10^{10}$  cm/s.

Calculul numeric ne duce atunci la rezultatul că această viteză este egală cu a luminii în vid, adică  $3 \cdot 10^{10}$  cm/s.

Relația de mai sus este asemănătoare cu formula lui Newton, care ne dădea viteza de propagare a undelor elastice longitudinale

$$v = \sqrt{\frac{E}{\rho}} \quad (172.1)$$

<sup>1)</sup> *Oliver Heaviside* (n. în 1850), fizician englez.



cu deosebirea că inductanța  $l$  a unității de lungime înlocuiește masa specifică și că inversa capacității  $c$  ține locul modului de elasticitate.

Verificarea experimentală a făcut-o Blondlot<sup>1)</sup>, în 1893, cu dispozitivul următor :

Două butelii de Leyda, fiecare cu cîte o singură armătură interioară, dar cu două armături exterioare de formă inelară, sînt conectate așa cum arată fig. 331.

Ele se încarcă încet, de la o mașină electrostatică, prin rezistențele foarte mari  $R_1$  și  $R_2$ .

După un timp de încărcare, cînd am atins potențialul exploziv, se produce în  $S$  o scînteie, prin care se descarcă armăturile  $A_1$ , apoi a doua scînteie, care descarcă armăturile  $A_2$ , cu oarecare întîrziere față de prima, fiindcă descărcarea trebuie să parcurgă firele  $F$ , care au cîteva kilometri lungime.

O oglindă  $O$ , care se rotește foarte repede, proiectează pe o placă fotografică imaginile celor două scînteii succesive.

Cunoscînd viteza unghiulară de rotație, distanța dintre cele două imagini de pe placă ne permite să aflăm durata parcursului, iar lungimea firelor fiind și ea cunoscută, o simplă împărțire ne dă viteza de propagare.

Aceste determinări au confirmat rezultatele teoretice .

Cu aceste cunoștințe, să presupunem că, introducînd o mică bobină pe fir, inducem în ea o forță electromotoare sinusoidală, cîmplînd-o cu o bobină primară, parcursă de un curent alternativ (fig. 332).

În lungul firului se vor propaga perturbații electrice, sub forma de *unde progresive*, de asemenea sinusoidale, iar spațiul parcurs în timpul unei perioade reprezintă lungimea de undă  $\lambda$ .

Vom avea deci, ca în toate cazurile analoge,

$$\lambda = vT \quad (171.1)$$

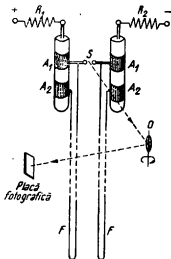


Fig. 331. Experiența lui Blondlot.

<sup>1)</sup> René Blondlot (n. în 1849), fizician francez.

sau, ceea ce e tot una,

$$v = \lambda f, \quad (171.1)$$

în care  $f$  este frecvența și  $T$  perioada.

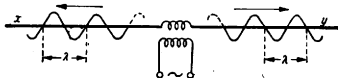


Fig. 332. Propagarea undelor electrice sinusoidale în lungul unui fir.

În situația considerată, unda progresivă transportă, printr-o secțiune dată a firului :

- 1) O variație sinusoidală a potențialului, față de pământ și, tot odată,
- 2) Un curent electric, la care intensitatea variază sinusoidal cu timpul.

Referindu-ne acum la cazul practic obișnuit, în care firul are o lungime finită, să presupunem că unul din capete se termină liber în aer.

Propagarea mai departe a sarcinilor electrice fiind acum imposibilă, intensitatea curentului la capătul liber trebuie să rămână mereu nulă, ceea ce înseamnă că unda se va reflecta, în acest punct, cu schimbare de semn.

Prin urmare dacă, în momentul  $t$ , unda directă aduce la extremitatea firului curentul de intensitate

$$i_1 = I_0 \sin \omega t$$

unda reflectată duce în sens contrar intensitatea

$$i_2 = -I_0 \sin \omega t$$

asa ca suprapunerea celor doi curenți, în punctul de reflexie, să ducă la intensitatea nulă.

În studiul interferenței undelor elastice, situația schițată în fig. 26 și raționamentul din § 176 ne-au arătat că, prin suprapunerea undelor directe, peste cele reflectate cu schimbare de

semn, se formează unde staționare, a căror elongație poate fi calculată din relația

$$E = \left( 2a \sin 2\pi \frac{d}{\lambda} \right) \cos \frac{2\pi}{T} t. \quad (176.1)$$

În funcție de distanța  $d$ , pînă la punctul de reflexie, aceste unde au amplitudinea

$$A = 2a \sin 2\pi \frac{d}{\lambda}.$$

Repetînd același raționament, la undele electrice, vom găsi că și aici se formează unde staționare, la care amplitudinea variațiilor de intensitate are valoarea

$$I = 2I_0 \sin 2\pi \frac{d}{\lambda}. \quad (323.2)$$

În lungul firului vor apare deci noduri de curent, la distanțele

$$0; \quad 2\lambda/4; \quad 4\lambda/4; \quad \dots \quad 2n\lambda/4,$$

față de punctul de reflexie, și ventre de curent, la distanțele

$$\lambda/4; \quad 3\lambda/4; \quad 5\lambda/4; \quad \dots \quad (2n-1)\lambda/4.$$

Prin urmare, distanța dintre două noduri sau două ventre succesive cuprinde o jumătate de lungime de undă (fig. 333).

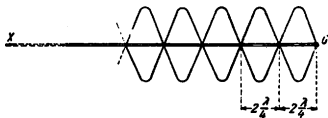


Fig. 333. Formarea undelor staționare electrice.

Ca și la vibrațiile mecanice ale corzilor, putem amplifica prin rezonanță aceste fenomene, dacă dăm firului o lungime convenabilă, dictată de frecvența oscilației care-l excită.

Pentru o mai ușoară înțelegere, vom face o comparație cu barele sau cu coardele vibrante și vom deosebi două cazuri :

### 1. Coardă fixată la cele două capete. La

rezonanță, se formează, în cazul cel mai simplu, câte un nod de amplitudine la fiecare capăt și un ventru la mijloc, iar lungimea corzii cuprinde o jumătate a lungimii de undă (fig. 334, a).

În § 176 am arătat însă că, între nodurile de amplitudine, se inserează nodurile variațiilor de tensiune  $p$ .

Prin urmare vom găsi câte un ventru al variațiilor de tensiune la cele două capete ale corzii și un nod la mijlocul ei, așa cum arată curbele punctate.

Discutând această situație, am văzut, de altfel, că tocmai de aceea corzile vibrante se rup la capete și nu la mijloc.

*Analogs, un fir izolat la ambele capete intră în rezonanță, când la fiecare capăt se formează câte un nod al variațiilor de intensitate și câte un ventru al variațiilor de potențial.*

Pe un fir izolat se formează la rezonanță două noduri de curent la capete și unul de potențial la mijloc.

Figura 334, b reprezintă această distribuție. Aici un ampermetru de curent alternativ, intercalat pe fir, va indica intensitatea eficace maximă, dacă se află la mijlocul lui și din ce în ce mai mică, spre capete.

**2. Bară vibrantă fixată la un capăt.** În cazul acesta, se formează un nod de amplitudine și un ventru al variațiilor de tensiune în punctul de fixare, iar la capătul liber găsim

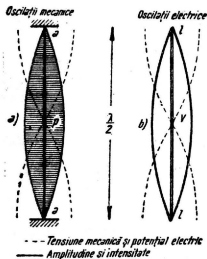


Fig. 334. Unde staționare pe o coardă vibrantă și pe un dipol.

un ventru de amplitudine și un nod al variațiilor de tensiune (fig. 335, a).

Prin urmare, în cazul cel mai simplu, bara cuprinde un sfert al lungimii de undă.

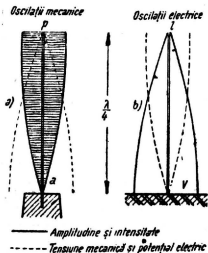


Fig. 335. Unde staționare pe o lamă vibrantă și pe o antenă în sfert de lungime de undă.

Trecind la oscilațiile electrice, putem realiza echivalentul acestei situații, dacă legăm firul conductor cu un capăt la pământ (fig. 335, b).

Ventru de intensitate apare la contactul cu pământul, iar ventru de potențial la capătul liber.

La rezonanță găsim atunci, la capătul liber, un ventru al variațiilor de potențial și un nod de intensitate, iar la punctul de legătură cu pământul un ventru de intensitate și un nod de potențial.

Formarea undelor staționare pe fire și fenomenele de rezonanță la conductorii care nu formează un circuit închis au aplicații mai ales la antenele de radio, despre care vom discuta în curând.

O metodă simplă, prin care putem evidenția formarea undelor staționare și măsura direct lungimea lor, este dispozitivul lui Lecher<sup>1)</sup>:

O buclă de sîrmă  $B$  (fig. 336) are intercalat în  $C$  un cuplu termoelectric și se continuă cu două fire paralele,  $f_1$  și  $f_2$ , pe care alunecă două plăci de cupru,  $P_1$  și  $P_2$ , legate la o mică lampă cu neon  $L$ .

Firele străbat aceste plăci prin găuri cît mai bine păsuite.

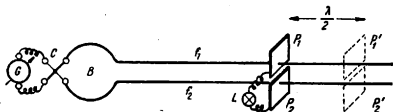


Fig. 336. Dispozitivul lui Lecher.

Bucula este cuplată inductiv cu bobina unui oscilator cu triodă sau cu scintei, a cărui frecvență trebuie să fie destul de mare, pentru ca lungimea de undă să intre de mai multe ori în lungimea firelor.

Dacă purtăm încet și simultan plăcile, în lungul acestor fire, găsim poziții succesive în care lampa  $L$  devine luminescentă, prin descărcarea electrică în gaz și, totodată, galvanometrul  $G$ , legat la cuplul termoelectric, indică deviații maxime.

Inseamnă că în  $C$  avem atunci ventre de intensitate, iar în dreptul plăcilor ventre de potențial.

Aceste plăci reflectă undele, ca și cum firul s-ar termina liber, în dreptul lor.

Distanța dintre două poziții de rezonanță vecine, observate în lungul firului, reprezintă jumătatea lungimii de undă.

**3. Cazul unui mediu oarecare.** Dacă firul conductor, în loc să stea în aer sau în vid, se află într-un mediu în care fie permitivitatea, fie permeabilitatea magnetică, fie amîndouă sînt diferite de unitate, calculul teoretic și experiența ne arată că viteza de propagare a undelor electrice nu mai este egală cu a luminii în vid.

Ea capătă atunci valoarea

$$v_1 = \frac{v}{\sqrt{\epsilon\mu}} \quad (323.3)$$

<sup>1)</sup> Ernst Lecher (n. în 1856), fost profesor la Viena.

Viteza de propagare a undelor electrice prin fire este invers proporțională cu rădăcina pătrată a produsului  $\epsilon\mu$  din mediu.

*Prin urmare viteza de propagare prin fir variază invers proporțional cu rădăcina pătrată a produsului dintre permitivitatea și permeabilitatea mediului înconjurător.*

Pentru aceeași frecvență de oscilație, vom găsi deci, în lungul firelor din dispozitivul lui Lecher, ca și în lungul oricărui fir conductor, o lungime de undă

$$\lambda_1 = \frac{\lambda}{\sqrt{\epsilon\mu}} \quad (323.4)$$

Ca exemplu, presupunînd că firul se găsește în apă, a cărei permitivitate relativă este 81 și a cărei permeabilitate nu diferă sensibil de a vidului, viteza de propagare devine

$$v_1 = \frac{3 \cdot 10^{10}}{\sqrt{81}} = 3,33 \cdot 10^9 \text{ cm/s}$$

iar lungimea de undă va fi totdeauna de nouă ori mai mică decît în aer.

Oricît s-ar părea de curios, aceste fapte ne obligă să admitem că rolul preponderent în propagarea undelor electrice îl are mediul înconjurător, fiindcă el intervine prin caracterele lui magnetice și electrice.

Propagarea undelor electrice o asigură mediul, iar firul nu face decît să le canalizeze.

*Firul nu ar face decît să canalizeze aceste unde, iar mediul este, în realitate, acela care le asigură propagarea.*

Rămîne să căutăm sensul fizic al acestei concluzii, în aparență paradoxală și de aceea vom relua discuția fenomenelor de inducție electromagnetică, studiate în §§ 293—295 și problema curenților de deplasare, studiată în § 230.

**§ 324. Aprofundarea fenomenului de inducție.** Am văzut că, într-un circuit conductor închis, orice variație a fluxului de inducție magnetică face să apară o forță electromotoare indusă, care întreține un curent electric atîta vreme cît durează și variația însăși.

Iar dacă circuitul este închis, această forță electromotoare poate fi măsurată între capetele libere.

Ea are valoarea dictată de relația cunoscută

$$e = - \frac{d\Phi}{dt}. \quad (293.2)$$

Să presupunem acum că toate liniile de forță formează un mănunchi, delimitat de un contur plan, cu suprafața  $S$  perpendiculară pe direcția lor.

Într-un mediu de permeabilitate  $\mu$  și în câmpul magnetic  $H$ , fluxul de inducție prin această suprafață va fi

$$\Phi = BS = \mu HS$$

și astfel relația precedentă devine

$$e = - \mu S \frac{dH}{dt}. \quad (324.1)$$

Această forță electromotoare indusă ia naștere într-un circuit de orice formă sau dimensiune, care înfășură suprafața  $S$  și este situat în planul ei, așa ca să fie străbătut de același număr de linii de forță ca și dînsa.

Presupunînd că permeabilitatea rămîne invariabilă și că liniile de forță se mențin în interiorul conturului  $S$ , forța electromotoare indusă  $e$  apare ca rezultatul variației în timp a intensității cîmpului magnetic  $H$ .

Figura 337, *a* schițează dispozitivul experimental cu care se poate urmări desfășurarea fenomenului de inducție, într-o spirală conductoare, ce înconjură suprafața  $S$  traversată de liniile de forță ale cîmpului magnetic variabil.

Săgețile reprezintă sensul momentan de variație al acestui cîmp, iar pe spira conductoare sensul respectiv al curentului de inducție care, transportînd sarcini electrice, încarcă electroscopul.

*Dar un asemenea transport de electricitate nu este cu puțință, fără intervenția unui cîmp electric.*

În desfășurarea fenomenului de inducție, conductorul intervine astfel doar ca un factor secundar, a cărui prezență nici nu este neapărat necesară.



În plane perpendiculare pe direcția lui de variație, câmpul magnetic se înfășură cu linii de forță circulare ale unui câmp electric variabil.

Factorul principal este câmpul electric variabil, ale cărui linii de forță au forma de cercuri concentrice, axate pe direcția de variație a câmpului magnetic (fig. 337, b).

Linii de forță închise în ele înșile nu am întâlnit pînă acum decît la circuitele magnetice, sau la câmpul magnetic al curenți-

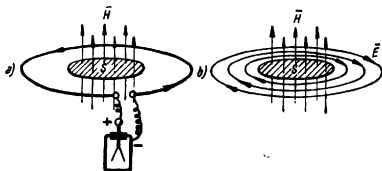


Fig. 337. Conductorul nu este neapărat necesar pentru desfășurarea fenomenului de inducție.

lor. În câmpul electrostatic ele își sprijineau totdeauna capetele pe două sarcini de semne contrarii.

Acum întâlnim, pentru prima dată, câmpuri electrice de natură *electrodinamică*, la care de asemenea liniile de forță se închid în ele însele.

Un fir metalic poate să deformeze aceste linii de forță sau să le canalizeze, oblingându-le să-i urmărească traiectul.

Dar metalul este un conductor, în care câmpul, ne putînd să persiste, transportă sarcini electrice (în speță electroni liberi) și determină astfel propria lui dispariție, printr-un proces de „prăbușire”.

În circuitul metalic închis ia naștere atunci un curent electric indus, a cărui energie trece în căldură, prin efectul Joule-Lenz.

Iar dacă circuitul are o întrerupere, cum e cazul din figură 337, a, transportul de sarcini comunică încărcări de semne contrarii capetelor libere.

Între aceste capete, conductorul canalizează atunci un alt câmp electric, orientat așa ca să sisteze transportul și, totodată, apare o diferență de potențial egală, dar în opoziție cu forța electromotoare indusă.

Ea este, de fapt, aceea pe care o măsurăm cu electroscopul sau cu orice voltmetru, conectat la extremitățile libere ale conductorului.

Circuitul metalic este numai un indicator al prezenței câmpului electric.

*oferă electronii liberi, pentru transport.*

*Circuitul metalic este deci numai un simplu indicator al prezenței câmpului electric, prin aceea că*

În continuarea discuției, să considerăm un câmp electrostatic, reprezentat prin liniile de forță (fig. 338).

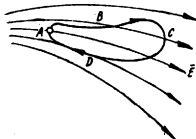


Fig. 338. În câmpul electrostatic transportul unei sarcini electrice, pe un drum închis, nu implică lucru mecanic.

Dacă unitatea pozitivă de sarcină electrică ar parcurge o traiectorie practic închisă  $ABCD$ , revenind într-un punct imediat vecin cu punctul de plecare  $A$ , lucrul mecanic implicat ar fi nul.

În adevăr, considerând porțiunile  $ABC$  și  $CDA$ , tot atâtea energie se liberează în lungul uneia din ele, câtă se absoarbe pe parcursul celeilalte.

Ca urmare directă, diferența de potențial dintre cele două puncte imediat vecine nu poate fi decât nulă (§ 213).

Cu totul altă e situația într-un câmp electrodinamic. Aici liniile de forță se închid în ele însele, așa că transportul de electricitate pe un astfel de circuit închis poate să decurgă mereu în sensul câmpului electric.

De astă dată, pentru unitatea de sarcină pozitivă, plecată din  $A$  și revenită într-un punct imediat vecin, pe drumul ocolit, lucrul mecanic al forțelor electrice nu mai este nul (fig. 339).

Aceasta înseamnă că, între cele două puncte, va trebui să apară o diferență de potențial  $V$ , egală și opusă unei forțe electromotoare  $e$ , care s-ar induce într-un circuit metalic închis.

Între capetele unei porțiuni infinitesimale  $dl$ , de pe linia de forță considerată, în câmpul de intensitate  $E$ , diferența de potențial va fi

$$dV = -Edl. \quad (214.3)$$

Iar dacă integrăm pe tot conturul închis, avem

$$V = -e = -\oint Edl \neq 0.$$

Se poate demonstra că relația de față este valabilă nu numai pentru liniile de forță ale câmpului electrodinamic, dar și pentru orice altă curbă închisă, care înfășură câmpul magnetic variabil.

Împreună cu (324.1), ea ne dă :

$$\oint Edl = -\mu S \frac{dH}{dt}. \quad (324.2)$$

Această expresie fundamentală, numită ecuația lui *Maxwell-Faraday*, constituie unul din punctele de plecare pentru teoria undelor electromagnetice, clădită de Maxwell, între 1861 și 1873.

Integrala pe o linie închisă a câmpului electrodinamic este proporțională cu șuțea de variație în timp a câmpului magnetic.

*Ea ne spune că integrala pe o linie închisă a câmpului electrodinamic, ce învâluie un câmp magnetic variabil, este proporțională cu șuțea lui de variație în timp.*

§ 325. **Rolul curenților de deplasare.** În § 275 am arătat că, după teorema lui Ampère, transportul masei magnetice  $m$ , pe o linie de forță închisă a câmpului magnetic ce ia naștere în jurul unui conductor, parcurs de un curent cu intensitatea  $i$ , absoarbe sau liberează lucrul mecanic

$$A = 4\pi ml. \quad (275.1)$$

Această situație am reprezentat-o în fig. 340.

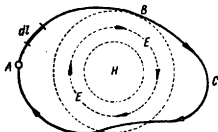


Fig. 339. Pentru deducerea ecuației lui Maxwell-Faraday.

De altă parte, notind cu  $H$  intensitatea câmpului magnetic, lucrul mecanic elementar, pe distanța  $dl$ , în lungul unei linii de forță, va fi

$$dA = F dl = mH dl$$

iar pe întreaga traiectorie închisă,

$$A = \oint m H dl \quad (325.1)$$

Relația de față, împreună cu (275.1), de mai sus, ne dă

$$4\pi i = \oint H dl \quad (325.2)$$

și se poate dovedi că este valabilă nu numai în lungul unei linii de forță magnetice, dar și în lungul oricărei traiectorii închise, ce înconjură conductorul parcurs de curent.

Cu aceste cunoștințe, să revenim acum asupra concluziilor din § 230.

Am arătat acolo că un condensator, intercalat într-un circuit, nu constituie o întrerupere, câtă vreme la bornele lui acționează o diferență de potențial variabilă.

După concepția lui Maxwell, dielectricul acestui condensator, fie chiar vidul, este parcurs de *curenți de deplasare*, capabili să producă în jurul lor un câmp magnetic circular, după aceleași legi ca și curenții de conducție (fig. 341)

Maxwell însuși nu a reușit să verifice prin experiență această concepție, pe vremea lui cu totul revoluționară, și a considerat-o ca pe o simplă ipoteză.

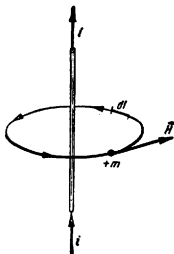


Fig. 340. Pentru deducerea ecuației lui Maxwell-Ampère.

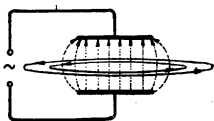


Fig. 341. Câmpul magnetic al curentului de deplasare.

Asemenea verificări au venit ulterior, fie pe cale directă, fie indirectă, prin acordul cu alte fapte, ce se încadrează în prevederile lui teoretice.

Ca exemplu de verificare directă, fig. 342 schițează o experiență, făcută pentru prima oară de *Silvanus Thomson*<sup>1)</sup>:

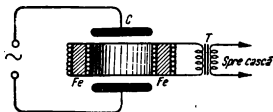


Fig. 342. Experiența lui Silvanus Thomson.

La bornele unui condensator plan, se aplică o tensiune alternativă de ordinul miilor de volți.

Dielectricul lui este înconjurat de un inel, făcut din tole de fier, pe care s-a înfășurat o bobină toroidală, în serie cu primarul unui transformator *T*.

Intr-o cască telefonică, legată la bornele secundarului, se aude atunci un sunet, de frecvența tensiunii alternative, aplicate între armături.

Aceasta se datorește faptului că inelul de fier captează și canalizează liniile de forță ale câmpului magnetic din jurul curenților de deplasare variabil.

Sunetul este slab, dar poate să fie amplificat cu tuburi electronice.

Tot în § 230, am mai arătat că densitatea curenților de deplasare, adică intensitatea lui pe centimetrul pătrat, se exprimă prin relația.

$$i_d = \frac{1}{4\pi} \cdot \frac{dD}{dt}, \quad (230.1)$$

în care *D* reprezintă inducția electrică.

<sup>1)</sup> *Silvanus Thomson* (1851—1916), fizician englez.

Se știe însă că, într-un mediu de permitivitate  $\epsilon$  și pentru câmpul de intensitate  $E$ , inducția este

$$D = \epsilon E. \quad (200.1)$$

Vom putea scrie deci că intensitatea totală  $i_t$  a curentului de deplasare, printr-o suprafață  $S$ , perpendiculară pe liniile de forță ale câmpului electric variabil, este

$$i_t = \frac{S}{4\pi} \cdot \frac{dE}{dt}. \quad (325.3)$$

Dar, după Maxwell, câmpul magnetic al curentului de deplasare urmează aceleași legi ca și curentul de conducție.

Adaptată situației de față, relația (325.2) de mai sus devine astfel

$$\oint H dl = \epsilon S \frac{dE}{dt}. \quad (325.4)$$

Această expresie, de asemenea fundamentală, numită *ecuația lui Maxwell-Ampère*, constituie al doilea punct de plecare pentru teoria undelor electromagnetice.

În jurul curentului de deplasare, integrala pe o linie închisă a câmpului magnetic este proporțională cu iușeala de variație în timp a câmpului din dielectric.

*Ea ne spune că integrala pe o linie închisă a câmpului magnetic variabil, ce învâluie un câmp electric variabil, este proporțională cu iușeala lui de variație în timp.*

Cele două ecuații, a lui *Maxwell-Faraday* și *Maxwell-Ampère*, sînt deci în totul similare, cu deosebirea că prima leagă câmpul electric de variațiile câmpului magnetic, iar a doua leagă câmpul magnetic de variațiile câmpului electric, arătînd că ambele fenomene sînt reciproce.

Să considerăm acum un circuit în care curenții de conducție se continuă cu curenții de deplasare, după cum arată fig. 343.

Această condiție poate fi realizată dacă, în acel circuit, acționează o forță electromotoare variabilă, produsă fie de un generator, intercalat în serie, fie prin acțiunea inductoare a unui circuit vecin.

Luînd ca exemplu acțiunea inductoare, înseamnă că un câmp magnetic variabil, provenit din exterior, străbate normal suprafața delimitată de conturul circuitului.

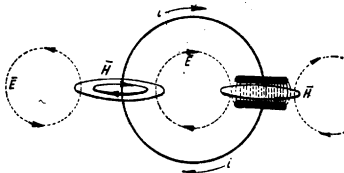


Fig. 343. Înlanțuirea cimpurilor magnetice și electrice variabile.

Acest câmp magnetic se înconjură cu linii de forță ale unui câmp electric  $E$ , de asemenea variabil, care sînt canalizate de conductor și se închid prin dielectricul condensatorului.

În firul metalic avem astfel un curent de conducție, ce se continuă cu altul de deplasare, în dielectric.

La rîndul lor, liniile de forță electrice se înconjură cu ale unui câmp magnetic  $H$  și fiecare din aceste cimpuri, în măsura în care nu intervin devieri sau canalizări din partea corpurilor vecine, se menține într-un plan perpendicular pe direcția celui care i-a dat naștere.

Cimpurile magnetice și electrice variabile sînt inseparabile și se propagă în spațiu cu viteză finită.

*După Maxwell, cimpurile magnetice și electrice variabile sînt inseparabile și se propagă în mediul vecin cu viteză finită.*

Dacă circuitul din figură ar fi parcurs de curenți alternativi sinusoidali, cele două cimpuri s-ar propaga, într-un mediu izotrop și nelimitat, sub forma de unde transversale, de asemenea sinusoidale, ale căror variații de intensitate vor trebui să decurgă după regula mîinii stîngi, în plane perpendiculare, ce se intersectează după direcția de propagare, așa cum arată fig. 344.

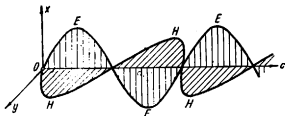


Fig. 344. Situația reciprocă a intensității câmpurilor magnetice și electrice în lungul direcției de propagare.

Unda electrică și magnetică formează o undă electromagnetică, la care cimpurile variabile urmează regula mîinii stîngi.

*Prin urmare cîmpul electric variază în sensul degetului mijlociu și cîmpul magnetic în sensul degetului arătător, cînd propagarea decurge în sensul degetului mare.*

Aceste două cîmpuri, variabile, împerechiate și progresive, formează împreună ceea ce numim o **UNDĂ ELECTROMAGNETICĂ**.

§ 326. **Viteza de propagare a undelor electromagnetice.** În ecuația lui Maxwell-Faraday

$$\oint E dl = -\mu S \frac{dH}{dt} \quad (324.2)$$

omogeneitatea dimensiunilor fizice implică folosirea unui singur sistem de unități, în ambii membri.

Dar, în membrul întii, ne referim la cîmpul electric, a cărui definiție clasică pleacă de la legea electrostatică a lui Coulomb

$$F = \frac{1}{s} \cdot \frac{Q_1 \cdot Q_2}{r^2}. \quad (195.1)$$

De altă parte, membrul al doilea cuprinde, implicit, legea lui Faraday

$$e = - \frac{d\phi}{dt}, \quad (293.1)$$

care se referă, în esență, la un fenomen electromagnetic.



Analog, în ecuația lui Maxwell-Ampère,

$$\oint H dl = \epsilon S \frac{dE}{dt} \quad (325.4)$$

membrul întâi este o consecință a teoremei lui Ampère, care se sprijină pe legea electromagnetică a lui Laplace, iar în membrul al doilea găsim iarăși cîmpul electric, pe care-l definim din legea electrostatică a lui Coulomb.

Ca să evidențieze aceste diferențe Maxwell transpune fiecare membru al ecuațiilor fundamentale de mai sus, deoparte în unități electrostatice și de cealaltă parte în unități electromagnetice, după cum e cazul, iar ca să păstreze omogeneitatea în dimensiuni, introduce raportul de transformare al unităților  $c$ , despre care am arătat în tabela din § 273 că are dimensiunile unei viteze și că se numește *numărul lui Maxwell*.

În asemenea condiții, ecuațiile acestea devin

$$\oint E dl = - \frac{\mu}{c} S \frac{dH}{dt} \quad (326.1)$$

și

$$\oint H \cdot dl = \frac{\epsilon}{c} S \frac{dE}{dt} \quad (326.2)$$

Nu este locul să urmărim aici întreaga dezvoltare teoretică, dar, cu ajutorul relațiilor de față, care formulează interdependența dintre variațiile cîmpurilor magnetice și electrice, Maxwell ajunge la concluziile următoare :

1) Undele electromagnetice se propagă, într-un mediu izotrop, cu viteza

$$v = \frac{c}{\sqrt{\epsilon \mu}} \quad (326.3)$$

dacă exprimăm permitivitatea în CGS e.s. și permeabilitatea în CGS e.m., în care caz ambele sînt numai simple numere abstracte.

2) Dacă propagarea decurge în vid (sau practic în aer), fiecare din aceste cantități fiind egală cu unitatea, viteza devine

$$v=c=3 \cdot 10^{10} \text{ cm/s.}$$

Ca să evidențiem aceasta, obișnuim să notăm cu  $c$  viteza undelor electromagnetice în vid.

3) Lumina, vizibilă sau invizibilă, nu este decât o undă sinusoidală electromagnetică.

4) Undele electromagnetice se refractă ca și undele elastice, iar indicele de refracție are valoarea raportului vitezelor de propagare, în două medii vecine.

5) Undele electromagnetice pot fi reflectate, iar suprapunerea unei direcție peste cea reflectată dă naștere la unde staționare.

6) Ca și la undele elastice, o caracteristică a propagării o constituie lungimea de undă, care se definește prin relația cunoscută

$$\lambda = vT. \quad (171.2)$$

Lumina este un caz particular al undelor electromagnetice, care se propagă în vid cu viteza de  $3 \cdot 10^{10}$  cm/s, egală cu numărul  $c$ .

*tivitatea mediului* (în vid egală cu numărul lui Maxwell).

Verificarea experimentală a existenței și structurii undelor electromagnetice, prevăzute de Maxwell, a fost făcută, pentru prima oară de *Hertz*, într-o serie de cercetări fundamentale, care datează din 1888.

De aceea le mai numim și *unde hertziene*.

Cu ajutorul cunoștințelor căpătate, sîntem acum în măsură să înțelegem de ce viteza de propagare a perturbațiilor electrice prin fire depinde de constantele  $\mu$  și  $\epsilon$  ale mediului.

În adevăr, cel ce se propagă este cîmpul electromagnetic, iar metalul nu face decât să contribuie cu electronii liberi la transportul de electricitate.

*Ceea ce trebuie reținut în special este că lumina e un caz particular al undelor electromagnetice, a căror viteză de propagare depinde de permeabilitatea și de permi-*

Dar aici trebuie să mai facem și o restricție :

Viteza luminii la perturbările electrice prin fire este o limită superioară, pentru frecvențe înalte și rezistență nulă.

*Viteza luminii, la fire suspendate în vid, constituie o limită superioară, ce nu poate fi atinsă decât la curenții de frecvențe foarte înalte și la rezistențe ohmice practice nule.*

De fapt, rezistența ohmică nu poate fi neglijată decât la firele groase și destul de scurte.

În condițiile normale și la frecvențe joase, viteza de propagare devine cel puțin de zece ori mai mică decât numărul lui Maxwell, chiar dacă firul e întins în aer.

Teoria completă prevede aceste fapte și experiența le confirmă.

Înainte de a încheia paragraful, mai trebuie să menționăm următoarele :

În relațiile de bază (326.1 și 2), variațiile infinitesimale  $dE$  și  $dH$  sînt înmulțite, respectiv, cu permitivitatea și permeabilitatea mediului de propagare, care și ele pot să varieze în timp.

În dezvoltarea lui teoretică, Maxwell le-a scos în evidență și, considerîndu-le constante, iar mediul izotrop, a dedus formula (326.3), care, în fond, cuprinde rezultatul principal obținut.

Nu trebuie să uităm însă că

$$\mu H = B \quad \text{și că} \quad \epsilon E = D$$

și atunci avem

$$\oint E dl = - \frac{1}{c} S \frac{dB}{dt} \quad (326.1a)$$

și

$$\oint H dl = \frac{1}{c} S \frac{dD}{dt} \quad (326.2a)$$

care ne arată că, în fond, parametrii variabili sînt inducția magnetică  $B$  și cea electrică  $D$ .

O undă electromagnetică rezultă nu numai prin variația cîmpurilor, dar și la cîmp constant, prin variația lui  $\mu$  sau  $\epsilon$ .

*O undă electromagnetică se va produce deci chiar în cîmp constant, cînd variază în timp fie permitivitatea mediului, fie permeabilitatea, fie amîndouă.*

## CAPITOLUL XLV

## NOȚIUNI DE RADIOCOMUNICAȚII

§ 327. **Antena de radio.** În radiocomunicații urmărim ca un post emițător să provoace variații de curent electric în altul receptor, fără o legătură conductoare între dînsese.

Undele electromagnetice, care transportă în spațiu energie, sub forma radiantă, ne dau putința de a rezolva problema, însă rămîne să vedem în ce condiții.

Să presupunem că un cadru conductor este parcurs de curenți variabili. Acest cadru poate fi, eventual, un circuit oscilant, ale cărui constante sînt inducțanța proprie și o capacitate intercalată în serie (fig. 345).

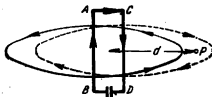


Fig. 345. La un circuit oscilant închis, cîmpurile produse de laturile opuse tind să se compenseze reciproc.

Considerînd că, la un moment dat, el este parcurs de curenți crescători, în sensul săgeților, laturile AB și CD (ca și celelalte două) se înconjură cu linii de forță ale unui cîmp magnetic variabil, ce se propagă în spațiu.

Intr-un punct exterior P, cele două cîmpuri sînt orientate invers, dar dacă distanța  $d$  este destul de mică, în comparație cu laturile cadrului, diferența drumurilor parcurse face ca unul să fie mai slab decît celălalt.

Rezultanta lor este atunci diferită de zero și în alt cadru, orientat perpendicular pe direcția ei, vom putea obține curenți de inducție.

Dar, la distanțe mari, aceste două cîmpuri devin practic egale, rezultanta este nulă și nu mai putem constata fenomene de inducție.

Este ușor de văzut că aceleași observații se referă și la cîmpul electric variabil, ce însoțește variațiile cîmpului magnetic.

Un circuit oscilant închis nu permite o desfășurare a fenomenelor de inducție magnetică sau electrică, la distanțe mari.

*Prin urmare un circuit oscilant închis nu permite o desfășurare a fenomenelor de inducție magnetică sau electrică, decât la distanțe destul de mici.*

Cu prilejul cunoscutelor lui cercelări, *Hertz* este primul care a înțeles că situația devine cu totul diferită, la circuitele oscilante deschise, pe care le-a folosit din capul locului.

În adevăr, să presupunem că, la mijlocul unui fir metalic rectiliniu, se găsește o scurtă întrerupere *S*, în care producem scintei electrice (fig. 346).

Prin ionizarea intensă, aceste scintei fac spațiul *S* atât de conductibil, încât e ca și cum nu ar exista întreruperea.

Totodată ele excită electric sistemul, care intră în oscilații de rezonanță pe frecvența lui proprie.

În lungul firului, care funcționează ca un *oscilator deschis*, apar astfel unde staționare, cu două ventre de potențial în capete și cu un ventru al variațiilor intensității de curent la mijloc, așa cum arată figura și cum se știe din § 323.

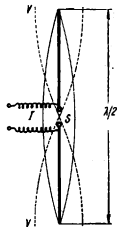


Fig. 346. Unde staționare pe un dipol excitat.

*Între cele două extremități libere se inserează deci o jumătate a lungimii de undă.*

Situația este similară cu a unei coarde de violină care, din complexul de vibrații produse în timpul frecării cu arcușul, alege și amplifică prin rezonanță pe aceea care coincide cu frecvența ei proprie de oscilație liberă.

Se știe însă că, pe direcția de propagare, punctele separate prin jumătatea lungimii de undă oscilează în opoziție de fază.

Alegând ca zero de referință mijlocul firului, aceasta înseamnă că, în momentul în care unul din capete atinge maximum de potențial pozitiv  $+V_0$ , celălalt este la potențialul negativ  $-V_0$ , iar situația se inversează după o jumătate de perioadă.

Firul se comportă deci ca un *dipol*, de lungime  $\lambda/2$ , la care liniile de forță arcuite ale câmpului electric se îndesesc în apropierea extremităților și se propagă în vid cu viteza luminii.

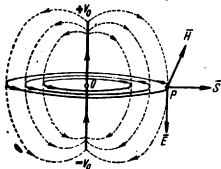


Fig. 347. Liniile de forță magnetice și electrice în jurul unui dipol.

El se înconjură cu linii de forță circulare ale câmpului magnetic, al căror sens e dictat de regula șurubului.

Într-un punct oarecare  $P$  din spațiu, luat pe o direcție normală pe dipol, găsim astfel că orientarea câmpului electric  $E$  și magnetic  $H$ , transportate de unda electromagnetică, urmează cunoscuta regulă a mâinii stîngi.

La circuitele oscilante deschise se propagă în spațiu numai cîte un singur cîmp magnetic sau electric.

*Spre deosebire de circuitele oscilante închise, nu mai apar la dipoli cîte două cîmpuri: magnetice sau electrice contrarii, capabile să se anuleze reciproc.*

Rămîne să urmărim undele în propagare, ca să vedem ce modificări suferă, în timpul acesta, liniile de forță ale câmpurilor variabile, într-un mediu cum e aerul sau vidul.

1) Cele magnetice își păstrează neschimbate forma circulară și sensul cu care au plecat, mărindu-și raza cu cîte o lungime de undă, în timpul unei perioade de oscilație a dipolului (fig. 348).



Fig. 348. Liniile de forță magnetice în jurul unui dipol.

Ele se succed una pe alta, se îndesesc acolo unde câmpul are intensitățile maxime și au sensurile inversate după fiecare jumătate a lungimii de undă, fiindcă și curentul în dipol se inversează după fiecare jumătate de perioadă.

2) Pentru liniile de forță ale câmpului electric, modificările de formă sînt ceva mai complicate și fig. 349 reprezintă aspectele succesive, în timpul unei perioade.

În *a*) dipolul este în repaus electric și nu apar linii de forță.

În *b*) curentul duce sarcini pozitive de la *A* spre *B*.

Se formează atunci linii de forță electrice, în sensul săgeților, care se răspîndesc progresiv în spațiu.

În *c*) curentul, după ce a trecut prin maximum, începe să scadă.

Răspîndirea în spațiu a continuat, însă o parte din liniile de forță s-au închis în ele înșile.

În *d*) intensitatea curentului în dipol trece iarăși prin zero de amplitudine. Alte linii de forță nu se mai formează, iar cele vechi, continuîndu-și propagarea, sînt acum toate închise.

Cu aceasta s-a încheiat prima jumătate de perioadă a oscilației.

În *e*) curentul, schimbînd sensul, transportă sarcini pozitive de la *B* spre *A*.

Apar atunci alte linii de forță, dar în sensul invers și procesul continuă, în timp ce dipolul oscilează mai departe.

Evident, odată cu inversarea câmpului electric, se inversează și cel magnetic, în acord cu regula mîinii stîngi.

Cît despre spațiul parcurs de unda electromagnetică, în timpul unei perioade întregi, el va fi egal cu de două ori lungi-

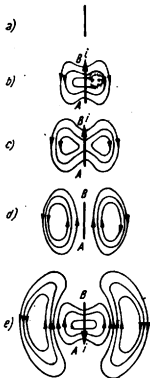


Fig. 349. Situații succesive ale liniilor de forță electrice în jurul unui dipol.

mea dipolului, știind că acesta cuprinde o jumătate a lungimii de undă și că, la frecvențe înalte, vitezele de propagare în fir și în spațiu sînt egale.

Fenomenele sînt analoge la un fir vertical, cu o extremitate liberă și cu alta legată la pămînt, cînd îl excităm electric pe la bază (fig. 350).

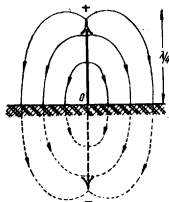


Fig. 350. Antena împreună cu imaginea ei formează un dipol.

Un fir de metal cu un capăt liber și altul la pămînt funcționează ca dipol și poate fi antenă de radio.

În lungul lui se formează de asemenea unde staționare, cu ventrul de tensiune la capăt și ventrul variațiilor de intensitate ale curentului la contactul cu pămîntul.

Un astfel de sistem oscilează deci în sfert de undă.

În § 217 am văzut însă că, în asemenea situație, totul se petrece ca și cum imaginea virtuală a firului, oglindit în suprafața conductoare a Pămîntului, l-ar face de două ori mai lung.

El echivalează deci cu un dipol de lungime dublă, ce oscilează în semiundă, pe aceeași frecvență ca și dînsul.

*Cînd oscilează, un asemenea fir, cu un capăt în aer și cu altul la pămînt, emite în spațiu energie radiantă, prin unde electromagnetice.*

Dar el are, față cu dipolul, avantajul că este de două ori mai scurt, pentru aceeași lungime de undă a oscilației.

Acest avantaj avea importanța lui, mai ales pe vremea cînd

La lungimi de undă egale, antena este de două ori mai scurtă decît dipolul.

posturile de radio emiteau pe lungimi de undă foarte mari, de ordinul zecilor de kilometri.

Este evident că un fir de metal, chiar dacă era de patru ori mai scurt decît aceste lungimi, nu putea fi înălțat vertical, ci doar adus cît mai sus și apoi desfășurat orizontal sau înclinat.



Un astfel de fir, cu un capăt în aer și cu altul legat la pământ, constituie o antenă de radio și a fost folosit pentru prima oară de Popov <sup>1)</sup>.



Fig. 351. Liniile de forță electrice în jurul unei antene de emisiune.

Figura 351 reprezintă situația instantanee, la un moment dat, a liniilor de forță electrice, în jurul unei antene verticale  $E$ .

Cele magnetice vor fi și de astă dată cercuri concentrice, axate pe fir, în planul orizontal.

Acolo unde legătura cu pământul este imposibilă, sau insuficient de intimă, vom folosi dipolii sau vom lega un capăt al antenei la o masă metalică de suprafață mare, numită *contra-greutate*.

De pildă, în fig. 352, masa metalică a avionului captează liniile de forță electrice ale antenei, care spînzură în aer și le permite să se închidă.

Înainte de a trece

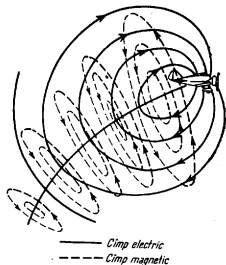


Fig. 352. Liniile de forță electrice și magnetice ale antenei unui avion.

<sup>1)</sup> Alexandru Stepanovici Popov (1859—1906), fizician rus, fost profesor la Petersburg. Completind cercetările lui Hertz, a realizat, în 1896, prima transmisiune și recepție radiotelegrafice, la distanța de 250 m. Apoi, prin perfecționări succesive, a mărit această distanță pînă la cîțiva kilometri.

mai departe, menționăm că, după cum se vede din figurile 348, 349, 351 și 352, în prelungirea dipolului sau antenei nu există linii de forță ale câmpurilor magnetice sau electrice, prin urmare nici unde electromagnetice.

**O antenă rectilinie nu radiază în prelungirea ei.**

*Aceasta înseamnă că antena sau dipolul rectiliniu nu radiază energie în prelungirea lor.*

**§ 328. Acordul antenei.** Am considerat pînă acum frecvența proprie de oscilație a unei antene ca fixă și dictată de condiția ca lungimea ei să cuprindă un sfert de undă.

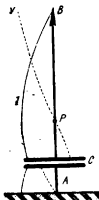


Fig. 353. Condensatorul, intercalat la bază, scurtează antena.

Rămîne să vedem cum se poate face ca o antenă dată să oscileze și pe alte frecvențe, adică să realizăm ceea ce se numește *acordul ei*.

Teoria prevede și experiența confirmă că un condensator  $C$ , intercalat în serie la baza unei antene, modifică repartizarea undelor staționare.

Astfel, în situația din fig. 353, se formează, într-un punct  $P$ , un ventru de curent și un nod al variațiilor de potențial.

Totul se petrece deci ca și cum antena ar avea lungimea  $PB$ , ceea ce înseamnă că ea va oscila pe lungimea de undă

$$\lambda_1 = 4PB$$

în loc să oscileze pe

$$\lambda_0 = 4AB.$$

Poziția punctului  $P$  variază cu mărimea capacității introduse. Dacă aceasta este practic nulă, rezistența capacitivă, pentru curentul de înaltă frecvență, este practic infinită și e ca și cum firul n-ar mai fi legat la pământ.

El s-ar comporta, în această situație, ca un dipol, cu ambele capete izolate.

Punctul  $P$  se găsește atunci pe mijlocul distanței  $CB$  și

$$\lambda_1 = \frac{1}{2} \lambda_0.$$

Dacă, din contra, capacitatea este foarte mare, prezența ei introduce o rezistență capacitivă practic nulă.

Punctul  $P$  se mută atunci în  $A$  și avem

$$\lambda_1 = \lambda_0.$$

În radiotehnică, expresia consacrată acestor schimbări ale condițiilor de rezonanță este că o capacitate intercalată la bază „scurtează” antena.

Capacitatea intercalată la bază poate cel mult să dubleze frecvența proprie a antenei.

*In tot cazul, introducerea unei capacități nu ne permite să variem lungimea de undă și frecvența de rezonanță, decît între simplu și dublu.*

Cînd antena este prea scurtă, o putem „lungi”, dacă intercalăm la baza ei o bobină de inductanță.

Unda staționară se modifică atunci așa cum arată fig. 354, *a*, fiindcă în lungul inductanței apare o cădere mai rapidă a variațiilor de amplitudine ale potențialului.

Evident, această cădere va fi cu atît mai sensibilă, cu cît inductanța este mai mare.

În practică se folosesc de obicei simultan ambele metode, intercalînd la baza antenei o capacitate variabilă și o inductanță variabilă, cum arată figura 354, *b*, sau prevăzînd un mijloc de a introduce bobine cu inductanțe diferite.

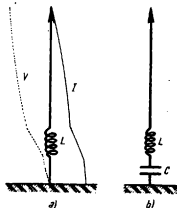


Fig. 354 *a*. Efectul inductanței asupra undelor staționare din antenă.

Fig. 354 *b*. Acordul antenei cu inductanță și capacitate.

Inductanța intercalată în antenă o lungeste, iar capacitatea o scurtează.

Posibilitățile de a varia frecvența de rezonanță devin astfel foarte largi.

§ 329. **Excitarea antenei.** Există mai multe metode, prin care putem aduce o antenă în situația să oscileze. Fără să intrăm în amănunte, vom descrie numai principiile de bază.

1) La începuturile radiotelegrafiei, singura metodă cunoscută era scînteia oscilantă. O cităm numai pentru importanța istorică, fiindcă astăzi a dispărut din practică, odată cu părăsirea undelor amortizate.

Un transformator de înaltă tensiune, sau o bobină de inducție produce scînteii în  $S$  și excită oscilația electrică a circuitului  $LC$  (fig. 355).

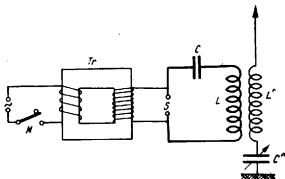


Fig. 355. Schema unui post emițător cu scînteie.

Antena este cuplată inductiv, prin bobina  $L'$ , cu circuitul oscilant și acordată la rezonanță, cu ajutorul capacității variabile  $C'$ .

Undele emise pot fi comandate, în ritmul semnalelor *Morse*, cu manipulatorul  $M$ . Un contact mai îndelungat înseamnă *linie* și altul mai scurt corespunde *punctului*.

2) În posturile moderne de radioemisiune se folosesc numai oscilațiile întreținute cu tuburi electronice.

Adaptînd acestui scop oscilatorul din fig. 329, excitarea antenei se va face tot prin cuplarea inductivă a bobinelor  $L$  și  $L'$ , iar acordul ei prin reglarea capacității variabile, intercalată la bază, cum arată fig. 356.

Aici metoda cea mai avantajoasă pentru manipularea în alfabetul Morse consistă în a intercala manipulatorul în serie pe circuitul de grilă, fiindcă acolo variațiile de potențial și curentul sînt mult mai mici decît în circuitul anodic.

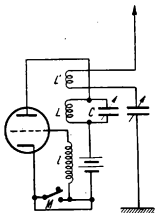


Fig. 356. Cuplarea prin inducție a unei antene, la un oscilator cu unde întreținute.

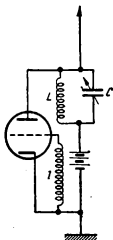


Fig. 357. Cuplarea directă a antenei de emisiune.

3). În loc să cuplăm antena prin inducție și să o acordăm la rezonanță cu circuitul oscilant, o putem lega la una din bornele condensatorului  $C$ , a cărei cealaltă bornă este legată la pământ, așa cum arată fig. 357.

Din cauza cuplajului foarte strîns, ea intră atunci în oscilații forțate.

Procedeul are avantajul unei simplificări de reglaj, prin folosirea unui singur condensator variabil, însă antena radiază atunci mai puțină energie în spațiu.

§ 330. **Recepția semnalelor.** Pentru ca undele electromagnetice, trimise în spațiu de un post emițător, să producă variații de curent în receptor, avem la dispoziție două metode.

Cu antena receptoare folosim variațiile cîmpului electric și cu cadrul pe ale celui magnetic.

1) *Folosim o antenă, acordată la rezonanță cu a emițătorului.*

Această antenă interceptează liniile de forță ale cîmpului electric și astfel rezultă în ea transporturi de electricitate, deci curenți oscilanți, care-și inversează sensul odată cu cîmpul.

2) *Așezăm o bobină, de suprafață cît mai mare, cu planul spirelor orientat în direcția postului emițător.* Ea este atunci străbătută normal de liniile de forță ale cîmpului magnetic de inducție oscilant, ceea ce înseamnă că va fi parcursă de curenți induși, pe care-i putem amplifica punînd circuitul în rezonanță cu emițătorul, prin variația unui condensator legat în serie.

Aceasta este așa numita *recepție pe cadru*.

Figura 358 reprezintă în *a* și *b* felul în care antena de recepție și cadrul interceptează liniile de forță electrice sau magnetice ale cîmpurilor plecate de la postul emițător.

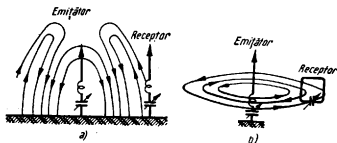


Fig. 358. Recepția pe antenă folosește variațiile cîmpului electric, iar cel pe cadru pe ale cîmpului magnetic.

Recepția pe cadru are avantajul că elimină toate posturile de emisiune situate în direcția perpendiculară sau puțin înclinată pe planul spirelor, însă antena captează mult mai multă energie.

Rămînînd la recepția pe antenă, să presupunem că, între bornele *a* și *b* ale bobinei *L*, introducem o cască telefonică (fig. 359, *a*).

Presupunînd, ca exemplu, că emițătorul transmite pe lungimea de undă de 300 m, înseamnă că el oscilează pe frecvența

$$f = \frac{3 \cdot 10^{10}}{3 \cdot 10^4} = 10^6 \text{ Hz.}$$

Această frecvență depășește cu mult limita sunetelor audibile și de aceea, oricum ar fi făcută casca, nu vom auzi nimic, indiferent dacă emițătorul funcționează fără întrerupere sau transmite semnale Morse.

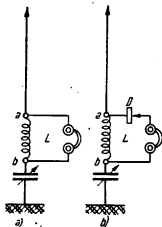


Fig. 359. Antena fără și cu detector intercalat în circuitul câștii.

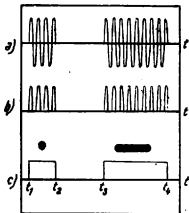


Fig. 360. Detecția transformă semnalul Morse supraauditibil în altul auditibil.

**Detecția semnalelor.** Să presupunem acum că, în serie cu casca, intercalăm un dispozitiv *D*, numit *detector*, care nu permite curentului oscilant să treacă decît într-un sens.

Dispozitivul acesta este deci un *redresor*.

Figura 359, *b* ne arată atît schema noului montaj, cît și felul în care se reprezintă convențional detectorul.

În cele ce urmează, vom analiza comparativ cele două situații : fără detector și cu detector.

1) *Fără detector*, diferența de potențial oscilantă, ce apare între capetele *a* și *b* ale bobinei *L*, implică trecerea unui curent de aceeași frecvență, prin casca telefonică.

Inversările simetrice succesive ale acestui curent, reprezentate în fig. 360, *a*, sînt însă mult prea rapide, ca să poată fi urmărite de membrana căștii și transformate în sunete.

În tot cazul, chiar dacă am izbuti să construim o cască adaptată situației, sunetul ar fi supraauditibil.

2) *Cu detector în serie*, una din alternanțe fiind suprimată, curentul din cască variază în timp cum arată fig. 360, *b*.

Nici așa membrana nu poate să urmărească impulsurile de înaltă frecvență ale curentului, dar acestea fiind acum unidirecționale, casca înregistrează curentul mediu, rezultat din totalizarea lor în timp.

Detectorul este un redresor, care transformă variațiile alternative ale curentului în impulsuri unidirecționale.

În aceste momente  $t_1, t_2, t_3$  etc.

Există posibilitatea ca, în locul pocniturilor, să obținem sunete muzicale, de durată mai lungă sau mai scurtă, care să reprezinte liniile și punctele, dar nu este cazul să le descriem.

Ca detectori putem folosi diferite sisteme, între care și tuburile diode sau triode.

Se știe, în adevăr, că dioda este, în fond, un redresor, iar trioda îndeplinește același rol, dacă o conectăm după anumite scheme particulare.

Cel mai popular și mai răspîdit e însă *detectorul cu cristal*, inventat de Braun<sup>1)</sup>, în 1906 (fig. 361).

Funcționarea lui se bazează pe însușirea unor contacte nesimetrice, de a conduce mai bine curentul într-un sens, decît în sensul opus.

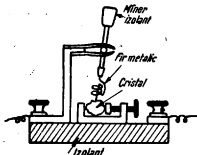


Fig. 361. Detector cu cristal.

<sup>1)</sup> Ferdinand Braun (1850—1918), fizician german, fost profesor la Strassburg, premiu Nobel (1909).



În această privință, un simplu ac de cusut, culcat ușor în cruce pe un cui de fier, poate să fie un detector.

De obicei se folosește însă, cu cele mai bune rezultate, contactul dintre un vîrf metalic și un cristal de galenă (sulfură de plumb).

Rezistența ohmică este mult mai mică, în sensul de la galenă spre metal, decît invers și astfel se elimină, cel puțin în parte, una din alternanțele curentului oscilant.

Există însă puncte de contact mai favorabile decît altele, pe care trebuie să le căutăm prin încercări succesive.

**§ 331. Principiul radiofoniei.** Să considerăm un oscilator cu triodă, pe care l-am cuplat cu antena unui post de emisiune (fig. 362).

În circuitul grilei am intercalat secundarul unui transformator, al cărui primar este conectat la bornele unui microfon  $M$ , în serie cu o baterie galvanică.

Condensatorul  $C'$  are rolul să permită libera trecere a curenților de înaltă frecvență, pentru care secundarul transformatorului reprezintă o rezistență inductivă prea mare.

Cîtă vreme microfonul nu este în funcțiune, amplitudinile variațiilor curentului, atît în circuitul oscilant, cît și într-un punct oarecare al antenei, sînt constante.

Aceste variații se succed în timp după o lege sinusoidală (fig. 363, *a*).

Dar, prin intermediul transformatorului, orice sunet produs în fața microfonului transmite variații de potențial grilei, în frecvențe audibile și după o lege analogă cu a vibrațiilor ce i-au dat naștere (fig. 363, *b*).

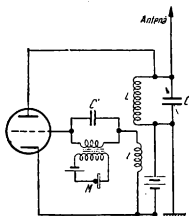


Fig. 362. Post emițător modulat în circuitul de grilă.

Ca urmare, amplitudinea oscilațiilor de înaltă frecvență variază și ea în timp, după aceeași lege (fig. 363, c).

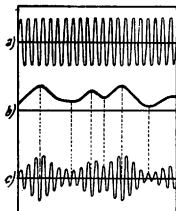


Fig. 363. Unda întreținută este modulată și urmărește amplitudinea oscilației sonore din b.

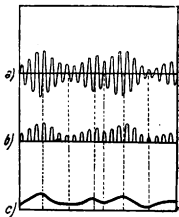


Fig. 364. Efectul detecției asupra undelor modulate.

Prin modulație, oscilațiile de înaltă frecvență suferă variații de amplitudine cu frecvență joasă.

*Această variație în timp și cu frecvență joasă a amplitudinii unor oscilații de frecvență înaltă se numește modulație.*

Procedul descris mai sus folosește variația, în frecvență joasă, a potențialului de grilă. El nu poate fi aplicat decât la posturile radiofonice de putere mică.

Există însă numeroase alte sisteme de modulație, pe care le putem aplica la posturi emițătoare, pînă la puteri oscilante de ordinul sutelor de kilowați.

Să presupunem acum că, folosind montajul din figura 359, b, recepționăm emisiunea modulată a unui post care transmite vorbă sau muzică (fig. 364, a).

Fără detector nu am auzi nimic, dar cu detector suprimăm sensul bidirecțional și primim în casca telefonică impulsuri unidirecționale, însă de amplitudine variabilă ale curentului de înaltă frecvență (fig. 364, b).

Membrana căștii urmărește atunci aceste variații și reproduce sunetul produs în fața microfonului, la postul de emisiune (fig. 364, c).

Cu diferite variante, un post receptor cu galenă poate fi construit după schema din fig. 359, b.

Cît despre posturile cu tuburi electronice, aci posibilitățile sînt așa de numeroase, încît nu rămîne decît să trimitem, pentru informare, la revistele și tratatele de specialitate.

Intr-o formă relativ simplă, ele cuprind un sistem de amplificare în frecvență înaltă, urmat de un detector și apoi de altă amplificare, în frecvență joasă, a curentului detectat.

Schema de principiu ar fi atunci aceea din fig. 365.

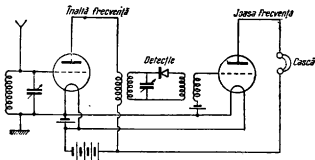


Fig. 365. Schema unui post receptor cu amplificare în înaltă frecvență, detecție și amplificare în joasă frecvență.

§ 332. **Înălțimea eficace și puterea radiată de antenă.** Ceea ce caracterizează o antenă dată este mai puțin frecvența de oscilație proprie, pe care o putem varia după voie, decît așa numita *înălțime eficace*, sau *de radiație*.

Antena verticală parcursă de curenți cu amplitudinea de la bază, capabilă să emită aceeași energie ca o antenă dată, corespunde înălțimii de radiație a ei.

*Prin aceasta se înțelege înălțimea unei antene verticale ideale, în care curentul ar avea peste tot amplitudinea de la ventre și care ar fi capabilă să radieze în spațiu aceeași cantitate de energie, ca și antena reală dată.*

Înălțimea de radiație reprezintă deci cu totul altceva decît înălțimea reală, geometrică.

Figura 366 lămurește această noțiune printr-o imagine intuitivă, valabilă pentru antenele verticale, ce oscilează în sfert de undă : *înălțimea de radiație reprezintă pe a dreptunghiului dublu hașurat, a cărui suprafață egalează pe a sinusoidelor ce figurează amplitudinea unei staționare.*

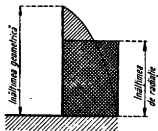


Fig. 366. Imaginea grafică a înălțimii de radiație a unei antene în sfert de undă.

Notînd înălțimea de radiație cu  $h_r$  și pe cea geometrică cu  $h_g$ , se poate aici demonstra ușor, printr-o simplă integrare a funcției sinusoidale, pe distanța  $h_g$ , că

$$h_r = \frac{2}{\pi} h_g.$$

La fel se poate demonstra că, pentru antenele în L răsturnat, sau în T, întilnite adesea în practică și repre-

zenlate în fig. 367, înălțimea de radiație depinde și de lungimea porțiunii orizontale.

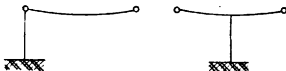


Fig. 367. Antenă în L răsturnat și în T.

Ea nu depășește însă 0,8—0,9 din înălțimea geometrică, în cazul cel mai bun, cînd nu există în apropiere clădiri, copaci, acoperișuri conductoare și așa mai departe.

În prezent, posturile mari de emisiune folosesc de preferință antenele sau dipolii verticali, adesea făcute dintr-un simplu pilon metalic, legat la pămînt sau izolat la bază.

Trebuie să menționăm însă că, la undele scurte, nu se aplică noțiunea de înălțime eficace.

De asemenea menționăm că trebuie să introducem corecții, dacă s-au intercalat inductanțe sau capacități la baza antenei.

Cu ajutorul înălțimii de radiație, putem să exprimăm acum puterea radiată de o antenă emițătoare.

Fără să insistăm asupra dezvoltării teoretice, această putere se exprimă printr-o relație de forma

$$P = K \frac{h_r^2}{\lambda^2} \cdot I_{ef}^2, \quad (332.1)$$

în care  $K$  este o constantă cu dimensiuni fizice, iar  $I_{ef}$  reprezintă intensitatea eficace a curentului de la bază, presupunând că antena oscilează în sfert de undă.

Toate cantitățile fiind exprimate în unități MKSA, puterea calculată rezultă în wați.

Comparînd relația de față cu aceea prin care am exprimat puterea debitată de un curent alternativ într-o rezistență ohmică :

$$P = R I_{ef}^2, \quad (231.1)$$

constatăm că  $R$  a fost înlocuit prin cantitatea

$$R_r = K \frac{h_r^2}{\lambda^2}$$

pe care o vom numi *rezistență de radiație*.

De obicei se folosește relația empirică

$$R_r = 160\pi^2 \frac{h_r^2}{\lambda^2}$$

în care nu mai este necesară omogeneitatea în dimensiuni.

**Rezistența de radiație** este direct proporțională cu pătratul înălțimii eficace și invers cu pătratul lungimii de undă.

*Prin urmare rezistența de radiație la o antenă este direct proporțională cu pătratul înălțimii eficace și invers proporțională cu pătratul lungimii de undă.*

Rezistența totală a antenei va fi deci

$$R_t = R + R_r$$

adică suma rezistenței ohmice și de radiație.

Ca exemplu, să considerăm cazul unei antene verticale, ce oscilează în sfert de undă și să presupunem că nu are intercalate la bază nici bobină de inductanță, nici capacitate.

Lungimea ei geometrică fiind  $\lambda/4$ , înălțimea de radiație va fi

$$h_r = \frac{2}{\pi} \cdot h_g = \frac{\lambda}{2\pi}$$

și găsim că

$$R_r = 160\pi^2 \cdot \frac{\lambda^2}{4\pi^2} / \lambda^2 = 40 \, \Omega.$$

Lungimea de undă s-a eliminat din calcul, ceea ce înseamnă că *toate antenele verticale, fără capacitate sau inductanță intercalate, au aceeași rezistență de radiație.*

Dar cînd o asemenea inductanță există, înălțimea eficace devine mai mică, de unde o scădere a rezistenței de radiație.

Pentru ca o antenă să radieze cît mai mult, va trebui deci să reducem la minimum inductanța intercalată. În schimb intercalarea unei capacități nu prea mari este avantajoasă, fiindcă urcă poziția ventrului de intensitate.

**§ 333. Propagarea undelor electromagnetice în jurul Pămîntului.** Se poate demonstra că la o distanță  $d$ , perpendiculară pe direcția unei antene de emisiune, aceasta produce un cîmp electric de intensitate maximă

$$E_0 = K \frac{I_0}{\lambda d} \cdot e^{-a \frac{d}{\sqrt{\lambda}}}$$

în care  $K$  este o constantă, la rîndul ei proporțională cu înălțimea de radiație,  $a$  este de asemenea o constantă, iar  $I_0$  reprezintă amplitudinea variațiilor de curent, la baza antenei care oscilează în sferă de undă.

În această relație, dedusă teoretic, dar confirmată numai aproximativ de experiență, factorul exponențial ajunge să domine cînd lungimea de undă este mică și distanța mare, ceea ce duce la o scădere rapidă a intensității cîmpului.

Înseamnă deci că, la distanțele mari, ca să avem cîmpuri suficient de intense ca să asigure o recepție a semnalelor, va trebui să recurgem la unde cît mai lungi și la intensități cît mai mari ale curentului din antenă.

De aici provine vechiul sistem de a folosi, pentru legăturile prin radio la distanțe mari, antene care se desfășurau pe lungimi de cîțiva kilometri și puteri de ordinul sutelor sau miilor de kilowați.

În 1902, cînd *Marconi*<sup>1)</sup> a realizat, cu toate prevederile pesimiste, cea dintîi transmisie prin radio peste Oceanul Atlantic, neputîndu-se interpreta propagarea la o asemenea distanță printr-un fenomen de difracție, ce ar permite undelor electromagnetice să ocolească curbura Pământului, *Kennely*<sup>2)</sup> și *Heaviside* au emis ipoteza unei pături puternic ionizate, deci conductoare, în regiunile superioare atmosferice.

Propagarea s-ar canaliza, după concepția lor, prin spațiul liber dintre această pătură și Pămînt, cum se canalizează undele sonore printr-un tub.

După aceeași formulă de mai sus, la distanțele mici apar, din contra, mai avantajoase undele scurte, fiindcă atunci domină raportul  $I_0/\lambda \cdot d$ .

S-a lăsat deci așa numiților *amatori de radio* domeniul undelor scurte, pentru experiențele lor personale și s-a rezervat, pentru serviciile publice, numai undele lungi.

Deosebit de mare a fost surpriza cînd, în 1921, amatorii au ajuns, totuși, să comunice peste ocean prin unde scurte și cu puteri oscilante uimitor de mici, iar astăzi o legătură cu antipozii nu cere mai mult de 20—50 wați oscilanți, pe 20 de metri lungime de undă.

Concepțiile vechi asupra mecanismului propagării undelor se cereau deci revizuite, prin noi lucrări teoretice și mai cu seamă experimentale.

S-a studiat așadar sistematic această propagare, în legătură cu ziua sau noaptea, cu anotimpul, cu latitudinea geografică, cu activitatea petelor solare, sau cu intensitatea cîmpului magnetic pămîntesc și, bineînțeles, cu lungimea de undă.

S-au constatat reflexii, pe păturile superioare atmosferice în așa numita *ionosferă*, unde presiunea este mică, dar ionizarea deosebit de intensă, deci conductibilitatea crescută.

Prin determinarea directă a timpurilor necesare pentru ca un semnal emis de o antenă să ajungă la locul de recepție pe calea directă sau reflectată, s-a măsurat apoi înălțimea la care se produce reflexia.

<sup>1)</sup> *Guglielmo Marconi* (n. în 1874), fizician italian, emigrat în Anglia. În 1909 i s-a decernat premiul Nobel pentru realizările lui, în domeniul radiotelegrafiei.

<sup>2)</sup> *Arthur E. Kennely* (n. în 1861), fizician de origine engleză, emigrat în Statele-Unite.

În același timp, din studiul descărcărilor în gaze, la presiune redusă și al variațiilor constantei dielectrice, datorite prezenței electronilor sau ionilor, s-a urmărit o reproducere în laborator a condițiilor din ionosferă.

Cercetările asupra ionosferei ocupă în prezent pe numeroși fizicieni, fiindcă trebuie urmărite în cât mai multe puncte și în toate continentele. Ele sînt migăloase și dificile.

Prin cercetări îndelungate, profesorul *Th. V. Ionescu*, de la Universitatea din București, a adus contribuții de o importanță deosebită și este, în momentul de față, unul din cei mai buni cunoscători ai problemei.

Nu este cazul să intrăm în amănunte și de aceea ne vom limita numai la faptele importante.

1) Există, cum e și firesc, o propagare directă, pe la suprafața Pămîntului.

Aici intervin diferite fenomene complexe, datorite conductibilității solului, acțiunii difractante a curburii lui sau formării curenților Foucault, prin variația cîmpului magnetic ce însoțește undele.

Problema propagării pe la suprafața Pămîntului a fost cercetată și practic rezolvată de fizicianul sovietic *V. A. Fok*<sup>1)</sup>.

2) O altă propagare urmează calea indirectă, prin reflexii succesive, între suprafața Pămîntului și păturiile conductoare ale ionosferei, cum arată figura 368, *a*.

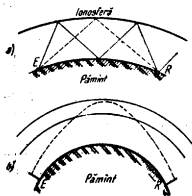


Fig. 368. Reflexia undelor în ionosferă.

Dar această reprezentare simplistă cere o explicație suplimentară: reflexia pe straturile ionizate ar putea fi comparată mai bine cu fenomenul optic al *mirajului* și consistă din încovoierea treptată a direcției de propagare, înapoi spre Pământ (fig. 368, *b*).

Cercetările au arătat că există, în ionosferă, mai multe pături ionizate, la înălțimi diferite.

<sup>1)</sup> Profesor la Leningrad (n. în 1898).



I) Una din ele, situată cam pe la 110 km înălțime, se numește „pătura  $E$ ”, sau „pătura lui *Kennely-Heaviside*”.

Ionizarea ei se datorește mai ales razelor ultraviolete, venite de la Soare și de aceea devine mult mai slabă în timpul nopții, prin recombinația ionilor.

II) Alta, numită „pătura  $F_2$ ”, sau „pătura lui *Appleton*<sup>1)</sup>”, se găsește ziua cam pe la 300 km, iar noaptea ceva mai sus.

Ionizarea este aici mult mai intensă decât în precedenta și se datorește, probabil, electronilor emiși de Soare, sau particulelor cosmice.

III) Între acestea două apare cîteodată, în timpul zilei, o alta, numită „pătura  $F_1$ ” și situată cam pe la 200 km înălțime.

Ea este mai puțin importantă și mai puțin stabilă decât ele.

IV) Afară de acestea trei, anumite anomalii de propagare ne arată uneori apariția fie a dedublărilor, fie a unor pături fugitive, la nivele inferioare.

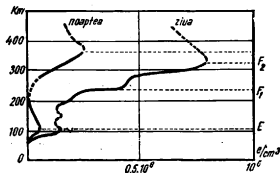


Fig. 369. Variația densității ionilor cu înălțimea, în ionosferă.

Figura 369 reprezintă numărul probabil de sarcini electrice elementare, în centimetrul cub de aer, la diverse înălțimi, în legătură cu primele trei pături de mai sus.

Aceste sarcini pot să fie purtate de electroni liberi sau de ioni gazoși.

<sup>1)</sup> Fizician englez contemporan. A fost distins de curind cu premiul Nobel, pentru cercetările ionosferice (n. în 1892).

Condițiile de reflexie a undelor electromagnetice, în păturile ionosferice, sub anumit unghi de incidență, sînt dictate de schimbările vitezei de propagare, care depind, la rîndul lor, de permitivitatea mediului străbătut.

Dar teoria prevede și experiența confirmă că permitivitatea este o funcțiune alăt de frecvența oscilațiilor, cît și de numărul ionilor sau electronilor, în unitatea de volum.

**Reflexia în ionosferă a undelor de anumită frecvență implică anumită densitate ionică.**

*Prin urmare această reflexie nu poate să apară decît pe stratul în care o undă electromagnetică de frecvență dată găsește densitatea ionică favorabilă.*

Unele unde se reflectă deci pe straturile inferioare ionosferice, pe cînd altele străbat prin ele, sînt mai mult sau mai puțin absorbite și se reflectă apoi pe straturile superioare.

Cu cît absorbtia e mai mică și reflexia se face mai sus, cu alăt și *bătaia* unui post emițător este mai mare.

Considerînd ca exemplu cazul undelor sub lungimea de 100 m, a căror propagare atinge distanțe excepțional de mari, se constată următoarele :

a) Undele cu lungimea între 10 și 30 m se propagă mai bine ziua, fiindcă, deși se reflectă pe pătura  $F_2$ , nu sînt absorbite de pătura  $E$ .

b) Undele cu lungimea între 40 și 80 m se propagă mai bine noaptea, fiindcă pătrund mai puțin adînc în pătura  $F_2$ , capabilă să absoarbă altele mai scurte, iar pătura  $E$  aproape că dispare.

c) Undele cuprinse între 100 și 200 m se propagă în condiții neprielnice, mai cu seamă ziua, fiindcă frecvența lor intră în rezonanță cu frecvența ciocnirilor dintre electroni și moleculele ionizate, din pătura  $E$ , care le absoarbe în cea mai mare parte.

d) Undele sub 10 m nu se propagă decît în linie dreaptă. Ele străbat ionosfera fără să fie reflectate și merg mai departe, în spațiul cosmic.

e) Într-o anumită regiune, în jurul unei antene de emisiune apare, mai ales noaptea, o *zonă de tăcere*.

Figura 370 ne arată că aceasta se datorește faptului că acolo nu pătrunde nici unda directă, nici undele reflectate în ionosferă.

Așa se explică de ce, bunăoară, postul de radio București se aude în condiții cu totul nefavorabile la Timișoara sau la Botoșani, dar se aude foarte bine la Moscova, Berlin sau Viena.



Fig. 370. În zona de tăcere nu pătrunde nici unda directă, nici unda indirectă.

f) La distanțe mari, audiția unui post de radio suferă variații neregulate de intensitate și câte odată nu se aude nimic. Această dispariție se numește *fading* și, se datorește interferenței temporare a undelor, venite pe drumuri de lungimi diferite.

Asemenea interferențe pot să aibă loc fie între unda directă și cea reflectată în ionosferă, fie între două unde reflectate la înălțimi diferite, în urma unei agitații accidentale a păturilor ionizate.

g) Dacă posturile de emisiune și de recepție se află în aceeași emisferă a Pământului apar schimbări vădite ale condițiilor de propagare, între vară și iarnă.

De asemenea aceste condiții sînt influențate, în cursul ciclului de 11 ani al petelor solare, precum și de apariția unei pete mai mari, emițător gigantic de electroni. Efectul se simte după trei zile de la formarea ei, adică după timpul necesar pentru călătoria electronilor între Soare și Pământ.

## Dezvoltarea istorică a concepțiilor din electricitate

Scrisoarea datată din 20 martie 1800 și publicată în revista engleză *Philosophical Transactions*, prin care Volta anunță descoperirea pilei electrice, constituie actul de naștere pentru secolul electricității.

Pînă atunci se cunoștea electrizarea prin frecare și se considera electricitatea ca un fluid (eventual ca două fluide contrarii), în stare să exercite acțiuni la distanță, fără nici un mediu intermediar, să se miște într-un conductor, să treacă de pe unele corpuri pe altele și să producă, tot la distanță și fără intervenția mediului, fenomene de inducție.

Acest fluid, socotit imponderabil, putea fi păstrat în condensatori, timp îndelungat, iar efectele fiziologice, constatate la descărcare, au adus de la început bănuiala că fenomenele vitale ar fi de natură electrică.

Diferitele mașini electrostatice produceau scintei destul de impresiionante, care imitau în mic fenomenele gigantice din atmosferă.

Ele nu debitau însă decît energii practic neglijabile și aceasta într-un timp foarte scurt.

**După primele concepții, electricitatea era considerată ca un fluid imponderabil.**

De altfel nici nu se întrevădea măcar aspectul energetic al descărcărilor electrice, cu toate că se cunoșteau prea bine diverse fenomene mecanice care le însoțesc.

În spiritul acestei concepții a fluidului, prima formulare cantitativă o aduce legea lui *Coulomb*, care datează din 1785.

Ea stabilește o analogie surprinzătoare între atracția maselor gravitaționale și a „fluidelor” magnetice sau electrice, care, deși „imponderabile” puteau acum să fie măsurate.

De atunci au trecut 170 de ani. Ideile noastre despre electricitate și magnetism au evoluat, însă tot nu știm încă de unde provine această analogie, cîtă vreme nu cunoaștem originea forțelor de interacțiune.

Conceptul de fluid electric imponderabil a dăinuit multă vreme în știință, în așa măsură încît a fost nevoie de o lege specială, prin care vama franceză să fie autorizată a percepe taxe pentru energia electrică importată din Elveția, fiindcă era considerată ca imaterială.

Față cu mașina electrostatică, pila lui Volta debitează o energie mult mai mare și aceasta în mod continuu.

Ea pune la dispoziție noi mijloace de cercetare și astfel începe o nouă etapă, cu noi descoperiri.

La 26 iunie 1800, *Carlisle* și *Nicholson*<sup>1)</sup> descompun electrolitic apa și deschid astfel drumul pentru studiul acțiunilor chimice ale curentului.

În 1820, *Oersted* descoperă acțiunea curenților asupra magneților, iar pînă în 1826, *Ampère* studiază, experimental și teoretic, legile acestor acțiuni, pune bazele electromagnetismului și stabilește o legătură între electricitate și magnetism.

Pe de altă parte *Faraday* enunță, în 1833, legea cantitativă a electrolizei.

Această etapă se încheie prin 1841, odată cu formularea legii lui *Joule-Lenz*, care privește cantitatea de căldură produsă într-o rezistență ohmică, parcursă de curentul electric.

Mai menționăm că legile lui *Ohm* datează din 1827, iar teoremele lui *Kirchhoff* din 1847.

**Pînă în 1841 au fost descoperite și studiate acțiunile chimice, magnetice și termice ale curentului electric.**

Prin urmare, pînă prin 1841 au fost descoperite și studiate cantitativ acțiunile chimice, magnetice și termice ale curentului electric, dar electricitatea continua să fie considerată ca un fluid imponderabil.

<sup>1)</sup> *Anthony Carlisle* (1768—1840), medic englez.  
*William Nicholson* (1753—1815), fizician englez.

O a doua etapă, care se suprapune oarecum cu prima, fiindcă au ca trăsătură comună electromagnetismul, începe cu cercetările lui *Faraday* asupra spectrelor magnetice și electrice, care l-au făcut să înțeleagă că mediul înconjurător, fie chiar și vidul, este acela care transmite cimpurile. Din aproape în aproape, deci cu viteză finită și că nu există o acțiune directă la distanță, care să apară instantaneu.

Tot *Faraday* a descoperit, în 1831, fenomenele de inducție, care pe atunci păreau, de sigur, importante din punctul de vedere pur științific, însă nimeni și nici chiar el însuși nu putea să bănuiască măcar că de aici se vor dezvolta în viitor, pe de o parte o schimbare profundă a concepțiilor asupra electricității, pe de altă parte întreaga ramură a electrotehnicii, cu aplicații prodigioase.

El este primul care a stabilit că toate corpurile au însușiri magnetice și a introdus denumirile de *fero*, *para* și *diamagnetism*.

În fine, studiind lumina ce străbate printr-un bloc de sticlă, pus într-un cîmp magnetic, a găsit că ea suferă unele modificări, despre care ne vom ocupa mai târziu și a stabilit astfel că există o interdependență între fenomenele magnetice și luminoase.

Ultima lucrare a lui *Faraday*, publicată în 1855, se ocupă tot de magnetism.

De aici înainte și-a considerat misiunea lui științifică terminată, iar ultimii 12 ani ai vieții și i-a petrecut la țară, într-o fermă pe care i-o dăruiseră admiratorii.

Pe lucrările lui *Ampère* și pe rezultatele lui *Faraday*, scoțianul *James Clerk Maxwell* a clădit, între 1861 și 1873, o teorie matematică revoluționară.

Această teorie se sprijină pe două ipoteze de plecare și anume:

1) O perturbare magnetică sau electrică se propagă din aproape în aproape, cu viteză finită.

2) Orice variație a cîmpului electric, într-un condensator, sau într-un sistem oarecare, face să apară prin dielectric un curent de deplasare.

Acest curent se adaugă sau continuă un eventual curent de conducție, dar poate să existe și singur.

El nu reprezintă în vid un transport efectiv de electricitate, însă are aceleași efecte magnetice ca orice alt curent electric.

Aplicînd aici legea lui *Ampère*, din electromagnetism și legea inducției a lui *Faraday*, *Maxwell* formulează cele două ecuații fundamentale, cunoscute din capitoulul respectiv.

Aceste ecuații arată că orice variație în timp a cîmpului electric, deci orice curent de deplasare se înconjoară cu un cîmp magnetic, la fel cu orice curent de conducție.

Analog, orice variație în timp a cîmpului magnetic se înconjură cu liniile de forță ale unui cîmp electric, deci cu un curent de deplasare.

De aici, prin dezvoltări matematice, rezultă că variațiile inseparabile de cîmp magnetic și electric formează împreună unda electromagnetică și se propagă în vid cu viteza luminii, egală numeric și identică în dimensiuni cu raportul  $c$  al unităților din cele două sisteme CGS, electrostatic și electromagnetic.

Această viteză, într-un mediu oarecare, scade cînd crește rădăcina pătrată a produsului dintre permeabilitate și permitivitate.

*După ce lucrările lui Oersted și Ampère au clădit electromagnetismul și au legat fenomenele electrice de cele magnetice, teoria lui Maxwell înglobează fenomenele optice și altele similare în electromagnetism.*

Că o rază de lumină transportă o undă electromagnetică părea li adevăr surprinzător, pentru toți fizicienii timpului, cu toate că o experiență a lui Faraday arătase că există o acțiune a cîmpului magnetic asupra luminii.

Refracția, reflexia și numeroase alte fenomene optice puteau fi acum interpretate și calculate pe baze noi. Astfel s-a creat optica electromagnetică, din care optica ondulatorie face parte integrantă.

Dar variația în timp a cîmpurilor magnetice sau electrice implică o variație a densității de energie, în spațiul respectiv, care se poate calcula.

Ori energia este o formă a materiei, ceea ce înseamnă că și cîmpurile sînt o realitate materială.

Revenind la fenomenele din electricitate, cîmpul poate să transporte sarcini și transportul acesta e un curent electric.

**Factorul principal este cîmpul, iar transportul de electricitate o simplă consecință, în cazuri particulare.**

Dar în vid un asemenea transport nu există și totuși avem un curent de deplasare.

Factorul principal este deci cîmpul, iar transportul de sarcini apare ca o simplă consecință, numai în cazuri particulare.

Maxwell însuși nu a putut să-și verifice prin experiențe rezultatele teoretice, care, pe vremea cînd le-a publicat, erau privite cu uimire, dar și cu neîncredere.

Această verificare a venit abia cu 20 de ani mai târziu, prin experiențele lui Hertz, care au actualizat iarăși problema și au dat un imbold nou cercetărilor, în așa măsură încît aproape toate laboratoarele de fizică din lume se ocupau de dînsa, direct sau indirect.

Printre fizicienii romîni, trebuie să cităm contribuțiile profesorilor *Negreanu, Hurmuzescu, Vasilescu-Karpen* și *E. Bădărău*, de la Universitatea din București.

Acum verificarea se face sub ochii tuturor, prin emisiunile de radio.

**După teoria electromagnetică singurul fel de manifestare al electricității este cîmpul.**

Succesele teoriei electromagnetice au făcut ca, pînă la descoperirea unor noi fenomene, fizicienii să nu se mai preocupe de natura sau de existența fluidului electric și să considere că singurul fel de manifestare al electricității este cîmpul.

În foarte multe fenomene optice sau electrice, teoria lui Maxwell este cu totul satisfăcătoare și explică foarte bine desfășurarea procesului.

*Einstein*, care a descoperit că energia reprezintă o masă, a încercat să facă un pas mai departe: știind că orice cîmp reprezintă energie, nu s-ar putea oare modifica teoria lui Maxwell, așa ca să includă și cîmpul gravitațional de atracție a maselor?

Dar pînă acum, cu toate încercările multora, problema nu a fost încă rezolvată.

Lăsînd la o parte concepția pur metalizică, de fluid imponderabil, dar păstrînd ca valabilă pe a cîmpului electric sau electromagnetic, ne propunem să examinăm un alt aspect al electricității, acela de *particule*.

Fenomenul electrolizei și legea lui Faraday ne-au dus la concluzia că orice ion din soluție, indiferent de natura lui, poartă o sarcină electrică, pozitivă sau negativă, care nu poate fi decît multiplu întreg al unei sarcini elementare, totdeauna aceeași.

Analizînd aceste fapte, împreună cu altele în care se presupunea că intervin particule electrizate, H. A. Lorentz<sup>1)</sup> a elaborat, în 1892, *teoria electronică*, prin care a prevăzut anumite fenomene, găsite după aceea prin experiență.

Este vorba, în special, de efectul Zeeman<sup>2)</sup>, prin care liniile spectrale se dedublează sau se triplează, cînd sursa luminoasă e introdusă într-un cîmp magnetic.

În forma inițială, teoria lui Lorentz admitea că există un singur fel de particule, încărcate negativ și numite *electroni*, care poartă fiecare cîte o sarcină elementară.

Lucrările lui J. J. Thomson<sup>3)</sup>, fenomenele de radioactivitate și determinările directe ale lui Millikan au arătat existența neîndoieinică a electronului, ca atom de electricitate și au dus la rezultate concordante, în ce privește sarcina și masa lui.

Această masă o putem calcula din devierea unui fascicul de raze catodice, într-un cîmp magnetic și electric.

Dar, afară de electron, cunoaștem acum și alte specii de particule, care poartă cîte o sarcină elementară, pozitivă sau negativă.

Ele sînt *pozitronul*, sau electronul pozitiv, apoi *protonul* și *antiprotonul*, care a fost descoperit recent.

Masele protonului și antiprotonului sînt aproximativ egale cu a unui atom de hidrogen, dar primul este pozitiv, iar celălalt negativ.

Toate aceste particule, purtătoare de sarcini electrice, pot fi evidențiate individual, numărate și urmărite în mișcarea lor, prin metode pe care le vom descrie mai tîrziu.

În tot cazul, oricare din ele, cită vreme se mișcă, reprezintă un transport de electricitate, deci un curent electric.

În metale se mișcă electronii liberi, sub acțiunea cîmpului, în electrolizi se mișcă ionii, în gaze se mișcă ionii sau electronii, iar fenomenele de radioactivitate aruncă în spațiu, cu viteză mare, diverse particule, purtătoare de sarcini electrice, pozitive sau negative, totdeauna multiplu numeric al sarcinii electronului.

Am putea deci fi înclinați să atribuim electricității aspectul de particule, purtătoare de sarcini elementare.

<sup>1)</sup> Hendrik Anton Lorentz (1853—1928), fizician olandez, Premiu Nobel (1902).

<sup>2)</sup> Pieter Zeeman (1865—1943), fizician olandez, Premiu Nobel (1902).

<sup>3)</sup> Joseph John Thomson (1856—1940), fizician englez, Premiu Nobel (1906).

Aceste particule au o masă proprie și fac parte integrantă din atomi. În unele procese, prezența lor este indiscutabilă, dar și cimpurile sînt o realitate materială, cu toate că, în teoria lui Maxwell nu a fost vorba de particule.

S-ar părea deci că există un dualism: uneori trebuie să privim electricitatea sub aspectul *cimp*; alteori sub aspectul *granular*.

Aici se ivește însă altă dificultate: cimpul reprezintă energie și ne-am obișnuit să-i atribuim o structură *continuu*, pe cînd particula reprezintă ceva *discontinuu*, față de mediu.

În această aparentă contradicție, *Max Planck* aduce, în 1900, o contribuție tot așa de revoluționară ca și a lui Maxwell, prin *teoria cuantelor*.

După această teorie, orice energie radiantă, sub forma oscilatorie, cum este cazul undelor electromagnetice, așadar și al luminii, se emite sub formă de *cuante*, proporționale cu frecvența.

De altă parte, în spiritul acestei teorii, *Einstein*, studiind *efectul fotoelectric*, prin care anumite substanțe, mai ales metalele, ajung să emită electroni, cînd sînt luminate, deduce că, de fapt, cuantele transportate de unda electromagnetică sînt *atomi de energie*, adică particule, a căror masă este proporțională cu frecvența și le numește *fotoni*.

**Unda electromagnetică transportă cuante, adică atomi de energie, pe care-i numim fotoni.**

Dar fotonul nu are sarcină electrică, ci este neutru, așa că problema interpretării aspectului dualistic al electricității nu este încă rezolvată.

Ar trebui să găsim o relație de trecere de la electron la cimpul electromagnetic și apoi la foton.

Această scurtă trecere în revistă a concepțiilor asupra electricității conține diferite anticipări asupra unor probleme ce vor fi tratate mai pe larg în volumul următor.

Unele teorii sînt în acord cu faptele într-un anumit domeniu, altele în domeniile vecine.

Ele se modifică și se adaptează neconținut faptelor experimentale noi, sau trebuie să facă loc altora, mai complete.

Din cînd în cînd o concepție revoluționară înglobează deodată mai multe domenii și chiar fenomene, în aparență, fără legătură cauzală.

Urmează atunci o epocă de progrese rapide, pînă ce noua teorie devine, la rîndul ei, prea strîmă, pentru totalitatea faptelor cunoscute, și cere alte completări sau transformări.

În prezent cunoaștem destul de multe asupra electricității, dar nu putem răspunde încă la întrebarea „*ce este electricitatea?*”

Răspunsul acesta e numai o chestiune de viitor.



Tabela 23

Tabela unităților MKSA (STAS 862-49)

## 1) Unități electrice

Mărimea și simbolul ei	Dimensiunile	Ecuația de definiție	Unitatea de măsură		Relații de transformare
			Denumire și definiție	Simbol	
Curent (intensitatea curentului) $I$	$I$	$\frac{F}{l} =$ $= \mu_0 \frac{I_1 I_2}{2\pi d}$ <p>sau</p> $\frac{F}{l} =$ $= 2\mu_0 \frac{I_1 I_2}{d}$	<b>Ampere</b> Curentul constant care, menținut în doi conductori, paraleli, rectilinii, de lungime practic infinită și de secțiune circulară neglijabilă, așezați la o distanță de un metru unul de altul, în vid, produce între acești conductori o forță de $2 \cdot 10^{-7}$ newtoni pe metru de lungime	A	$1 \text{ A} =$ $= \frac{1}{10} \text{ CGS e.m.}$
Cantitate de electricitate (Sarcină electrică) $Q$	$IT$	$Q = It$	<b>Coulomb</b> Cantitatea de electricitate transportată într-o secundă de un curent constant de un amper	C	$1 \text{ C} =$ $= \frac{1}{10} \text{ CGS e.m.}$
Tensiune electrică (Diferență de potențial) $U$  Potențial $V$ Forță electromotoare $E$	$L^2MT^{-3}I^{-1}$	$U = \frac{P}{I}$	<b>Volt</b> Tensiunea electrică între două puncte ale unui fir conductor, prin care trece un curent constant de un amper, când puterea disipată între aceste două puncte este de un watt	V	$1 \text{ V} = 10^8$ CGS e.m.

Tabela 23 (continuare)

Mărimea și simbolul ei	Dimensiunile	Ecuația de definiție	Unitatea de măsură		Relații de transformare
			Denumire și definiție	Simbol	
Rezistență electrică $R$	$L^2MT^{-3}I^{-2}$	$R = \frac{U}{I}$	<i>Ohm</i> Rezistența electrică între două puncte ale unui fir con- ductor, când o ten- siune constantă de un volt, aplicată între aceste punc- te, produce în acest conductor un curent de un amper, șcel con- ductor nefiind se- diul altor forțe electromotoare	$\Omega$	$1\Omega = 10^9$ CGS e.m.
Capacitate $C$	$L^{-2}M^{-1}T^4I^2$	$C = \frac{Q}{U}$	<i>Farad</i> Capacitatea unui condensator elec- tric care, fiind în- cărcat cu o sarcină electrică de un coulomb, deter- mină o tensiune de un volt între armăturile lui	F	$1F = 10^{-9}$ CGS e.m.
Cîmp electric $E, \mathcal{E}$	$LMT^{-3}I^{-1}$	$\mathcal{E} = \frac{F}{Q}$	<i>Volt pe metru</i> Intensitatea de cîmp electric care determină o forță de un newton asu- pra unei sarcini punctuale electri- ce de un coulomb	V/m	$1V/m = 10^6$ CGS e.m.

Tabela 23 (continuare)

## 2) Unități magnetice

Mărimea și simbolul ei	Dimensiunile	Ecuația de definiție	Unitatea de măsură		Relații de transformare
			Denumire și definiție	Simbol	
Flux de inducție magnetică $\Phi$	$L^2MT^{-2}I^{-1}$	$E = - \frac{d\Phi}{dt}$	<b>Weber</b> Fluxul de inducție magnetică care, străbătând circui- tul unei singure spire, produce în acea spirală o forță electromotoare de un volt, când fluxul scade uni- form la zero, în timp de o secundă	Wb	1 Wb = $10^8$ maxwell (unitate CGS e.m.)
Inducție magnetică $B$	$MT^{-2}I^{-1}$	$B = \frac{\Phi}{S}$	<b>Weber pe metru pătrat</b> Inducția magnetică care produce un flux de un weber, printr-o suprafață normală de un me- tru pătrat	$\frac{Wb}{m^2}$	1 Wb/m <sup>2</sup> = $10^4$ gauss (unita- te CGS e.m.)
Cîmp magnetic $H$	$L^{-1}I$	$\int H \cdot dl = 4\pi nI$ $H = \frac{2I}{r}$	<b>Milioersted</b> Cîmpul magnetic produs în jurul unui conductor li- nlar de lungime practic infinită, la o distanță de doi metri, când în acel conductor circulă un curent de un amper	mOe	1 mOe = $= \frac{1}{4\pi} A \cdot sp/m$ (Oerstedul este unitatea CGS e.m.)
Forță magne- tomotoare $M, \mathcal{F}$	I	$\mathcal{F} = 4\pi nI$	<b>Decigilbert</b> Forța magnetomo- toare produsă de o spirală străbătută de un curent de 1/4 $\pi$ amperi	dGb	1 dGb = $= \frac{1}{4\pi} A \cdot sp$ (Gilbertul este unitatea CGS e.m.)

Tabela 23 (continuare)

Mărimea și simbolul ei	Dimensiunile	Ecuația de definiție	Unitatea de măsură		Relații de transformare
			Denumire și definiție	Simbol	
Inductanță $L$	$L^2MT^{-2}I^{-2}$	$L = \frac{\Phi}{I}$	<i>Henri</i> Inductanța unui circuit electric, format dintr-o singură spiră care produce un flux magnetic propriu de un weber, când circuitul este parcurs de un curent de un amper	H	$1\text{ H} = 10^9$ CGS e.m.
Moment magnetic $M_m$	$L^3MT^{-2}I^{-1}$	$M_m = \frac{M}{H}$	<i>Newton-metru pe milloersted</i> Momentul magnetic al unei bare magnetice așezată normal pe un câmp magnetic uniform de un milloersted și asupra căreia se exercită un cuplu de un newton-metru	$\frac{\text{N} \cdot \text{m}}{\text{mOe}}$	$1\text{ N.m/mOe} = 4\pi \text{ Wb.m}$ $1\text{ N.m/mOe} = 10^{10}$ CGS e.m.

3) Unitățile electrice și magnetice definite mai sus se numesc absolute, întrucât ele derivă din etaloanele a patru unități fundamentale.

4) Unitățile sistemului CGS electrostatic (CGS e.s.) se deduc din unitățile sistemului CGS electromagnetic (CGS e.m.) prin relațiile următoare:

$$\text{Intensitatea curentului: } 1 \text{ CGS e.s.} = \frac{1}{3 \cdot 10^{10}} \text{ CGS e.m.}$$

$$\text{Cantitatea de electricitate: } 1 \text{ CGS e.s.} = \frac{1}{3 \cdot 10^{10}} \text{ CGS e.m.}$$

$$\text{Tensiunea electrică: } 1 \text{ CGS e.s.} = 3 \cdot 10^{10} \text{ CGS e.m.}$$

$$\text{Rezistența electrică: } 1 \text{ CGS e.s.} = 9 \cdot 10^{20} \text{ CGS e.m.}$$

Capacitatea :  $1 \text{ CGS e.s.} = \frac{1}{9 \cdot 10^{20}} \text{ CGS e.m. (cm)}$

Constanta dielectrică :  $1 \text{ CGS e.s.} = \frac{1}{9 \cdot 10^{20}} \text{ CGS e.m.}$

5) Permeabilitatea vidului ( $\mu_0$ ) și constanta dielectrică a vidului ( $\epsilon_0$ ) au următoarele valori :

	Sistemul MKS	Sistemul CGS electromagnetic	Sistemul CGS electrostatic
$\mu_0$	$10^{-7}$	1	$\frac{1}{9 \cdot 10^{20}}$
$\epsilon_0$	$\frac{1}{9 \cdot 10^9}$	$\frac{1}{9 \cdot 10^{20}}$	1

6) În afară de unitățile electrice și magnetice definite mai sus, numite unități principale ale sistemelor respective, se mai pot folosi pentru fiecare mărime, multiplii și submultiplii zecimali ai acestora. Denumirile respective se formează conform STAS 669-49.

În special, se întrebuițează următorii multipli și sub-multipli :

kilovolt,	milihenry,	megohm,
milivolt,	microhenry,	kilohm,
microvolt,	microfarad,	kilowatt.
miliamper,	nanofarad,	
microamper,	picofarad,	

Ca unități practice se mai folosesc :

- pentru energie : wattora ( $1 \text{ Wh} = 3\,600 \text{ J}$ ),
- pentru cantitatea de electricitate : amper-ora ( $1 \text{ Ah} = 3\,600 \text{ C}$ ) și multiplii acestora.

7) *Norme de scriere.* Denumirile unităților care derivă din numele unui savant se vor scrie cu literă mică ; simbolurile lor se scriu cu literă mare.

Simbolurile unităților nu au formă diferită la plural.

În textele tipărite simbolurile unităților se scriu cu caractere drepte.

Numele unităților compuse care n-au denumiri speciale, se formează din numele unităților componente, legate cu o liniuță orizontală, în cazul când ele se înmulțesc sau printr-o linie oblică ori de fracție, în cazul când ele se împart. Excepție fac denumirile unităților de energie (kilogrammetru, kgm; wattoră, Wh; kilowattoră, kWh).

Denumirile speciale de formă complexă, ale unora dintre unități, pot fi evitate prin indicarea prescurtată a mărimii și a sistemului din care face parte unitatea; de pildă, în loc de:

32 newton-metri pe milioersted și metru cub, se poate scrie:

32 intens. magnetizare MKS.

*Observație.* Pentru a evita în electromagnetism folosirea incomodă a relațiilor de definiție, în care intră ca factor numărul irațional  $\pi$ , s-a propus o raționalizare a sistemelor de unități CGS e.m. și MKSA.

Schimbînd convențiile și alegînd convenabil factorii de proporționalitate din relațiile fundamentale, de utilizare curentă, izbutim, în adevăr, să facem ca în ele să nu mai apară cantități iraționale.

Dar aceste cantități se mută atunci în alte relații, pe care le întîlnim ceva mai rar, în rezolvarea problemelor practice.

Nu este cazul să insistăm asupra metodei folosite, în operația de raționalizare, fiindcă, în manualul de față nu am folosit decît unitățile așa zise „clasice”.

# TABLA DE MATERII

## PARTEA A PATRA

### UNDE ELASTICE ȘI ACUSTICE

Introducere . . . . .	3
§ 168. Mișcarea oscilatorie . . . . .	3
§ 169. Obiectul acusticii . . . . .	5
<i>Capitolul XX. Unde elastice</i> . . . . .	6
§ 170. Caracterul undelor . . . . .	6
§ 171. Lungimea de undă . . . . .	8
§ 172. Viteza de propagare . . . . .	11
§ 173. Dispersia undelor. Viteza de grup . . . . .	19
§ 174. Principiul lui Huyghens . . . . .	20
§ 175. Schimbarea de fază la reflexie . . . . .	27
§ 176. Interferența undelor . . . . .	28
§ 177. Receptori de unde, rezonanța . . . . .	40
<i>Capitolul XXI. Sunetul</i> . . . . .	53
A. Generalități . . . . .	53
§ 178. Producerea sunetelor . . . . .	53
§ 179. Propagarea sunetelor . . . . .	56
§ 180. Calitățile sunetului . . . . .	60
§ 181. Sensibilitatea urechii . . . . .	70
§ 182. Orientarea după sunet . . . . .	74
§ 183. Efectul Doppler . . . . .	76
B. Sunete muzicale . . . . .	77
§ 184. Intervale muzicale . . . . .	77
C. Vibrația corpurilor . . . . .	81
§ 185. Coarde vibrante . . . . .	81
§ 186. Tuburi sonore . . . . .	85
§ 187. Vibrația plăcilor și membranelor . . . . .	88

§ 188. Rezonanța în instrumentele muzicale . . . . .	89
§ 189. Ultrasunetele . . . . .	90
D. Scurtă privire istorică asupra acusticii . . . . .	92

## PARTEA A CINCIA- ELECTROSTATICA

<i>Capitolul XXII. Fenomene fundamentale</i> . . . . .	96
§ 190. Obiectul electrostaticii . . . . .	96
§ 191. Izolanți și conductori . . . . .	97
§ 192. Diferențierea sarcinilor electrice . . . . .	98
§ 193. Originea fenomenelor de electrizare . . . . .	100
§ 194. Electrizarea prin influență . . . . .	102
§ 195. Legea lui Coulomb . . . . .	107
§ 196. Sistemul unităților electrostatice CGS . . . . .	110
§ 197. Sistemul unităților MKSA . . . . .	112
§ 198. Distribuția electricității pe conductori . . . . .	116
<i>Capitolul XXIII. Câmpul electric</i> . . . . .	119
A. Noțiuni fundamentale . . . . .	119
§ 199. Definiție, intensitate . . . . .	119
§ 200. Vectorul inducție electrică . . . . .	123
§ 201. Linii de forță . . . . .	125
B. Fluxul electric . . . . .	128
§ 202. Fluxul de inducție . . . . .	128
§ 203. Teorema lui Gauss . . . . .	130
§ 204. Fluxul câmpului electric . . . . .	132
§ 205. Câmpul unui plan electrizat . . . . .	132
C. Conductorii în câmp electric . . . . .	134
§ 206. Condiția de echilibru electric . . . . .	134
§ 207. Teorema lui Coulomb . . . . .	136
D. Izolații în câmpul electric . . . . .	139
§ 208. Polarizarea dielectricilor . . . . .	139
§ 209. Relația dintre inducție și polarizare . . . . .	144
§ 210. Efectul seignetoelectric . . . . .	145
§ 211. Efectul piezo- și piroelectric . . . . .	148
§ 212. Refracția liniilor de forță . . . . .	150
<i>Capitolul XXIV. Potențialul electric</i> . . . . .	155
§ 213. Lucrul mecanic în câmpul electric . . . . .	155
§ 214. Diferența de potențial electric . . . . .	156
§ 215. Potențialul în jurul unei sarcini punctiforme . . . . .	162



§ 216. Suprafețe echipotențiale . . . . .	164
§ 217. Potențialul în jurul unui dipol . . . . .	169
<b>Capitolul XXV. Capacitatea electrostatică . . . . .</b>	<b>174</b>
§ 218. Capacitatea unui conductor . . . . .	174
§ 219. Condensatori . . . . .	177
§ 220. Energia unui condensator încărcat . . . . .	187
<b>Capitolul XXVI. Electrometre . . . . .</b>	<b>192</b>
§ 221. Principiul și funcționarea . . . . .	192
<b>Capitolul XXVII. Mașini electrostatice . . . . .</b>	<b>192</b>
§ 222. Principiul mașinilor cu adițiune . . . . .	195
<b>Capitolul XXVIII. Sarcina electrică elementară . . . . .</b>	<b>202</b>
§ 223. Cercetările lui Millikan . . . . .	202
<b>Capitolul XXIX. Electricitatea atmosferică . . . . .</b>	<b>206</b>
A. Noțiuni fundamentale . . . . .	206
§ 224. Gradientul de potențial atmosferic . . . . .	206
§ 225. Electrizarea norilor . . . . .	209
§ 226. Fulgerul . . . . .	210
B. Scurtă privire istorică asupra electrostaticii . . . . .	212

PARTEA A ȘASEA

**ELECTRODINAMICA**

<b>Capitolul XXX. Curentul electric . . . . .</b>	<b>218</b>
§ 227. Intensitatea curentului . . . . .	218
§ 228. Curentul de convecție . . . . .	220
§ 229. Curentul de conducție . . . . .	221
§ 230. Curentul de deplasare . . . . .	231
§ 231. Energia debitată într-o rezistență . . . . .	237
<b>Capitolul XXXI. Circuite electrice . . . . .</b>	<b>244</b>
§ 232. Circuite închise . . . . .	244
§ 233. Rezistențe variabile și potențiometre . . . . .	248
§ 234. Teoremele lui Kirchhoff . . . . .	251
§ 235. Rezistențe în serie și în paralel . . . . .	253
§ 236. Puntea lui Wheatstone . . . . .	255
§ 237. Determinarea forței electromotoare . . . . .	257
<b>Capitolul XXXII. Electroliza . . . . .</b>	<b>260</b>
§ 238. Aspectul calitativ al fenomenelor . . . . .	260

§ 239. Legile electrolizei . . . . .	263
§ 240. Ionii în electroliză . . . . .	266
§ 241. Sarcina electrică a ionilor . . . . .	266
§ 242. Teoria disociației electroitice . . . . .	268
§ 243. Conducția cristalelor. Semiconductori . . . . .	276
§ 244. Aplicațiile electrolizei . . . . .	278
<b>Capitolul XXXIII. Pile electrice . . . . .</b>	<b>280</b>
A. Noțiuni fundamentale . . . . .	280
§ 245. Introducere . . . . .	280
§ 246. Forțe electromotoare de contact . . . . .	282
§ 247. Legea contactelor metalice succesive . . . . .	284
§ 248. Efectul Peltier . . . . .	285
§ 249. Efectul termoelectric . . . . .	288
B. Elemente galvanice . . . . .	292
§ 250. Forța electromotoare de polarizare . . . . .	292
§ 251. Polarizarea și tensiunea superficială . . . . .	294
§ 252. Pile hidroelectrice . . . . .	295
§ 253. Elemente cu depolarizant . . . . .	299
§ 254. Elemente nepolarizabile . . . . .	300
§ 255. Teoria elementelor galvanice . . . . .	302
§ 256. Influența factorilor fizici . . . . .	307
§ 257. Elemente secundare, acumulatori . . . . .	309
<b>Capitolul XXXIV. Ionizarea gazelor . . . . .</b>	<b>312</b>
§ 258. Conducția electrică în gaze . . . . .	312
§ 259. Ionizarea prin ciocnire . . . . .	316
§ 260. Descărcarea la presiune redusă . . . . .	320
§ 261. Potențialul exploziv . . . . .	326
§ 262. Emisiunea termoelectronică . . . . .	327

## PARTEA A ȘAPTEA

## CÎMPUL MAGNETIC

<b>Capitolul XXXV. Magnetostatica . . . . .</b>	<b>334</b>
§ 263. Magneți. Dipoli magnetici . . . . .	334
§ 264. Legea lui Coulomb, consecințe . . . . .	336
§ 265. Inducția magnetică . . . . .	338
§ 266. Liniile de forță magnetice . . . . .	339
§ 267. Acțiunea directoare a cîmpului . . . . .	341
§ 268. Intensitatea de magnetizare . . . . .	342
<b>Capitolul XXXVI. Cîmpul magnetic al Pământului . . . . .</b>	<b>344</b>
§ 269. Elementele magnetice . . . . .	344

PARTEA A OPTA  
**ELECTROMAGNETISMUL**

<b>Capitolul XXXVII. Cîmpul magnetic al curenților</b>	352
A. Proprietăți fundamentale	352
§ 270. Efectul Oersted, consecințe	352
§ 271. Legea lui Biot și Savart	354
§ 272. Sistemul unităților electromagnetice	358
§ 273. Raportul unităților CGS e.s./CGS e.m.	360
§ 274. Cîmpul electric al unei sarcini electrice mobile	363
§ 275. Teorema lui Ampère	365
§ 276. Acțiunea cîmpului magnetic asupra curenților	367
§ 277. Acțiunea reciprocă a curenților	371
§ 278. Unitatea MKSA de curent electric	373
§ 279. Raportul de transformare al unităților	377
B. Echivalența magneților și a curenților	378
§ 280. Momentul magnetic echivalent	378
§ 281. Cîmpul în interiorul solenoizilor	380
§ 282. Circuitul magnetic	384
§ 283. Electromagneți	386
<b>Capitolul XXXVIII. Proprietăți magnetice ale substanțelor</b>	392
A. Proprietăți fundamentale	392
§ 284. Clasificare, cîmpul demagnetizant	392
§ 285. Magnetismul și curenții moleculari	398
§ 286. Efectul temperaturii	400
B. Feromagnetismul	402
§ 287. Caractere generale	402
§ 288. Efectul acțiunilor mecanice	408
§ 289. Acțiunea demagnetizantă a cîmpului alternativ	410
§ 290. Efectul variațiilor de temperatură	411
§ 291. Magnetizarea păturilor subțiri	413
§ 292. Magnetizarea spontană	415
<b>Capitolul XXXIX. Inducția electromagnetică</b>	419
§ 293. Fenomene fundamentale	419
§ 294. Sensul curenților induși	424
§ 295. Energia curentului de inducție	426
§ 296. Energia de magnetizare	429
§ 297. Unități magnetice	432
§ 298. Curenții Foucault	436
A. Autoinducția	439
§ 299. Inductanța unui circuit	439

§ 300. Forța electromotoare de autoinducție . . . . .	441
§ 301. Inducția mutuală . . . . .	442
§ 302. Generalizarea legii lui Ohm . . . . .	443
§ 303. Extracurenții . . . . .	444
§ 304. Energia unui circuit cu inductanță . . . . .	448
<b>B. Descărcarea oscilantă . . . . .</b>	<b>449</b>
§ 305. Descărcarea aperiodică . . . . .	449
§ 306. Descărcarea oscilantă . . . . .	450
<b>Capitolul XL. Aparate electrice de măsurat . . . . .</b>	<b>460</b>
§ 307. Aparate cu magnet permanent . . . . .	460
§ 308. Ampermetre cu fier moale . . . . .	463
§ 309. Ampermetre electrodinamice . . . . .	464
§ 310. Voltmetre . . . . .	465

## PARTEA A NOUA

## CURENTUL ALTERNATIV

<b>Capitolul XLI. Curentul sinusoidal . . . . .</b>	<b>466</b>
§ 311. Intensitatea și tensiunea . . . . .	466
§ 312. Circuite cu rezistență, inductanță și capacitate . . . . .	470
§ 313. Circuitul în rezonanță . . . . .	476
§ 314. Factorul de putere . . . . .	478
<b>Capitolul XLII. Mașini electrice . . . . .</b>	<b>482</b>
§ 315. Mașini de curent continuu . . . . .	482
§ 316. Alternatorii . . . . .	485
§ 317. Motoare de curent alternativ . . . . .	488
§ 318. Transformatorii . . . . .	493
§ 319. Transportul energiei la distanță . . . . .	494

## PARTEA A ZECEA

## UNDE ELECTROMAGNETICE

<b>Capitolul XLIII. Producerea oscilațiilor electrice . . . . .</b>	<b>499</b>
§ 320. Rezistențe negative . . . . .	499
§ 321. Arcul oscilant . . . . .	501
§ 322. Lampa cu trei electrozi . . . . .	504
<b>Capitolul XLIV. Unde electromagnetice . . . . .</b>	<b>511</b>
§ 323. Propagarea perturbațiilor electromagnetice . . . . .	511
§ 324. Aprofundarea fenomenului de inducție . . . . .	519
§ 325. Rolul curenților de deplasare . . . . .	523
§ 326. Viteza de propagare a undelor electromagnetice . . . . .	528

<i>Capitolul XLV. Noțiuni de radiocomunicații</i>	532
§ 327. Antena de radio	532
§ 328. Acordul antenei	538
§ 329. Excitarea antenei	540
§ 330. Recepția semnalelor	542
§ 331. Principiul radiofoniei	545
§ 332. Înălțimea eficace și puterea radiată de antenă	547
§ 333. Propagarea undelor electromagnetice în jurul Pământului	550
Dezvoltarea istorică a concepțiilor din electricitate.	555